UNIVERSITAT DE BARCELONA

Les necessitats de climatització a Catalunya per l'efecte del canvi climàtic

Xavier Balagué Boldú

Aquesta tesi doctoral està subjecta a la llicència ***Reconeixement 4.0. Espanya de Creative Commons***.

Esta tesis doctoral está sujeta a la licencia ***Reconocimiento 4.0. España de Creative Commons***.

This doctoral thesis is licensed under the ***Creative Commons Attribution 4.0. Spain License***.

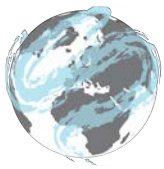

Programa de Doctorat Geografia, Planificació Territorial i Gestió Ambiental

Departament de Geografia

LES NECESSITATS DE CLIMATITZACIÓ A CATALUNYA PER L'EFECTE DEL CANVI CLIMÀTIC
- ANNEX -

Memòria presentada per:
Xavier Balagué Boldú
opta al títol de Doctor

Tesi Doctoral dirigida pels doctors:
Dr. Joan Albert López Bustins i Dr. Javier Martín Vide

Tesi Doctoral tutoritzada per:
Dr. Javier Martín Vide

Universitat de Barcelona

Índex

Índex **i**

A Resultats model AWI-CM **7**

A.1 Necessitats de climatització estacions meteorològiques 7

A.1.1 C6 - Castellnou de Seana 8

A.1.2 C7 - Tàrrega 10

A.1.3 C8 - Cervera 12

A.1.4 C9 - Mas de Barberans 14

A.1.5 CC - Orís 16

A.1.6 CD - La Seu d'Urgell - Bellestar 18

A.1.7 CE - Els Hostalets de Pierola 20

A.1.8 CG - Molló - Fabert 22

A.1.9 CI - Sant Pau de Segúries 24

A.1.10 CJ - Organyà 26

A.1.11 CL - Sant Salvador de Guardiola 28

A.1.12 CP - Sant Romà d'Abella 30

A.1.13 CQ - Vilanova de Meià 32

A.1.14 CR - La Quar 34

A.1.15 CT - El Pont de Suert 36

A.1.16 CU - Vielha 38

A.1.17 CW - L'Espluga de Francolí 40

A.1.18 CY - Muntanyola 40

A.1.19 D1 - Margalef 43

A.1.20 D2 - Vacarisses 45

A.1.21 D3 - Vallirana 47

A.1.22 D4 - Roses 49

A.1.23 D5 - Barcelona - Observatori Fabra 51

A.1.24 D6 - Portbou 53

A.1.25 D7 - Vinebre 55

A.1.26 D8 - Horta de Sant Joan 57

A.1.27 D9 - El Vendrell 59

A.1.28 DB - El Perelló 61

A.1.29 DF - La Bisbal d'Empordà 63

A.1.30 DG - Núria (1.971 m) 65

A.1.31 DI - Font-rubí 67

A.1.32 DJ - Banyoles 69

A.1.33 DK - Torredembarra 71

A.1.34 DL - Illa de Buda 73

A.1.35 R1 - El Pont de Vilomara 75

A.1.36 U1 - Cabanes . . . 77
A.1.37 U2 - Sant Pere Pescador . . . 79
A.1.38 U3 - Sant Martí Sarroca . . . 81
A.1.39 U4 - Castellnou de Bages . . . 83
A.1.40 U6 - Vinyols i els Arcs . . . 85
A.1.41 U7 - Aldover . . . 87
A.1.42 U9 - L'Aldea . . . 89
A.1.43 UA - L'Ametlla de Mar . . . 91
A.1.44 UB - La Tallada d'Empordà . . . 93
A.1.45 UC - Monells . . . 95
A.1.46 UE - Torroella de Montgrí . . . 97
A.1.47 UF - PN el Garraf - el Rascler . . . 99
A.1.48 UG - Viladecans . . . 101
A.1.49 UH - El Montmell . . . 103
A.1.50 UI - Gisclareny . . . 105
A.1.51 UJ - Santa Coloma de Queralt . . . 107
A.1.52 UK - Sant Pere de Ribes - PN el Garraf . . . 109
A.1.53 UM - La Granadella . . . 111
A.1.54 UN - Cassà de la Selva . . . 113
A.1.55 UO - Fornells de la Selva . . . 115
A.1.56 UP - Cabrils . . . 117
A.1.57 UQ - Dosrius - PN Montnegre i el Corredor . . . 119
A.1.58 US - Alcanar . . . 122
A.1.59 UU - Amposta . . . 124
A.1.60 UW - Els Afacs . . . 126
A.1.61 UX - Ulldecona . . . 128
A.1.62 UY - Os de Balaguer - Monestir de les Avellanes . . . 130
A.1.63 V1 - Vallfogona de Balaguer . . . 133
A.1.64 V3 - Gurb . . . 135
A.1.65 V4 - Montesquiu . . . 137
A.1.66 V5 - Perafita . . . 139
A.1.67 V8 - El Poal . . . 141
A.1.68 VA - Ascó . . . 143
A.1.69 VB - Benissanet . . . 145
A.1.70 VC - Pantà de Riba-roja . . . 147
A.1.71 VD - El Canós . . . 149
A.1.72 VE - Aitona . . . 151
A.1.73 VH - Gimenells . . . 153
A.1.74 VK - Raimat . . . 155
A.1.75 VN - Vilobí d'Onyar . . . 157
A.1.76 VO - Lladurs . . . 159
A.1.77 VP - Pinós . . . 161
A.1.78 VQ - Constantí . . . 163
A.1.79 VS - Lac Redon . . . 165
A.1.80 VU - Rellinars . . . 167
A.1.81 VV - Sant Llorenç Savall . . . 169
A.1.82 VX - Tagamanent - PN del Montseny . . . 171
A.1.83 VY - Nulles . . . 173
A.1.84 VZ - Espolla . . . 175

A.1.85 W1 - Castelló d'Empuries . . . 177
A.1.86 W4 - La Granada . . . 179
A.1.87 W5 - Oliana . . . 181
A.1.88 W6 - Riudoms . . . 183
A.1.89 W8 - Blancafort . . . 185
A.1.90 W9 - La Vall d'en Bas . . . 187
A.1.91 WB - Albesa . . . 189
A.1.92 WD - Batea . . . 191
A.1.93 WE - Vilanova del Vallès . . . 193
A.1.94 WI - Maials . . . 195
A.1.95 WJ - El Masroig . . . 197
A.1.96 WK - Alfarràs . . . 199
A.1.97 Z1 - Bonaigua (2.266 m) . . . 201
A.1.98 Z2 - Boí (2.535 m) . . . 203
A.1.99 Z3 - Malniu (2.230 m) . . . 205
A.1.100Z5 - Certascan (2.400 m) . . . 207
A.2 Regionalització Necessitats de climatització . . . 209
A.2.1 Gener . . . 209
A.2.2 Febrer . . . 211
A.2.3 Març . . . 213
A.2.4 Abril . . . 215
A.2.5 Maig . . . 217
A.2.6 Juny . . . 219
A.2.7 Juliol . . . 221
A.2.8 Agost . . . 223
A.2.9 Setembre . . . 225
A.2.10 Octubre . . . 227
A.2.11 Novembre . . . 229
A.2.12 Desembre . . . 231
A.2.13 Anual . . . 233

B Resultats model MPI-ESM1 **237**
B.1 Necessitats de climatització estacions meteorològiques . . . 237
B.1.1 C6 - Castellnou de Seana . . . 238
B.1.2 C7 - Tàrrega . . . 240
B.1.3 C8 - Cervera . . . 242
B.1.4 C9 - Mas de Barberans . . . 244
B.1.5 CC - Orís . . . 246
B.1.6 CD - La Seu d'Urgell - Bellestar . . . 248
B.1.7 CE - Els Hostalets de Pierola . . . 250
B.1.8 CG - Molló - Fabert . . . 252
B.1.9 CI - Sant Pau de Segúries . . . 254
B.1.10 CJ - Organyà . . . 256
B.1.11 CL - Sant Salvador de Guardiola . . . 258
B.1.12 CP - Sant Romà d'Abella . . . 260
B.1.13 CQ - Vilanova de Meià . . . 262
B.1.14 CR - La Quar . . . 264
B.1.15 CT - El Pont de Suert . . . 266
B.1.16 CU - Vielha . . . 268

B.1.17 CW - L'Espluga de Francolí . . . 270
B.1.18 CY - Muntanyola . . . 270
B.1.19 D1 - Margalef . . . 273
B.1.20 D2 - Vacarisses . . . 275
B.1.21 D3 - Vallirana . . . 277
B.1.22 D4 - Roses . . . 279
B.1.23 D5 - Barcelona - Observatori Fabra . . . 281
B.1.24 D6 - Portbou . . . 283
B.1.25 D7 - Vinebre . . . 285
B.1.26 D8 - Horta de Sant Joan . . . 287
B.1.27 D9 - El Vendrell . . . 289
B.1.28 DB - El Perelló . . . 291
B.1.29 DF - La Bisbal d'Empordà . . . 293
B.1.30 DG - Núria (1.971 m) . . . 295
B.1.31 DI - Font-rubí . . . 297
B.1.32 DJ - Banyoles . . . 299
B.1.33 DK - Torredembarra . . . 301
B.1.34 DL - Illa de Buda . . . 303
B.1.35 R1 - El Pont de Vilomara . . . 305
B.1.36 U1 - Cabanes . . . 307
B.1.37 U2 - Sant Pere Pescador . . . 309
B.1.38 U3 - Sant Martí Sarroca . . . 311
B.1.39 U4 - Castellnou de Bages . . . 313
B.1.40 U6 - Vinyols i els Arcs . . . 315
B.1.41 U7 - Aldover . . . 317
B.1.42 U9 - L'Aldea . . . 319
B.1.43 UA - L'Ametlla de Mar . . . 321
B.1.44 UB - La Tallada d'Empordà . . . 323
B.1.45 UC - Monells . . . 325
B.1.46 UE - Torroella de Montgrí . . . 327
B.1.47 UF - PN el Garraf - el Rascler . . . 329
B.1.48 UG - Viladecans . . . 331
B.1.49 UH - El Montmell . . . 333
B.1.50 UI - Gisclareny . . . 335
B.1.51 UJ - Santa Coloma de Queralt . . . 337
B.1.52 UK - Sant Pere de Ribes - PN el Garraf . . . 339
B.1.53 UM - La Granadella . . . 341
B.1.54 UN - Cassà de la Selva . . . 343
B.1.55 UO - Fornells de la Selva . . . 345
B.1.56 UP - Cabrils . . . 347
B.1.57 UQ - Dosrius - PN Montnegre i el Corredor . . . 349
B.1.58 US - Alcanar . . . 352
B.1.59 UU - Amposta . . . 354
B.1.60 UW - Els Afacs . . . 356
B.1.61 UX - Ulldecona . . . 358
B.1.62 UY - Os de Balaguer - Monestir de les Avellanes . . . 360
B.1.63 V1 - Vallfogona de Balaguer . . . 363
B.1.64 V3 - Gurb . . . 365
B.1.65 V4 - Montesquiu . . . 367

B.1.66 V5 - Perafita . . . 369
B.1.67 V8 - El Poal . . . 371
B.1.68 VA - Ascó . . . 373
B.1.69 VB - Benissanet . . . 375
B.1.70 VC - Pantà de Riba-roja . . . 377
B.1.71 VD - El Canós . . . 379
B.1.72 VE - Aitona . . . 381
B.1.73 VH - Gimenells . . . 383
B.1.74 VK - Raimat . . . 385
B.1.75 VN - Vilobí d'Onyar . . . 387
B.1.76 VO - Lladurs . . . 389
B.1.77 VP - Pinós . . . 391
B.1.78 VQ - Constantí . . . 393
B.1.79 VS - Lac Redon . . . 395
B.1.80 VU - Rellinars . . . 397
B.1.81 VV - Sant Llorenç Savall . . . 399
B.1.82 VX - Tagamanent - PN del Montseny . . . 401
B.1.83 VY - Nulles . . . 404
B.1.84 VZ - Espolla . . . 406
B.1.85 W1 - Castelló d'Empuries . . . 408
B.1.86 W4 - La Granada . . . 410
B.1.87 W5 - Oliana . . . 412
B.1.88 W6 - Riudoms . . . 414
B.1.89 W8 - Blancafort . . . 416
B.1.90 W9 - La Vall d'en Bas . . . 418
B.1.91 WB - Albesa . . . 420
B.1.92 WD - Batea . . . 422
B.1.93 WE - Vilanova del Vallès . . . 424
B.1.94 WI - Maials . . . 426
B.1.95 WJ - El Masroig . . . 428
B.1.96 WK - Alfarràs . . . 430
B.1.97 Z1 - Bonaigua (2.266 m) . . . 432
B.1.98 Z2 - Boí (2.535 m) . . . 434
B.1.99 Z3 - Malniu (2.230 m) . . . 436
B.1.100Z5 - Certascan (2.400 m) . . . 438
B.2 Regionalització Necessitats de climatització . . . 440
B.2.1 Gener . . . 440
B.2.2 Febrer . . . 442
B.2.3 Març . . . 444
B.2.4 Abril . . . 446
B.2.5 Maig . . . 448
B.2.6 Juny . . . 450
B.2.7 Juliol . . . 452
B.2.8 Agost . . . 454
B.2.9 Setembre . . . 456
B.2.10 Octubre . . . 458
B.2.11 Novembre . . . 460
B.2.12 Desembre . . . 462
B.2.13 Anual . . . 464

Apèndix A

Resultats model AWI-CM

A.1 Necessitats de climatització estacions meteorològiques

A.1.1 C6 - Castellnou de Seana

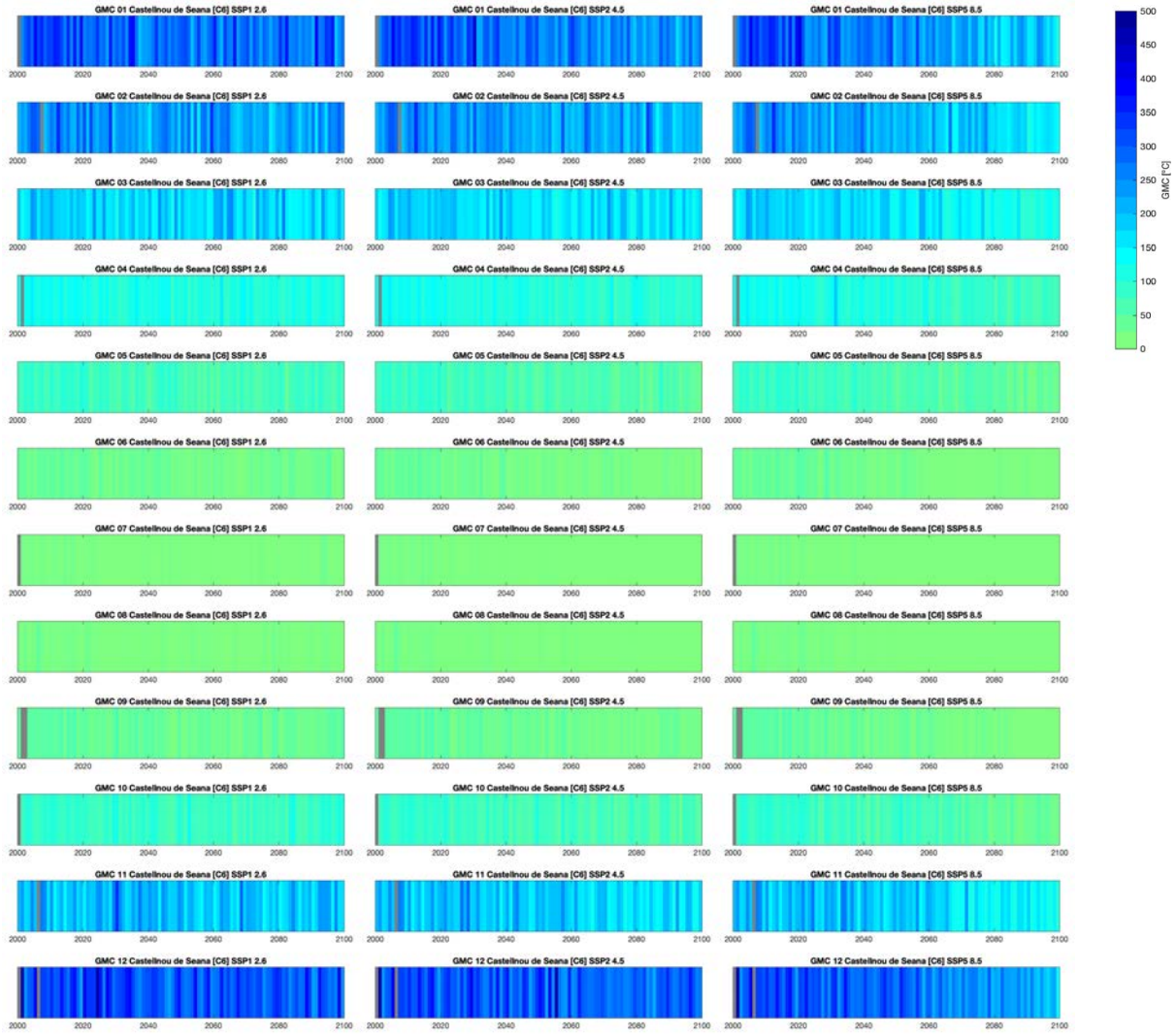

Figura A.1: Evolució dels graus-mes de calefacció (GMC) a l'estació C6- Castellnou de Seana, per als diferents escenaris [SSP1 2.6, SSP2 4.5 i SSP5 8.5] per al model climàtic AWI-CM.

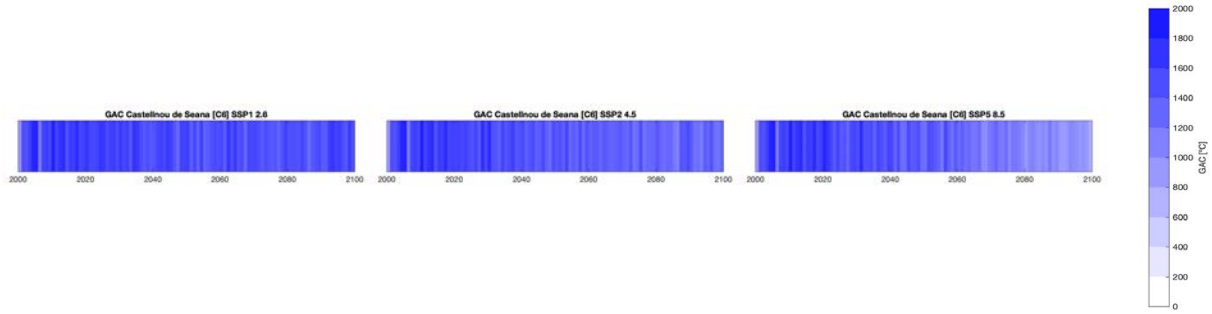

Figura A.2: Evolució dels graus-any de calefacció (GAC) a l'estació C6- Castellnou de Seana, per als diferents escenaris [SSP1 2.6, SSP2 4.5 i SSP5 8.5] per al model climàtic AWI-CM.

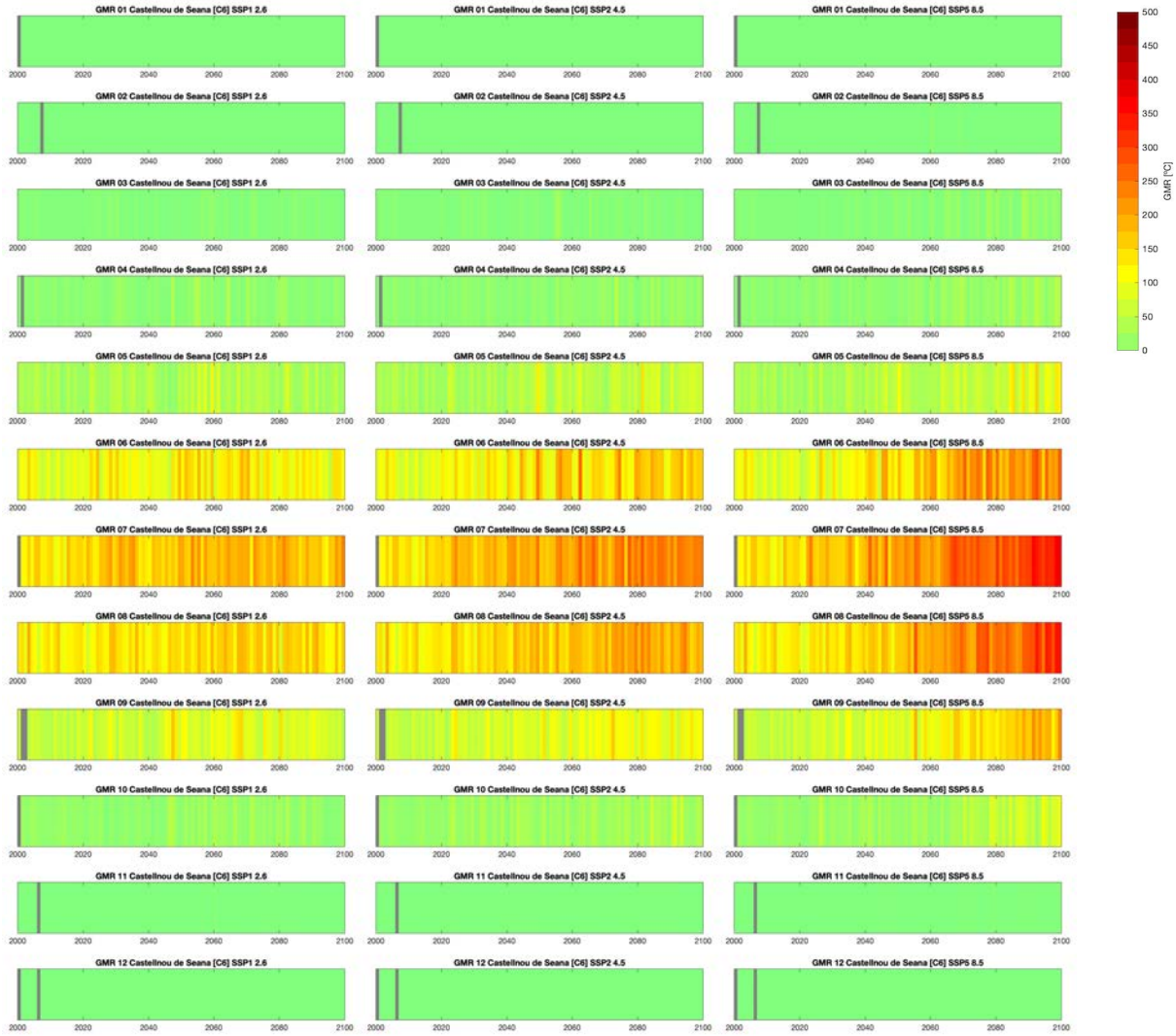

Figura A.3: Evolució dels graus-mes de refrigeració (GMR a l'estació C6- Castellnou de Seana, per als diferents escenaris [SSP1 2.6, SSP2 4.5 i SSP5 8.5] per al model climàtic AWI-CM.

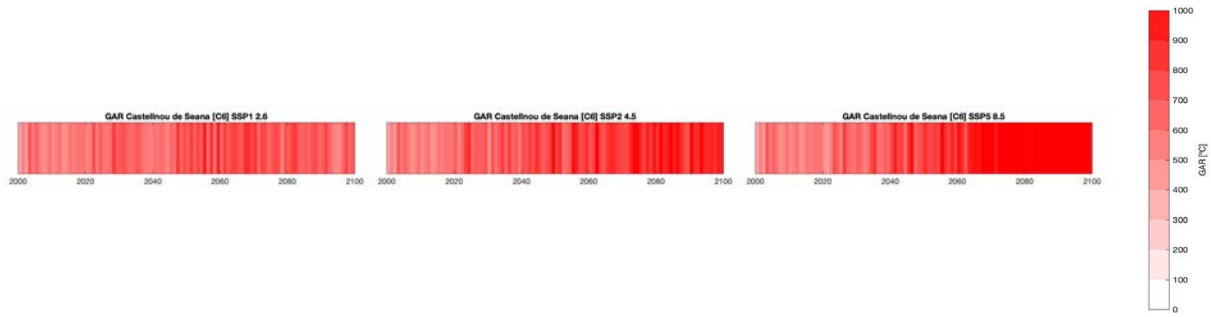

Figura A.4: Evolució dels graus-any de refrigeració (GAR a l'estació C6- Castellnou de Seana, per als diferents escenaris [SSP1 2.6, SSP2 4.5 i SSP5 8.5] per al model climàtic AWI-CM.

A.1.2 C7 - Tàrrega

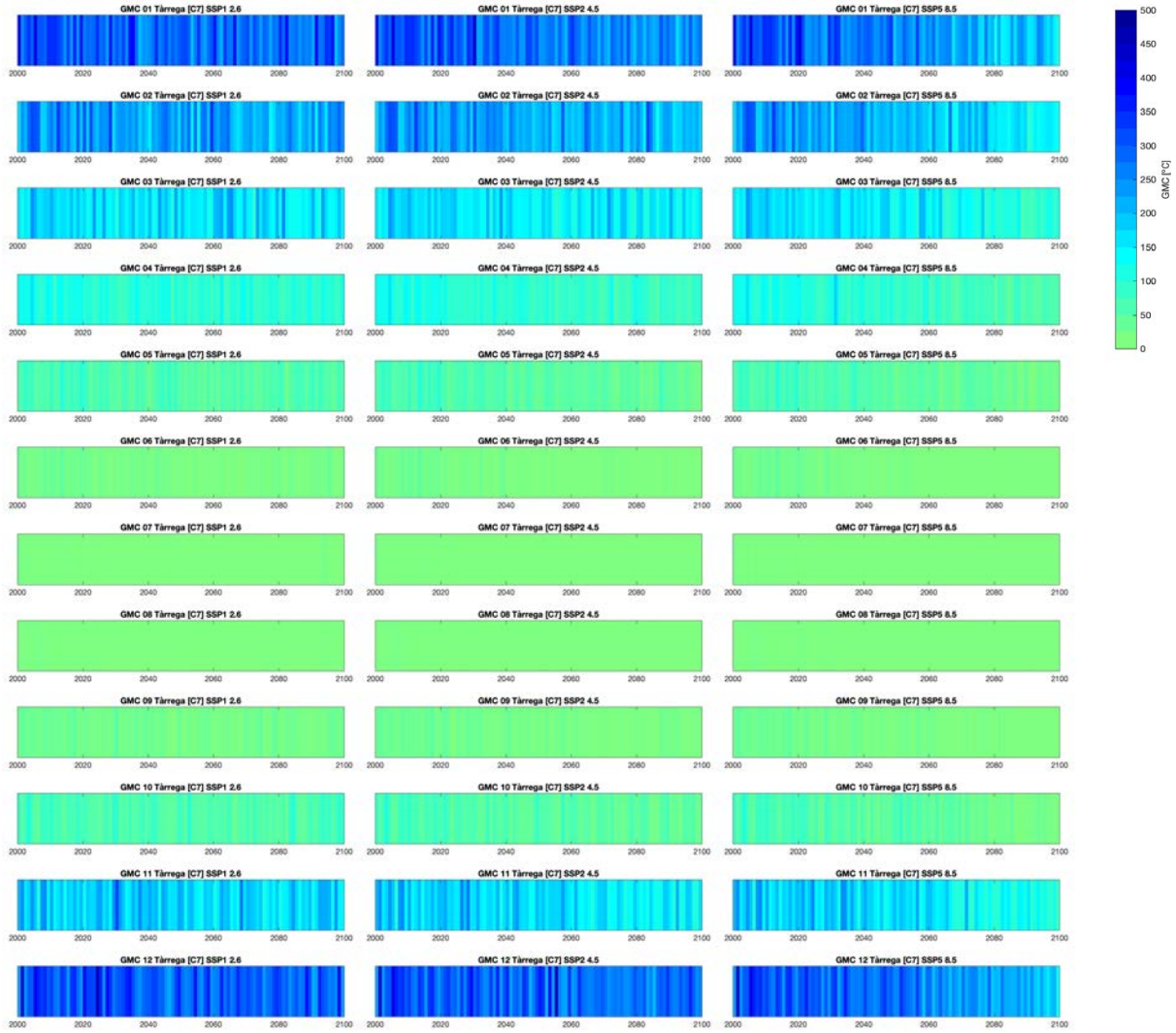

Figura A.5: Evolució dels graus-mes de calefacció (GMC) a l'estació C7- Tàrrega, per als diferents escenaris [SSP1 2.6, SSP2 4.5 i SSP5 8.5] per al model climàtic AWI-CM.

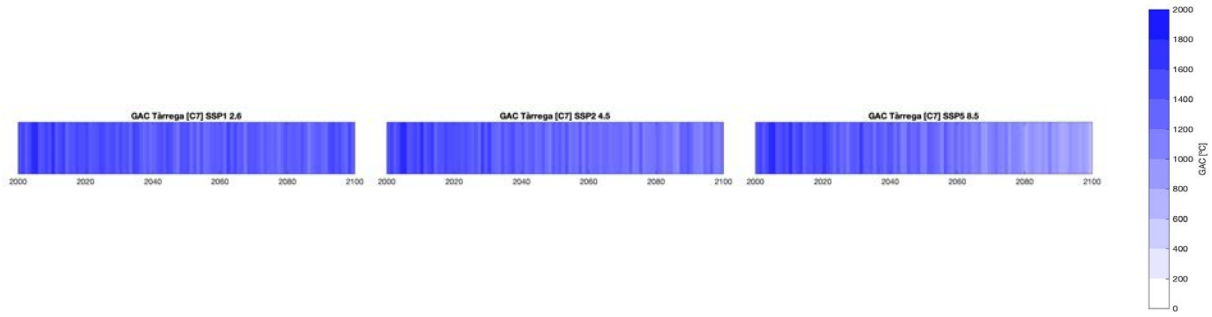

Figura A.6: Evolució dels graus-any de calefacció (GAC) a l'estació C7- Tàrrega, per als diferents escenaris [SSP1 2.6, SSP2 4.5 i SSP5 8.5] per al model climàtic AWI-CM.

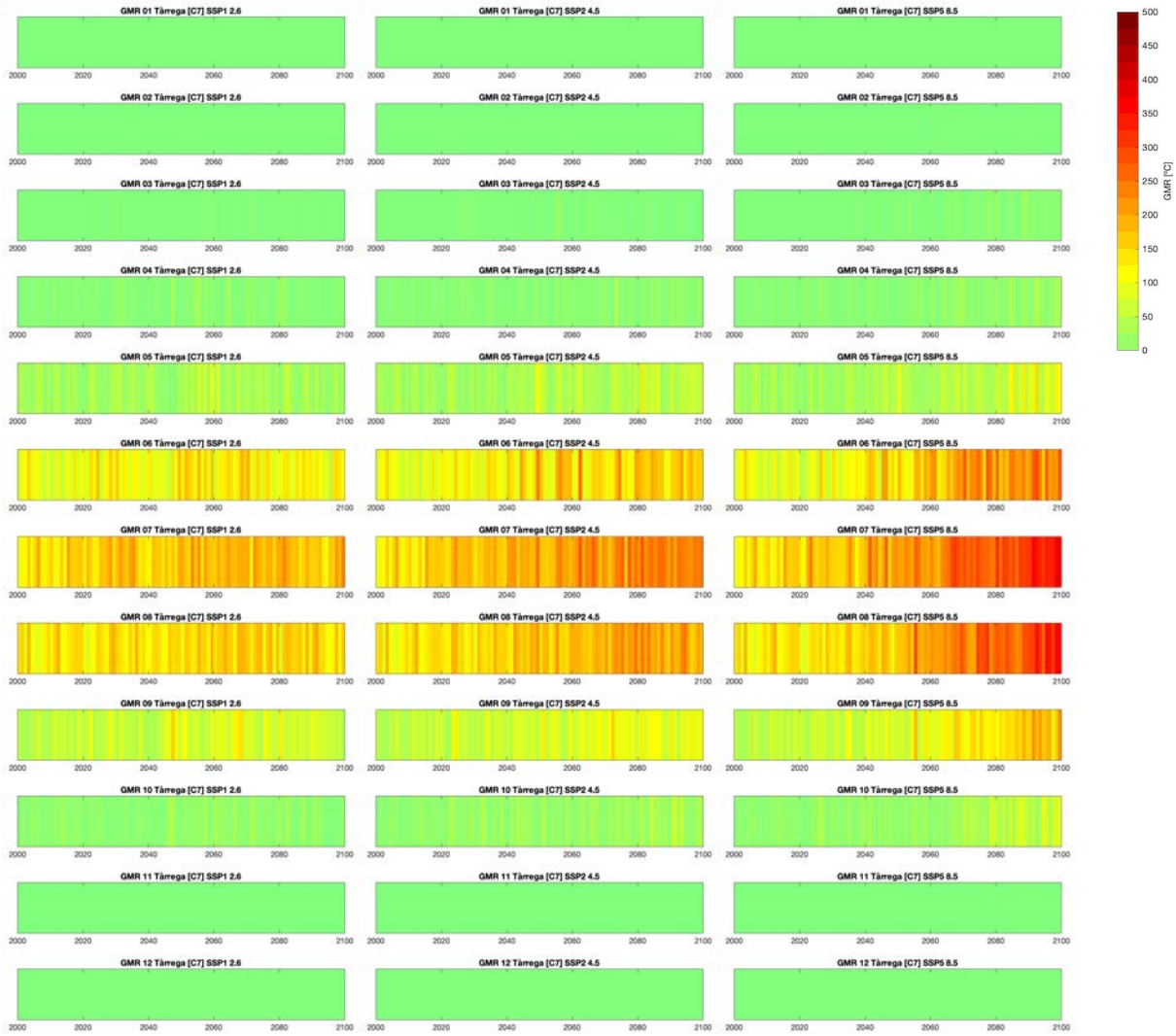

Figura A.7: Evolució dels graus-mes de refrigeració (GMR a l'estació C7- Tàrrega, per als diferents escenaris [SSP1 2.6, SSP2 4.5 i SSP5 8.5] per al model climàtic AWI-CM.

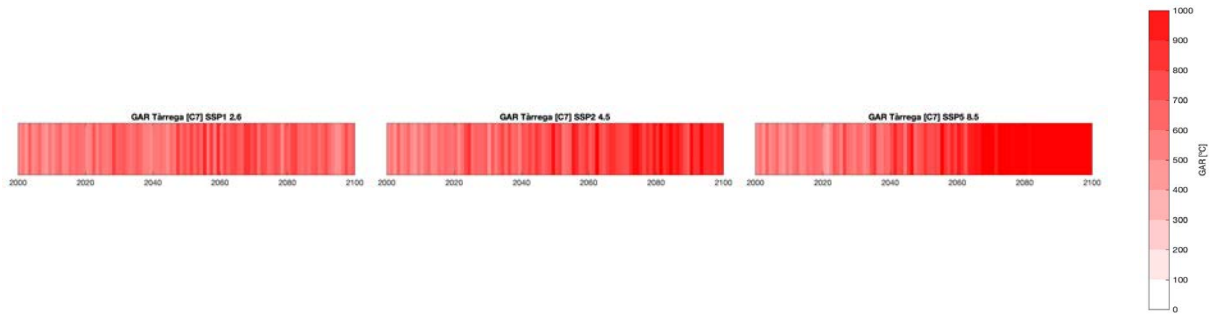

Figura A.8: Evolució dels graus-any de refrigeració (GAR a l'estació C7- Tàrrega, per als diferents escenaris [SSP1 2.6, SSP2 4.5 i SSP5 8.5] per al model climàtic AWI-CM.

A.1.3 C8 - Cervera

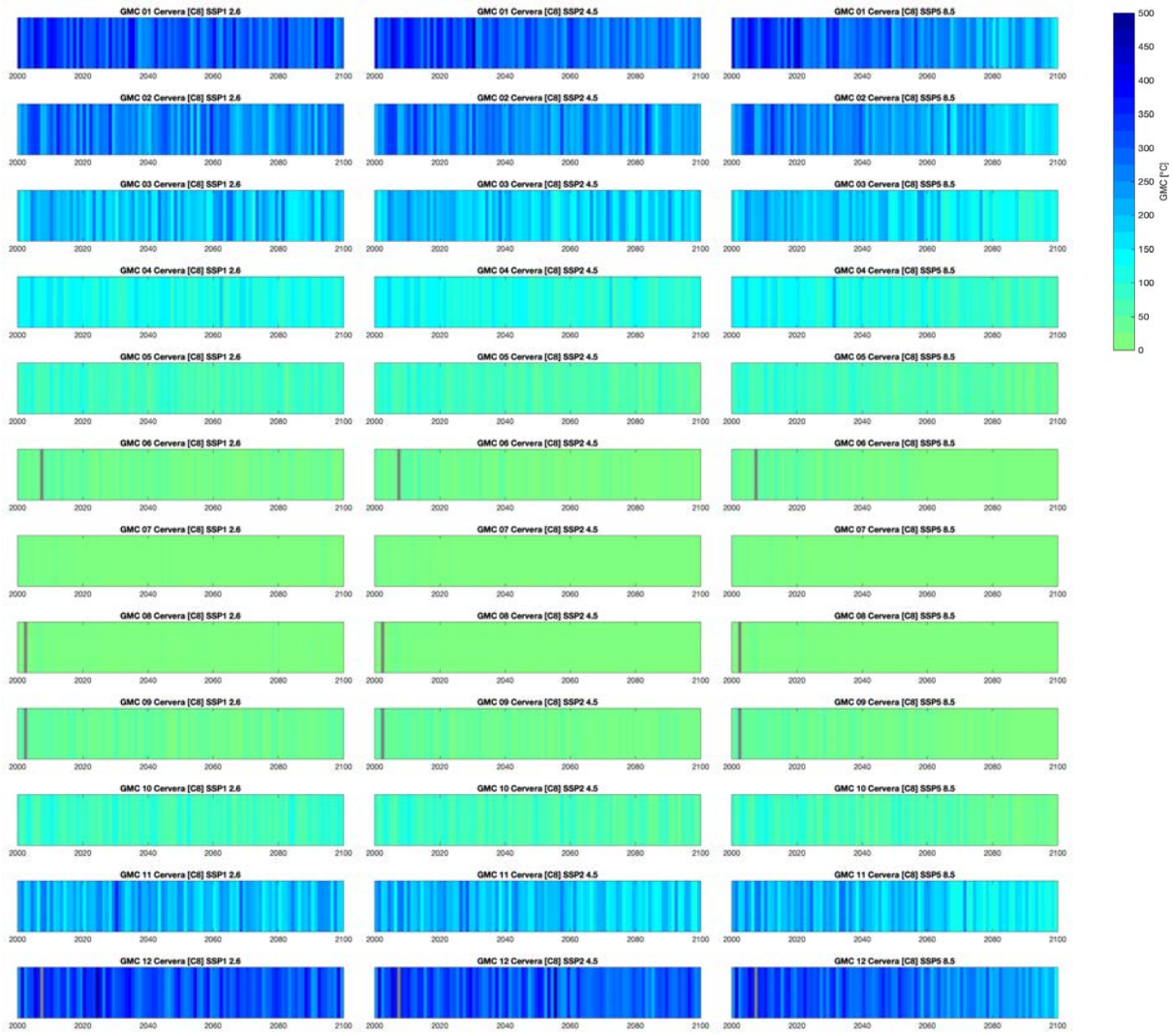

Figura A.9: Evolució dels graus-mes de calefacció (GMC) a l'estació C8- Cervera, per als diferents escenaris [SSP1 2.6, SSP2 4.5 i SSP5 8.5] per al model climàtic AWI-CM.

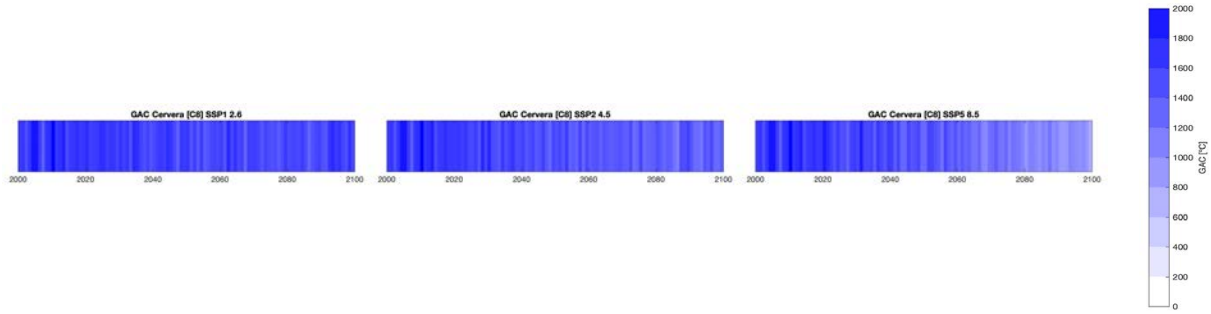

Figura A.10: Evolució dels graus-any de calefacció (GAC) a l'estació C8- Cervera, per als diferents escenaris [SSP1 2.6, SSP2 4.5 i SSP5 8.5] per al model climàtic AWI-CM.

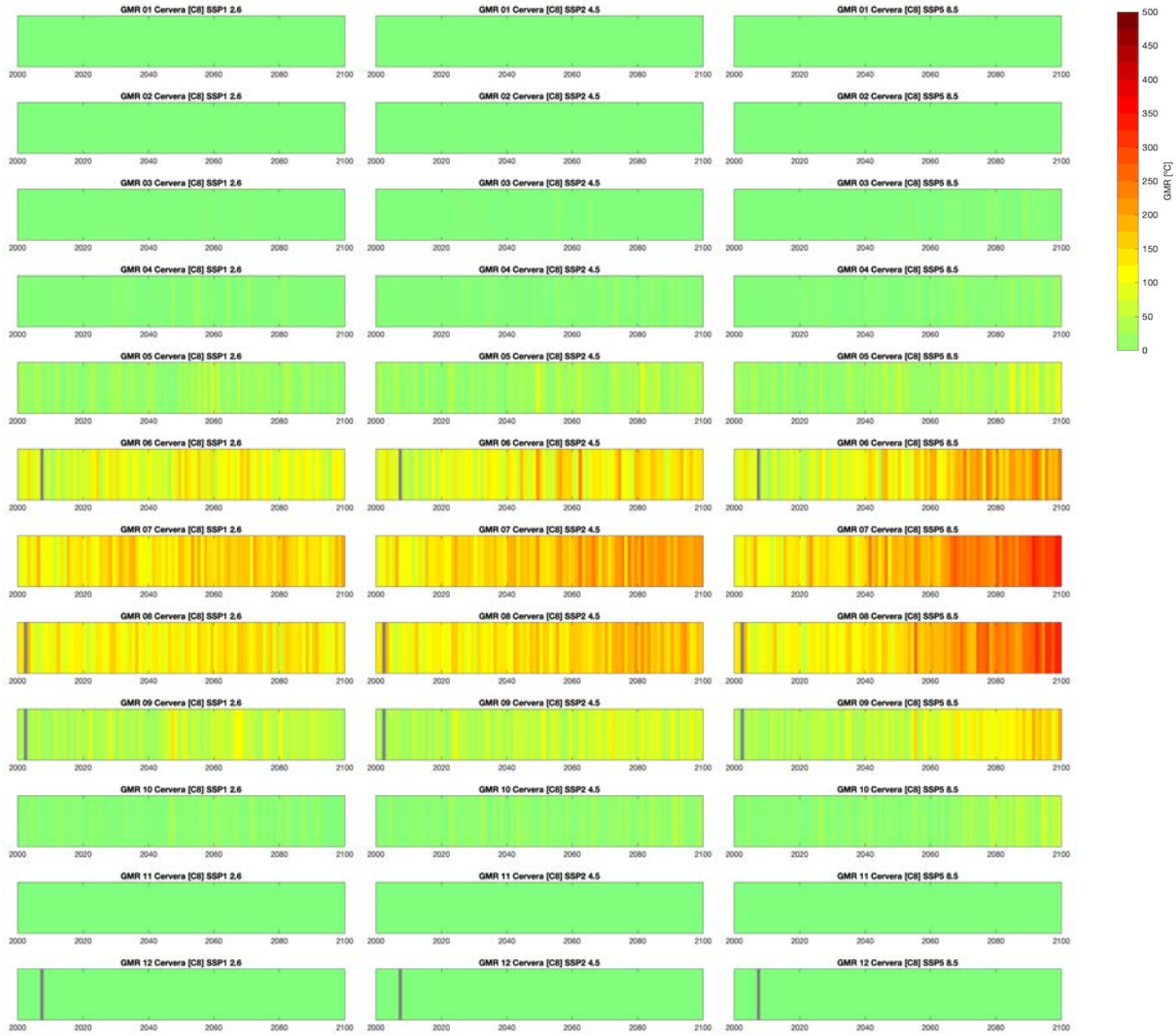

Figura A.11: Evolució dels graus-mes de refrigeració (GMR a l'estació C8- Cervera, per als diferents escenaris [SSP1 2.6, SSP2 4.5 i SSP5 8.5] per al model climàtic AWI-CM.

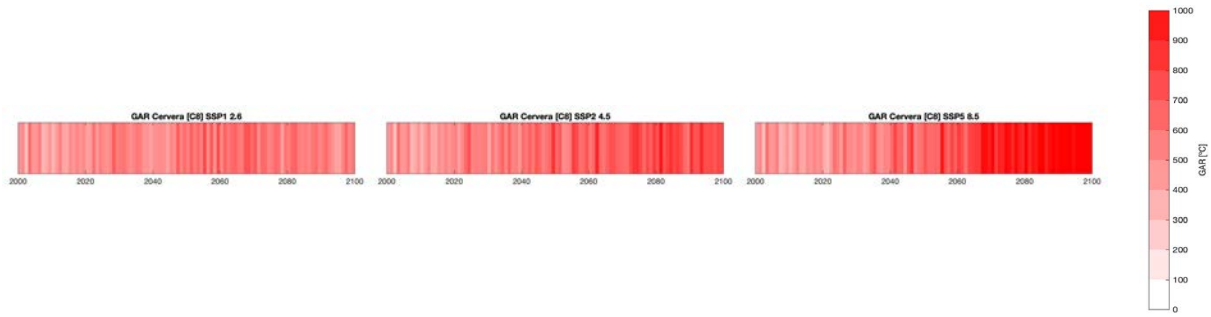

Figura A.12: Evolució dels graus-any de refrigeració (GAR a l'estació C8- Cervera, per als diferents escenaris [SSP1 2.6, SSP2 4.5 i SSP5 8.5] per al model climàtic AWI-CM.

A.1.4 C9 - Mas de Barberans

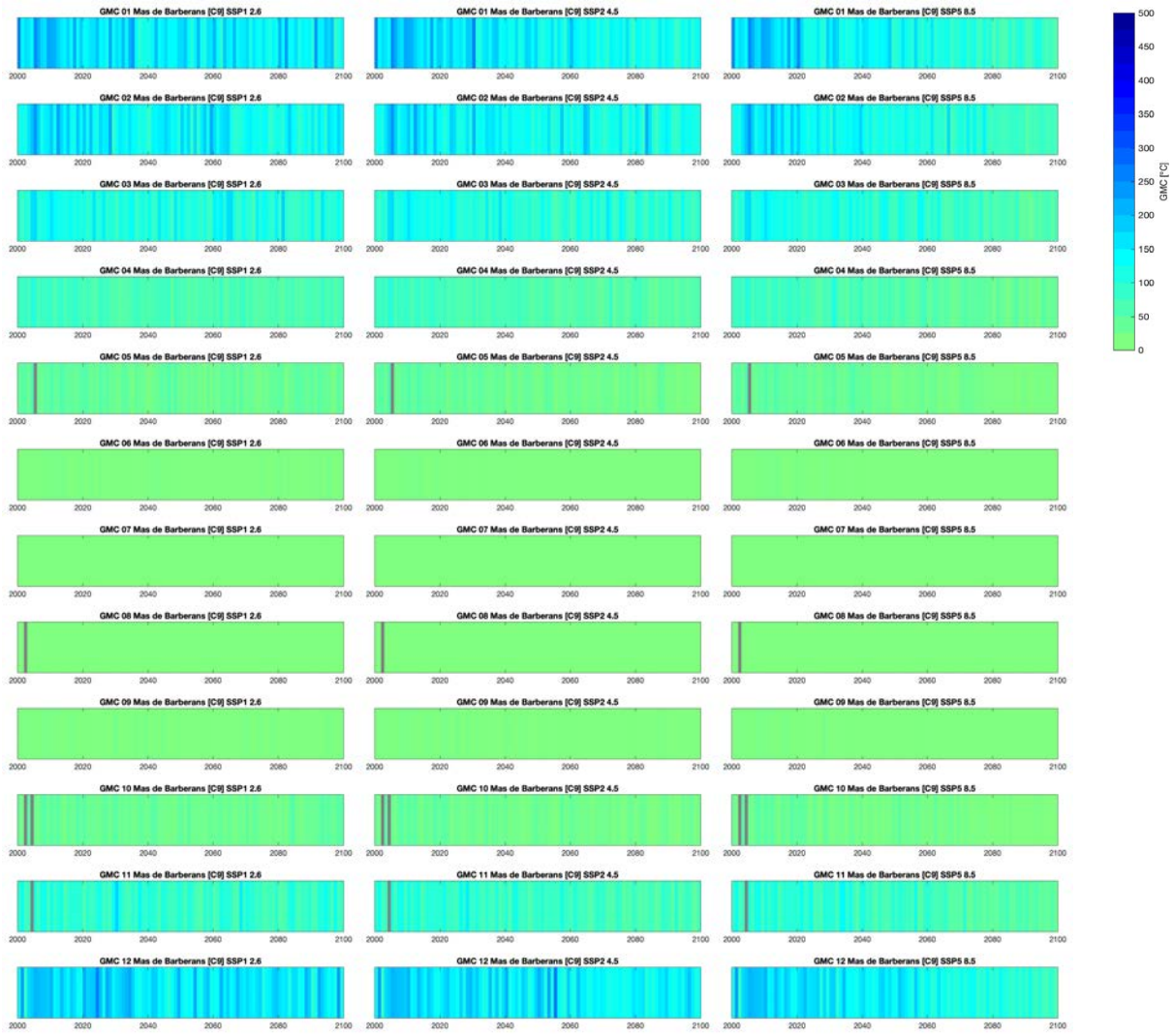

Figura A.13: Evolució dels graus-mes de calefacció (GMC) a l'estació C9- Mas de Barberans, per als diferents escenaris [SSP1 2.6, SSP2 4.5 i SSP5 8.5] per al model climàtic AWI-CM.

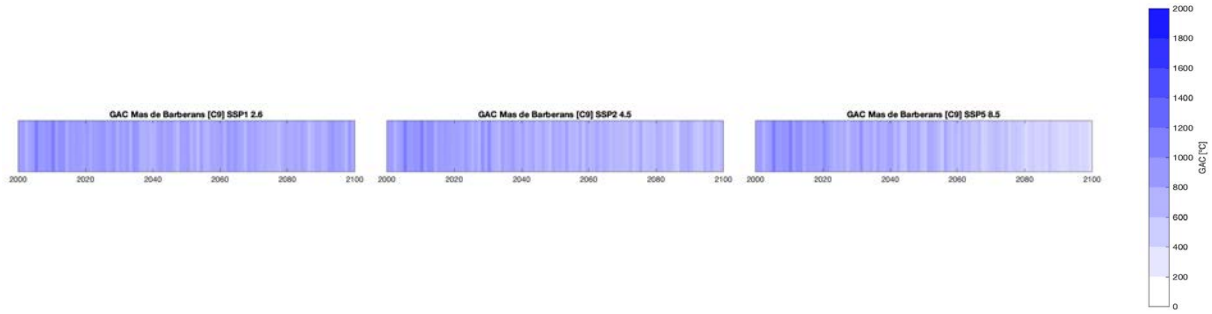

Figura A.14: Evolució dels graus-any de calefacció (GAC) a l'estació C9- Mas de Barberans, per als diferents escenaris [SSP1 2.6, SSP2 4.5 i SSP5 8.5] per al model climàtic AWI-CM.

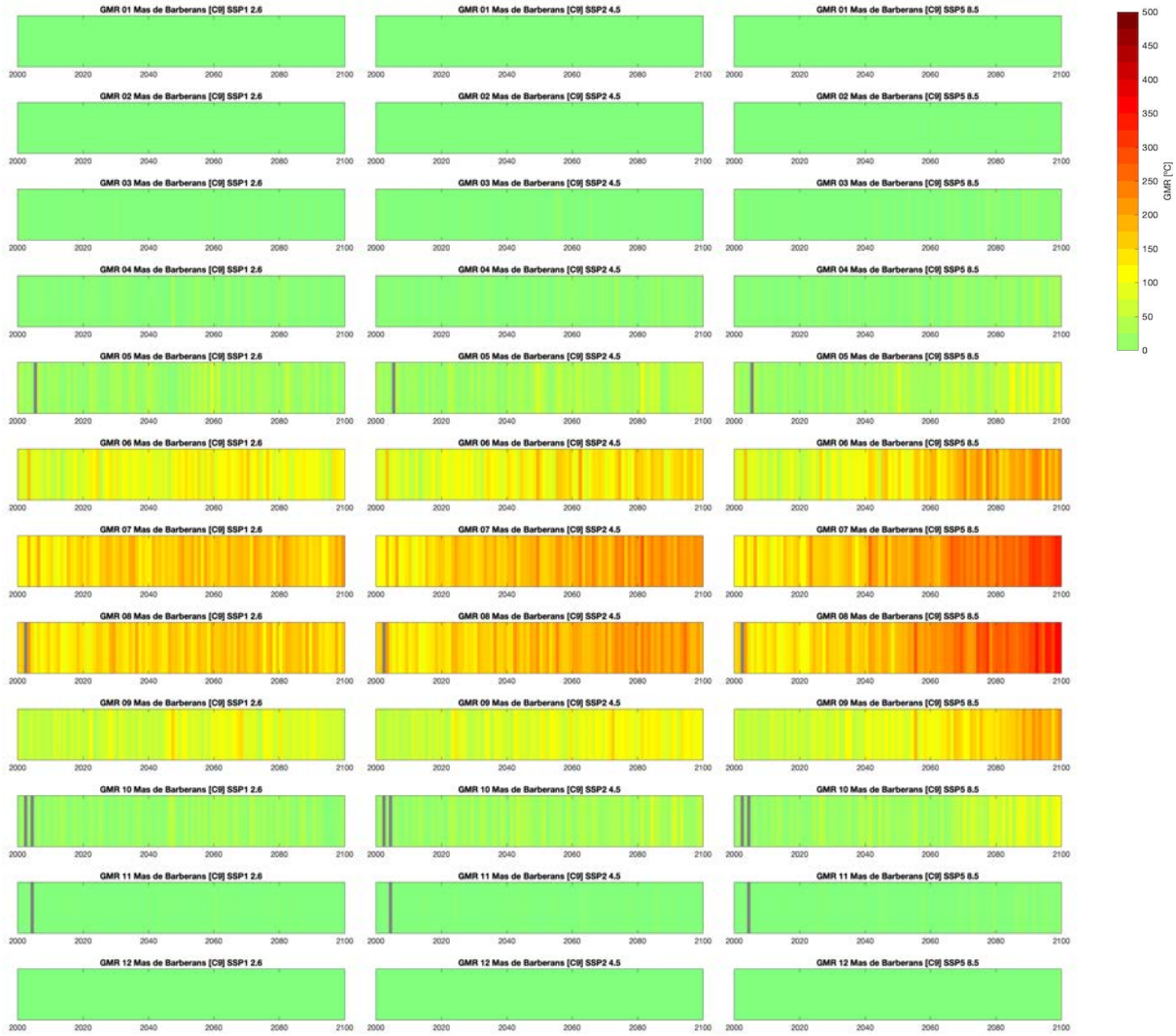

Figura A.15: Evolució dels graus-mes de refrigeració (GMR a l'estació C9- Mas de Barberans, per als diferents escenaris [SSP1 2.6, SSP2 4.5 i SSP5 8.5] per al model climàtic AWI-CM.

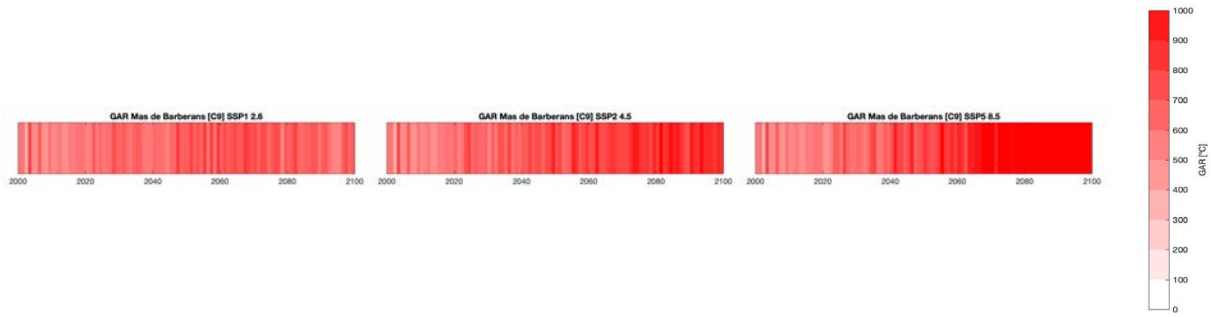

Figura A.16: Evolució dels graus-any de refrigeració (GAR a l'estació C9- Mas de Barberans, per als diferents escenaris [SSP1 2.6, SSP2 4.5 i SSP5 8.5] per al model climàtic AWI-CM.

A.1.5 CC - Orís

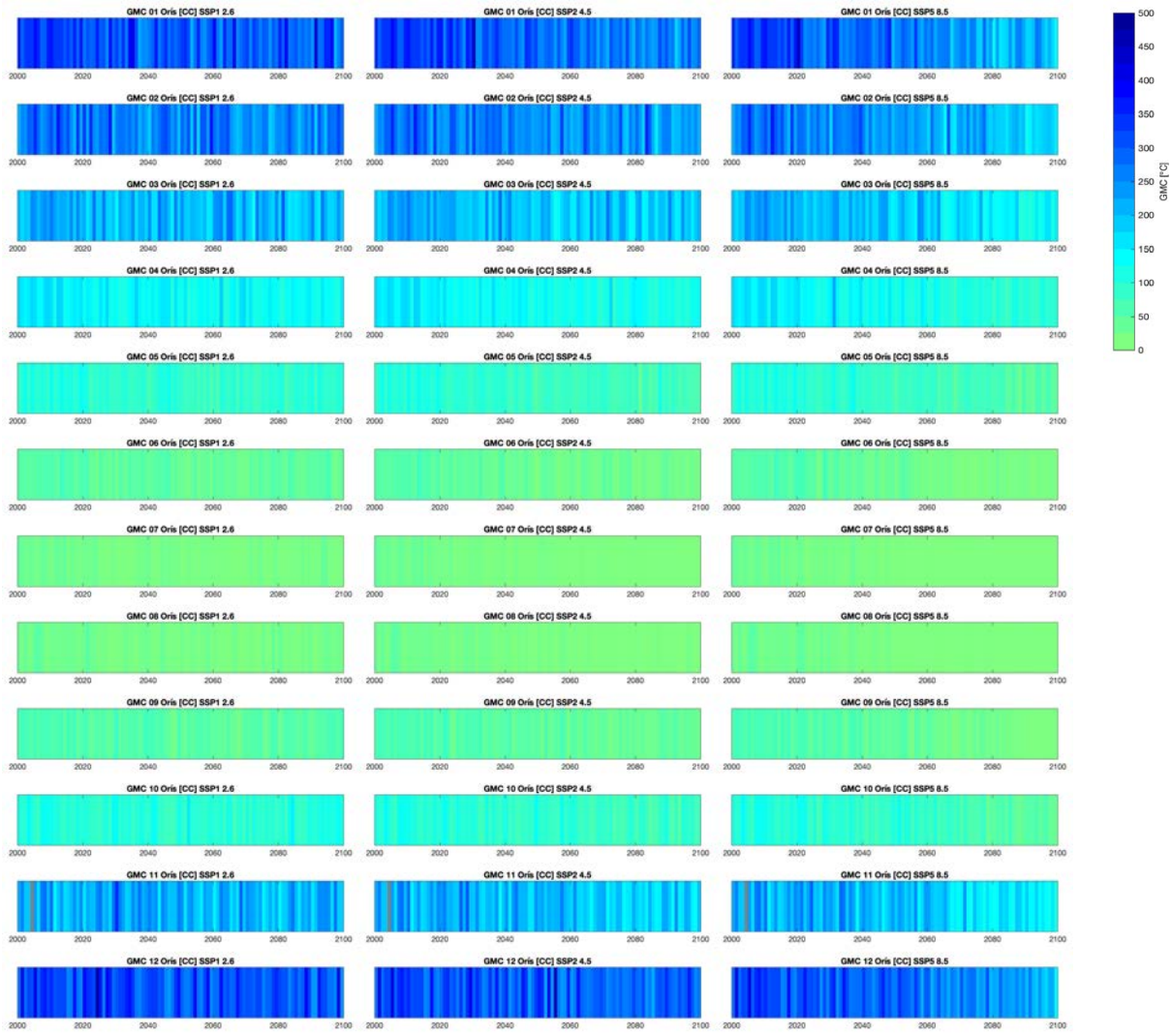

Figura A.17: Evolució dels graus-mes de calefacció (GMC) a l'estació CC- Orís, per als diferents escenaris [SSP1 2.6, SSP2 4.5 i SSP5 8.5] per al model climàtic AWI-CM.

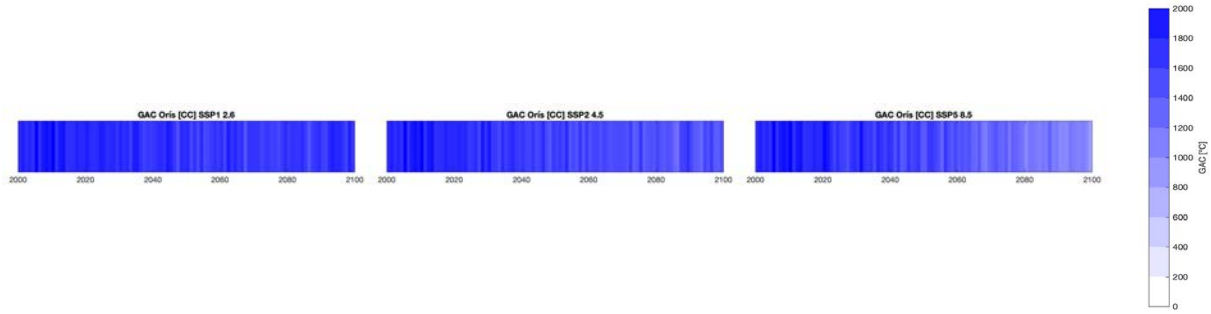

Figura A.18: Evolució dels graus-any de calefacció (GAC) a l'estació CC- Orís, per als diferents escenaris [SSP1 2.6, SSP2 4.5 i SSP5 8.5] per al model climàtic AWI-CM.

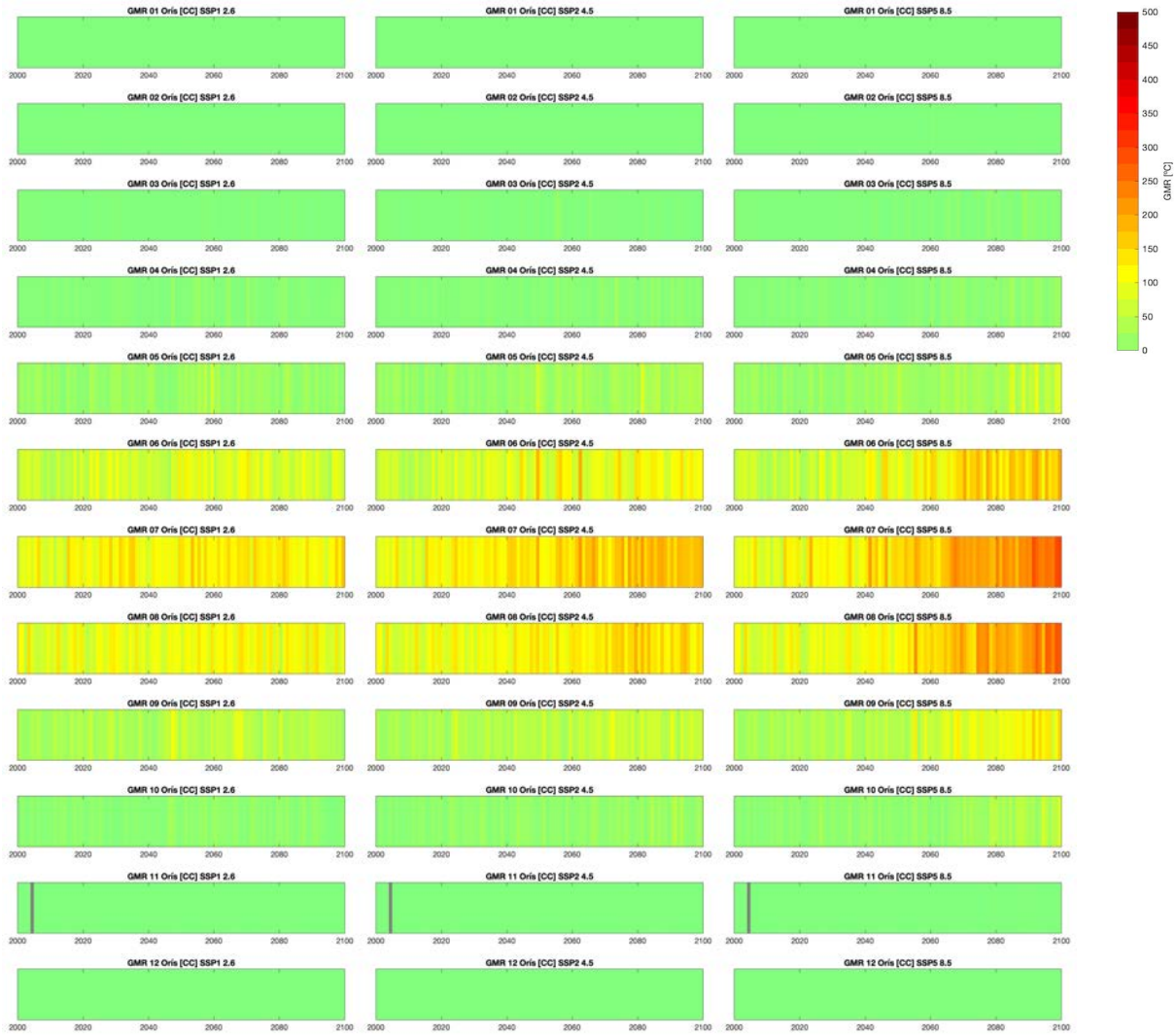

Figura A.19: Evolució dels graus-mes de refrigeració (GMR a l'estació CC- Orís, per als diferents escenaris [SSP1 2.6, SSP2 4.5 i SSP5 8.5] per al model climàtic AWI-CM.

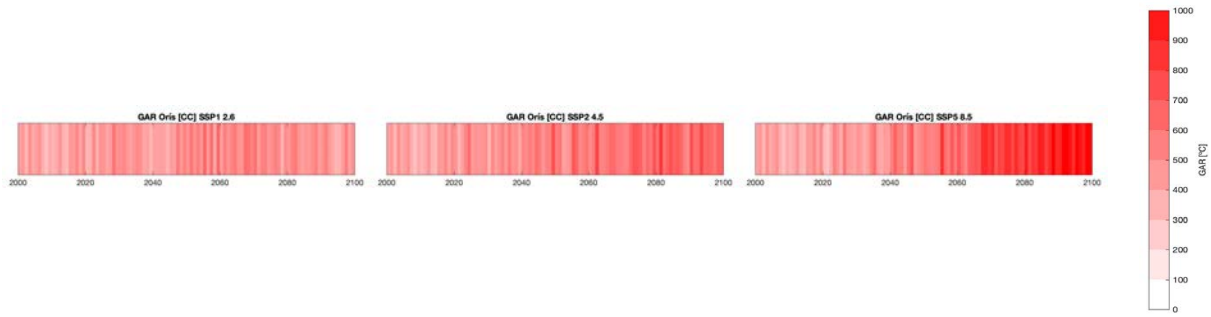

Figura A.20: Evolució dels graus-any de refrigeració (GAR a l'estació CC- Orís, per als diferents escenaris [SSP1 2.6, SSP2 4.5 i SSP5 8.5] per al model climàtic AWI-CM.

A.1.6 CD - La Seu d'Urgell - Bellestar

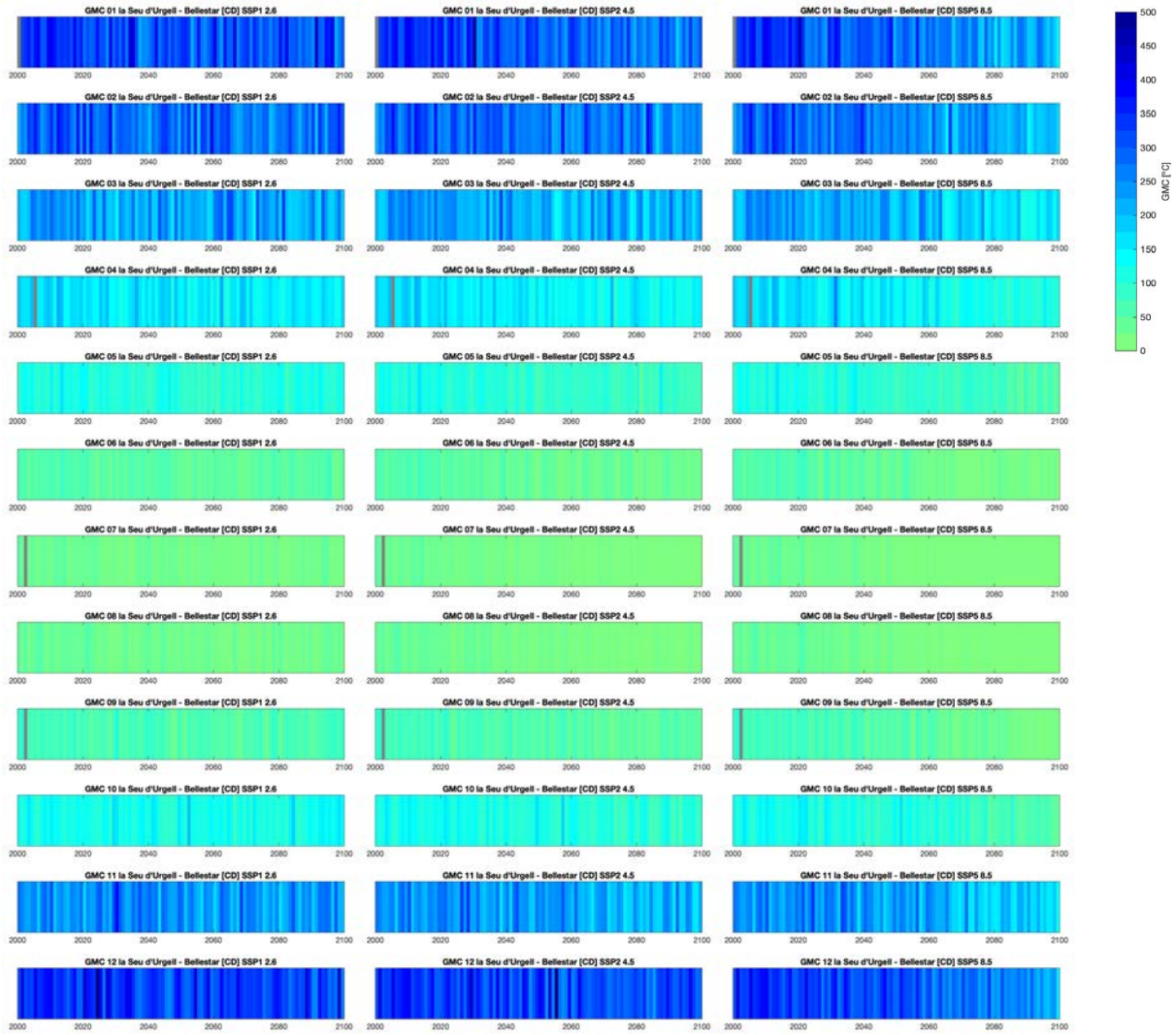

Figura A.21: Evolució dels graus-mes de calefacció (GMC) a l'estació CD- La Seu d'Urgell - Bellestar, per als diferents escenaris [SSP1 2.6, SSP2 4.5 i SSP5 8.5] per al model climàtic AWI-CM.

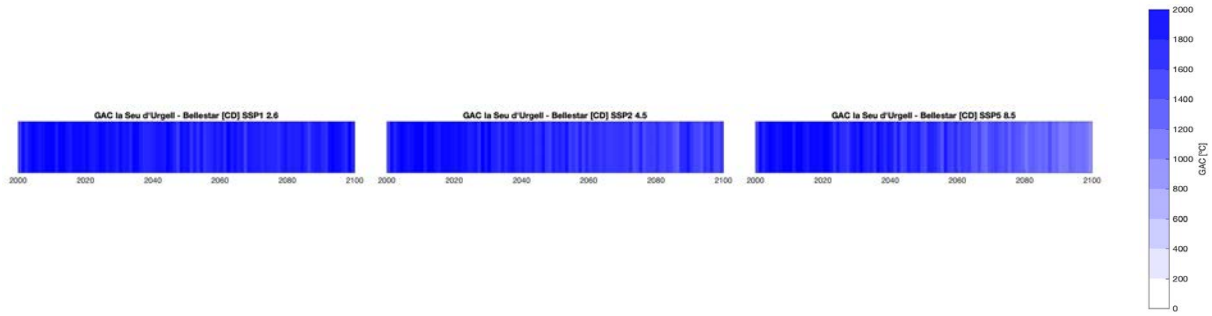

Figura A.22: Evolució dels graus-any de calefacció (GAC) a l'estació CD- La Seu d'Urgell - Bellestar, per als diferents escenaris [SSP1 2.6, SSP2 4.5 i SSP5 8.5] per al model climàtic AWI-CM.

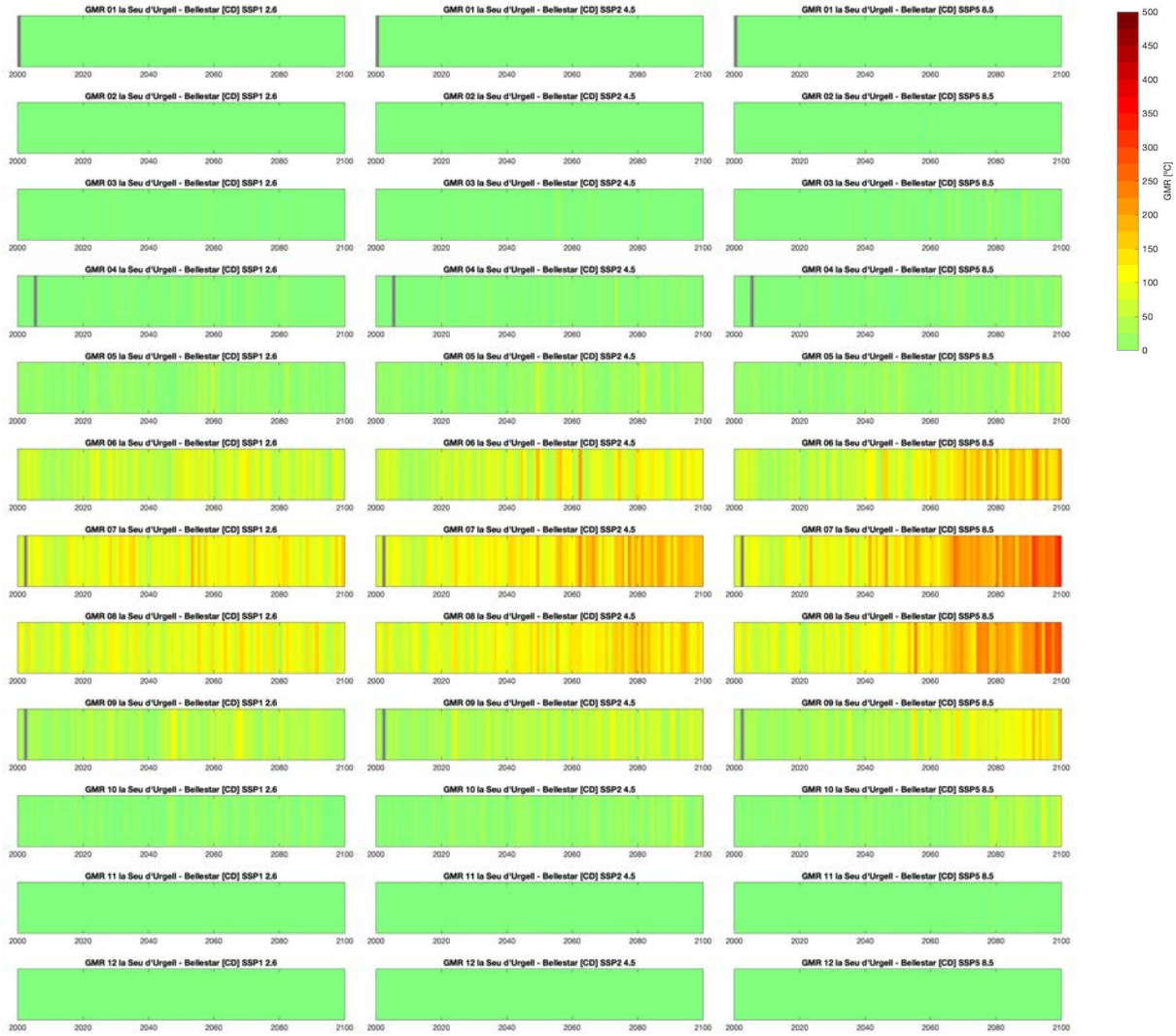

Figura A.23: Evolució dels graus-mes de refrigeració (GMR a l'estació CD- La Seu d'Urgell - Bellestar, per als diferents escenaris [SSP1 2.6, SSP2 4.5 i SSP5 8.5] per al model climàtic AWI-CM.

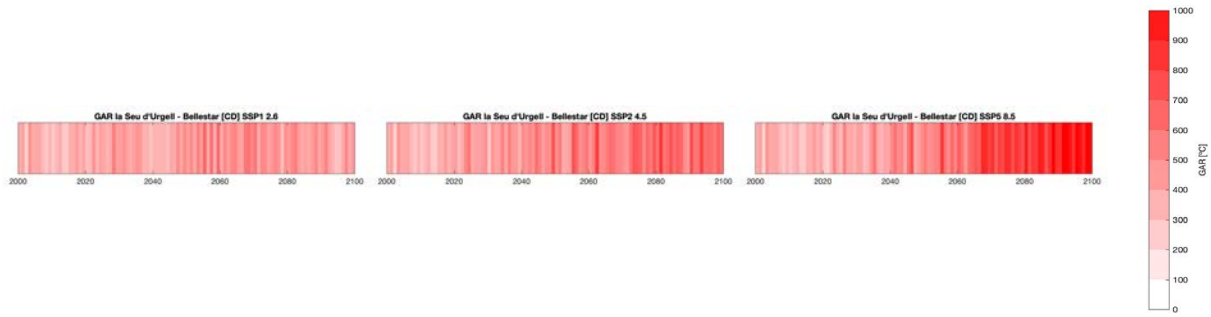

Figura A.24: Evolució dels graus-any de refrigeració (GAR a l'estació CD- La Seu d'Urgell - Bellestar, per als diferents escenaris [SSP1 2.6, SSP2 4.5 i SSP5 8.5] per al model climàtic AWI-CM.

A.1.7 CE - Els Hostalets de Pierola

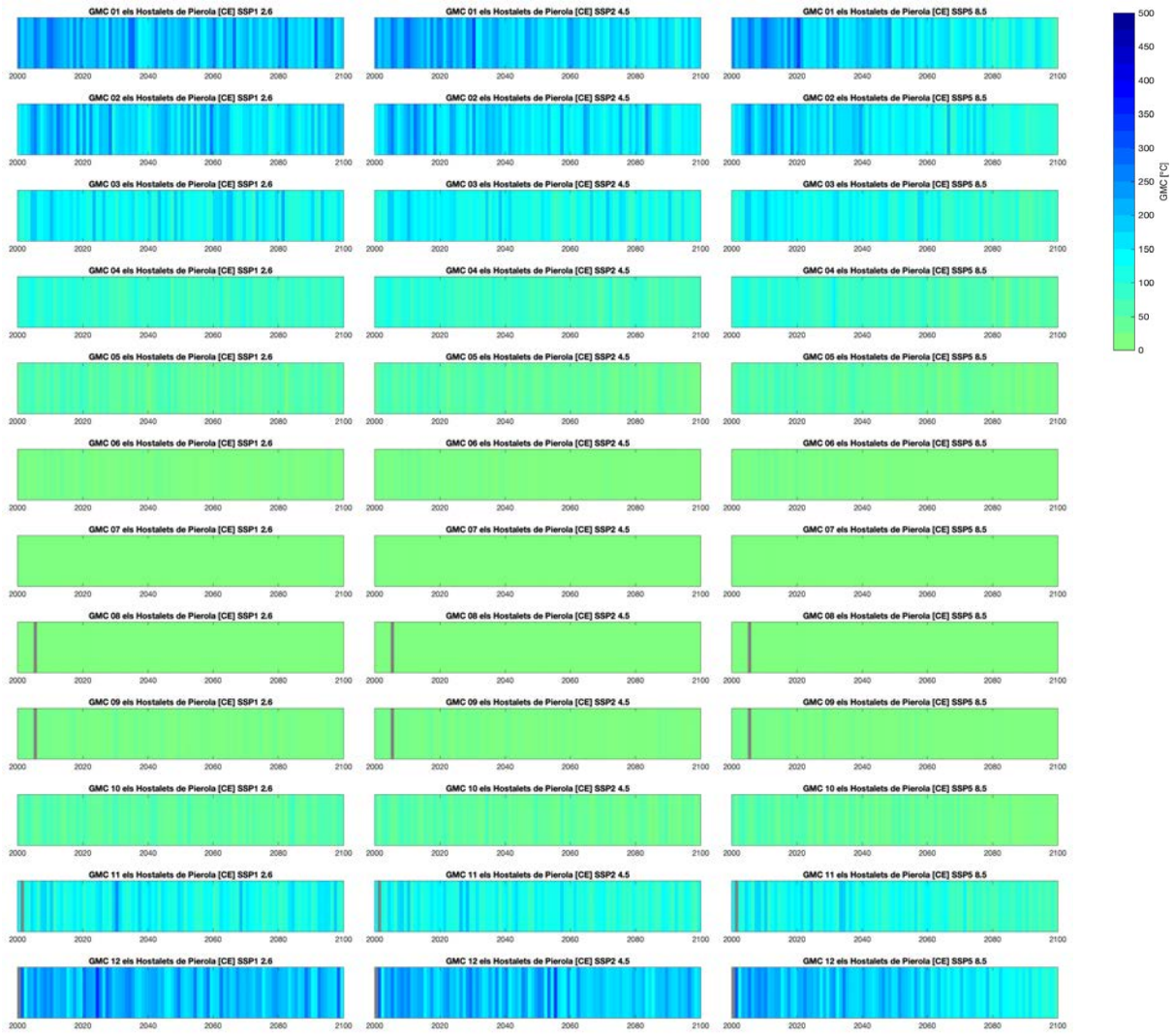

Figura A.25: Evolució dels graus-mes de calefacció (GMC) a l'estació CE- Els Hostalets de Pierola, per als diferents escenaris [SSP1 2.6, SSP2 4.5 i SSP5 8.5] per al model climàtic AWI-CM.

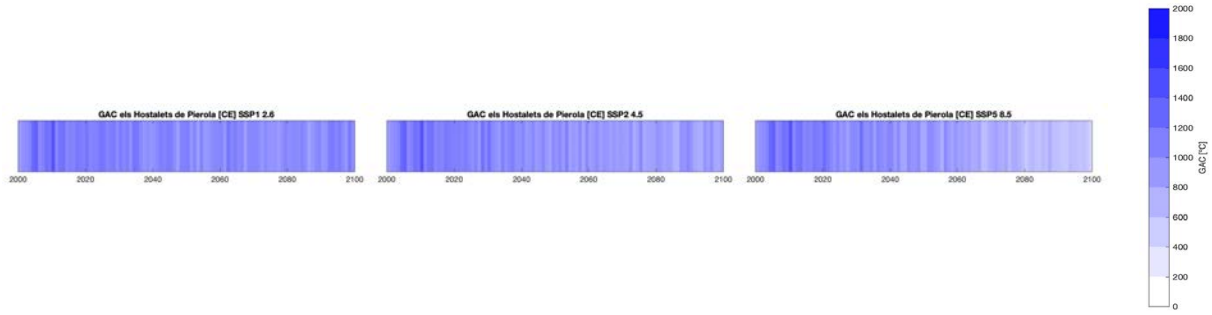

Figura A.26: Evolució dels graus-any de calefacció (GAC) a l'estació CE- Els Hostalets de Pierola, per als diferents escenaris [SSP1 2.6, SSP2 4.5 i SSP5 8.5] per al model climàtic AWI-CM.

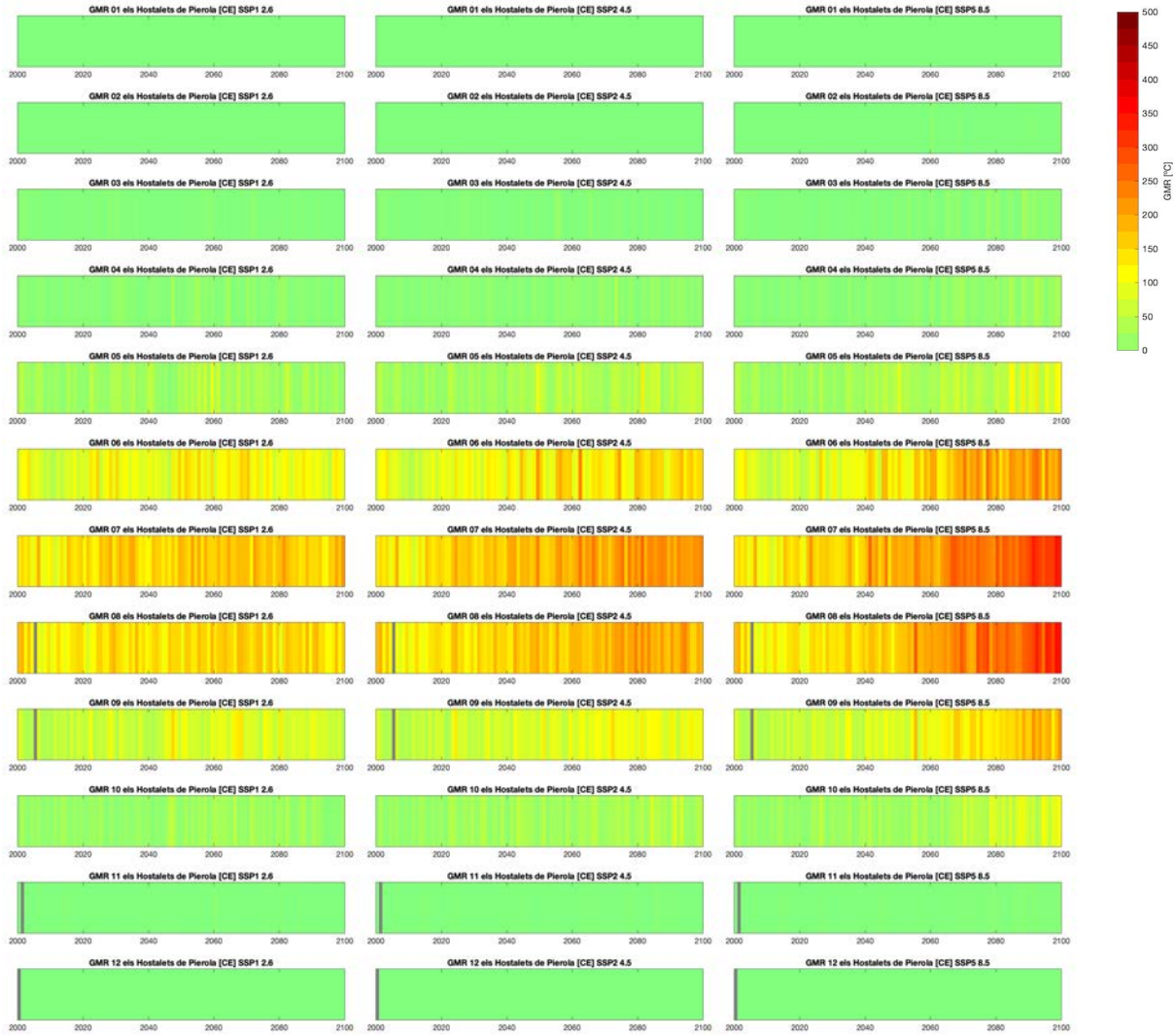

Figura A.27: Evolució dels graus-mes de refrigeració (GMR a l'estació CE- Els Hostalets de Pierola, per als diferents escenaris [SSP1 2.6, SSP2 4.5 i SSP5 8.5] per al model climàtic AWI-CM.

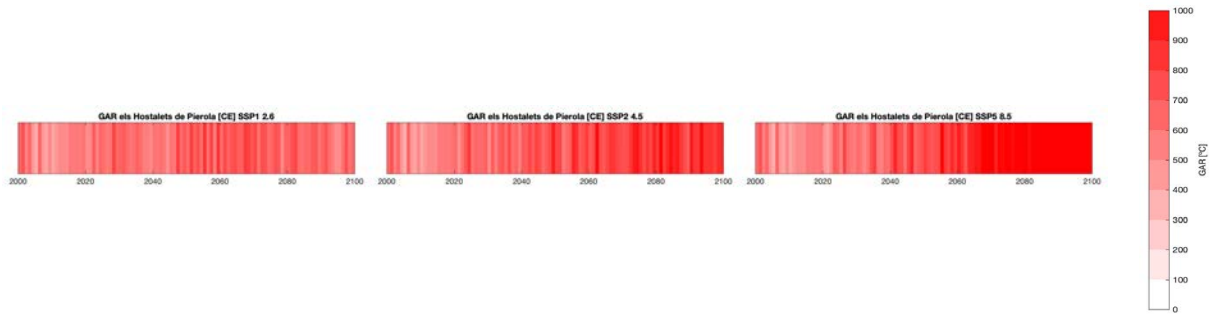

Figura A.28: Evolució dels graus-any de refrigeració (GAR a l'estació CE- Els Hostalets de Pierola, per als diferents escenaris [SSP1 2.6, SSP2 4.5 i SSP5 8.5] per al model climàtic AWI-CM.

A.1.8 CG - Molló - Fabert

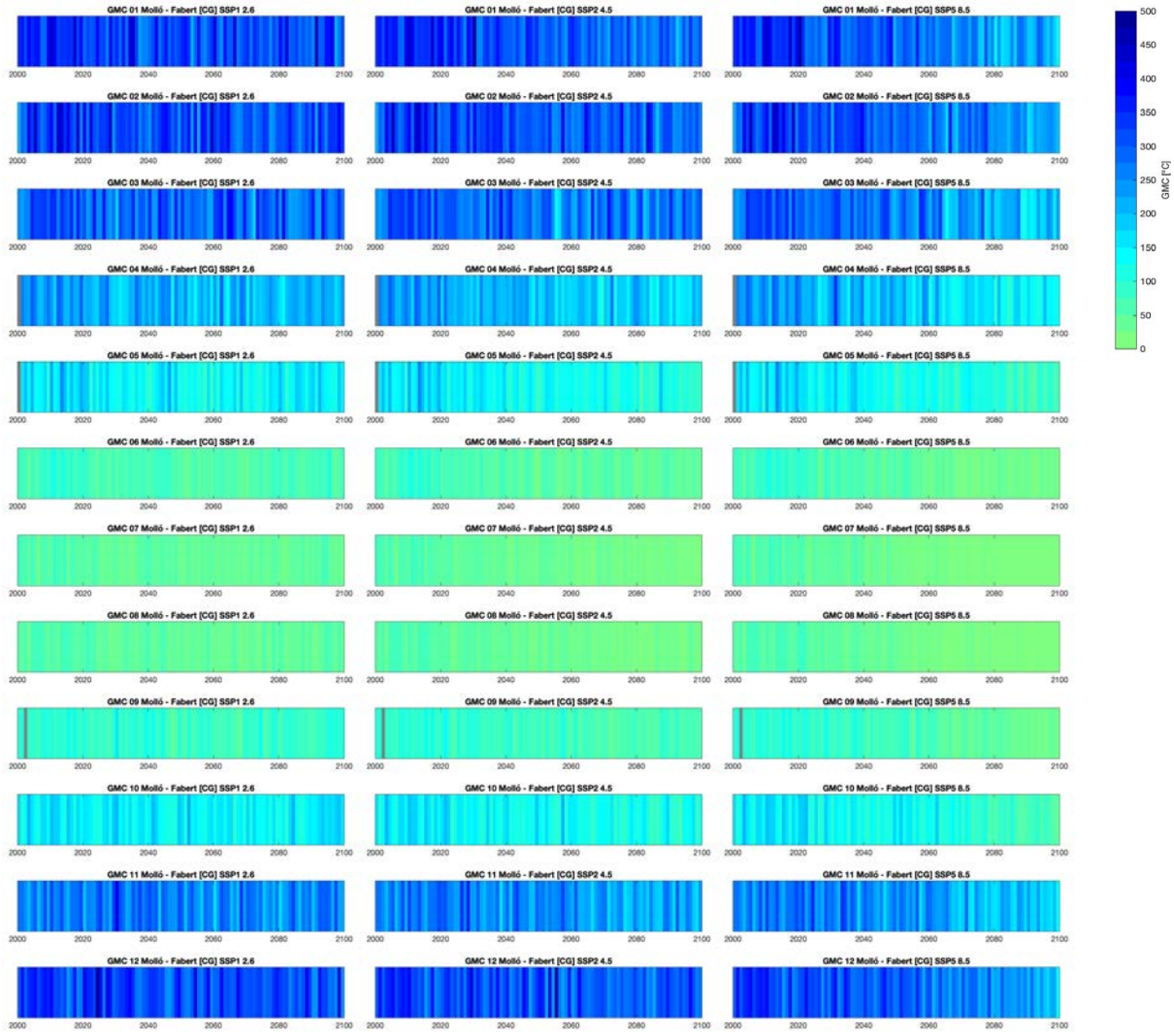

Figura A.29: Evolució dels graus-mes de calefacció (GMC) a l'estació CG- Molló - Fabert, per als diferents escenaris [SSP1 2.6, SSP2 4.5 i SSP5 8.5] per al model climàtic AWI-CM.

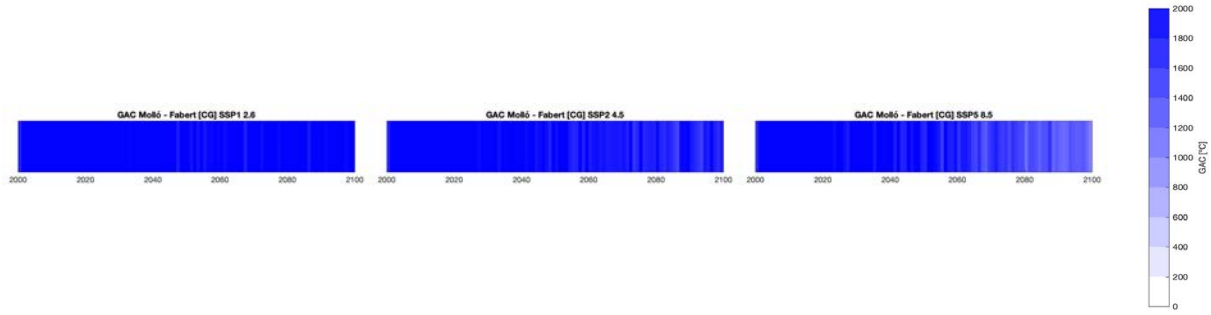

Figura A.30: Evolució dels graus-any de calefacció (GAC) a l'estació CG- Molló - Fabert, per als diferents escenaris [SSP1 2.6, SSP2 4.5 i SSP5 8.5] per al model climàtic AWI-CM.

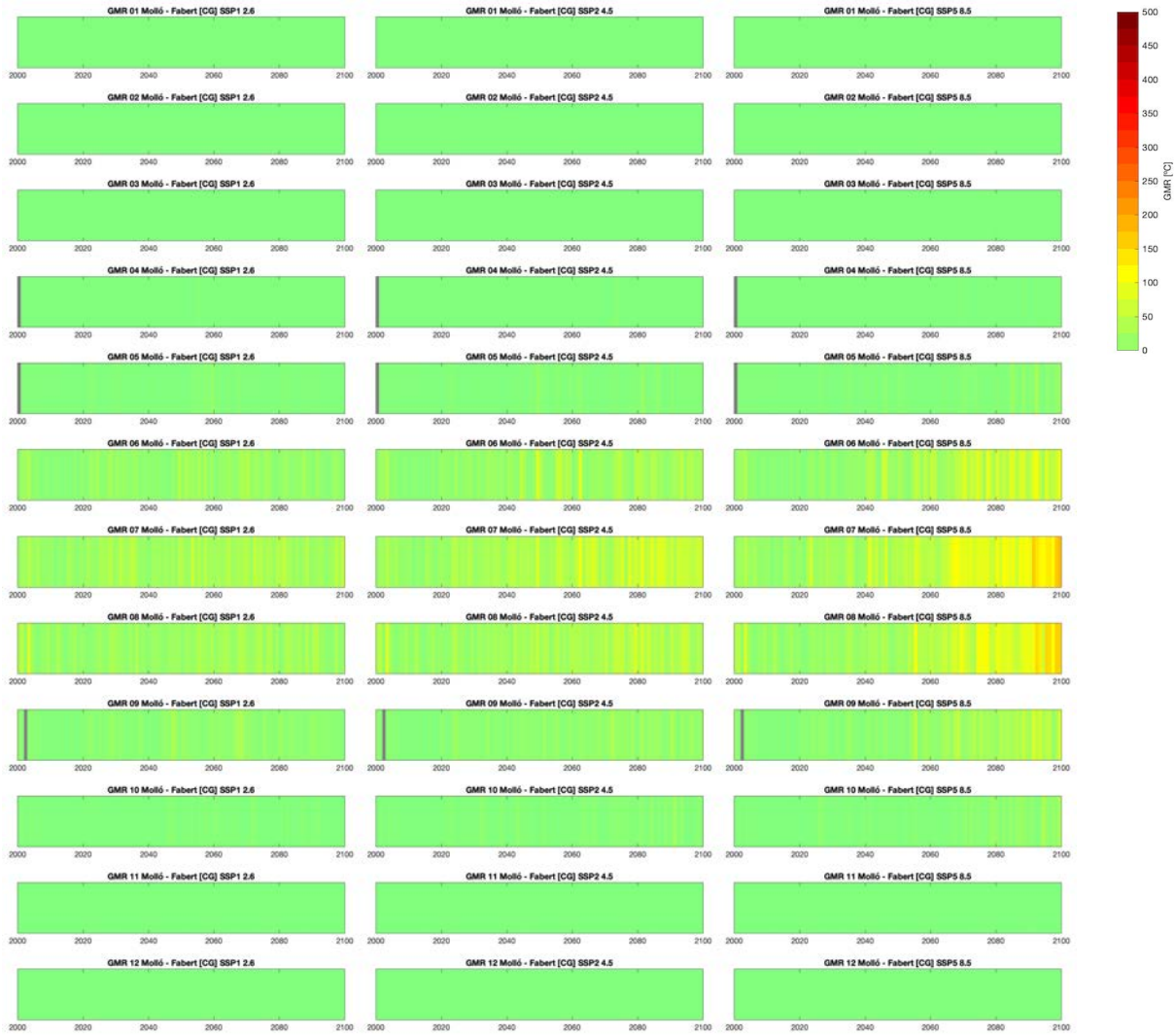

Figura A.31: Evolució dels graus-mes de refrigeració (GMR a l'estació CG- Molló - Fabert, per als diferents escenaris [SSP1 2.6, SSP2 4.5 i SSP5 8.5] per al model climàtic AWI-CM.

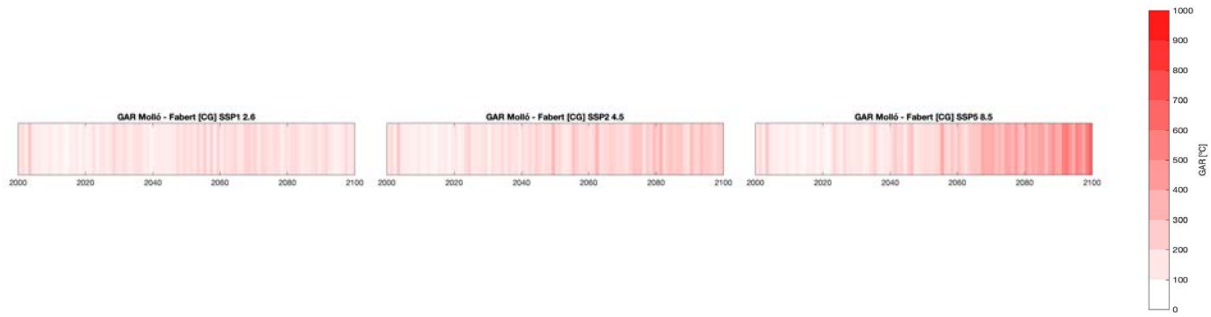

Figura A.32: Evolució dels graus-any de refrigeració (GAR a l'estació CG- Molló - Fabert, per als diferents escenaris [SSP1 2.6, SSP2 4.5 i SSP5 8.5] per al model climàtic AWI-CM.

A.1.9 CI - Sant Pau de Segúries

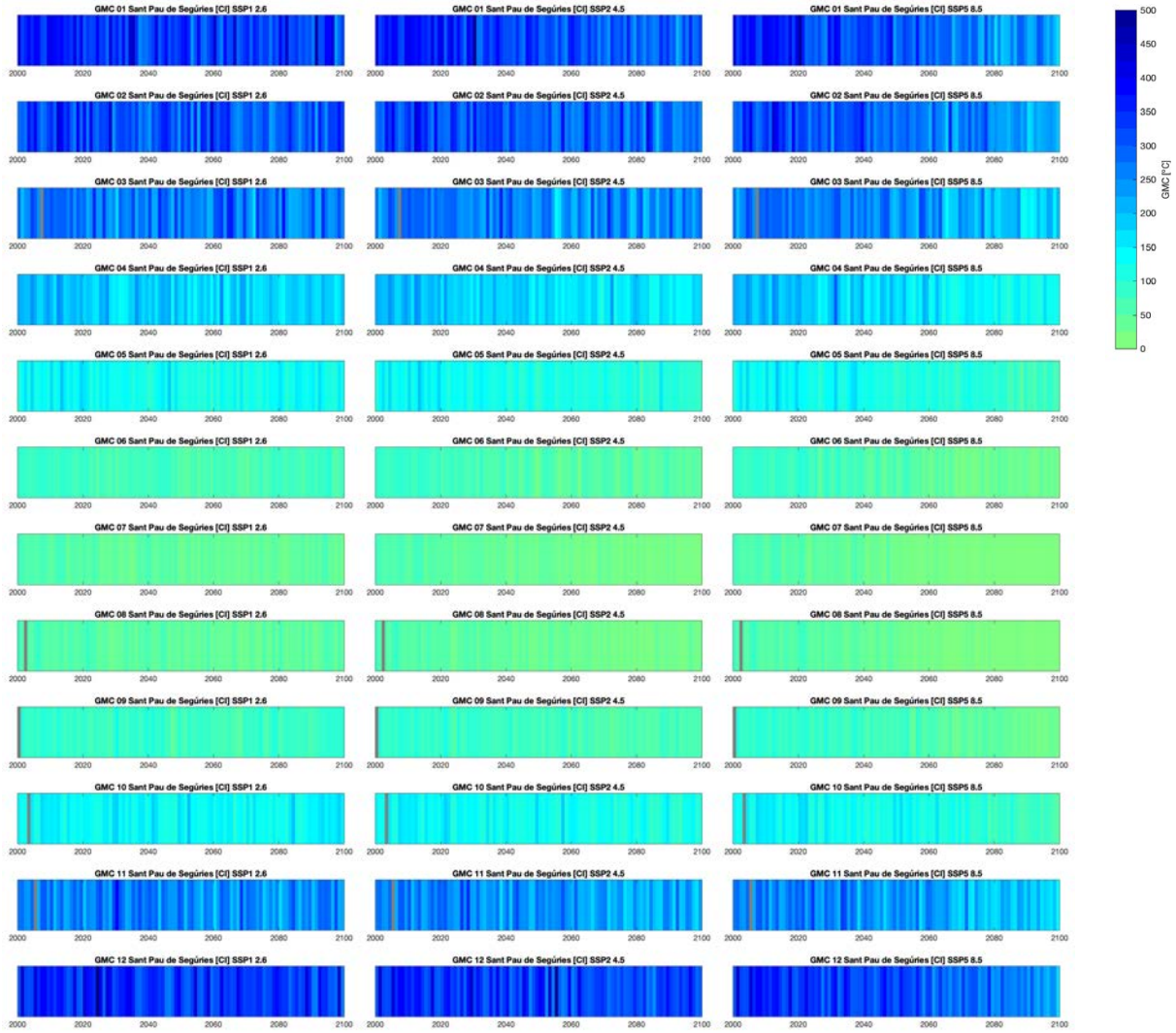

Figura A.33: Evolució dels graus-mes de calefacció (GMC) a l'estació CI- Sant Pau de Segúries, per als diferents escenaris [SSP1 2.6, SSP2 4.5 i SSP5 8.5] per al model climàtic AWI-CM.

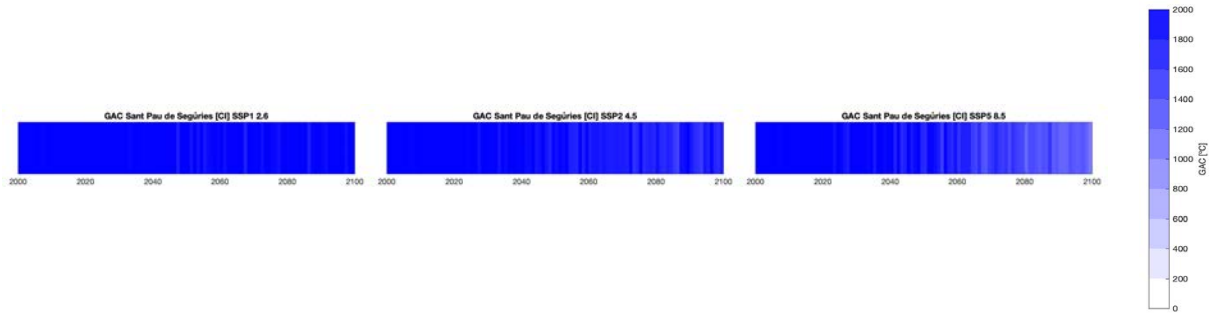

Figura A.34: Evolució dels graus-any de calefacció (GAC) a l'estació CI- Sant Pau de Segúries, per als diferents escenaris [SSP1 2.6, SSP2 4.5 i SSP5 8.5] per al model climàtic AWI-CM.

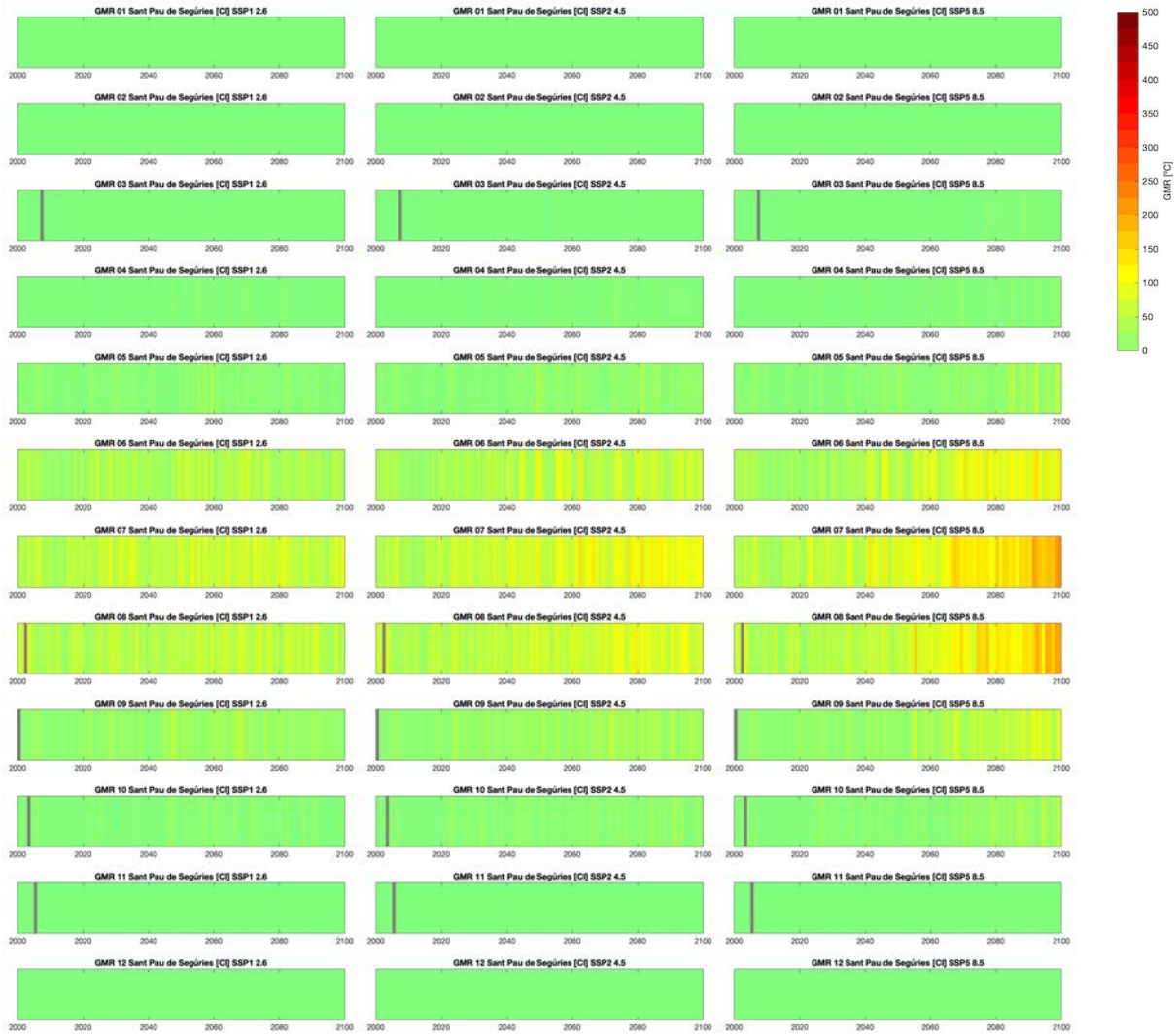

Figura A.35: Evolució dels graus-mes de refrigeració (GMR a l'estació CI- Sant Pau de Segúries, per als diferents escenaris [SSP1 2.6, SSP2 4.5 i SSP5 8.5] per al model climàtic AWI-CM.

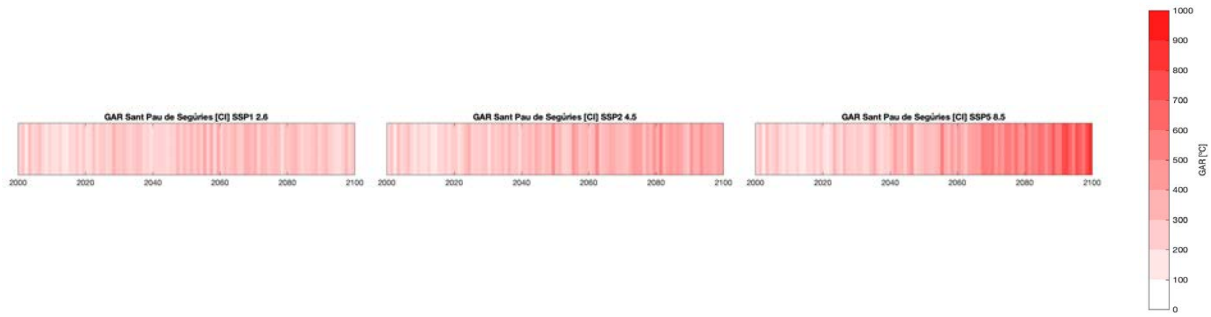

Figura A.36: Evolució dels graus-any de refrigeració (GAR a l'estació CI- Sant Pau de Segúries, per als diferents escenaris [SSP1 2.6, SSP2 4.5 i SSP5 8.5] per al model climàtic AWI-CM.

A.1.10 CJ - Organyà

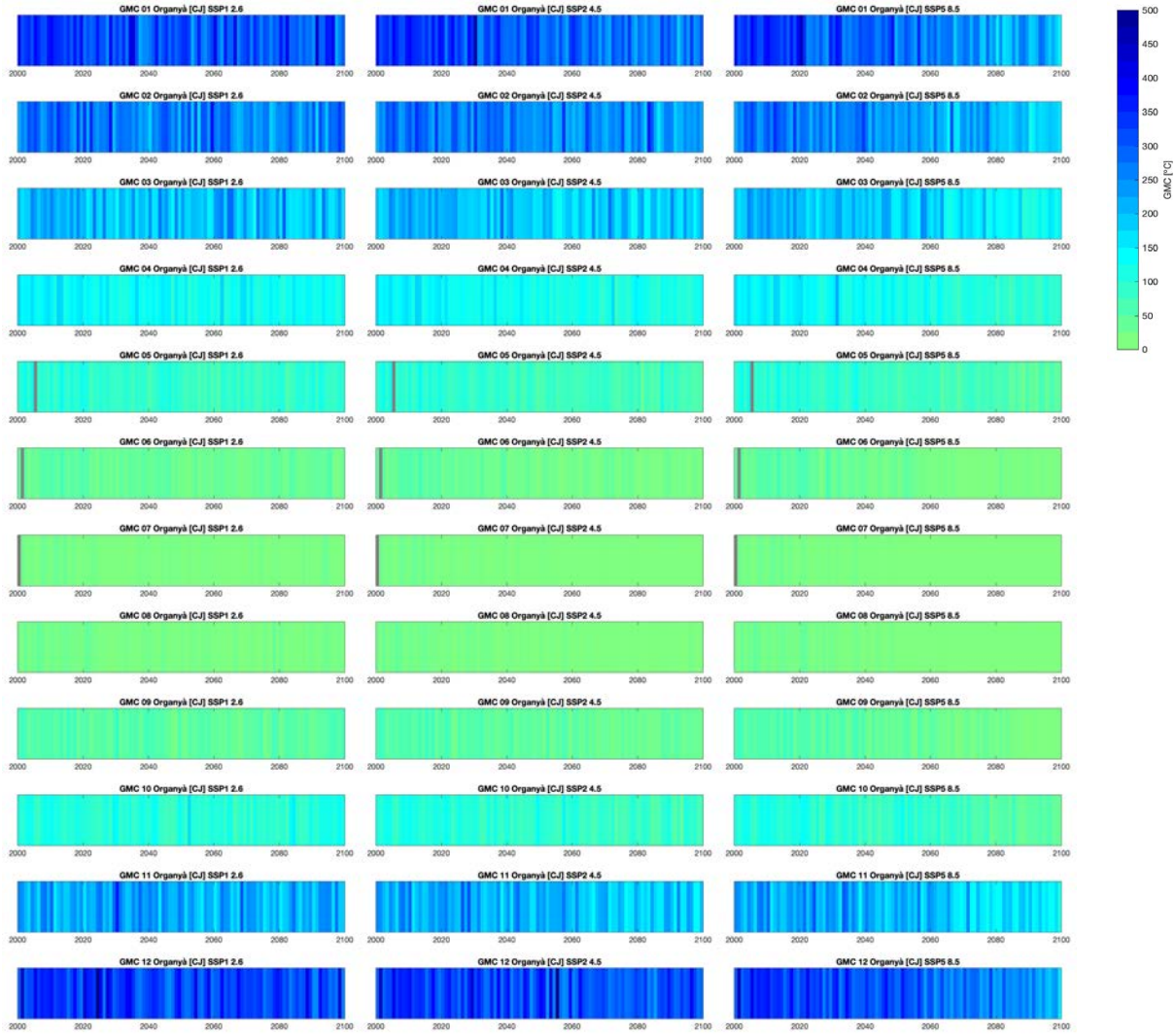

Figura A.37: Evolució dels graus-mes de calefacció (GMC) a l'estació CJ- Organyà, per als diferents escenaris [SSP1 2.6, SSP2 4.5 i SSP5 8.5] per al model climàtic AWI-CM.

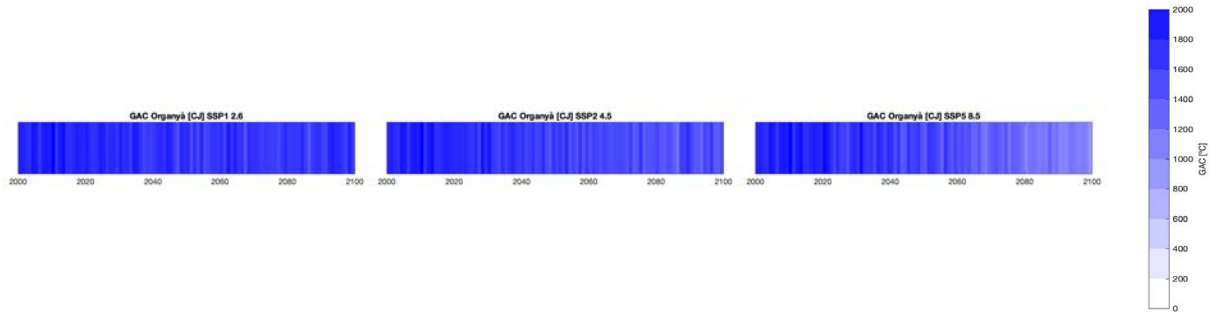

Figura A.38: Evolució dels graus-any de calefacció (GAC) a l'estació CJ- Organyà, per als diferents escenaris [SSP1 2.6, SSP2 4.5 i SSP5 8.5] per al model climàtic AWI-CM.

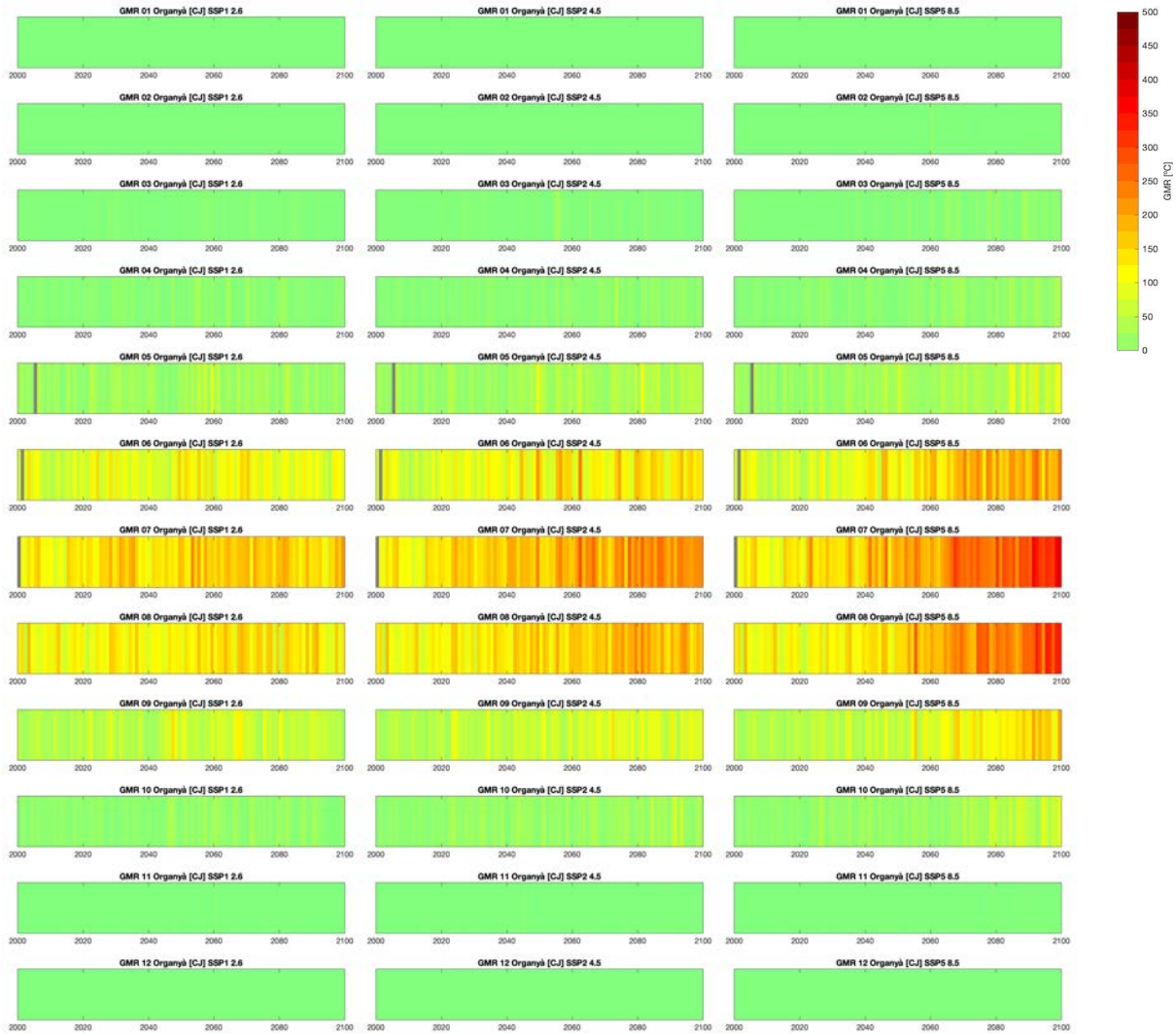

Figura A.39: Evolució dels graus-mes de refrigeració (GMR a l'estació CJ- Organyà, per als diferents escenaris [SSP1 2.6, SSP2 4.5 i SSP5 8.5] per al model climàtic AWI-CM.

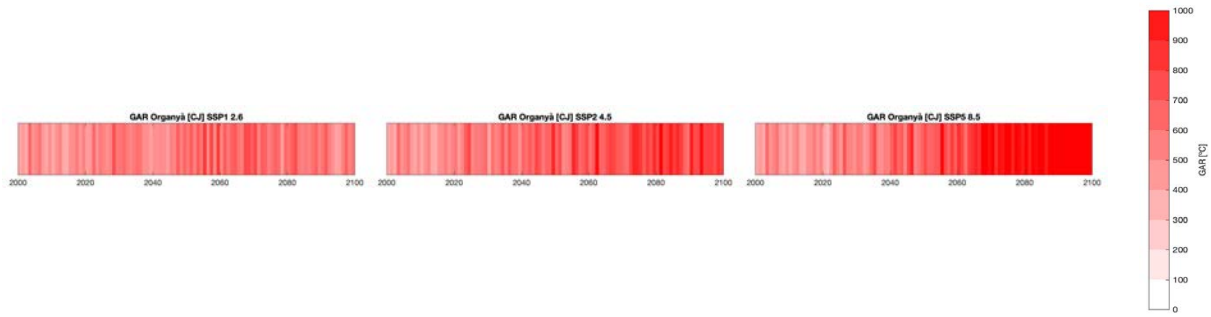

Figura A.40: Evolució dels graus-any de refrigeració (GAR a l'estació CJ- Organyà, per als diferents escenaris [SSP1 2.6, SSP2 4.5 i SSP5 8.5] per al model climàtic AWI-CM.

A.1.11 CL - Sant Salvador de Guardiola

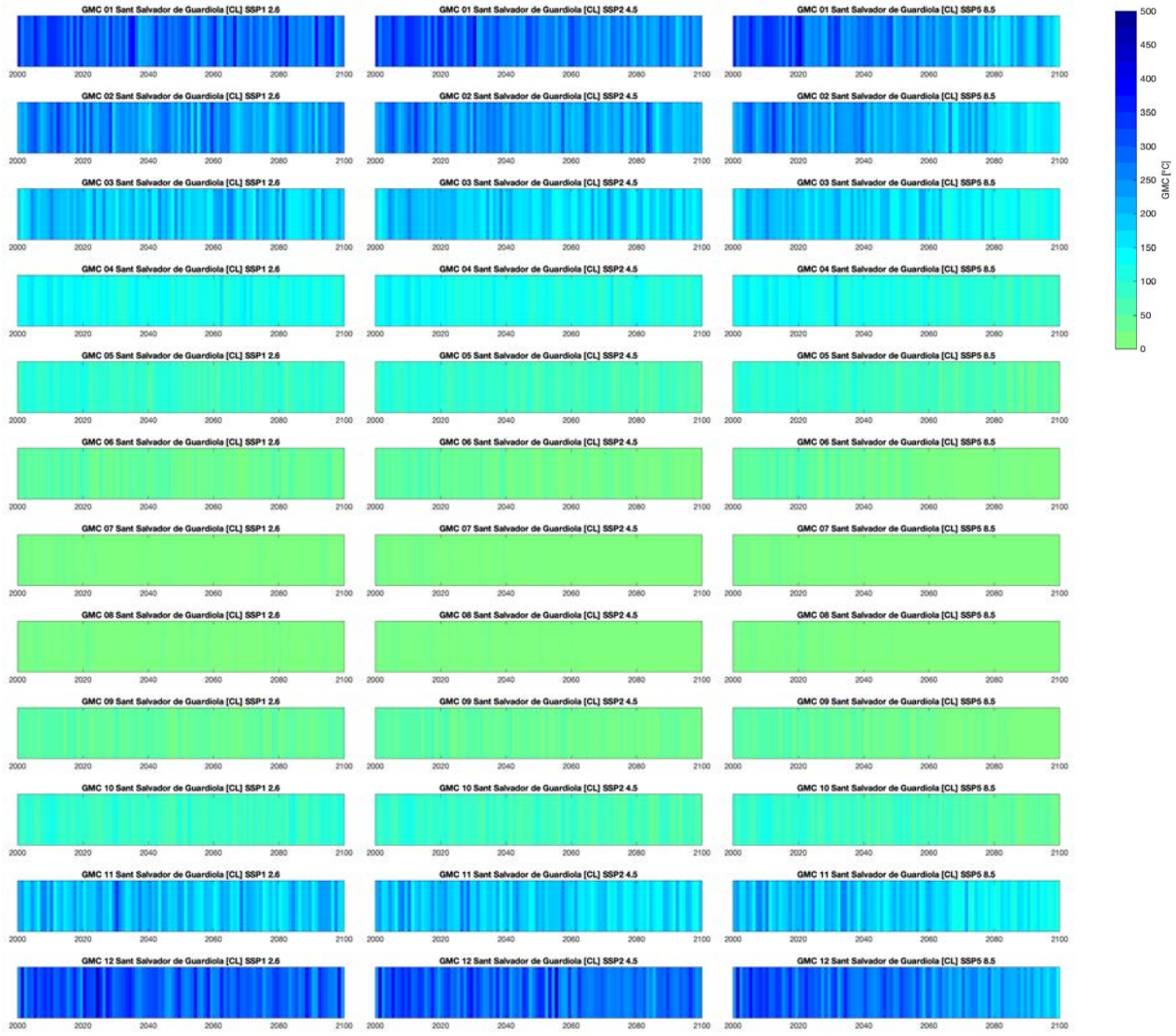

Figura A.41: Evolució dels graus-mes de calefacció (GMC) a l'estació CL- Sant Salvador de Guardiola, per als diferents escenaris [SSP1 2.6, SSP2 4.5 i SSP5 8.5] per al model climàtic AWI-CM.

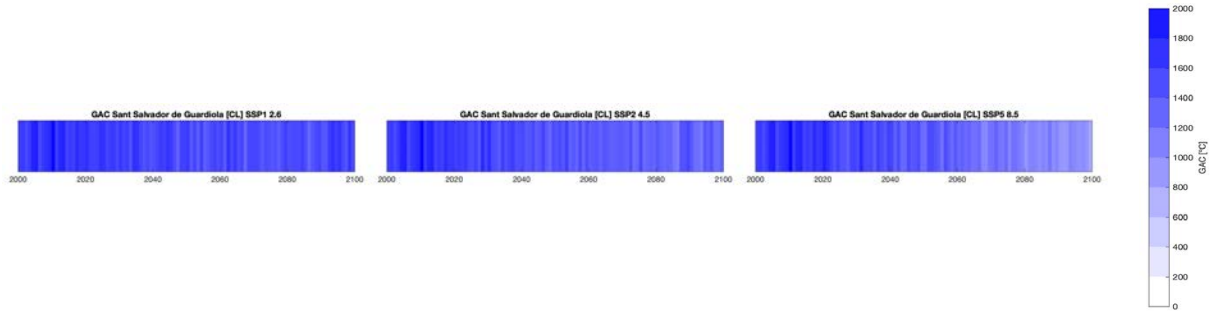

Figura A.42: Evolució dels graus-any de calefacció (GAC) a l'estació CL- Sant Salvador de Guardiola, per als diferents escenaris [SSP1 2.6, SSP2 4.5 i SSP5 8.5] per al model climàtic AWI-CM.

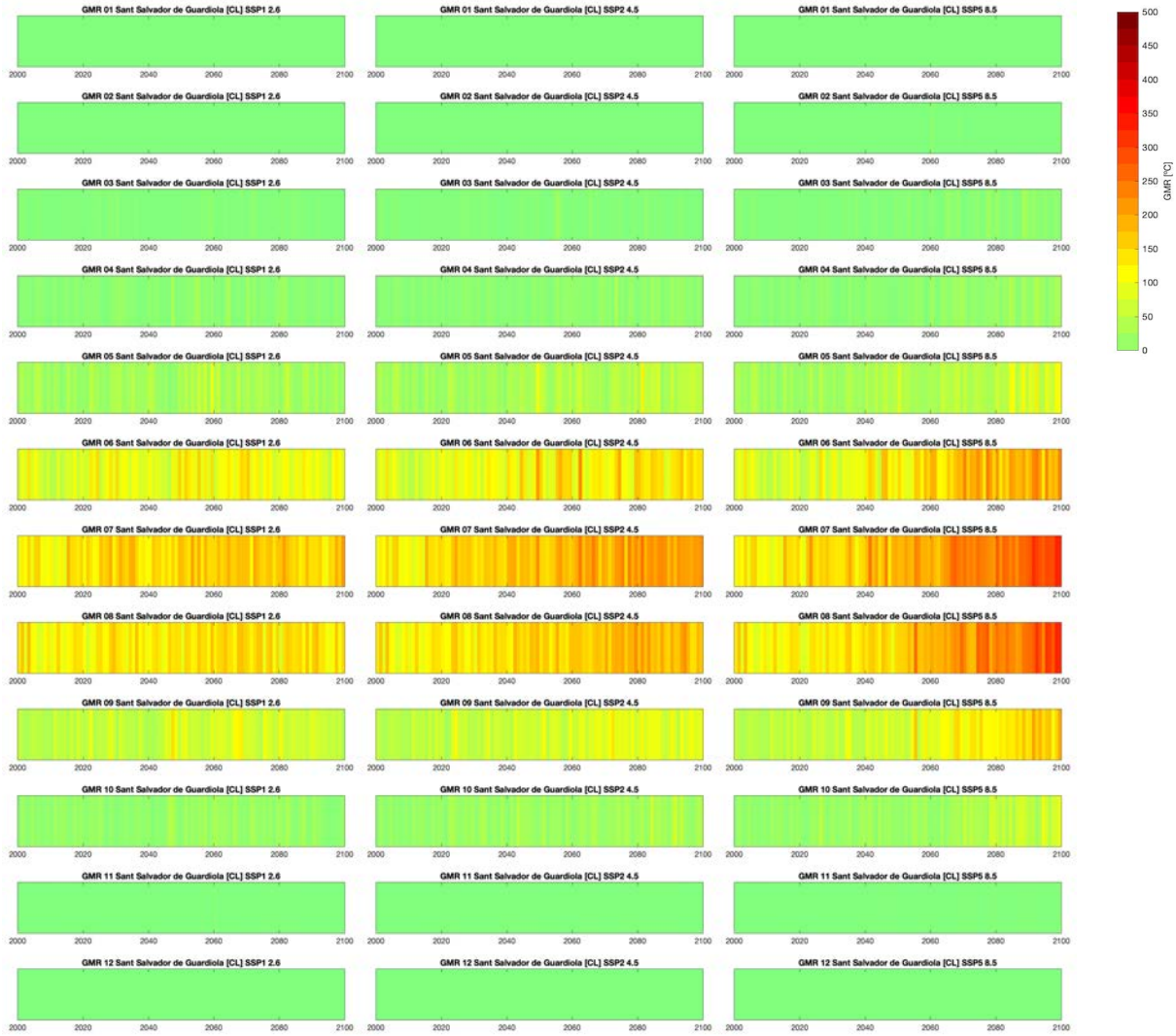

Figura A.43: Evolució dels graus-mes de refrigeració (GMR a l'estació CL- Sant Salvador de Guardiola, per als diferents escenaris [SSP1 2.6, SSP2 4.5 i SSP5 8.5] per al model climàtic AWI-CM.

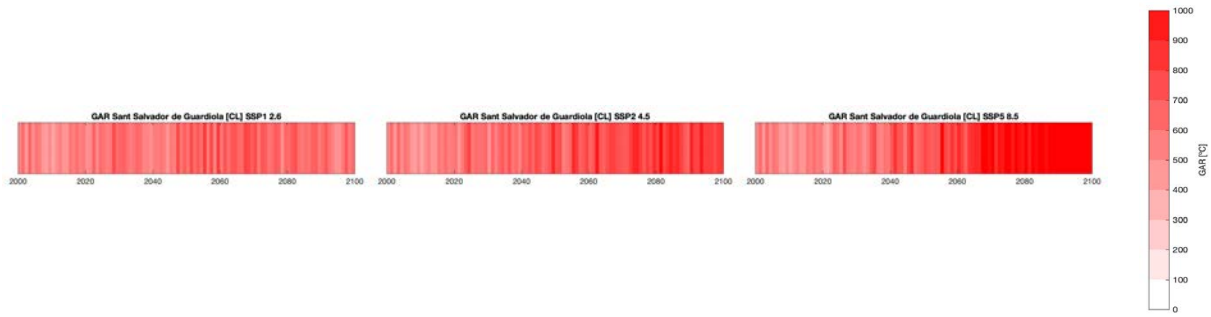

Figura A.44: Evolució dels graus-any de refrigeració (GAR a l'estació CL- Sant Salvador de Guardiola, per als diferents escenaris [SSP1 2.6, SSP2 4.5 i SSP5 8.5] per al model climàtic AWI-CM.

A.1.12 CP - Sant Romà d'Abella

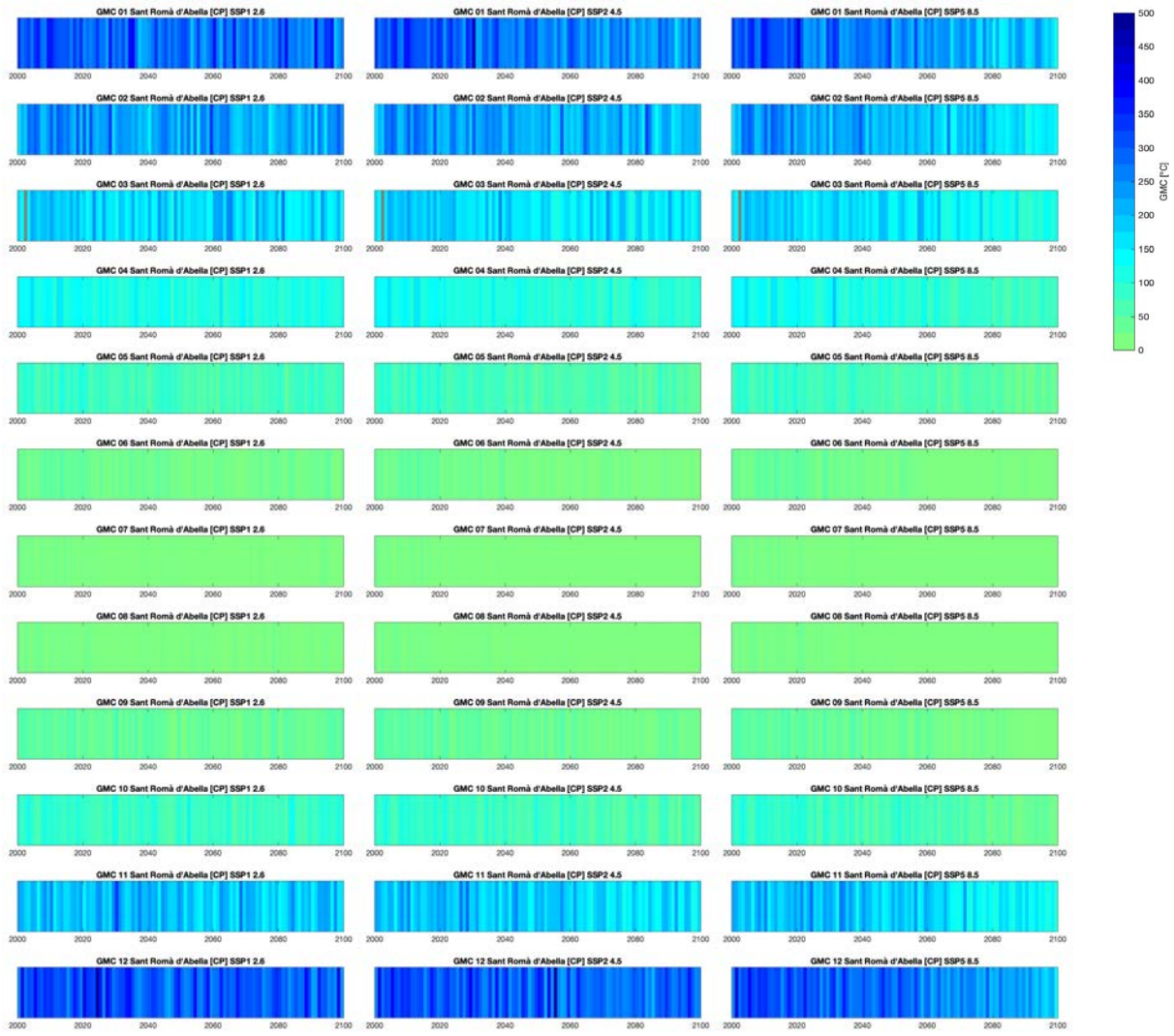

Figura A.45: Evolució dels graus-mes de calefacció (GMC) a l'estació CP- Sant Romà d'Abella, per als diferents escenaris [SSP1 2.6, SSP2 4.5 i SSP5 8.5] per al model climàtic AWI-CM.

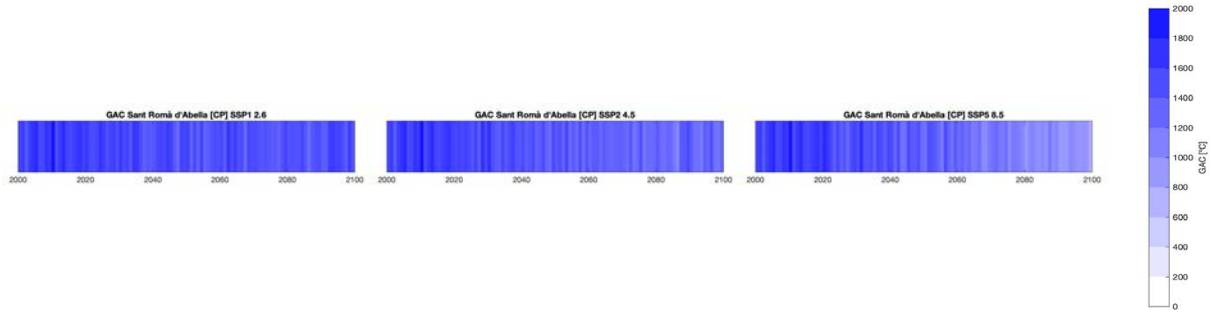

Figura A.46: Evolució dels graus-any de calefacció (GAC) a l'estació CP- Sant Romà d'Abella, per als diferents escenaris [SSP1 2.6, SSP2 4.5 i SSP5 8.5] per al model climàtic AWI-CM.

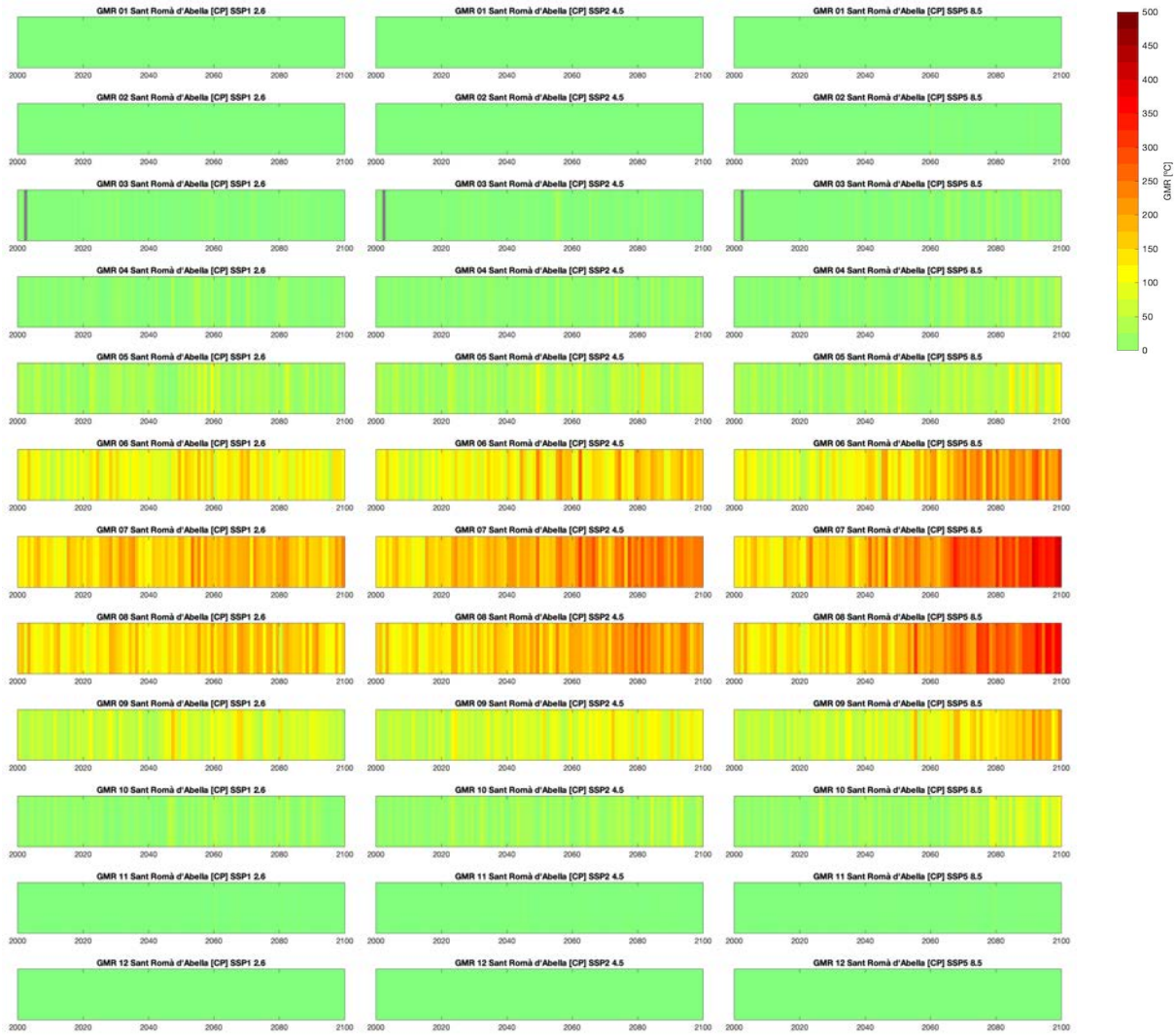

Figura A.47: Evolució dels graus-mes de refrigeració (GMR a l'estació CP- Sant Romà d'Abella, per als diferents escenaris [SSP1 2.6, SSP2 4.5 i SSP5 8.5] per al model climàtic AWI-CM.

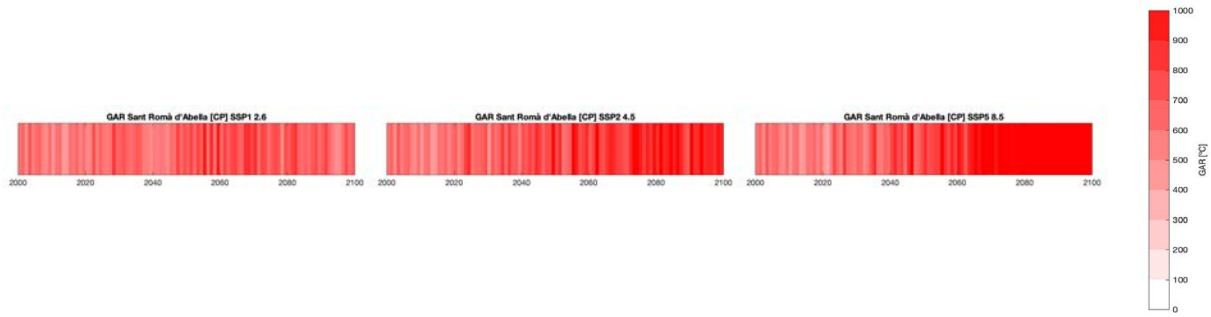

Figura A.48: Evolució dels graus-any de refrigeració (GAR a l'estació CP- Sant Romà d'Abella, per als diferents escenaris [SSP1 2.6, SSP2 4.5 i SSP5 8.5] per al model climàtic AWI-CM.

A.1.13 CQ - Vilanova de Meià

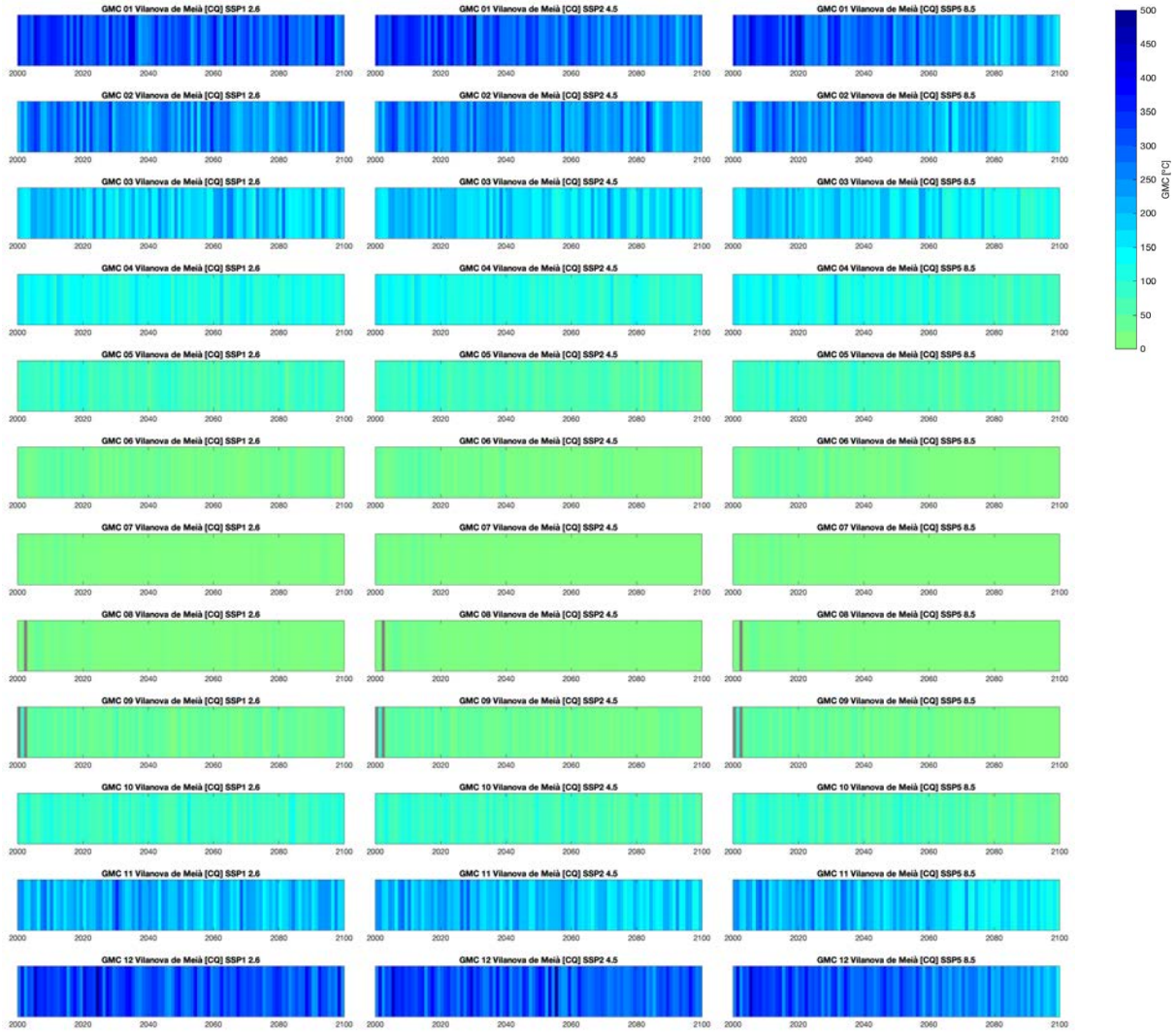

Figura A.49: Evolució dels graus-mes de calefacció (GMC) a l'estació CQ- Vilanova de Meià, per als diferents escenaris [SSP1 2.6, SSP2 4.5 i SSP5 8.5] per al model climàtic AWI-CM.

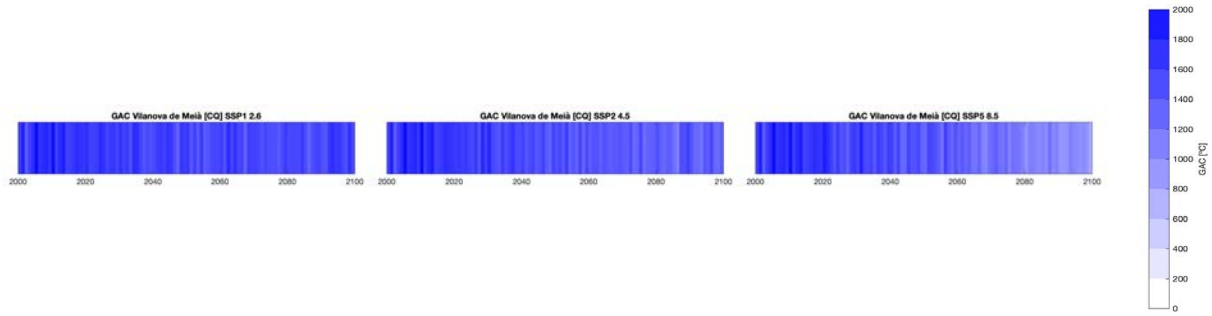

Figura A.50: Evolució dels graus-any de calefacció (GAC) a l'estació CQ- Vilanova de Meià, per als diferents escenaris [SSP1 2.6, SSP2 4.5 i SSP5 8.5] per al model climàtic AWI-CM.

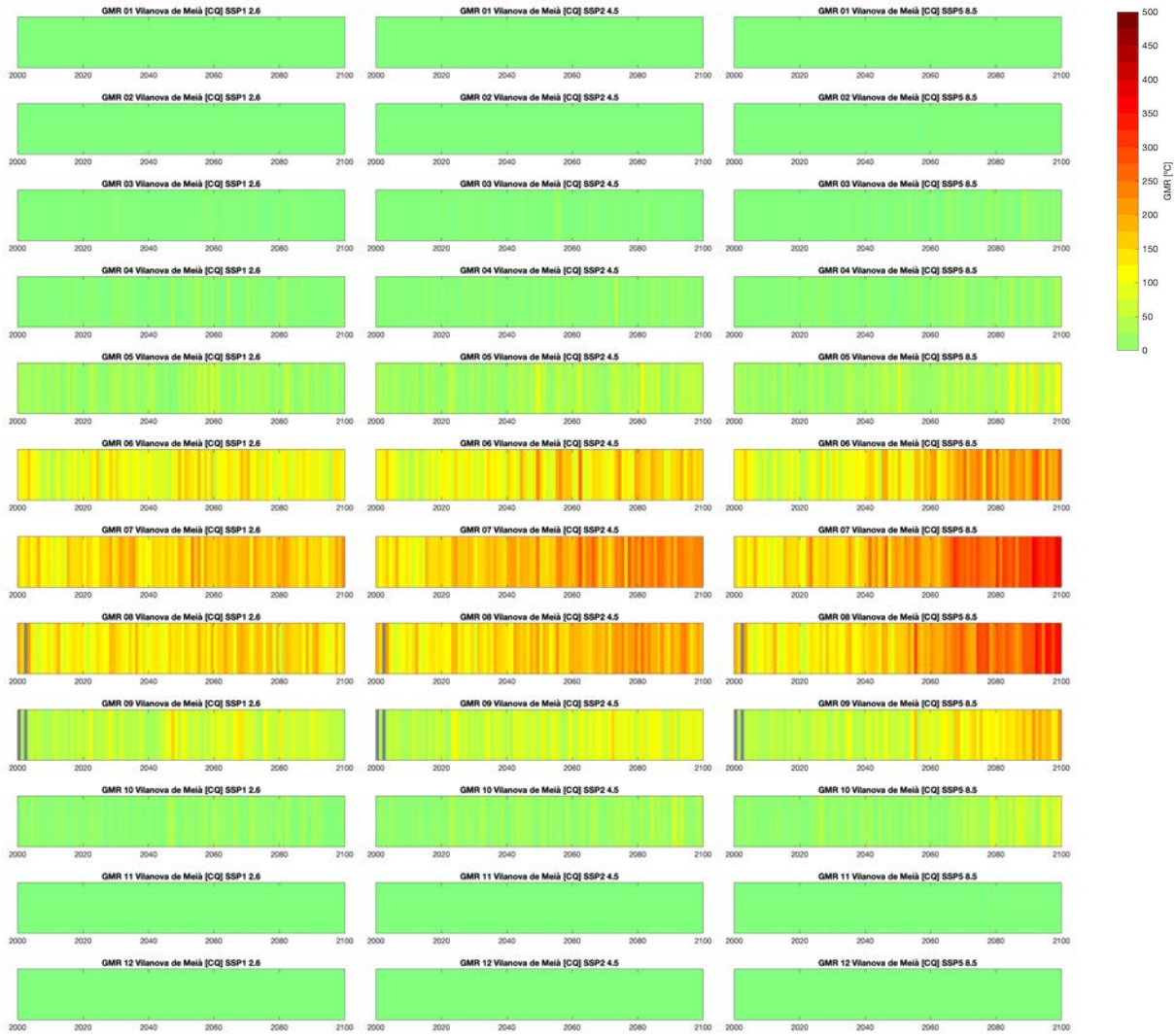

Figura A.51: Evolució dels graus-mes de refrigeració (GMR a l'estació CQ- Vilanova de Meià, per als diferents escenaris [SSP1 2.6, SSP2 4.5 i SSP5 8.5] per al model climàtic AWI-CM.

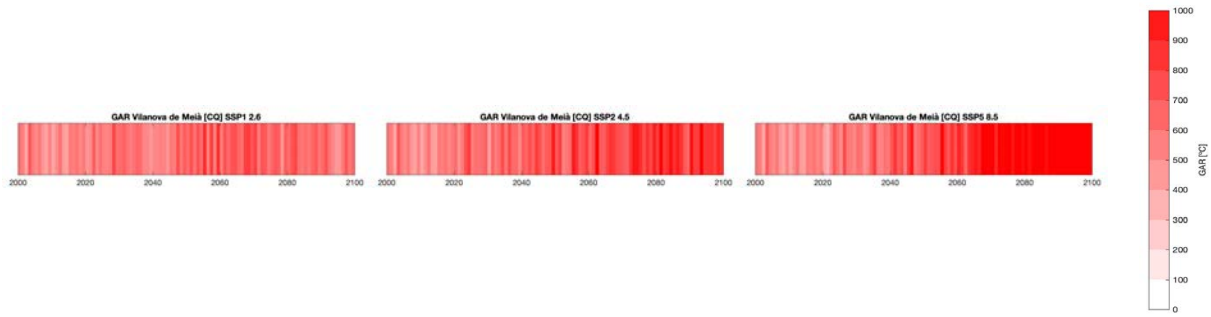

Figura A.52: Evolució dels graus-any de refrigeració (GAR a l'estació CQ- Vilanova de Meià, per als diferents escenaris [SSP1 2.6, SSP2 4.5 i SSP5 8.5] per al model climàtic AWI-CM.

A.1.14 CR - La Quar

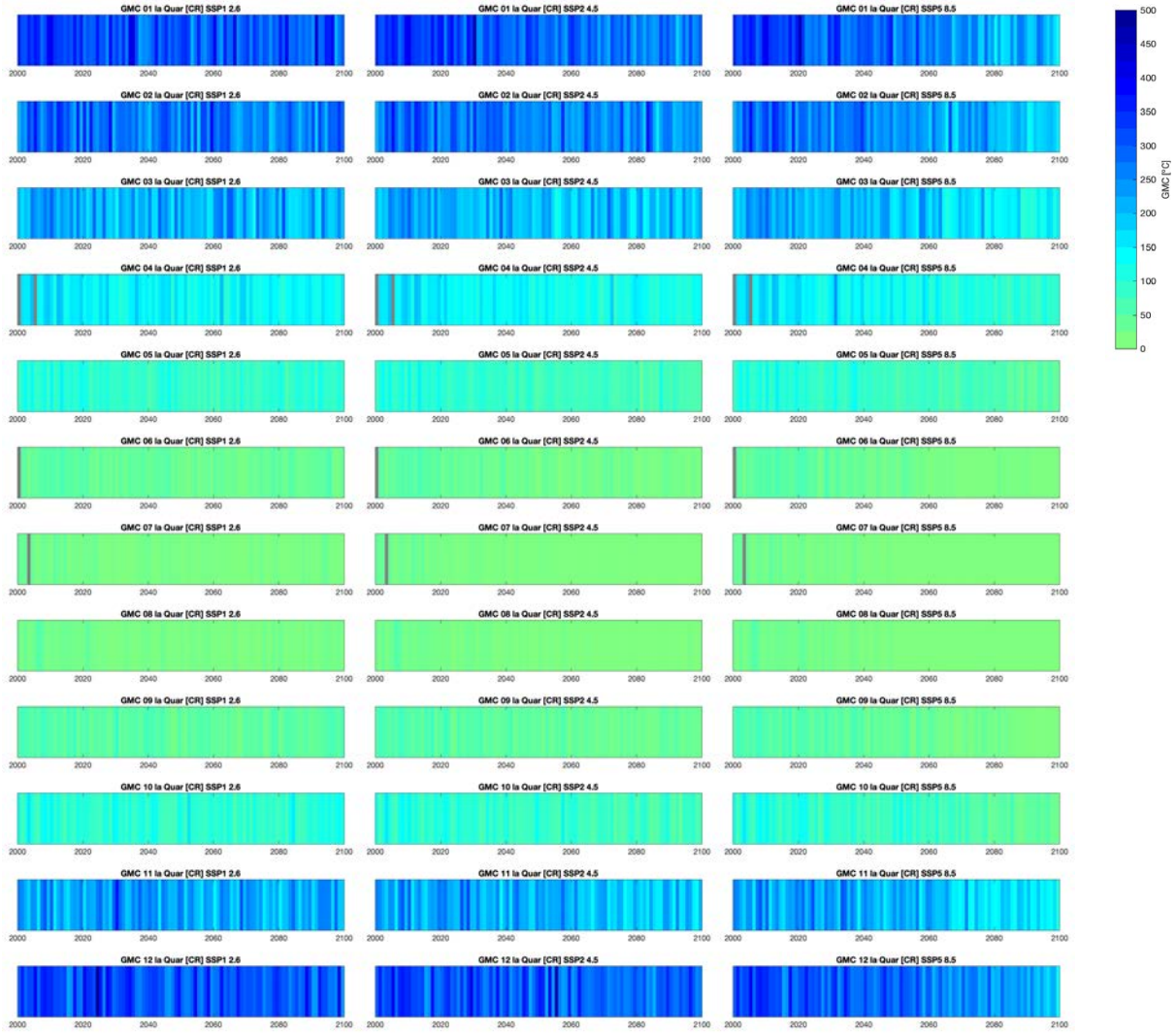

Figura A.53: Evolució dels graus-mes de calefacció (GMC) a l'estació CR- La Quar, per als diferents escenaris [SSP1 2.6, SSP2 4.5 i SSP5 8.5] per al model climàtic AWI-CM.

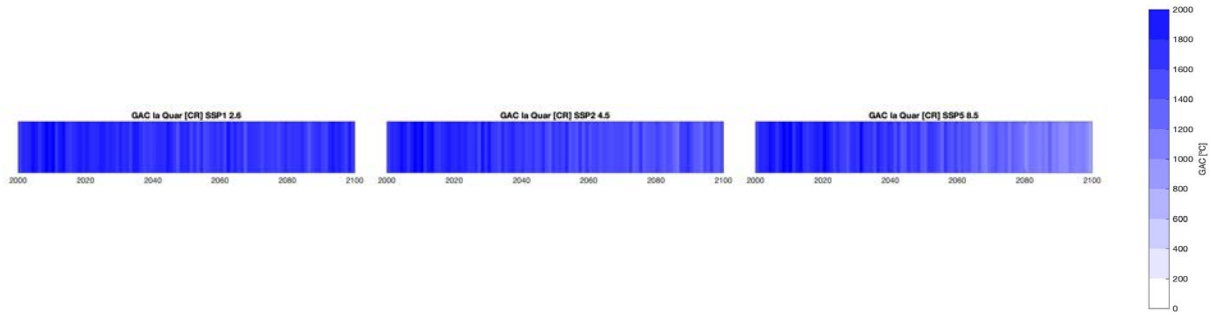

Figura A.54: Evolució dels graus-any de calefacció (GAC) a l'estació CR- La Quar, per als diferents escenaris [SSP1 2.6, SSP2 4.5 i SSP5 8.5] per al model climàtic AWI-CM.

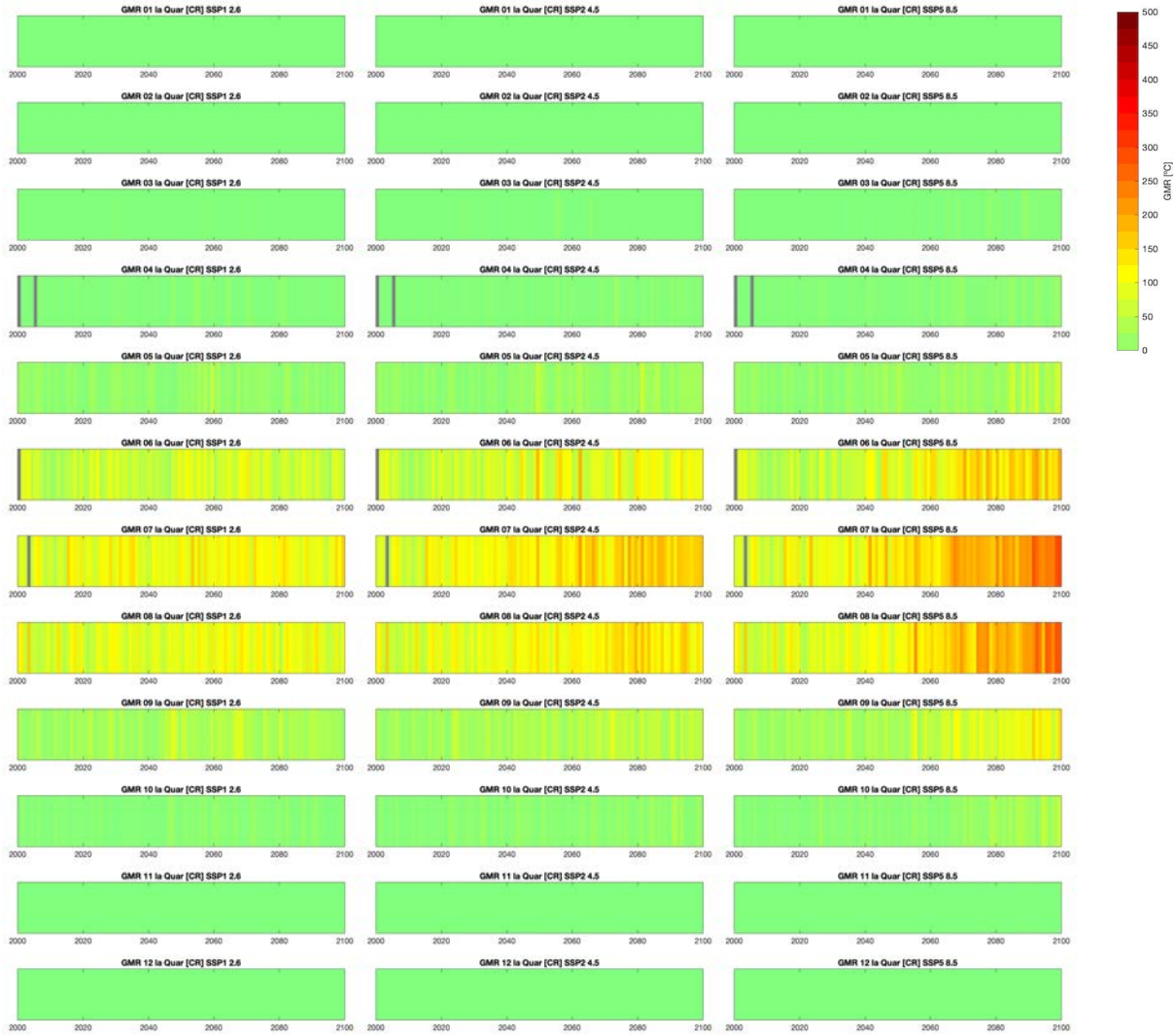

Figura A.55: Evolució dels graus-mes de refrigeració (GMR a l'estació CR- La Quar, per als diferents escenaris [SSP1 2.6, SSP2 4.5 i SSP5 8.5] per al model climàtic AWI-CM.

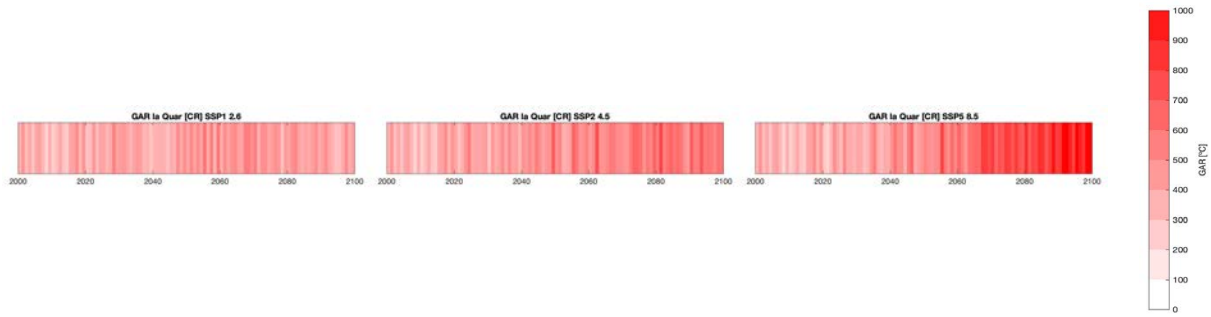

Figura A.56: Evolució dels graus-any de refrigeració (GAR a l'estació CR- La Quar, per als diferents escenaris [SSP1 2.6, SSP2 4.5 i SSP5 8.5] per al model climàtic AWI-CM.

A.1.15 CT - El Pont de Suert

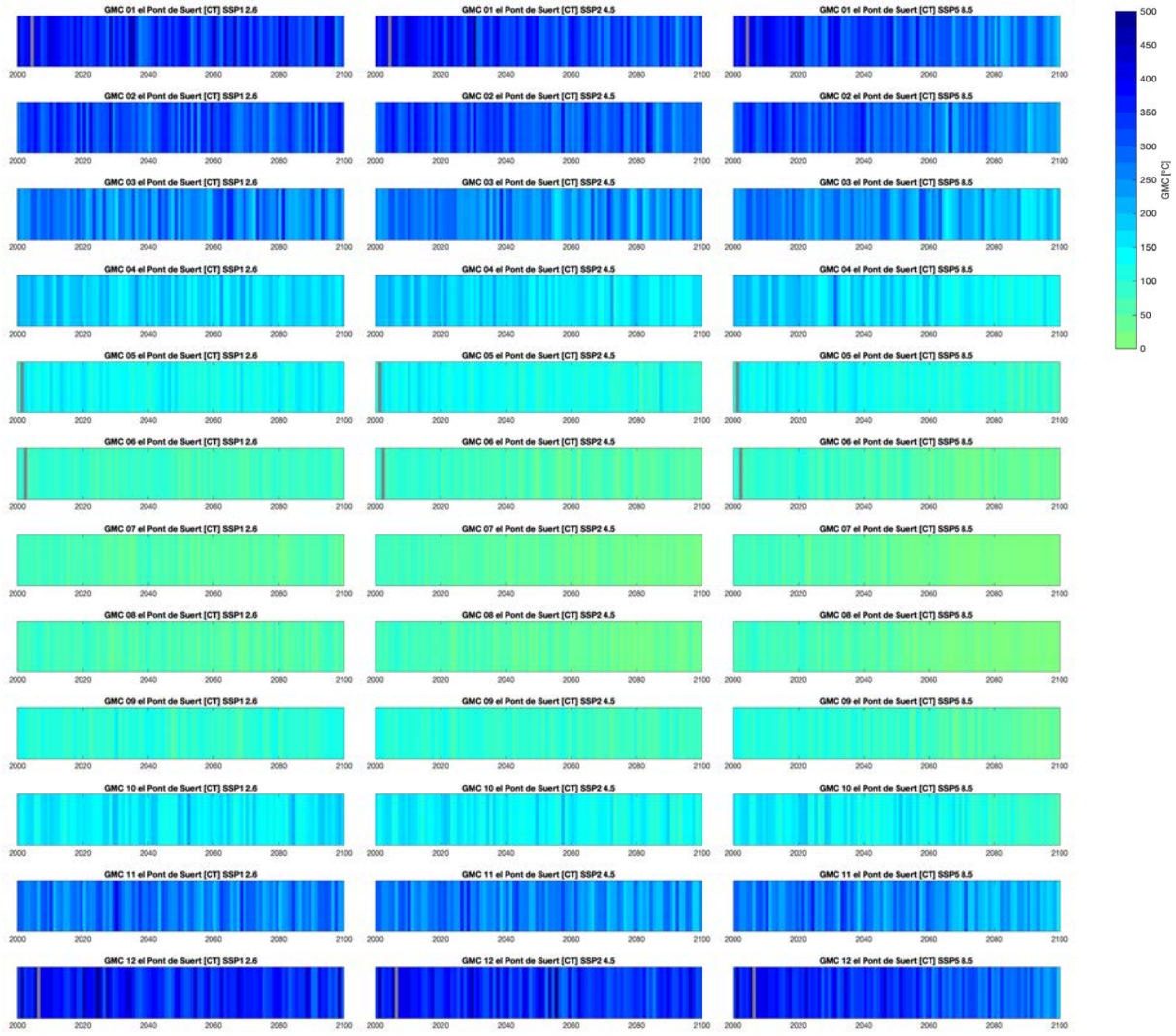

Figura A.57: Evolució dels graus-mes de calefacció (GMC) a l'estació CT- El Pont de Suert, per als diferents escenaris [SSP1 2.6, SSP2 4.5 i SSP5 8.5] per al model climàtic AWI-CM.

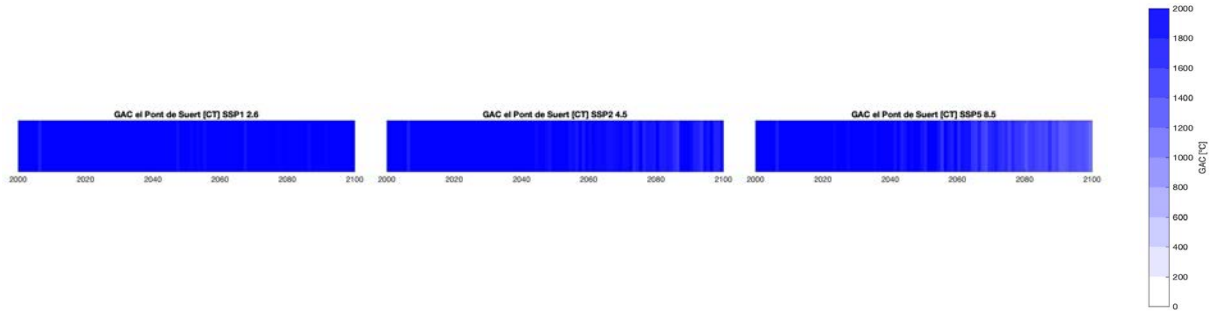

Figura A.58: Evolució dels graus-any de calefacció (GAC) a l'estació CT- El Pont de Suert, per als diferents escenaris [SSP1 2.6, SSP2 4.5 i SSP5 8.5] per al model climàtic AWI-CM.

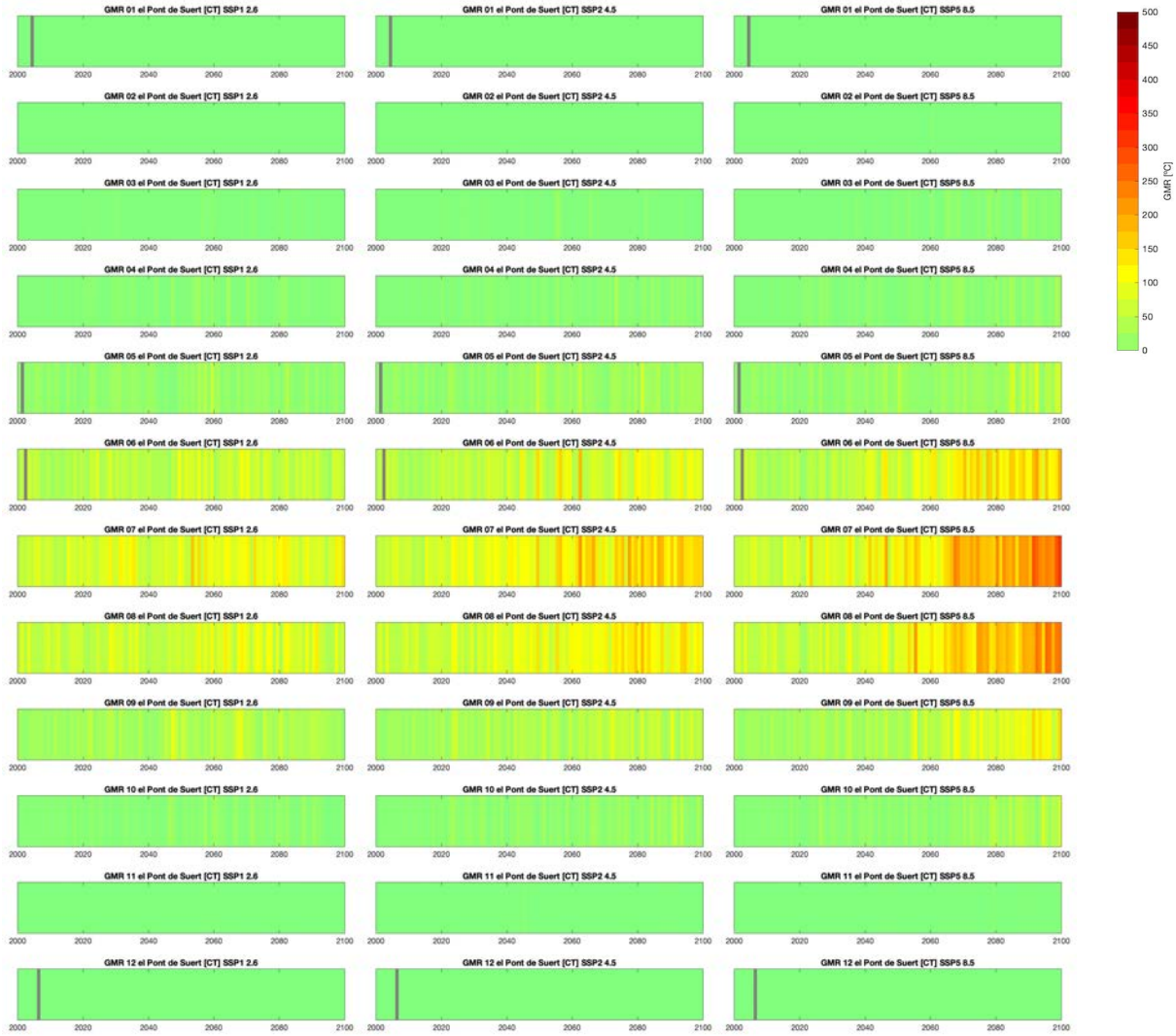

Figura A.59: Evolució dels graus-mes de refrigeració (GMR a l'estació CT- El Pont de Suert, per als diferents escenaris [SSP1 2.6, SSP2 4.5 i SSP5 8.5] per al model climàtic AWI-CM.

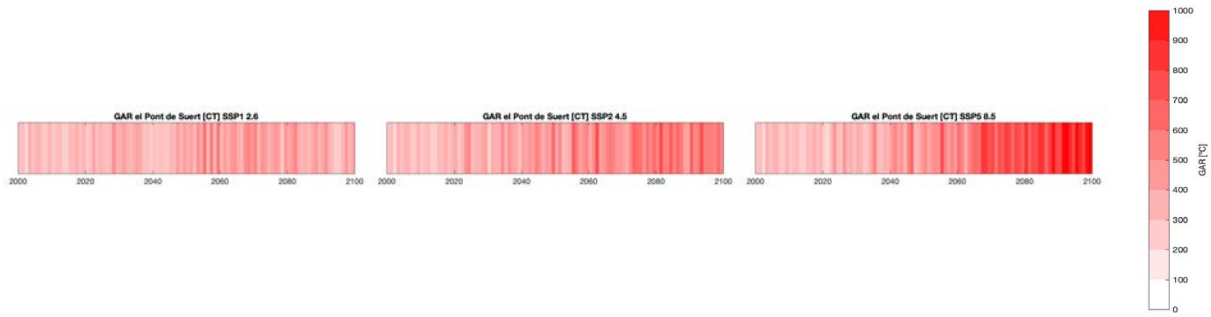

Figura A.60: Evolució dels graus-any de refrigeració (GAR a l'estació CT- El Pont de Suert, per als diferents escenaris [SSP1 2.6, SSP2 4.5 i SSP5 8.5] per al model climàtic AWI-CM.

A.1.16 CU - Vielha

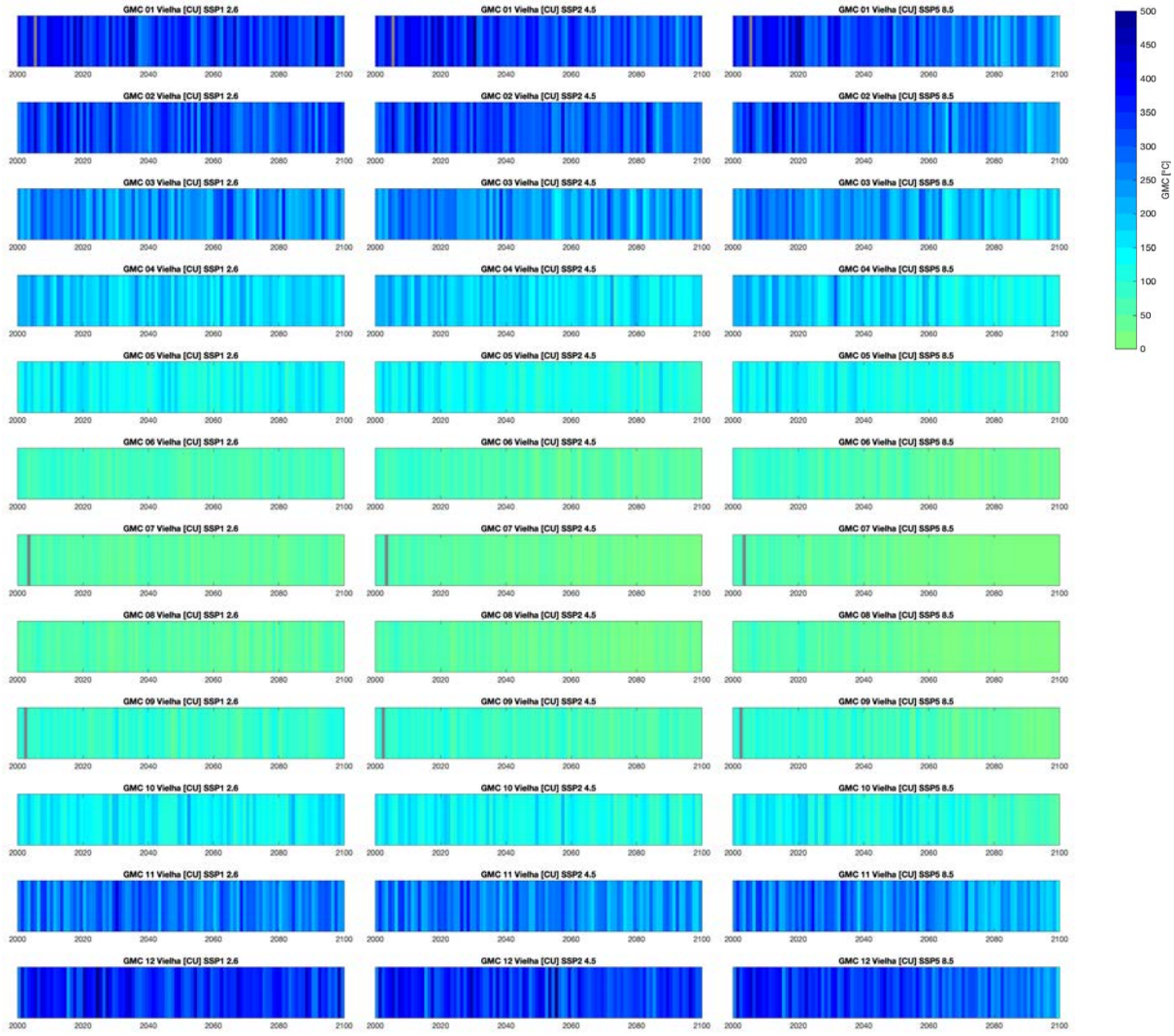

Figura A.61: Evolució dels graus-mes de calefacció (GMC) a l'estació CU- Vielha, per als diferents escenaris [SSP1 2.6, SSP2 4.5 i SSP5 8.5] per al model climàtic AWI-CM.

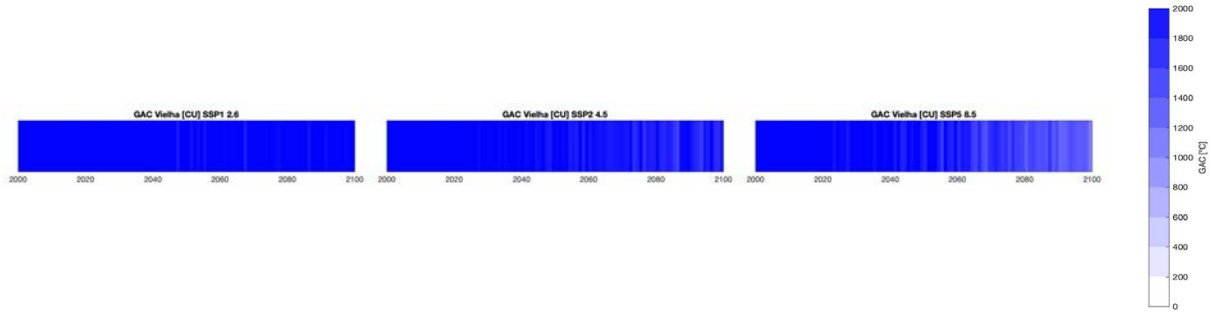

Figura A.62: Evolució dels graus-any de calefacció (GAC) a l'estació CU- Vielha, per als diferents escenaris [SSP1 2.6, SSP2 4.5 i SSP5 8.5] per al model climàtic AWI-CM.

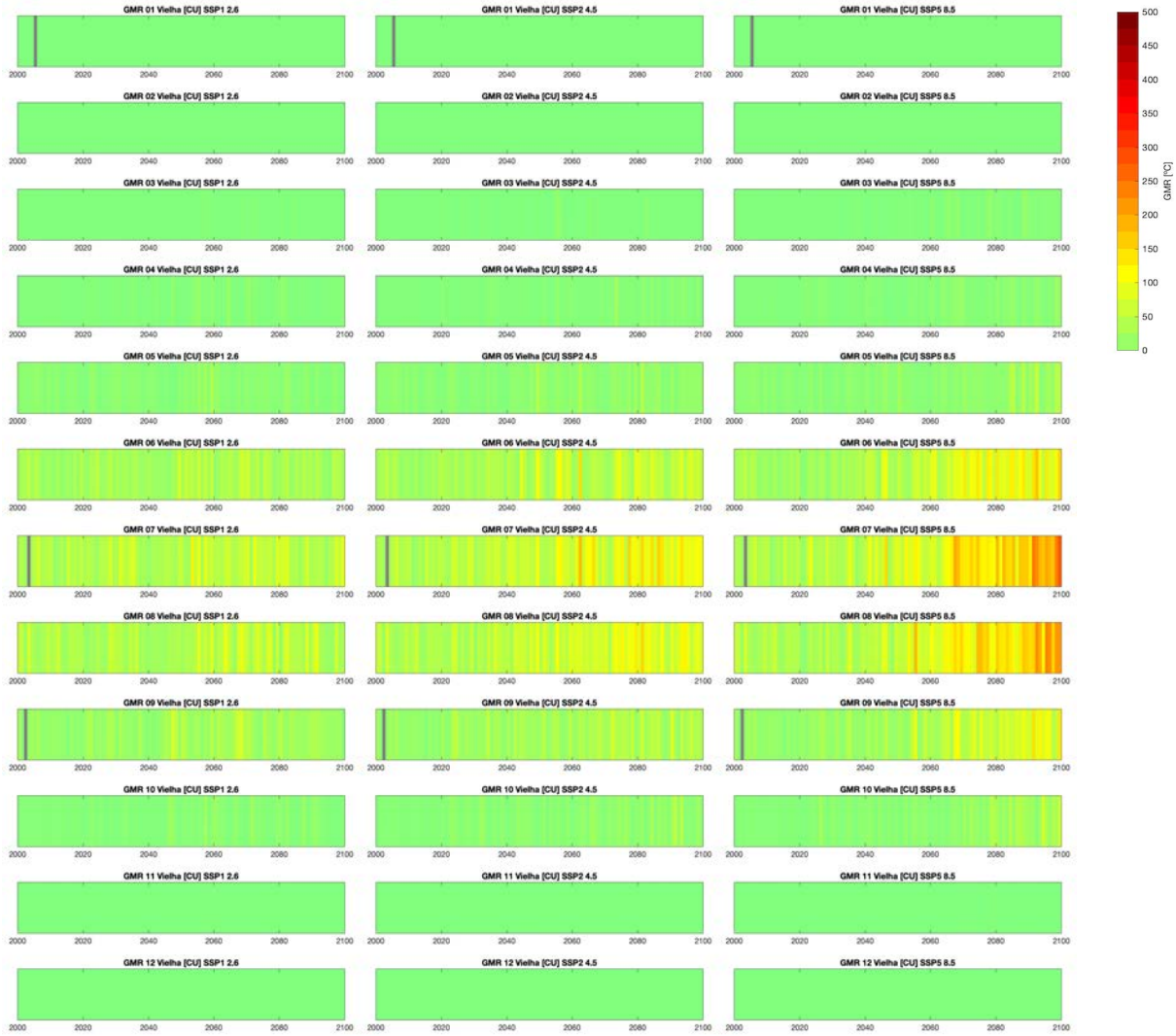

Figura A.63: Evolució dels graus-mes de refrigeració (GMR a l'estació CU- Vielha, per als diferents escenaris [SSP1 2.6, SSP2 4.5 i SSP5 8.5] per al model climàtic AWI-CM.

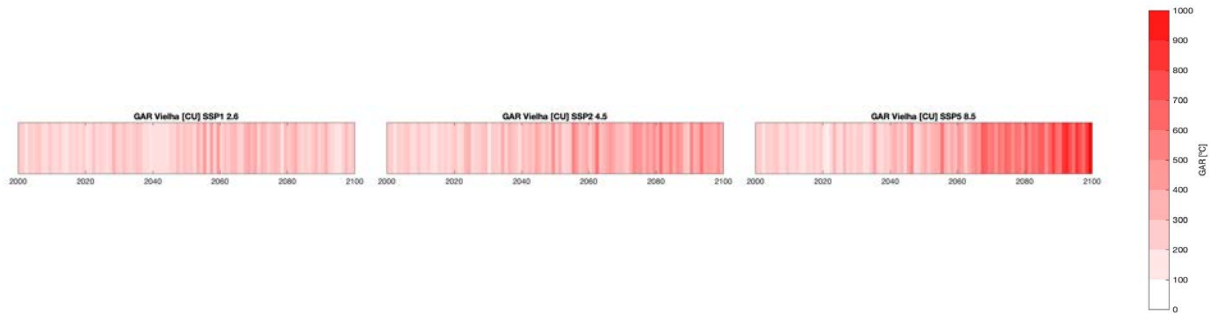

Figura A.64: Evolució dels graus-any de refrigeració (GAR a l'estació CU- Vielha, per als diferents escenaris [SSP1 2.6, SSP2 4.5 i SSP5 8.5] per al model climàtic AWI-CM.

A.1.17 CW - L'Espluga de Francolí

A.1.18 CY - Muntanyola

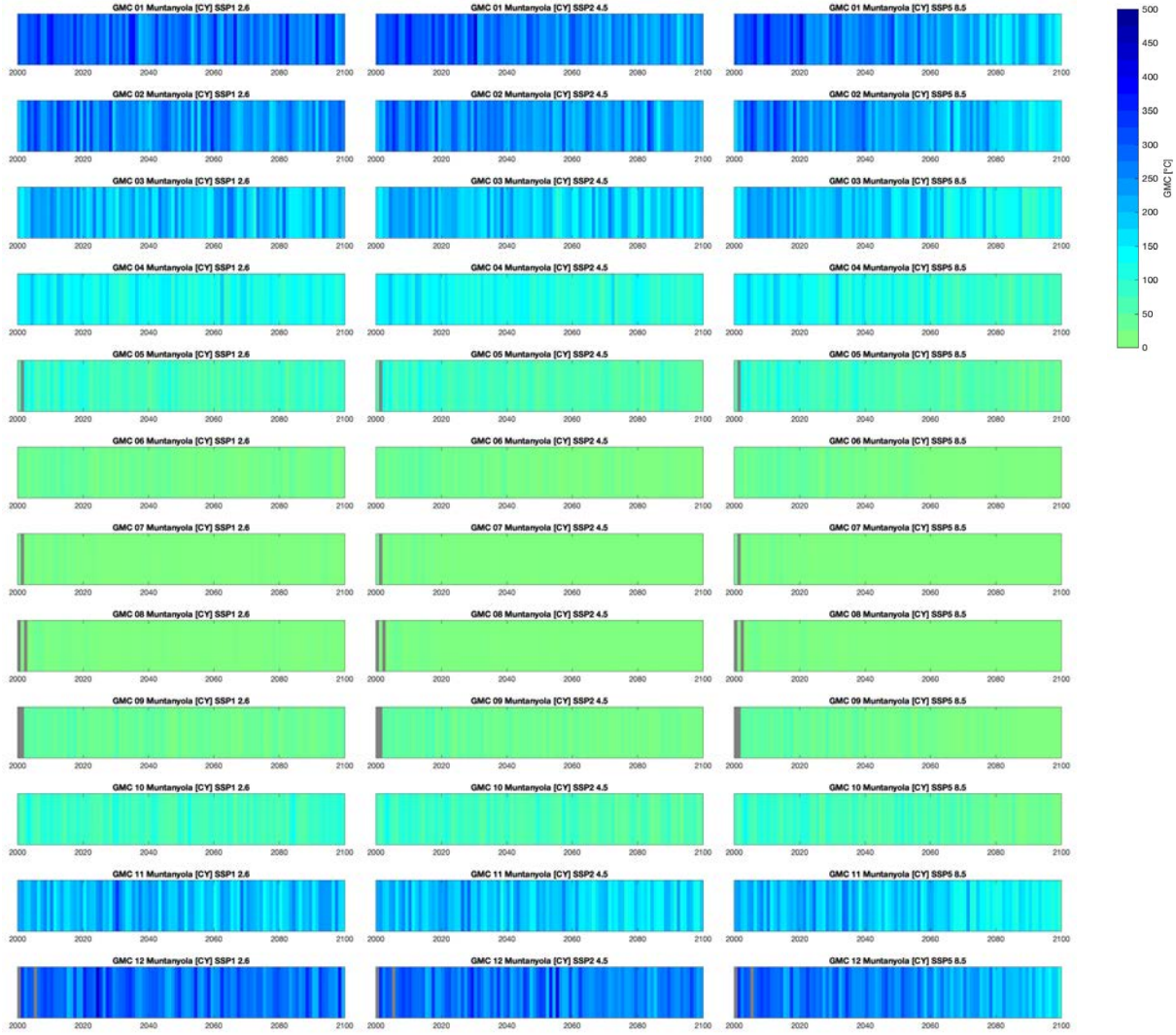

Figura A.65: Evolució dels graus-mes de calefacció (GMC) a l'estació CY- Muntanyola, per als diferents escenaris [SSP1 2.6, SSP2 4.5 i SSP5 8.5] per al model climàtic AWI-CM.

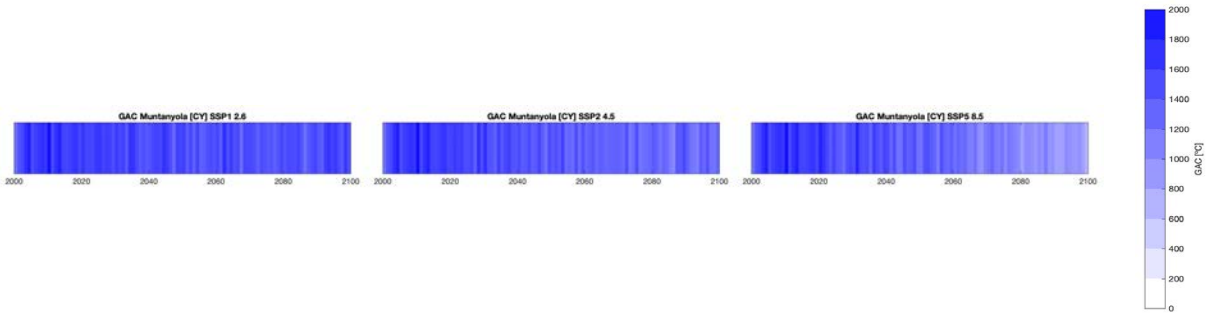

Figura A.66: Evolució dels graus-any de calefacció (GAC) a l'estació CY- Muntanyola, per als diferents escenaris [SSP1 2.6, SSP2 4.5 i SSP5 8.5] per al model climàtic AWI-CM.

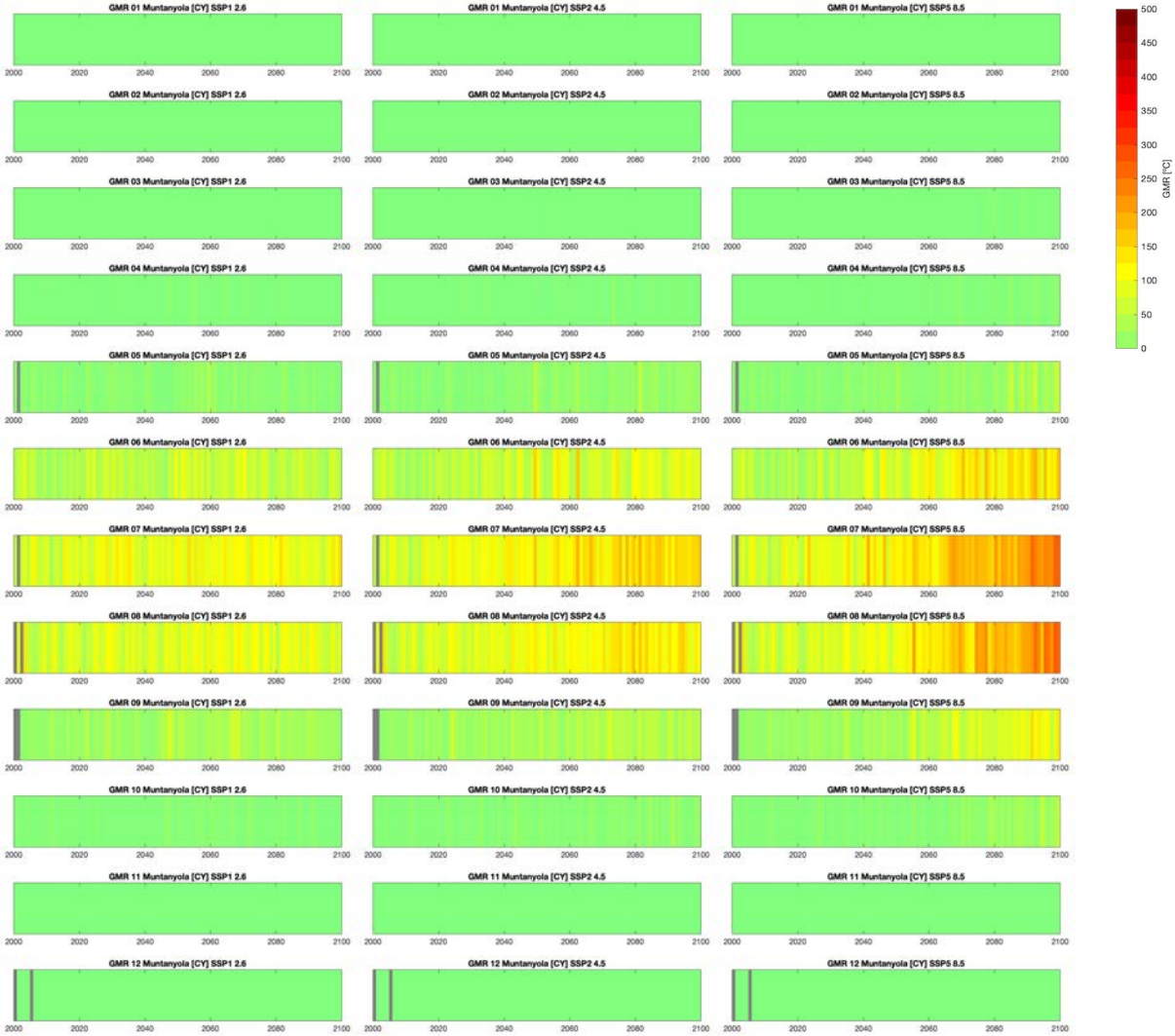

Figura A.67: Evolució dels graus-mes de refrigeració (GMR a l'estació CY- Muntanyola, per als diferents escenaris [SSP1 2.6, SSP2 4.5 i SSP5 8.5] per al model climàtic AWI-CM.

Figura A.68: Evolució dels graus-any de refrigeració (GAR a l'estació CY- Muntanyola, per als diferents escenaris [SSP1 2.6, SSP2 4.5 i SSP5 8.5] per al model climàtic AWI-CM.

A.1.19 D1 - Margalef

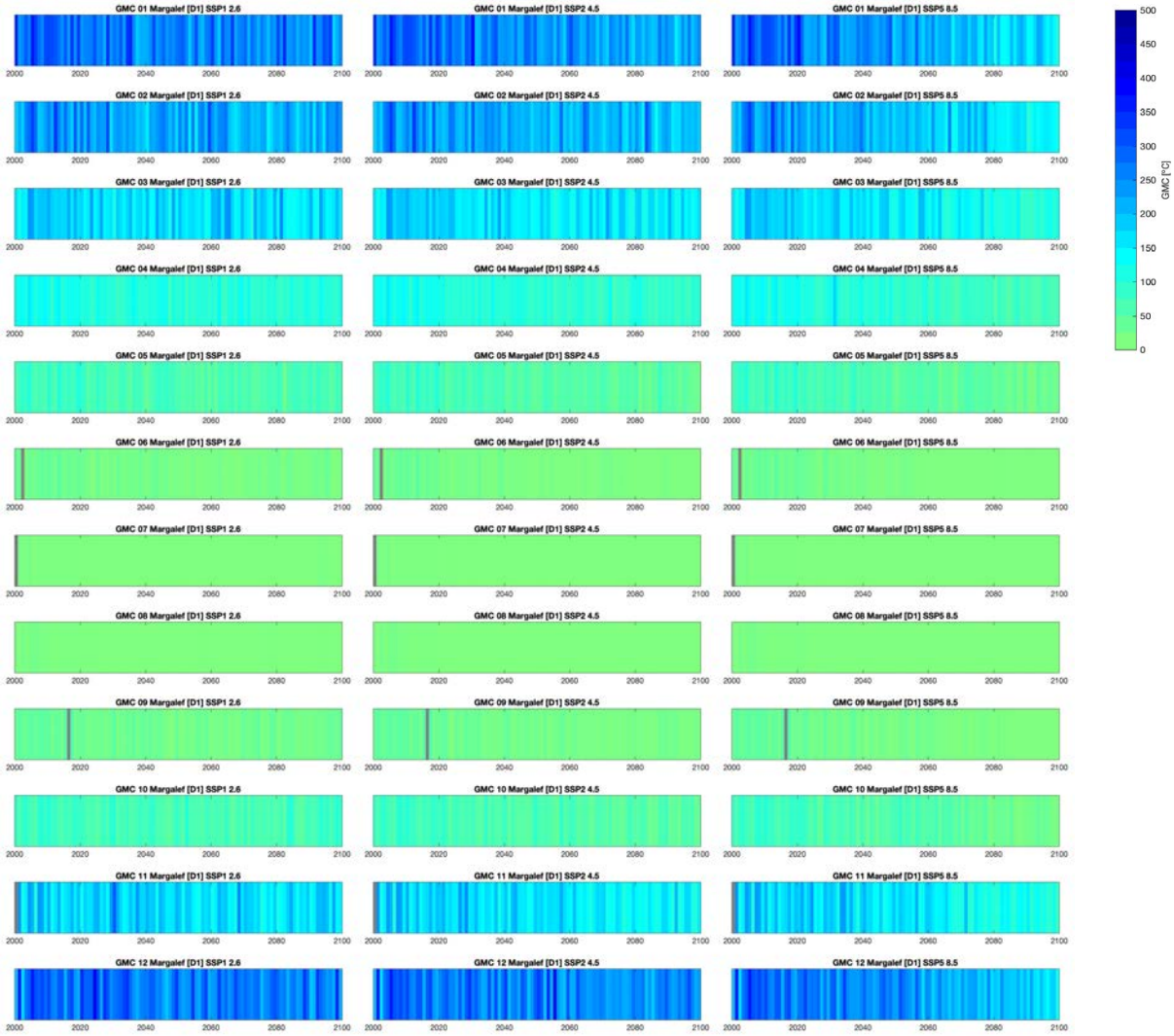

Figura A.69: Evolució dels graus-mes de calefacció (GMC) a l'estació D1- Margalef, per als diferents escenaris [SSP1 2.6, SSP2 4.5 i SSP5 8.5] per al model climàtic AWI-CM.

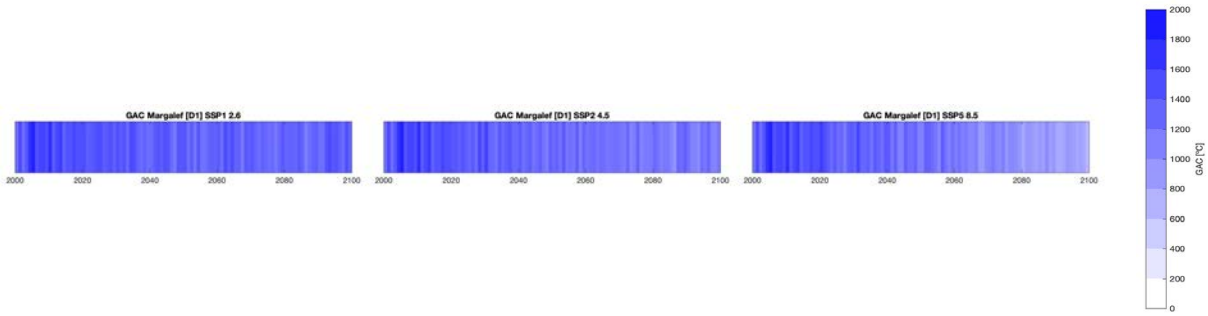

Figura A.70: Evolució dels graus-any de calefacció (GAC) a l'estació D1- Margalef, per als diferents escenaris [SSP1 2.6, SSP2 4.5 i SSP5 8.5] per al model climàtic AWI-CM.

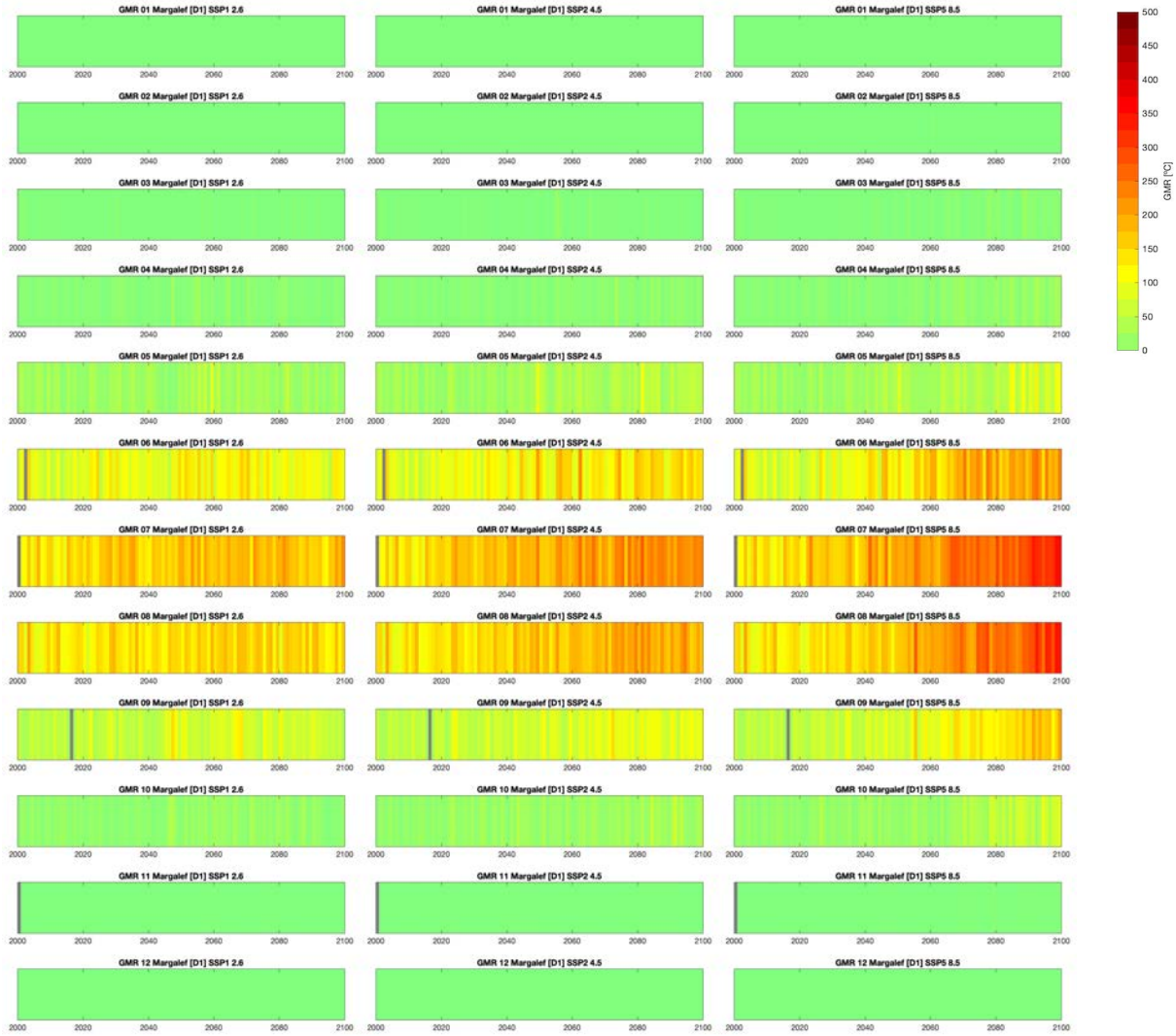

Figura A.71: Evolució dels graus-mes de refrigeració (GMR a l'estació D1- Margalef, per als diferents escenaris [SSP1 2.6, SSP2 4.5 i SSP5 8.5] per al model climàtic AWI-CM.

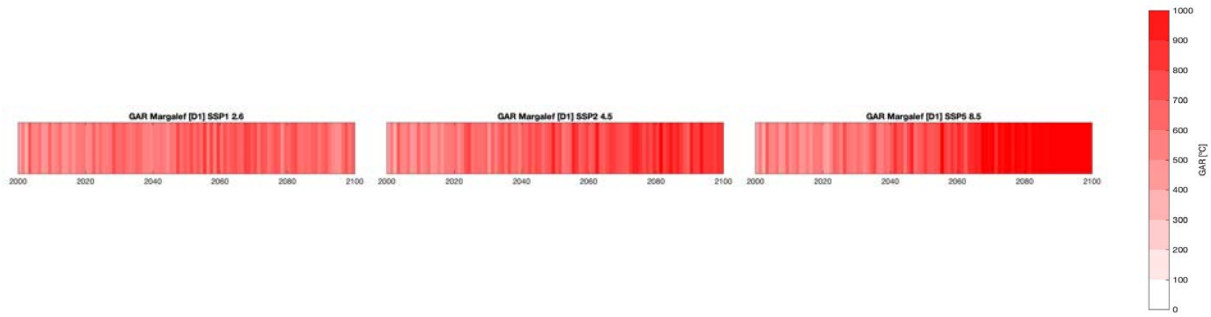

Figura A.72: Evolució dels graus-any de refrigeració (GAR a l'estació D1- Margalef, per als diferents escenaris [SSP1 2.6, SSP2 4.5 i SSP5 8.5] per al model climàtic AWI-CM.

A.1.20 D2 - Vacarisses

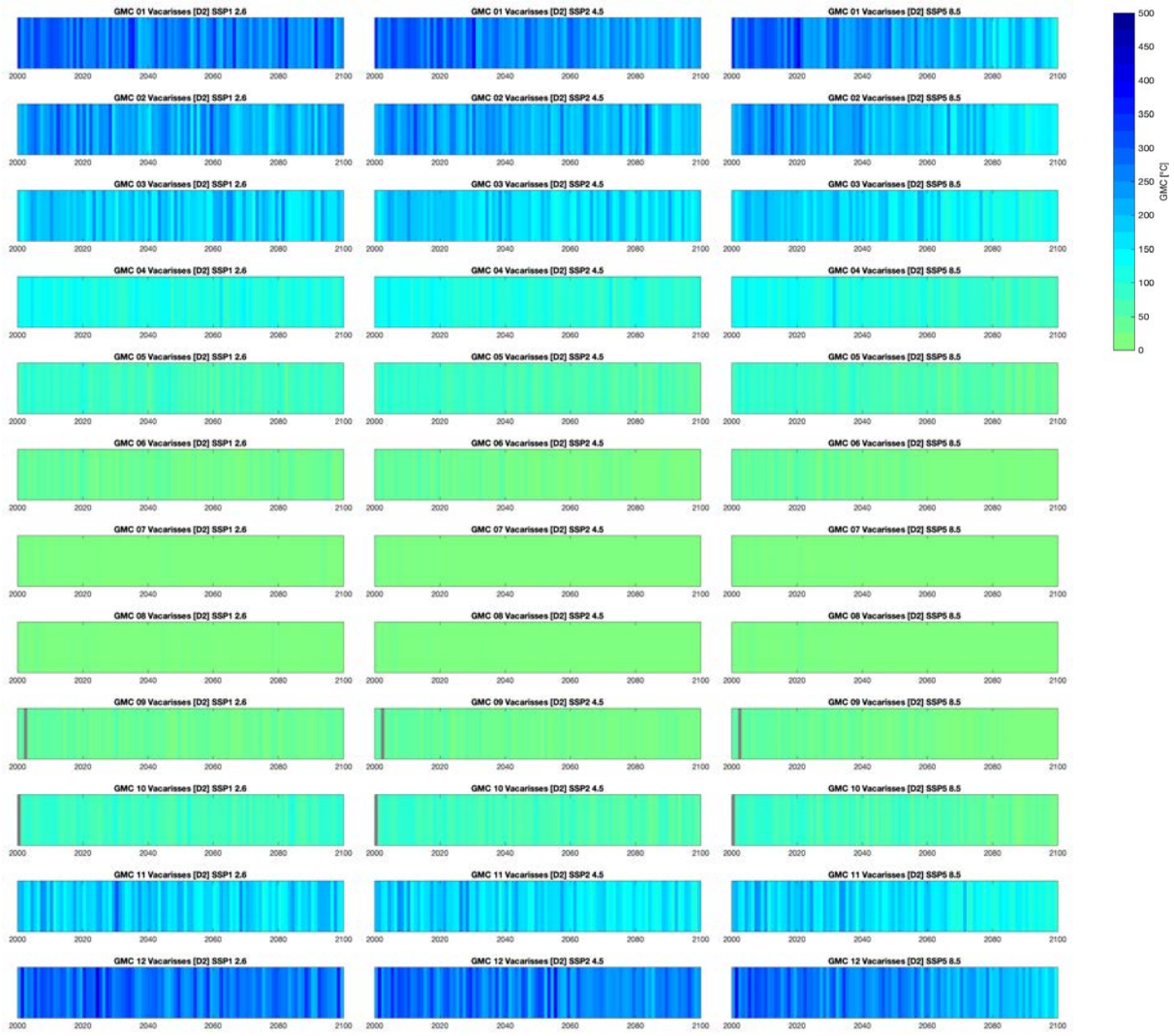

Figura A.73: Evolució dels graus-mes de calefacció (GMC) a l'estació D2- Vacarisses, per als diferents escenaris [SSP1 2.6, SSP2 4.5 i SSP5 8.5] per al model climàtic AWI-CM.

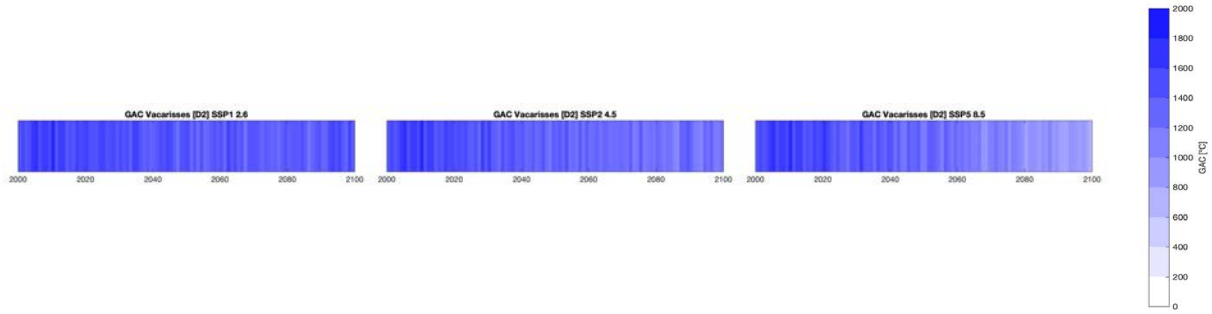

Figura A.74: Evolució dels graus-any de calefacció (GAC) a l'estació D2- Vacarisses, per als diferents escenaris [SSP1 2.6, SSP2 4.5 i SSP5 8.5] per al model climàtic AWI-CM.

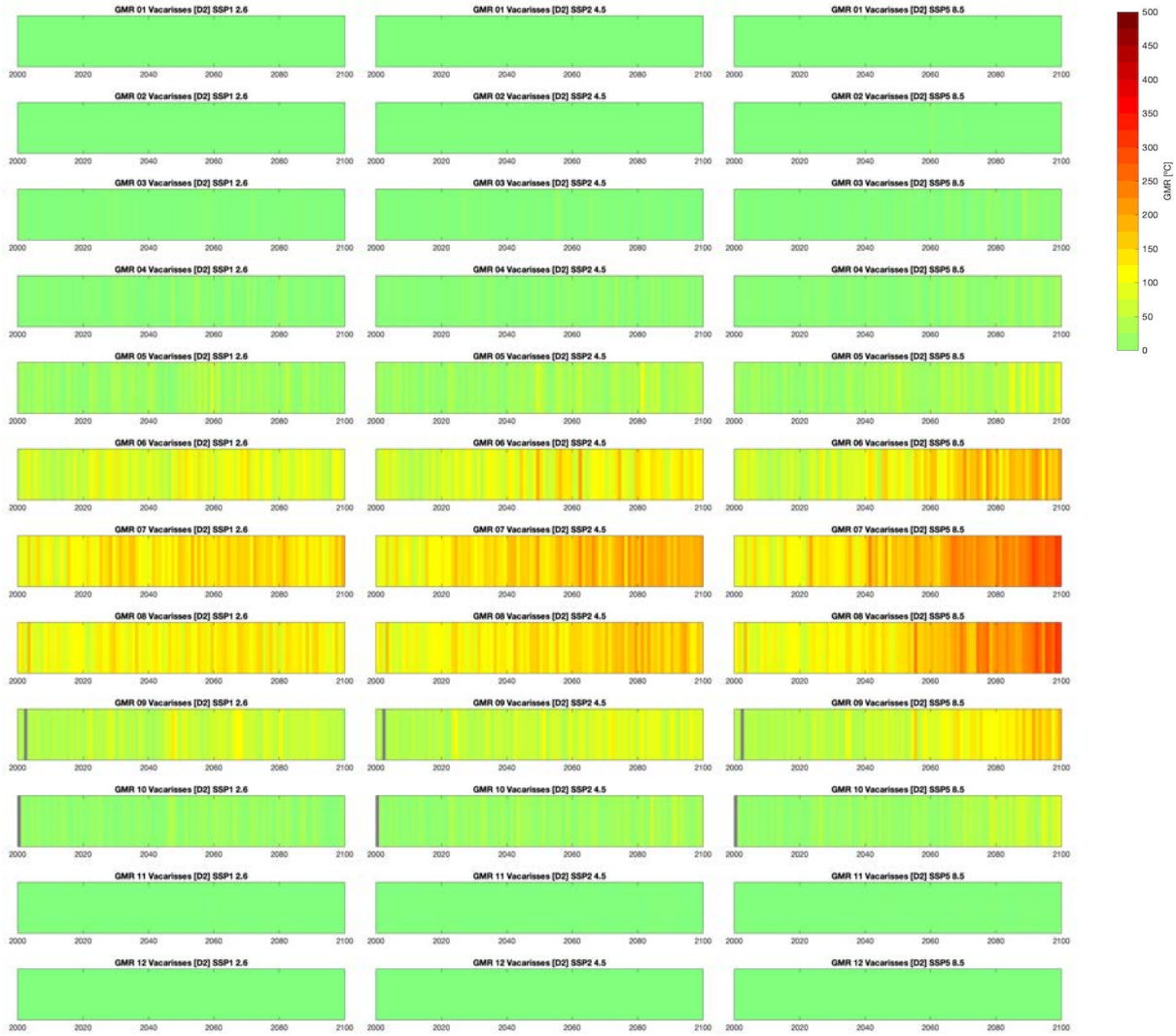

Figura A.75: Evolució dels graus-mes de refrigeració (GMR a l'estació D2- Vacarisses, per als diferents escenaris [SSP1 2.6, SSP2 4.5 i SSP5 8.5] per al model climàtic AWI-CM.

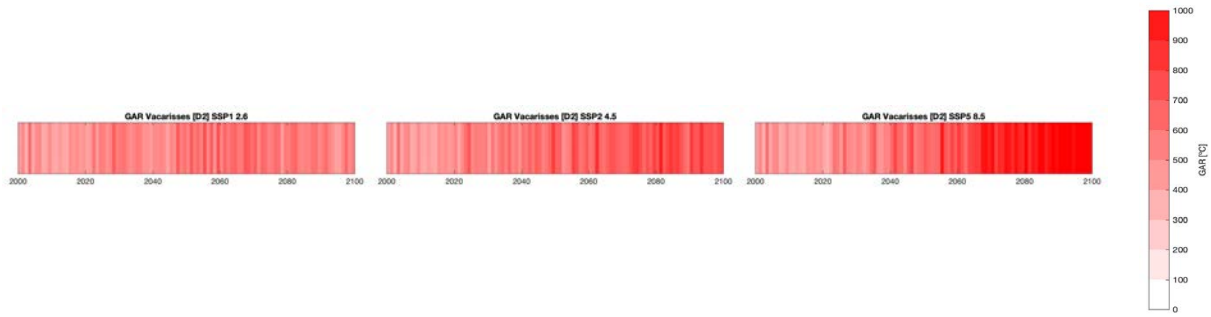

Figura A.76: Evolució dels graus-any de refrigeració (GAR a l'estació D2- Vacarisses, per als diferents escenaris [SSP1 2.6, SSP2 4.5 i SSP5 8.5] per al model climàtic AWI-CM.

A.1.21 D3 - Vallirana

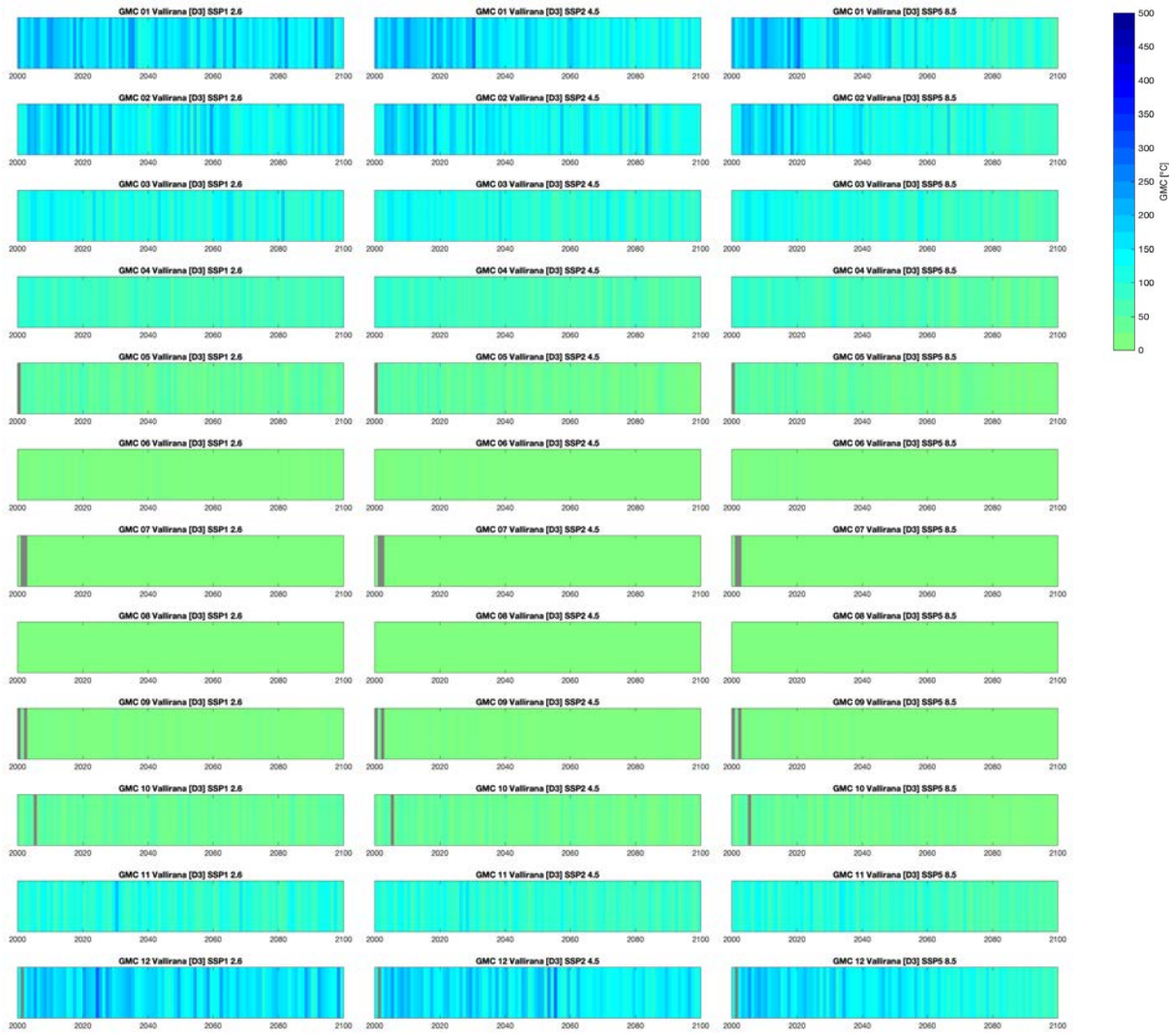

Figura A.77: Evolució dels graus-mes de calefacció (GMC) a l'estació D3- Vallirana, per als diferents escenaris [SSP1 2.6, SSP2 4.5 i SSP5 8.5] per al model climàtic AWI-CM.

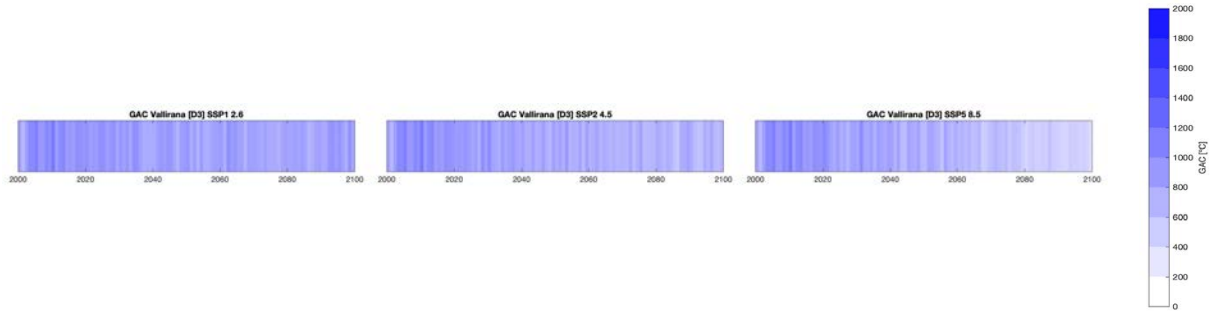

Figura A.78: Evolució dels graus-any de calefacció (GAC) a l'estació D3- Vallirana, per als diferents escenaris [SSP1 2.6, SSP2 4.5 i SSP5 8.5] per al model climàtic AWI-CM.

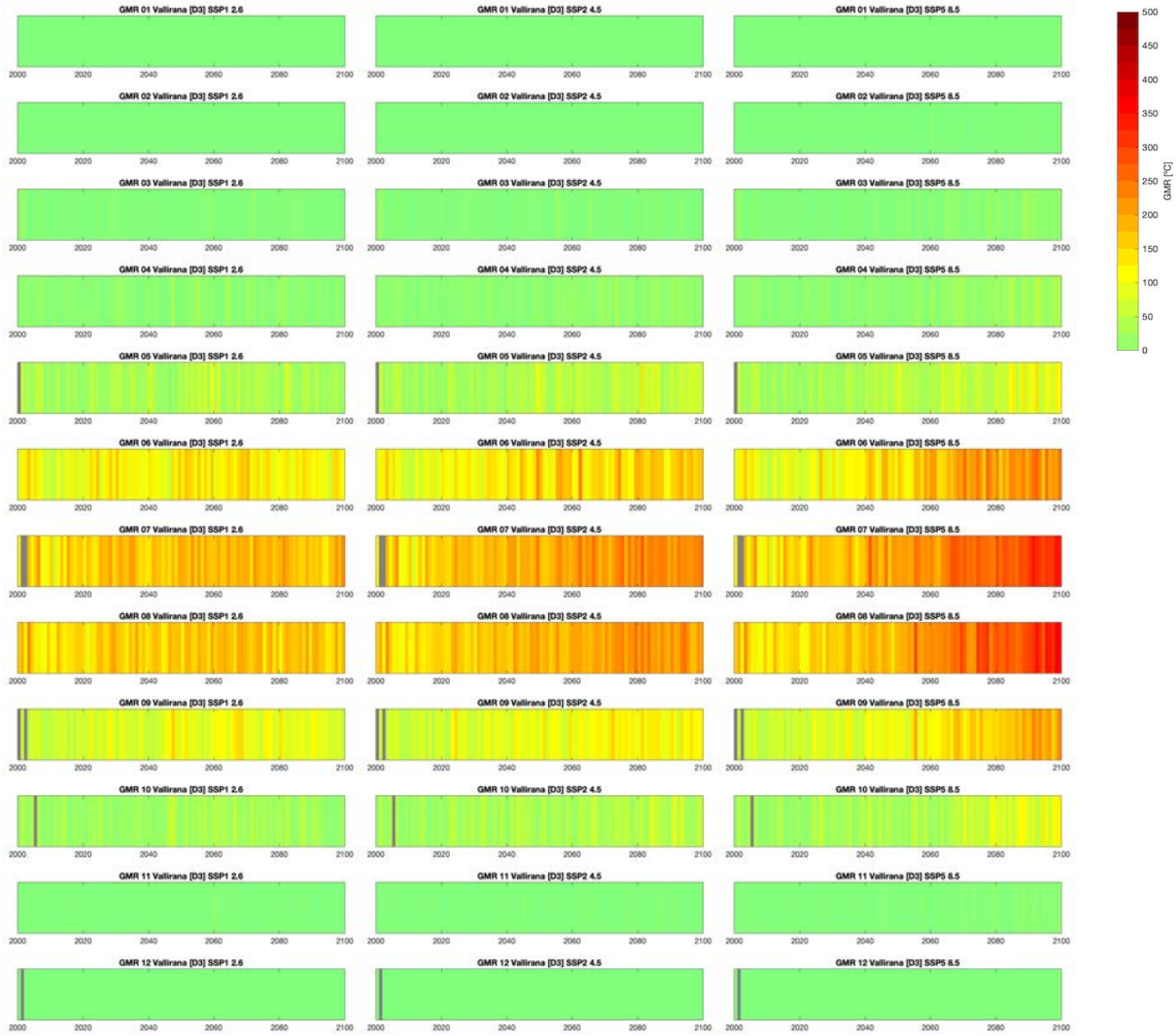

Figura A.79: Evolució dels graus-mes de refrigeració (GMR a l'estació D3- Vallirana, per als diferents escenaris [SSP1 2.6, SSP2 4.5 i SSP5 8.5] per al model climàtic AWI-CM.

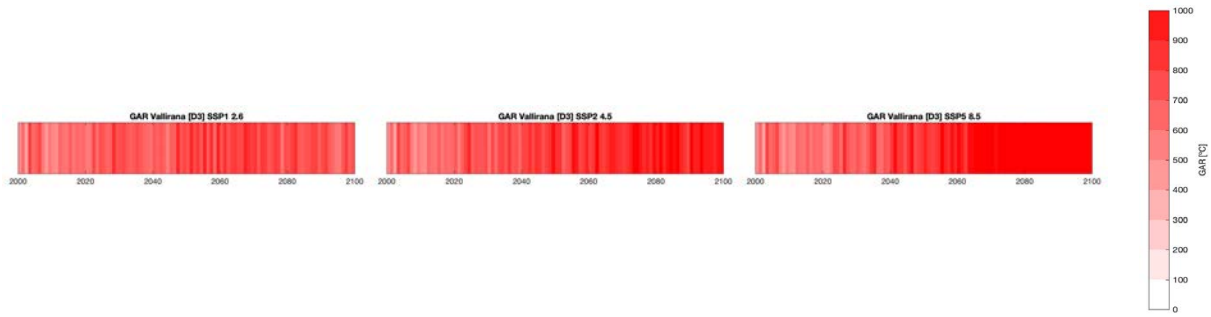

Figura A.80: Evolució dels graus-any de refrigeració (GAR a l'estació D3- Vallirana, per als diferents escenaris [SSP1 2.6, SSP2 4.5 i SSP5 8.5] per al model climàtic AWI-CM.

A.1.22 D4 - Roses

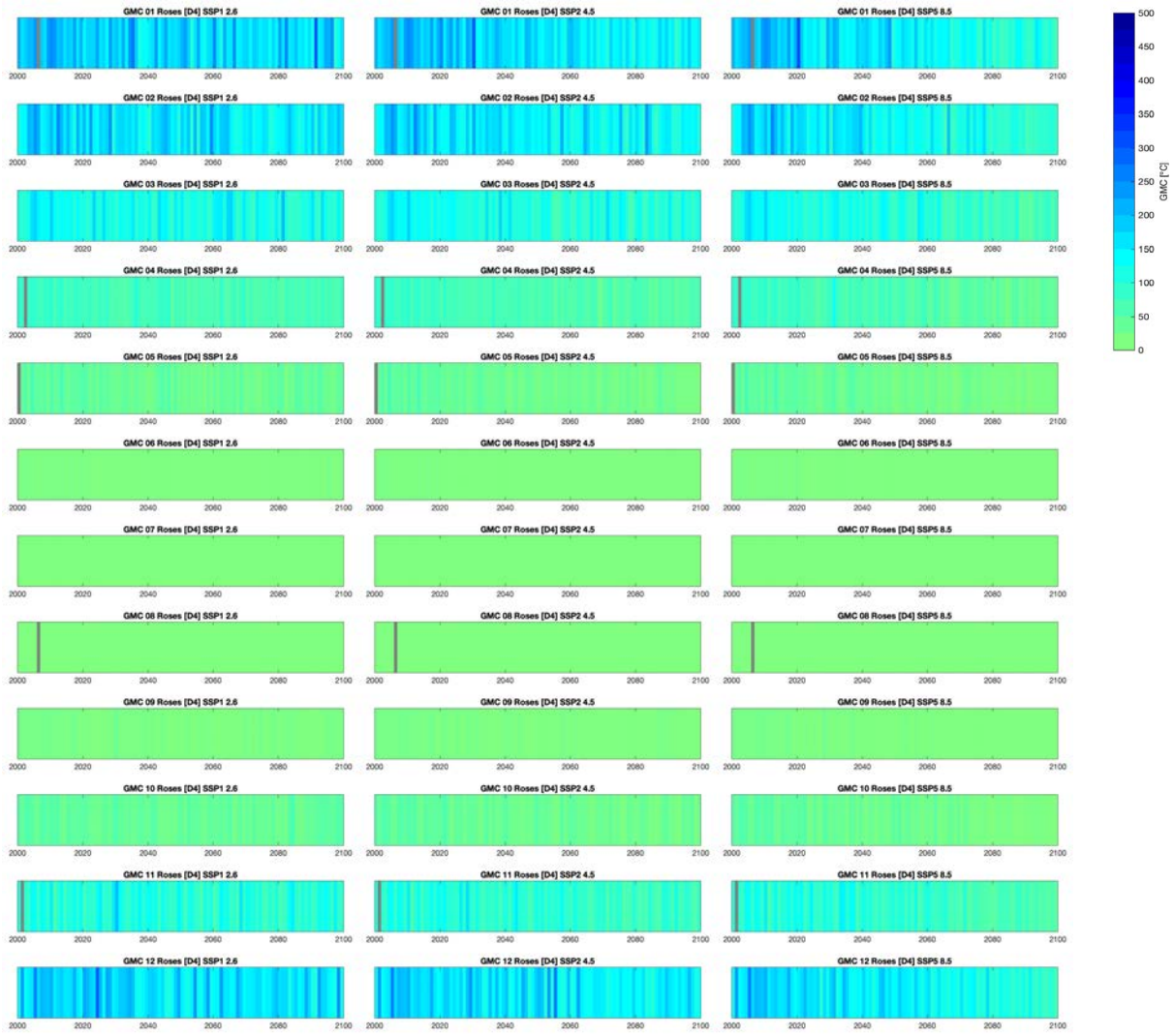

Figura A.81: Evolució dels graus-mes de calefacció (GMC) a l'estació D4- Roses, per als diferents escenaris [SSP1 2.6, SSP2 4.5 i SSP5 8.5] per al model climàtic AWI-CM.

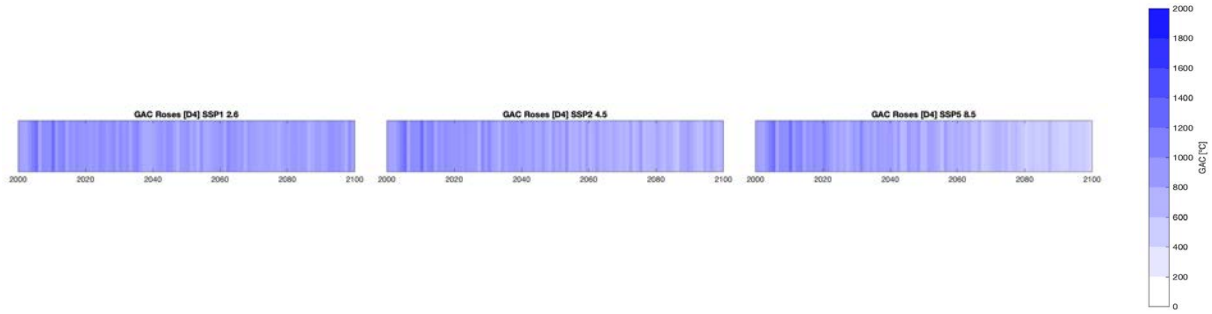

Figura A.82: Evolució dels graus-any de calefacció (GAC) a l'estació D4- Roses, per als diferents escenaris [SSP1 2.6, SSP2 4.5 i SSP5 8.5] per al model climàtic AWI-CM.

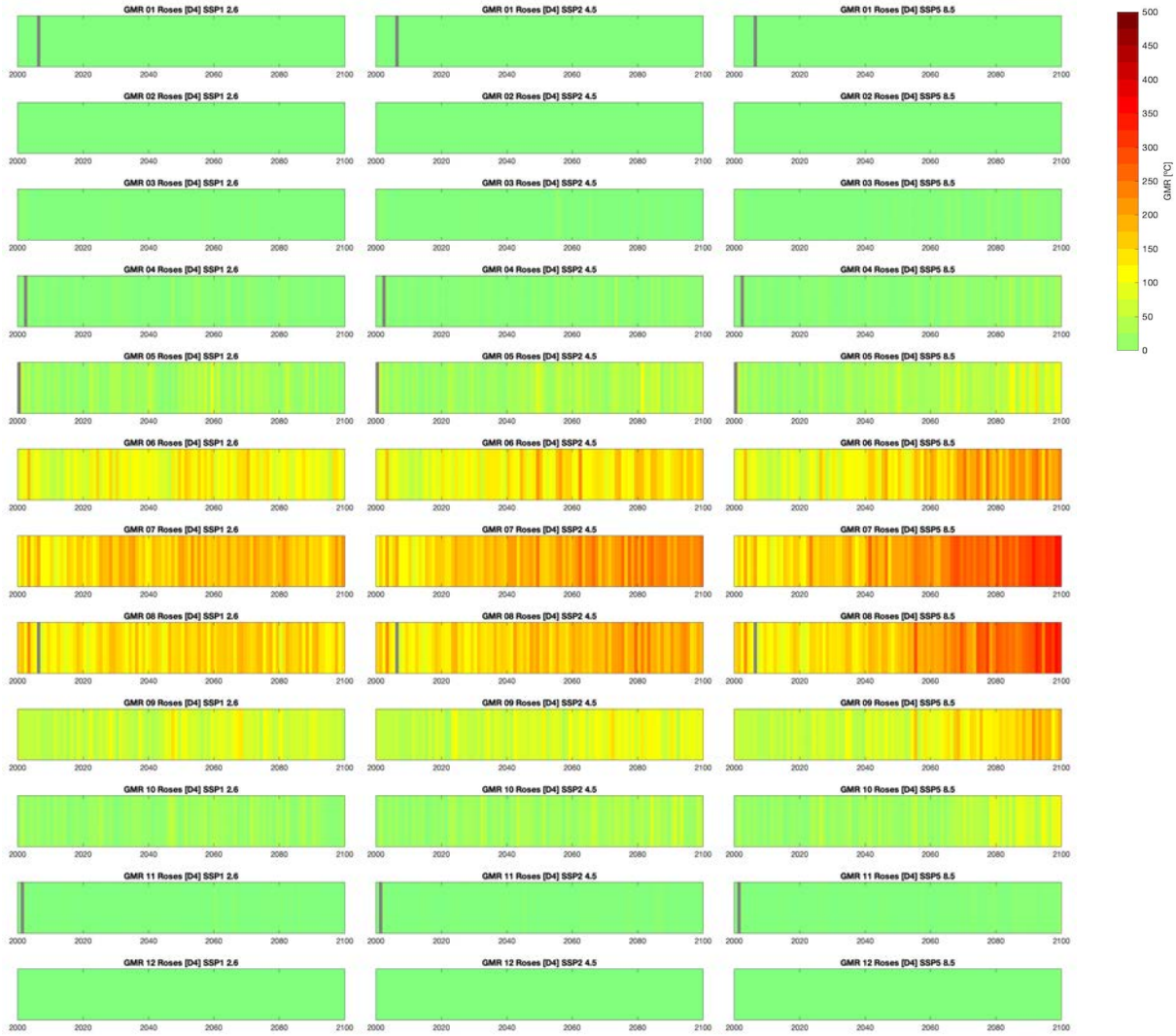

Figura A.83: Evolució dels graus-mes de refrigeració (GMR a l'estació D4- Roses, per als diferents escenaris [SSP1 2.6, SSP2 4.5 i SSP5 8.5] per al model climàtic AWI-CM.

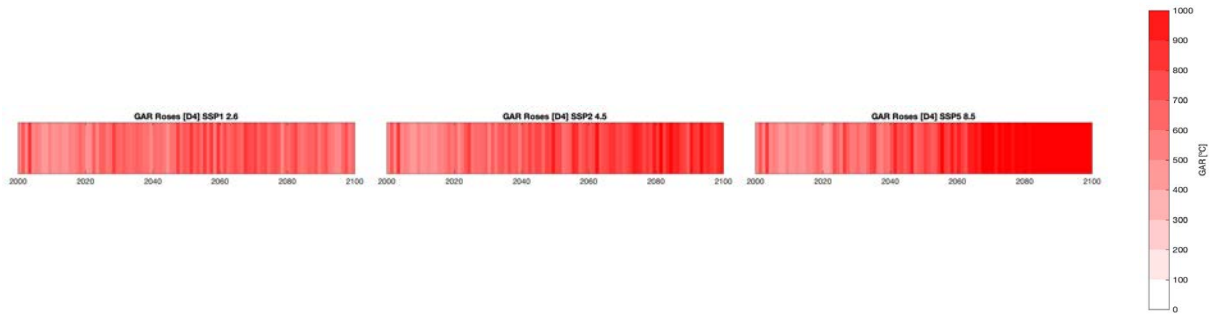

Figura A.84: Evolució dels graus-any de refrigeració (GAR a l'estació D4- Roses, per als diferents escenaris [SSP1 2.6, SSP2 4.5 i SSP5 8.5] per al model climàtic AWI-CM.

A.1.23 D5 - Barcelona - Observatori Fabra

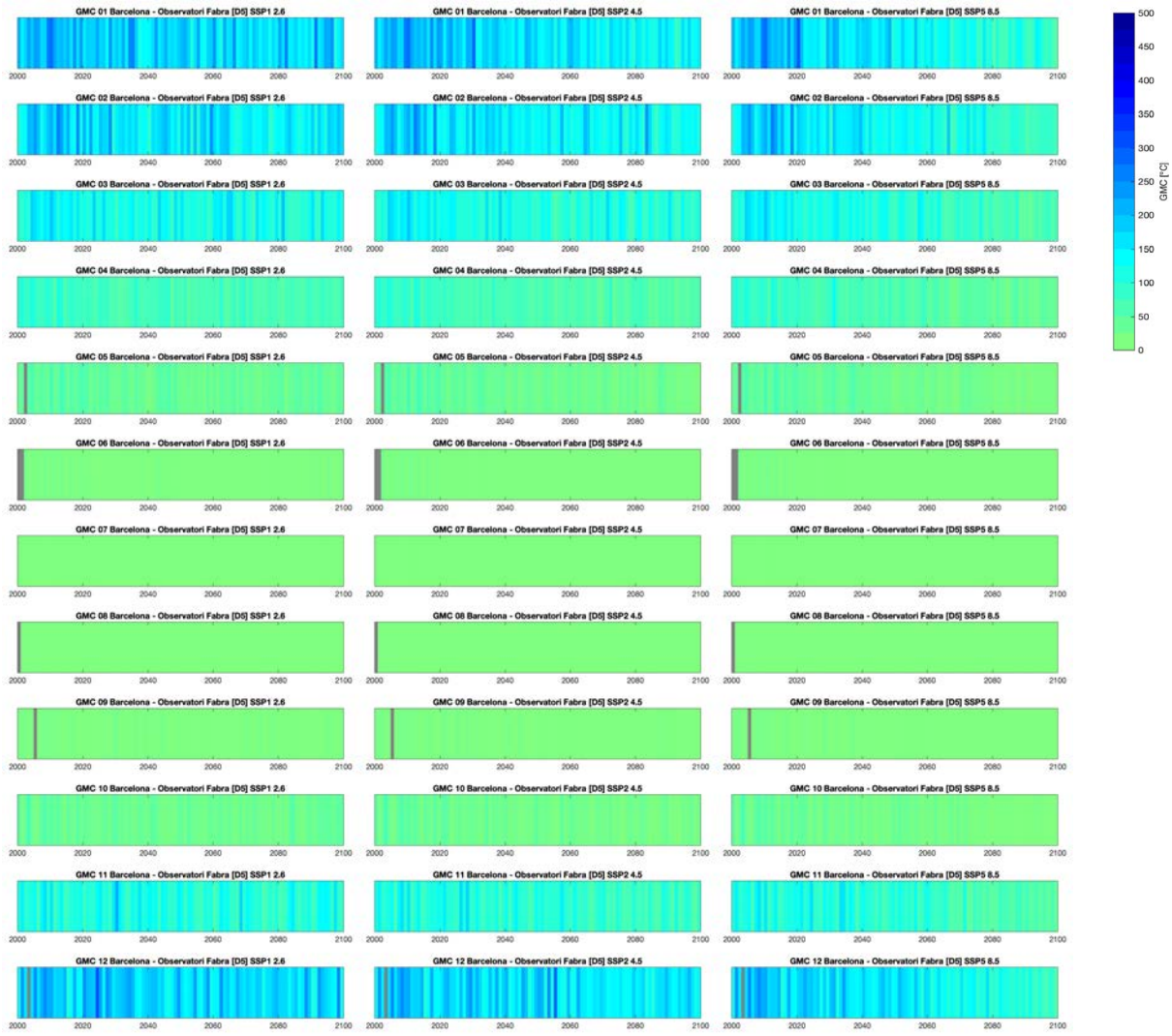

Figura A.85: Evolució dels graus-mes de calefacció (GMC) a l'estació D5- Barcelona - Observatori Fabra, per als diferents escenaris [SSP1 2.6, SSP2 4.5 i SSP5 8.5] per al model climàtic AWI-CM.

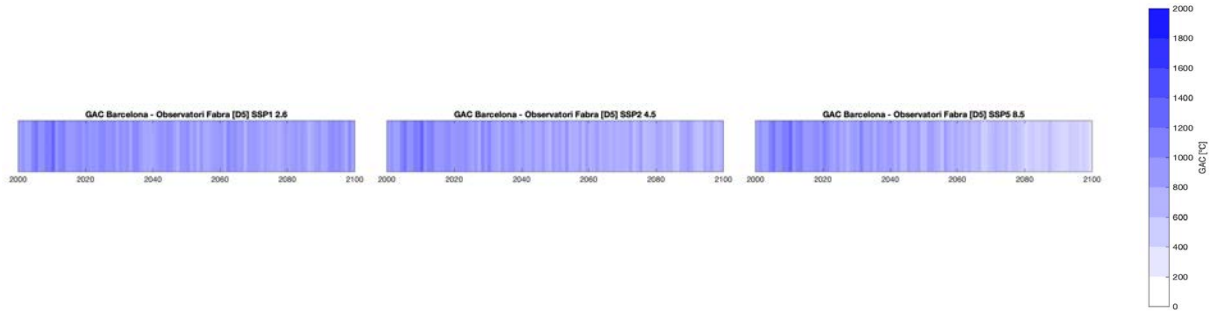

Figura A.86: Evolució dels graus-any de calefacció (GAC) a l'estació D5- Barcelona - Observatori Fabra, per als diferents escenaris [SSP1 2.6, SSP2 4.5 i SSP5 8.5] per al model climàtic AWI-CM.

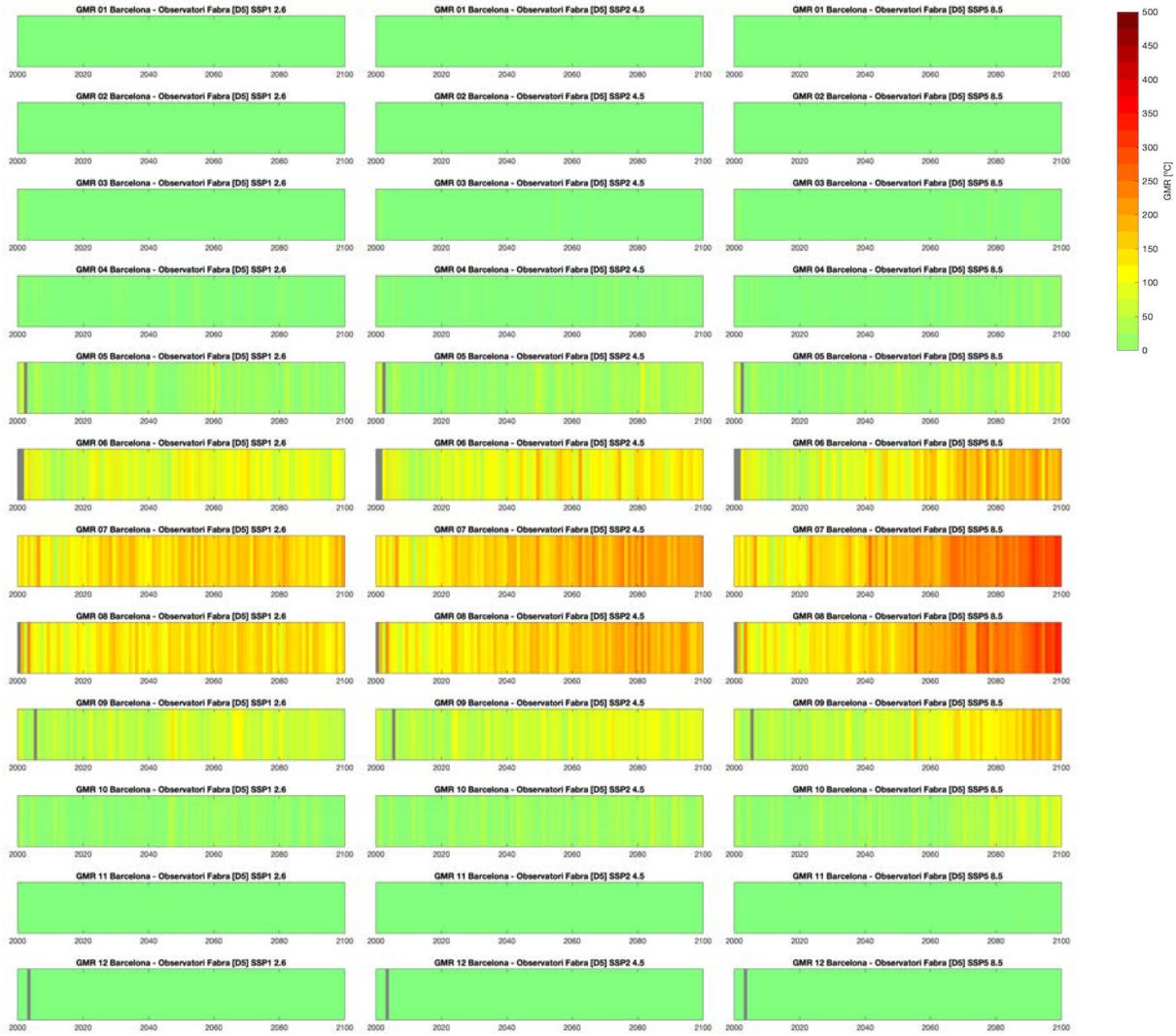

Figura A.87: Evolució dels graus-mes de refrigeració (GMR a l'estació D5- Barcelona - Observatori Fabra, per als diferents escenaris [SSP1 2.6, SSP2 4.5 i SSP5 8.5] per al model climàtic AWI-CM.

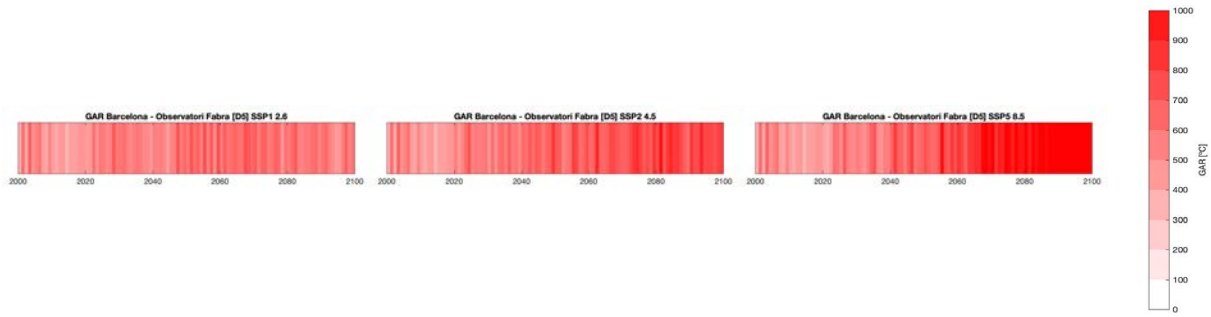

Figura A.88: Evolució dels graus-any de refrigeració (GAR a l'estació D5- Barcelona - Observatori Fabra, per als diferents escenaris [SSP1 2.6, SSP2 4.5 i SSP5 8.5] per al model climàtic AWI-CM.

A.1.24 D6 - Portbou

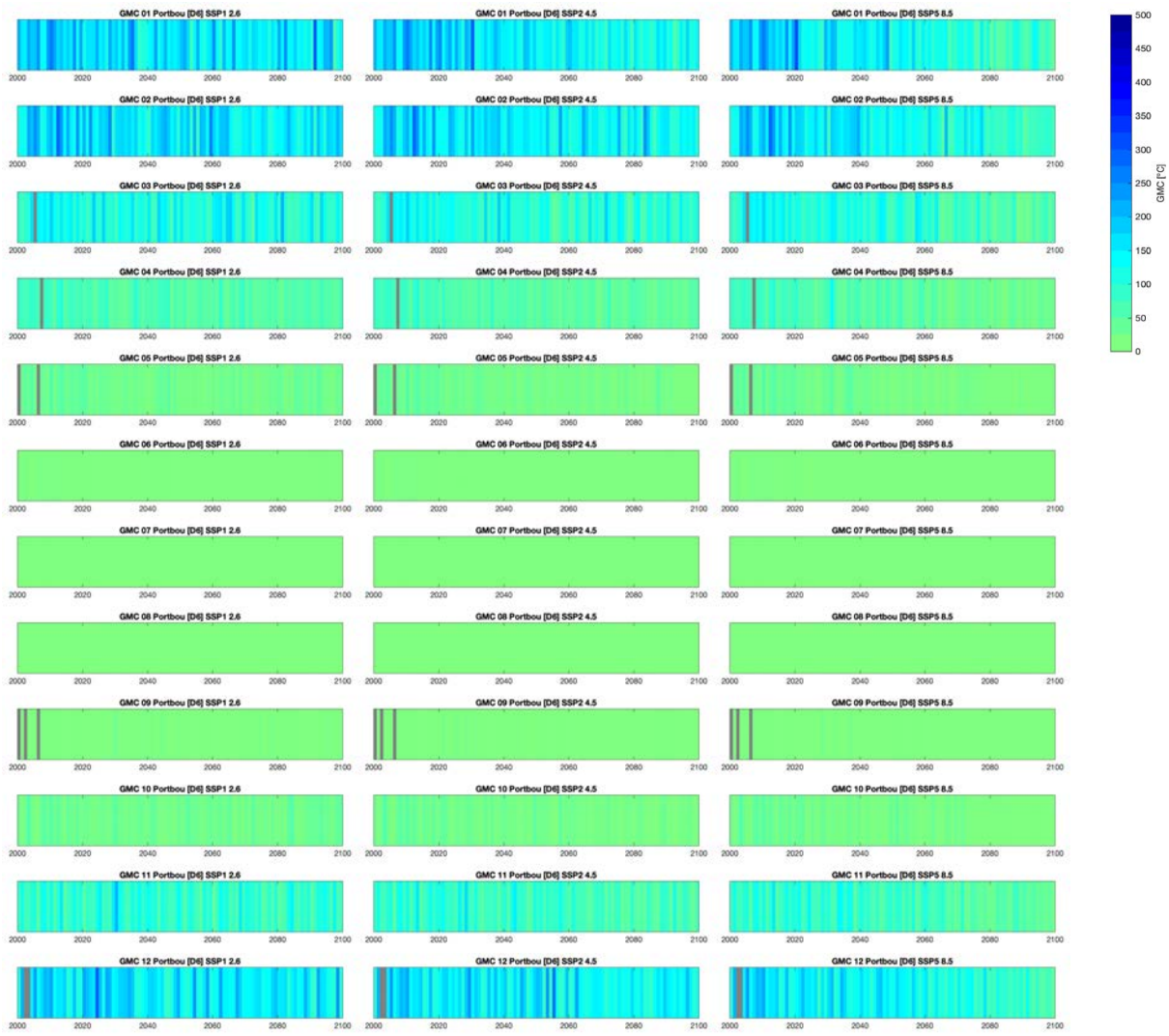

Figura A.89: Evolució dels graus-mes de calefacció (GMC) a l'estació D6- Portbou, per als diferents escenaris [SSP1 2.6, SSP2 4.5 i SSP5 8.5] per al model climàtic AWI-CM.

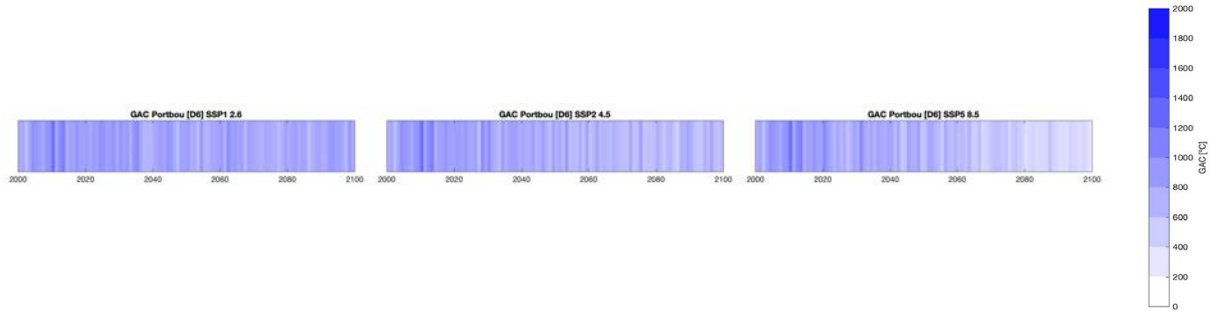

Figura A.90: Evolució dels graus-any de calefacció (GAC) a l'estació D6- Portbou, per als diferents escenaris [SSP1 2.6, SSP2 4.5 i SSP5 8.5] per al model climàtic AWI-CM.

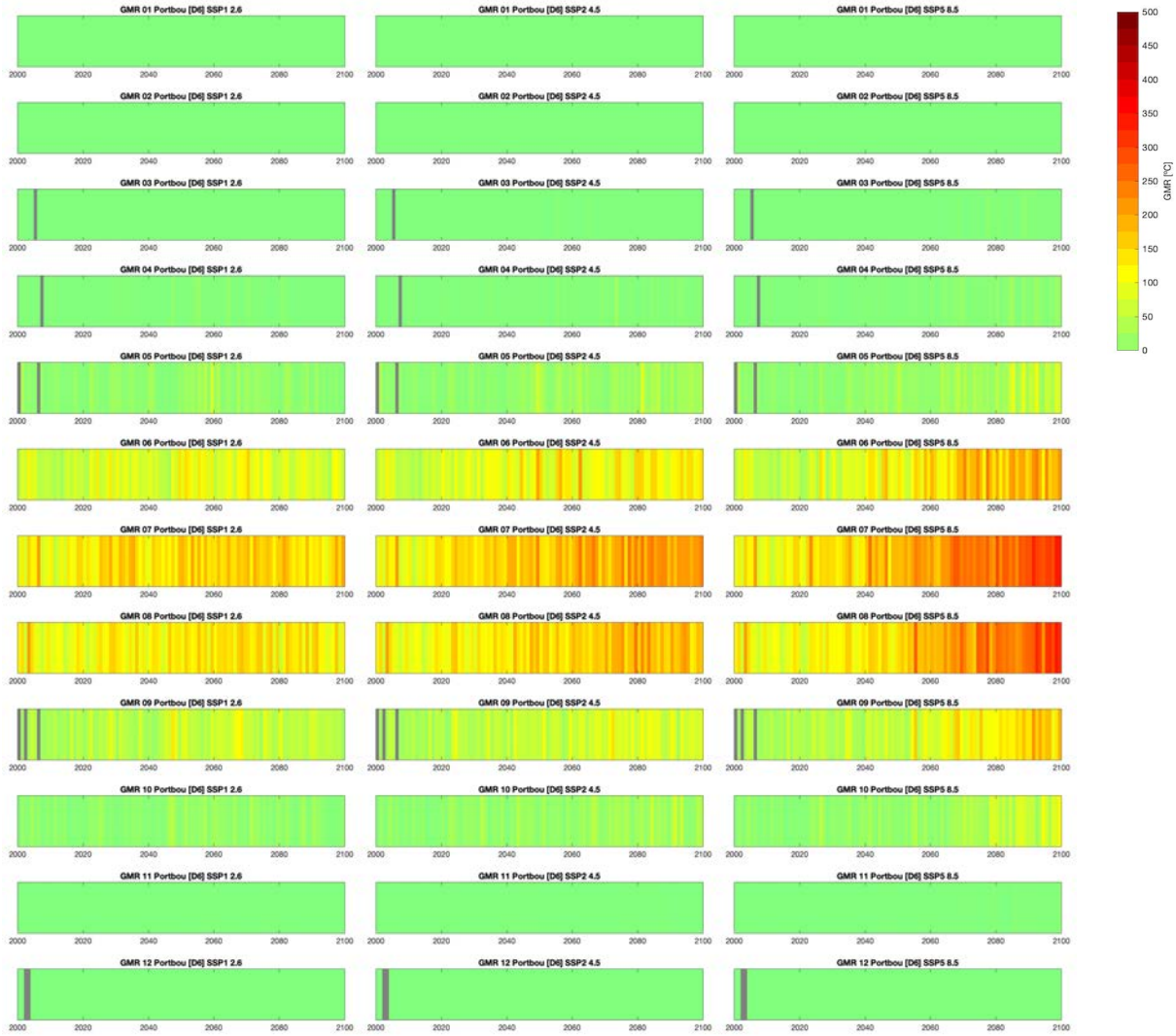

Figura A.91: Evolució dels graus-mes de refrigeració (GMR a l'estació D6- Portbou, per als diferents escenaris [SSP1 2.6, SSP2 4.5 i SSP5 8.5] per al model climàtic AWI-CM.

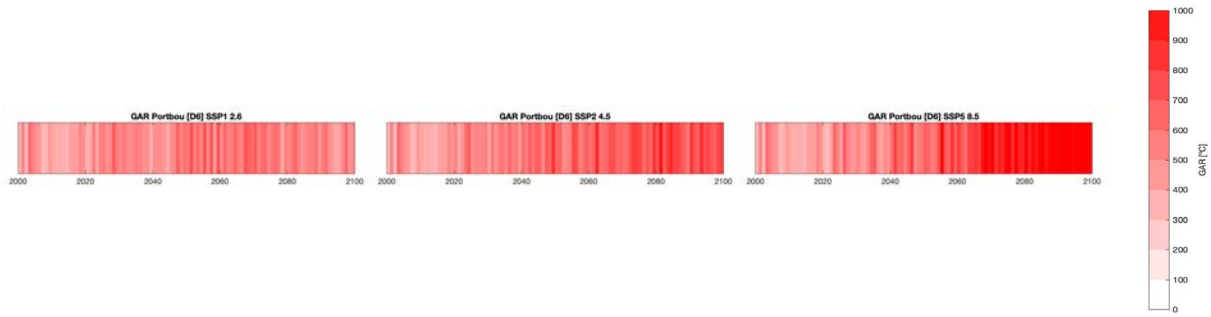

Figura A.92: Evolució dels graus-any de refrigeració (GAR a l'estació D6- Portbou, per als diferents escenaris [SSP1 2.6, SSP2 4.5 i SSP5 8.5] per al model climàtic AWI-CM.

A.1.25 D7 - Vinebre

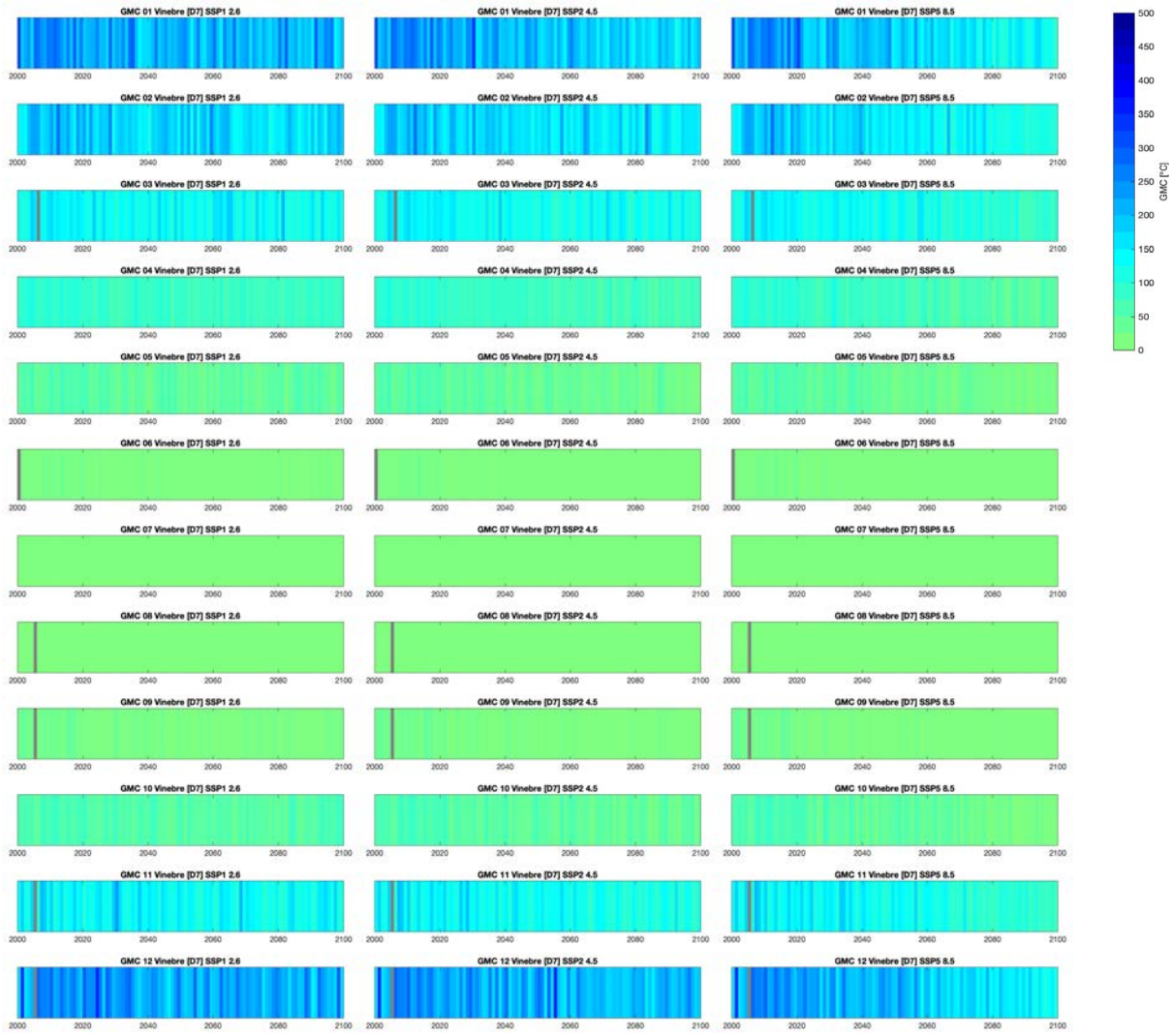

Figura A.93: Evolució dels graus-mes de calefacció (GMC) a l'estació D7- Vinebre, per als diferents escenaris [SSP1 2.6, SSP2 4.5 i SSP5 8.5] per al model climàtic AWI-CM.

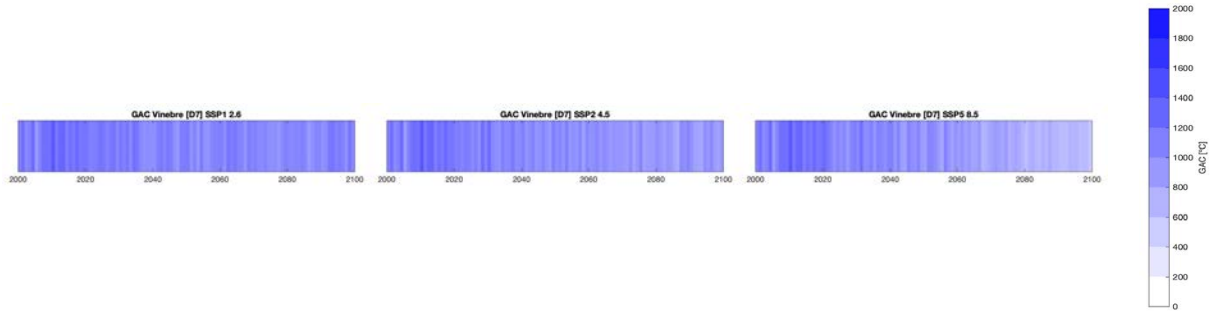

Figura A.94: Evolució dels graus-any de calefacció (GAC) a l'estació D7- Vinebre, per als diferents escenaris [SSP1 2.6, SSP2 4.5 i SSP5 8.5] per al model climàtic AWI-CM.

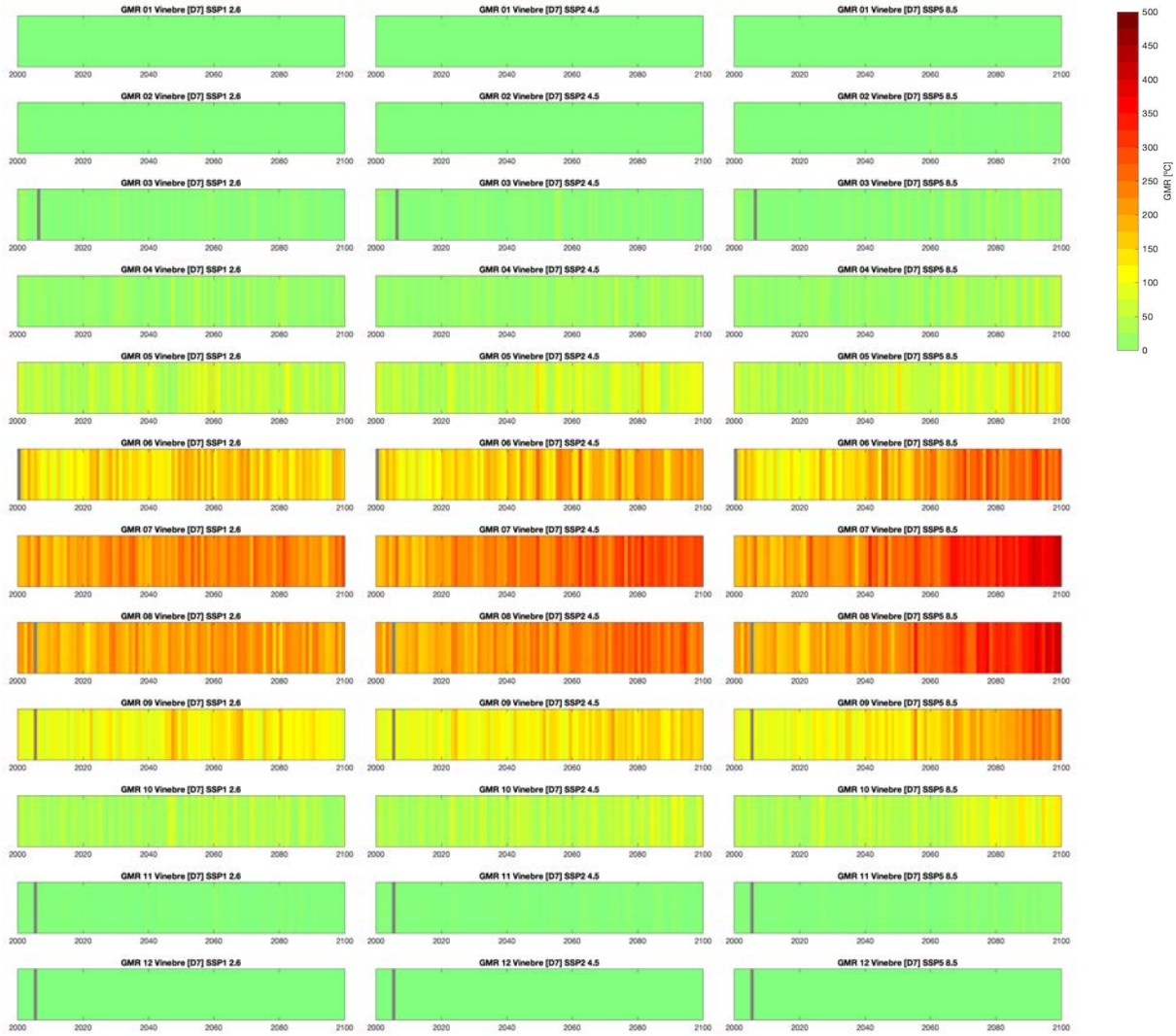

Figura A.95: Evolució dels graus-mes de refrigeració (GMR a l'estació D7- Vinebre, per als diferents escenaris [SSP1 2.6, SSP2 4.5 i SSP5 8.5] per al model climàtic AWI-CM.

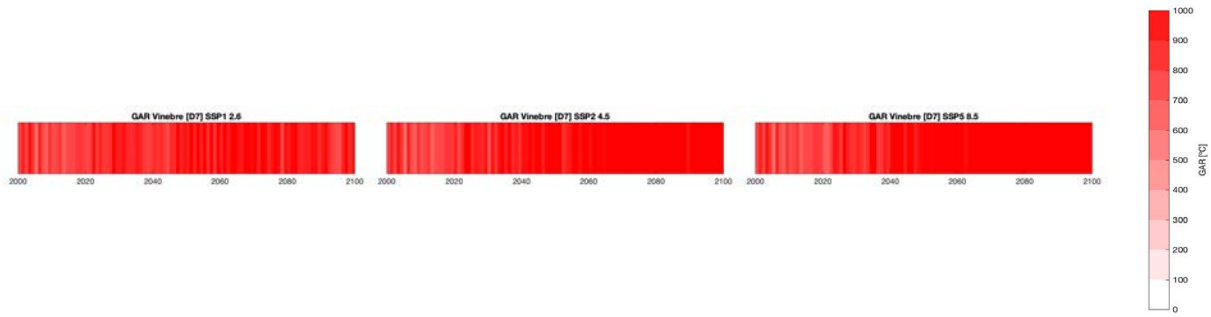

Figura A.96: Evolució dels graus-any de refrigeració (GAR a l'estació D7- Vinebre, per als diferents escenaris [SSP1 2.6, SSP2 4.5 i SSP5 8.5] per al model climàtic AWI-CM.

A.1.26 D8 - Horta de Sant Joan

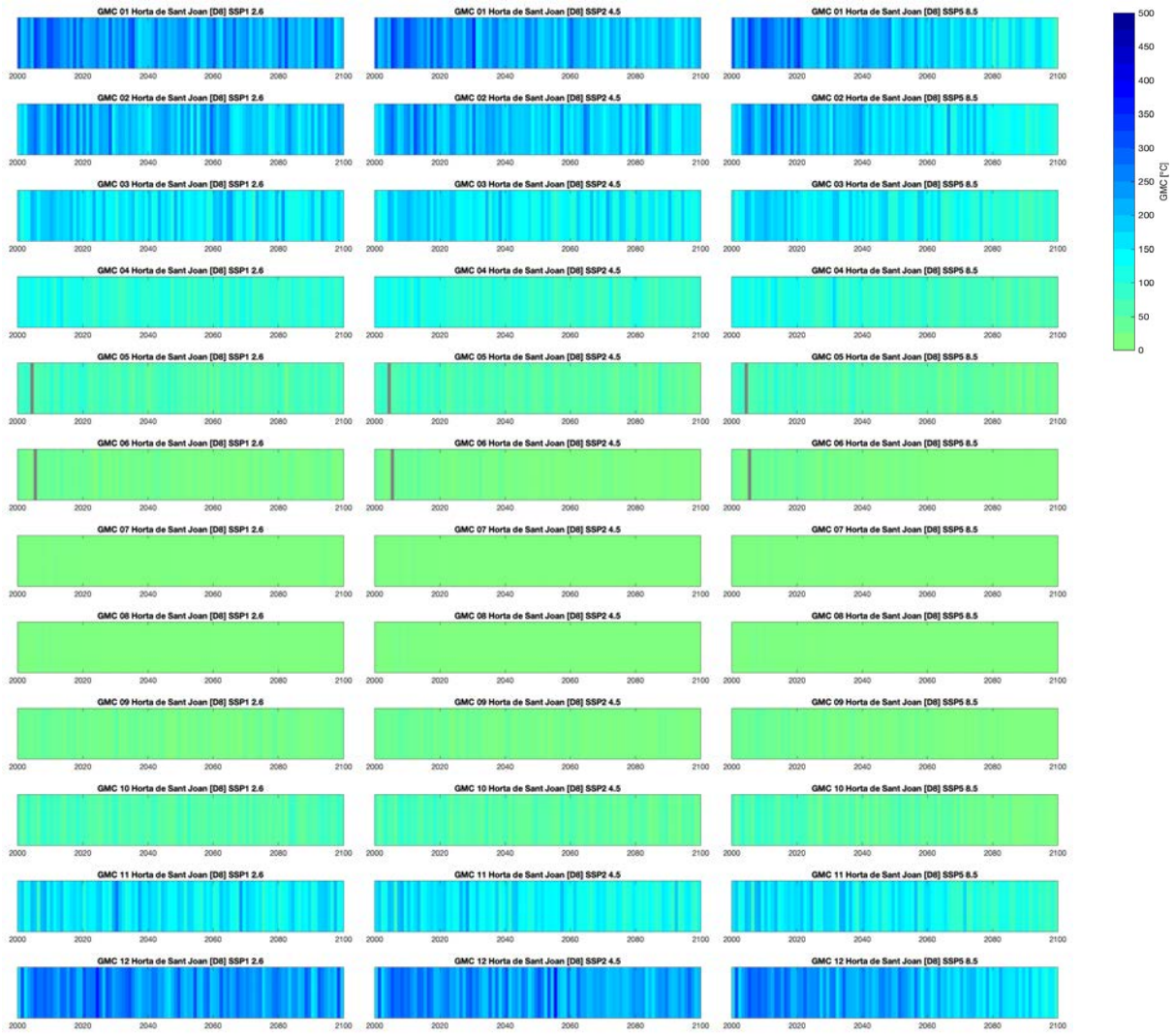

Figura A.97: Evolució dels graus-mes de calefacció (GMC) a l'estació D8- Horta de Sant Joan, per als diferents escenaris [SSP1 2.6, SSP2 4.5 i SSP5 8.5] per al model climàtic AWI-CM.

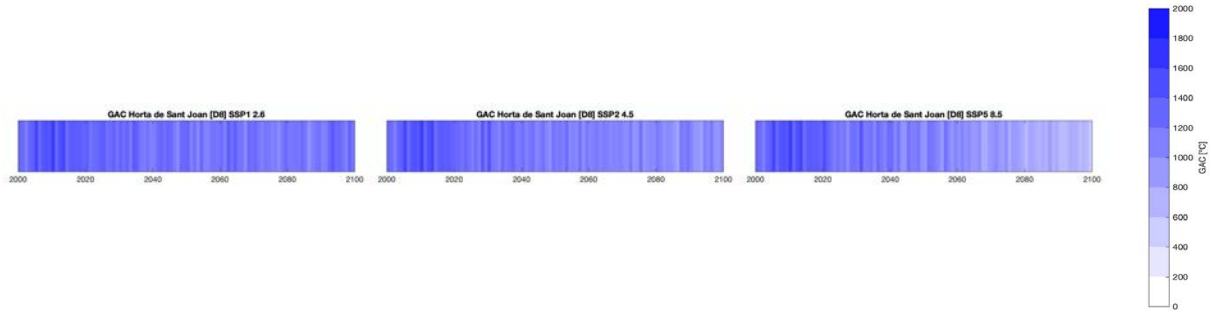

Figura A.98: Evolució dels graus-any de calefacció (GAC) a l'estació D8- Horta de Sant Joan, per als diferents escenaris [SSP1 2.6, SSP2 4.5 i SSP5 8.5] per al model climàtic AWI-CM.

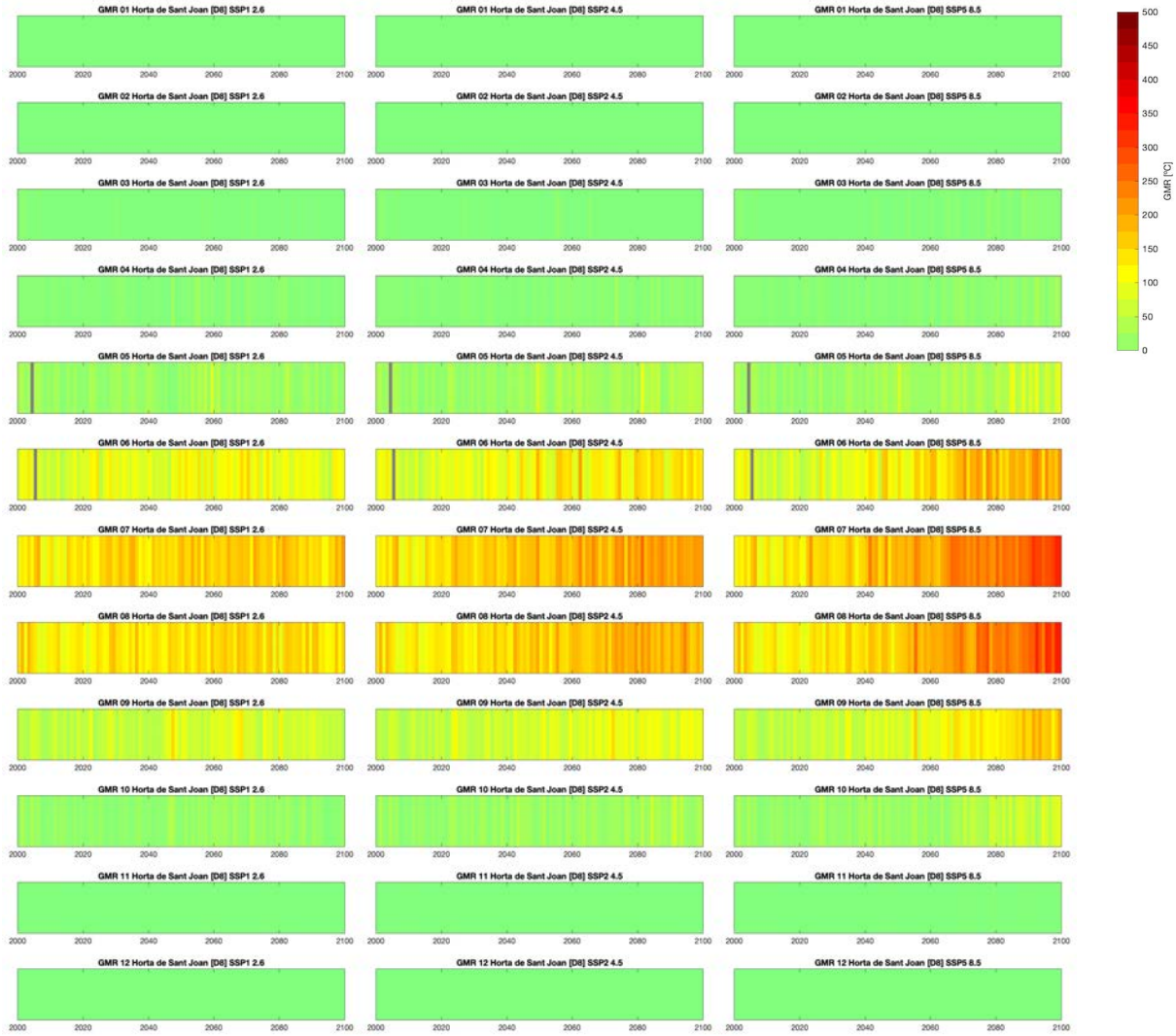

Figura A.99: Evolució dels graus-mes de refrigeració (GMR a l'estació D8- Horta de Sant Joan, per als diferents escenaris [SSP1 2.6, SSP2 4.5 i SSP5 8.5] per al model climàtic AWI-CM.

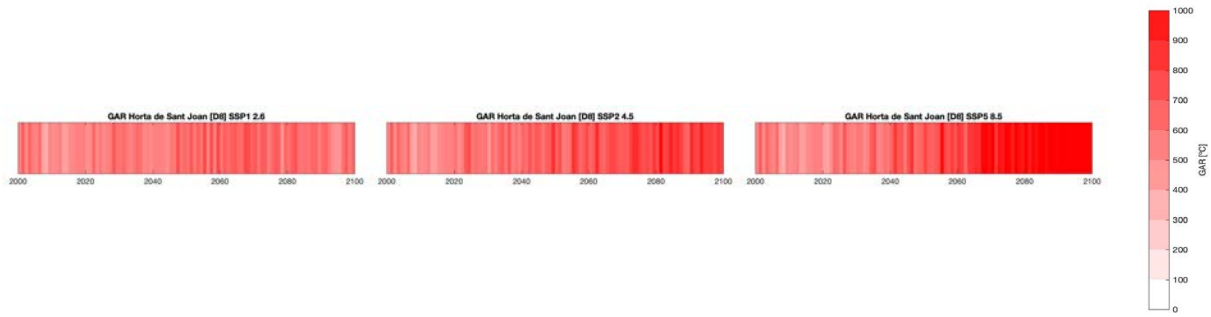

Figura A.100: Evolució dels graus-any de refrigeració (GAR a l'estació D8- Horta de Sant Joan, per als diferents escenaris [SSP1 2.6, SSP2 4.5 i SSP5 8.5] per al model climàtic AWI-CM.

A.1.27 D9 - El Vendrell

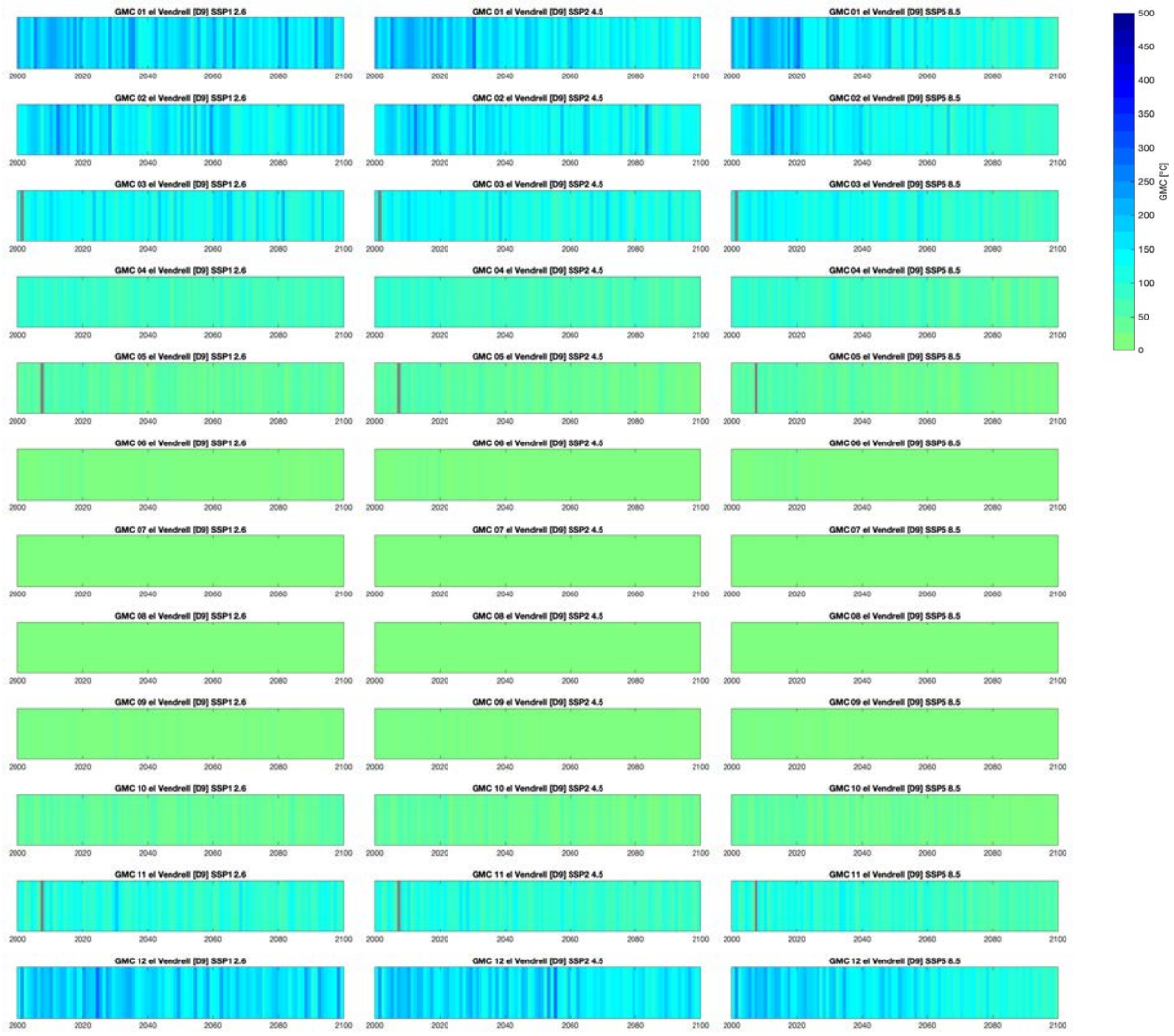

Figura A.101: Evolució dels graus-mes de calefacció (GMC) a l'estació D9- El Vendrell, per als diferents escenaris [SSP1 2.6, SSP2 4.5 i SSP5 8.5] per al model climàtic AWI-CM.

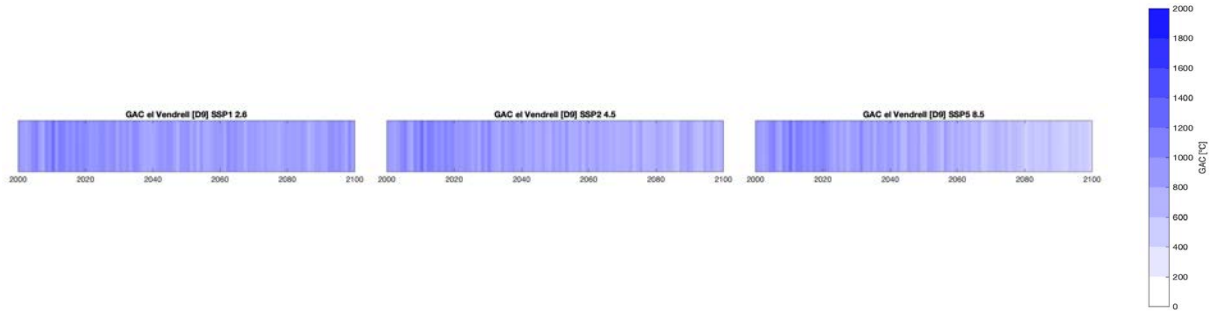

Figura A.102: Evolució dels graus-any de calefacció (GAC) a l'estació D9- El Vendrell, per als diferents escenaris [SSP1 2.6, SSP2 4.5 i SSP5 8.5] per al model climàtic AWI-CM.

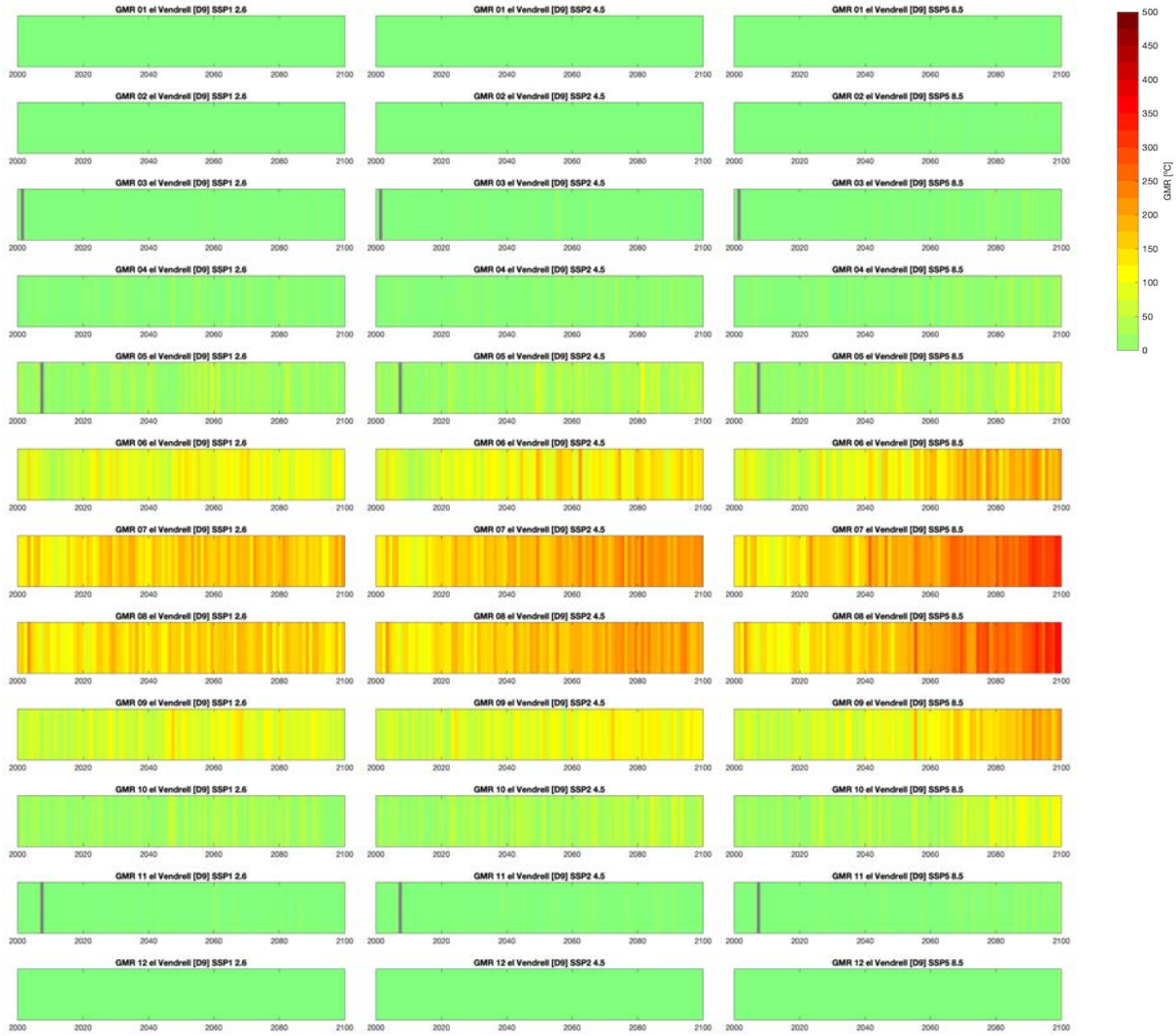

Figura A.103: Evolució dels graus-mes de refrigeració (GMR a l'estació D9- El Vendrell, per als diferents escenaris [SSP1 2.6, SSP2 4.5 i SSP5 8.5] per al model climàtic AWI-CM.

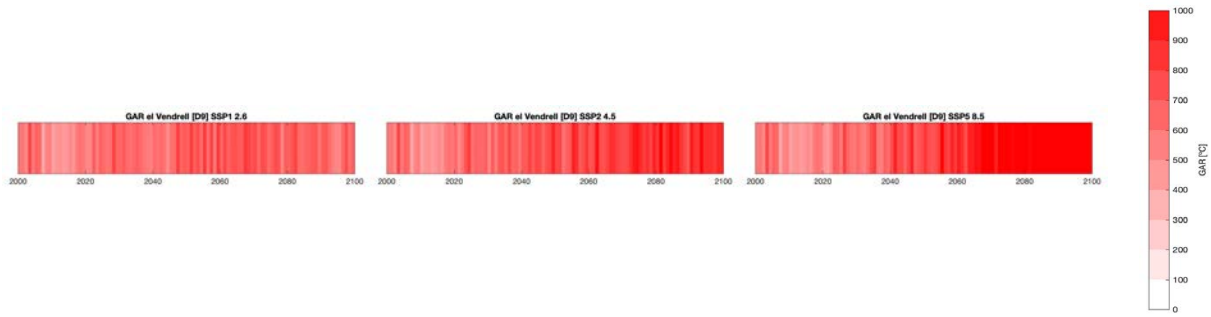

Figura A.104: Evolució dels graus-any de refrigeració (GAR a l'estació D9- El Vendrell, per als diferents escenaris [SSP1 2.6, SSP2 4.5 i SSP5 8.5] per al model climàtic AWI-CM.

A.1.28 DB - El Perelló

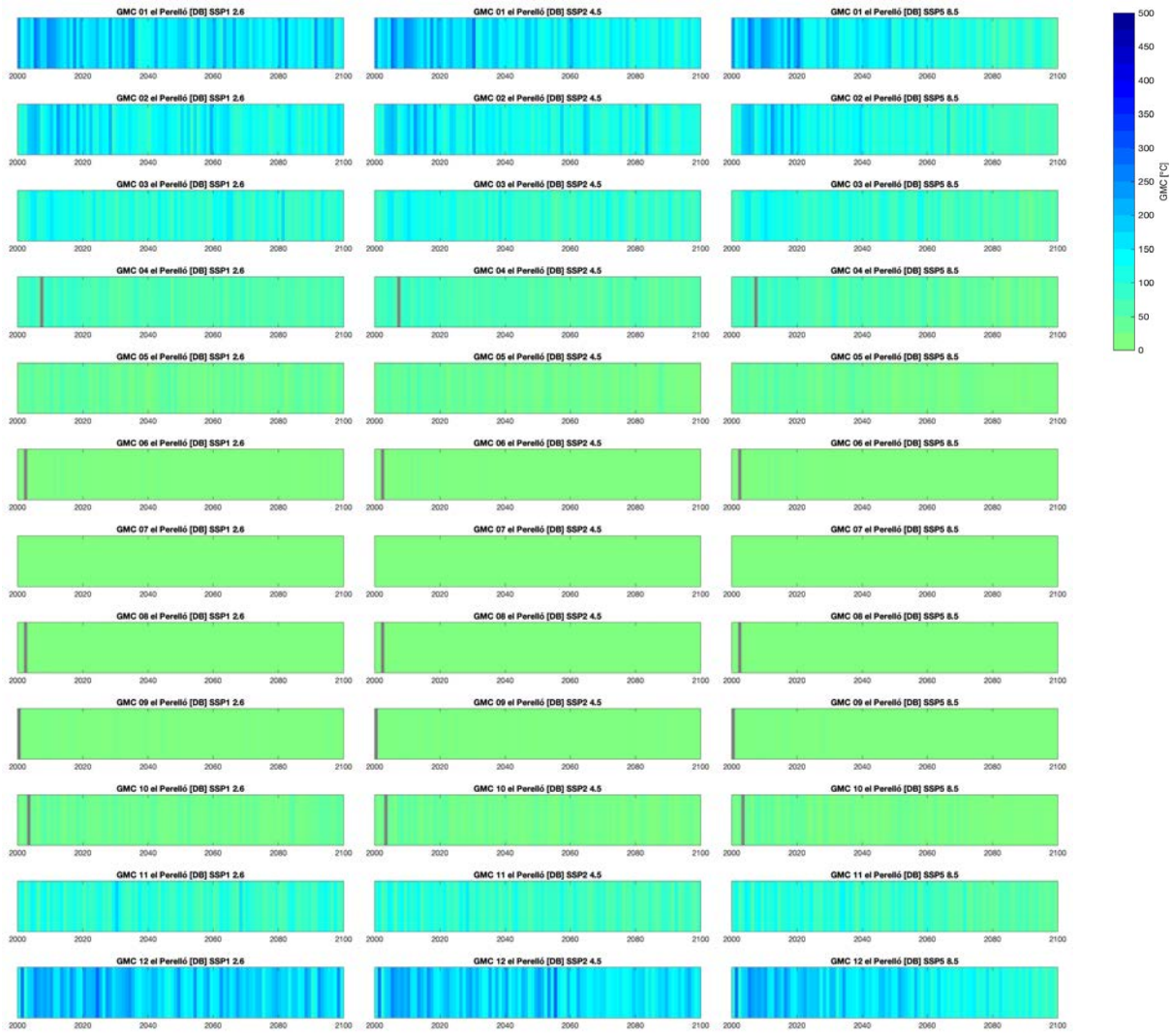

Figura A.105: Evolució dels graus-mes de calefacció (GMC) a l'estació DB- El Perelló, per als diferents escenaris [SSP1 2.6, SSP2 4.5 i SSP5 8.5] per al model climàtic AWI-CM.

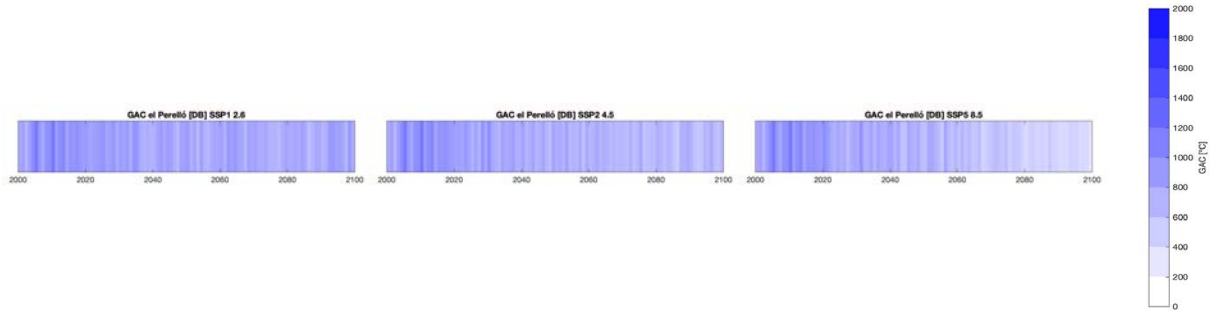

Figura A.106: Evolució dels graus-any de calefacció (GAC) a l'estació DB- El Perelló, per als diferents escenaris [SSP1 2.6, SSP2 4.5 i SSP5 8.5] per al model climàtic AWI-CM.

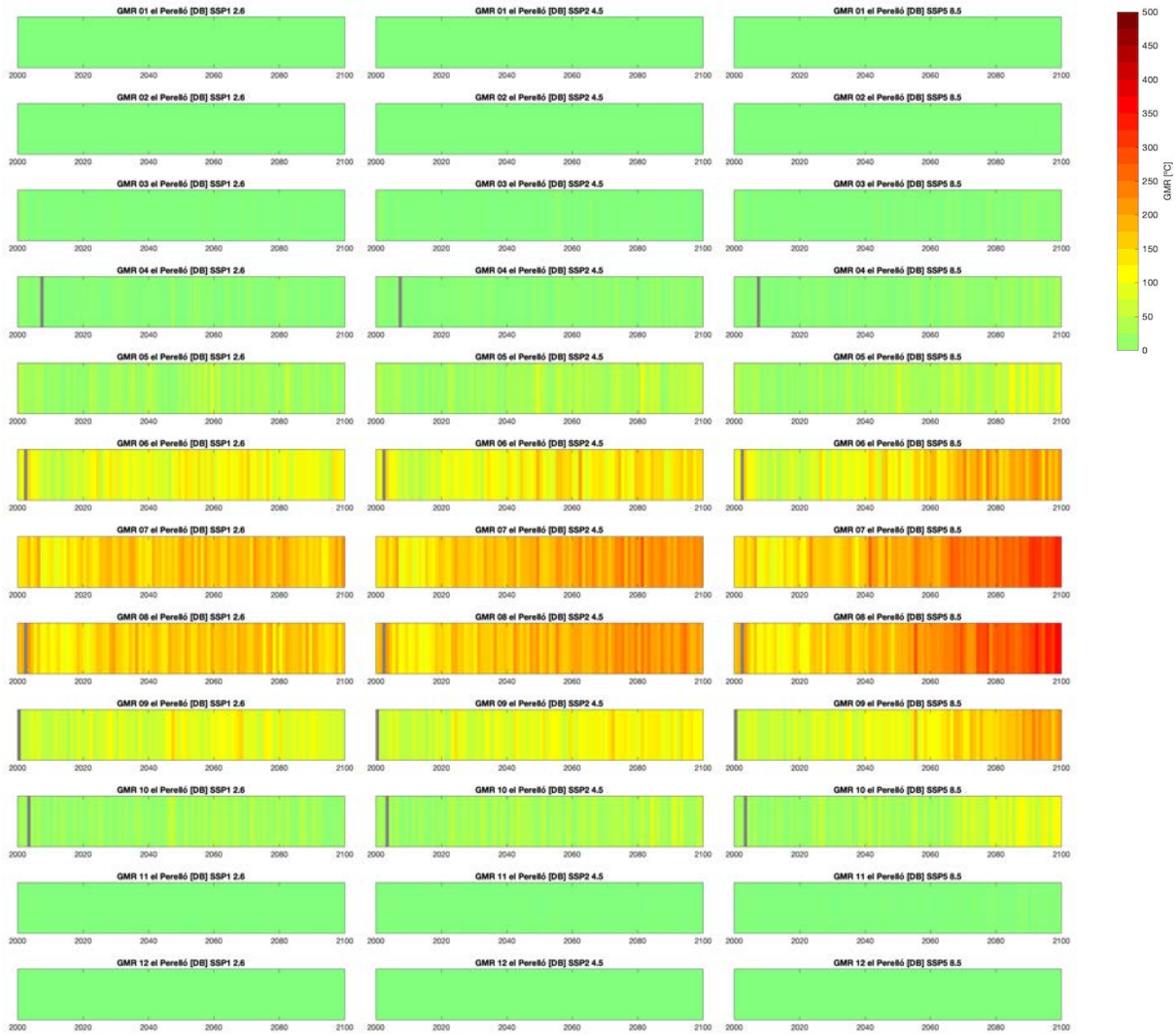

Figura A.107: Evolució dels graus-mes de refrigeració (GMR a l'estació DB- El Perelló, per als diferents escenaris [SSP1 2.6, SSP2 4.5 i SSP5 8.5] per al model climàtic AWI-CM.

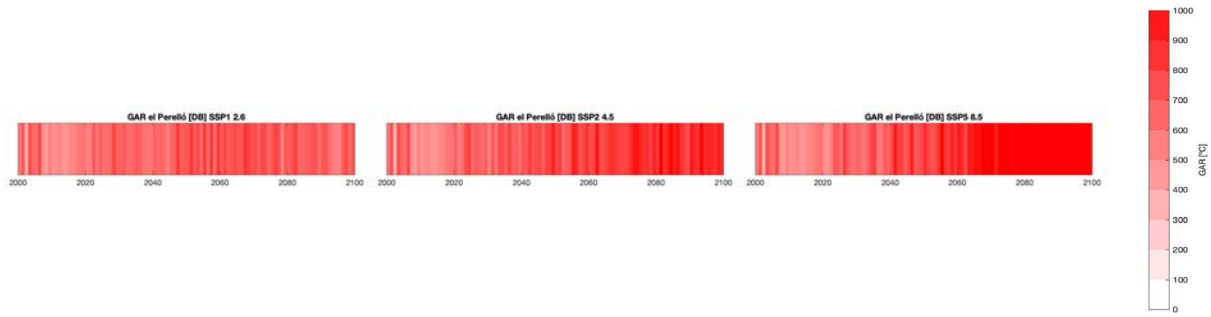

Figura A.108: Evolució dels graus-any de refrigeració (GAR a l'estació DB- El Perelló, per als diferents escenaris [SSP1 2.6, SSP2 4.5 i SSP5 8.5] per al model climàtic AWI-CM.

A.1.29 DF - La Bisbal d'Empordà

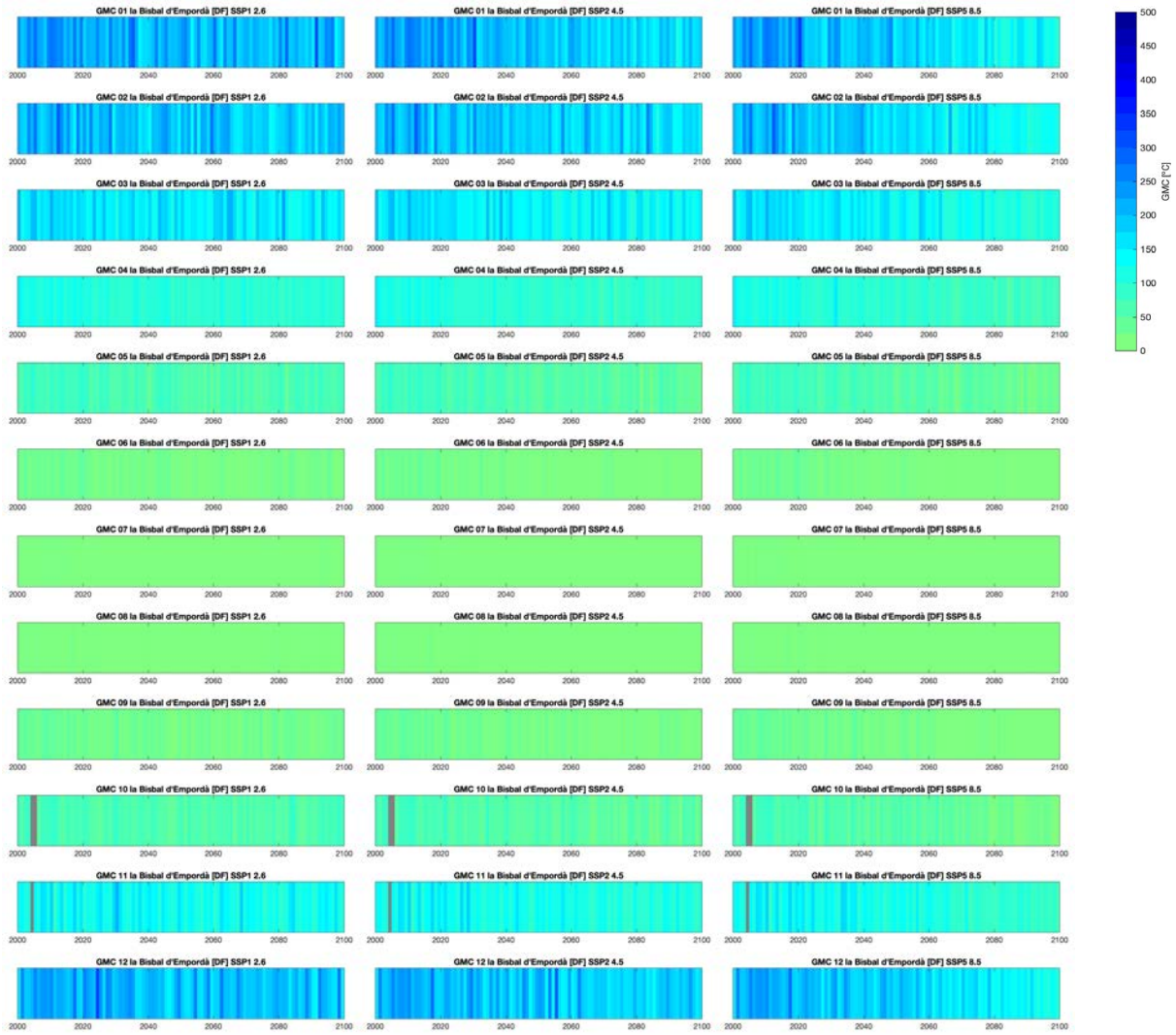

Figura A.109: Evolució dels graus-mes de calefacció (GMC) a l'estació DF- La Bisbal d'Empordà, per als diferents escenaris [SSP1 2.6, SSP2 4.5 i SSP5 8.5] per al model climàtic AWI-CM.

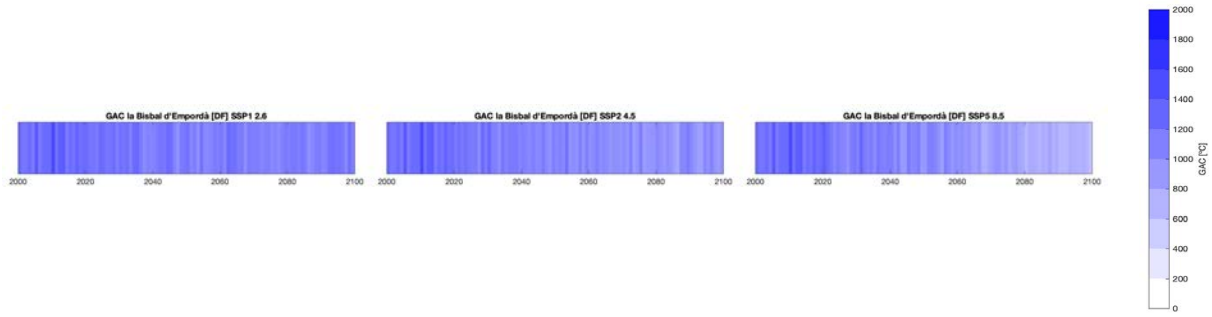

Figura A.110: Evolució dels graus-any de calefacció (GAC) a l'estació DF- La Bisbal d'Empordà, per als diferents escenaris [SSP1 2.6, SSP2 4.5 i SSP5 8.5] per al model climàtic AWI-CM.

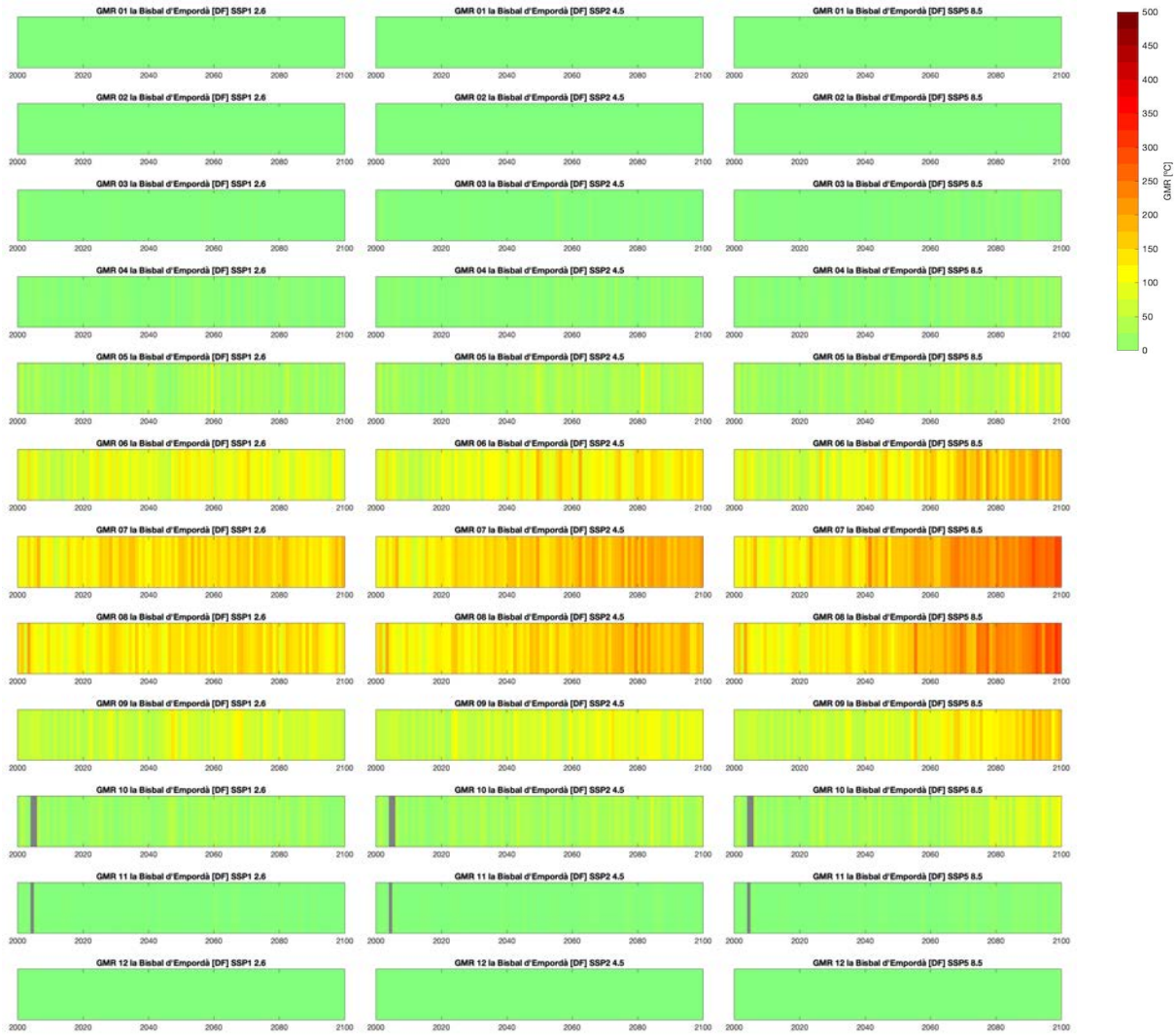

Figura A.111: Evolució dels graus-mes de refrigeració (GMR a l'estació DF- La Bisbal d'Empordà, per als diferents escenaris [SSP1 2.6, SSP2 4.5 i SSP5 8.5] per al model climàtic AWI-CM.

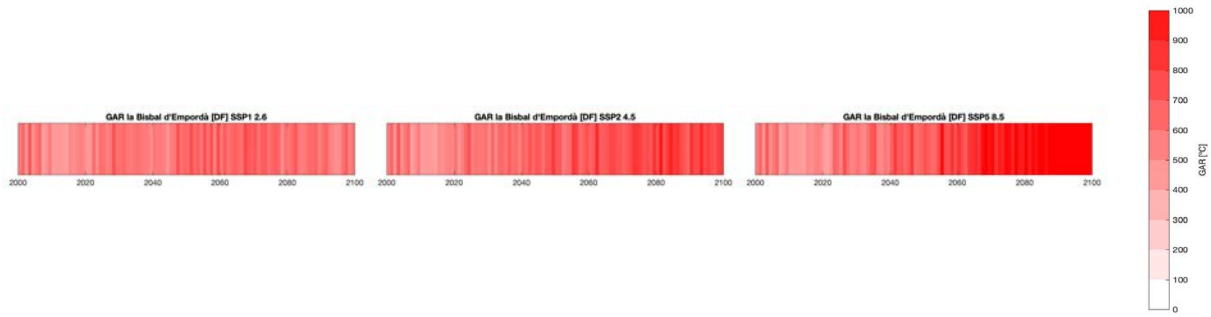

Figura A.112: Evolució dels graus-any de refrigeració (GAR a l'estació DF- La Bisbal d'Empordà, per als diferents escenaris [SSP1 2.6, SSP2 4.5 i SSP5 8.5] per al model climàtic AWI-CM.

A.1.30 DG - Núria (1.971 m)

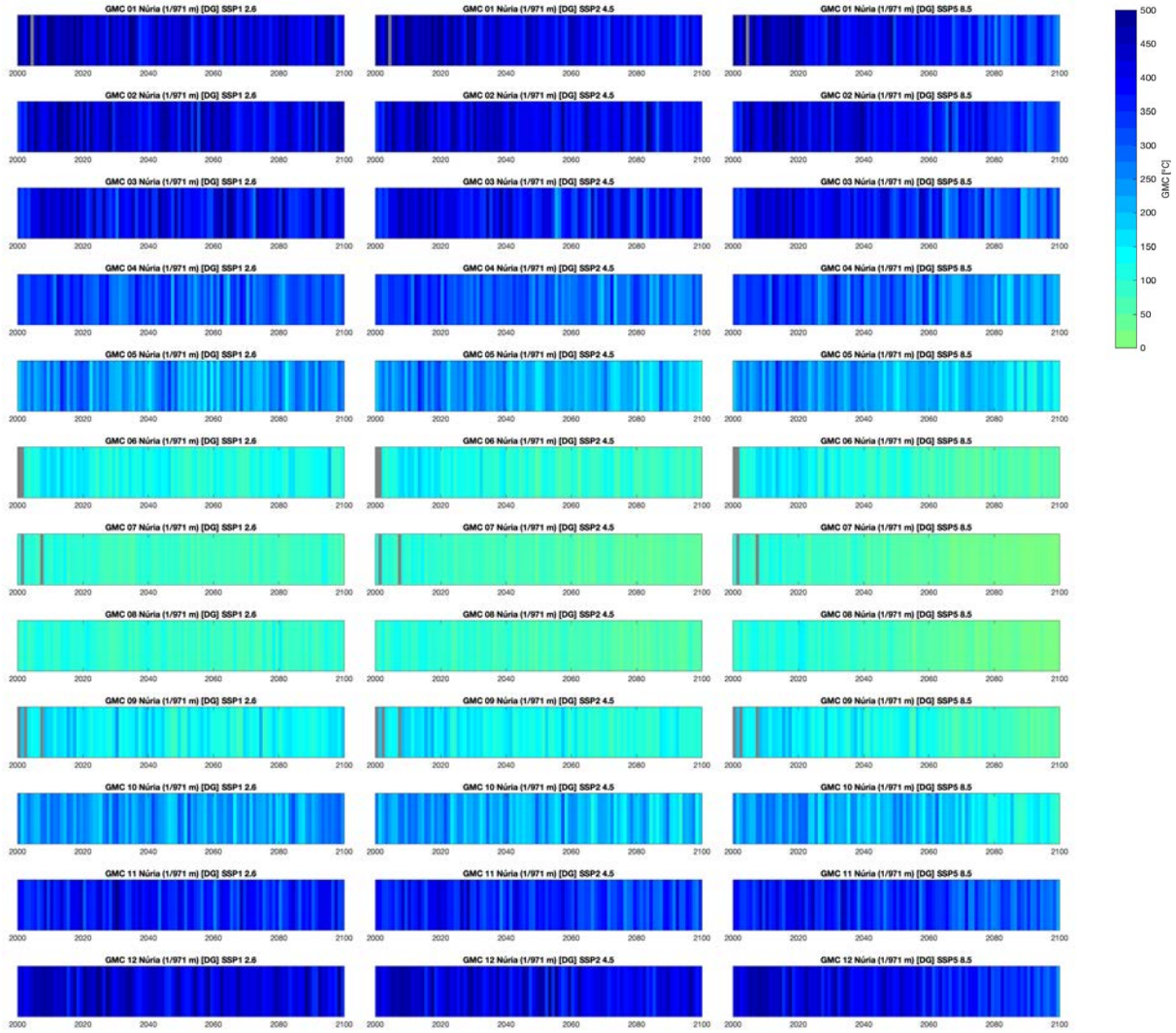

Figura A.113: Evolució dels graus-mes de calefacció (GMC) a l'estació DG- Núria (1.971 m), per als diferents escenaris [SSP1 2.6, SSP2 4.5 i SSP5 8.5] per al model climàtic AWI-CM.

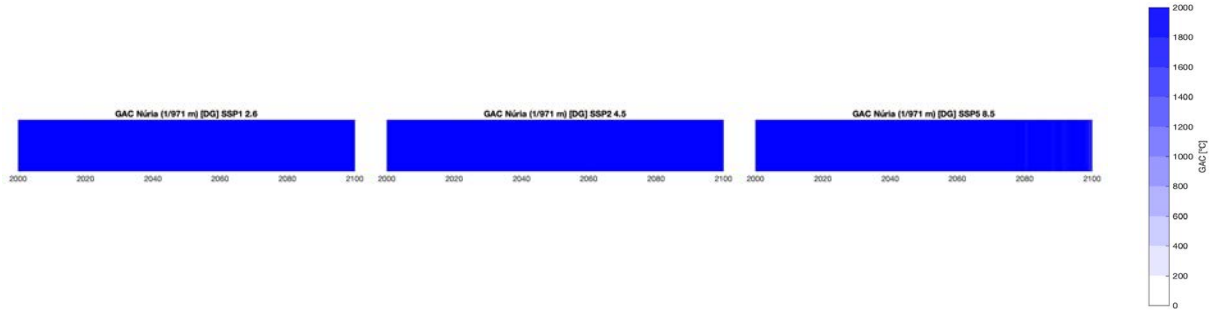

Figura A.114: Evolució dels graus-any de calefacció (GAC) a l'estació DG- Núria (1.971 m), per als diferents escenaris [SSP1 2.6, SSP2 4.5 i SSP5 8.5] per al model climàtic AWI-CM.

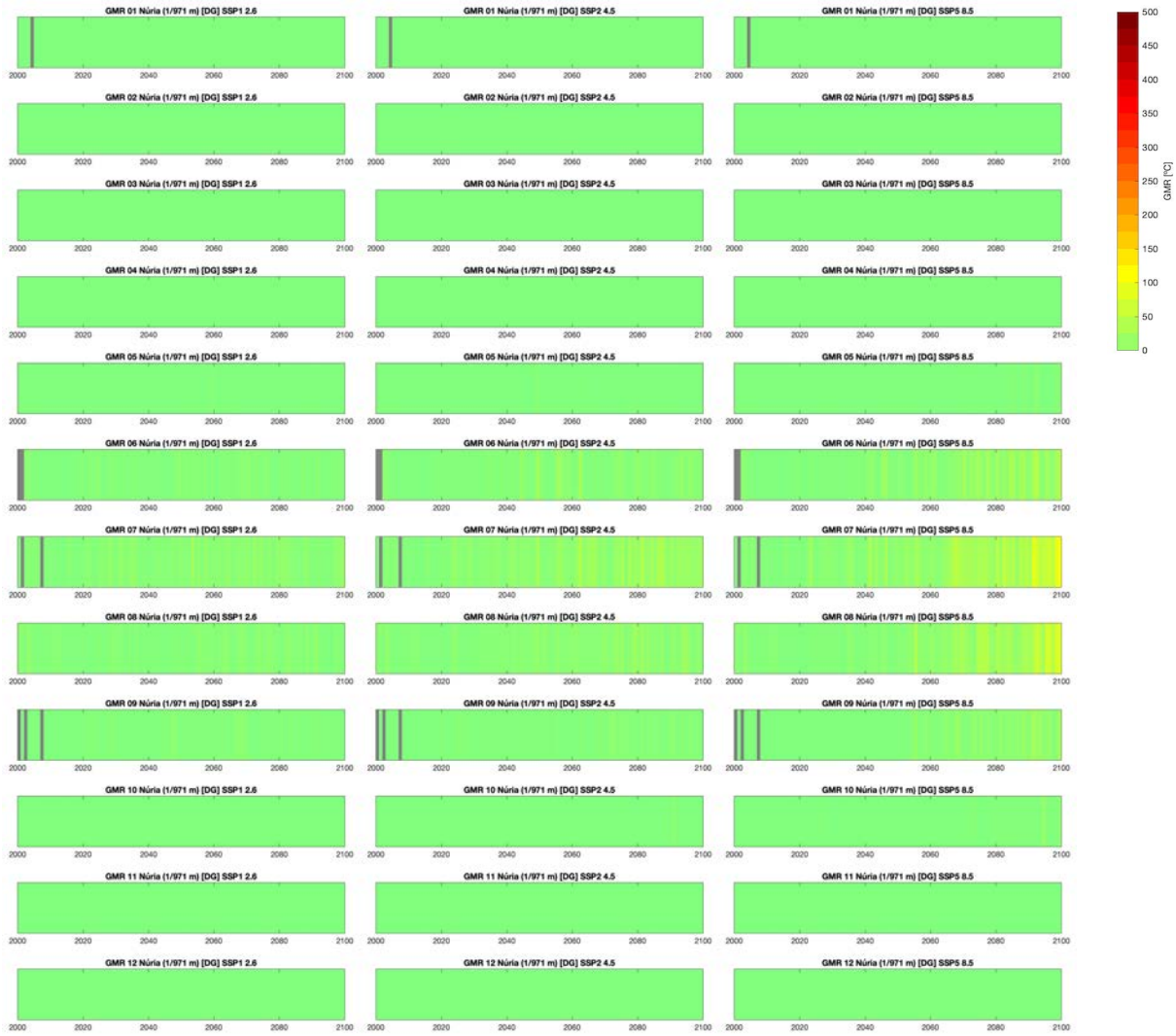

Figura A.115: Evolució dels graus-mes de refrigeració (GMR a l'estació DG- Núria (1.971 m), per als diferents escenaris [SSP1 2.6, SSP2 4.5 i SSP5 8.5] per al model climàtic AWI-CM.

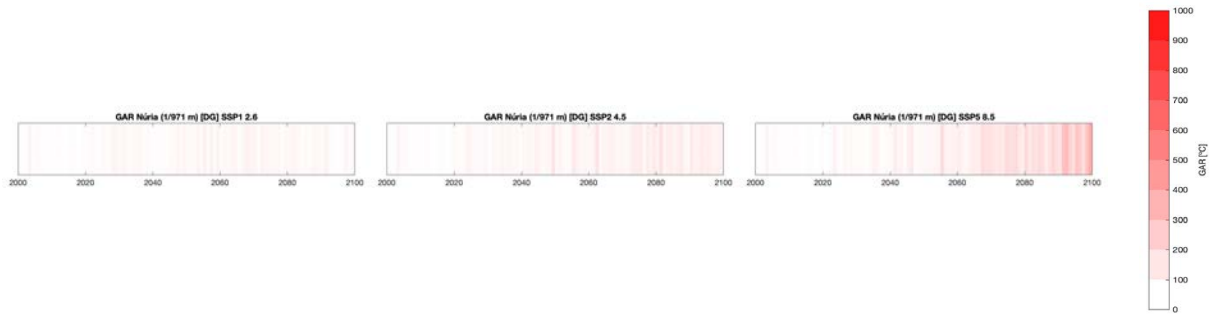

Figura A.116: Evolució dels graus-any de refrigeració (GAR a l'estació DG- Núria (1.971 m), per als diferents escenaris [SSP1 2.6, SSP2 4.5 i SSP5 8.5] per al model climàtic AWI-CM.

A.1.31 DI - Font-rubí

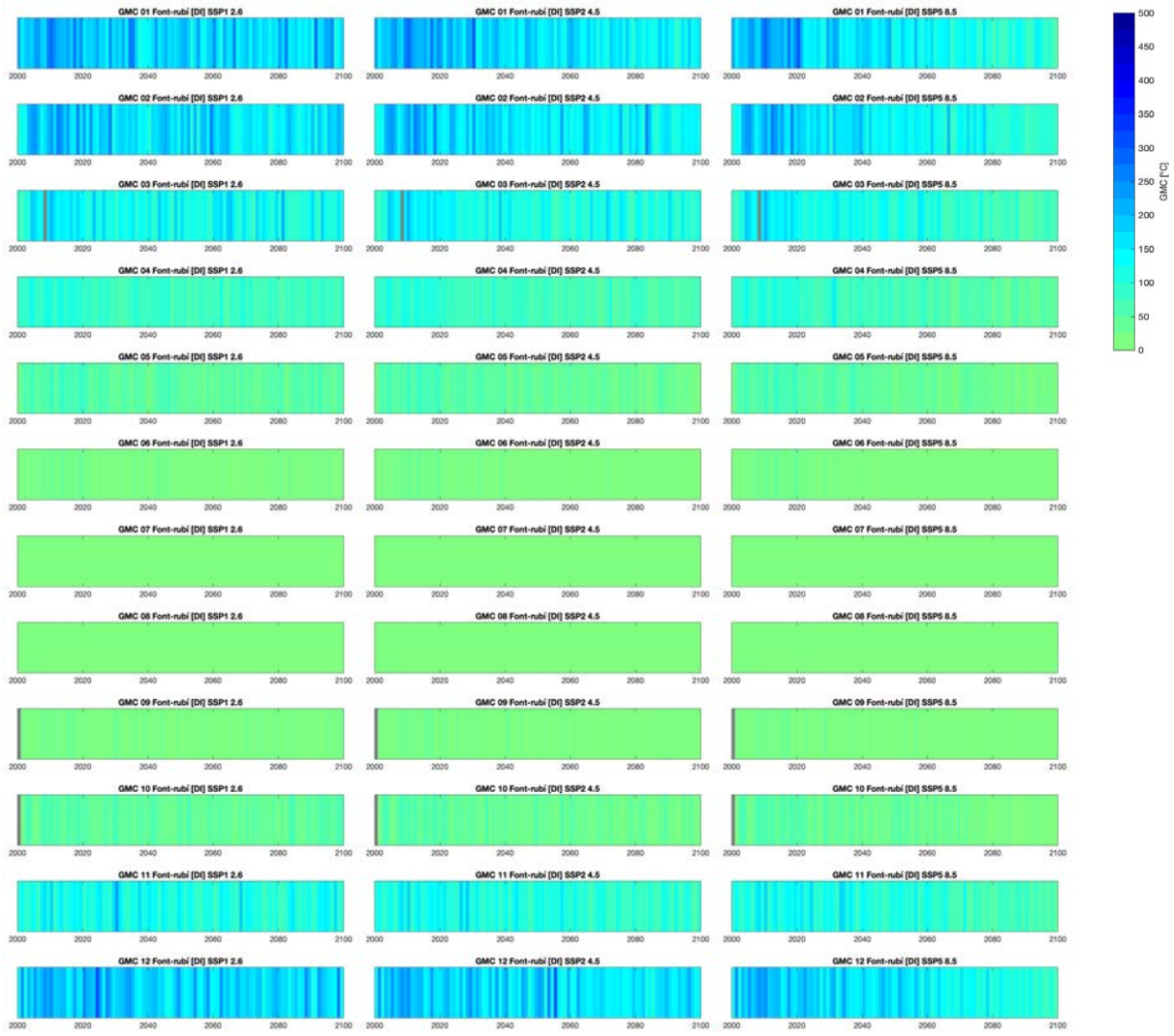

Figura A.117: Evolució dels graus-mes de calefacció (GMC) a l'estació DI- Font-rubí, per als diferents escenaris [SSP1 2.6, SSP2 4.5 i SSP5 8.5] per al model climàtic AWI-CM.

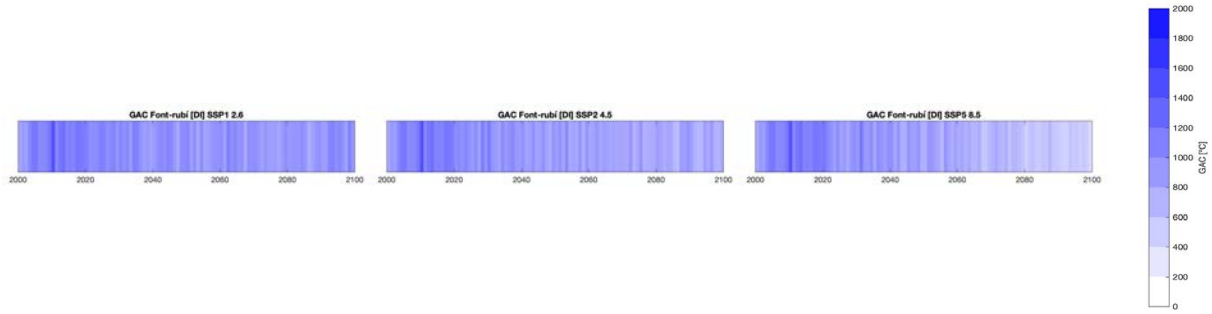

Figura A.118: Evolució dels graus-any de calefacció (GAC) a l'estació DI- Font-rubí, per als diferents escenaris [SSP1 2.6, SSP2 4.5 i SSP5 8.5] per al model climàtic AWI-CM.

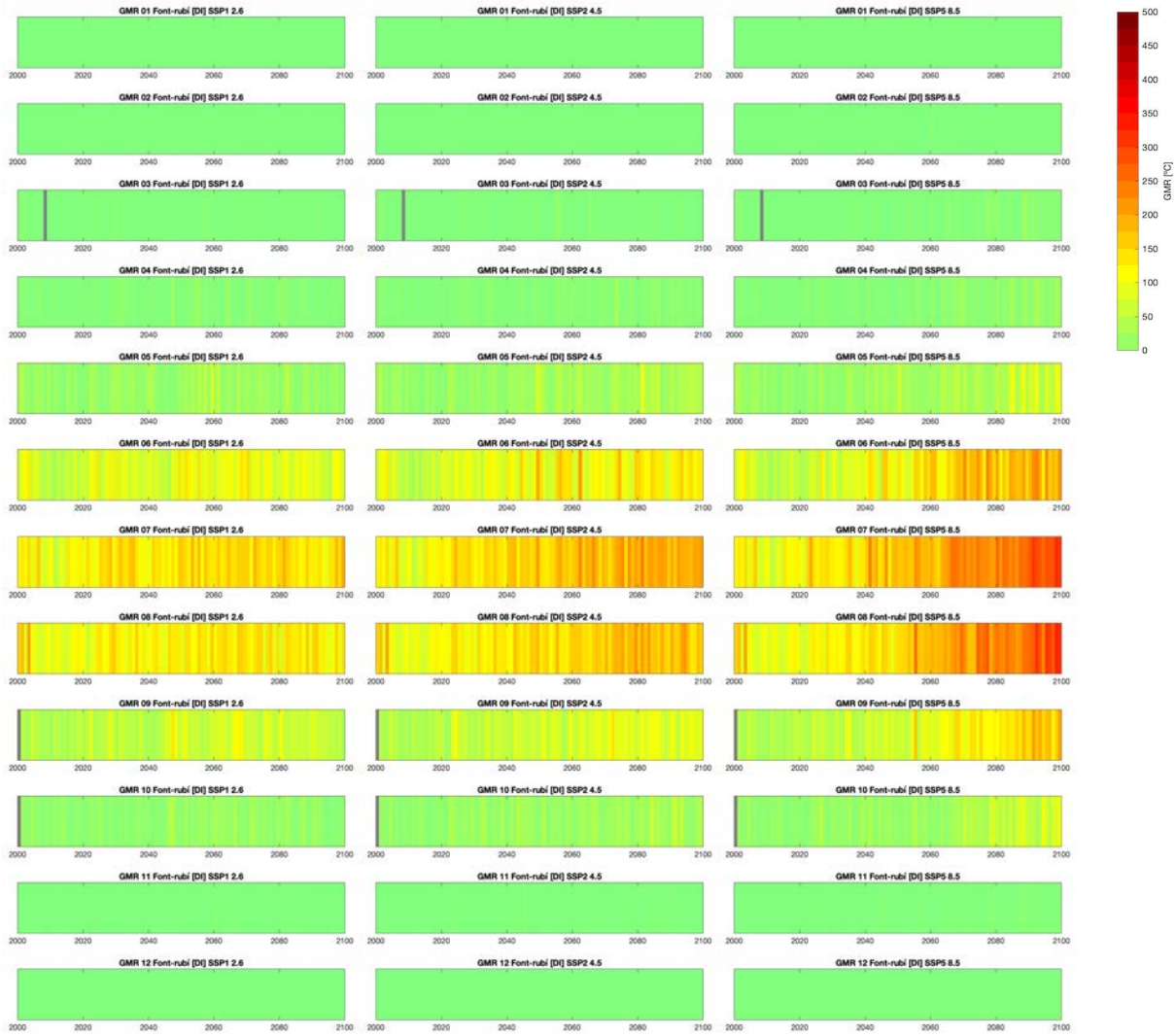

Figura A.119: Evolució dels graus-mes de refrigeració (GMR a l'estació DI- Font-rubí, per als diferents escenaris [SSP1 2.6, SSP2 4.5 i SSP5 8.5] per al model climàtic AWI-CM.

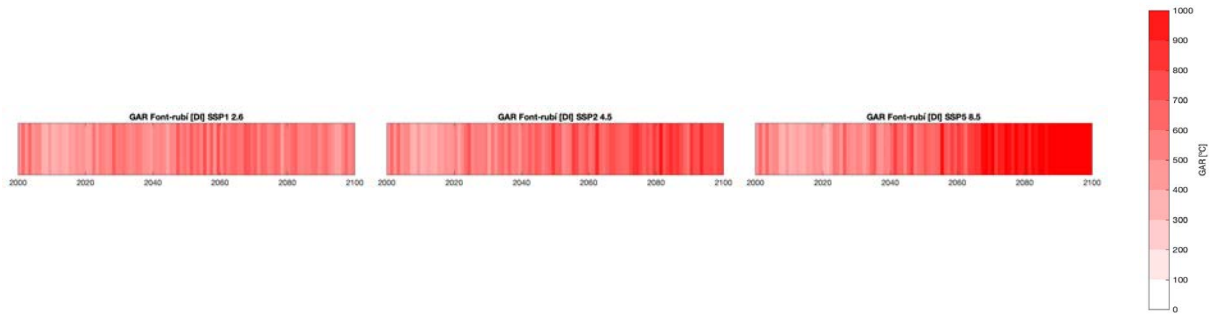

Figura A.120: Evolució dels graus-any de refrigeració (GAR a l'estació DI- Font-rubí, per als diferents escenaris [SSP1 2.6, SSP2 4.5 i SSP5 8.5] per al model climàtic AWI-CM.

A.1.32 DJ - Banyoles

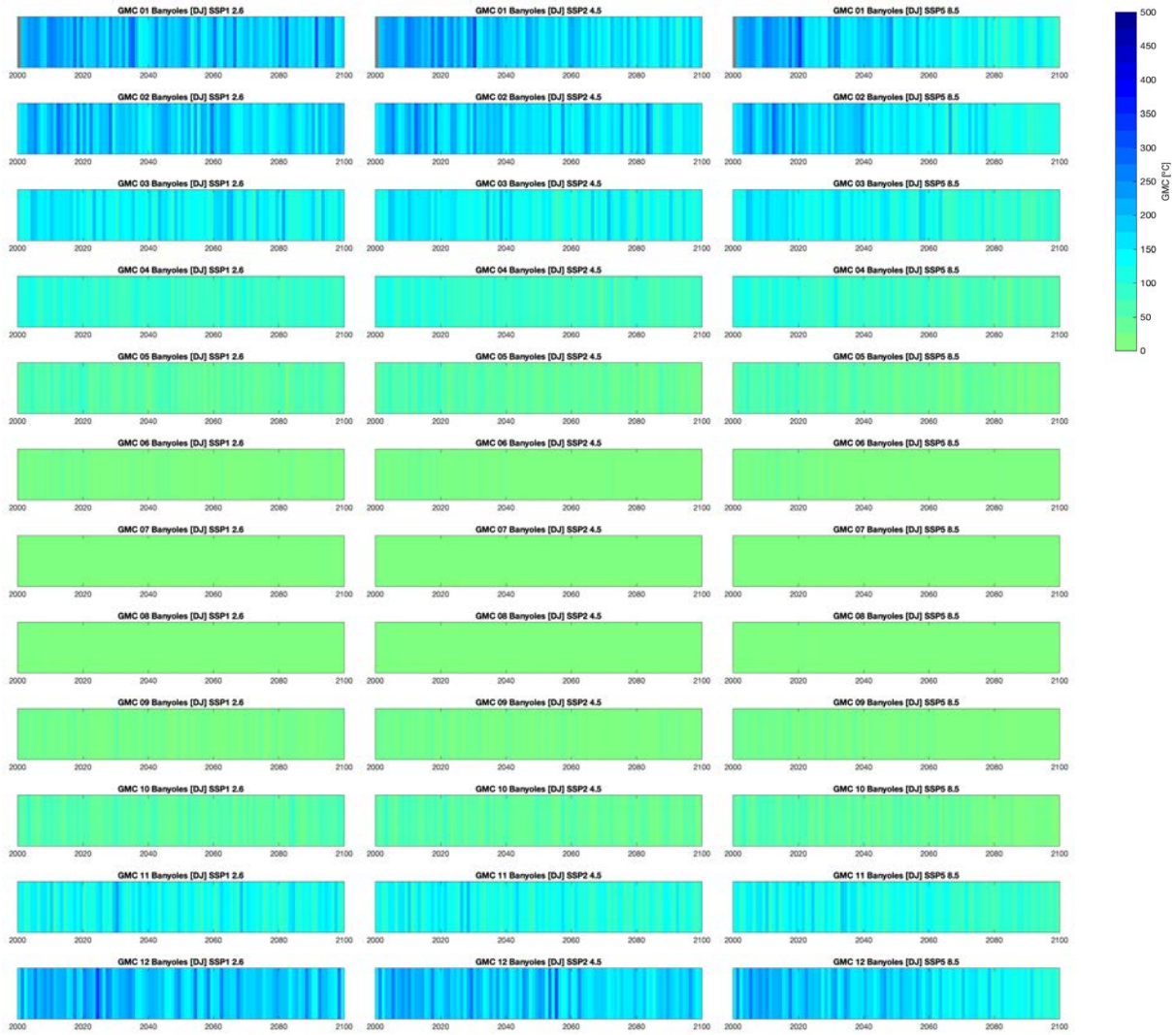

Figura A.121: Evolució dels graus-mes de calefacció (GMC) a l'estació DJ- Banyoles, per als diferents escenaris [SSP1 2.6, SSP2 4.5 i SSP5 8.5] per al model climàtic AWI-CM.

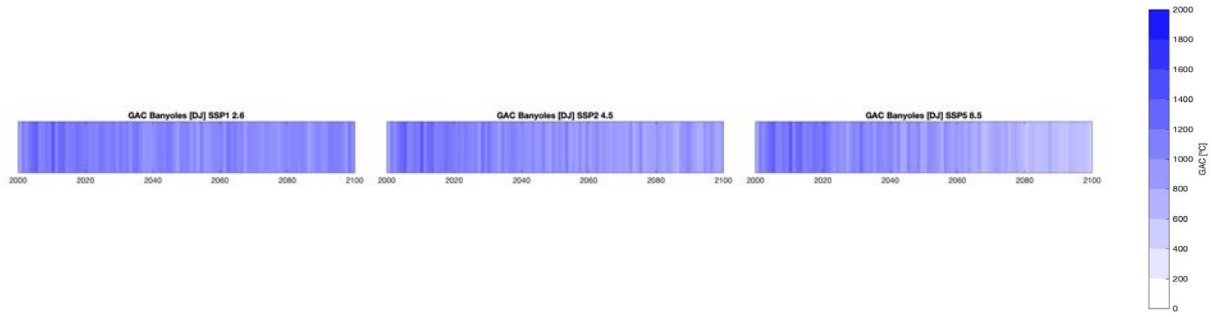

Figura A.122: Evolució dels graus-any de calefacció (GAC) a l'estació DJ- Banyoles, per als diferents escenaris [SSP1 2.6, SSP2 4.5 i SSP5 8.5] per al model climàtic AWI-CM.

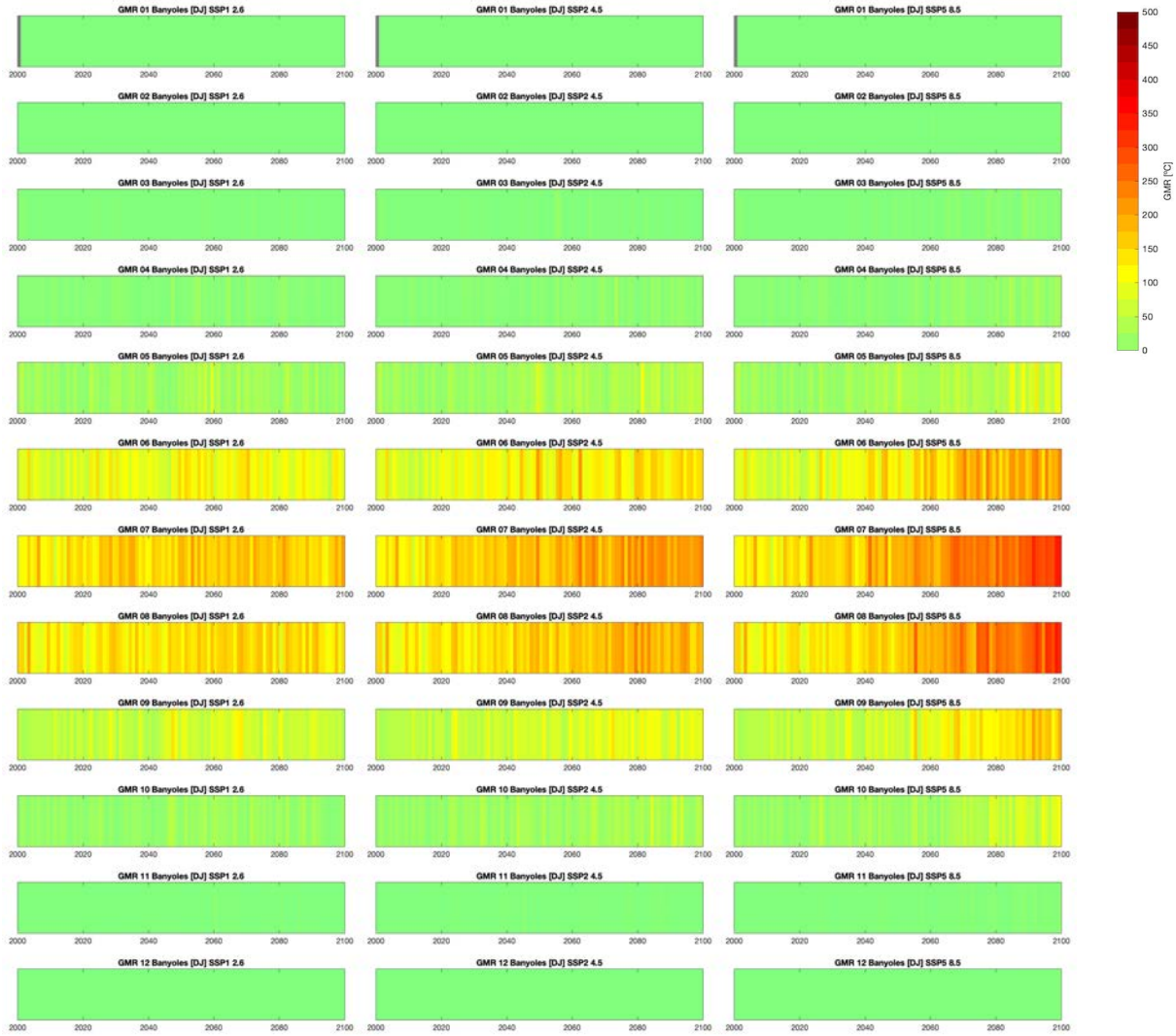

Figura A.123: Evolució dels graus-mes de refrigeració (GMR a l'estació DJ- Banyoles, per als diferents escenaris [SSP1 2.6, SSP2 4.5 i SSP5 8.5] per al model climàtic AWI-CM.

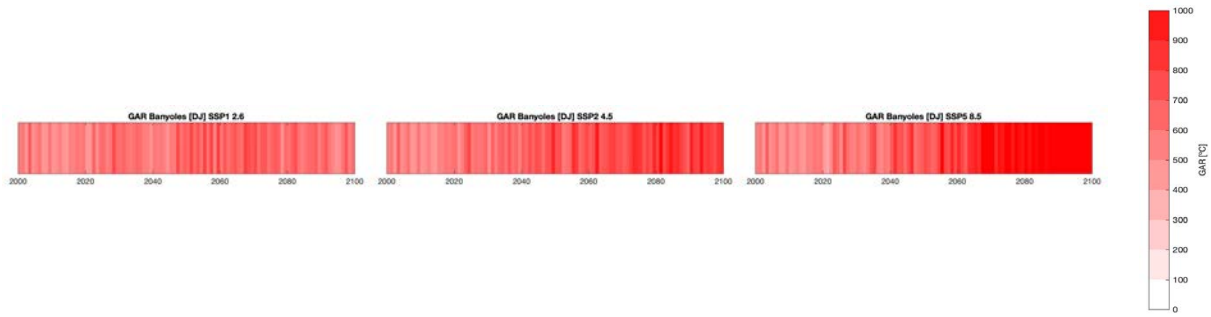

Figura A.124: Evolució dels graus-any de refrigeració (GAR a l'estació DJ- Banyoles, per als diferents escenaris [SSP1 2.6, SSP2 4.5 i SSP5 8.5] per al model climàtic AWI-CM.

A.1.33 DK - Torredembarra

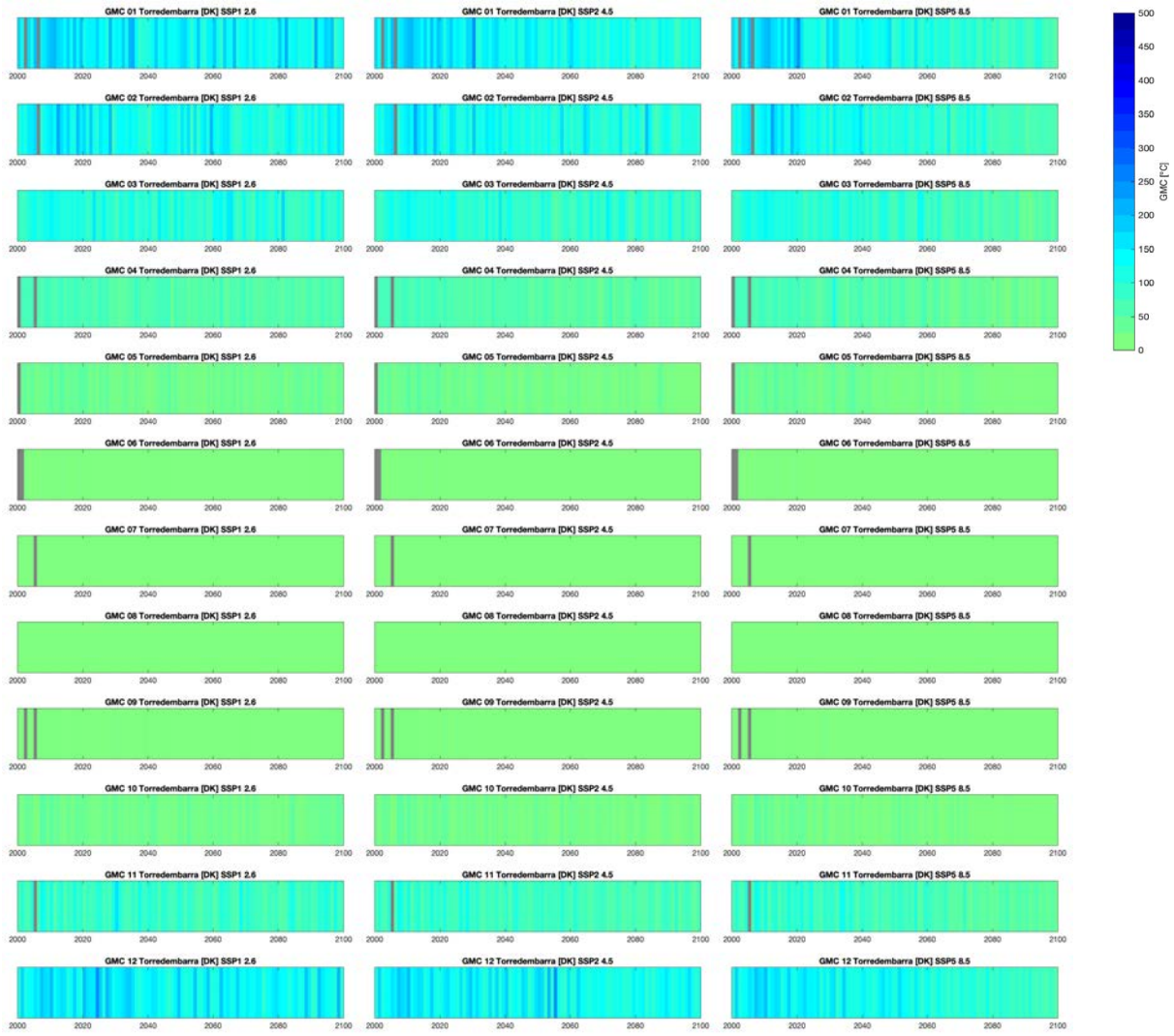

Figura A.125: Evolució dels graus-mes de calefacció (GMC) a l'estació DK- Torredembarra, per als diferents escenaris [SSP1 2.6, SSP2 4.5 i SSP5 8.5] per al model climàtic AWI-CM.

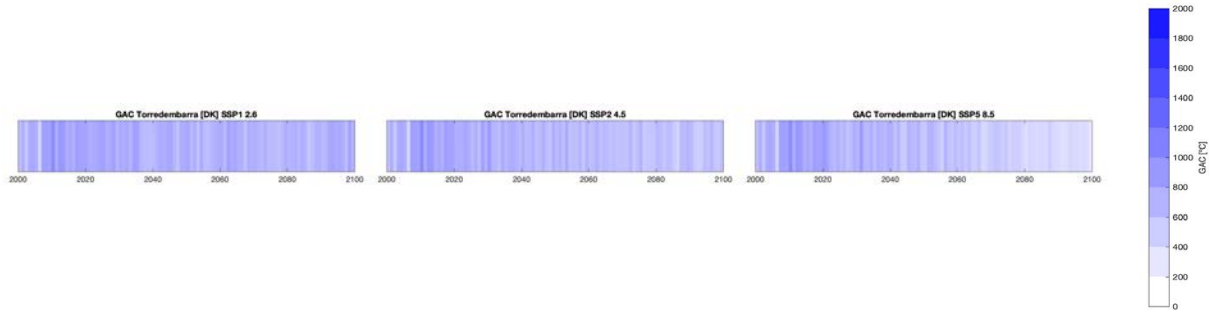

Figura A.126: Evolució dels graus-any de calefacció (GAC) a l'estació DK- Torredembarra, per als diferents escenaris [SSP1 2.6, SSP2 4.5 i SSP5 8.5] per al model climàtic AWI-CM.

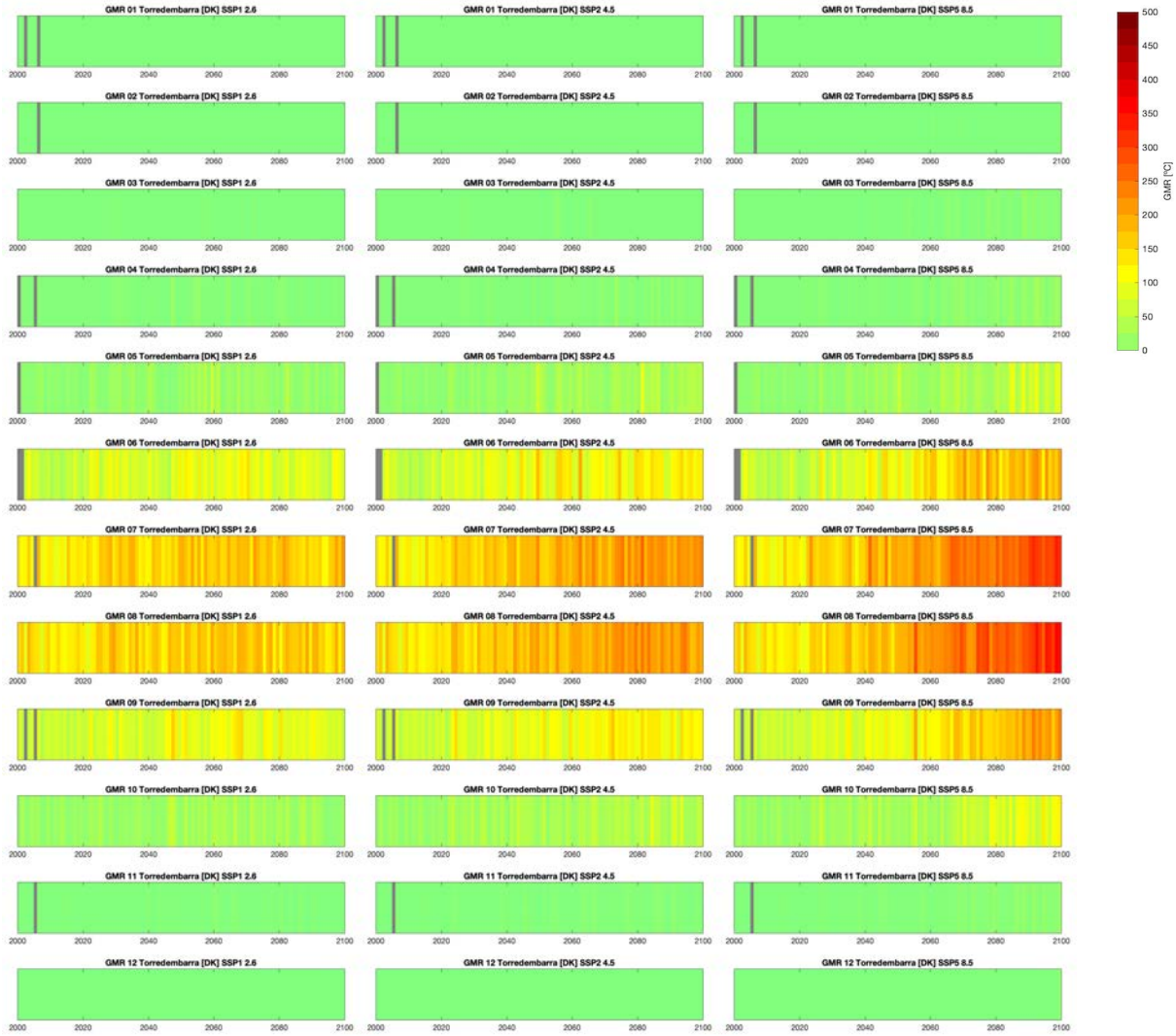

Figura A.127: Evolució dels graus-mes de refrigeració (GMR a l'estació DK- Torredembarra, per als diferents escenaris [SSP1 2.6, SSP2 4.5 i SSP5 8.5] per al model climàtic AWI-CM.

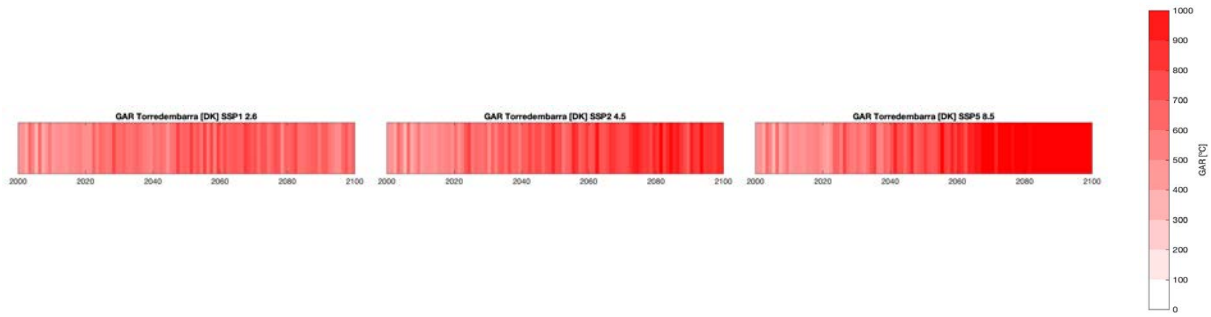

Figura A.128: Evolució dels graus-any de refrigeració (GAR a l'estació DK- Torredembarra, per als diferents escenaris [SSP1 2.6, SSP2 4.5 i SSP5 8.5] per al model climàtic AWI-CM.

A.1.34 DL - Illa de Buda

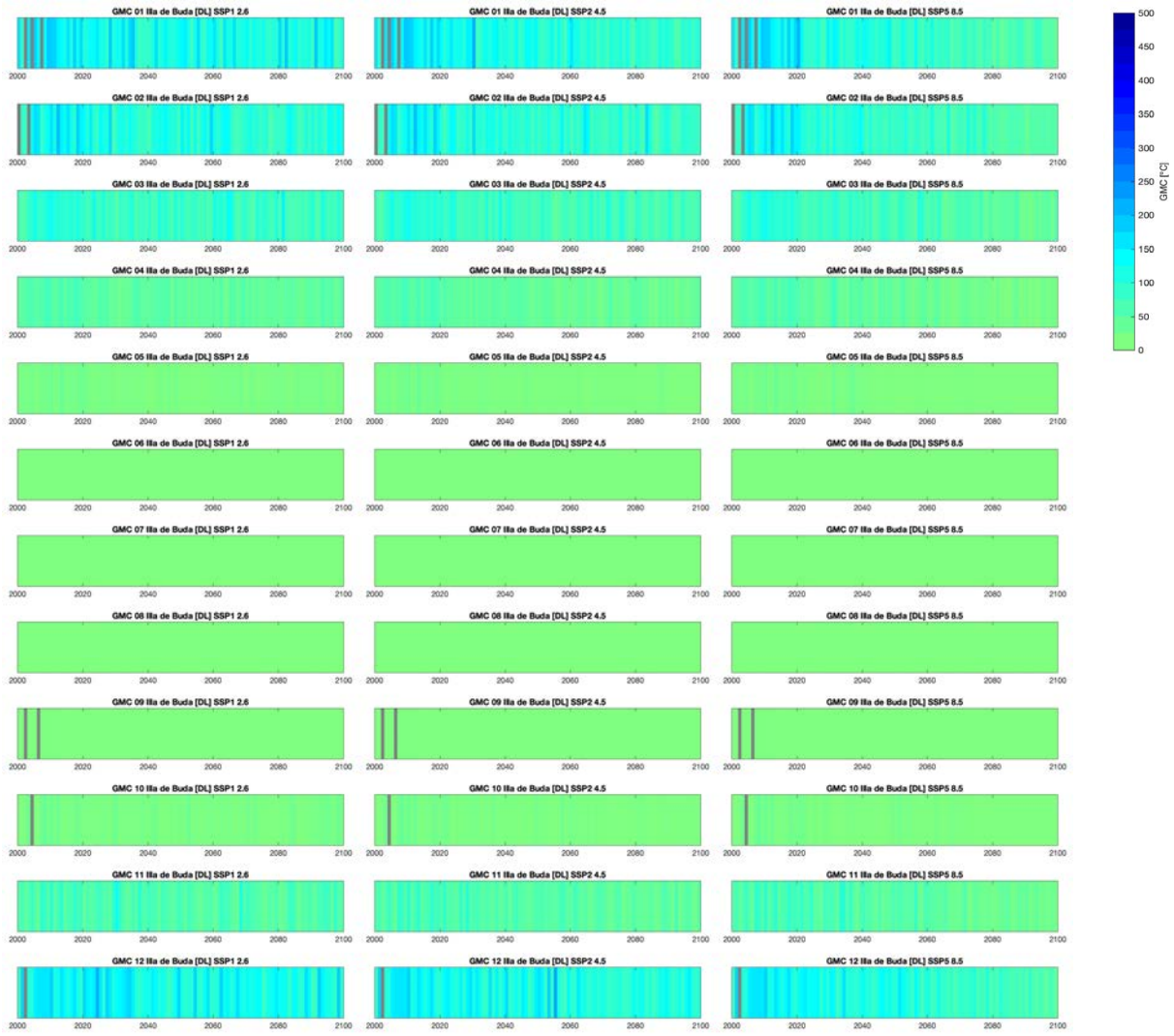

Figura A.129: Evolució dels graus-mes de calefacció (GMC) a l'estació DL- Illa de Buda, per als diferents escenaris [SSP1 2.6, SSP2 4.5 i SSP5 8.5] per al model climàtic AWI-CM.

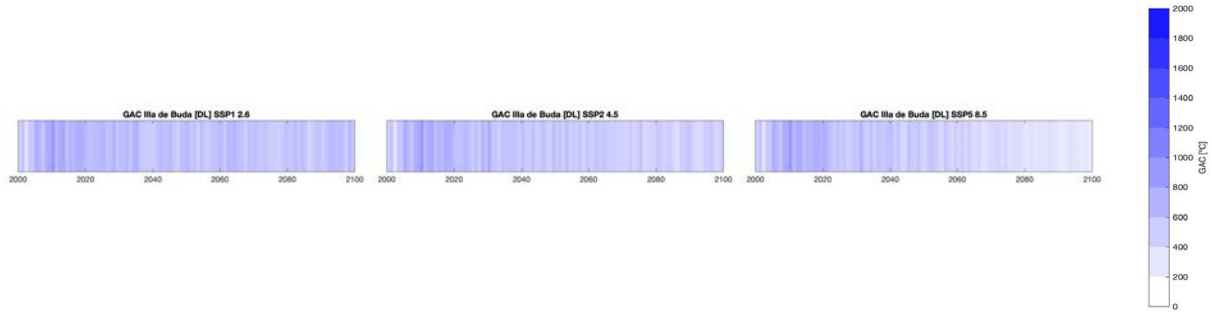

Figura A.130: Evolució dels graus-any de calefacció (GAC) a l'estació DL- Illa de Buda, per als diferents escenaris [SSP1 2.6, SSP2 4.5 i SSP5 8.5] per al model climàtic AWI-CM.

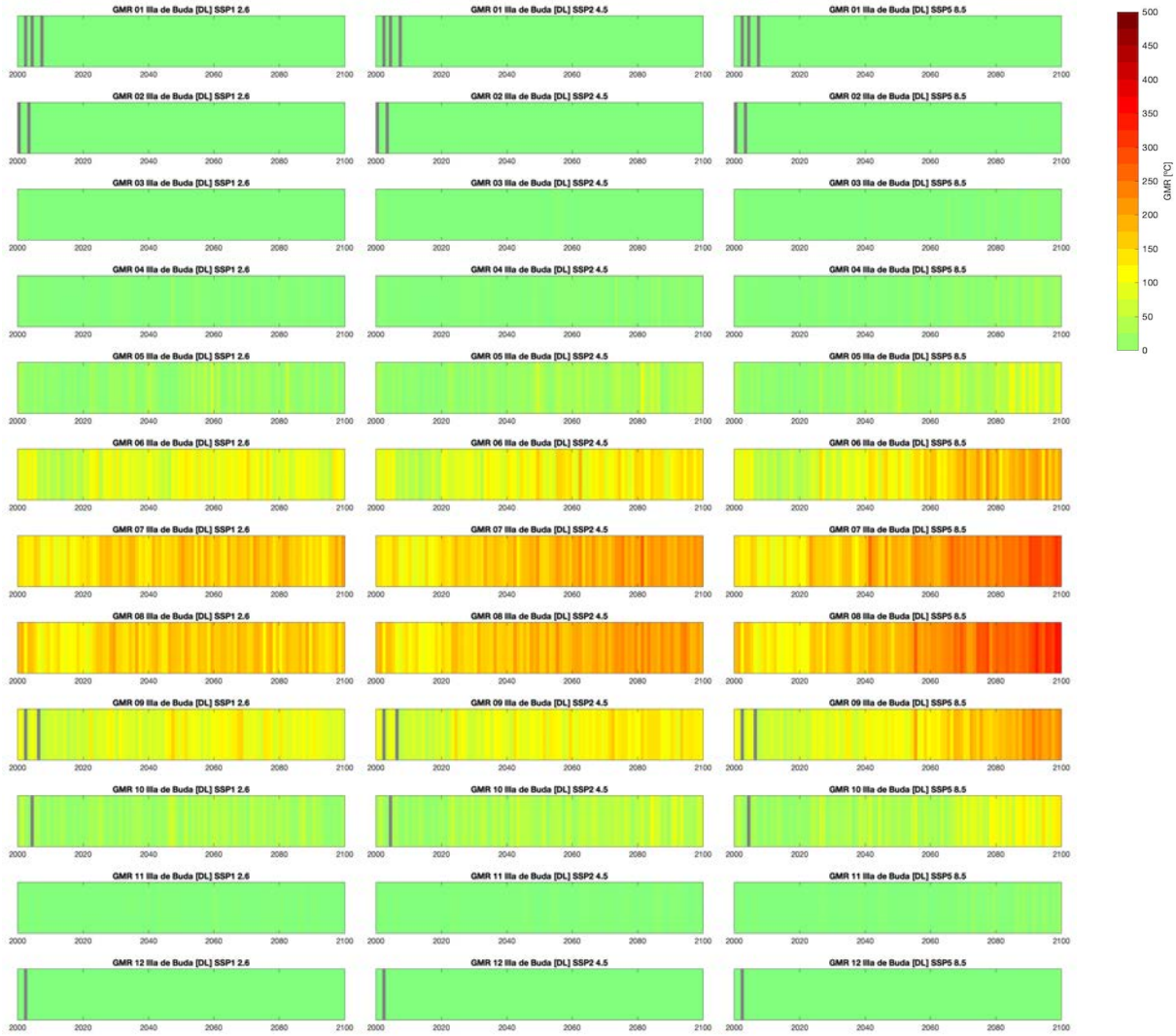

Figura A.131: Evolució dels graus-mes de refrigeració (GMR a l'estació DL- Illa de Buda, per als diferents escenaris [SSP1 2.6, SSP2 4.5 i SSP5 8.5] per al model climàtic AWI-CM.

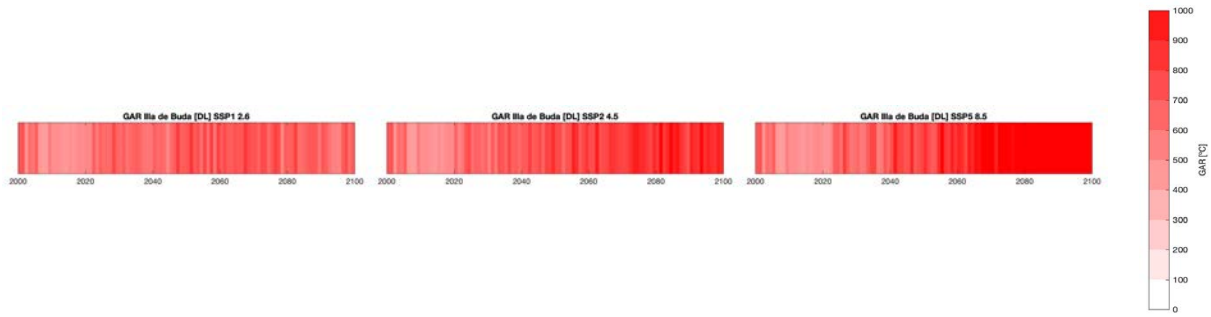

Figura A.132: Evolució dels graus-any de refrigeració (GAR a l'estació DL- Illa de Buda, per als diferents escenaris [SSP1 2.6, SSP2 4.5 i SSP5 8.5] per al model climàtic AWI-CM.

A.1.35 R1 - El Pont de Vilomara

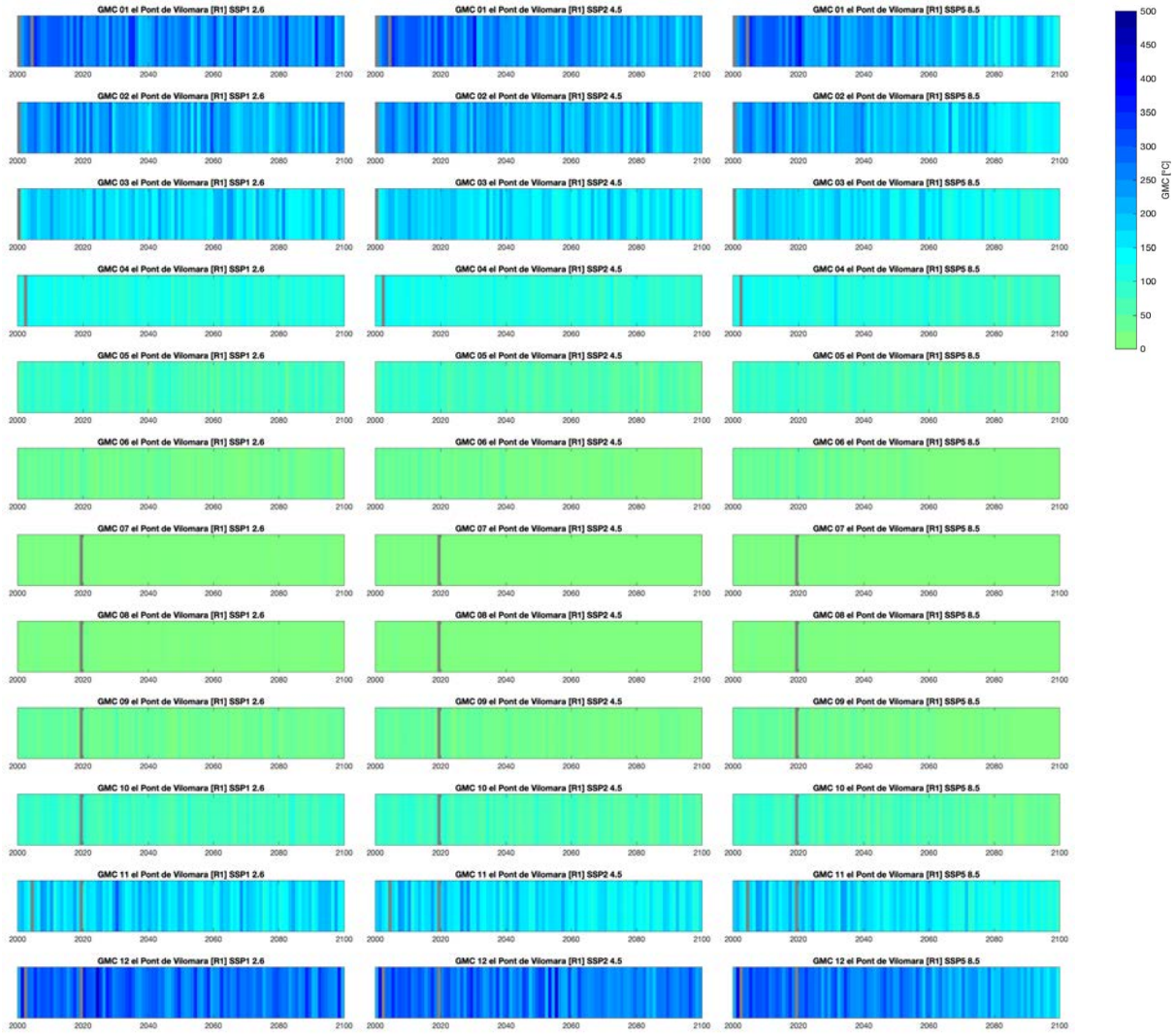

Figura A.133: Evolució dels graus-mes de calefacció (GMC) a l'estació R1- El Pont de Vilomara, per als diferents escenaris [SSP1 2.6, SSP2 4.5 i SSP5 8.5] per al model climàtic AWI-CM.

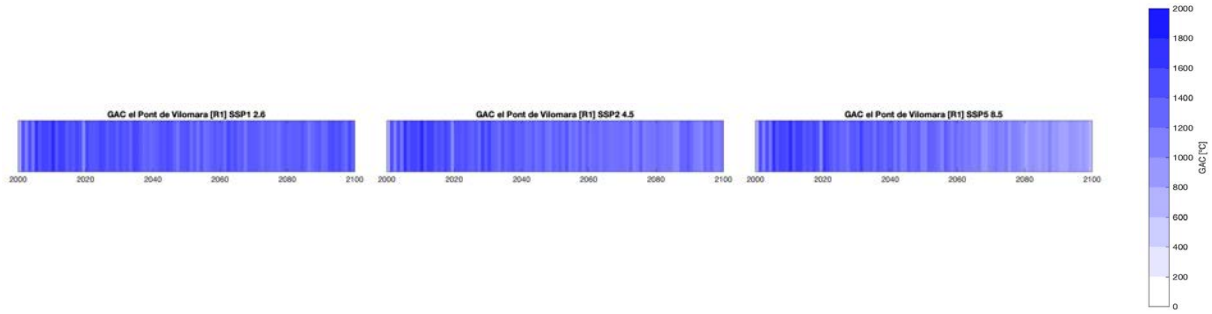

Figura A.134: Evolució dels graus-any de calefacció (GAC) a l'estació R1- El Pont de Vilomara, per als diferents escenaris [SSP1 2.6, SSP2 4.5 i SSP5 8.5] per al model climàtic AWI-CM.

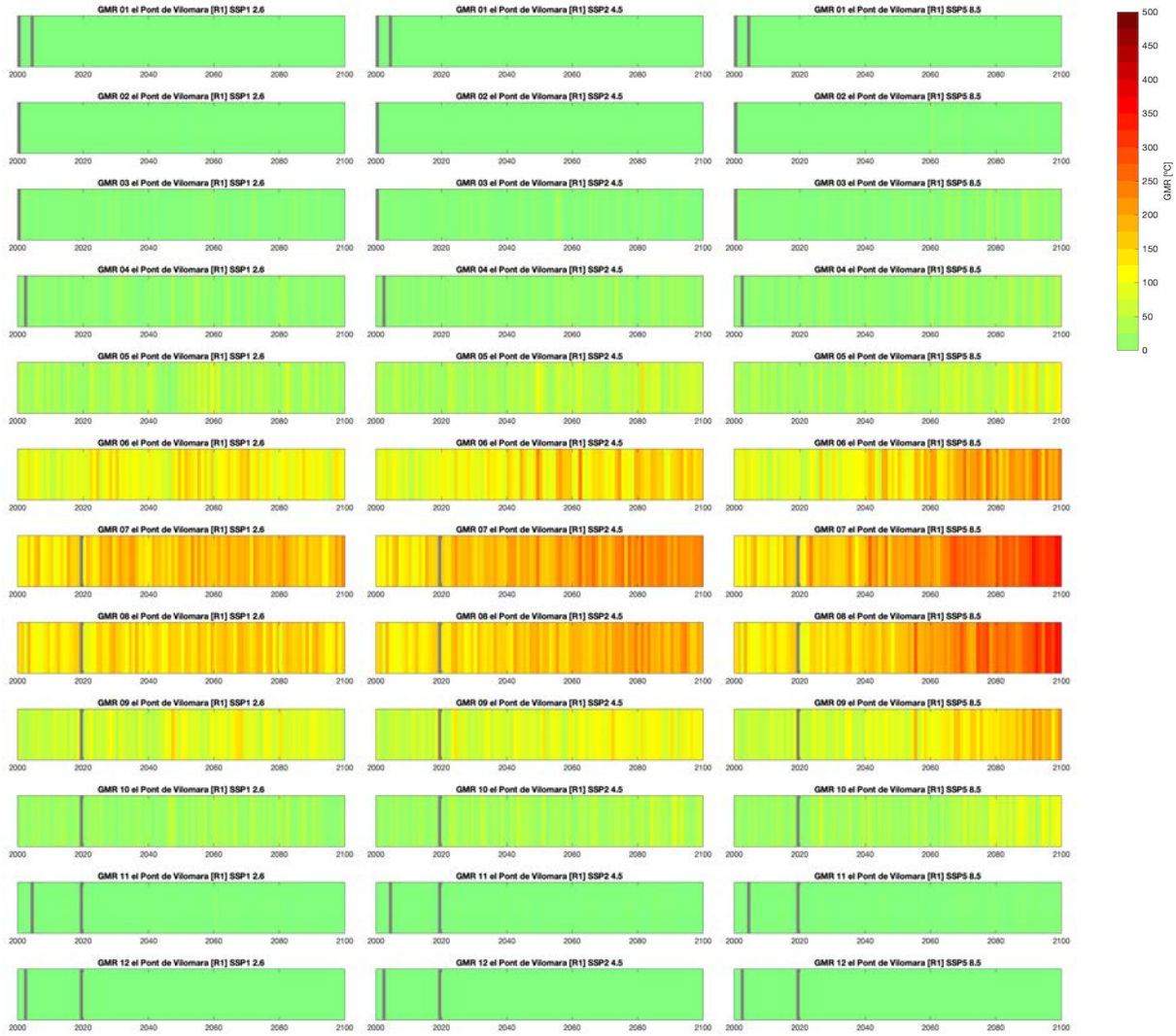

Figura A.135: Evolució dels graus-mes de refrigeració (GMR a l'estació R1- El Pont de Vilomara, per als diferents escenaris [SSP1 2.6, SSP2 4.5 i SSP5 8.5] per al model climàtic AWI-CM.

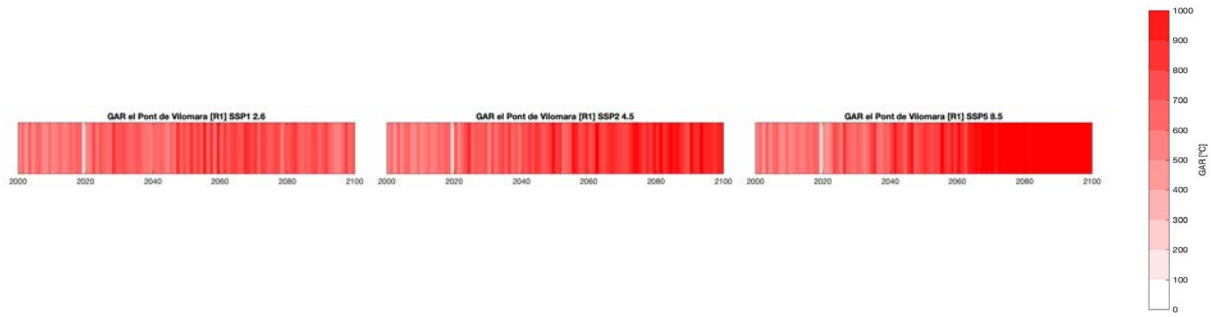

Figura A.136: Evolució dels graus-any de refrigeració (GAR a l'estació R1- El Pont de Vilomara, per als diferents escenaris [SSP1 2.6, SSP2 4.5 i SSP5 8.5] per al model climàtic AWI-CM.

A.1.36 U1 - Cabanes

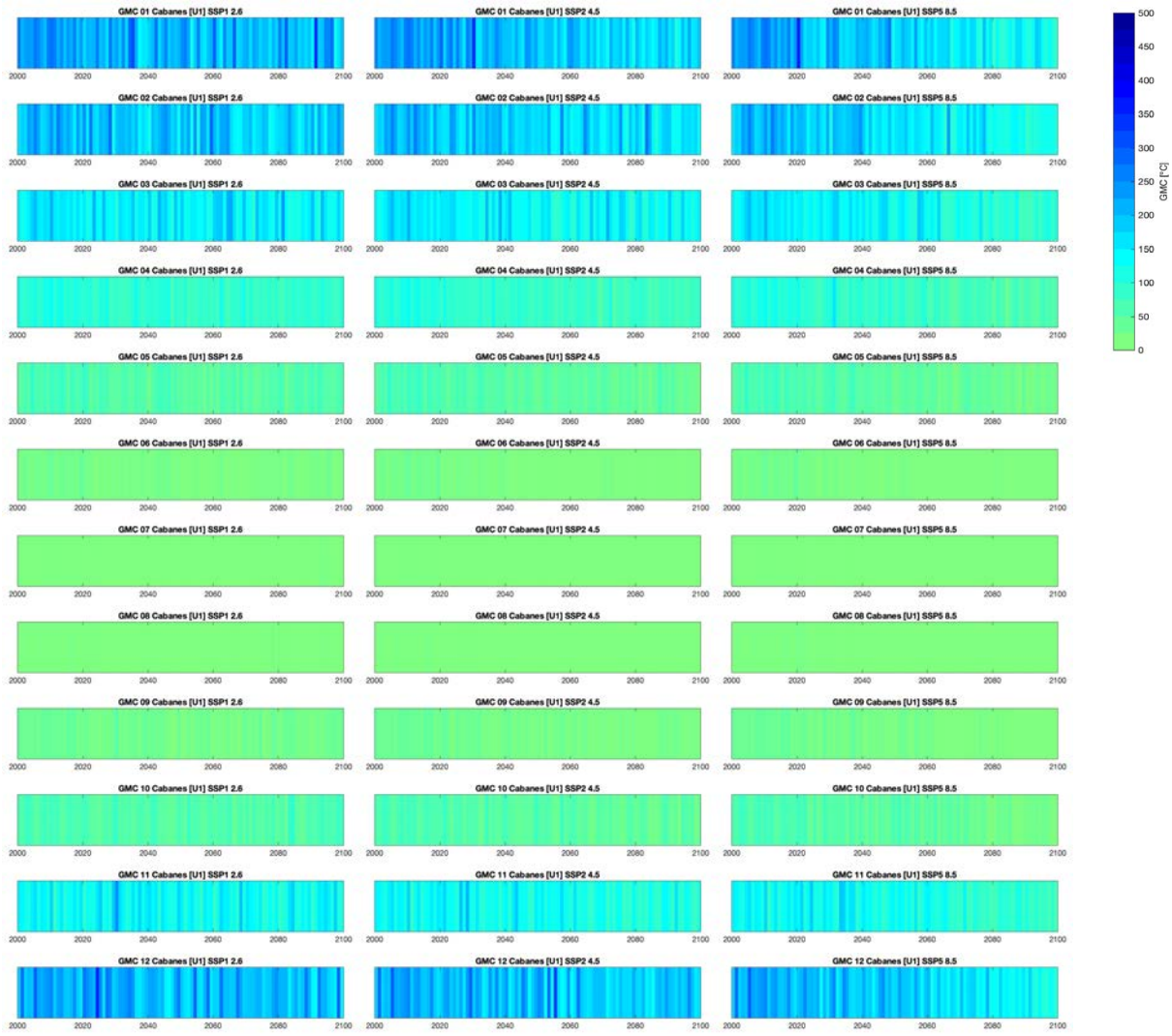

Figura A.137: Evolució dels graus-mes de calefacció (GMC) a l'estació U1- Cabanes, per als diferents escenaris [SSP1 2.6, SSP2 4.5 i SSP5 8.5] per al model climàtic AWI-CM.

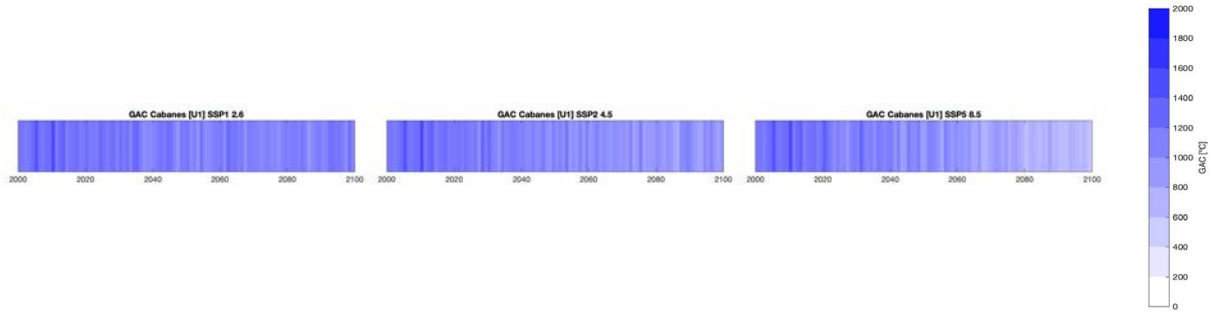

Figura A.138: Evolució dels graus-any de calefacció (GAC) a l'estació U1- Cabanes, per als diferents escenaris [SSP1 2.6, SSP2 4.5 i SSP5 8.5] per al model climàtic AWI-CM.

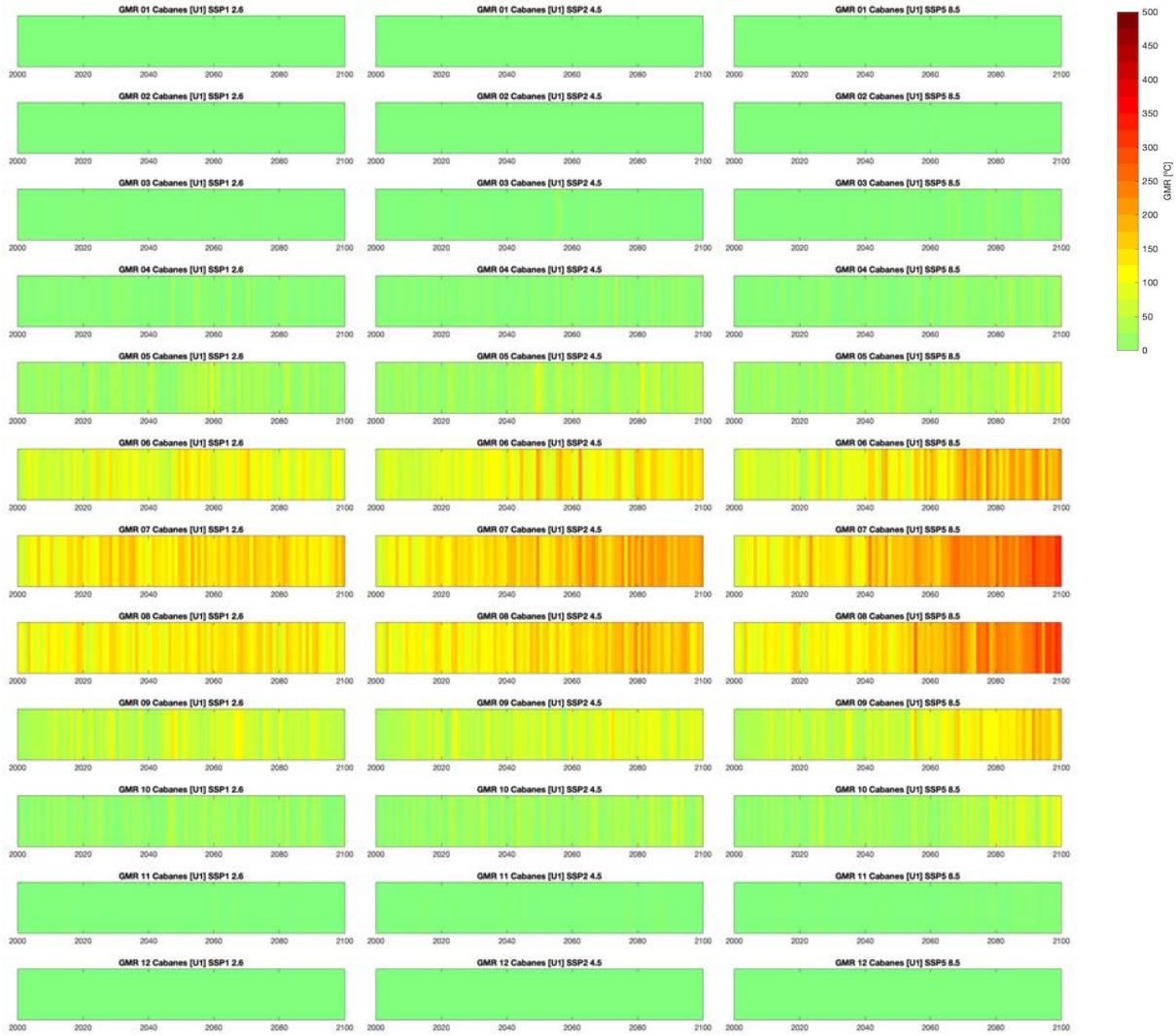

Figura A.139: Evolució dels graus-mes de refrigeració (GMR a l'estació U1- Cabanes, per als diferents escenaris [SSP1 2.6, SSP2 4.5 i SSP5 8.5] per al model climàtic AWI-CM.

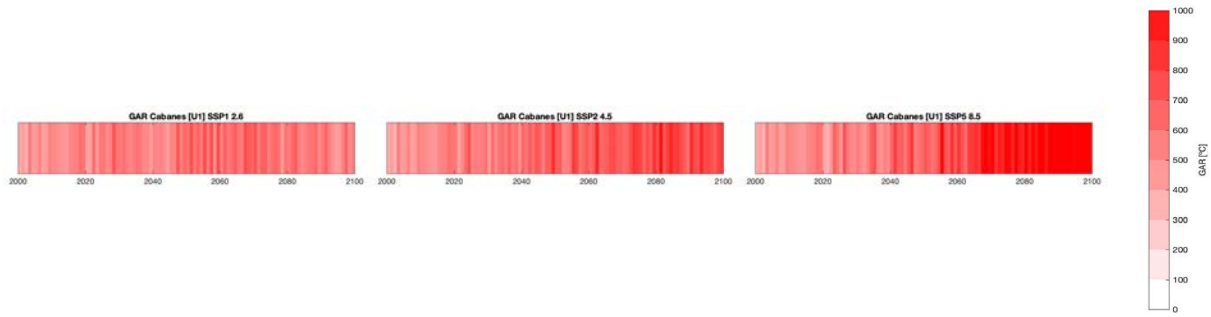

Figura A.140: Evolució dels graus-any de refrigeració (GAR a l'estació U1- Cabanes, per als diferents escenaris [SSP1 2.6, SSP2 4.5 i SSP5 8.5] per al model climàtic AWI-CM.

A.1.37 U2 - Sant Pere Pescador

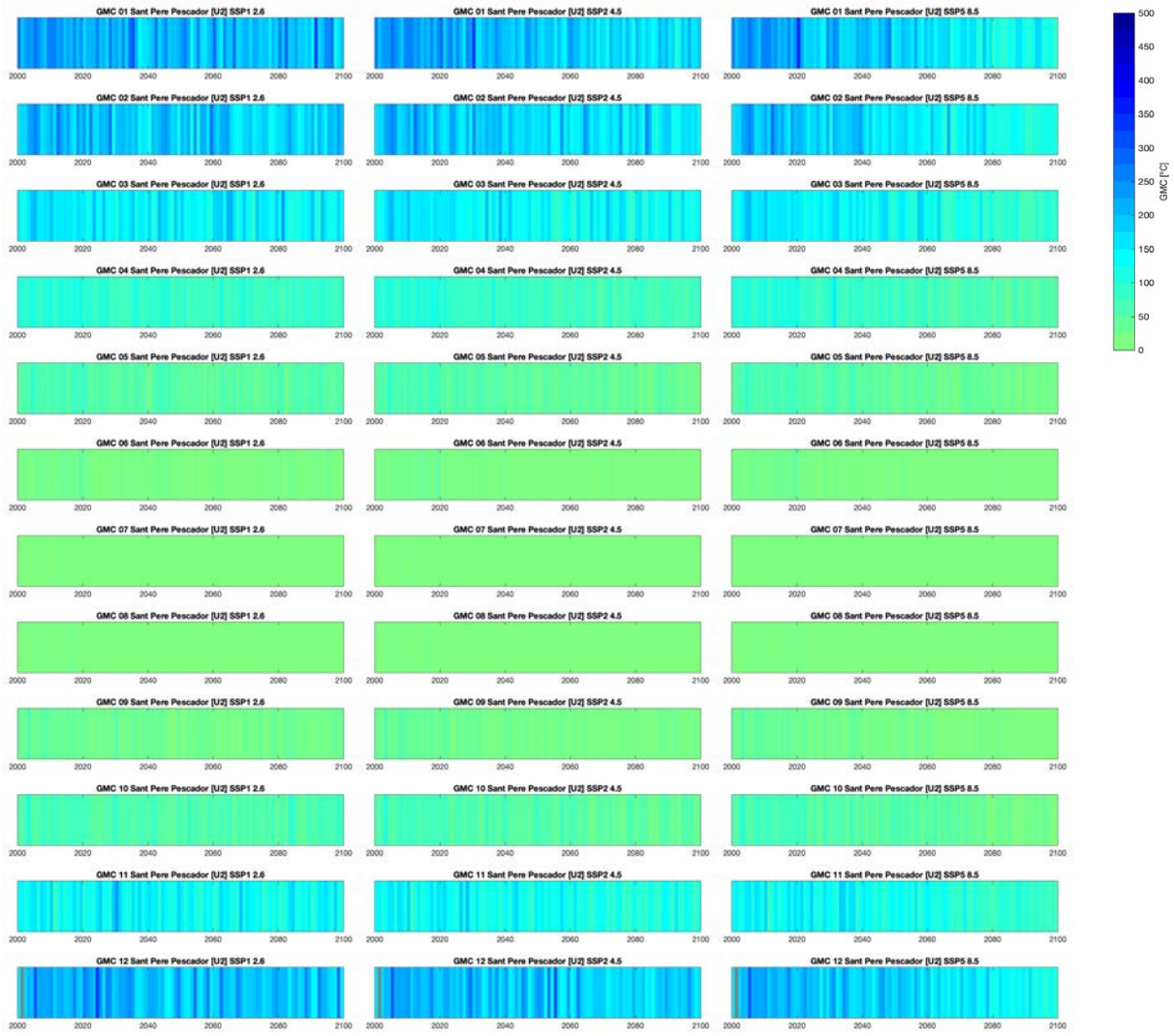

Figura A.141: Evolució dels graus-mes de calefacció (GMC) a l'estació U2- Sant Pere Pescador, per als diferents escenaris [SSP1 2.6, SSP2 4.5 i SSP5 8.5] per al model climàtic AWI-CM.

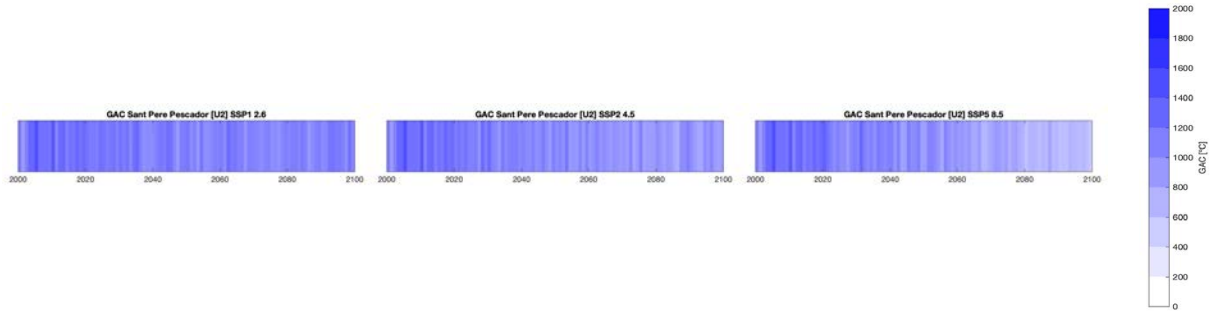

Figura A.142: Evolució dels graus-any de calefacció (GAC) a l'estació U2- Sant Pere Pescador, per als diferents escenaris [SSP1 2.6, SSP2 4.5 i SSP5 8.5] per al model climàtic AWI-CM.

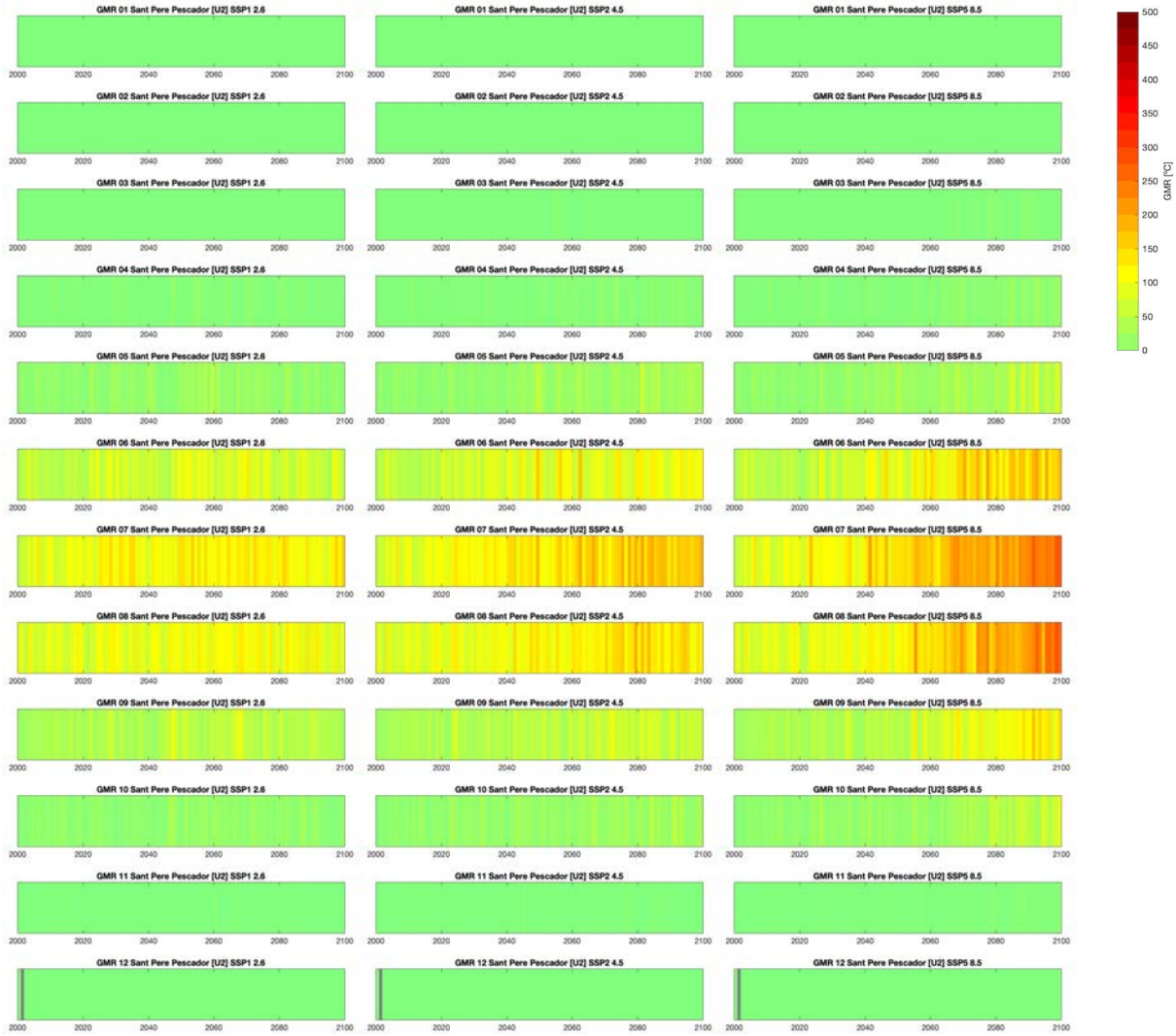

Figura A.143: Evolució dels graus-mes de refrigeració (GMR a l'estació U2- Sant Pere Pescador, per als diferents escenaris [SSP1 2.6, SSP2 4.5 i SSP5 8.5] per al model climàtic AWI-CM.

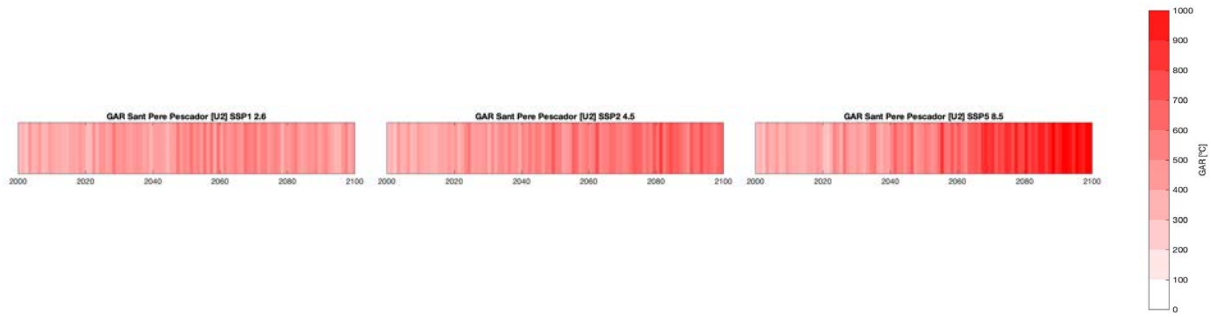

Figura A.144: Evolució dels graus-any de refrigeració (GAR a l'estació U2- Sant Pere Pescador, per als diferents escenaris [SSP1 2.6, SSP2 4.5 i SSP5 8.5] per al model climàtic AWI-CM.

A.1.38 U3 - Sant Martí Sarroca

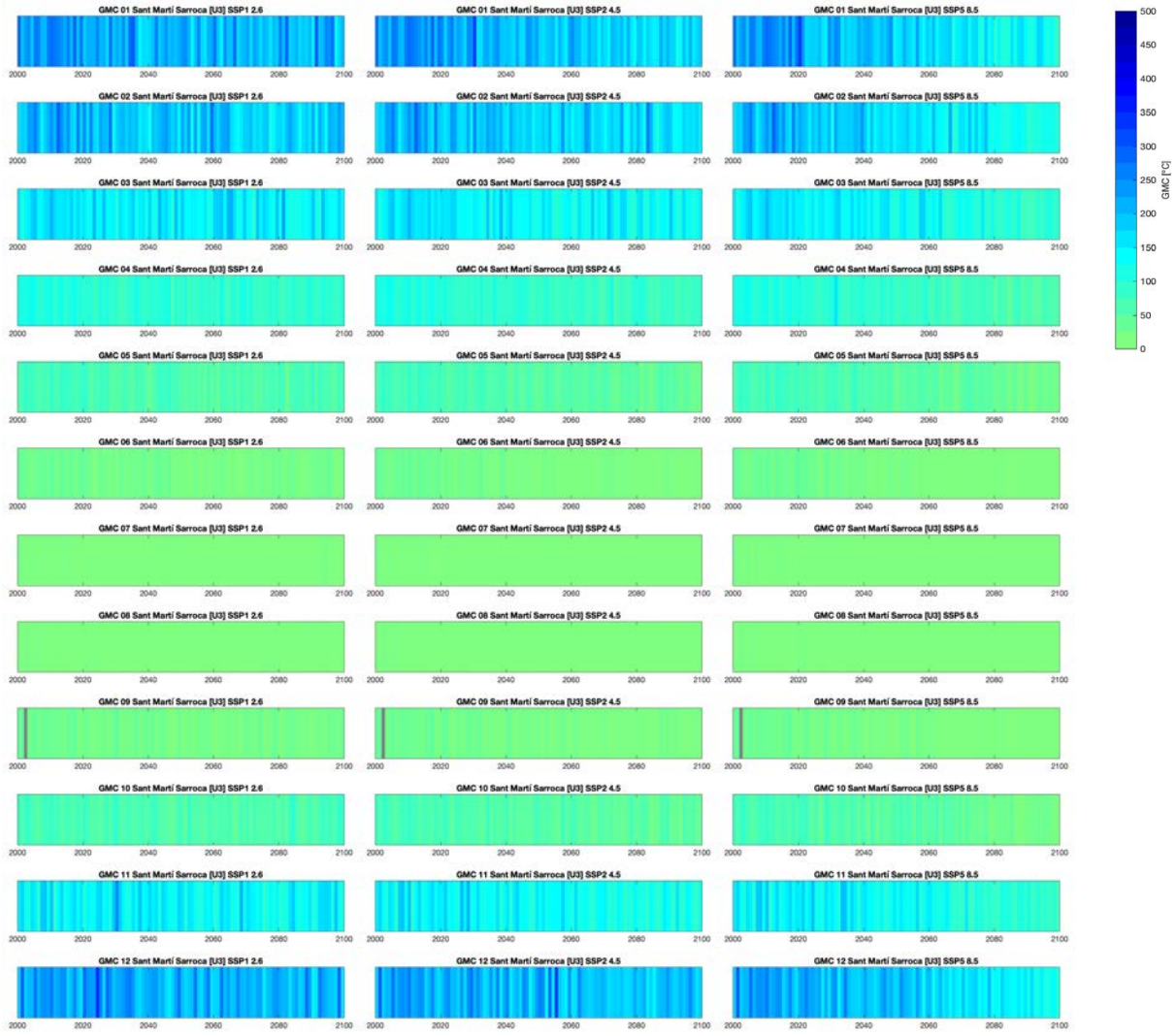

Figura A.145: Evolució dels graus-mes de calefacció (GMC) a l'estació U3- Sant Martí Sarroca, per als diferents escenaris [SSP1 2.6, SSP2 4.5 i SSP5 8.5] per al model climàtic AWI-CM.

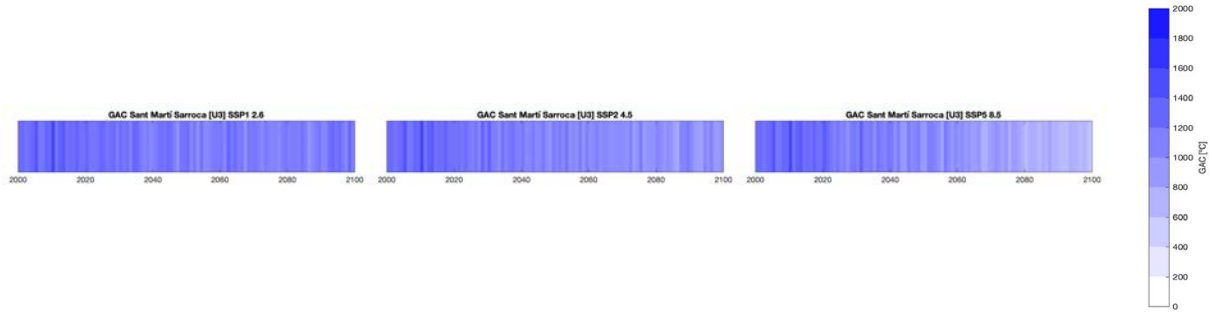

Figura A.146: Evolució dels graus-any de calefacció (GAC) a l'estació U3- Sant Martí Sarroca, per als diferents escenaris [SSP1 2.6, SSP2 4.5 i SSP5 8.5] per al model climàtic AWI-CM.

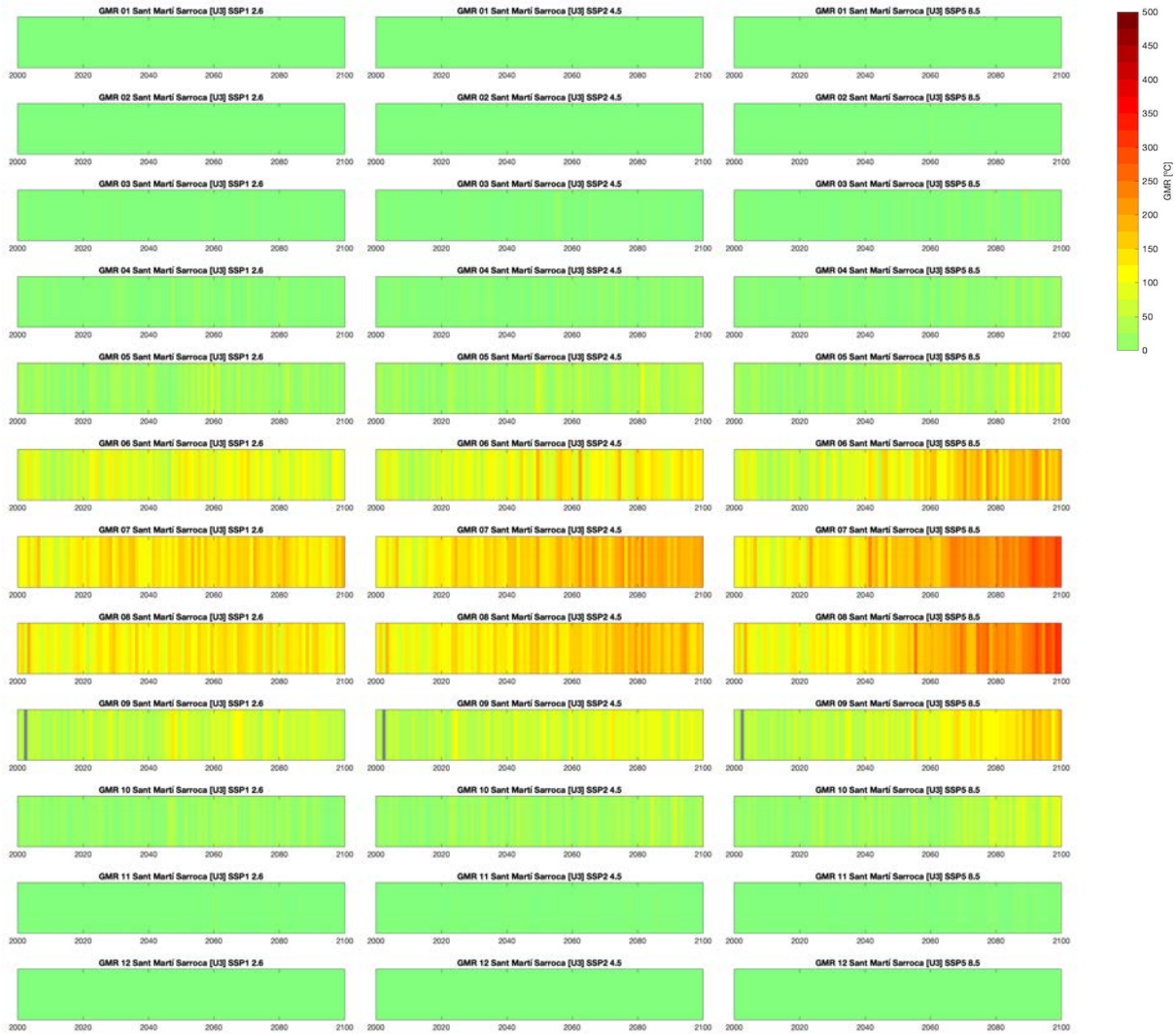

Figura A.147: Evolució dels graus-mes de refrigeració (GMR a l'estació U3- Sant Martí Sarroca, per als diferents escenaris [SSP1 2.6, SSP2 4.5 i SSP5 8.5] per al model climàtic AWI-CM.

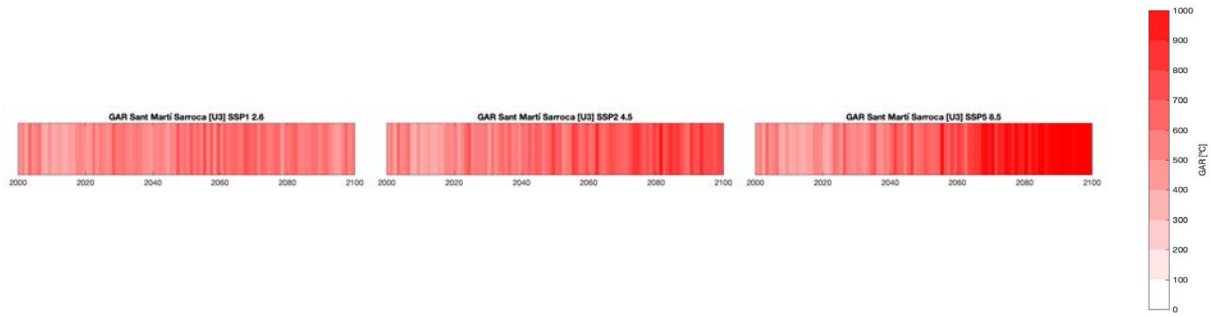

Figura A.148: Evolució dels graus-any de refrigeració (GAR a l'estació U3- Sant Martí Sarroca, per als diferents escenaris [SSP1 2.6, SSP2 4.5 i SSP5 8.5] per al model climàtic AWI-CM.

A.1.39 U4 - Castellnou de Bages

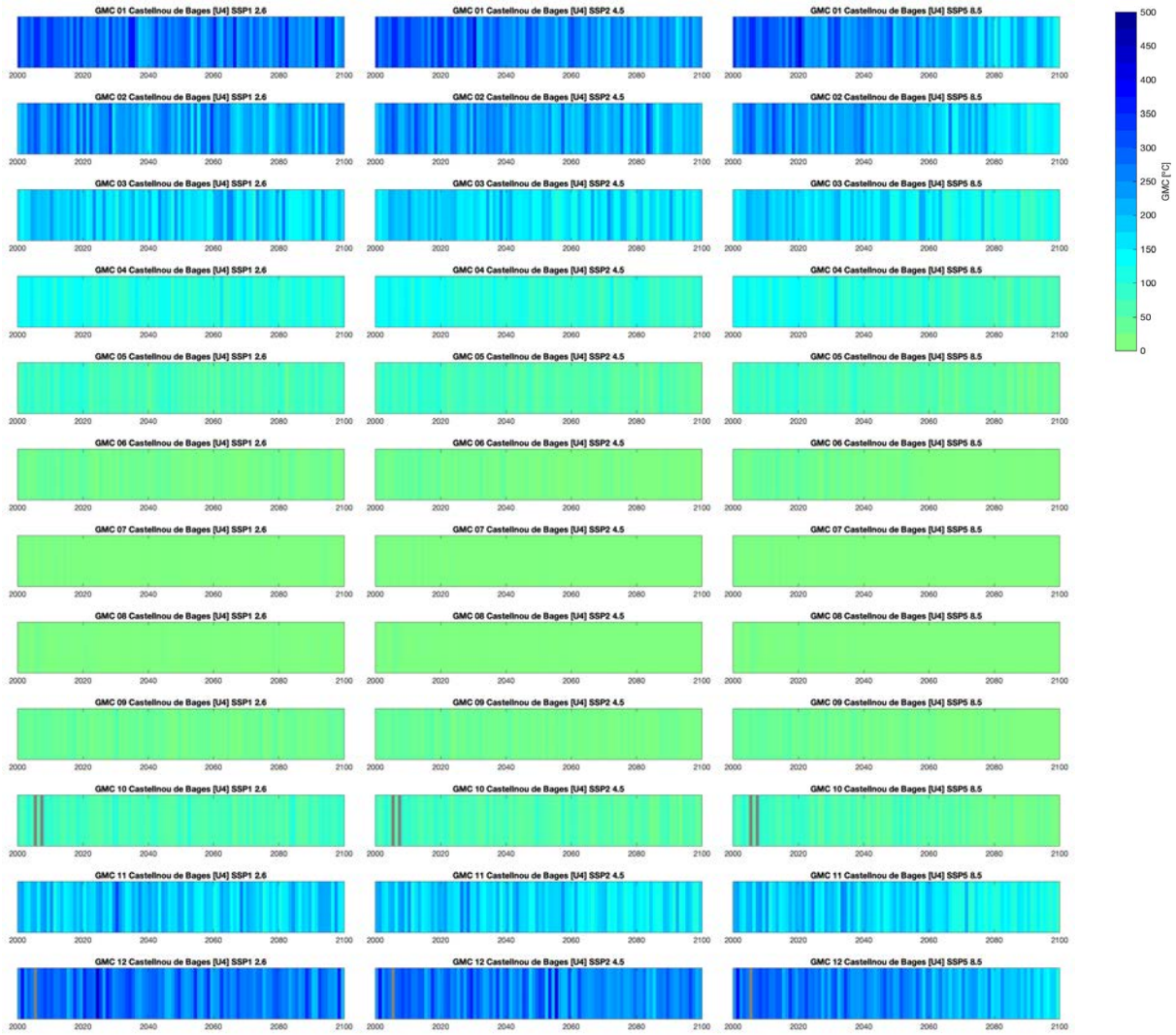

Figura A.149: Evolució dels graus-mes de calefacció (GMC) a l'estació U4- Castellnou de Bages, per als diferents escenaris [SSP1 2.6, SSP2 4.5 i SSP5 8.5] per al model climàtic AWI-CM.

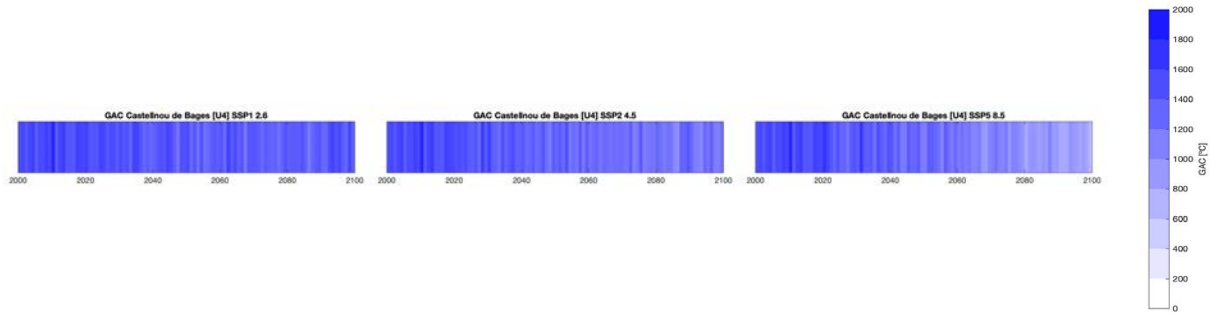

Figura A.150: Evolució dels graus-any de calefacció (GAC) a l'estació U4- Castellnou de Bages, per als diferents escenaris [SSP1 2.6, SSP2 4.5 i SSP5 8.5] per al model climàtic AWI-CM.

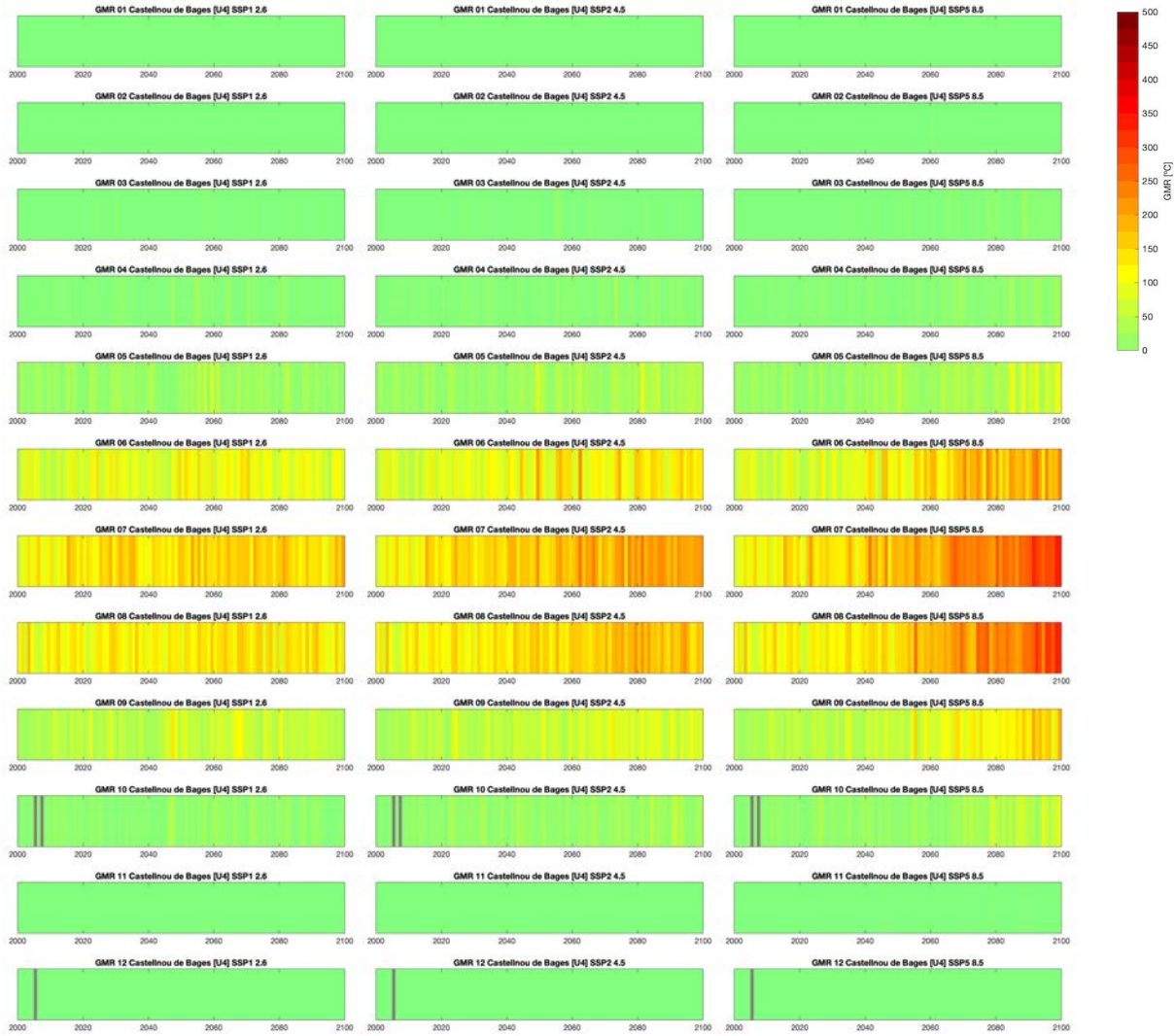

Figura A.151: Evolució dels graus-mes de refrigeració (GMR a l'estació U4- Castellnou de Bages, per als diferents escenaris [SSP1 2.6, SSP2 4.5 i SSP5 8.5] per al model climàtic AWI-CM.

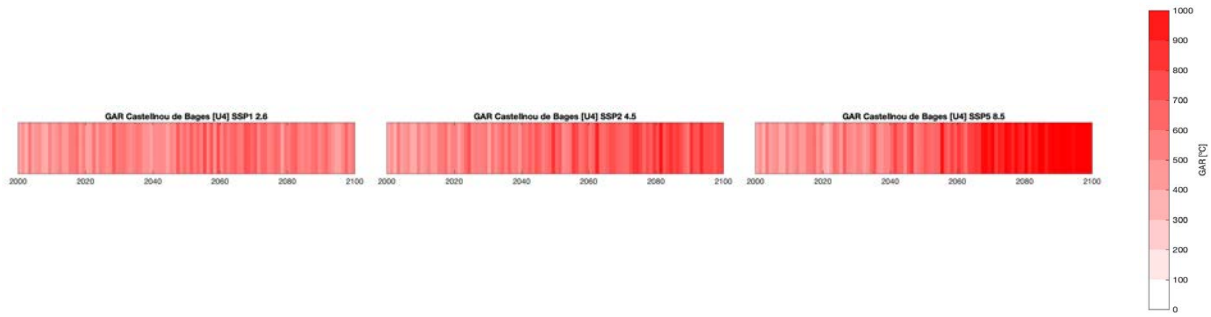

Figura A.152: Evolució dels graus-any de refrigeració (GAR a l'estació U4- Castellnou de Bages, per als diferents escenaris [SSP1 2.6, SSP2 4.5 i SSP5 8.5] per al model climàtic AWI-CM.

A.1.40 U6 - Vinyols i els Arcs

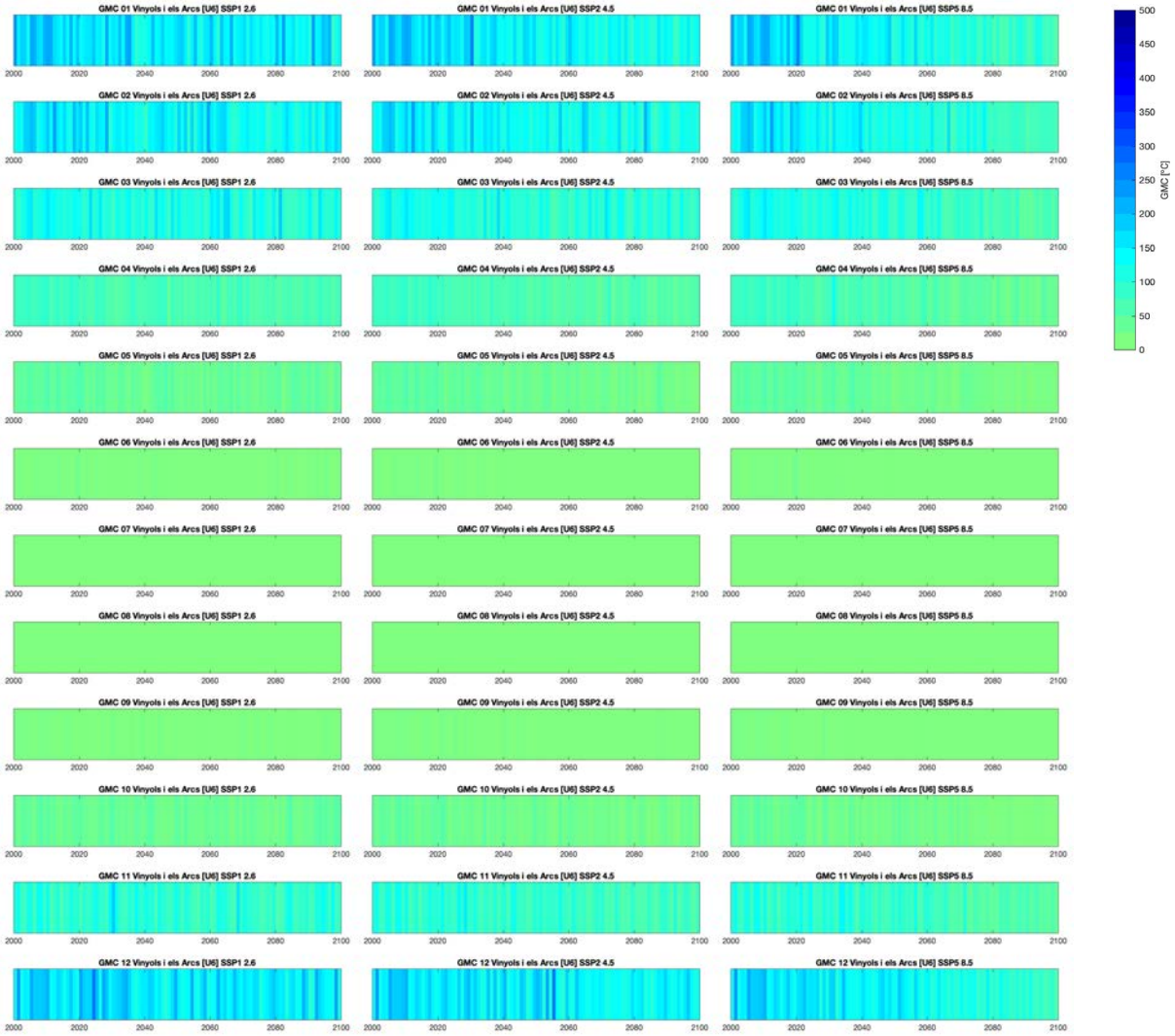

Figura A.153: Evolució dels graus-mes de calefacció (GMC) a l'estació U6- Vinyols i els Arcs, per als diferents escenaris [SSP1 2.6, SSP2 4.5 i SSP5 8.5] per al model climàtic AWI-CM.

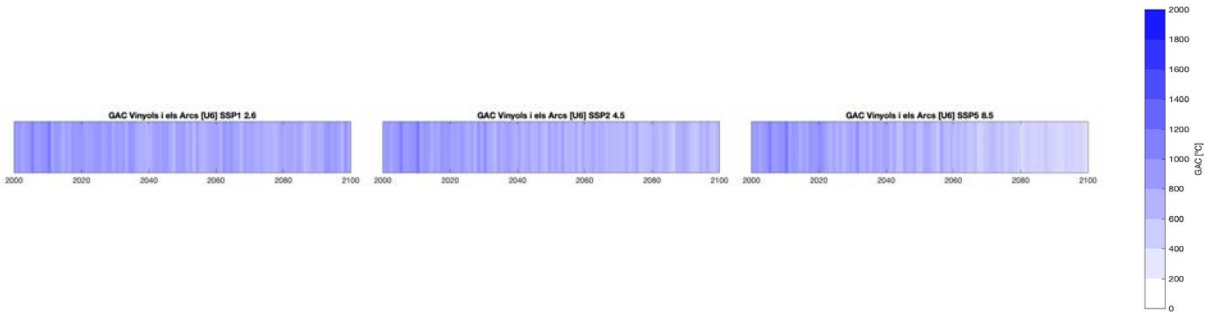

Figura A.154: Evolució dels graus-any de calefacció (GAC) a l'estació U6- Vinyols i els Arcs, per als diferents escenaris [SSP1 2.6, SSP2 4.5 i SSP5 8.5] per al model climàtic AWI-CM.

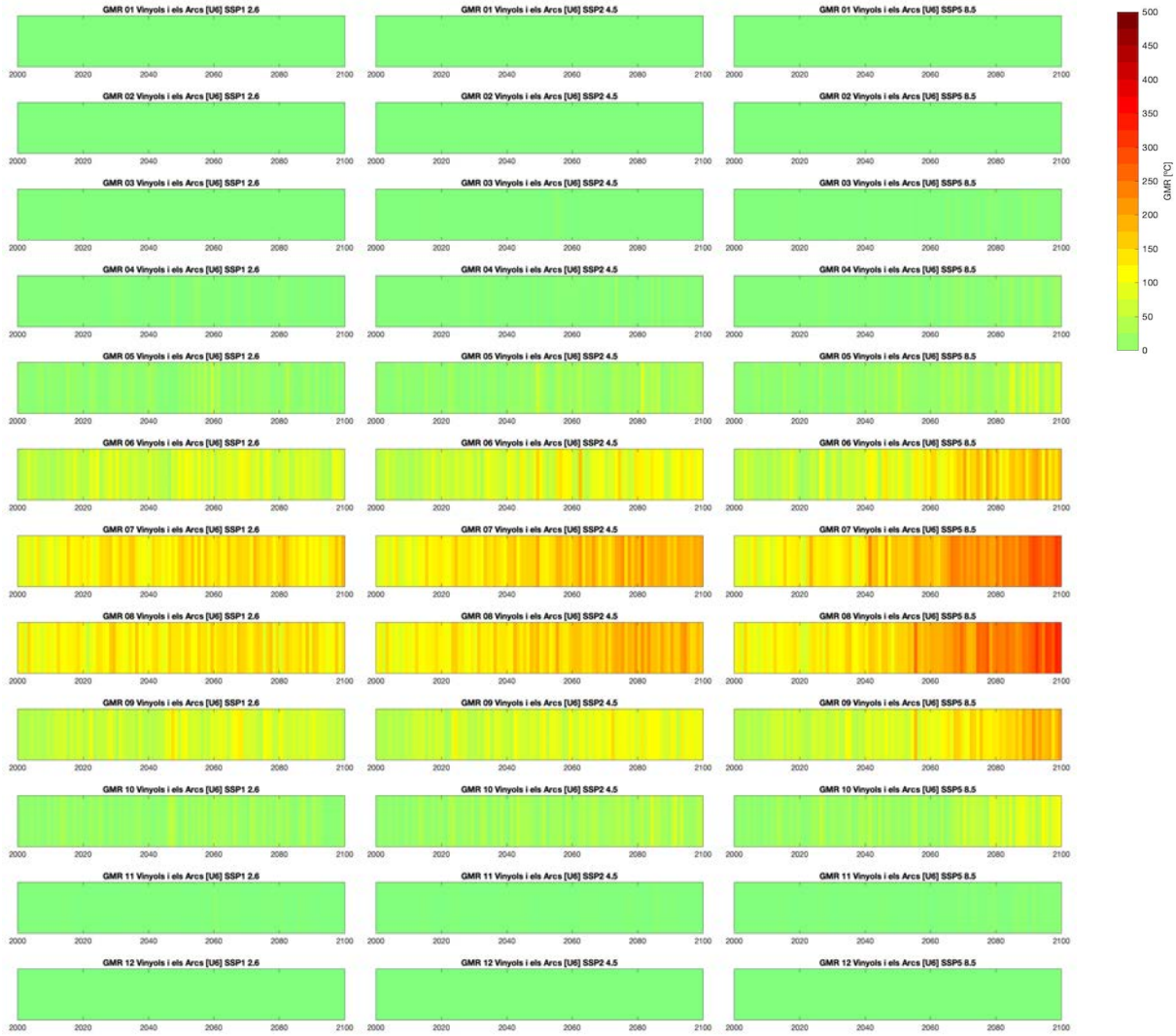

Figura A.155: Evolució dels graus-mes de refrigeració (GMR a l'estació U6- Vinyols i els Arcs, per als diferents escenaris [SSP1 2.6, SSP2 4.5 i SSP5 8.5] per al model climàtic AWI-CM.

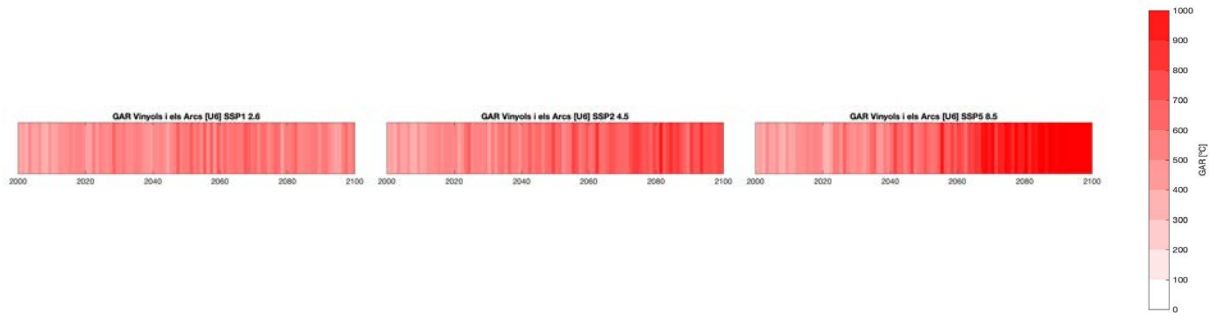

Figura A.156: Evolució dels graus-any de refrigeració (GAR a l'estació U6- Vinyols i els Arcs, per als diferents escenaris [SSP1 2.6, SSP2 4.5 i SSP5 8.5] per al model climàtic AWI-CM.

A.1.41 U7 - Aldover

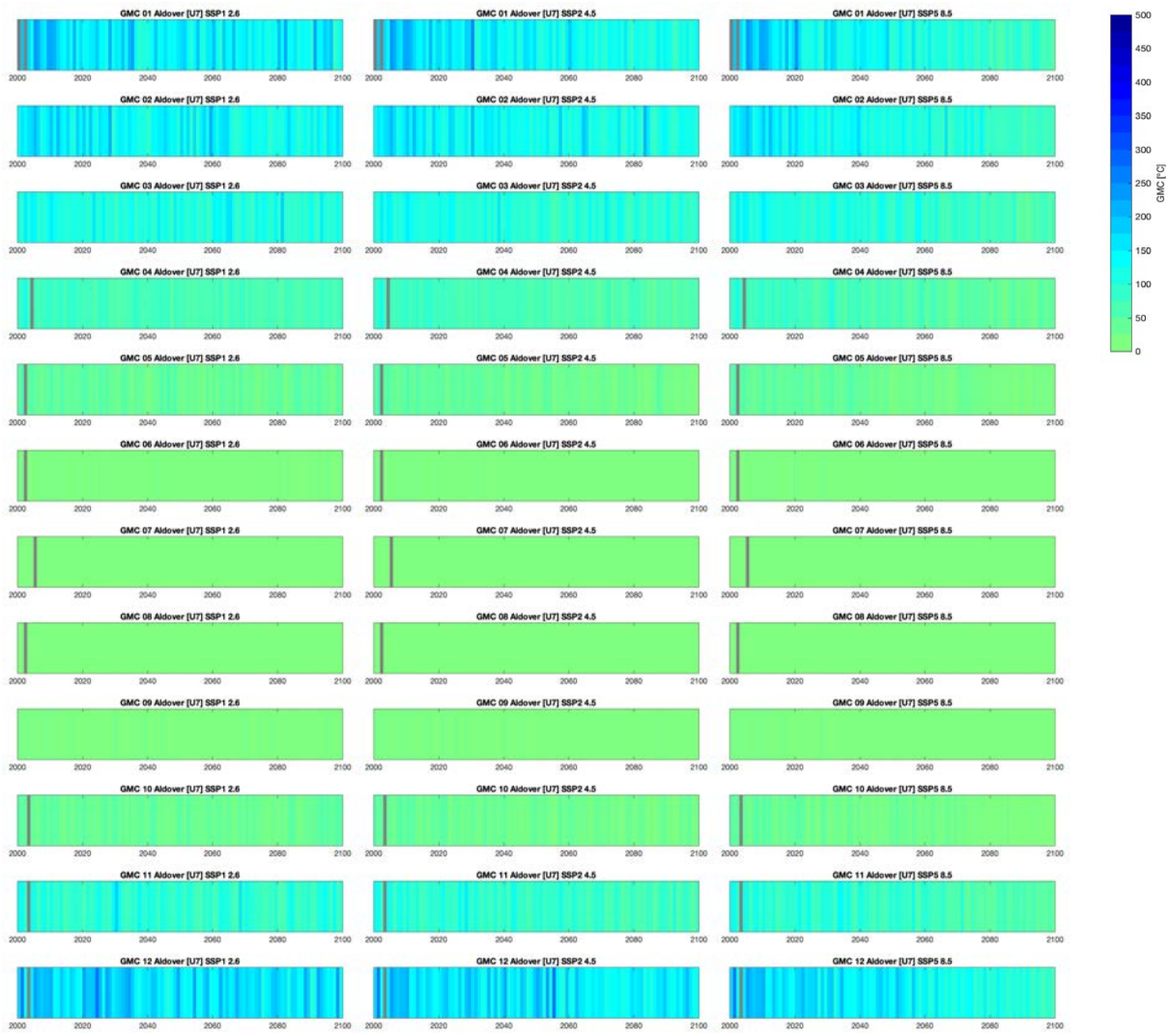

Figura A.157: Evolució dels graus-mes de calefacció (GMC) a l'estació U7- Aldover, per als diferents escenaris [SSP1 2.6, SSP2 4.5 i SSP5 8.5] per al model climàtic AWI-CM.

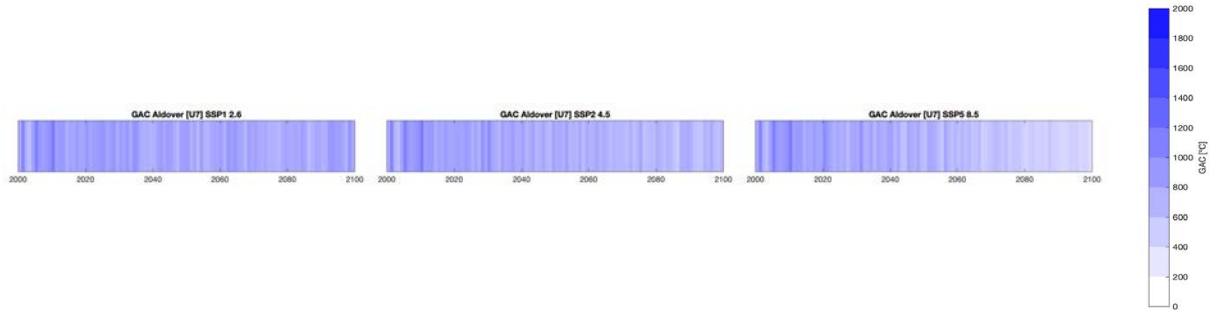

Figura A.158: Evolució dels graus-any de calefacció (GAC) a l'estació U7- Aldover, per als diferents escenaris [SSP1 2.6, SSP2 4.5 i SSP5 8.5] per al model climàtic AWI-CM.

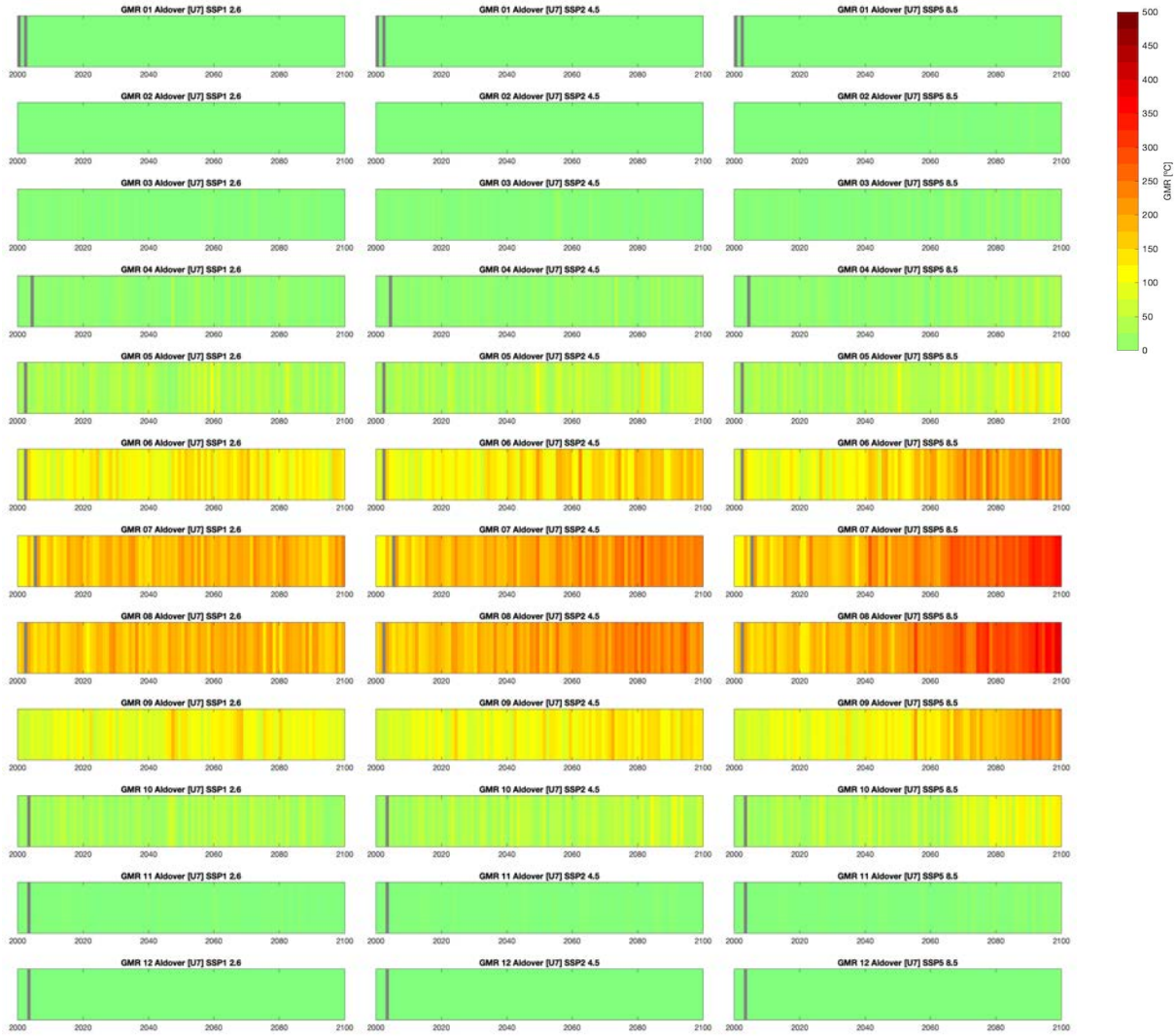

Figura A.159: Evolució dels graus-mes de refrigeració (GMR a l'estació U7- Aldover, per als diferents escenaris [SSP1 2.6, SSP2 4.5 i SSP5 8.5] per al model climàtic AWI-CM.

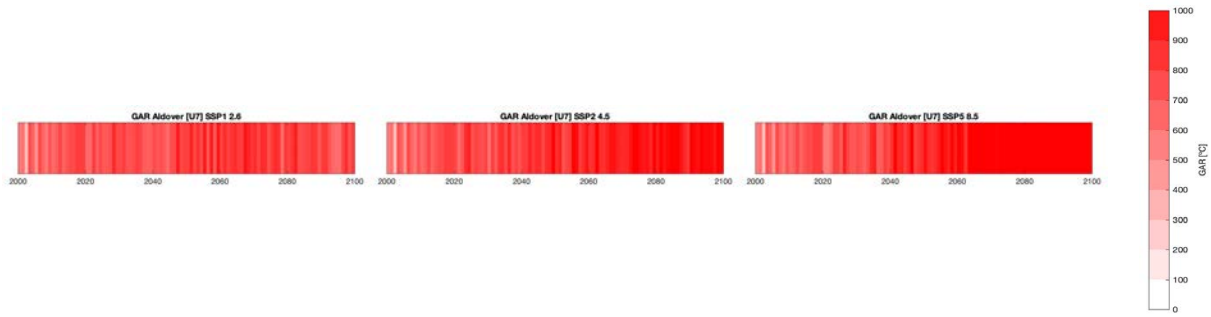

Figura A.160: Evolució dels graus-any de refrigeració (GAR a l'estació U7- Aldover, per als diferents escenaris [SSP1 2.6, SSP2 4.5 i SSP5 8.5] per al model climàtic AWI-CM.

A.1.42 U9 - L'Aldea

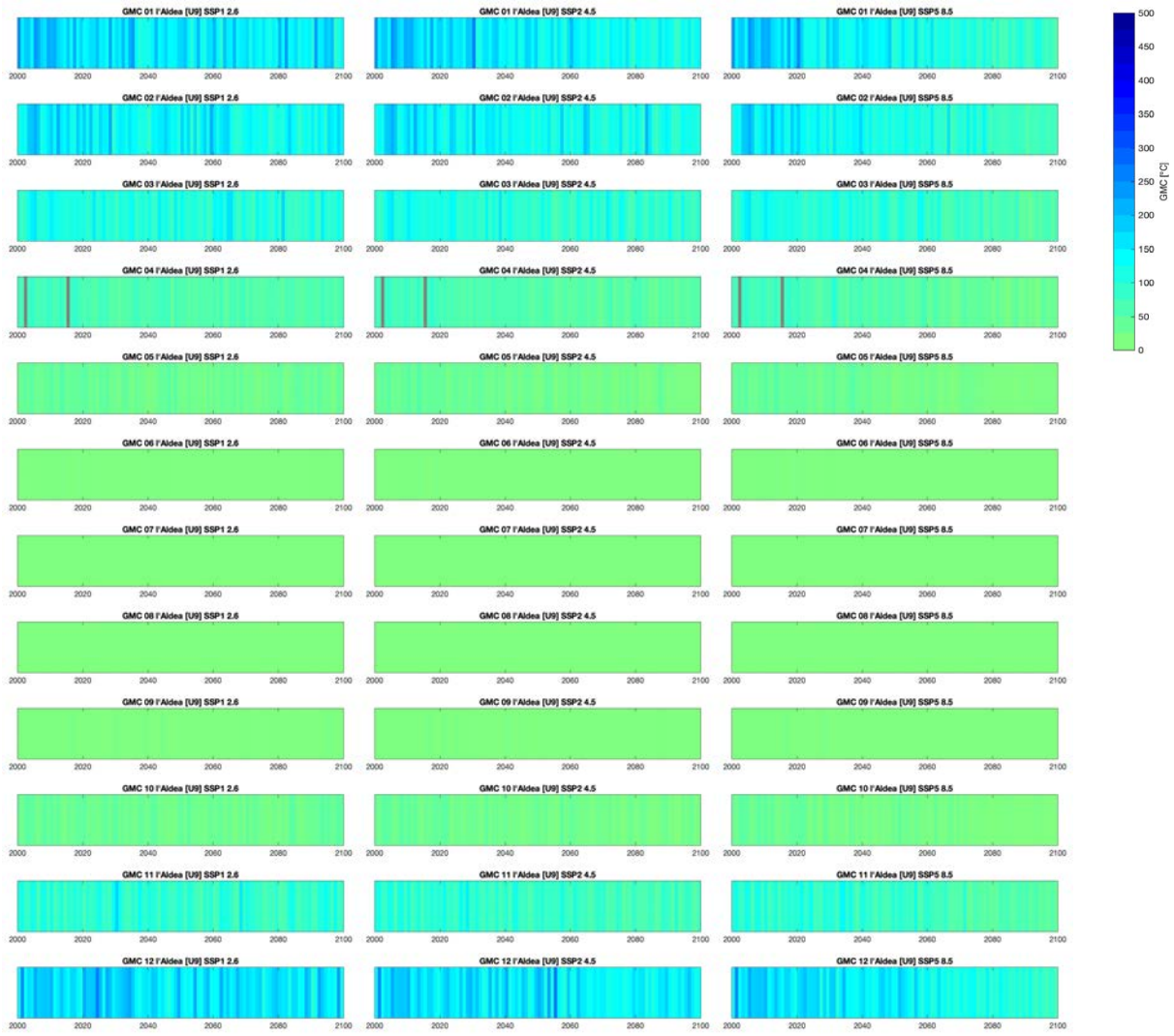

Figura A.161: Evolució dels graus-mes de calefacció (GMC) a l'estació U9- L'Aldea, per als diferents escenaris [SSP1 2.6, SSP2 4.5 i SSP5 8.5] per al model climàtic AWI-CM.

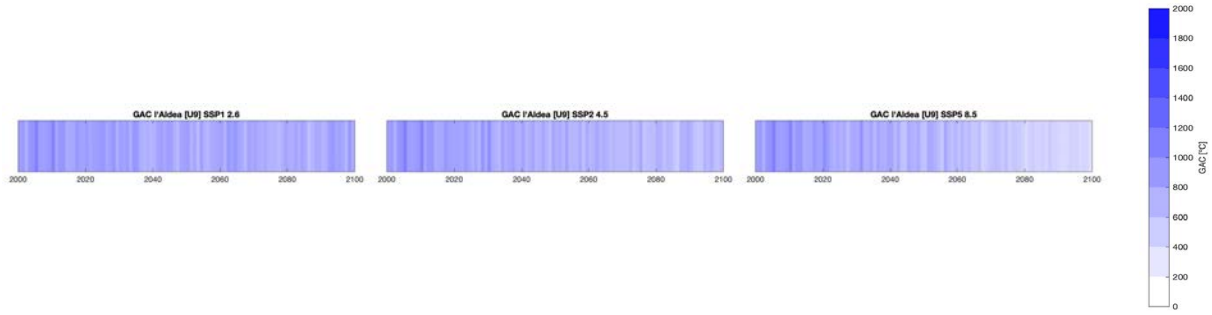

Figura A.162: Evolució dels graus-any de calefacció (GAC) a l'estació U9- L'Aldea, per als diferents escenaris [SSP1 2.6, SSP2 4.5 i SSP5 8.5] per al model climàtic AWI-CM.

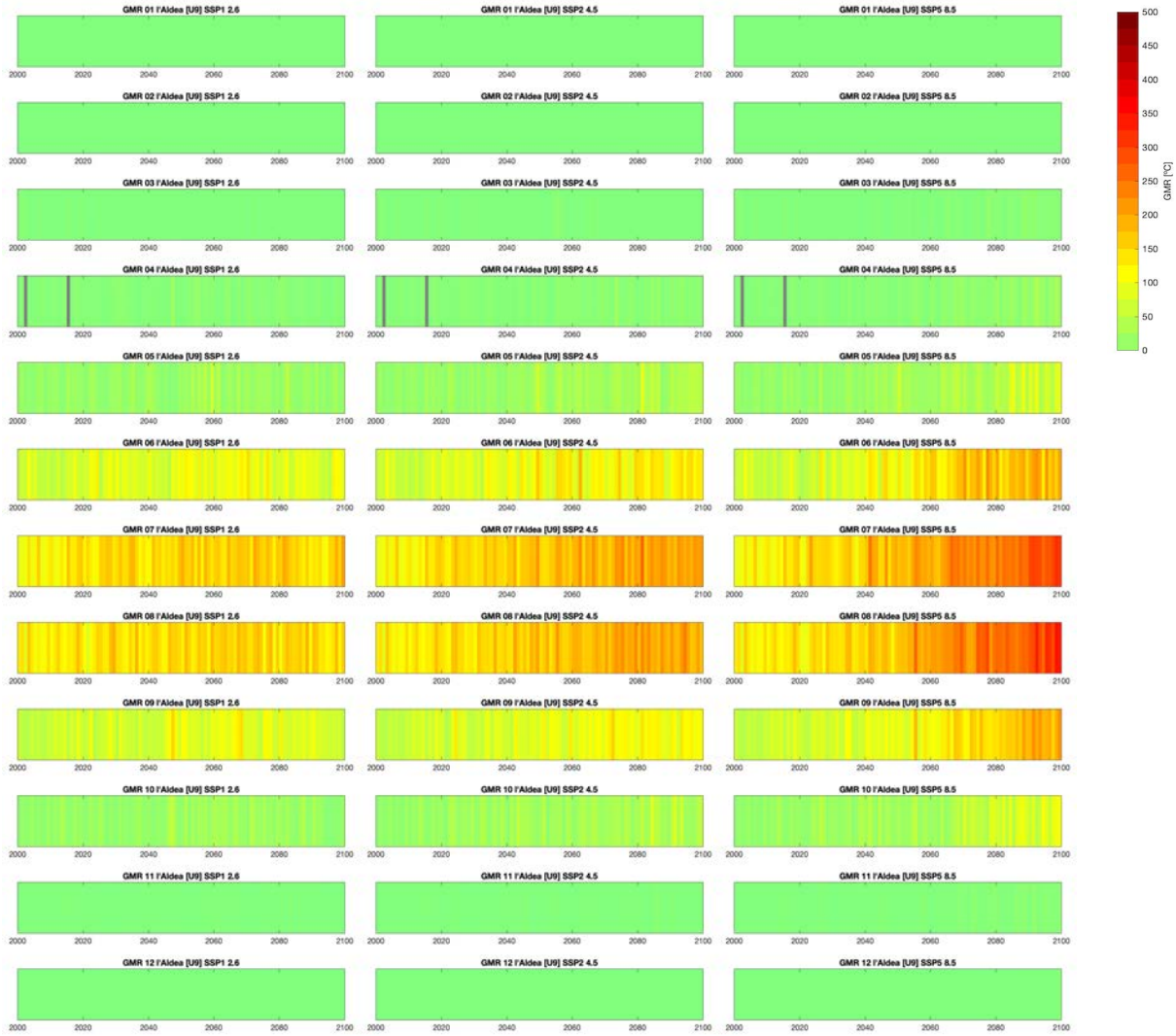

Figura A.163: Evolució dels graus-mes de refrigeració (GMR a l'estació U9- L'Aldea, per als diferents escenaris [SSP1 2.6, SSP2 4.5 i SSP5 8.5] per al model climàtic AWI-CM.

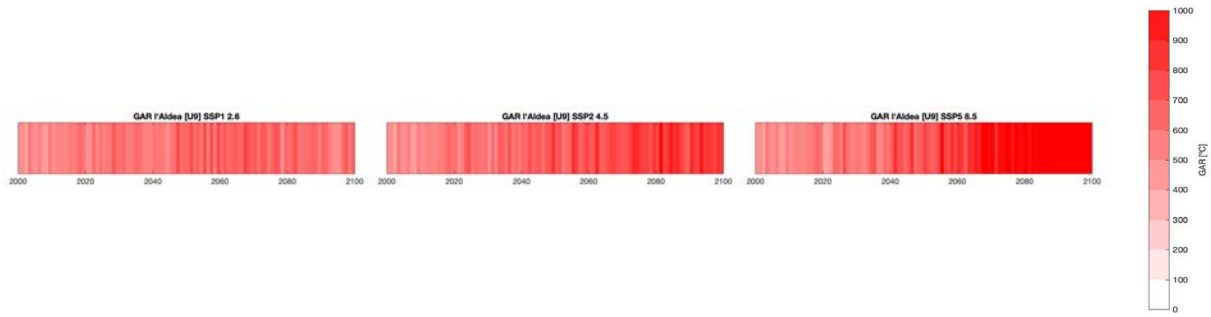

Figura A.164: Evolució dels graus-any de refrigeració (GAR a l'estació U9- L'Aldea, per als diferents escenaris [SSP1 2.6, SSP2 4.5 i SSP5 8.5] per al model climàtic AWI-CM.

A.1.43 UA - L'Ametlla de Mar

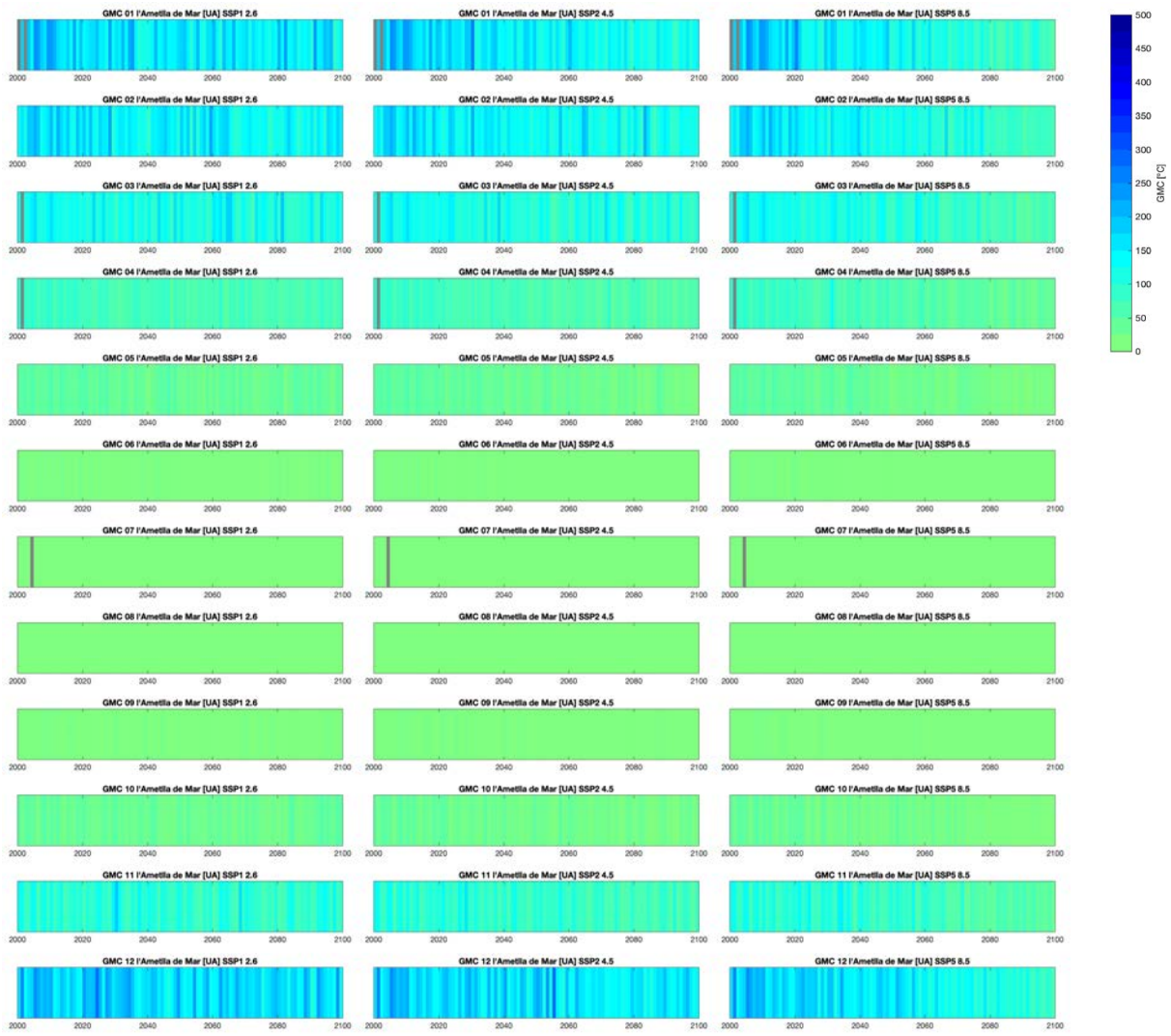

Figura A.165: Evolució dels graus-mes de calefacció (GMC) a l'estació UA- L'Ametlla de Mar, per als diferents escenaris [SSP1 2.6, SSP2 4.5 i SSP5 8.5] per al model climàtic AWI-CM.

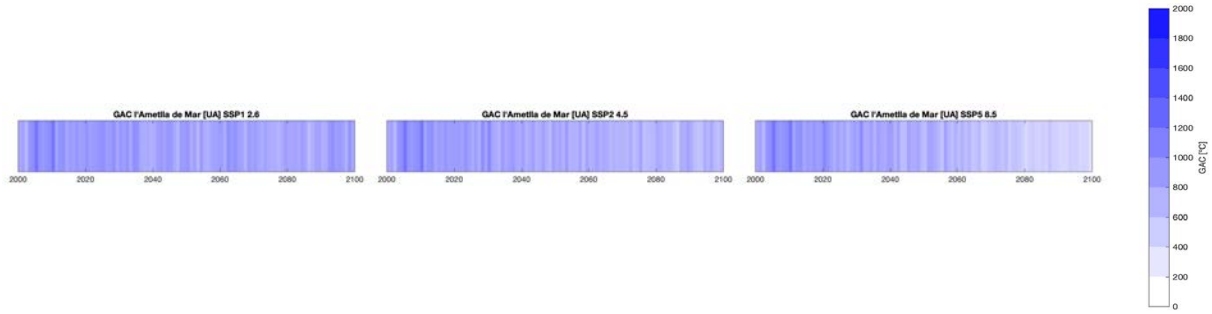

Figura A.166: Evolució dels graus-any de calefacció (GAC) a l'estació UA- L'Ametlla de Mar, per als diferents escenaris [SSP1 2.6, SSP2 4.5 i SSP5 8.5] per al model climàtic AWI-CM.

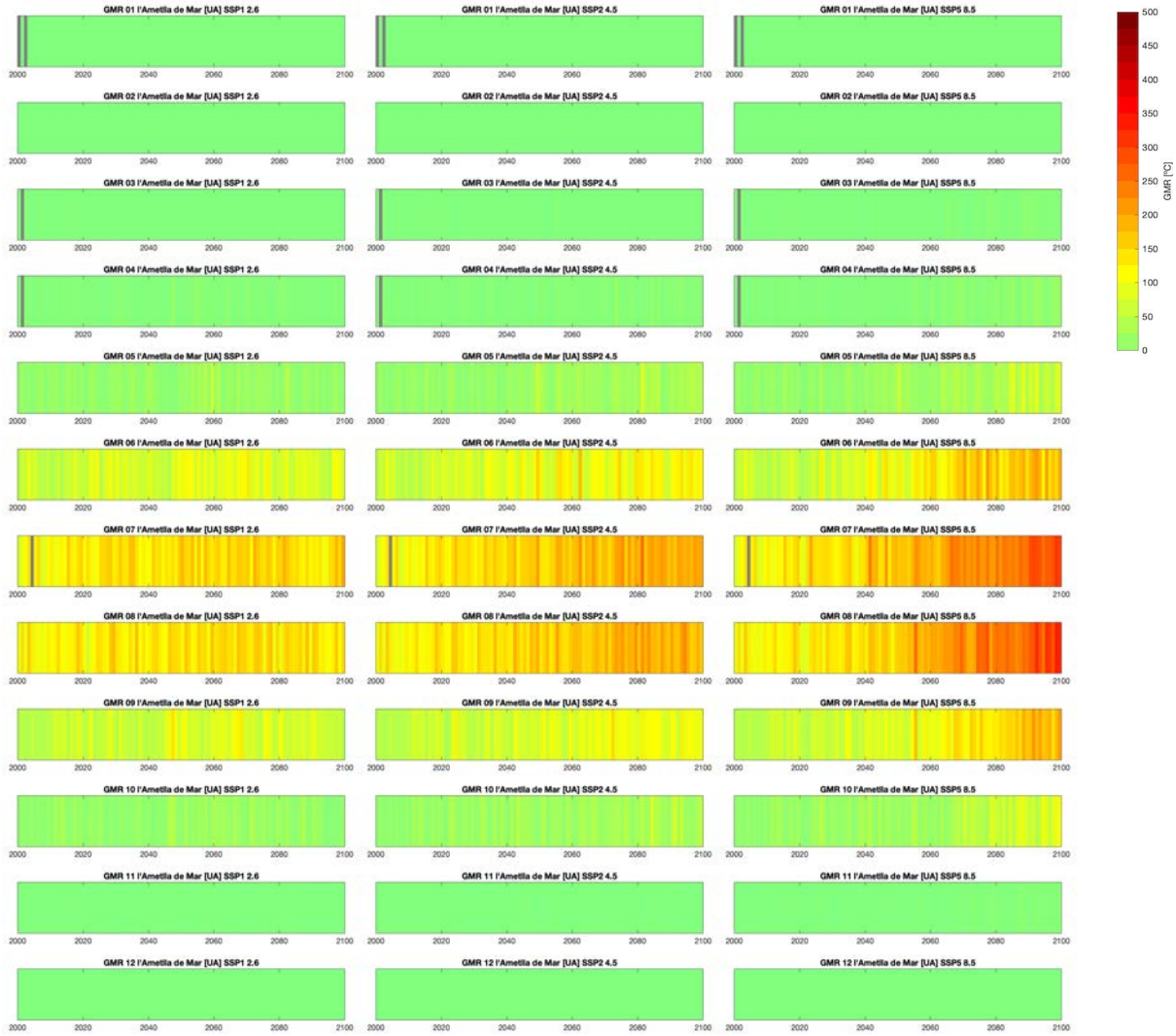

Figura A.167: Evolució dels graus-mes de refrigeració (GMR a l'estació UA- L'Ametlla de Mar, per als diferents escenaris [SSP1 2.6, SSP2 4.5 i SSP5 8.5] per al model climàtic AWI-CM.

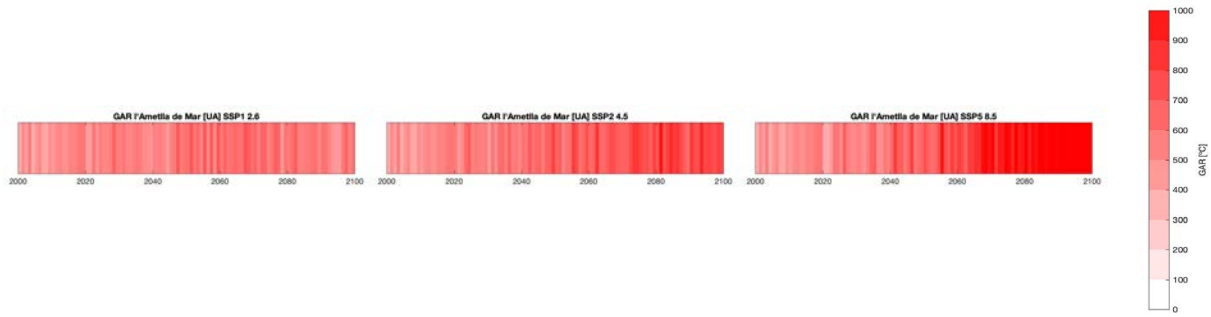

Figura A.168: Evolució dels graus-any de refrigeració (GAR a l'estació UA- L'Ametlla de Mar, per als diferents escenaris [SSP1 2.6, SSP2 4.5 i SSP5 8.5] per al model climàtic AWI-CM.

A.1.44 UB - La Tallada d'Empordà

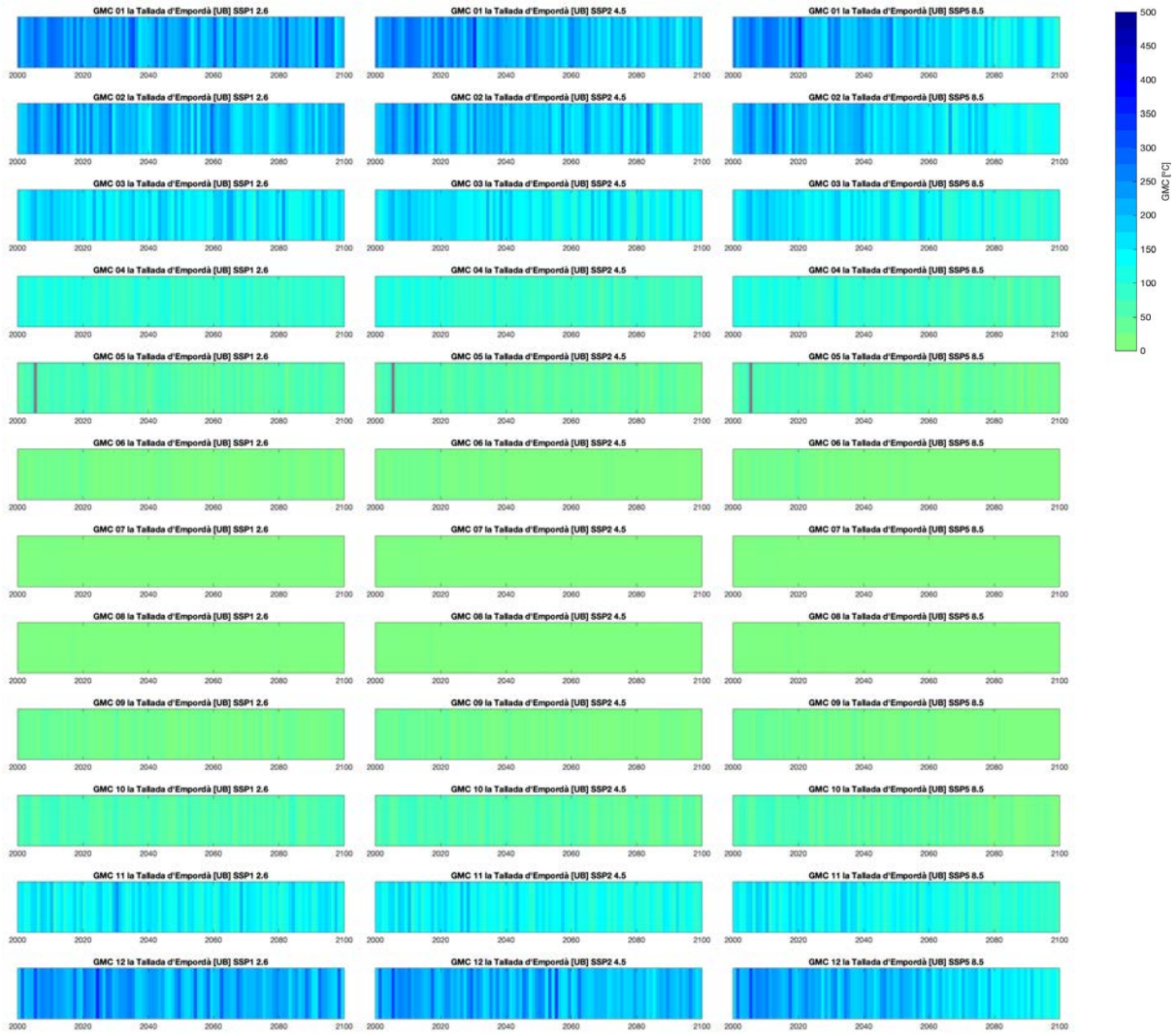

Figura A.169: Evolució dels graus-mes de calefacció (GMC) a l'estació UB- La Tallada d'Empordà, per als diferents escenaris [SSP1 2.6, SSP2 4.5 i SSP5 8.5] per al model climàtic AWI-CM.

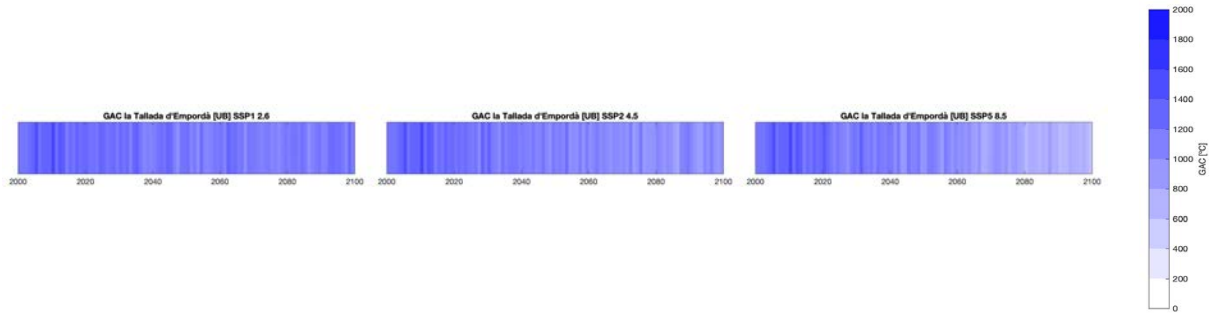

Figura A.170: Evolució dels graus-any de calefacció (GAC) a l'estació UB- La Tallada d'Empordà, per als diferents escenaris [SSP1 2.6, SSP2 4.5 i SSP5 8.5] per al model climàtic AWI-CM.

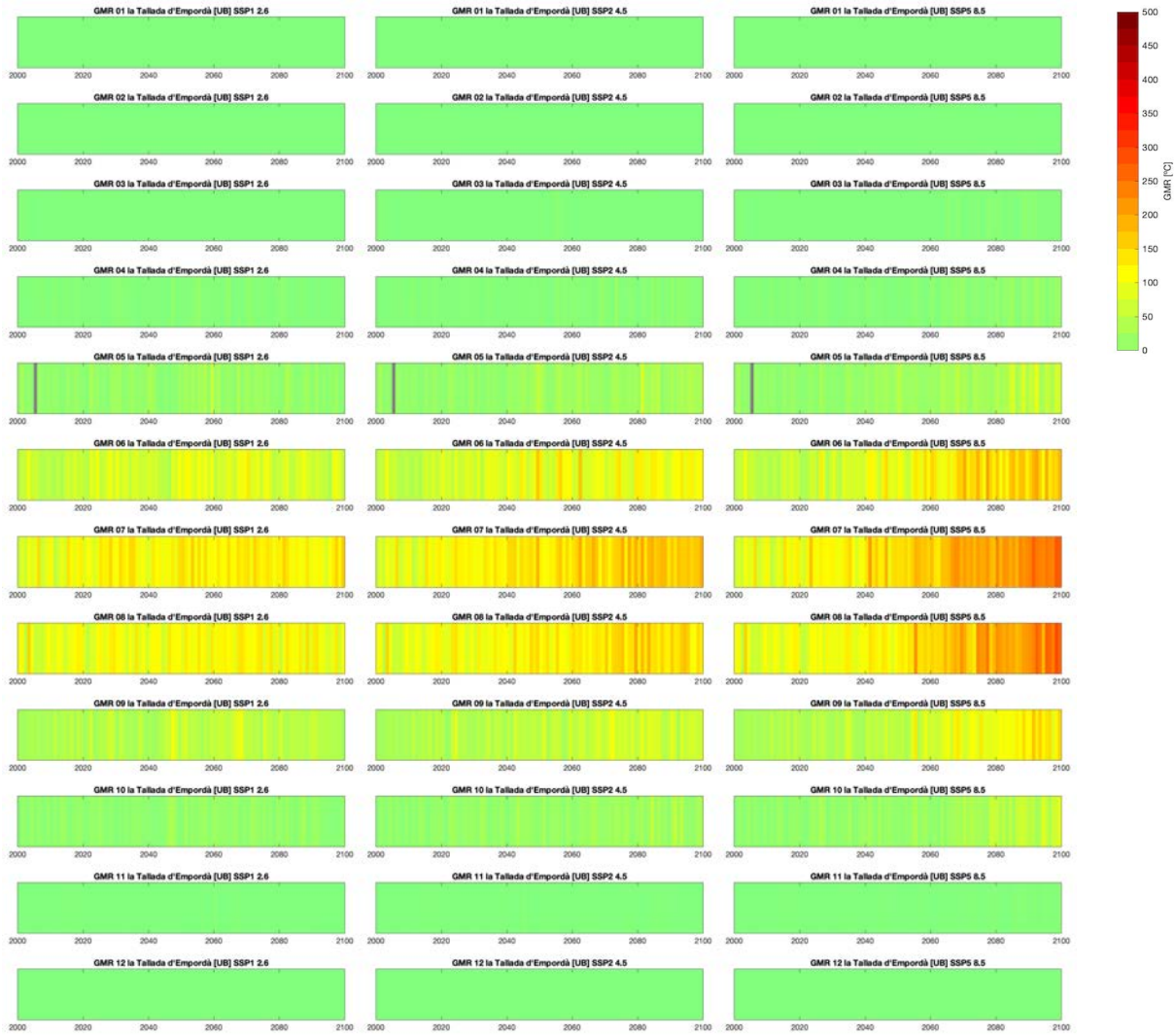

Figura A.171: Evolució dels graus-mes de refrigeració (GMR a l'estació UB- La Tallada d'Empordà, per als diferents escenaris [SSP1 2.6, SSP2 4.5 i SSP5 8.5] per al model climàtic AWI-CM.

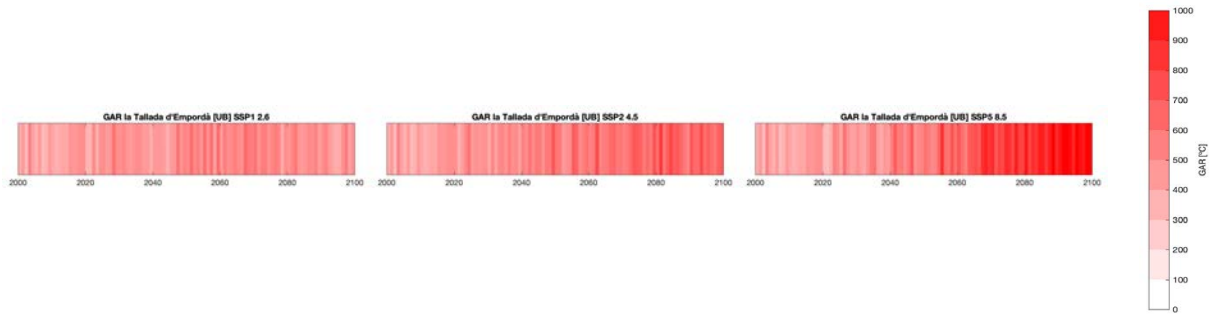

Figura A.172: Evolució dels graus-any de refrigeració (GAR a l'estació UB- La Tallada d'Empordà, per als diferents escenaris [SSP1 2.6, SSP2 4.5 i SSP5 8.5] per al model climàtic AWI-CM.

A.1.45 UC - Monells

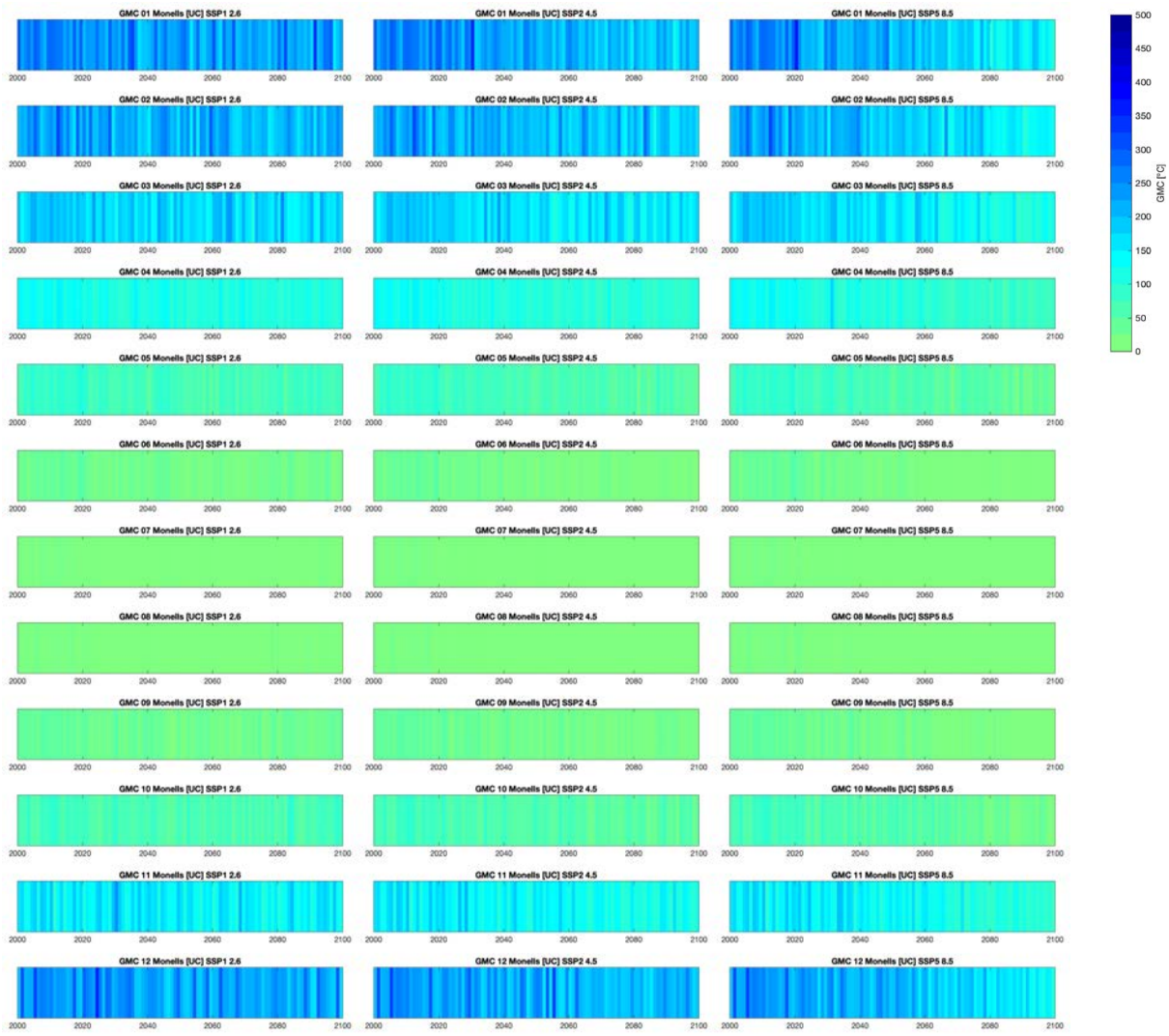

Figura A.173: Evolució dels graus-mes de calefacció (GMC) a l'estació UC- Monells, per als diferents escenaris [SSP1 2.6, SSP2 4.5 i SSP5 8.5] per al model climàtic AWI-CM.

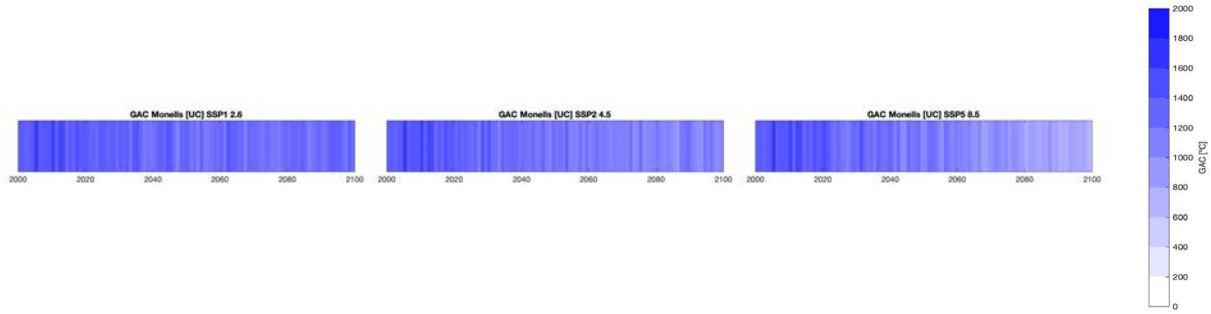

Figura A.174: Evolució dels graus-any de calefacció (GAC) a l'estació UC- Monells, per als diferents escenaris [SSP1 2.6, SSP2 4.5 i SSP5 8.5] per al model climàtic AWI-CM.

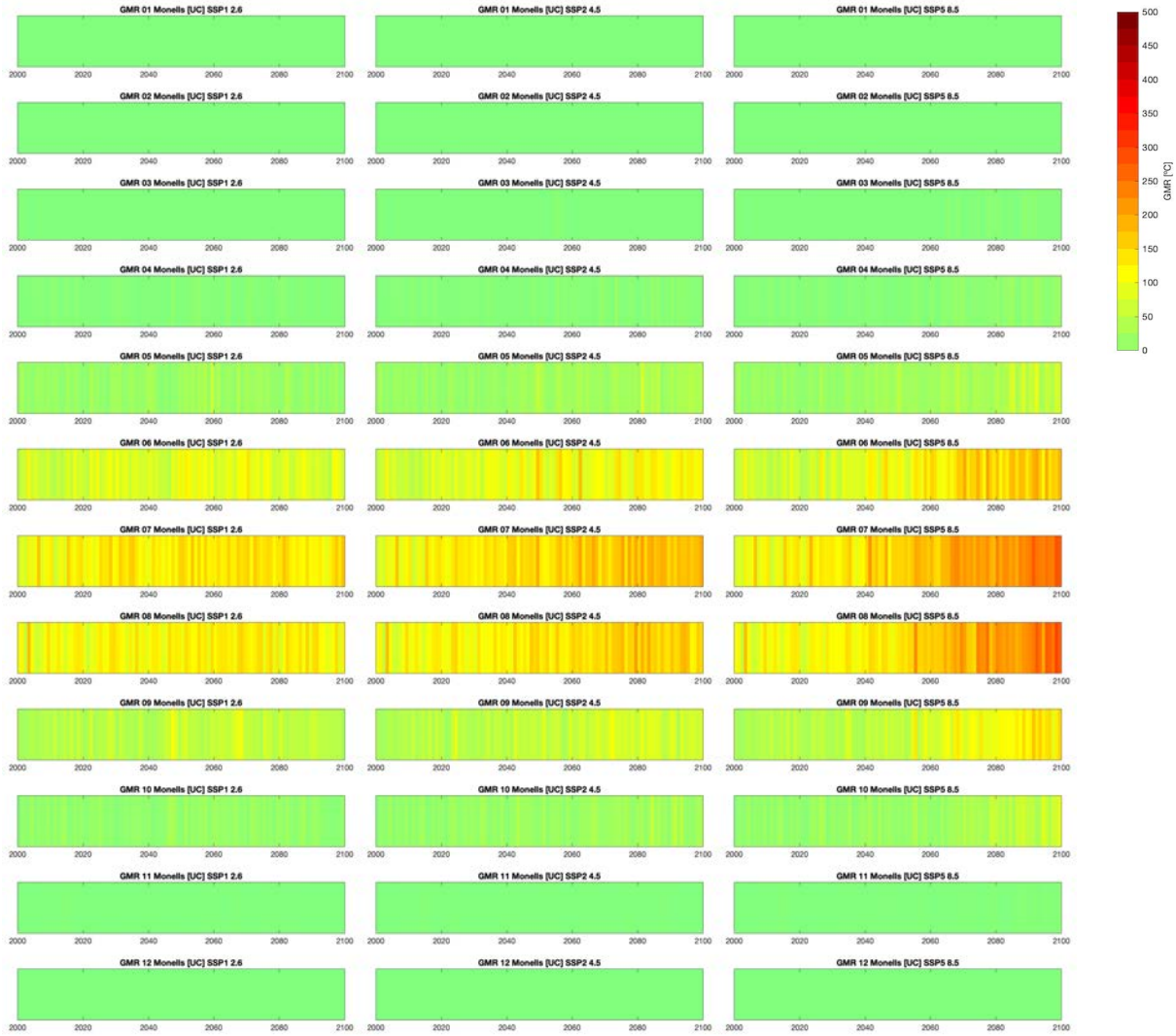

Figura A.175: Evolució dels graus-mes de refrigeració (GMR a l'estació UC- Monells, per als diferents escenaris [SSP1 2.6, SSP2 4.5 i SSP5 8.5] per al model climàtic AWI-CM.

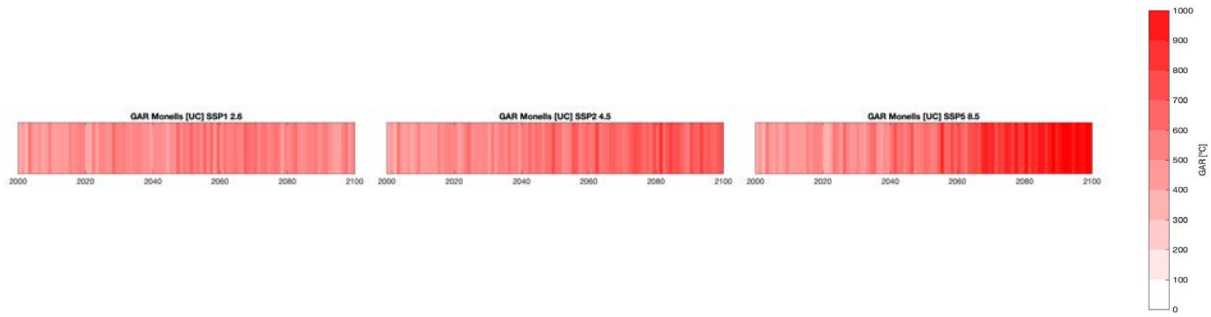

Figura A.176: Evolució dels graus-any de refrigeració (GAR a l'estació UC- Monells, per als diferents escenaris [SSP1 2.6, SSP2 4.5 i SSP5 8.5] per al model climàtic AWI-CM.

A.1.46 UE - Torroella de Montgrí

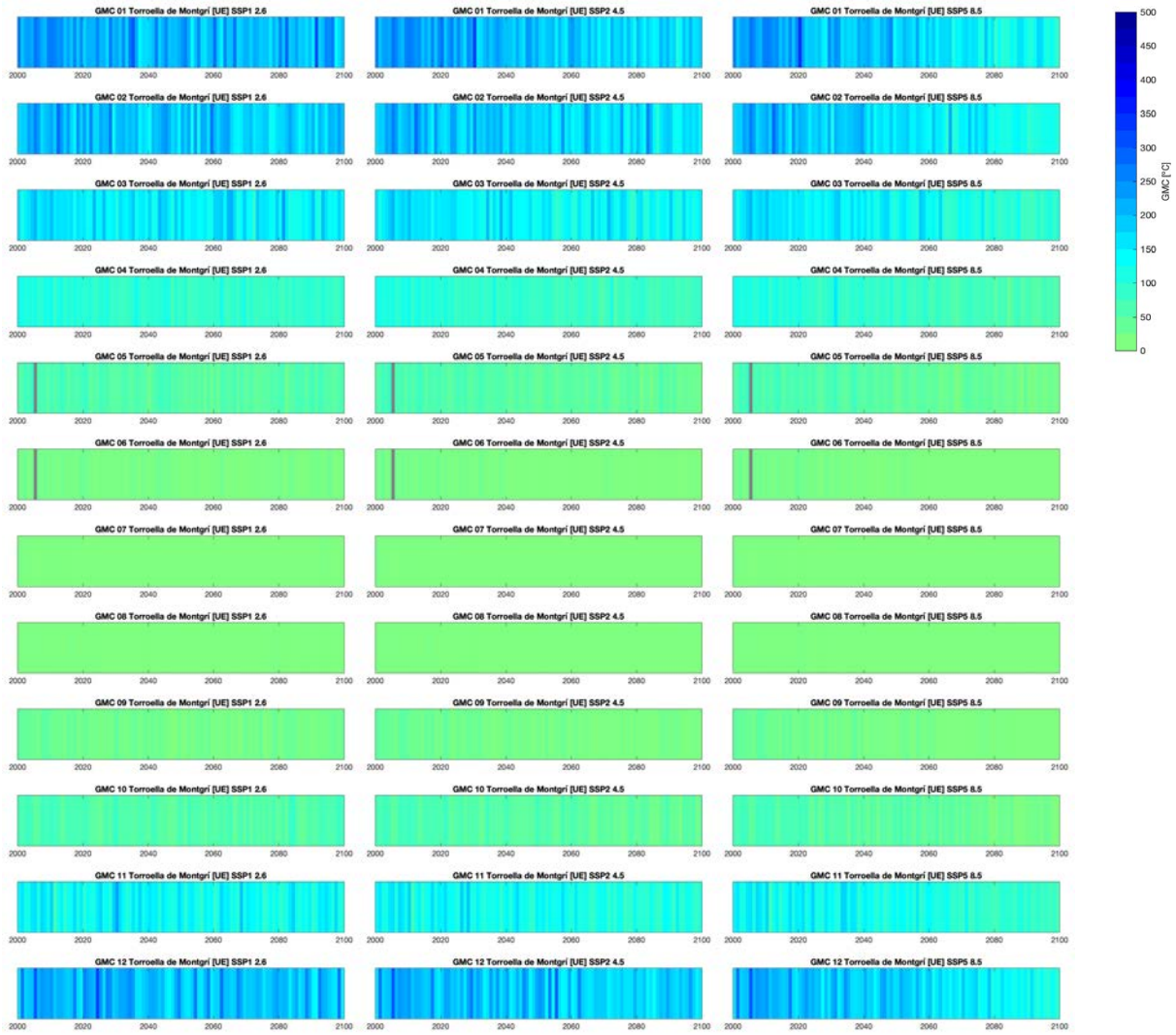

Figura A.177: Evolució dels graus-mes de calefacció (GMC) a l'estació UE- Torroella de Montgrí, per als diferents escenaris [SSP1 2.6, SSP2 4.5 i SSP5 8.5] per al model climàtic AWI-CM.

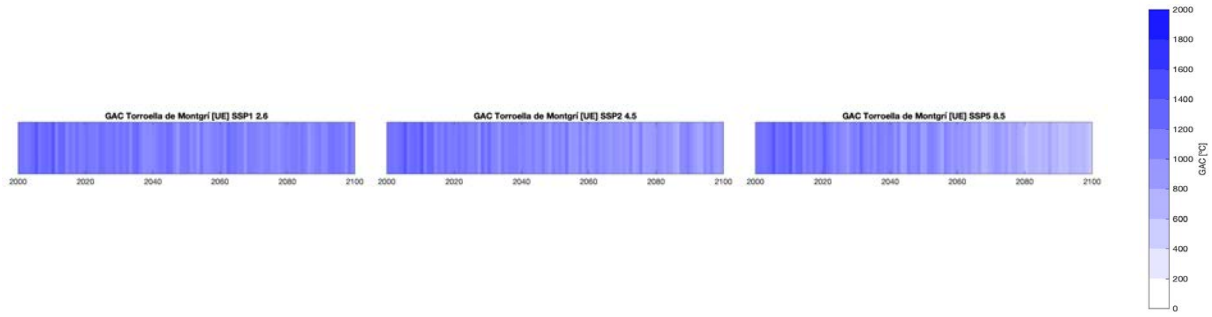

Figura A.178: Evolució dels graus-any de calefacció (GAC) a l'estació UE- Torroella de Montgrí, per als diferents escenaris [SSP1 2.6, SSP2 4.5 i SSP5 8.5] per al model climàtic AWI-CM.

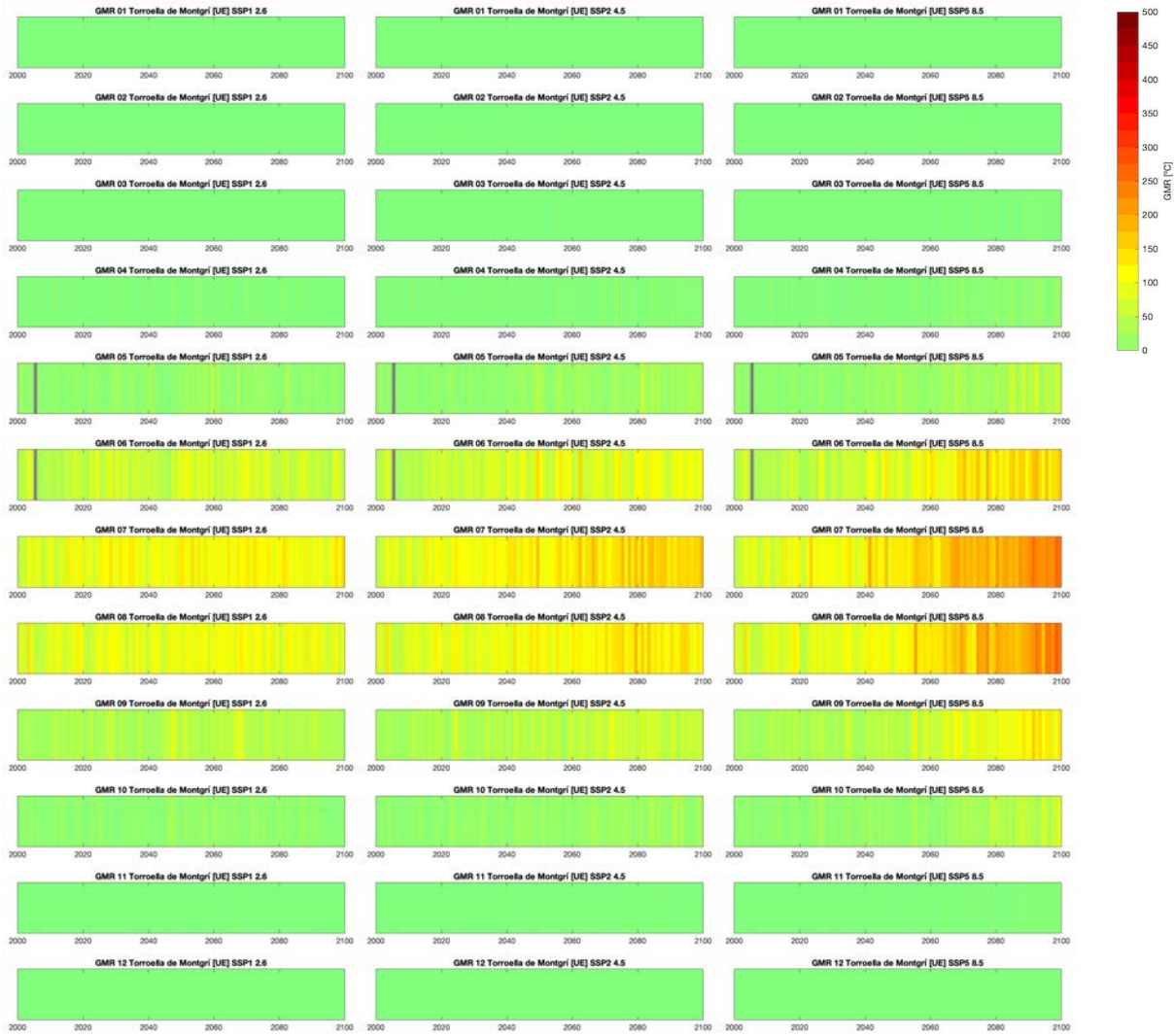

Figura A.179: Evolució dels graus-mes de refrigeració (GMR a l'estació UE- Torroella de Montgrí, per als diferents escenaris [SSP1 2.6, SSP2 4.5 i SSP5 8.5] per al model climàtic AWI-CM.

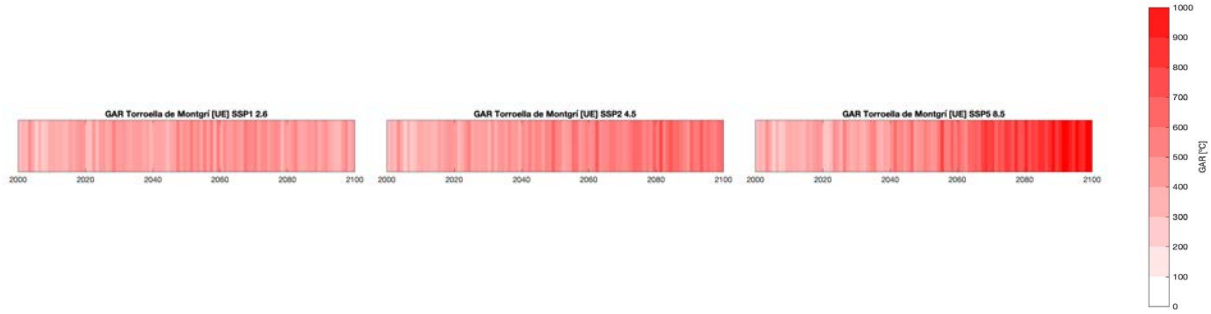

Figura A.180: Evolució dels graus-any de refrigeració (GAR a l'estació UE- Torroella de Montgrí, per als diferents escenaris [SSP1 2.6, SSP2 4.5 i SSP5 8.5] per al model climàtic AWI-CM.

A.1.47 UF - PN el Garraf - el Rascler

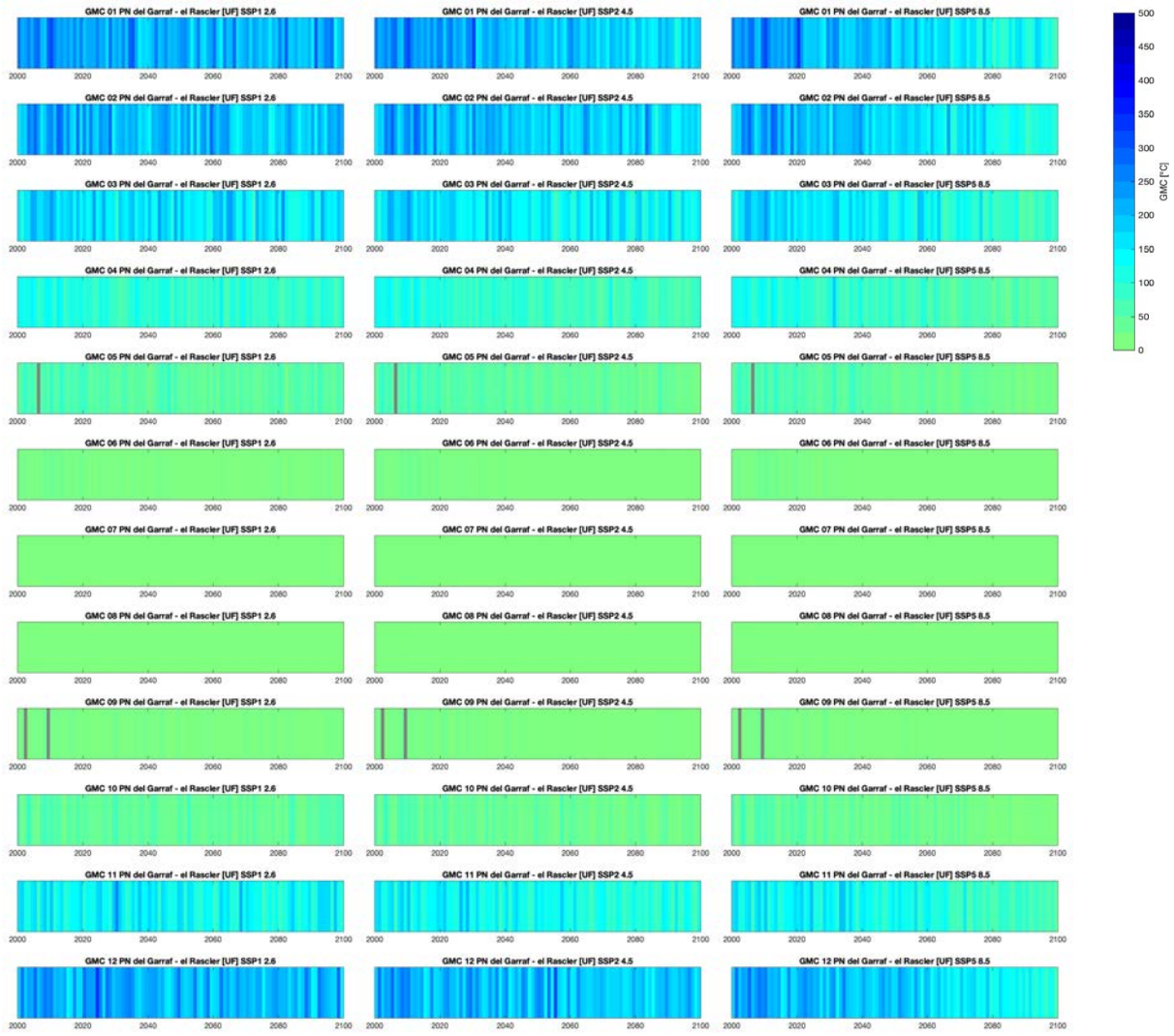

Figura A.181: Evolució dels graus-mes de calefacció (GMC) a l'estació UF- PN el Garraf - el Rascler, per als diferents escenaris [SSP1 2.6, SSP2 4.5 i SSP5 8.5] per al model climàtic AWI-CM.

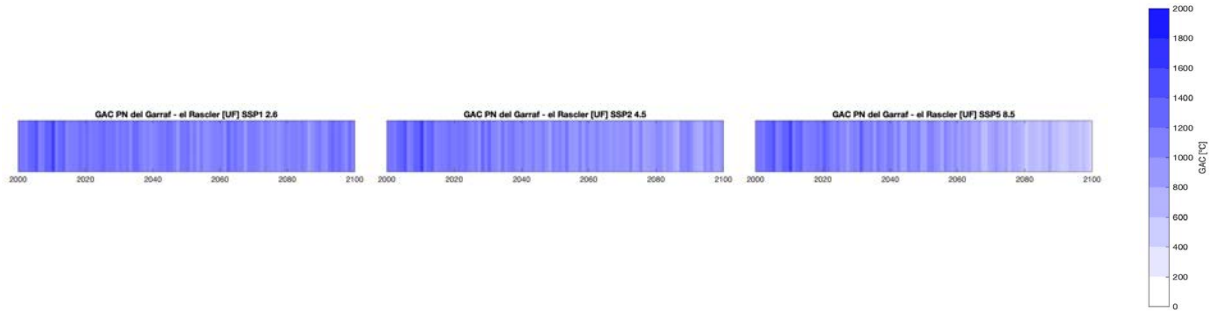

Figura A.182: Evolució dels graus-any de calefacció (GAC) a l'estació UF- PN el Garraf - el Rascler, per als diferents escenaris [SSP1 2.6, SSP2 4.5 i SSP5 8.5] per al model climàtic AWI-CM.

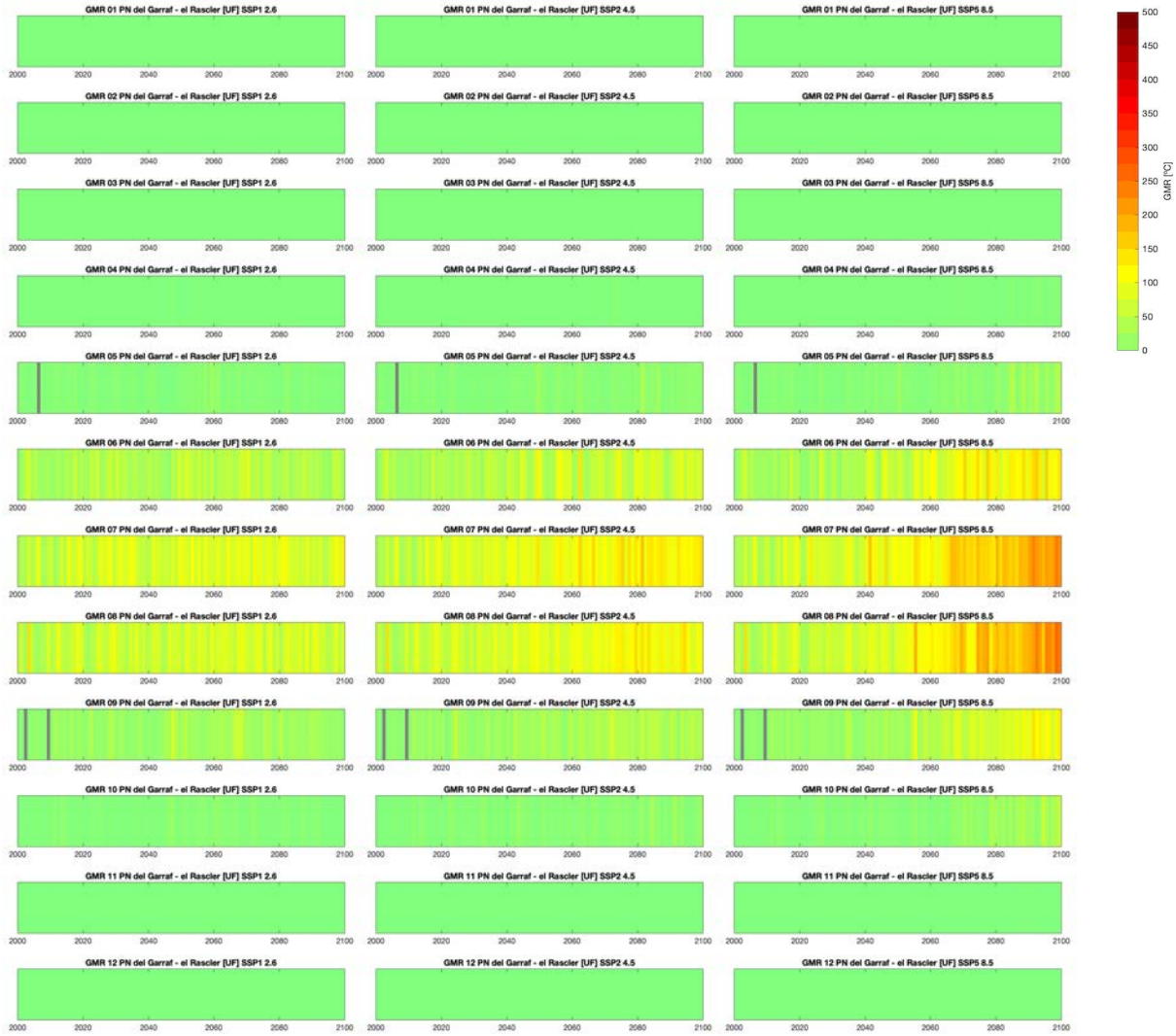

Figura A.183: Evolució dels graus-mes de refrigeració (GMR a l'estació UF- PN el Garraf - el Rascler, per als diferents escenaris [SSP1 2.6, SSP2 4.5 i SSP5 8.5] per al model climàtic AWI-CM.

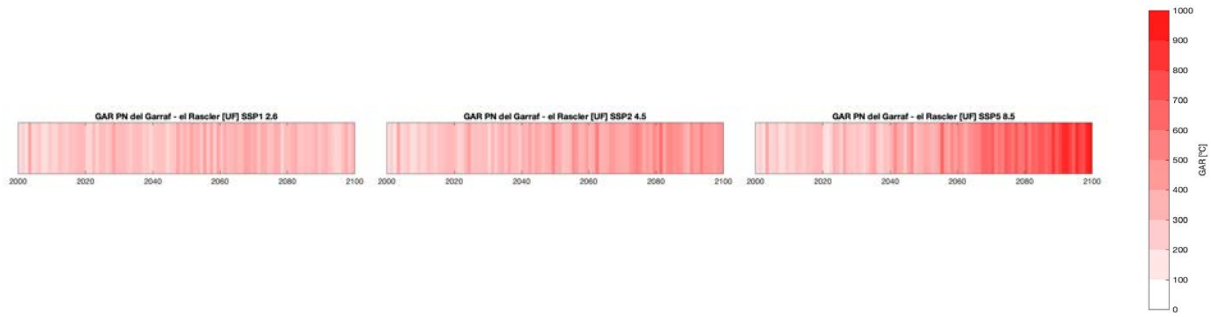

Figura A.184: Evolució dels graus-any de refrigeració (GAR a l'estació UF- PN el Garraf - el Rascler, per als diferents escenaris [SSP1 2.6, SSP2 4.5 i SSP5 8.5] per al model climàtic AWI-CM.

A.1.48 UG - Viladecans

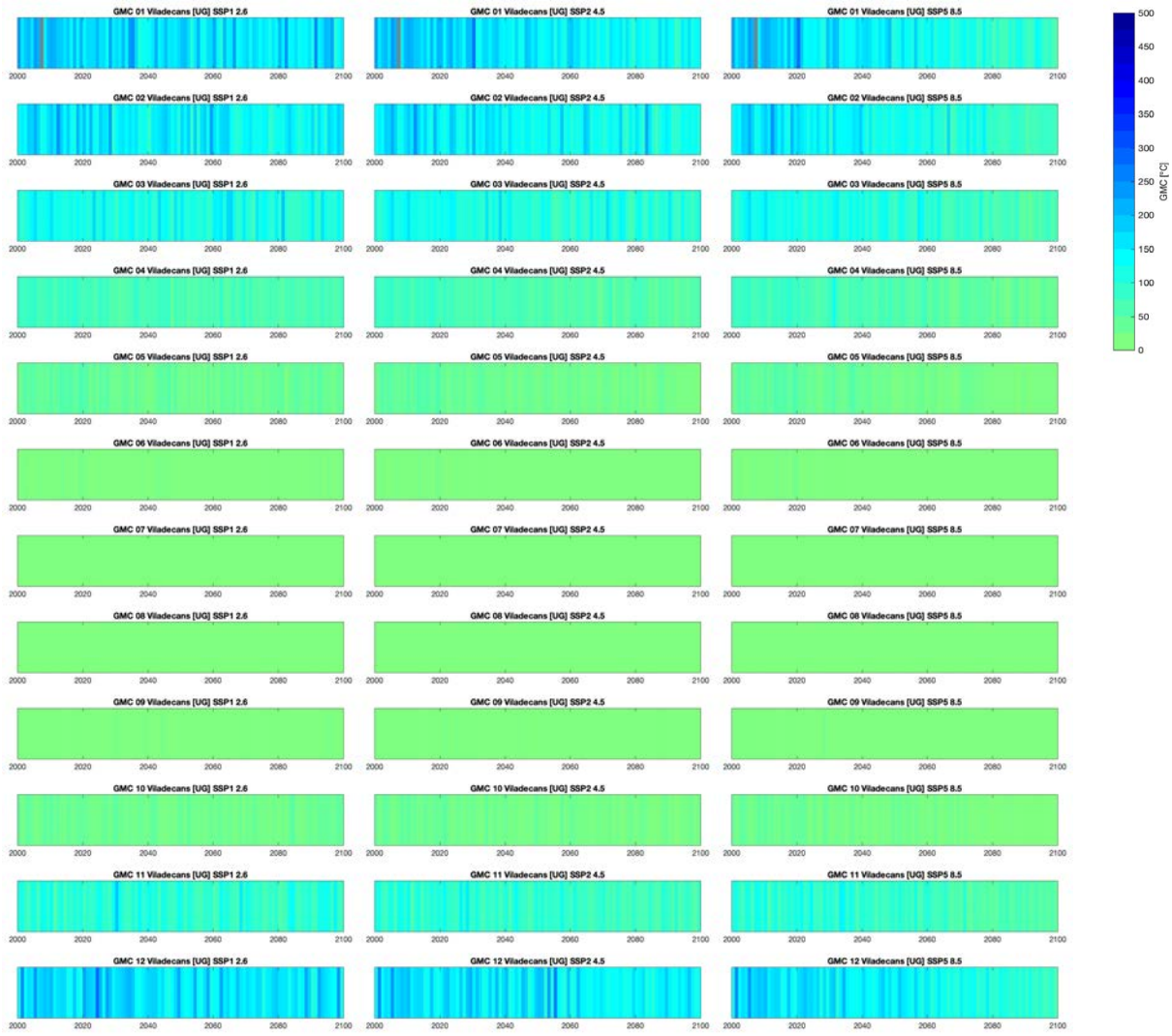

Figura A.185: Evolució dels graus-mes de calefacció (GMC) a l'estació UG- Viladecans, per als diferents escenaris [SSP1 2.6, SSP2 4.5 i SSP5 8.5] per al model climàtic AWI-CM.

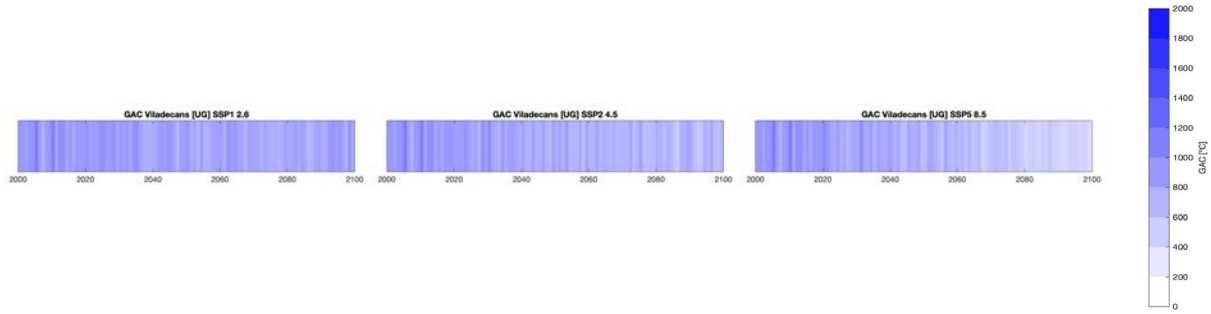

Figura A.186: Evolució dels graus-any de calefacció (GAC) a l'estació UG- Viladecans, per als diferents escenaris [SSP1 2.6, SSP2 4.5 i SSP5 8.5] per al model climàtic AWI-CM.

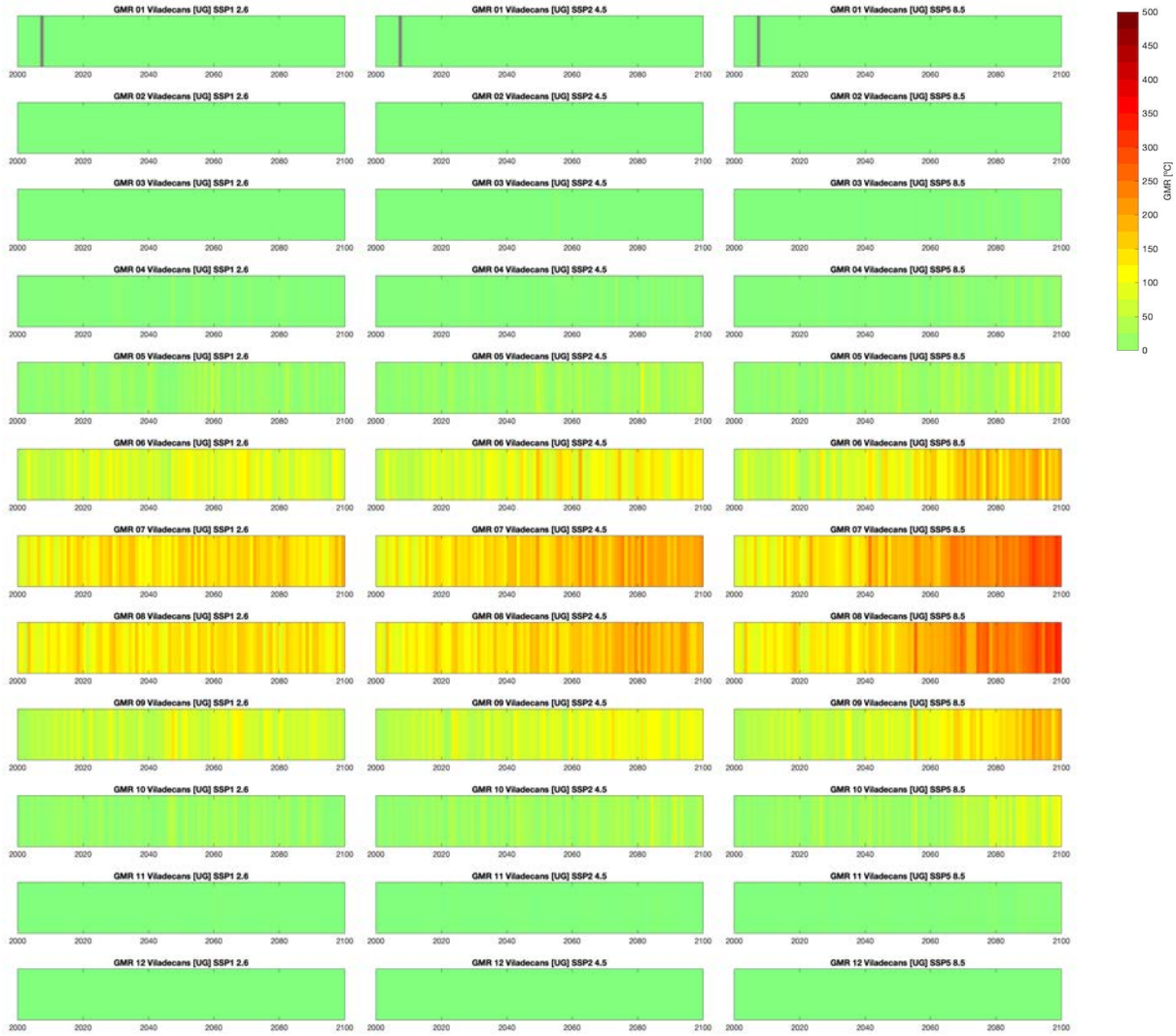

Figura A.187: Evolució dels graus-mes de refrigeració (GMR a l'estació UG- Viladecans, per als diferents escenaris [SSP1 2.6, SSP2 4.5 i SSP5 8.5] per al model climàtic AWI-CM.

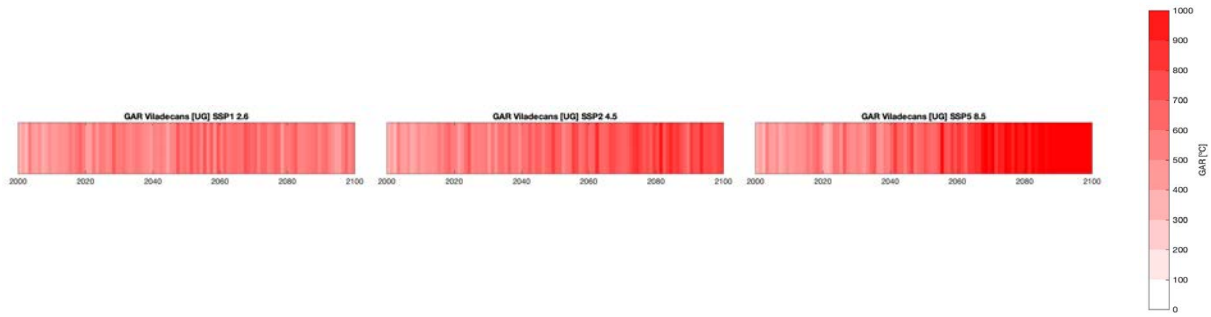

Figura A.188: Evolució dels graus-any de refrigeració (GAR a l'estació UG- Viladecans, per als diferents escenaris [SSP1 2.6, SSP2 4.5 i SSP5 8.5] per al model climàtic AWI-CM.

A.1.49 UH - El Montmell

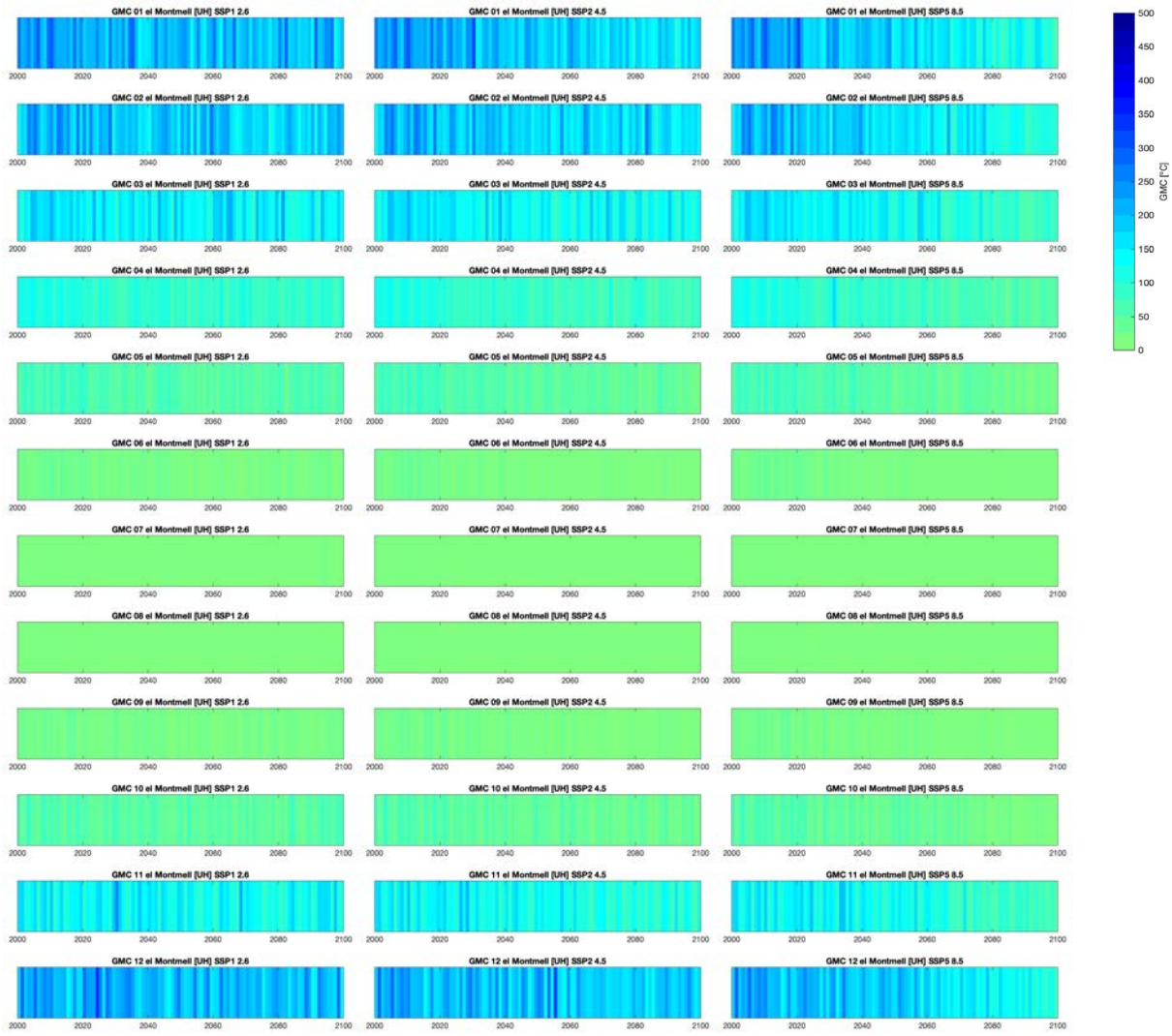

Figura A.189: Evolució dels graus-mes de calefacció (GMC) a l'estació UH- El Montmell, per als diferents escenaris [SSP1 2.6, SSP2 4.5 i SSP5 8.5] per al model climàtic AWI-CM.

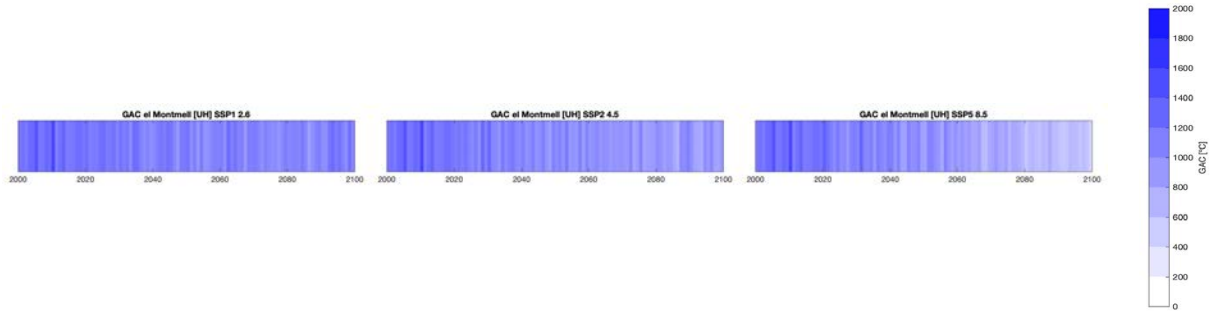

Figura A.190: Evolució dels graus-any de calefacció (GAC) a l'estació UH- El Montmell, per als diferents escenaris [SSP1 2.6, SSP2 4.5 i SSP5 8.5] per al model climàtic AWI-CM.

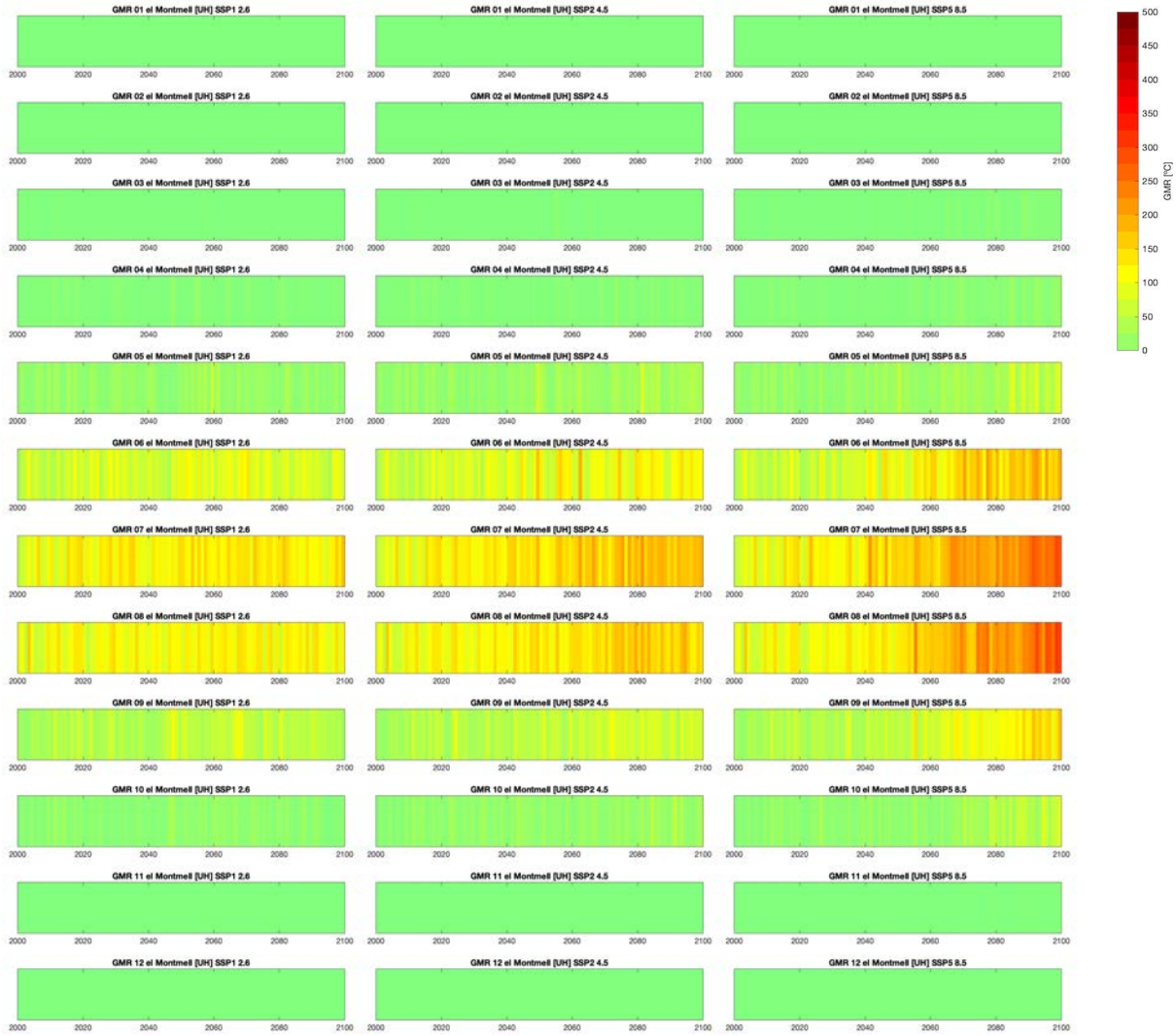

Figura A.191: Evolució dels graus-mes de refrigeració (GMR a l'estació UH- El Montmell, per als diferents escenaris [SSP1 2.6, SSP2 4.5 i SSP5 8.5] per al model climàtic AWI-CM.

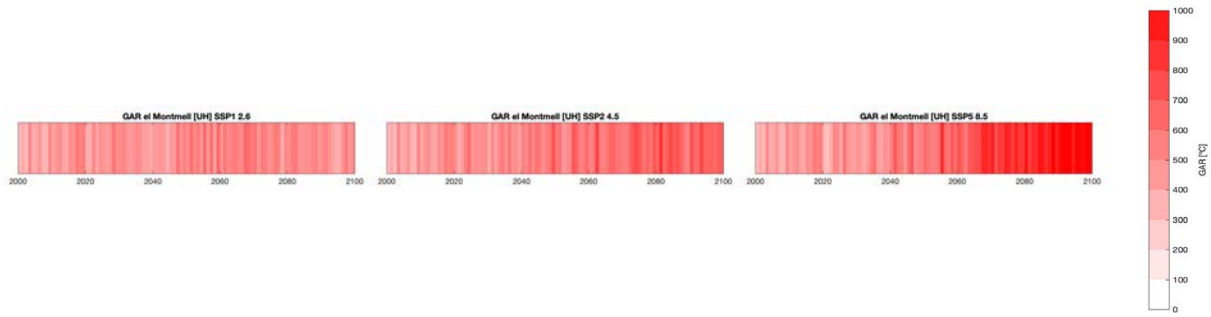

Figura A.192: Evolució dels graus-any de refrigeració (GAR a l'estació UH- El Montmell, per als diferents escenaris [SSP1 2.6, SSP2 4.5 i SSP5 8.5] per al model climàtic AWI-CM.

A.1.50 UI - Gisclareny

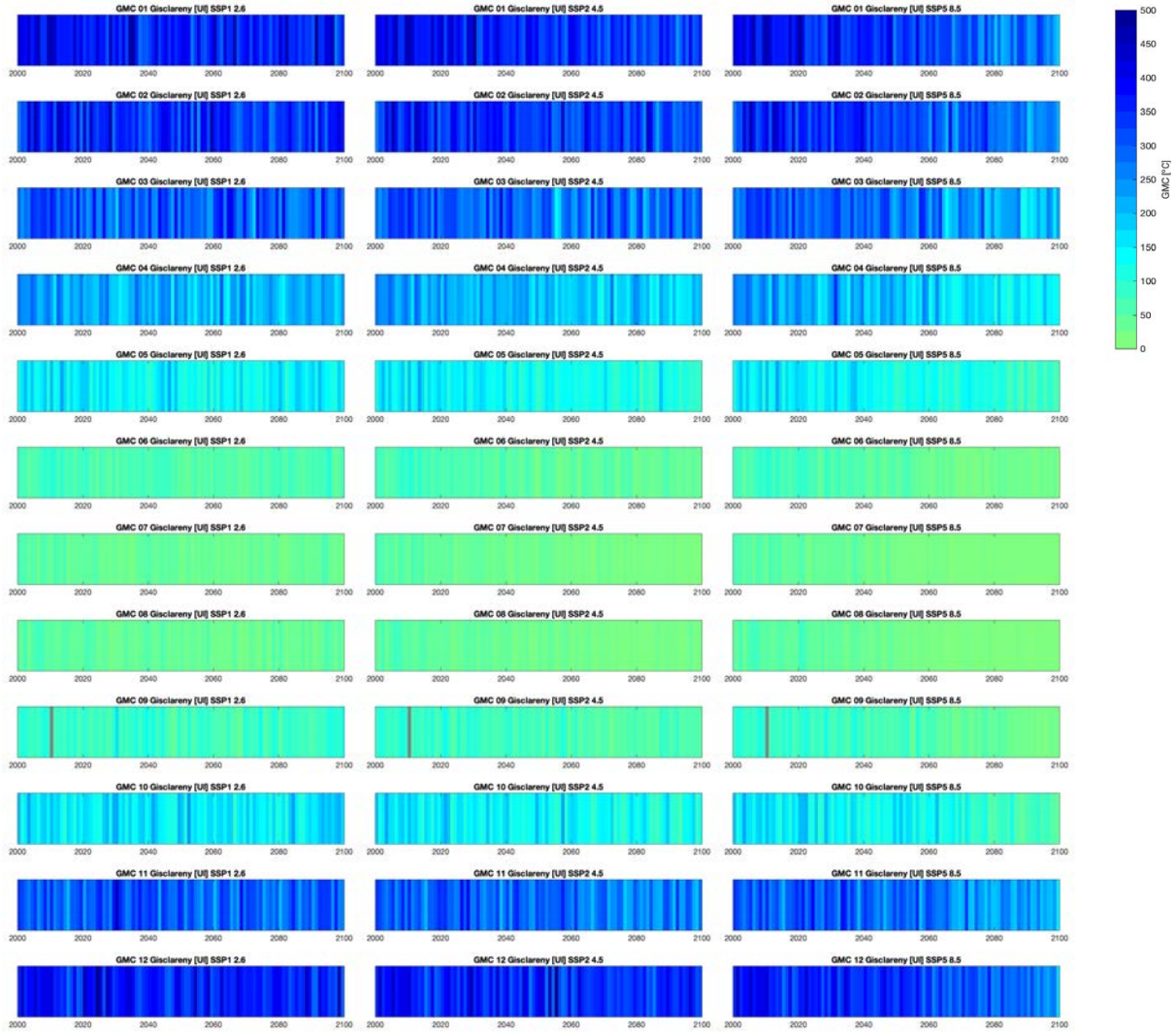

Figura A.193: Evolució dels graus-mes de calefacció (GMC) a l'estació UI- Gisclareny, per als diferents escenaris [SSP1 2.6, SSP2 4.5 i SSP5 8.5] per al model climàtic AWI-CM.

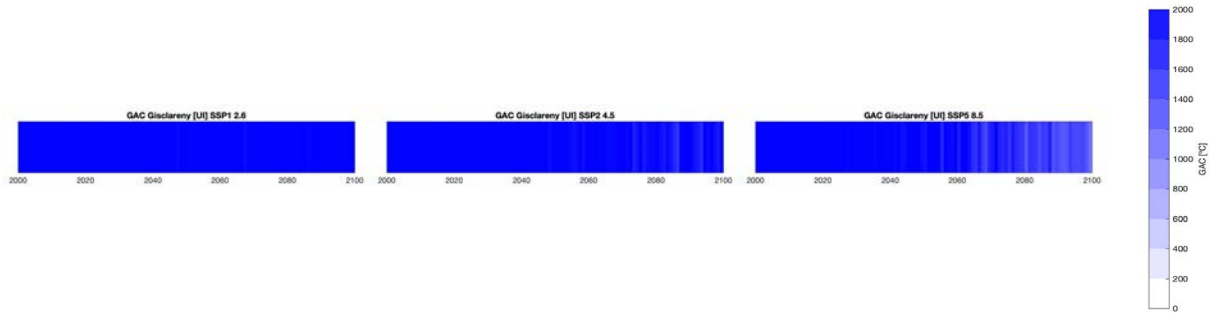

Figura A.194: Evolució dels graus-any de calefacció (GAC) a l'estació UI- Gisclareny, per als diferents escenaris [SSP1 2.6, SSP2 4.5 i SSP5 8.5] per al model climàtic AWI-CM.

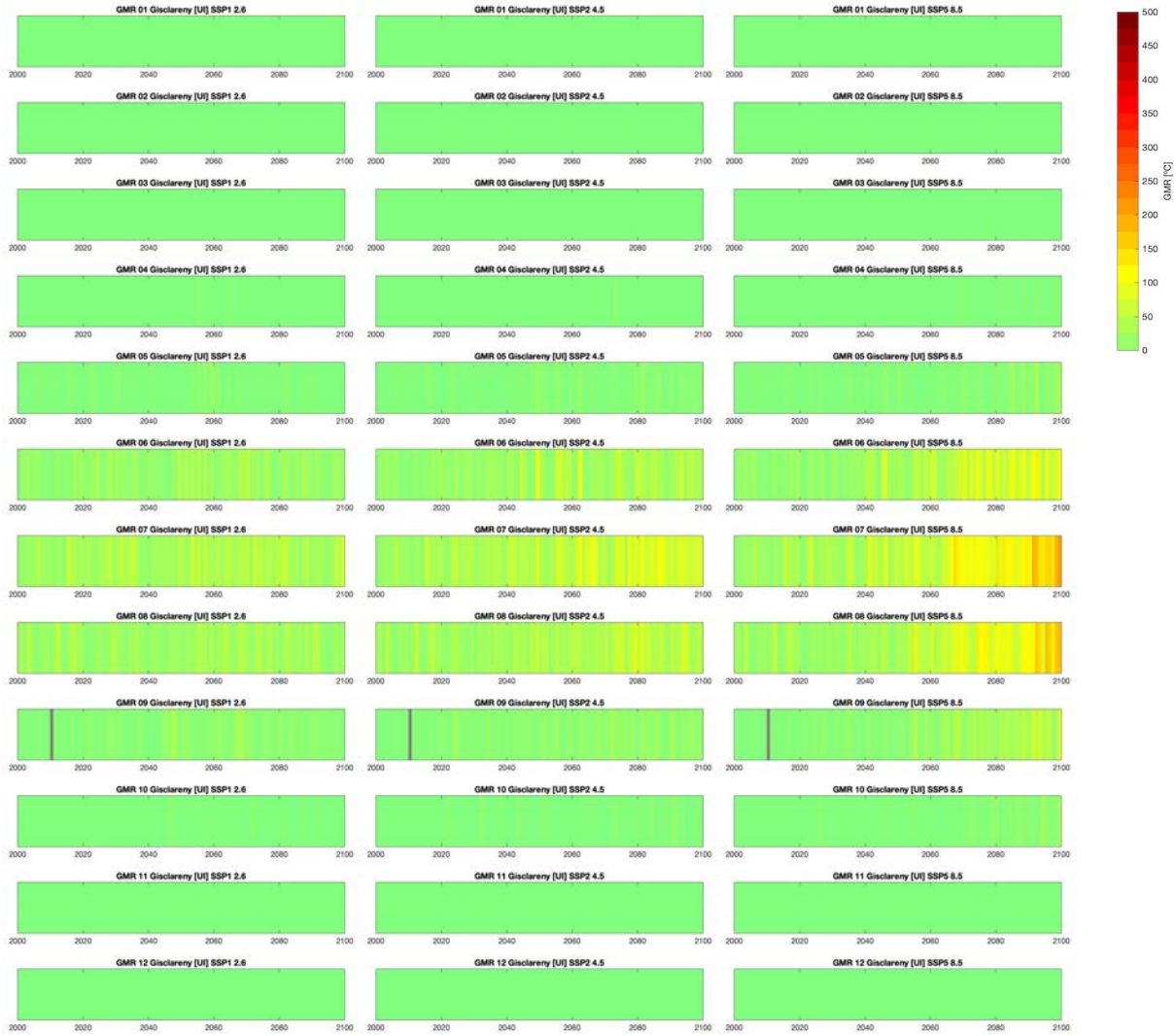

Figura A.195: Evolució dels graus-mes de refrigeració (GMR a l'estació UI- Gisclareny, per als diferents escenaris [SSP1 2.6, SSP2 4.5 i SSP5 8.5] per al model climàtic AWI-CM.

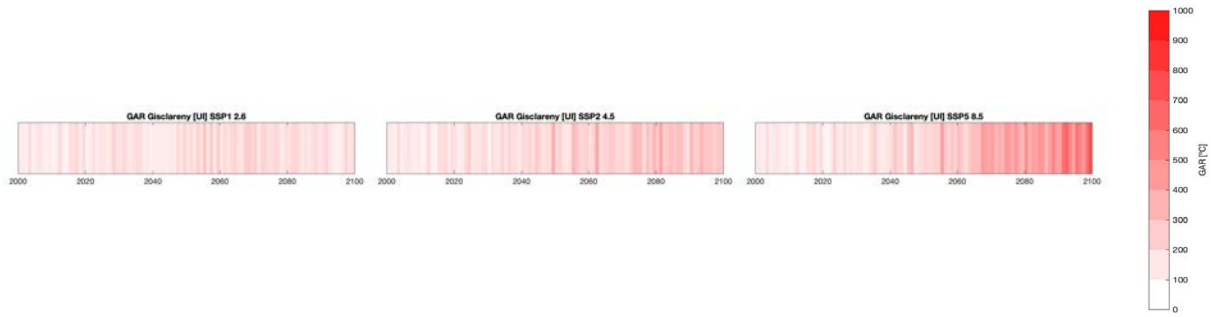

Figura A.196: Evolució dels graus-any de refrigeració (GAR a l'estació UI- Gisclareny, per als diferents escenaris [SSP1 2.6, SSP2 4.5 i SSP5 8.5] per al model climàtic AWI-CM.

A.1.51 UJ - Santa Coloma de Queralt

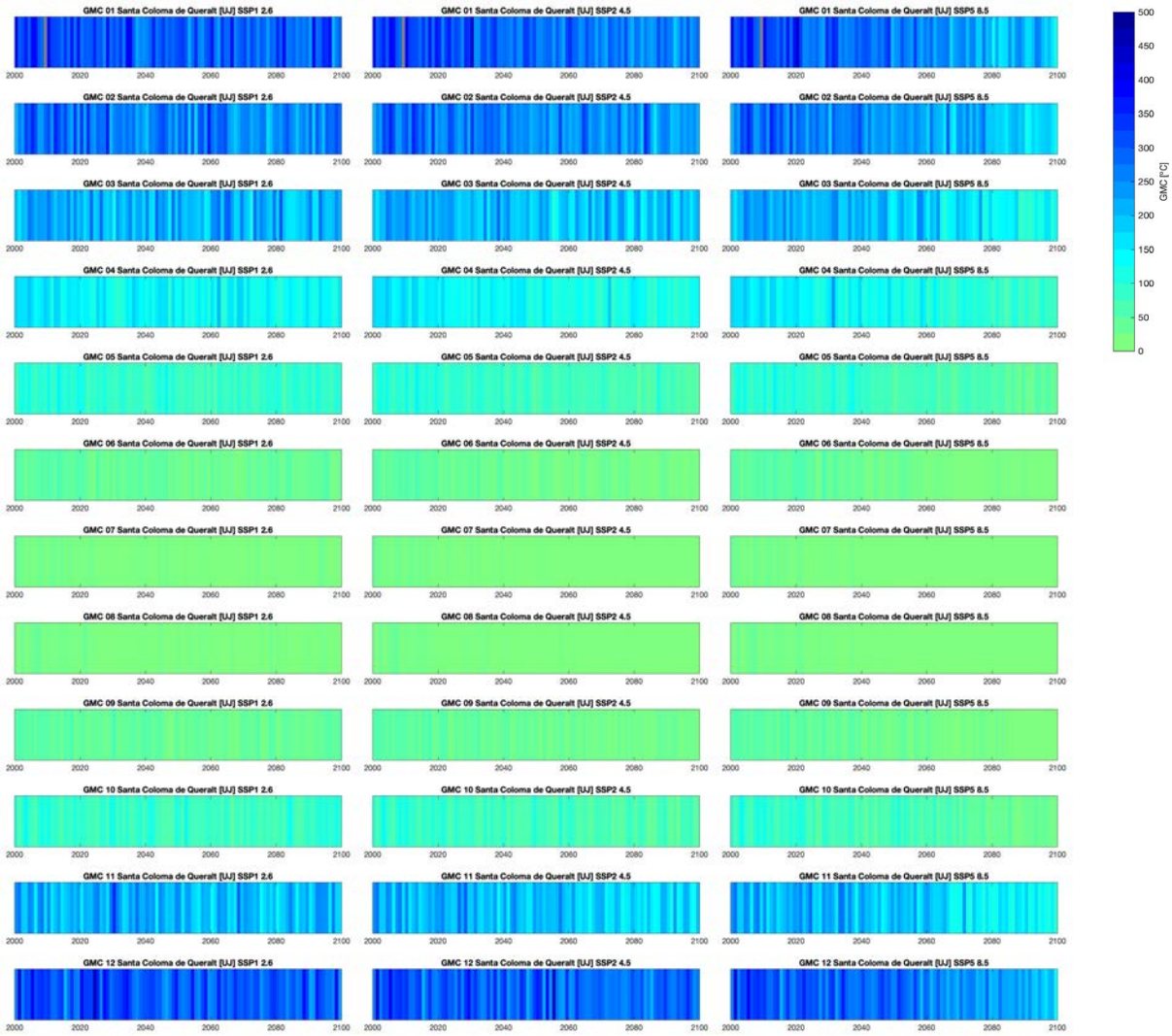

Figura A.197: Evolució dels graus-mes de calefacció (GMC) a l'estació UJ- Santa Coloma de Queralt, per als diferents escenaris [SSP1 2.6, SSP2 4.5 i SSP5 8.5] per al model climàtic AWI-CM.

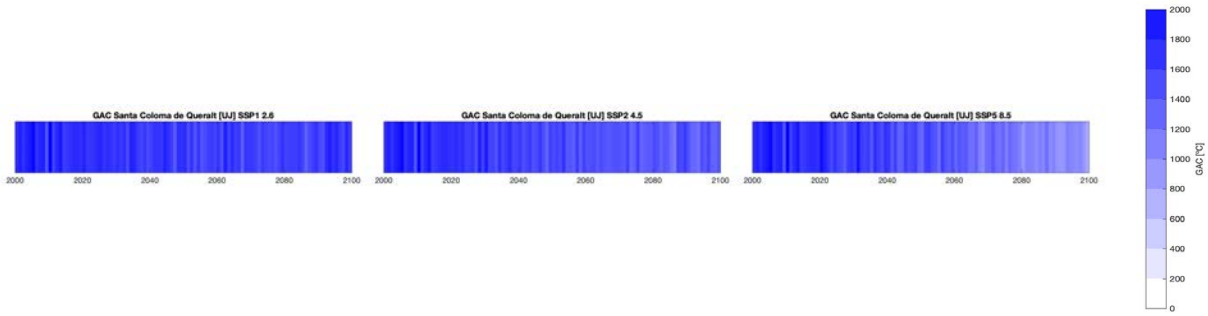

Figura A.198: Evolució dels graus-any de calefacció (GAC) a l'estació UJ- Santa Coloma de Queralt, per als diferents escenaris [SSP1 2.6, SSP2 4.5 i SSP5 8.5] per al model climàtic AWI-CM.

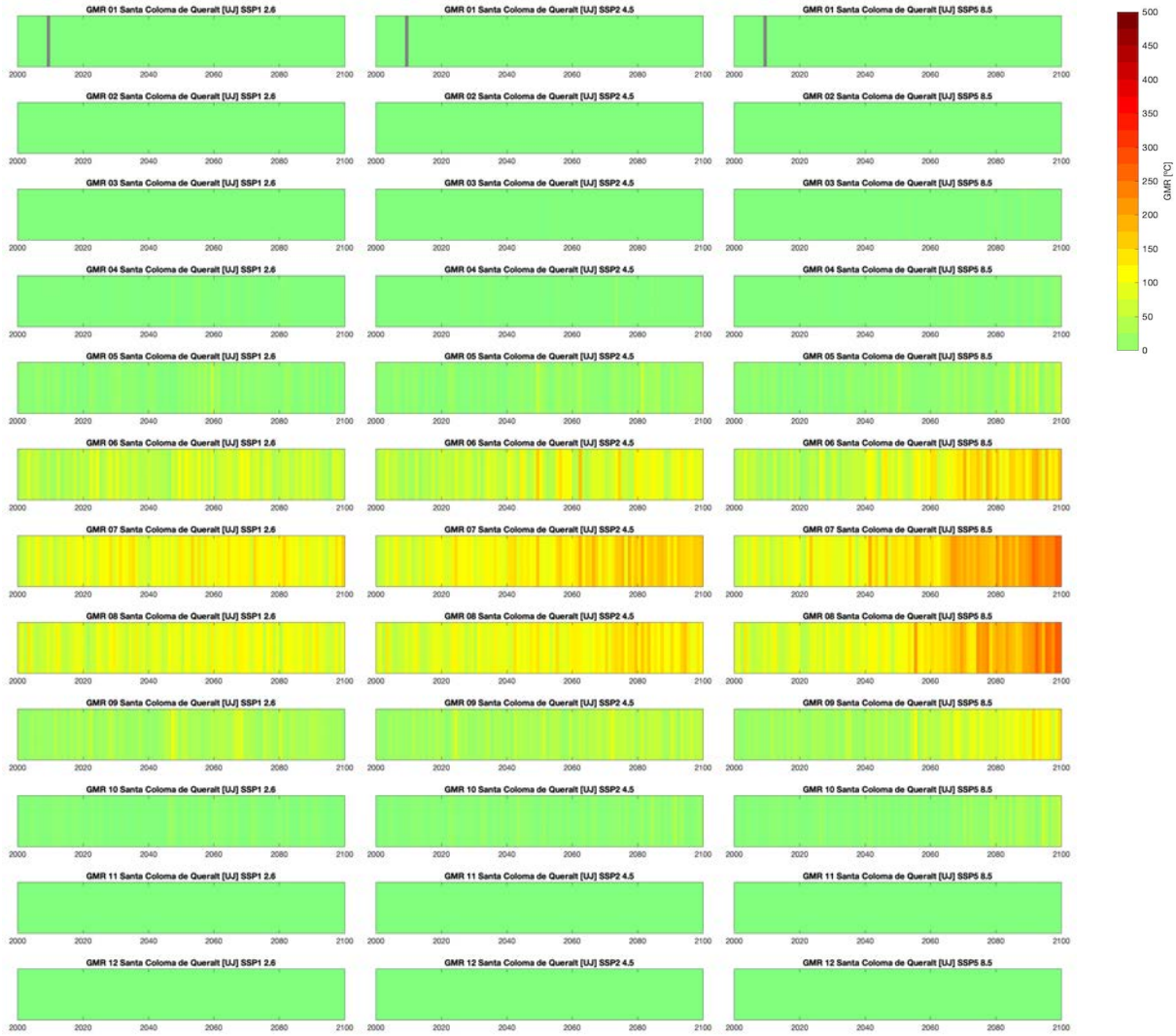

Figura A.199: Evolució dels graus-mes de refrigeració (GMR a l'estació UJ- Santa Coloma de Queralt, per als diferents escenaris [SSP1 2.6, SSP2 4.5 i SSP5 8.5] per al model climàtic AWI-CM.

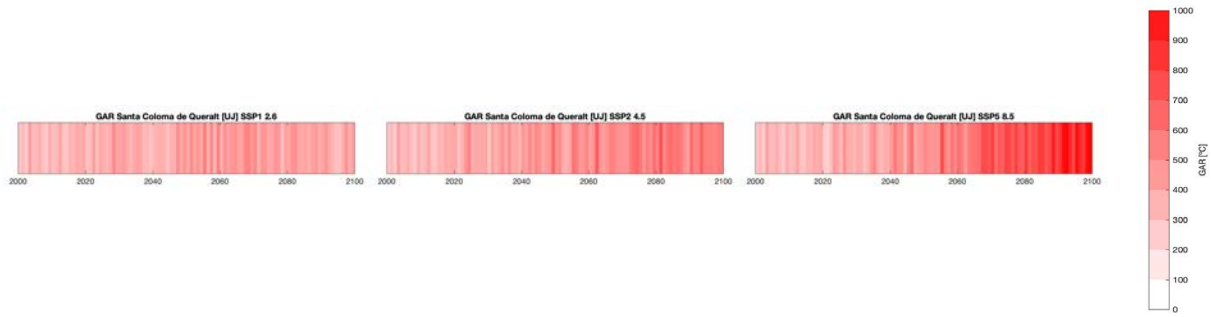

Figura A.200: Evolució dels graus-any de refrigeració (GAR a l'estació UJ- Santa Coloma de Queralt, per als diferents escenaris [SSP1 2.6, SSP2 4.5 i SSP5 8.5] per al model climàtic AWI-CM.

A.1.52 UK - Sant Pere de Ribes - PN el Garraf

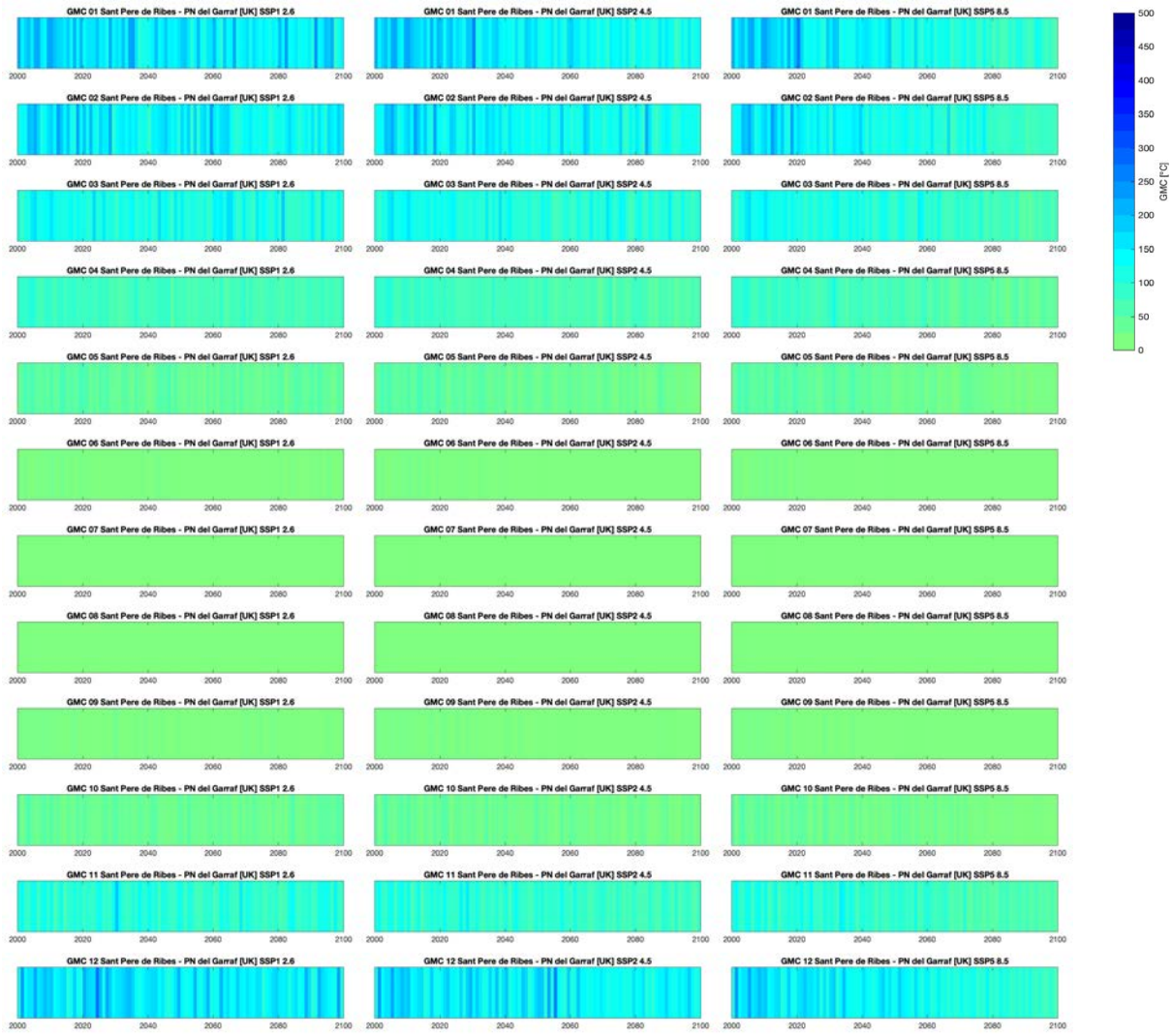

Figura A.201: Evolució dels graus-mes de calefacció (GMC) a l'estació UK- Sant Pere de Ribes - PN el Garraf, per als diferents escenaris [SSP1 2.6, SSP2 4.5 i SSP5 8.5] per al model climàtic AWI-CM.

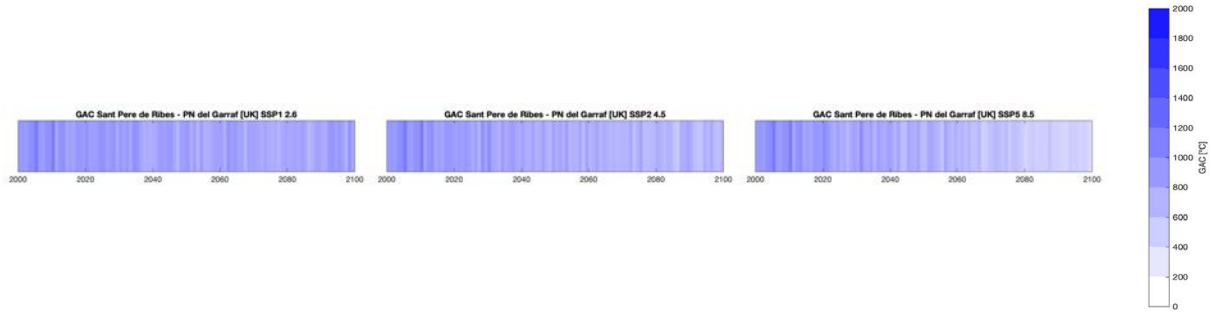

Figura A.202: Evolució dels graus-any de calefacció (GAC) a l'estació UK- Sant Pere de Ribes - PN el Garraf, per als diferents escenaris [SSP1 2.6, SSP2 4.5 i SSP5 8.5] per al model climàtic AWI-CM.

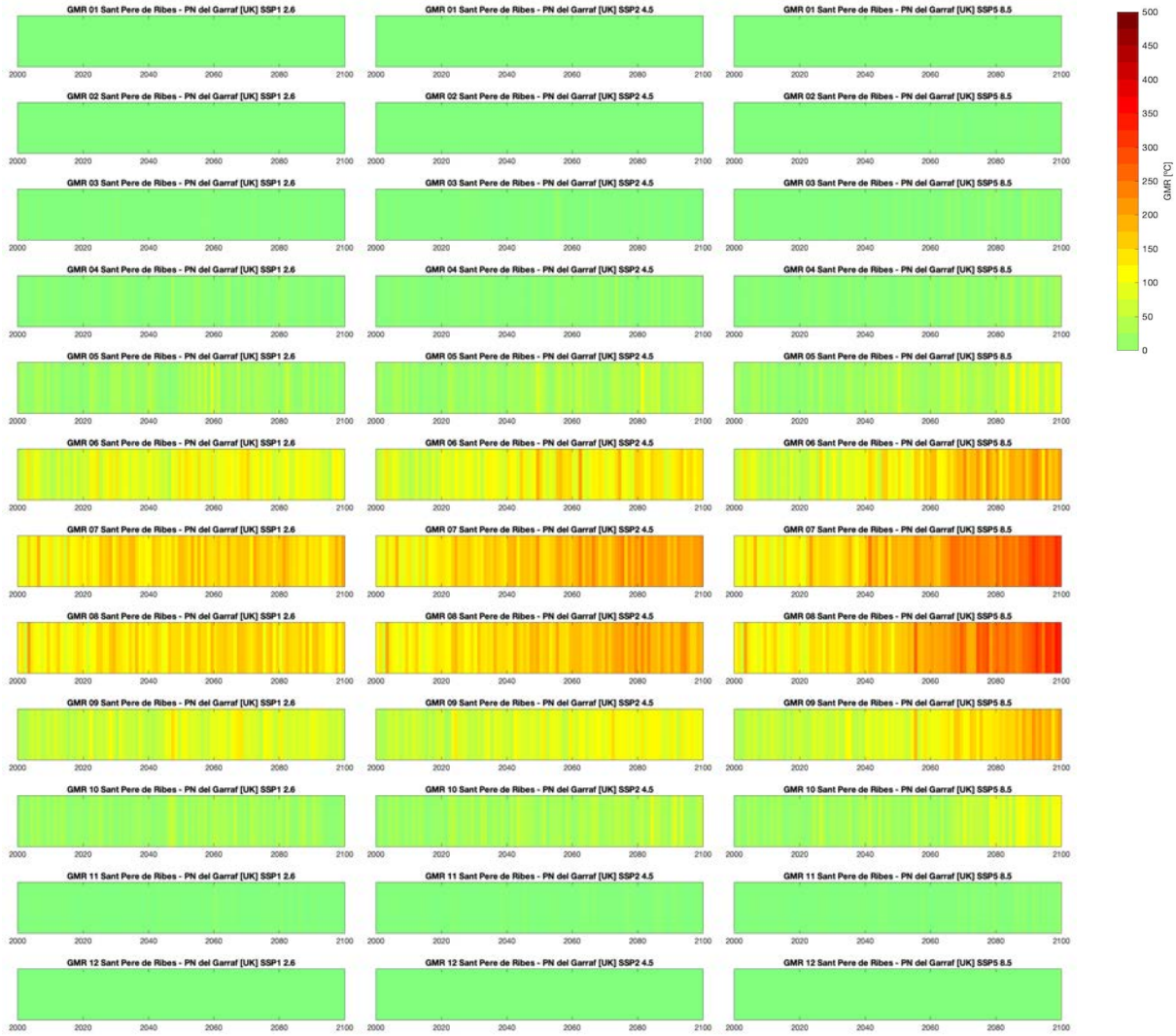

Figura A.203: Evolució dels graus-mes de refrigeració (GMR a l'estació UK- Sant Pere de Ribes - PN el Garraf, per als diferents escenaris [SSP1 2.6, SSP2 4.5 i SSP5 8.5] per al model climàtic AWI-CM.

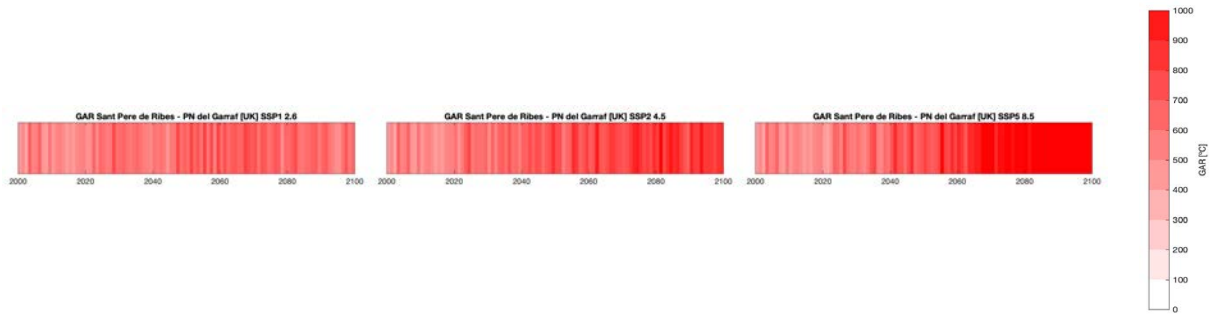

Figura A.204: Evolució dels graus-any de refrigeració (GAR a l'estació UK- Sant Pere de Ribes - PN el Garraf, per als diferents escenaris [SSP1 2.6, SSP2 4.5 i SSP5 8.5] per al model climàtic AWI-CM.

A.1.53 UM - La Granadella

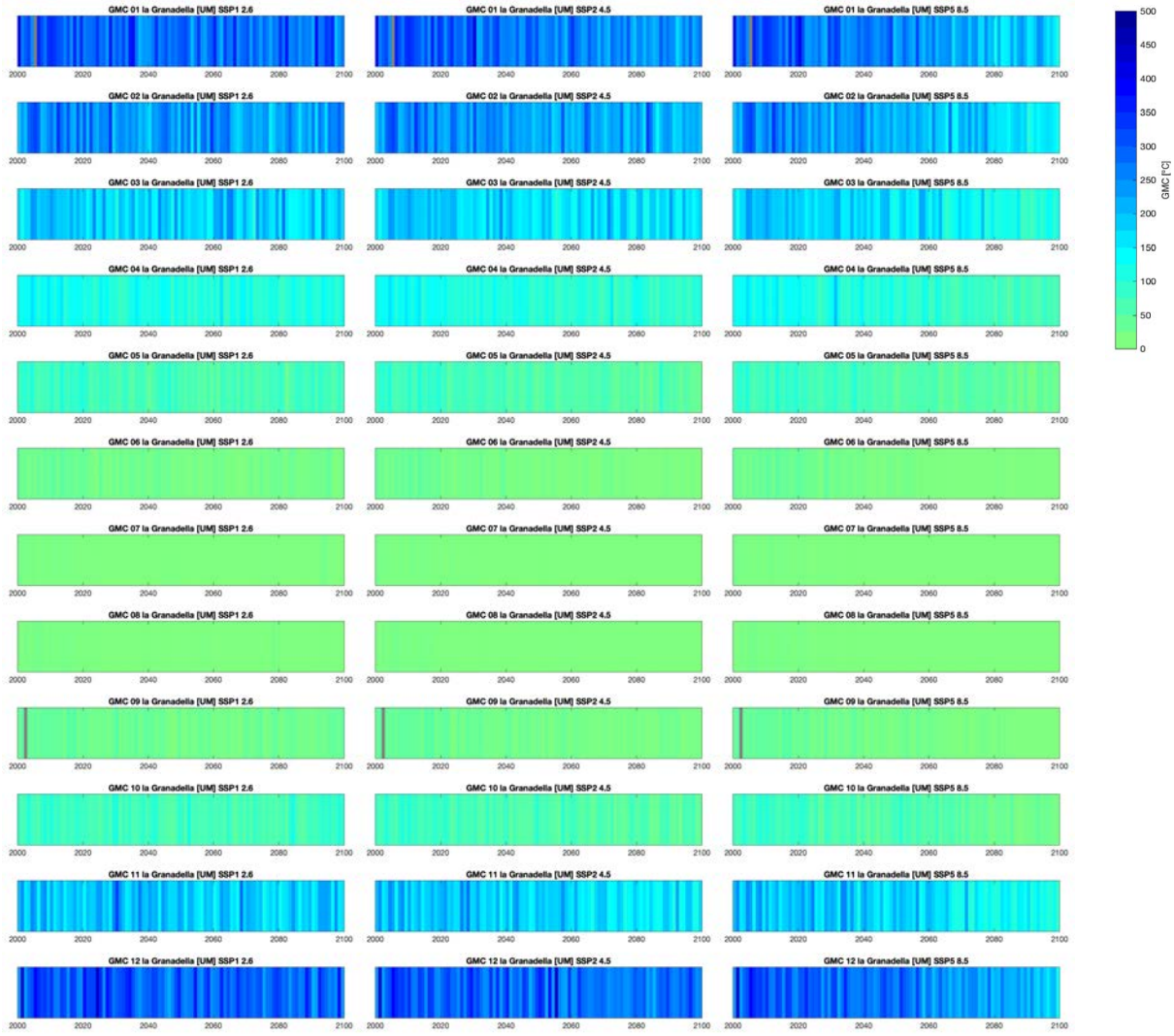

Figura A.205: Evolució dels graus-mes de calefacció (GMC) a l'estació UM- La Granadella, per als diferents escenaris [SSP1 2.6, SSP2 4.5 i SSP5 8.5] per al model climàtic AWI-CM.

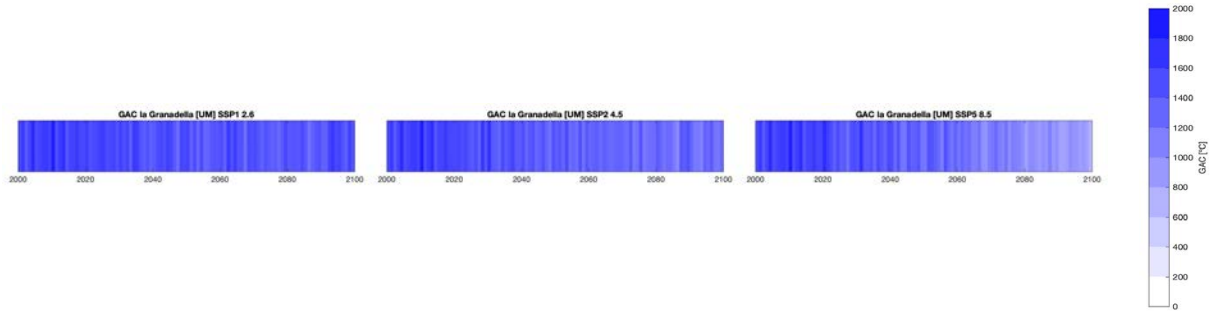

Figura A.206: Evolució dels graus-any de calefacció (GAC) a l'estació UM- La Granadella, per als diferents escenaris [SSP1 2.6, SSP2 4.5 i SSP5 8.5] per al model climàtic AWI-CM.

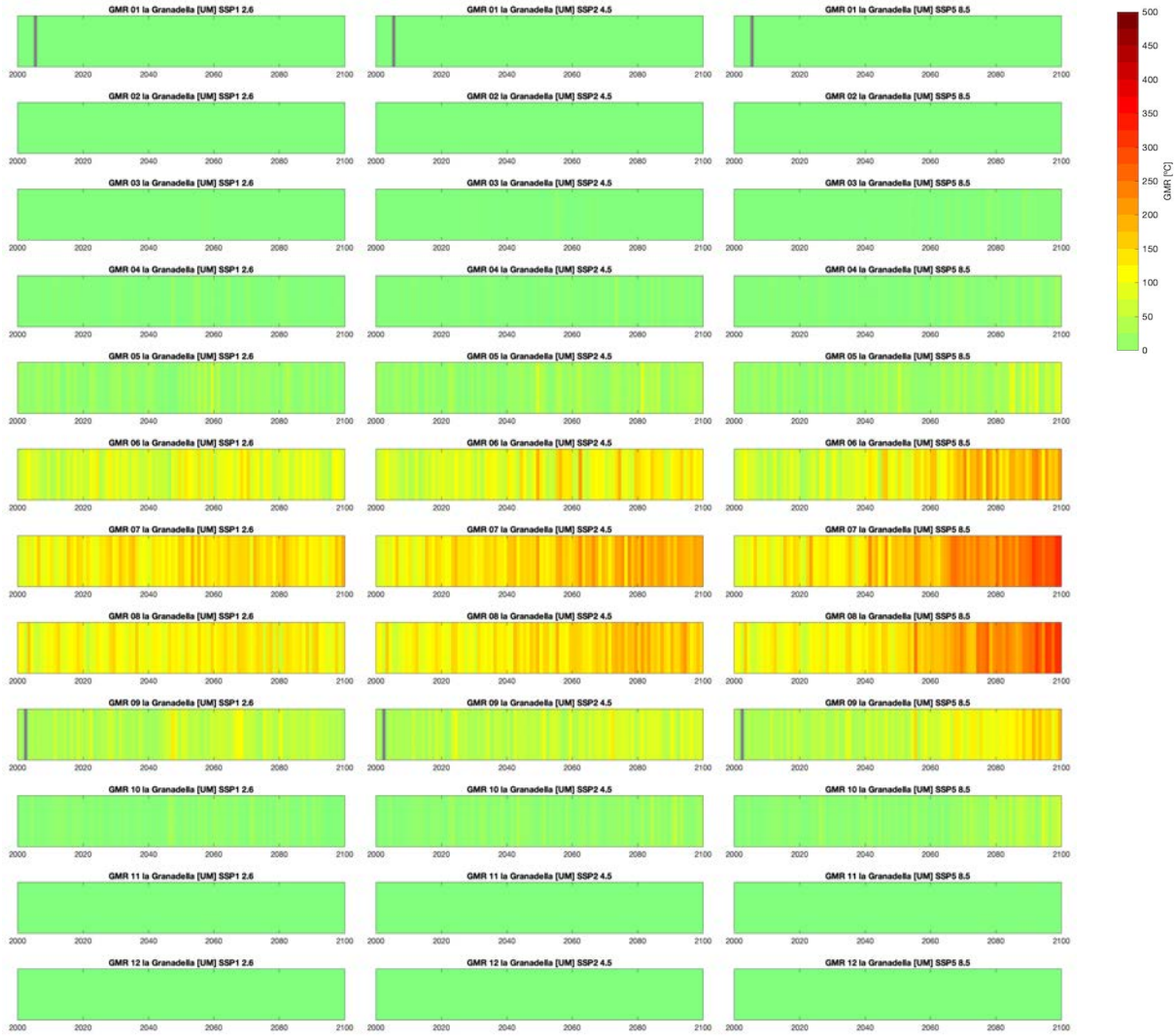

Figura A.207: Evolució dels graus-mes de refrigeració (GMR a l'estació UM- La Granadella, per als diferents escenaris [SSP1 2.6, SSP2 4.5 i SSP5 8.5] per al model climàtic AWI-CM.

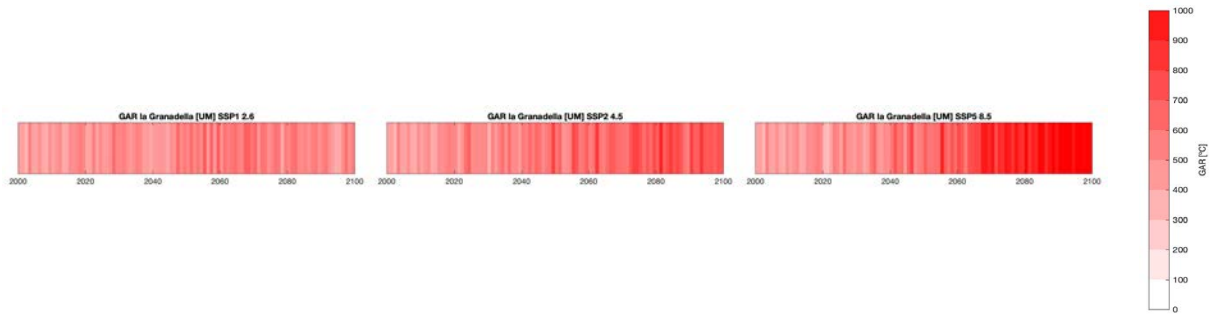

Figura A.208: Evolució dels graus-any de refrigeració (GAR a l'estació UM- La Granadella, per als diferents escenaris [SSP1 2.6, SSP2 4.5 i SSP5 8.5] per al model climàtic AWI-CM.

A.1.54 UN - Cassà de la Selva

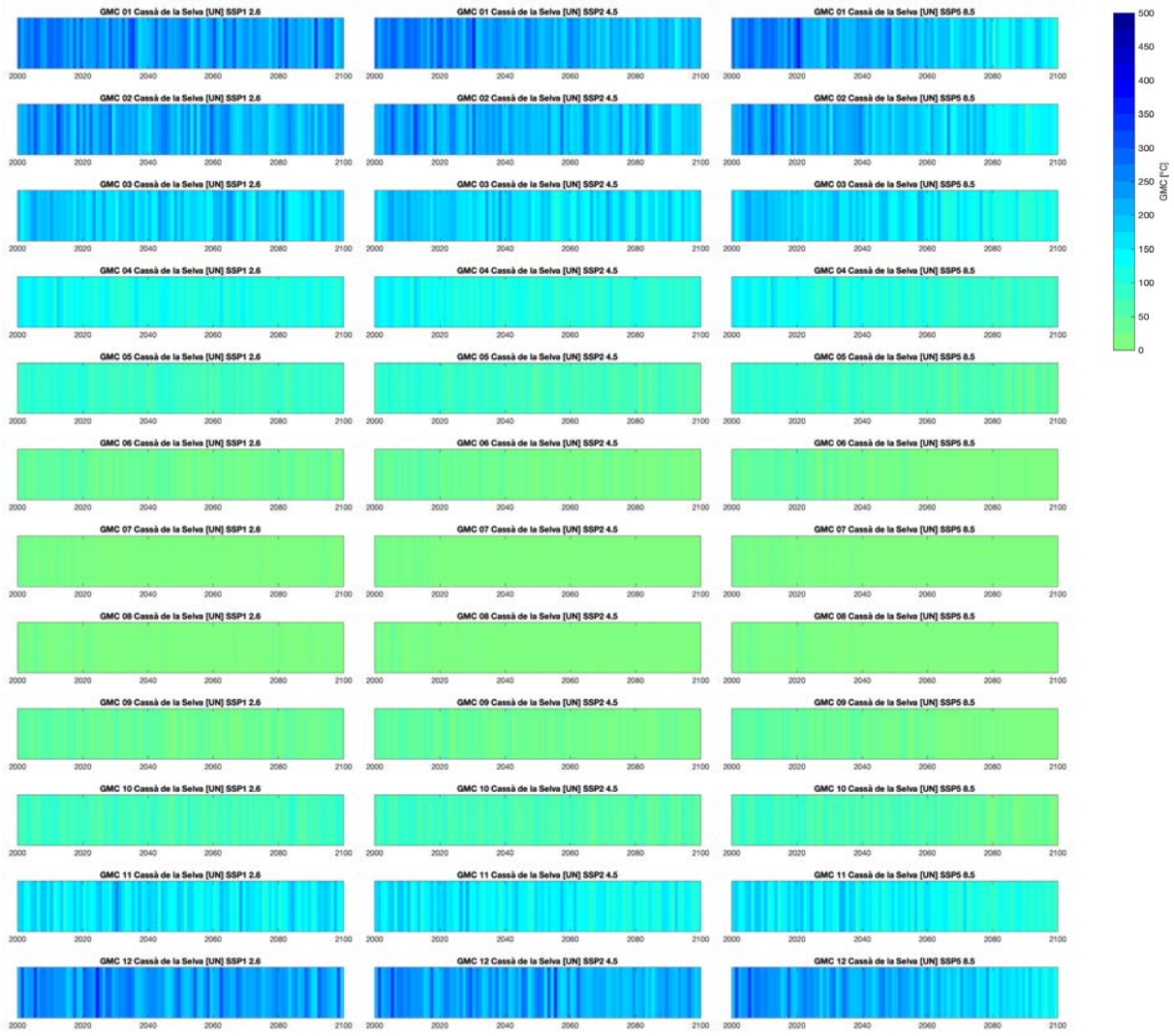

Figura A.209: Evolució dels graus-mes de calefacció (GMC) a l'estació UN- Cassà de la Selva, per als diferents escenaris [SSP1 2.6, SSP2 4.5 i SSP5 8.5] per al model climàtic AWI-CM.

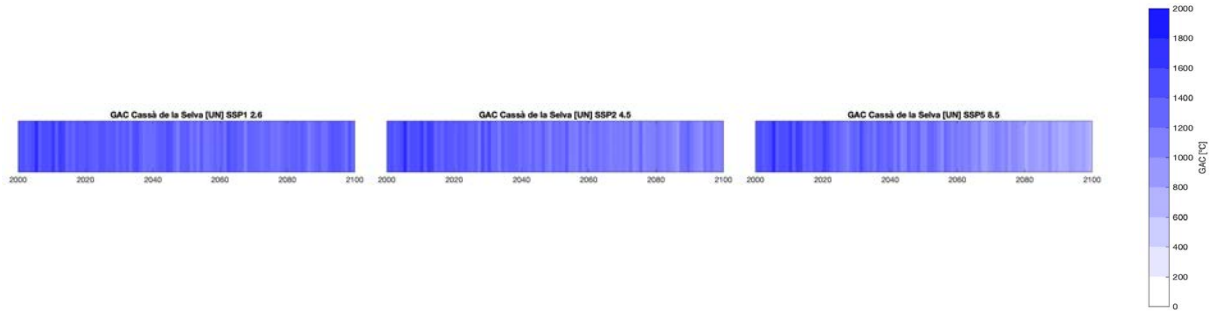

Figura A.210: Evolució dels graus-any de calefacció (GAC) a l'estació UN- Cassà de la Selva, per als diferents escenaris [SSP1 2.6, SSP2 4.5 i SSP5 8.5] per al model climàtic AWI-CM.

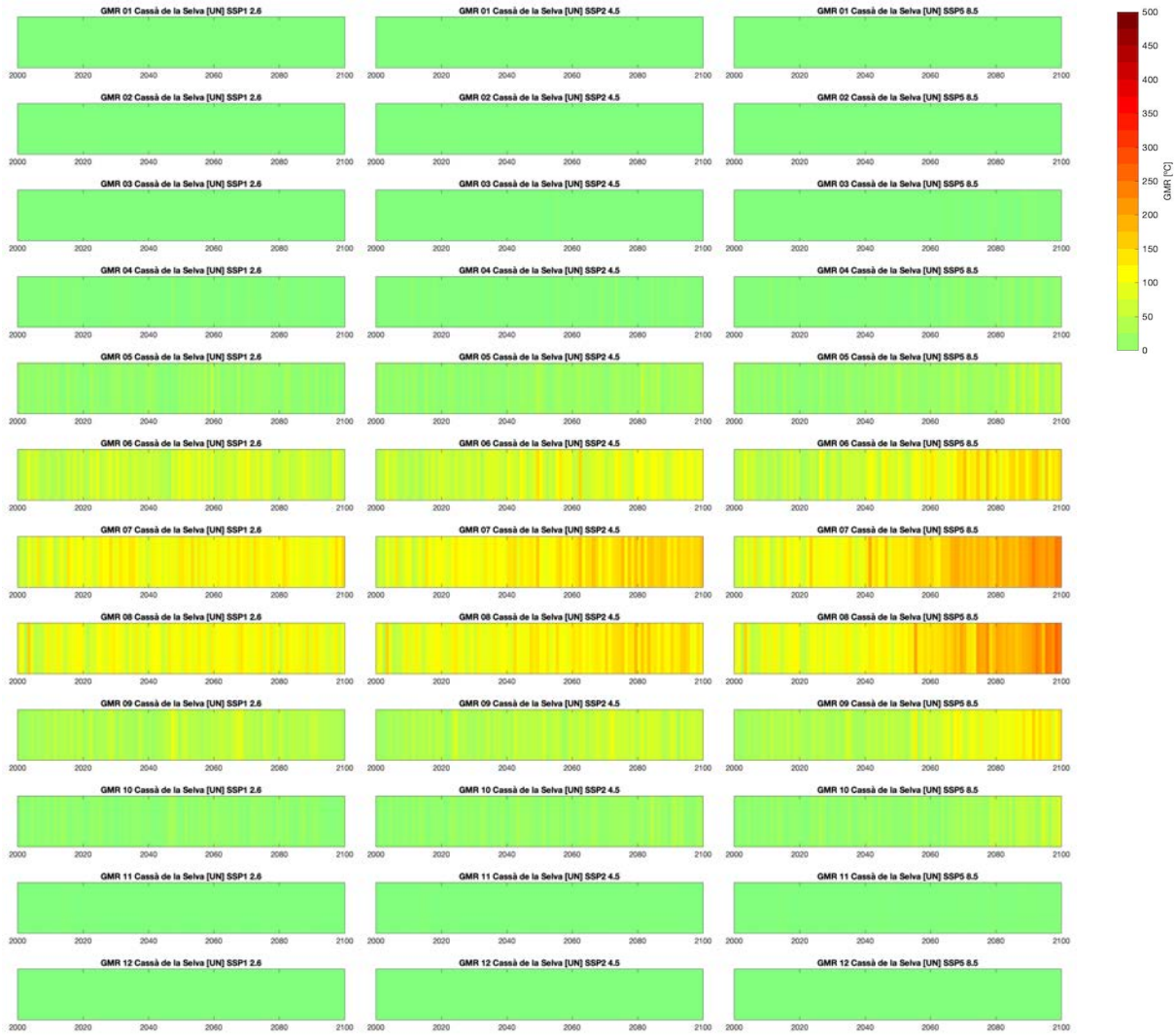

Figura A.211: Evolució dels graus-mes de refrigeració (GMR a l'estació UN- Cassà de la Selva, per als diferents escenaris [SSP1 2.6, SSP2 4.5 i SSP5 8.5] per al model climàtic AWI-CM.

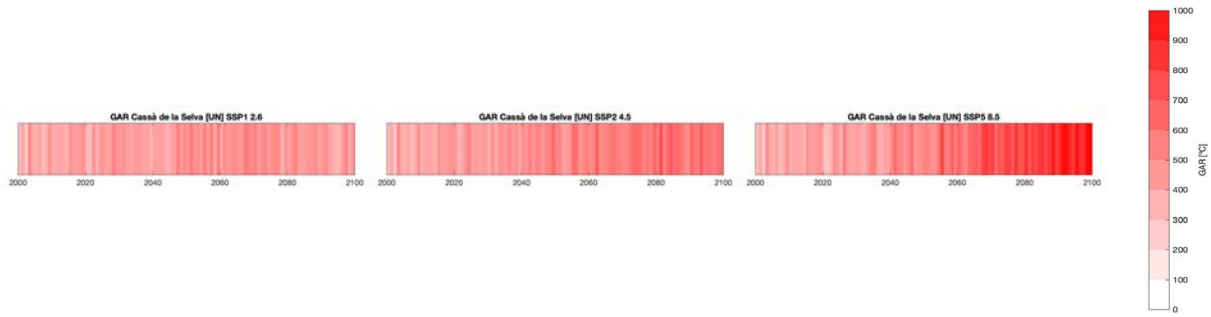

Figura A.212: Evolució dels graus-any de refrigeració (GAR a l'estació UN- Cassà de la Selva, per als diferents escenaris [SSP1 2.6, SSP2 4.5 i SSP5 8.5] per al model climàtic AWI-CM.

A.1.55 UO - Fornells de la Selva

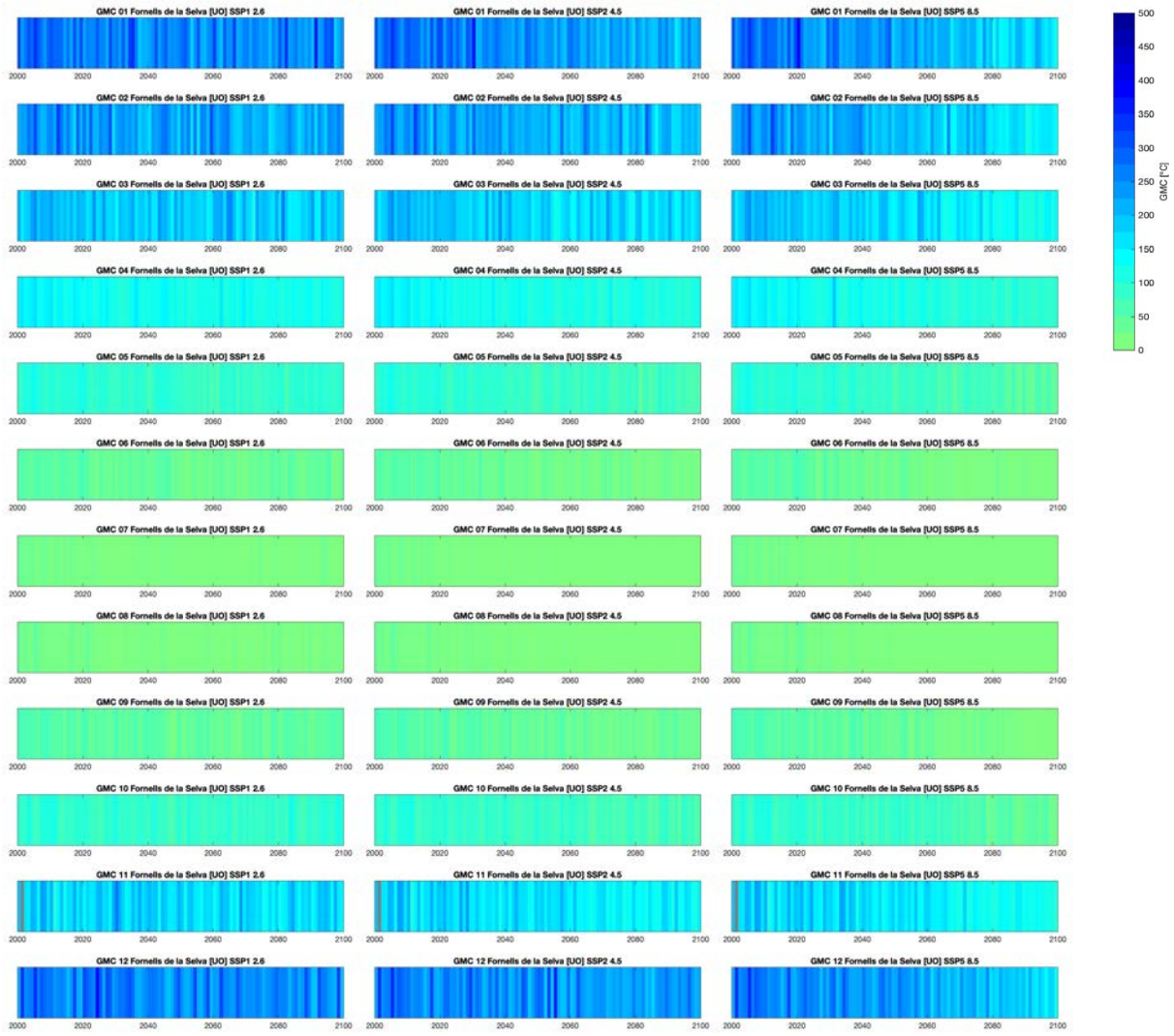

Figura A.213: Evolució dels graus-mes de calefacció (GMC) a l'estació UO- Fornells de la Selva, per als diferents escenaris [SSP1 2.6, SSP2 4.5 i SSP5 8.5] per al model climàtic AWI-CM.

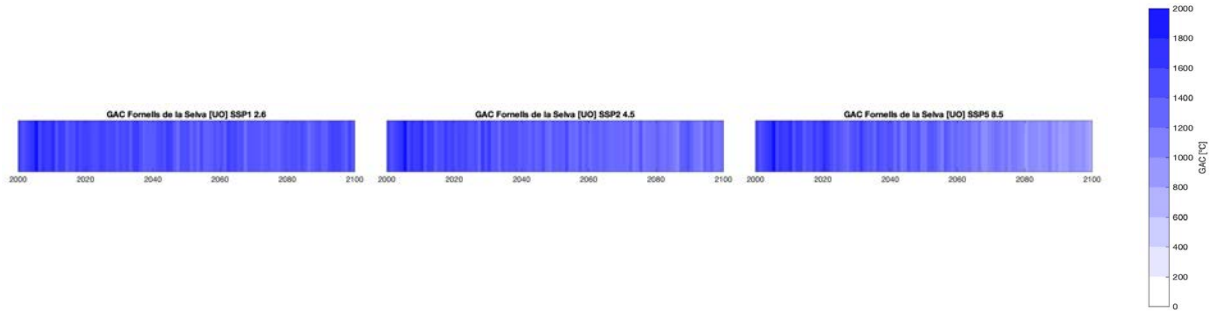

Figura A.214: Evolució dels graus-any de calefacció (GAC) a l'estació UO- Fornells de la Selva, per als diferents escenaris [SSP1 2.6, SSP2 4.5 i SSP5 8.5] per al model climàtic AWI-CM.

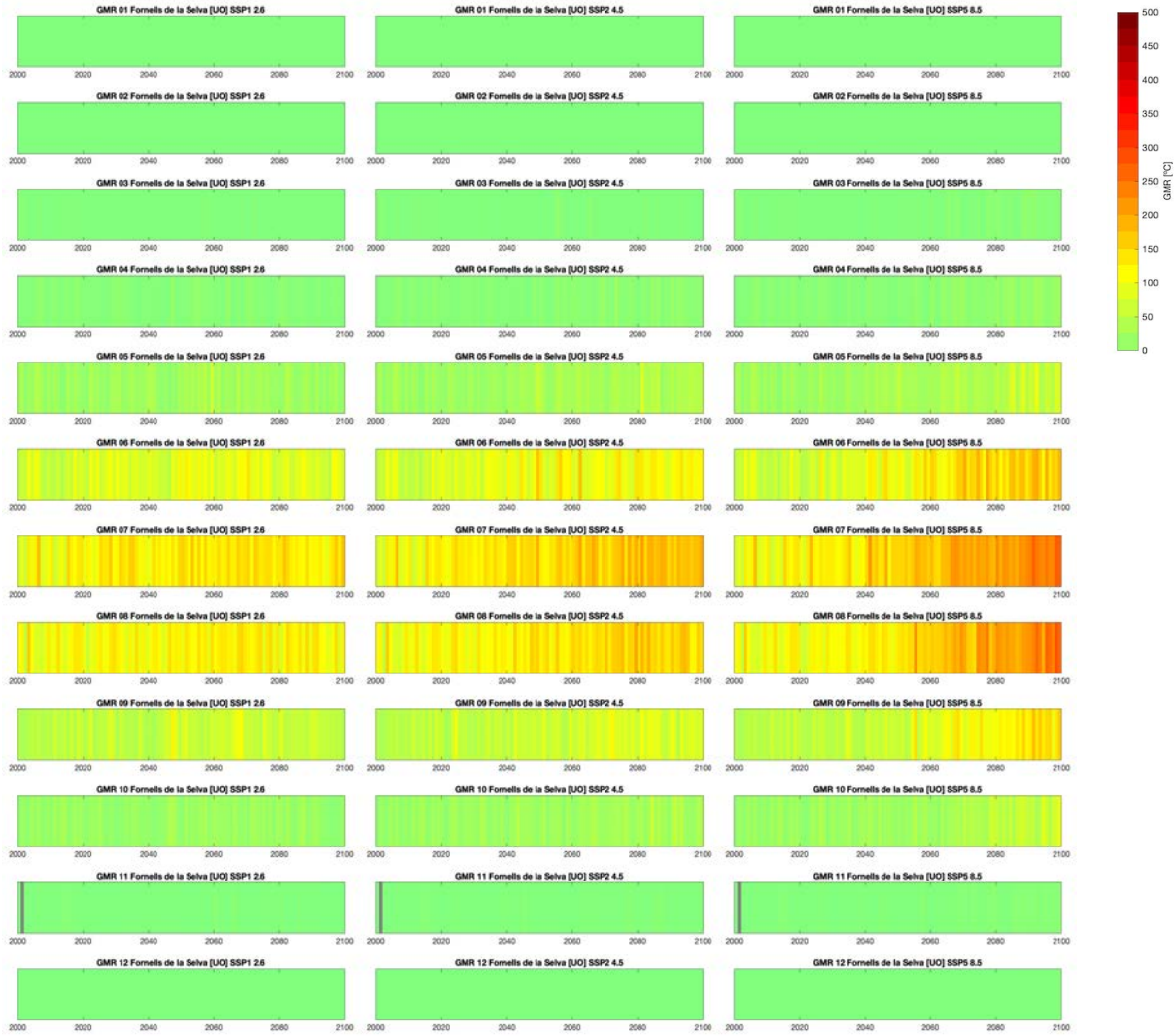

Figura A.215: Evolució dels graus-mes de refrigeració (GMR a l'estació UO- Fornells de la Selva, per als diferents escenaris [SSP1 2.6, SSP2 4.5 i SSP5 8.5] per al model climàtic AWI-CM.

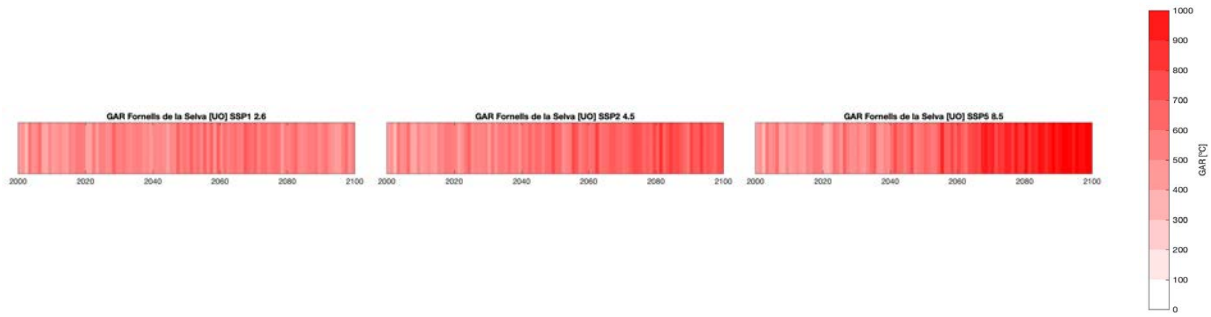

Figura A.216: Evolució dels graus-any de refrigeració (GAR a l'estació UO- Fornells de la Selva, per als diferents escenaris [SSP1 2.6, SSP2 4.5 i SSP5 8.5] per al model climàtic AWI-CM.

A.1.56 UP - Cabrils

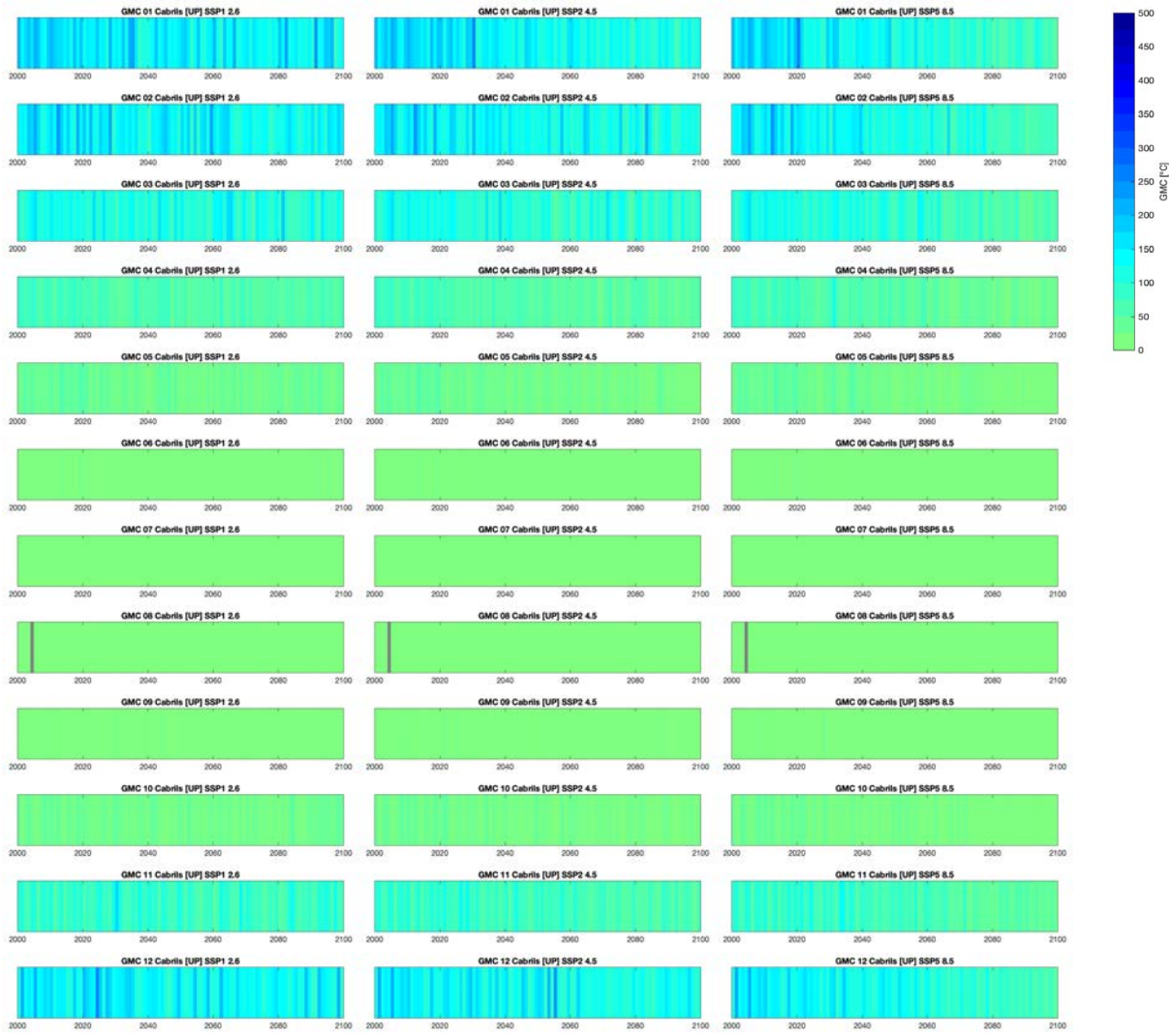

Figura A.217: Evolució dels graus-mes de calefacció (GMC) a l'estació UP- Cabrils, per als diferents escenaris [SSP1 2.6, SSP2 4.5 i SSP5 8.5] per al model climàtic AWI-CM.

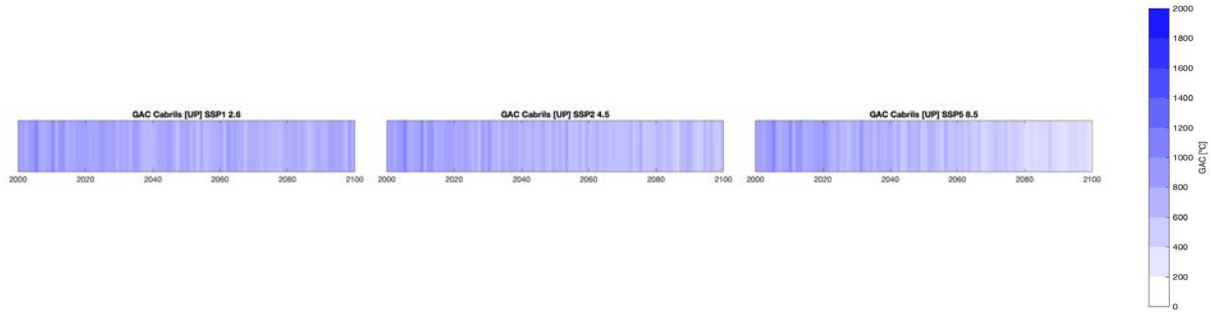

Figura A.218: Evolució dels graus-any de calefacció (GAC) a l'estació UP- Cabrils, per als diferents escenaris [SSP1 2.6, SSP2 4.5 i SSP5 8.5] per al model climàtic AWI-CM.

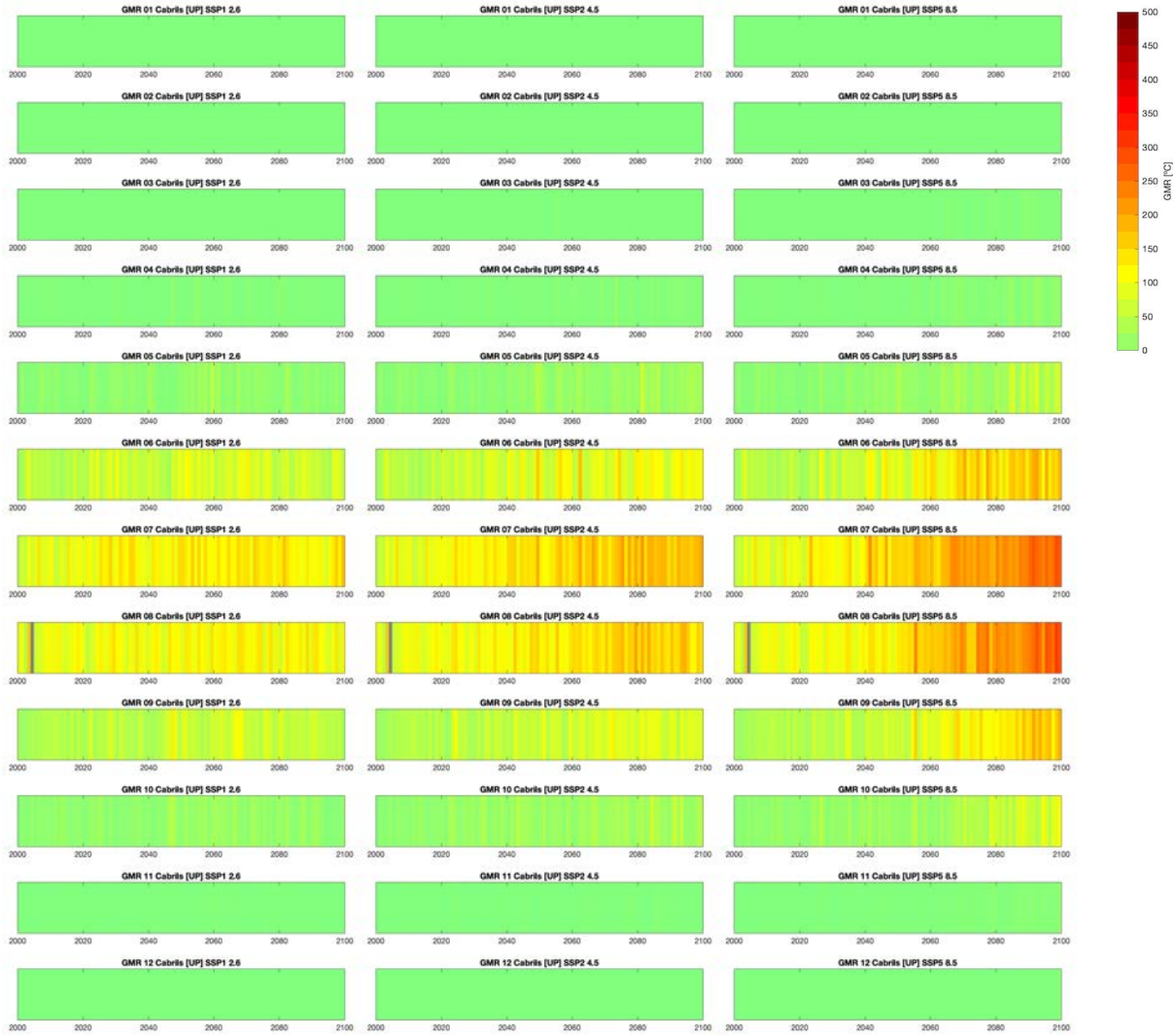

Figura A.219: Evolució dels graus-mes de refrigeració (GMR a l'estació UP- Cabrils, per als diferents escenaris [SSP1 2.6, SSP2 4.5 i SSP5 8.5] per al model climàtic AWI-CM.

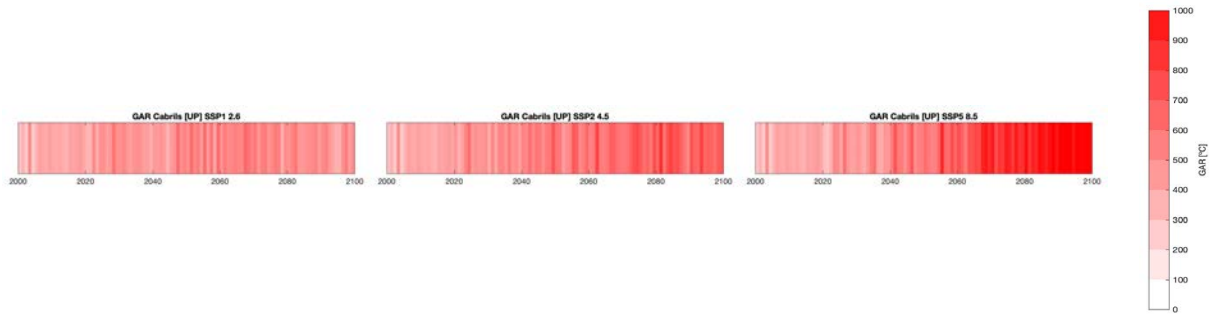

Figura A.220: Evolució dels graus-any de refrigeració (GAR a l'estació UP- Cabrils, per als diferents escenaris [SSP1 2.6, SSP2 4.5 i SSP5 8.5] per al model climàtic AWI-CM.

A.1.57 UQ - Dosrius - PN Montnegre i el Corredor

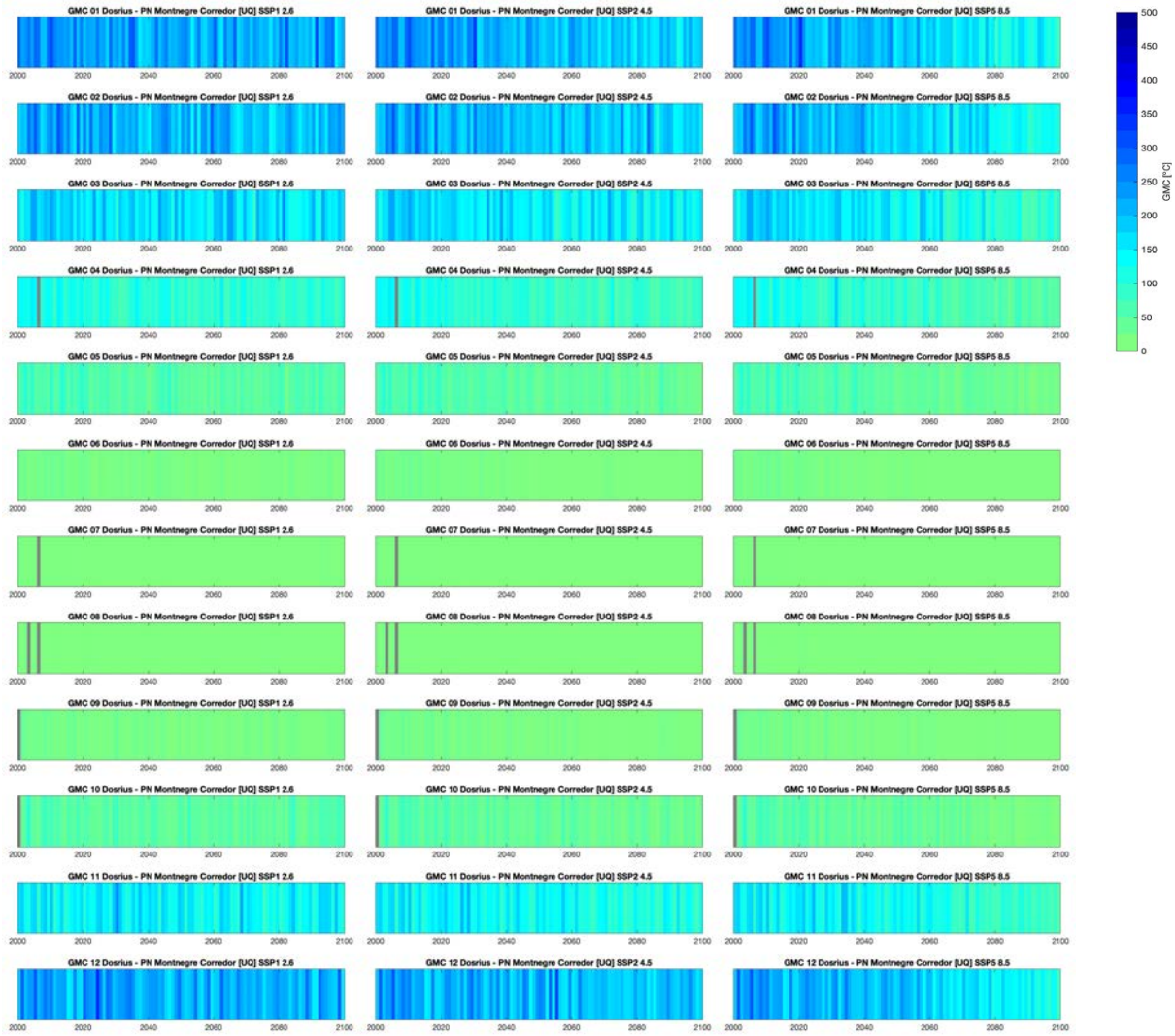

Figura A.221: Evolució dels graus-mes de calefacció (GMC) a l'estació UQ- Dosrius - PN Montnegre i el Corredor, per als diferents escenaris [SSP1 2.6, SSP2 4.5 i SSP5 8.5] per al model climàtic AWI-CM.

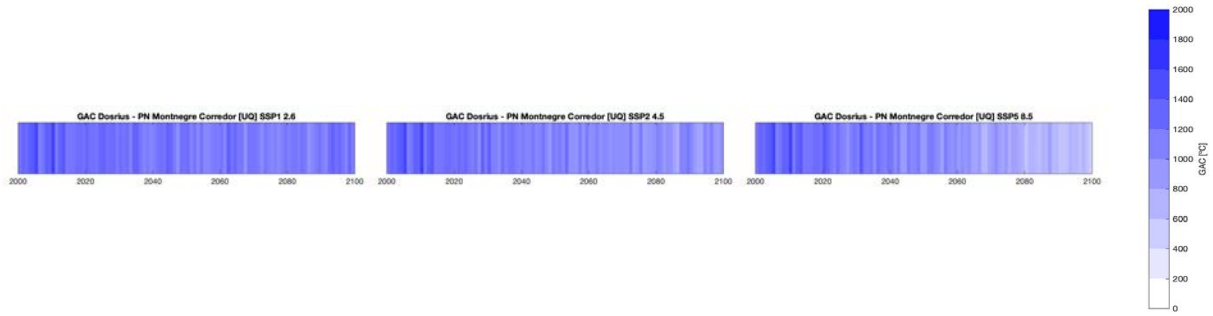

Figura A.222: Evolució dels graus-any de calefacció (GAC) a l'estació UQ- Dosrius - PN Montnegre i el Corredor, per als diferents escenaris [SSP1 2.6, SSP2 4.5 i SSP5 8.5] per al model climàtic AWI-CM.

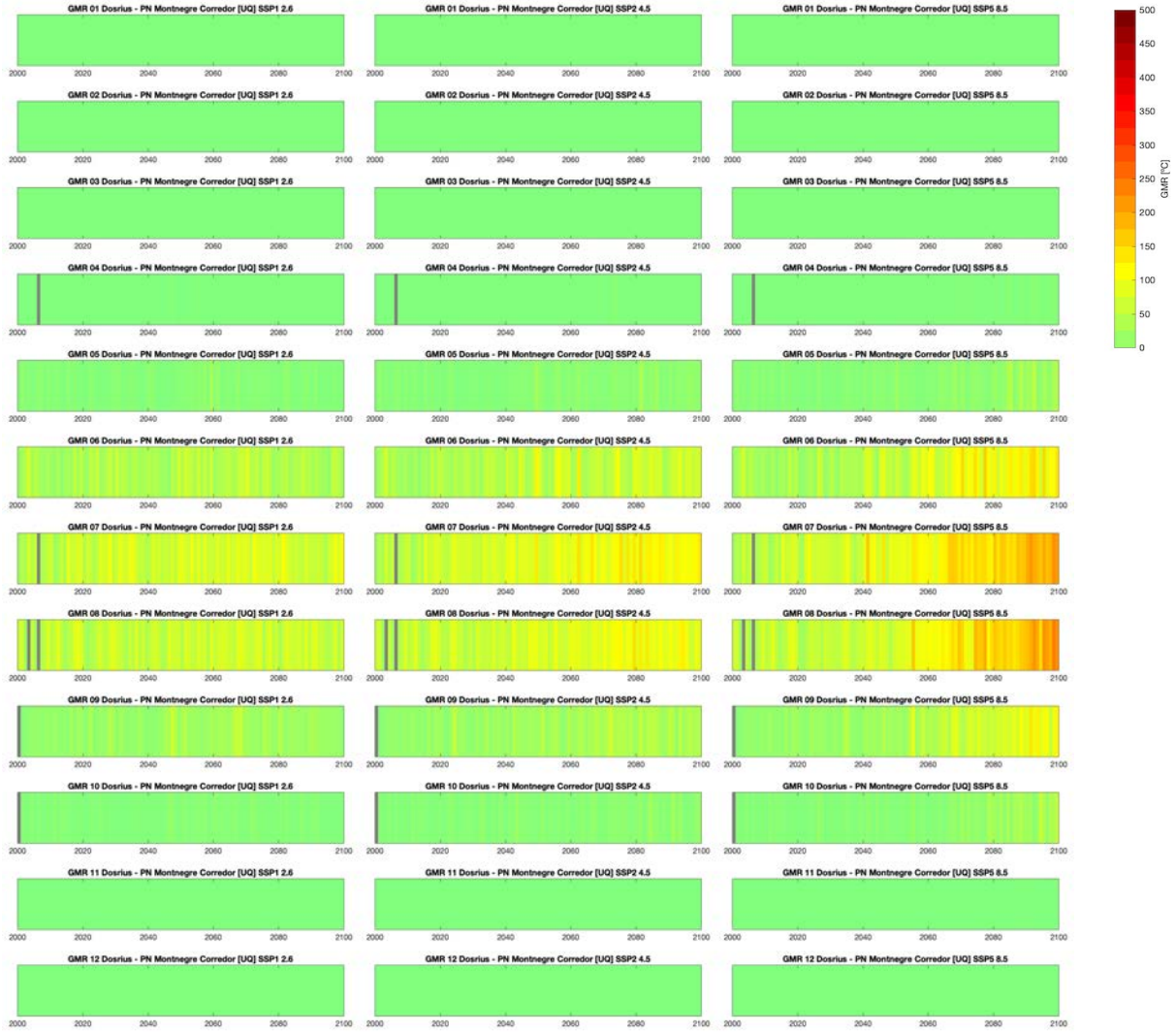

Figura A.223: Evolució dels graus-mes de refrigeració (GMR a l'estació UQ- Dosrius - PN Montnegre i el Corredor, per als diferents escenaris [SSP1 2.6, SSP2 4.5 i SSP5 8.5] per al model climàtic AWI-CM.

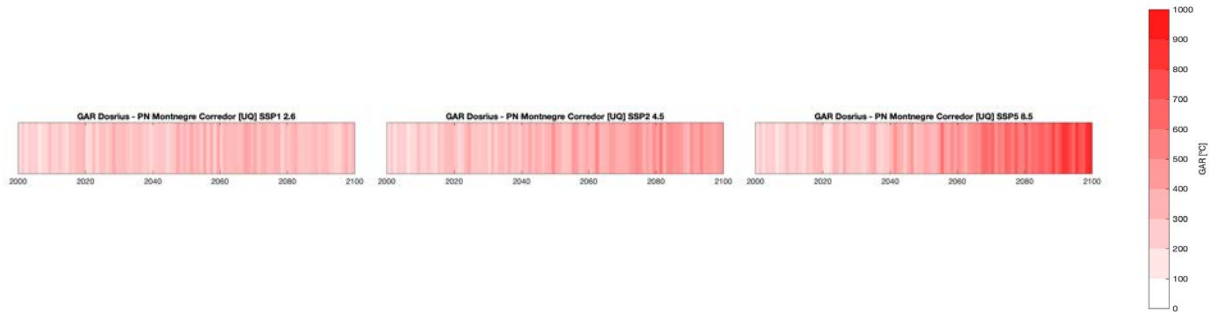

Figura A.224: Evolució dels graus-any de refrigeració (GAR a l'estació UQ- Dosrius - PN Montnegre i el Corredor, per als diferents escenaris [SSP1 2.6, SSP2 4.5 i SSP5 8.5] per al model climàtic AWI-CM.

A.1.58 US - Alcanar

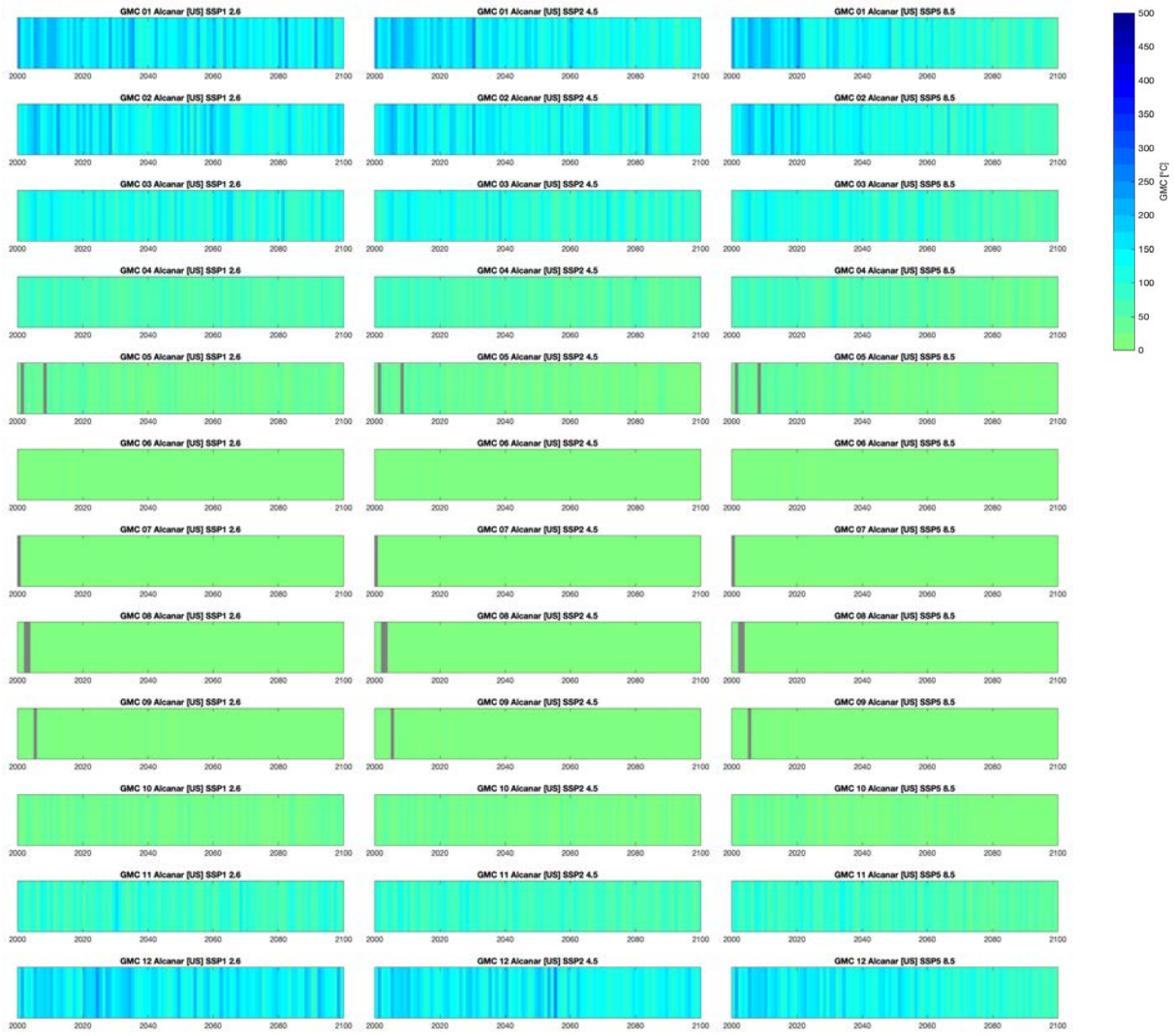

Figura A.225: Evolució dels graus-mes de calefacció (GMC) a l'estació US- Alcanar, per als diferents escenaris [SSP1 2.6, SSP2 4.5 i SSP5 8.5] per al model climàtic AWI-CM.

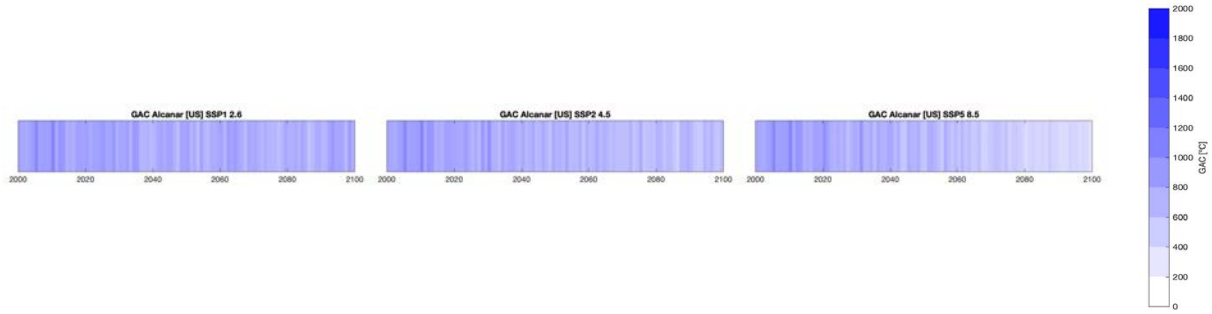

Figura A.226: Evolució dels graus-any de calefacció (GAC) a l'estació US- Alcanar, per als diferents escenaris [SSP1 2.6, SSP2 4.5 i SSP5 8.5] per al model climàtic AWI-CM.

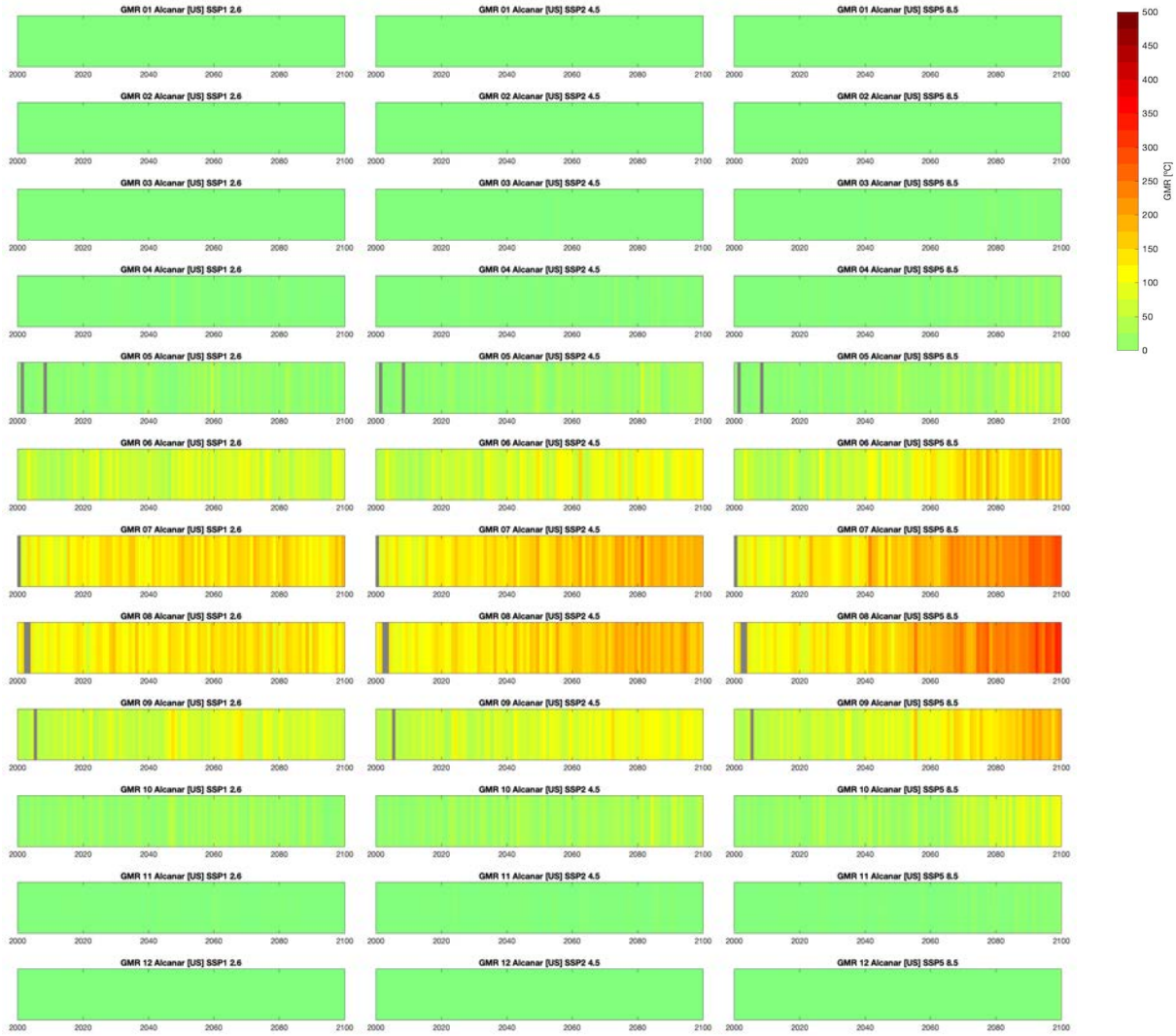

Figura A.227: Evolució dels graus-mes de refrigeració (GMR a l'estació US- Alcanar, per als diferents escenaris [SSP1 2.6, SSP2 4.5 i SSP5 8.5] per al model climàtic AWI-CM.

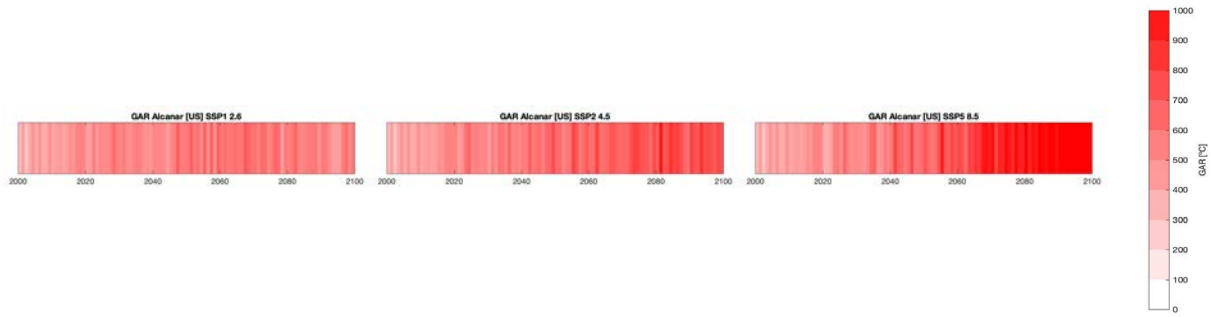

Figura A.228: Evolució dels graus-any de refrigeració (GAR a l'estació US- Alcanar, per als diferents escenaris [SSP1 2.6, SSP2 4.5 i SSP5 8.5] per al model climàtic AWI-CM.

A.1.59 UU - Amposta

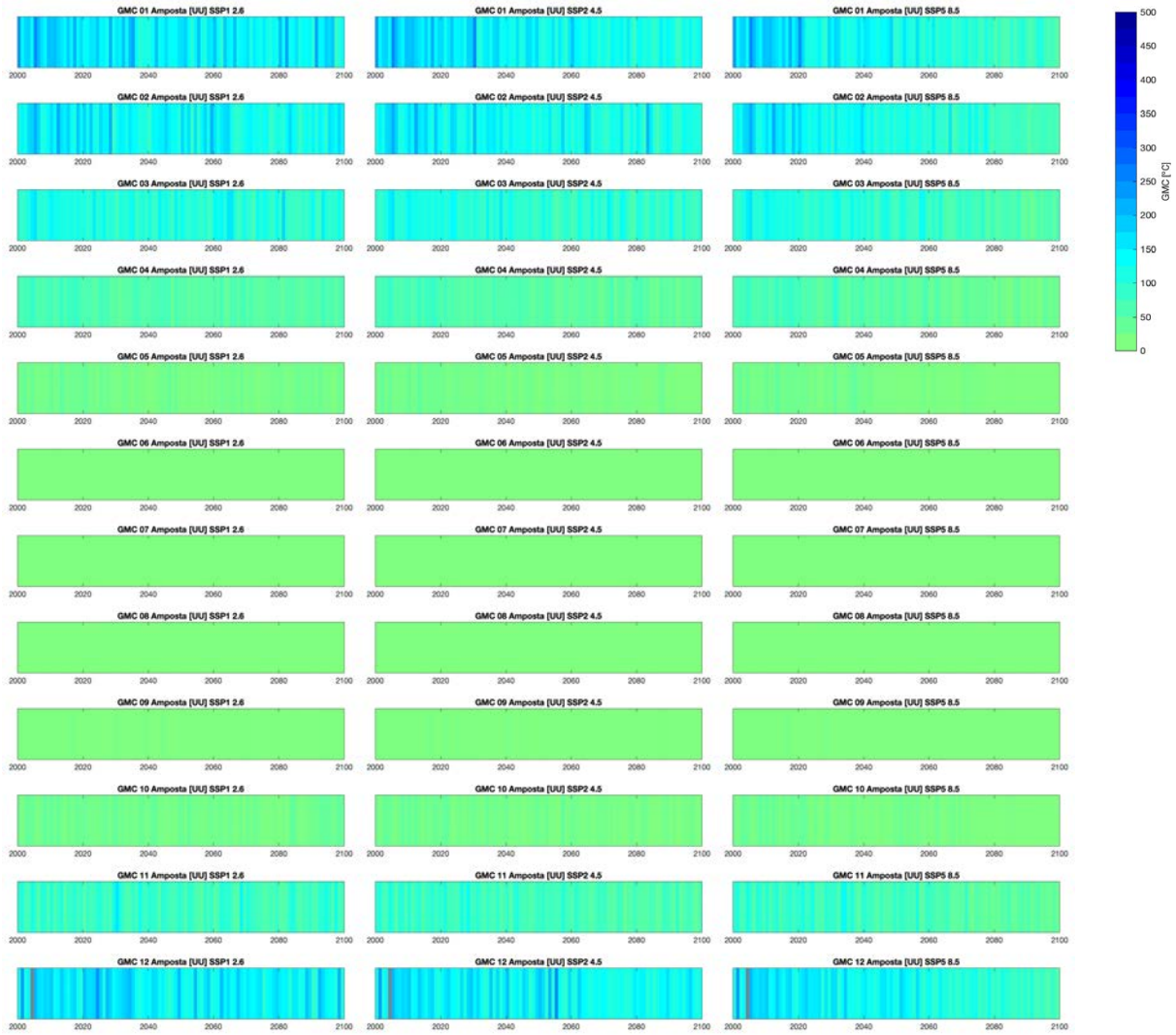

Figura A.229: Evolució dels graus-mes de calefacció (GMC) a l'estació UU- Amposta, per als diferents escenaris [SSP1 2.6, SSP2 4.5 i SSP5 8.5] per al model climàtic AWI-CM.

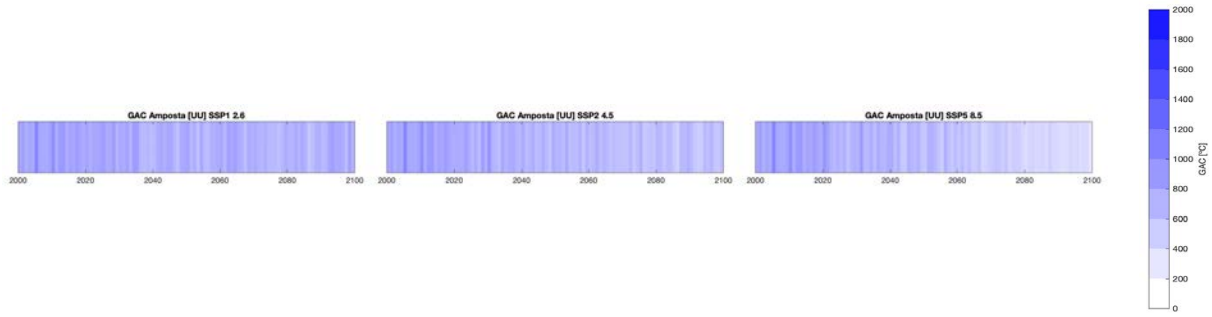

Figura A.230: Evolució dels graus-any de calefacció (GAC) a l'estació UU- Amposta, per als diferents escenaris [SSP1 2.6, SSP2 4.5 i SSP5 8.5] per al model climàtic AWI-CM.

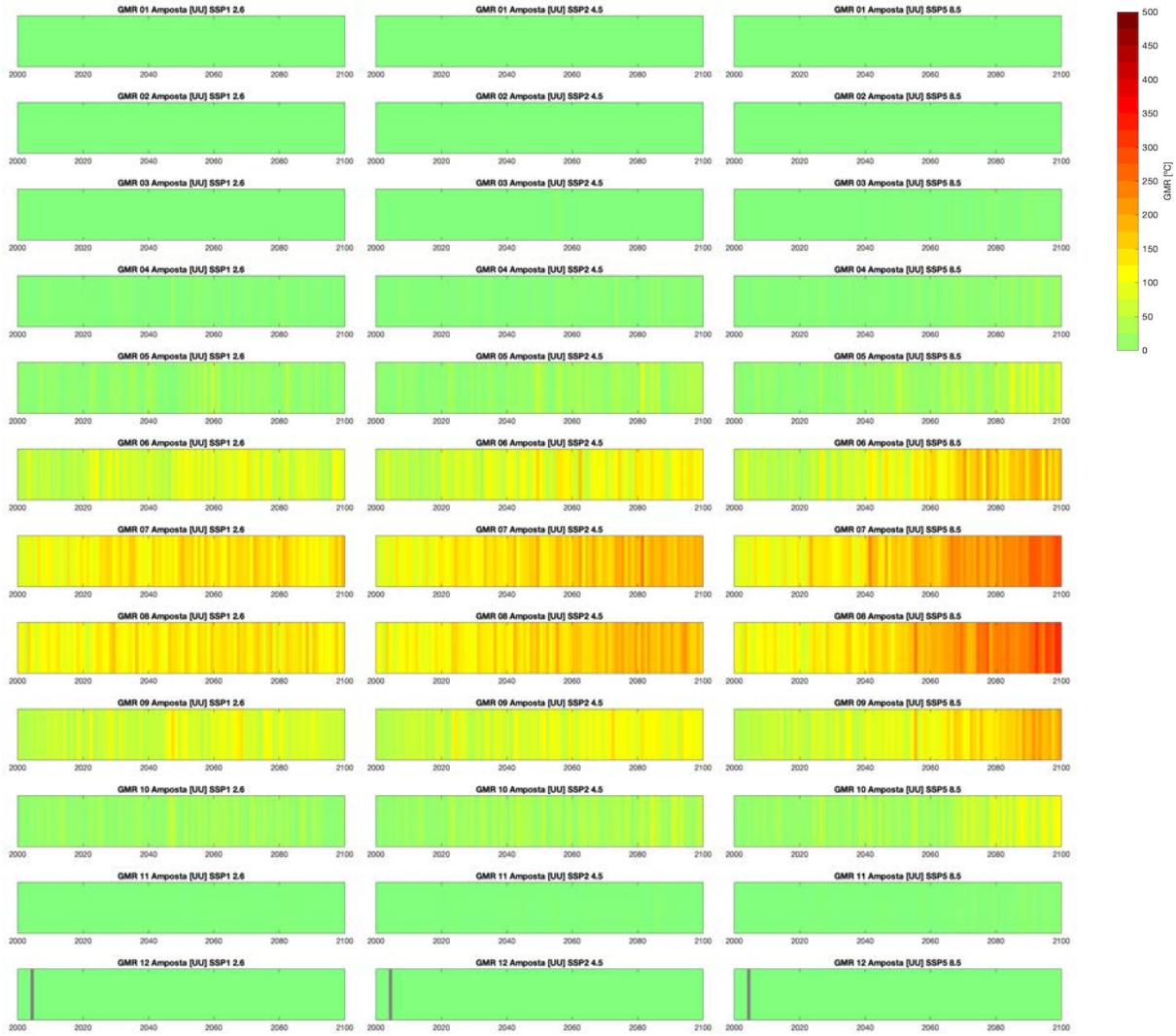

Figura A.231: Evolució dels graus-mes de refrigeració (GMR a l'estació UU- Amposta, per als diferents escenaris [SSP1 2.6, SSP2 4.5 i SSP5 8.5] per al model climàtic AWI-CM.

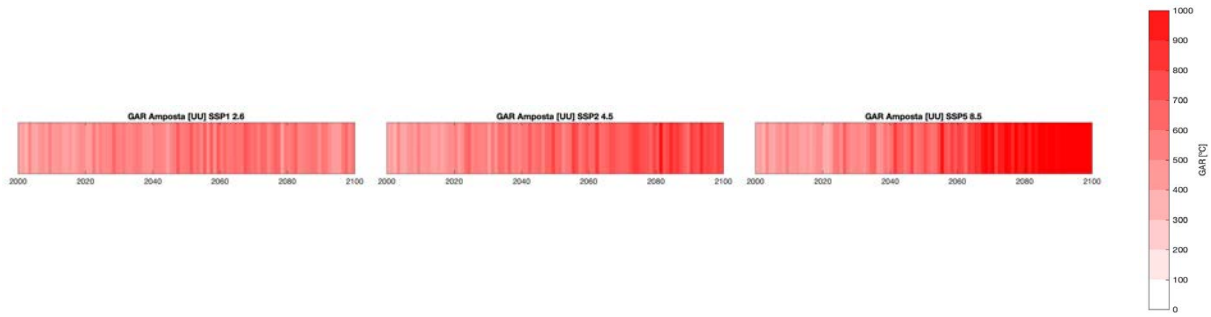

Figura A.232: Evolució dels graus-any de refrigeració (GAR a l'estació UU- Amposta, per als diferents escenaris [SSP1 2.6, SSP2 4.5 i SSP5 8.5] per al model climàtic AWI-CM.

A.1.60 UW - Els Afacs

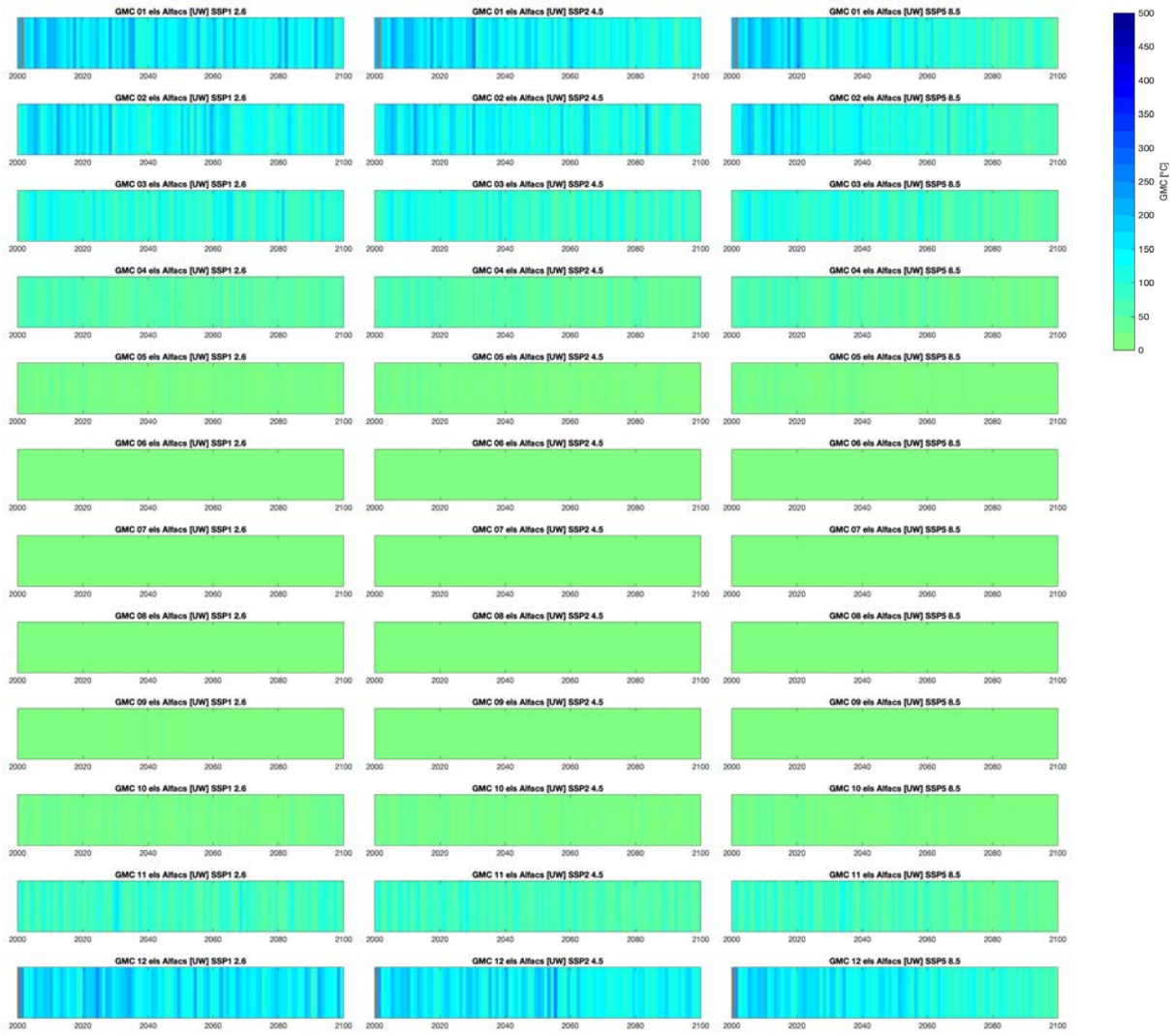

Figura A.233: Evolució dels graus-mes de calefacció (GMC) a l'estació UW- Els Afacs, per als diferents escenaris [SSP1 2.6, SSP2 4.5 i SSP5 8.5] per al model climàtic AWI-CM.

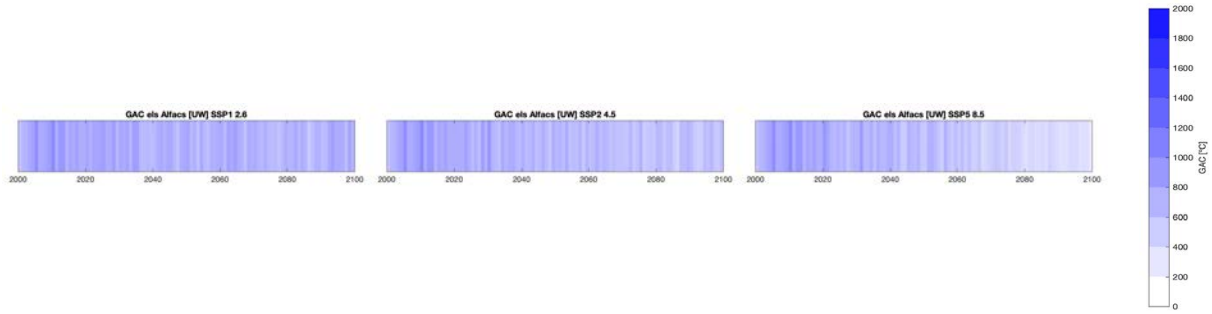

Figura A.234: Evolució dels graus-any de calefacció (GAC) a l'estació UW- Els Afacs, per als diferents escenaris [SSP1 2.6, SSP2 4.5 i SSP5 8.5] per al model climàtic AWI-CM.

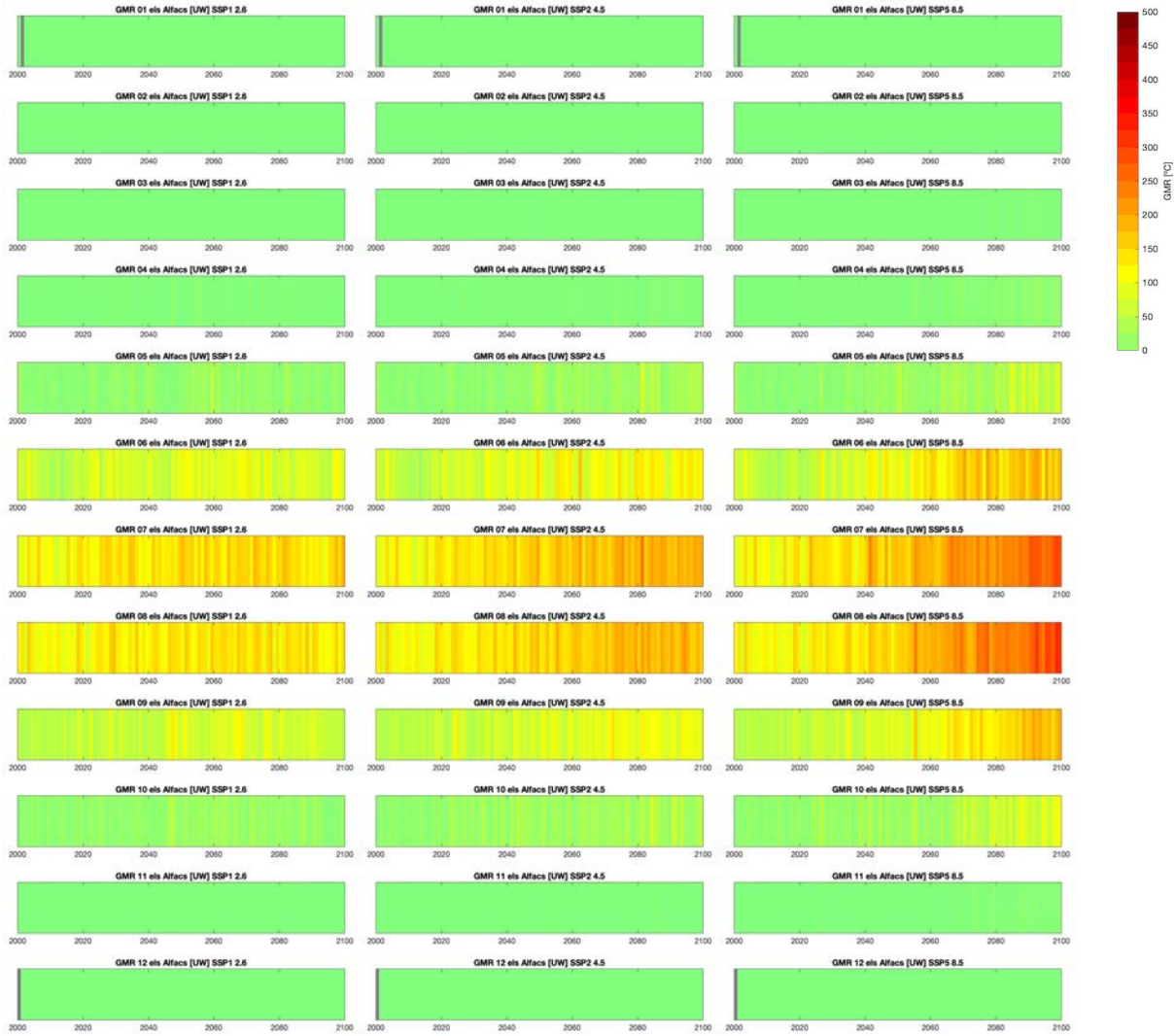

Figura A.235: Evolució dels graus-mes de refrigeració (GMR a l'estació UW- Els Afacs, per als diferents escenaris [SSP1 2.6, SSP2 4.5 i SSP5 8.5] per al model climàtic AWI-CM.

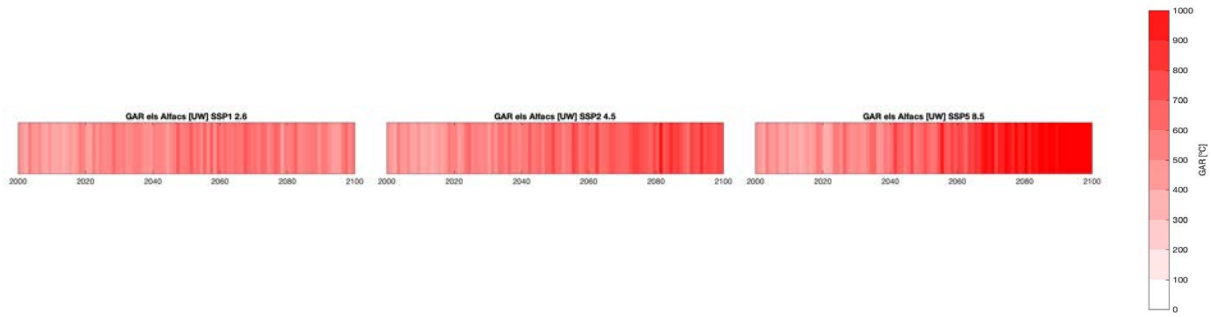

Figura A.236: Evolució dels graus-any de refrigeració (GAR a l'estació UW- Els Afacs, per als diferents escenaris [SSP1 2.6, SSP2 4.5 i SSP5 8.5] per al model climàtic AWI-CM.

A.1.61 UX - Ulldecona

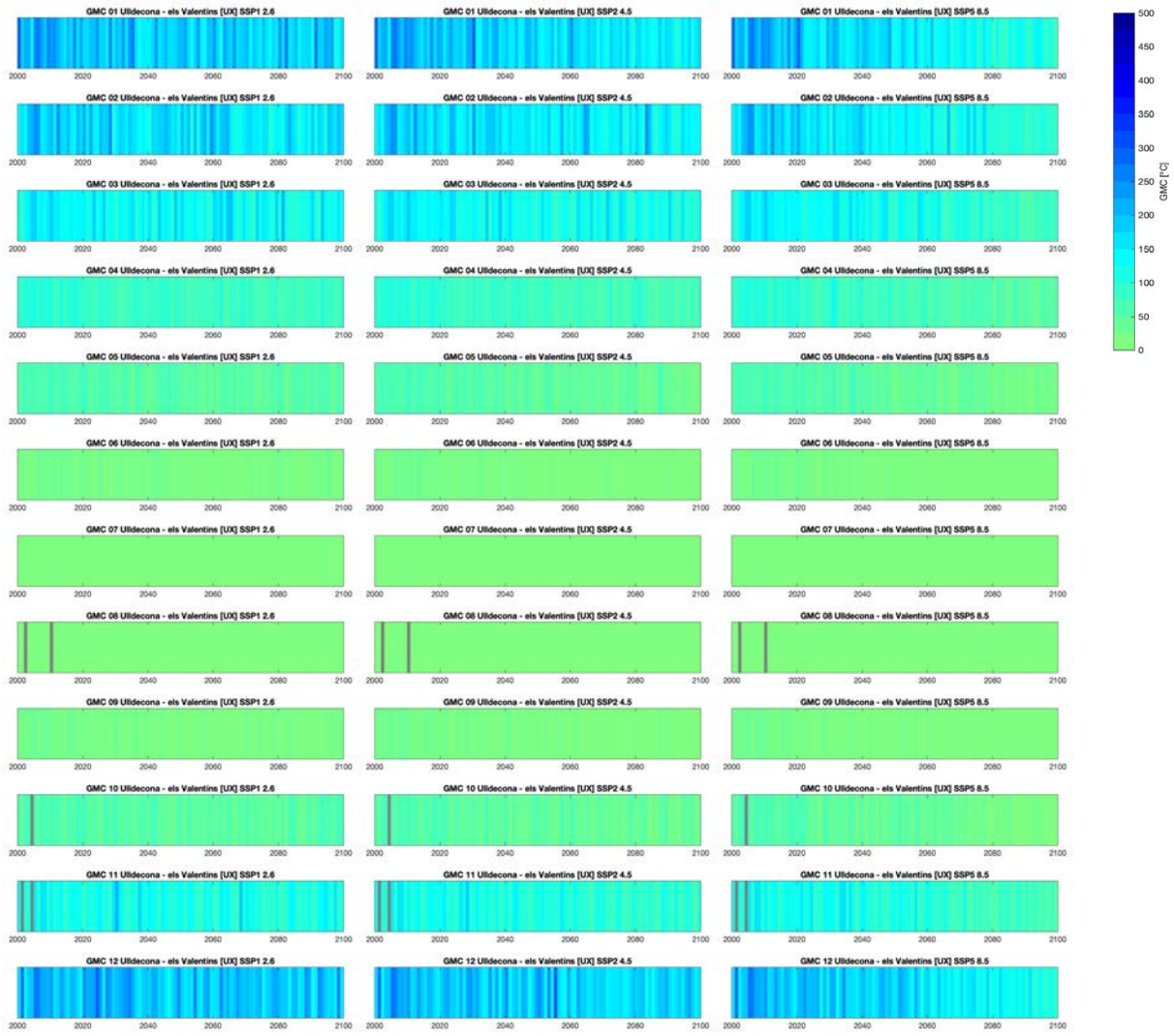

Figura A.237: Evolució dels graus-mes de calefacció (GMC) a l'estació UX- Ulldecona, per als diferents escenaris [SSP1 2.6, SSP2 4.5 i SSP5 8.5] per al model climàtic AWI-CM.

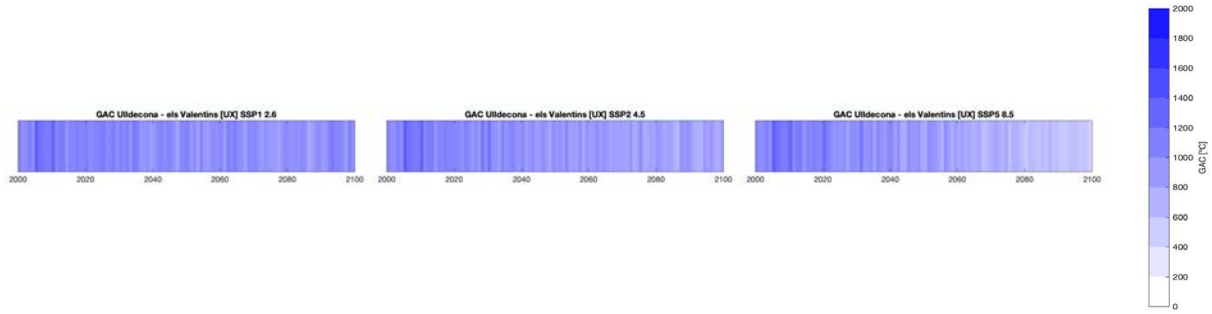

Figura A.238: Evolució dels graus-any de calefacció (GAC) a l'estació UX- Ulldecona, per als diferents escenaris [SSP1 2.6, SSP2 4.5 i SSP5 8.5] per al model climàtic AWI-CM.

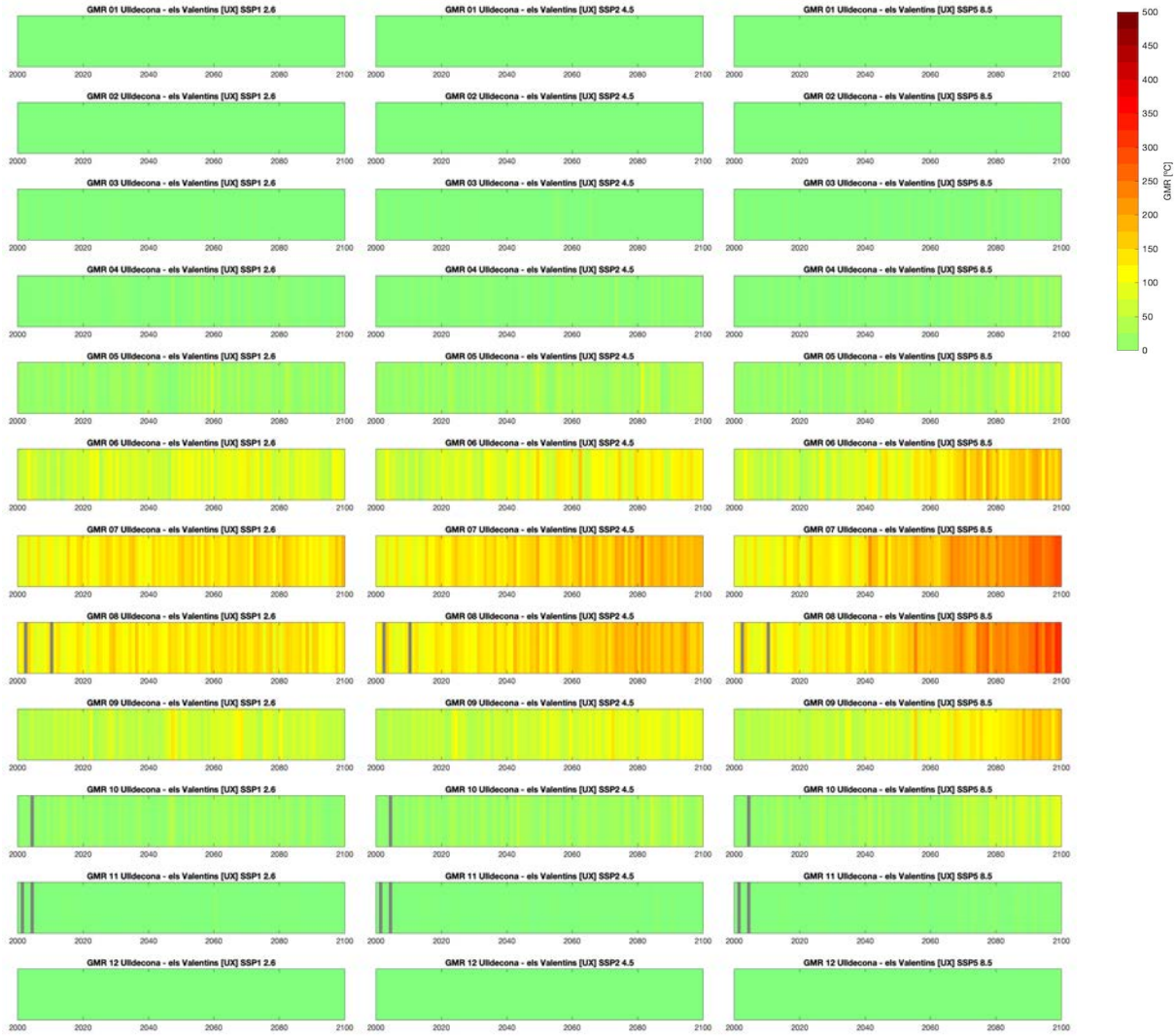

Figura A.239: Evolució dels graus-mes de refrigeració (GMR a l'estació UX- Ulldecona, per als diferents escenaris [SSP1 2.6, SSP2 4.5 i SSP5 8.5] per al model climàtic AWI-CM.

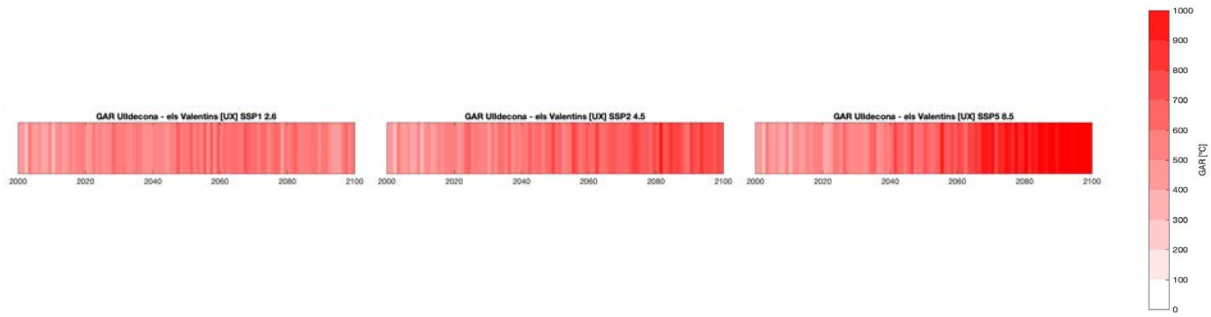

Figura A.240: Evolució dels graus-any de refrigeració (GAR a l'estació UX- Ulldecona, per als diferents escenaris [SSP1 2.6, SSP2 4.5 i SSP5 8.5] per al model climàtic AWI-CM.

A.1.62 UY - Os de Balaguer - Monestir de les Avellanes

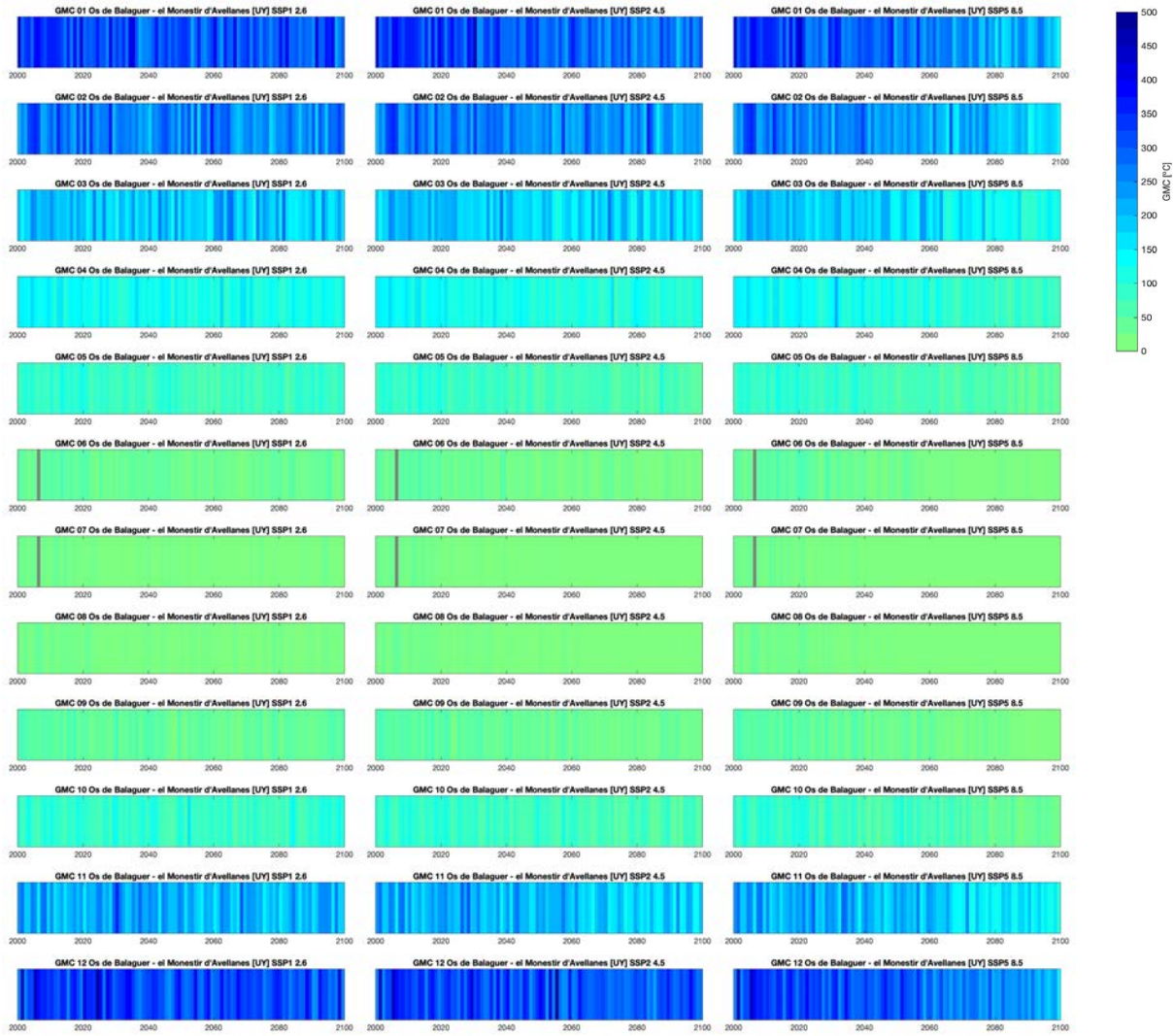

Figura A.241: Evolució dels graus-mes de calefacció (GMC) a l'estació UY- Os de Balaguer - Monestir de les Avellanes, per als diferents escenaris [SSP1 2.6, SSP2 4.5 i SSP5 8.5] per al model climàtic AWI-CM.

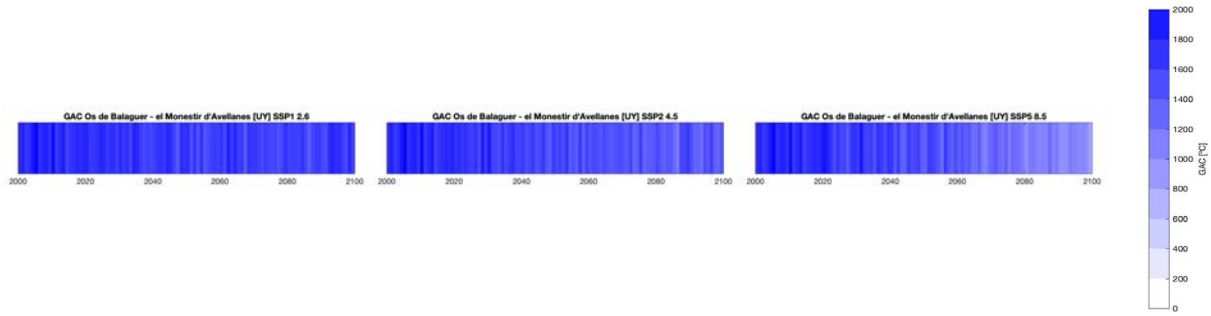

Figura A.242: Evolució dels graus-any de calefacció (GAC) a l'estació UY- Os de Balaguer - Monestir de les Avellanes, per als diferents escenaris [SSP1 2.6, SSP2 4.5 i SSP5 8.5] per al model climàtic AWI-CM.

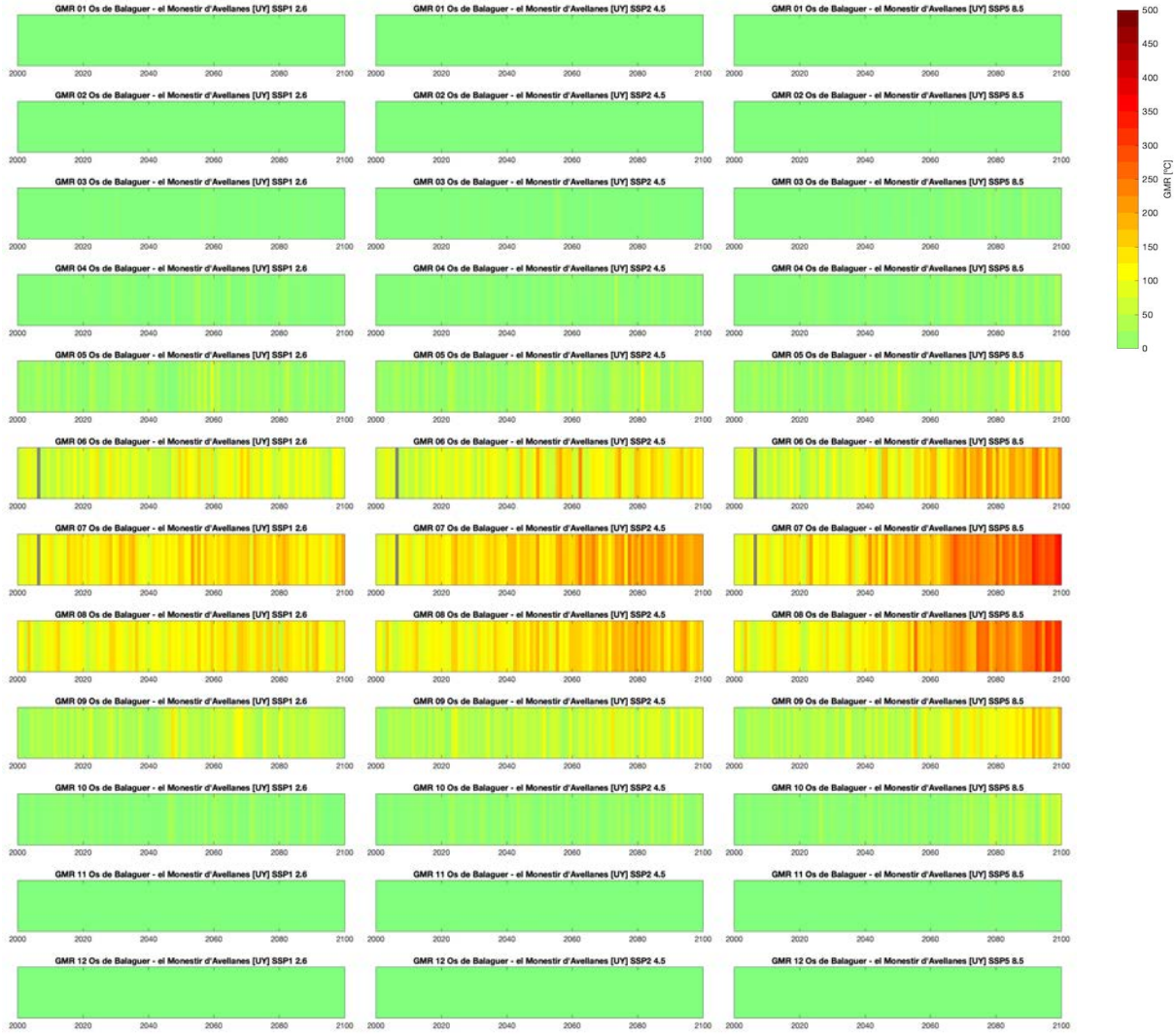

Figura A.243: Evolució dels graus-mes de refrigeració (GMR a l'estació UY- Os de Balaguer - Monestir de les Avellanes, per als diferents escenaris [SSP1 2.6, SSP2 4.5 i SSP5 8.5] per al model climàtic AWI-CM.

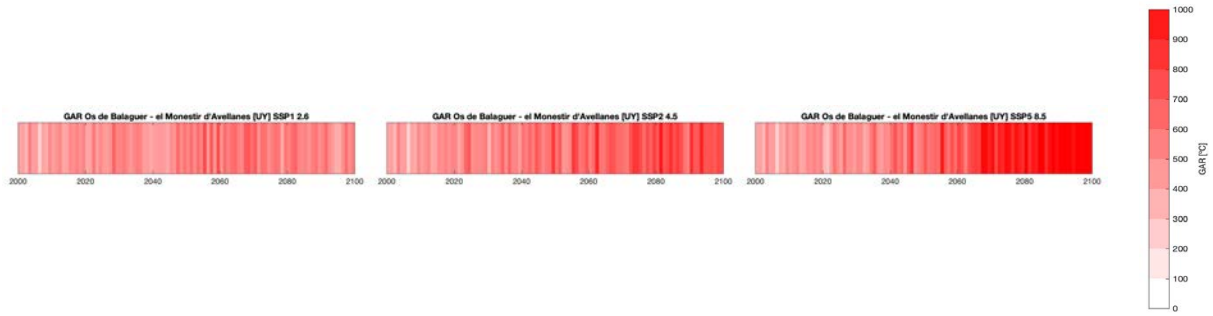

Figura A.244: Evolució dels graus-any de refrigeració (GAR a l'estació UY- Os de Balaguer - Monestir de les Avellanes, per als diferents escenaris [SSP1 2.6, SSP2 4.5 i SSP5 8.5] per al model climàtic AWI-CM.

A.1.63 V1 - Vallfogona de Balaguer

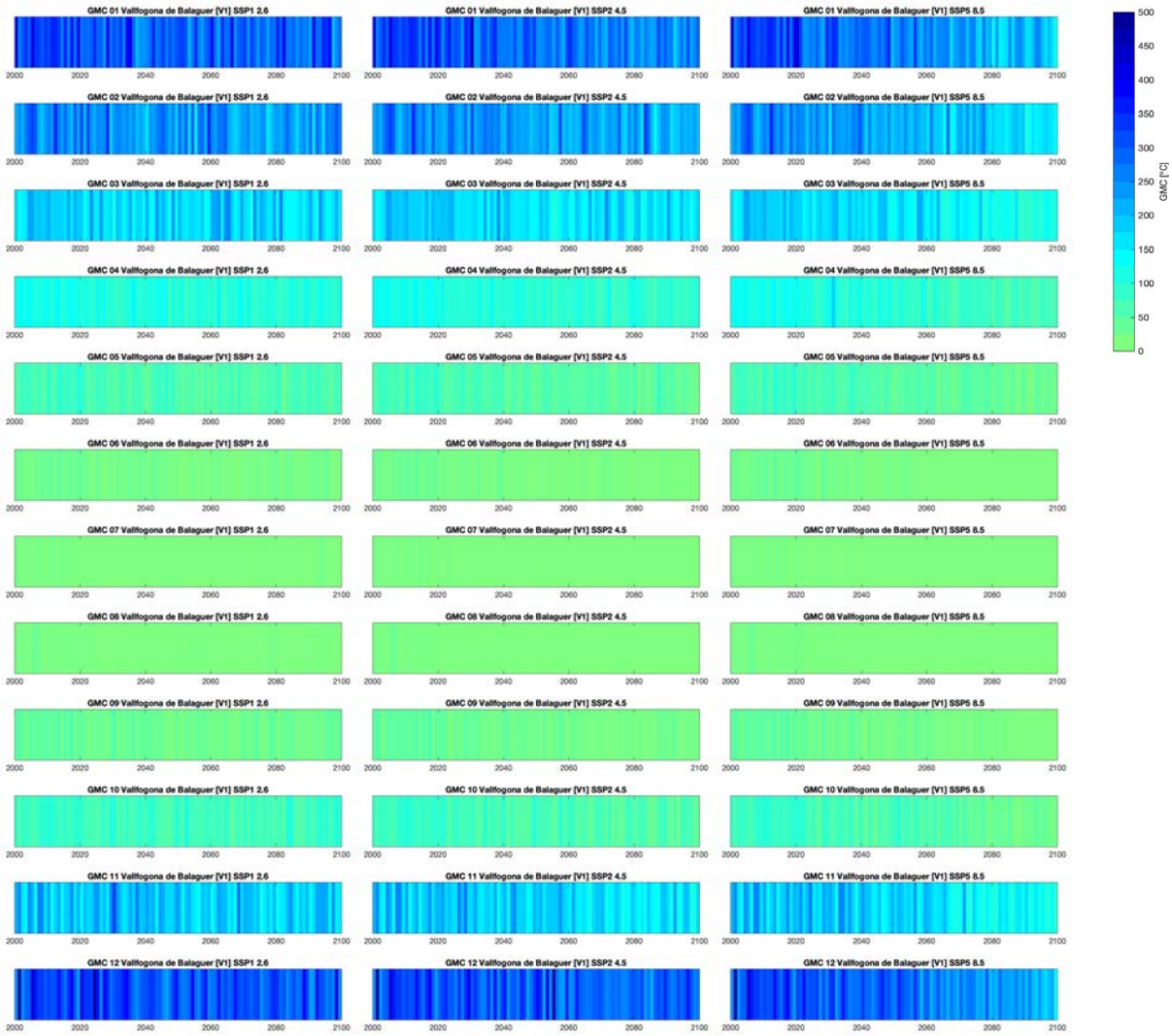

Figura A.245: Evolució dels graus-mes de calefacció (GMC) a l'estació V1- Vallfogona de Balaguer, per als diferents escenaris [SSP1 2.6, SSP2 4.5 i SSP5 8.5] per al model climàtic AWI-CM.

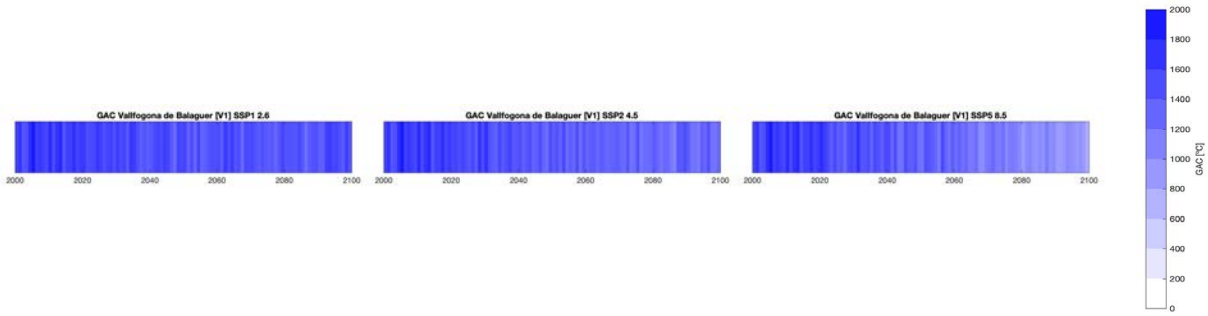

Figura A.246: Evolució dels graus-any de calefacció (GAC) a l'estació V1- Vallfogona de Balaguer, per als diferents escenaris [SSP1 2.6, SSP2 4.5 i SSP5 8.5] per al model climàtic AWI-CM.

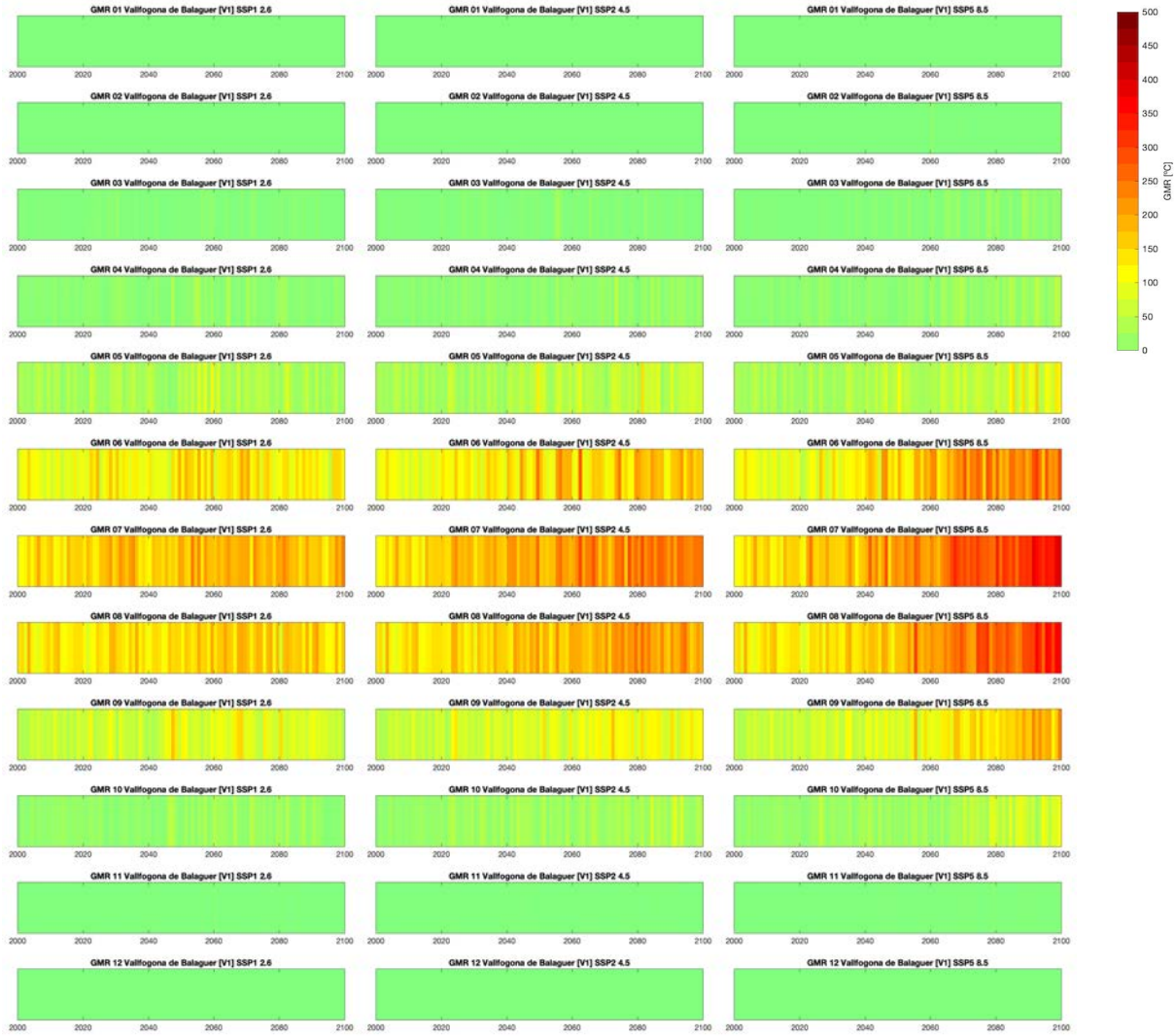

Figura A.247: Evolució dels graus-mes de refrigeració (GMR a l'estació V1- Vallfogona de Balaguer, per als diferents escenaris [SSP1 2.6, SSP2 4.5 i SSP5 8.5] per al model climàtic AWI-CM.

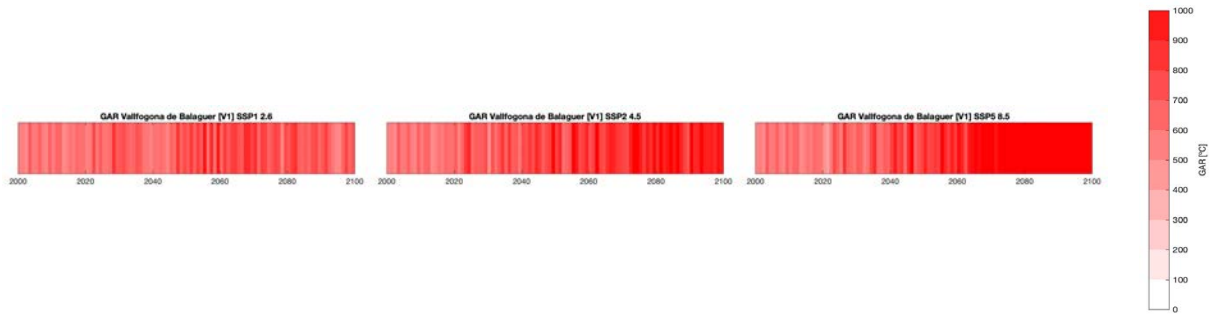

Figura A.248: Evolució dels graus-any de refrigeració (GAR a l'estació V1- Vallfogona de Balaguer, per als diferents escenaris [SSP1 2.6, SSP2 4.5 i SSP5 8.5] per al model climàtic AWI-CM.

A.1.64 V3 - Gurb

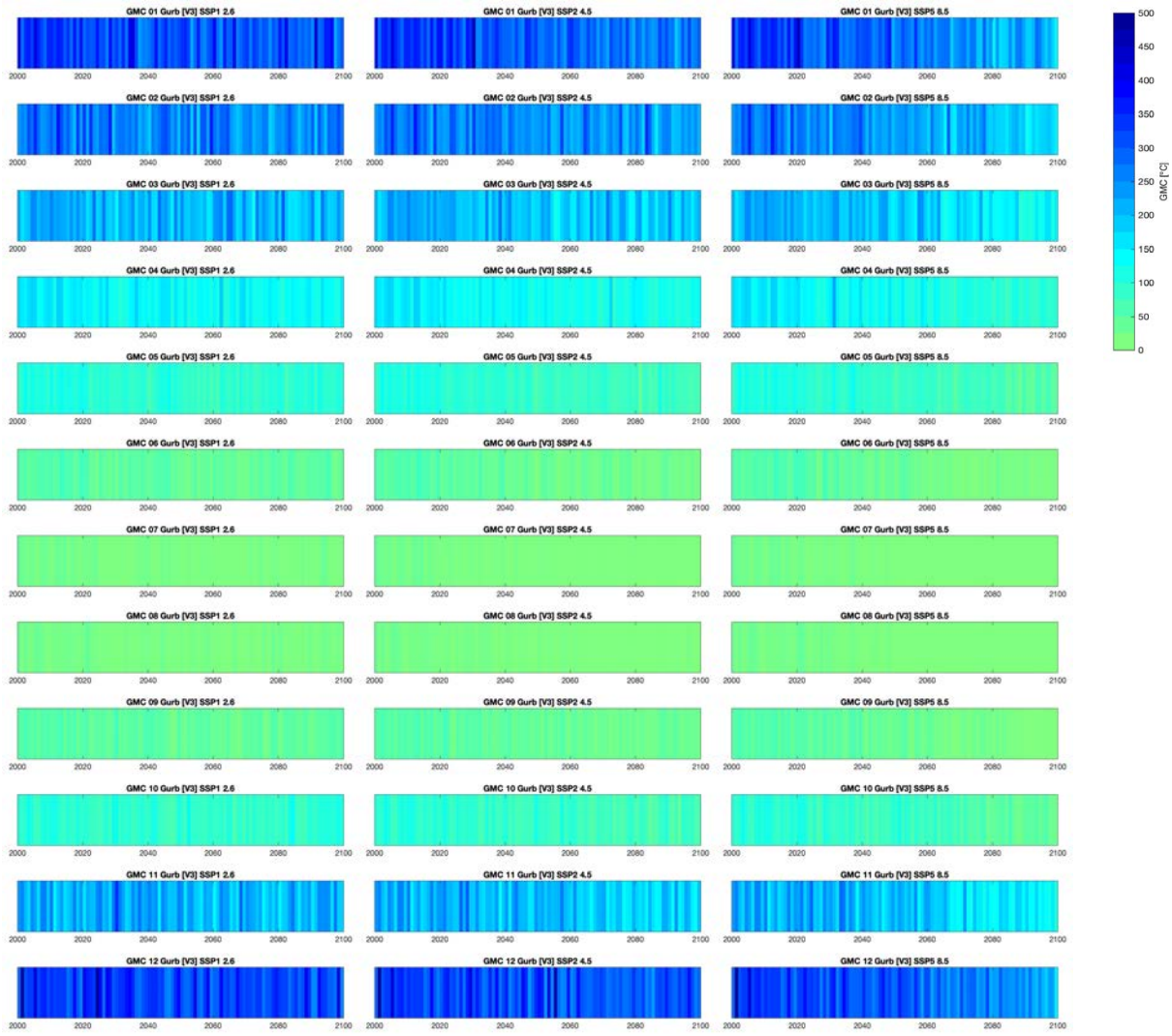

Figura A.249: Evolució dels graus-mes de calefacció (GMC) a l'estació V3- Gurb, per als diferents escenaris [SSP1 2.6, SSP2 4.5 i SSP5 8.5] per al model climàtic AWI-CM.

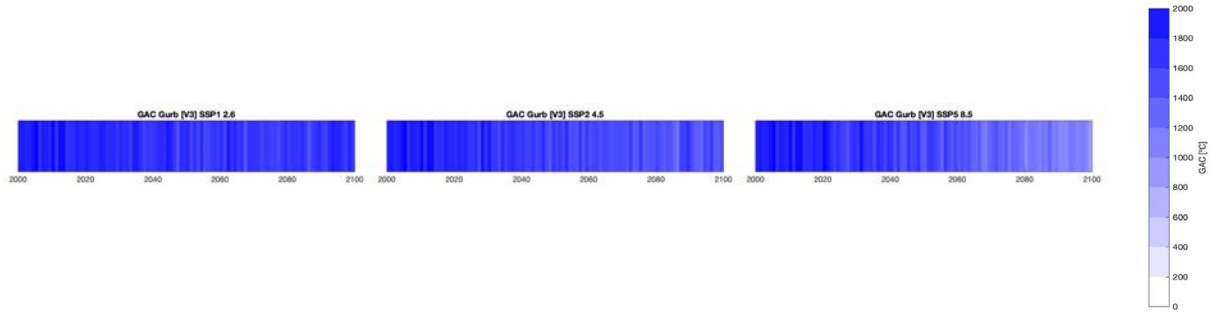

Figura A.250: Evolució dels graus-any de calefacció (GAC) a l'estació V3- Gurb, per als diferents escenaris [SSP1 2.6, SSP2 4.5 i SSP5 8.5] per al model climàtic AWI-CM.

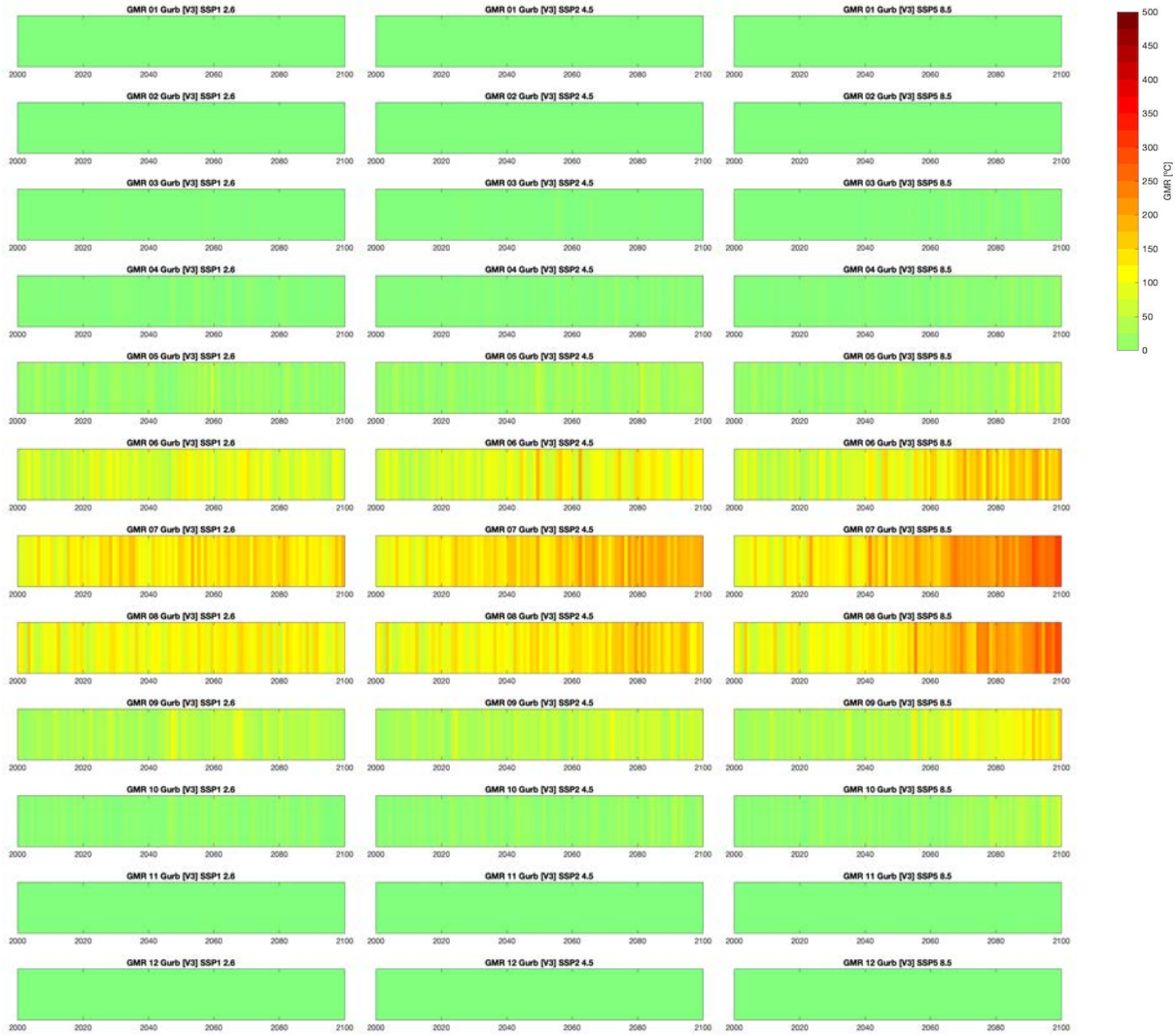

Figura A.251: Evolució dels graus-mes de refrigeració (GMR a l'estació V3- Gurb, per als diferents escenaris [SSP1 2.6, SSP2 4.5 i SSP5 8.5] per al model climàtic AWI-CM.

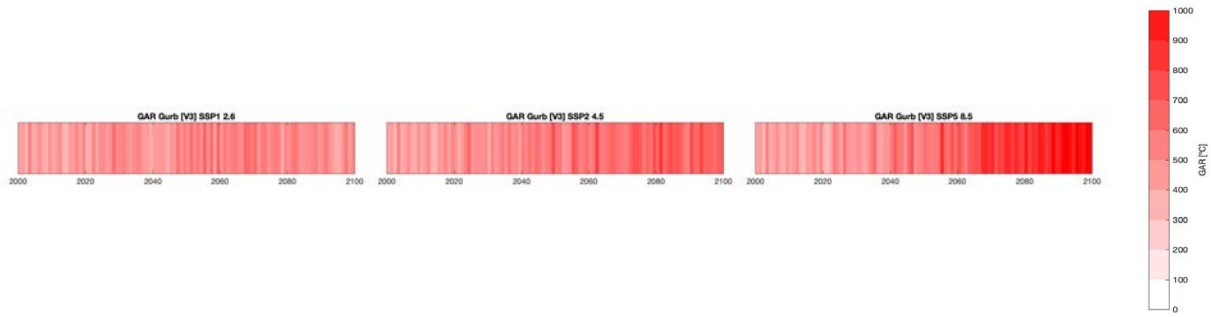

Figura A.252: Evolució dels graus-any de refrigeració (GAR a l'estació V3- Gurb, per als diferents escenaris [SSP1 2.6, SSP2 4.5 i SSP5 8.5] per al model climàtic AWI-CM.

A.1.65 V4 - Montesquiu

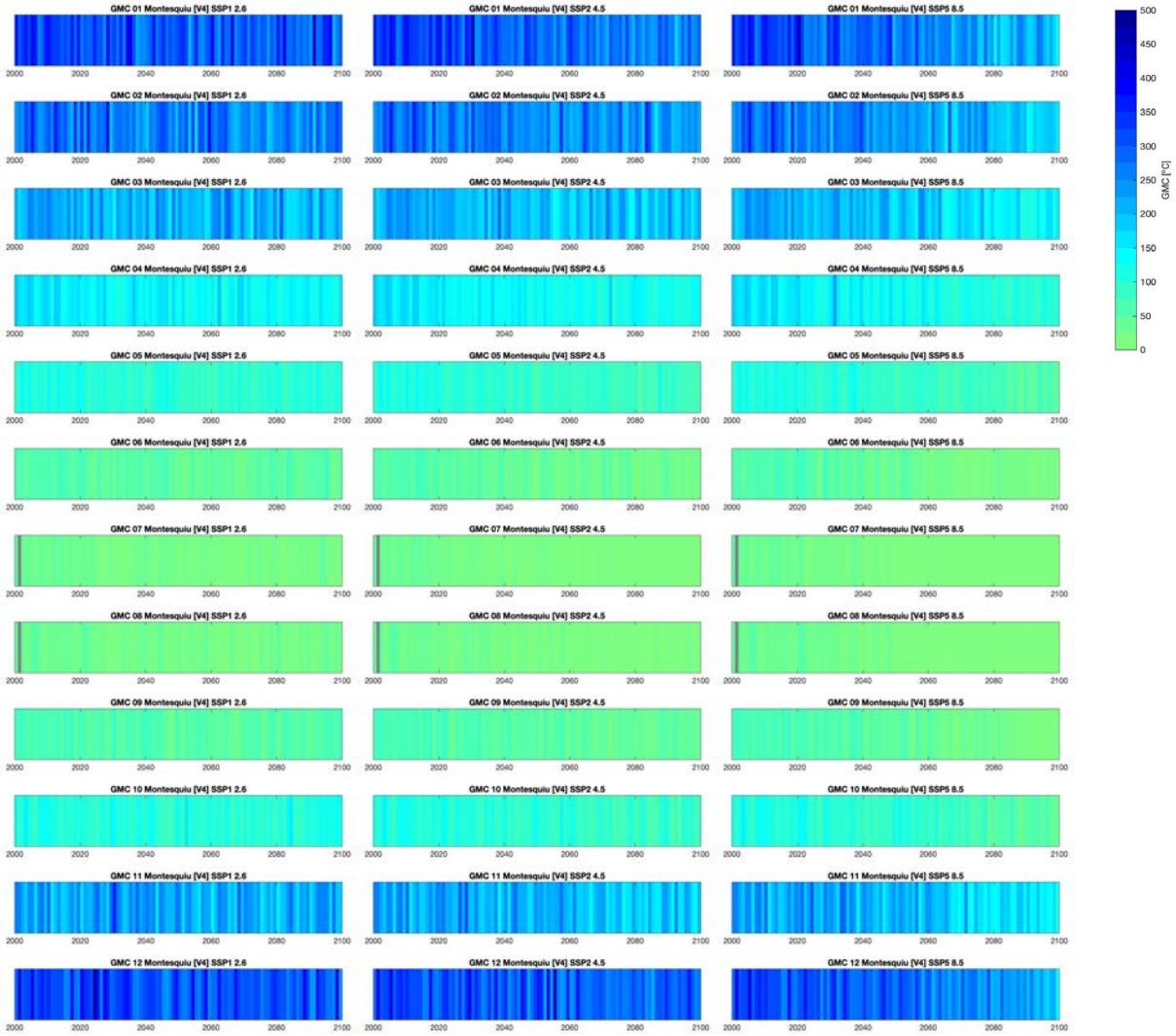

Figura A.253: Evolució dels graus-mes de calefacció (GMC) a l'estació V4- Montesquiu, per als diferents escenaris [SSP1 2.6, SSP2 4.5 i SSP5 8.5] per al model climàtic AWI-CM.

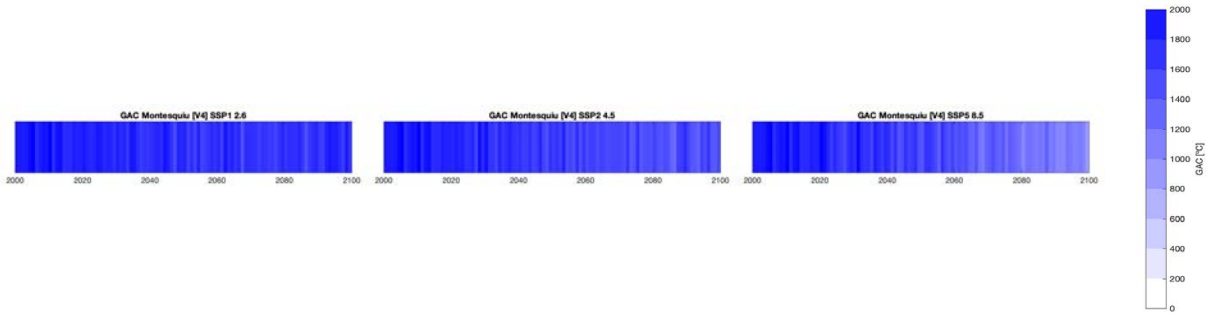

Figura A.254: Evolució dels graus-any de calefacció (GAC) a l'estació V4- Montesquiu, per als diferents escenaris [SSP1 2.6, SSP2 4.5 i SSP5 8.5] per al model climàtic AWI-CM.

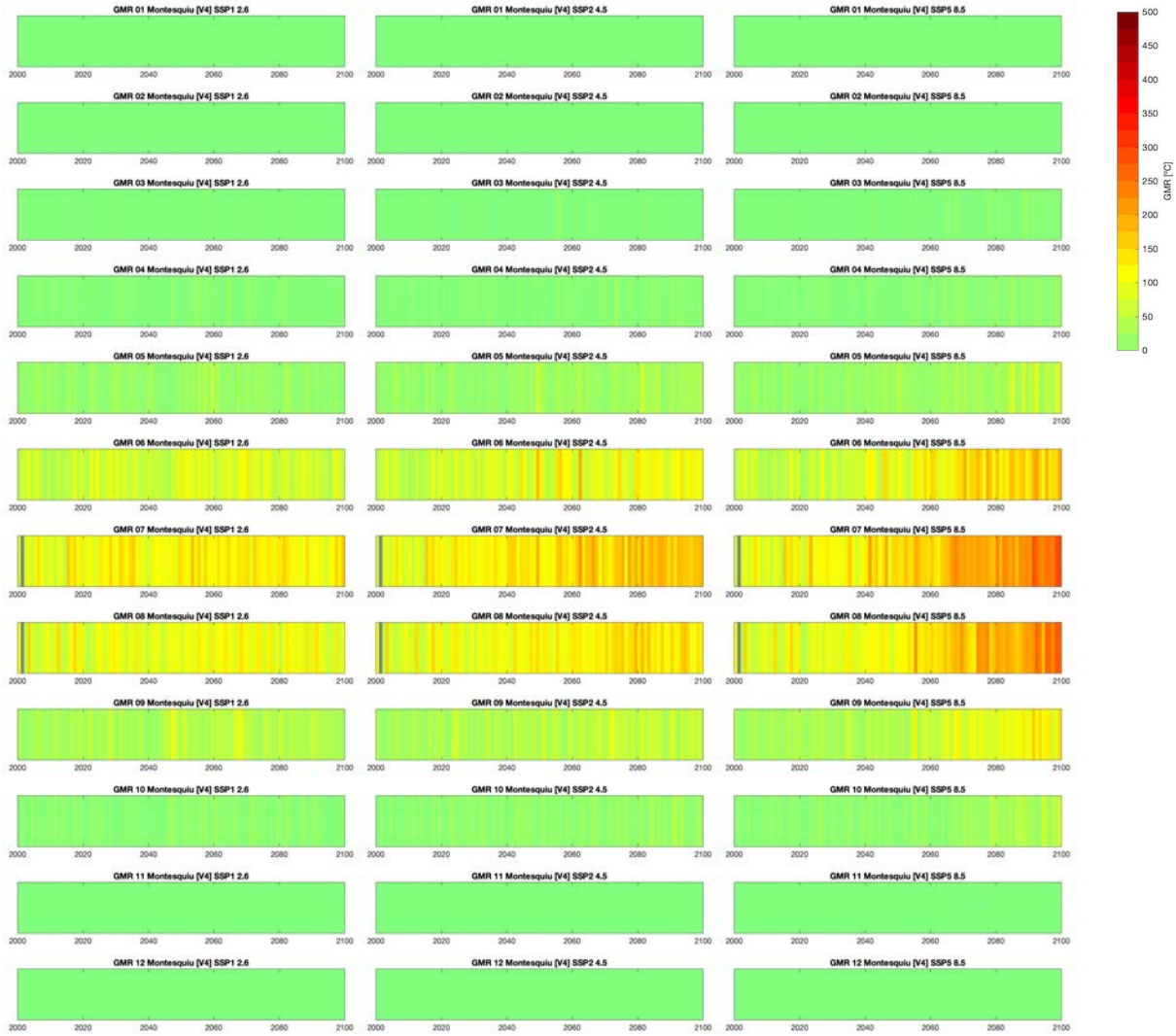

Figura A.255: Evolució dels graus-mes de refrigeració (GMR a l'estació V4- Montesquiu, per als diferents escenaris [SSP1 2.6, SSP2 4.5 i SSP5 8.5] per al model climàtic AWI-CM.

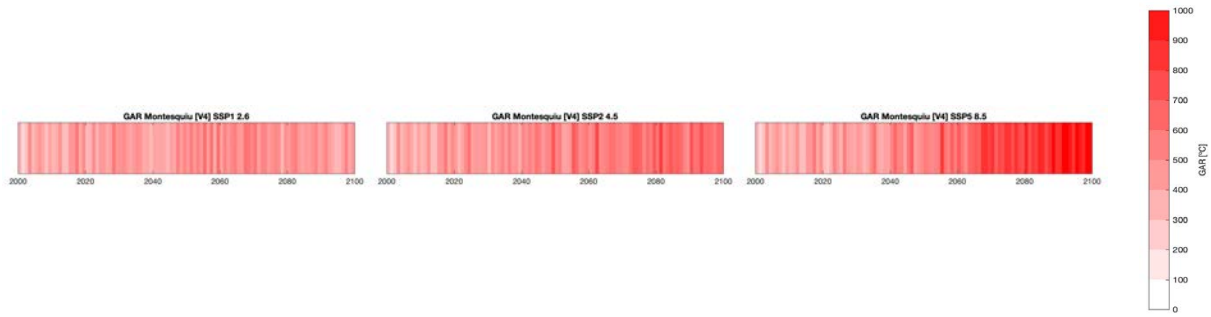

Figura A.256: Evolució dels graus-any de refrigeració (GAR a l'estació V4- Montesquiu, per als diferents escenaris [SSP1 2.6, SSP2 4.5 i SSP5 8.5] per al model climàtic AWI-CM.

A.1.66 V5 - Perafita

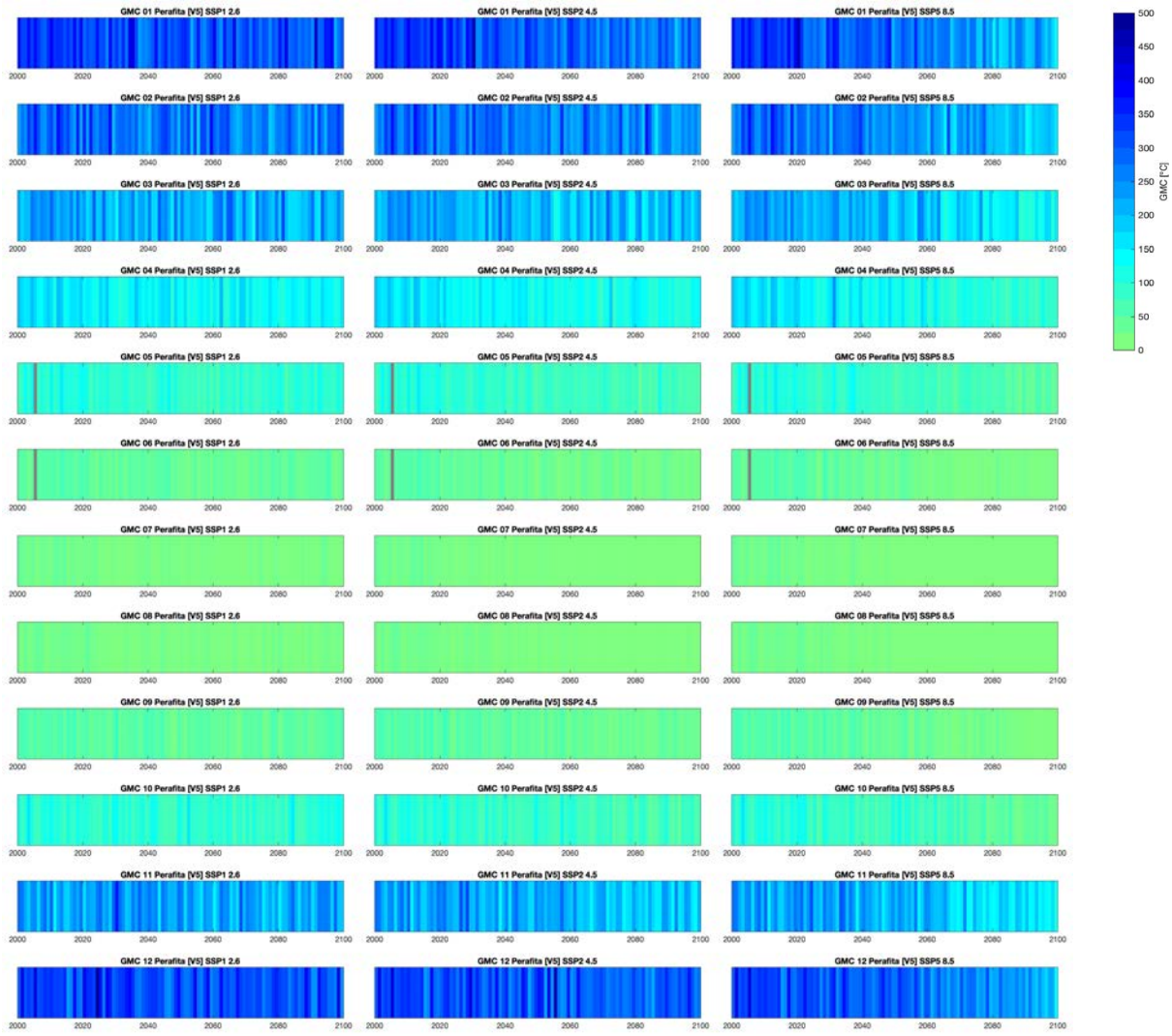

Figura A.257: Evolució dels graus-mes de calefacció (GMC) a l'estació V5- Perafita, per als diferents escenaris [SSP1 2.6, SSP2 4.5 i SSP5 8.5] per al model climàtic AWI-CM.

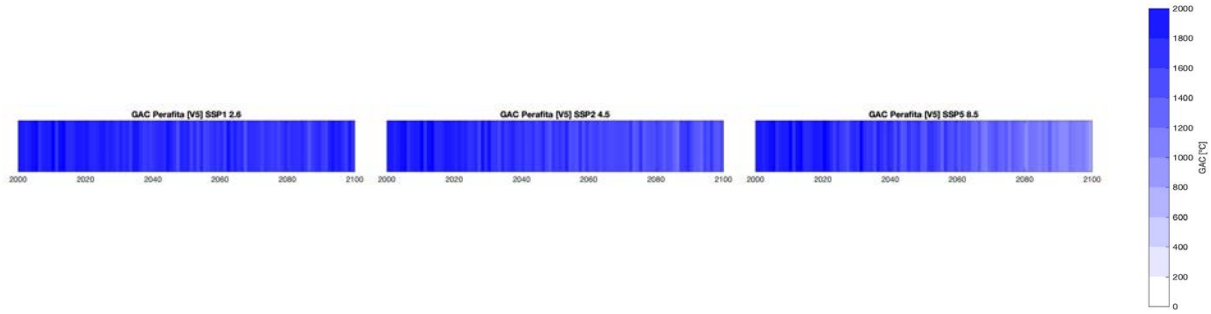

Figura A.258: Evolució dels graus-any de calefacció (GAC) a l'estació V5- Perafita, per als diferents escenaris [SSP1 2.6, SSP2 4.5 i SSP5 8.5] per al model climàtic AWI-CM.

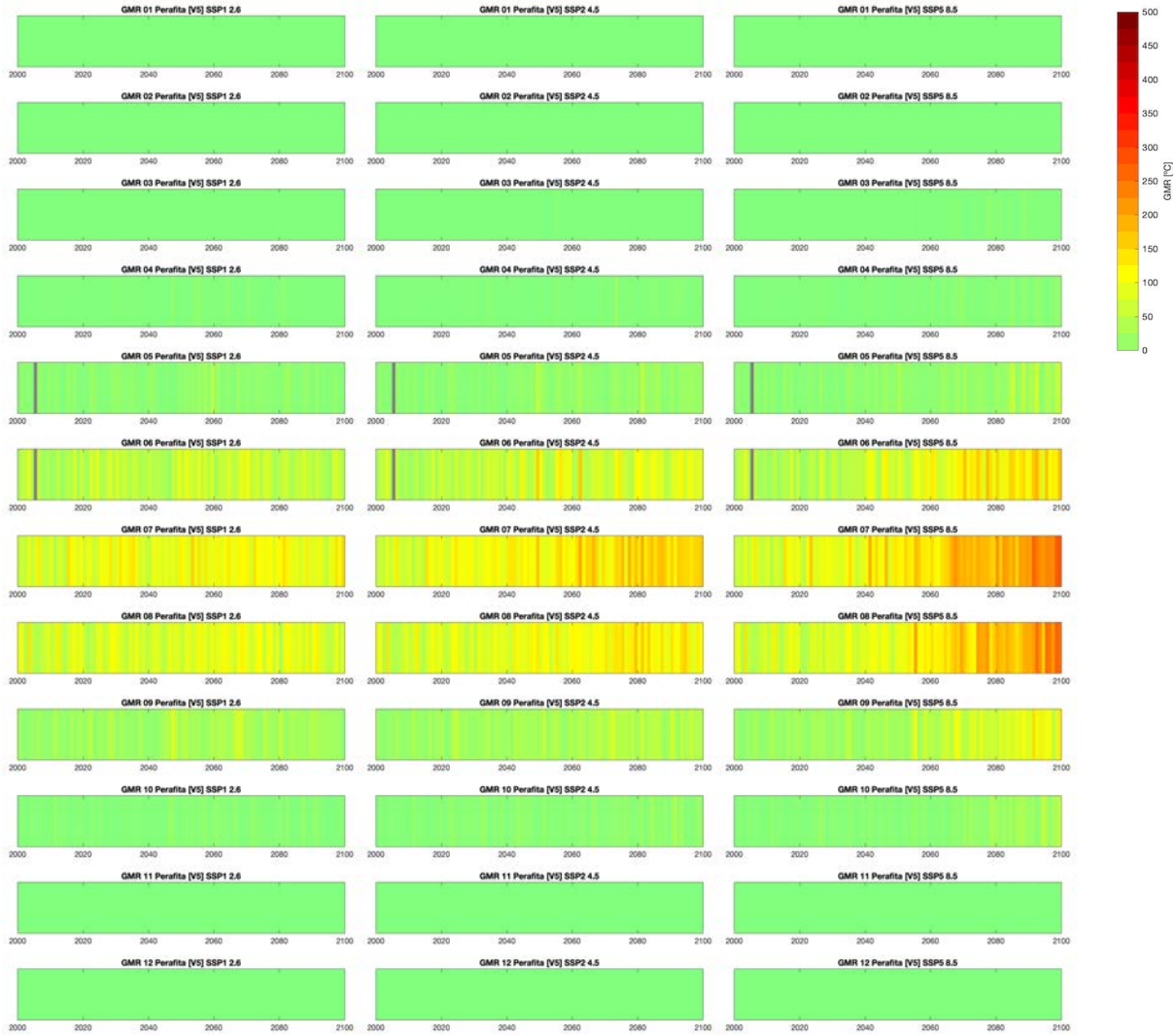

Figura A.259: Evolució dels graus-mes de refrigeració (GMR a l'estació V5- Perafita, per als diferents escenaris [SSP1 2.6, SSP2 4.5 i SSP5 8.5] per al model climàtic AWI-CM.

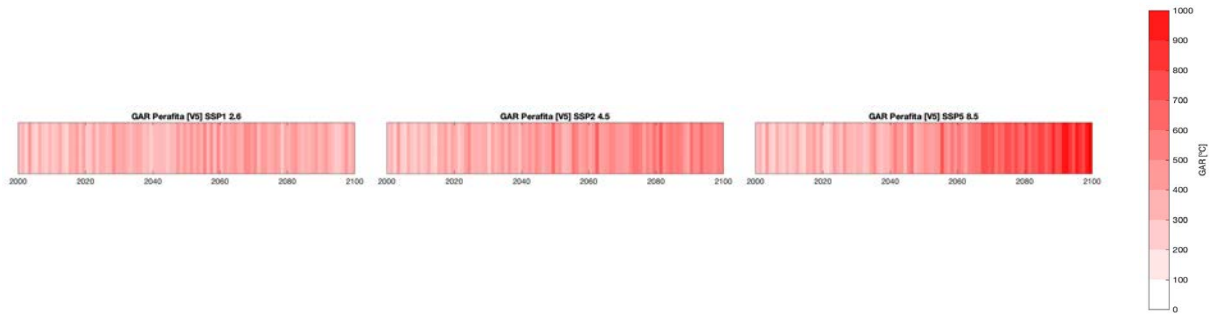

Figura A.260: Evolució dels graus-any de refrigeració (GAR a l'estació V5- Perafita, per als diferents escenaris [SSP1 2.6, SSP2 4.5 i SSP5 8.5] per al model climàtic AWI-CM.

A.1.67 V8 - El Poal

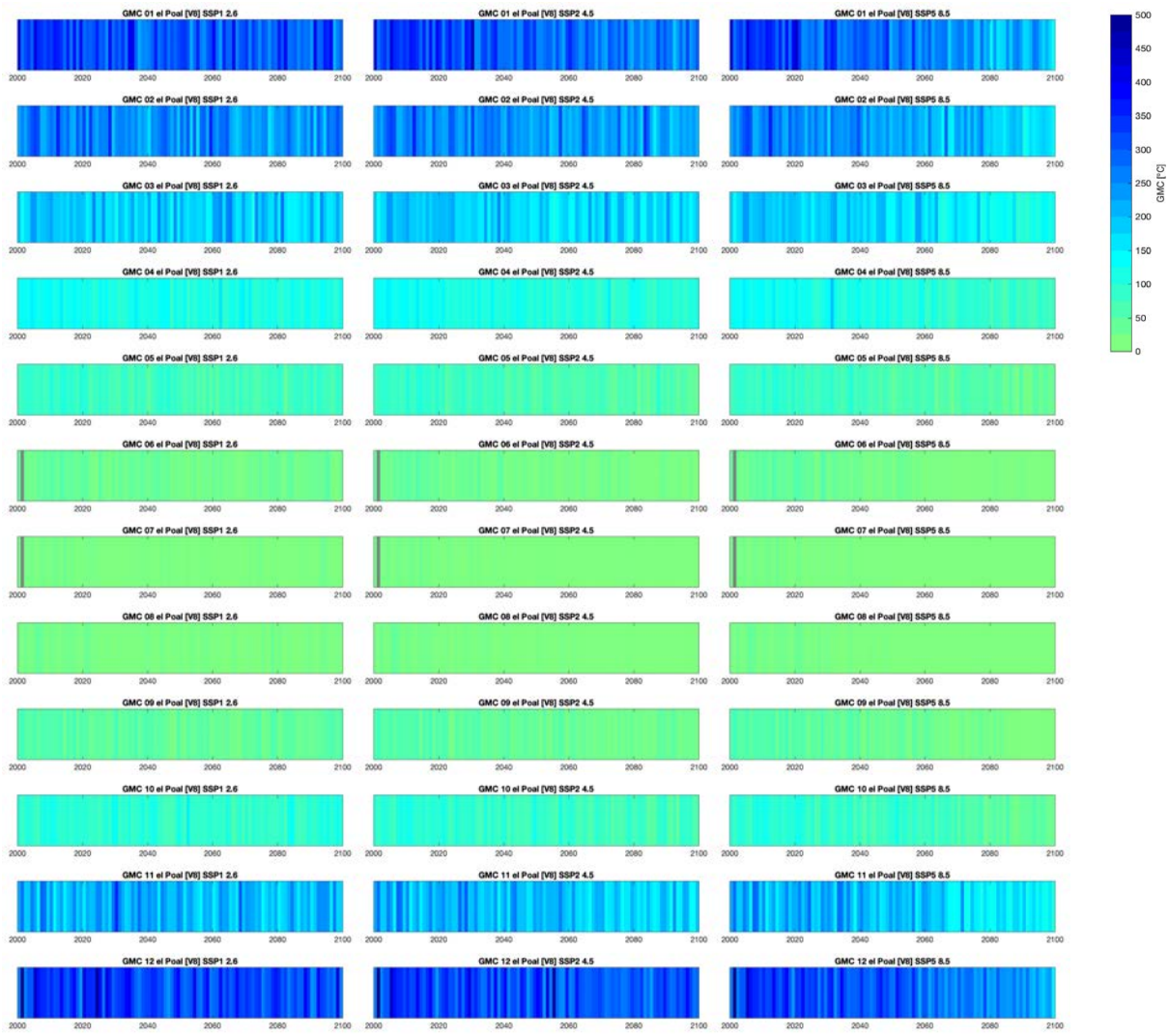

Figura A.261: Evolució dels graus-mes de calefacció (GMC) a l'estació V8- El Poal, per als diferents escenaris [SSP1 2.6, SSP2 4.5 i SSP5 8.5] per al model climàtic AWI-CM.

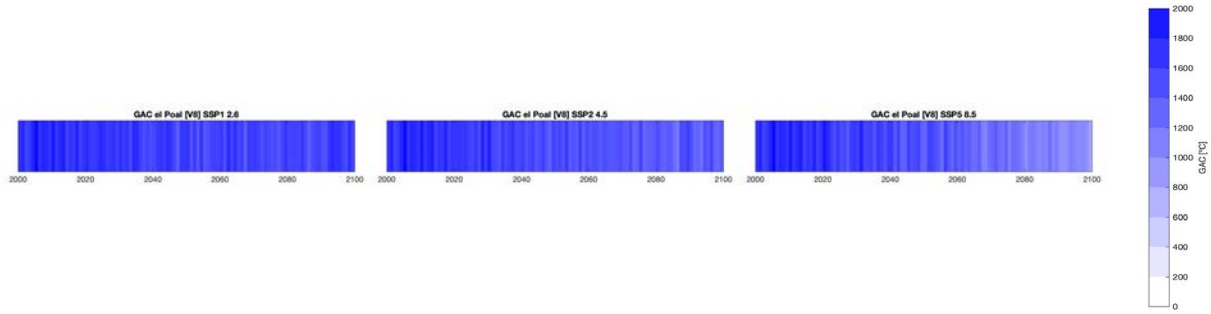

Figura A.262: Evolució dels graus-any de calefacció (GAC) a l'estació V8- El Poal, per als diferents escenaris [SSP1 2.6, SSP2 4.5 i SSP5 8.5] per al model climàtic AWI-CM.

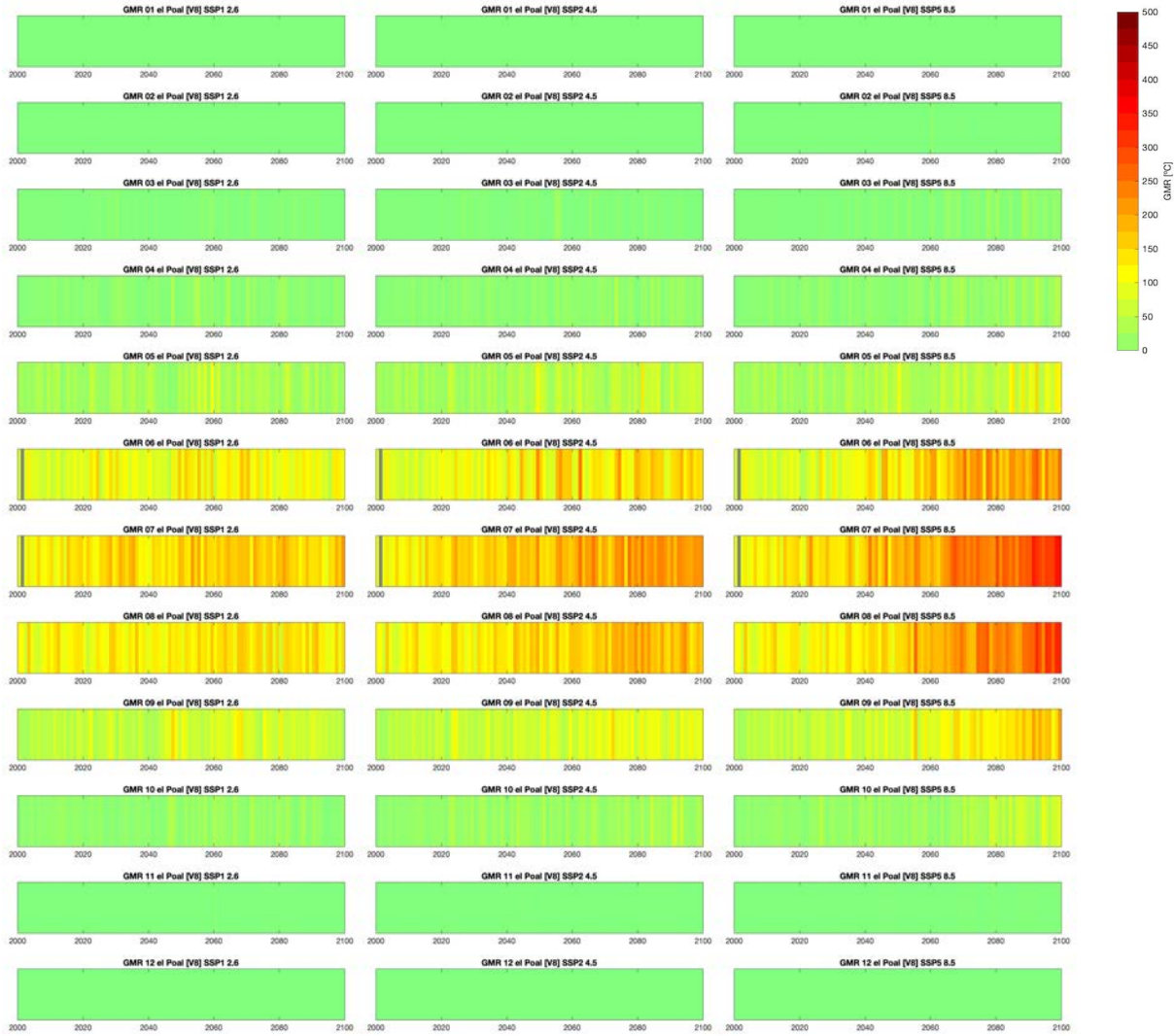

Figura A.263: Evolució dels graus-mes de refrigeració (GMR a l'estació V8- El Poal, per als diferents escenaris [SSP1 2.6, SSP2 4.5 i SSP5 8.5] per al model climàtic AWI-CM.

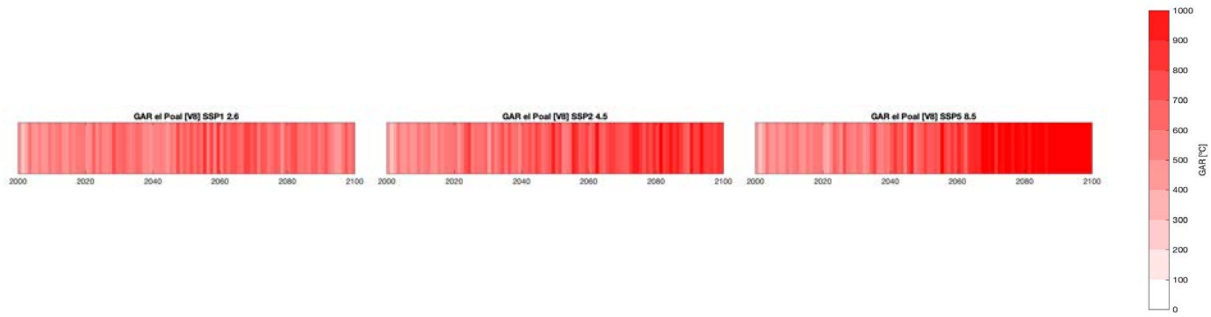

Figura A.264: Evolució dels graus-any de refrigeració (GAR a l'estació V8- El Poal, per als diferents escenaris [SSP1 2.6, SSP2 4.5 i SSP5 8.5] per al model climàtic AWI-CM.

A.1.68 VA - Ascó

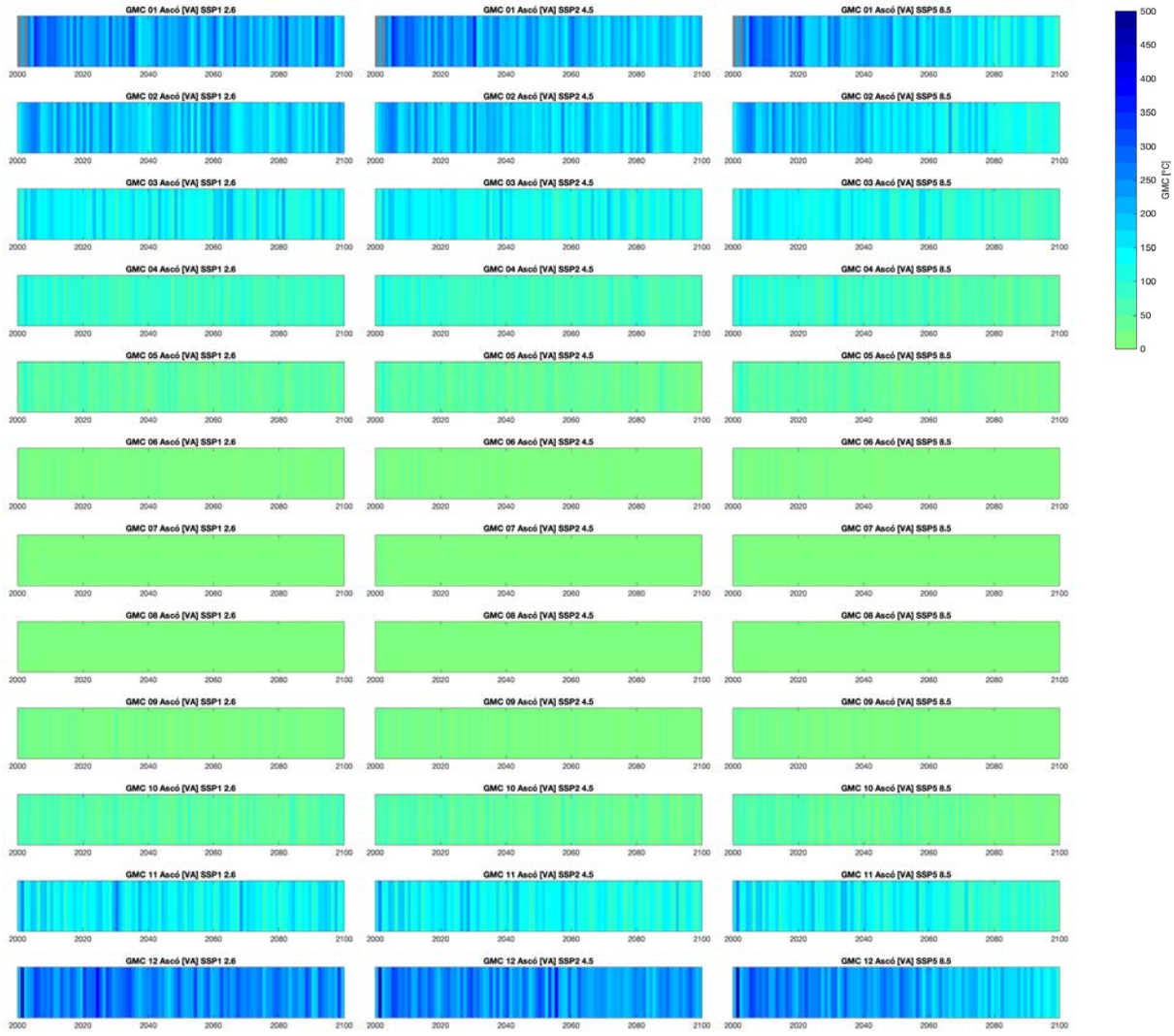

Figura A.265: Evolució dels graus-mes de calefacció (GMC) a l'estació VA- Ascó, per als diferents escenaris [SSP1 2.6, SSP2 4.5 i SSP5 8.5] per al model climàtic AWI-CM.

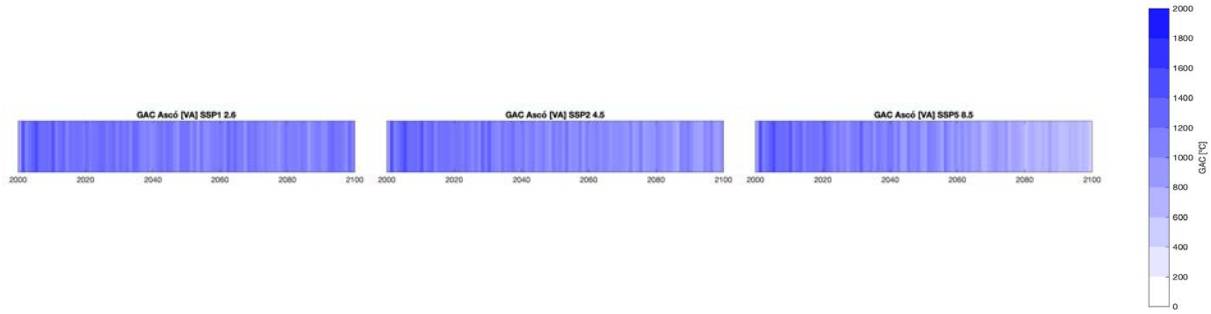

Figura A.266: Evolució dels graus-any de calefacció (GAC) a l'estació VA- Ascó, per als diferents escenaris [SSP1 2.6, SSP2 4.5 i SSP5 8.5] per al model climàtic AWI-CM.

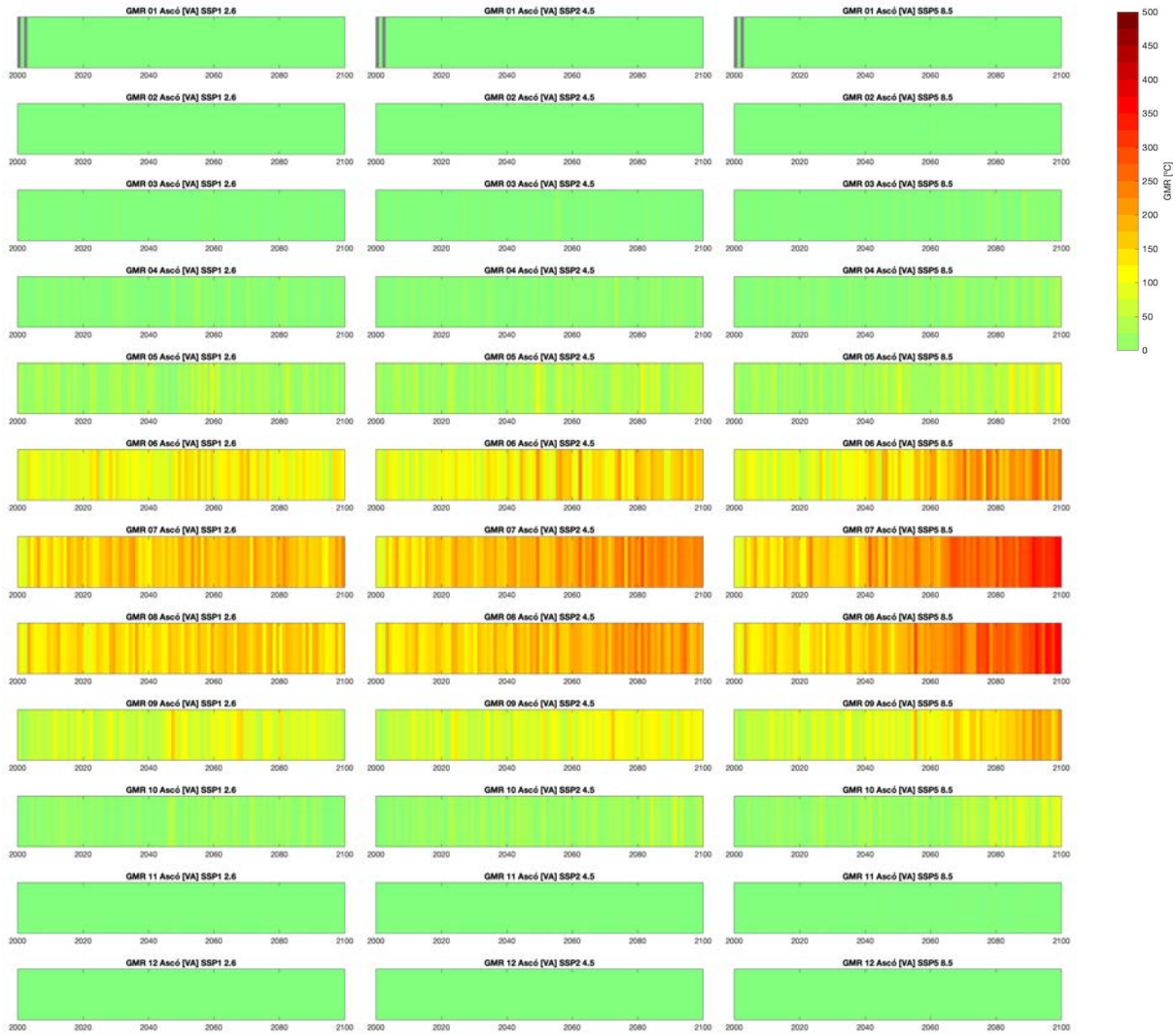

Figura A.267: Evolució dels graus-mes de refrigeració (GMR a l'estació VA- Ascó, per als diferents escenaris [SSP1 2.6, SSP2 4.5 i SSP5 8.5] per al model climàtic AWI-CM.

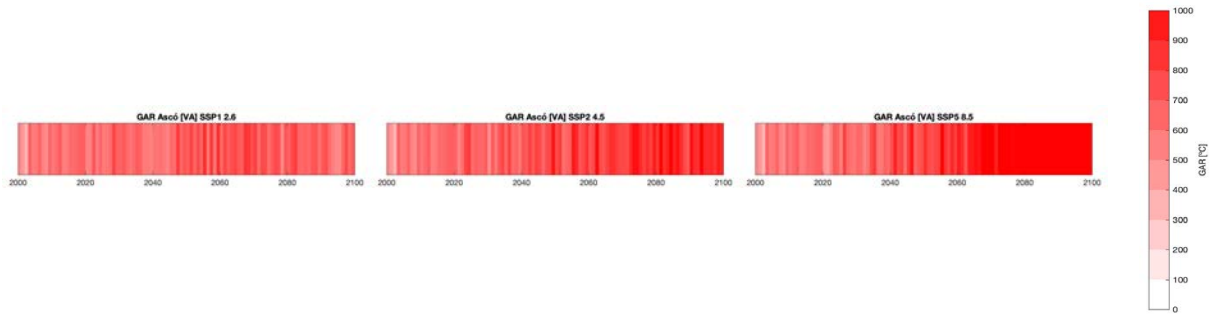

Figura A.268: Evolució dels graus-any de refrigeració (GAR a l'estació VA- Ascó, per als diferents escenaris [SSP1 2.6, SSP2 4.5 i SSP5 8.5] per al model climàtic AWI-CM.

A.1.69 VB - Benissanet

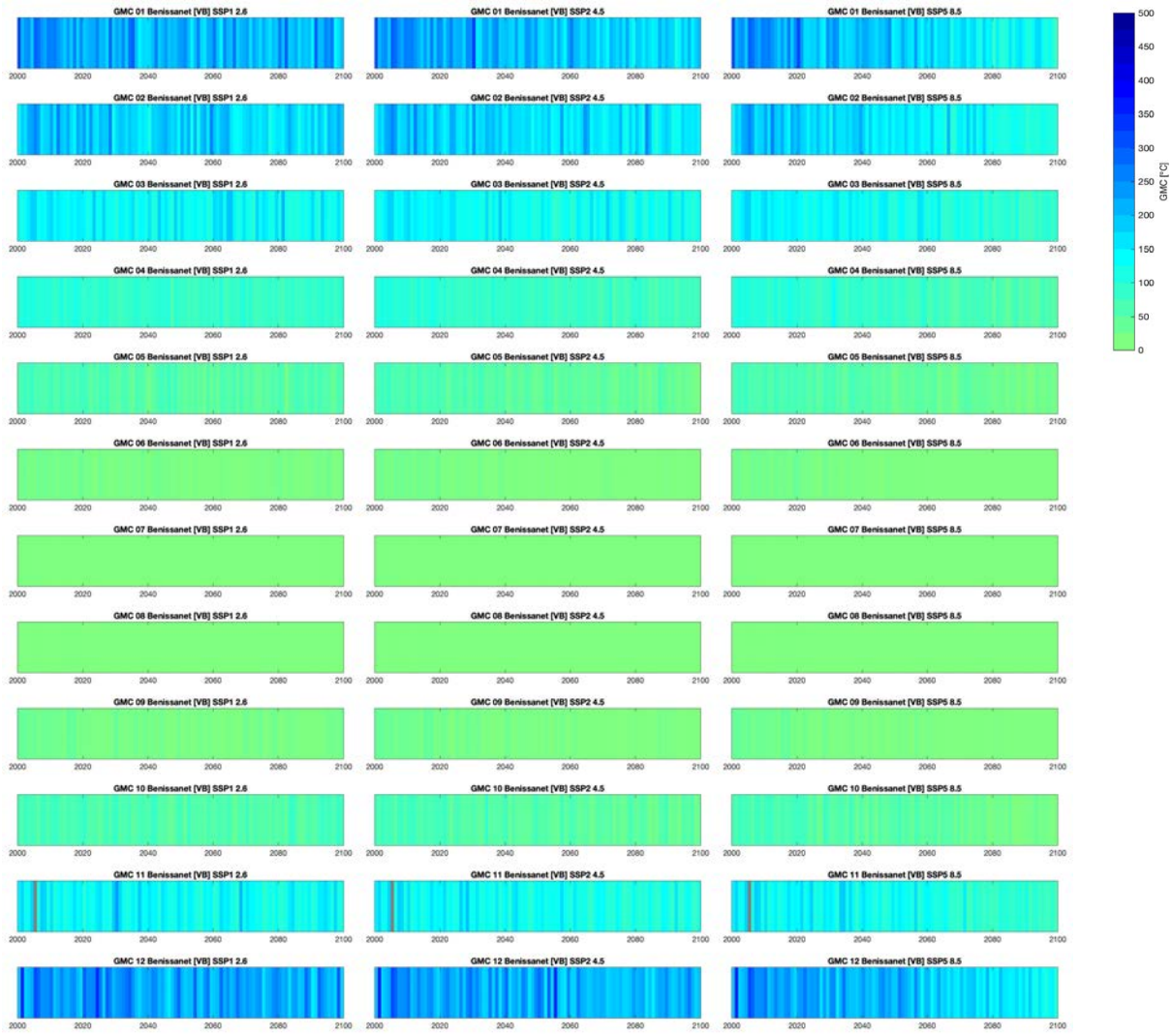

Figura A.269: Evolució dels graus-mes de calefacció (GMC) a l'estació VB- Benissanet, per als diferents escenaris [SSP1 2.6, SSP2 4.5 i SSP5 8.5] per al model climàtic AWI-CM.

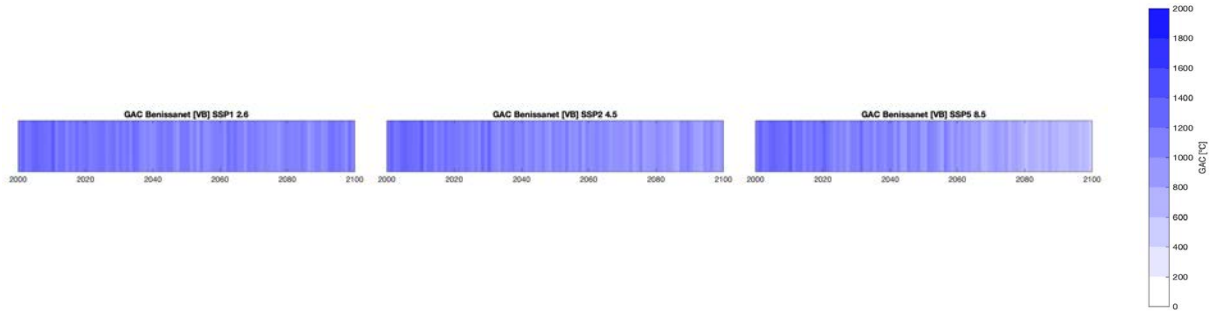

Figura A.270: Evolució dels graus-any de calefacció (GAC) a l'estació VB- Benissanet, per als diferents escenaris [SSP1 2.6, SSP2 4.5 i SSP5 8.5] per al model climàtic AWI-CM.

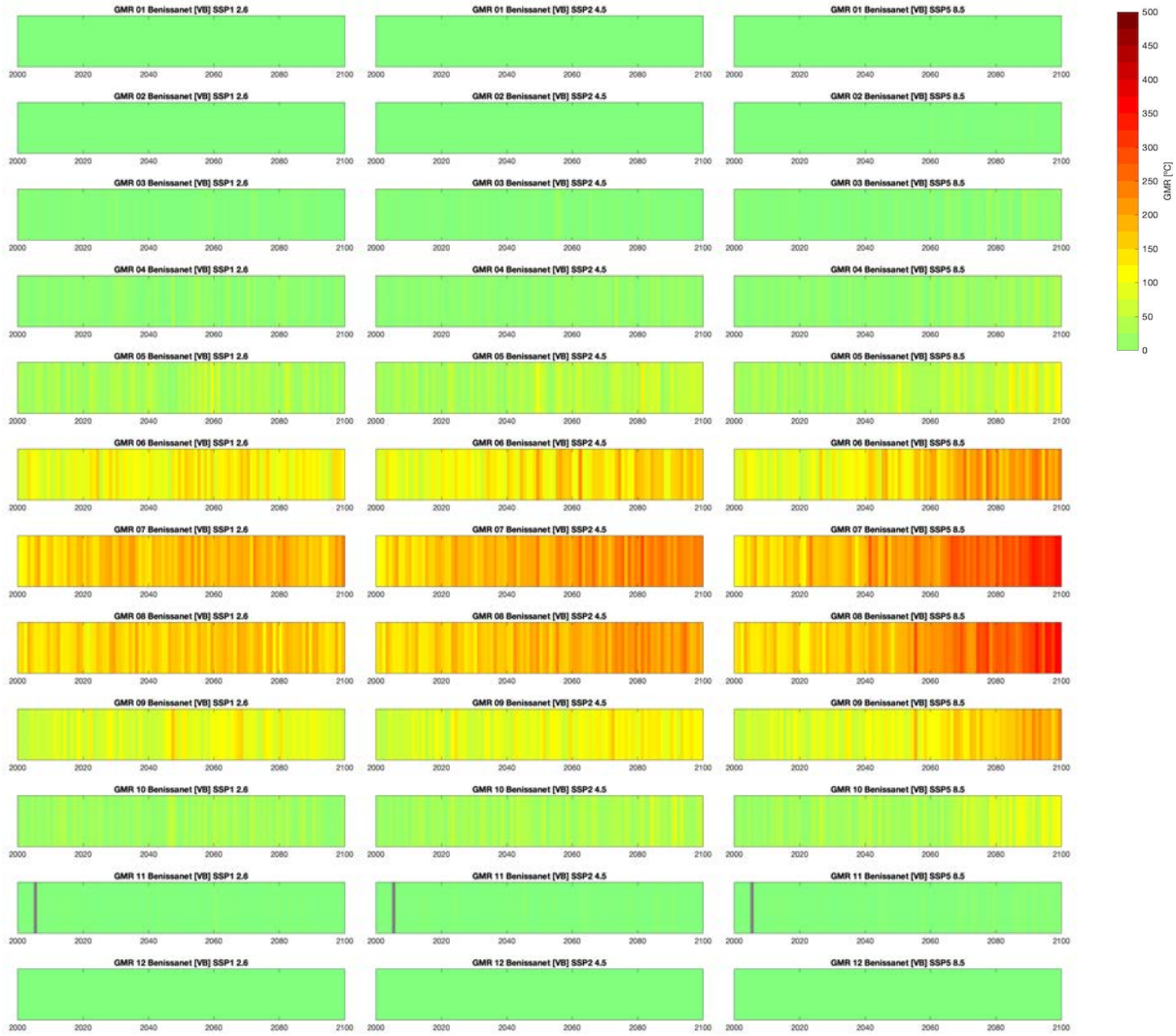

Figura A.271: Evolució dels graus-mes de refrigeració (GMR a l'estació VB- Benissanet, per als diferents escenaris [SSP1 2.6, SSP2 4.5 i SSP5 8.5] per al model climàtic AWI-CM.

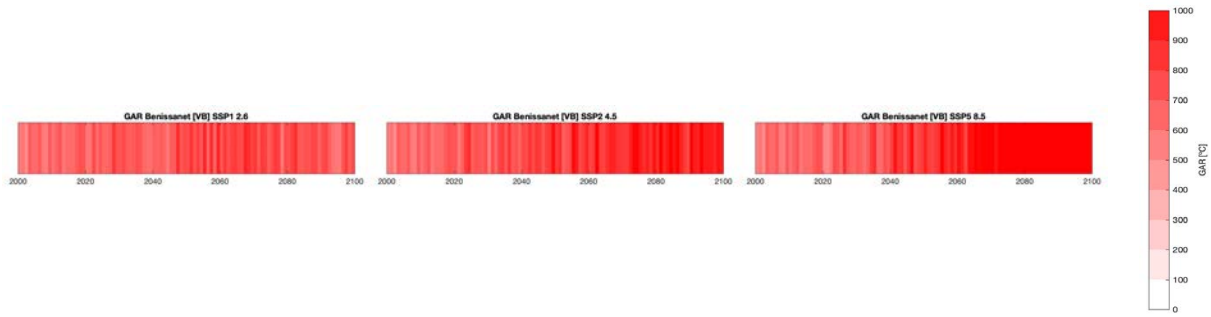

Figura A.272: Evolució dels graus-any de refrigeració (GAR a l'estació VB- Benissanet, per als diferents escenaris [SSP1 2.6, SSP2 4.5 i SSP5 8.5] per al model climàtic AWI-CM.

A.1.70 VC - Pantà de Riba-roja

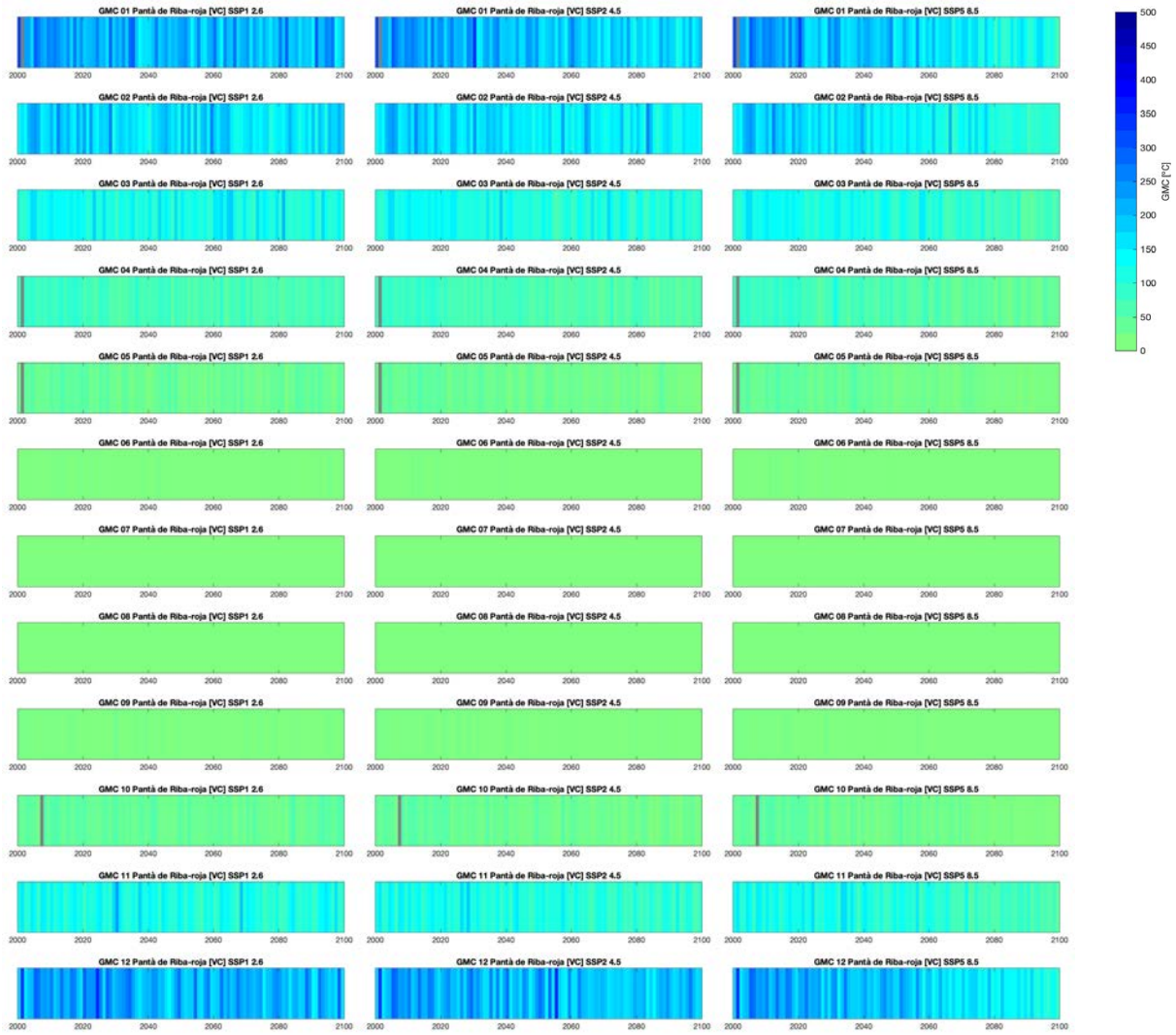

Figura A.273: Evolució dels graus-mes de calefacció (GMC) a l'estació VC- Pantà de Riba-roja, per als diferents escenaris [SSP1 2.6, SSP2 4.5 i SSP5 8.5] per al model climàtic AWI-CM.

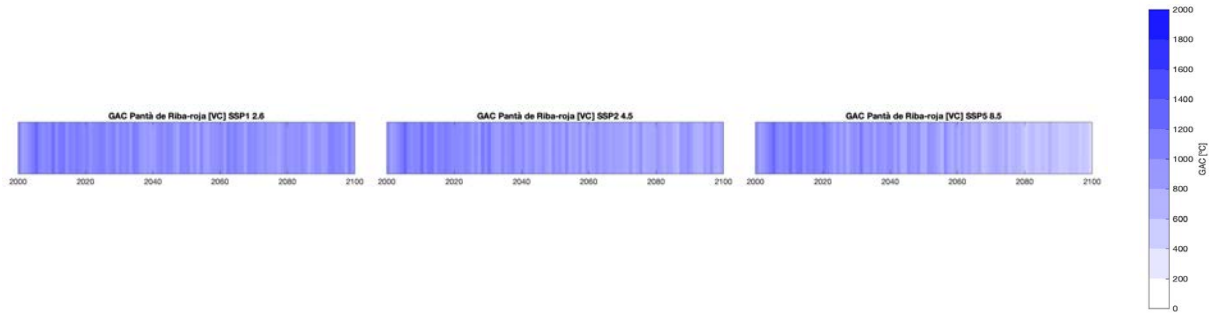

Figura A.274: Evolució dels graus-any de calefacció (GAC) a l'estació VC- Pantà de Riba-roja, per als diferents escenaris [SSP1 2.6, SSP2 4.5 i SSP5 8.5] per al model climàtic AWI-CM.

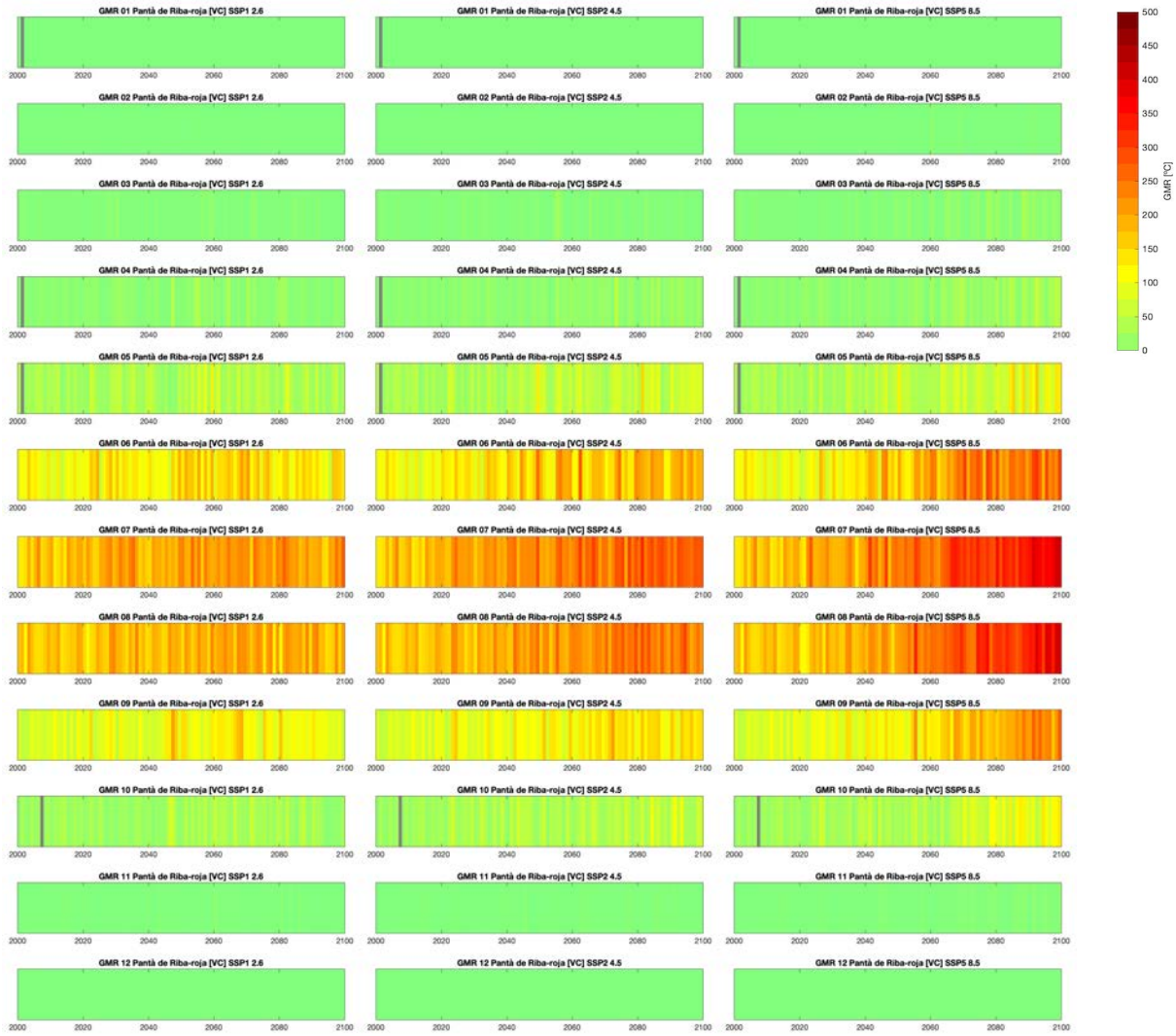

Figura A.275: Evolució dels graus-mes de refrigeració (GMR a l'estació VC- Pantà de Riba-roja, per als diferents escenaris [SSP1 2.6, SSP2 4.5 i SSP5 8.5] per al model climàtic AWI-CM.

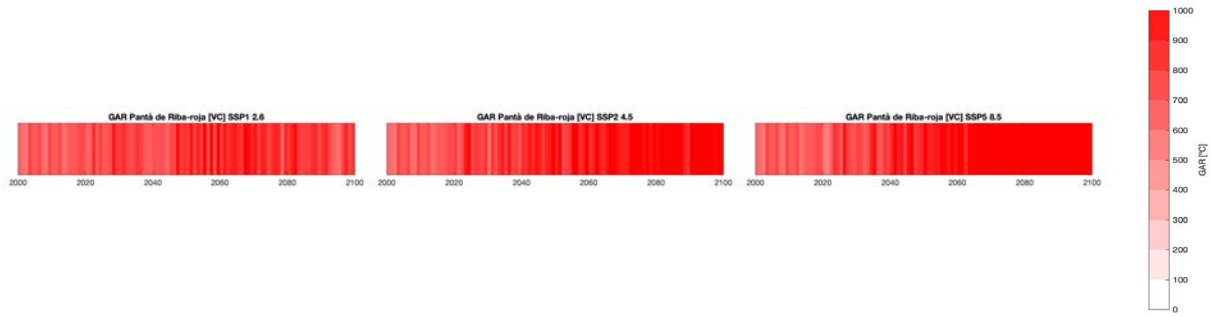

Figura A.276: Evolució dels graus-any de refrigeració (GAR a l'estació VC- Pantà de Riba-roja, per als diferents escenaris [SSP1 2.6, SSP2 4.5 i SSP5 8.5] per al model climàtic AWI-CM.

A.1.71 VD - El Canós

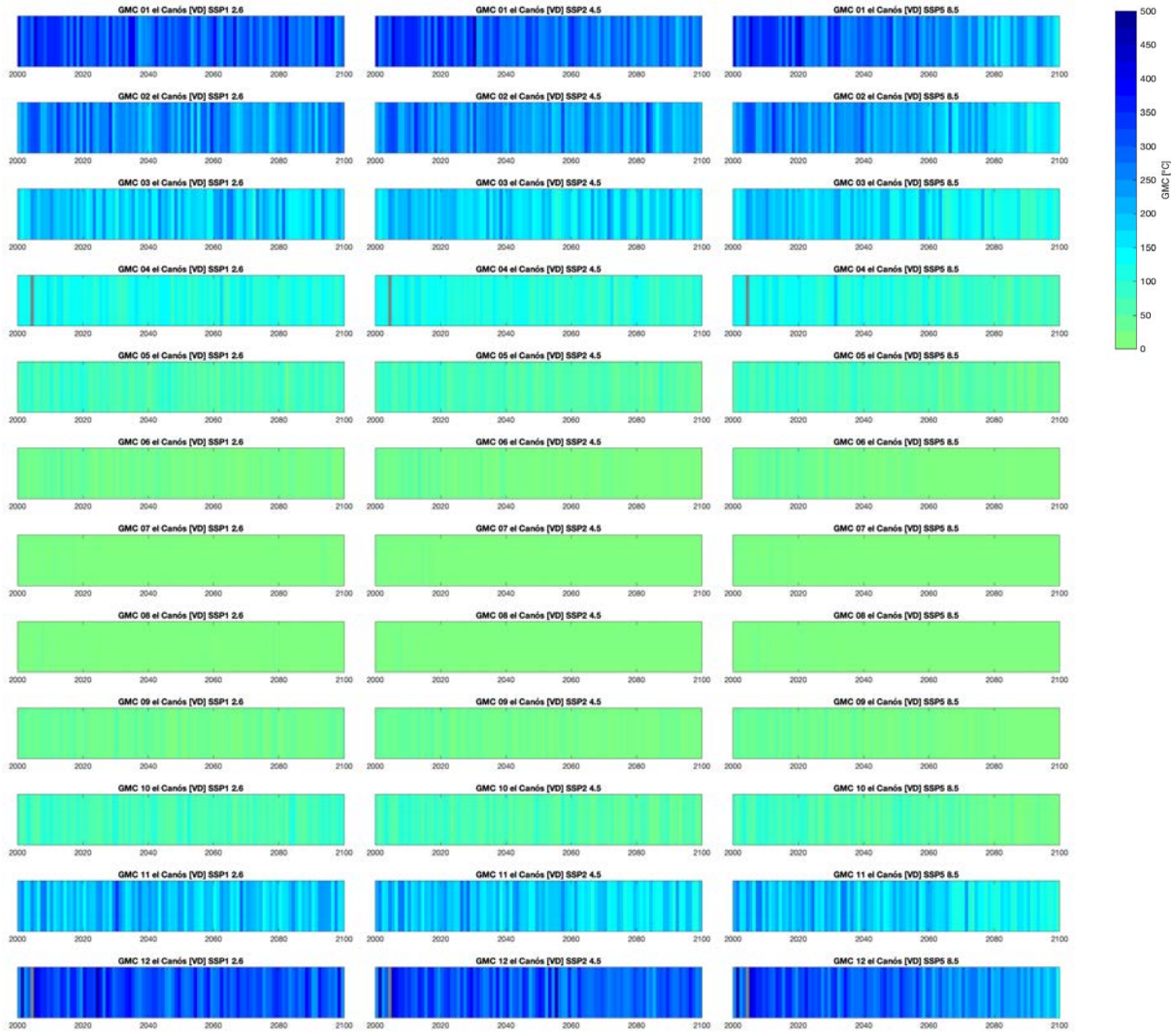

Figura A.277: Evolució dels graus-mes de calefacció (GMC) a l'estació VD- El Canós, per als diferents escenaris [SSP1 2.6, SSP2 4.5 i SSP5 8.5] per al model climàtic AWI-CM.

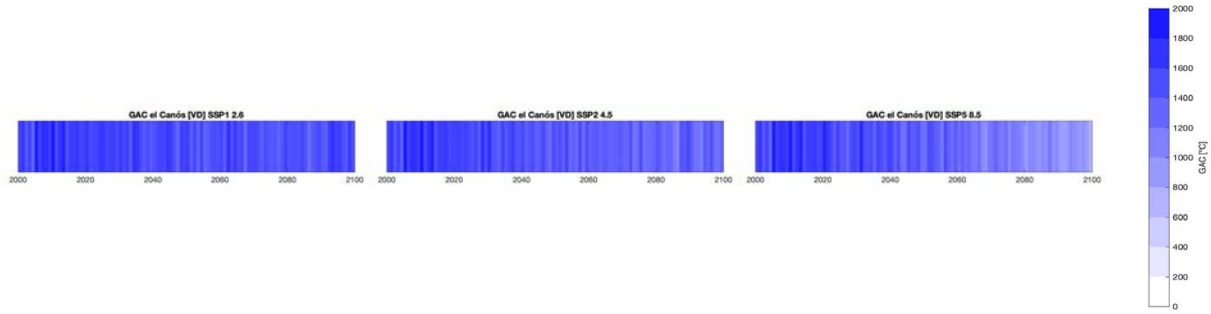

Figura A.278: Evolució dels graus-any de calefacció (GAC) a l'estació VD- El Canós, per als diferents escenaris [SSP1 2.6, SSP2 4.5 i SSP5 8.5] per al model climàtic AWI-CM.

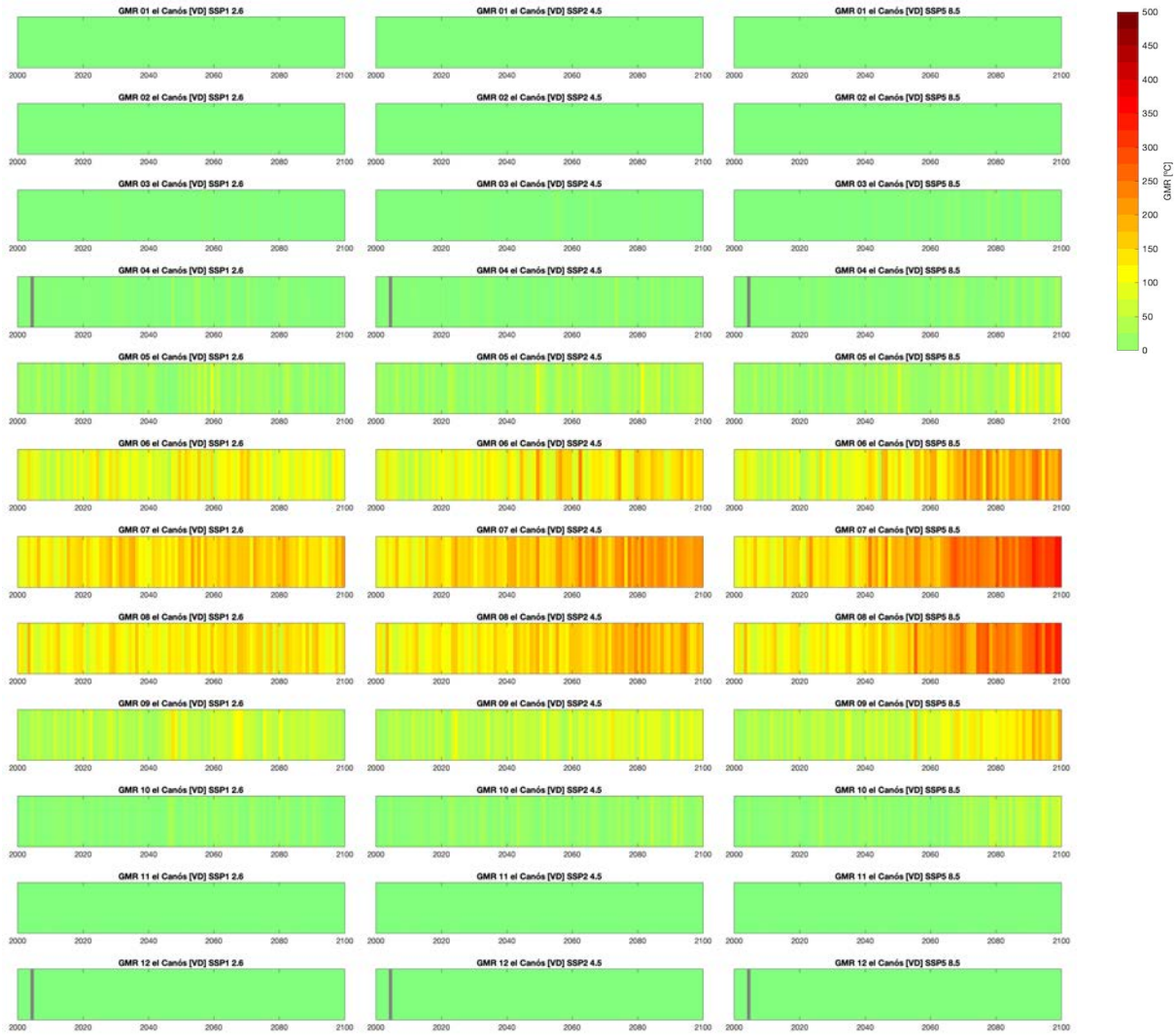

Figura A.279: Evolució dels graus-mes de refrigeració (GMR a l'estació VD- El Canós, per als diferents escenaris [SSP1 2.6, SSP2 4.5 i SSP5 8.5] per al model climàtic AWI-CM.

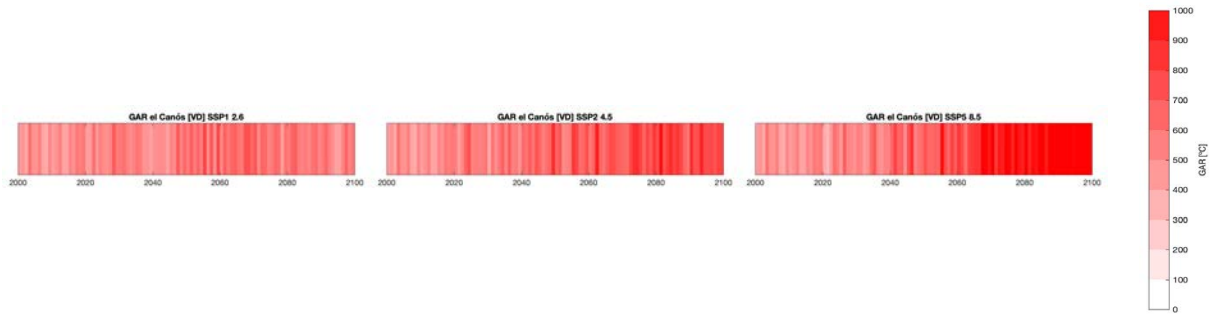

Figura A.280: Evolució dels graus-any de refrigeració (GAR a l'estació VD- El Canós, per als diferents escenaris [SSP1 2.6, SSP2 4.5 i SSP5 8.5] per al model climàtic AWI-CM.

A.1.72 VE - Aitona

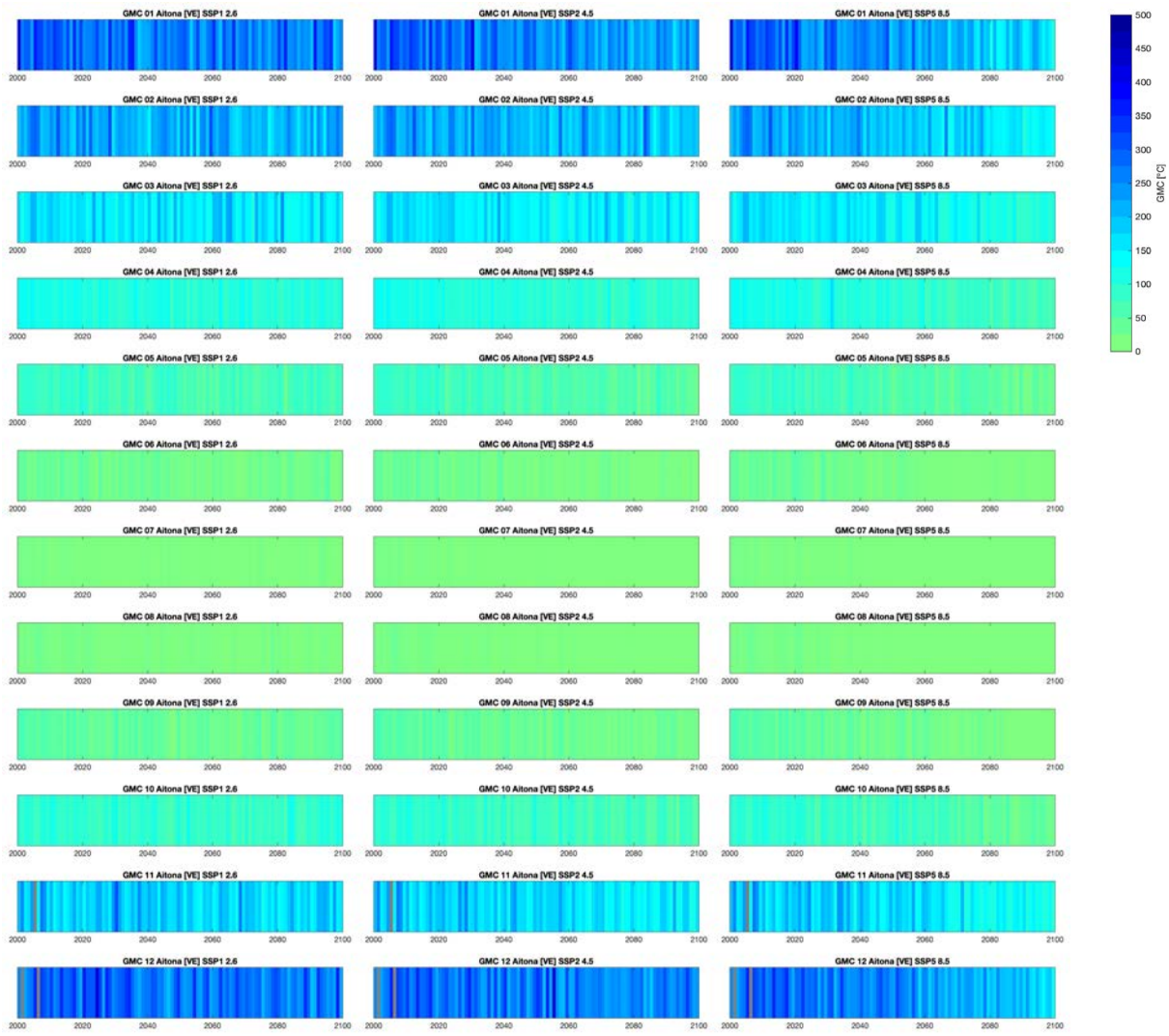

Figura A.281: Evolució dels graus-mes de calefacció (GMC) a l'estació VE- Aitona, per als diferents escenaris [SSP1 2.6, SSP2 4.5 i SSP5 8.5] per al model climàtic AWI-CM.

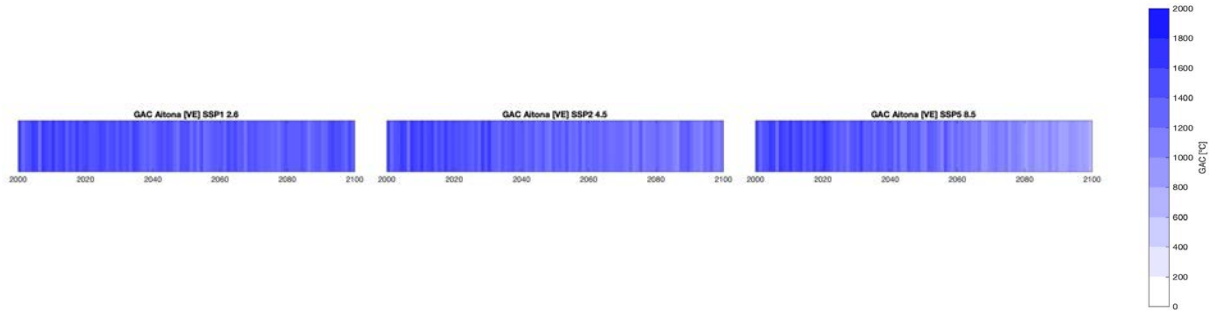

Figura A.282: Evolució dels graus-any de calefacció (GAC) a l'estació VE- Aitona, per als diferents escenaris [SSP1 2.6, SSP2 4.5 i SSP5 8.5] per al model climàtic AWI-CM.

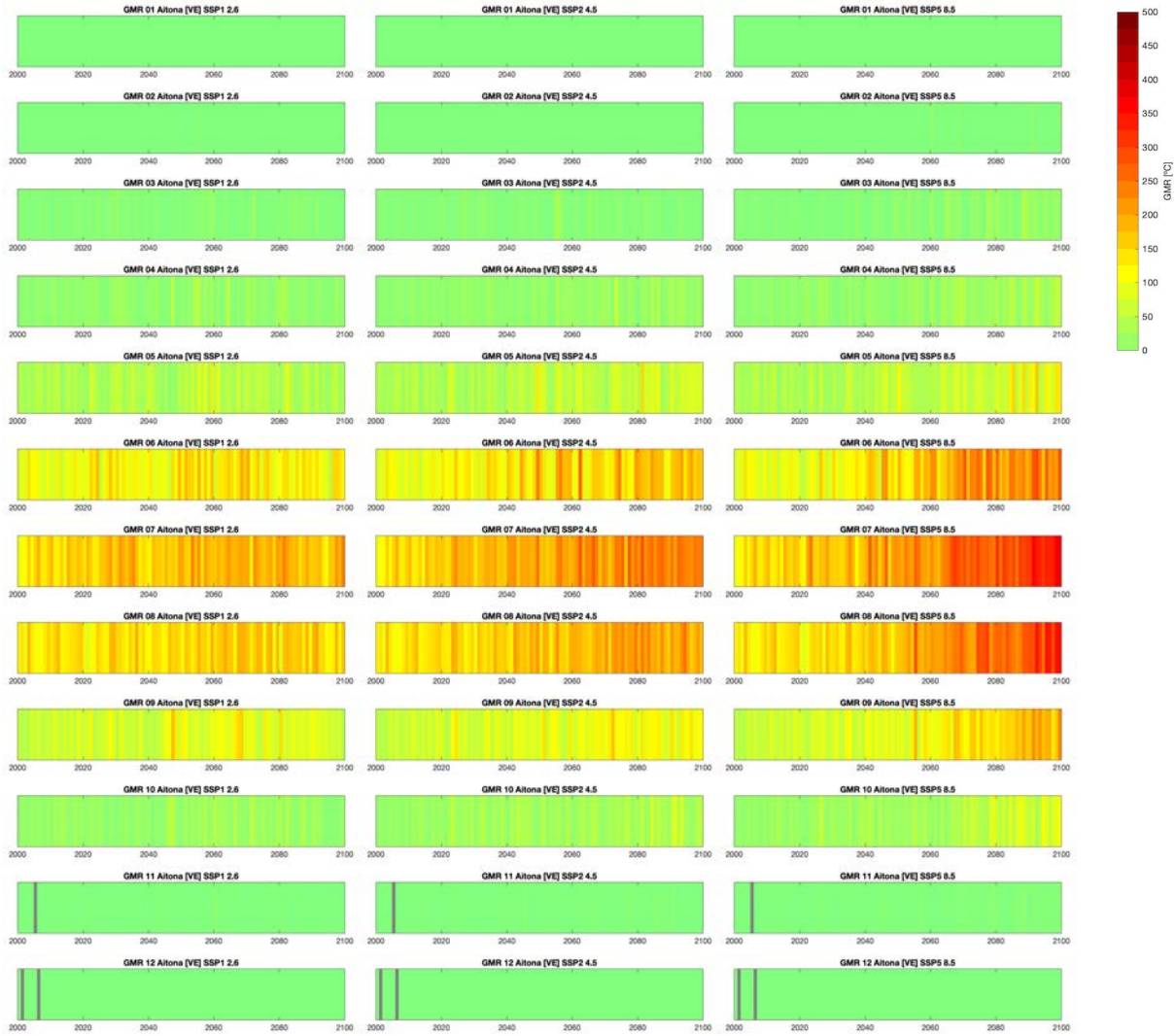

Figura A.283: Evolució dels graus-mes de refrigeració (GMR a l'estació VE- Aitona, per als diferents escenaris [SSP1 2.6, SSP2 4.5 i SSP5 8.5] per al model climàtic AWI-CM.

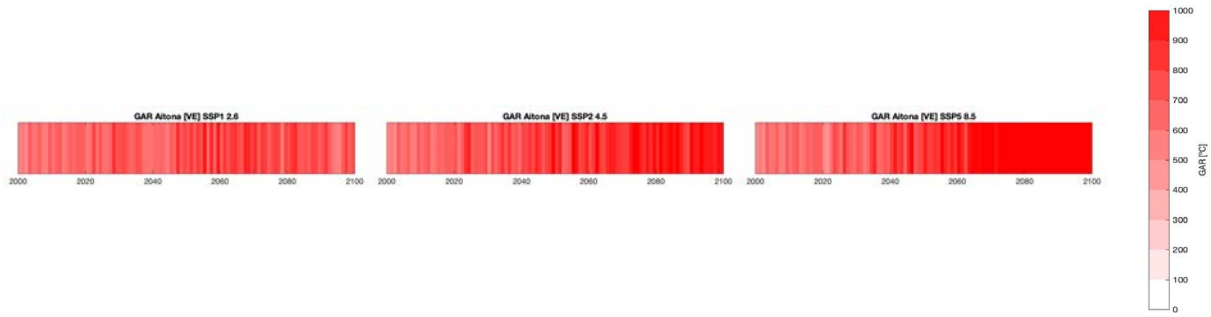

Figura A.284: Evolució dels graus-any de refrigeració (GAR a l'estació VE- Aitona, per als diferents escenaris [SSP1 2.6, SSP2 4.5 i SSP5 8.5] per al model climàtic AWI-CM.

A.1.73 VH - Gimenells

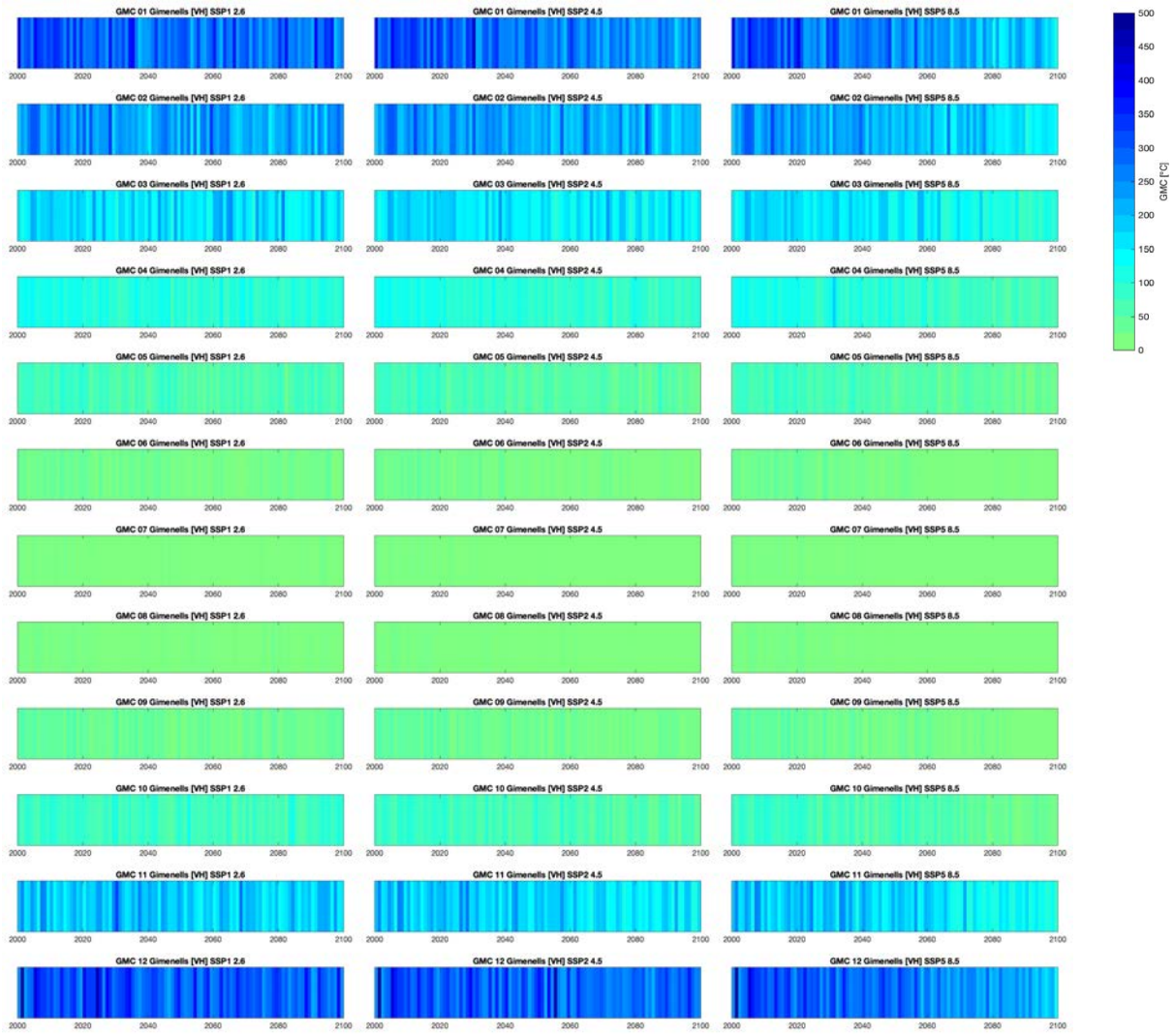

Figura A.285: Evolució dels graus-mes de calefacció (GMC) a l'estació VH- Gimenells, per als diferents escenaris [SSP1 2.6, SSP2 4.5 i SSP5 8.5] per al model climàtic AWI-CM.

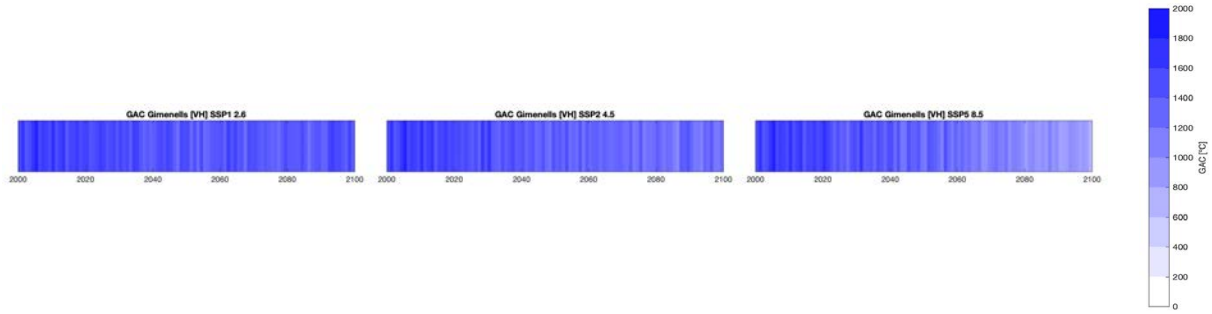

Figura A.286: Evolució dels graus-any de calefacció (GAC) a l'estació VH- Gimenells, per als diferents escenaris [SSP1 2.6, SSP2 4.5 i SSP5 8.5] per al model climàtic AWI-CM.

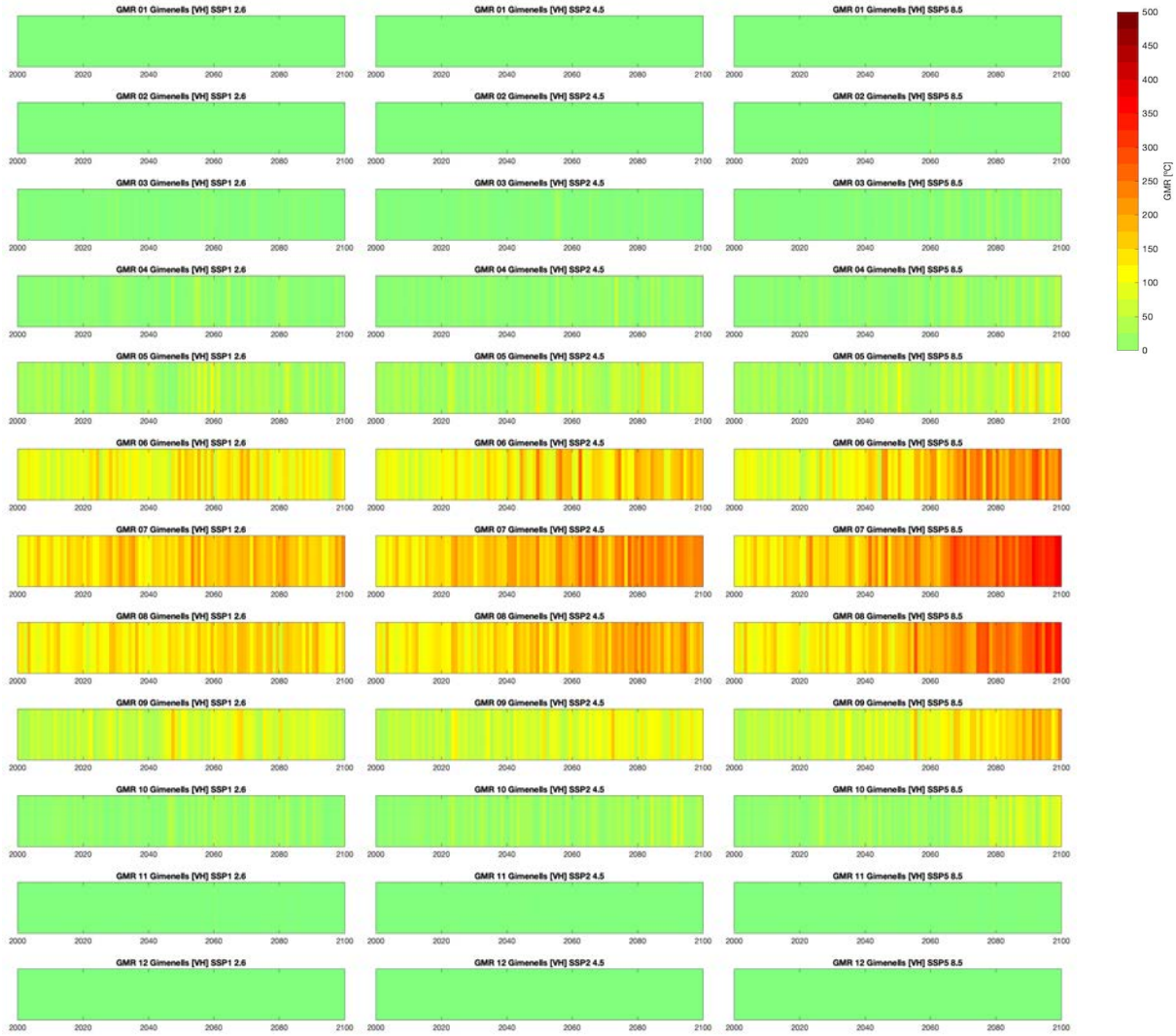

Figura A.287: Evolució dels graus-mes de refrigeració (GMR a l'estació VH- Gimenells, per als diferents escenaris [SSP1 2.6, SSP2 4.5 i SSP5 8.5] per al model climàtic AWI-CM.

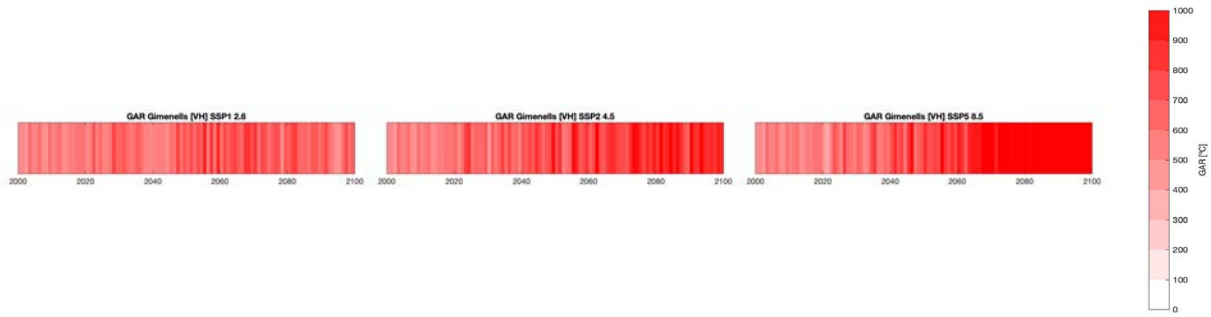

Figura A.288: Evolució dels graus-any de refrigeració (GAR a l'estació VH- Gimenells, per als diferents escenaris [SSP1 2.6, SSP2 4.5 i SSP5 8.5] per al model climàtic AWI-CM.

A.1.74 VK - Raimat

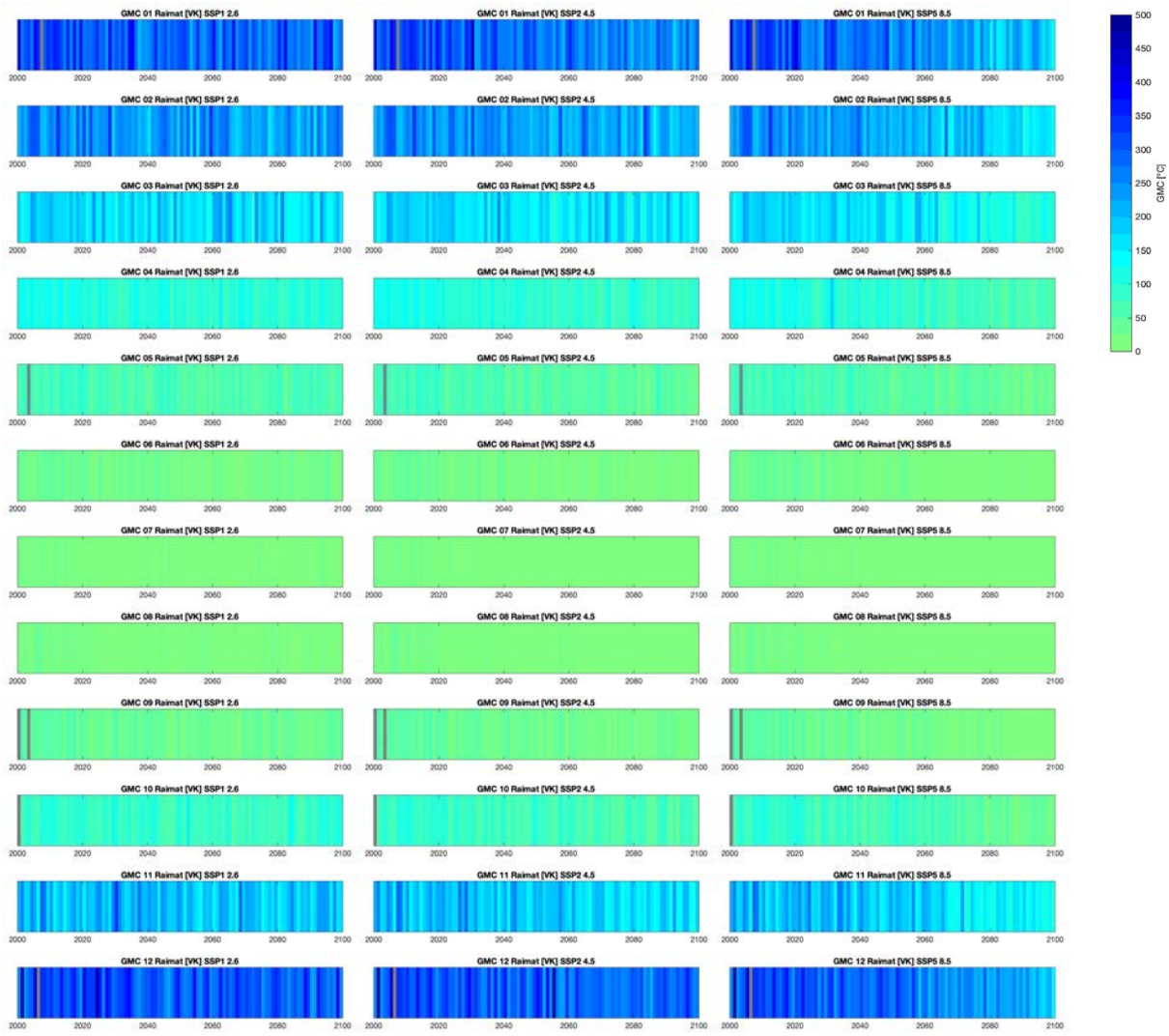

Figura A.289: Evolució dels graus-mes de calefacció (GMC) a l'estació VK- Raimat, per als diferents escenaris [SSP1 2.6, SSP2 4.5 i SSP5 8.5] per al model climàtic AWI-CM.

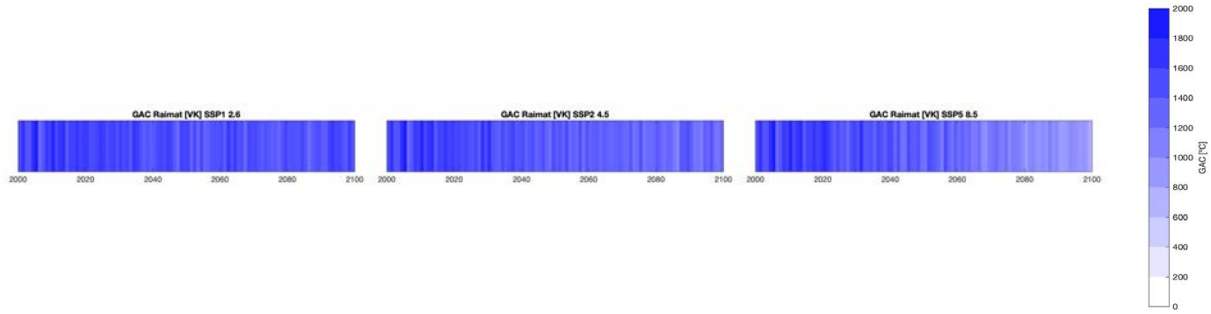

Figura A.290: Evolució dels graus-any de calefacció (GAC) a l'estació VK- Raimat, per als diferents escenaris [SSP1 2.6, SSP2 4.5 i SSP5 8.5] per al model climàtic AWI-CM.

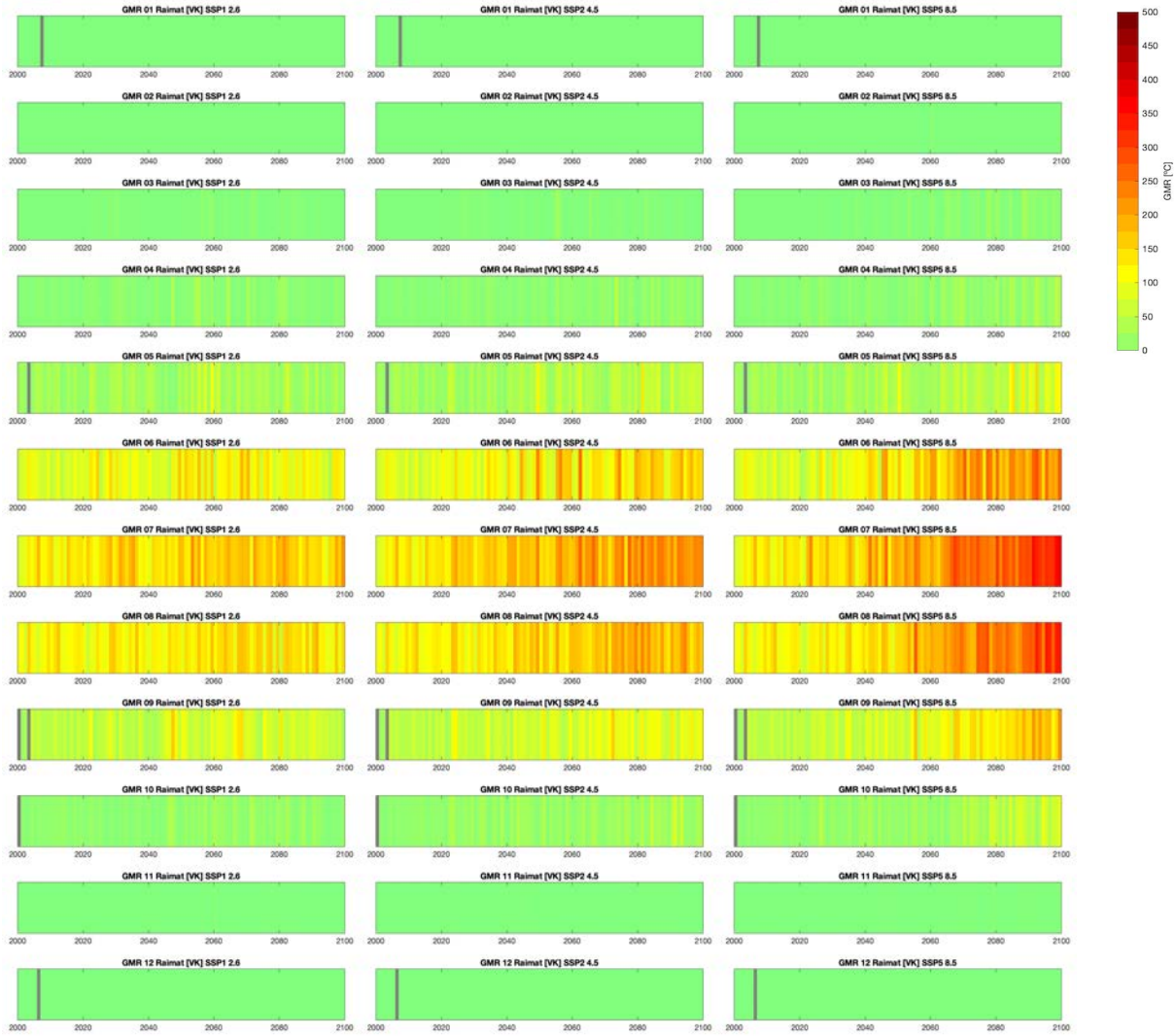

Figura A.291: Evolució dels graus-mes de refrigeració (GMR a l'estació VK- Raimat, per als diferents escenaris [SSP1 2.6, SSP2 4.5 i SSP5 8.5] per al model climàtic AWI-CM.

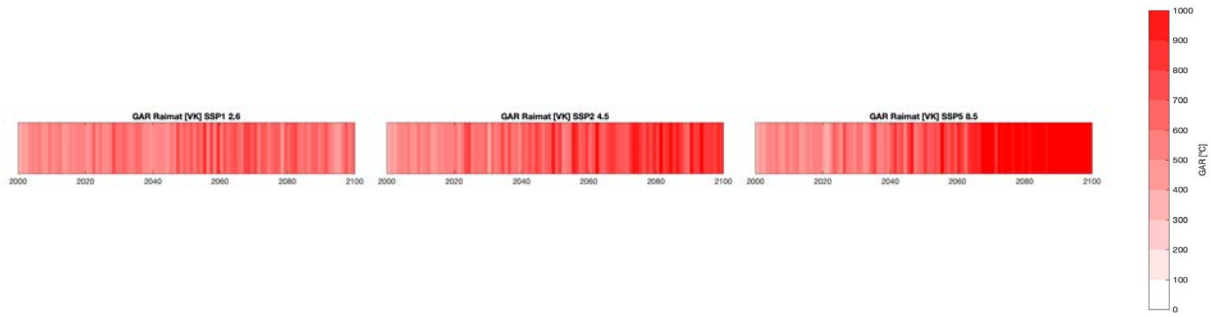

Figura A.292: Evolució dels graus-any de refrigeració (GAR a l'estació VK- Raimat, per als diferents escenaris [SSP1 2.6, SSP2 4.5 i SSP5 8.5] per al model climàtic AWI-CM.

A.1.75 VN - Vilobí d'Onyar

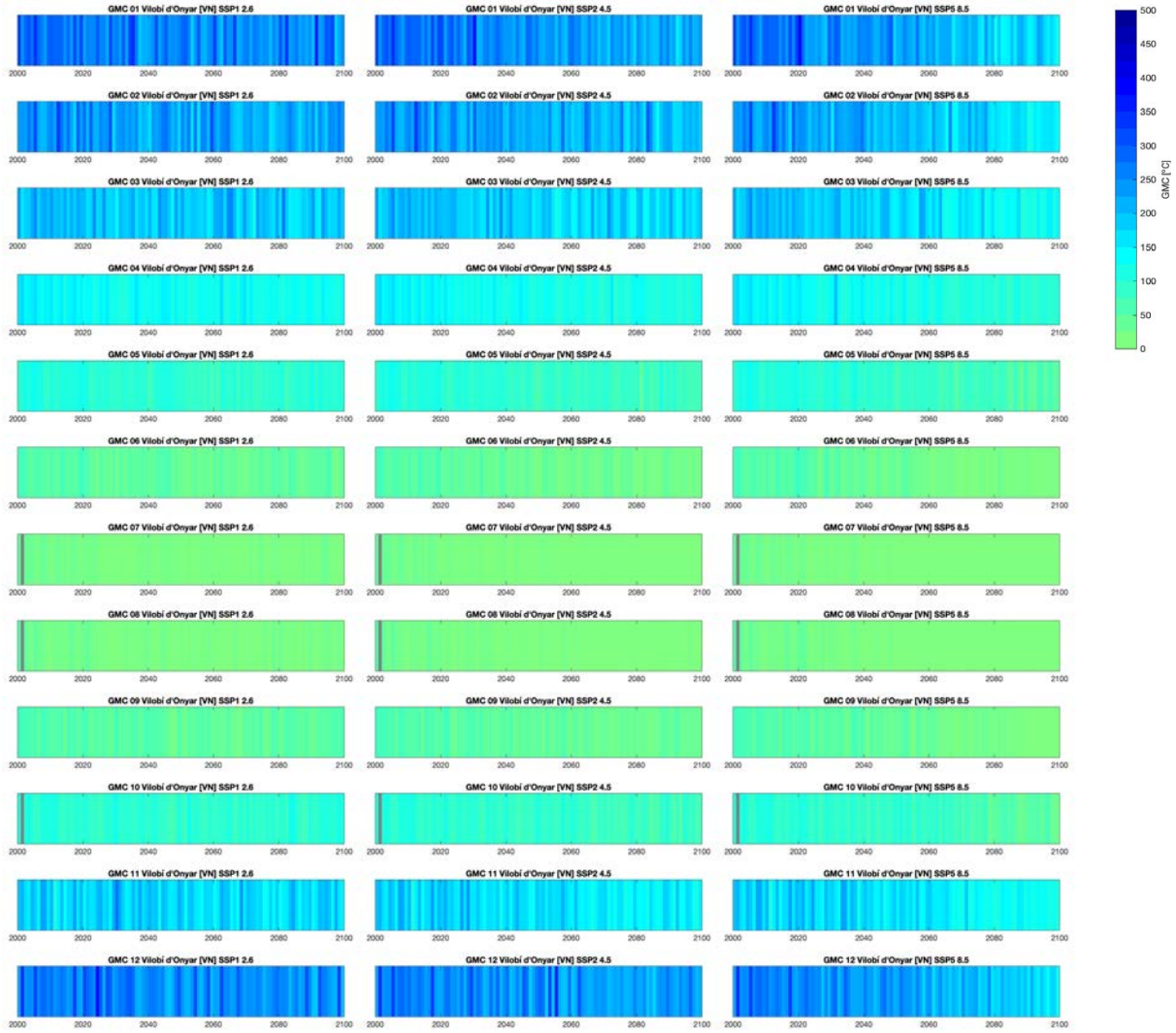

Figura A.293: Evolució dels graus-mes de calefacció (GMC) a l'estació VN- Vilobí d'Onyar, per als diferents escenaris [SSP1 2.6, SSP2 4.5 i SSP5 8.5] per al model climàtic AWI-CM.

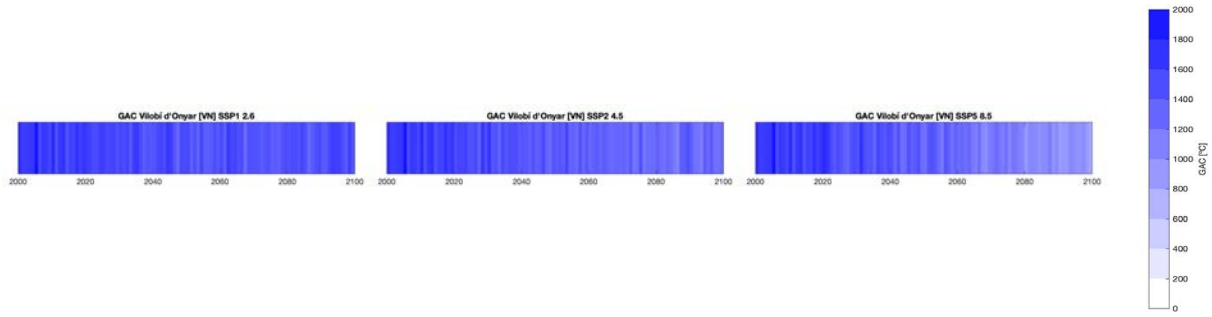

Figura A.294: Evolució dels graus-any de calefacció (GAC) a l'estació VN- Vilobí d'Onyar, per als diferents escenaris [SSP1 2.6, SSP2 4.5 i SSP5 8.5] per al model climàtic AWI-CM.

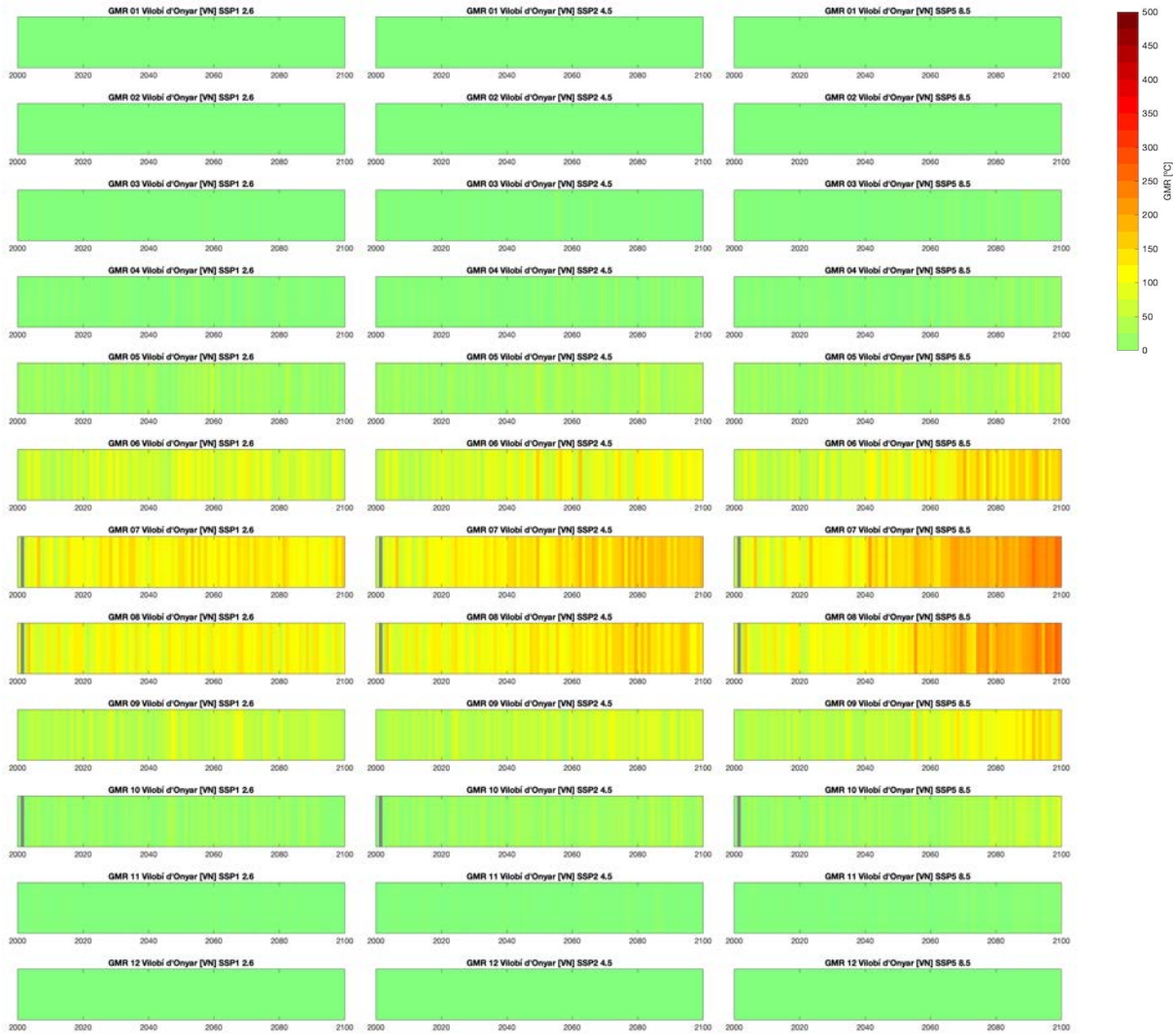

Figura A.295: Evolució dels graus-mes de refrigeració (GMR a l'estació VN- Vilobí d'Onyar, per als diferents escenaris [SSP1 2.6, SSP2 4.5 i SSP5 8.5] per al model climàtic AWI-CM.

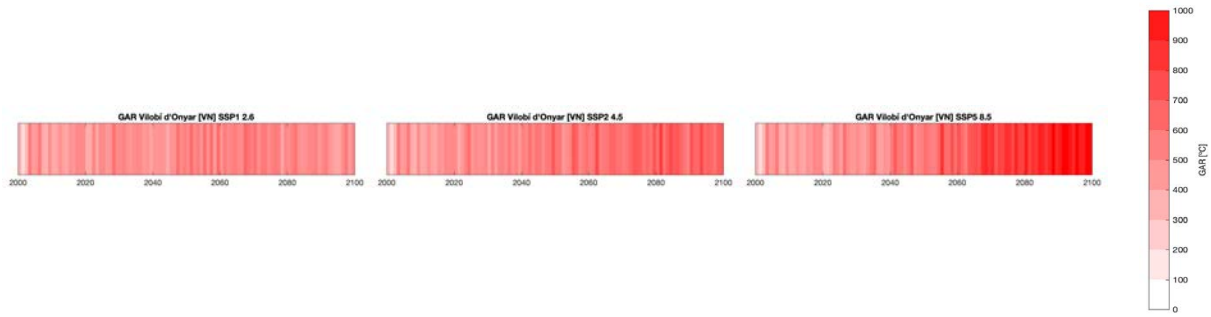

Figura A.296: Evolució dels graus-any de refrigeració (GAR a l'estació VN- Vilobí d'Onyar, per als diferents escenaris [SSP1 2.6, SSP2 4.5 i SSP5 8.5] per al model climàtic AWI-CM.

A.1.76 VO - Lladurs

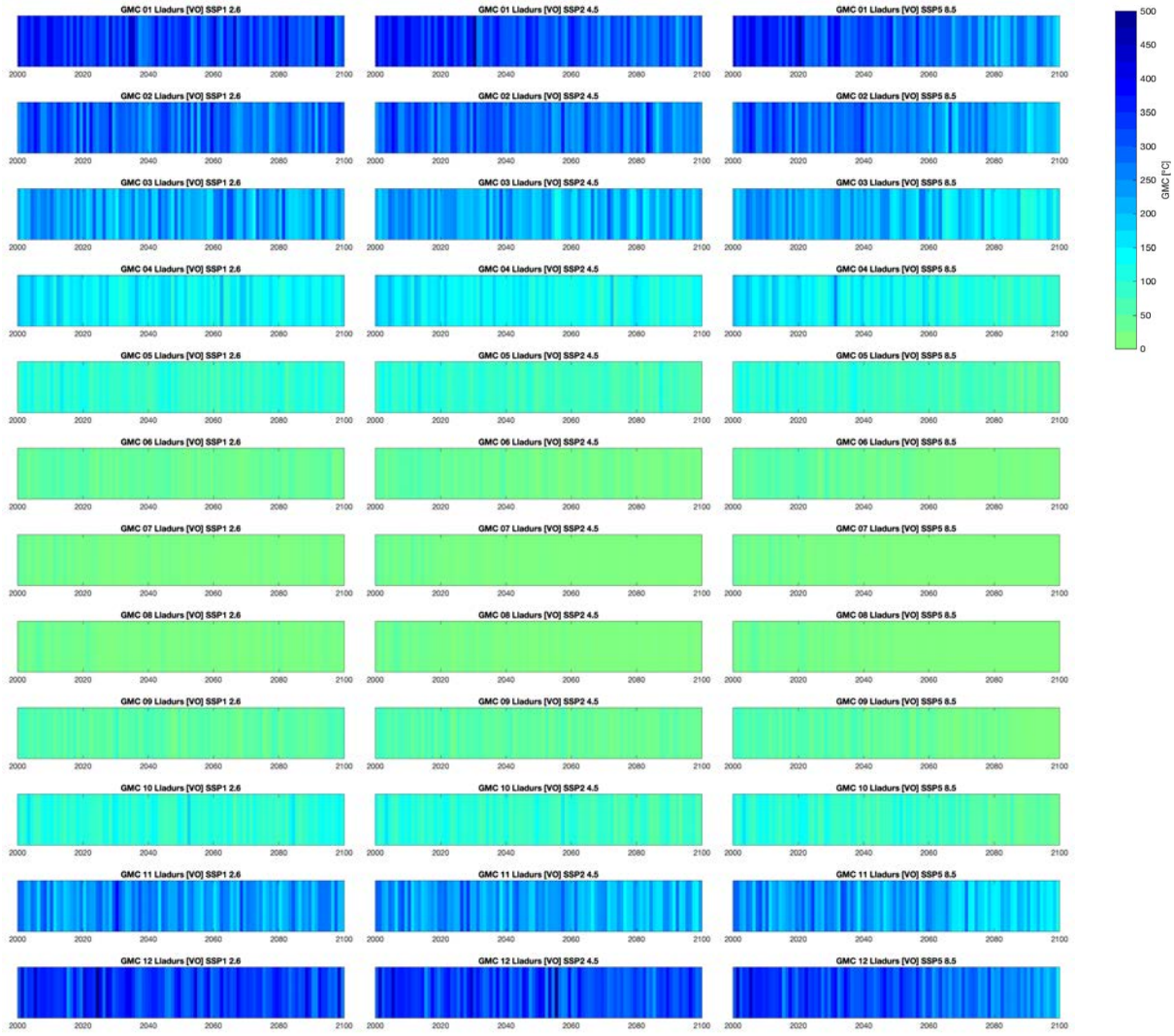

Figura A.297: Evolució dels graus-mes de calefacció (GMC) a l'estació VO- Lladurs, per als diferents escenaris [SSP1 2.6, SSP2 4.5 i SSP5 8.5] per al model climàtic AWI-CM.

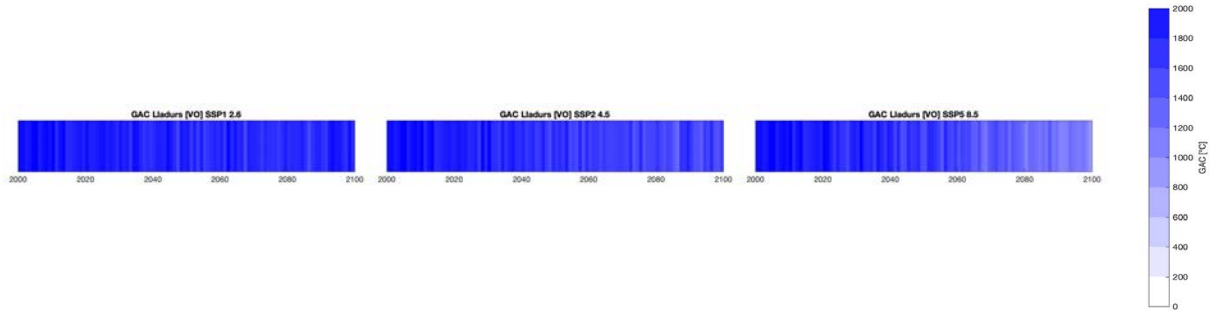

Figura A.298: Evolució dels graus-any de calefacció (GAC) a l'estació VO- Lladurs, per als diferents escenaris [SSP1 2.6, SSP2 4.5 i SSP5 8.5] per al model climàtic AWI-CM.

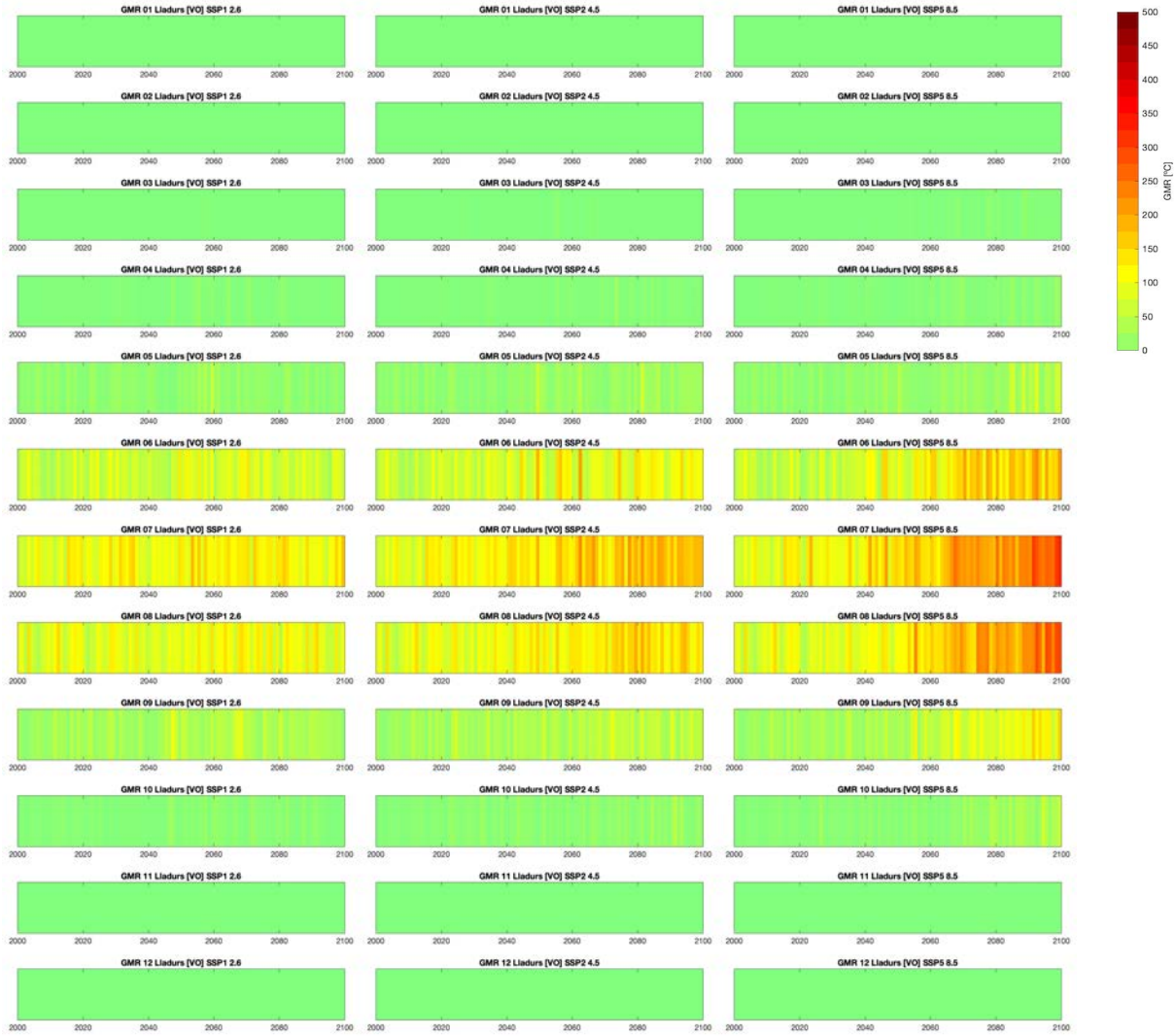

Figura A.299: Evolució dels graus-mes de refrigeració (GMR a l'estació VO- Lladurs, per als diferents escenaris [SSP1 2.6, SSP2 4.5 i SSP5 8.5] per al model climàtic AWI-CM.

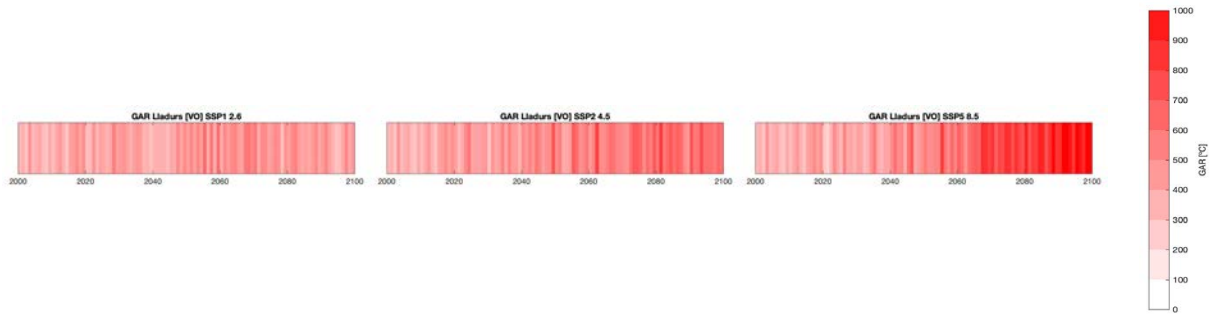

Figura A.300: Evolució dels graus-any de refrigeració (GAR a l'estació VO- Lladurs, per als diferents escenaris [SSP1 2.6, SSP2 4.5 i SSP5 8.5] per al model climàtic AWI-CM.

A.1.77 VP - Pinós

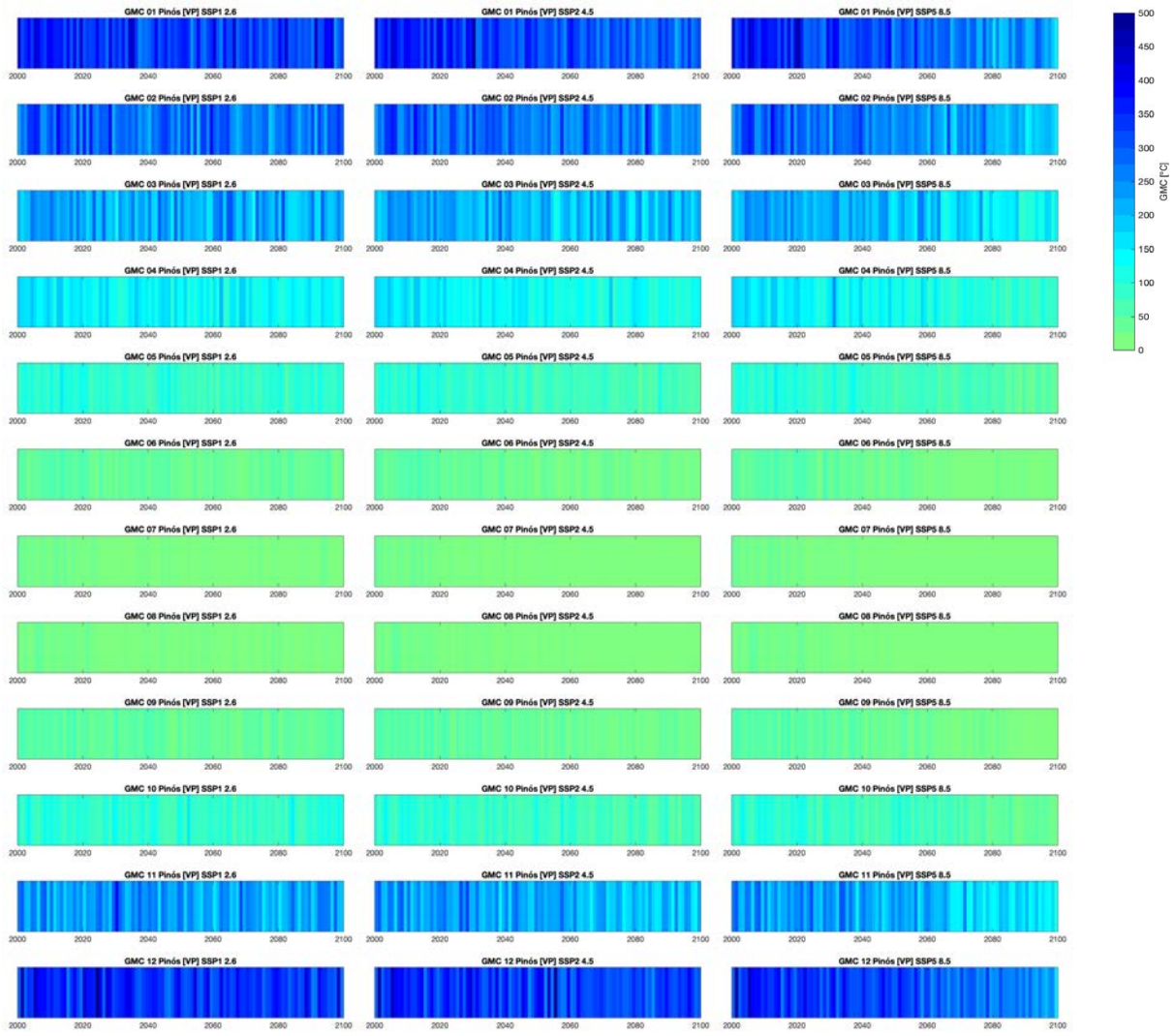

Figura A.301: Evolució dels graus-mes de calefacció (GMC) a l'estació VP- Pinós, per als diferents escenaris [SSP1 2.6, SSP2 4.5 i SSP5 8.5] per al model climàtic AWI-CM.

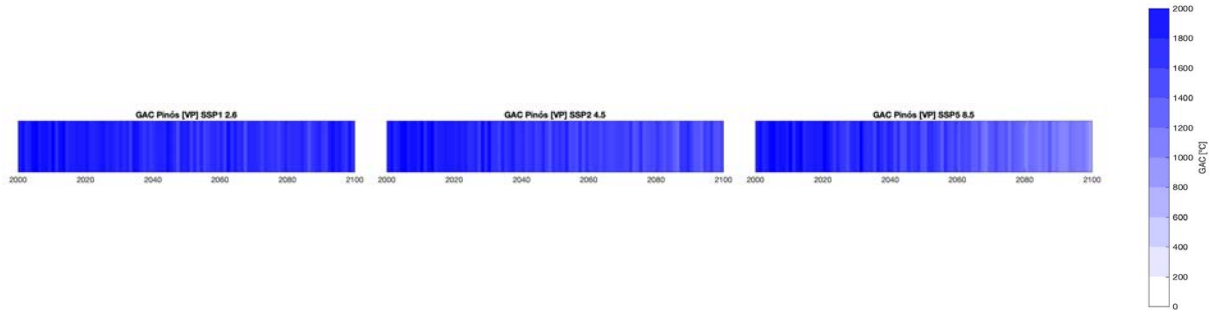

Figura A.302: Evolució dels graus-any de calefacció (GAC) a l'estació VP- Pinós, per als diferents escenaris [SSP1 2.6, SSP2 4.5 i SSP5 8.5] per al model climàtic AWI-CM.

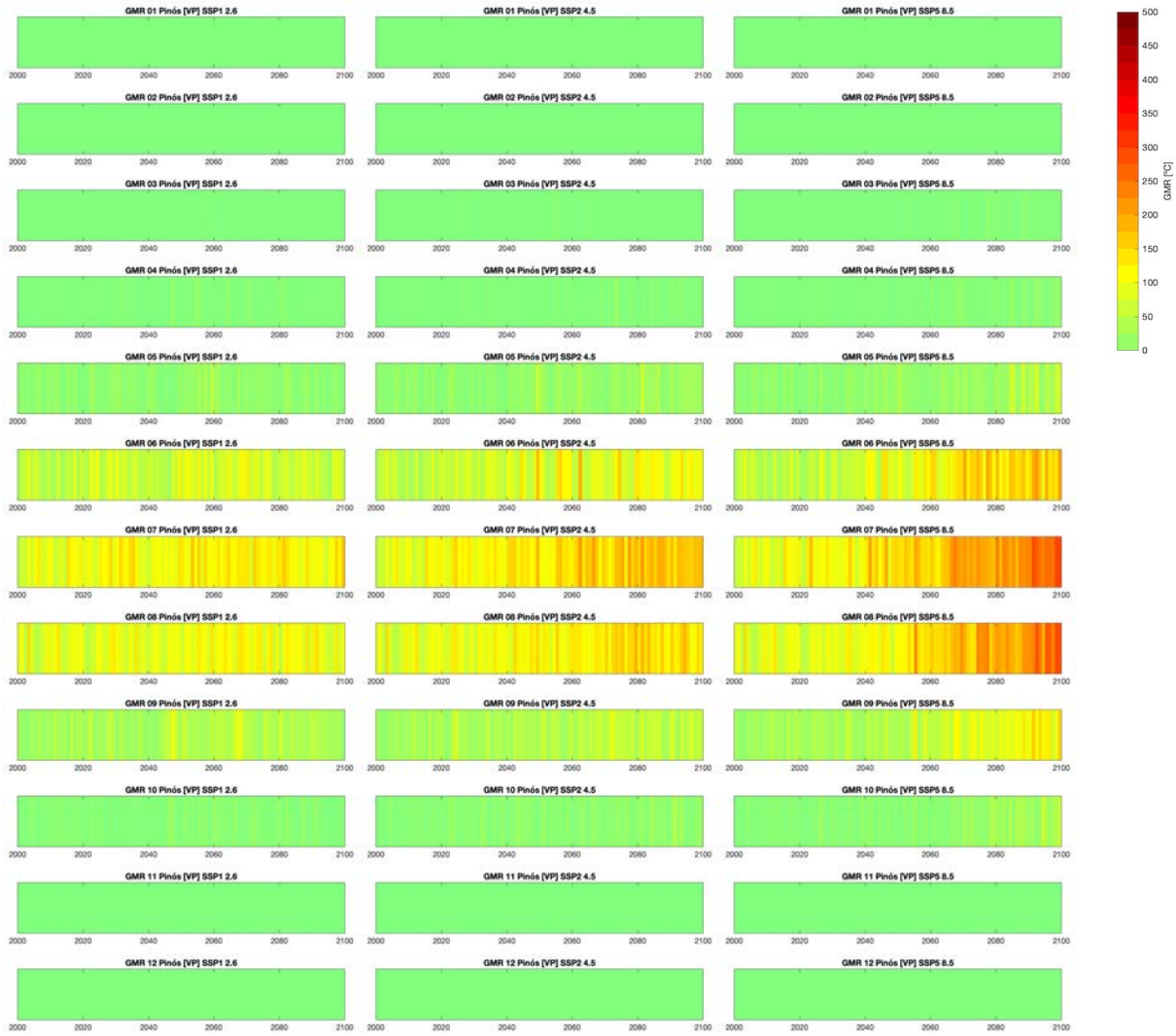

Figura A.303: Evolució dels graus-mes de refrigeració (GMR a l'estació VP- Pinós, per als diferents escenaris [SSP1 2.6, SSP2 4.5 i SSP5 8.5] per al model climàtic AWI-CM.

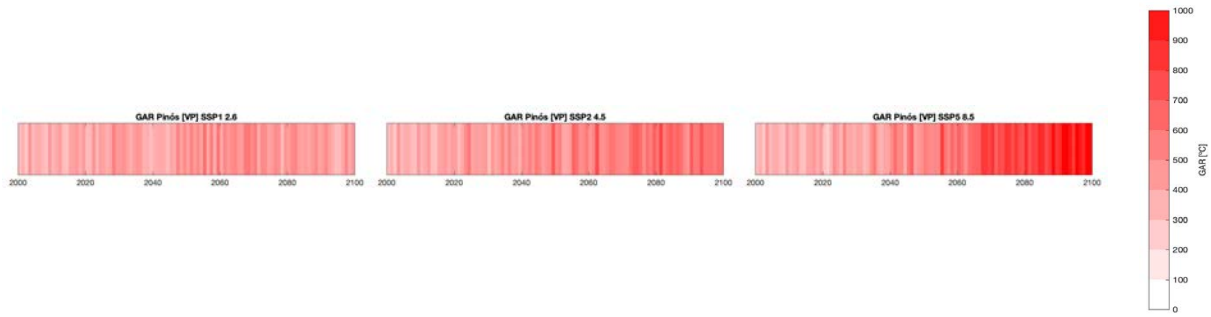

Figura A.304: Evolució dels graus-any de refrigeració (GAR a l'estació VP- Pinós, per als diferents escenaris [SSP1 2.6, SSP2 4.5 i SSP5 8.5] per al model climàtic AWI-CM.

A.1.78 VQ - Constantí

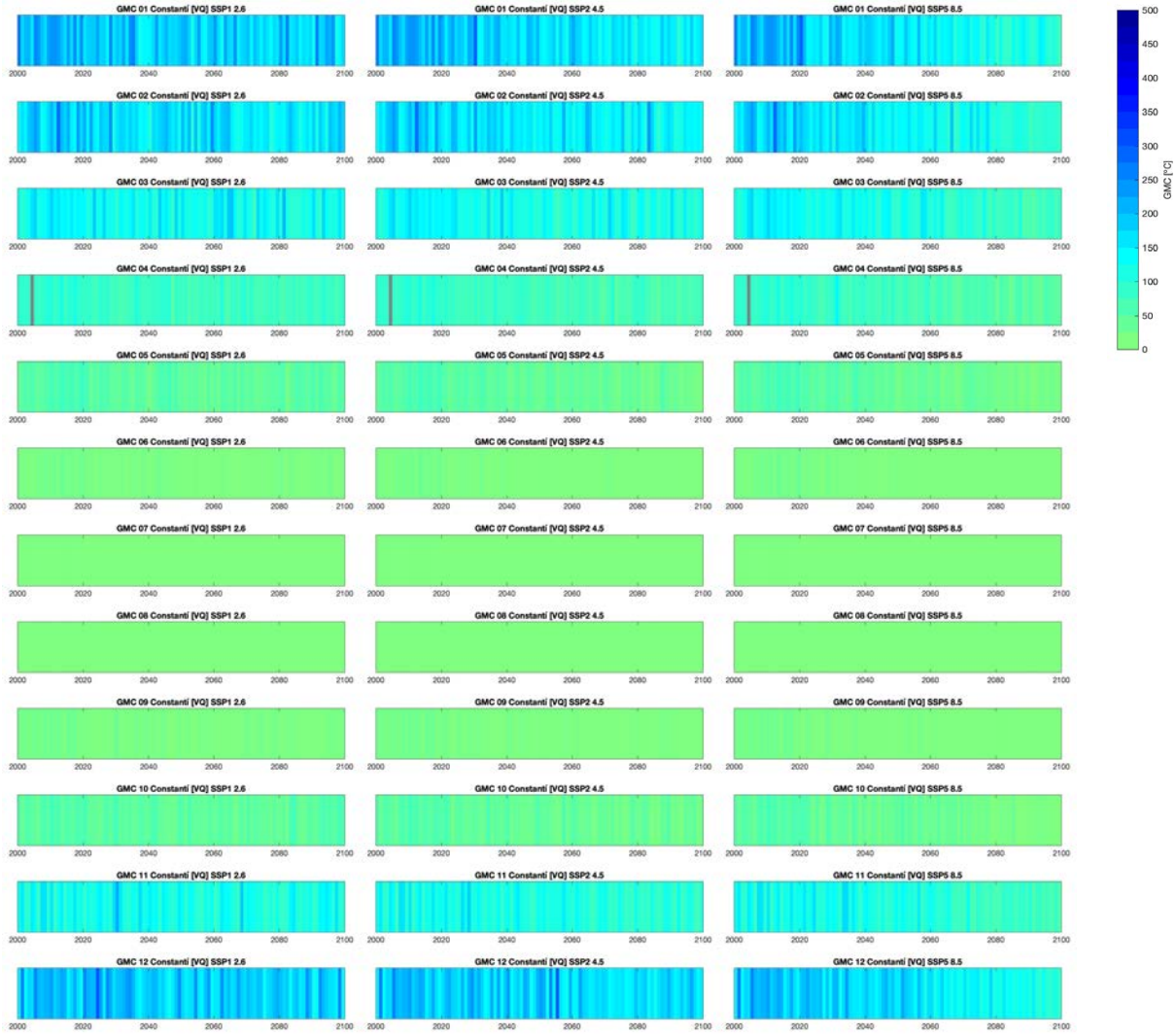

Figura A.305: Evolució dels graus-mes de calefacció (GMC) a l'estació VQ- Constantí, per als diferents escenaris [SSP1 2.6, SSP2 4.5 i SSP5 8.5] per al model climàtic AWI-CM.

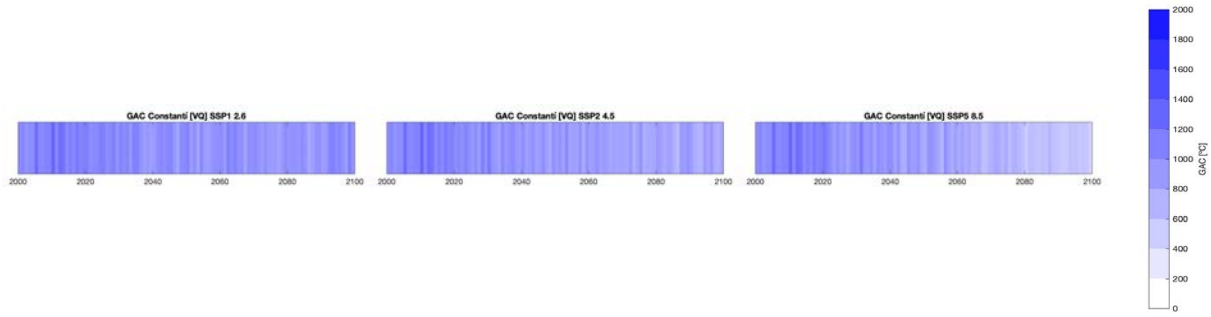

Figura A.306: Evolució dels graus-any de calefacció (GAC) a l'estació VQ- Constantí, per als diferents escenaris [SSP1 2.6, SSP2 4.5 i SSP5 8.5] per al model climàtic AWI-CM.

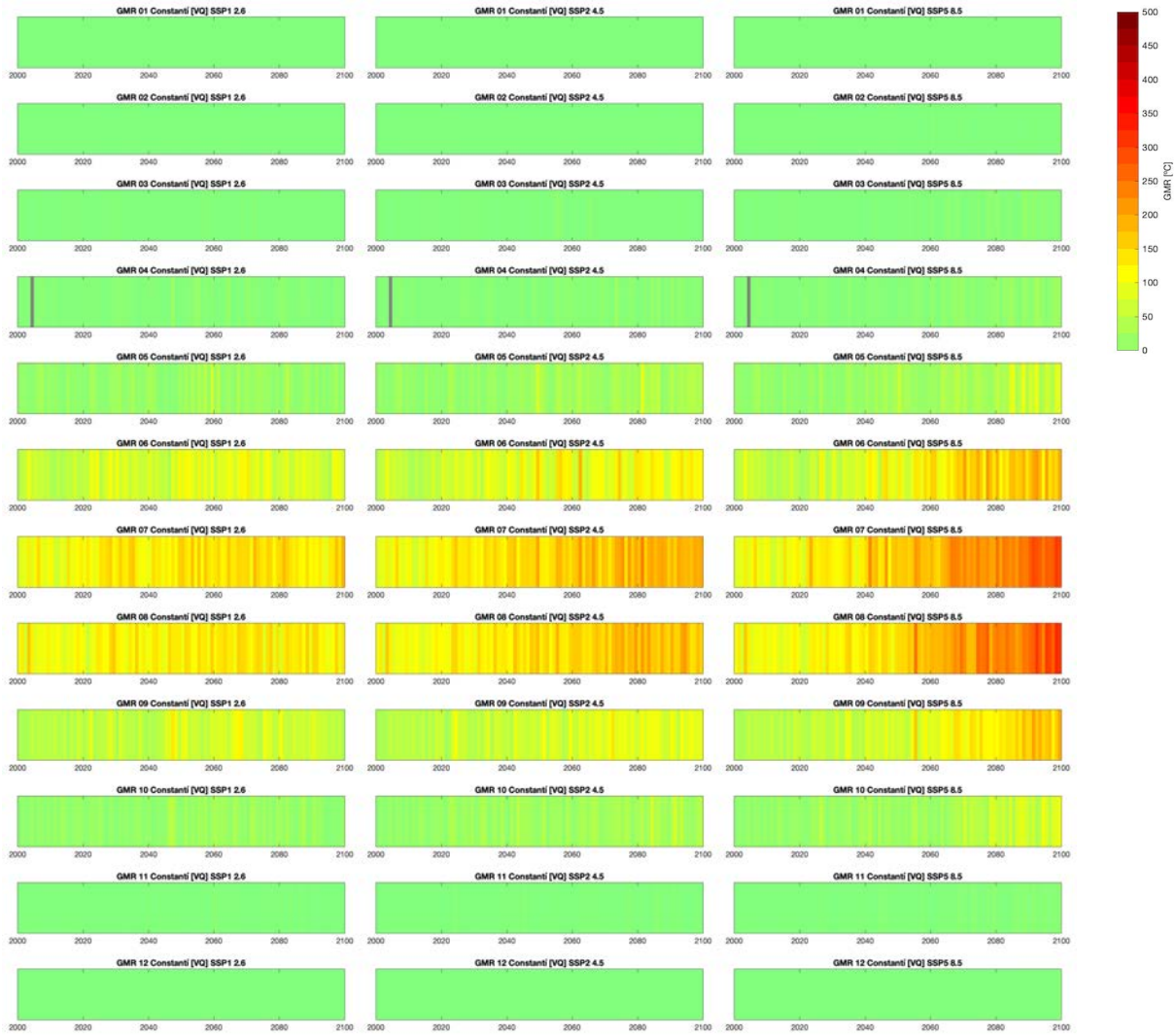

Figura A.307: Evolució dels graus-mes de refrigeració (GMR a l'estació VQ- Constantí, per als diferents escenaris [SSP1 2.6, SSP2 4.5 i SSP5 8.5] per al model climàtic AWI-CM.

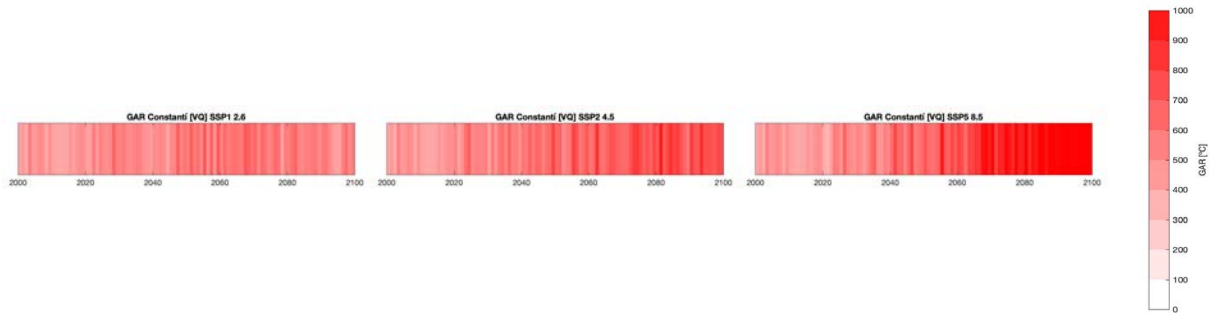

Figura A.308: Evolució dels graus-any de refrigeració (GAR a l'estació VQ- Constantí, per als diferents escenaris [SSP1 2.6, SSP2 4.5 i SSP5 8.5] per al model climàtic AWI-CM.

A.1.79 VS - Lac Redon

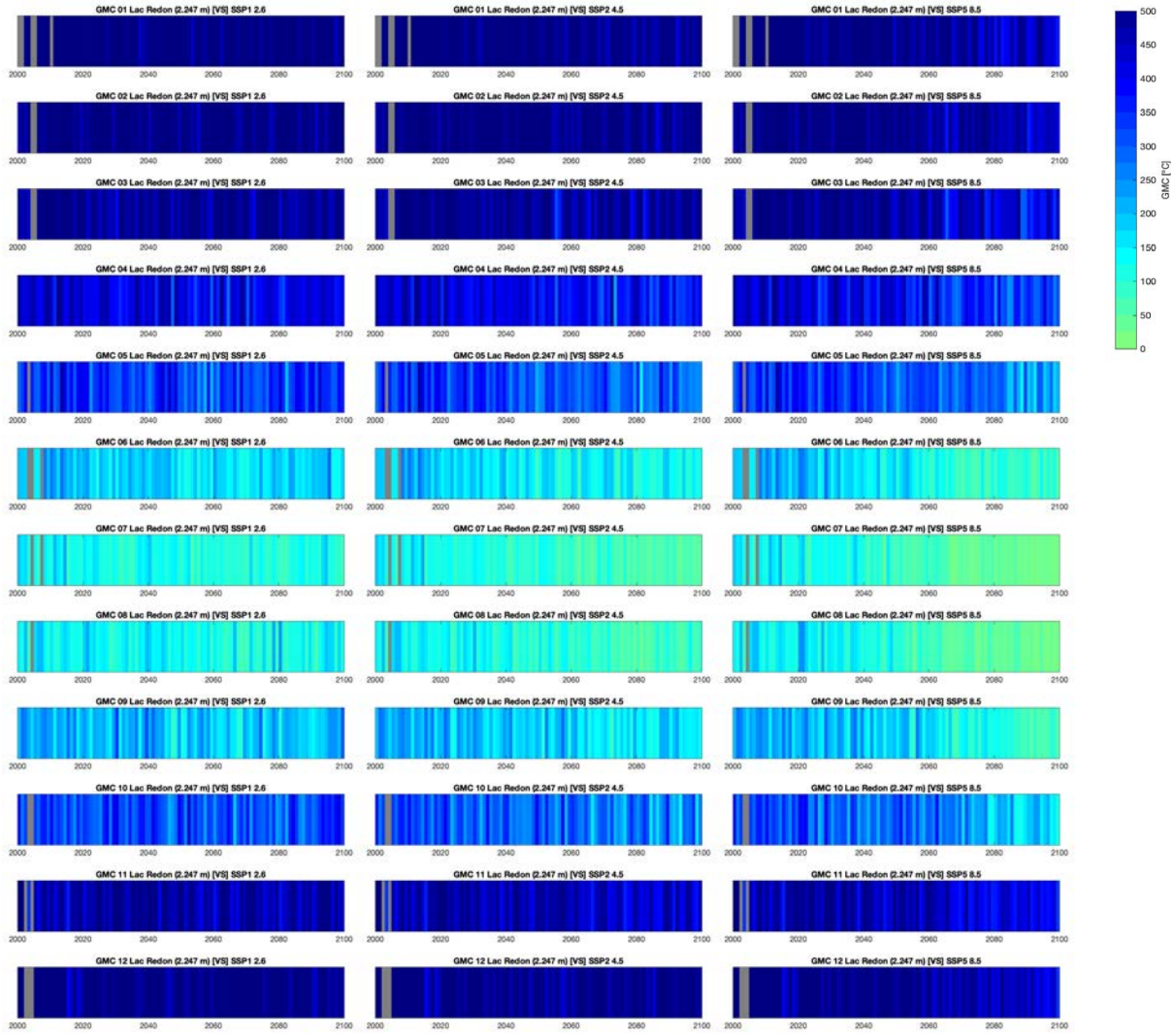

Figura A.309: Evolució dels graus-mes de calefacció (GMC) a l'estació VS- Lac Redon, per als diferents escenaris [SSP1 2.6, SSP2 4.5 i SSP5 8.5] per al model climàtic AWI-CM.

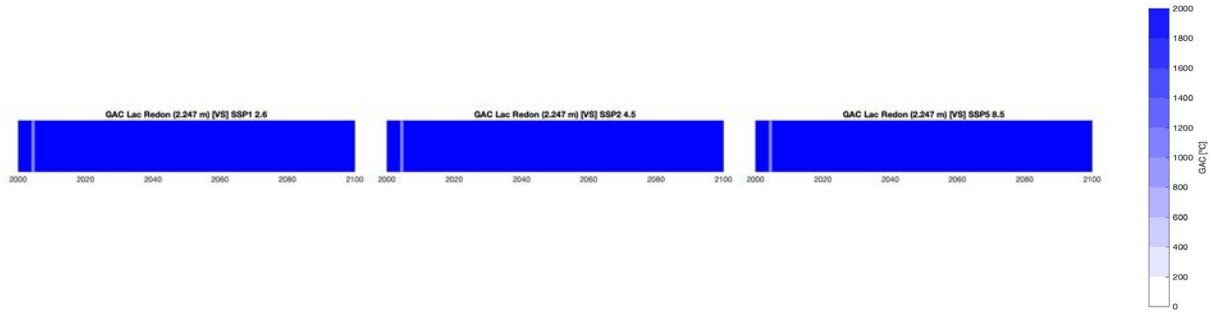

Figura A.310: Evolució dels graus-any de calefacció (GAC) a l'estació VS- Lac Redon, per als diferents escenaris [SSP1 2.6, SSP2 4.5 i SSP5 8.5] per al model climàtic AWI-CM.

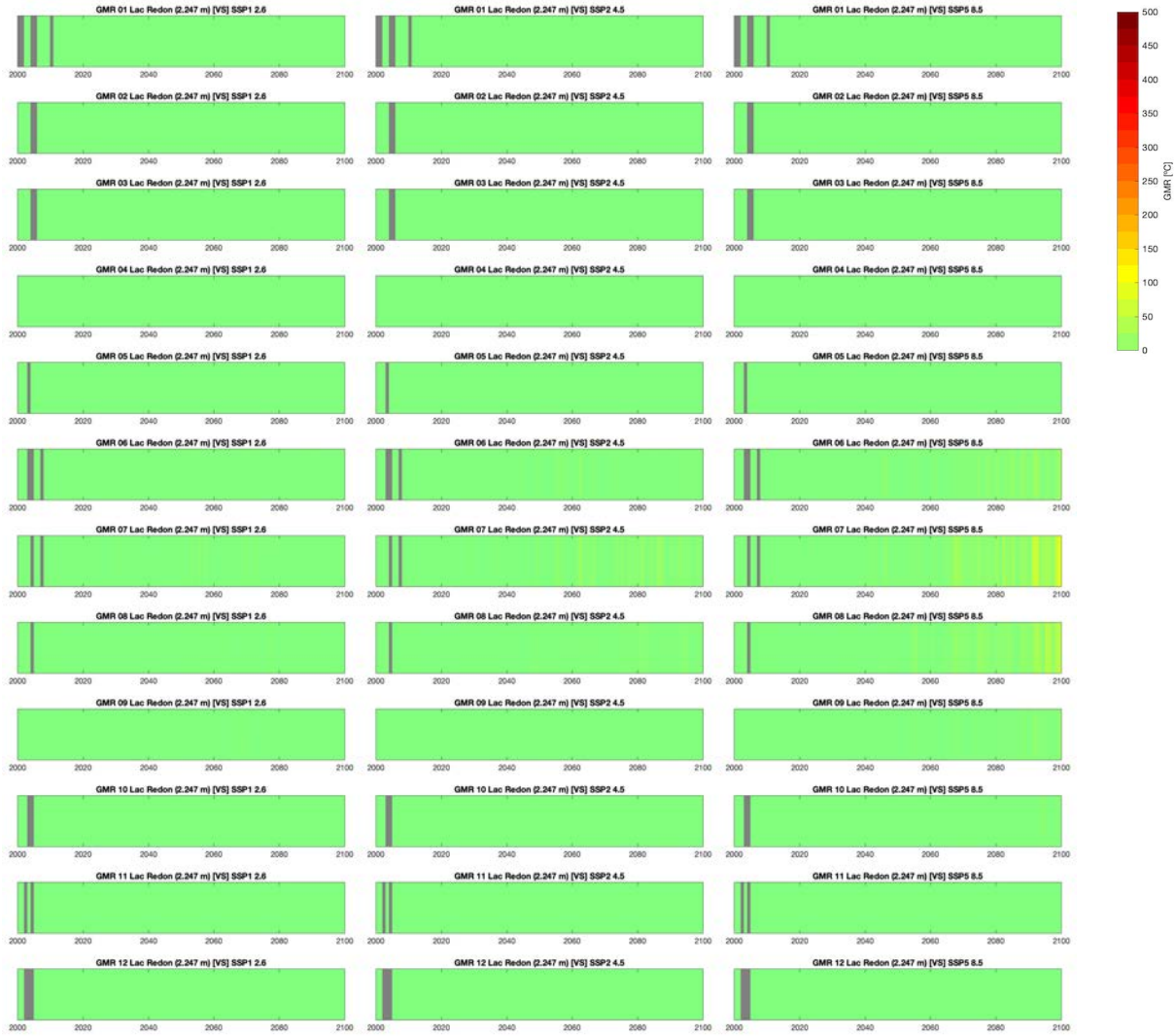

Figura A.311: Evolució dels graus-mes de refrigeració (GMR a l'estació VS- Lac Redon, per als diferents escenaris [SSP1 2.6, SSP2 4.5 i SSP5 8.5] per al model climàtic AWI-CM.

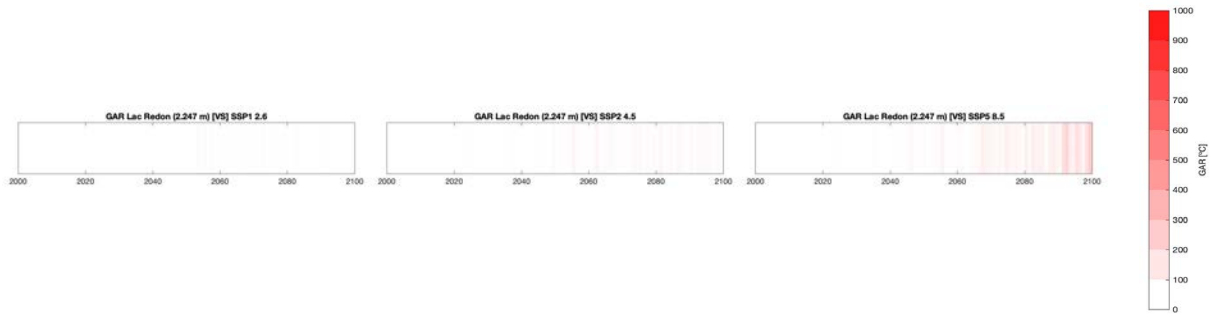

Figura A.312: Evolució dels graus-any de refrigeració (GAR a l'estació VS- Lac Redon, per als diferents escenaris [SSP1 2.6, SSP2 4.5 i SSP5 8.5] per al model climàtic AWI-CM.

A.1.80 VU - Rellinars

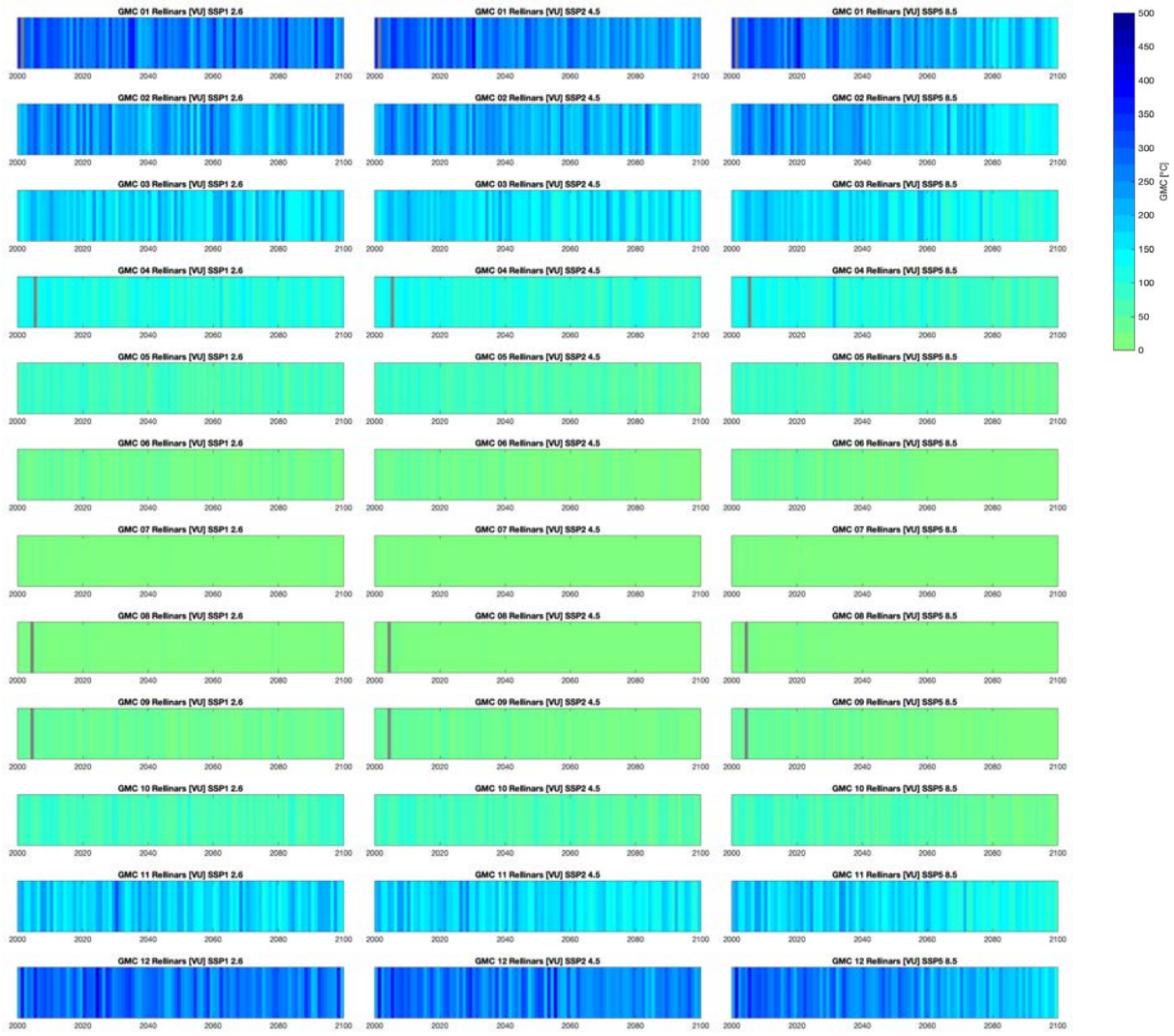

Figura A.313: Evolució dels graus-mes de calefacció (GMC) a l'estació VU- Rellinars, per als diferents escenaris [SSP1 2.6, SSP2 4.5 i SSP5 8.5] per al model climàtic AWI-CM.

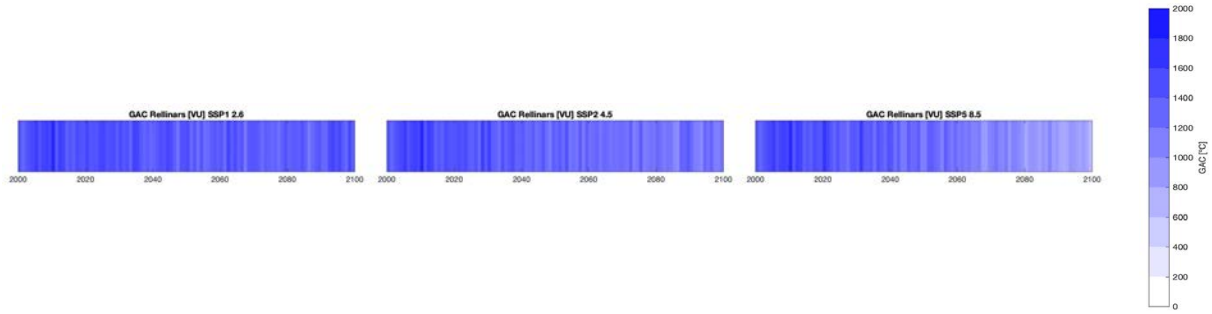

Figura A.314: Evolució dels graus-any de calefacció (GAC) a l'estació VU- Rellinars, per als diferents escenaris [SSP1 2.6, SSP2 4.5 i SSP5 8.5] per al model climàtic AWI-CM.

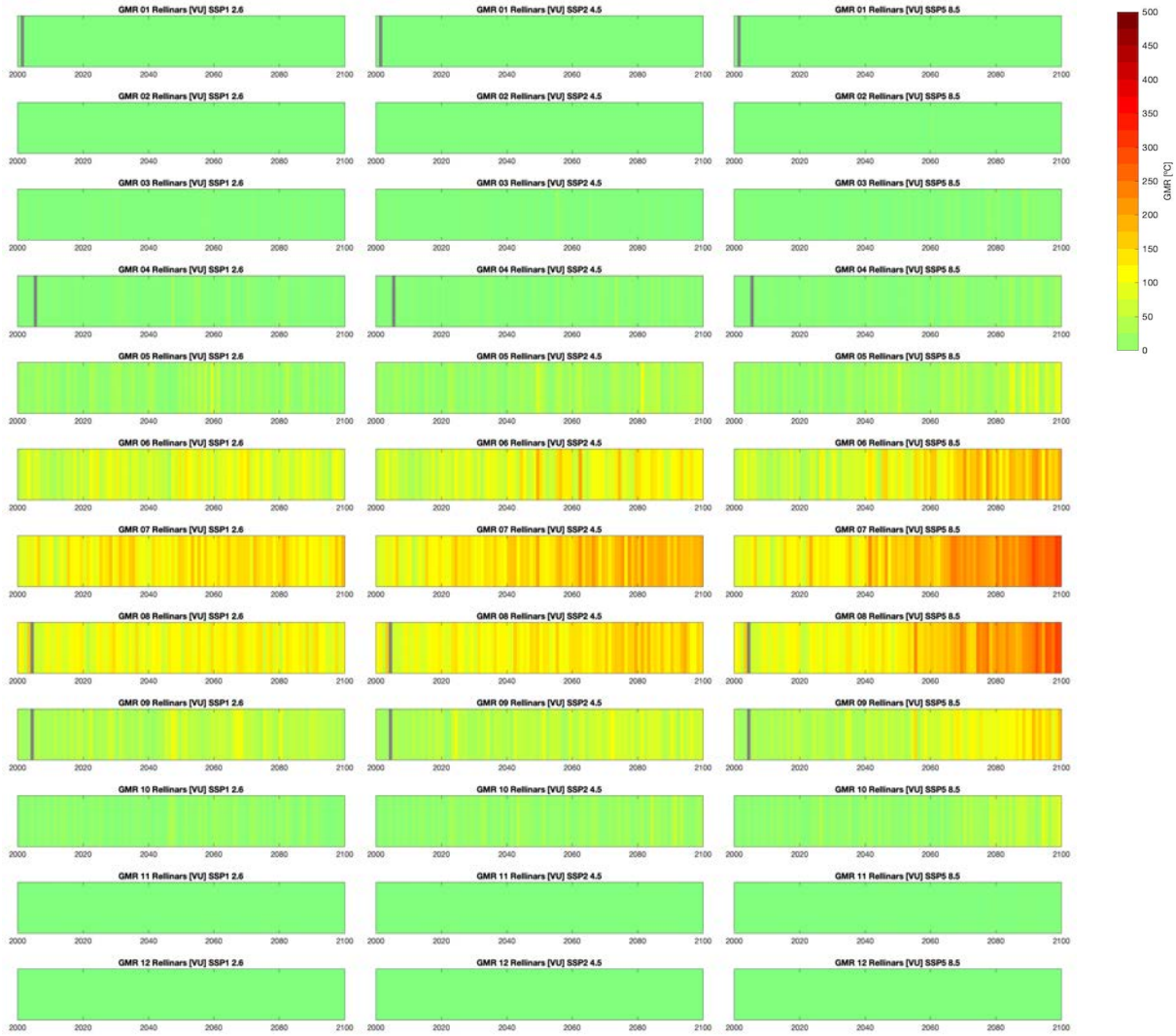

Figura A.315: Evolució dels graus-mes de refrigeració (GMR a l'estació VU- Rellinars, per als diferents escenaris [SSP1 2.6, SSP2 4.5 i SSP5 8.5] per al model climàtic AWI-CM.

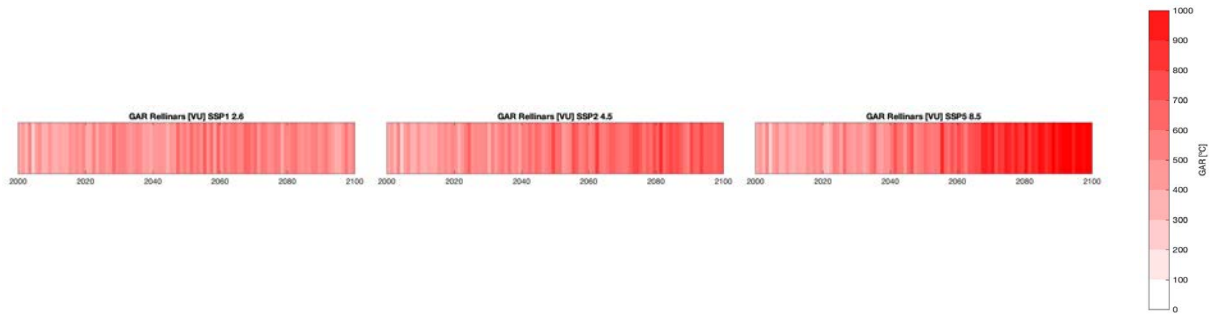

Figura A.316: Evolució dels graus-any de refrigeració (GAR a l'estació VU- Rellinars, per als diferents escenaris [SSP1 2.6, SSP2 4.5 i SSP5 8.5] per al model climàtic AWI-CM.

A.1.81 VV - Sant Llorenç Savall

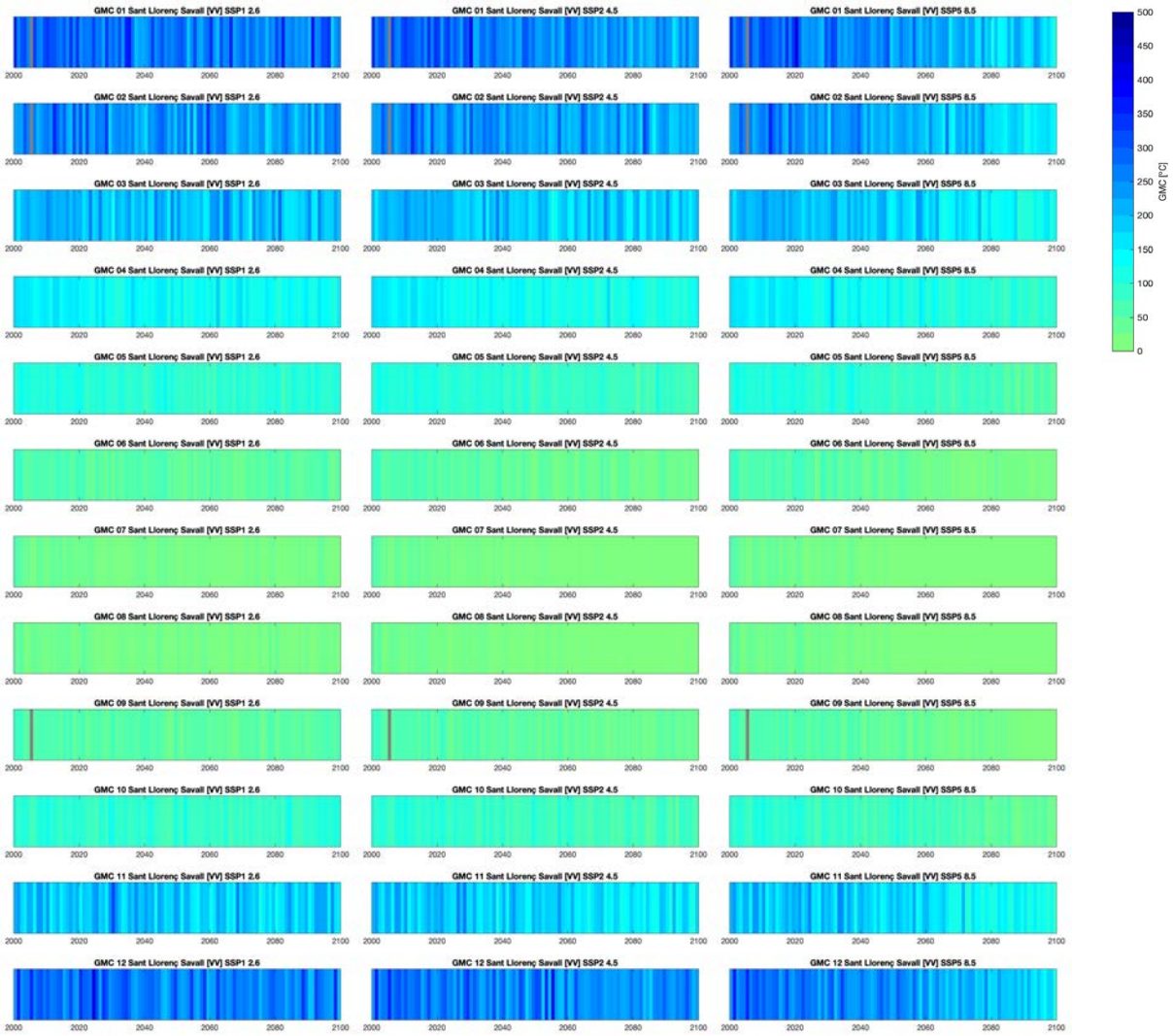

Figura A.317: Evolució dels graus-mes de calefacció (GMC) a l'estació VV- Sant Llorenç Savall, per als diferents escenaris [SSP1 2.6, SSP2 4.5 i SSP5 8.5] per al model climàtic AWI-CM.

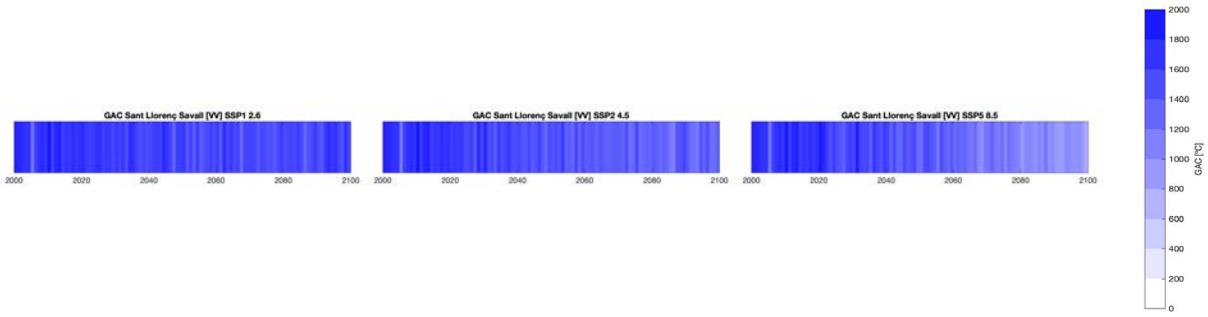

Figura A.318: Evolució dels graus-any de calefacció (GAC) a l'estació VV- Sant Llorenç Savall, per als diferents escenaris [SSP1 2.6, SSP2 4.5 i SSP5 8.5] per al model climàtic AWI-CM.

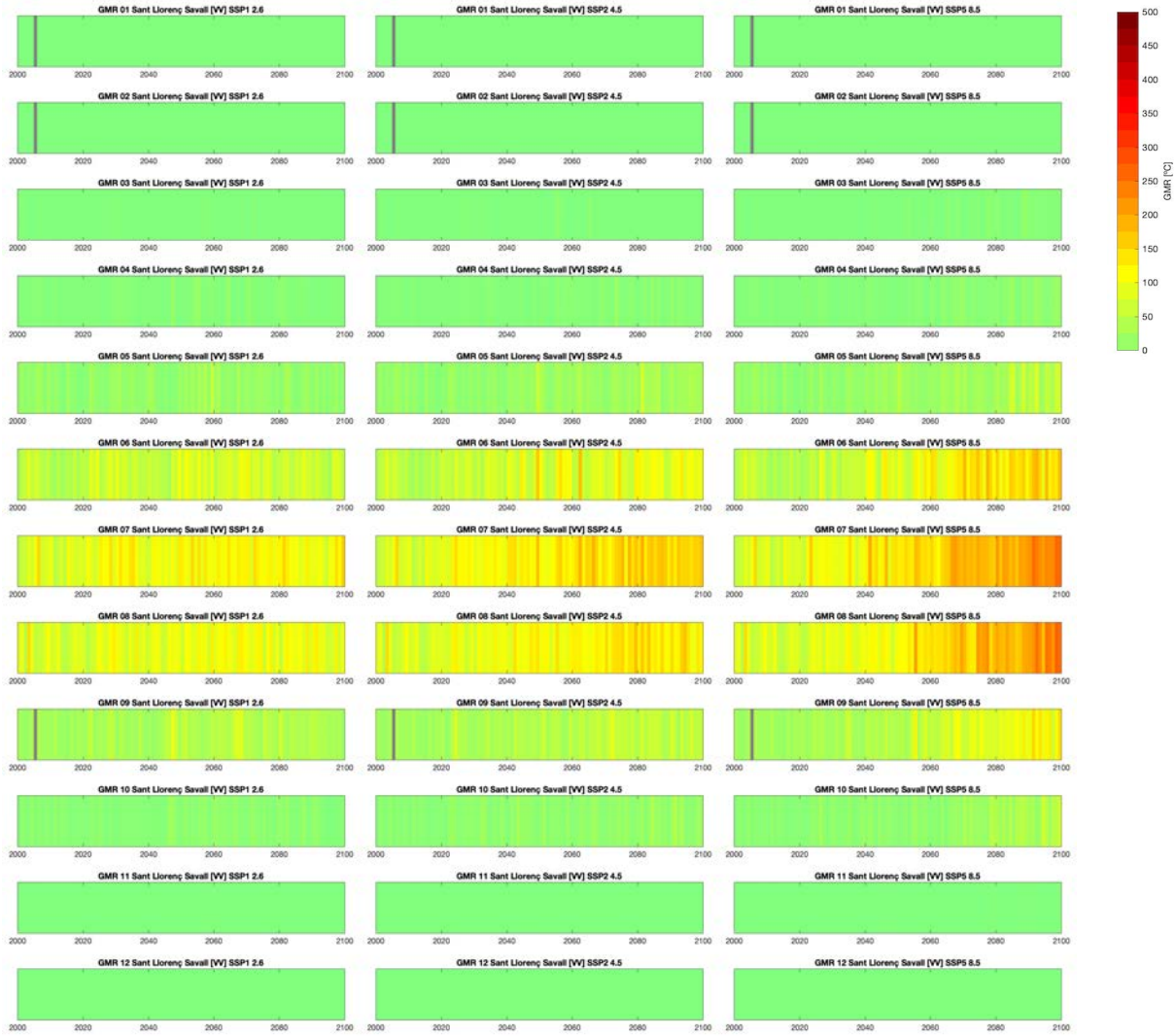

Figura A.319: Evolució dels graus-mes de refrigeració (GMR a l'estació VV- Sant Llorenç Savall, per als diferents escenaris [SSP1 2.6, SSP2 4.5 i SSP5 8.5] per al model climàtic AWI-CM.

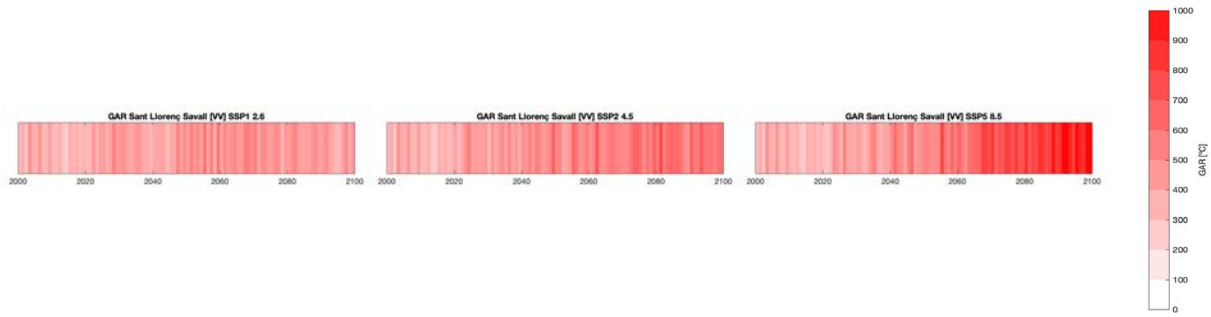

Figura A.320: Evolució dels graus-any de refrigeració (GAR a l'estació VV- Sant Llorenç Savall, per als diferents escenaris [SSP1 2.6, SSP2 4.5 i SSP5 8.5] per al model climàtic AWI-CM.

A.1.82 VX - Tagamanent - PN del Montseny

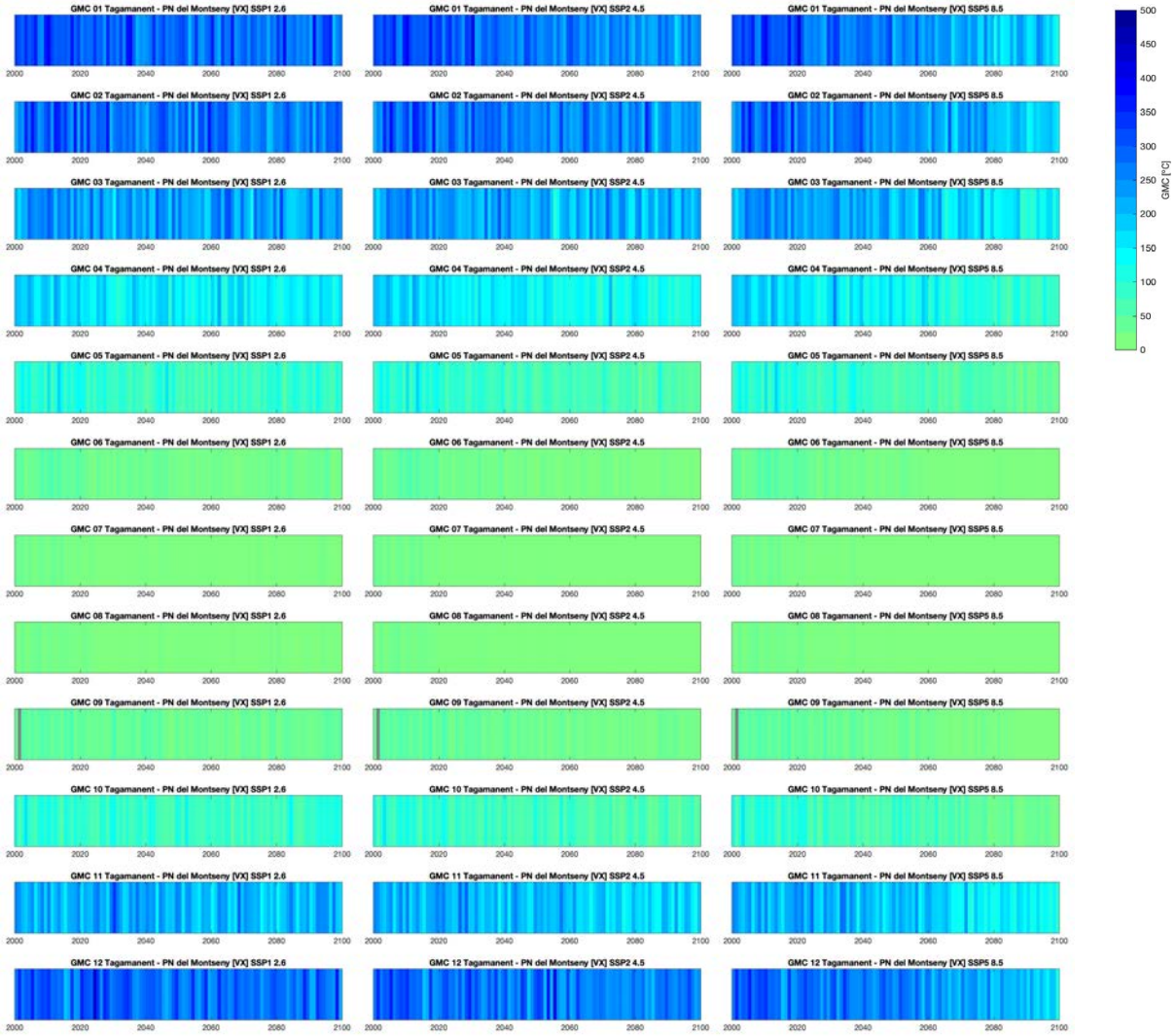

Figura A.321: Evolució dels graus-mes de calefacció (GMC) a l'estació VX- Tagamanent - PN del Montseny, per als diferents escenaris [SSP1 2.6, SSP2 4.5 i SSP5 8.5] per al model climàtic AWI-CM.

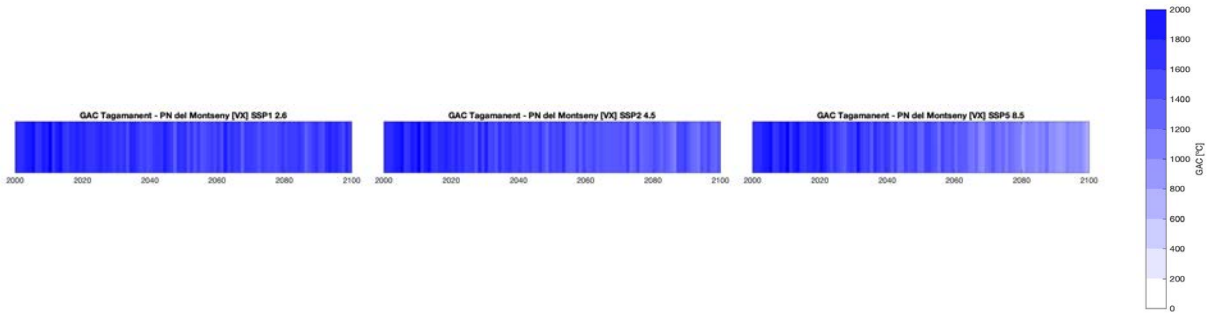

Figura A.322: Evolució dels graus-any de calefacció (GAC) a l'estació VX- Tagamanent - PN del Montseny, per als diferents escenaris [SSP1 2.6, SSP2 4.5 i SSP5 8.5] per al model climàtic AWI-CM.

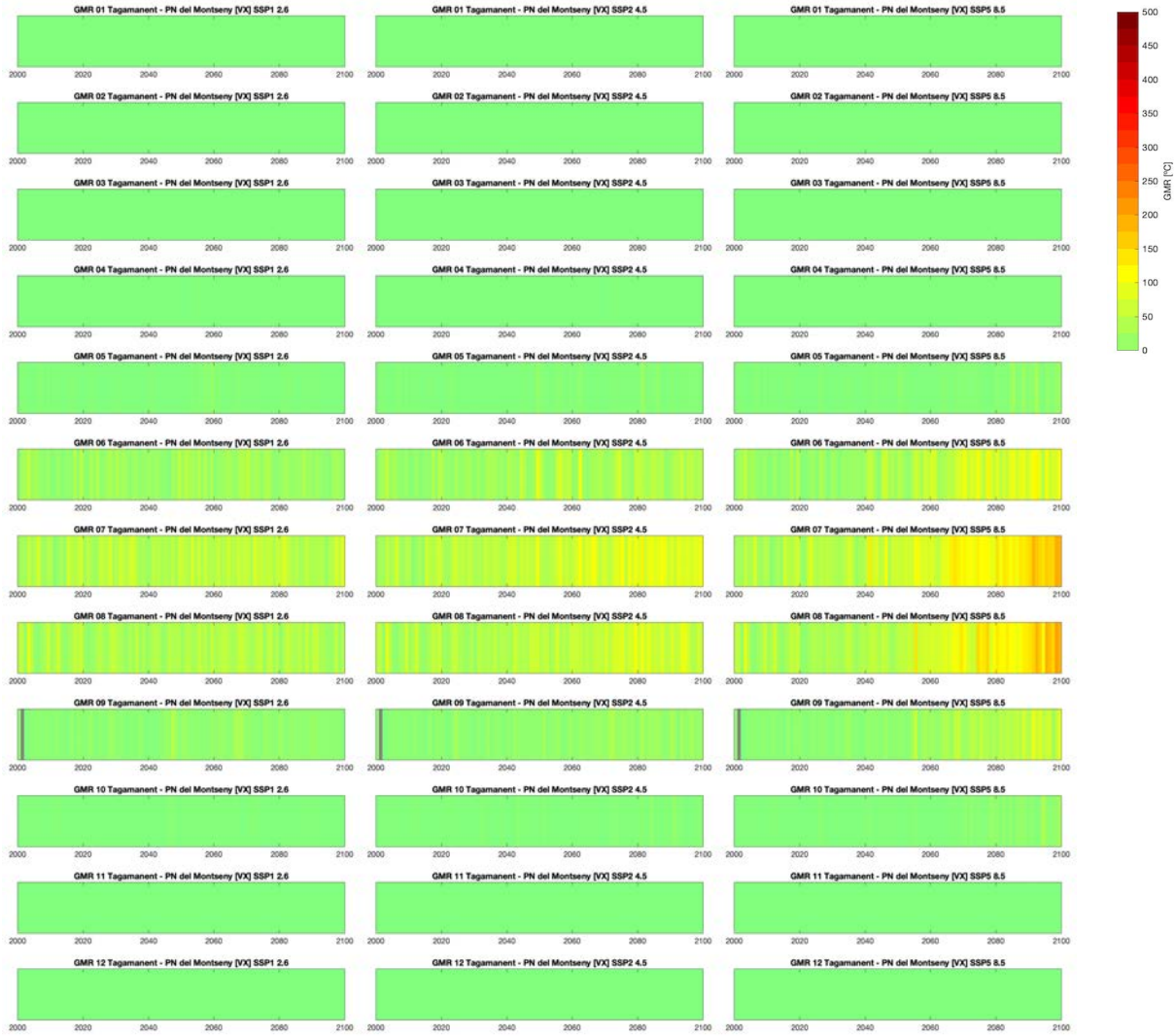

Figura A.323: Evolució dels graus-mes de refrigeració (GMR a l'estació VX- Tagamanent - PN del Montseny, per als diferents escenaris [SSP1 2.6, SSP2 4.5 i SSP5 8.5] per al model climàtic AWI-CM.

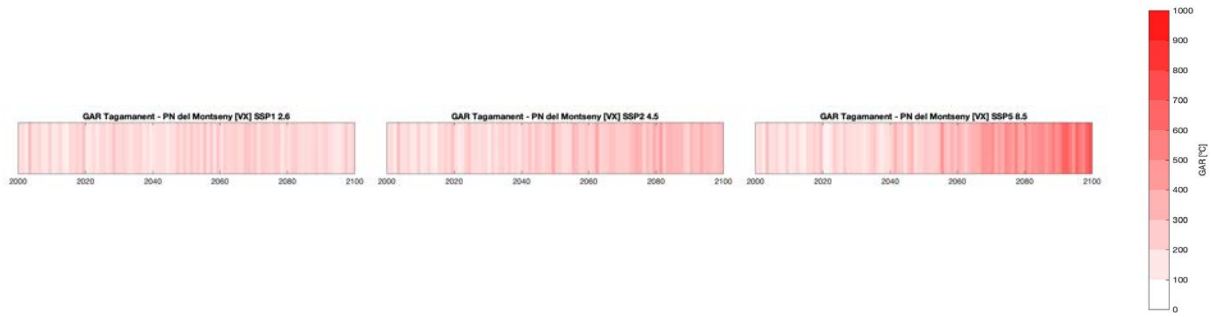

Figura A.324: Evolució dels graus-any de refrigeració (GAR a l'estació VX- Tagamanent - PN del Montseny, per als diferents escenaris [SSP1 2.6, SSP2 4.5 i SSP5 8.5] per al model climàtic AWI-CM.

A.1.83 VY - Nulles

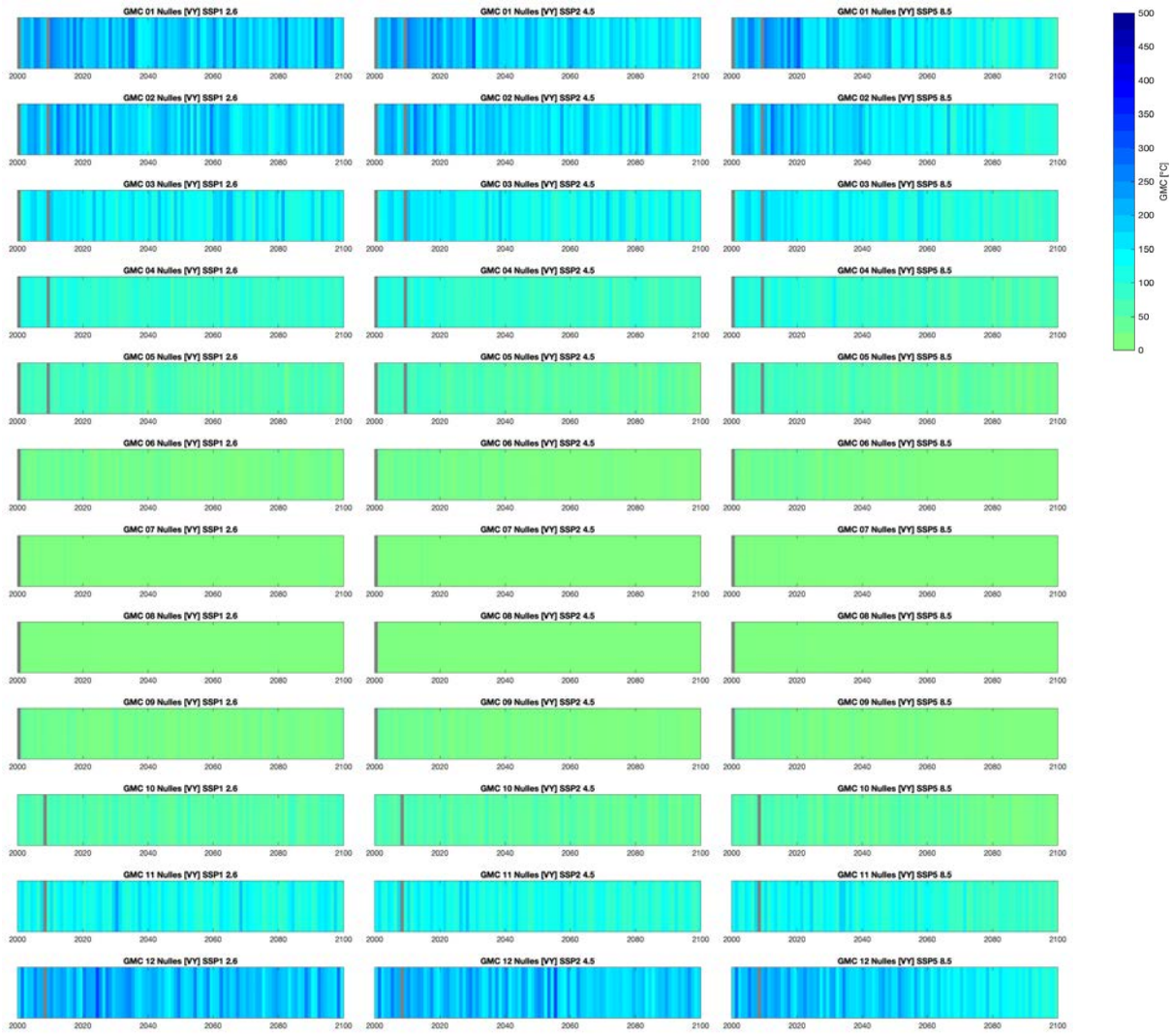

Figura A.325: Evolució dels graus-mes de calefacció (GMC) a l'estació VY- Nulles, per als diferents escenaris [SSP1 2.6, SSP2 4.5 i SSP5 8.5] per al model climàtic AWI-CM.

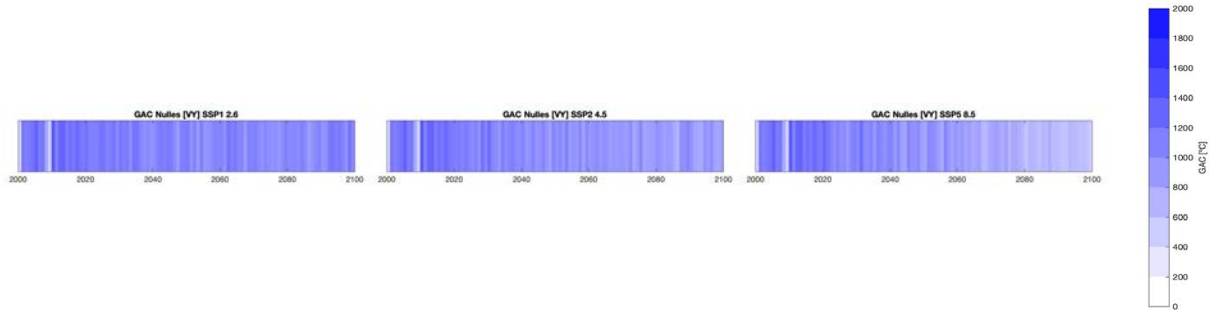

Figura A.326: Evolució dels graus-any de calefacció (GAC) a l'estació VY- Nulles, per als diferents escenaris [SSP1 2.6, SSP2 4.5 i SSP5 8.5] per al model climàtic AWI-CM.

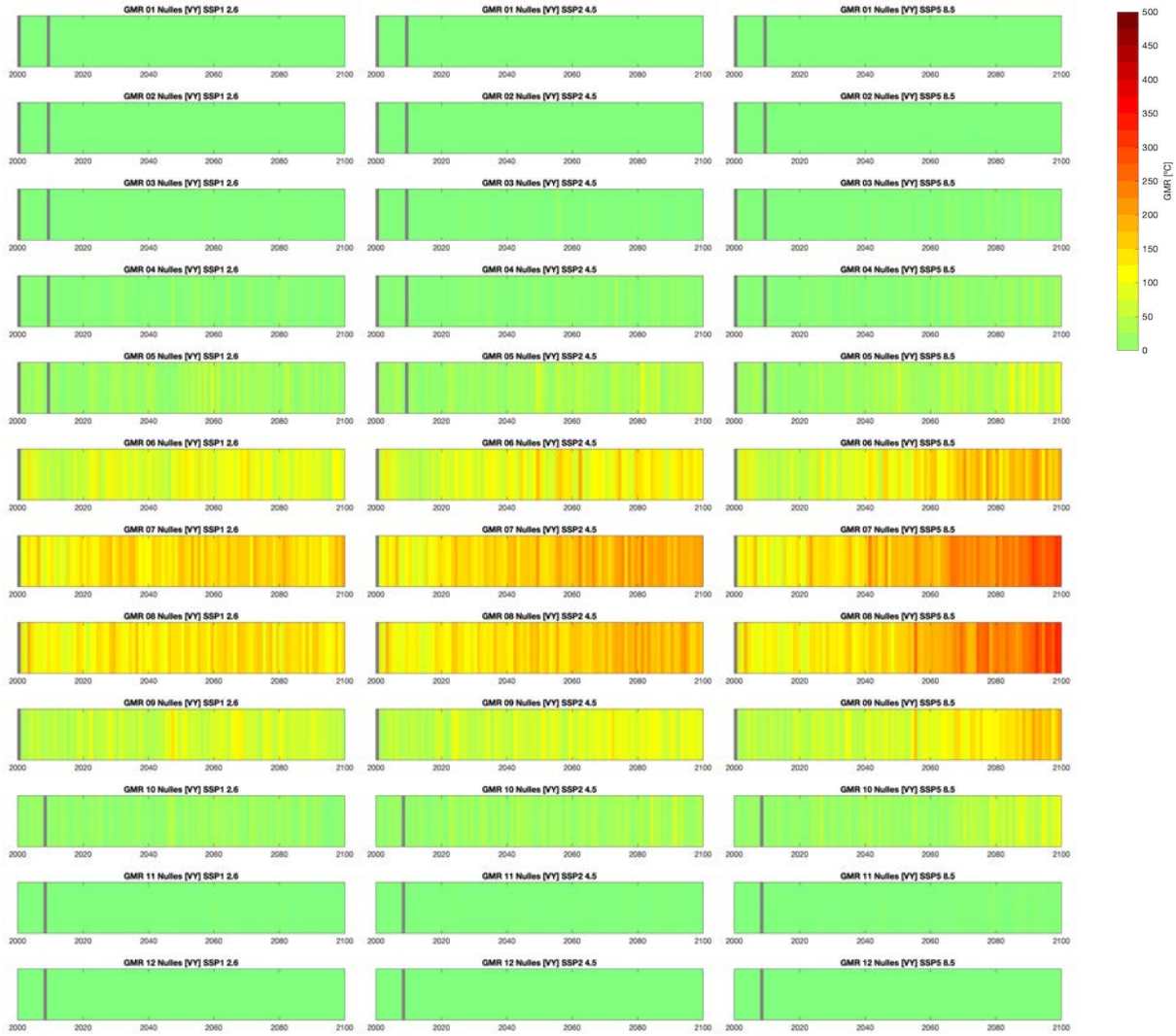

Figura A.327: Evolució dels graus-mes de refrigeració (GMR a l'estació VY- Nulles, per als diferents escenaris [SSP1 2.6, SSP2 4.5 i SSP5 8.5] per al model climàtic AWI-CM.

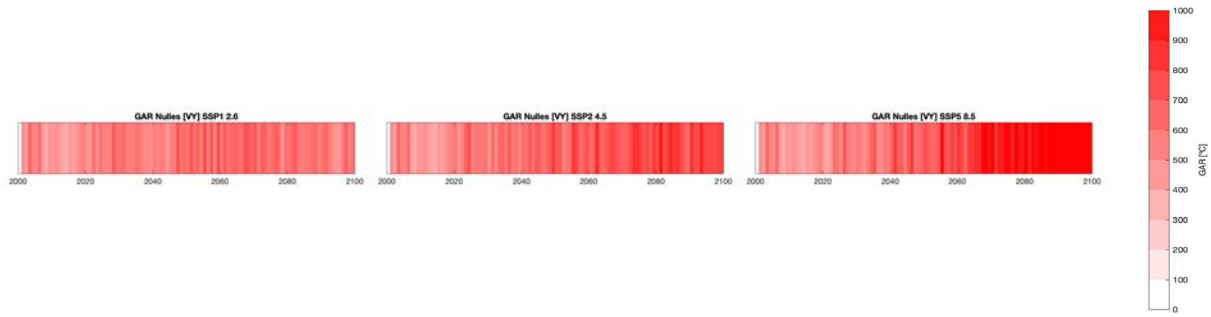

Figura A.328: Evolució dels graus-any de refrigeració (GAR a l'estació VY- Nulles, per als diferents escenaris [SSP1 2.6, SSP2 4.5 i SSP5 8.5] per al model climàtic AWI-CM.

A.1.84 VZ - Espolla

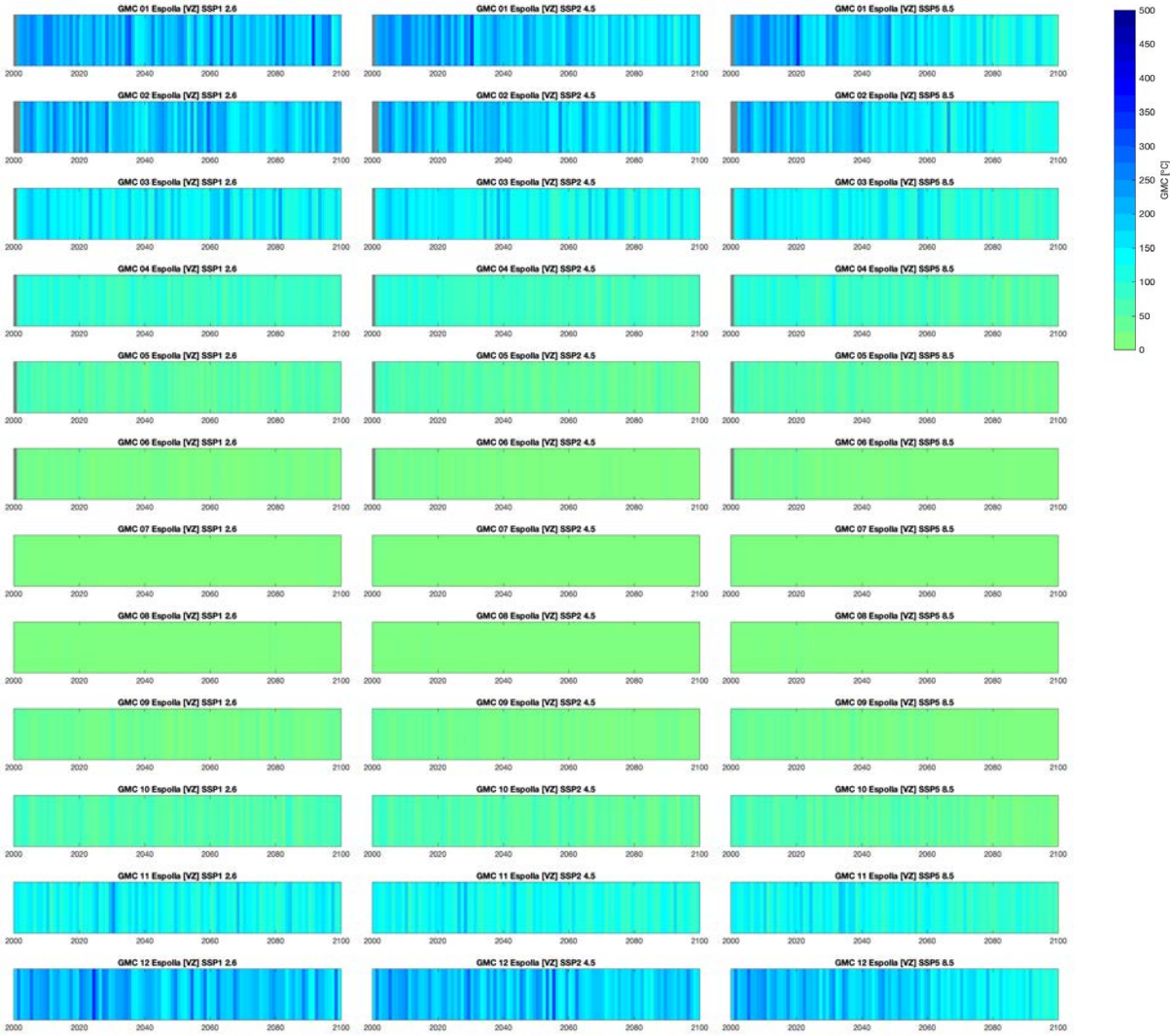

Figura A.329: Evolució dels graus-mes de calefacció (GMC) a l'estació VZ- Espolla, per als diferents escenaris [SSP1 2.6, SSP2 4.5 i SSP5 8.5] per al model climàtic AWI-CM.

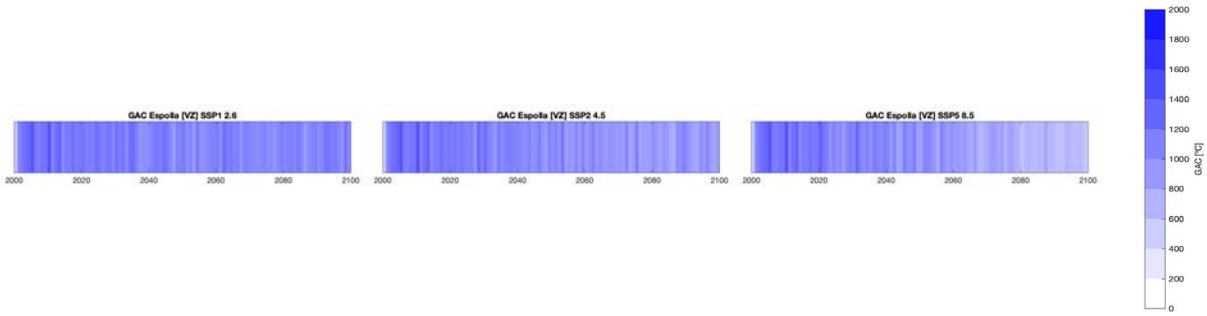

Figura A.330: Evolució dels graus-any de calefacció (GAC) a l'estació VZ- Espolla, per als diferents escenaris [SSP1 2.6, SSP2 4.5 i SSP5 8.5] per al model climàtic AWI-CM.

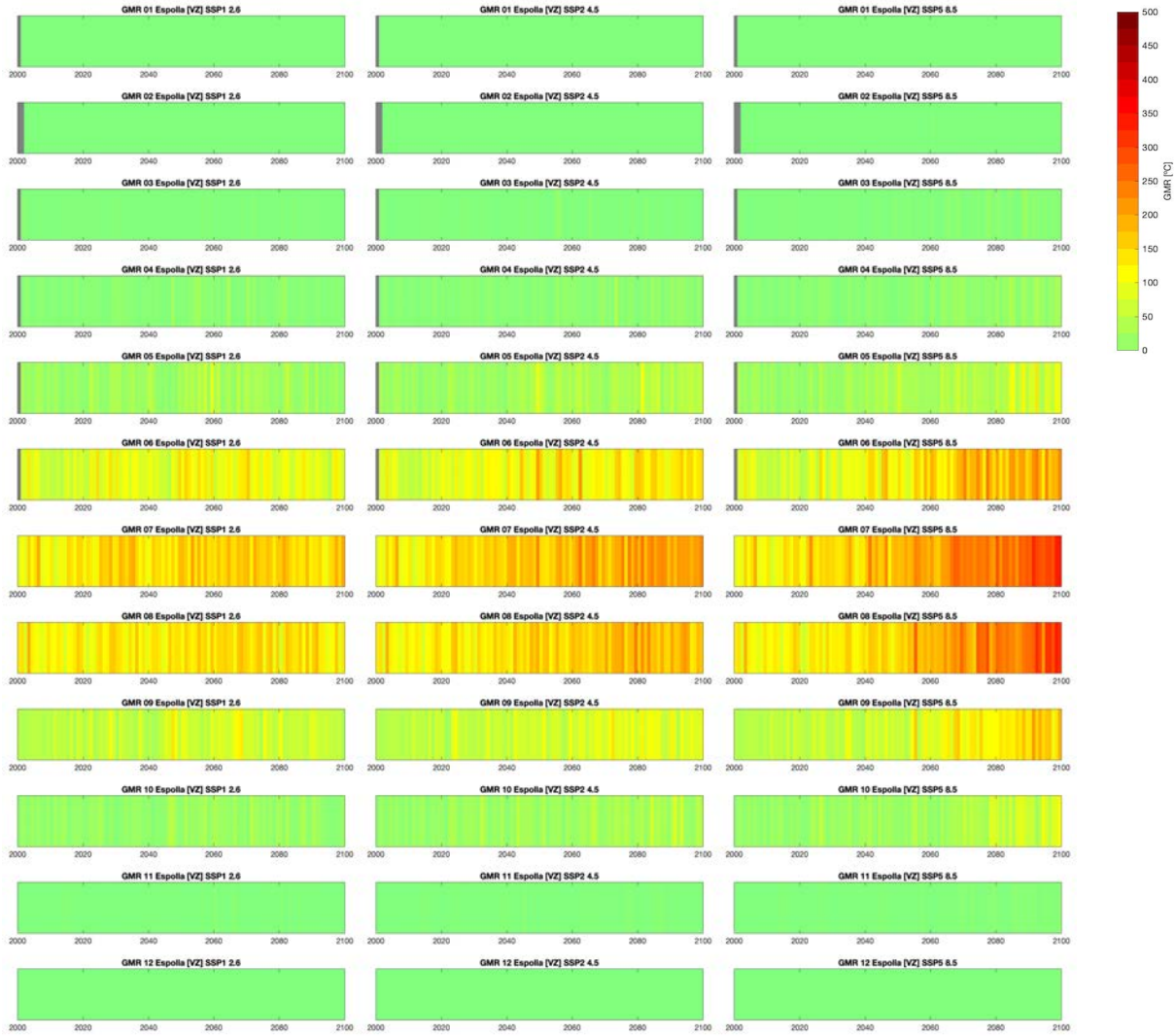

Figura A.331: Evolució dels graus-mes de refrigeració (GMR a l'estació VZ- Espolla, per als diferents escenaris [SSP1 2.6, SSP2 4.5 i SSP5 8.5] per al model climàtic AWI-CM.

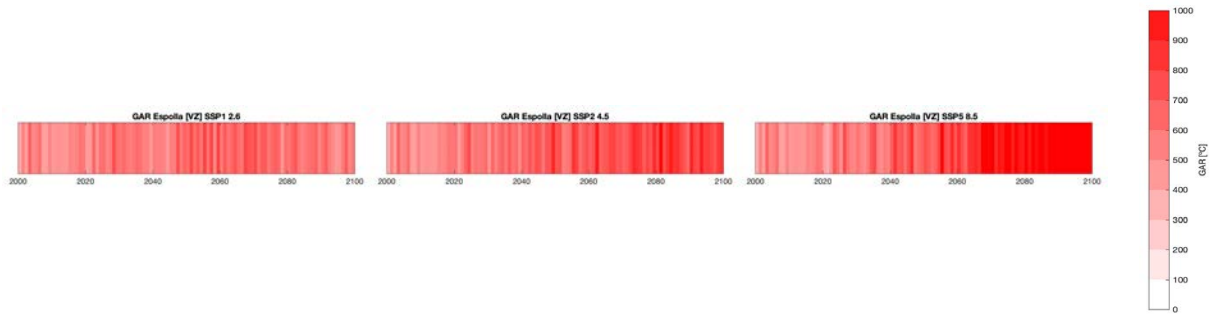

Figura A.332: Evolució dels graus-any de refrigeració (GAR a l'estació VZ- Espolla, per als diferents escenaris [SSP1 2.6, SSP2 4.5 i SSP5 8.5] per al model climàtic AWI-CM.

A.1.85 W1 - Castelló d'Empuries

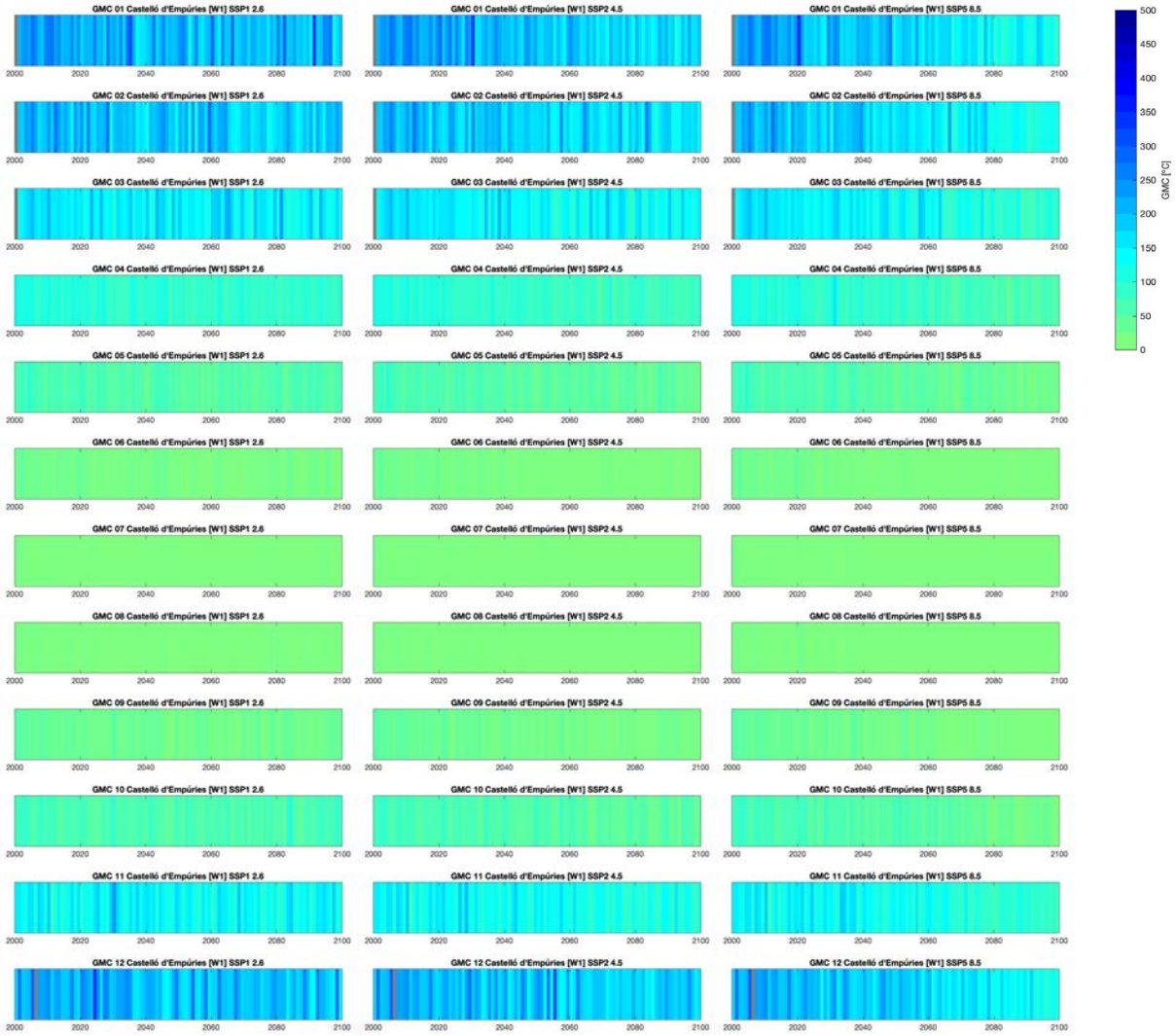

Figura A.333: Evolució dels graus-mes de calefacció (GMC) a l'estació W1- Castelló d'Empuries, per als diferents escenaris [SSP1 2.6, SSP2 4.5 i SSP5 8.5] per al model climàtic AWI-CM.

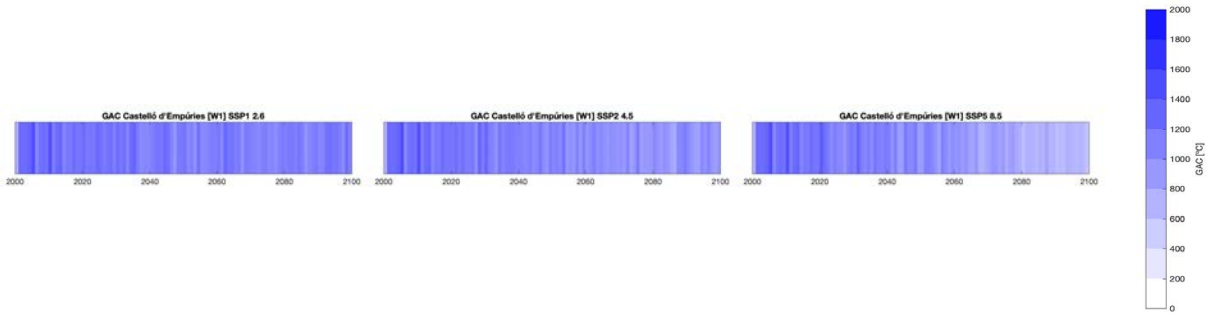

Figura A.334: Evolució dels graus-any de calefacció (GAC) a l'estació W1- Castelló d'Empuries, per als diferents escenaris [SSP1 2.6, SSP2 4.5 i SSP5 8.5] per al model climàtic AWI-CM.

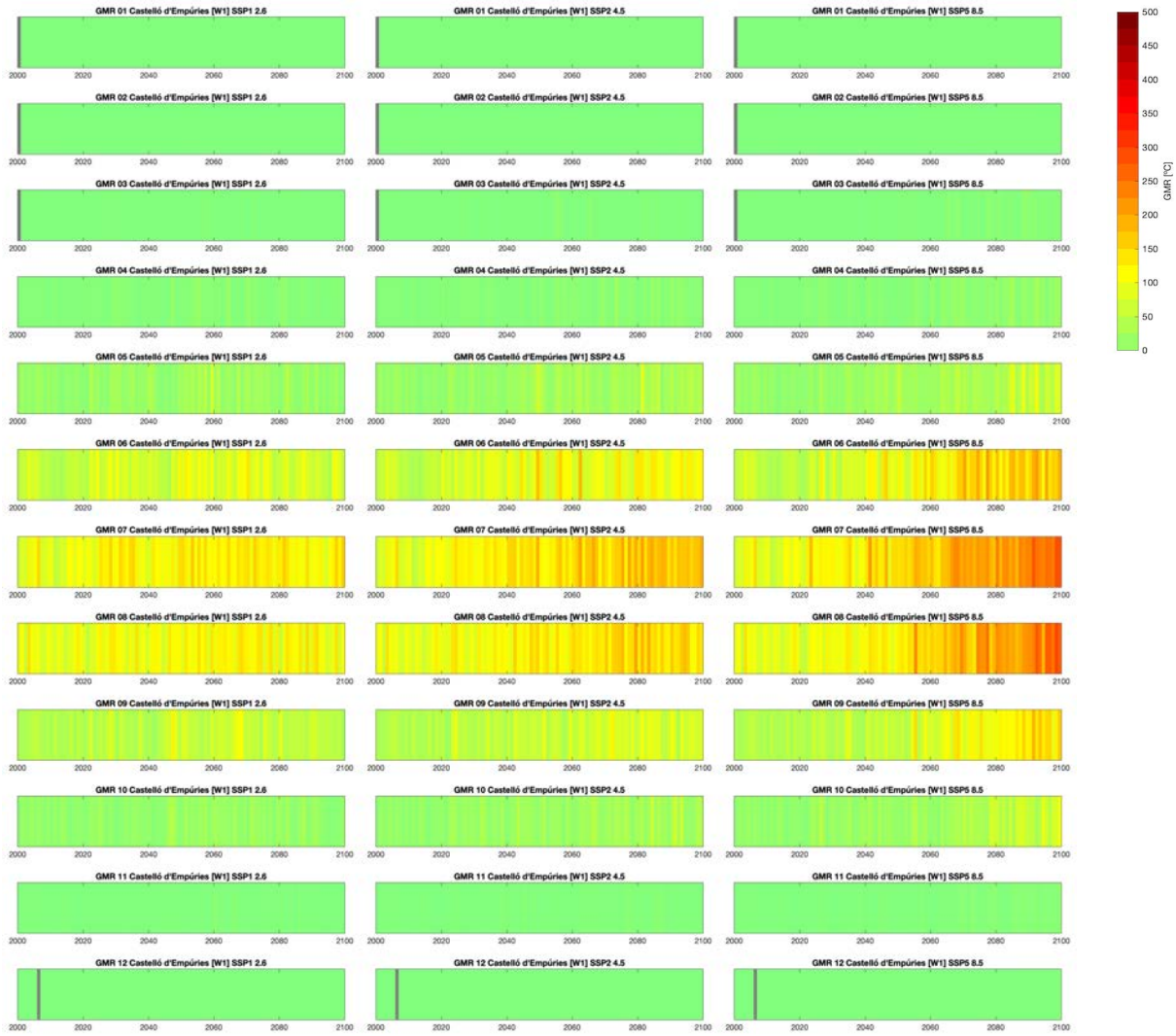

Figura A.335: Evolució dels graus-mes de refrigeració (GMR a l'estació W1- Castelló d'Empuries, per als diferents escenaris [SSP1 2.6, SSP2 4.5 i SSP5 8.5] per al model climàtic AWI-CM.

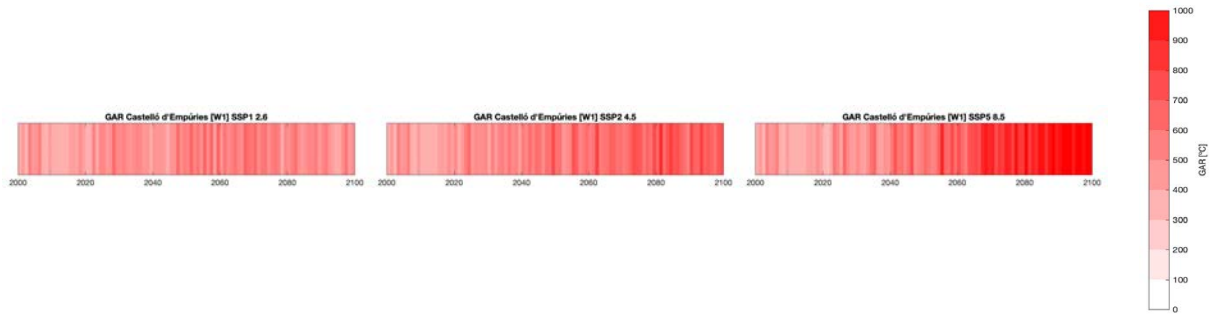

Figura A.336: Evolució dels graus-any de refrigeració (GAR a l'estació W1- Castelló d'Empuries, per als diferents escenaris [SSP1 2.6, SSP2 4.5 i SSP5 8.5] per al model climàtic AWI-CM.

A.1.86 W4 - La Granada

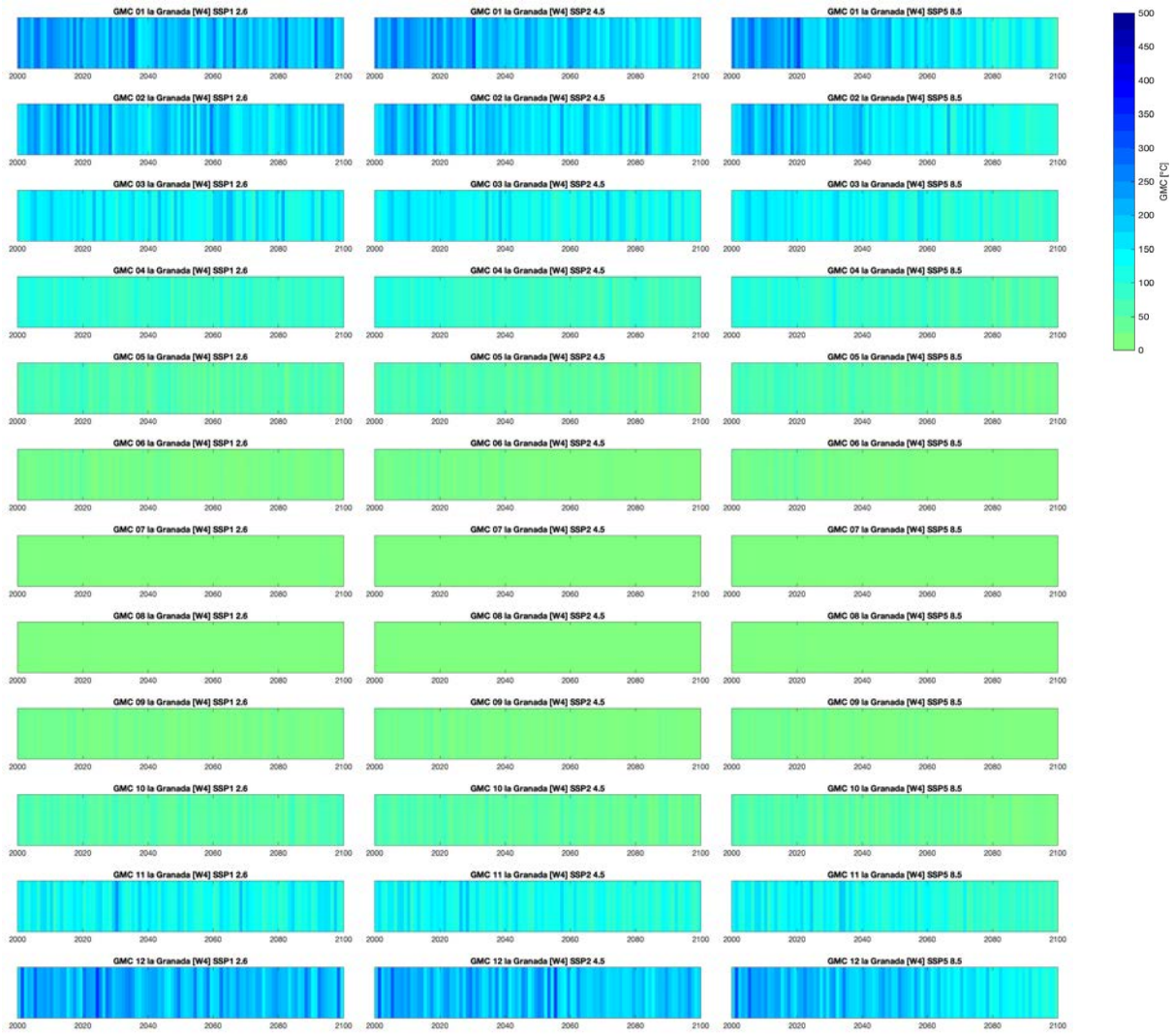

Figura A.337: Evolució dels graus-mes de calefacció (GMC) a l'estació W4- La Granada, per als diferents escenaris [SSP1 2.6, SSP2 4.5 i SSP5 8.5] per al model climàtic AWI-CM.

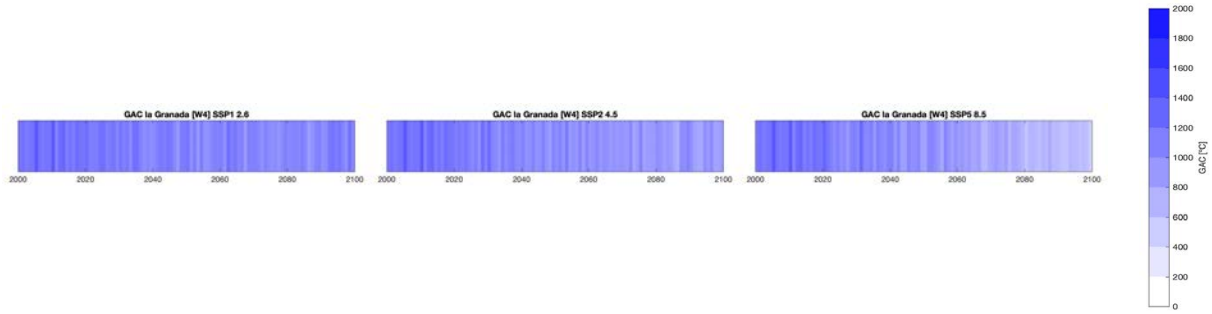

Figura A.338: Evolució dels graus-any de calefacció (GAC) a l'estació W4- La Granada, per als diferents escenaris [SSP1 2.6, SSP2 4.5 i SSP5 8.5] per al model climàtic AWI-CM.

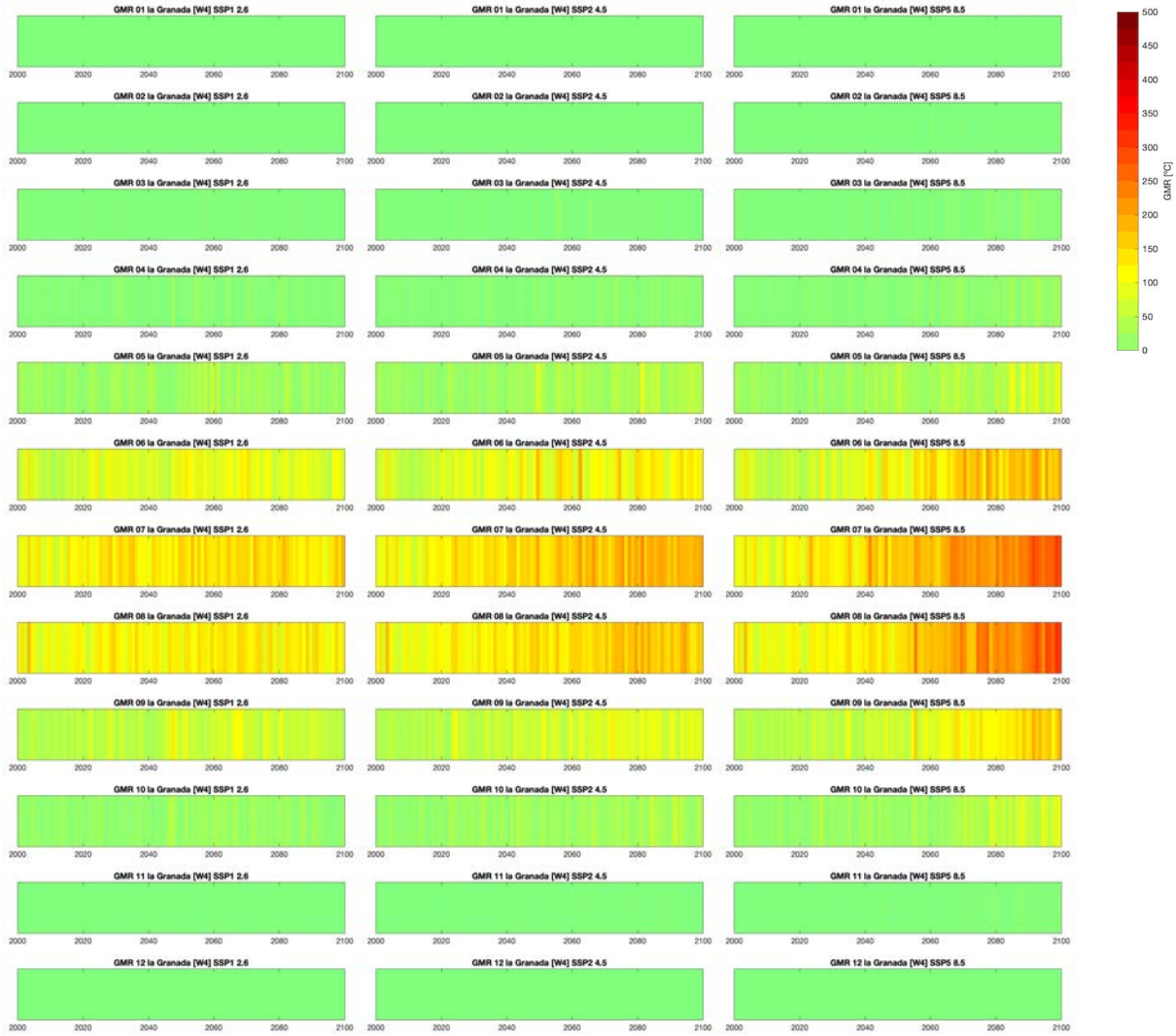

Figura A.339: Evolució dels graus-mes de refrigeració (GMR a l'estació W4- La Granada, per als diferents escenaris [SSP1 2.6, SSP2 4.5 i SSP5 8.5] per al model climàtic AWI-CM.

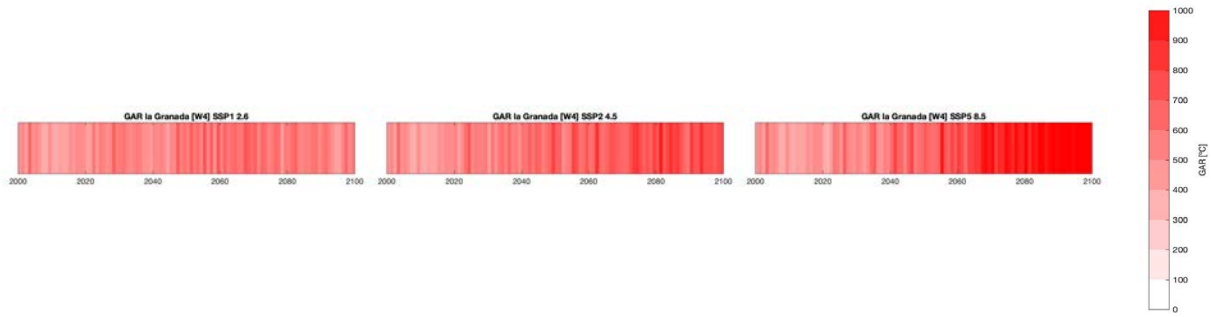

Figura A.340: Evolució dels graus-any de refrigeració (GAR a l'estació W4- La Granada, per als diferents escenaris [SSP1 2.6, SSP2 4.5 i SSP5 8.5] per al model climàtic AWI-CM.

A.1.87 W5 - Oliana

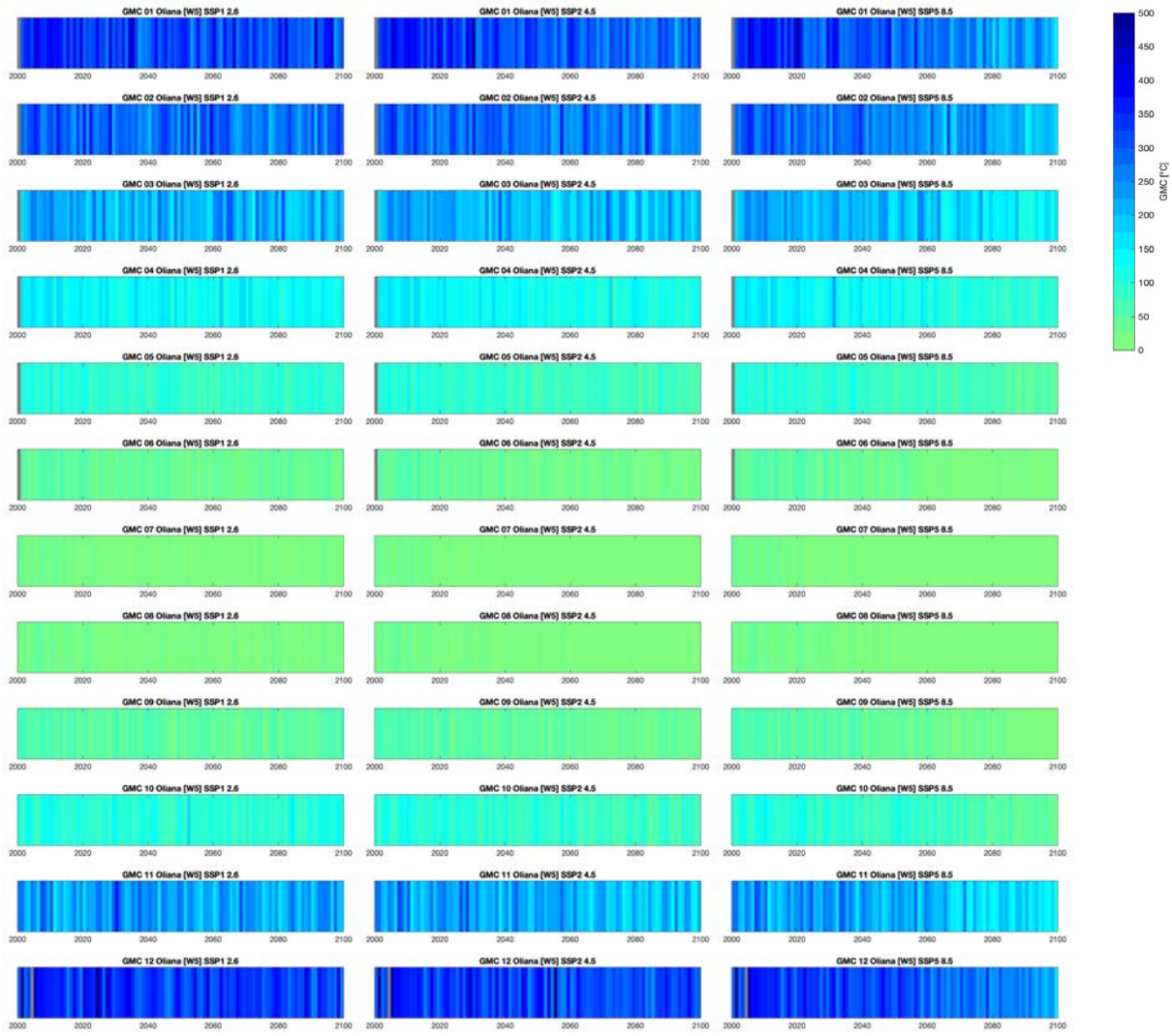

Figura A.341: Evolució dels graus-mes de calefacció (GMC) a l'estació W5- Oliana, per als diferents escenaris [SSP1 2.6, SSP2 4.5 i SSP5 8.5] per al model climàtic AWI-CM.

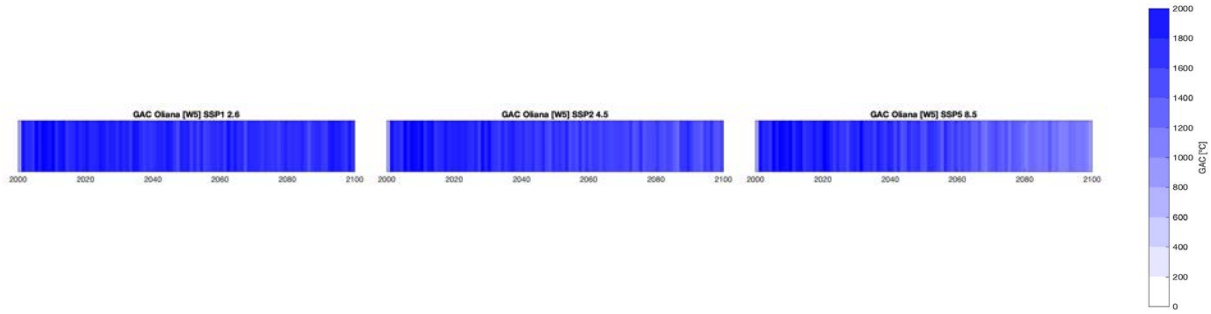

Figura A.342: Evolució dels graus-any de calefacció (GAC) a l'estació W5- Oliana, per als diferents escenaris [SSP1 2.6, SSP2 4.5 i SSP5 8.5] per al model climàtic AWI-CM.

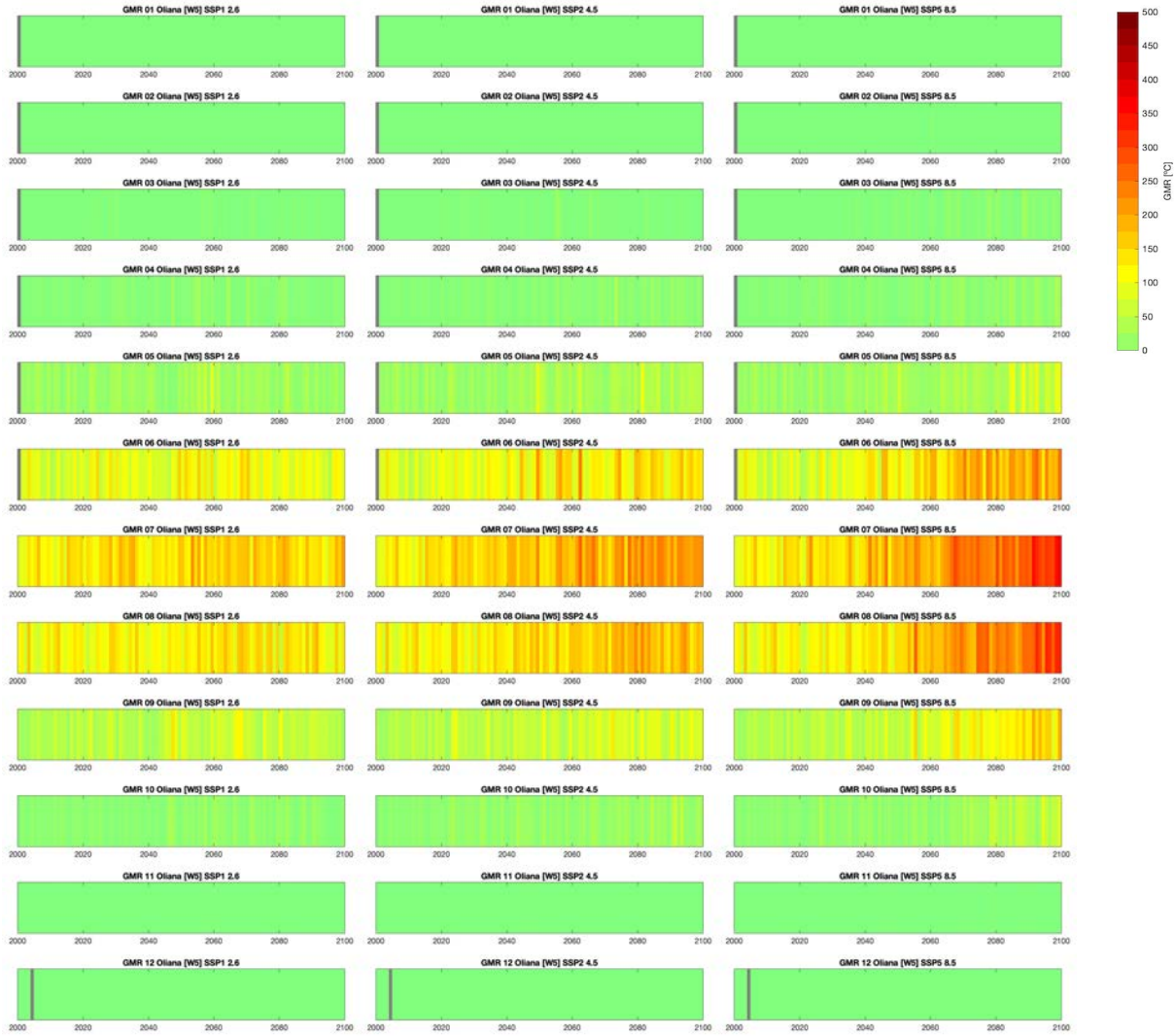

Figura A.343: Evolució dels graus-mes de refrigeració (GMR a l'estació W5- Oliana, per als diferents escenaris [SSP1 2.6, SSP2 4.5 i SSP5 8.5] per al model climàtic AWI-CM.

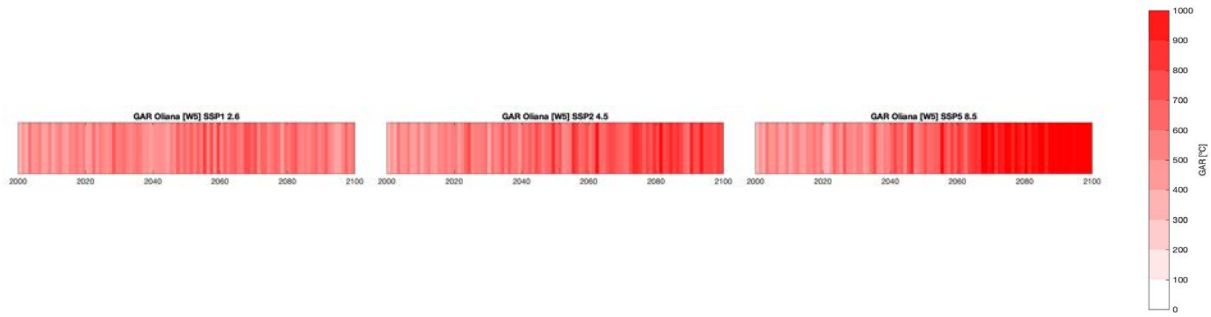

Figura A.344: Evolució dels graus-any de refrigeració (GAR a l'estació W5- Oliana, per als diferents escenaris [SSP1 2.6, SSP2 4.5 i SSP5 8.5] per al model climàtic AWI-CM.

A.1.88 W6 - Riudoms

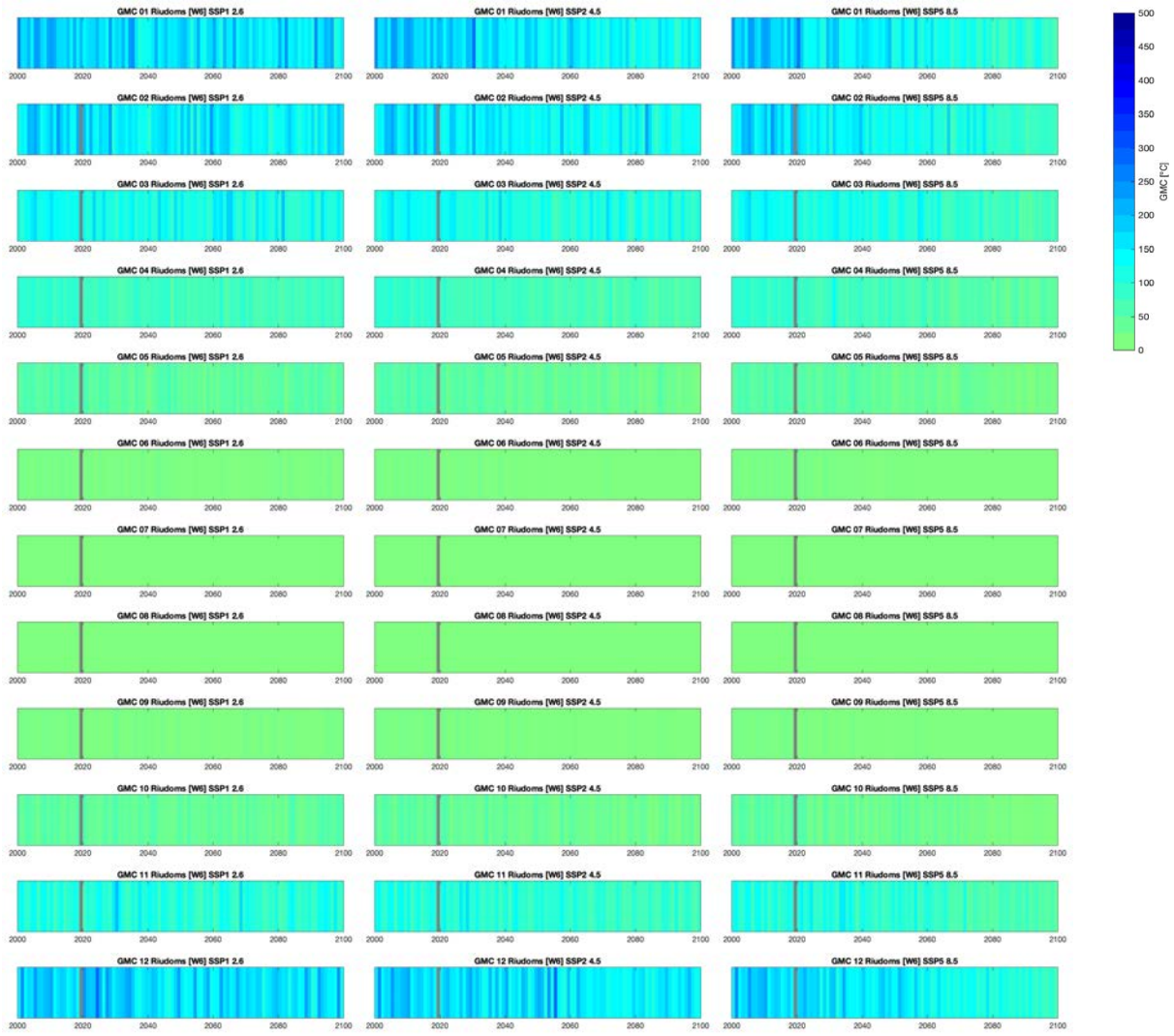

Figura A.345: Evolució dels graus-mes de calefacció (GMC) a l'estació W6- Riudoms, per als diferents escenaris [SSP1 2.6, SSP2 4.5 i SSP5 8.5] per al model climàtic AWI-CM.

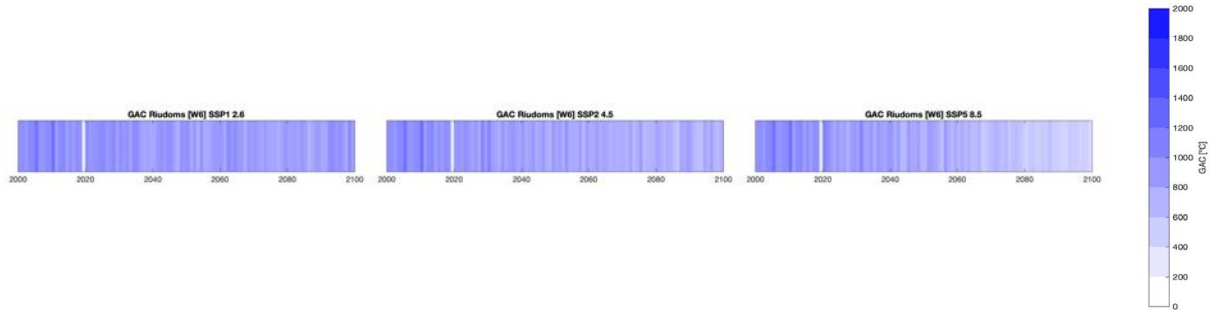

Figura A.346: Evolució dels graus-any de calefacció (GAC) a l'estació W6- Riudoms, per als diferents escenaris [SSP1 2.6, SSP2 4.5 i SSP5 8.5] per al model climàtic AWI-CM.

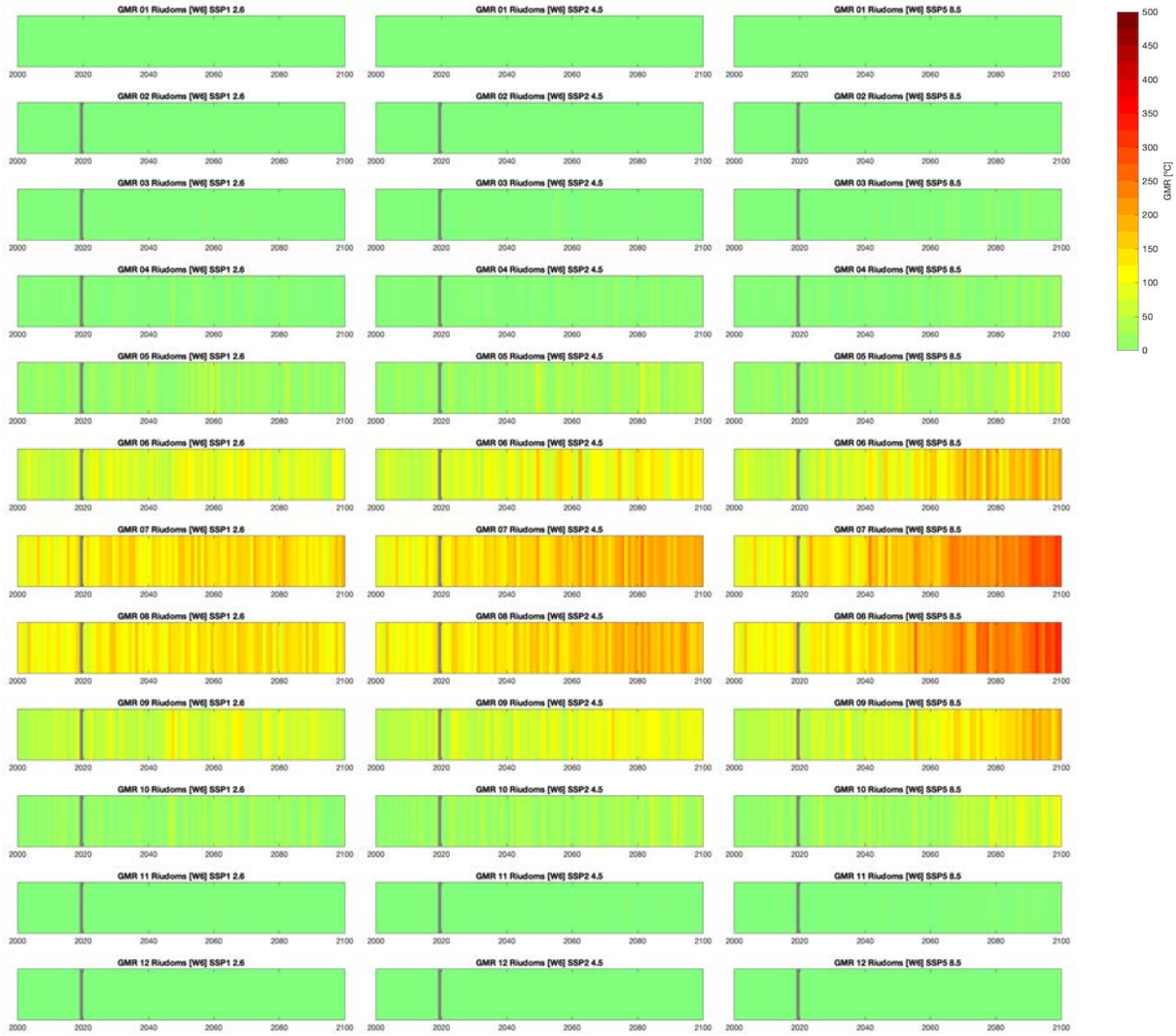

Figura A.347: Evolució dels graus-mes de refrigeració (GMR a l'estació W6- Riudoms, per als diferents escenaris [SSP1 2.6, SSP2 4.5 i SSP5 8.5] per al model climàtic AWI-CM.

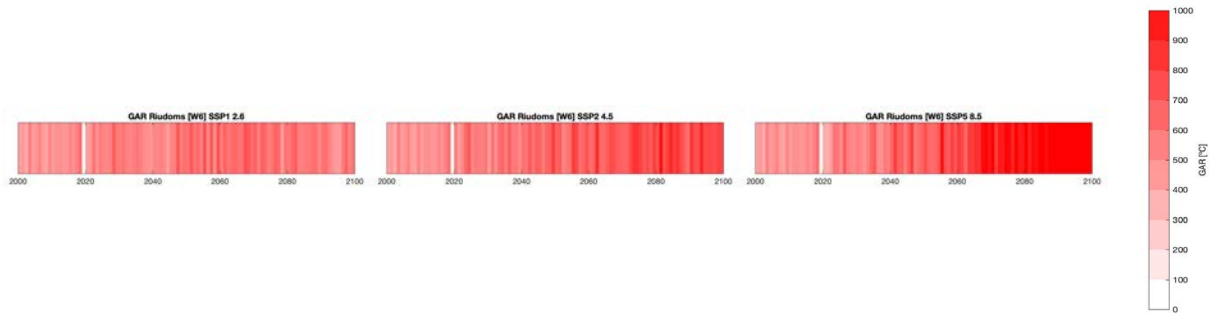

Figura A.348: Evolució dels graus-any de refrigeració (GAR a l'estació W6- Riudoms, per als diferents escenaris [SSP1 2.6, SSP2 4.5 i SSP5 8.5] per al model climàtic AWI-CM.

A.1.89 W8 - Blancafort

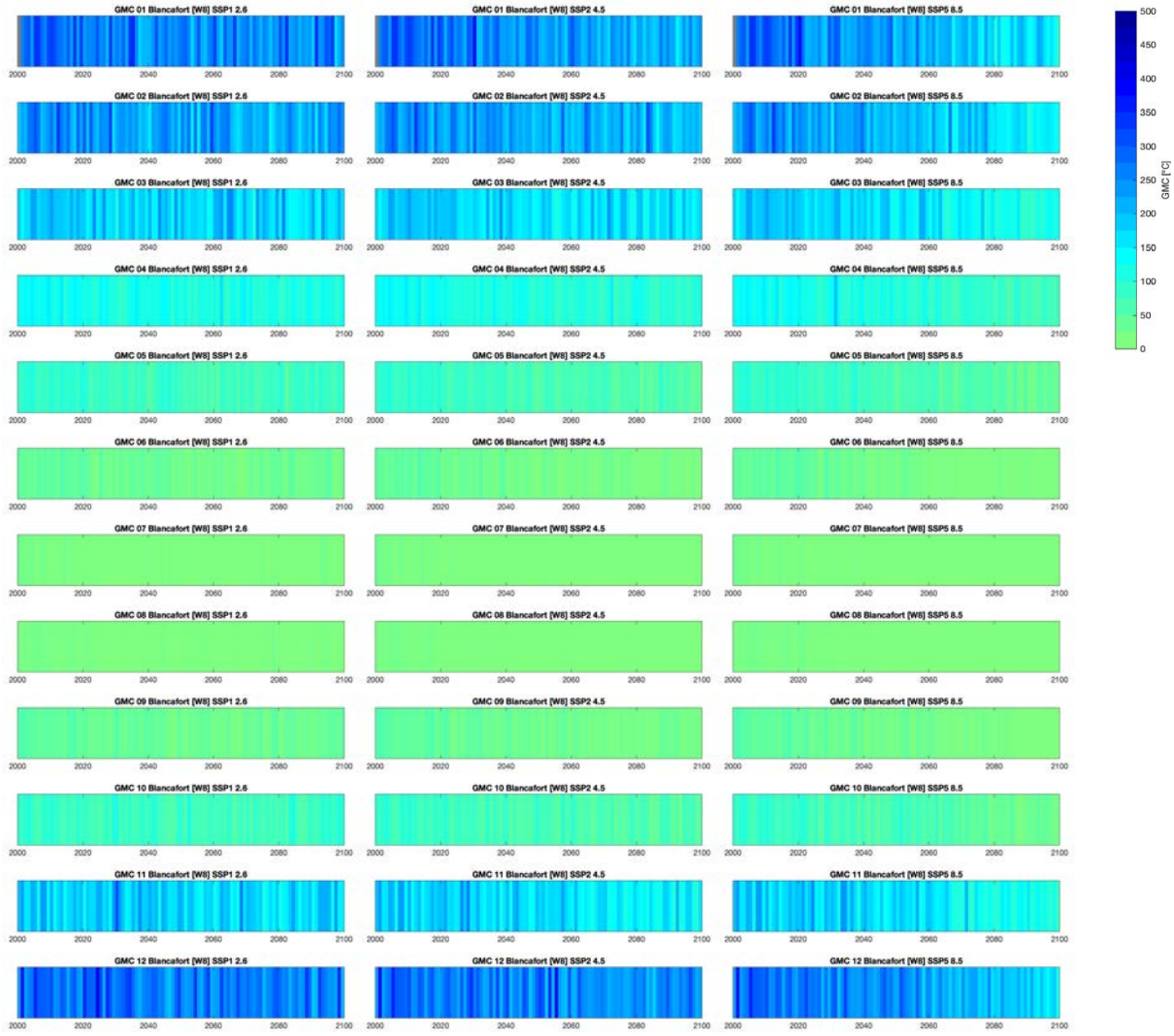

Figura A.349: Evolució dels graus-mes de calefacció (GMC) a l'estació W8- Blancafort, per als diferents escenaris [SSP1 2.6, SSP2 4.5 i SSP5 8.5] per al model climàtic AWI-CM.

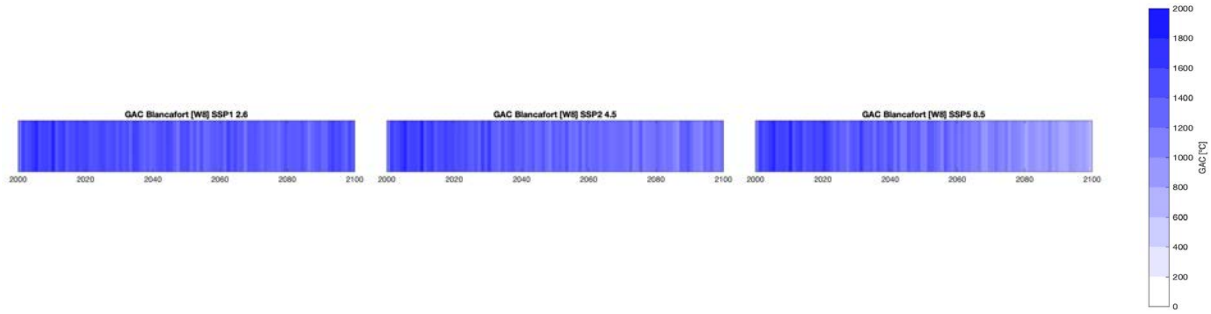

Figura A.350: Evolució dels graus-any de calefacció (GAC) a l'estació W8- Blancafort, per als diferents escenaris [SSP1 2.6, SSP2 4.5 i SSP5 8.5] per al model climàtic AWI-CM.

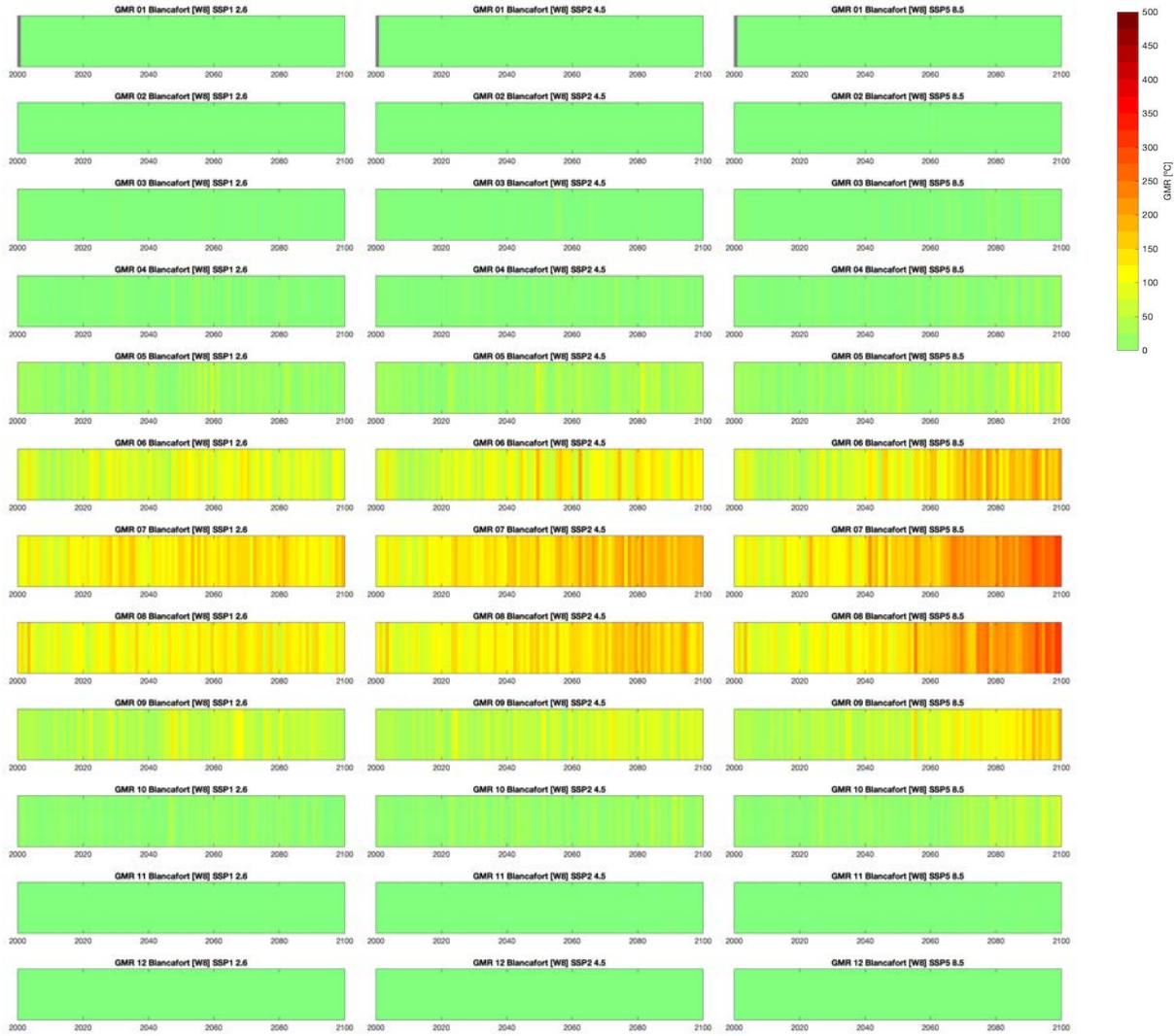

Figura A.351: Evolució dels graus-mes de refrigeració (GMR a l'estació W8- Blancafort, per als diferents escenaris [SSP1 2.6, SSP2 4.5 i SSP5 8.5] per al model climàtic AWI-CM.

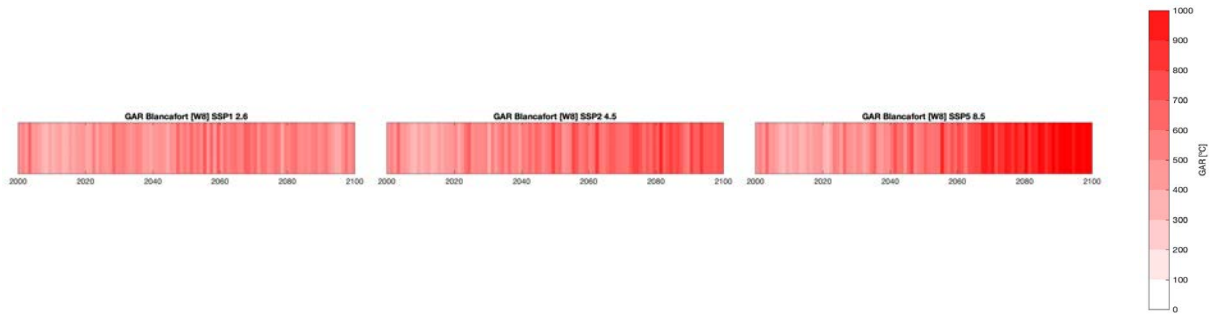

Figura A.352: Evolució dels graus-any de refrigeració (GAR a l'estació W8- Blancafort, per als diferents escenaris [SSP1 2.6, SSP2 4.5 i SSP5 8.5] per al model climàtic AWI-CM.

A.1.90 W9 - La Vall d'en Bas

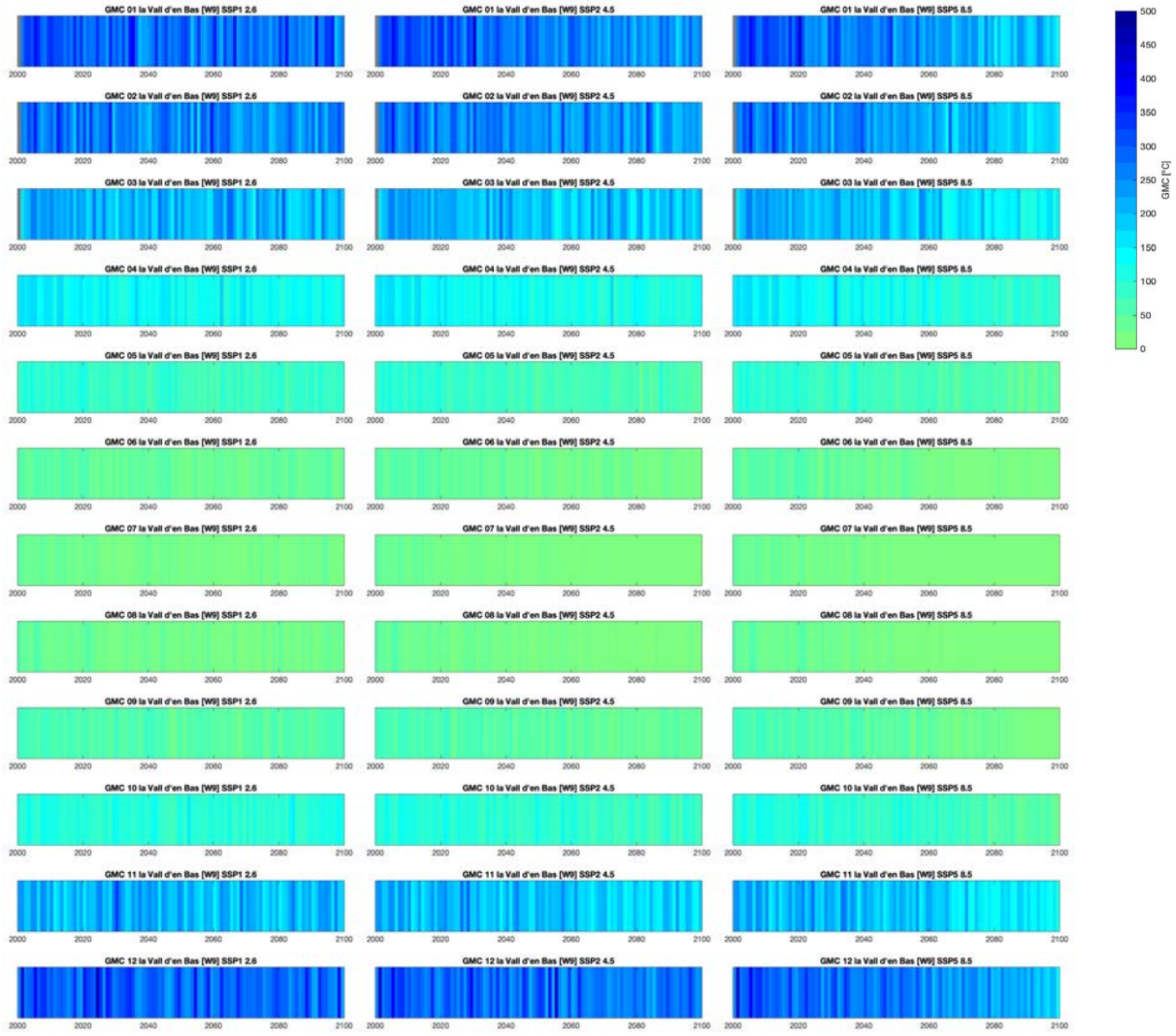

Figura A.353: Evolució dels graus-mes de calefacció (GMC) a l'estació W9- La Vall d'en Bas, per als diferents escenaris [SSP1 2.6, SSP2 4.5 i SSP5 8.5] per al model climàtic AWI-CM.

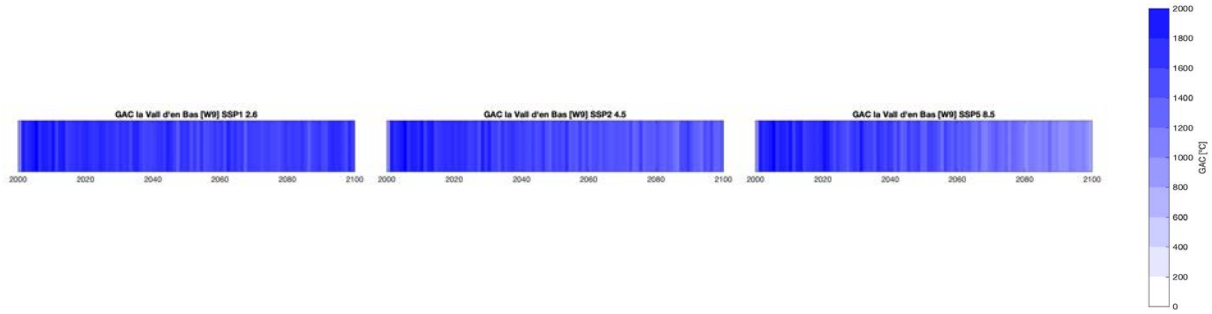

Figura A.354: Evolució dels graus-any de calefacció (GAC) a l'estació W9- La Vall d'en Bas, per als diferents escenaris [SSP1 2.6, SSP2 4.5 i SSP5 8.5] per al model climàtic AWI-CM.

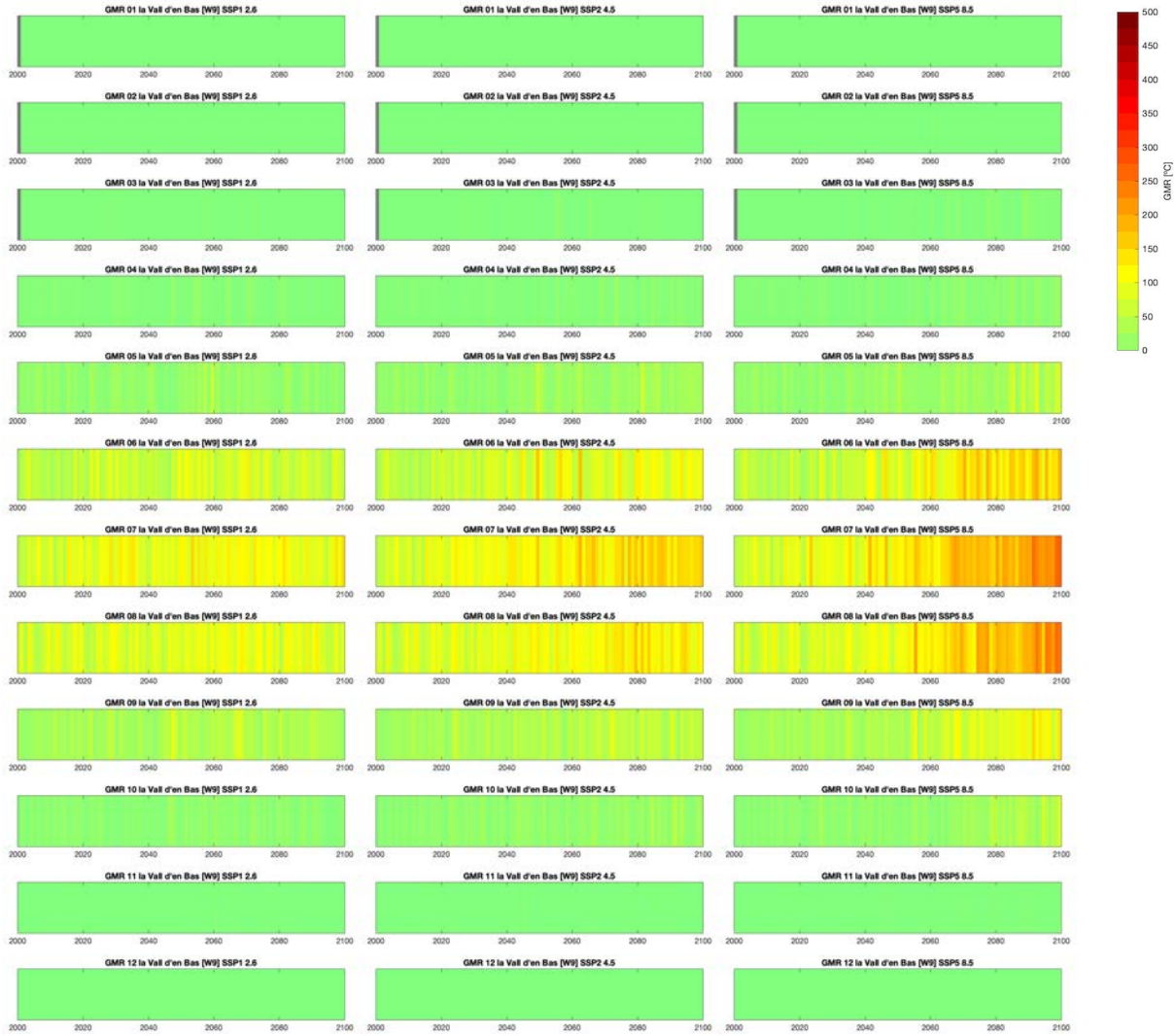

Figura A.355: Evolució dels graus-mes de refrigeració (GMR a l'estació W9- La Vall d'en Bas, per als diferents escenaris [SSP1 2.6, SSP2 4.5 i SSP5 8.5] per al model climàtic AWI-CM.

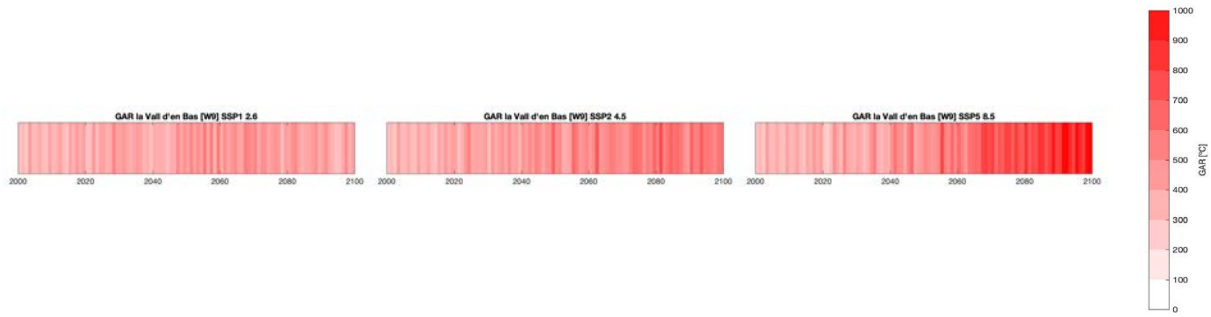

Figura A.356: Evolució dels graus-any de refrigeració (GAR a l'estació W9- La Vall d'en Bas, per als diferents escenaris [SSP1 2.6, SSP2 4.5 i SSP5 8.5] per al model climàtic AWI-CM.

A.1.91 WB - Albesa

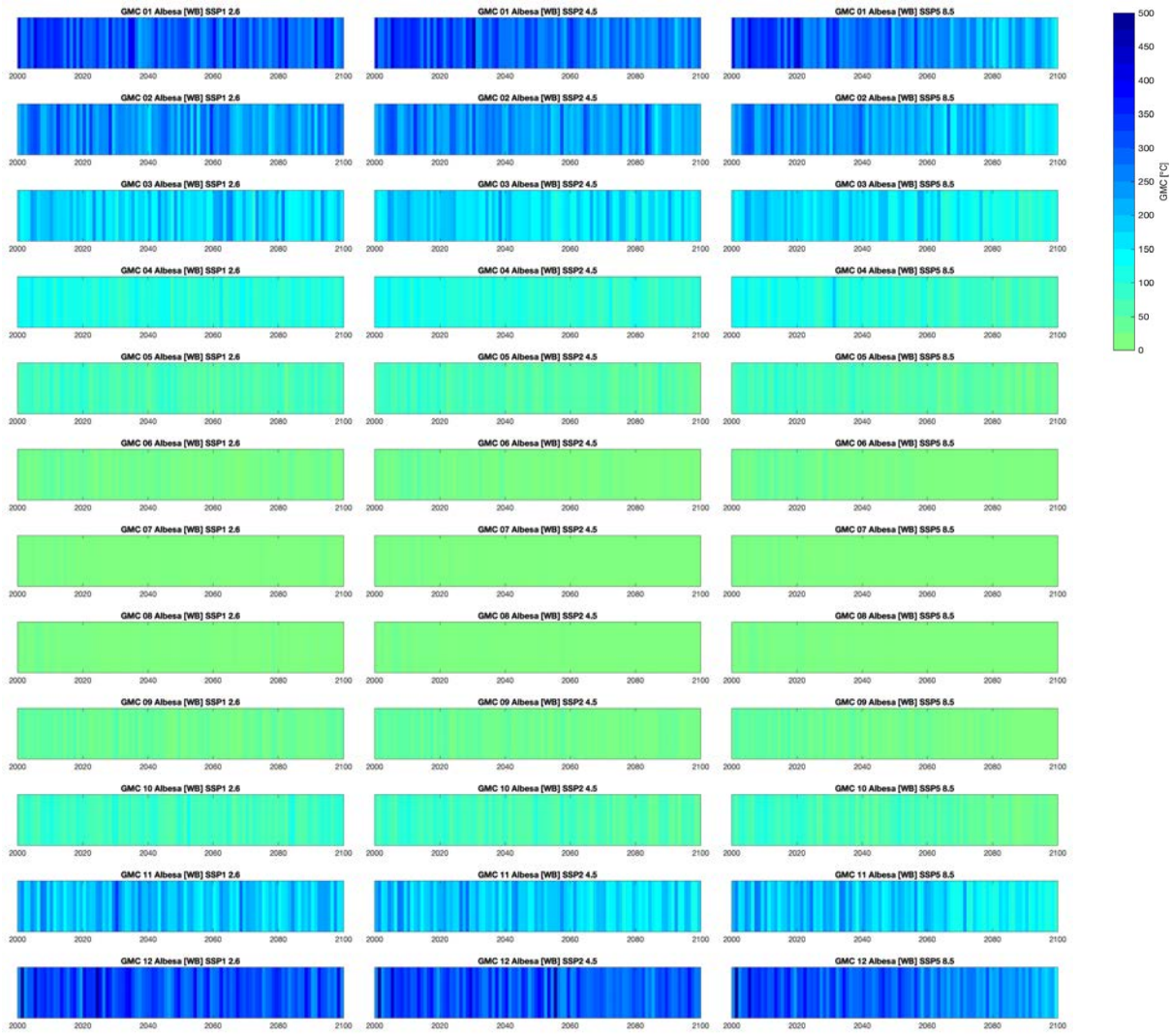

Figura A.357: Evolució dels graus-mes de calefacció (GMC) a l'estació WB- Albesa, per als diferents escenaris [SSP1 2.6, SSP2 4.5 i SSP5 8.5] per al model climàtic AWI-CM.

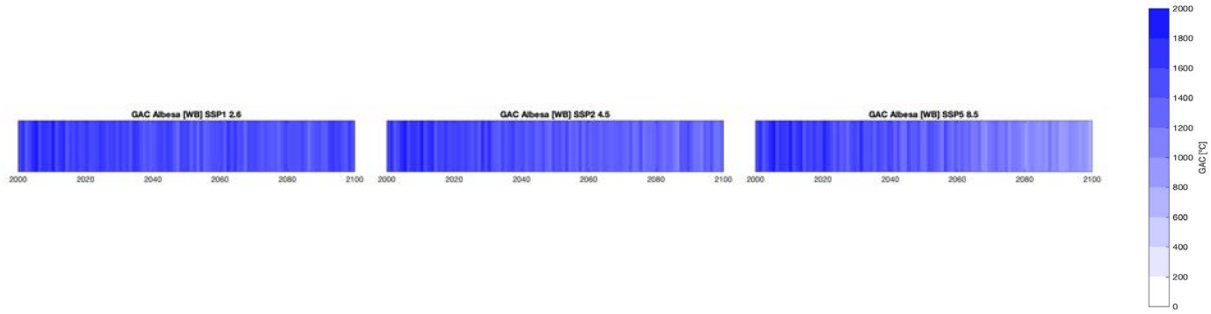

Figura A.358: Evolució dels graus-any de calefacció (GAC) a l'estació WB- Albesa, per als diferents escenaris [SSP1 2.6, SSP2 4.5 i SSP5 8.5] per al model climàtic AWI-CM.

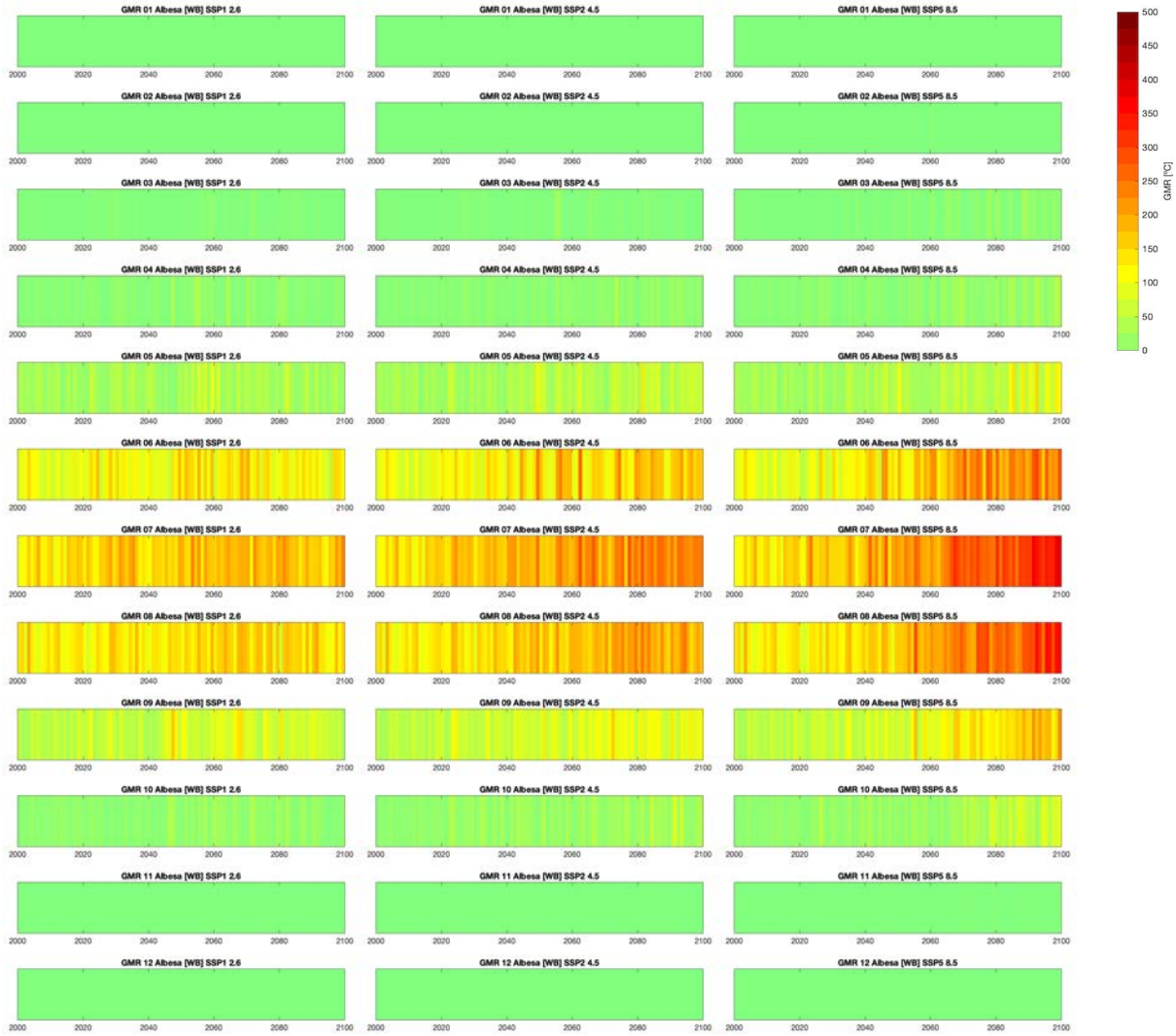

Figura A.359: Evolució dels graus-mes de refrigeració (GMR a l'estació WB- Albesa, per als diferents escenaris [SSP1 2.6, SSP2 4.5 i SSP5 8.5] per al model climàtic AWI-CM.

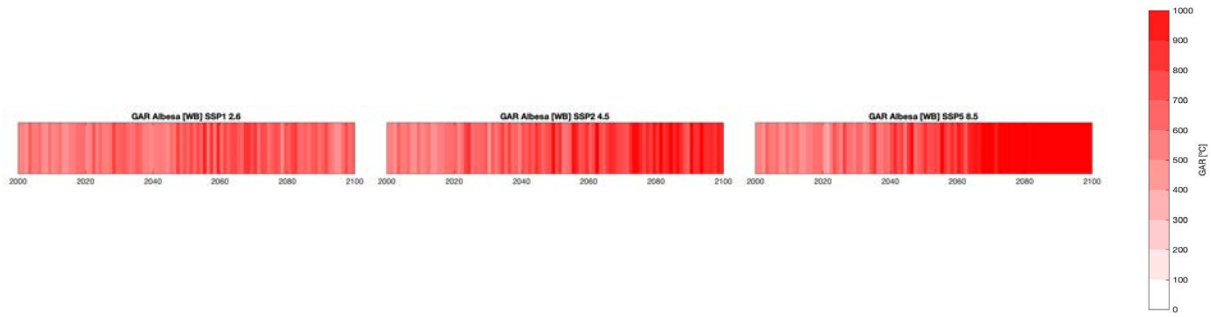

Figura A.360: Evolució dels graus-any de refrigeració (GAR a l'estació WB- Albesa, per als diferents escenaris [SSP1 2.6, SSP2 4.5 i SSP5 8.5] per al model climàtic AWI-CM.

A.1.92 WD - Batea

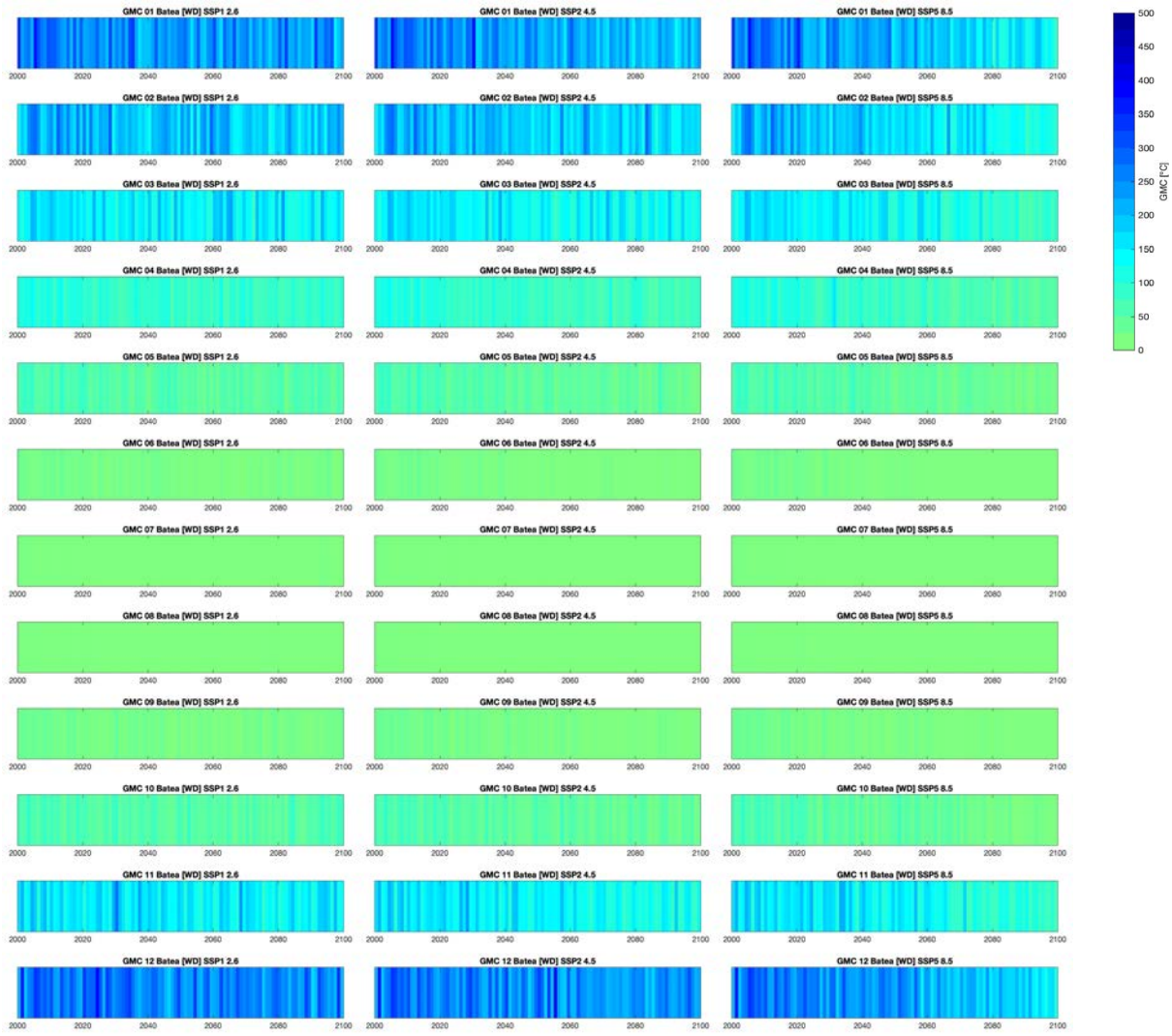

Figura A.361: Evolució dels graus-mes de calefacció (GMC) a l'estació WD- Batea, per als diferents escenaris [SSP1 2.6, SSP2 4.5 i SSP5 8.5] per al model climàtic AWI-CM.

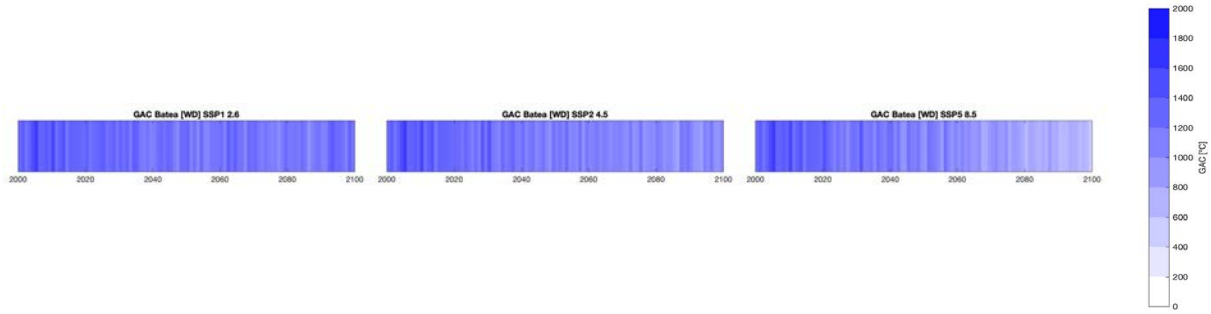

Figura A.362: Evolució dels graus-any de calefacció (GAC) a l'estació WD- Batea, per als diferents escenaris [SSP1 2.6, SSP2 4.5 i SSP5 8.5] per al model climàtic AWI-CM.

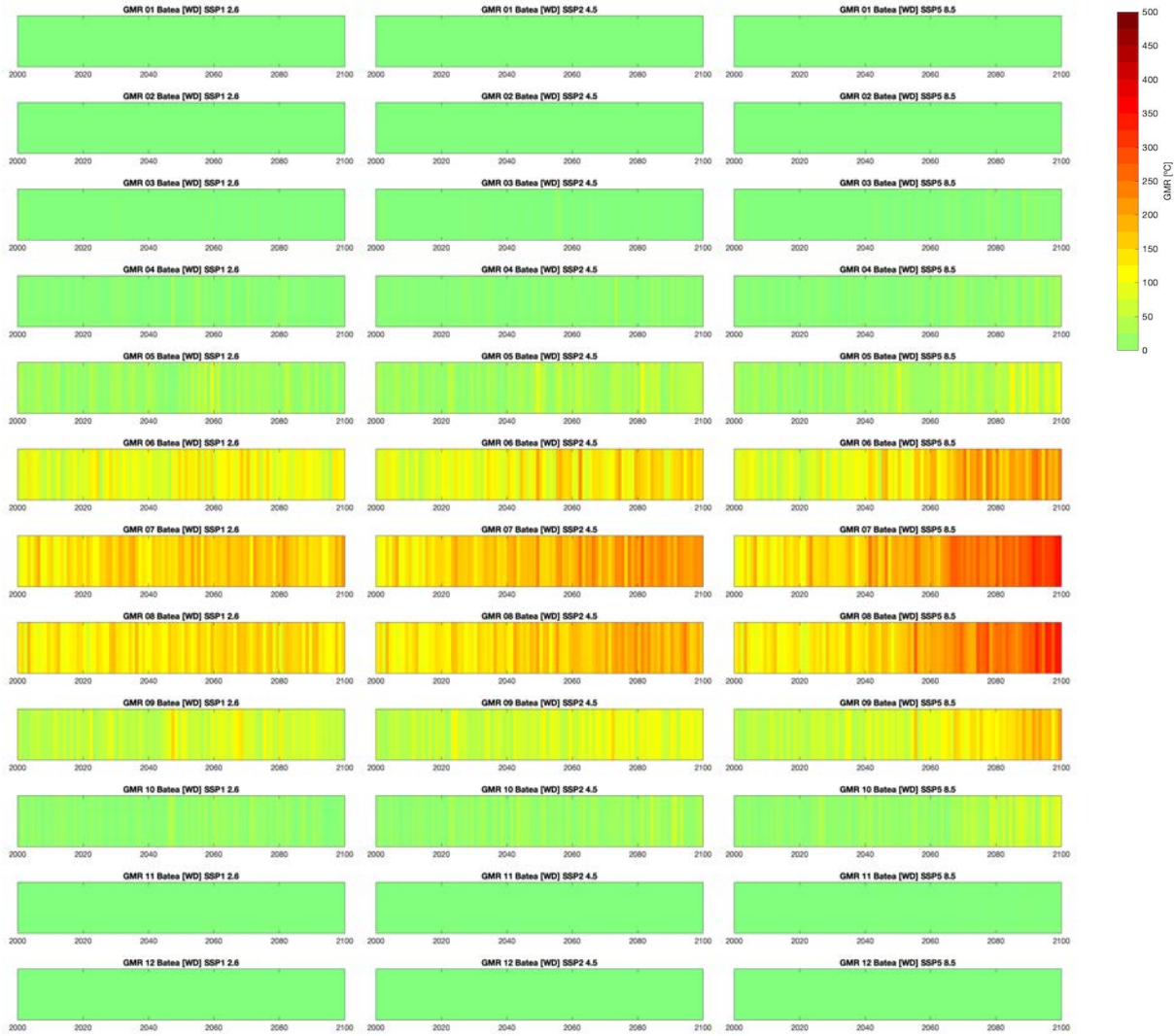

Figura A.363: Evolució dels graus-mes de refrigeració (GMR a l'estació WD- Batea, per als diferents escenaris [SSP1 2.6, SSP2 4.5 i SSP5 8.5] per al model climàtic AWI-CM.

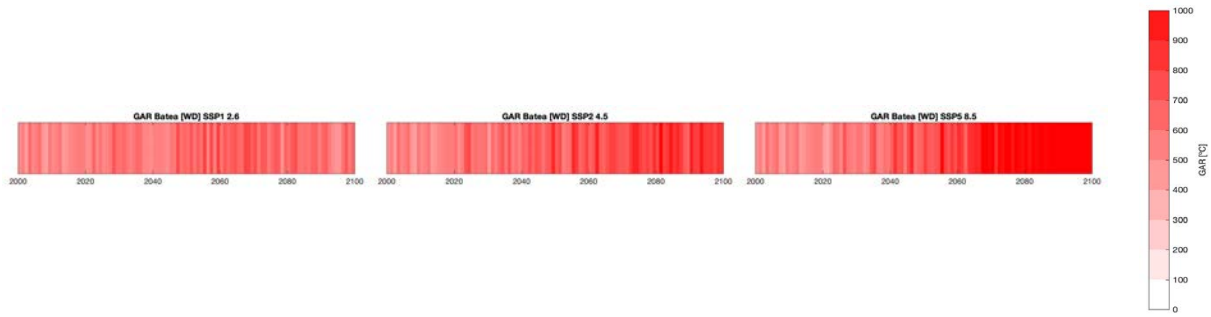

Figura A.364: Evolució dels graus-any de refrigeració (GAR a l'estació WD- Batea, per als diferents escenaris [SSP1 2.6, SSP2 4.5 i SSP5 8.5] per al model climàtic AWI-CM.

A.1.93 WE - Vilanova del Vallès

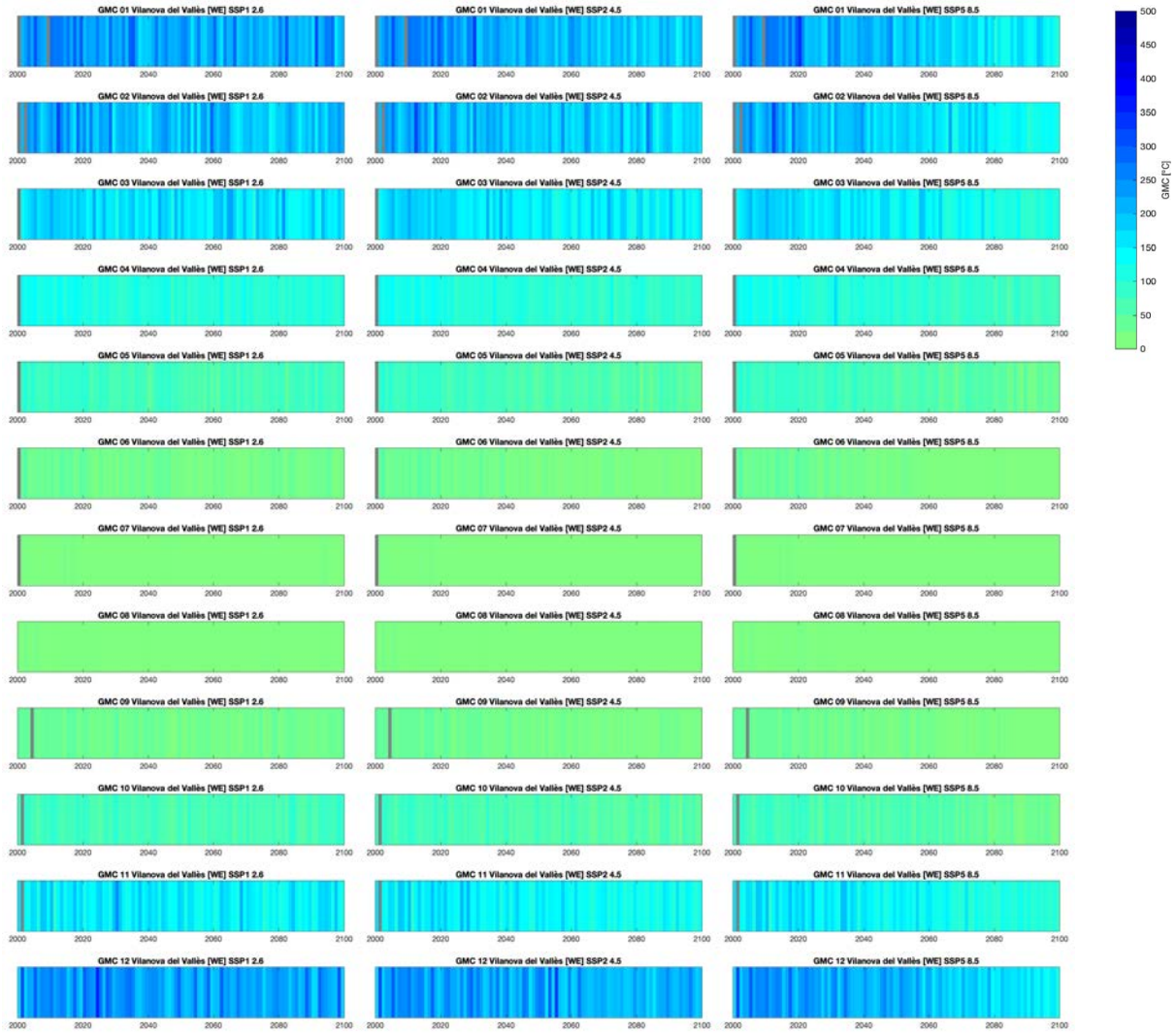

Figura A.365: Evolució dels graus-mes de calefacció (GMC) a l'estació WE- Vilanova del Vallès, per als diferents escenaris [SSP1 2.6, SSP2 4.5 i SSP5 8.5] per al model climàtic AWI-CM.

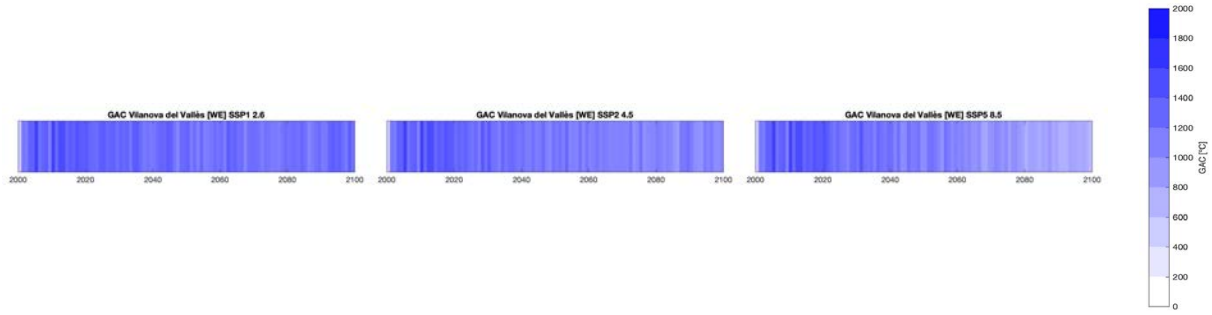

Figura A.366: Evolució dels graus-any de calefacció (GAC) a l'estació WE- Vilanova del Vallès, per als diferents escenaris [SSP1 2.6, SSP2 4.5 i SSP5 8.5] per al model climàtic AWI-CM.

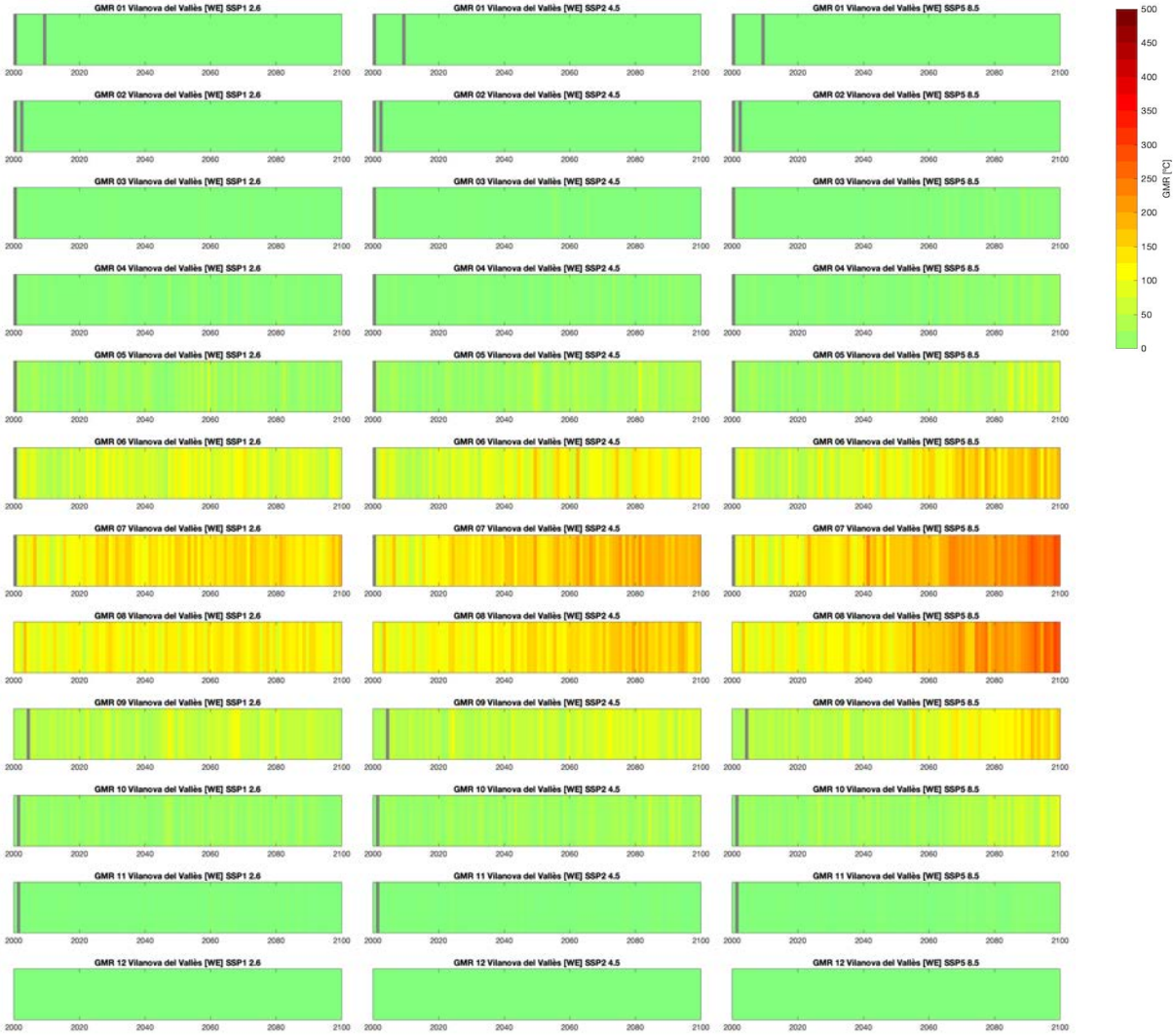

Figura A.367: Evolució dels graus-mes de refrigeració (GMR a l'estació WE- Vilanova del Vallès, per als diferents escenaris [SSP1 2.6, SSP2 4.5 i SSP5 8.5] per al model climàtic AWI-CM.

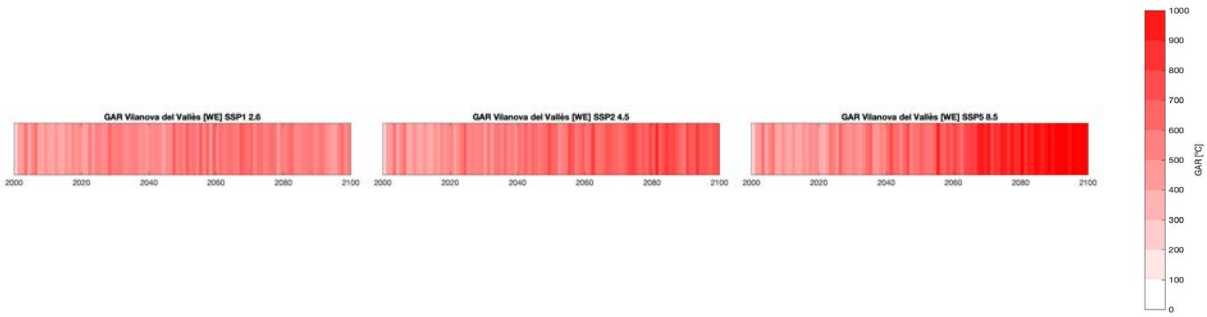

Figura A.368: Evolució dels graus-any de refrigeració (GAR a l'estació WE- Vilanova del Vallès, per als diferents escenaris [SSP1 2.6, SSP2 4.5 i SSP5 8.5] per al model climàtic AWI-CM.

A.1.94 WI - Maials

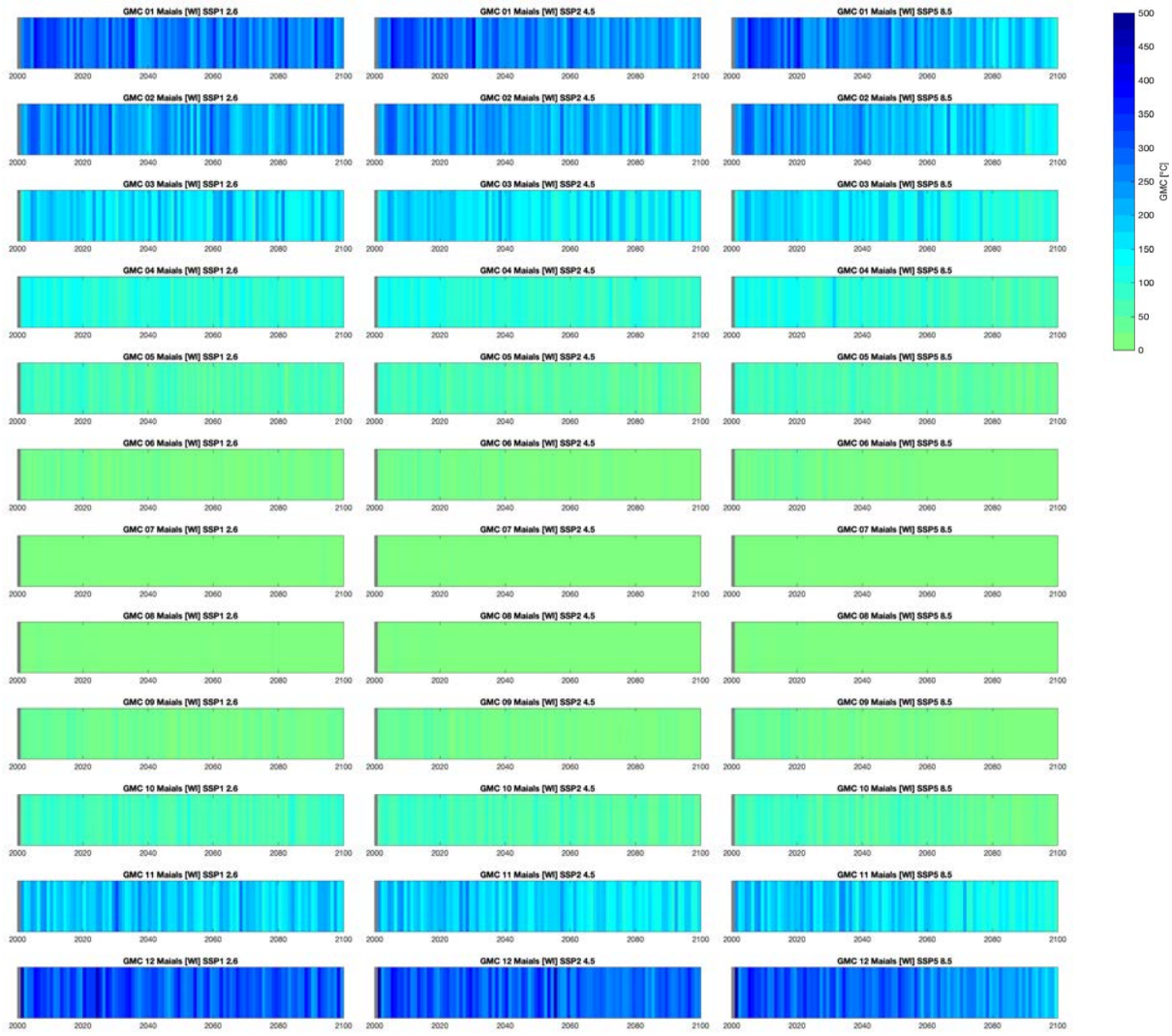

Figura A.369: Evolució dels graus-mes de calefacció (GMC) a l'estació WI- Maials, per als diferents escenaris [SSP1 2.6, SSP2 4.5 i SSP5 8.5] per al model climàtic AWI-CM.

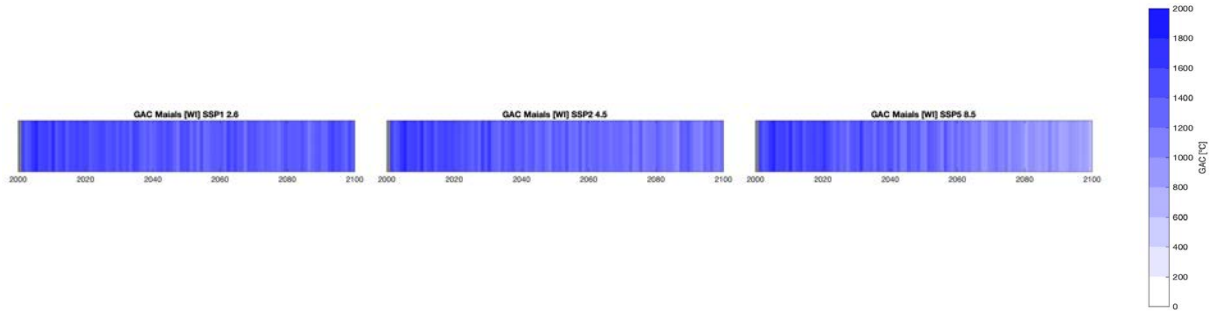

Figura A.370: Evolució dels graus-any de calefacció (GAC) a l'estació WI- Maials, per als diferents escenaris [SSP1 2.6, SSP2 4.5 i SSP5 8.5] per al model climàtic AWI-CM.

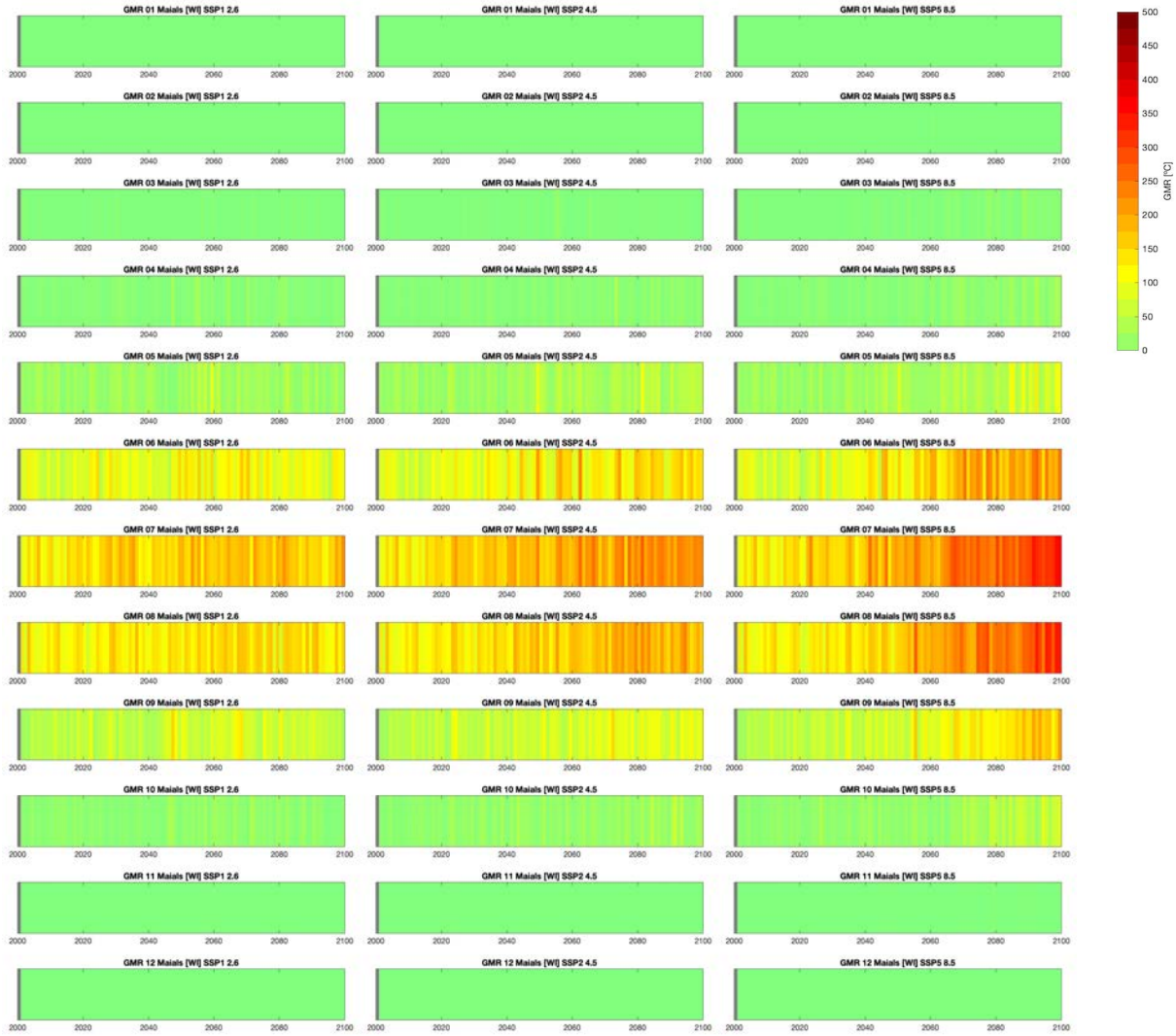

Figura A.371: Evolució dels graus-mes de refrigeració (GMR a l'estació WI- Maials, per als diferents escenaris [SSP1 2.6, SSP2 4.5 i SSP5 8.5] per al model climàtic AWI-CM.

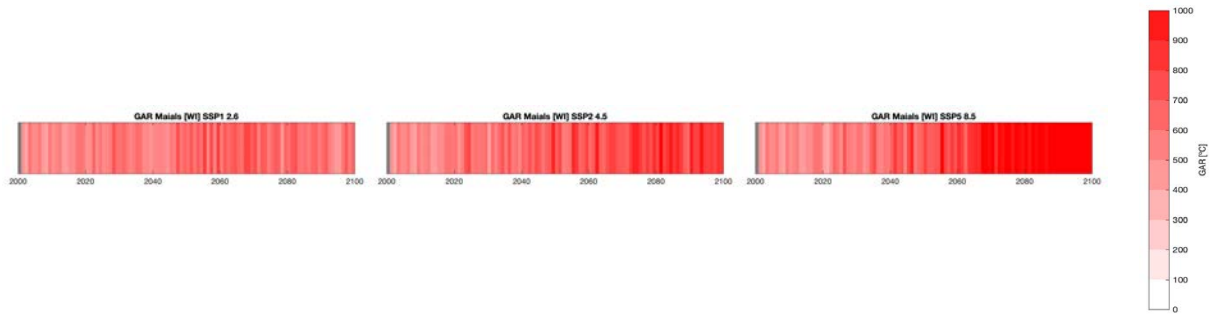

Figura A.372: Evolució dels graus-any de refrigeració (GAR a l'estació WI- Maials, per als diferents escenaris [SSP1 2.6, SSP2 4.5 i SSP5 8.5] per al model climàtic AWI-CM.

A.1.95 WJ - El Masroig

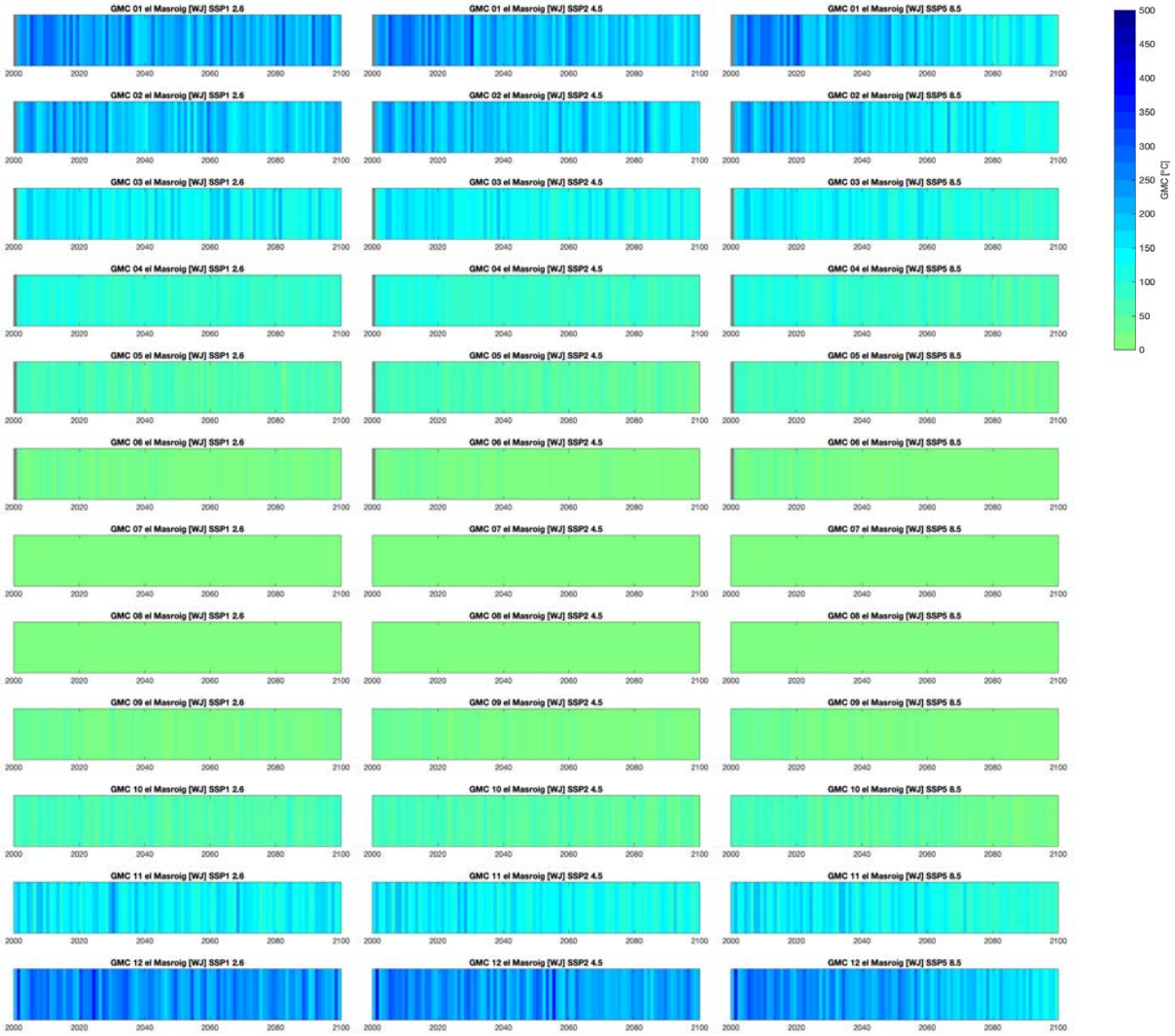

Figura A.373: Evolució dels graus-mes de calefacció (GMC) a l'estació WJ- El Masroig, per als diferents escenaris [SSP1 2.6, SSP2 4.5 i SSP5 8.5] per al model climàtic AWI-CM.

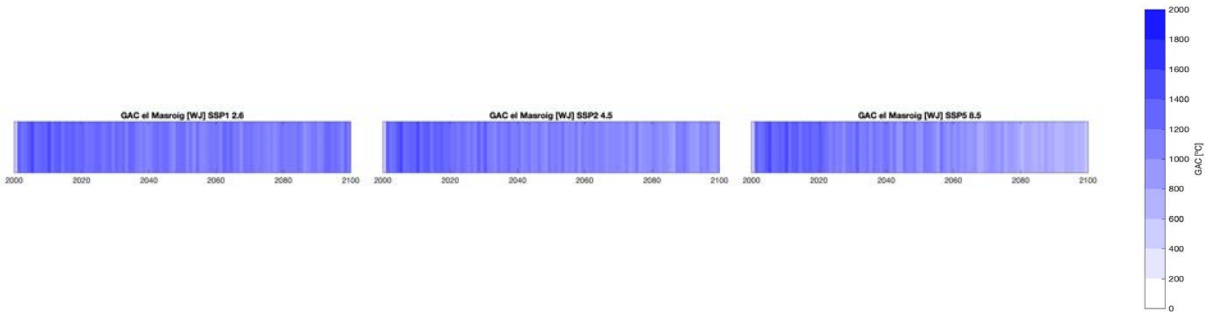

Figura A.374: Evolució dels graus-any de calefacció (GAC) a l'estació WJ- El Masroig, per als diferents escenaris [SSP1 2.6, SSP2 4.5 i SSP5 8.5] per al model climàtic AWI-CM.

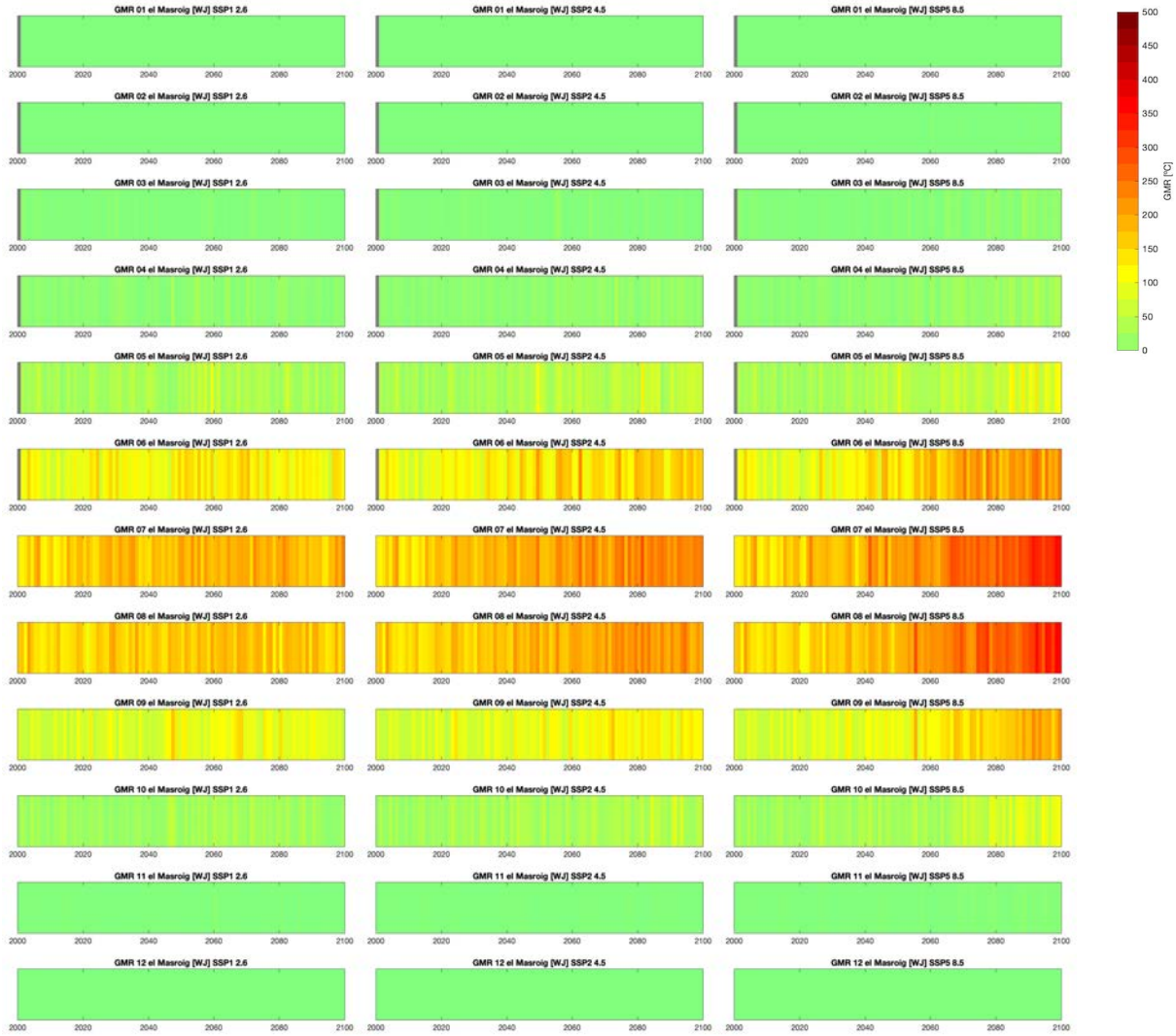

Figura A.375: Evolució dels graus-mes de refrigeració (GMR a l'estació WJ- El Masroig, per als diferents escenaris [SSP1 2.6, SSP2 4.5 i SSP5 8.5] per al model climàtic AWI-CM.

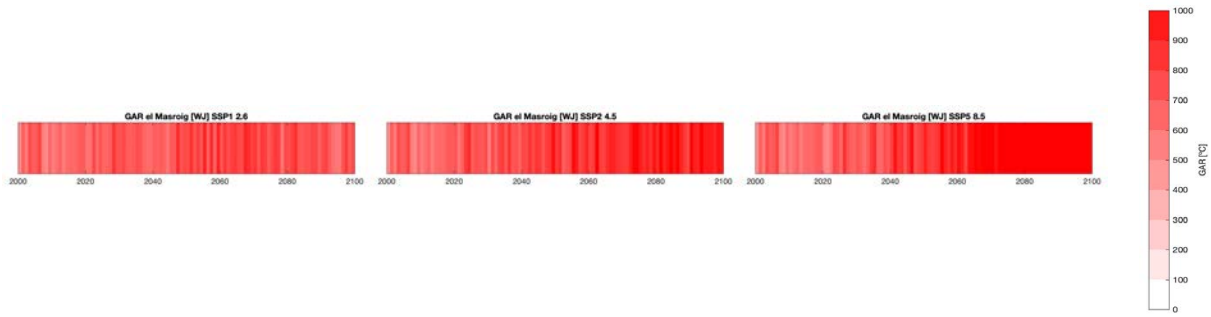

Figura A.376: Evolució dels graus-any de refrigeració (GAR a l'estació WJ- El Masroig, per als diferents escenaris [SSP1 2.6, SSP2 4.5 i SSP5 8.5] per al model climàtic AWI-CM.

A.1.96 WK - Alfarràs

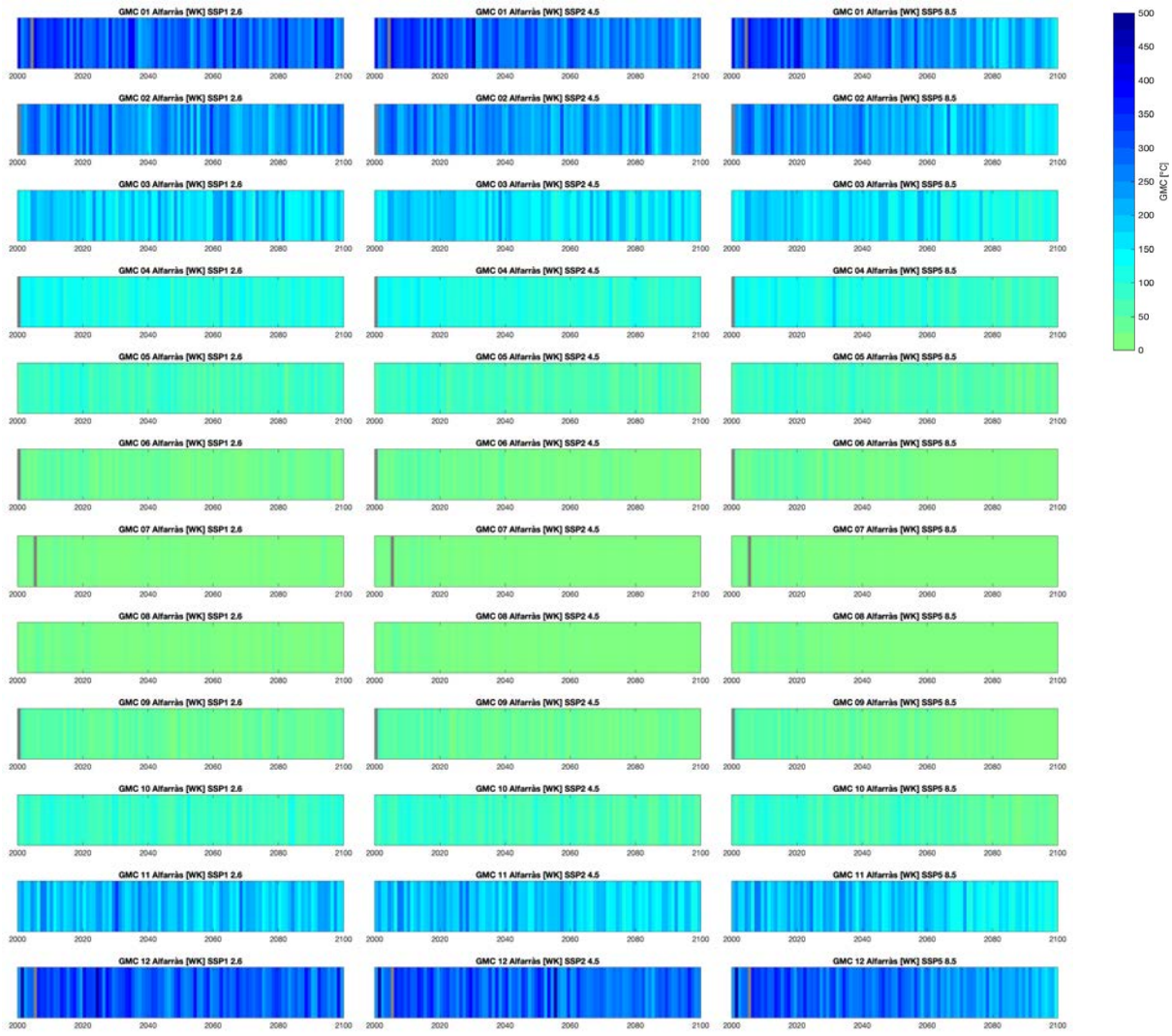

Figura A.377: Evolució dels graus-mes de calefacció (GMC) a l'estació WK- Alfarràs, per als diferents escenaris [SSP1 2.6, SSP2 4.5 i SSP5 8.5] per al model climàtic AWI-CM.

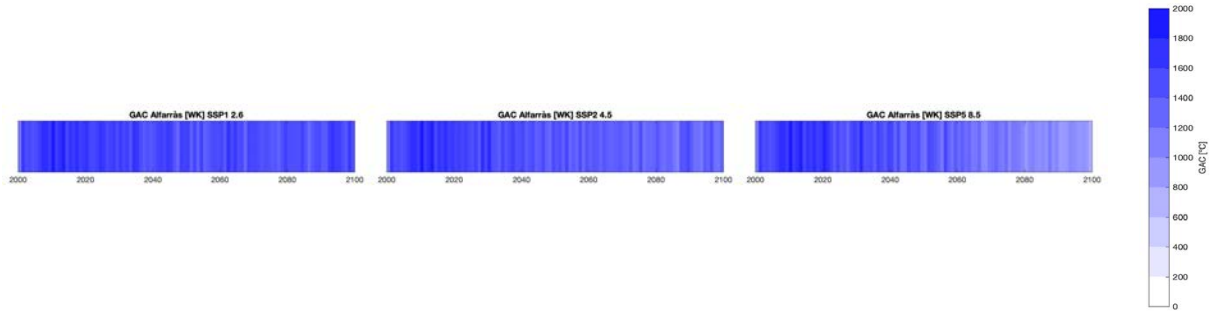

Figura A.378: Evolució dels graus-any de calefacció (GAC) a l'estació WK- Alfarràs, per als diferents escenaris [SSP1 2.6, SSP2 4.5 i SSP5 8.5] per al model climàtic AWI-CM.

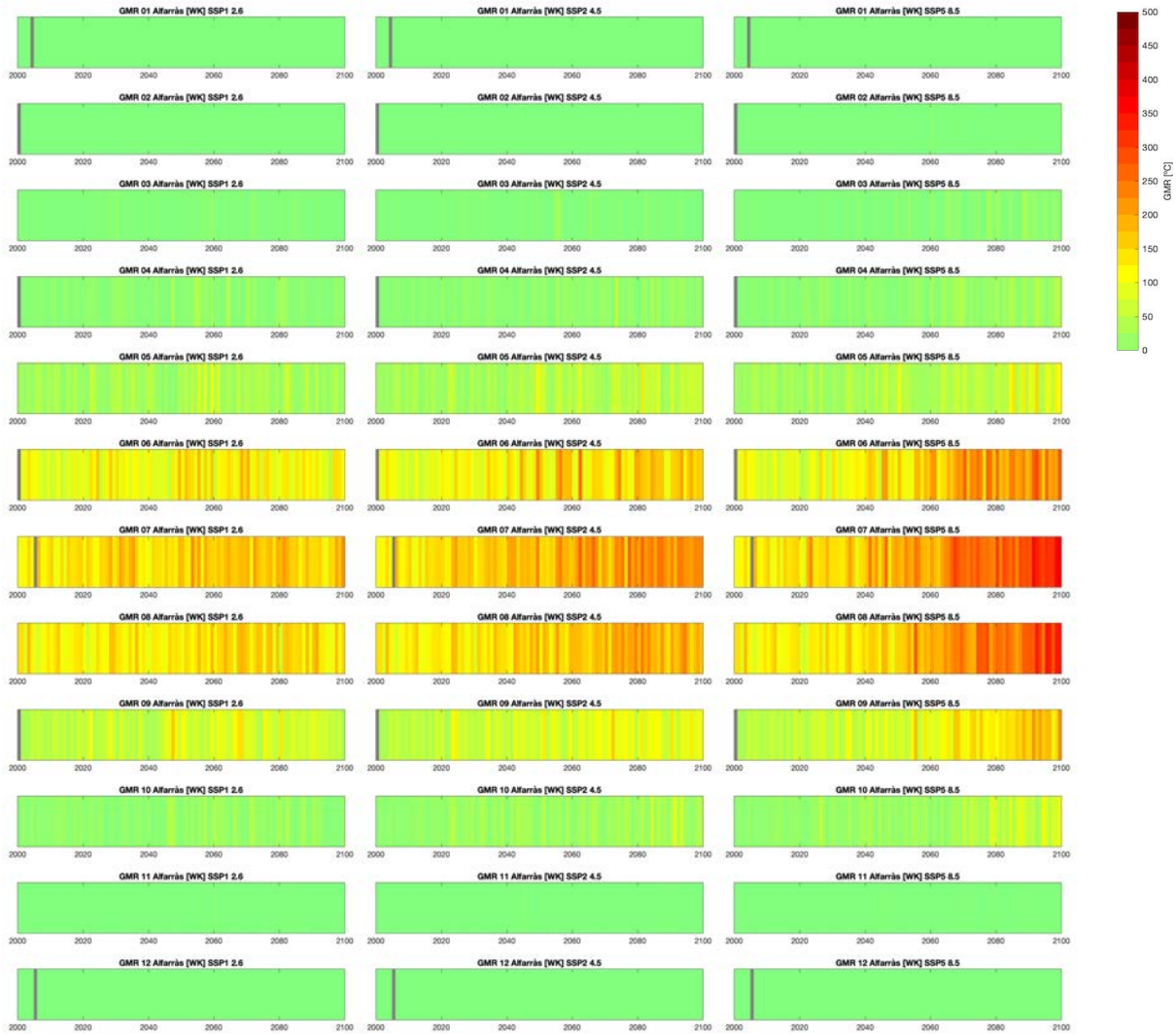

Figura A.379: Evolució dels graus-mes de refrigeració (GMR a l'estació WK- Alfarràs, per als diferents escenaris [SSP1 2.6, SSP2 4.5 i SSP5 8.5] per al model climàtic AWI-CM.

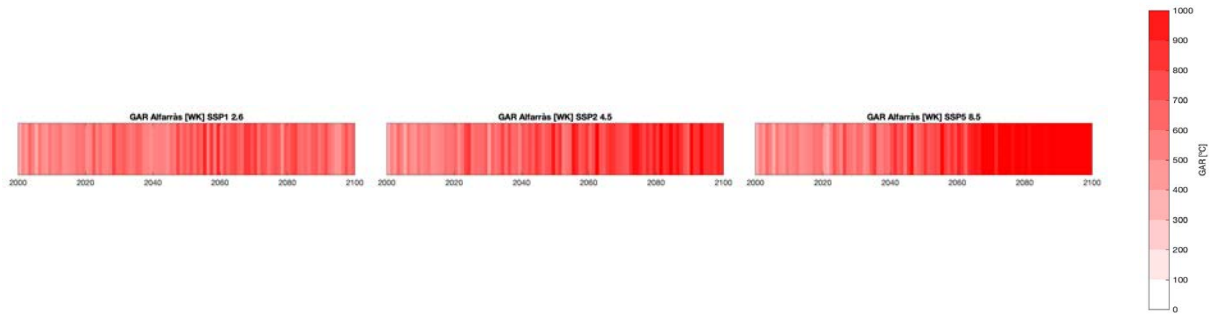

Figura A.380: Evolució dels graus-any de refrigeració (GAR a l'estació WK- Alfarràs, per als diferents escenaris [SSP1 2.6, SSP2 4.5 i SSP5 8.5] per al model climàtic AWI-CM.

A.1.97 Z1 - Bonaigua (2.266 m)

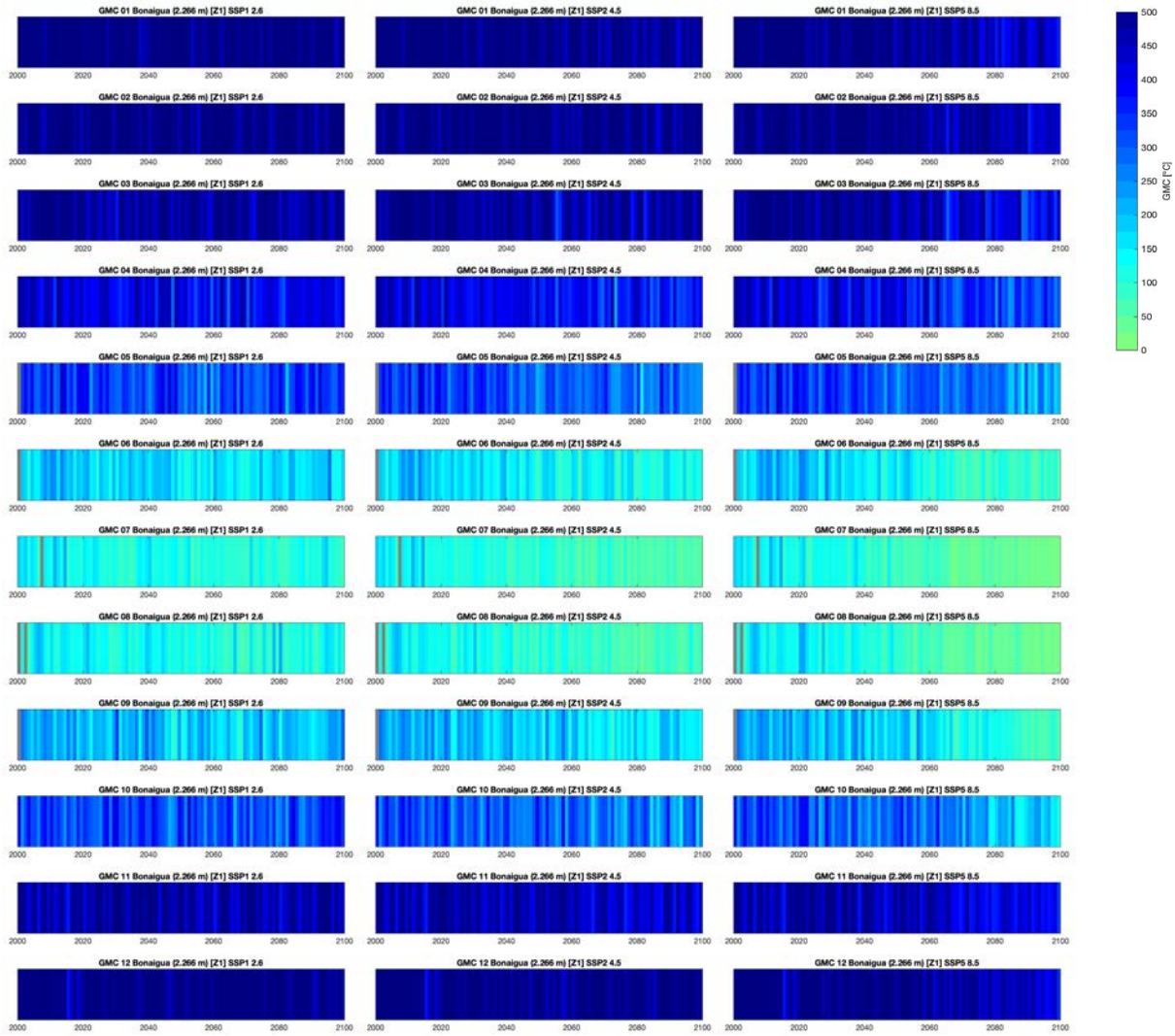

Figura A.381: Evolució dels graus-mes de calefacció (GMC) a l'estació Z1- Bonaigua (2.266 m), per als diferents escenaris [SSP1 2.6, SSP2 4.5 i SSP5 8.5] per al model climàtic AWI-CM.

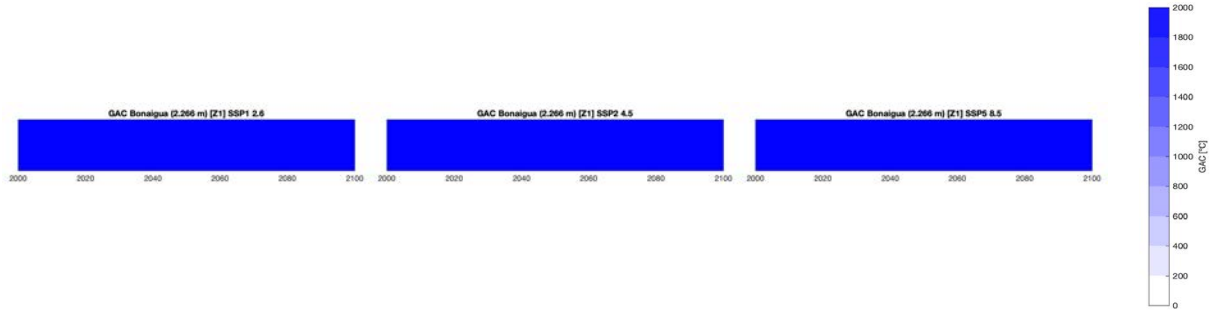

Figura A.382: Evolució dels graus-any de calefacció (GAC) a l'estació Z1- Bonaigua (2.266 m), per als diferents escenaris [SSP1 2.6, SSP2 4.5 i SSP5 8.5] per al model climàtic AWI-CM.

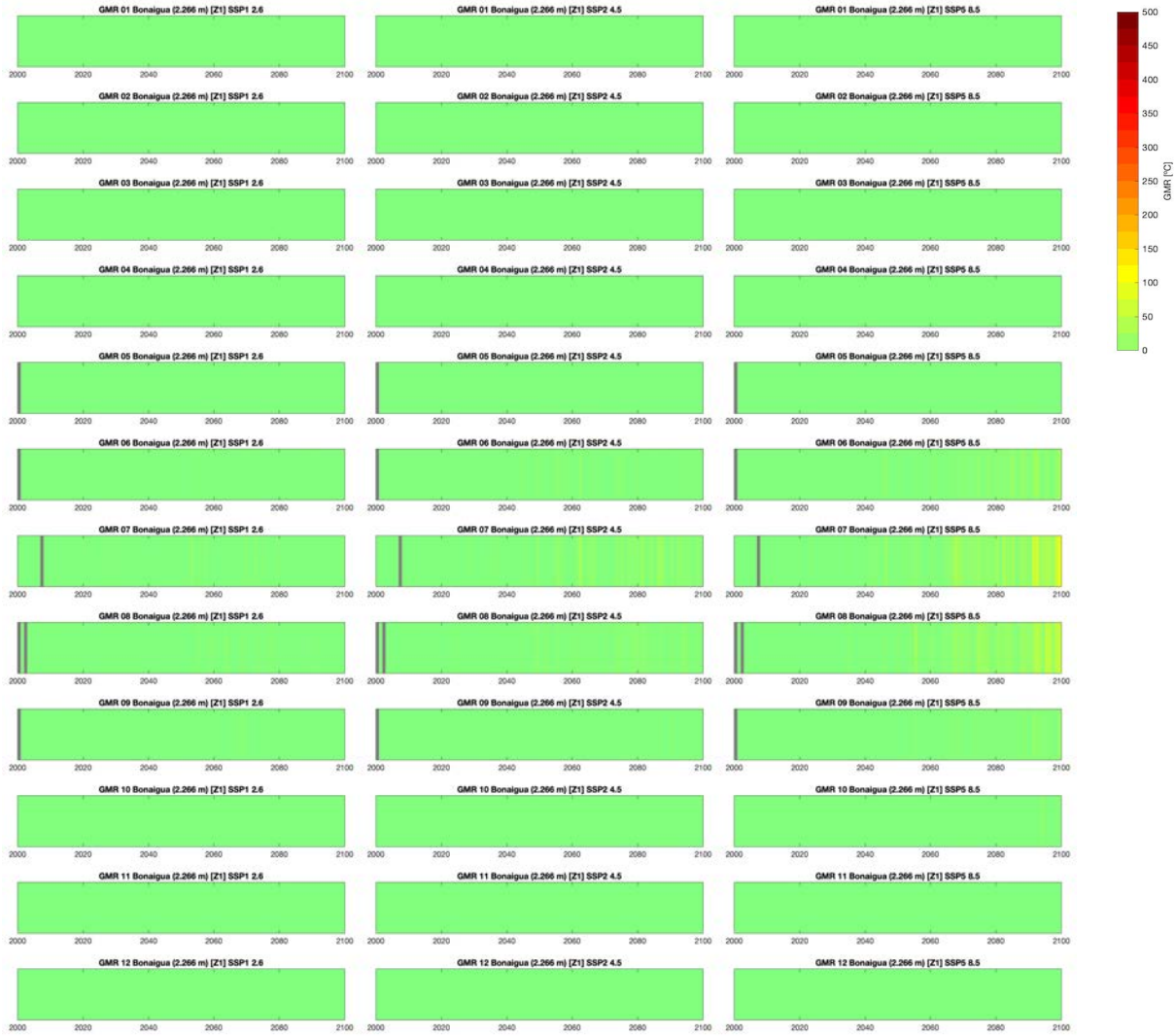

Figura A.383: Evolució dels graus-mes de refrigeració (GMR a l'estació Z1- Bonaigua (2.266 m), per als diferents escenaris [SSP1 2.6, SSP2 4.5 i SSP5 8.5] per al model climàtic AWI-CM.

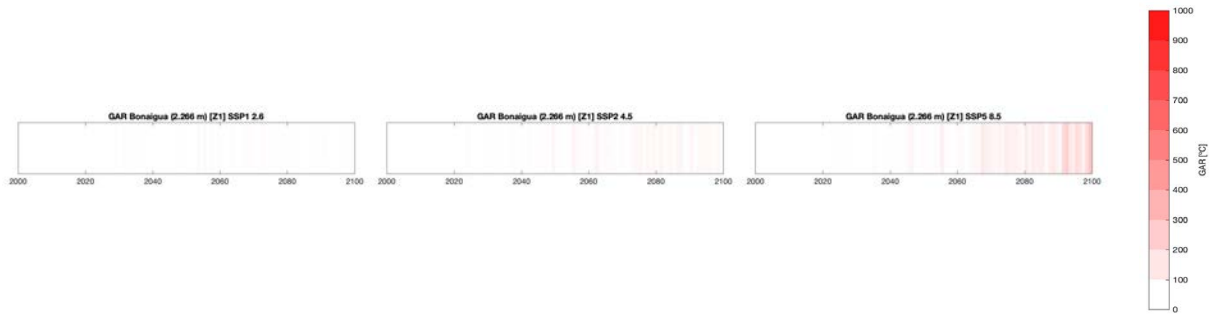

Figura A.384: Evolució dels graus-any de refrigeració (GAR a l'estació Z1- Bonaigua (2.266 m), per als diferents escenaris [SSP1 2.6, SSP2 4.5 i SSP5 8.5] per al model climàtic AWI-CM.

A.1.98 Z2 - Boí (2.535 m)

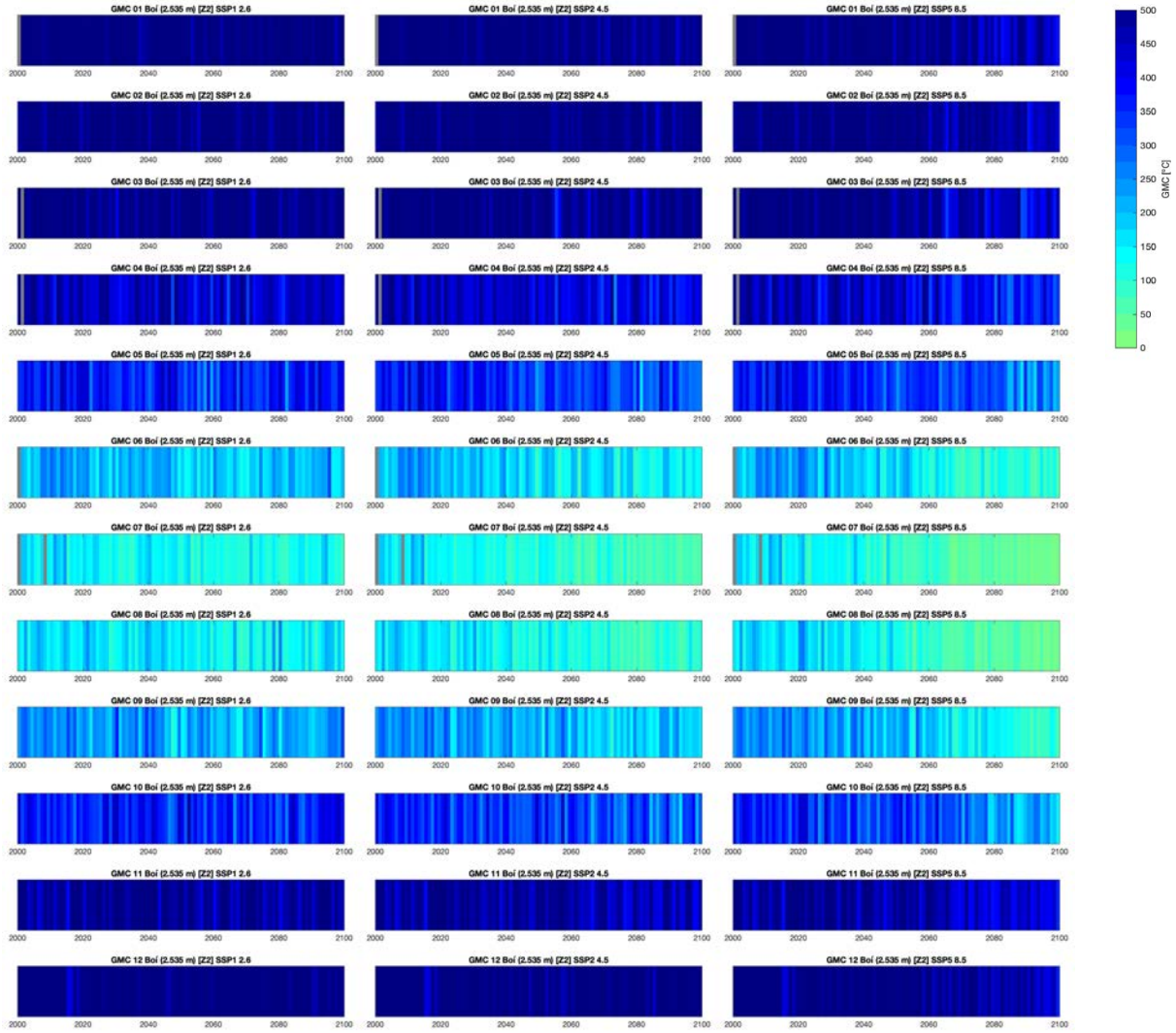

Figura A.385: Evolució dels graus-mes de calefacció (GMC) a l'estació Z2- Boí (2.535 m), per als diferents escenaris [SSP1 2.6, SSP2 4.5 i SSP5 8.5] per al model climàtic AWI-CM.

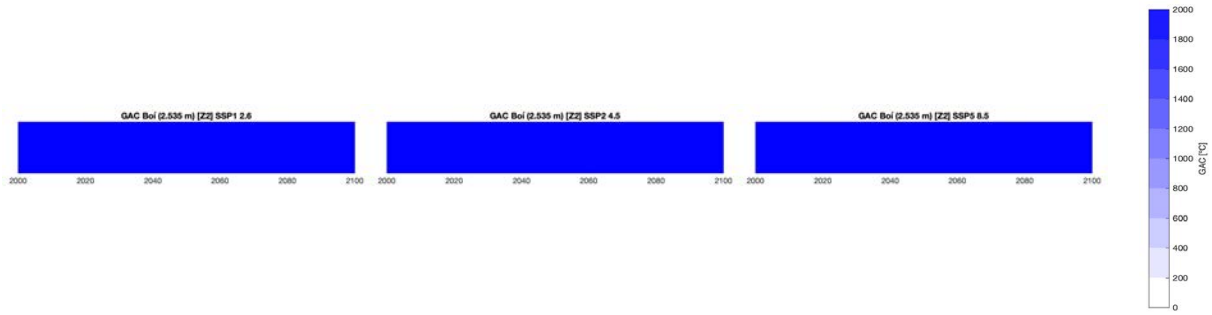

Figura A.386: Evolució dels graus-any de calefacció (GAC) a l'estació Z2- Boí (2.535 m), per als diferents escenaris [SSP1 2.6, SSP2 4.5 i SSP5 8.5] per al model climàtic AWI-CM.

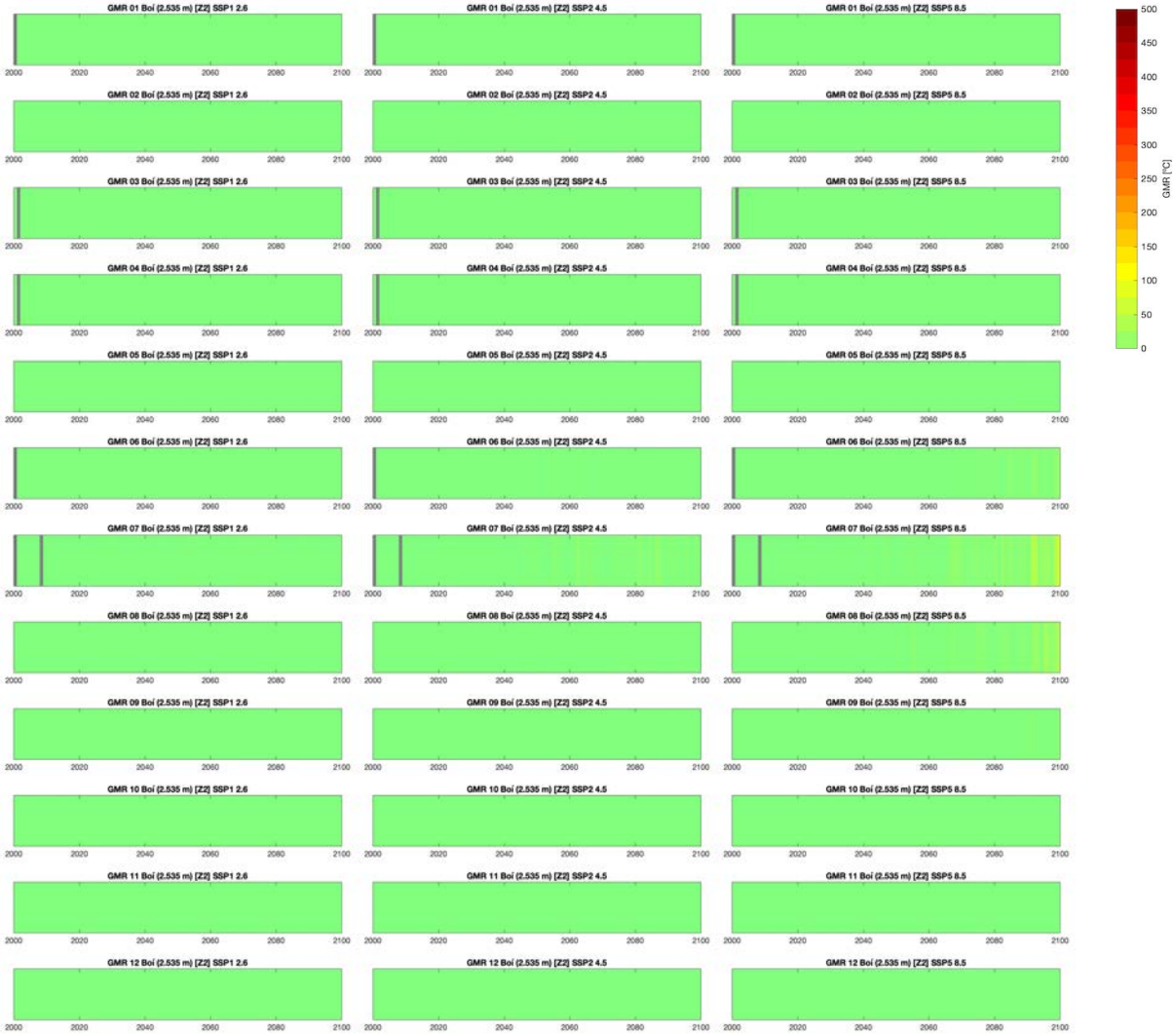

Figura A.387: Evolució dels graus-mes de refrigeració (GMR a l'estació Z2- Boí (2.535 m), per als diferents escenaris [SSP1 2.6, SSP2 4.5 i SSP5 8.5] per al model climàtic AWI-CM.

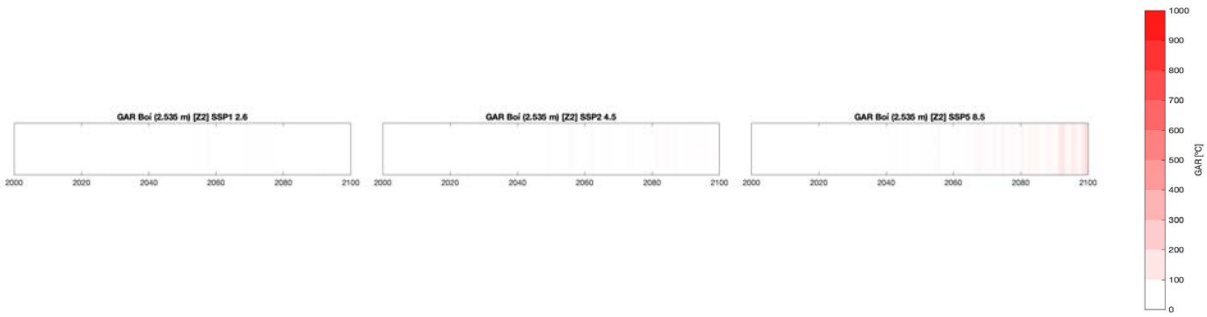

Figura A.388: Evolució dels graus-any de refrigeració (GAR a l'estació Z2- Boí (2.535 m), per als diferents escenaris [SSP1 2.6, SSP2 4.5 i SSP5 8.5] per al model climàtic AWI-CM.

A.1.99 Z3 - Malniu (2.230 m)

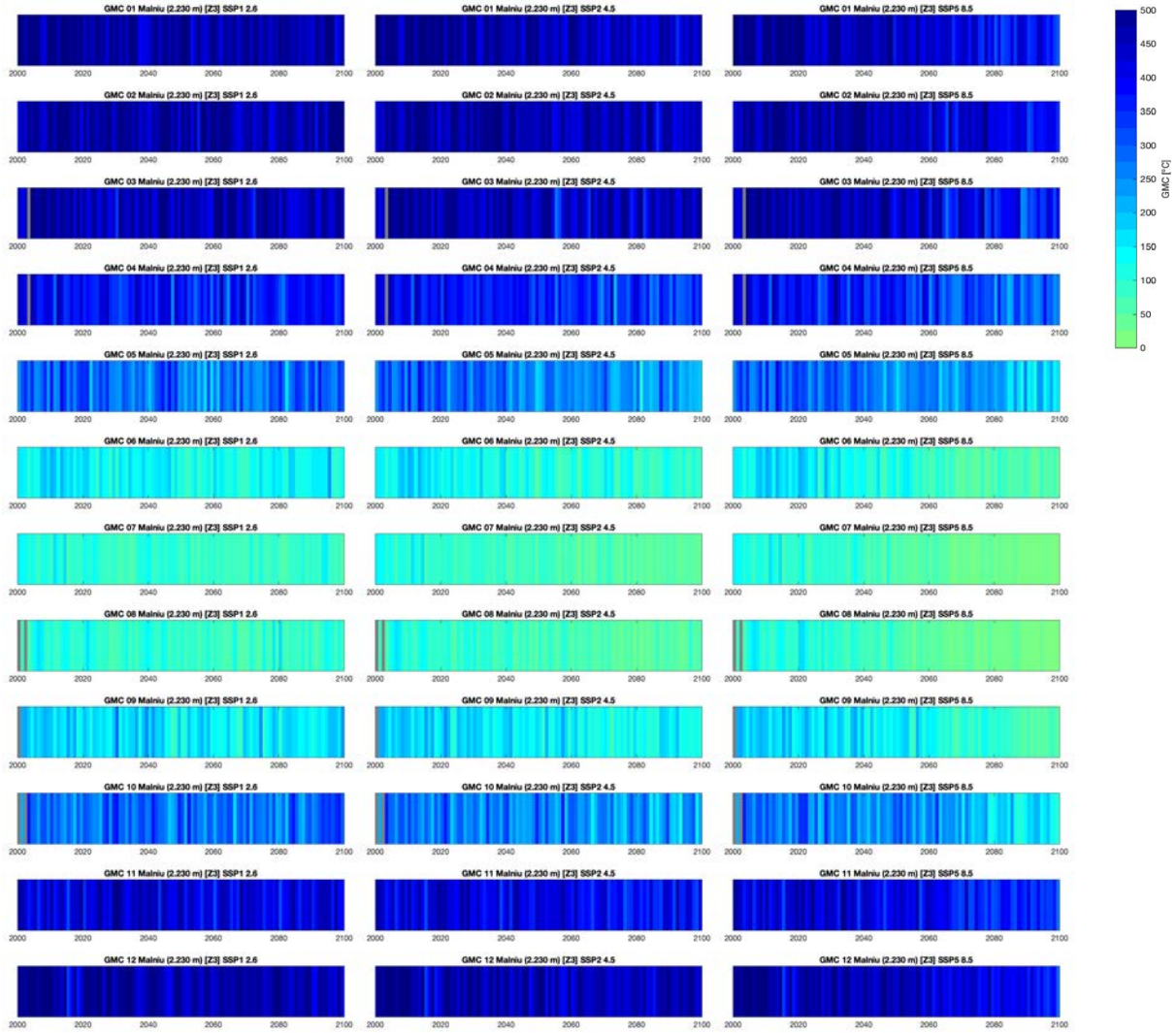

Figura A.389: Evolució dels graus-mes de calefacció (GMC) a l'estació Z3- Malniu (2.230 m), per als diferents escenaris [SSP1 2.6, SSP2 4.5 i SSP5 8.5] per al model climàtic AWI-CM.

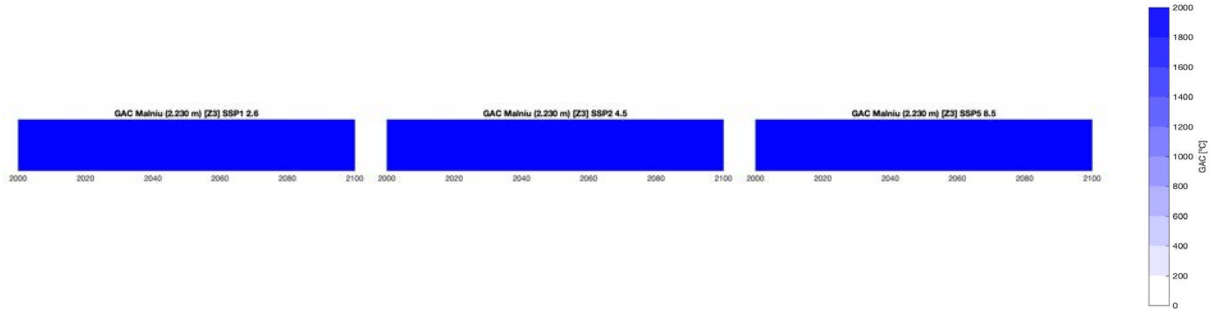

Figura A.390: Evolució dels graus-any de calefacció (GAC) a l'estació Z3- Malniu (2.230 m), per als diferents escenaris [SSP1 2.6, SSP2 4.5 i SSP5 8.5] per al model climàtic AWI-CM.

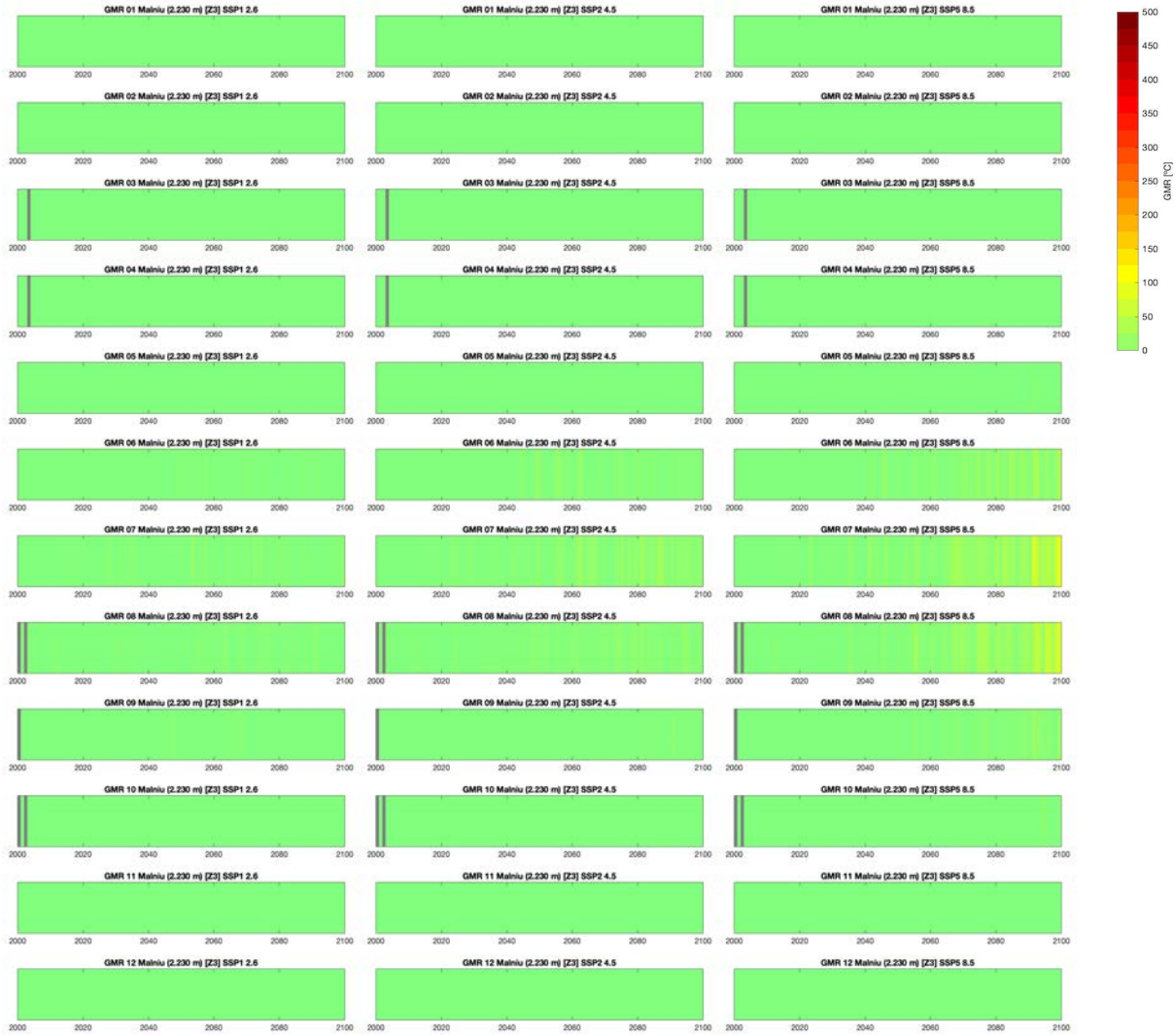

Figura A.391: Evolució dels graus-mes de refrigeració (GMR a l'estació Z3- Malniu (2.230 m), per als diferents escenaris [SSP1 2.6, SSP2 4.5 i SSP5 8.5] per al model climàtic AWI-CM.

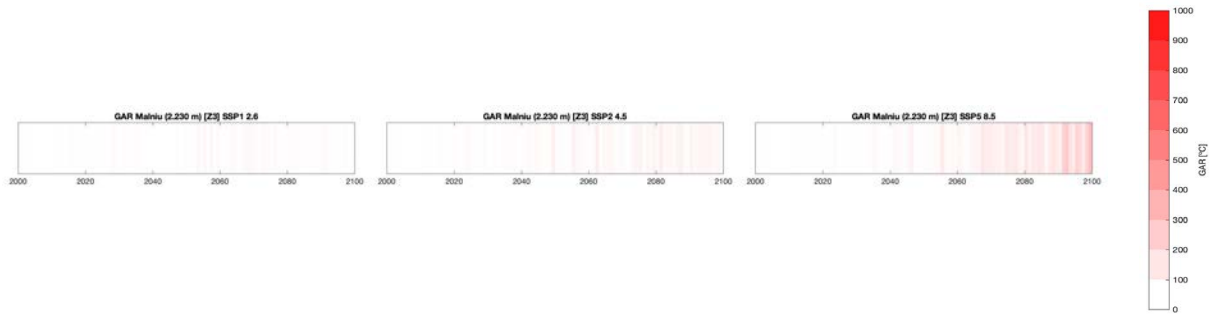

Figura A.392: Evolució dels graus-any de refrigeració (GAR a l'estació Z3- Malniu (2.230 m), per als diferents escenaris [SSP1 2.6, SSP2 4.5 i SSP5 8.5] per al model climàtic AWI-CM.

A.1.100 Z5 - Certascan (2.400 m)

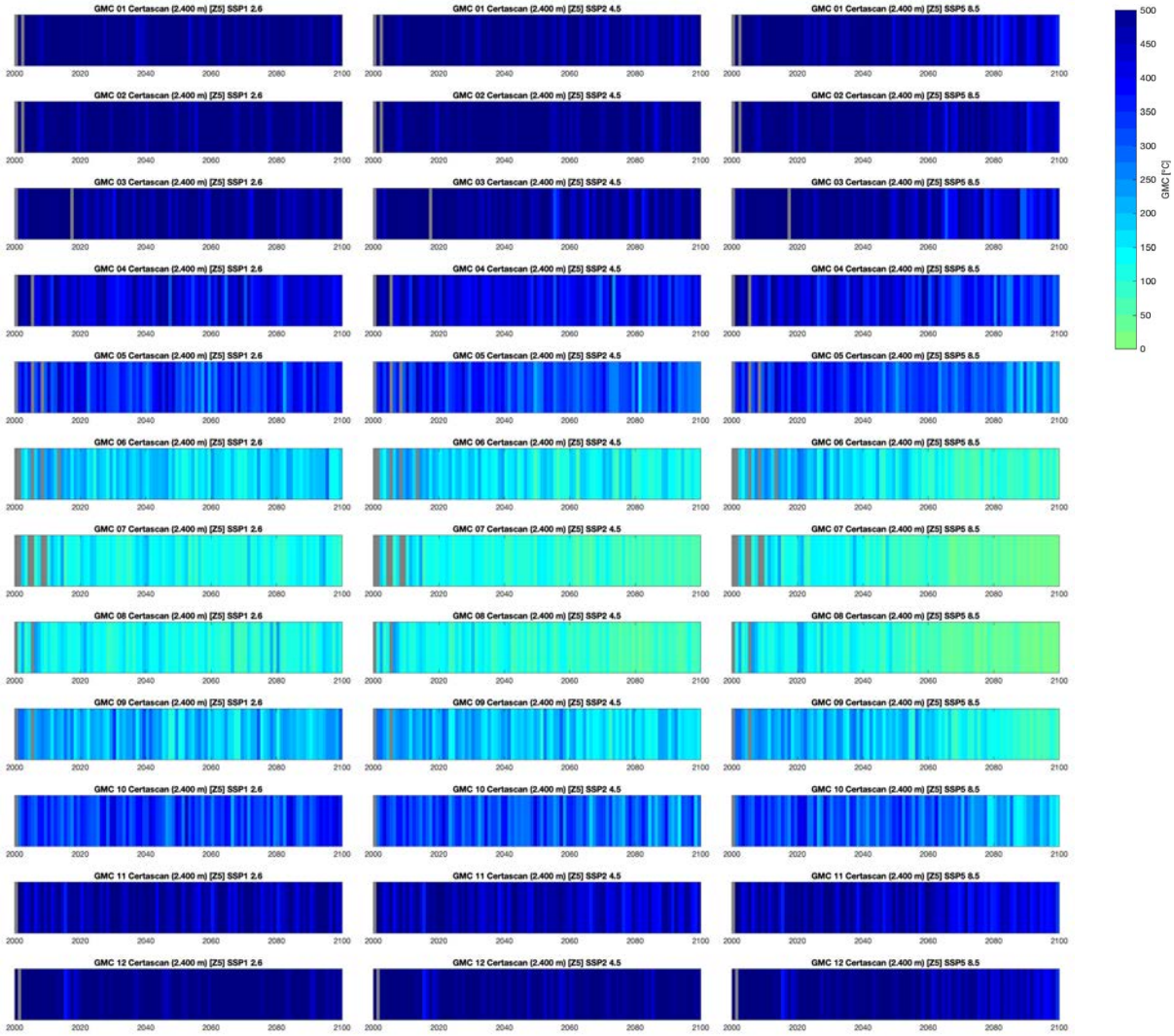

Figura A.393: Evolució dels graus-mes de calefacció (GMC) a l'estació Z5- Certascan (2.400 m), per als diferents escenaris [SSP1 2.6, SSP2 4.5 i SSP5 8.5] per al model climàtic AWI-CM.

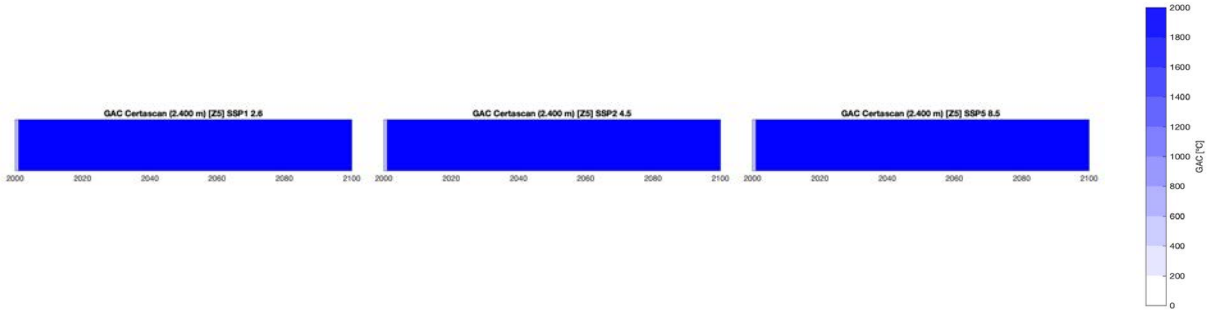

Figura A.394: Evolució dels graus-any de calefacció (GAC) a l'estació Z5- Certascan (2.400 m), per als diferents escenaris [SSP1 2.6, SSP2 4.5 i SSP5 8.5] per al model climàtic AWI-CM.

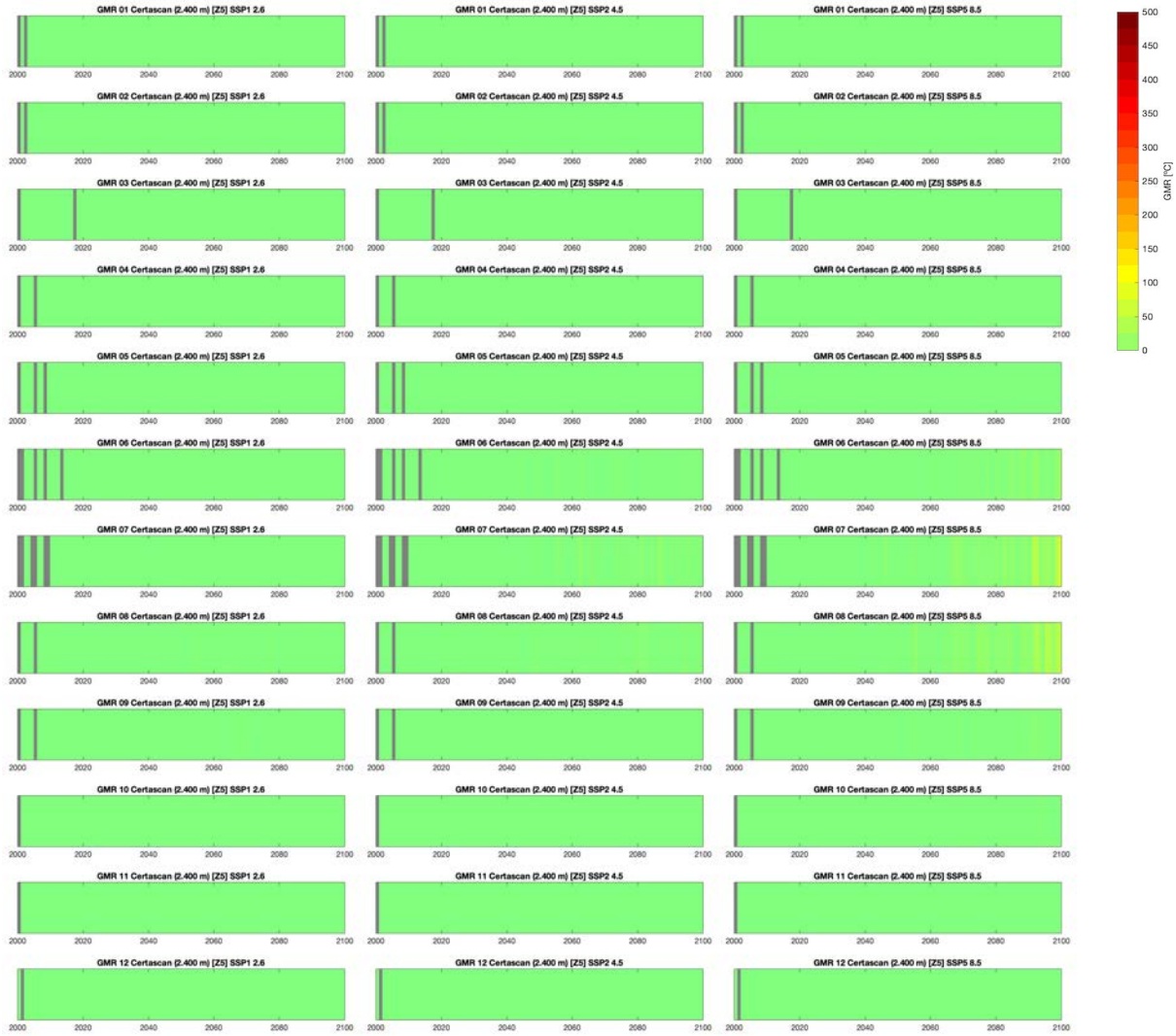

Figura A.395: Evolució dels graus-mes de refrigeració (GMR a l'estació Z5- Certascan (2.400 m), per als diferents escenaris [SSP1 2.6, SSP2 4.5 i SSP5 8.5] per al model climàtic AWI-CM.

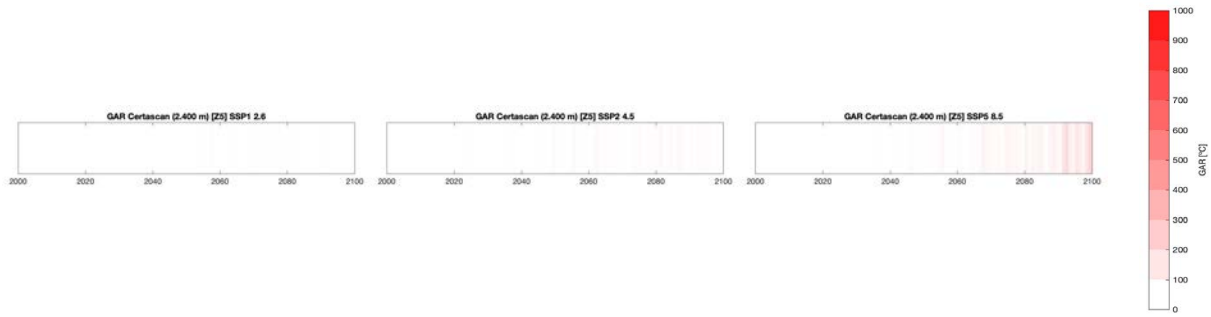

Figura A.396: Evolució dels graus-any de refrigeració (GAR a l'estació Z5- Certascan (2.400 m), per als diferents escenaris [SSP1 2.6, SSP2 4.5 i SSP5 8.5] per al model climàtic AWI-CM.

A.2 Regionalització Necessitats de climatització

A.2.1 Gener

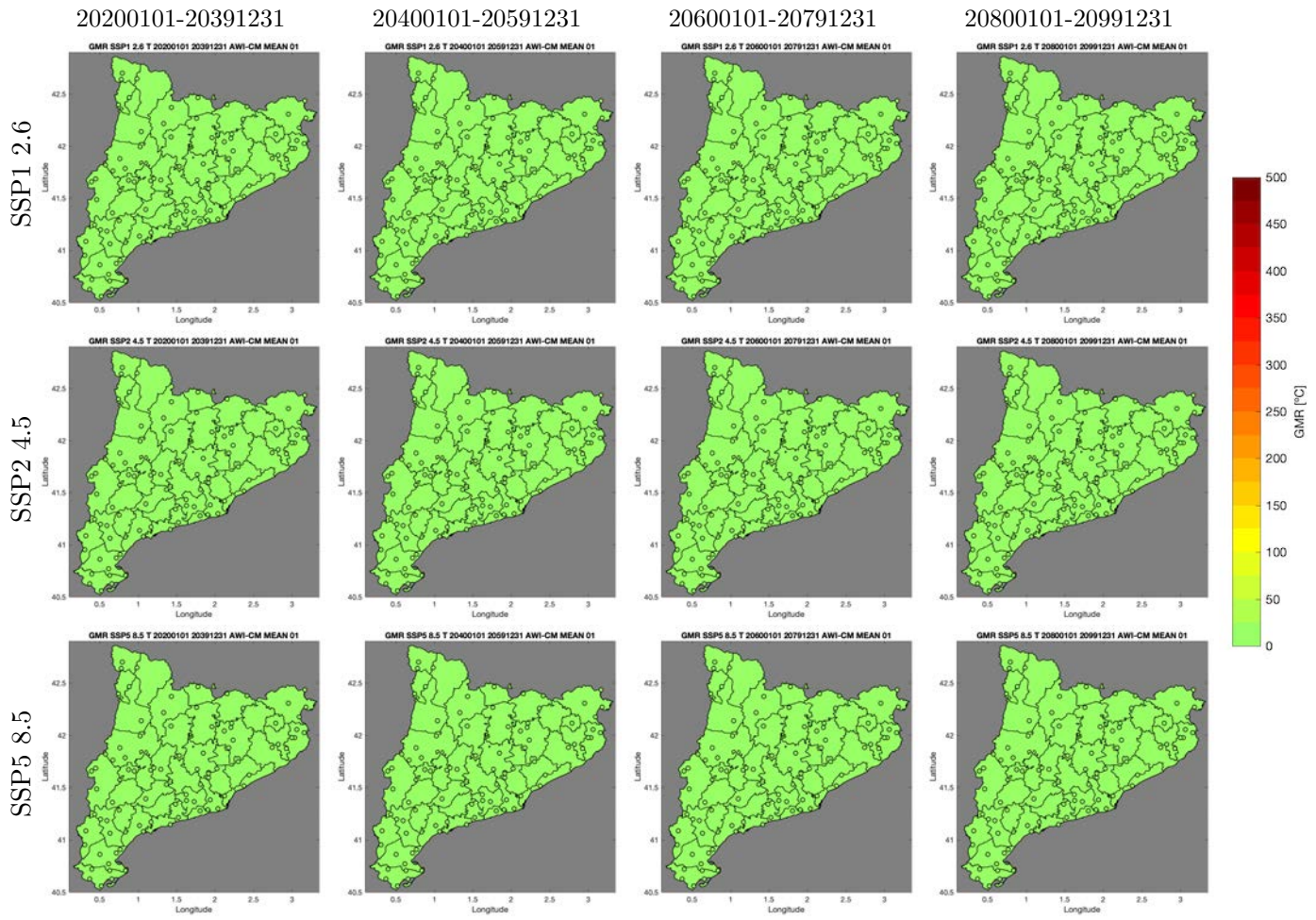

Figura A.397: Regionalització dels graus-mes de refrigeració (GMR) per al mes de gener, per als escenaris SSP1 2.6, SSP2 4.5 i SSP5 8.5, i per als períodes 2020-2039, 2040-2059, 2060-2079 i 2080-2099. Model climàtic AWI-CM.

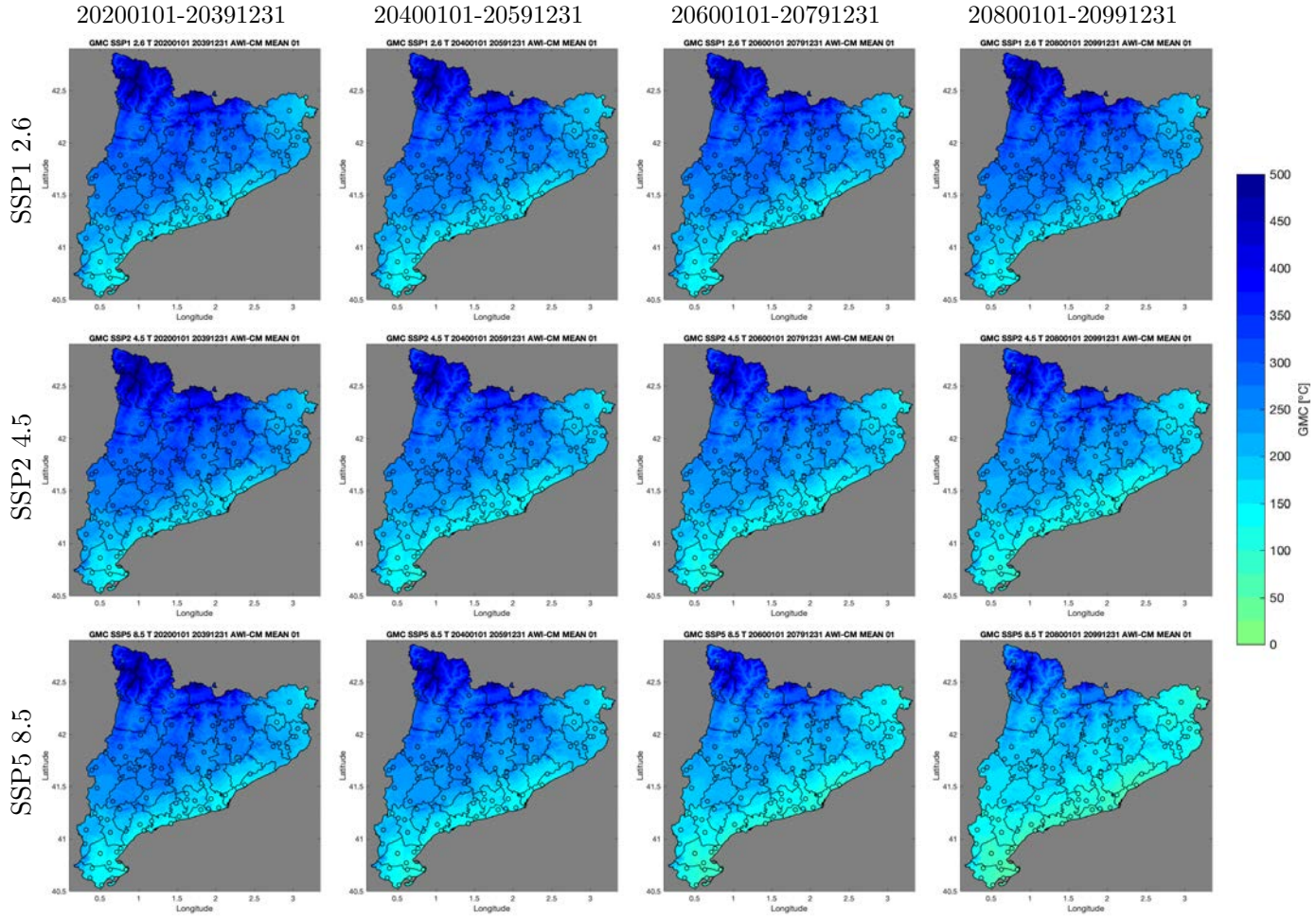

Figura A.398: Regionalització dels graus-mes de calefacció (GMC) per al mes de gener, per als escenaris SSP1 2.6, SSP2 4.5 i SSP5 8.5, i per als períodes 2020-2039, 2040-2059, 2060-2079 i 2080-2099. Model climàtic AWI-CM.

A.2.2 Febrer

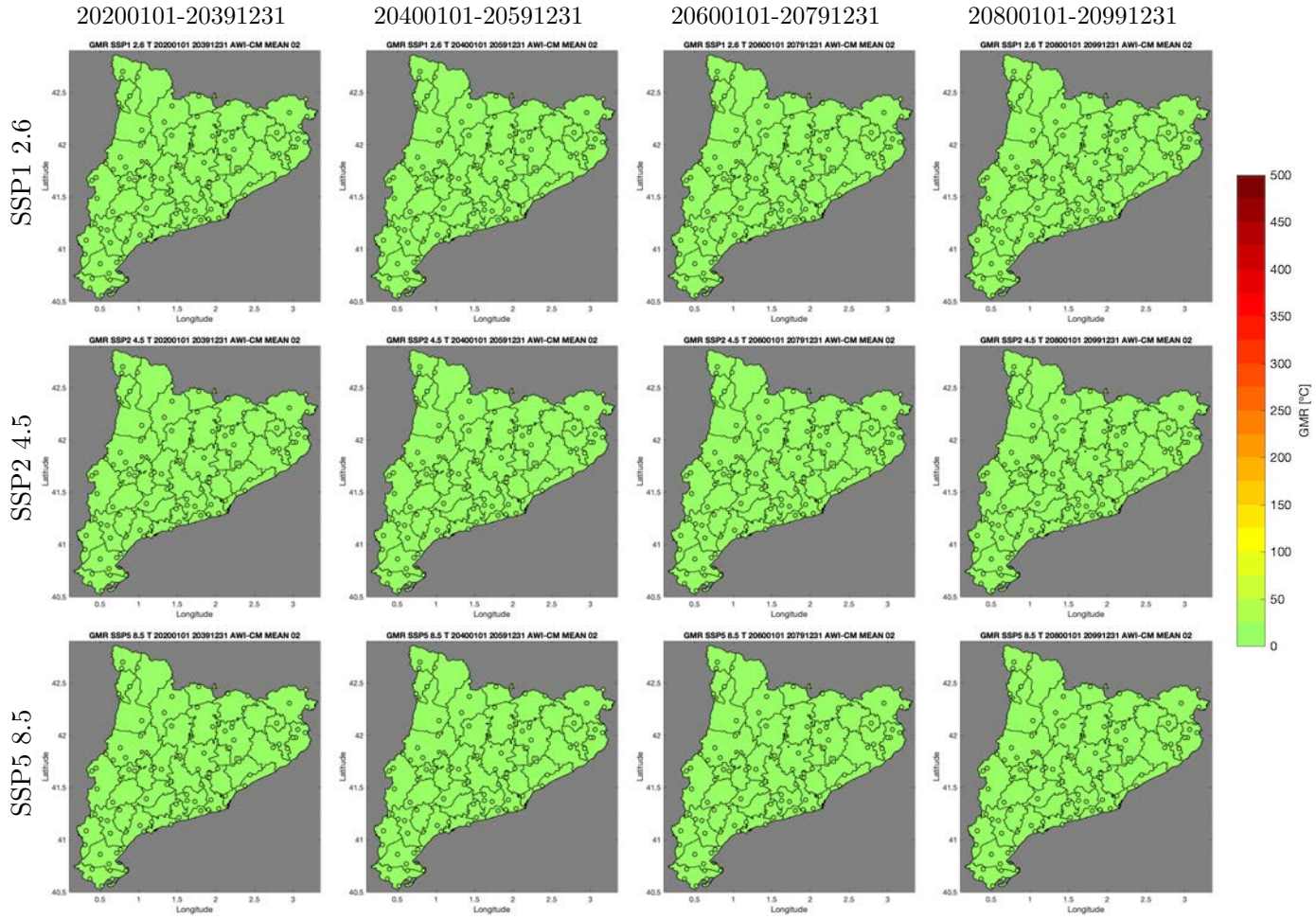

Figura A.399: Regionalització dels graus-mes de refrigeració (GMR) per al mes de febrer, per als escenaris SSP1 2.6, SSP2 4.5 i SSP5 8.5, i per als períodes 2020-2039, 2040-2059, 2060-2079 i 2080-2099. Model climàtic AWI-CM.

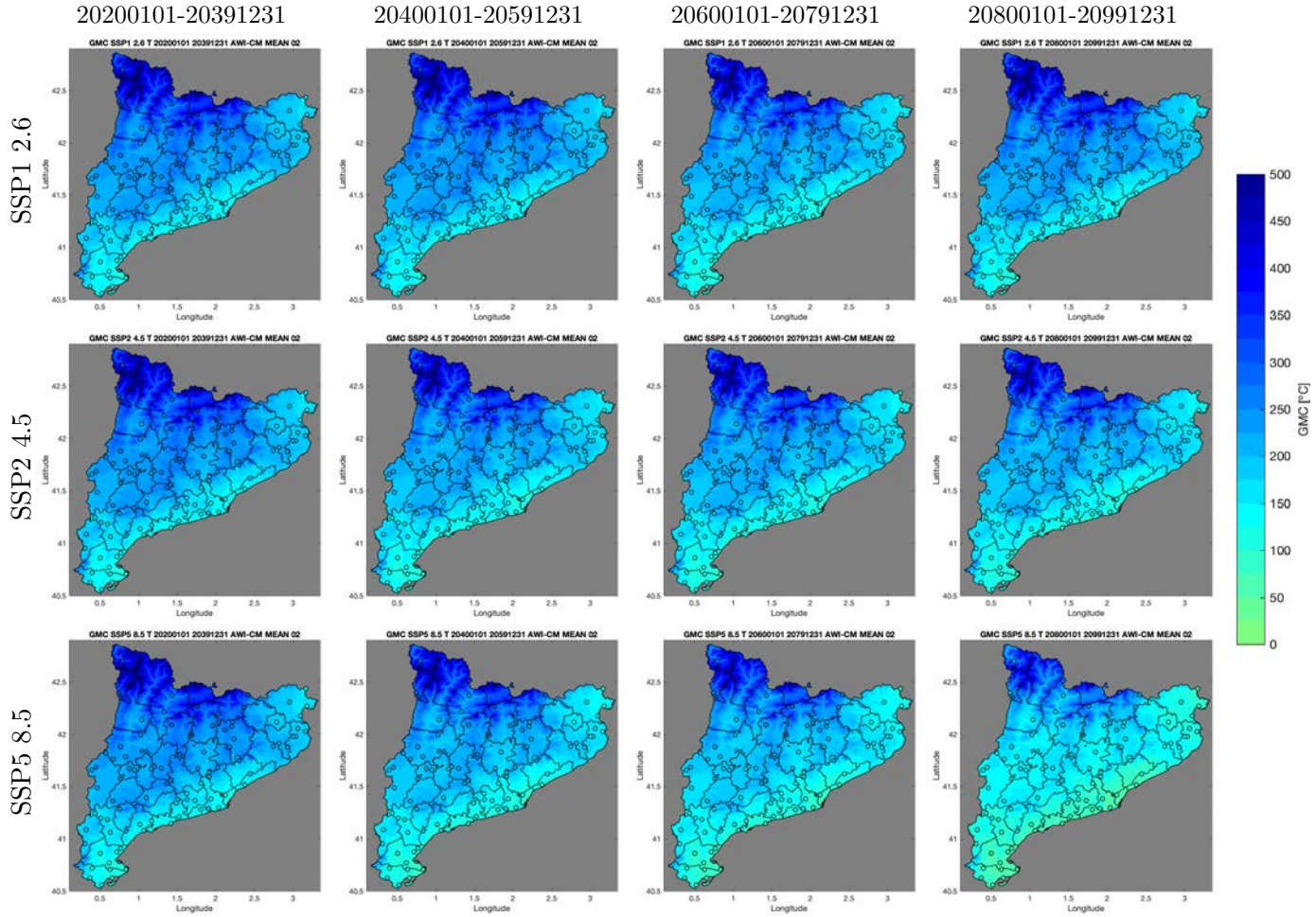

Figura A.400: Regionalització dels graus-mes de calefacció (GMC) per al mes de febrer, per als escenaris SSP1 2.6, SSP2 4.5 i SSP5 8.5, i per als períodes 2020-2039, 2040-2059, 2060-2079 i 2080-2099. Model climàtic AWI-CM.

A.2.3 Març

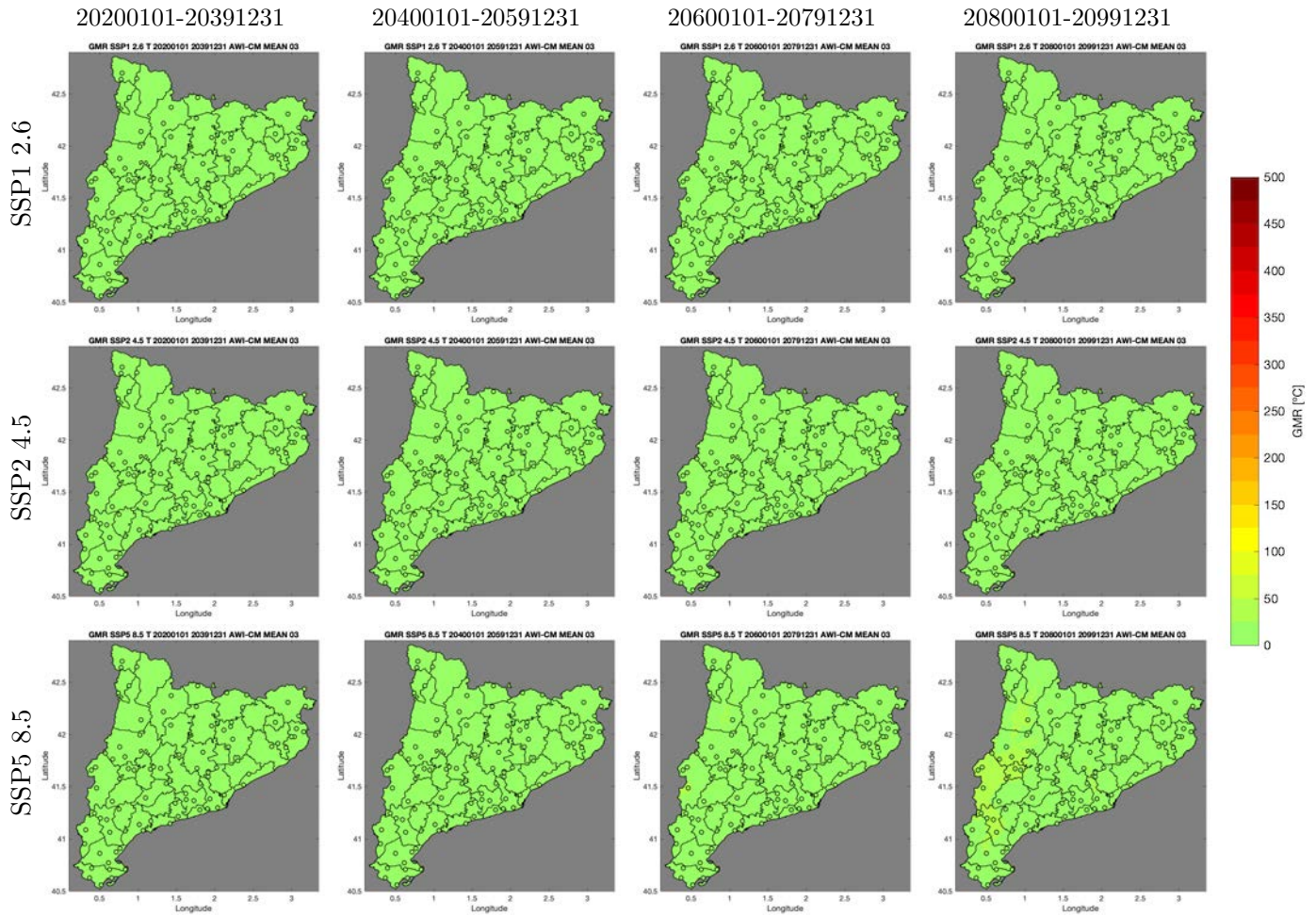

Figura A.401: Regionalització dels graus-mes de refrigeració (GMR) per al mes de març, per als escenaris SSP1 2.6, SSP2 4.5 i SSP5 8.5, i per als períodes 2020-2039, 2040-2059, 2060-2079 i 2080-2099. Model climàtic AWI-CM.

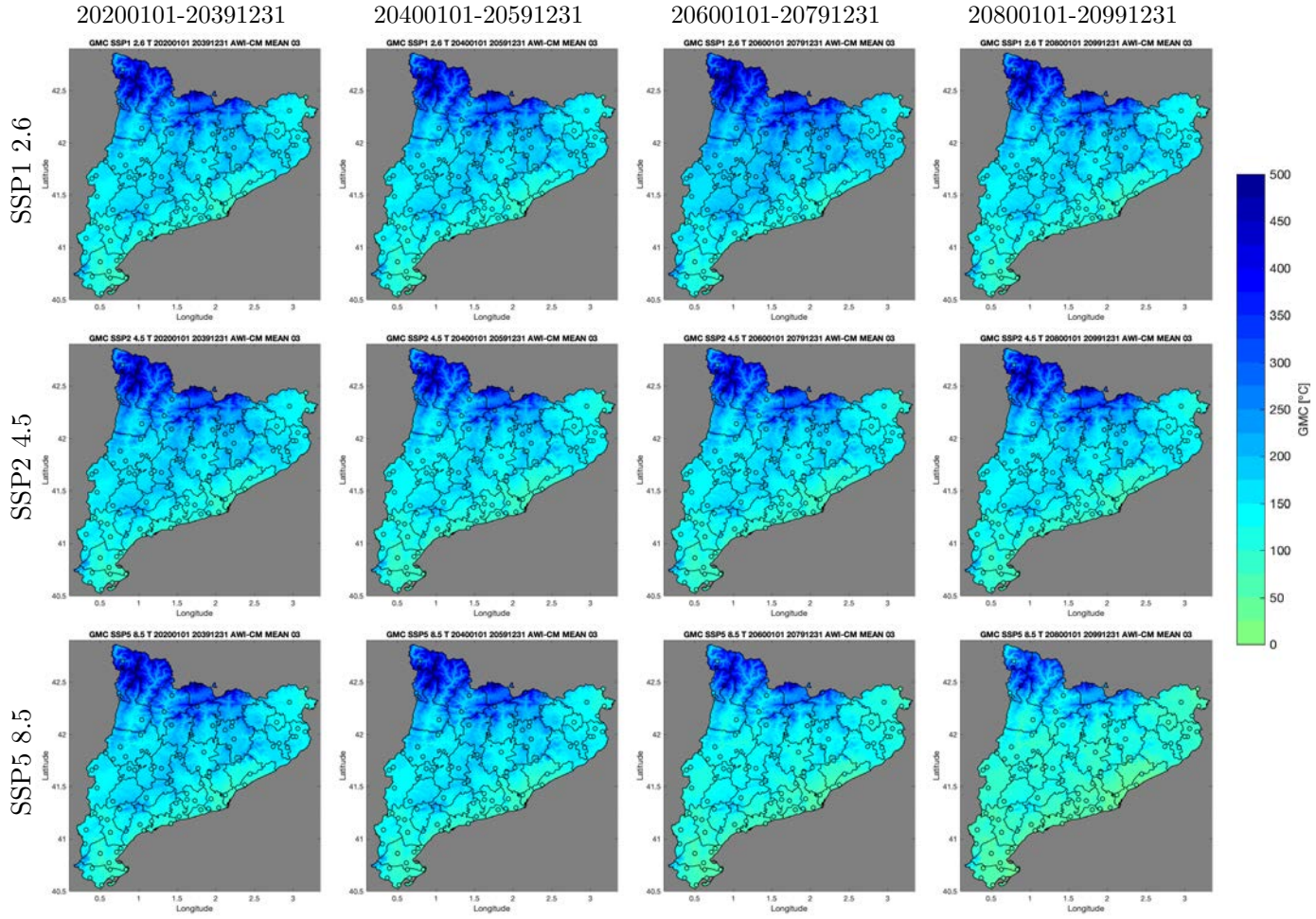

Figura A.402: Regionalització dels graus-mes de calefacció (GMC) per al mes de març, per als escenaris SSP1 2.6, SSP2 4.5 i SSP5 8.5, i per als períodes 2020-2039, 2040-2059, 2060-2079 i 2080-2099. Model climàtic AWI-CM.

A.2.4 Abril

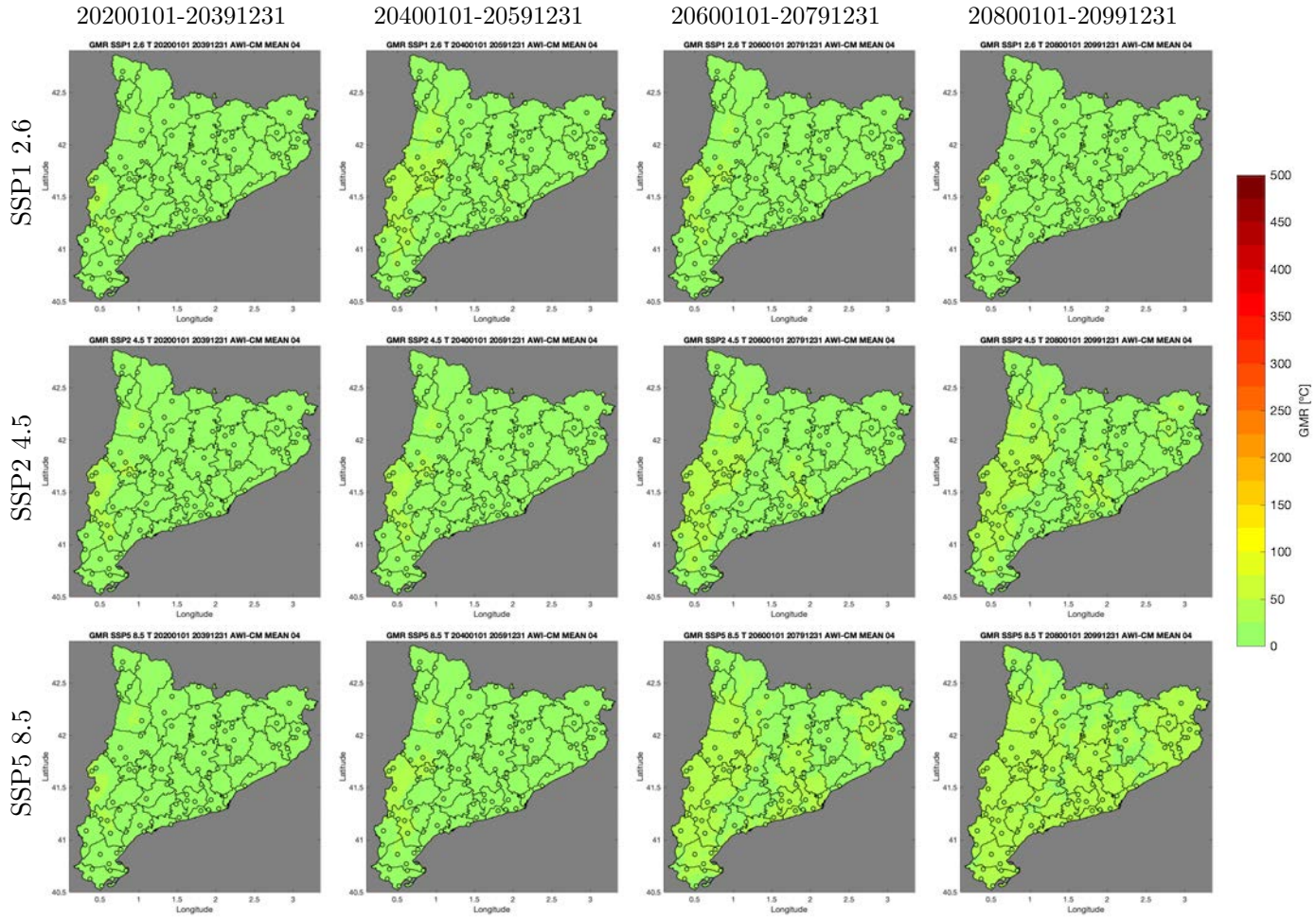

Figura A.403: Regionalització dels graus-mes de refrigeració (GMR) per al mes d'abril, per als escenaris SSP1 2.6, SSP2 4.5 i SSP5 8.5, i per als períodes 2020-2039, 2040-2059, 2060-2079 i 2080-2099. Model climàtic AWI-CM.

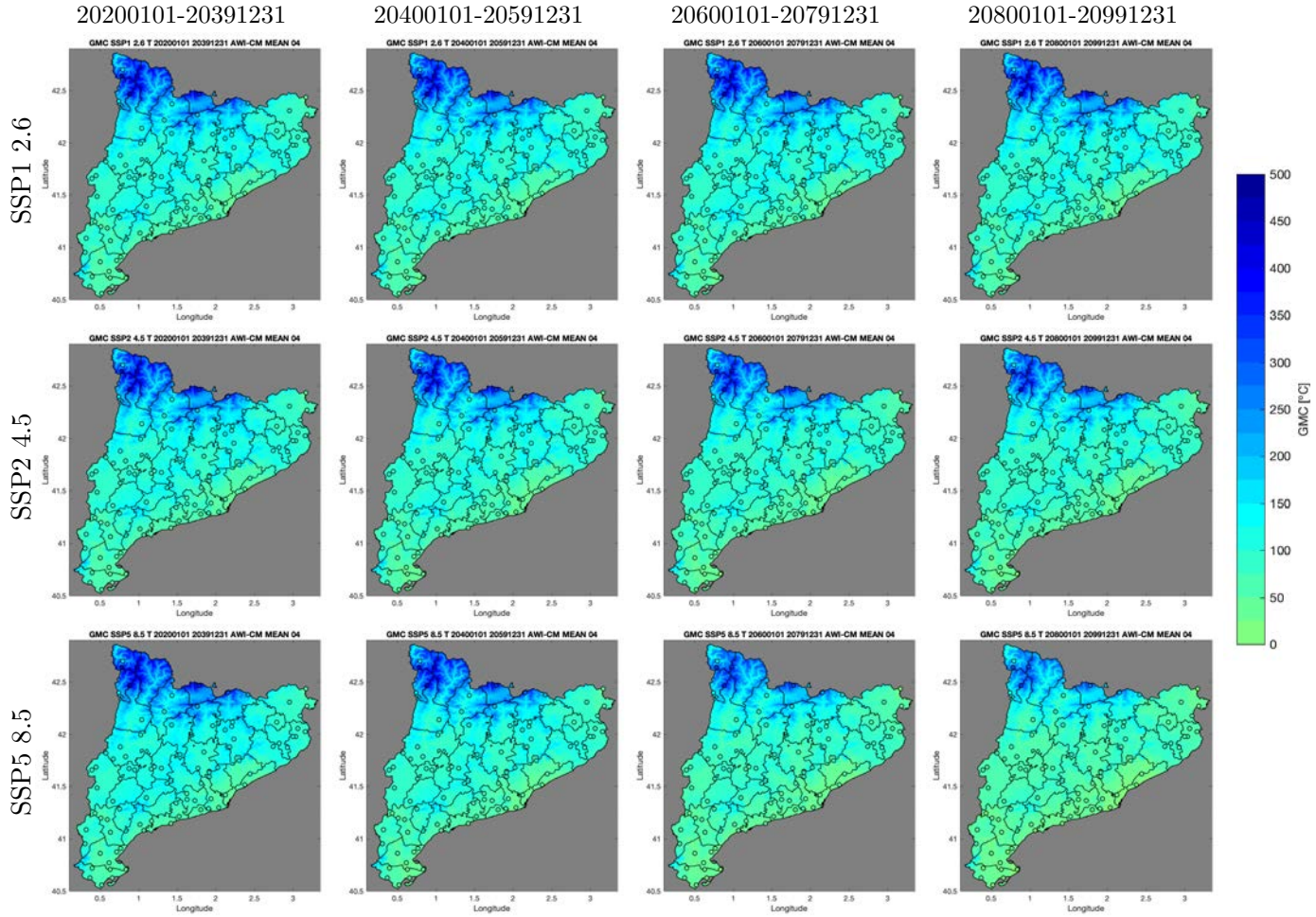

Figura A.404: Regionalització dels graus-mes de calefacció (GMC) per al mes d'abril, per als escenaris SSP1 2.6, SSP2 4.5 i SSP5 8.5, i per als períodes 2020-2039, 2040-2059, 2060-2079 i 2080-2099. Model climàtic AWI-CM.

A.2.5 Maig

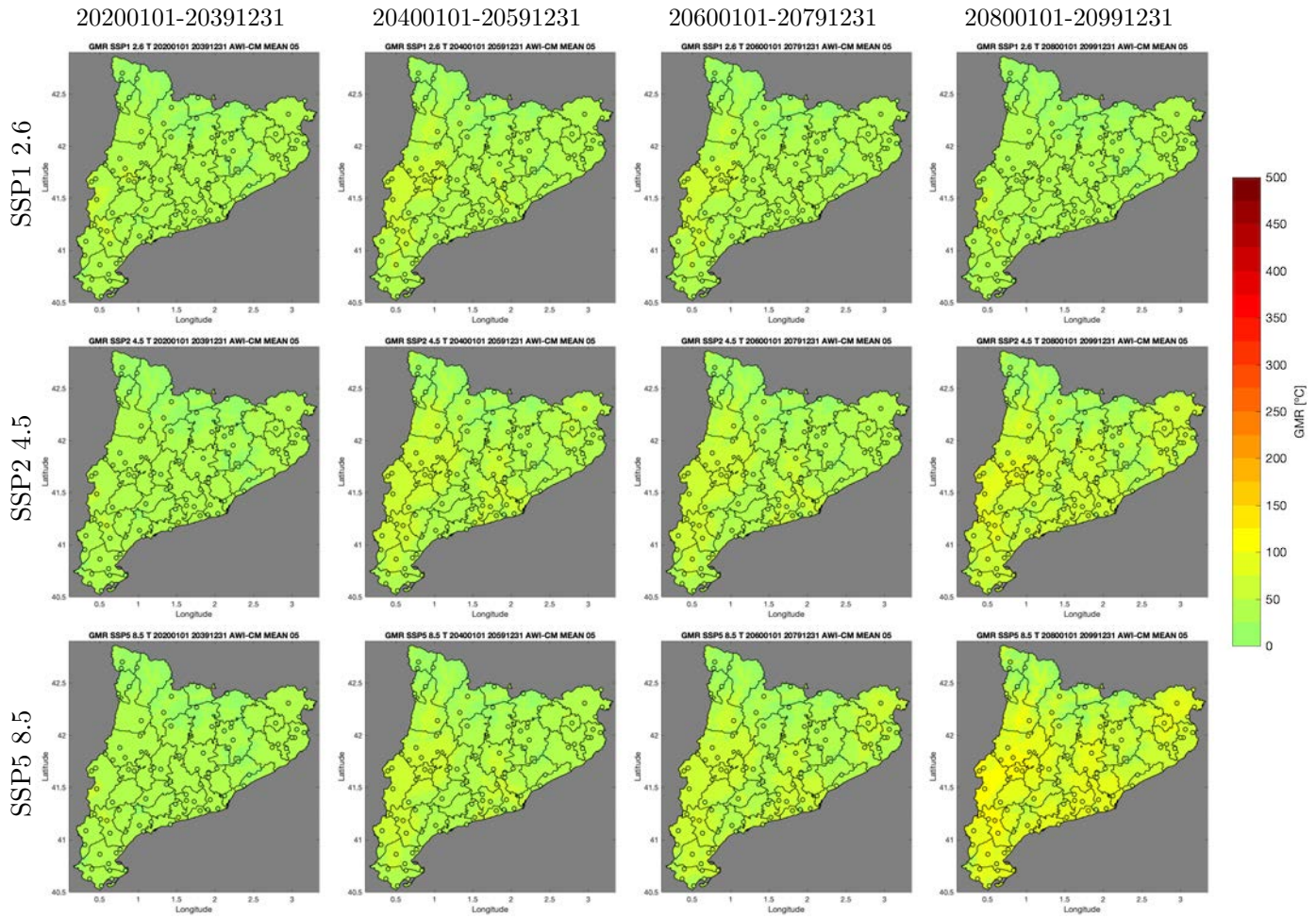

Figura A.405: Regionalització dels graus-mes de refrigeració (GMR) per al mes de maig, per als escenaris SSP1 2.6, SSP2 4.5 i SSP5 8.5, i per als períodes 2020-2039, 2040-2059, 2060-2079 i 2080-2099. Model climàtic AWI-CM.

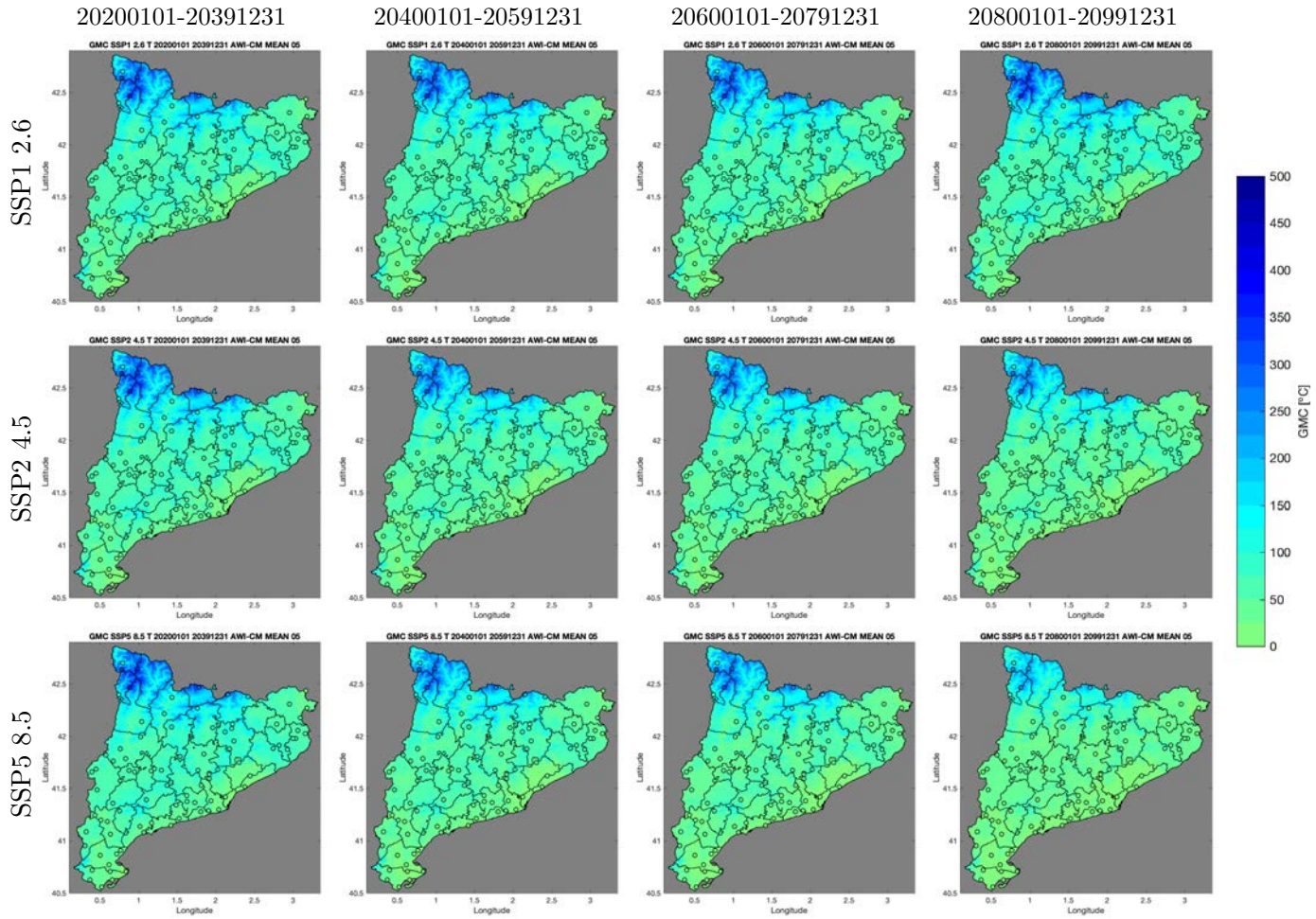

Figura A.406: Regionalització dels graus-mes de calefacció (GMC) per al mes de maig, per als escenaris SSP1 2.6, SSP2 4.5 i SSP5 8.5, i per als períodes 2020-2039, 2040-2059, 2060-2079 i 2080-2099. Model climàtic AWI-CM.

A.2.6 Juny

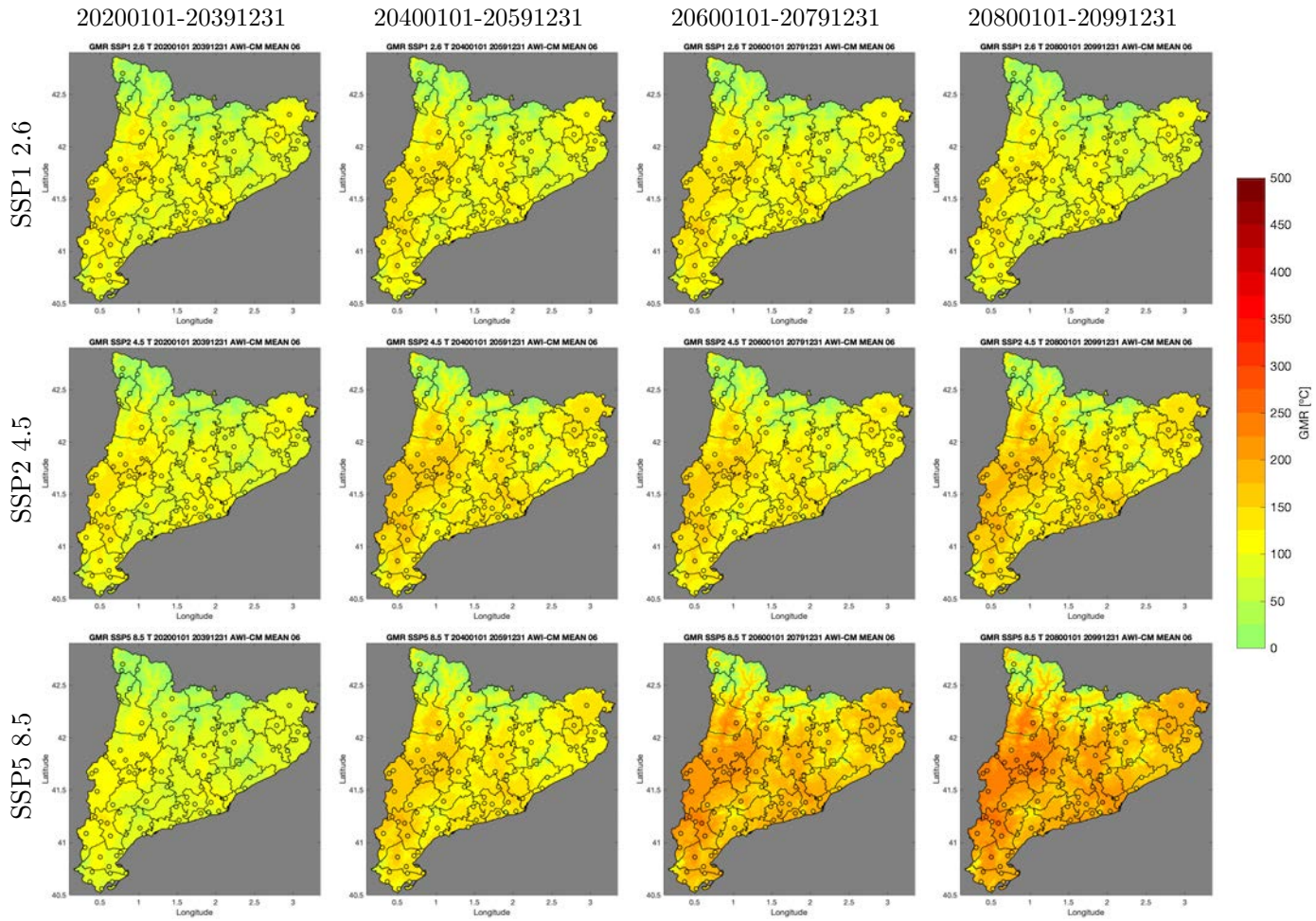

Figura A.407: Regionalització dels graus-mes de refrigeració (GMR) per al mes de juny, per als escenaris SSP1 2.6, SSP2 4.5 i SSP5 8.5, i per als períodes 2020-2039, 2040-2059, 2060-2079 i 2080-2099. Model climàtic AWI-CM.

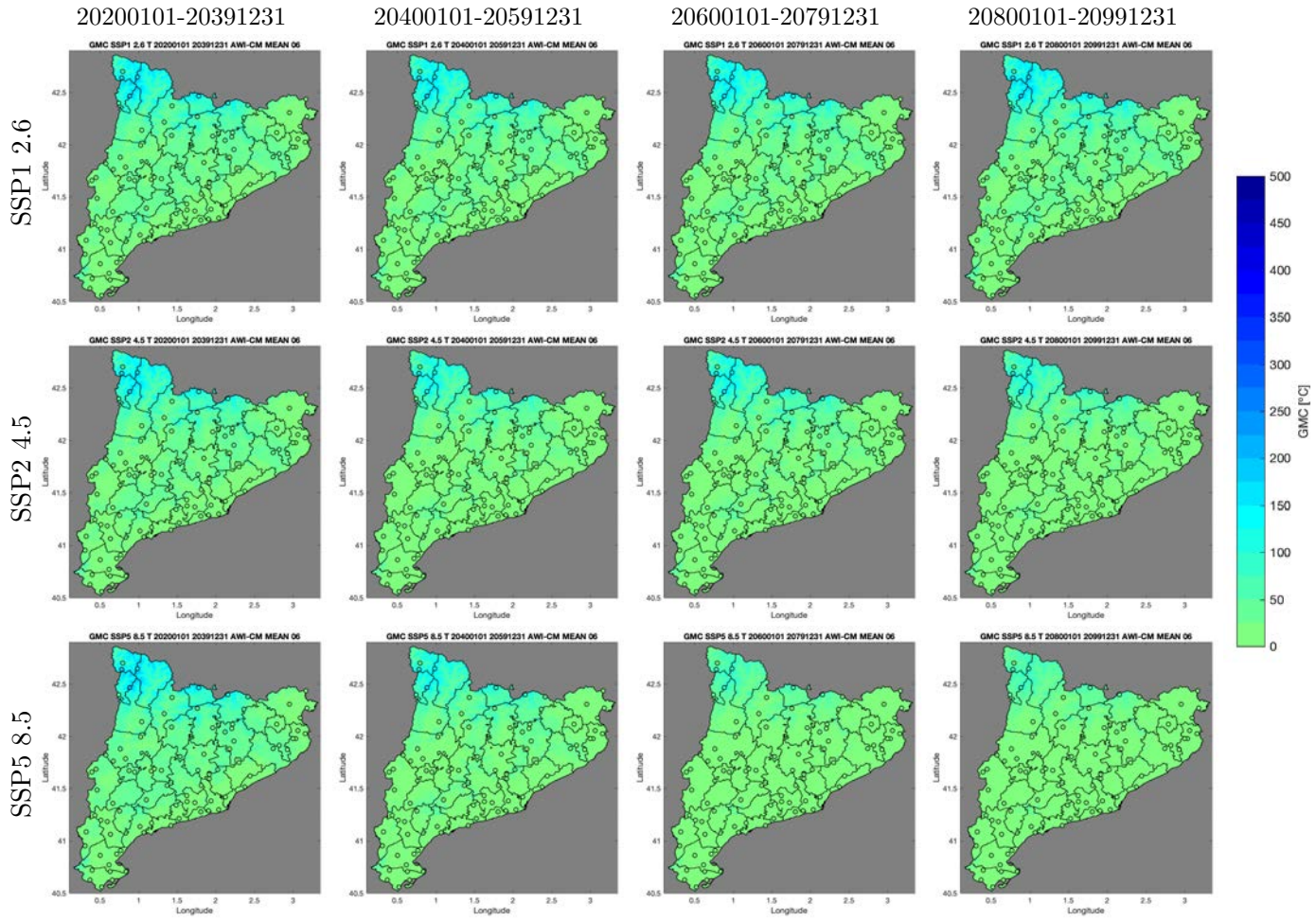

Figura A.408: Regionalització dels graus-mes de calefacció (GMC) per al mes de juny, per als escenaris SSP1 2.6, SSP2 4.5 i SSP5 8.5, i per als períodes 2020-2039, 2040-2059, 2060-2079 i 2080-2099. Model climàtic AWI-CM.

A.2.7 Juliol

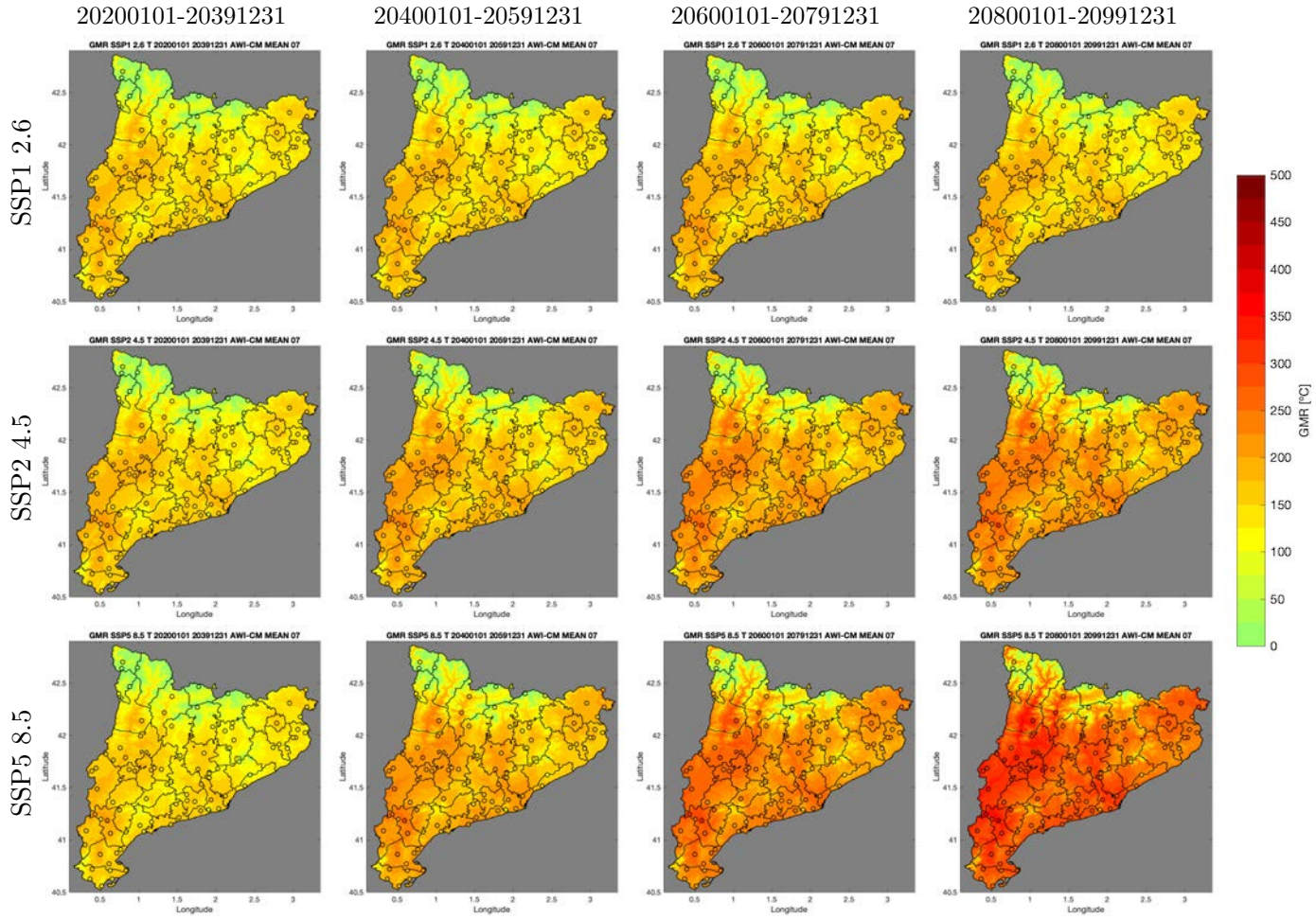

Figura A.409: Regionalització dels graus-mes de refrigeració (GMR) per al mes de juliol, per als escenaris SSP1 2.6, SSP2 4.5 i SSP5 8.5, i per als períodes 2020-2039, 2040-2059, 2060-2079 i 2080-2099. Model climàtic AWI-CM.

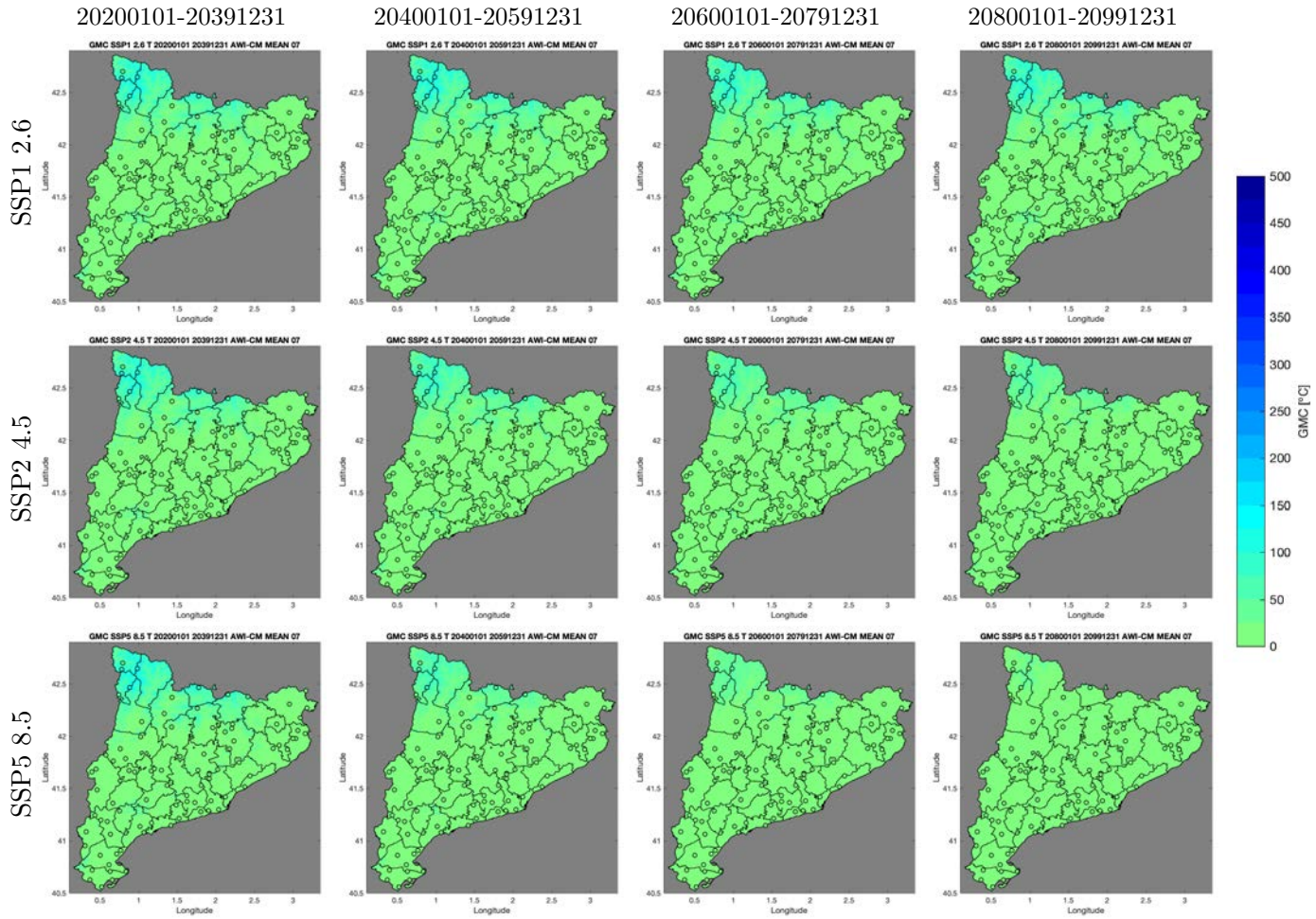

Figura A.410: Regionalització dels graus-mes de calefacció (GMC) per al mes de juliol, per als escenaris SSP1 2.6, SSP2 4.5 i SSP5 8.5, i per als períodes 2020-2039, 2040-2059, 2060-2079 i 2080-2099. Model climàtic AWI-CM.

A.2.8 Agost

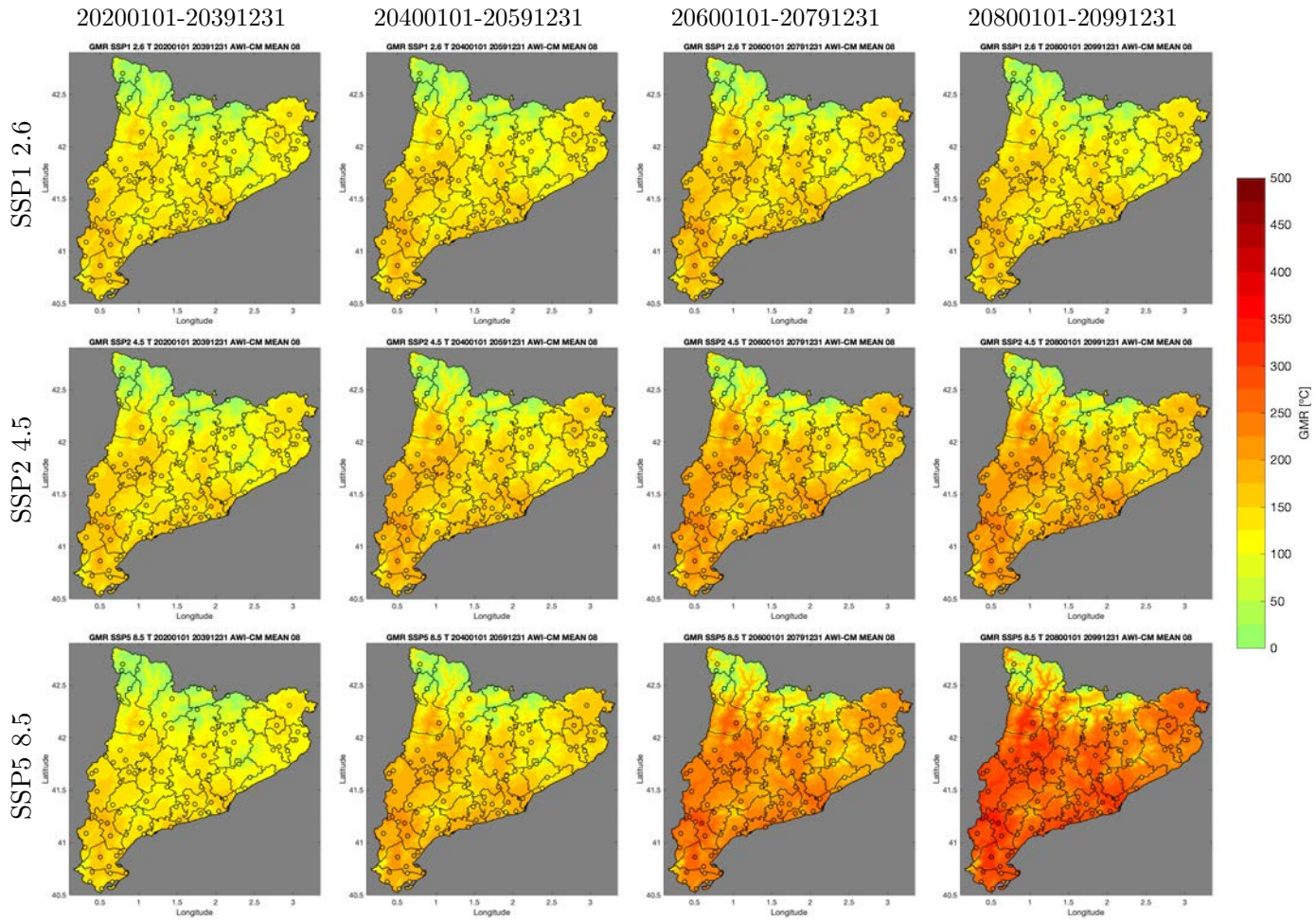

Figura A.411: Regionalització dels graus-mes de refrigeració (GMR) per al mes d'agost, per als escenaris SSP1 2.6, SSP2 4.5 i SSP5 8.5, i per als períodes 2020-2039, 2040-2059, 2060-2079 i 2080-2099. Model climàtic AWI-CM.

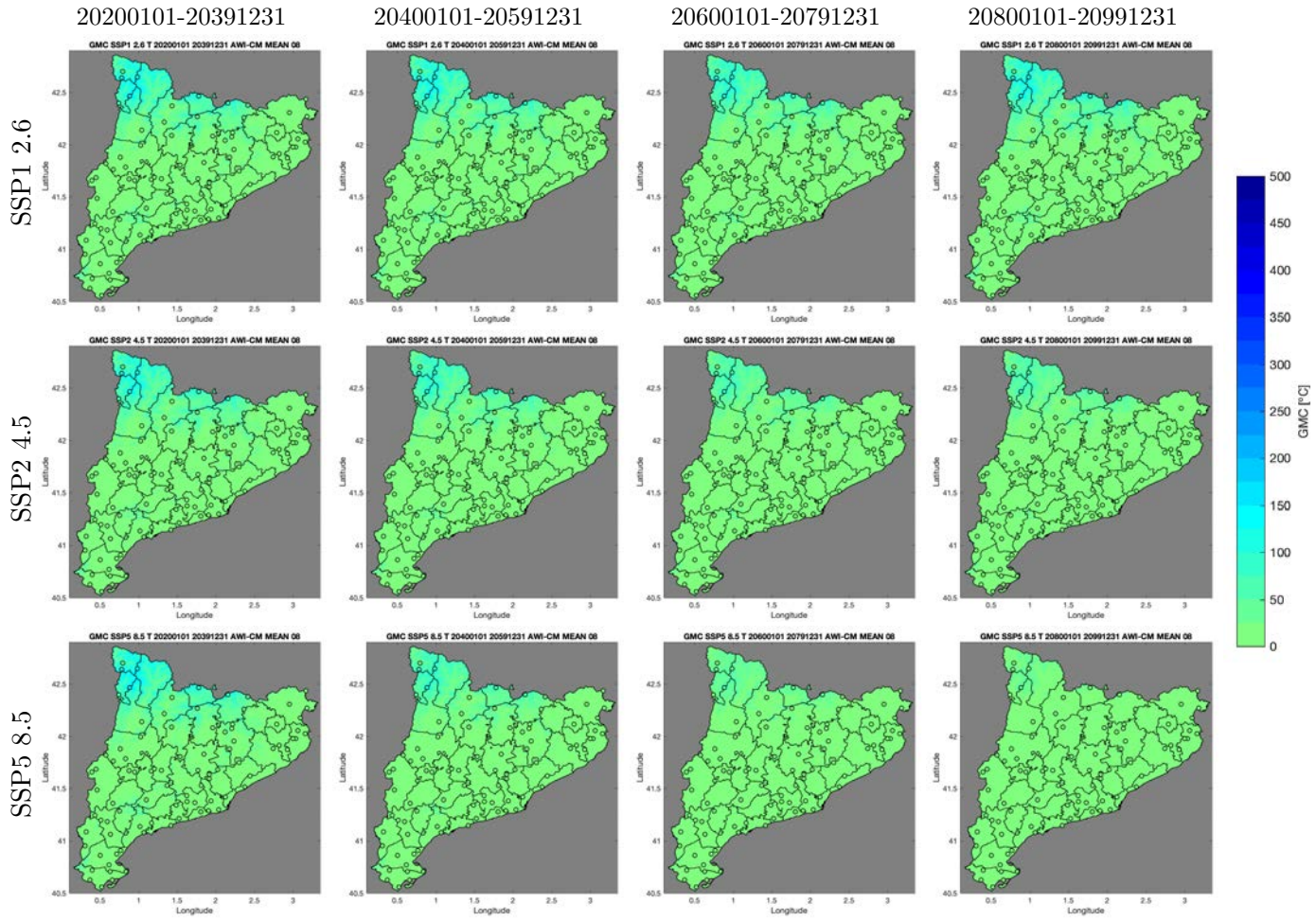

Figura A.412: Regionalització dels graus-mes de calefacció (GMC) per al mes d'agost, per als escenaris SSP1 2.6, SSP2 4.5 i SSP5 8.5, i per als períodes 2020-2039, 2040-2059, 2060-2079 i 2080-2099. Model climàtic AWI-CM.

A.2.9 Setembre

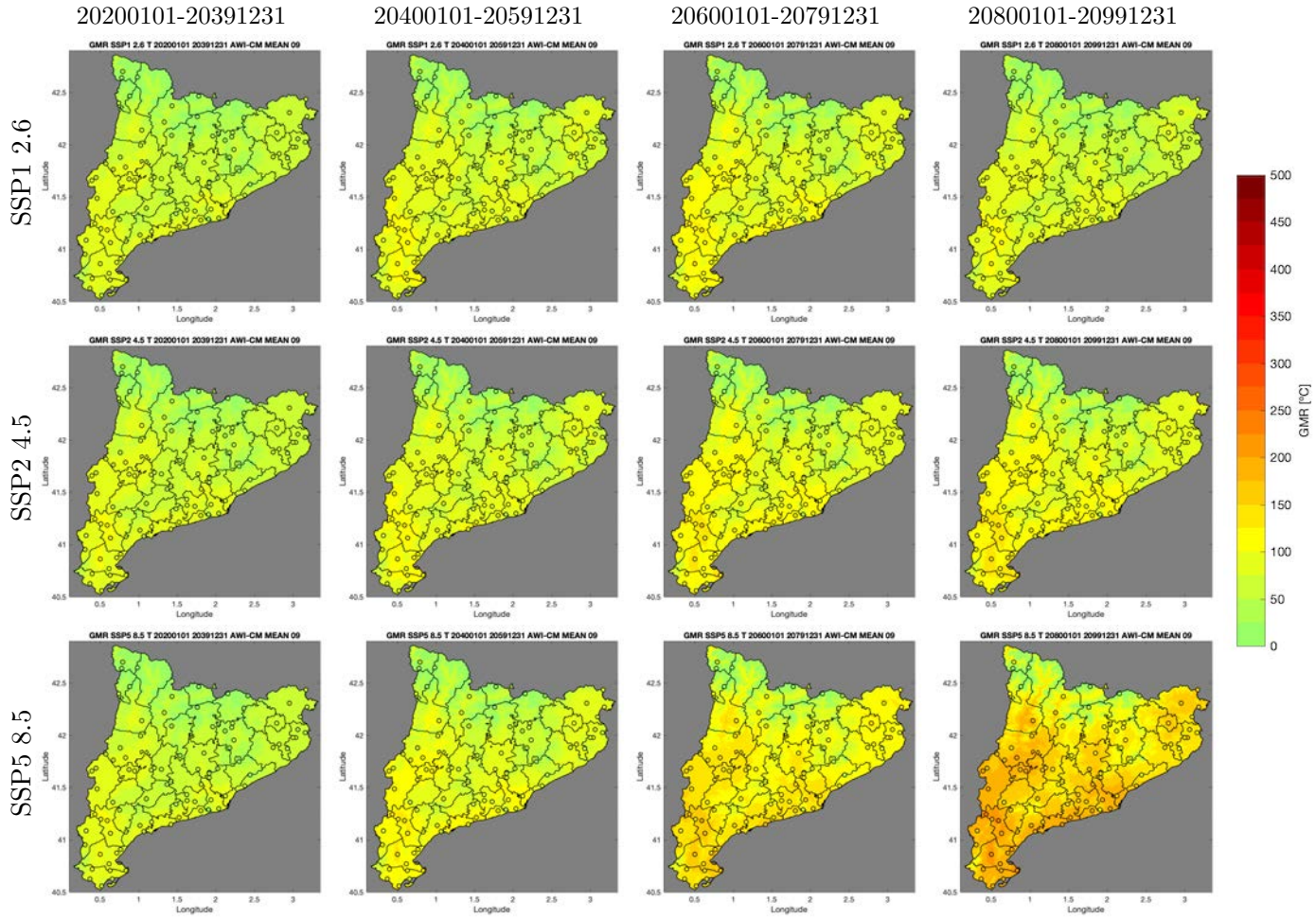

Figura A.413: Regionalització dels graus-mes de refrigeració (GMR) per al mes de setembre, per als escenaris SSP1 2.6, SSP2 4.5 i SSP5 8.5, i per als períodes 2020-2039, 2040-2059, 2060-2079 i 2080-2099. Model climàtic AWI-CM.

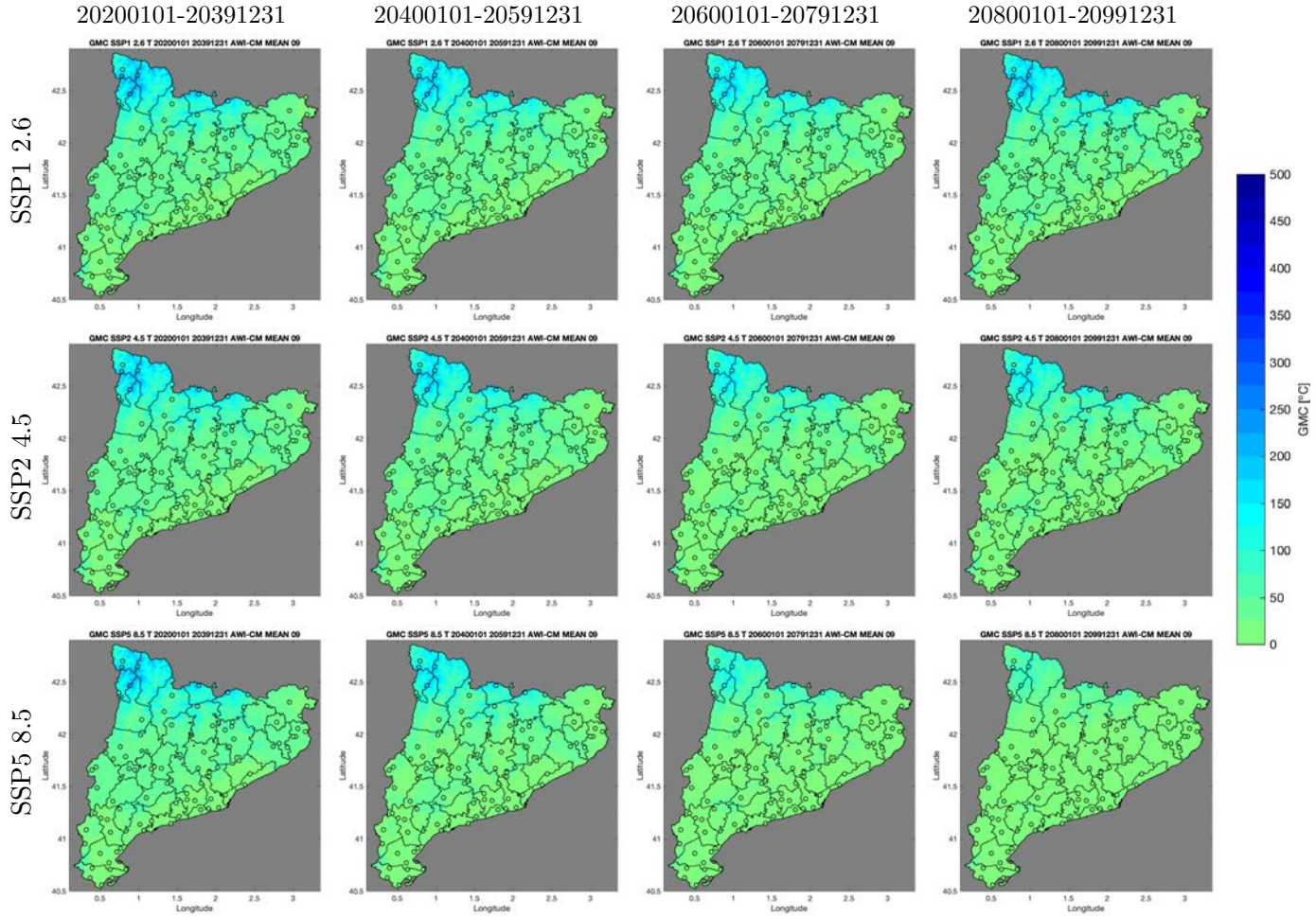

Figura A.414: Regionalització dels graus-mes de calefacció (GMC) per al mes de setembre, per als escenaris SSP1 2.6, SSP2 4.5 i SSP5 8.5, i per als períodes 2020-2039, 2040-2059, 2060-2079 i 2080-2099. Model climàtic AWI-CM.

A.2.10 Octubre

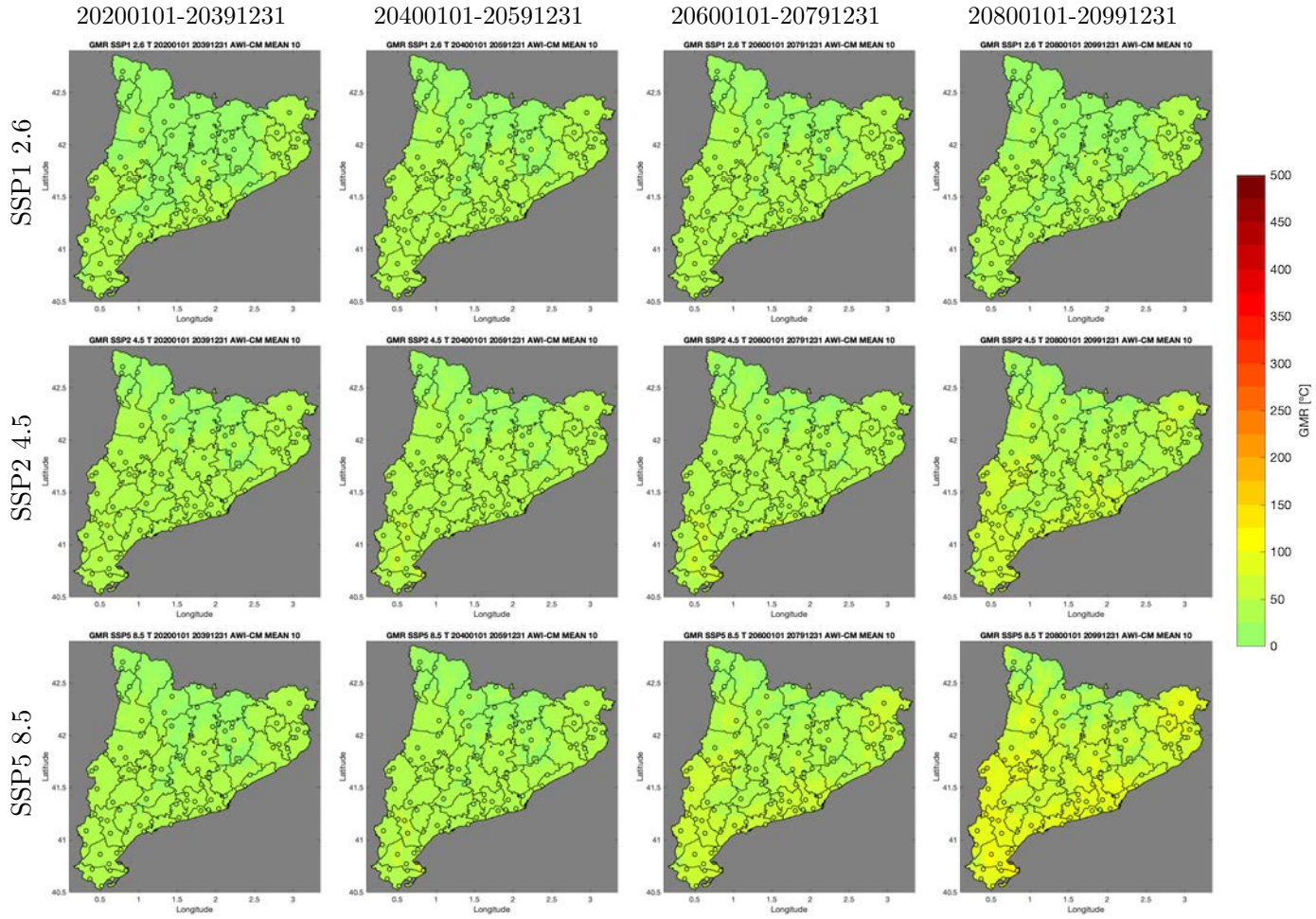

Figura A.415: Regionalització dels graus-mes de refrigeració (GMR) per al mes d'octubre, per als escenaris SSP1 2.6, SSP2 4.5 i SSP5 8.5, i per als períodes 2020-2039, 2040-2059, 2060-2079 i 2080-2099. Model climàtic AWI-CM.

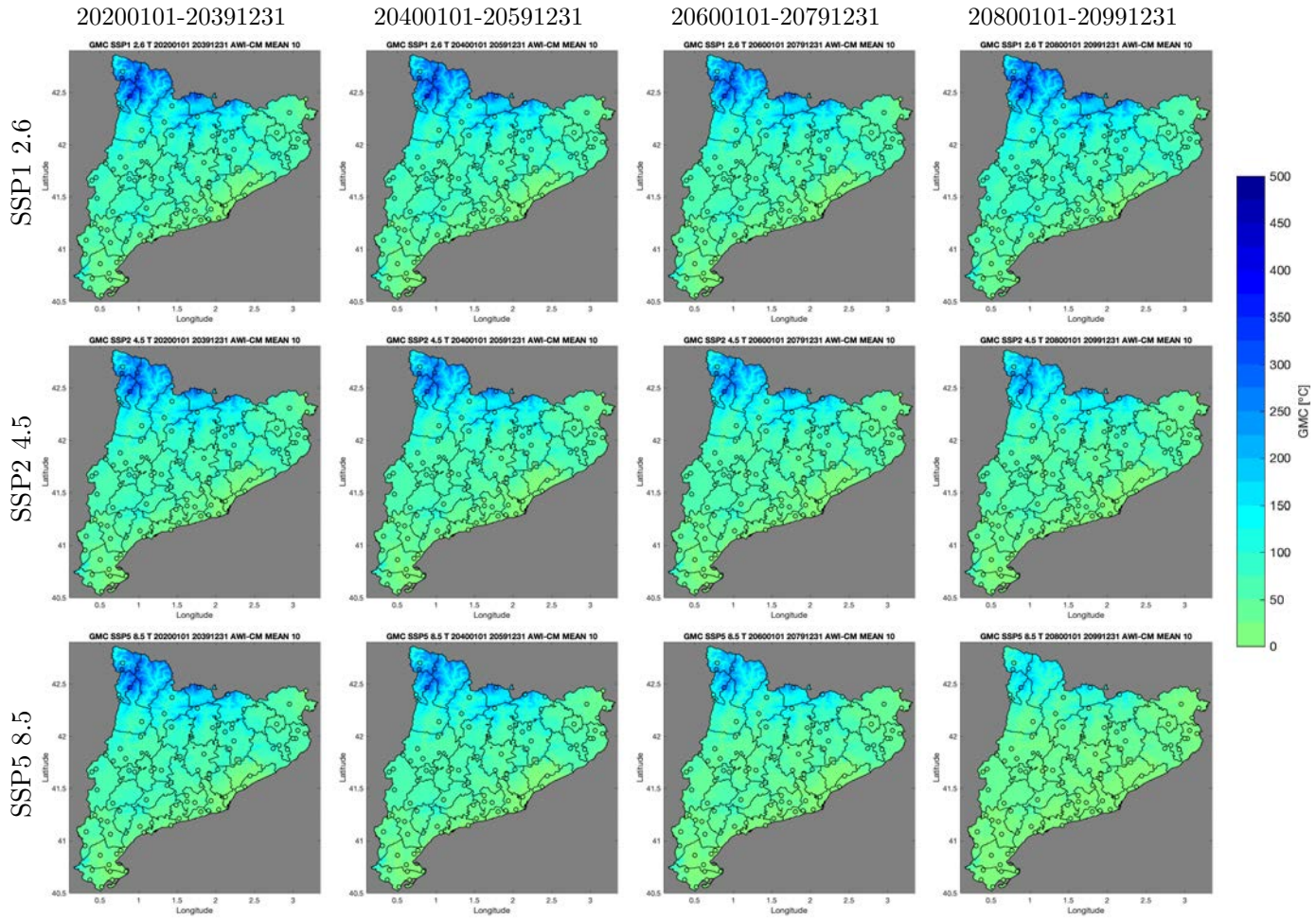

Figura A.416: Regionalització dels graus-mes de calefacció (GMC) per al mes d'octubre, per als escenaris SSP1 2.6, SSP2 4.5 i SSP5 8.5, i per als períodes 2020-2039, 2040-2059, 2060-2079 i 2080-2099. Model climàtic AWI-CM.

A.2.11 Novembre

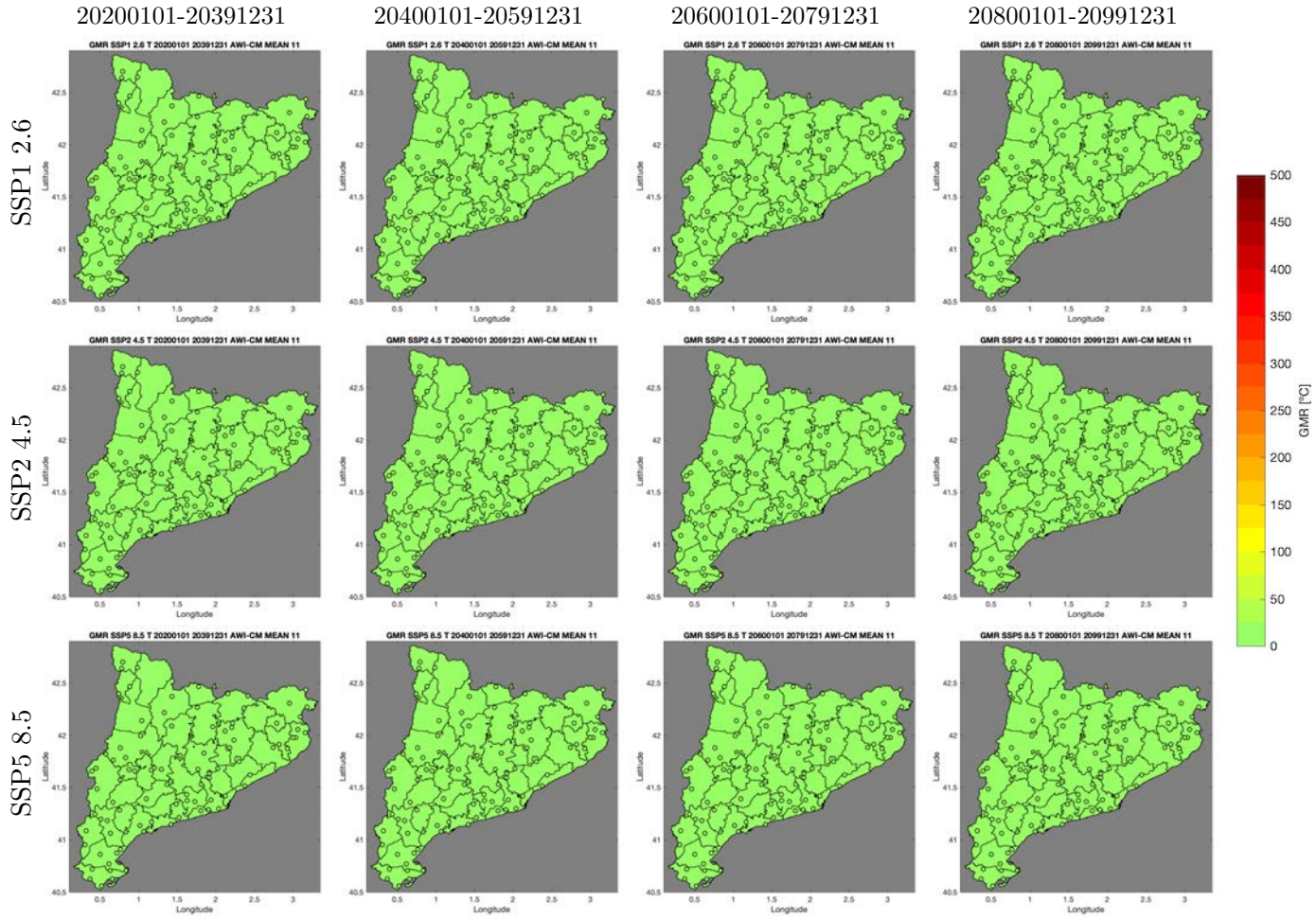

Figura A.417: Regionalització dels graus-mes de refrigeració (GMR) per al mes de novembre, per als escenaris SSP1 2.6, SSP2 4.5 i SSP5 8.5, i per als períodes 2020-2039, 2040-2059, 2060-2079 i 2080-2099. Model climàtic AWI-CM.

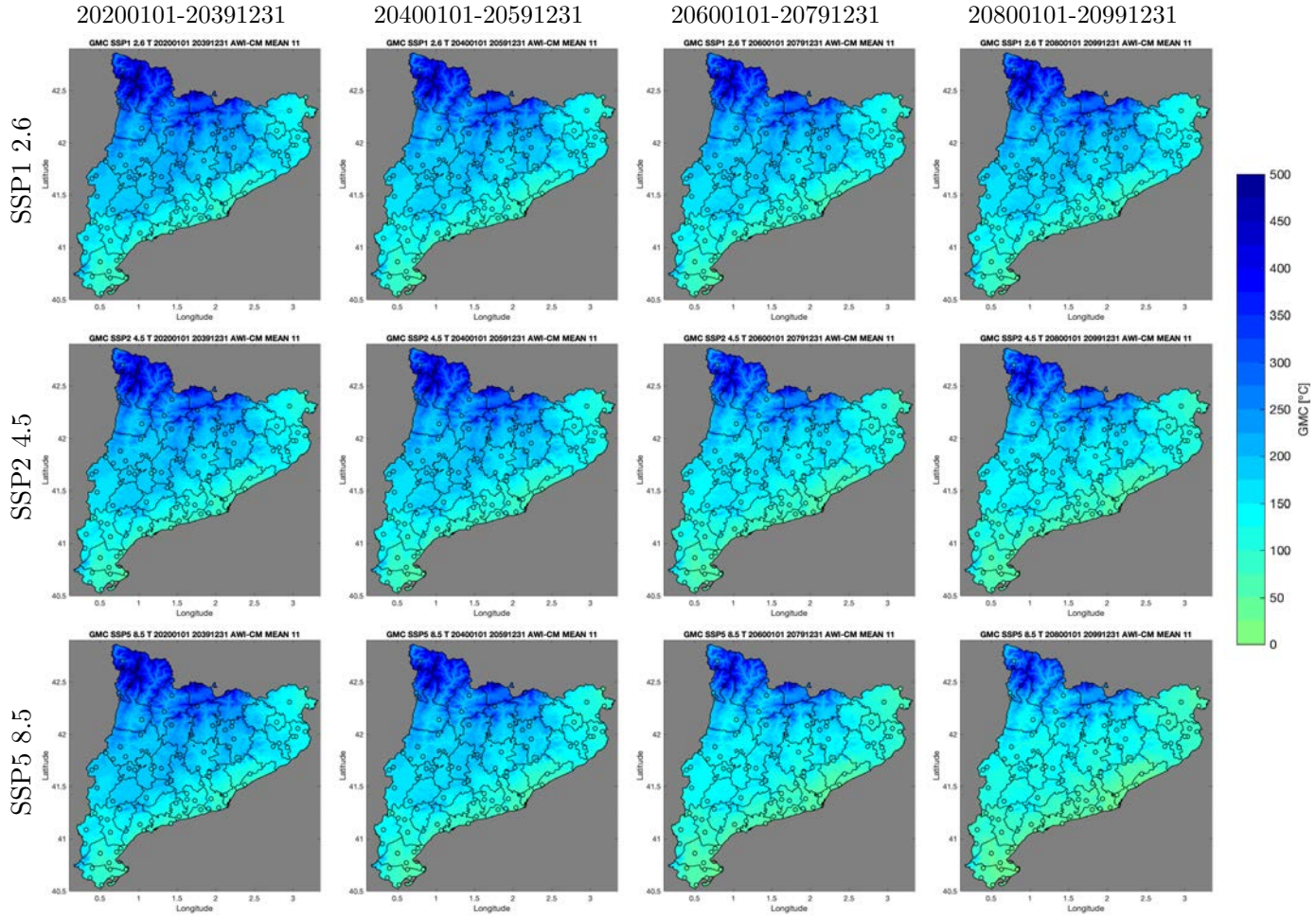

Figura A.418: Regionalització dels graus-mes de calefacció (GMC) per al mes de novembre, per als escenaris SSP1 2.6, SSP2 4.5 i SSP5 8.5, i per als períodes 2020-2039, 2040-2059, 2060-2079 i 2080-2099. Model climàtic AWI-CM.

A.2.12 Desembre

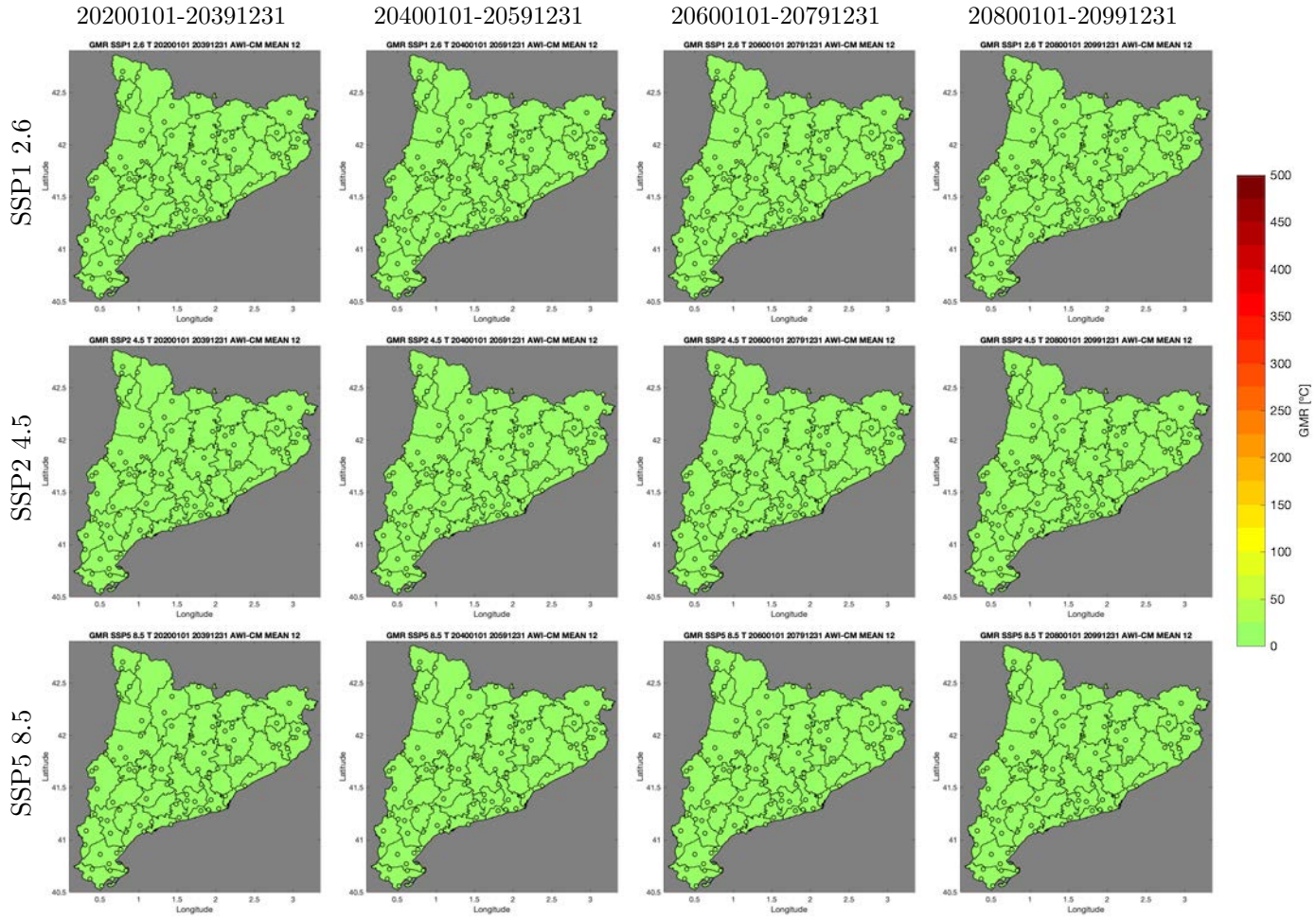

Figura A.419: Regionalització dels graus-mes de refrigeració (GMR) per al mes de desembre, per als escenaris SSP1 2.6, SSP2 4.5 i SSP5 8.5, i per als períodes 2020-2039, 2040-2059, 2060-2079 i 2080-2099. Model climàtic AWI-CM.

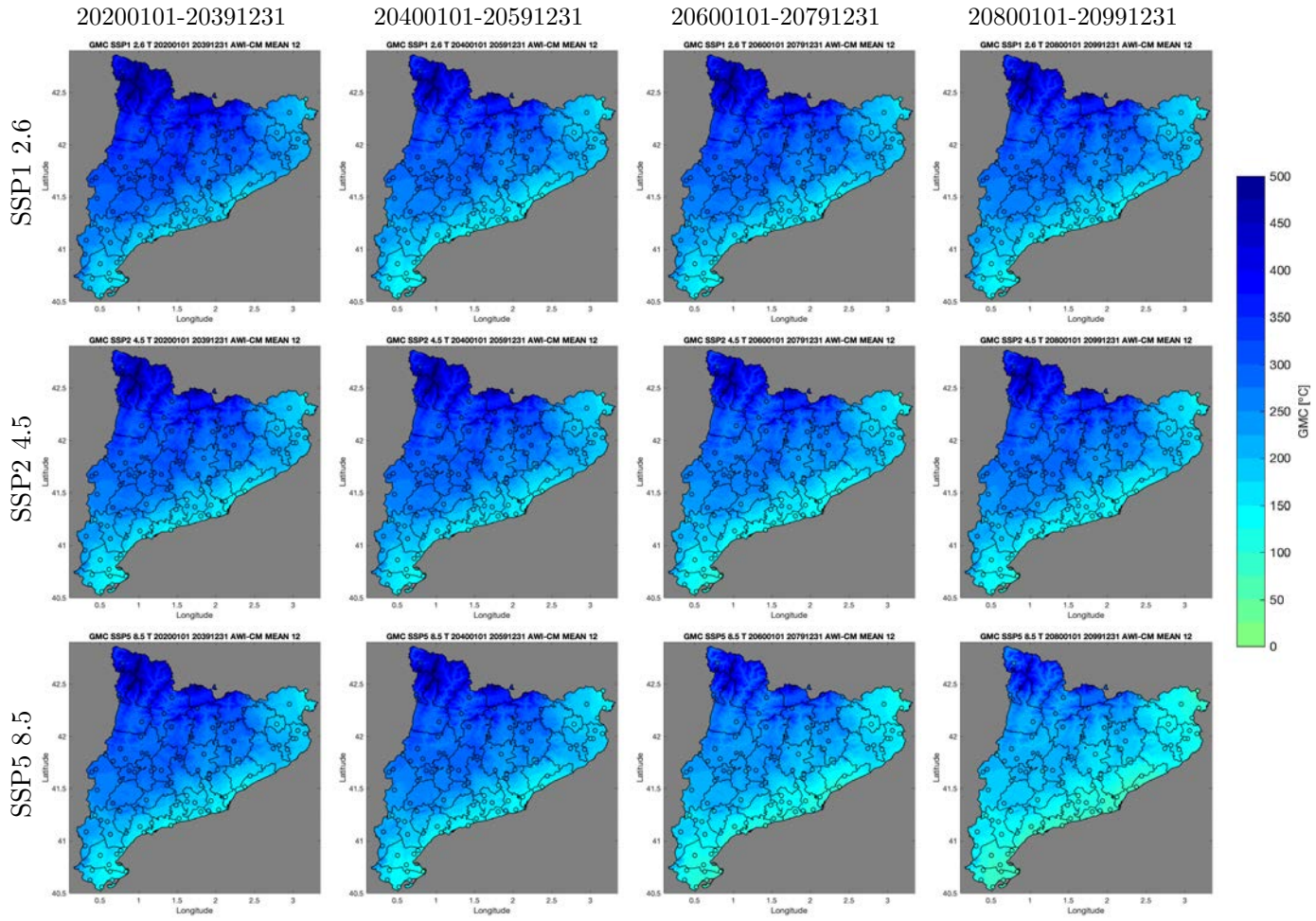

Figura A.420: Regionalització dels graus-mes de calefacció (GMC) per al mes de desembre, per als escenaris SSP1 2.6, SSP2 4.5 i SSP5 8.5, i per als períodes 2020-2039, 2040-2059, 2060-2079 i 2080-2099. Model climàtic AWI-CM.

A.2.13 Anual

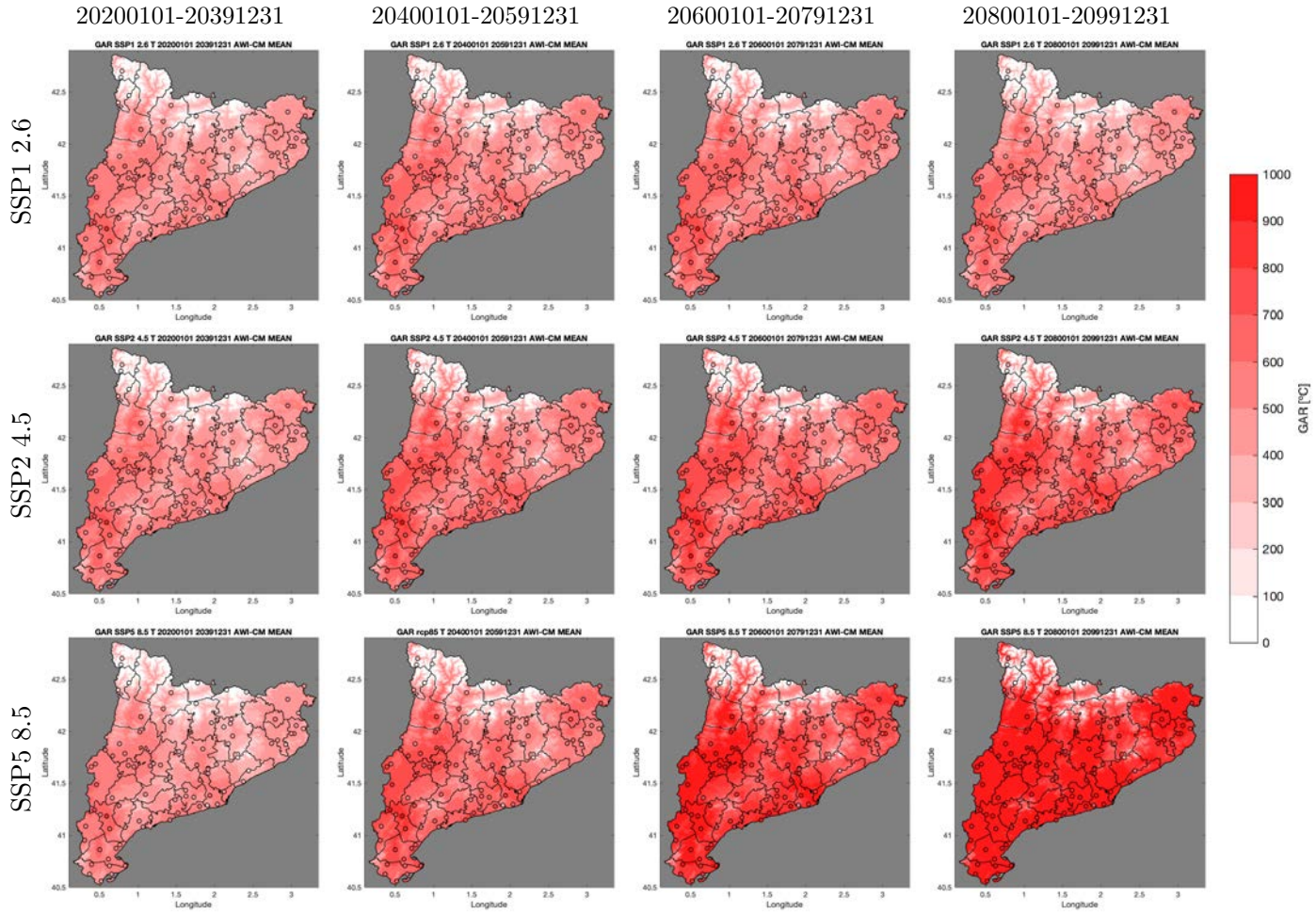

Figura A.421: Regionalització dels graus-any de refrigeració (GAR), per als escenaris SSP1 2.6, SSP2 4.5 i SSP5 8.5, i per als períodes 2020-2039, 2040-2059, 2060-2079 i 2080-2099. Model climàtic AWI-CM.

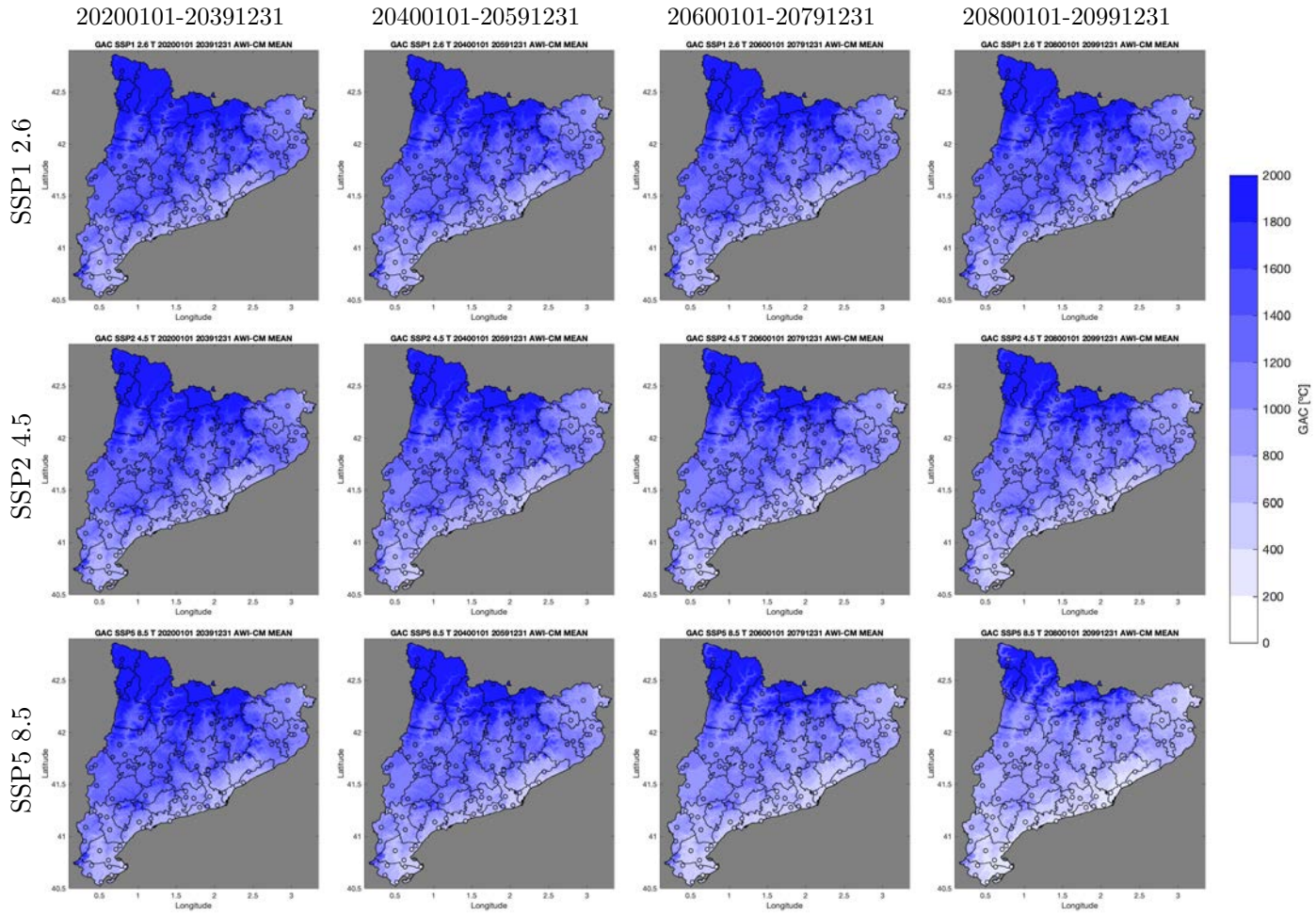

Figura A.422: Regionalització dels graus-any de calefacció (GAC), per als escenaris SSP1 2.6, SSP2 4.5 i SSP5 8.5, i per als períodes 2020-2039, 2040-2059, 2060-2079 i 2080-2099. Model climàtic AWI-CM.

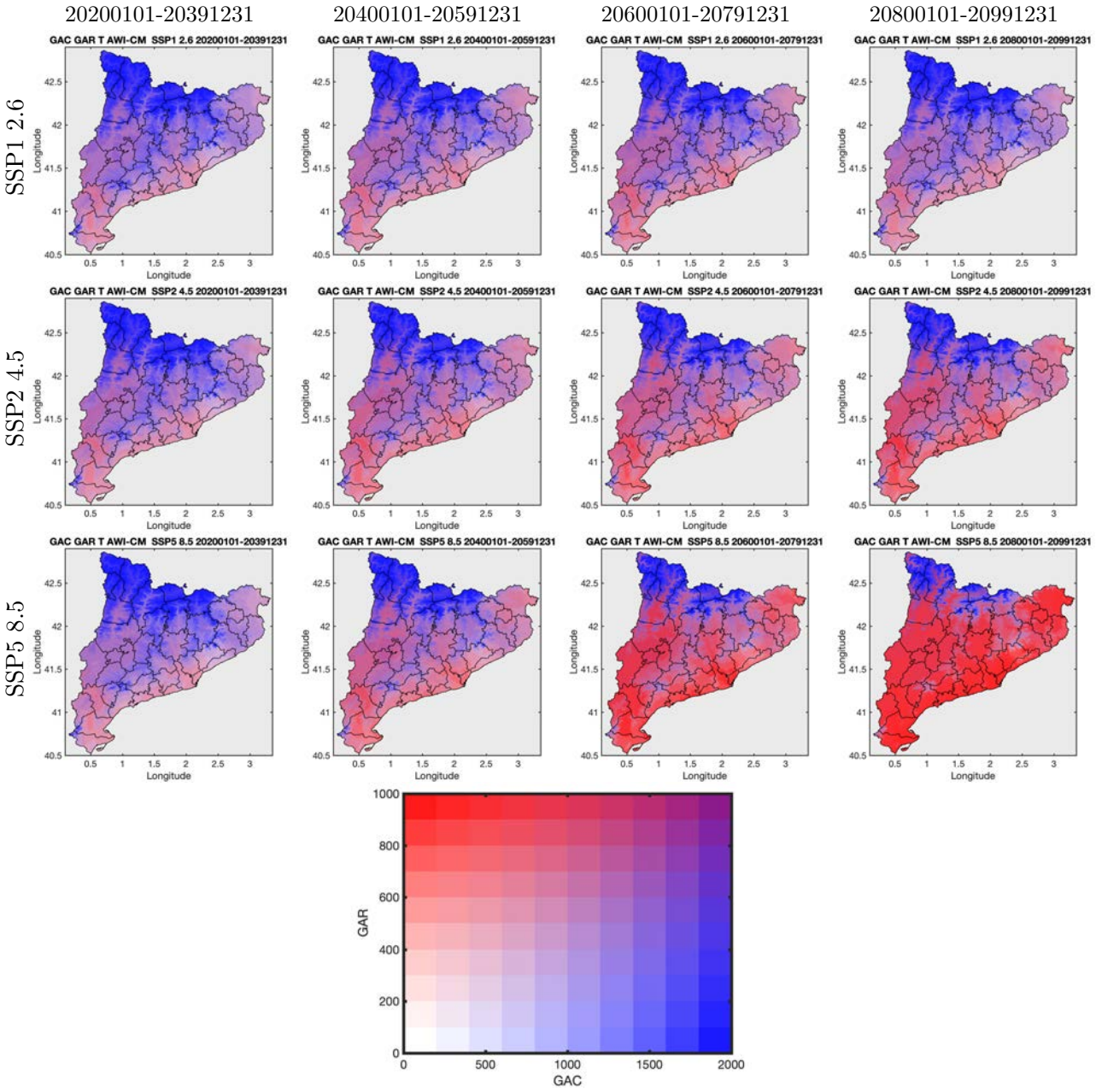

Figura A.423: Regionalització dels graus-any de refrigeració (GAR) i dels graus-any de calefacció (GAC), per als escenarisSSP1 2.6, SSP2 4.5 i SSP5 8.5, i per als períodes 2020-2039, 2040-2059, 2060-2079 i 2080-2099. Model climàtic AWI-CM.

Apèndix B

Resultats model MPI-ESM1

B.1 Necessitats de climatització estacions meteorològiques

B.1.1 C6 - Castellnou de Seana

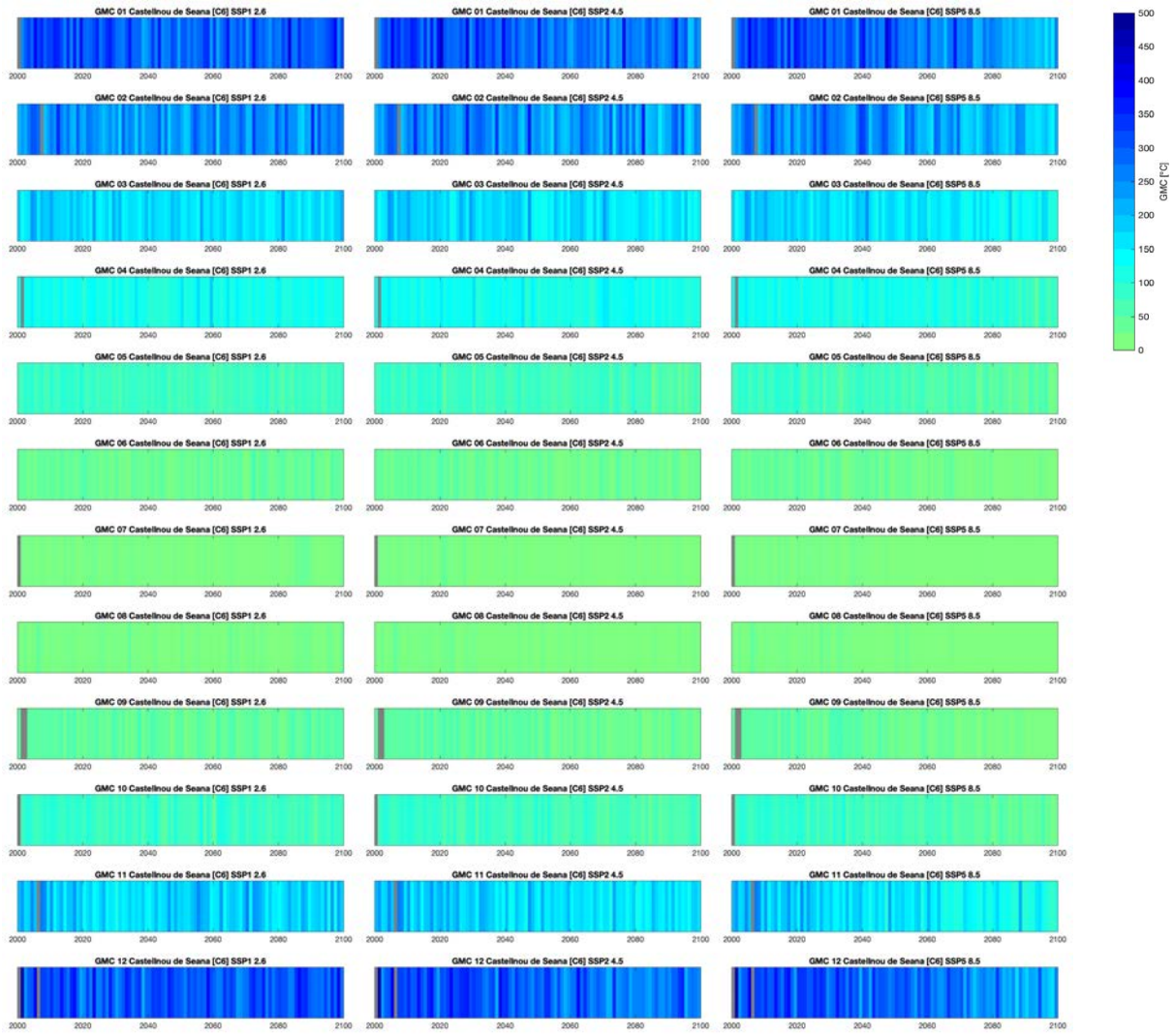

Figura B.1: Evolució dels graus-mes de calefacció (GMC) a l'estació C6- Castellnou de Seana, per als diferents escenaris [SSP1 2.6, SSP2 4.5 i SSP5 8.5] per al model climàtic MPI-ESM1.

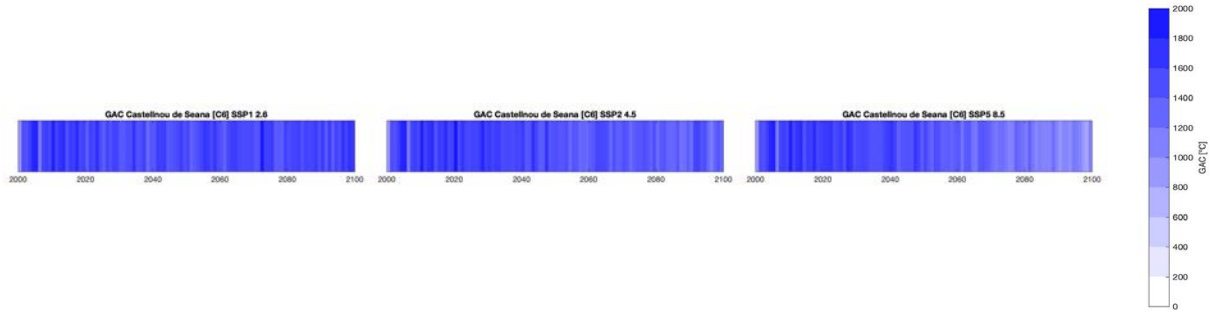

Figura B.2: Evolució dels graus-any de calefacció (GAC) a l'estació C6- Castellnou de Seana, per als diferents escenaris [SSP1 2.6, SSP2 4.5 i SSP5 8.5] per al model climàtic MPI-ESM1.

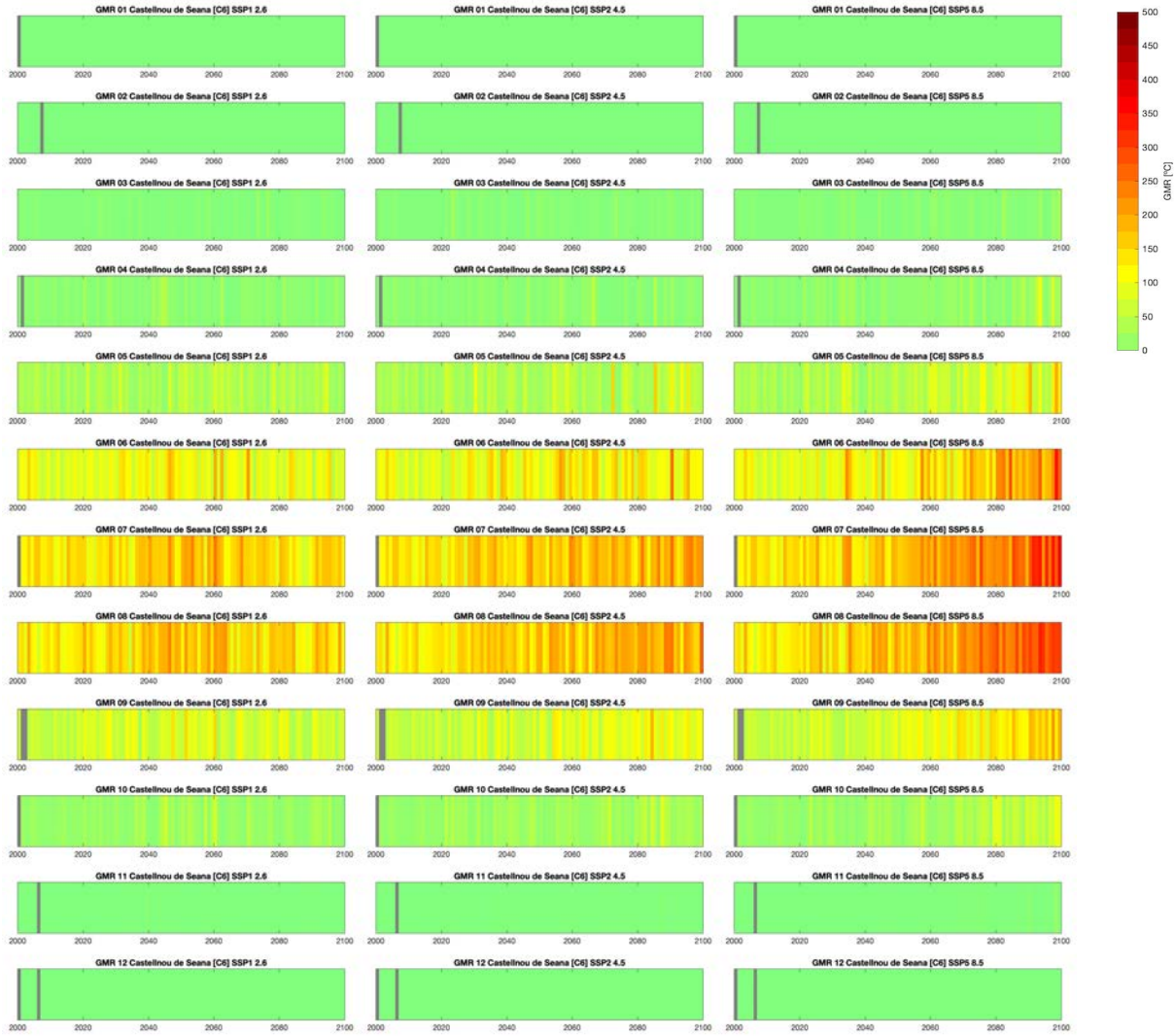

Figura B.3: Evolució dels graus-mes de refrigeració (GMR a l'estació C6- Castellnou de Seana, per als diferents escenaris [SSP1 2.6, SSP2 4.5 i SSP5 8.5] per al model climàtic MPI-ESM1.

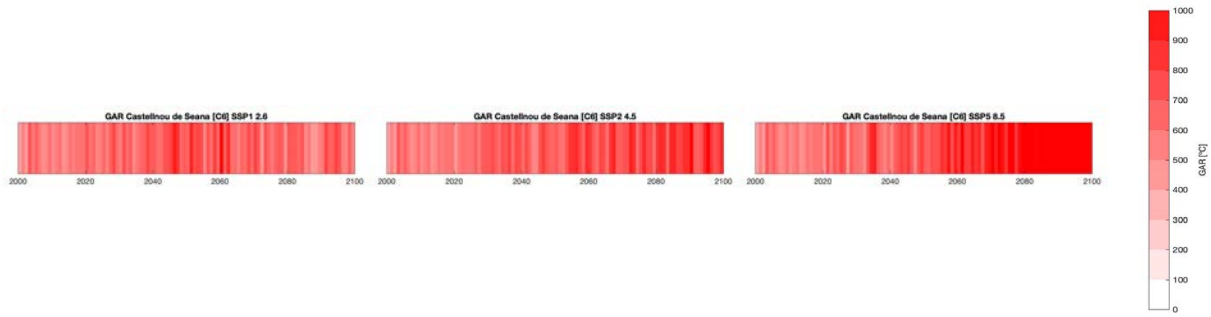

Figura B.4: Evolució dels graus-any de refrigeració (GAR a l'estació C6- Castellnou de Seana, per als diferents escenaris [SSP1 2.6, SSP2 4.5 i SSP5 8.5] per al model climàtic MPI-ESM1.

B.1.2 C7 - Tàrrega

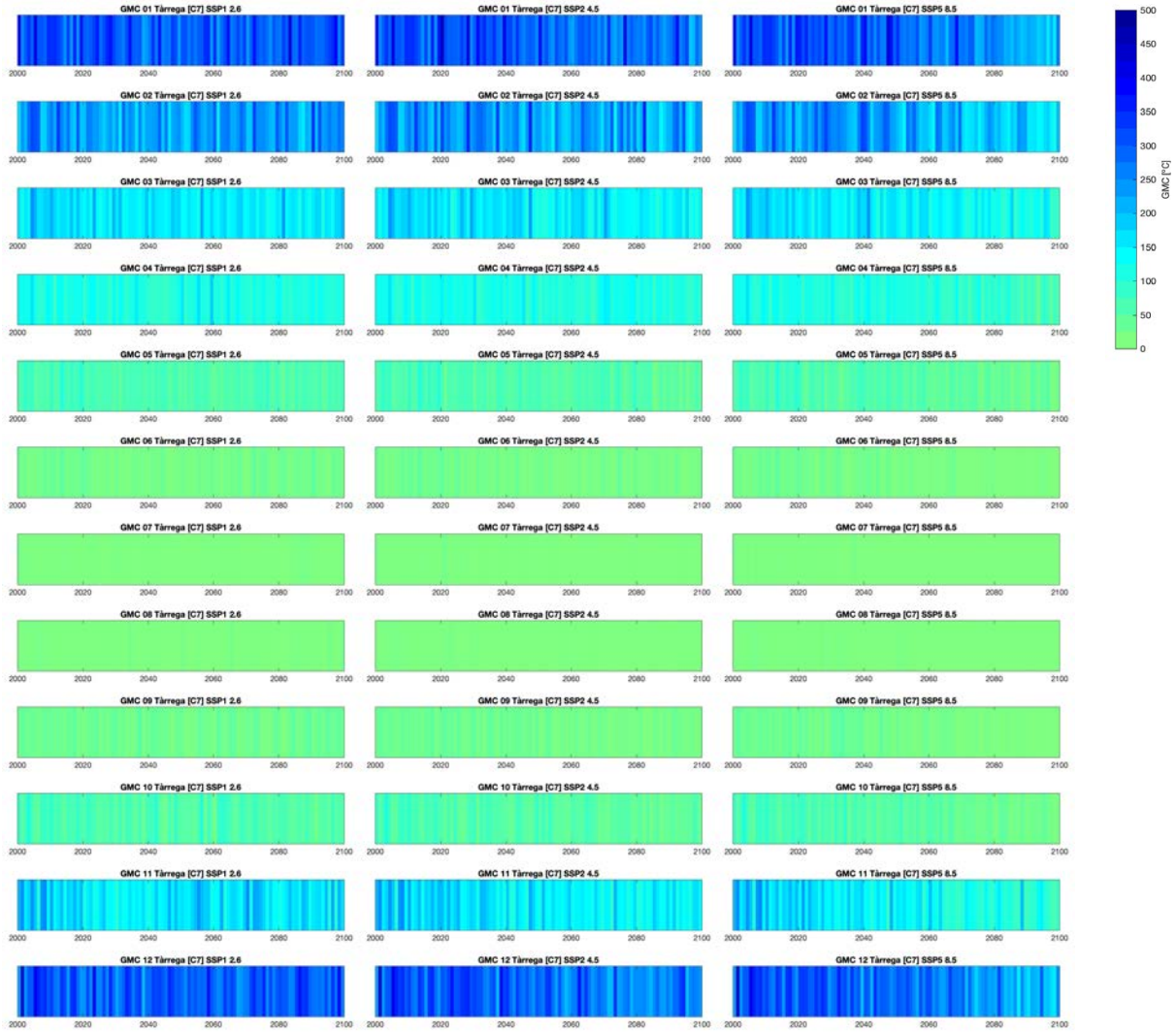

Figura B.5: Evolució dels graus-mes de calefacció (GMC) a l'estació C7- Tàrrega, per als diferents escenaris [SSP1 2.6, SSP2 4.5 i SSP5 8.5] per al model climàtic MPI-ESM1.

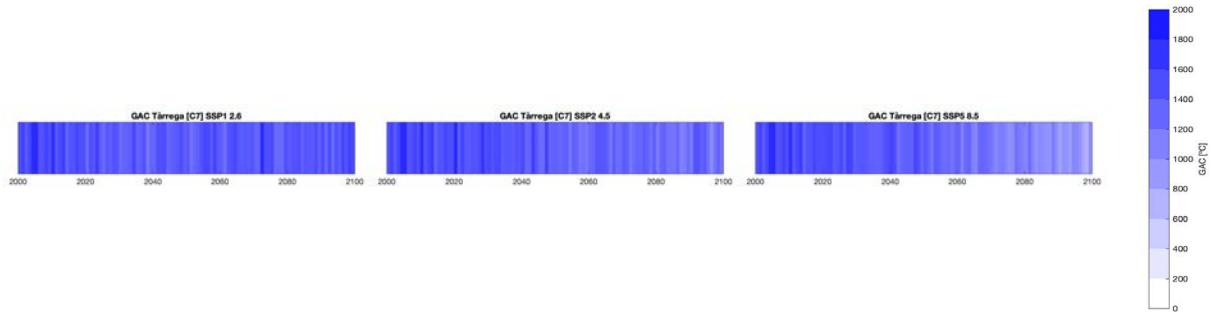

Figura B.6: Evolució dels graus-any de calefacció (GAC) a l'estació C7- Tàrrega, per als diferents escenaris [SSP1 2.6, SSP2 4.5 i SSP5 8.5] per al model climàtic MPI-ESM1.

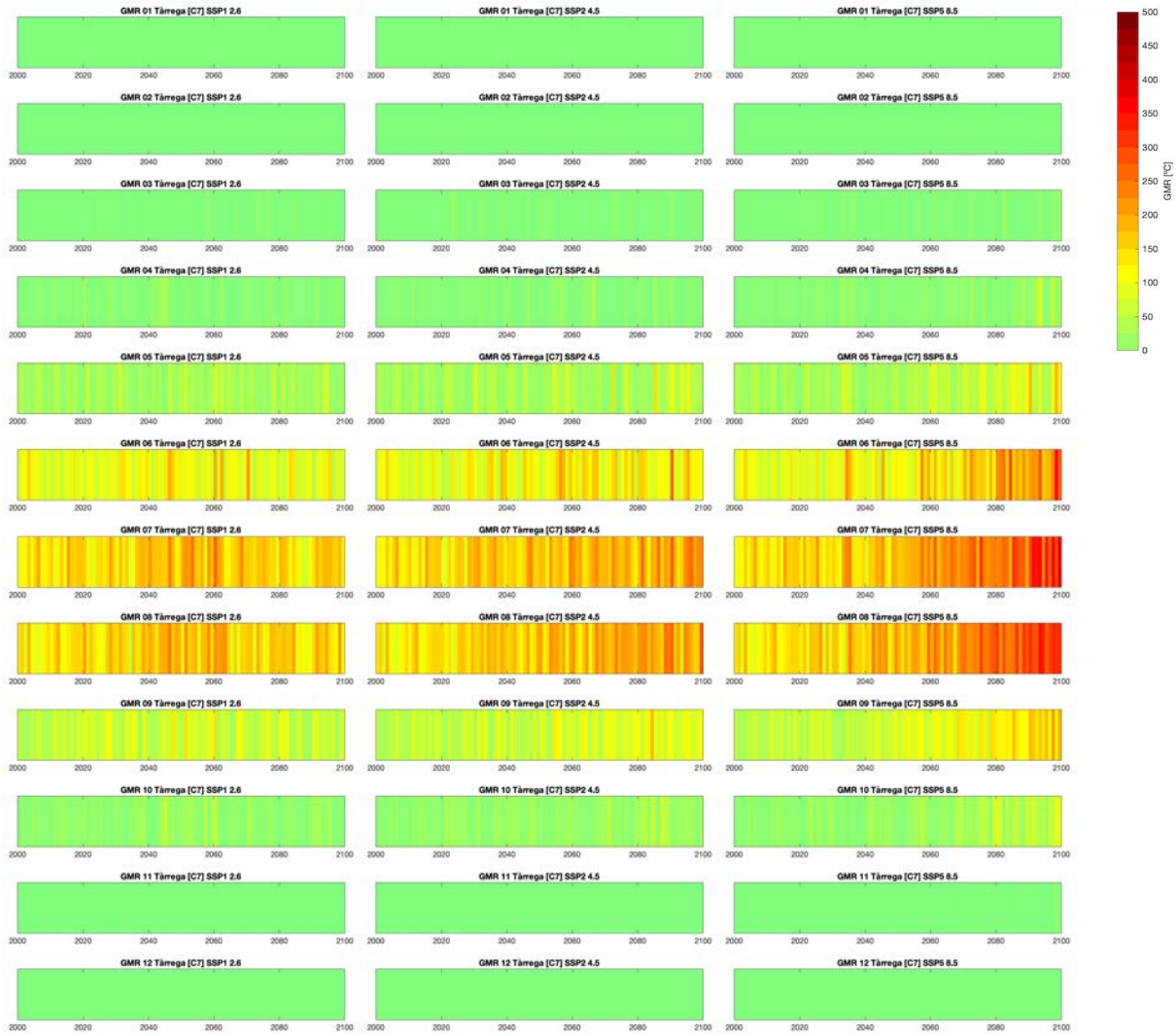

Figura B.7: Evolució dels graus-mes de refrigeració (GMR a l'estació C7- Tàrrega, per als diferents escenaris [SSP1 2.6, SSP2 4.5 i SSP5 8.5] per al model climàtic MPI-ESM1.

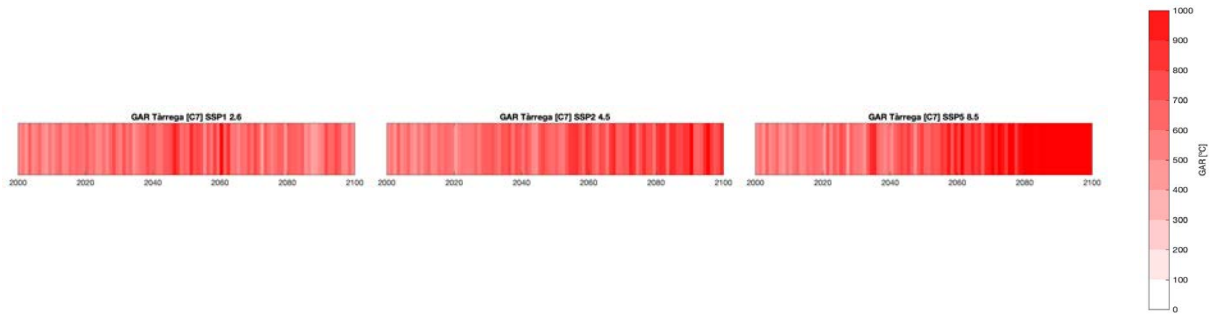

Figura B.8: Evolució dels graus-any de refrigeració (GAR a l'estació C7- Tàrrega, per als diferents escenaris [SSP1 2.6, SSP2 4.5 i SSP5 8.5] per al model climàtic MPI-ESM1.

B.1.3 C8 - Cervera

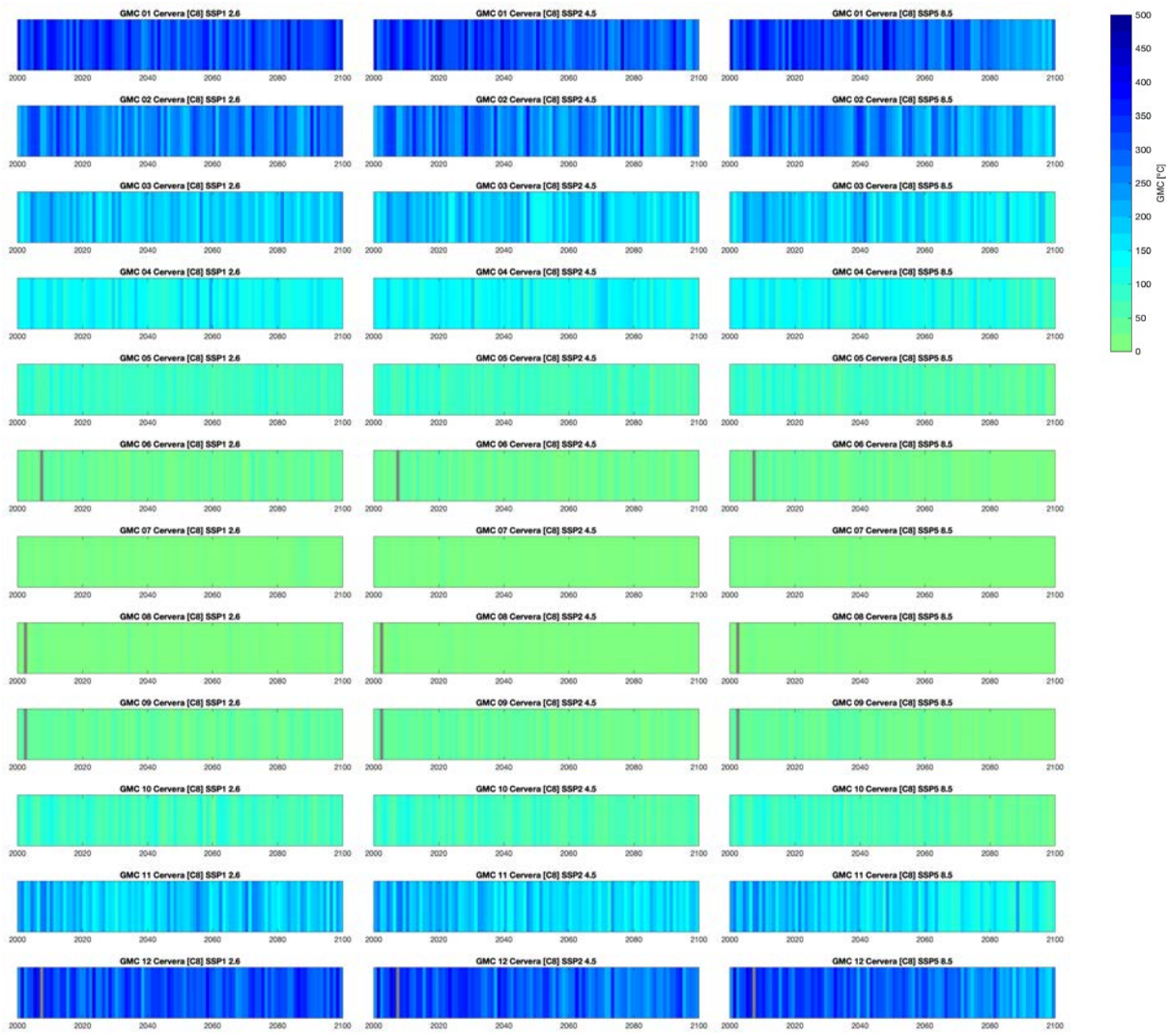

Figura B.9: Evolució dels graus-mes de calefacció (GMC) a l'estació C8- Cervera, per als diferents escenaris [SSP1 2.6, SSP2 4.5 i SSP5 8.5] per al model climàtic MPI-ESM1.

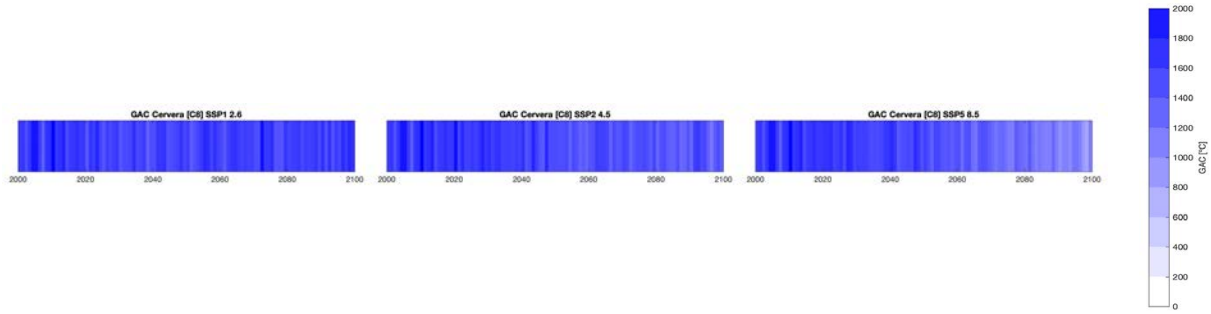

Figura B.10: Evolució dels graus-any de calefacció (GAC) a l'estació C8- Cervera, per als diferents escenaris [SSP1 2.6, SSP2 4.5 i SSP5 8.5] per al model climàtic MPI-ESM1.

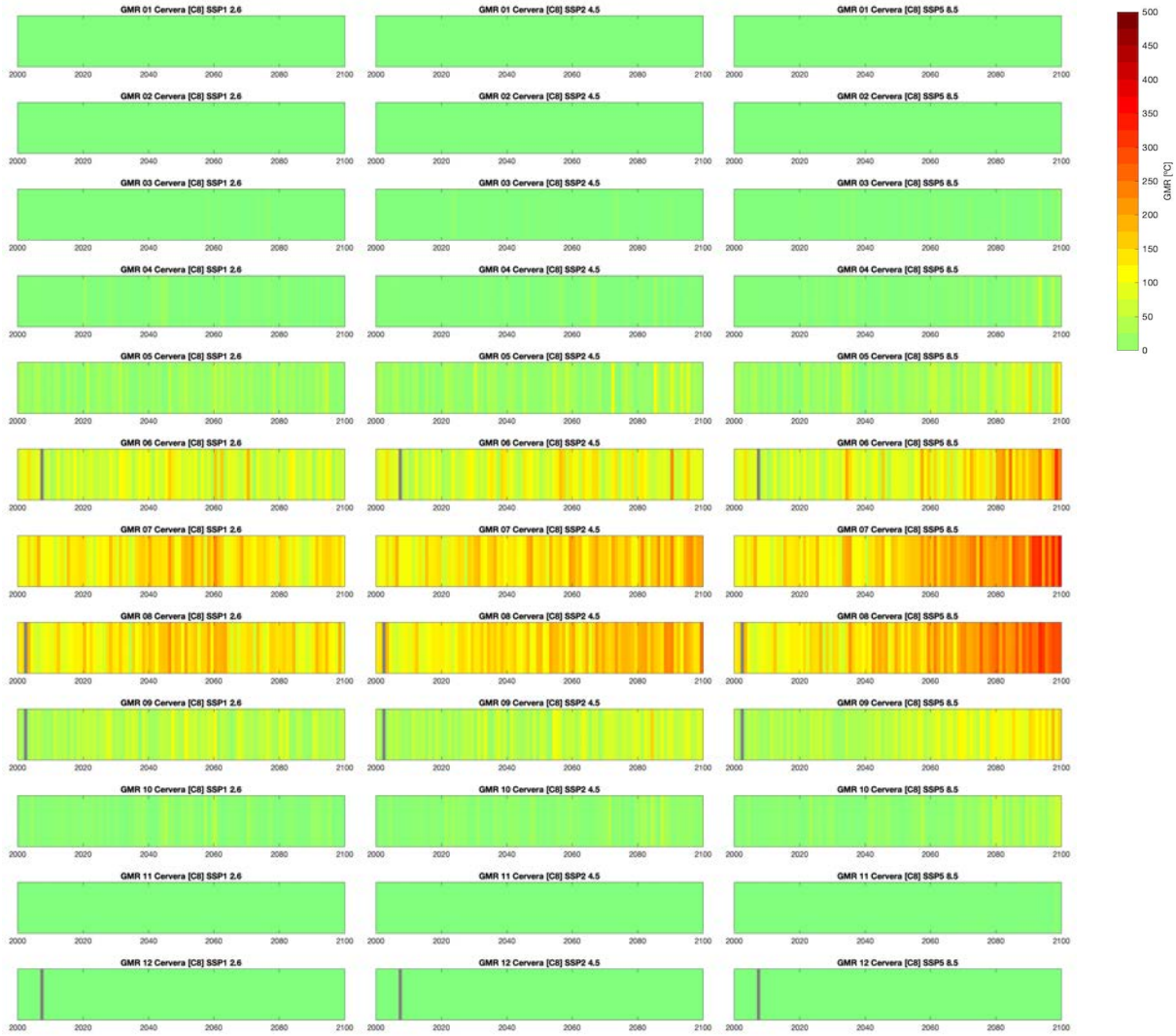

Figura B.11: Evolució dels graus-mes de refrigeració (GMR a l'estació C8- Cervera, per als diferents escenaris [SSP1 2.6, SSP2 4.5 i SSP5 8.5] per al model climàtic MPI-ESM1.

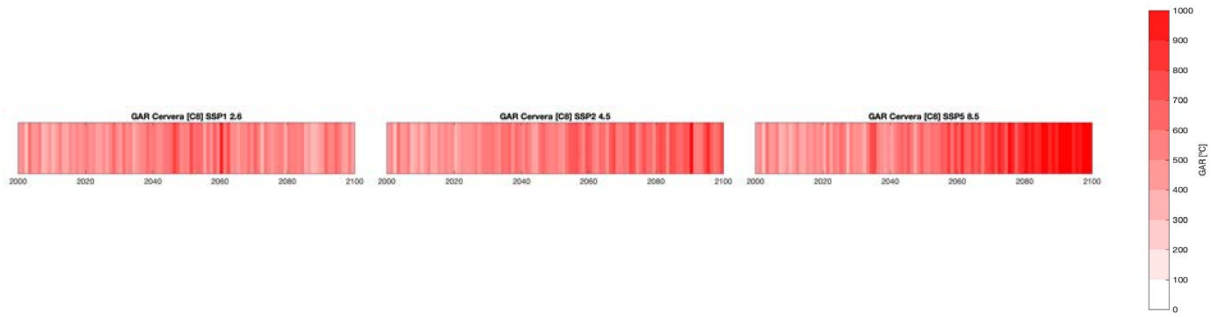

Figura B.12: Evolució dels graus-any de refrigeració (GAR a l'estació C8- Cervera, per als diferents escenaris [SSP1 2.6, SSP2 4.5 i SSP5 8.5] per al model climàtic MPI-ESM1.

B.1.4 C9 - Mas de Barberans

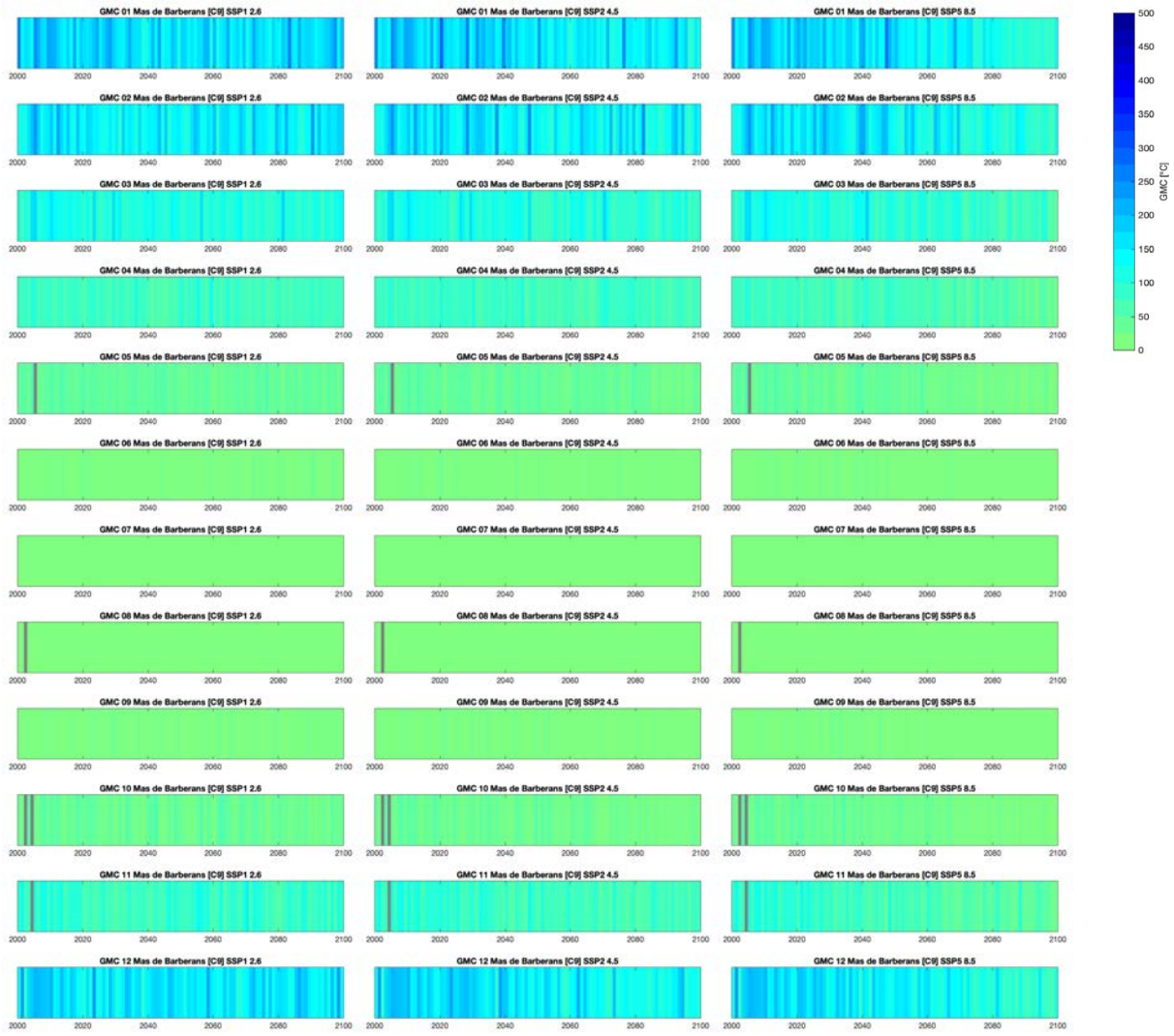

Figura B.13: Evolució dels graus-mes de calefacció (GMC) a l'estació C9- Mas de Barberans, per als diferents escenaris [SSP1 2.6, SSP2 4.5 i SSP5 8.5] per al model climàtic MPI-ESM1.

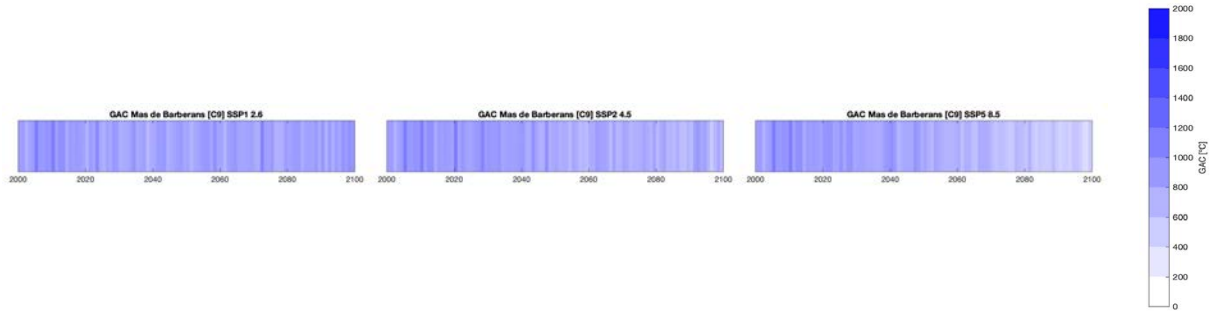

Figura B.14: Evolució dels graus-any de calefacció (GAC) a l'estació C9- Mas de Barberans, per als diferents escenaris [SSP1 2.6, SSP2 4.5 i SSP5 8.5] per al model climàtic MPI-ESM1.

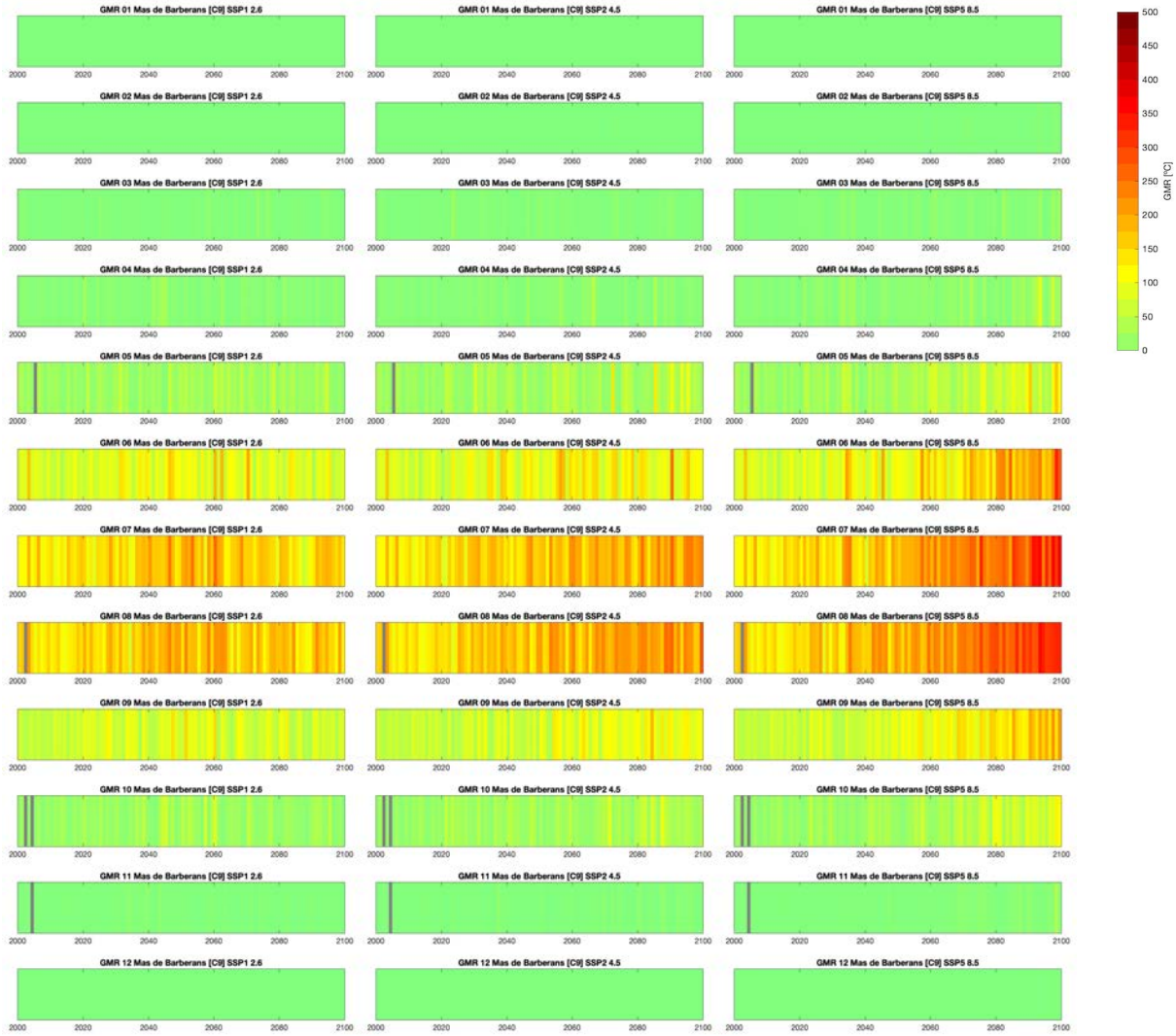

Figura B.15: Evolució dels graus-mes de refrigeració (GMR a l'estació C9- Mas de Barberans, per als diferents escenaris [SSP1 2.6, SSP2 4.5 i SSP5 8.5] per al model climàtic MPI-ESM1.

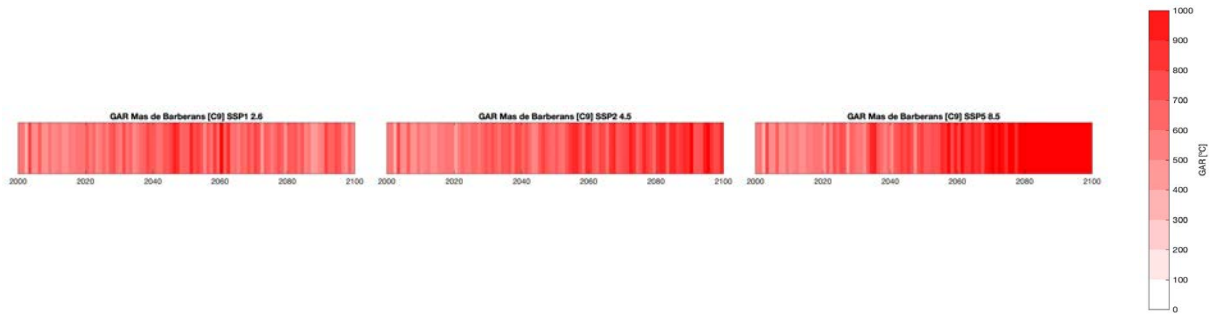

Figura B.16: Evolució dels graus-any de refrigeració (GAR a l'estació C9- Mas de Barberans, per als diferents escenaris [SSP1 2.6, SSP2 4.5 i SSP5 8.5] per al model climàtic MPI-ESM1.

B.1.5 CC - Orís

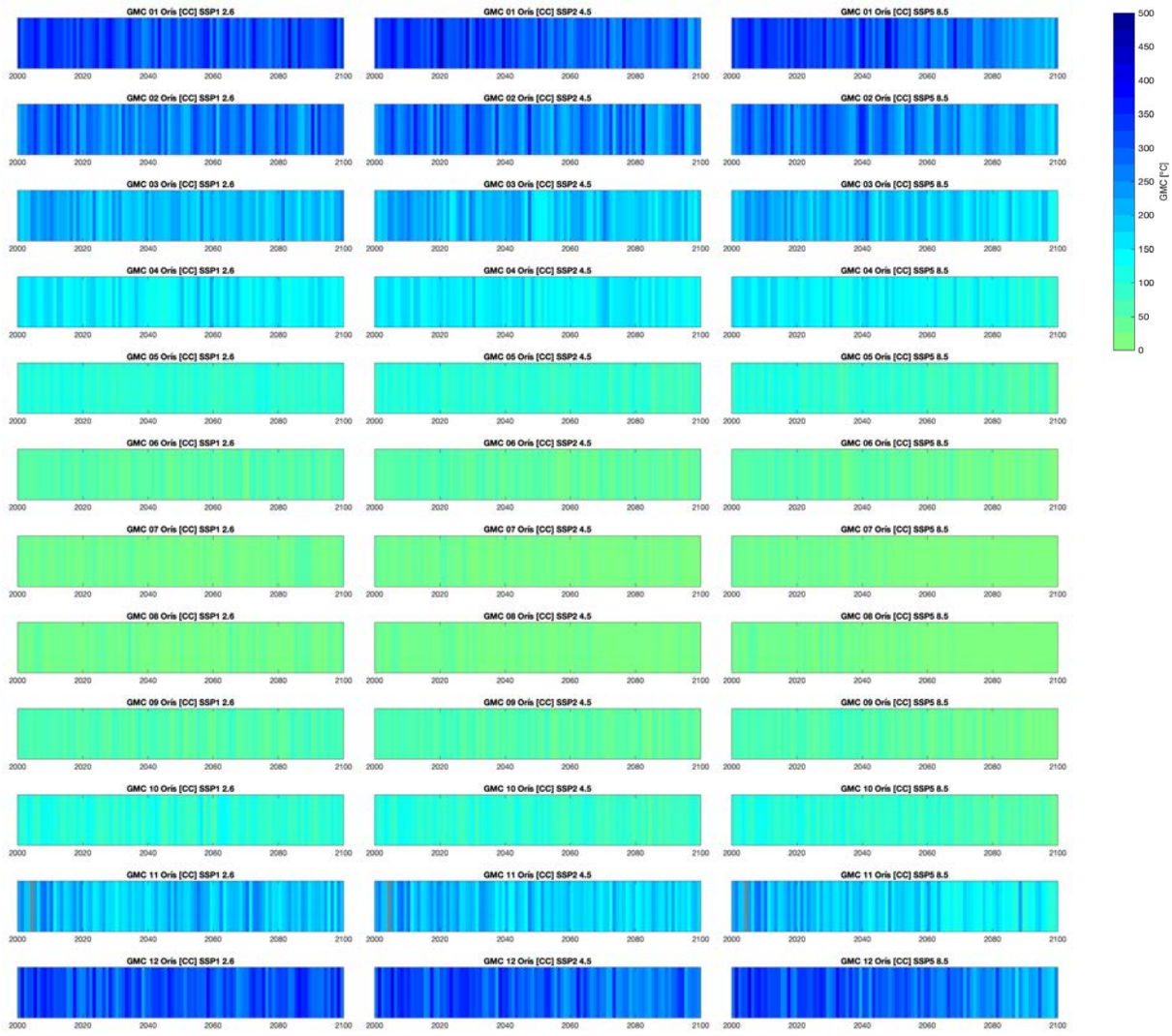

Figura B.17: Evolució dels graus-mes de calefacció (GMC) a l'estació CC- Orís, per als diferents escenaris [SSP1 2.6, SSP2 4.5 i SSP5 8.5] per al model climàtic MPI-ESM1.

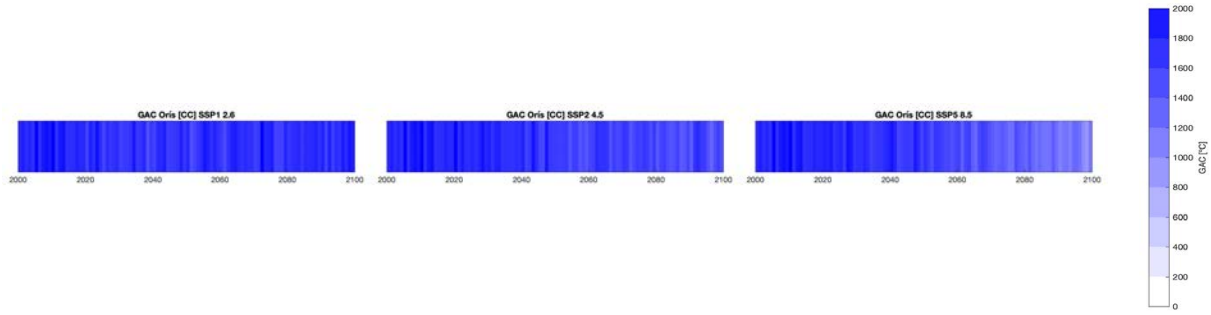

Figura B.18: Evolució dels graus-any de calefacció (GAC) a l'estació CC- Orís, per als diferents escenaris [SSP1 2.6, SSP2 4.5 i SSP5 8.5] per al model climàtic MPI-ESM1.

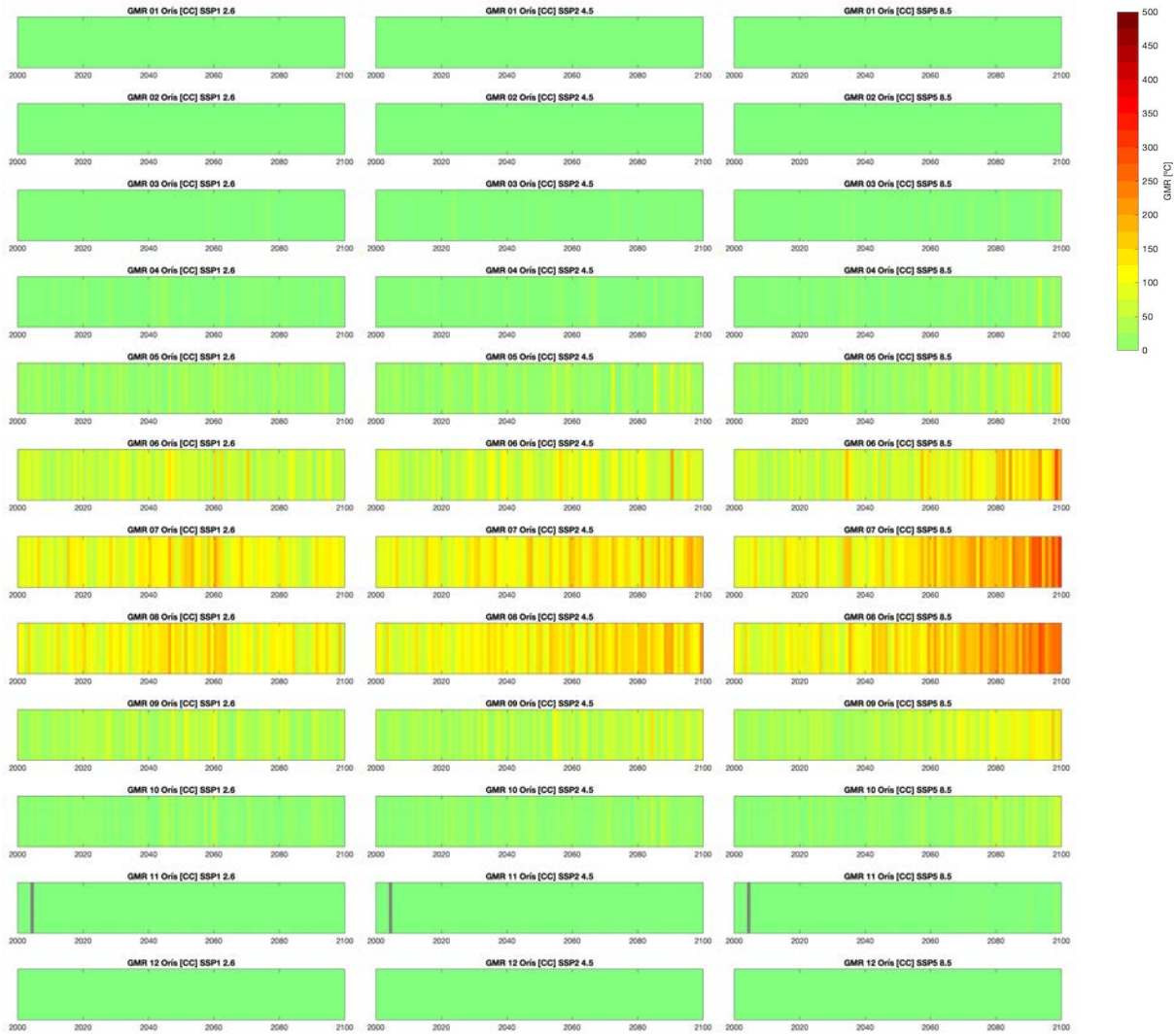

Figura B.19: Evolució dels graus-mes de refrigeració (GMR a l'estació CC- Orís, per als diferents escenaris [SSP1 2.6, SSP2 4.5 i SSP5 8.5] per al model climàtic MPI-ESM1.

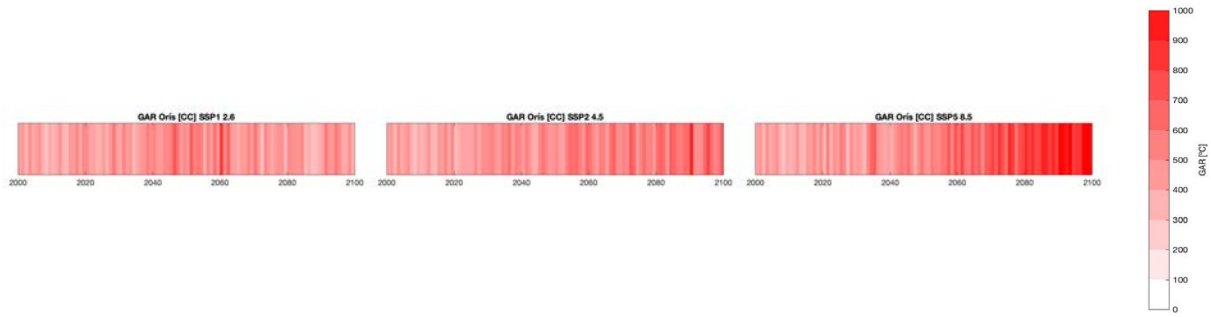

Figura B.20: Evolució dels graus-any de refrigeració (GAR a l'estació CC- Orís, per als diferents escenaris [SSP1 2.6, SSP2 4.5 i SSP5 8.5] per al model climàtic MPI-ESM1.

B.1.6 CD - La Seu d'Urgell - Bellestar

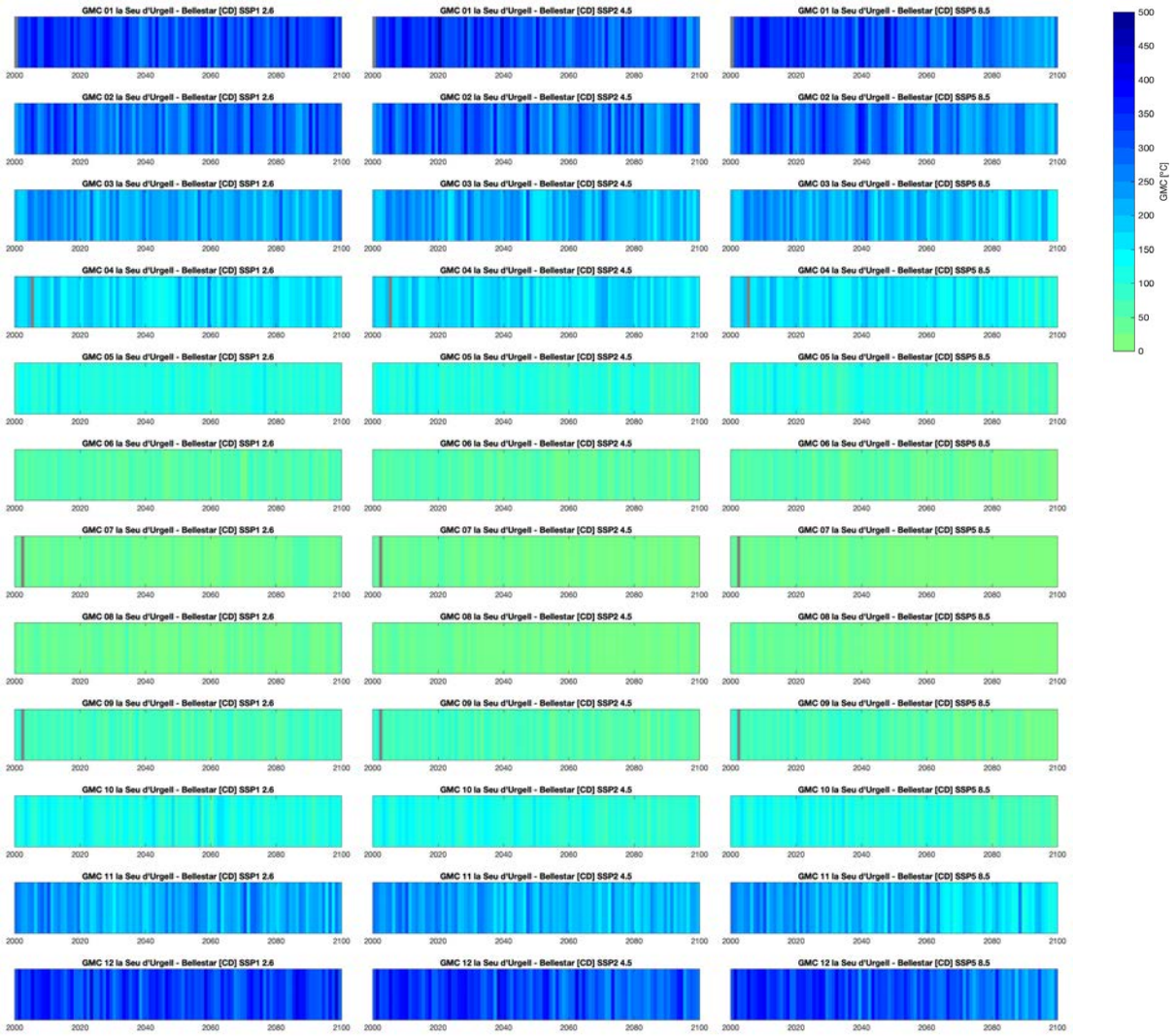

Figura B.21: Evolució dels graus-mes de calefacció (GMC) a l'estació CD- La Seu d'Urgell - Bellestar, per als diferents escenaris [SSP1 2.6, SSP2 4.5 i SSP5 8.5] per al model climàtic MPI-ESM1.

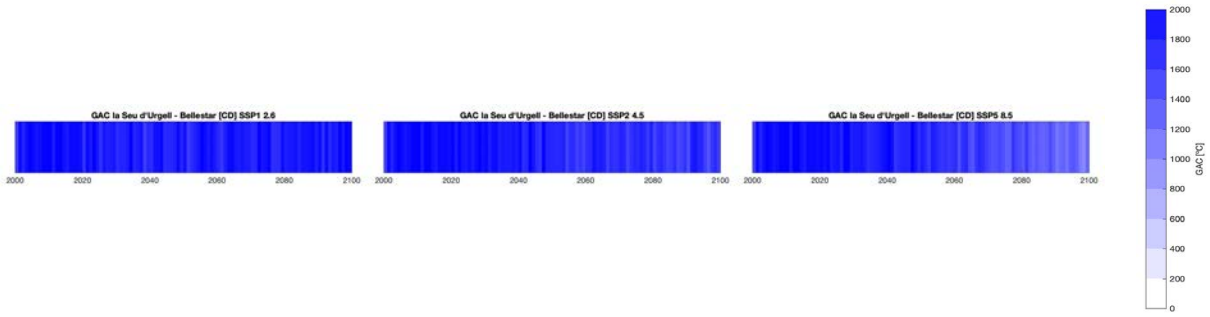

Figura B.22: Evolució dels graus-any de calefacció (GAC) a l'estació CD- La Seu d'Urgell - Bellestar, per als diferents escenaris [SSP1 2.6, SSP2 4.5 i SSP5 8.5] per al model climàtic MPI-ESM1.

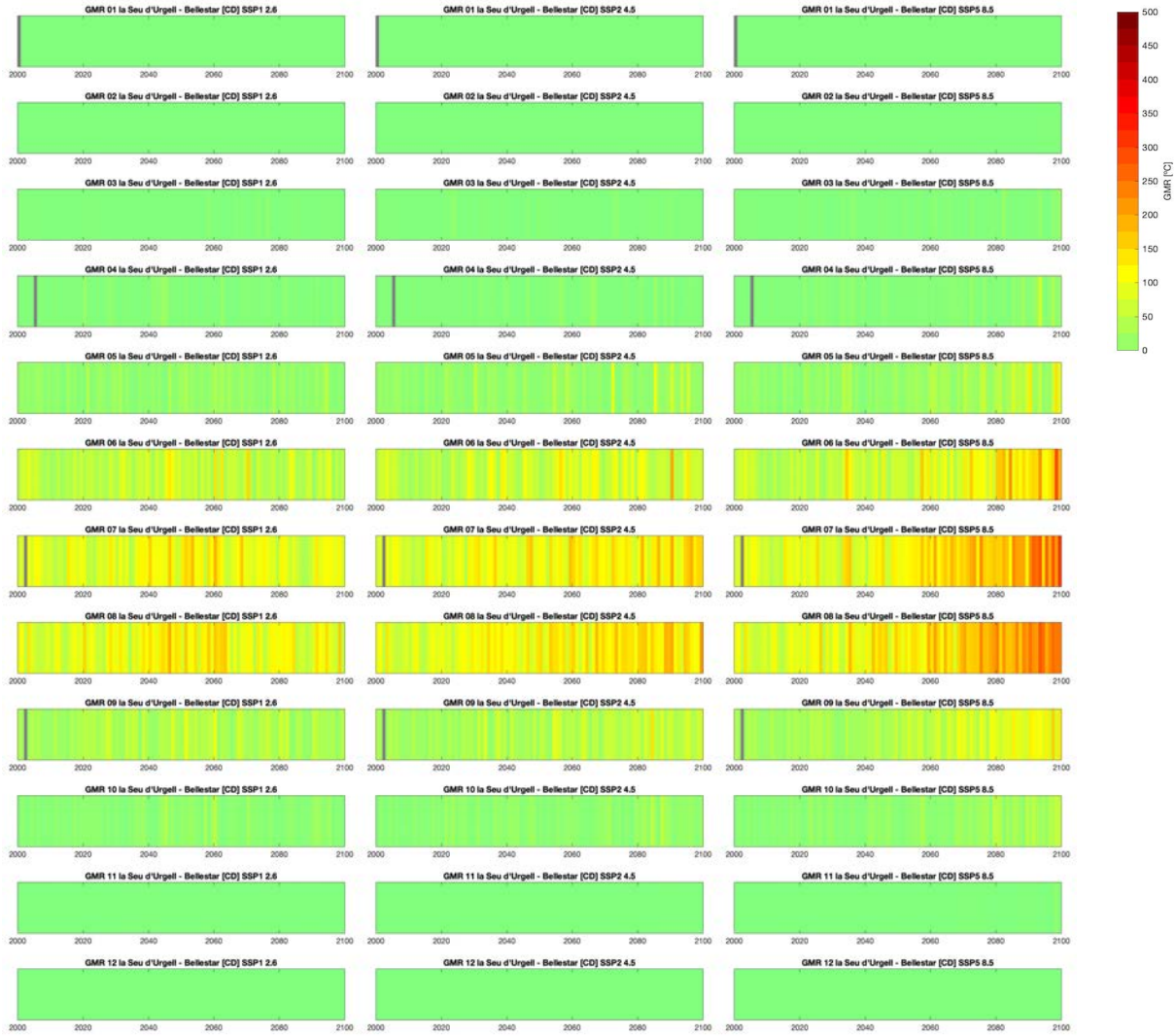

Figura B.23: Evolució dels graus-mes de refrigeració (GMR a l'estació CD- La Seu d'Urgell - Bellestar, per als diferents escenaris [SSP1 2.6, SSP2 4.5 i SSP5 8.5] per al model climàtic MPI-ESM1.

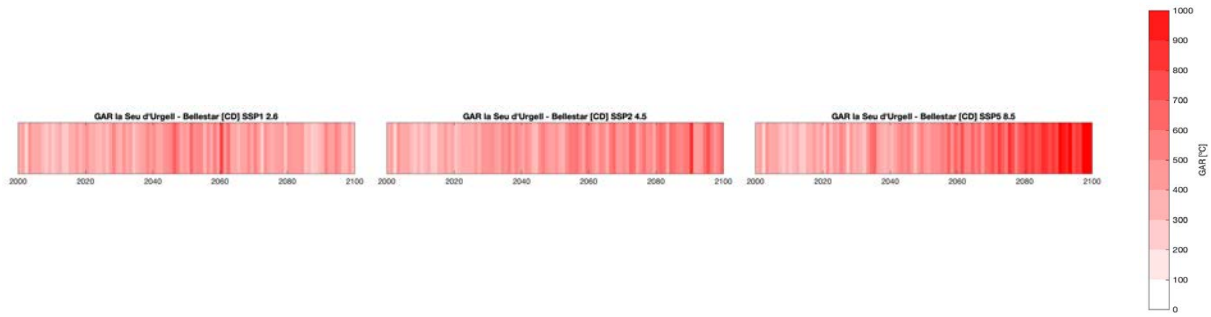

Figura B.24: Evolució dels graus-any de refrigeració (GAR a l'estació CD- La Seu d'Urgell - Bellestar, per als diferents escenaris [SSP1 2.6, SSP2 4.5 i SSP5 8.5] per al model climàtic MPI-ESM1.

B.1.7 CE - Els Hostalets de Pierola

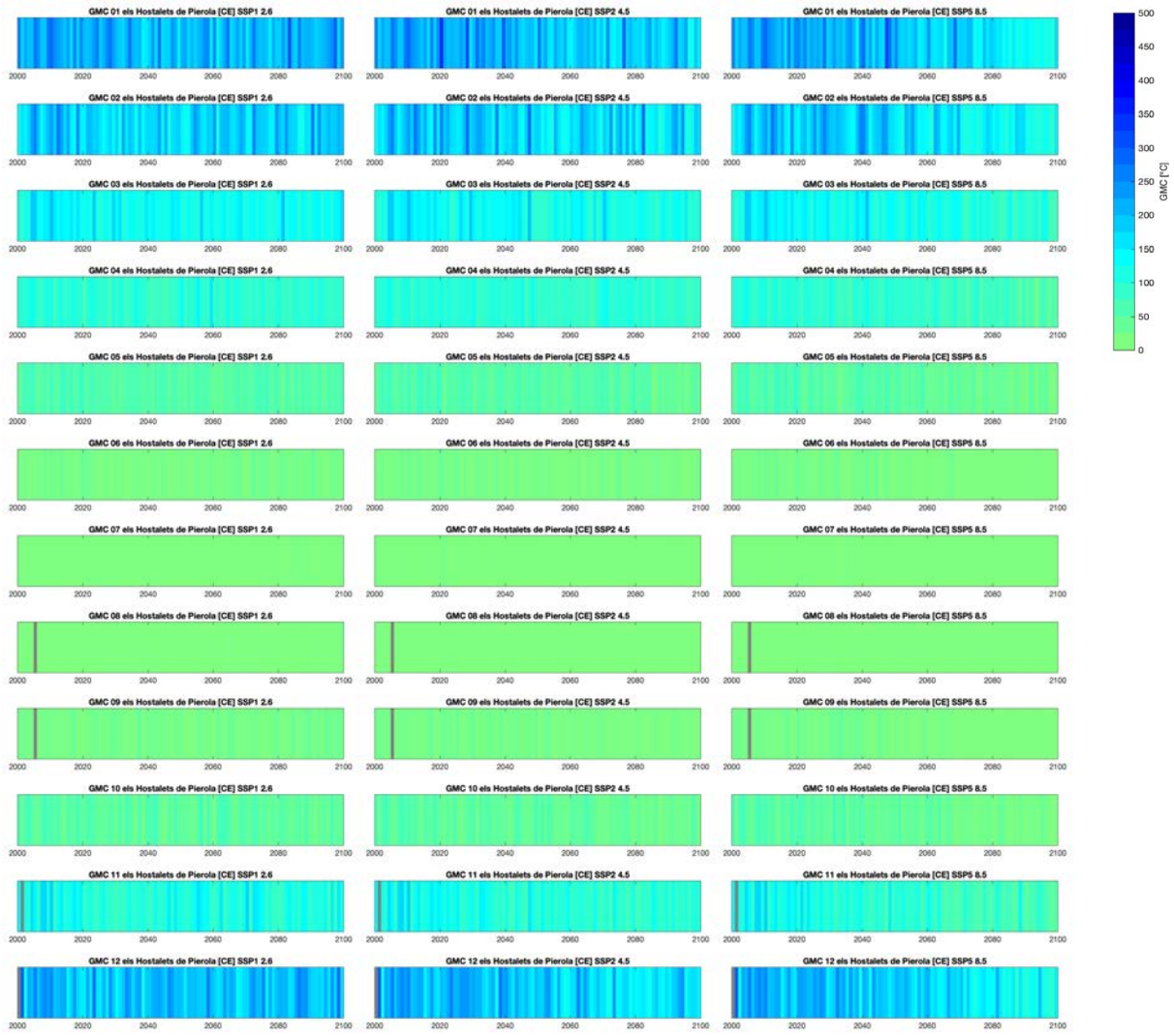

Figura B.25: Evolució dels graus-mes de calefacció (GMC) a l'estació CE- Els Hostalets de Pierola, per als diferents escenaris [SSP1 2.6, SSP2 4.5 i SSP5 8.5] per al model climàtic MPI-ESM1.

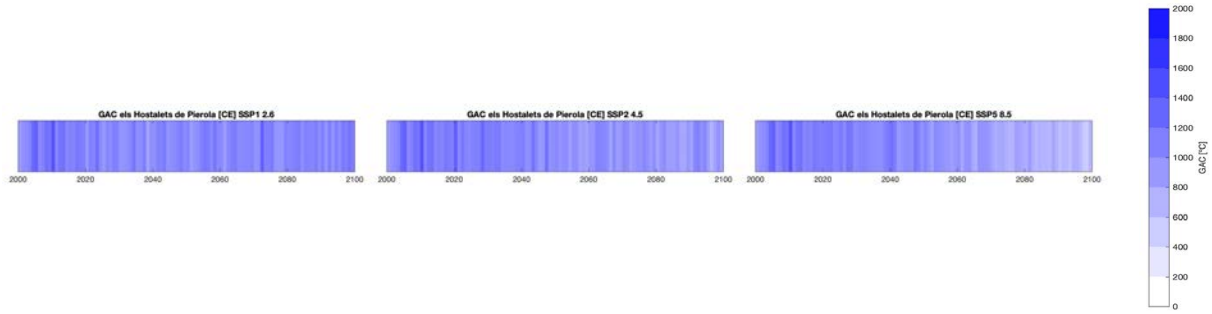

Figura B.26: Evolució dels graus-any de calefacció (GAC) a l'estació CE- Els Hostalets de Pierola, per als diferents escenaris [SSP1 2.6, SSP2 4.5 i SSP5 8.5] per al model climàtic MPI-ESM1.

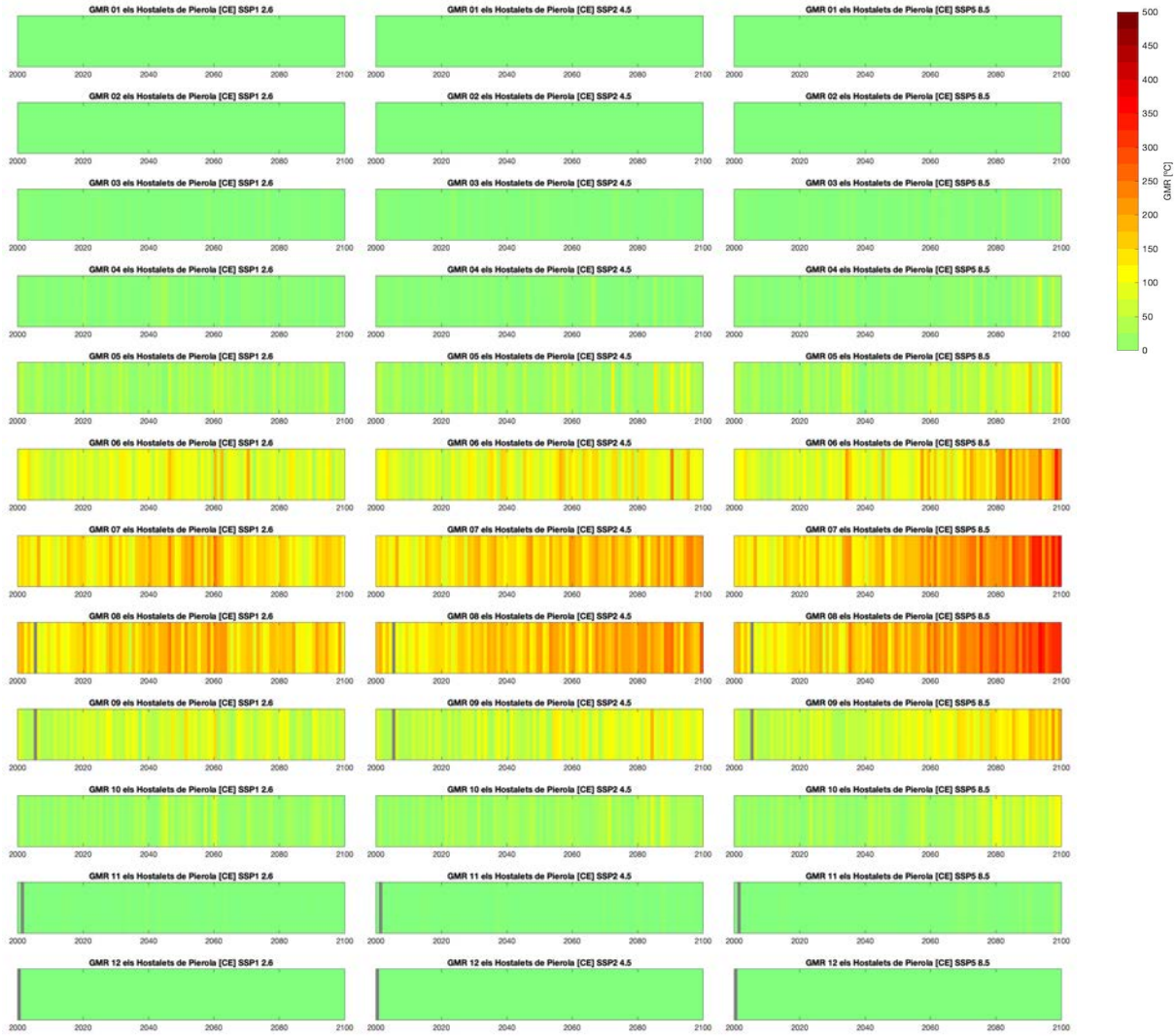

Figura B.27: Evolució dels graus-mes de refrigeració (GMR a l'estació CE- Els Hostalets de Pierola, per als diferents escenaris [SSP1 2.6, SSP2 4.5 i SSP5 8.5] per al model climàtic MPI-ESM1.

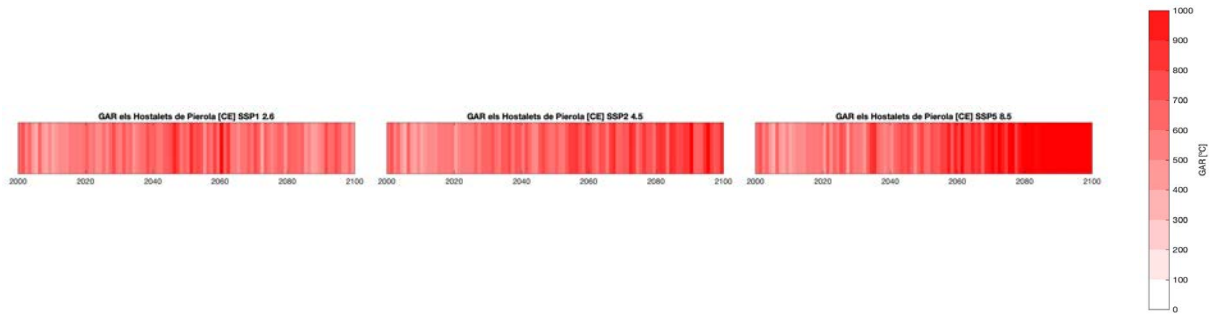

Figura B.28: Evolució dels graus-any de refrigeració (GAR a l'estació CE- Els Hostalets de Pierola, per als diferents escenaris [SSP1 2.6, SSP2 4.5 i SSP5 8.5] per al model climàtic MPI-ESM1.

B.1.8 CG - Molló - Fabert

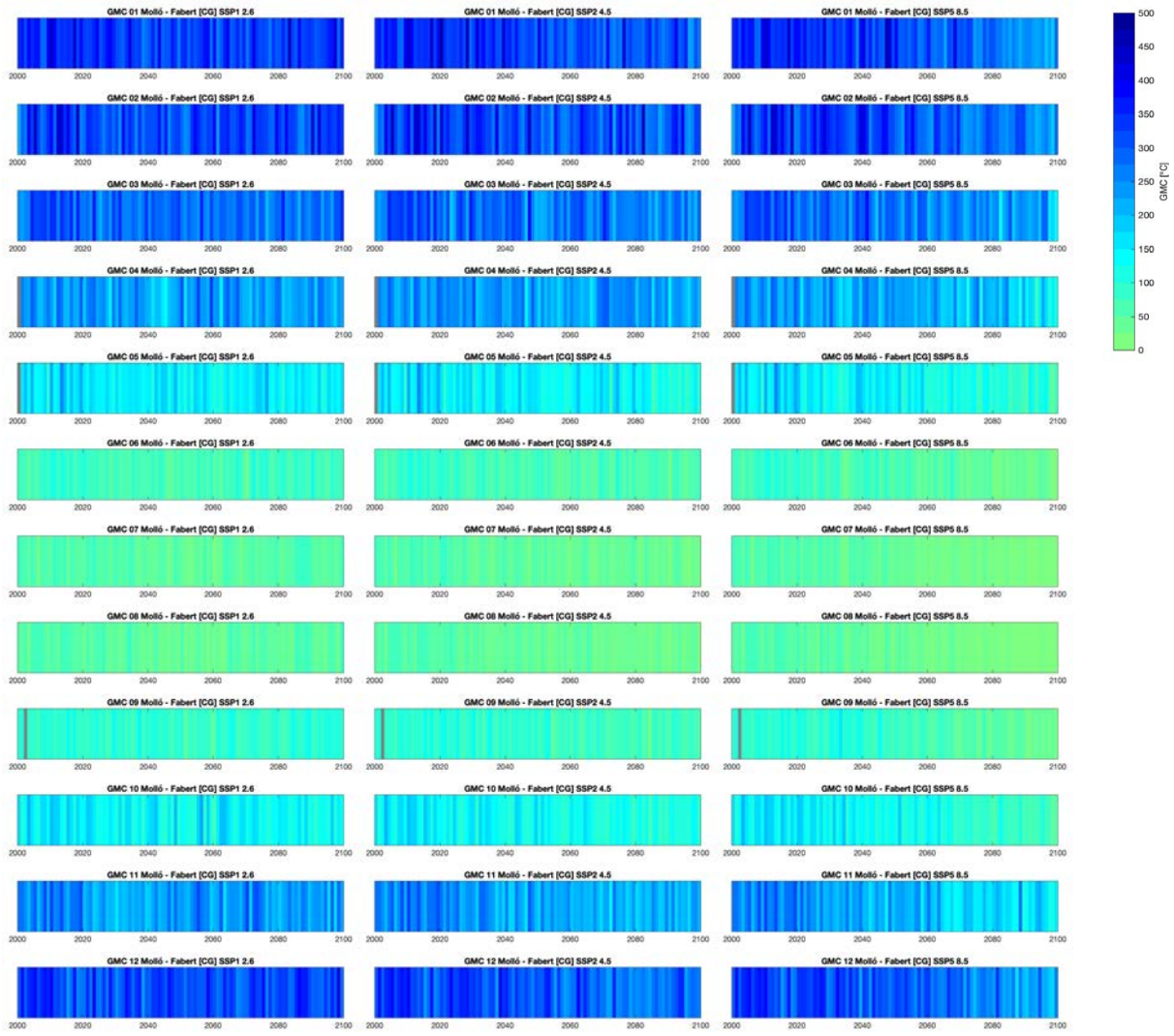

Figura B.29: Evolució dels graus-mes de calefacció (GMC) a l'estació CG- Molló - Fabert, per als diferents escenaris [SSP1 2.6, SSP2 4.5 i SSP5 8.5] per al model climàtic MPI-ESM1.

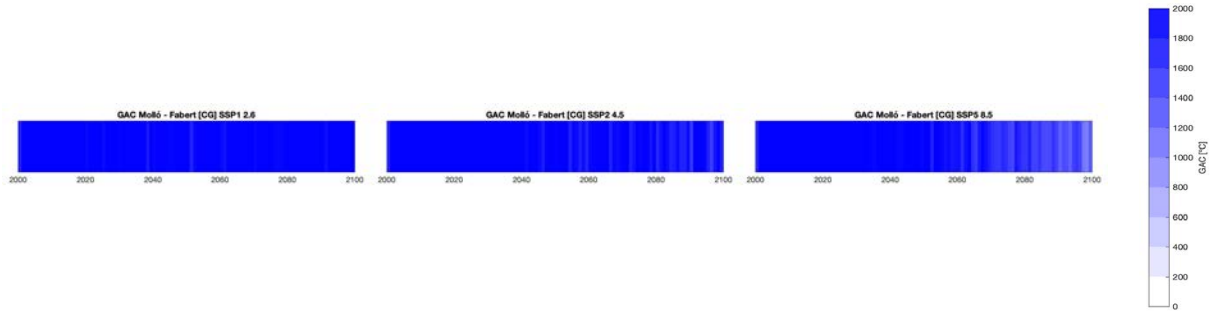

Figura B.30: Evolució dels graus-any de calefacció (GAC) a l'estació CG- Molló - Fabert, per als diferents escenaris [SSP1 2.6, SSP2 4.5 i SSP5 8.5] per al model climàtic MPI-ESM1.

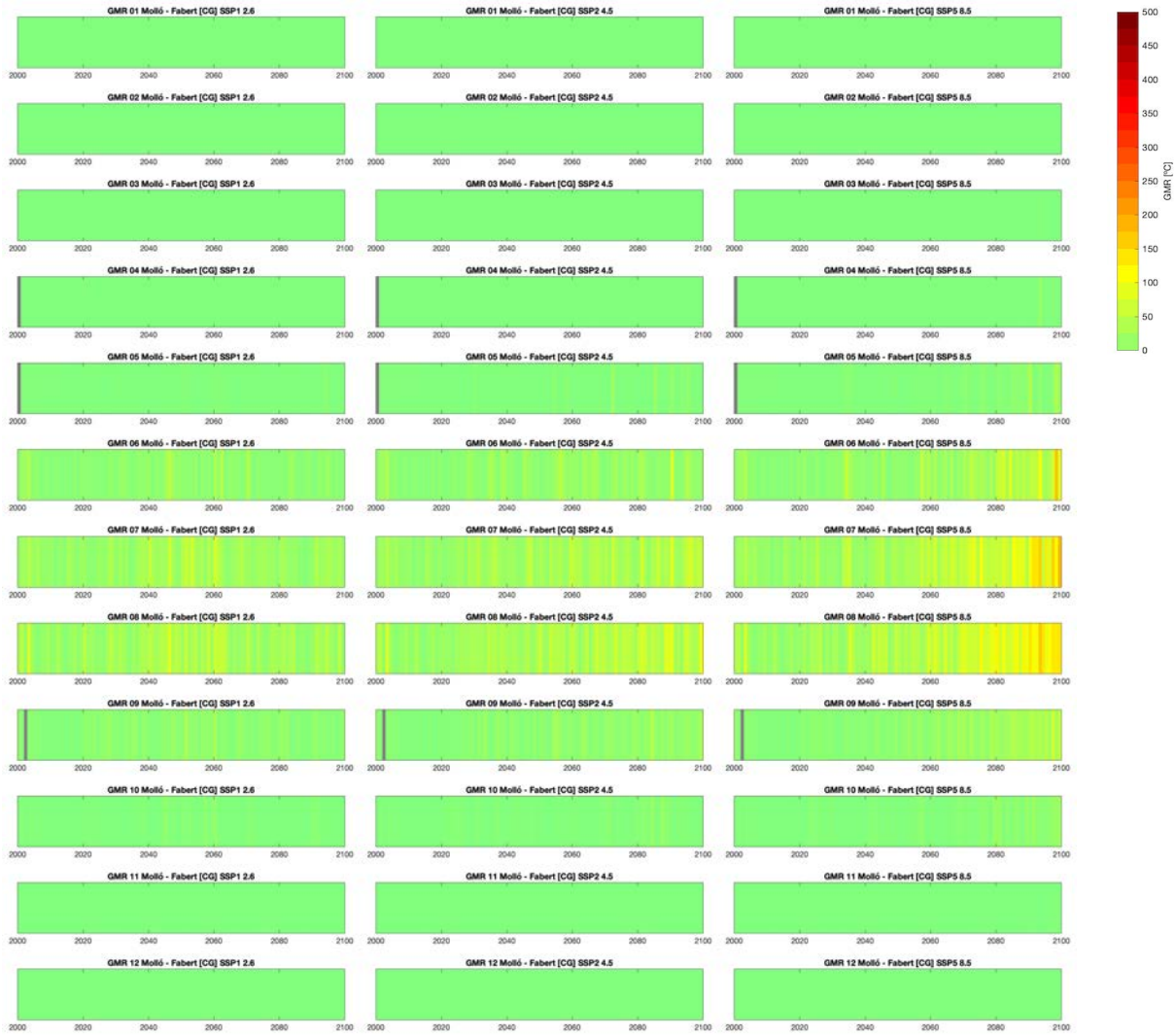

Figura B.31: Evolució dels graus-mes de refrigeració (GMR a l'estació CG- Molló - Fabert, per als diferents escenaris [SSP1 2.6, SSP2 4.5 i SSP5 8.5] per al model climàtic MPI-ESM1.

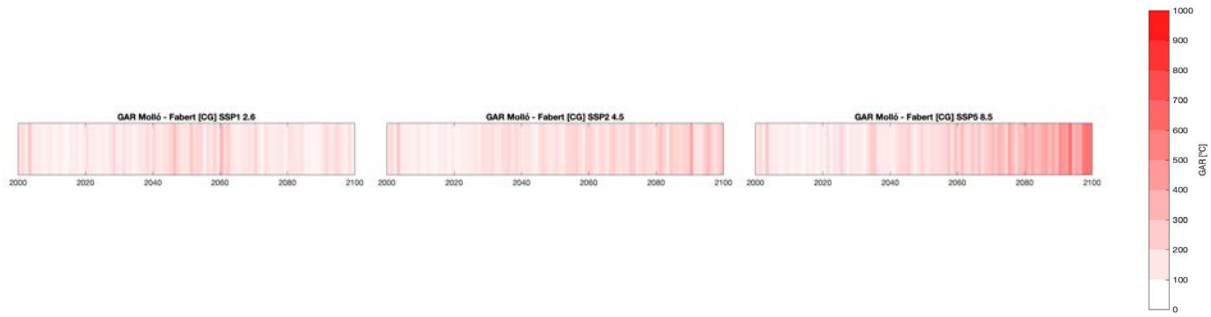

Figura B.32: Evolució dels graus-any de refrigeració (GAR a l'estació CG- Molló - Fabert, per als diferents escenaris [SSP1 2.6, SSP2 4.5 i SSP5 8.5] per al model climàtic MPI-ESM1.

B.1.9 CI - Sant Pau de Segúries

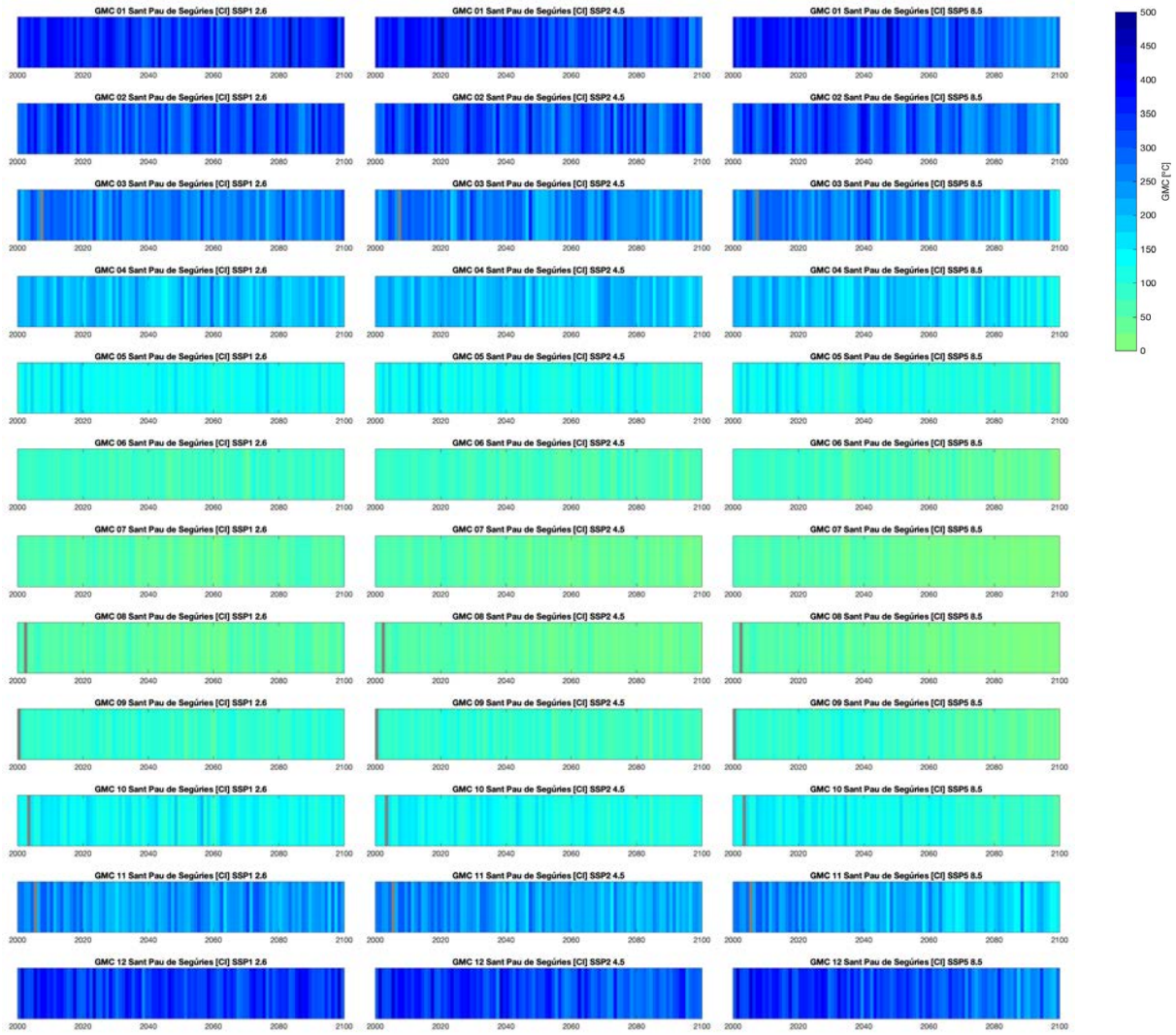

Figura B.33: Evolució dels graus-mes de calefacció (GMC) a l'estació CI- Sant Pau de Segúries, per als diferents escenaris [SSP1 2.6, SSP2 4.5 i SSP5 8.5] per al model climàtic MPI-ESM1.

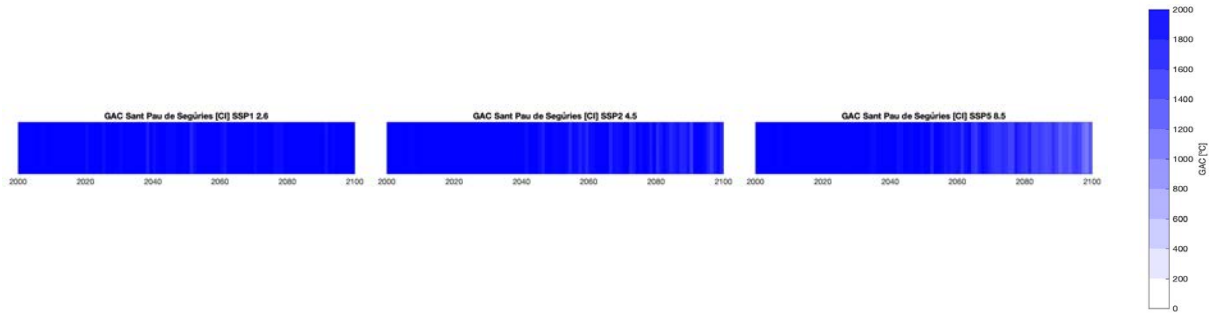

Figura B.34: Evolució dels graus-any de calefacció (GAC) a l'estació CI- Sant Pau de Segúries, per als diferents escenaris [SSP1 2.6, SSP2 4.5 i SSP5 8.5] per al model climàtic MPI-ESM1.

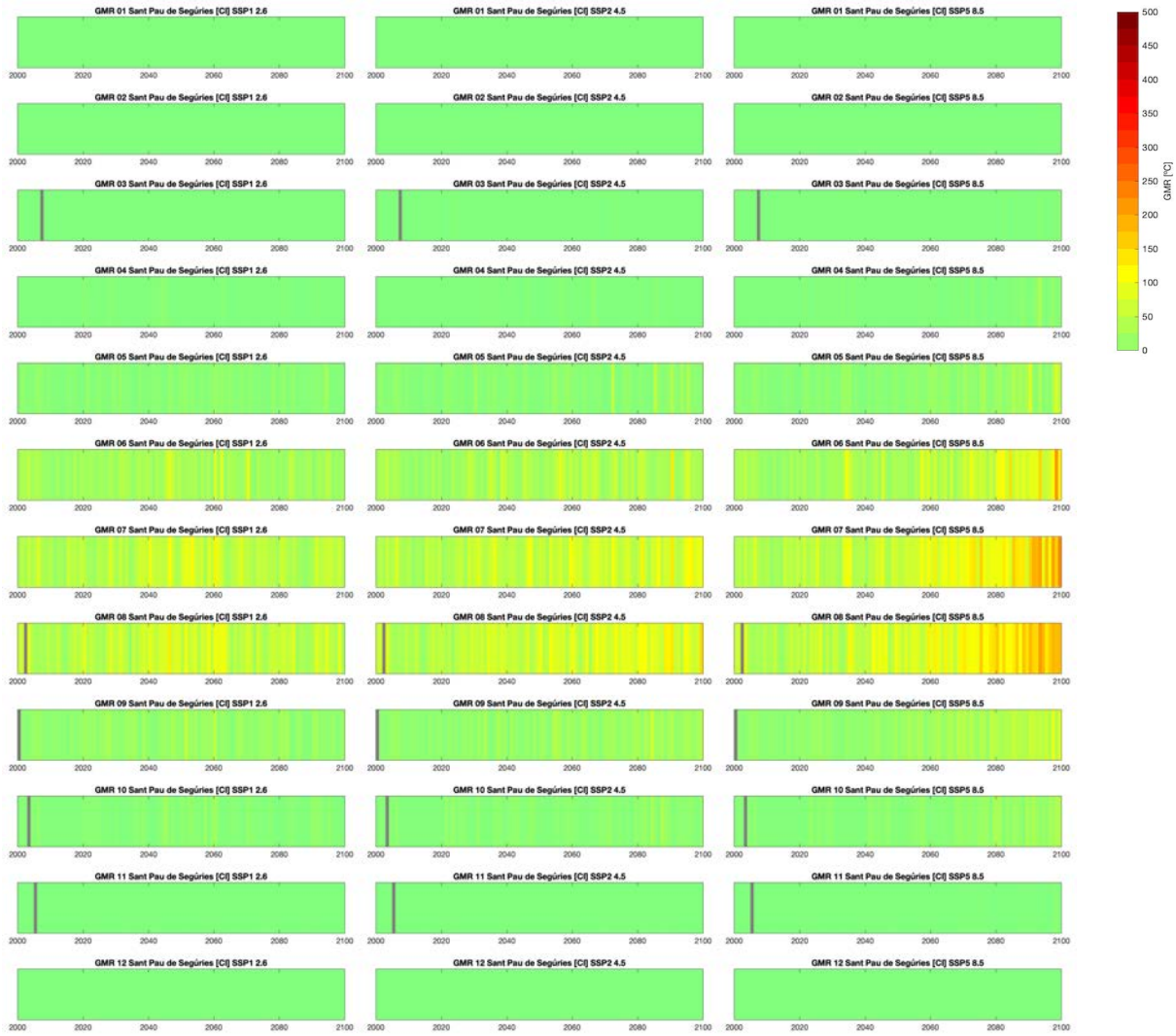

Figura B.35: Evolució dels graus-mes de refrigeració (GMR a l'estació CI- Sant Pau de Segúries, per als diferents escenaris [SSP1 2.6, SSP2 4.5 i SSP5 8.5] per al model climàtic MPI-ESM1.

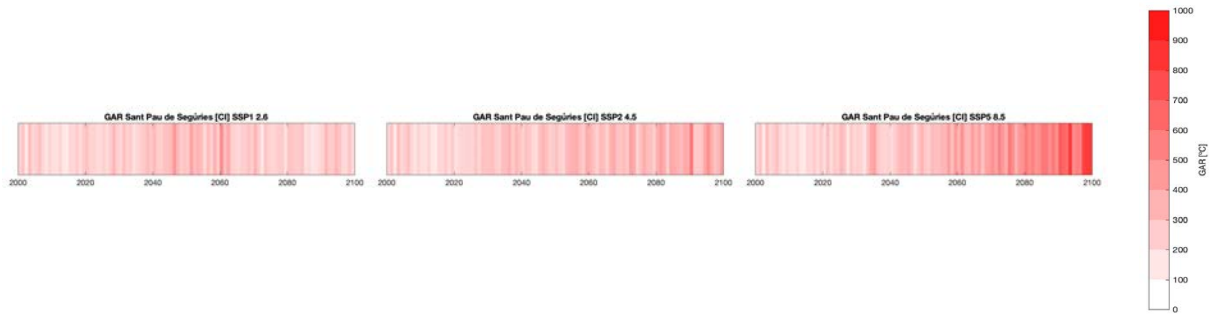

Figura B.36: Evolució dels graus-any de refrigeració (GAR a l'estació CI- Sant Pau de Segúries, per als diferents escenaris [SSP1 2.6, SSP2 4.5 i SSP5 8.5] per al model climàtic MPI-ESM1.

B.1.10 CJ - Organyà

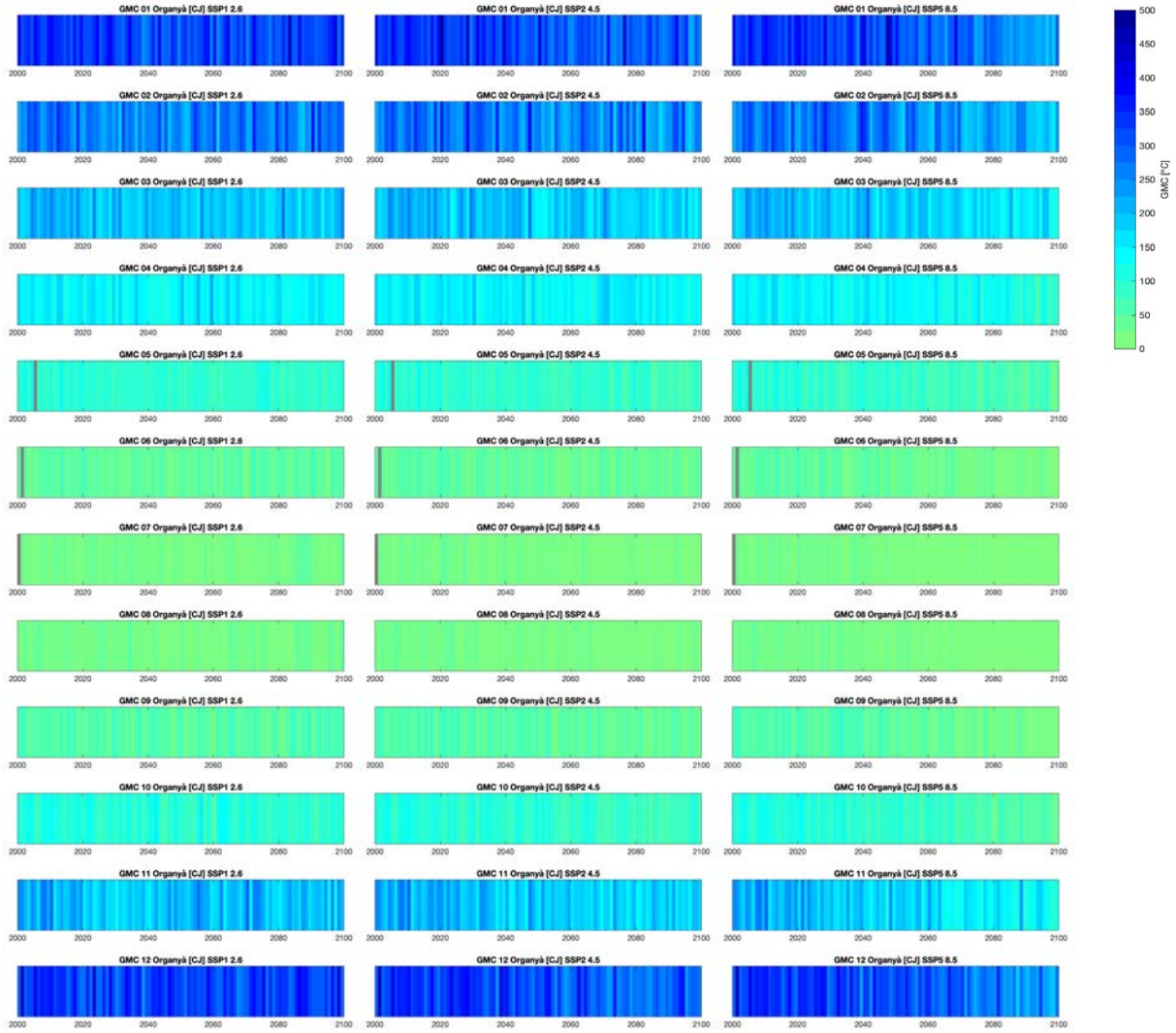

Figura B.37: Evolució dels graus-mes de calefacció (GMC) a l'estació CJ- Organyà, per als diferents escenaris [SSP1 2.6, SSP2 4.5 i SSP5 8.5] per al model climàtic MPI-ESM1.

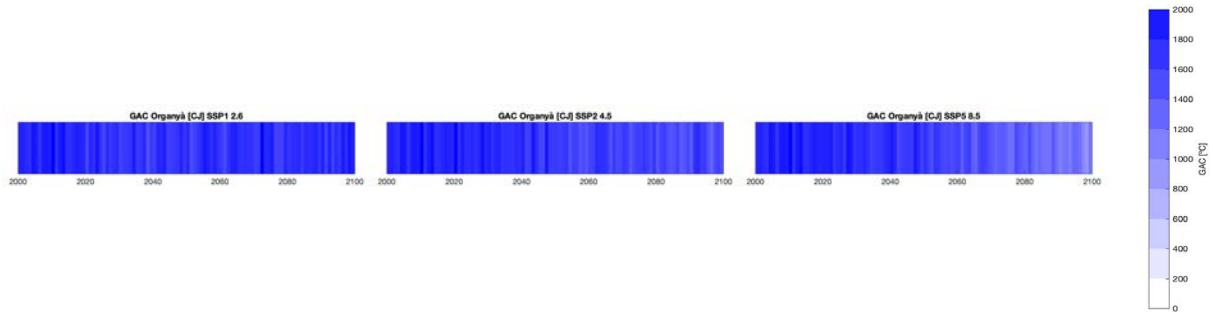

Figura B.38: Evolució dels graus-any de calefacció (GAC) a l'estació CJ- Organyà, per als diferents escenaris [SSP1 2.6, SSP2 4.5 i SSP5 8.5] per al model climàtic MPI-ESM1.

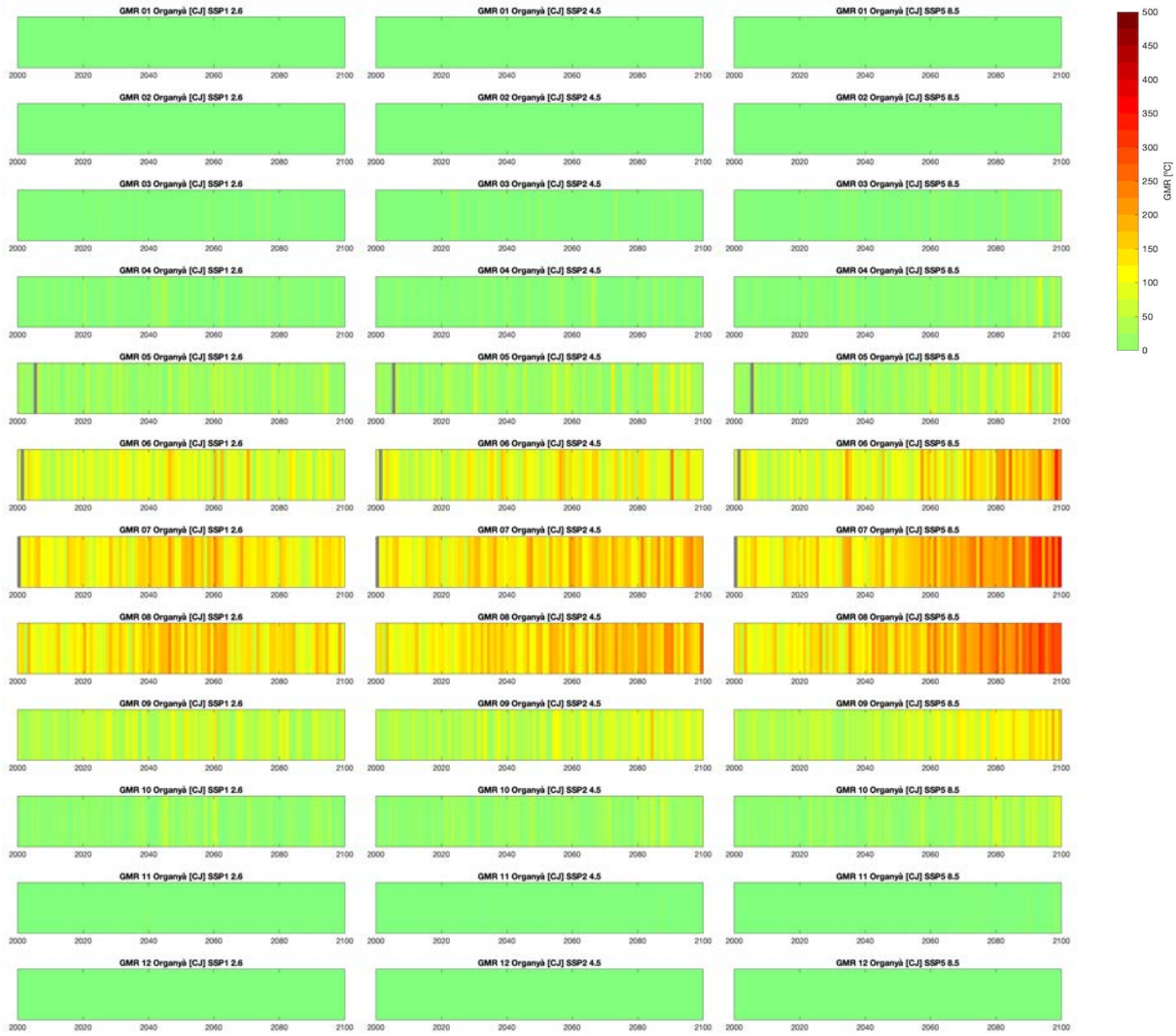

Figura B.39: Evolució dels graus-mes de refrigeració (GMR a l'estació CJ- Organyà, per als diferents escenaris [SSP1 2.6, SSP2 4.5 i SSP5 8.5] per al model climàtic MPI-ESM1.

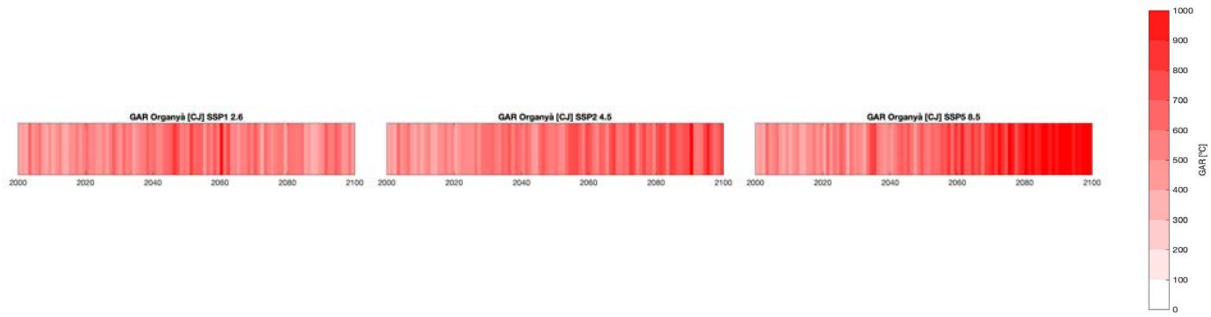

Figura B.40: Evolució dels graus-any de refrigeració (GAR a l'estació CJ- Organyà, per als diferents escenaris [SSP1 2.6, SSP2 4.5 i SSP5 8.5] per al model climàtic MPI-ESM1.

B.1.11 CL - Sant Salvador de Guardiola

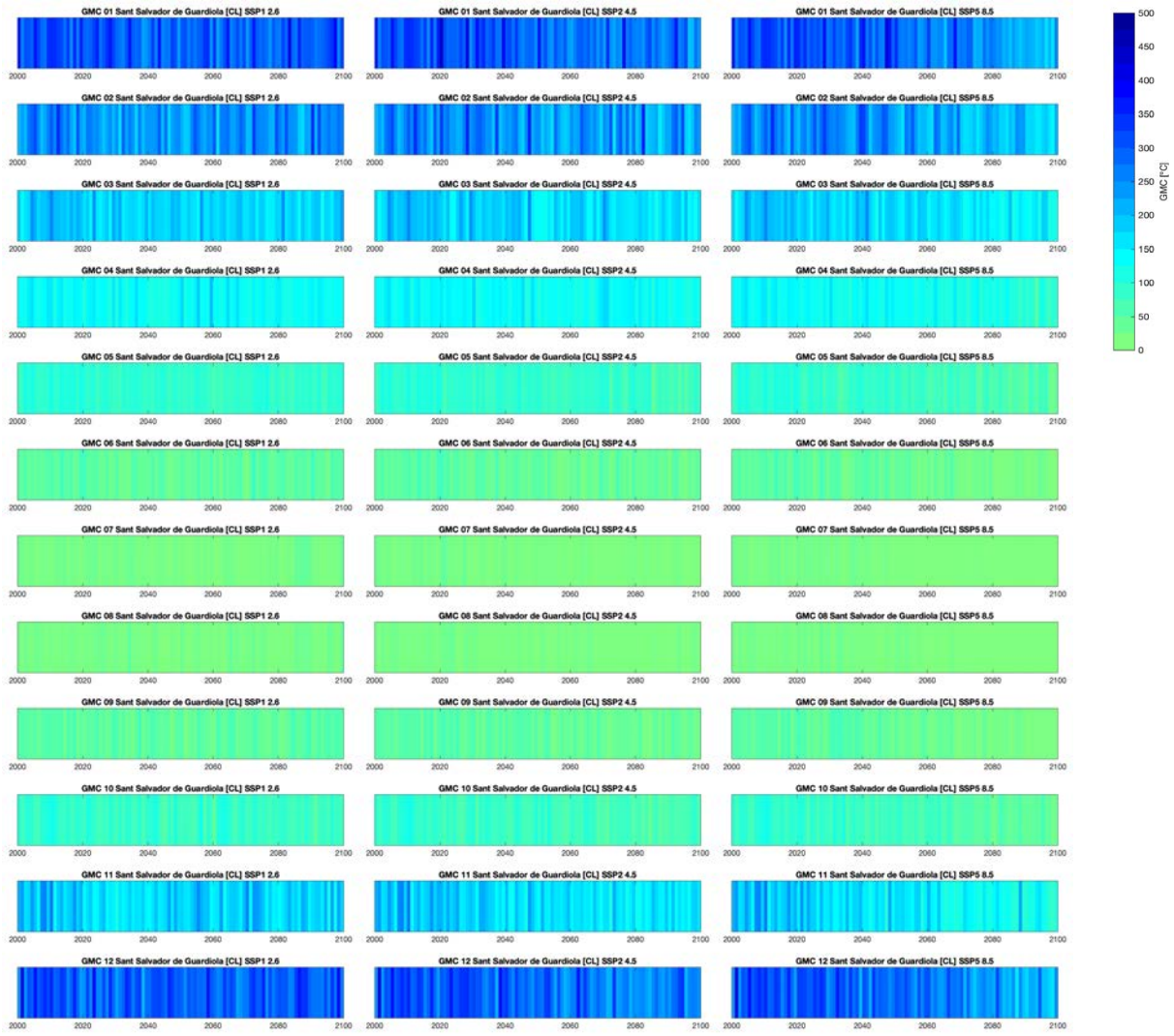

Figura B.41: Evolució dels graus-mes de calefacció (GMC) a l'estació CL- Sant Salvador de Guardiola, per als diferents escenaris [SSP1 2.6, SSP2 4.5 i SSP5 8.5] per al model climàtic MPI-ESM1.

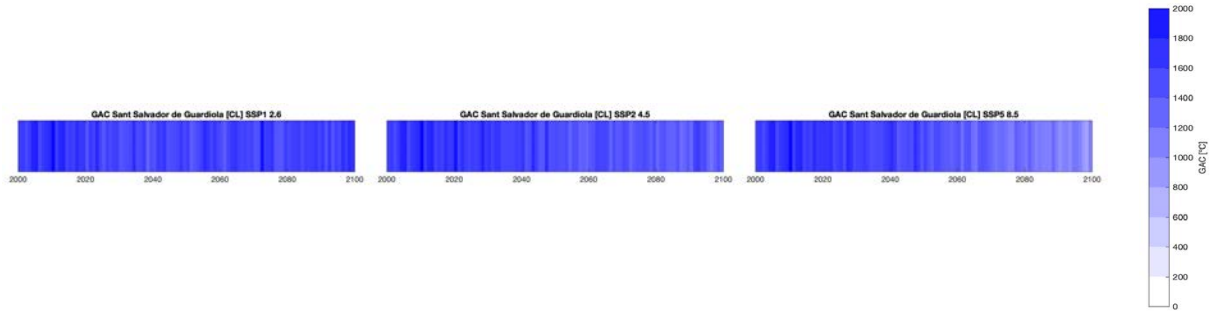

Figura B.42: Evolució dels graus-any de calefacció (GAC) a l'estació CL- Sant Salvador de Guardiola, per als diferents escenaris [SSP1 2.6, SSP2 4.5 i SSP5 8.5] per al model climàtic MPI-ESM1.

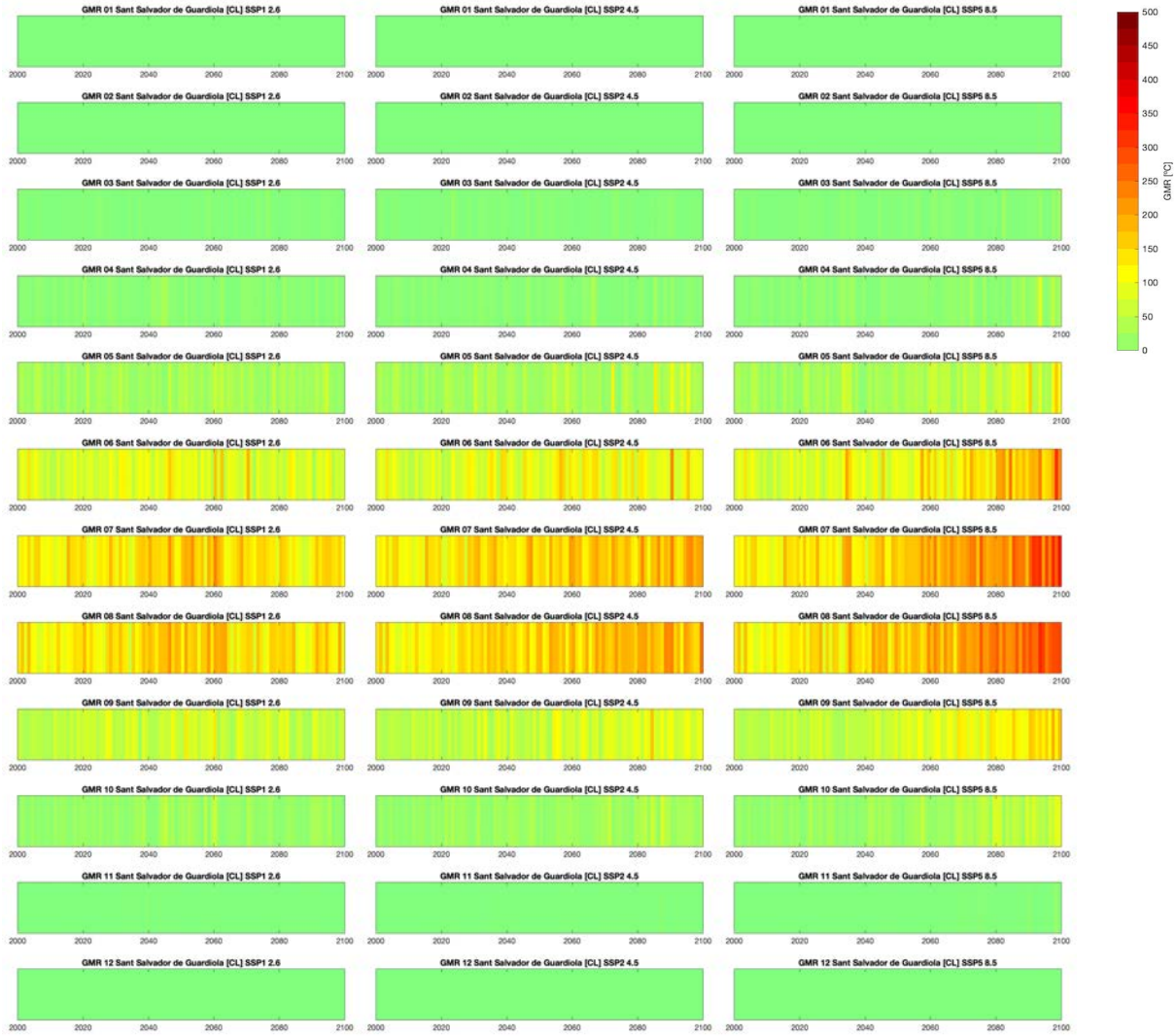

Figura B.43: Evolució dels graus-mes de refrigeració (GMR a l'estació CL- Sant Salvador de Guardiola, per als diferents escenaris [SSP1 2.6, SSP2 4.5 i SSP5 8.5] per al model climàtic MPI-ESM1.

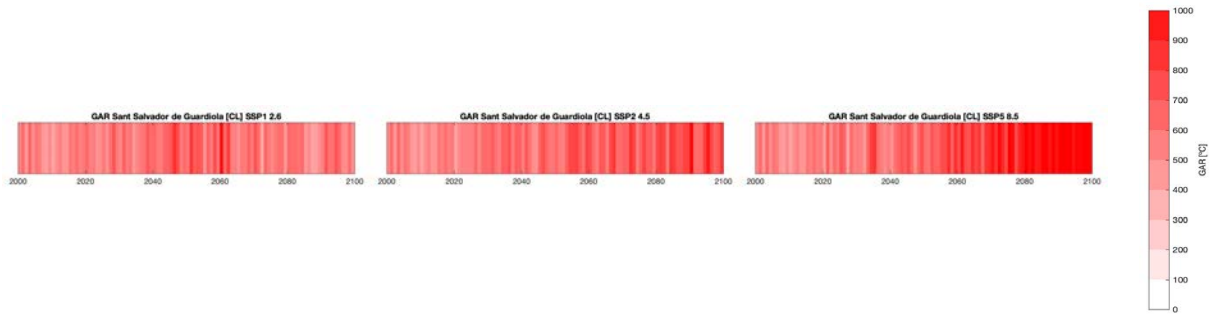

Figura B.44: Evolució dels graus-any de refrigeració (GAR a l'estació CL- Sant Salvador de Guardiola, per als diferents escenaris [SSP1 2.6, SSP2 4.5 i SSP5 8.5] per al model climàtic MPI-ESM1.

B.1.12 CP - Sant Romà d'Abella

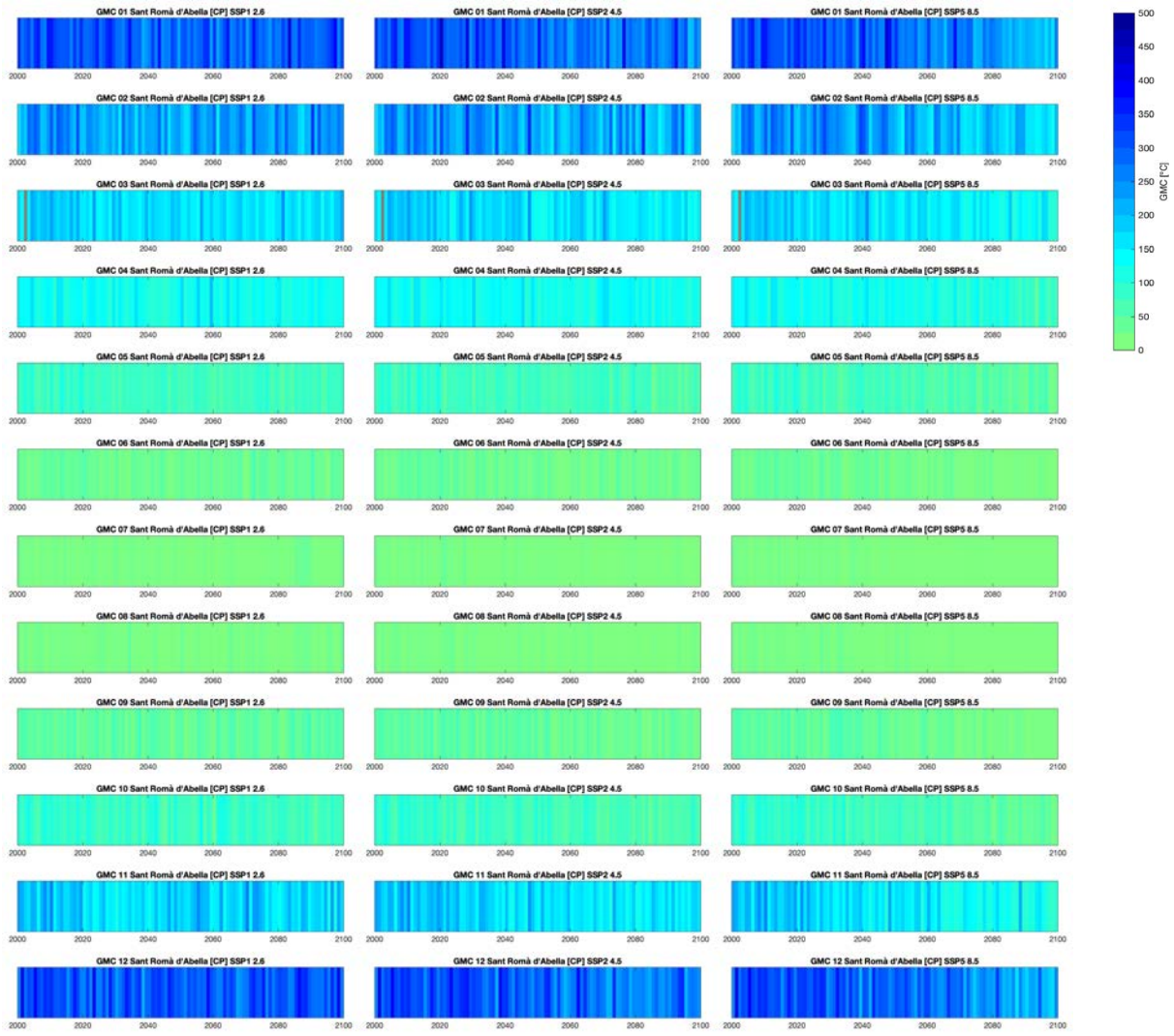

Figura B.45: Evolució dels graus-mes de calefacció (GMC) a l'estació CP- Sant Romà d'Abella, per als diferents escenaris [SSP1 2.6, SSP2 4.5 i SSP5 8.5] per al model climàtic MPI-ESM1.

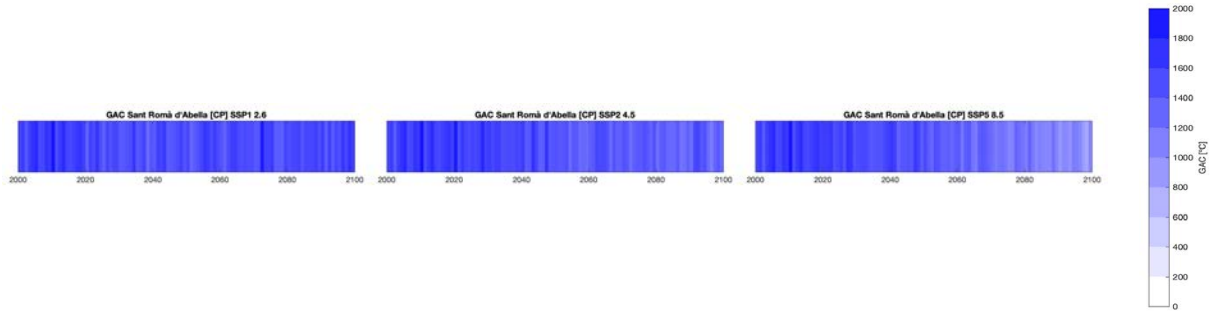

Figura B.46: Evolució dels graus-any de calefacció (GAC) a l'estació CP- Sant Romà d'Abella, per als diferents escenaris [SSP1 2.6, SSP2 4.5 i SSP5 8.5] per al model climàtic MPI-ESM1.

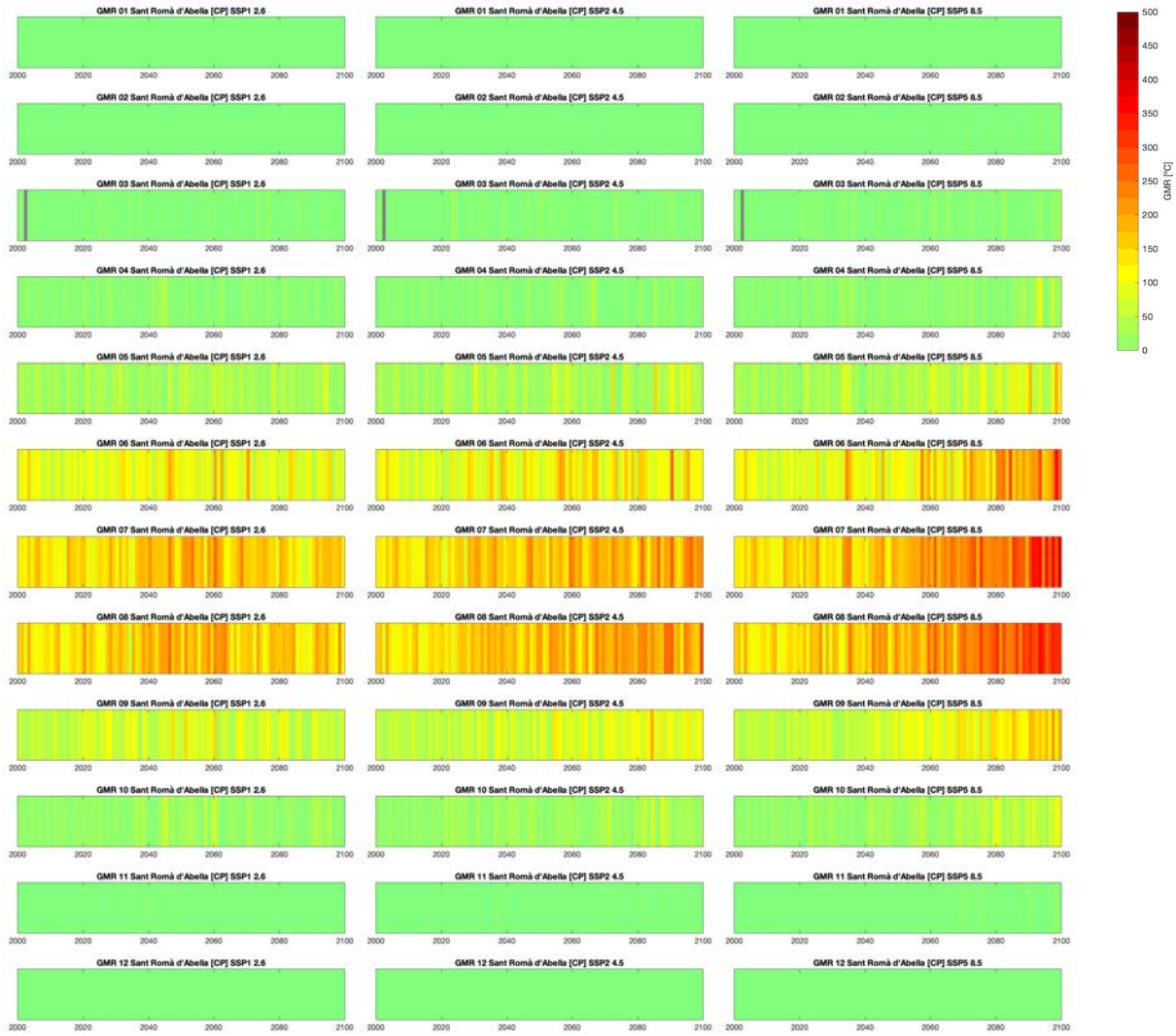

Figura B.47: Evolució dels graus-mes de refrigeració (GMR a l'estació CP- Sant Romà d'Abella, per als diferents escenaris [SSP1 2.6, SSP2 4.5 i SSP5 8.5] per al model climàtic MPI-ESM1.

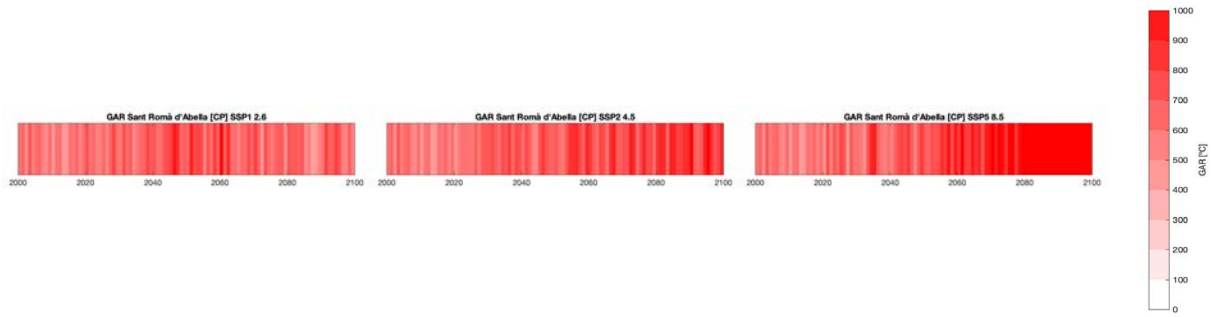

Figura B.48: Evolució dels graus-any de refrigeració (GAR a l'estació CP- Sant Romà d'Abella, per als diferents escenaris [SSP1 2.6, SSP2 4.5 i SSP5 8.5] per al model climàtic MPI-ESM1.

B.1.13 CQ - Vilanova de Meià

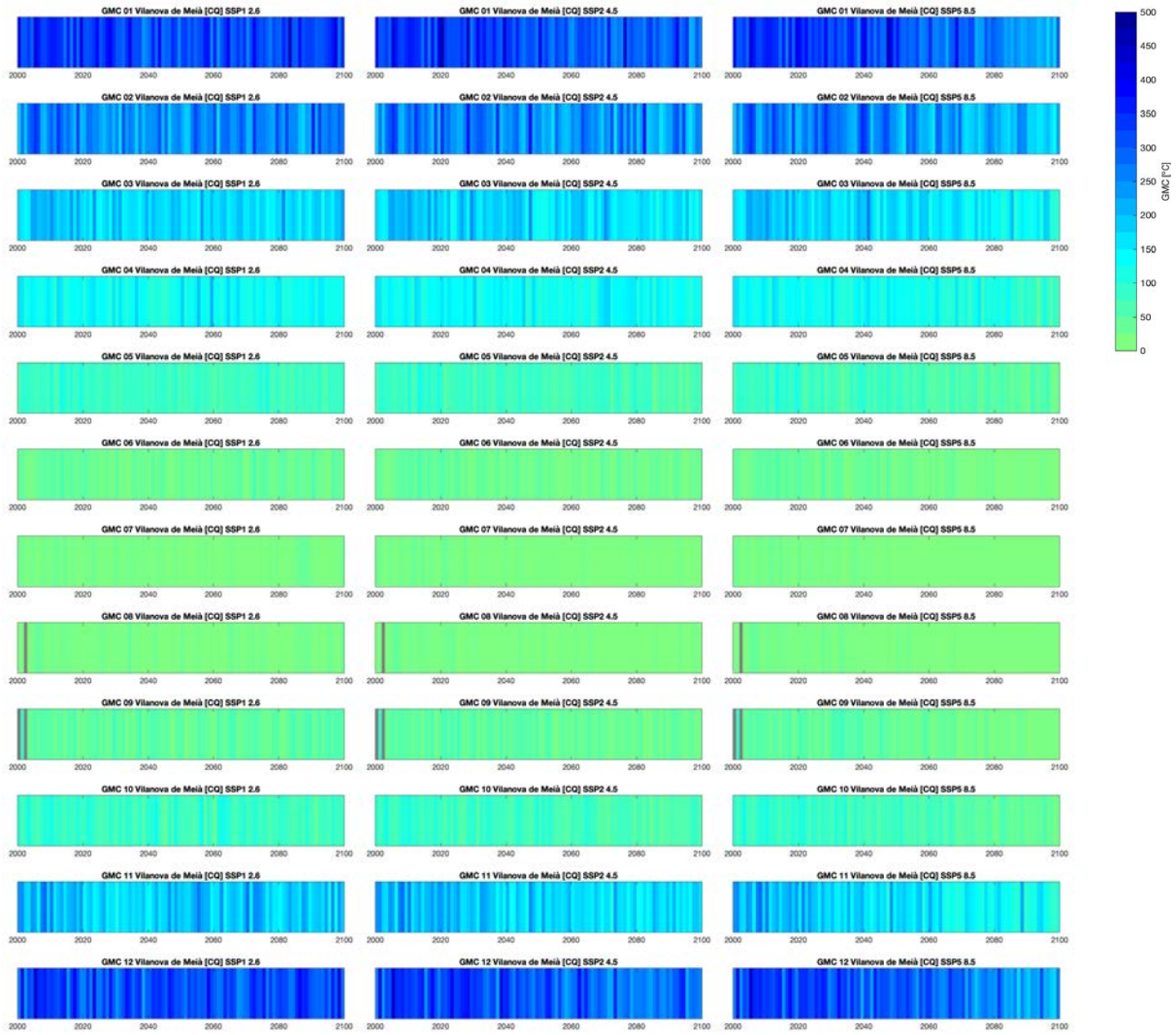

Figura B.49: Evolució dels graus-mes de calefacció (GMC) a l'estació CQ- Vilanova de Meià, per als diferents escenaris [SSP1 2.6, SSP2 4.5 i SSP5 8.5] per al model climàtic MPI-ESM1.

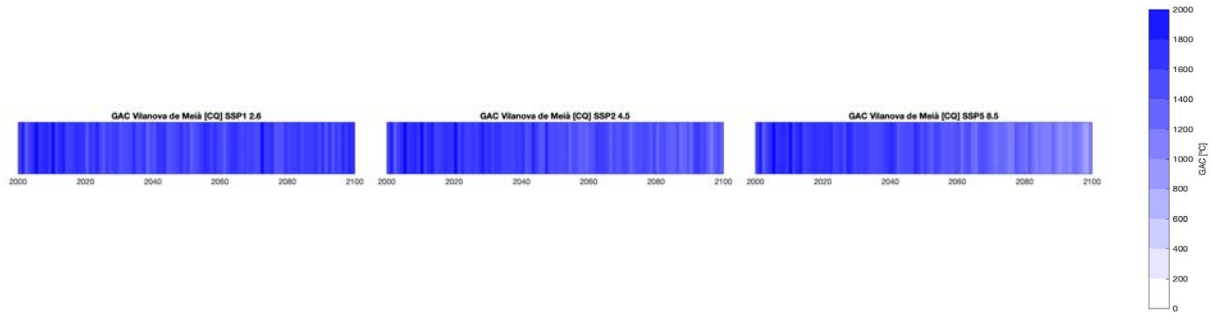

Figura B.50: Evolució dels graus-any de calefacció (GAC) a l'estació CQ- Vilanova de Meià, per als diferents escenaris [SSP1 2.6, SSP2 4.5 i SSP5 8.5] per al model climàtic MPI-ESM1.

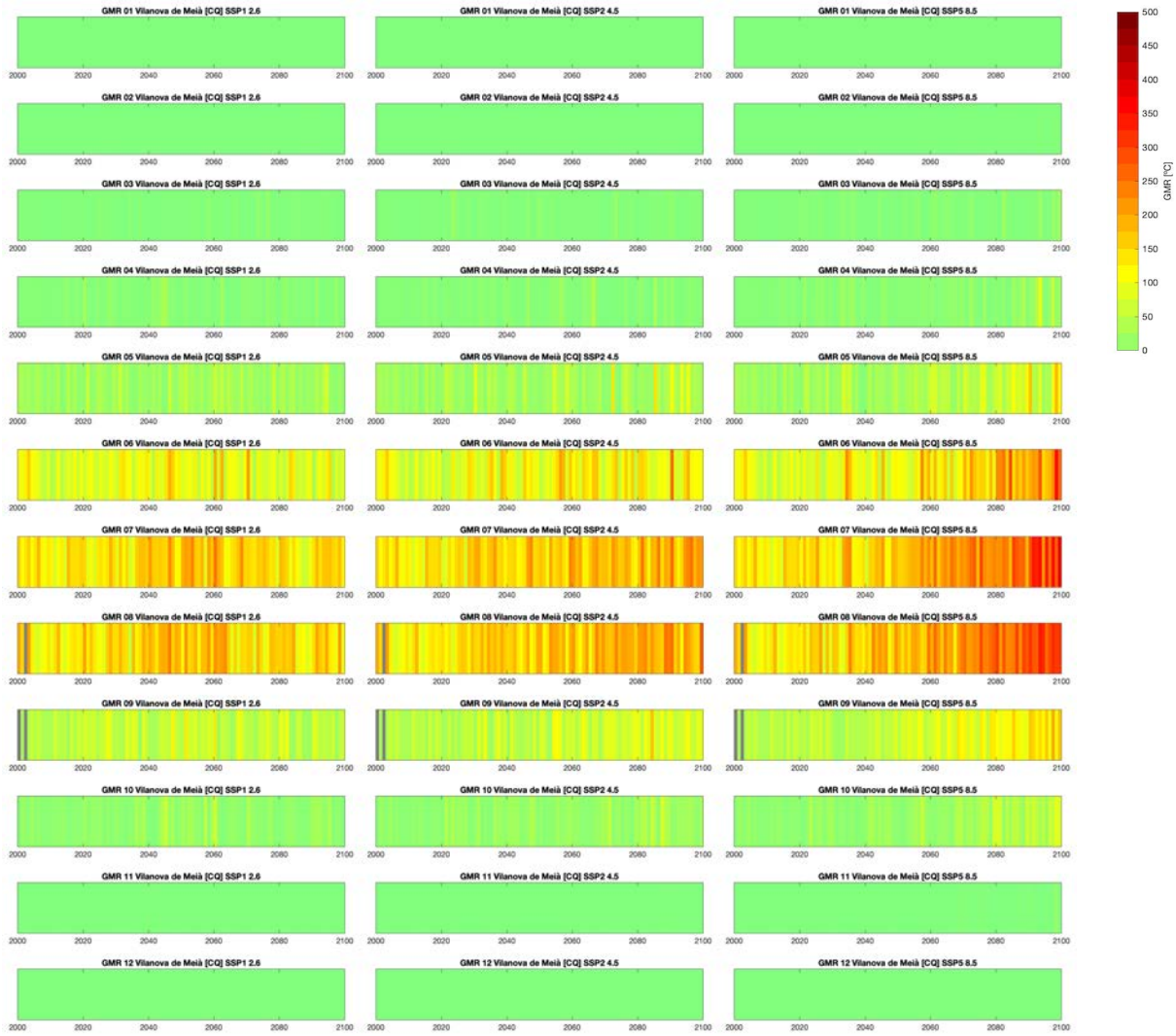

Figura B.51: Evolució dels graus-mes de refrigeració (GMR a l'estació CQ- Vilanova de Meià, per als diferents escenaris [SSP1 2.6, SSP2 4.5 i SSP5 8.5] per al model climàtic MPI-ESM1.

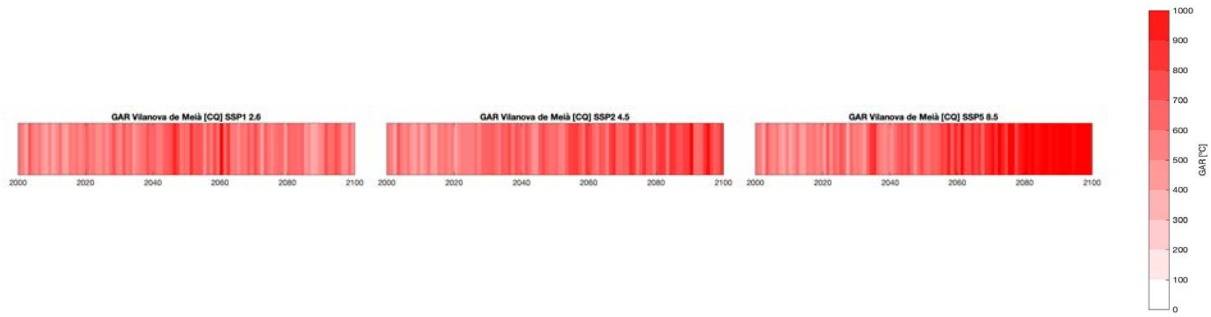

Figura B.52: Evolució dels graus-any de refrigeració (GAR a l'estació CQ- Vilanova de Meià, per als diferents escenaris [SSP1 2.6, SSP2 4.5 i SSP5 8.5] per al model climàtic MPI-ESM1.

B.1.14 CR - La Quar

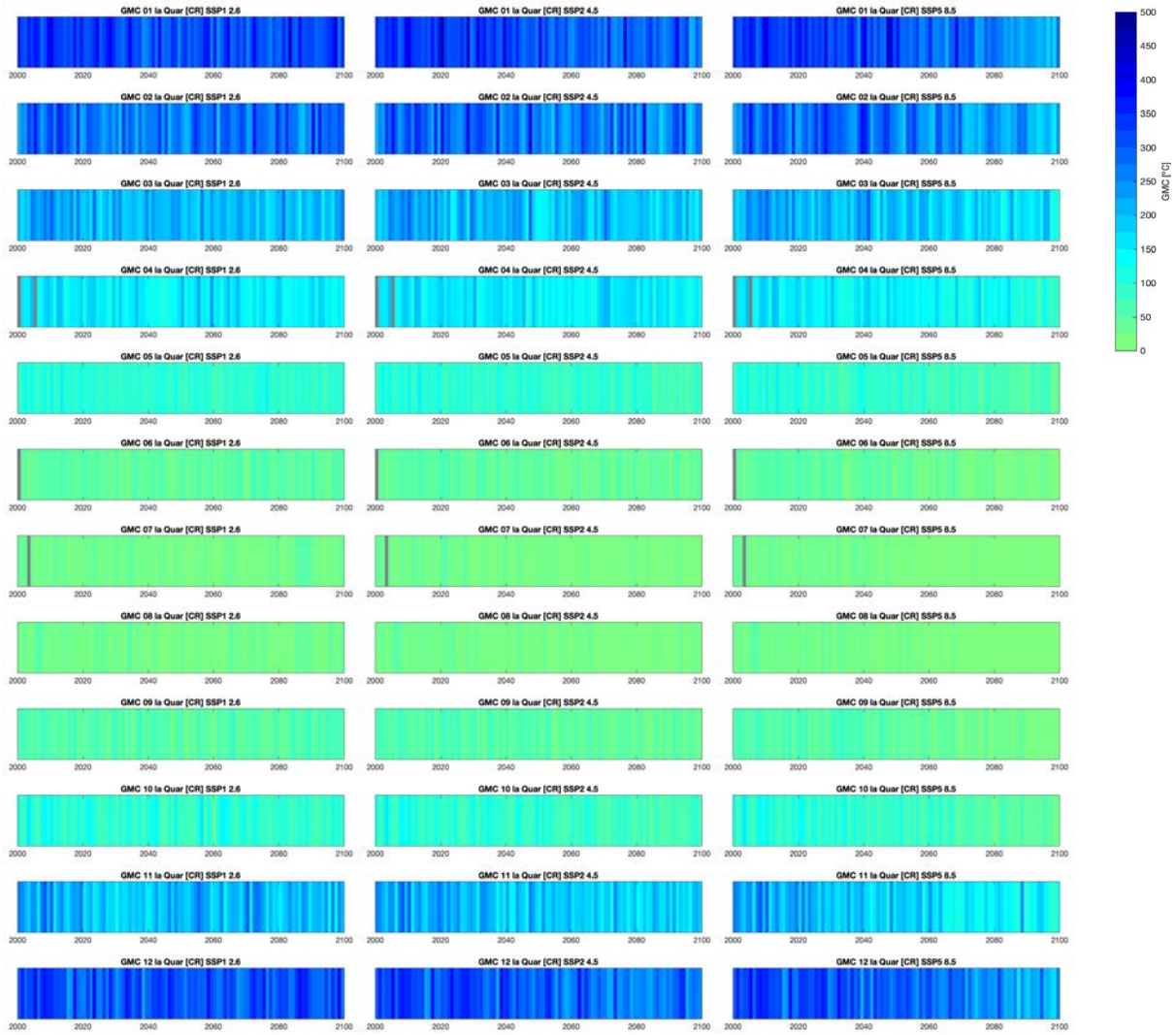

Figura B.53: Evolució dels graus-mes de calefacció (GMC) a l'estació CR- La Quar, per als diferents escenaris [SSP1 2.6, SSP2 4.5 i SSP5 8.5] per al model climàtic MPI-ESM1.

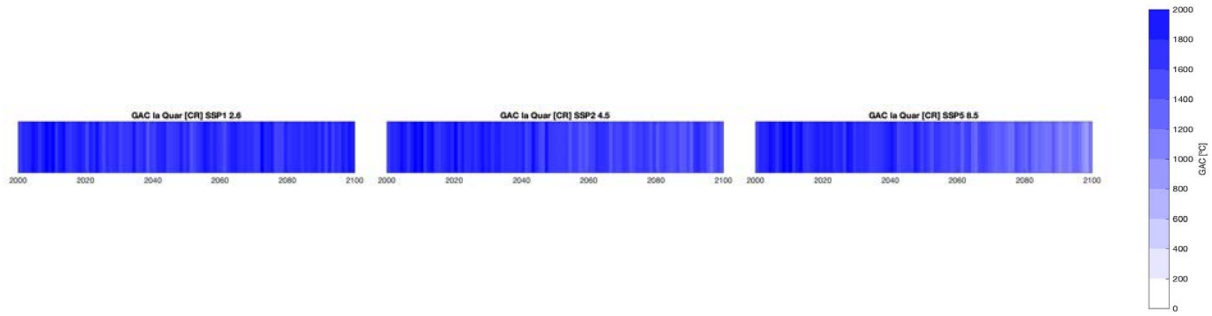

Figura B.54: Evolució dels graus-any de calefacció (GAC) a l'estació CR- La Quar, per als diferents escenaris [SSP1 2.6, SSP2 4.5 i SSP5 8.5] per al model climàtic MPI-ESM1.

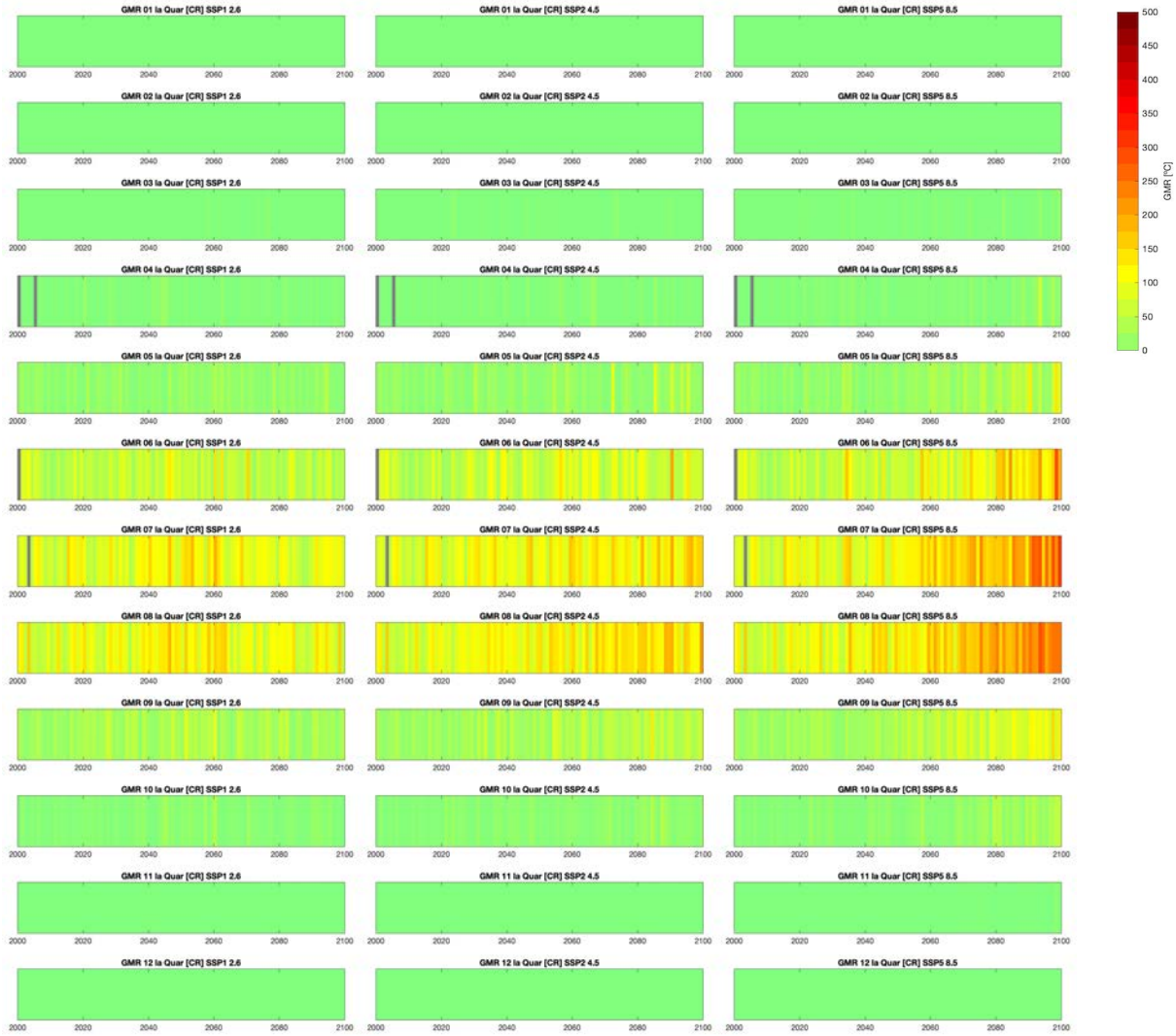

Figura B.55: Evolució dels graus-mes de refrigeració (GMR a l'estació CR- La Quar, per als diferents escenaris [SSP1 2.6, SSP2 4.5 i SSP5 8.5] per al model climàtic MPI-ESM1.

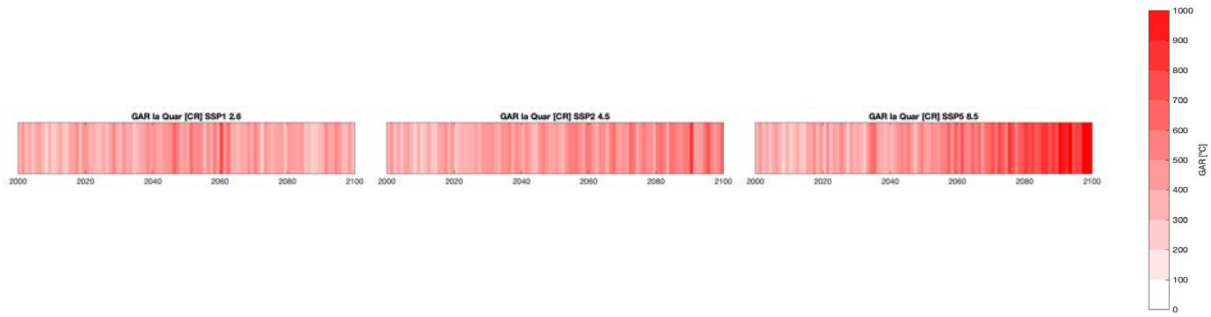

Figura B.56: Evolució dels graus-any de refrigeració (GAR a l'estació CR- La Quar, per als diferents escenaris [SSP1 2.6, SSP2 4.5 i SSP5 8.5] per al model climàtic MPI-ESM1.

B.1.15 CT - El Pont de Suert

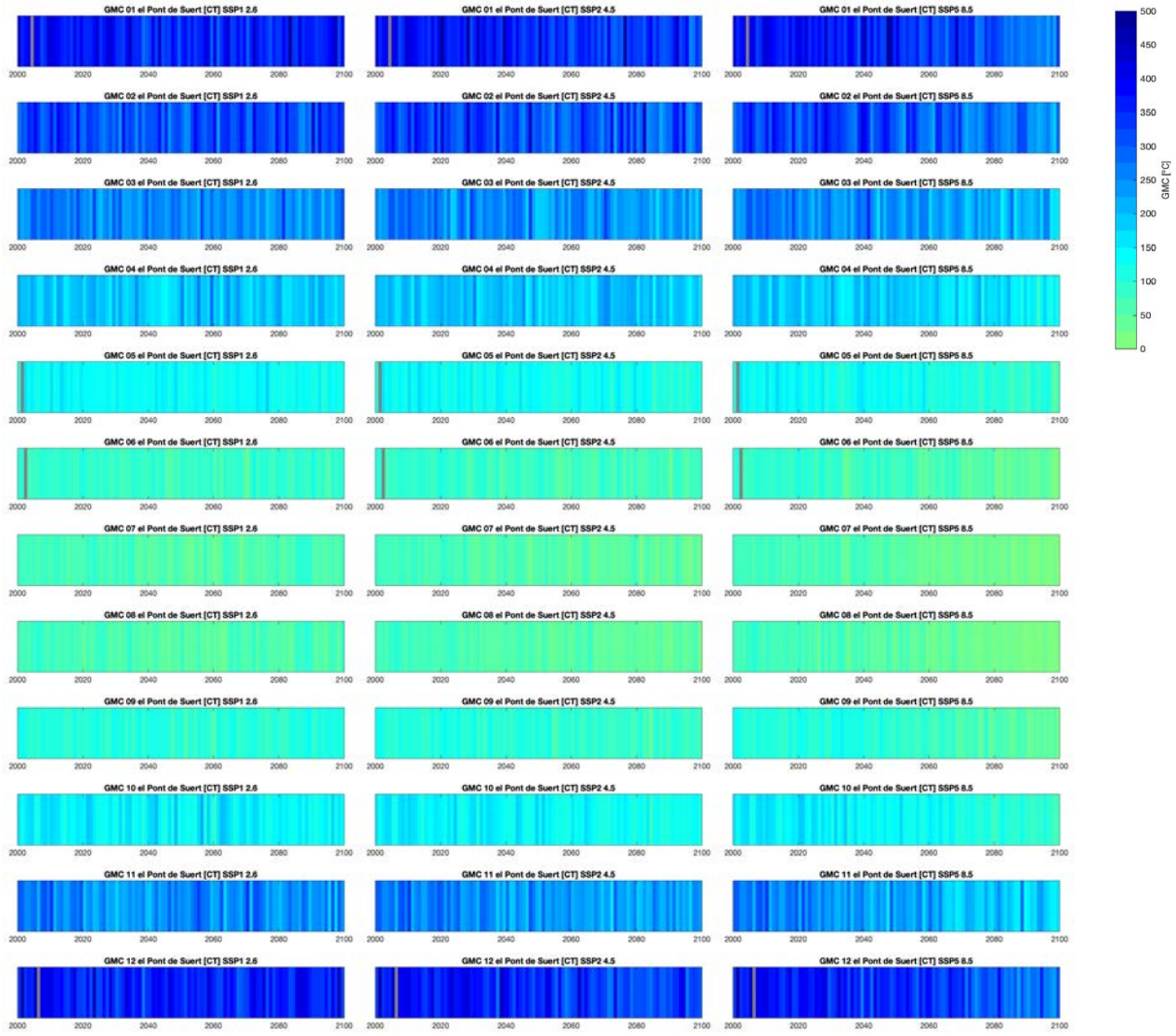

Figura B.57: Evolució dels graus-mes de calefacció (GMC) a l'estació CT- El Pont de Suert, per als diferents escenaris [SSP1 2.6, SSP2 4.5 i SSP5 8.5] per al model climàtic MPI-ESM1.

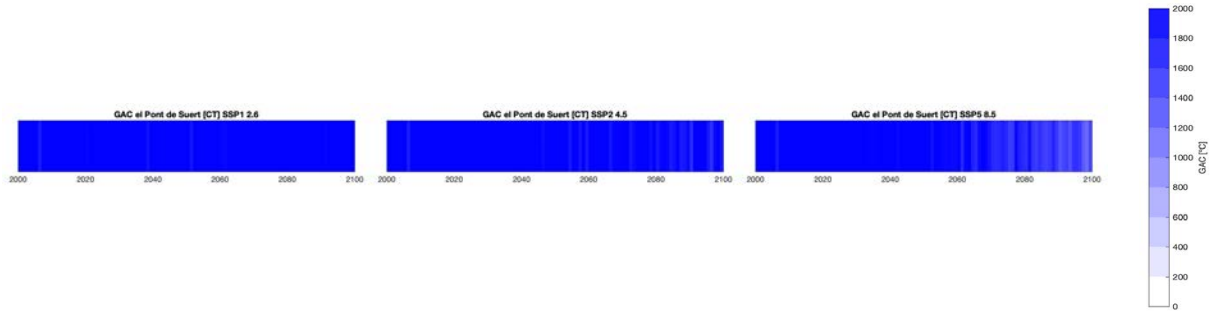

Figura B.58: Evolució dels graus-any de calefacció (GAC) a l'estació CT- El Pont de Suert, per als diferents escenaris [SSP1 2.6, SSP2 4.5 i SSP5 8.5] per al model climàtic MPI-ESM1.

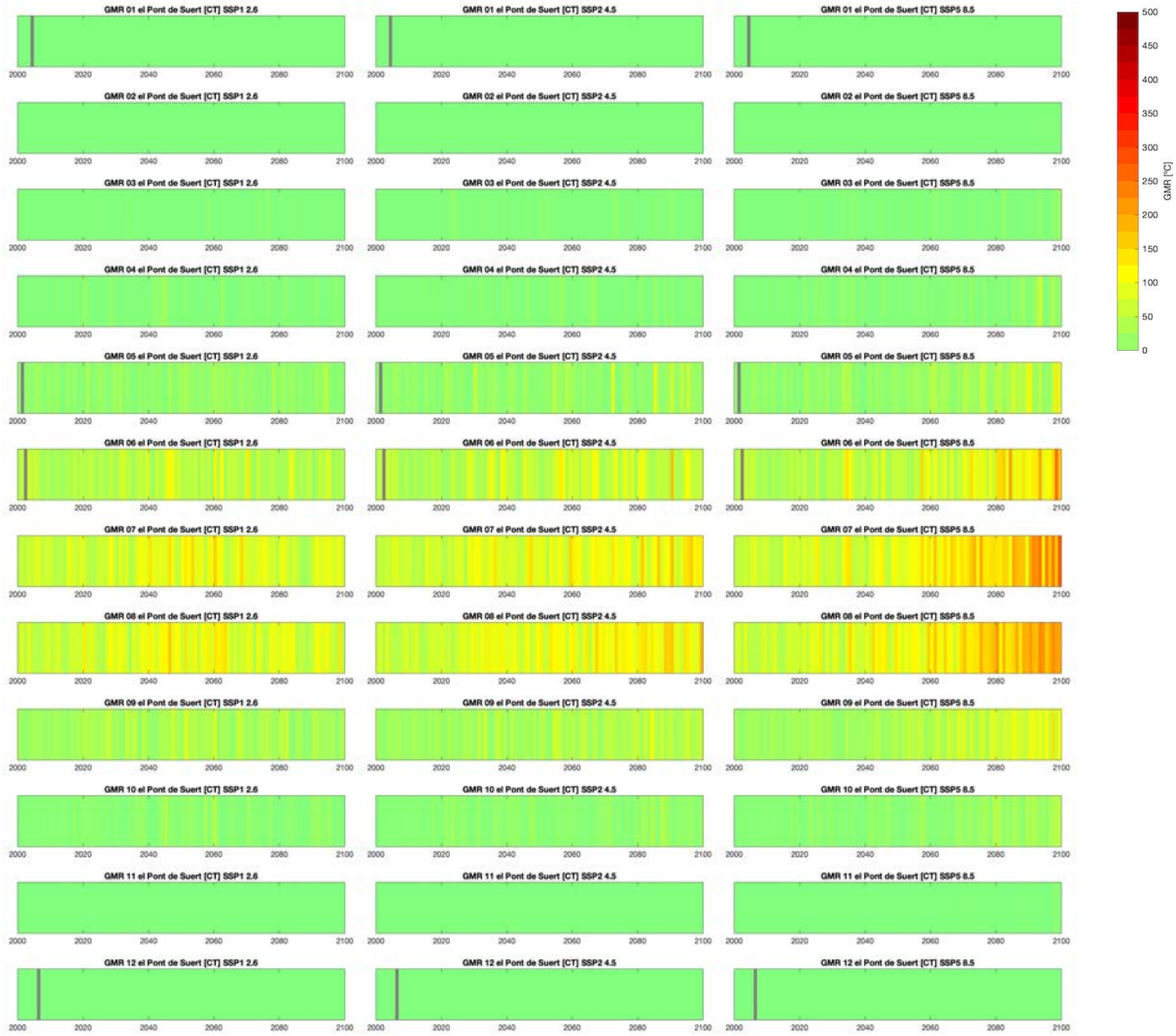

Figura B.59: Evolució dels graus-mes de refrigeració (GMR a l'estació CT- El Pont de Suert, per als diferents escenaris [SSP1 2.6, SSP2 4.5 i SSP5 8.5] per al model climàtic MPI-ESM1.

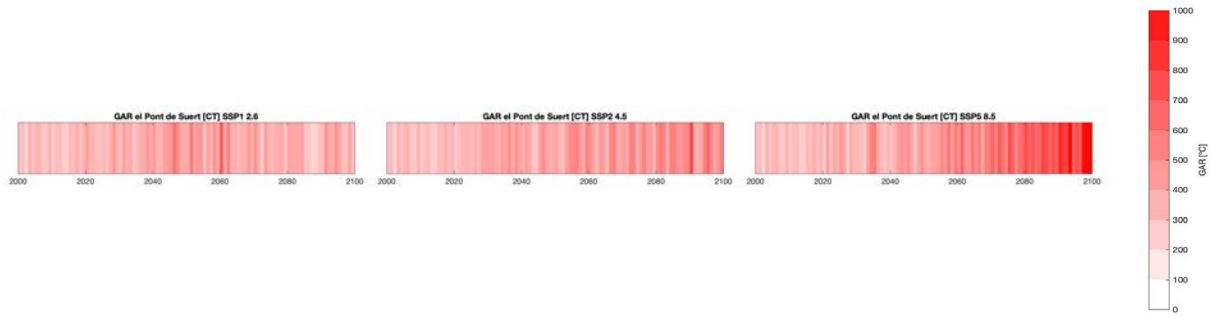

Figura B.60: Evolució dels graus-any de refrigeració (GAR a l'estació CT- El Pont de Suert, per als diferents escenaris [SSP1 2.6, SSP2 4.5 i SSP5 8.5] per al model climàtic MPI-ESM1.

B.1.16 CU - Vielha

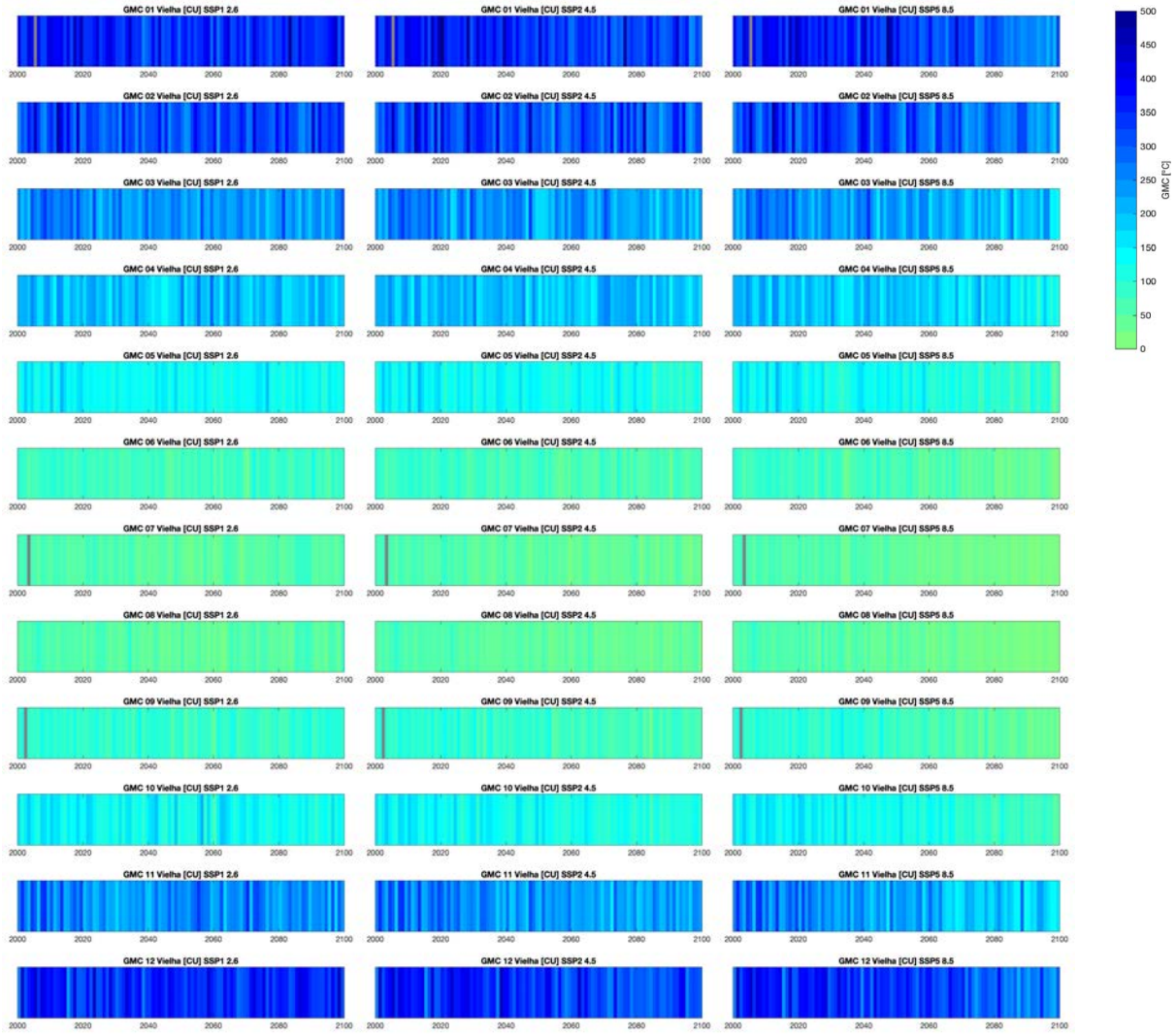

Figura B.61: Evolució dels graus-mes de calefacció (GMC) a l'estació CU- Vielha, per als diferents escenaris [SSP1 2.6, SSP2 4.5 i SSP5 8.5] per al model climàtic MPI-ESM1.

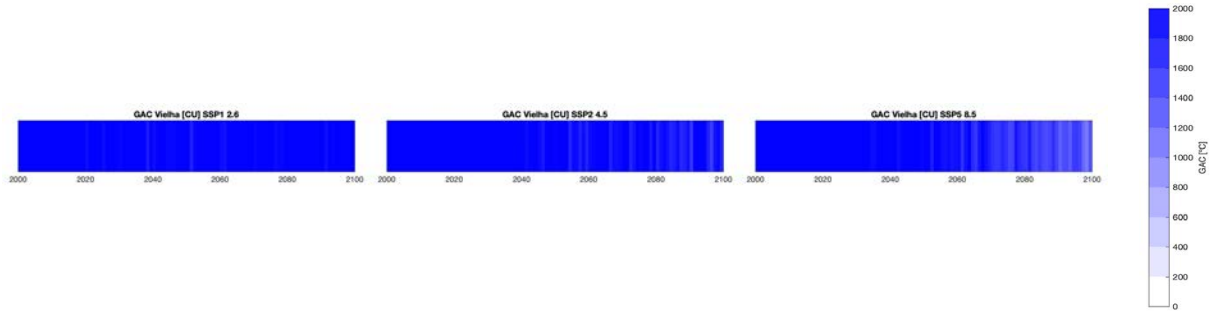

Figura B.62: Evolució dels graus-any de calefacció (GAC) a l'estació CU- Vielha, per als diferents escenaris [SSP1 2.6, SSP2 4.5 i SSP5 8.5] per al model climàtic MPI-ESM1.

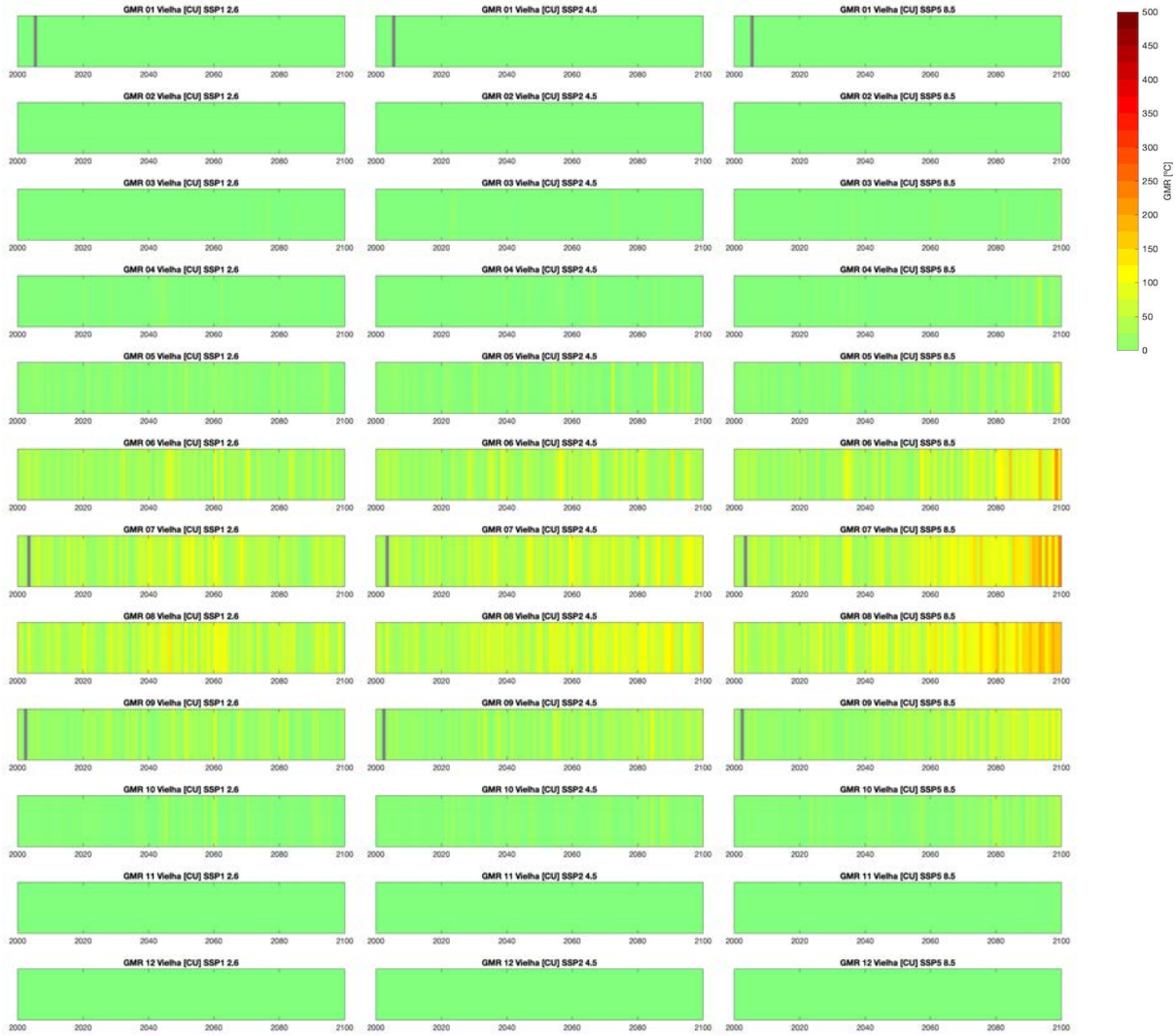

Figura B.63: Evolució dels graus-mes de refrigeració (GMR a l'estació CU- Vielha, per als diferents escenaris [SSP1 2.6, SSP2 4.5 i SSP5 8.5] per al model climàtic MPI-ESM1.

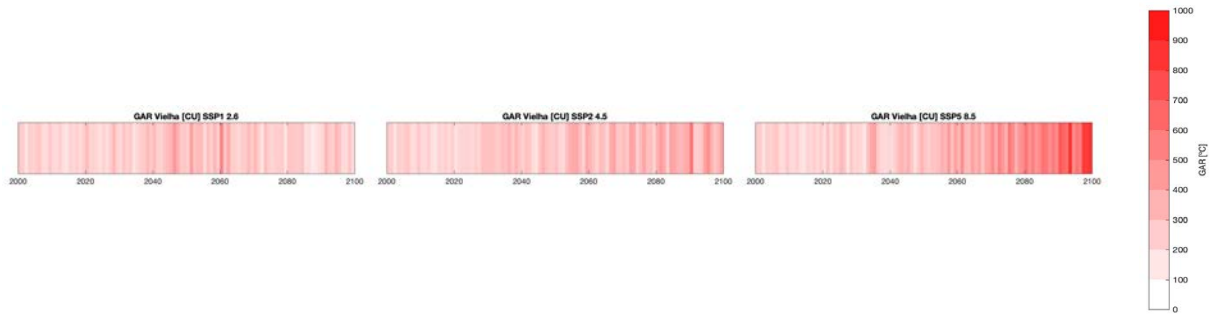

Figura B.64: Evolució dels graus-any de refrigeració (GAR a l'estació CU- Vielha, per als diferents escenaris [SSP1 2.6, SSP2 4.5 i SSP5 8.5] per al model climàtic MPI-ESM1.

B.1.17 CW - L'Espluga de Francolí

B.1.18 CY - Muntanyola

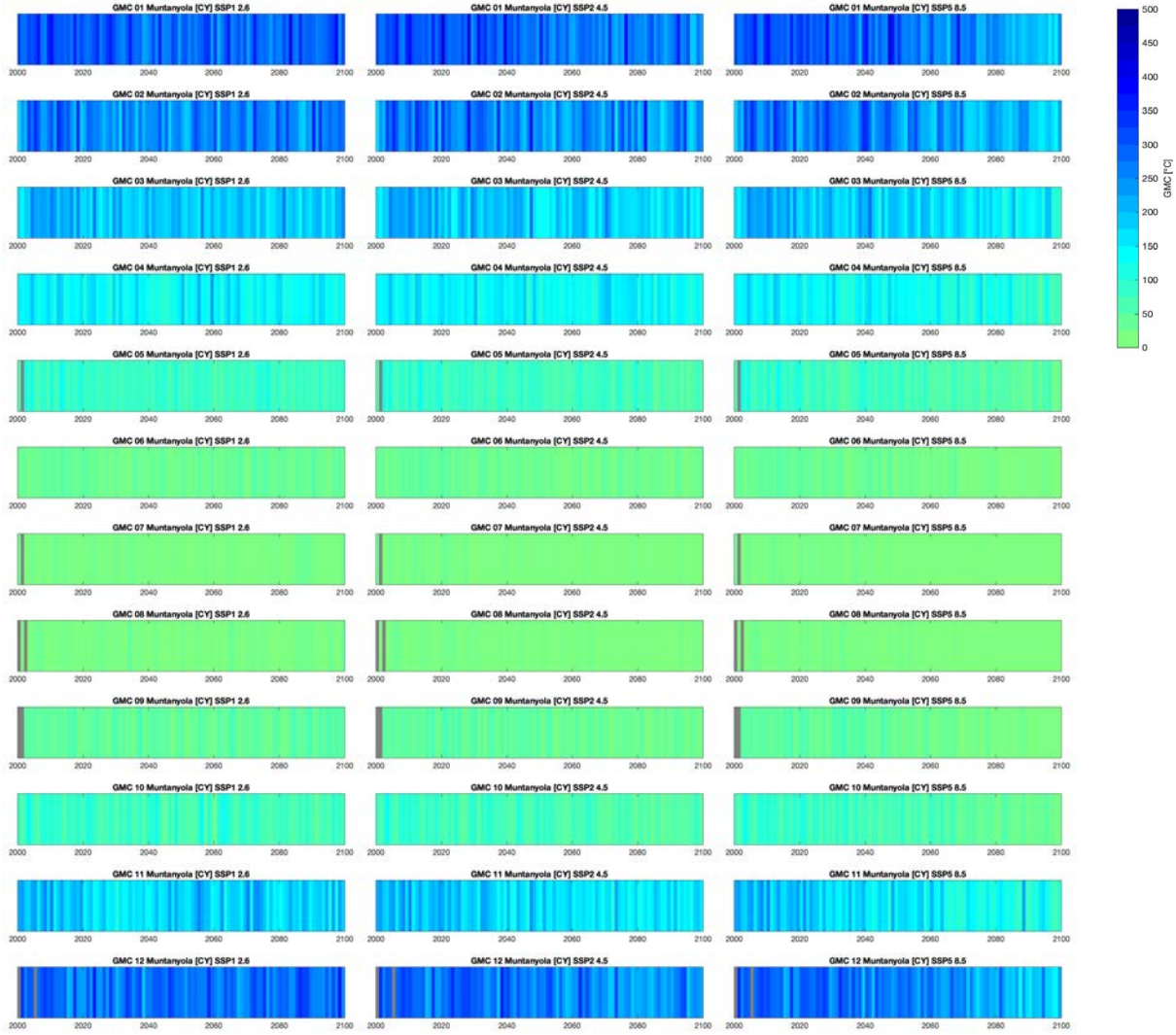

Figura B.65: Evolució dels graus-mes de calefacció (GMC) a l'estació CY- Muntanyola, per als diferents escenaris [SSP1 2.6, SSP2 4.5 i SSP5 8.5] per al model climàtic MPI-ESM1.

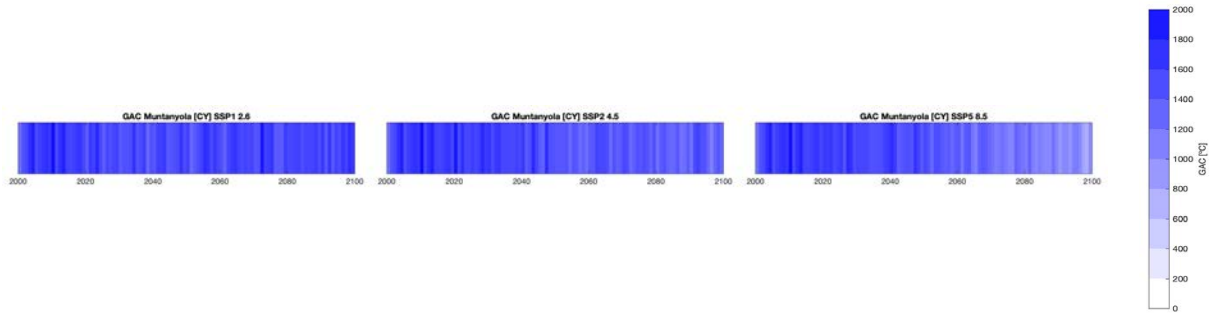

Figura B.66: Evolució dels graus-any de calefacció (GAC) a l'estació CY- Muntanyola, per als diferents escenaris [SSP1 2.6, SSP2 4.5 i SSP5 8.5] per al model climàtic MPI-ESM1.

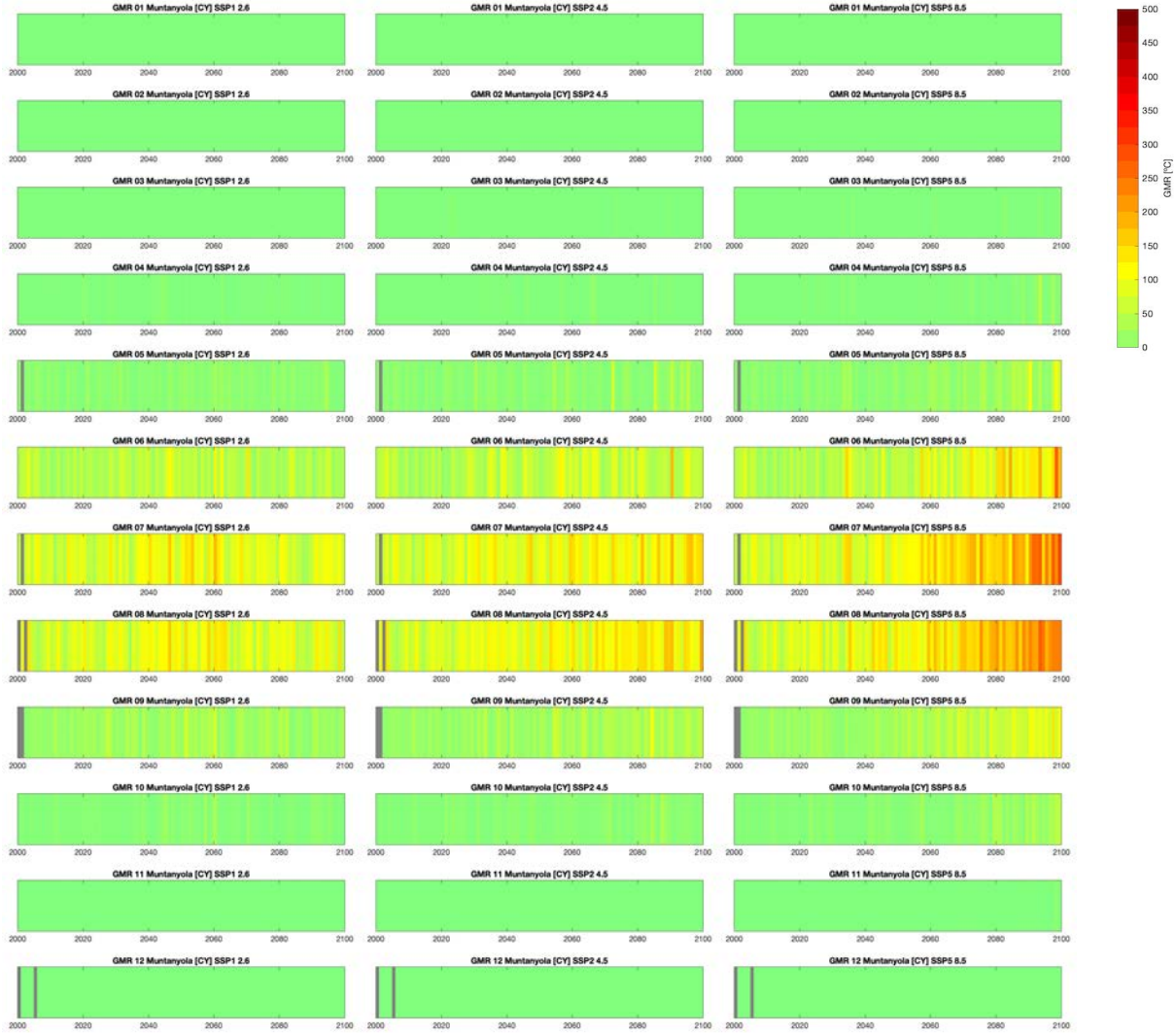

Figura B.67: Evolució dels graus-mes de refrigeració (GMR a l'estació CY- Muntanyola, per als diferents escenaris [SSP1 2.6, SSP2 4.5 i SSP5 8.5] per al model climàtic MPI-ESM1.

Figura B.68: Evolució dels graus-any de refrigeració (GAR a l'estació CY- Muntanyola, per als diferents escenaris [SSP1 2.6, SSP2 4.5 i SSP5 8.5] per al model climàtic MPI-ESM1.

B.1.19 D1 - Margalef

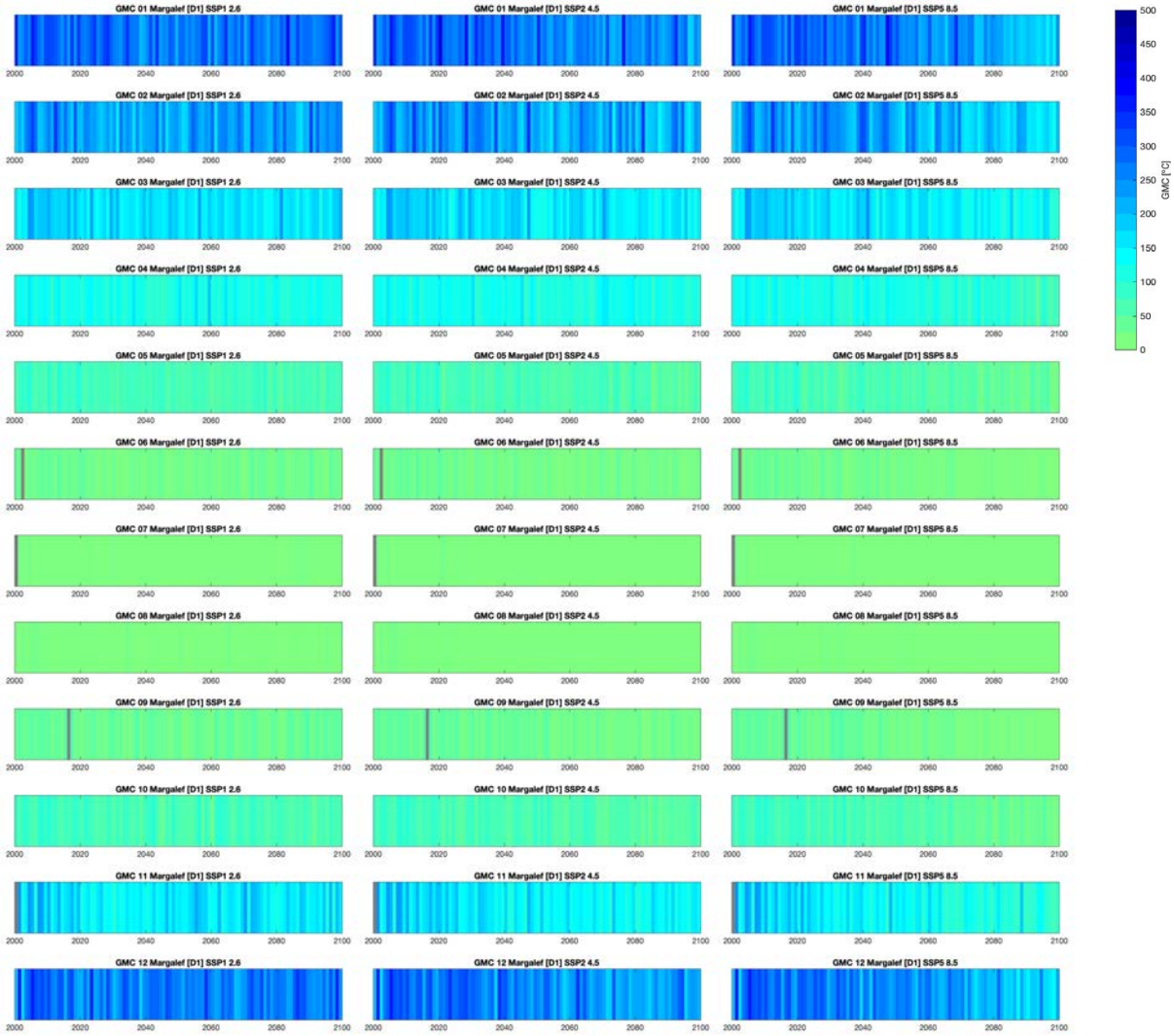

Figura B.69: Evolució dels graus-mes de calefacció (GMC) a l'estació D1- Margalef, per als diferents escenaris [SSP1 2.6, SSP2 4.5 i SSP5 8.5] per al model climàtic MPI-ESM1.

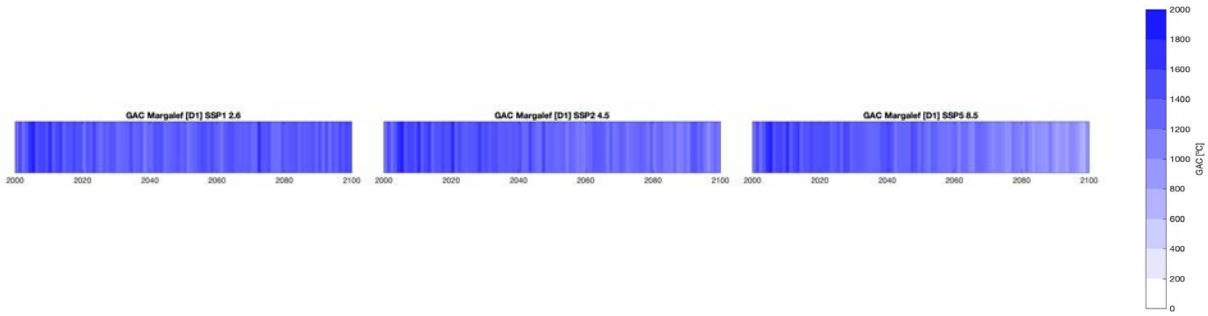

Figura B.70: Evolució dels graus-any de calefacció (GAC) a l'estació D1- Margalef, per als diferents escenaris [SSP1 2.6, SSP2 4.5 i SSP5 8.5] per al model climàtic MPI-ESM1.

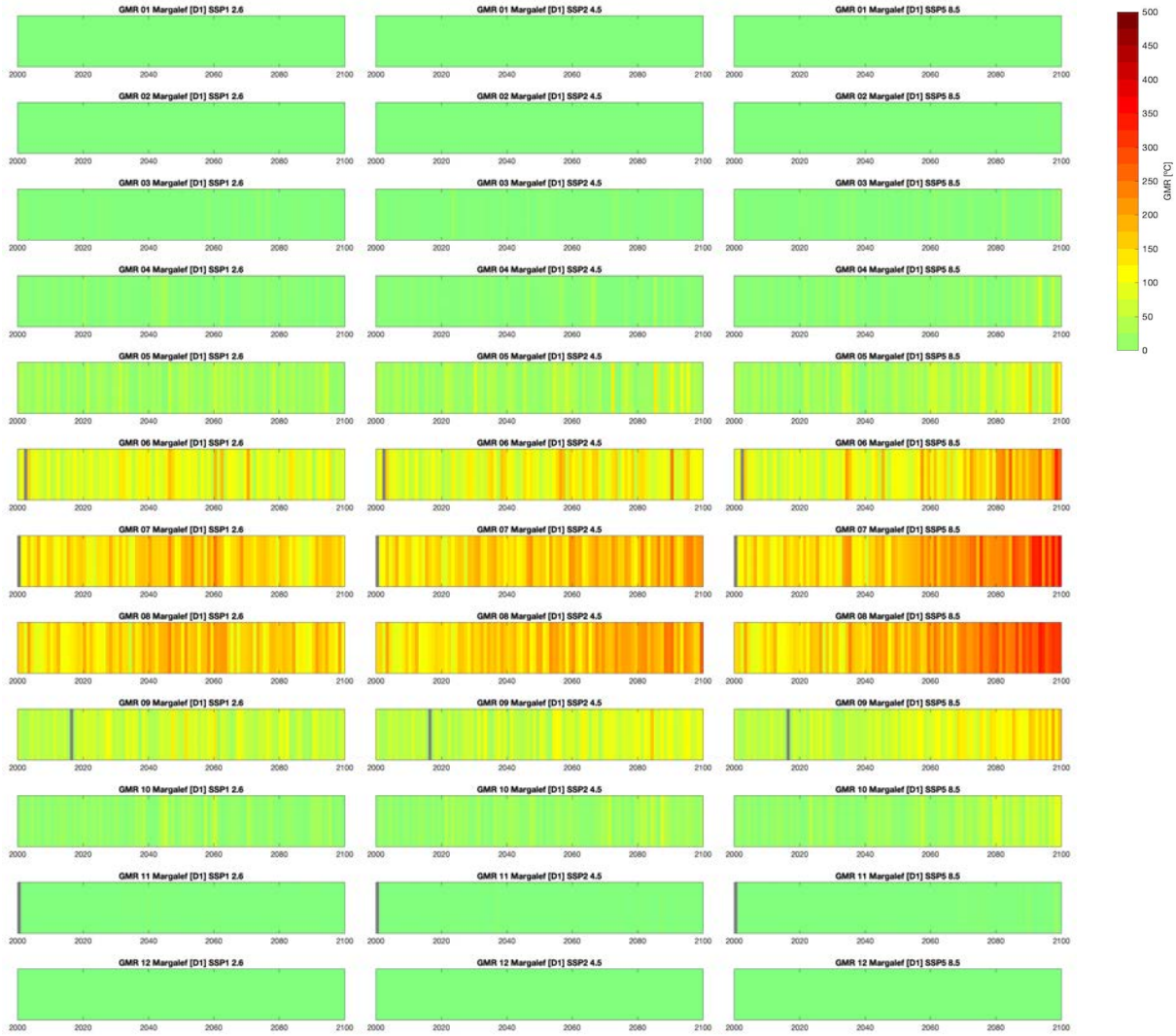

Figura B.71: Evolució dels graus-mes de refrigeració (GMR a l'estació D1- Margalef, per als diferents escenaris [SSP1 2.6, SSP2 4.5 i SSP5 8.5] per al model climàtic MPI-ESM1.

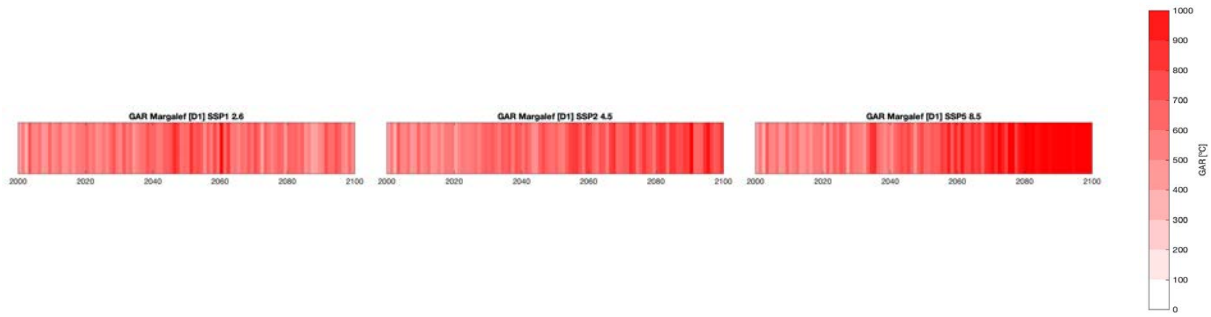

Figura B.72: Evolució dels graus-any de refrigeració (GAR a l'estació D1- Margalef, per als diferents escenaris [SSP1 2.6, SSP2 4.5 i SSP5 8.5] per al model climàtic MPI-ESM1.

B.1.20 D2 - Vacarisses

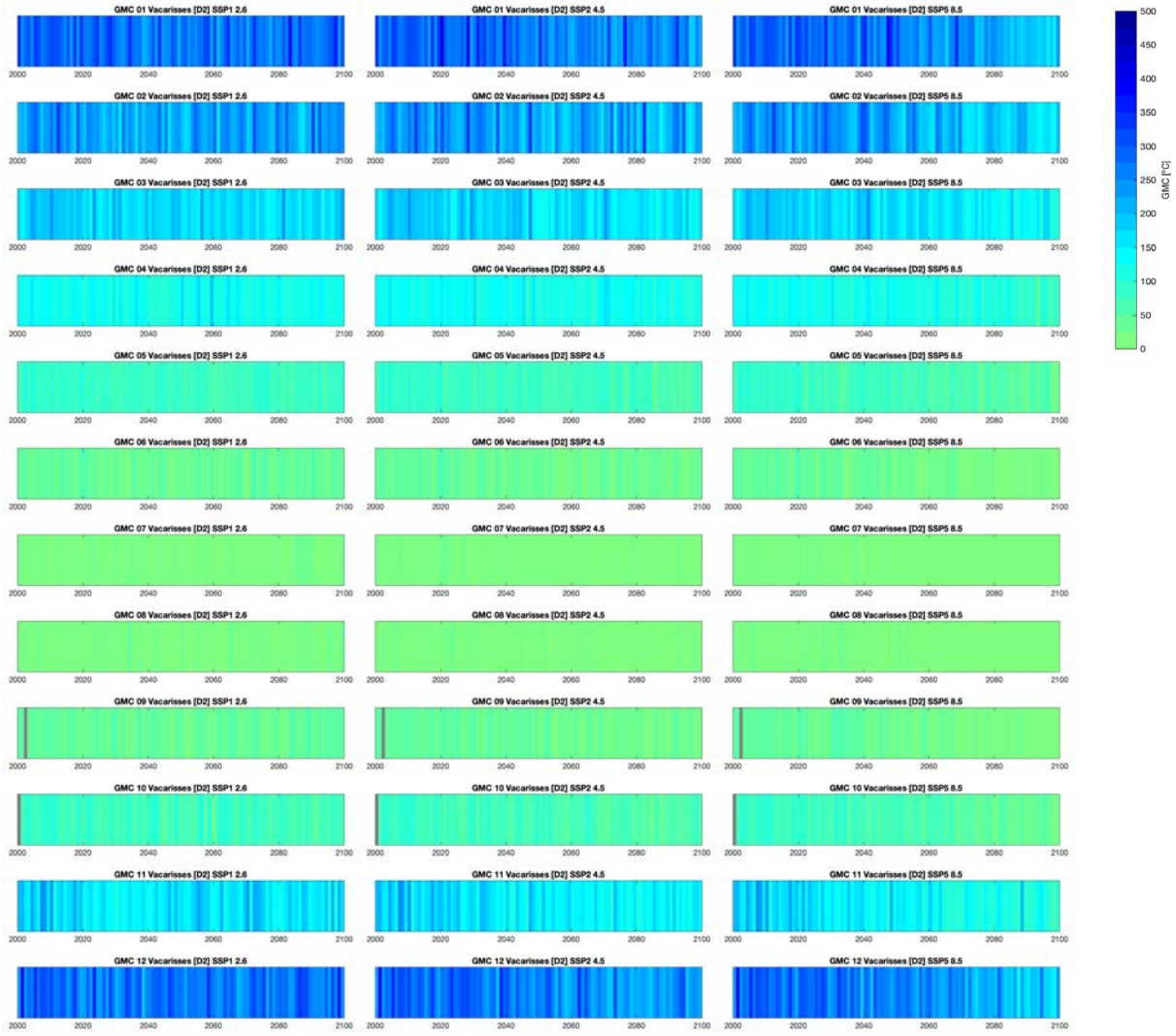

Figura B.73: Evolució dels graus-mes de calefacció (GMC) a l'estació D2- Vacarisses, per als diferents escenaris [SSP1 2.6, SSP2 4.5 i SSP5 8.5] per al model climàtic MPI-ESM1.

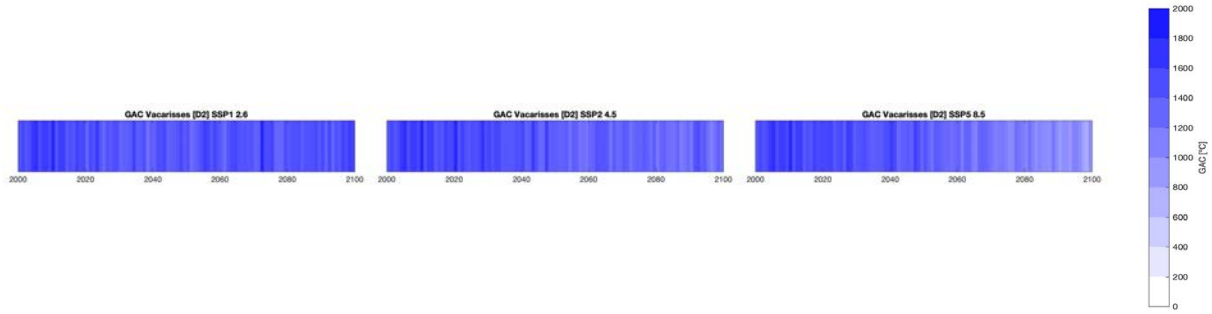

Figura B.74: Evolució dels graus-any de calefacció (GAC) a l'estació D2- Vacarisses, per als diferents escenaris [SSP1 2.6, SSP2 4.5 i SSP5 8.5] per al model climàtic MPI-ESM1.

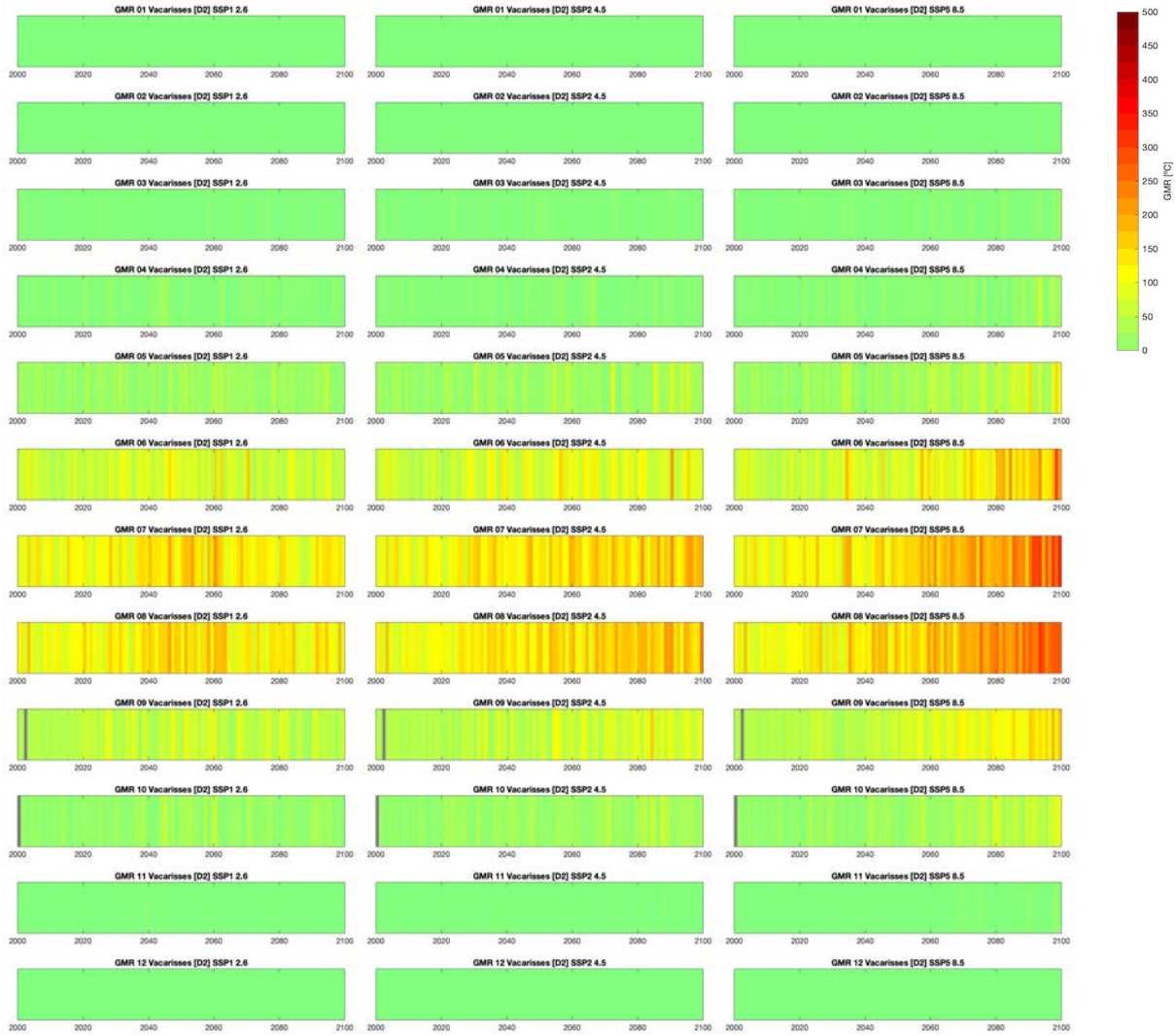

Figura B.75: Evolució dels graus-mes de refrigeració (GMR a l'estació D2- Vacarisses, per als diferents escenaris [SSP1 2.6, SSP2 4.5 i SSP5 8.5] per al model climàtic MPI-ESM1.

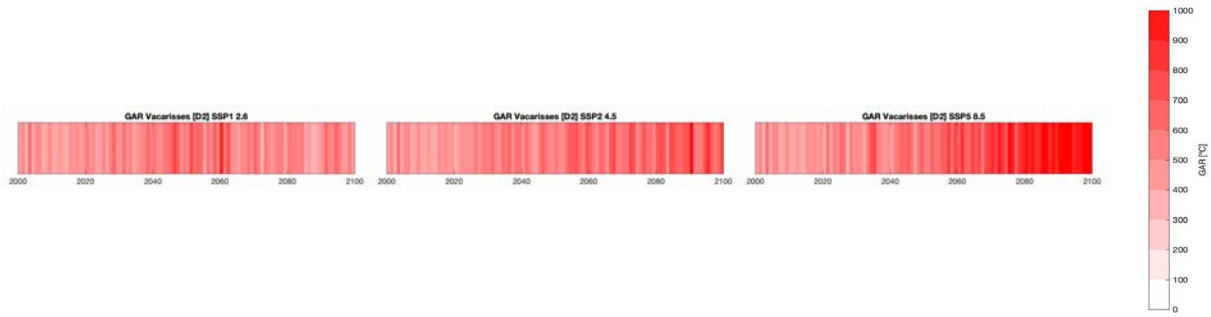

Figura B.76: Evolució dels graus-any de refrigeració (GAR a l'estació D2- Vacarisses, per als diferents escenaris [SSP1 2.6, SSP2 4.5 i SSP5 8.5] per al model climàtic MPI-ESM1.

B.1.21 D3 - Vallirana

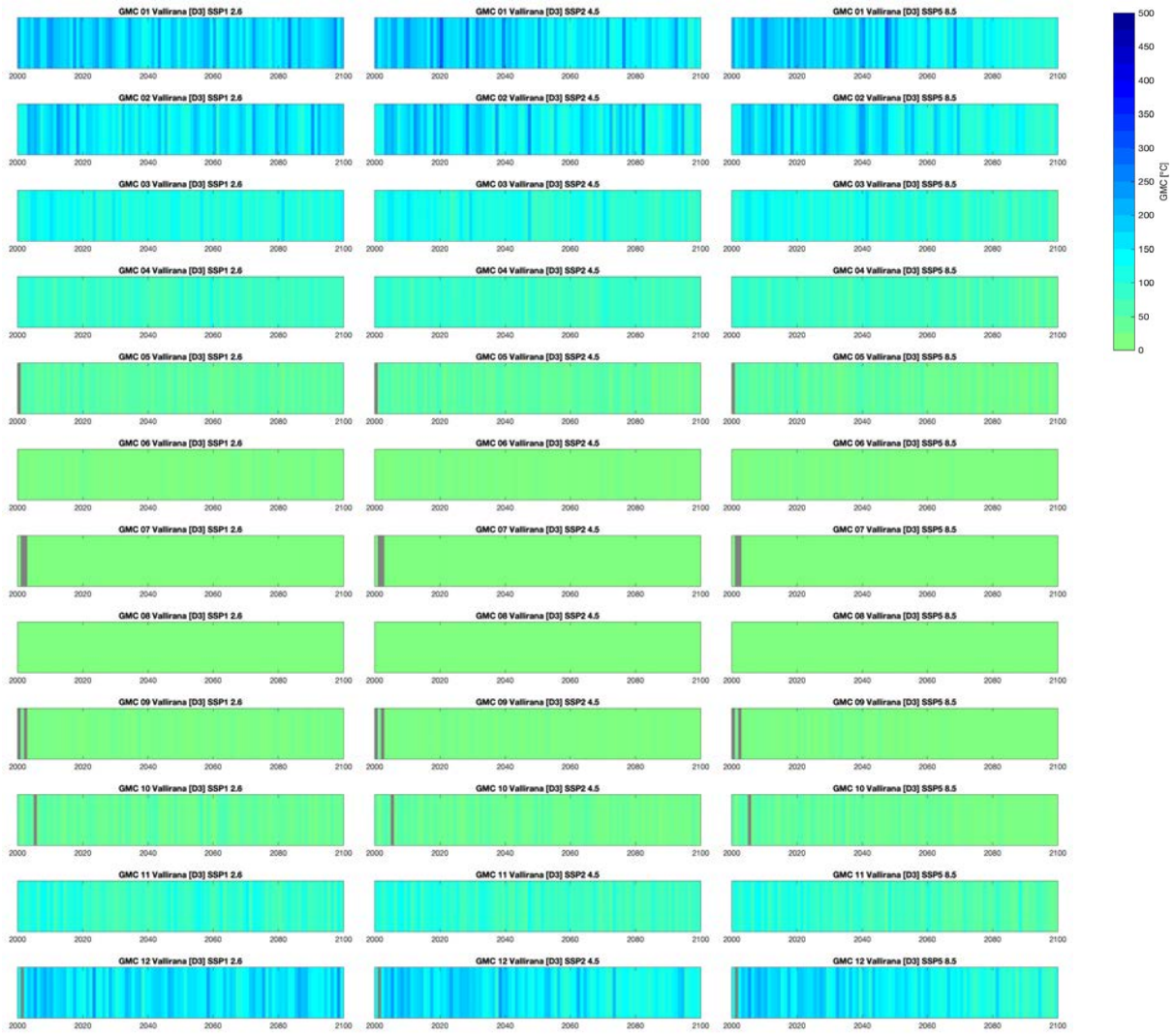

Figura B.77: Evolució dels graus-mes de calefacció (GMC) a l'estació D3- Vallirana, per als diferents escenaris [SSP1 2.6, SSP2 4.5 i SSP5 8.5] per al model climàtic MPI-ESM1.

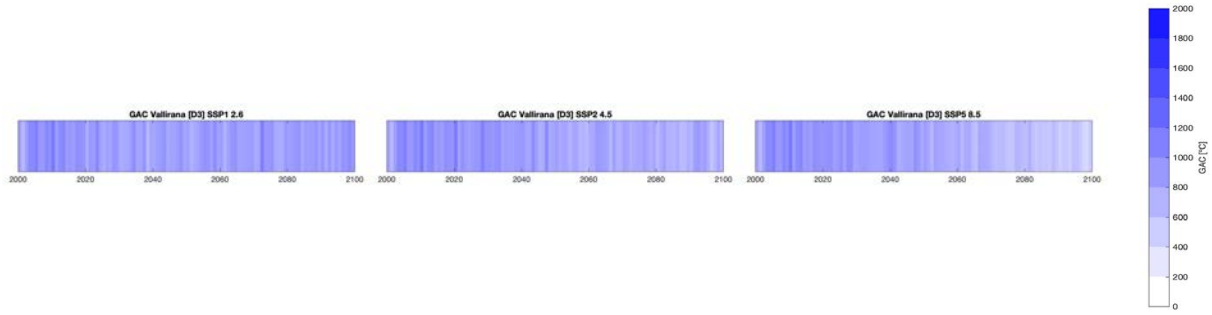

Figura B.78: Evolució dels graus-any de calefacció (GAC) a l'estació D3- Vallirana, per als diferents escenaris [SSP1 2.6, SSP2 4.5 i SSP5 8.5] per al model climàtic MPI-ESM1.

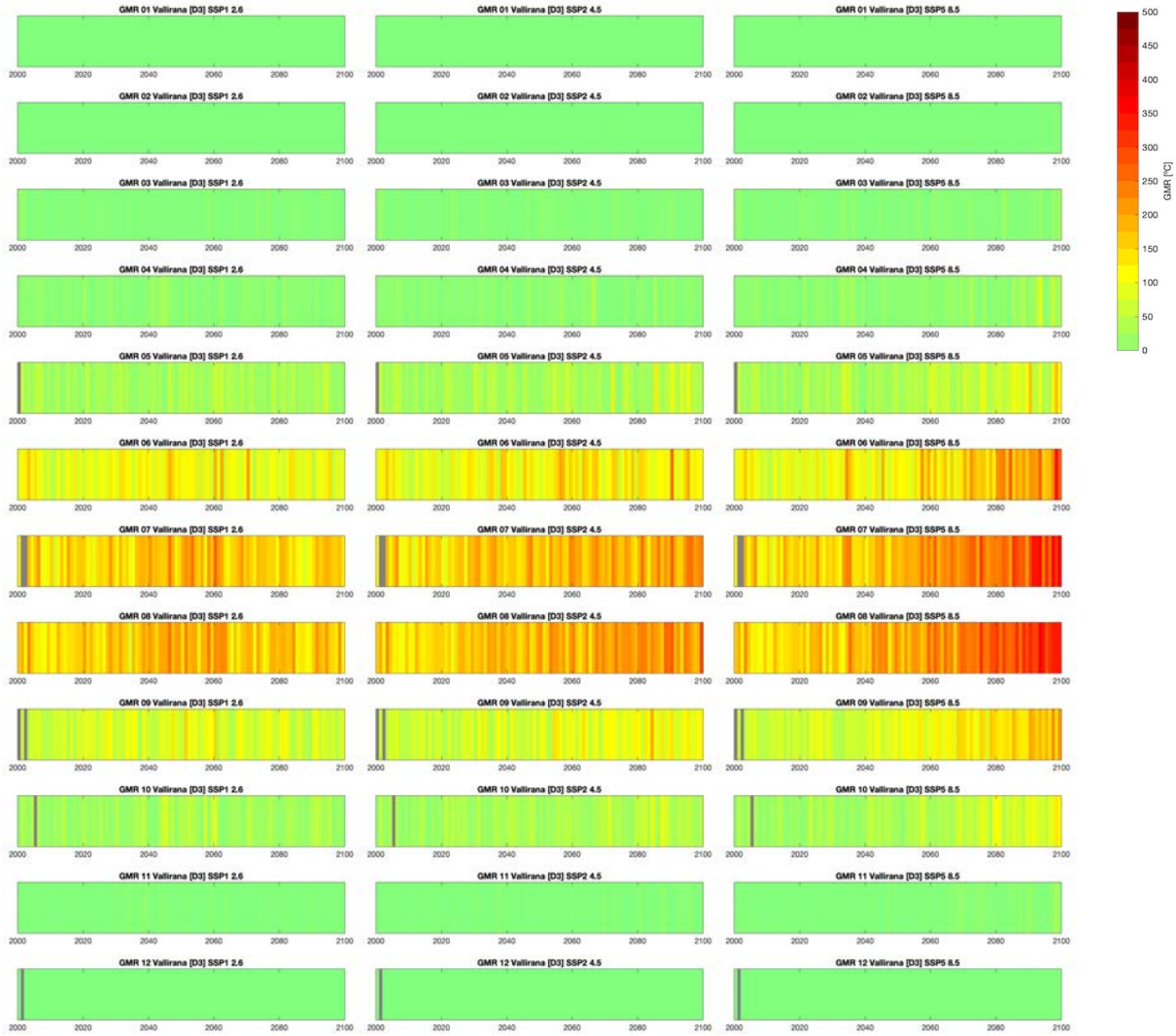

Figura B.79: Evolució dels graus-mes de refrigeració (GMR a l'estació D3- Vallirana, per als diferents escenaris [SSP1 2.6, SSP2 4.5 i SSP5 8.5] per al model climàtic MPI-ESM1.

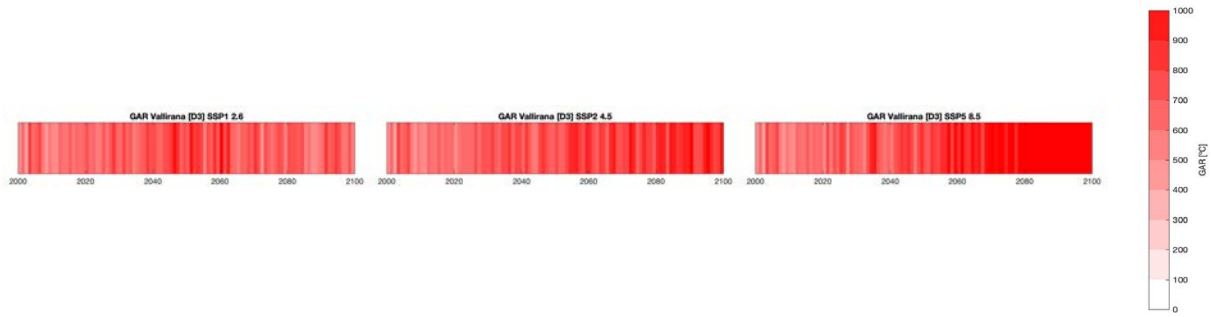

Figura B.80: Evolució dels graus-any de refrigeració (GAR a l'estació D3- Vallirana, per als diferents escenaris [SSP1 2.6, SSP2 4.5 i SSP5 8.5] per al model climàtic MPI-ESM1.

B.1.22 D4 - Roses

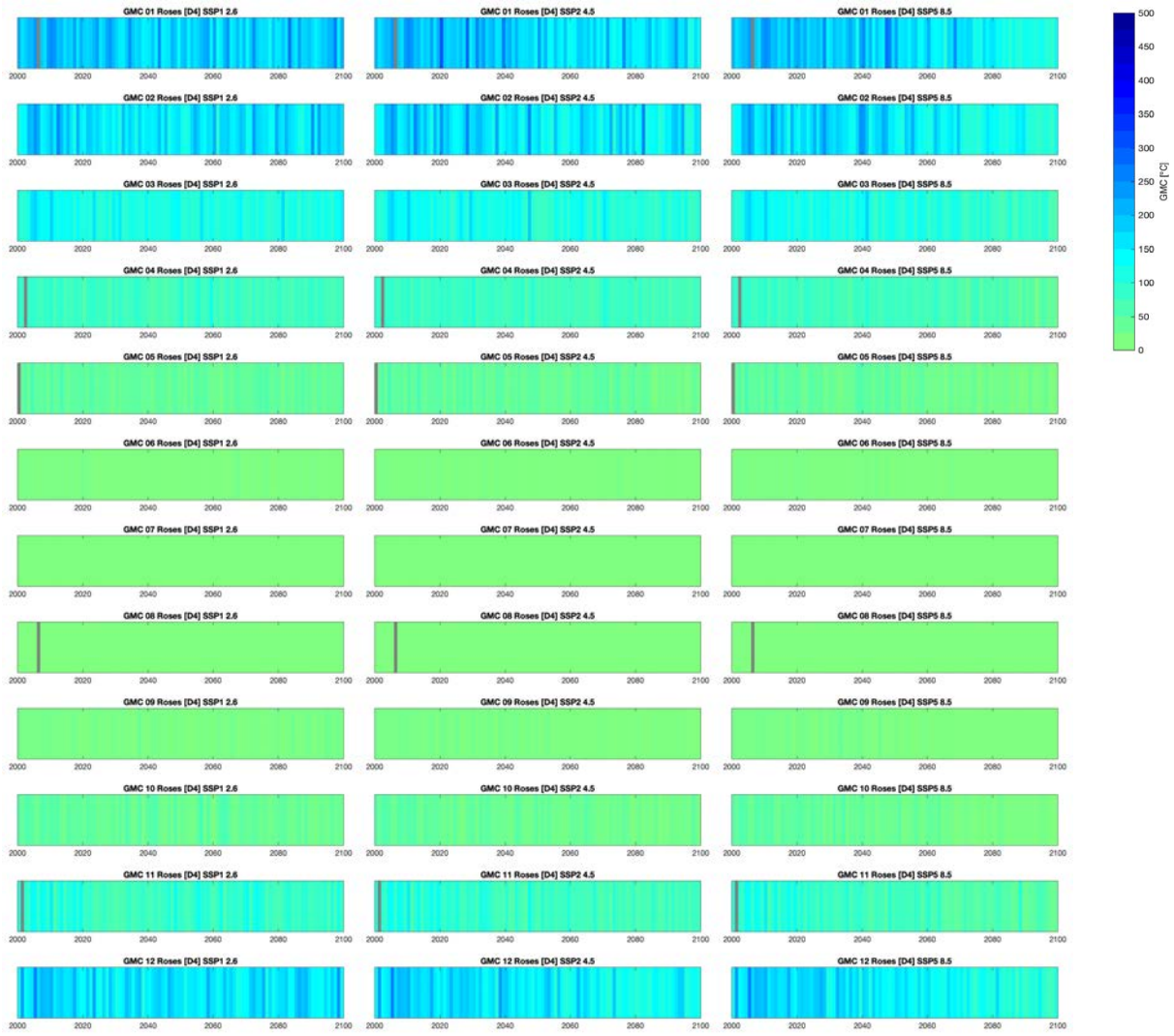

Figura B.81: Evolució dels graus-mes de calefacció (GMC) a l'estació D4- Roses, per als diferents escenaris [SSP1 2.6, SSP2 4.5 i SSP5 8.5] per al model climàtic MPI-ESM1.

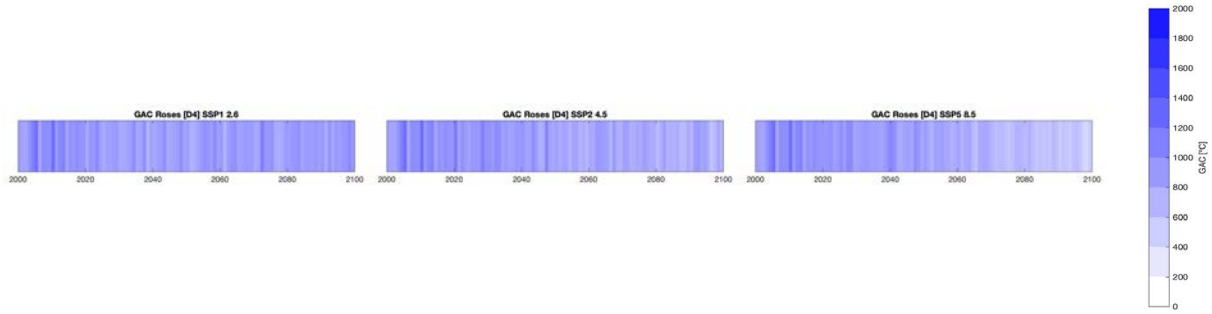

Figura B.82: Evolució dels graus-any de calefacció (GAC) a l'estació D4- Roses, per als diferents escenaris [SSP1 2.6, SSP2 4.5 i SSP5 8.5] per al model climàtic MPI-ESM1.

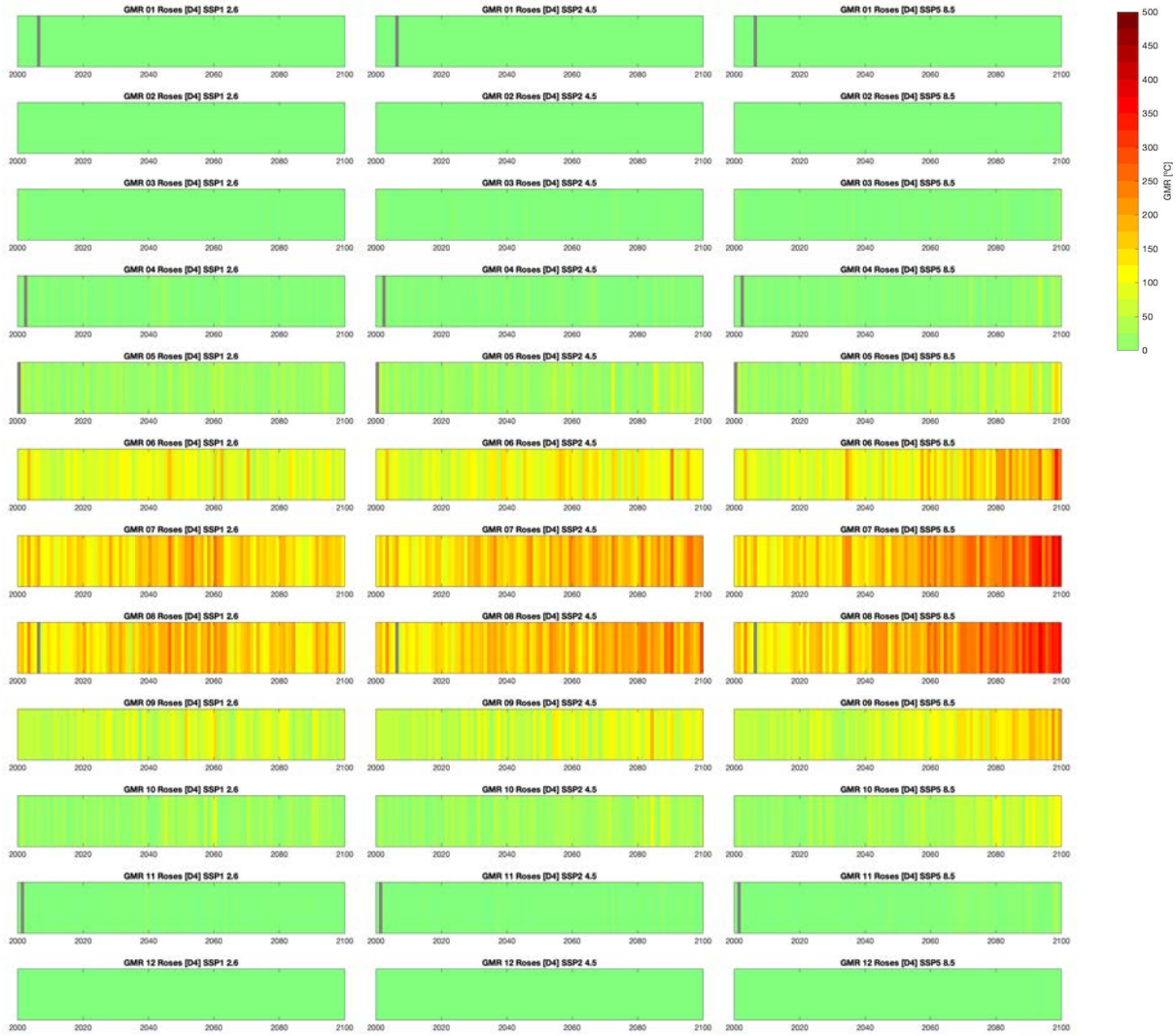

Figura B.83: Evolució dels graus-mes de refrigeració (GMR a l'estació D4- Roses, per als diferents escenaris [SSP1 2.6, SSP2 4.5 i SSP5 8.5] per al model climàtic MPI-ESM1.

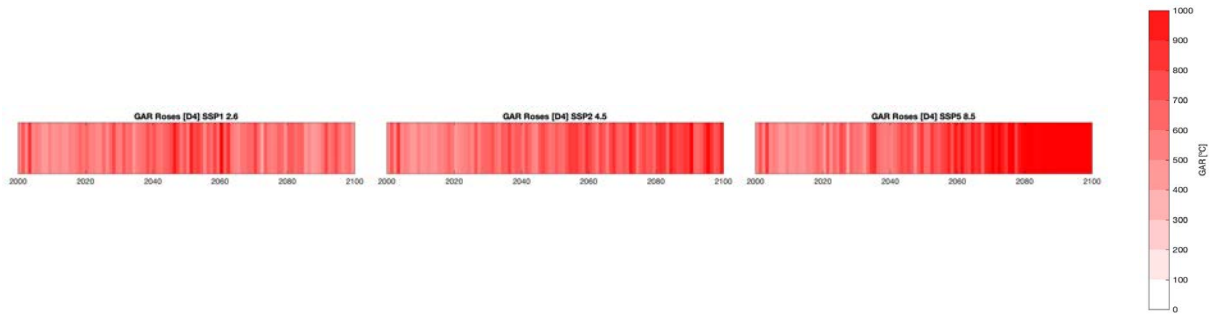

Figura B.84: Evolució dels graus-any de refrigeració (GAR a l'estació D4- Roses, per als diferents escenaris [SSP1 2.6, SSP2 4.5 i SSP5 8.5] per al model climàtic MPI-ESM1.

B.1.23 D5 - Barcelona - Observatori Fabra

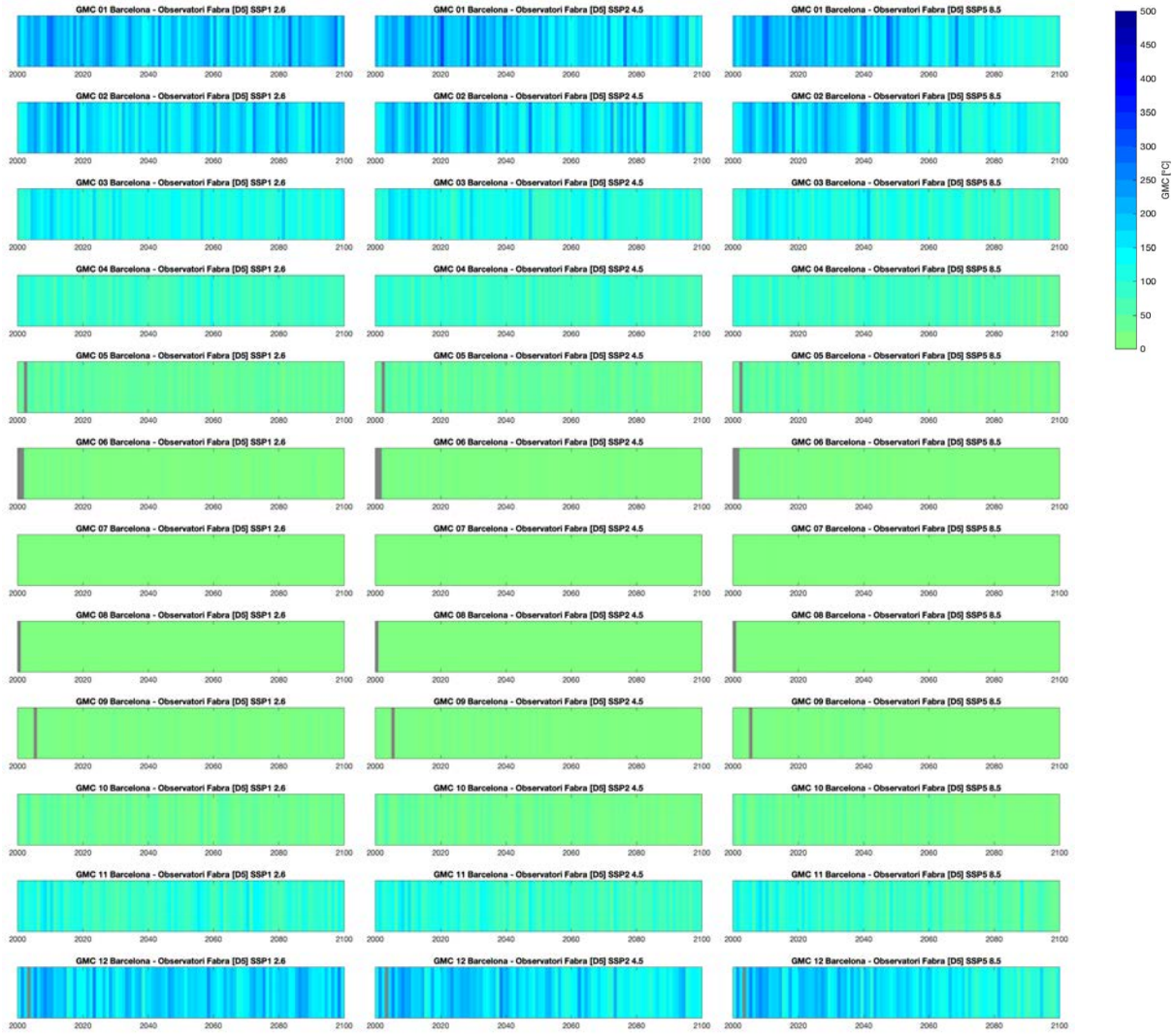

Figura B.85: Evolució dels graus-mes de calefacció (GMC) a l'estació D5- Barcelona - Observatori Fabra, per als diferents escenaris [SSP1 2.6, SSP2 4.5 i SSP5 8.5] per al model climàtic MPI-ESM1.

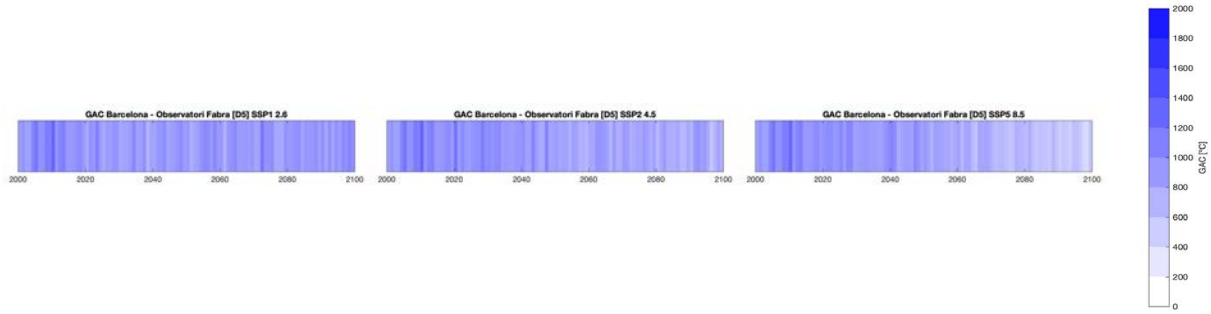

Figura B.86: Evolució dels graus-any de calefacció (GAC) a l'estació D5- Barcelona - Observatori Fabra, per als diferents escenaris [SSP1 2.6, SSP2 4.5 i SSP5 8.5] per al model climàtic MPI-ESM1.

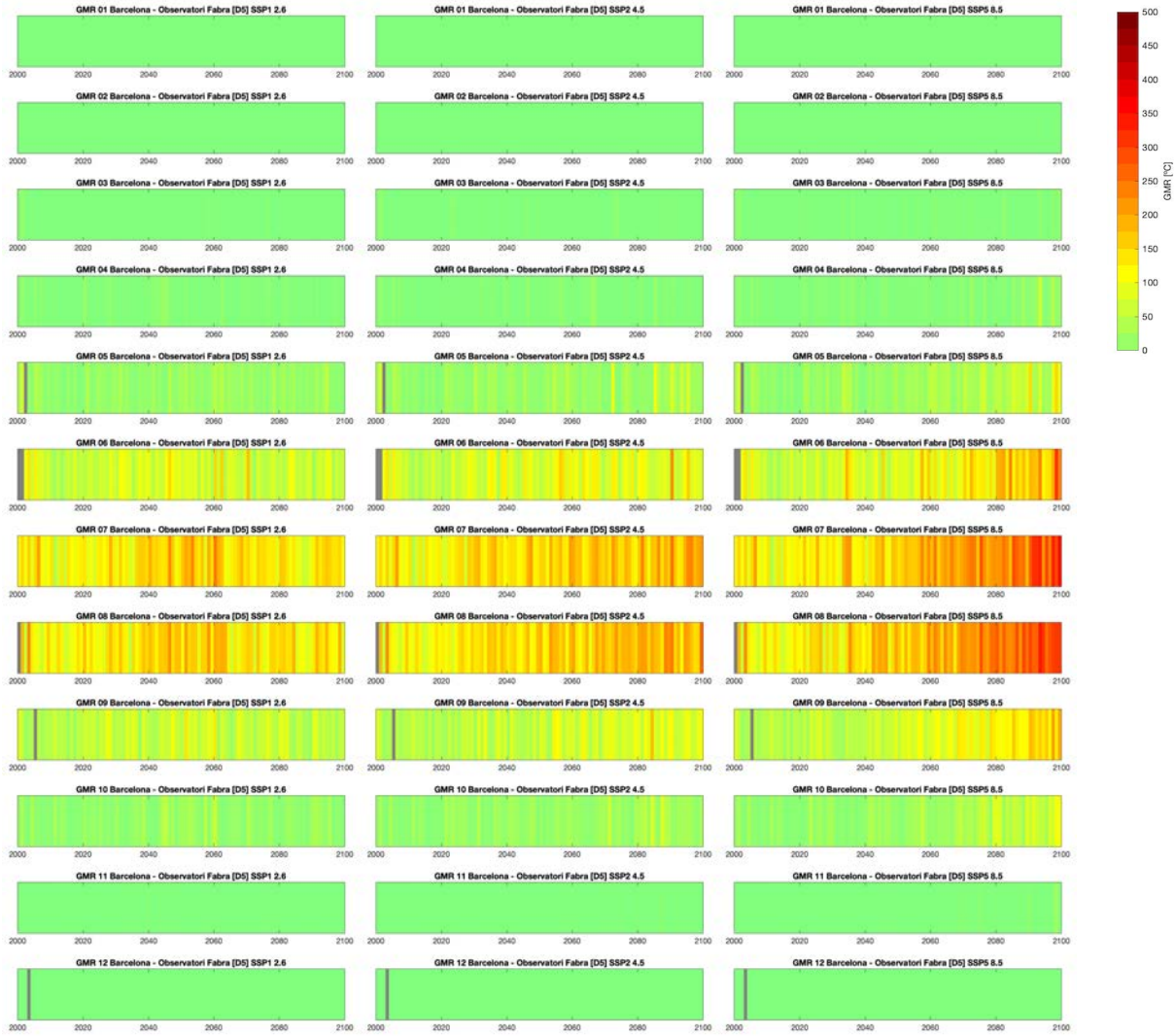

Figura B.87: Evolució dels graus-mes de refrigeració (GMR a l'estació D5- Barcelona - Observatori Fabra, per als diferents escenaris [SSP1 2.6, SSP2 4.5 i SSP5 8.5] per al model climàtic MPI-ESM1.

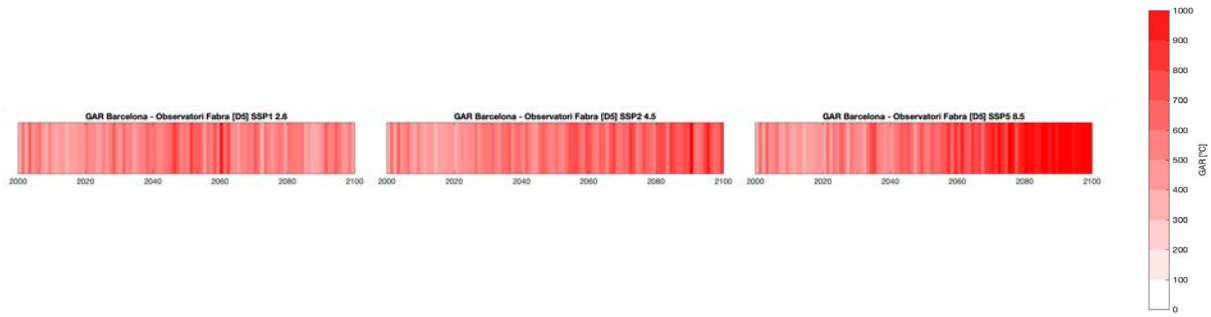

Figura B.88: Evolució dels graus-any de refrigeració (GAR a l'estació D5- Barcelona - Observatori Fabra, per als diferents escenaris [SSP1 2.6, SSP2 4.5 i SSP5 8.5] per al model climàtic MPI-ESM1.

B.1.24 D6 - Portbou

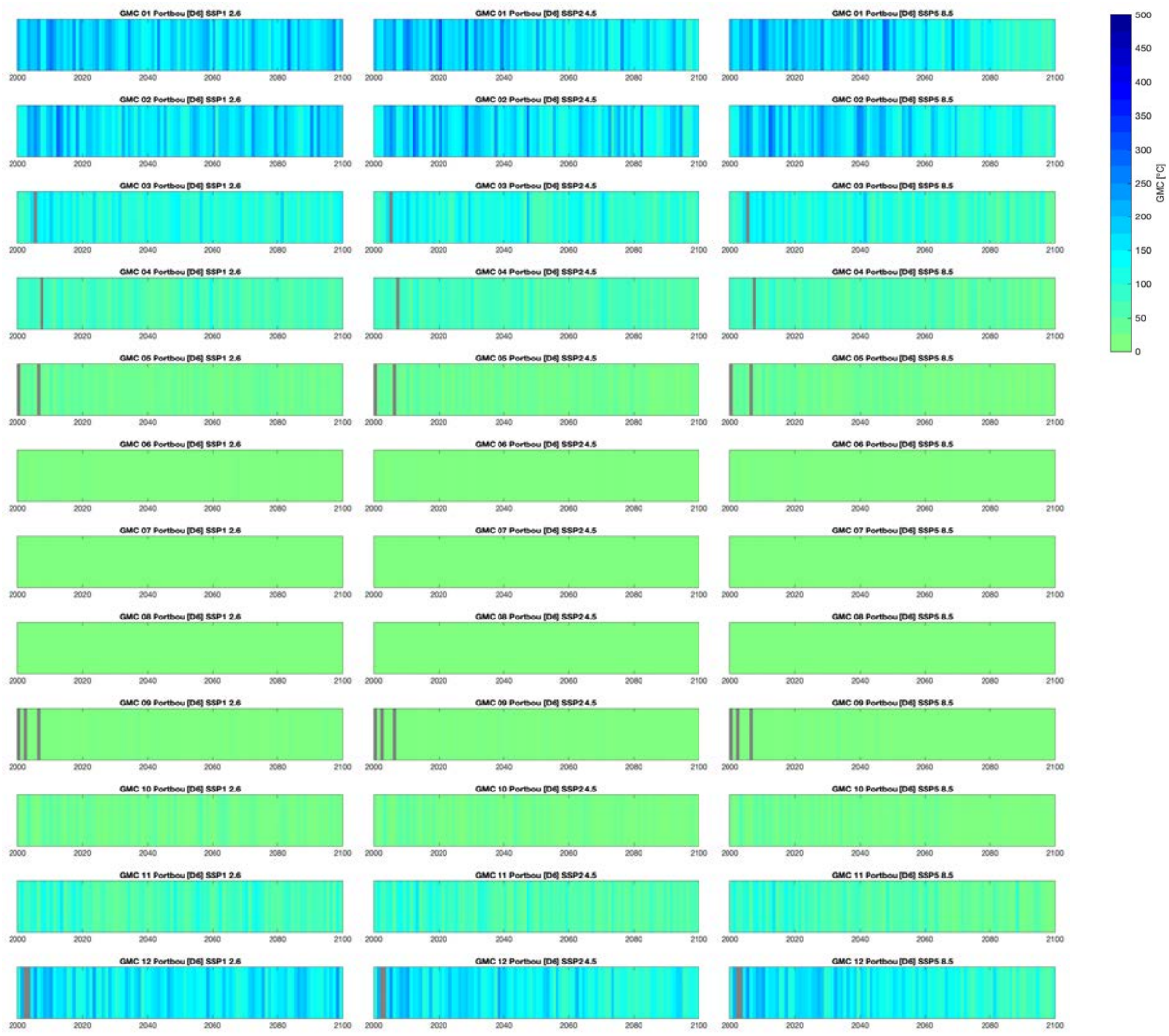

Figura B.89: Evolució dels graus-mes de calefacció (GMC) a l'estació D6- Portbou, per als diferents escenaris [SSP1 2.6, SSP2 4.5 i SSP5 8.5] per al model climàtic MPI-ESM1.

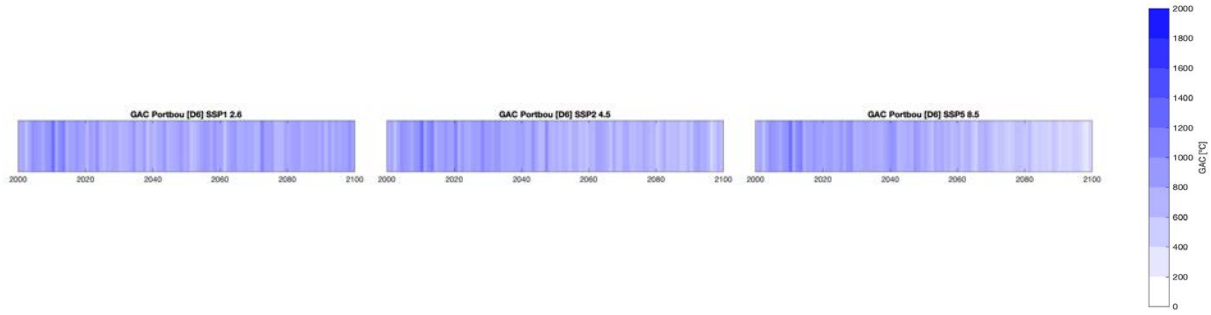

Figura B.90: Evolució dels graus-any de calefacció (GAC) a l'estació D6- Portbou, per als diferents escenaris [SSP1 2.6, SSP2 4.5 i SSP5 8.5] per al model climàtic MPI-ESM1.

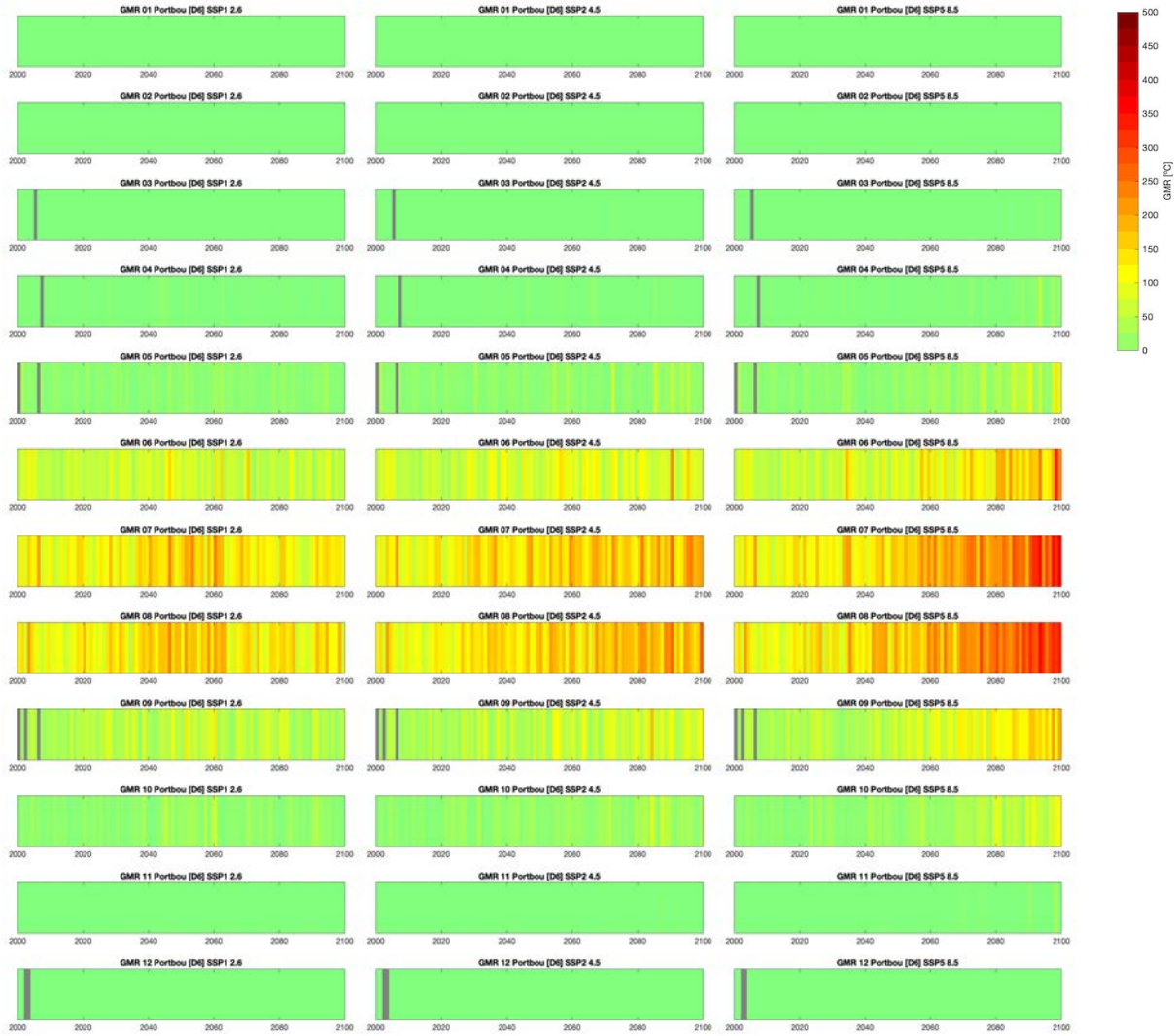

Figura B.91: Evolució dels graus-mes de refrigeració (GMR a l'estació D6- Portbou, per als diferents escenaris [SSP1 2.6, SSP2 4.5 i SSP5 8.5] per al model climàtic MPI-ESM1.

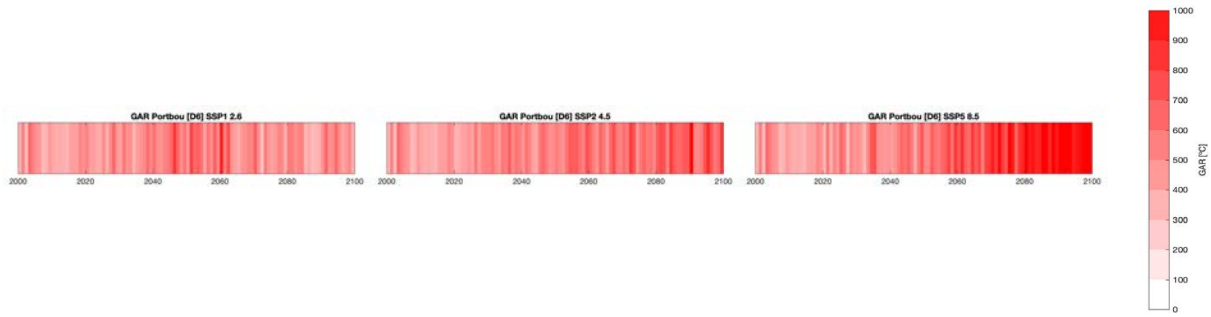

Figura B.92: Evolució dels graus-any de refrigeració (GAR a l'estació D6- Portbou, per als diferents escenaris [SSP1 2.6, SSP2 4.5 i SSP5 8.5] per al model climàtic MPI-ESM1.

B.1.25 D7 - Vinebre

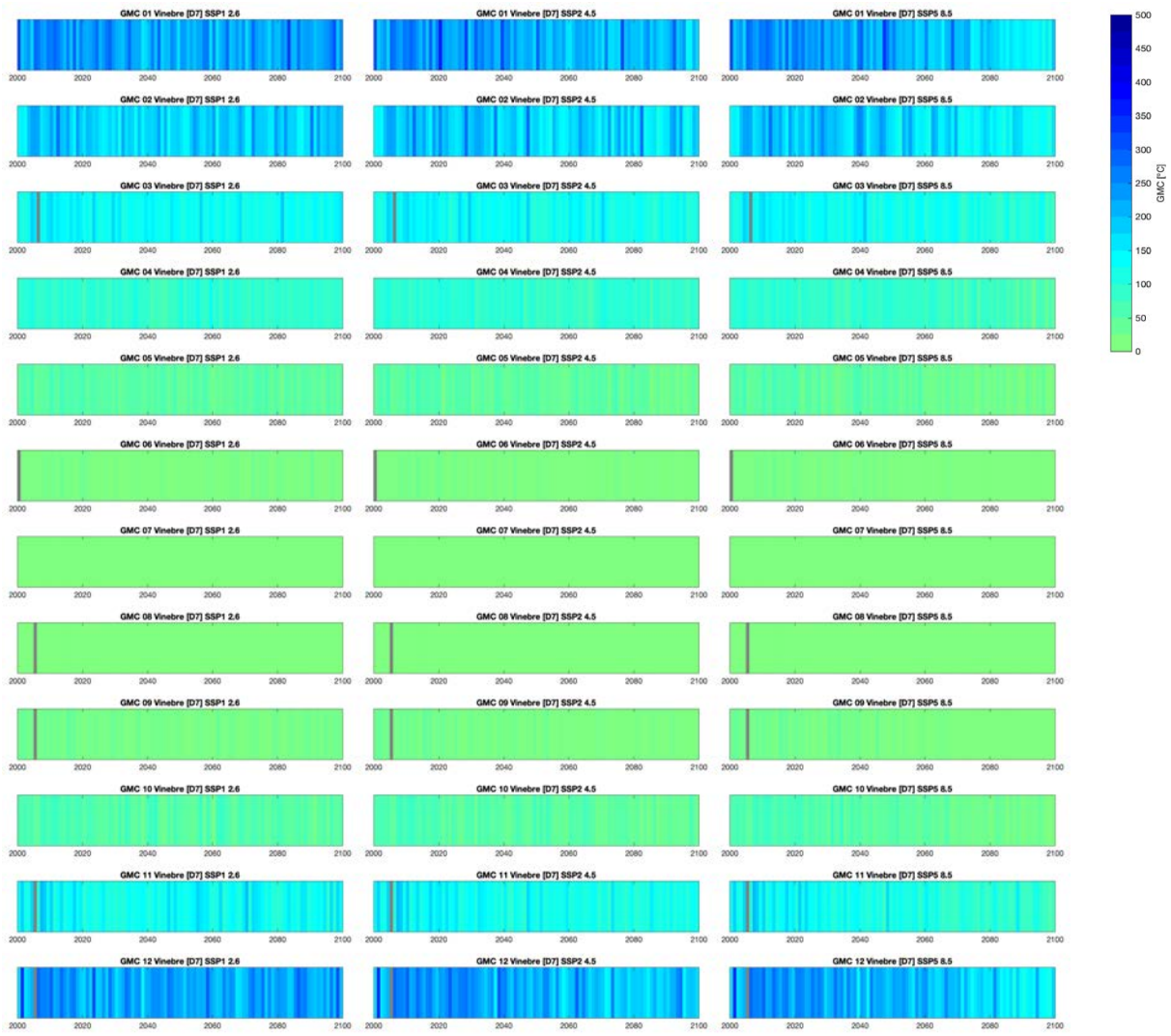

Figura B.93: Evolució dels graus-mes de calefacció (GMC) a l'estació D7- Vinebre, per als diferents escenaris [SSP1 2.6, SSP2 4.5 i SSP5 8.5] per al model climàtic MPI-ESM1.

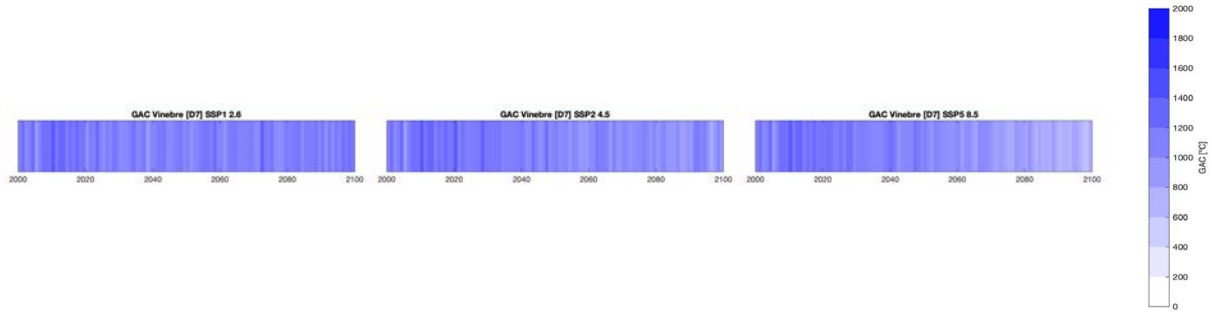

Figura B.94: Evolució dels graus-any de calefacció (GAC) a l'estació D7- Vinebre, per als diferents escenaris [SSP1 2.6, SSP2 4.5 i SSP5 8.5] per al model climàtic MPI-ESM1.

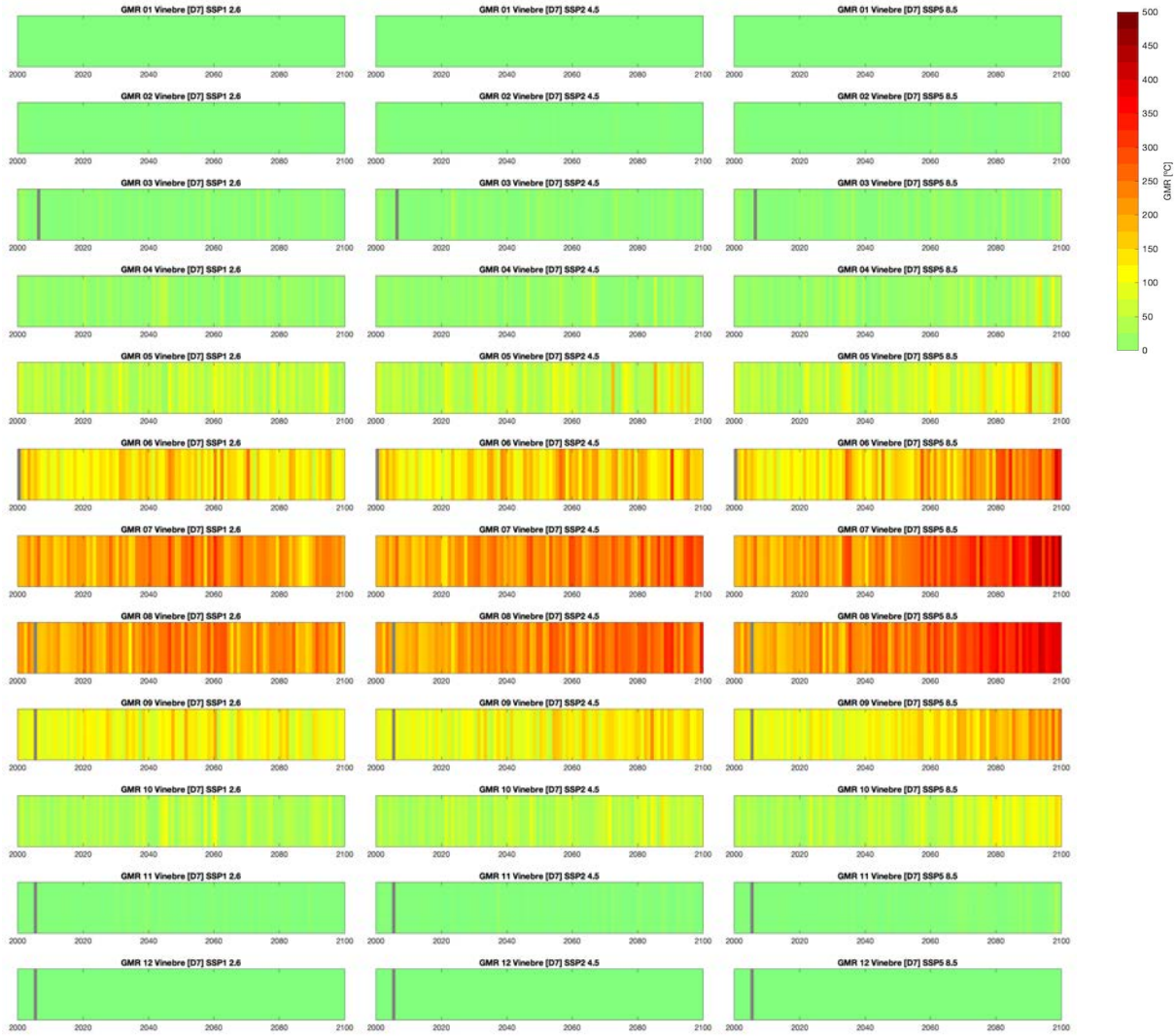

Figura B.95: Evolució dels graus-mes de refrigeració (GMR a l'estació D7- Vinebre, per als diferents escenaris [SSP1 2.6, SSP2 4.5 i SSP5 8.5] per al model climàtic MPI-ESM1.

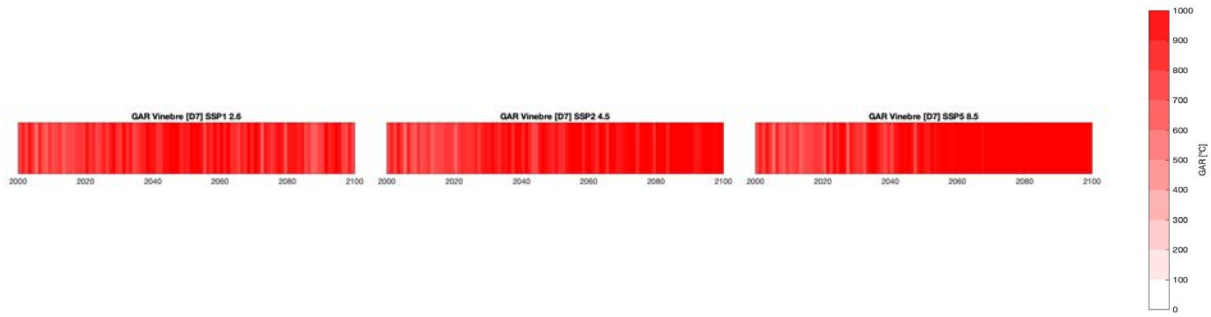

Figura B.96: Evolució dels graus-any de refrigeració (GAR a l'estació D7- Vinebre, per als diferents escenaris [SSP1 2.6, SSP2 4.5 i SSP5 8.5] per al model climàtic MPI-ESM1.

B.1.26 D8 - Horta de Sant Joan

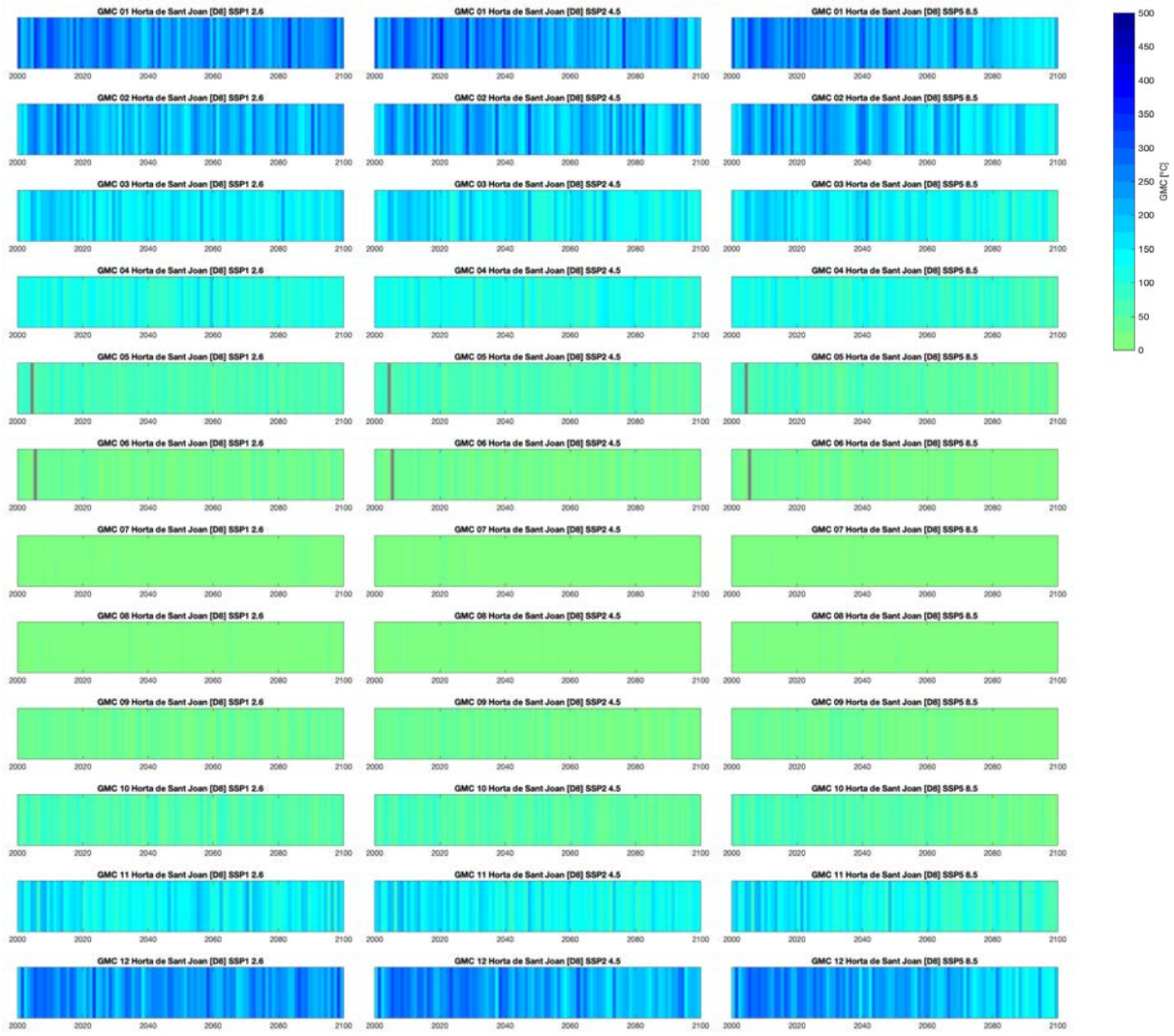

Figura B.97: Evolució dels graus-mes de calefacció (GMC) a l'estació D8- Horta de Sant Joan, per als diferents escenaris [SSP1 2.6, SSP2 4.5 i SSP5 8.5] per al model climàtic MPI-ESM1.

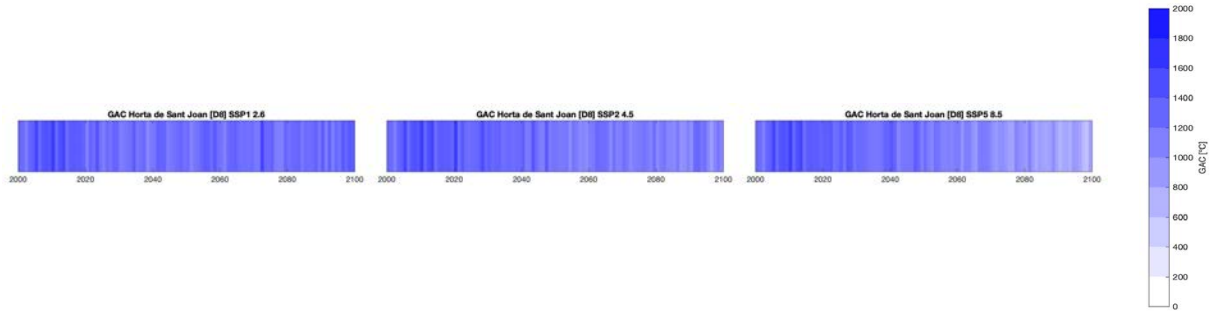

Figura B.98: Evolució dels graus-any de calefacció (GAC) a l'estació D8- Horta de Sant Joan, per als diferents escenaris [SSP1 2.6, SSP2 4.5 i SSP5 8.5] per al model climàtic MPI-ESM1.

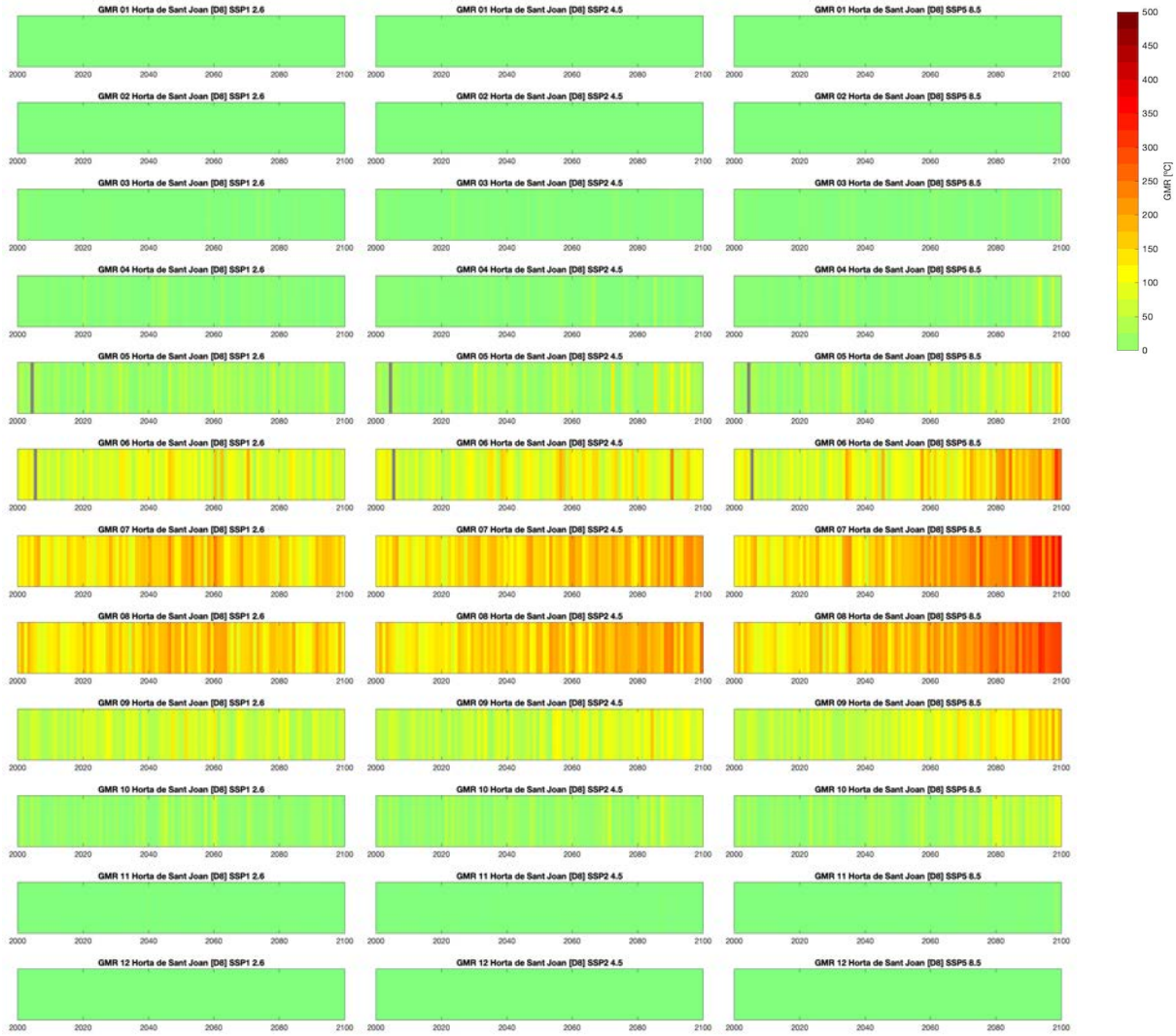

Figura B.99: Evolució dels graus-mes de refrigeració (GMR a l'estació D8- Horta de Sant Joan, per als diferents escenaris [SSP1 2.6, SSP2 4.5 i SSP5 8.5] per al model climàtic MPI-ESM1.

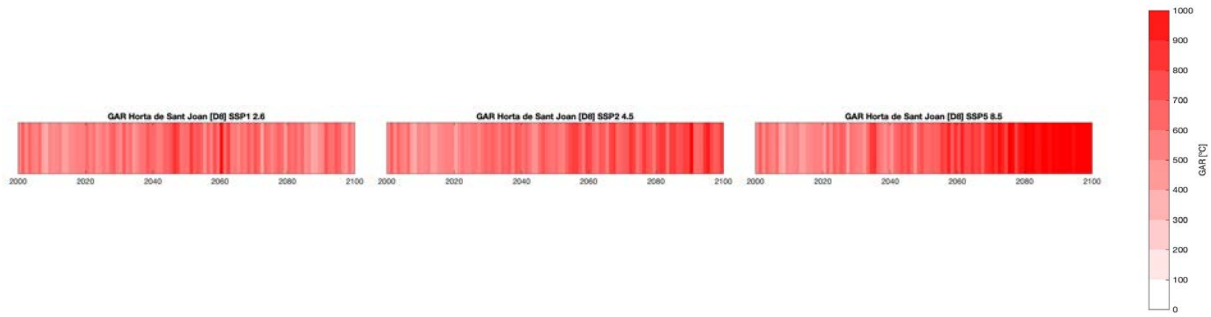

Figura B.100: Evolució dels graus-any de refrigeració (GAR a l'estació D8- Horta de Sant Joan, per als diferents escenaris [SSP1 2.6, SSP2 4.5 i SSP5 8.5] per al model climàtic MPI-ESM1.

B.1.27 D9 - El Vendrell

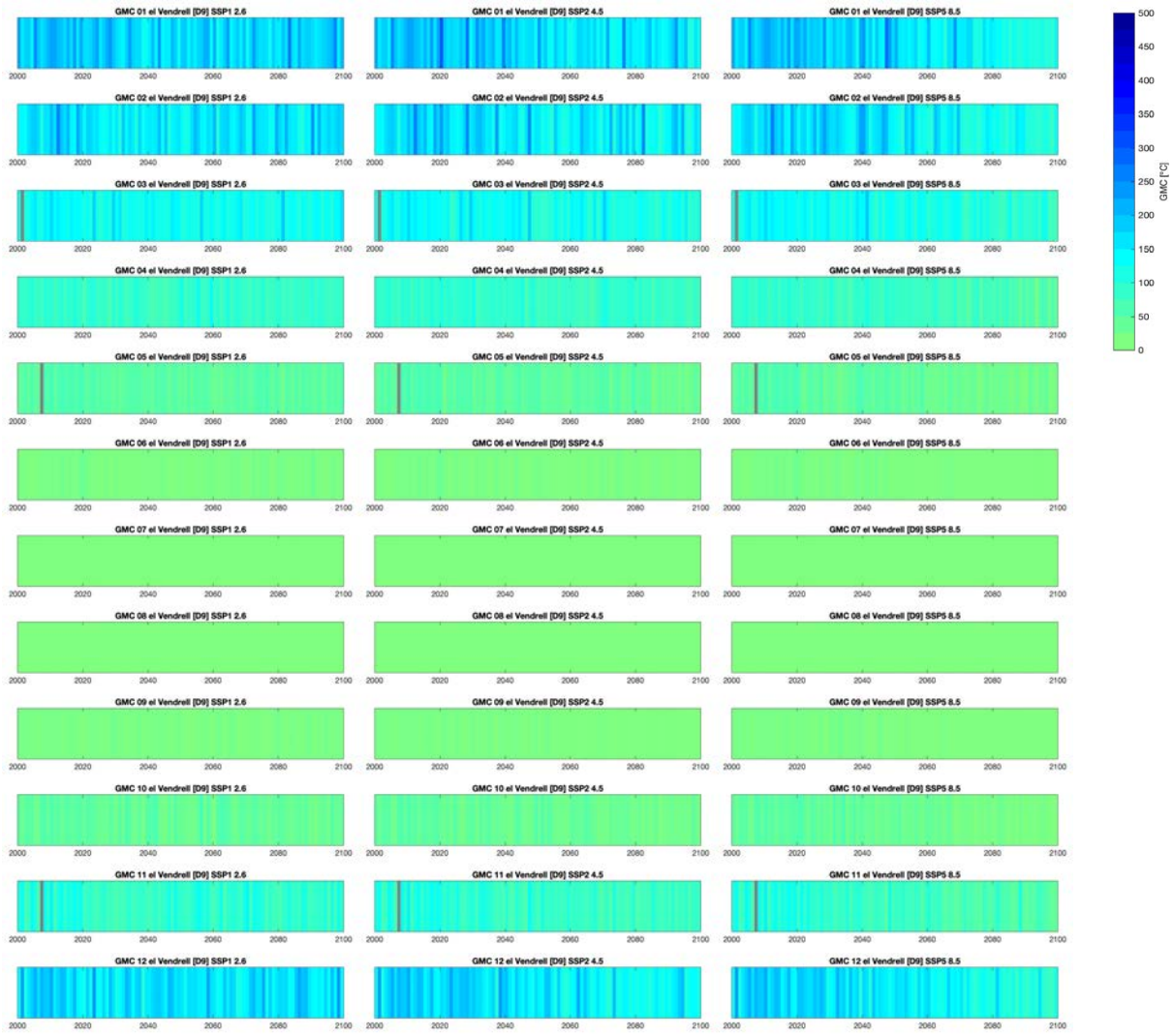

Figura B.101: Evolució dels graus-mes de calefacció (GMC) a l'estació D9- El Vendrell, per als diferents escenaris [SSP1 2.6, SSP2 4.5 i SSP5 8.5] per al model climàtic MPI-ESM1.

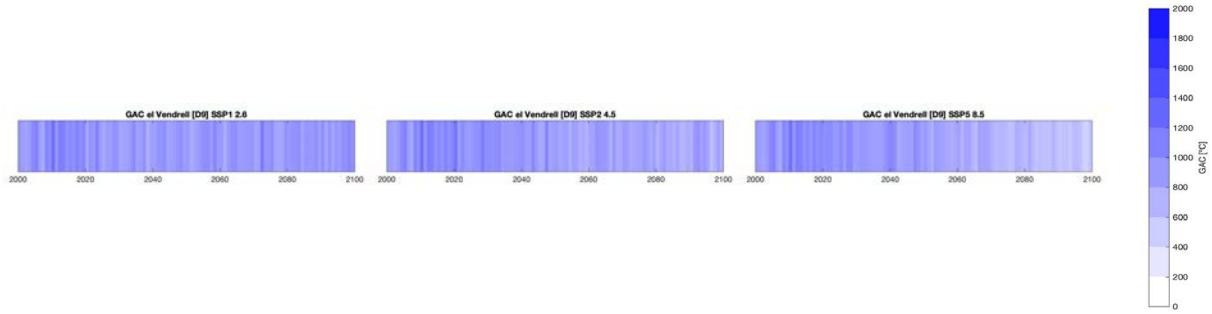

Figura B.102: Evolució dels graus-any de calefacció (GAC) a l'estació D9- El Vendrell, per als diferents escenaris [SSP1 2.6, SSP2 4.5 i SSP5 8.5] per al model climàtic MPI-ESM1.

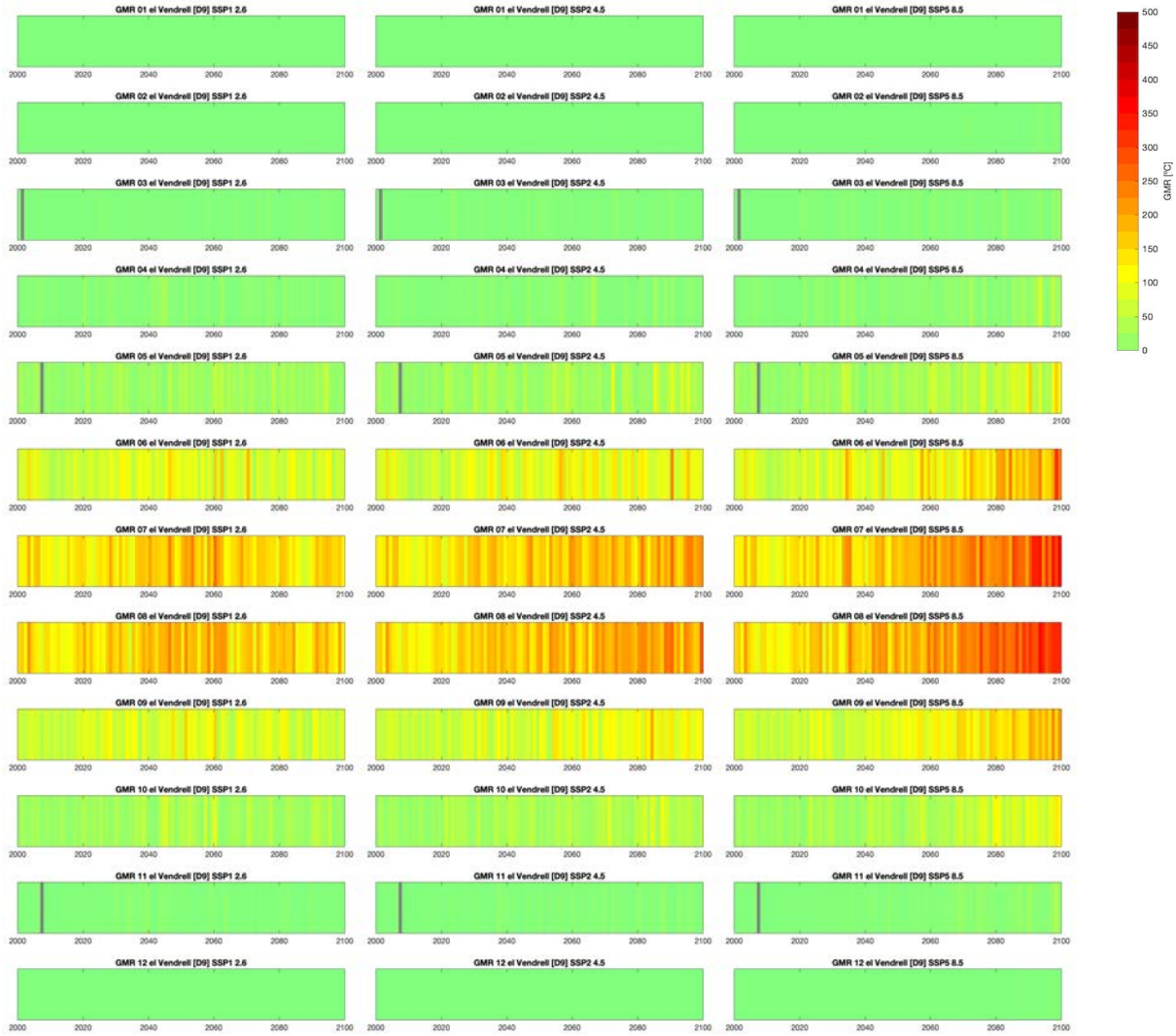

Figura B.103: Evolució dels graus-mes de refrigeració (GMR a l'estació D9- El Vendrell, per als diferents escenaris [SSP1 2.6, SSP2 4.5 i SSP5 8.5] per al model climàtic MPI-ESM1.

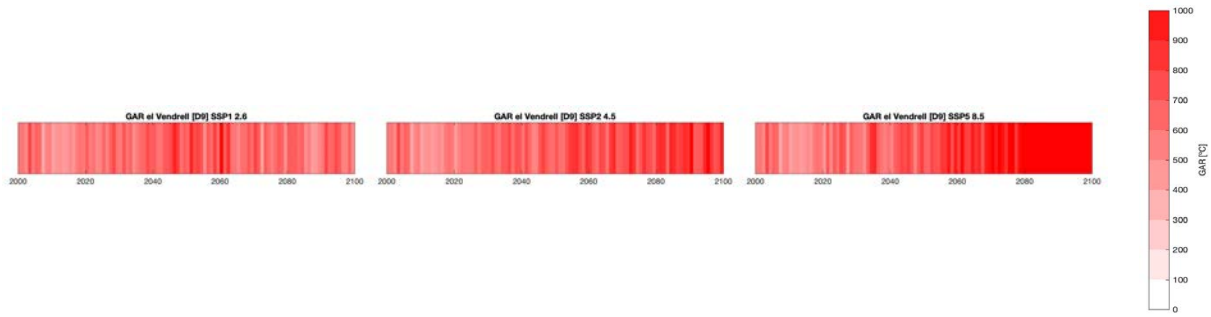

Figura B.104: Evolució dels graus-any de refrigeració (GAR a l'estació D9- El Vendrell, per als diferents escenaris [SSP1 2.6, SSP2 4.5 i SSP5 8.5] per al model climàtic MPI-ESM1.

B.1.28 DB - El Perelló

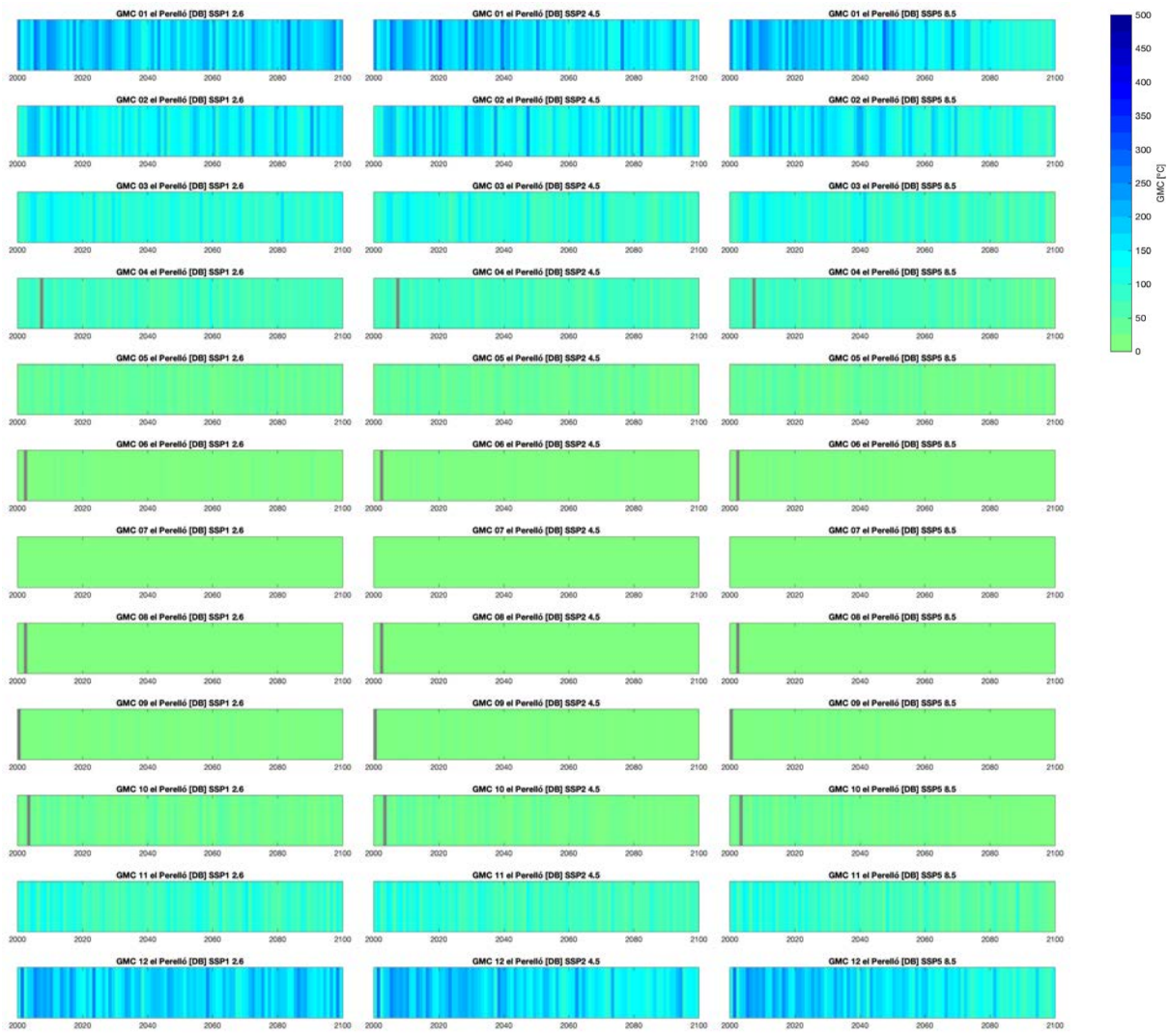

Figura B.105: Evolució dels graus-mes de calefacció (GMC) a l'estació DB- El Perelló, per als diferents escenaris [SSP1 2.6, SSP2 4.5 i SSP5 8.5] per al model climàtic MPI-ESM1.

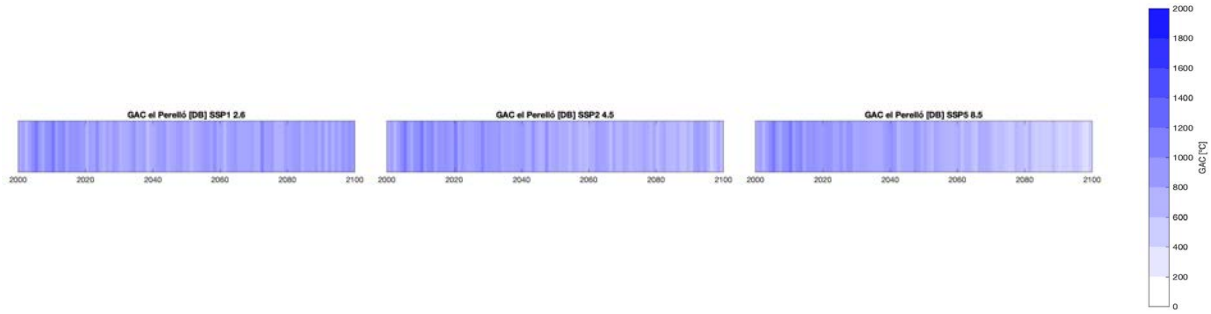

Figura B.106: Evolució dels graus-any de calefacció (GAC) a l'estació DB- El Perelló, per als diferents escenaris [SSP1 2.6, SSP2 4.5 i SSP5 8.5] per al model climàtic MPI-ESM1.

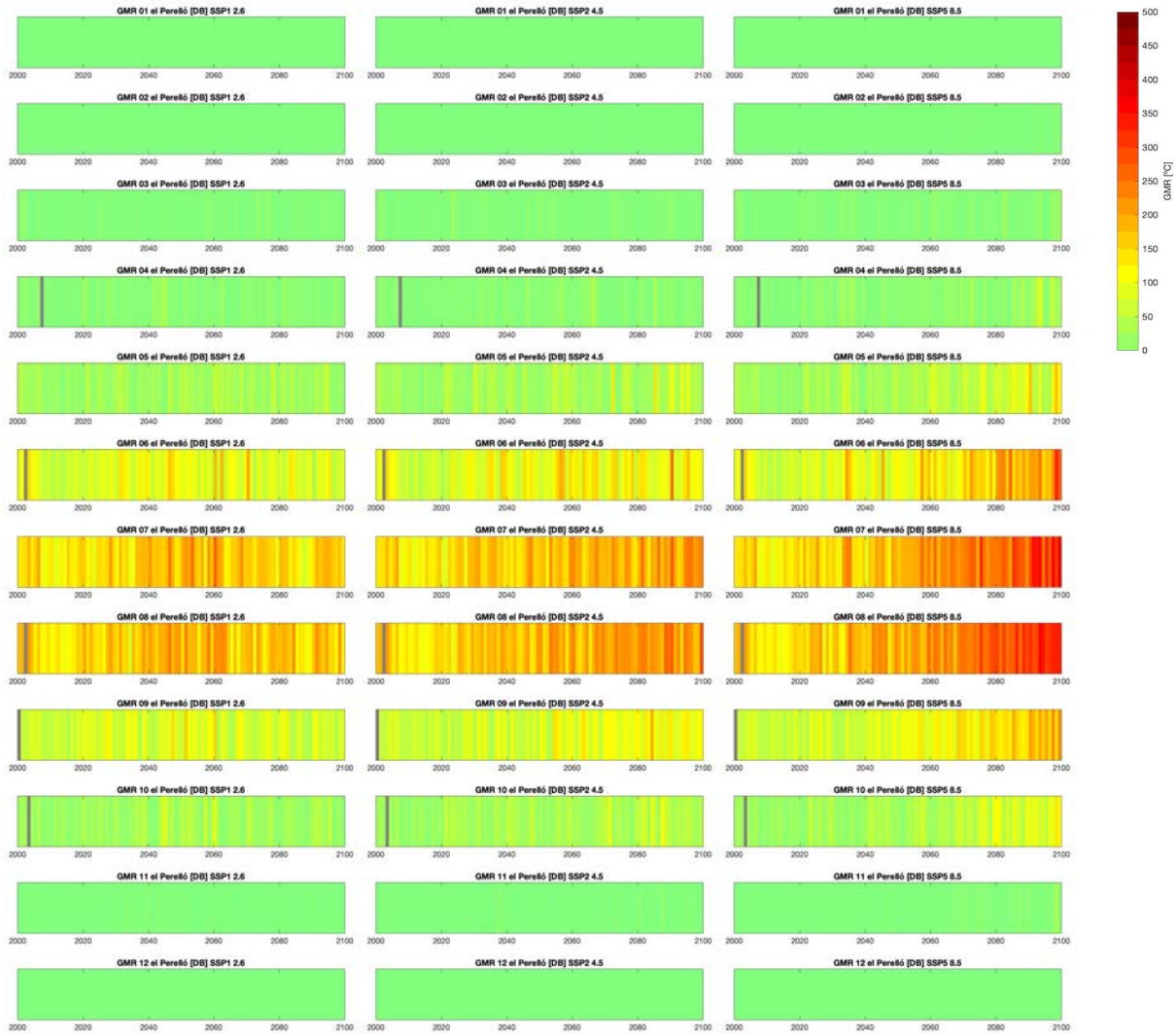

Figura B.107: Evolució dels graus-mes de refrigeració (GMR a l'estació DB- El Perelló, per als diferents escenaris [SSP1 2.6, SSP2 4.5 i SSP5 8.5] per al model climàtic MPI-ESM1.

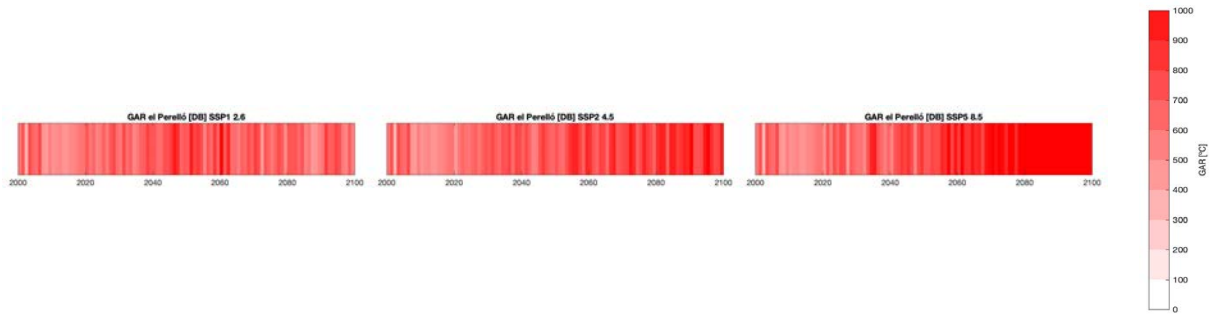

Figura B.108: Evolució dels graus-any de refrigeració (GAR a l'estació DB- El Perelló, per als diferents escenaris [SSP1 2.6, SSP2 4.5 i SSP5 8.5] per al model climàtic MPI-ESM1.

B.1.29 DF - La Bisbal d'Empordà

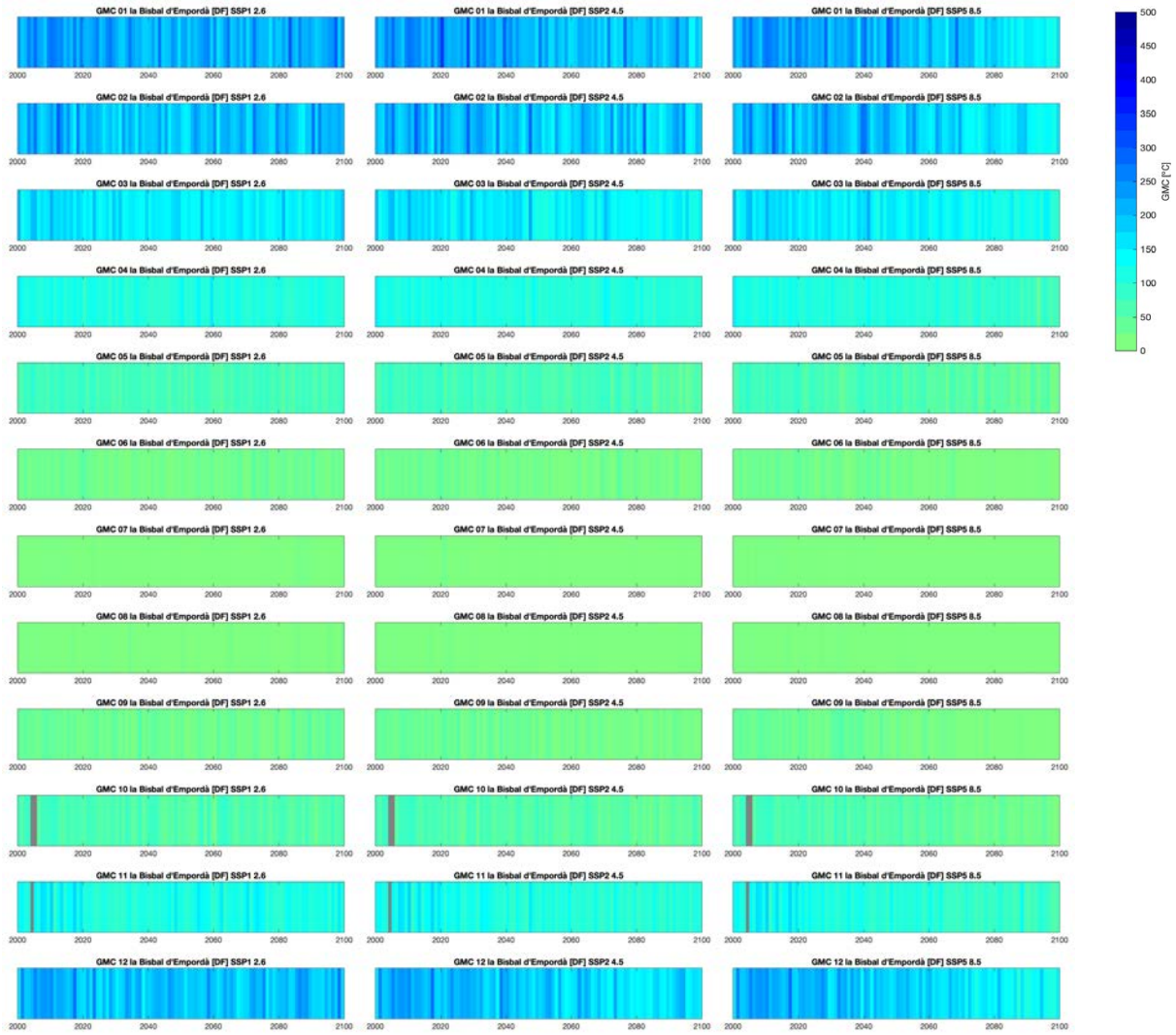

Figura B.109: Evolució dels graus-mes de calefacció (GMC) a l'estació DF- La Bisbal d'Empordà, per als diferents escenaris [SSP1 2.6, SSP2 4.5 i SSP5 8.5] per al model climàtic MPI-ESM1.

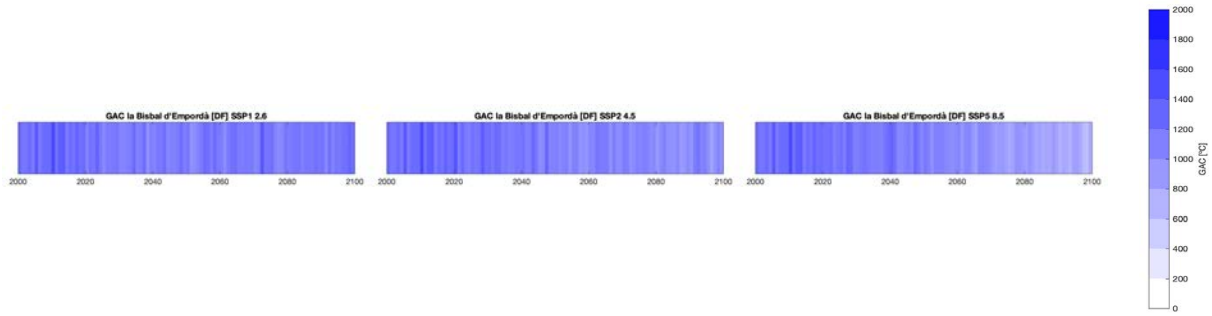

Figura B.110: Evolució dels graus-any de calefacció (GAC) a l'estació DF- La Bisbal d'Empordà, per als diferents escenaris [SSP1 2.6, SSP2 4.5 i SSP5 8.5] per al model climàtic MPI-ESM1.

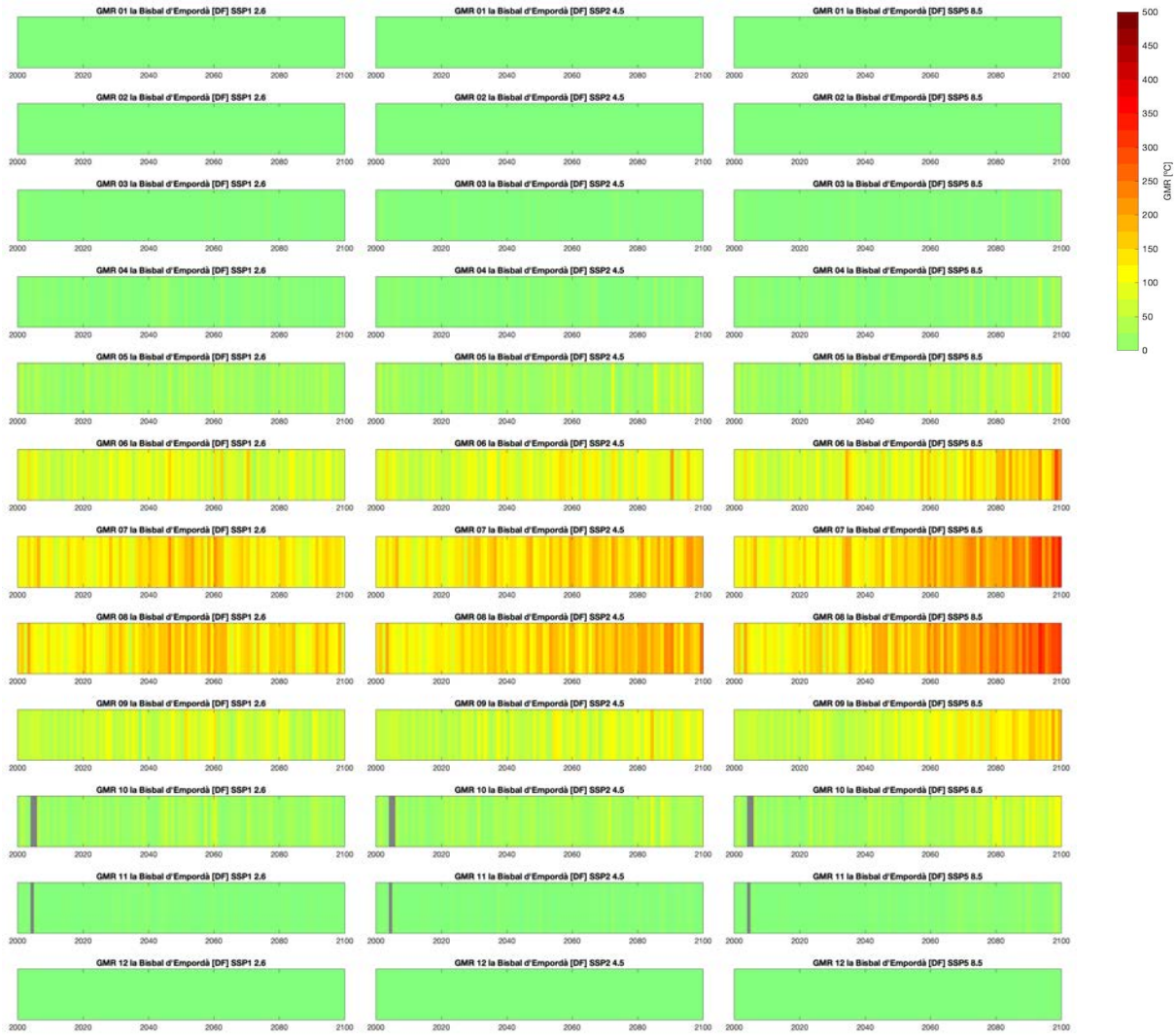

Figura B.111: Evolució dels graus-mes de refrigeració (GMR a l'estació DF- La Bisbal d'Empordà, per als diferents escenaris [SSP1 2.6, SSP2 4.5 i SSP5 8.5] per al model climàtic MPI-ESM1.

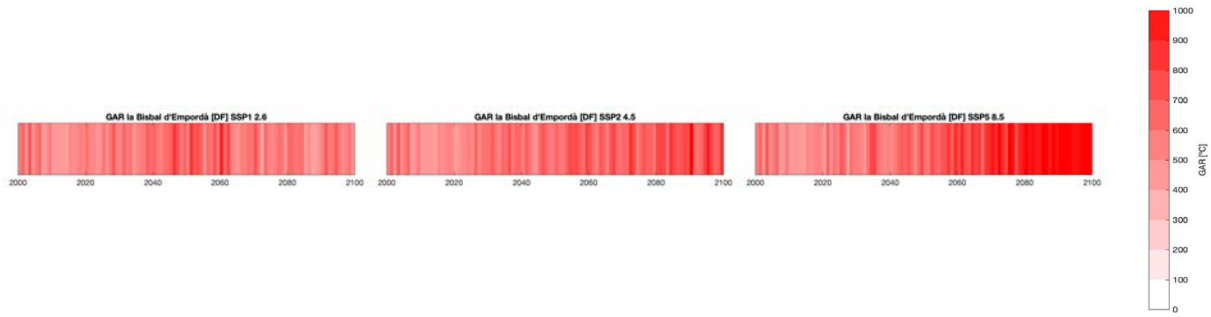

Figura B.112: Evolució dels graus-any de refrigeració (GAR a l'estació DF- La Bisbal d'Empordà, per als diferents escenaris [SSP1 2.6, SSP2 4.5 i SSP5 8.5] per al model climàtic MPI-ESM1.

B.1.30 DG - Núria (1.971 m)

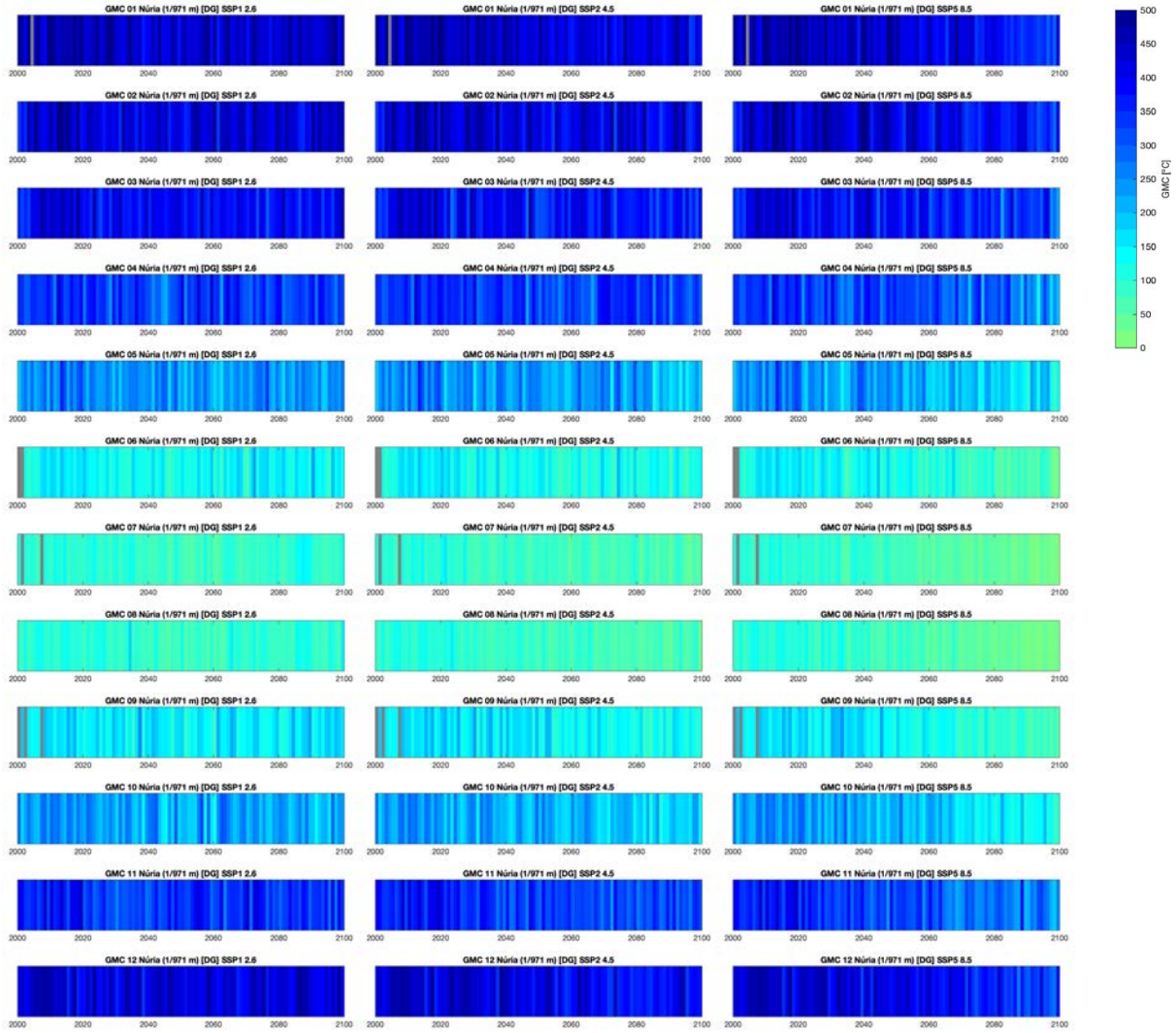

Figura B.113: Evolució dels graus-mes de calefacció (GMC) a l'estació DG- Núria (1.971 m), per als diferents escenaris [SSP1 2.6, SSP2 4.5 i SSP5 8.5] per al model climàtic MPI-ESM1.

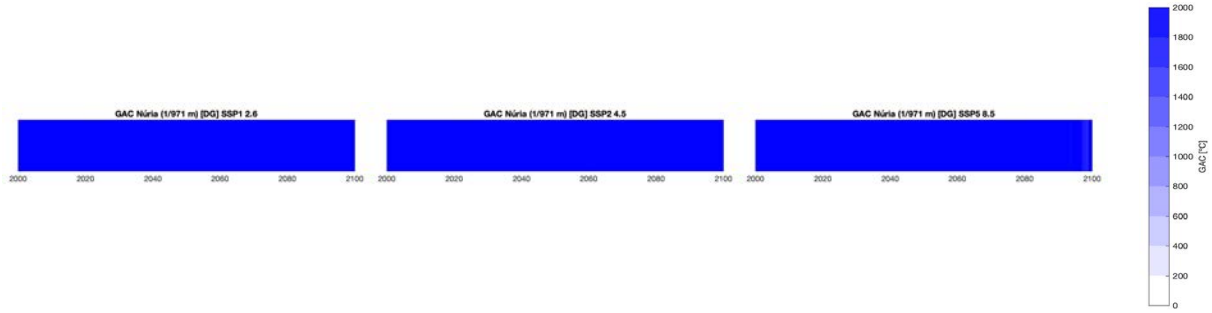

Figura B.114: Evolució dels graus-any de calefacció (GAC) a l'estació DG- Núria (1.971 m), per als diferents escenaris [SSP1 2.6, SSP2 4.5 i SSP5 8.5] per al model climàtic MPI-ESM1.

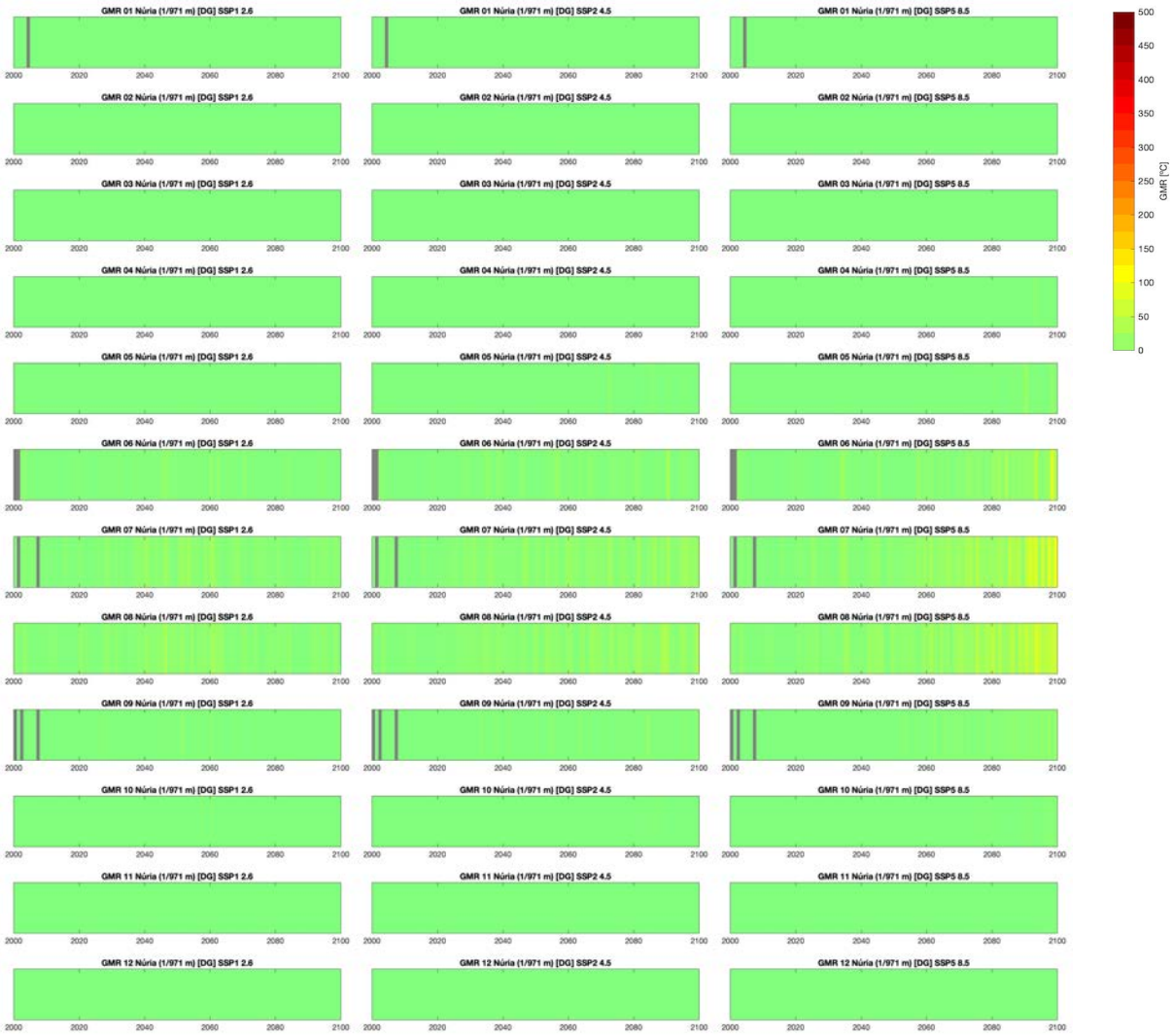

Figura B.115: Evolució dels graus-mes de refrigeració (GMR a l'estació DG- Núria (1.971 m), per als diferents escenaris [SSP1 2.6, SSP2 4.5 i SSP5 8.5] per al model climàtic MPI-ESM1.

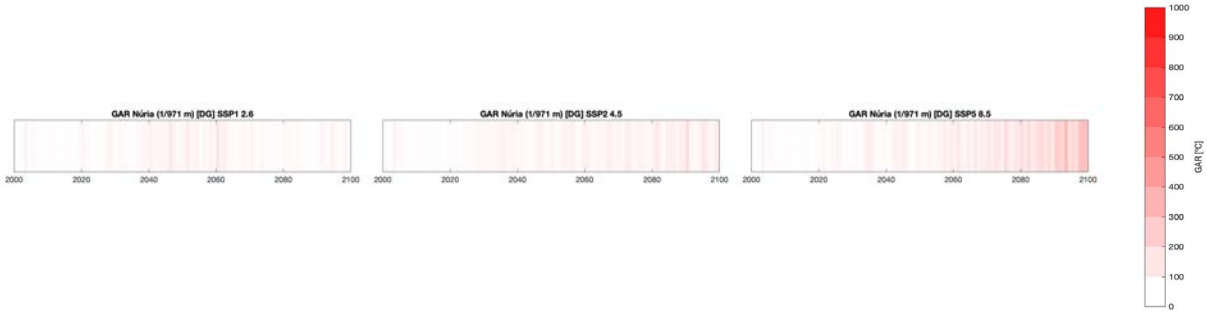

Figura B.116: Evolució dels graus-any de refrigeració (GAR a l'estació DG- Núria (1.971 m), per als diferents escenaris [SSP1 2.6, SSP2 4.5 i SSP5 8.5] per al model climàtic MPI-ESM1.

B.1.31 DI - Font-rubí

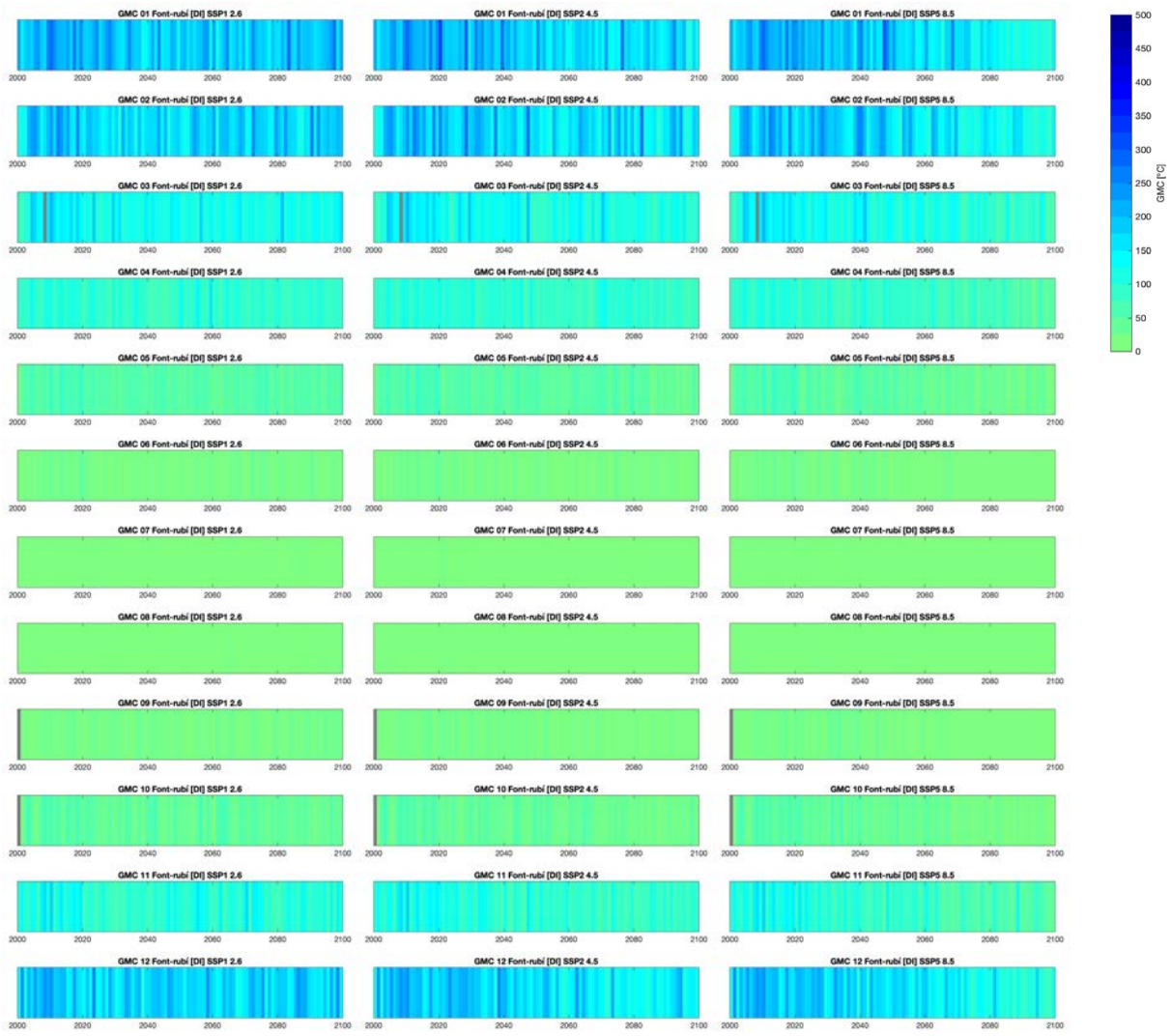

Figura B.117: Evolució dels graus-mes de calefacció (GMC) a l'estació DI- Font-rubí, per als diferents escenaris [SSP1 2.6, SSP2 4.5 i SSP5 8.5] per al model climàtic MPI-ESM1.

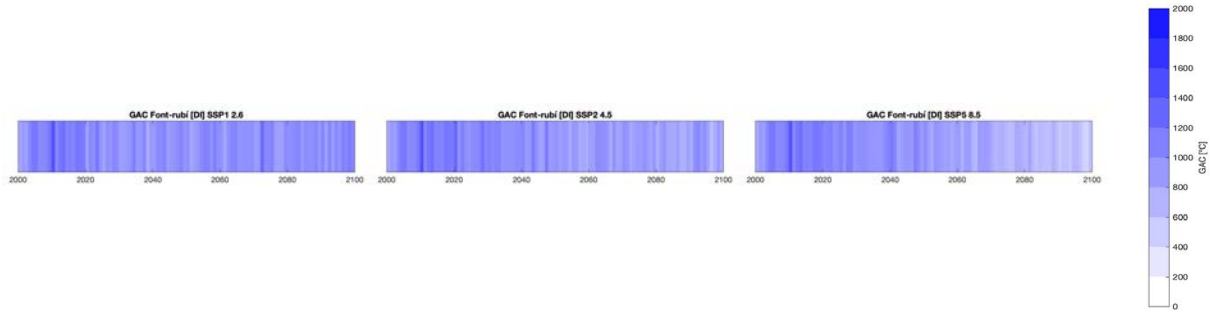

Figura B.118: Evolució dels graus-any de calefacció (GAC) a l'estació DI- Font-rubí, per als diferents escenaris [SSP1 2.6, SSP2 4.5 i SSP5 8.5] per al model climàtic MPI-ESM1.

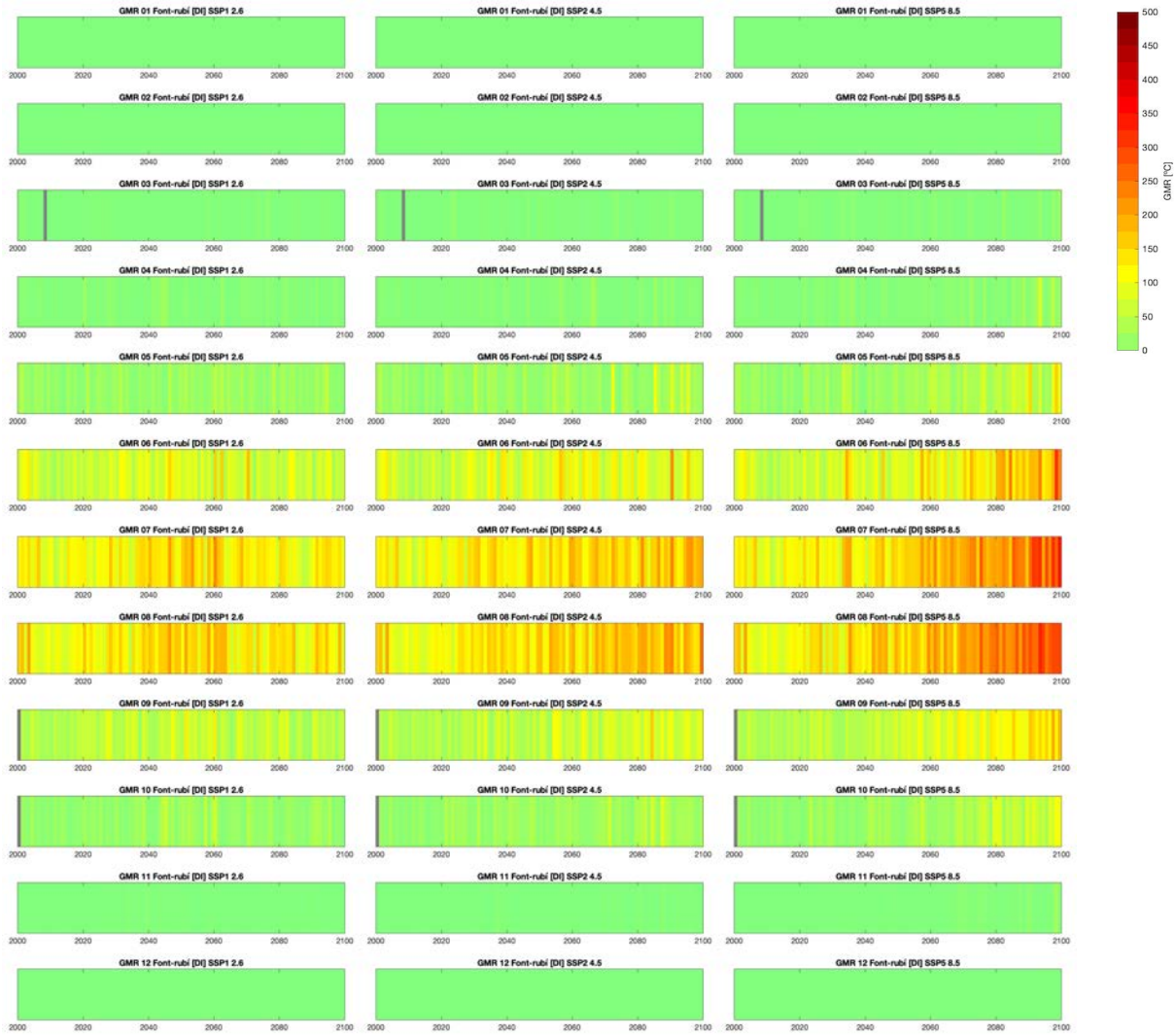

Figura B.119: Evolució dels graus-mes de refrigeració (GMR a l'estació DI- Font-rubí, per als diferents escenaris [SSP1 2.6, SSP2 4.5 i SSP5 8.5] per al model climàtic MPI-ESM1.

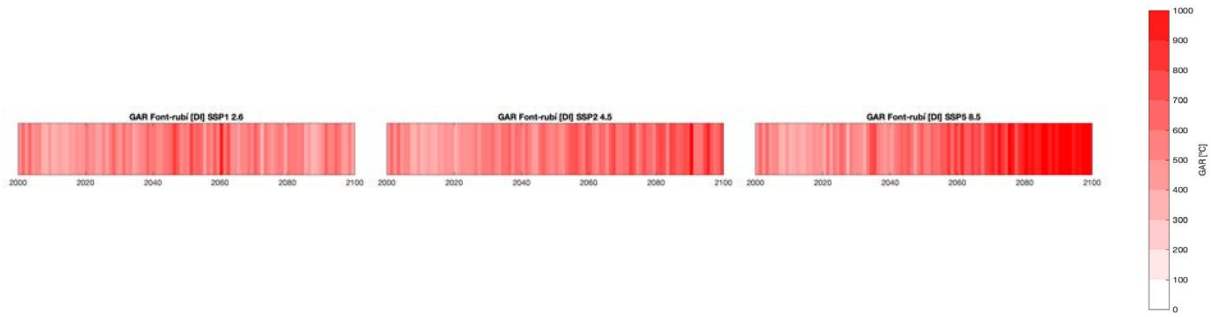

Figura B.120: Evolució dels graus-any de refrigeració (GAR a l'estació DI- Font-rubí, per als diferents escenaris [SSP1 2.6, SSP2 4.5 i SSP5 8.5] per al model climàtic MPI-ESM1.

B.1.32 DJ - Banyoles

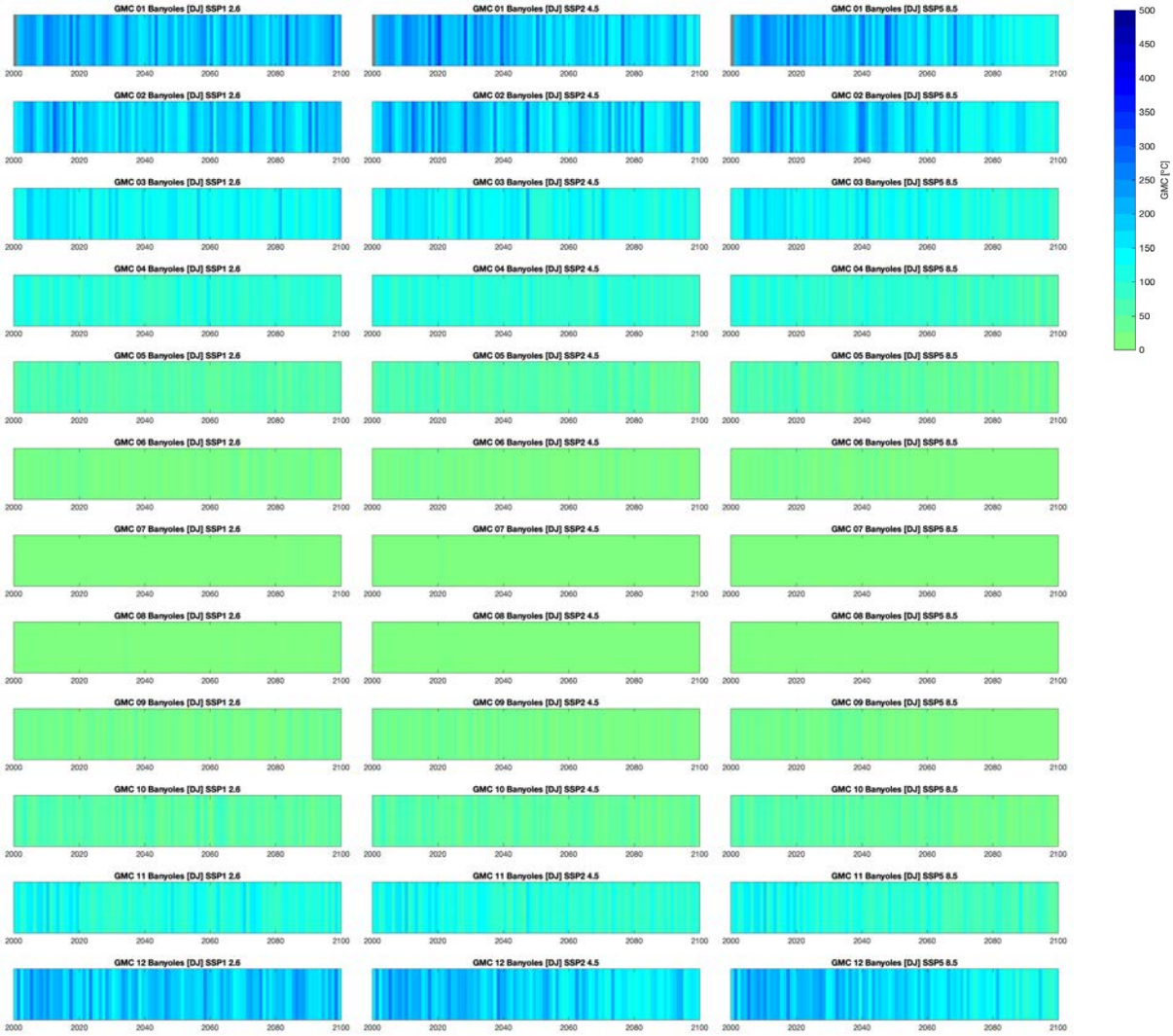

Figura B.121: Evolució dels graus-mes de calefacció (GMC) a l'estació DJ- Banyoles, per als diferents escenaris [SSP1 2.6, SSP2 4.5 i SSP5 8.5] per al model climàtic MPI-ESM1.

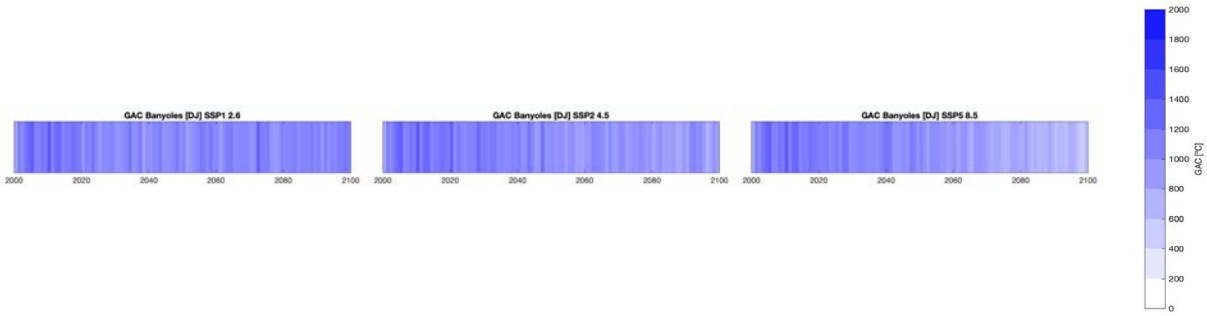

Figura B.122: Evolució dels graus-any de calefacció (GAC) a l'estació DJ- Banyoles, per als diferents escenaris [SSP1 2.6, SSP2 4.5 i SSP5 8.5] per al model climàtic MPI-ESM1.

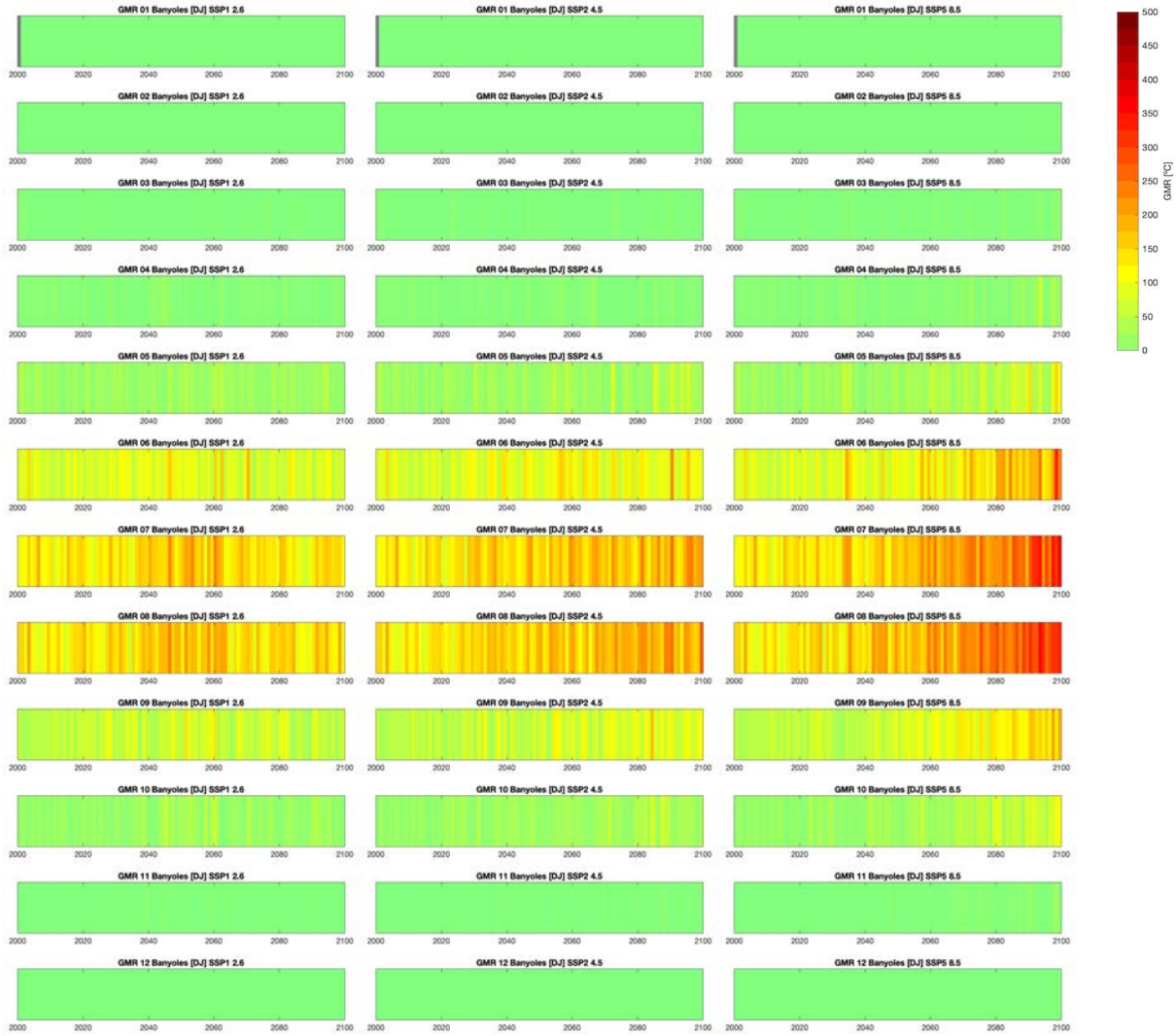

Figura B.123: Evolució dels graus-mes de refrigeració (GMR a l'estació DJ- Banyoles, per als diferents escenaris [SSP1 2.6, SSP2 4.5 i SSP5 8.5] per al model climàtic MPI-ESM1.

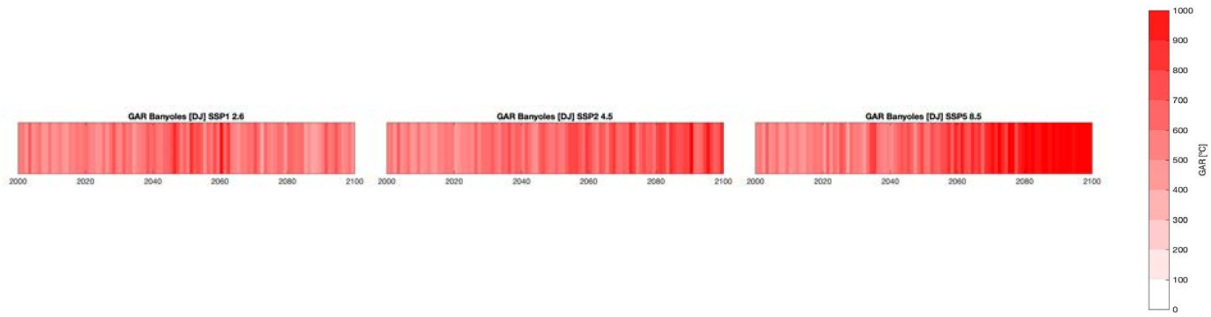

Figura B.124: Evolució dels graus-any de refrigeració (GAR a l'estació DJ- Banyoles, per als diferents escenaris [SSP1 2.6, SSP2 4.5 i SSP5 8.5] per al model climàtic MPI-ESM1.

B.1.33 DK - Torredembarra

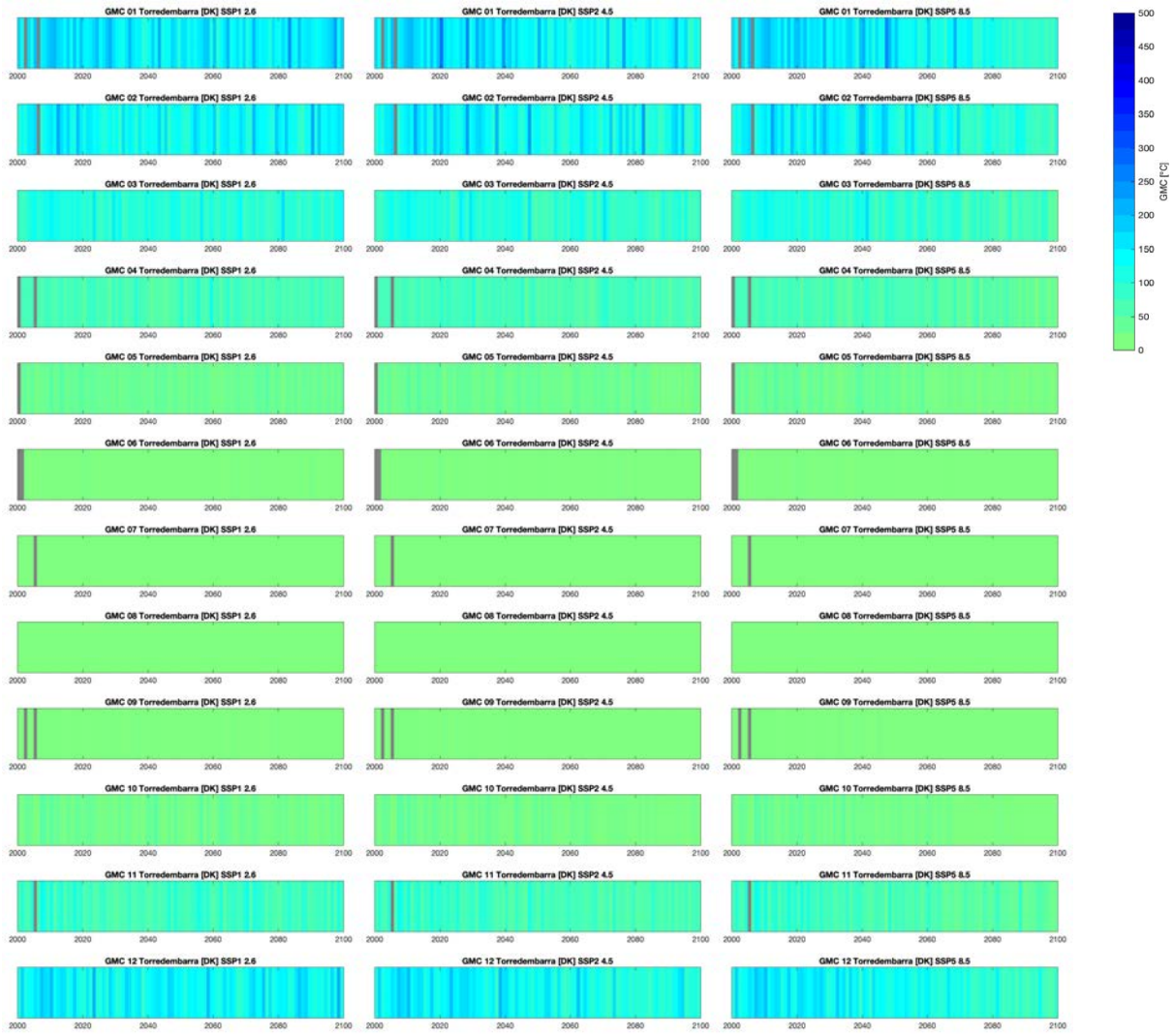

Figura B.125: Evolució dels graus-mes de calefacció (GMC) a l'estació DK- Torredembarra, per als diferents escenaris [SSP1 2.6, SSP2 4.5 i SSP5 8.5] per al model climàtic MPI-ESM1.

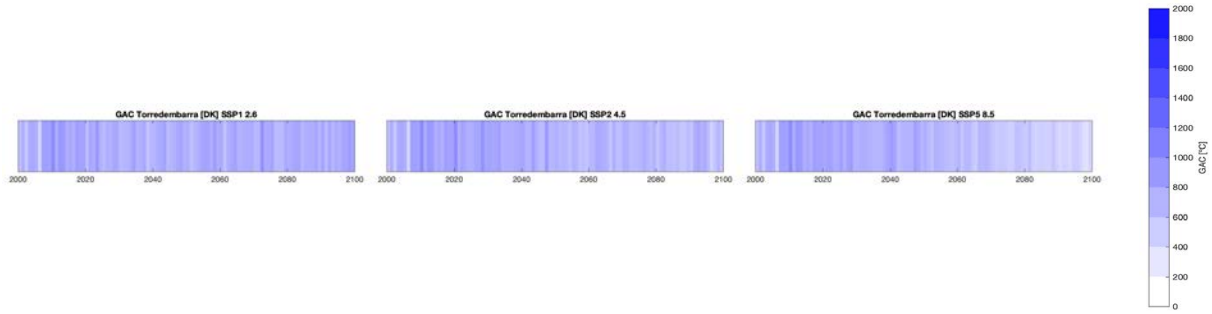

Figura B.126: Evolució dels graus-any de calefacció (GAC) a l'estació DK- Torredembarra, per als diferents escenaris [SSP1 2.6, SSP2 4.5 i SSP5 8.5] per al model climàtic MPI-ESM1.

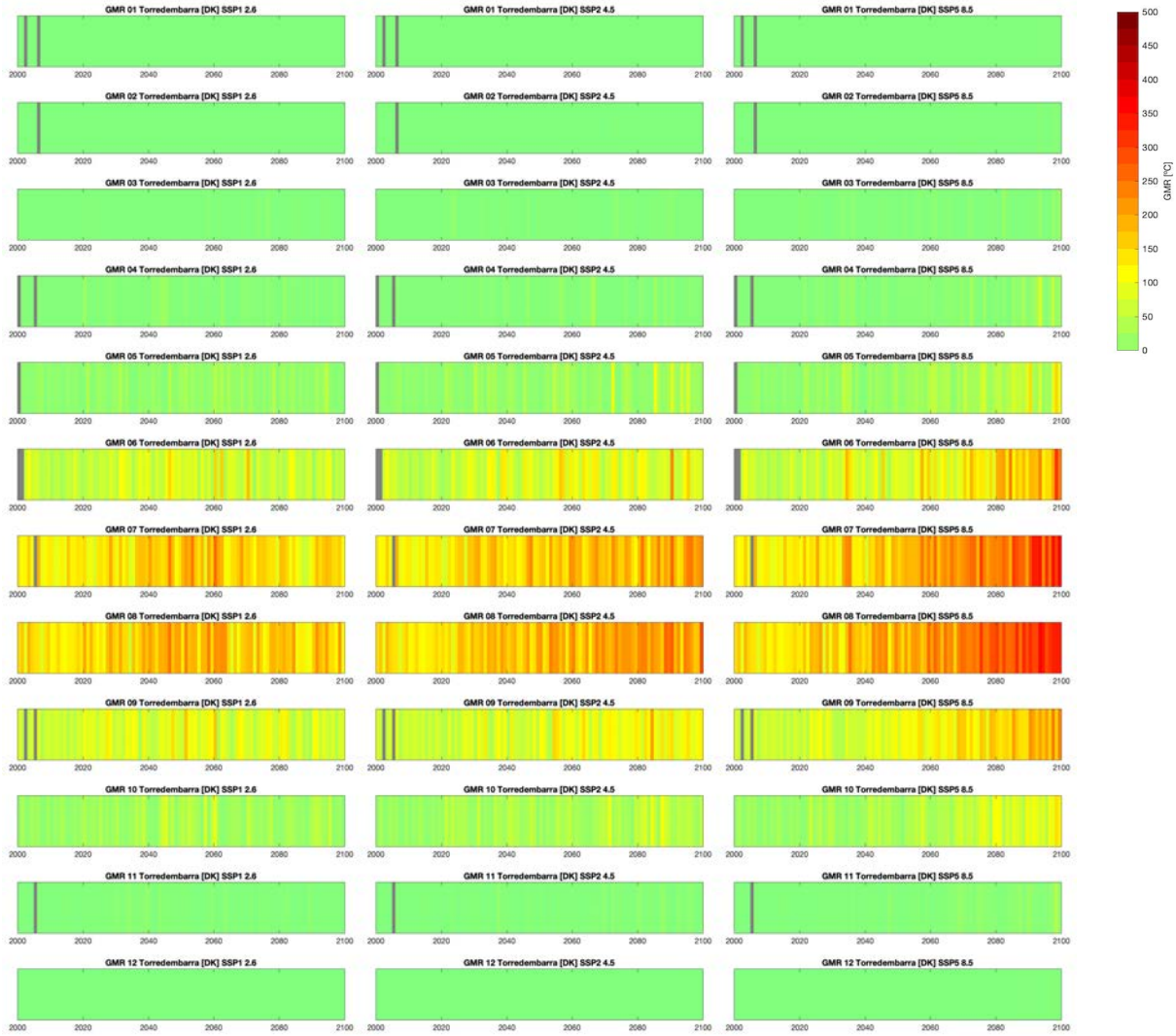

Figura B.127: Evolució dels graus-mes de refrigeració (GMR a l'estació DK- Torredembarra, per als diferents escenaris [SSP1 2.6, SSP2 4.5 i SSP5 8.5] per al model climàtic MPI-ESM1.

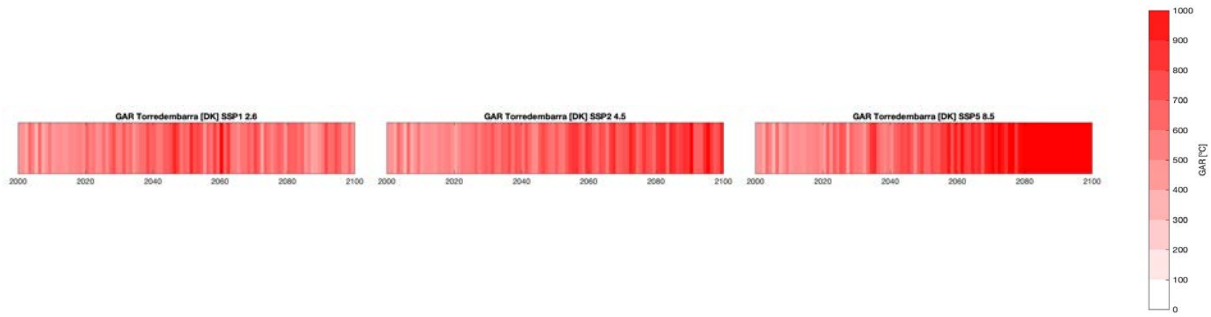

Figura B.128: Evolució dels graus-any de refrigeració (GAR a l'estació DK- Torredembarra, per als diferents escenaris [SSP1 2.6, SSP2 4.5 i SSP5 8.5] per al model climàtic MPI-ESM1.

B.1.34 DL - Illa de Buda

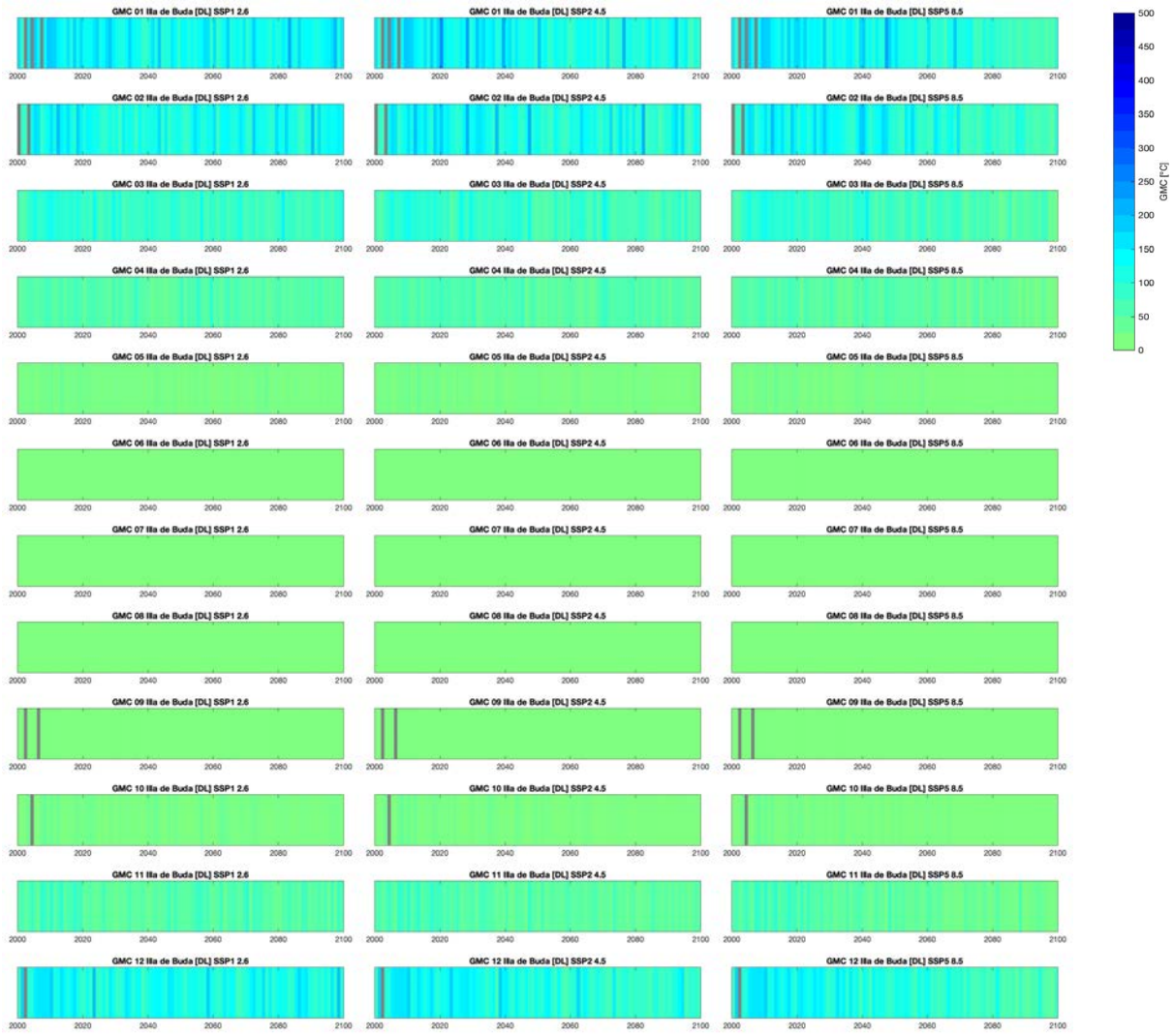

Figura B.129: Evolució dels graus-mes de calefacció (GMC) a l'estació DL- Illa de Buda, per als diferents escenaris [SSP1 2.6, SSP2 4.5 i SSP5 8.5] per al model climàtic MPI-ESM1.

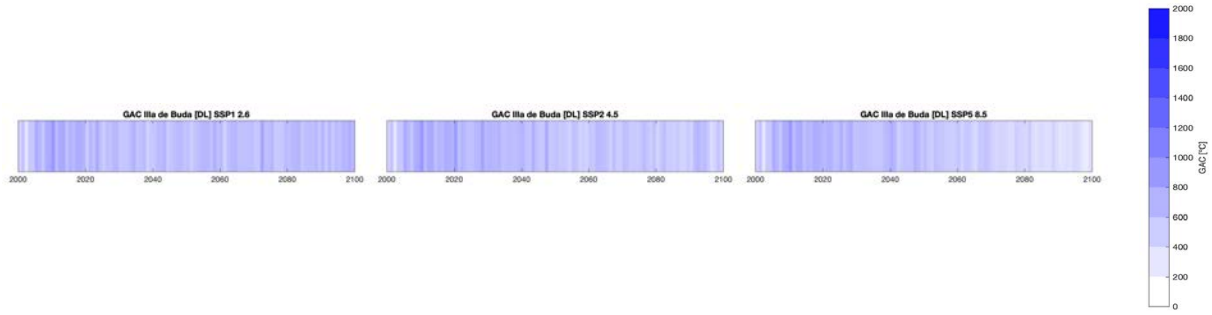

Figura B.130: Evolució dels graus-any de calefacció (GAC) a l'estació DL- Illa de Buda, per als diferents escenaris [SSP1 2.6, SSP2 4.5 i SSP5 8.5] per al model climàtic MPI-ESM1.

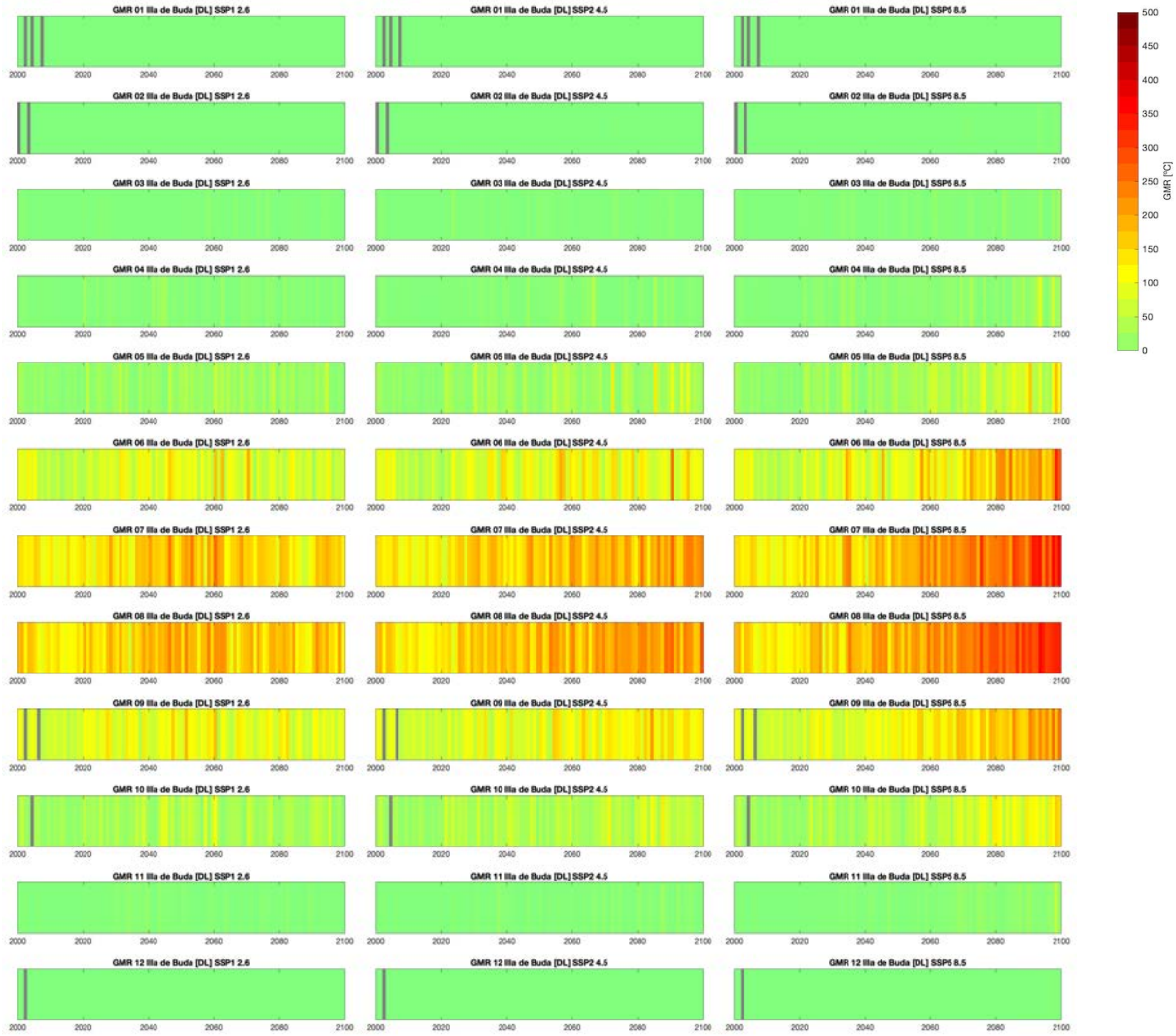

Figura B.131: Evolució dels graus-mes de refrigeració (GMR a l'estació DL- Illa de Buda, per als diferents escenaris [SSP1 2.6, SSP2 4.5 i SSP5 8.5] per al model climàtic MPI-ESM1.

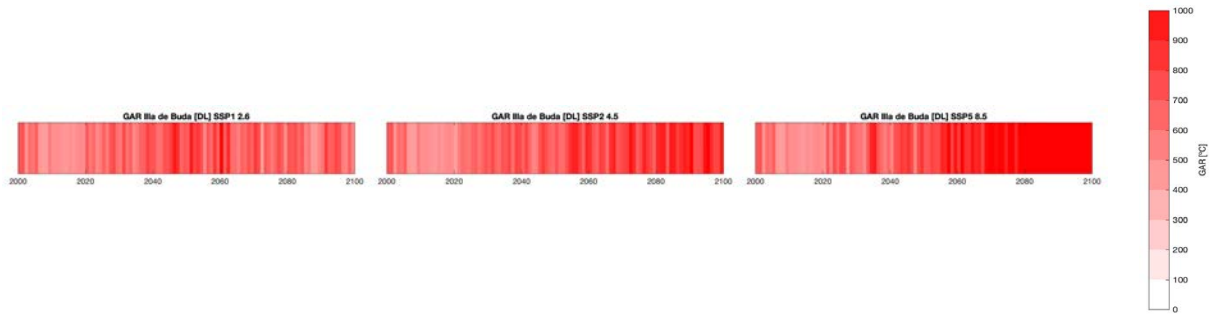

Figura B.132: Evolució dels graus-any de refrigeració (GAR a l'estació DL- Illa de Buda, per als diferents escenaris [SSP1 2.6, SSP2 4.5 i SSP5 8.5] per al model climàtic MPI-ESM1.

B.1.35 R1 - El Pont de Vilomara

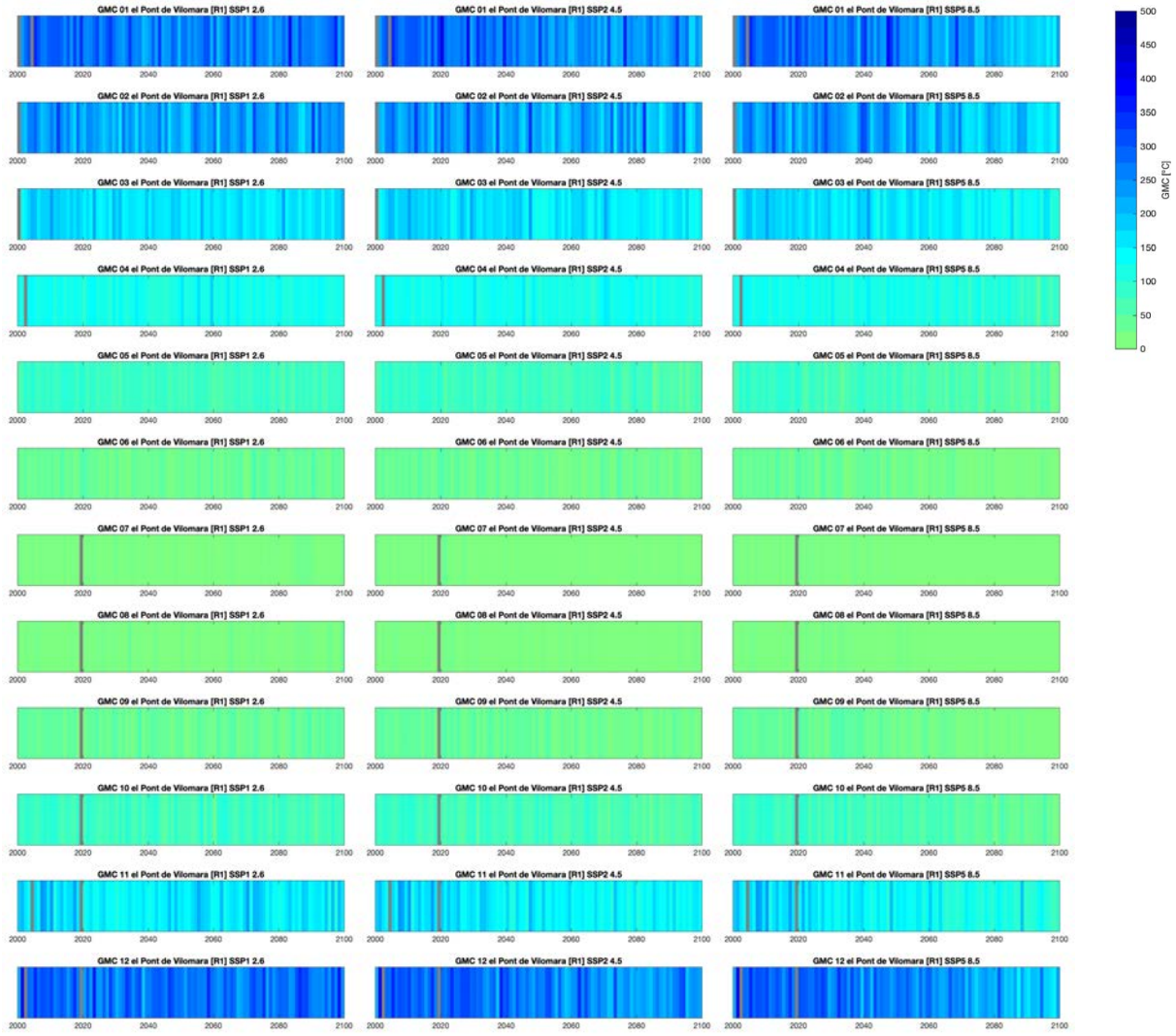

Figura B.133: Evolució dels graus-mes de calefacció (GMC) a l'estació R1- El Pont de Vilomara, per als diferents escenaris [SSP1 2.6, SSP2 4.5 i SSP5 8.5] per al model climàtic MPI-ESM1.

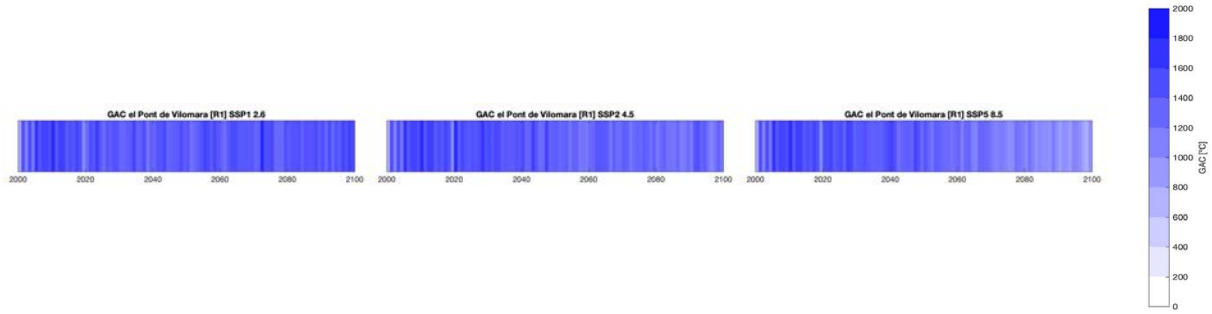

Figura B.134: Evolució dels graus-any de calefacció (GAC) a l'estació R1- El Pont de Vilomara, per als diferents escenaris [SSP1 2.6, SSP2 4.5 i SSP5 8.5] per al model climàtic MPI-ESM1.

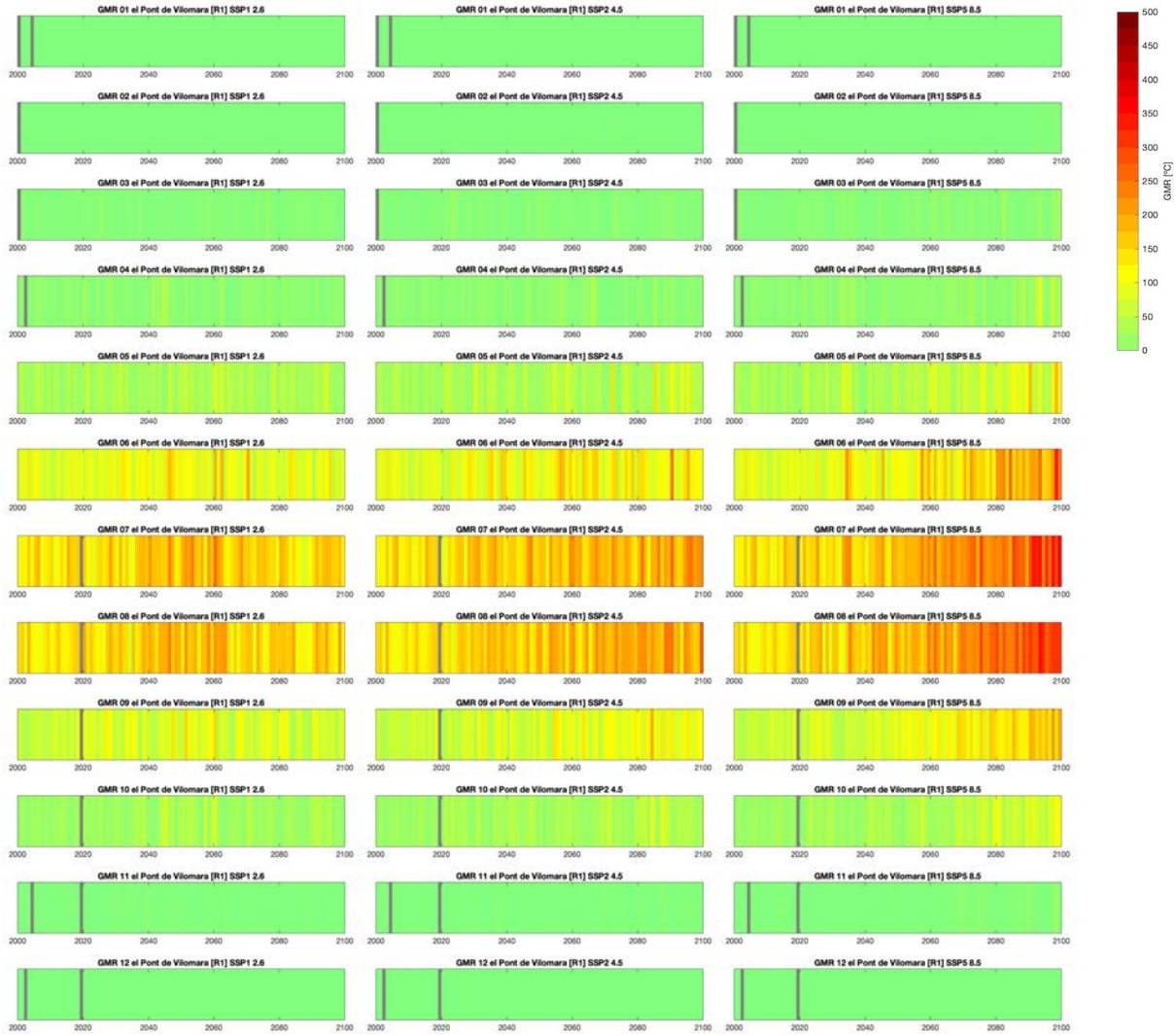

Figura B.135: Evolució dels graus-mes de refrigeració (GMR a l'estació R1- El Pont de Vilomara, per als diferents escenaris [SSP1 2.6, SSP2 4.5 i SSP5 8.5] per al model climàtic MPI-ESM1.

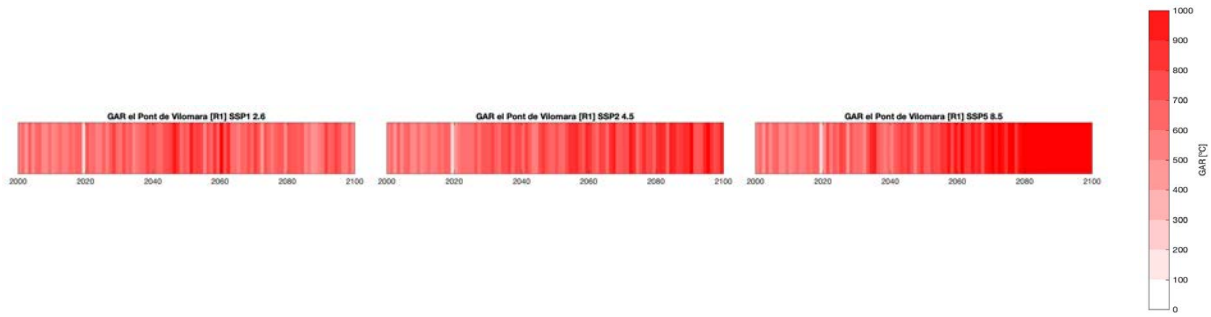

Figura B.136: Evolució dels graus-any de refrigeració (GAR a l'estació R1- El Pont de Vilomara, per als diferents escenaris [SSP1 2.6, SSP2 4.5 i SSP5 8.5] per al model climàtic MPI-ESM1.

B.1.36 U1 - Cabanes

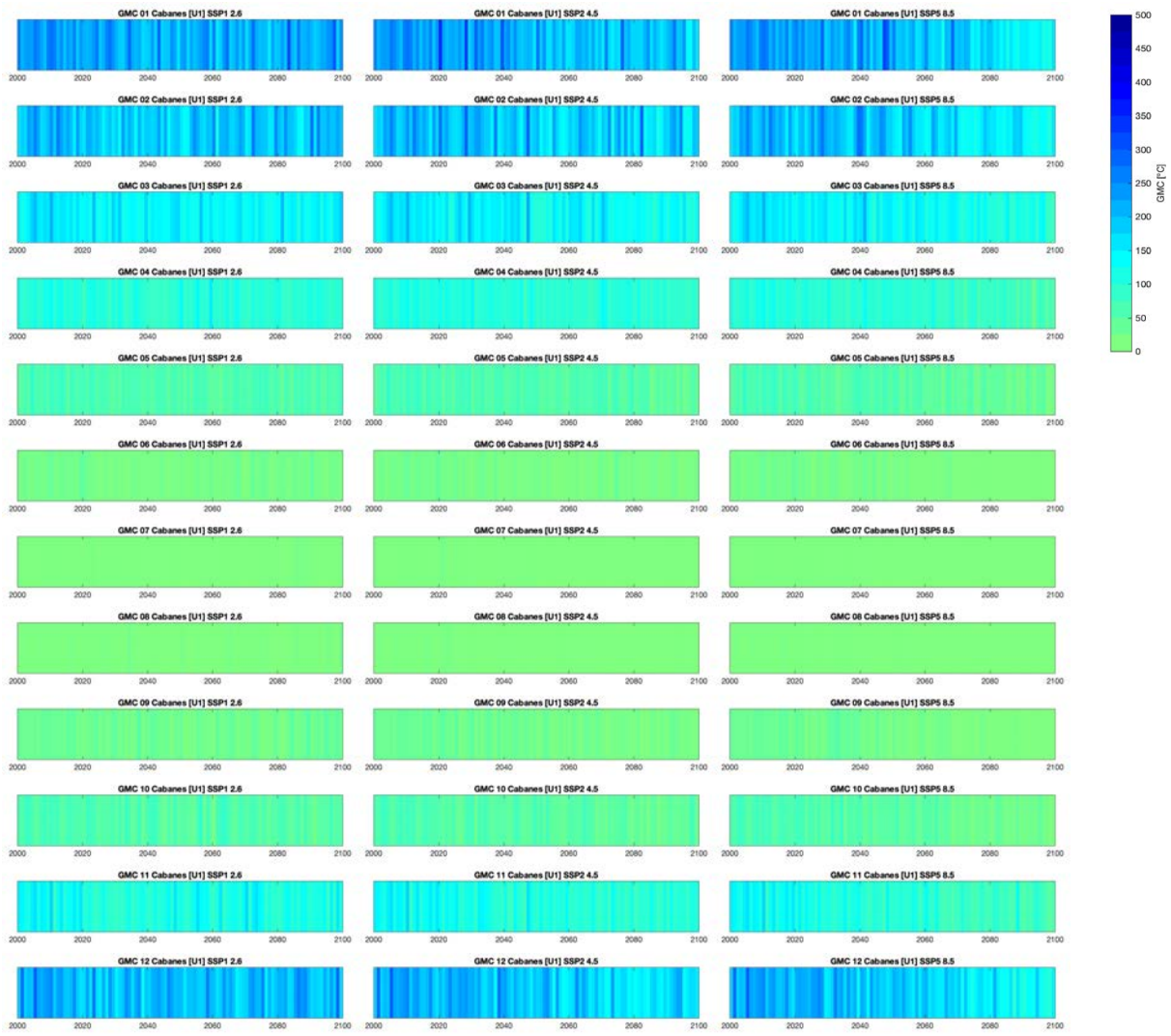

Figura B.137: Evolució dels graus-mes de calefacció (GMC) a l'estació U1- Cabanes, per als diferents escenaris [SSP1 2.6, SSP2 4.5 i SSP5 8.5] per al model climàtic MPI-ESM1.

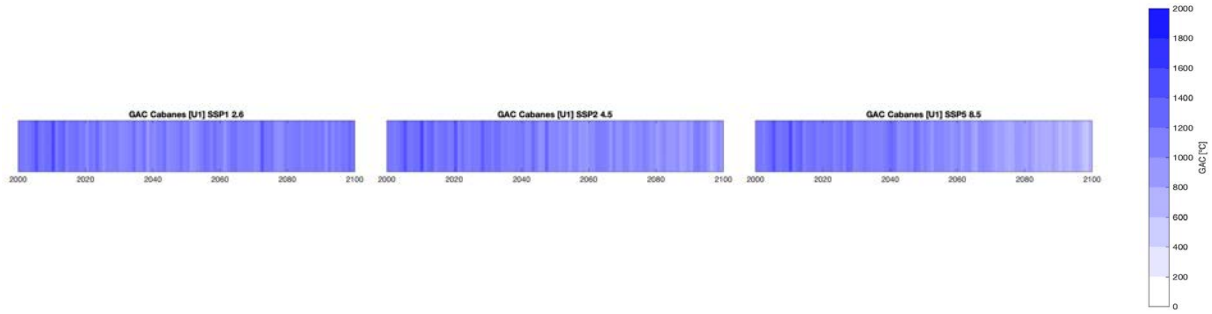

Figura B.138: Evolució dels graus-any de calefacció (GAC) a l'estació U1- Cabanes, per als diferents escenaris [SSP1 2.6, SSP2 4.5 i SSP5 8.5] per al model climàtic MPI-ESM1.

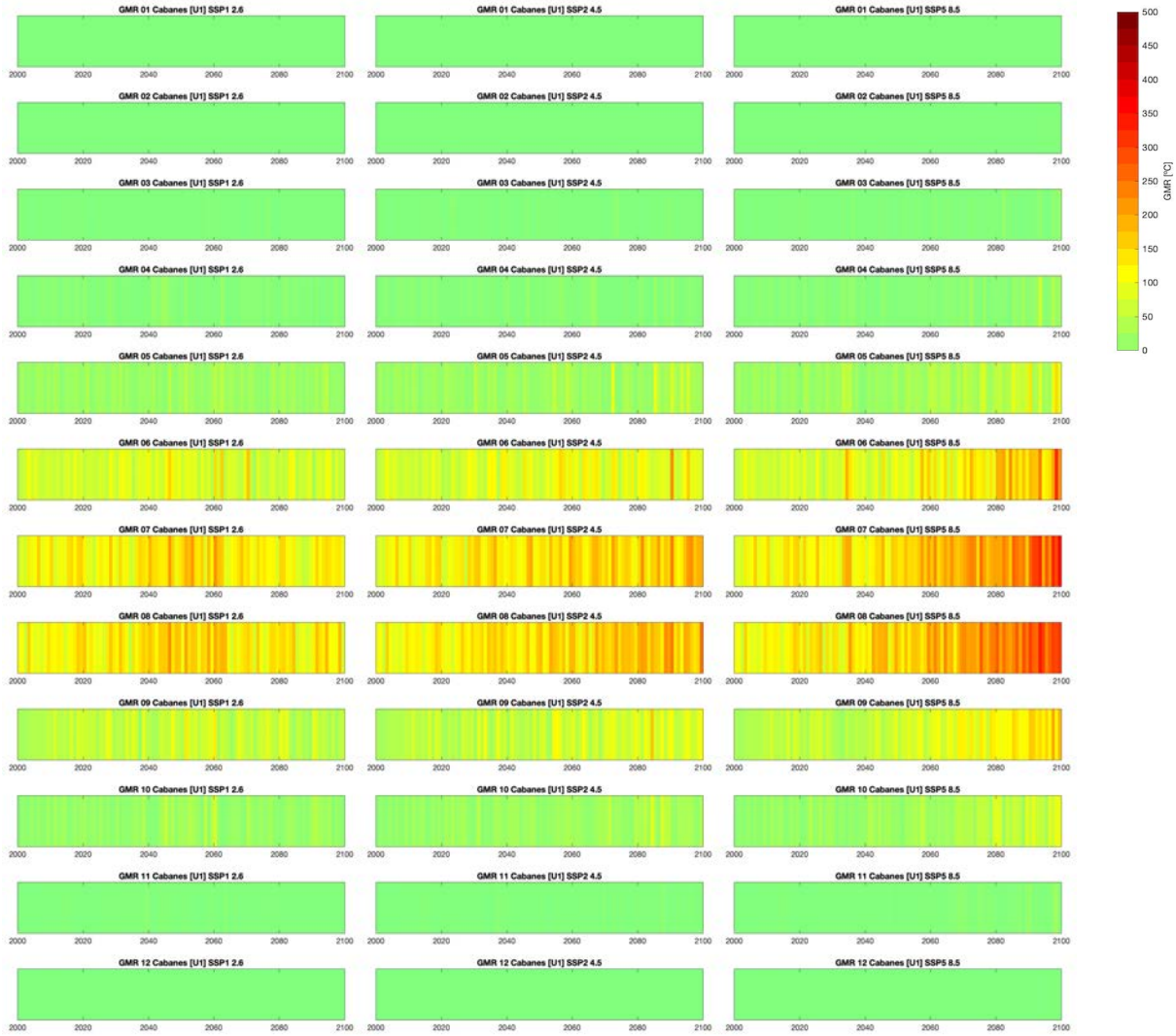

Figura B.139: Evolució dels graus-mes de refrigeració (GMR a l'estació U1- Cabanes, per als diferents escenaris [SSP1 2.6, SSP2 4.5 i SSP5 8.5] per al model climàtic MPI-ESM1.

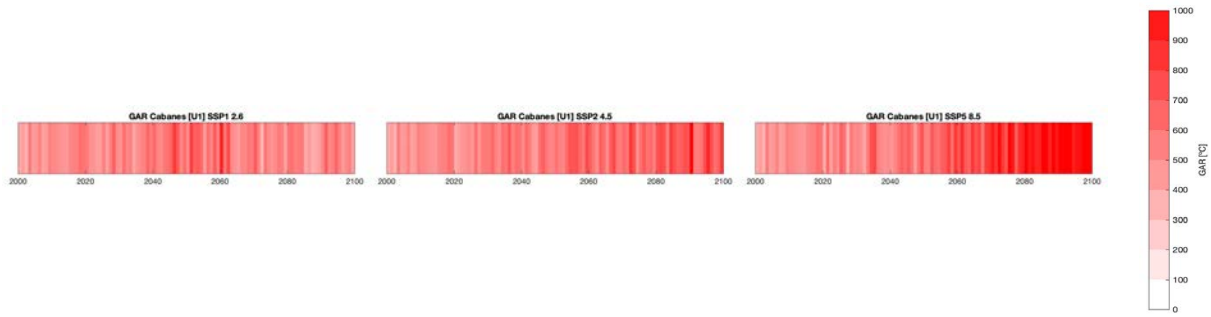

Figura B.140: Evolució dels graus-any de refrigeració (GAR a l'estació U1- Cabanes, per als diferents escenaris [SSP1 2.6, SSP2 4.5 i SSP5 8.5] per al model climàtic MPI-ESM1.

B.1.37 U2 - Sant Pere Pescador

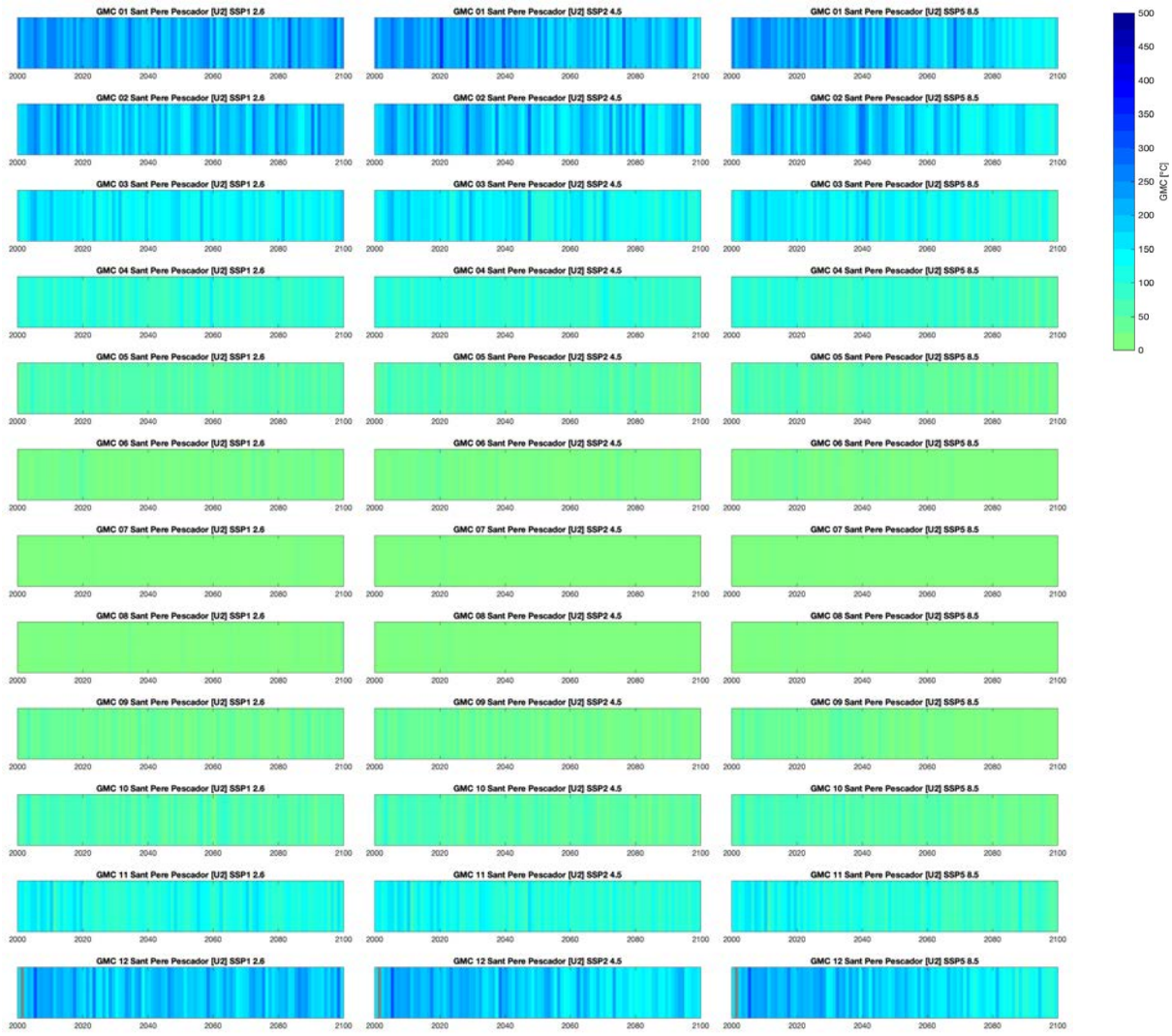

Figura B.141: Evolució dels graus-mes de calefacció (GMC) a l'estació U2- Sant Pere Pescador, per als diferents escenaris [SSP1 2.6, SSP2 4.5 i SSP5 8.5] per al model climàtic MPI-ESM1.

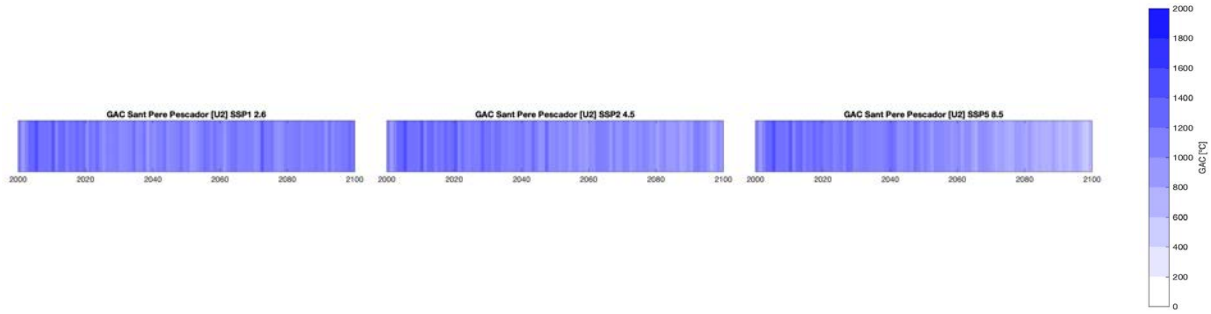

Figura B.142: Evolució dels graus-any de calefacció (GAC) a l'estació U2- Sant Pere Pescador, per als diferents escenaris [SSP1 2.6, SSP2 4.5 i SSP5 8.5] per al model climàtic MPI-ESM1.

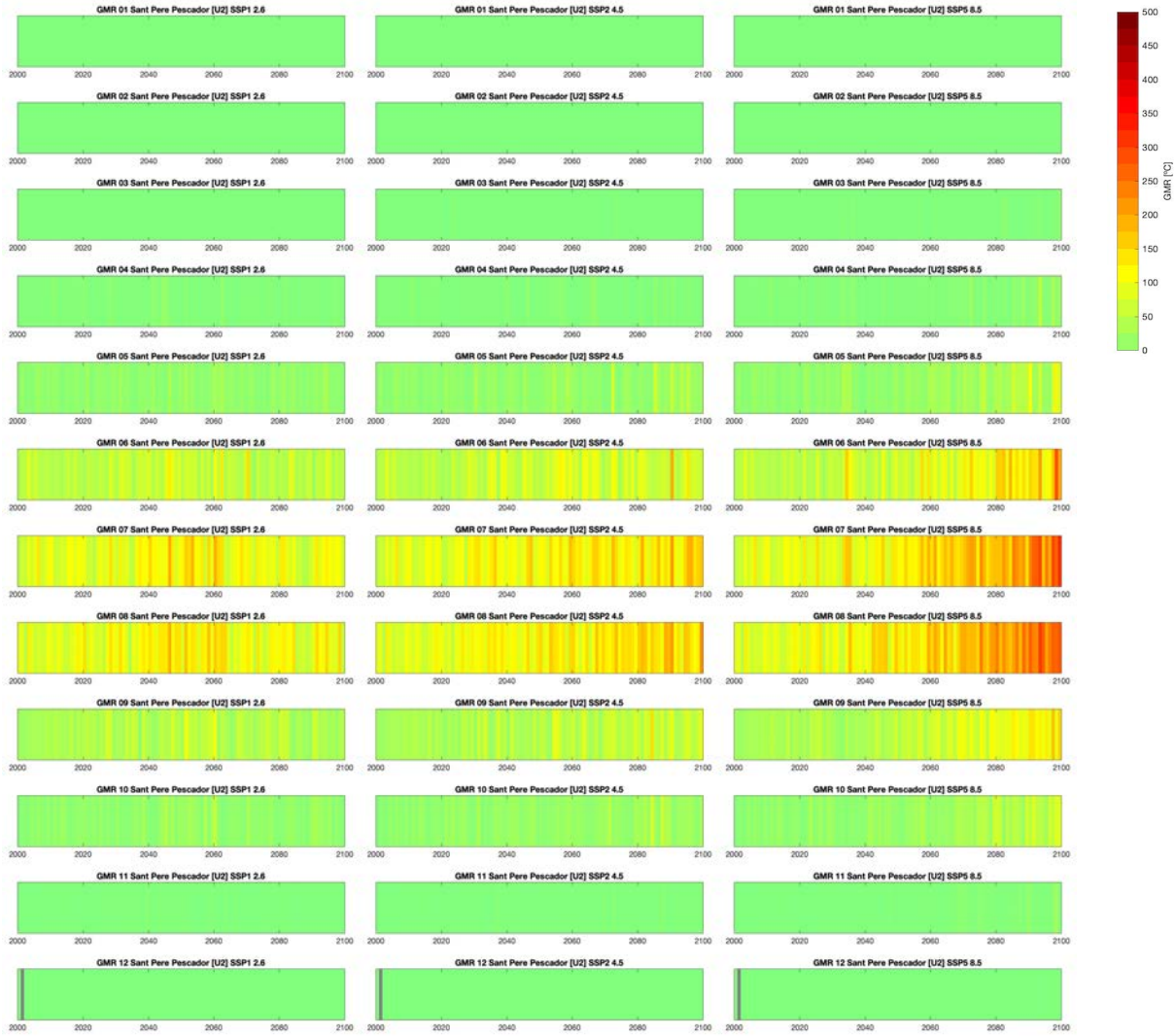

Figura B.143: Evolució dels graus-mes de refrigeració (GMR a l'estació U2- Sant Pere Pescador, per als diferents escenaris [SSP1 2.6, SSP2 4.5 i SSP5 8.5] per al model climàtic MPI-ESM1.

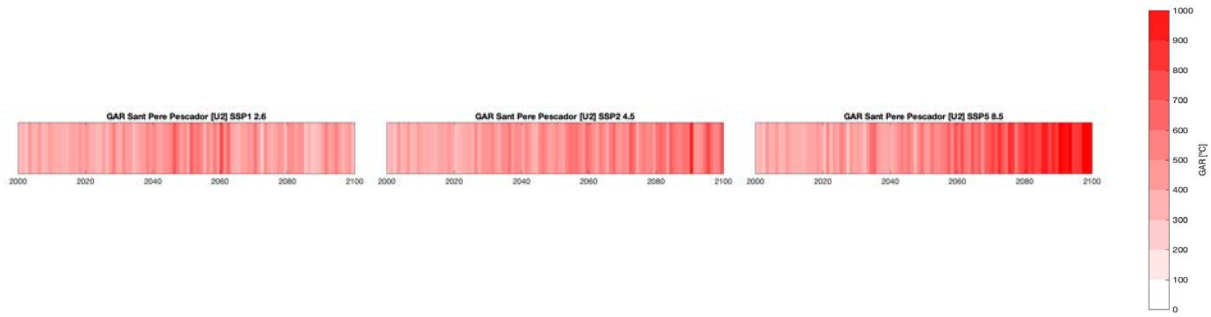

Figura B.144: Evolució dels graus-any de refrigeració (GAR a l'estació U2- Sant Pere Pescador, per als diferents escenaris [SSP1 2.6, SSP2 4.5 i SSP5 8.5] per al model climàtic MPI-ESM1.

B.1.38 U3 - Sant Martí Sarroca

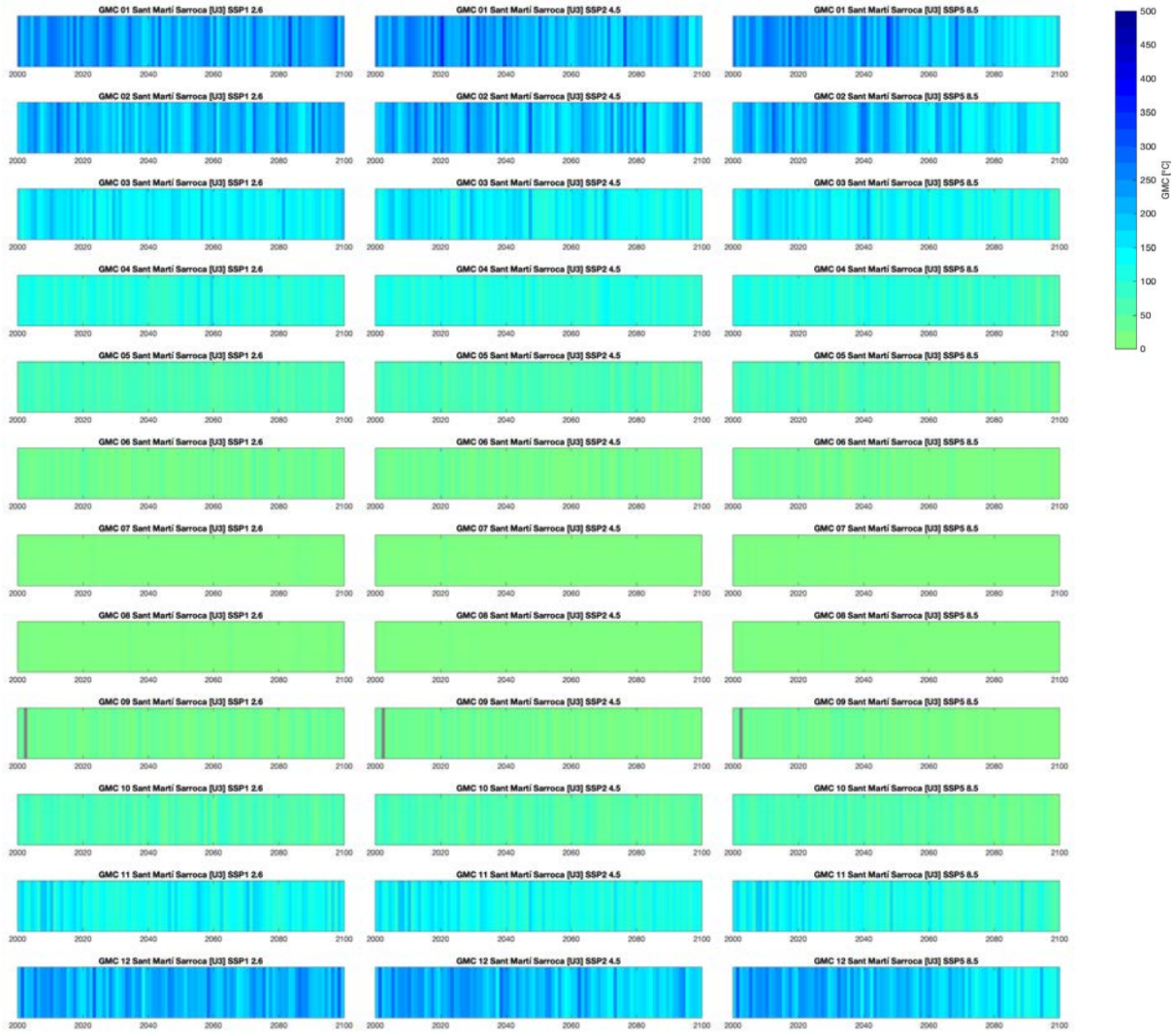

Figura B.145: Evolució dels graus-mes de calefacció (GMC) a l'estació U3- Sant Martí Sarroca, per als diferents escenaris [SSP1 2.6, SSP2 4.5 i SSP5 8.5] per al model climàtic MPI-ESM1.

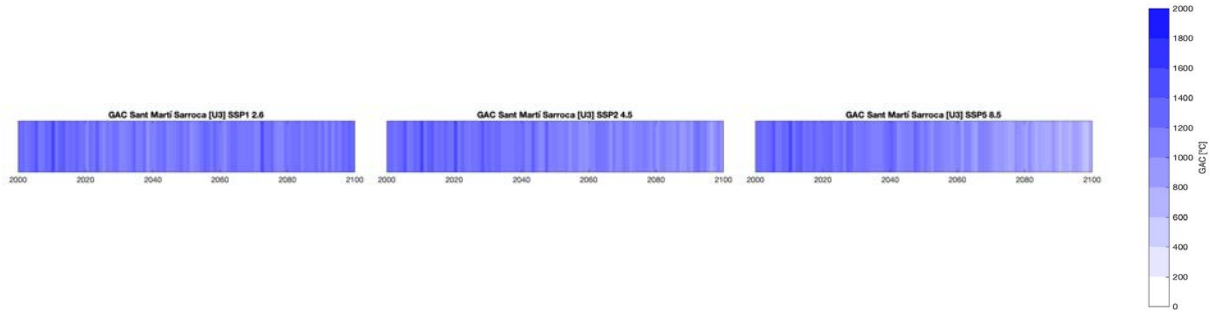

Figura B.146: Evolució dels graus-any de calefacció (GAC) a l'estació U3- Sant Martí Sarroca, per als diferents escenaris [SSP1 2.6, SSP2 4.5 i SSP5 8.5] per al model climàtic MPI-ESM1.

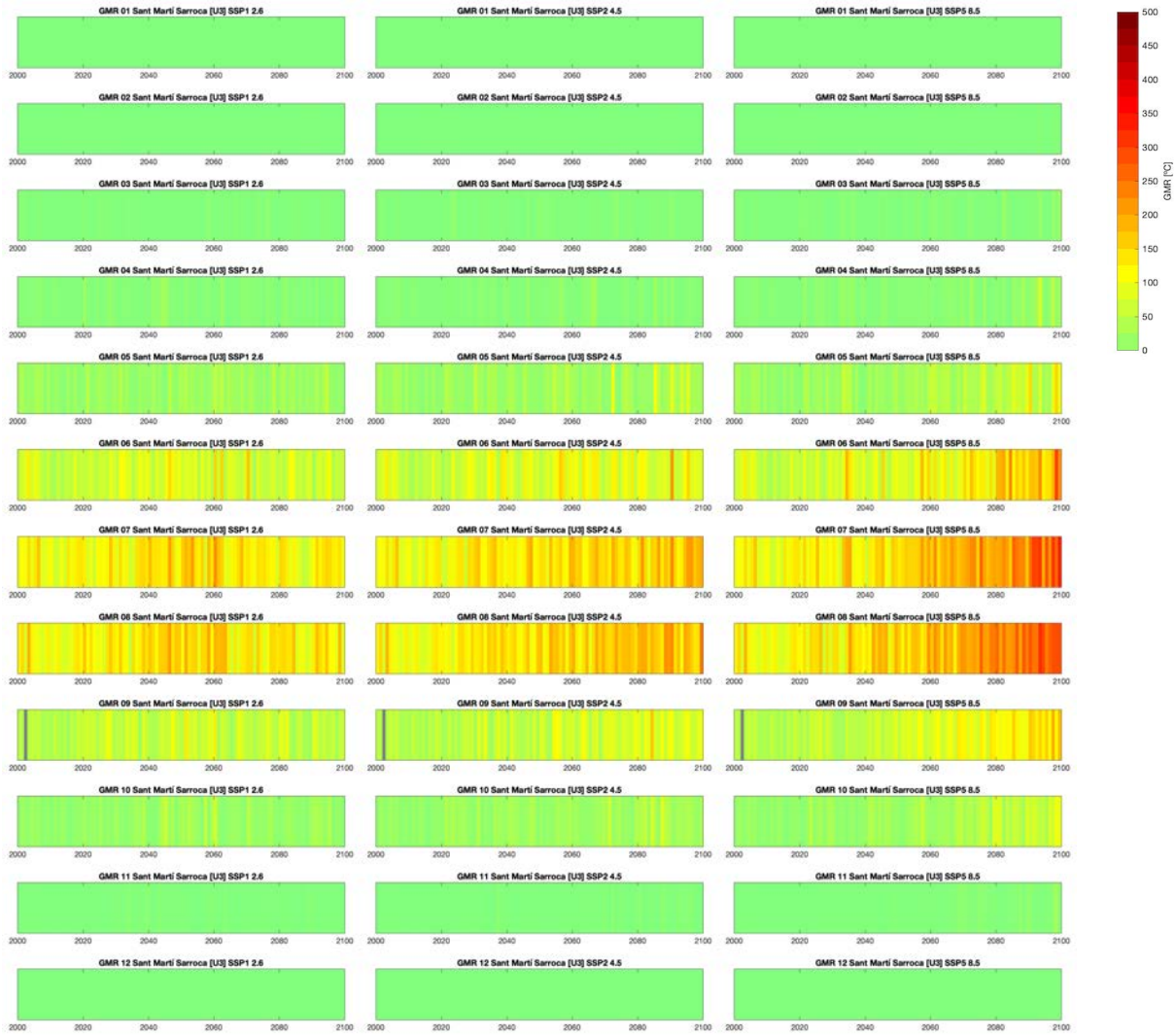

Figura B.147: Evolució dels graus-mes de refrigeració (GMR a l'estació U3- Sant Martí Sarroca, per als diferents escenaris [SSP1 2.6, SSP2 4.5 i SSP5 8.5] per al model climàtic MPI-ESM1.

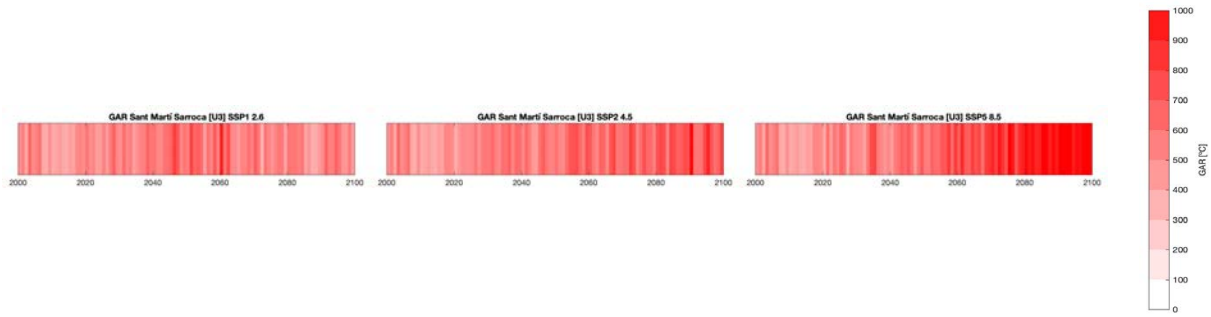

Figura B.148: Evolució dels graus-any de refrigeració (GAR a l'estació U3- Sant Martí Sarroca, per als diferents escenaris [SSP1 2.6, SSP2 4.5 i SSP5 8.5] per al model climàtic MPI-ESM1.

B.1.39 U4 - Castellnou de Bages

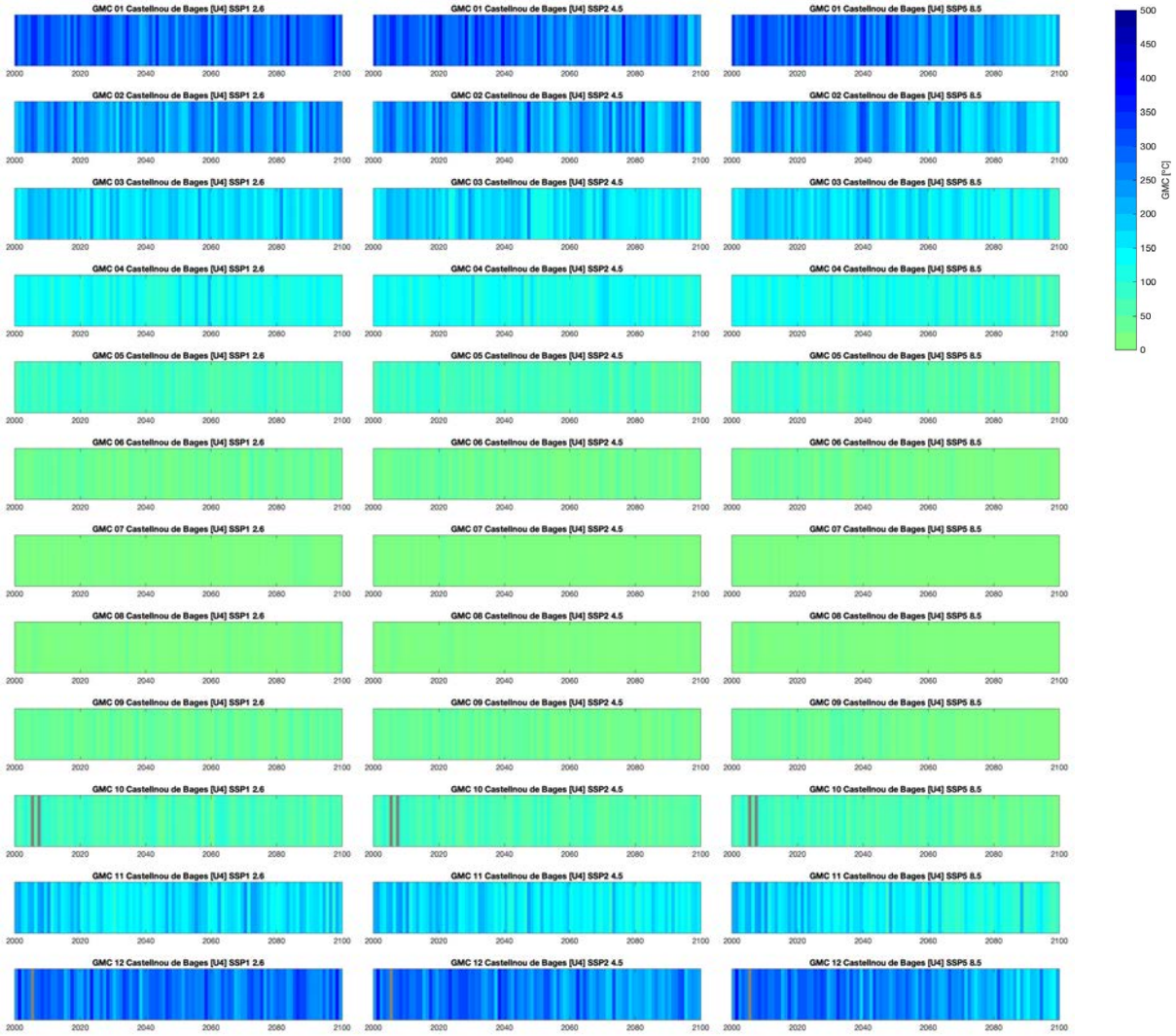

Figura B.149: Evolució dels graus-mes de calefacció (GMC) a l'estació U4- Castellnou de Bages, per als diferents escenaris [SSP1 2.6, SSP2 4.5 i SSP5 8.5] per al model climàtic MPI-ESM1.

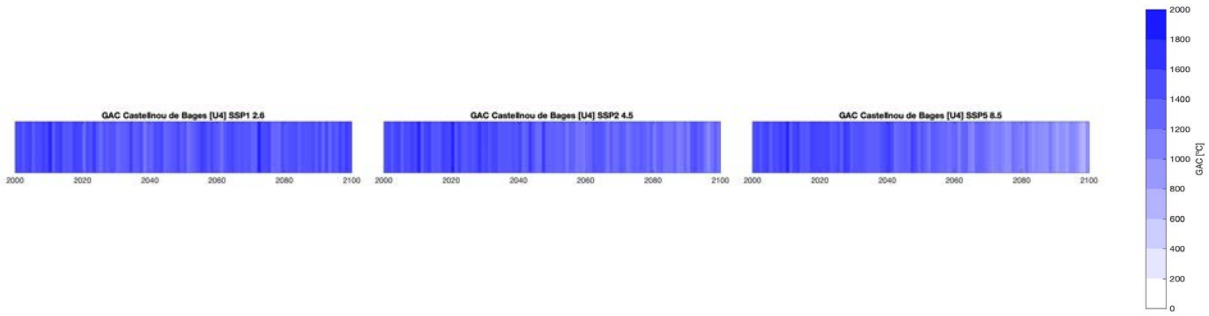

Figura B.150: Evolució dels graus-any de calefacció (GAC) a l'estació U4- Castellnou de Bages, per als diferents escenaris [SSP1 2.6, SSP2 4.5 i SSP5 8.5] per al model climàtic MPI-ESM1.

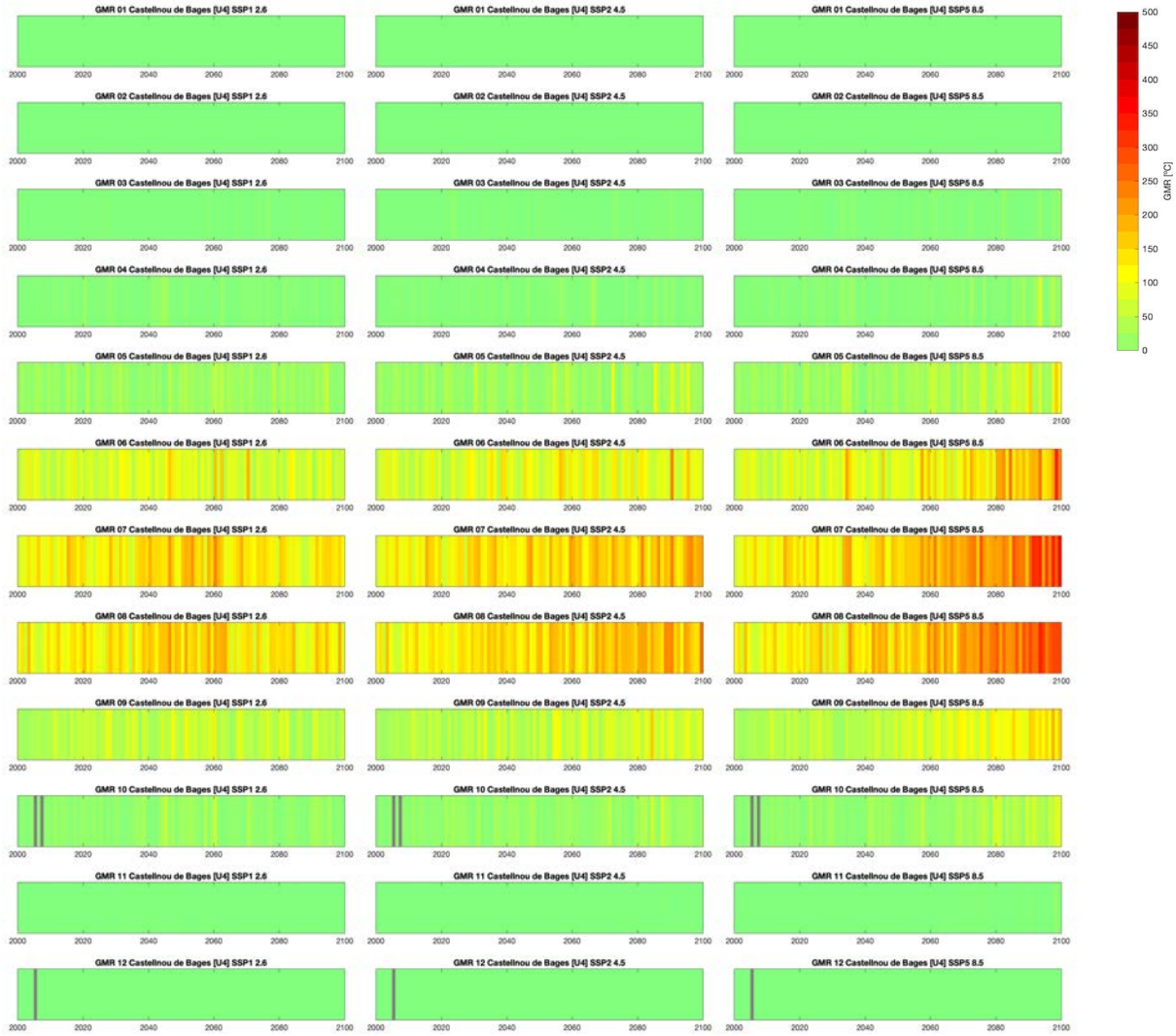

Figura B.151: Evolució dels graus-mes de refrigeració (GMR a l'estació U4- Castellnou de Bages, per als diferents escenaris [SSP1 2.6, SSP2 4.5 i SSP5 8.5] per al model climàtic MPI-ESM1.

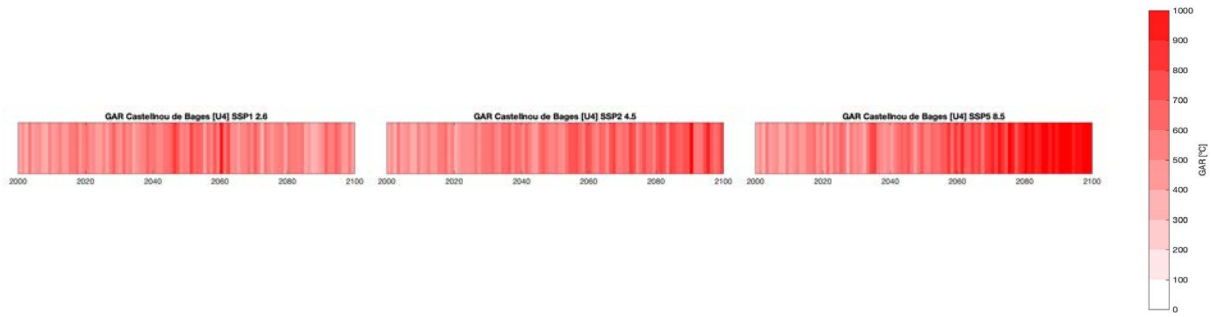

Figura B.152: Evolució dels graus-any de refrigeració (GAR a l'estació U4- Castellnou de Bages, per als diferents escenaris [SSP1 2.6, SSP2 4.5 i SSP5 8.5] per al model climàtic MPI-ESM1.

B.1.40 U6 - Vinyols i els Arcs

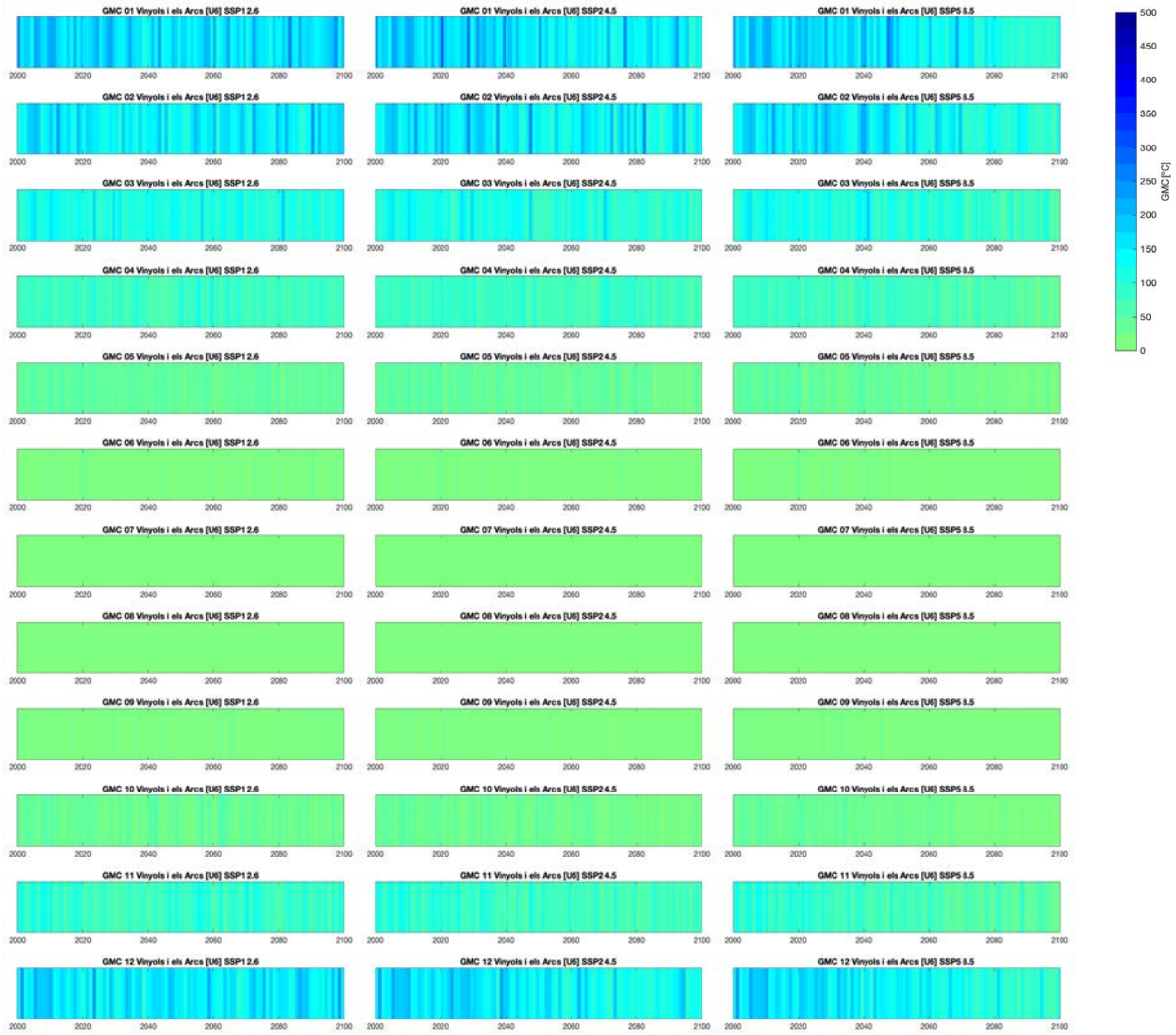

Figura B.153: Evolució dels graus-mes de calefacció (GMC) a l'estació U6- Vinyols i els Arcs, per als diferents escenaris [SSP1 2.6, SSP2 4.5 i SSP5 8.5] per al model climàtic MPI-ESM1.

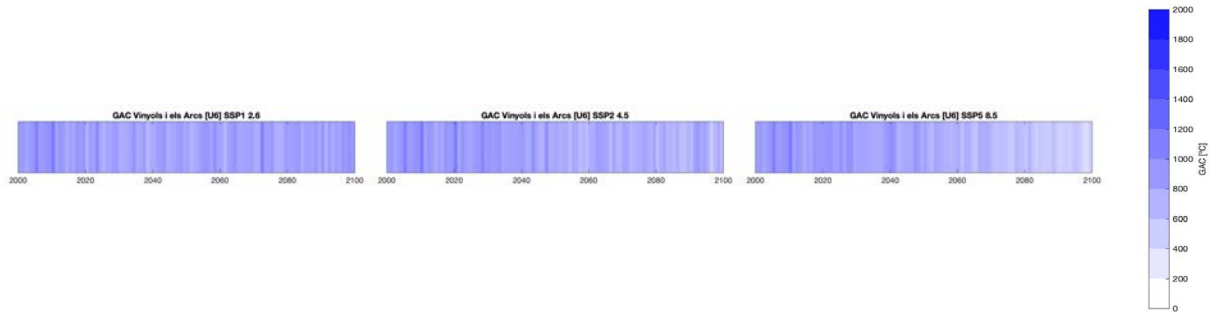

Figura B.154: Evolució dels graus-any de calefacció (GAC) a l'estació U6- Vinyols i els Arcs, per als diferents escenaris [SSP1 2.6, SSP2 4.5 i SSP5 8.5] per al model climàtic MPI-ESM1.

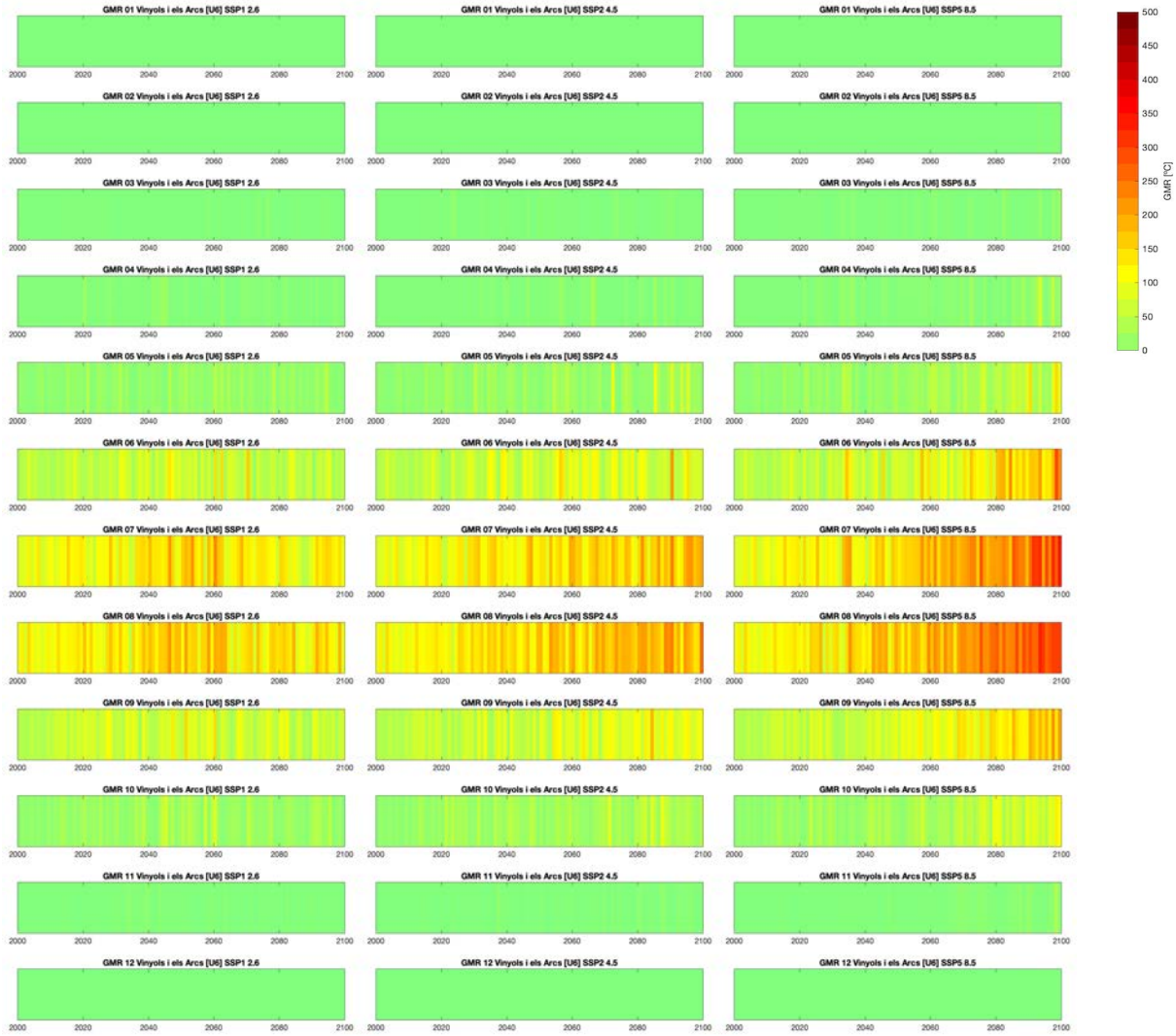

Figura B.155: Evolució dels graus-mes de refrigeració (GMR a l'estació U6- Vinyols i els Arcs, per als diferents escenaris [SSP1 2.6, SSP2 4.5 i SSP5 8.5] per al model climàtic MPI-ESM1.

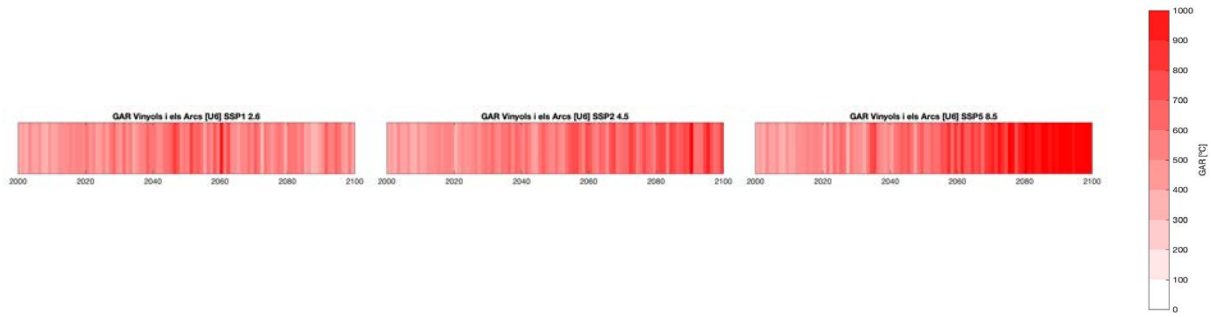

Figura B.156: Evolució dels graus-any de refrigeració (GAR a l'estació U6- Vinyols i els Arcs, per als diferents escenaris [SSP1 2.6, SSP2 4.5 i SSP5 8.5] per al model climàtic MPI-ESM1.

B.1.41 U7 - Aldover

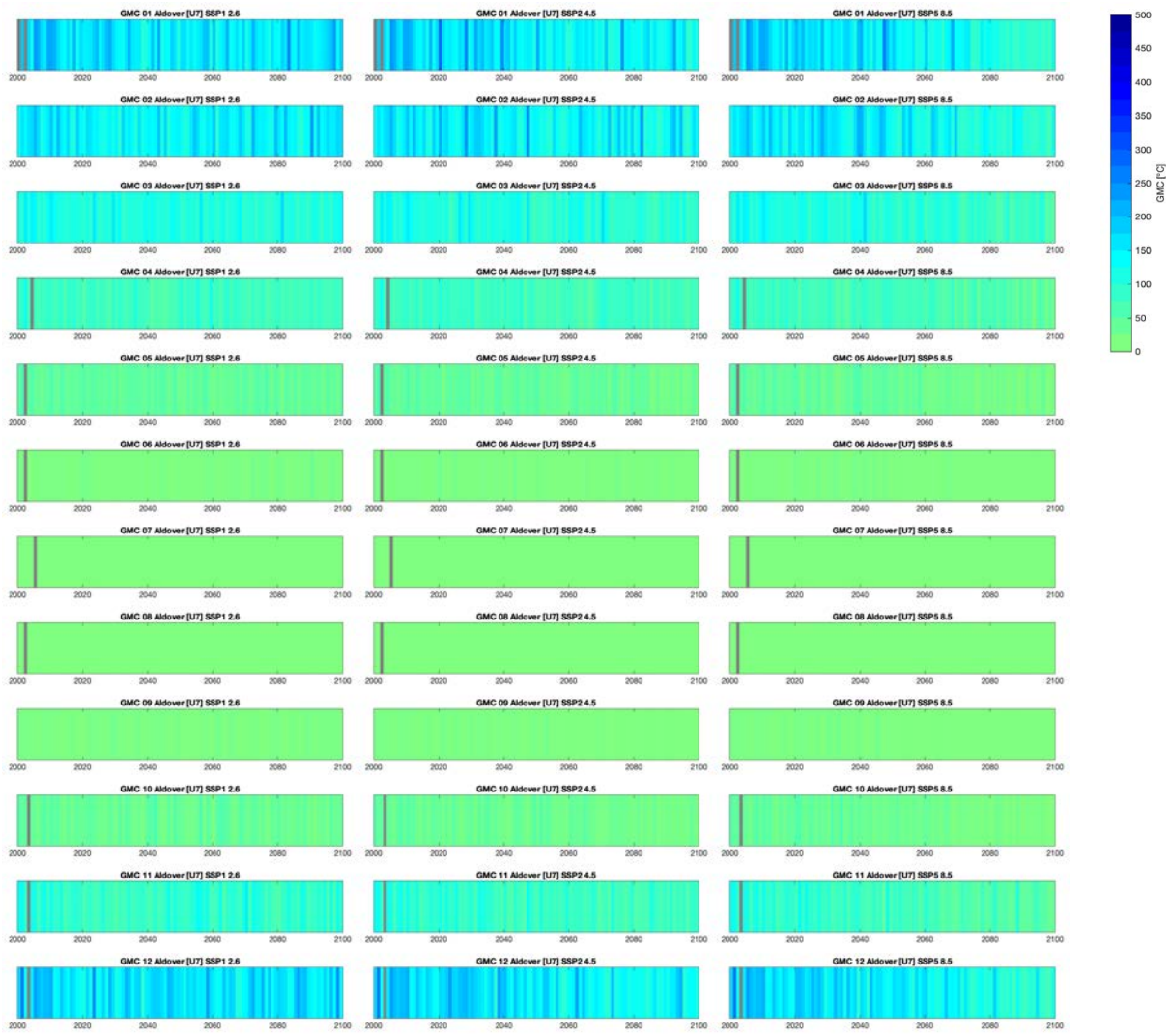

Figura B.157: Evolució dels graus-mes de calefacció (GMC) a l'estació U7- Aldover, per als diferents escenaris [SSP1 2.6, SSP2 4.5 i SSP5 8.5] per al model climàtic MPI-ESM1.

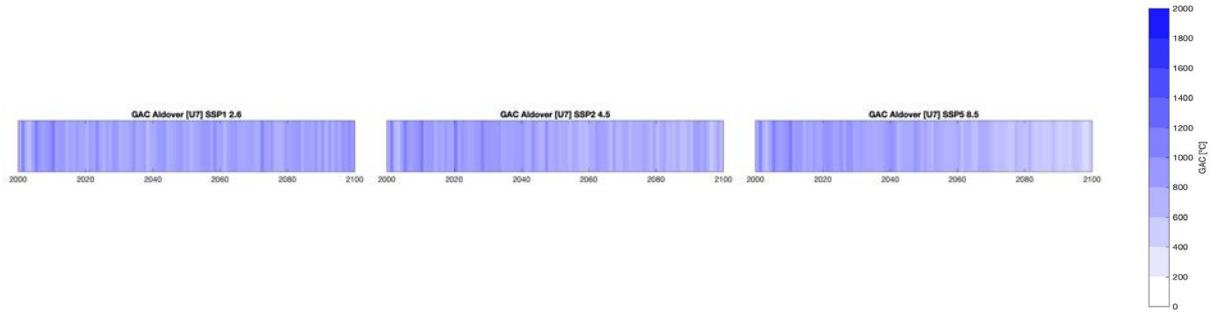

Figura B.158: Evolució dels graus-any de calefacció (GAC) a l'estació U7- Aldover, per als diferents escenaris [SSP1 2.6, SSP2 4.5 i SSP5 8.5] per al model climàtic MPI-ESM1.

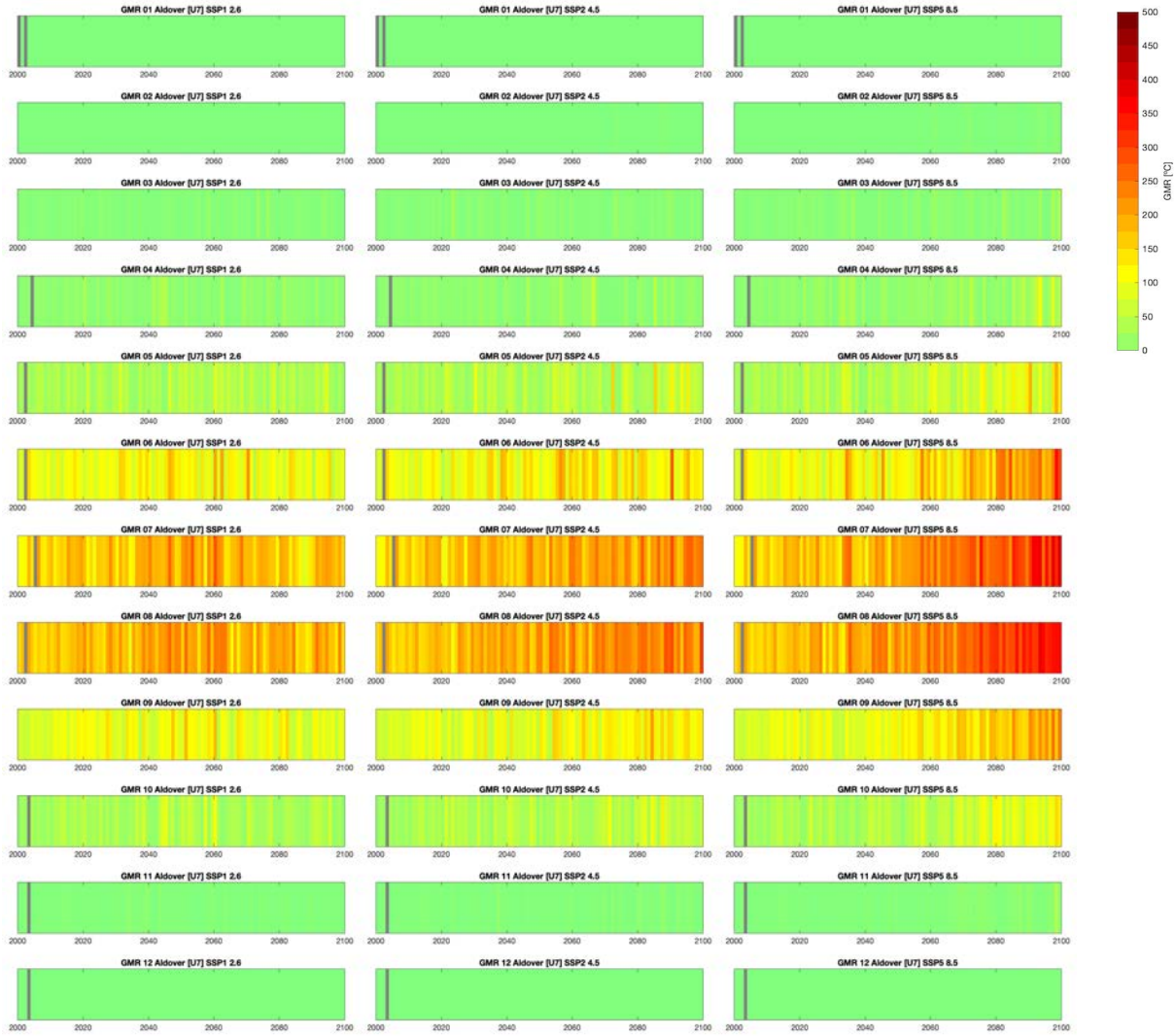

Figura B.159: Evolució dels graus-mes de refrigeració (GMR a l'estació U7- Aldover, per als diferents escenaris [SSP1 2.6, SSP2 4.5 i SSP5 8.5] per al model climàtic MPI-ESM1.

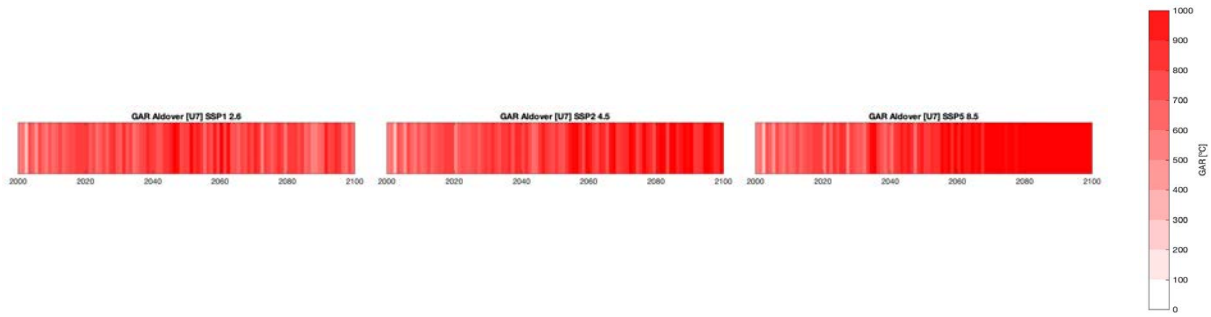

Figura B.160: Evolució dels graus-any de refrigeració (GAR a l'estació U7- Aldover, per als diferents escenaris [SSP1 2.6, SSP2 4.5 i SSP5 8.5] per al model climàtic MPI-ESM1.

B.1.42 U9 - L'Aldea

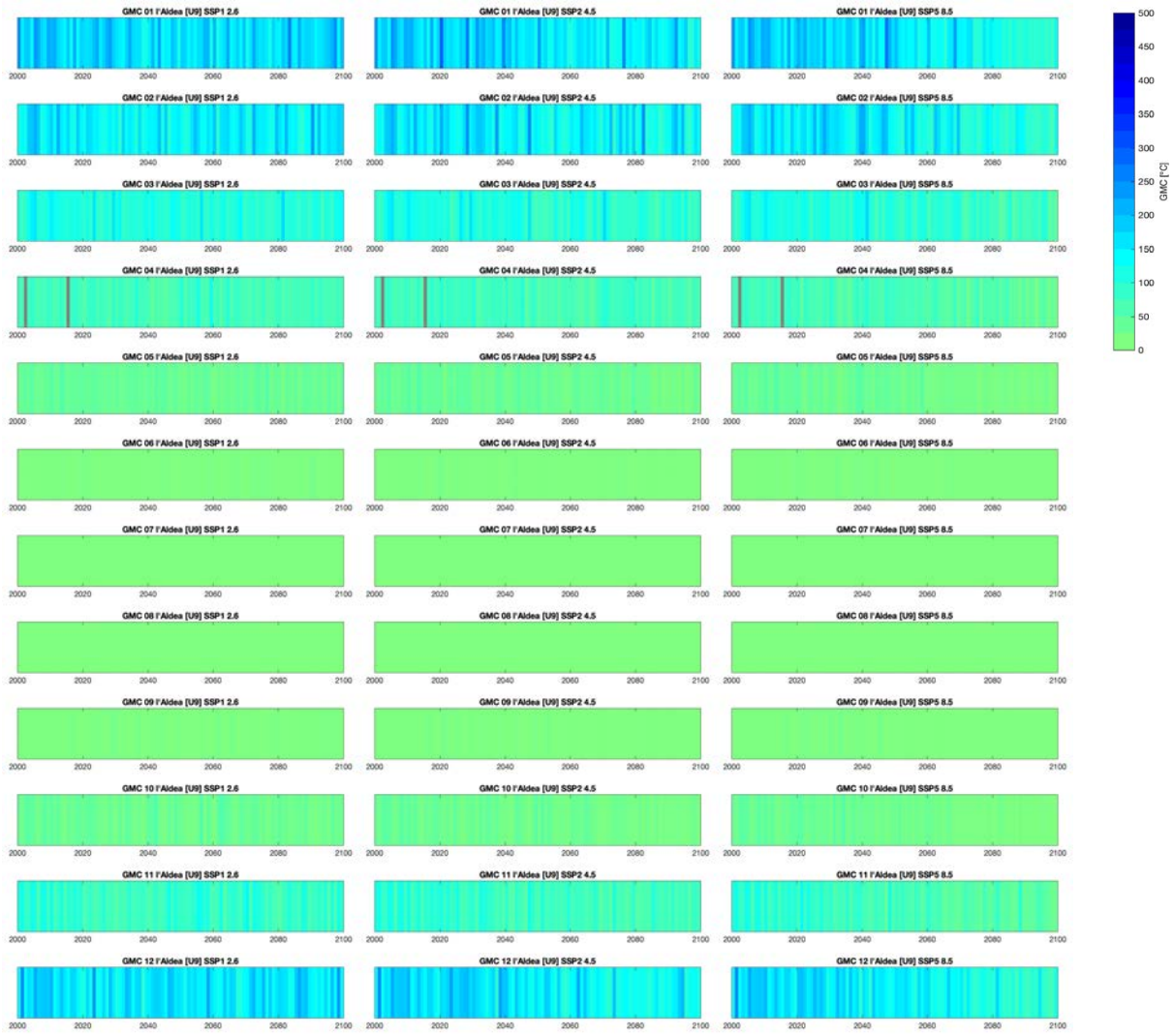

Figura B.161: Evolució dels graus-mes de calefacció (GMC) a l'estació U9- L'Aldea, per als diferents escenaris [SSP1 2.6, SSP2 4.5 i SSP5 8.5] per al model climàtic MPI-ESM1.

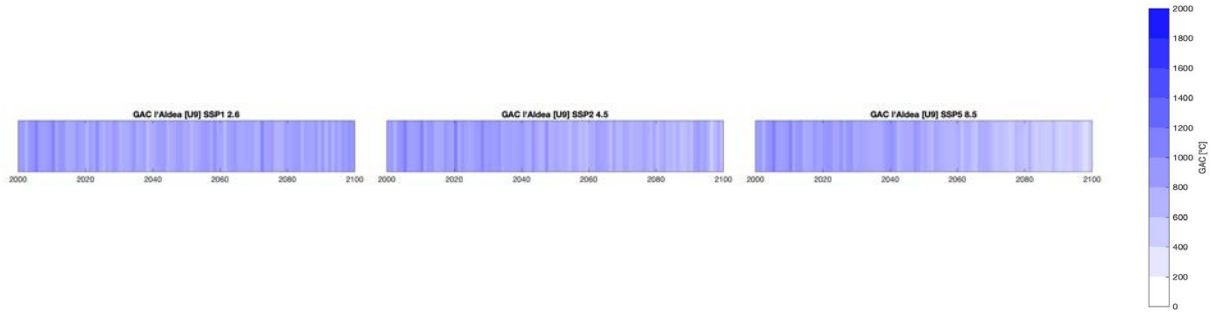

Figura B.162: Evolució dels graus-any de calefacció (GAC) a l'estació U9- L'Aldea, per als diferents escenaris [SSP1 2.6, SSP2 4.5 i SSP5 8.5] per al model climàtic MPI-ESM1.

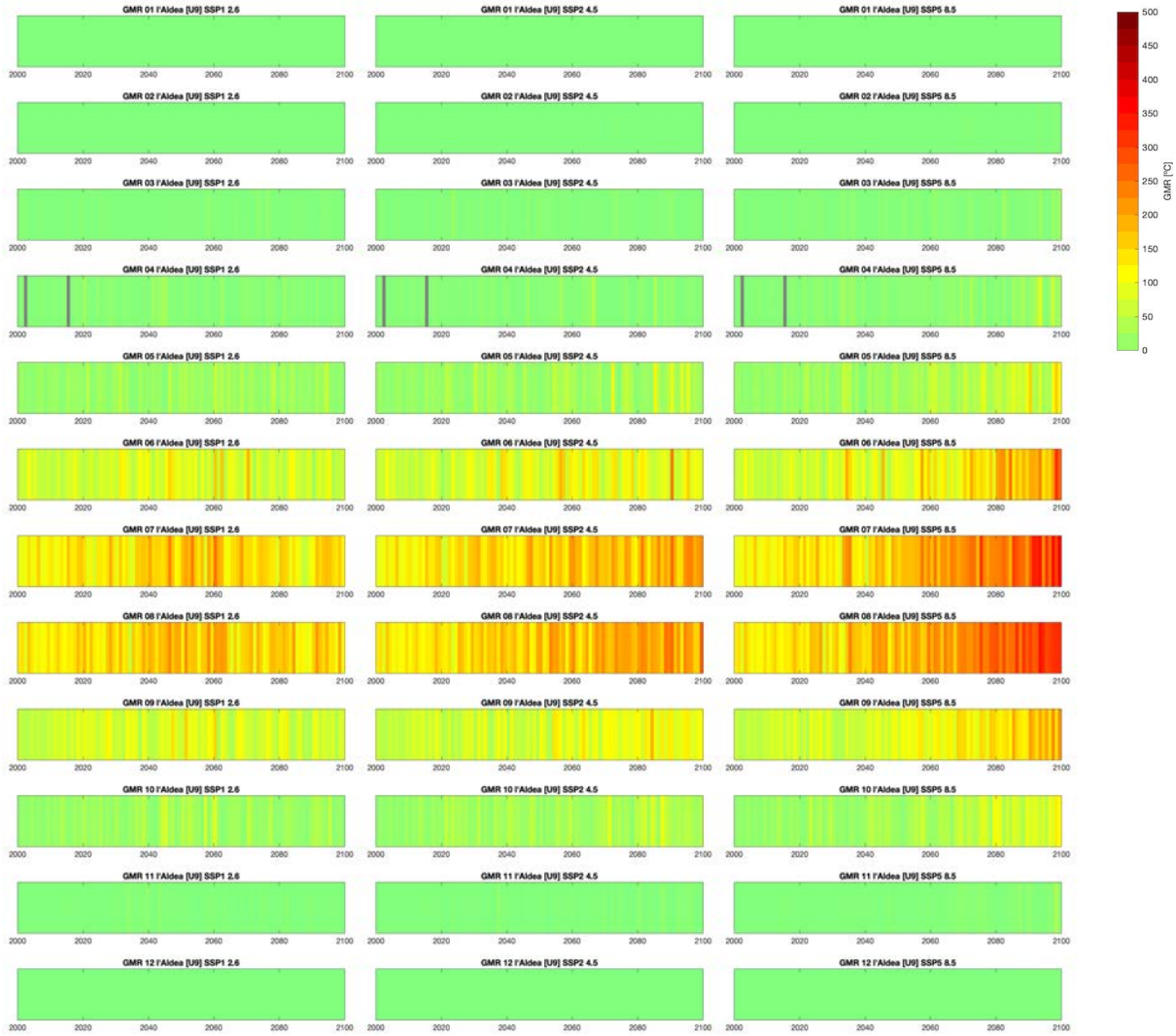

Figura B.163: Evolució dels graus-mes de refrigeració (GMR a l'estació U9- L'Aldea, per als diferents escenaris [SSP1 2.6, SSP2 4.5 i SSP5 8.5] per al model climàtic MPI-ESM1.

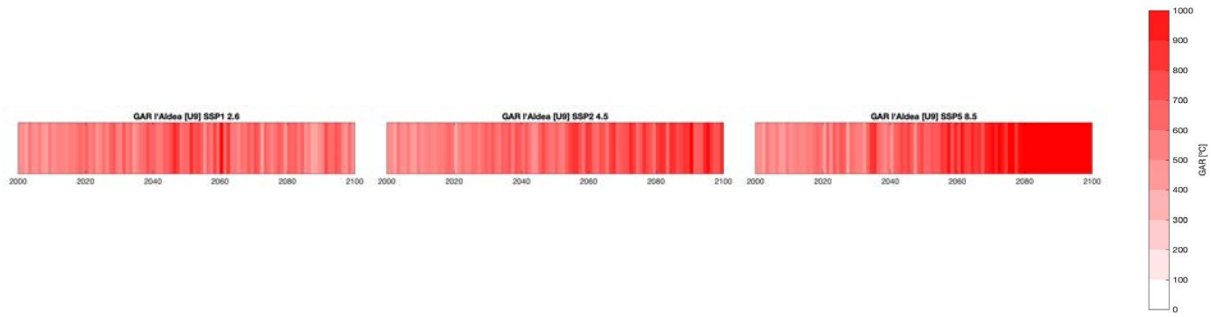

Figura B.164: Evolució dels graus-any de refrigeració (GAR a l'estació U9- L'Aldea, per als diferents escenaris [SSP1 2.6, SSP2 4.5 i SSP5 8.5] per al model climàtic MPI-ESM1.

B.1.43 UA - L'Ametlla de Mar

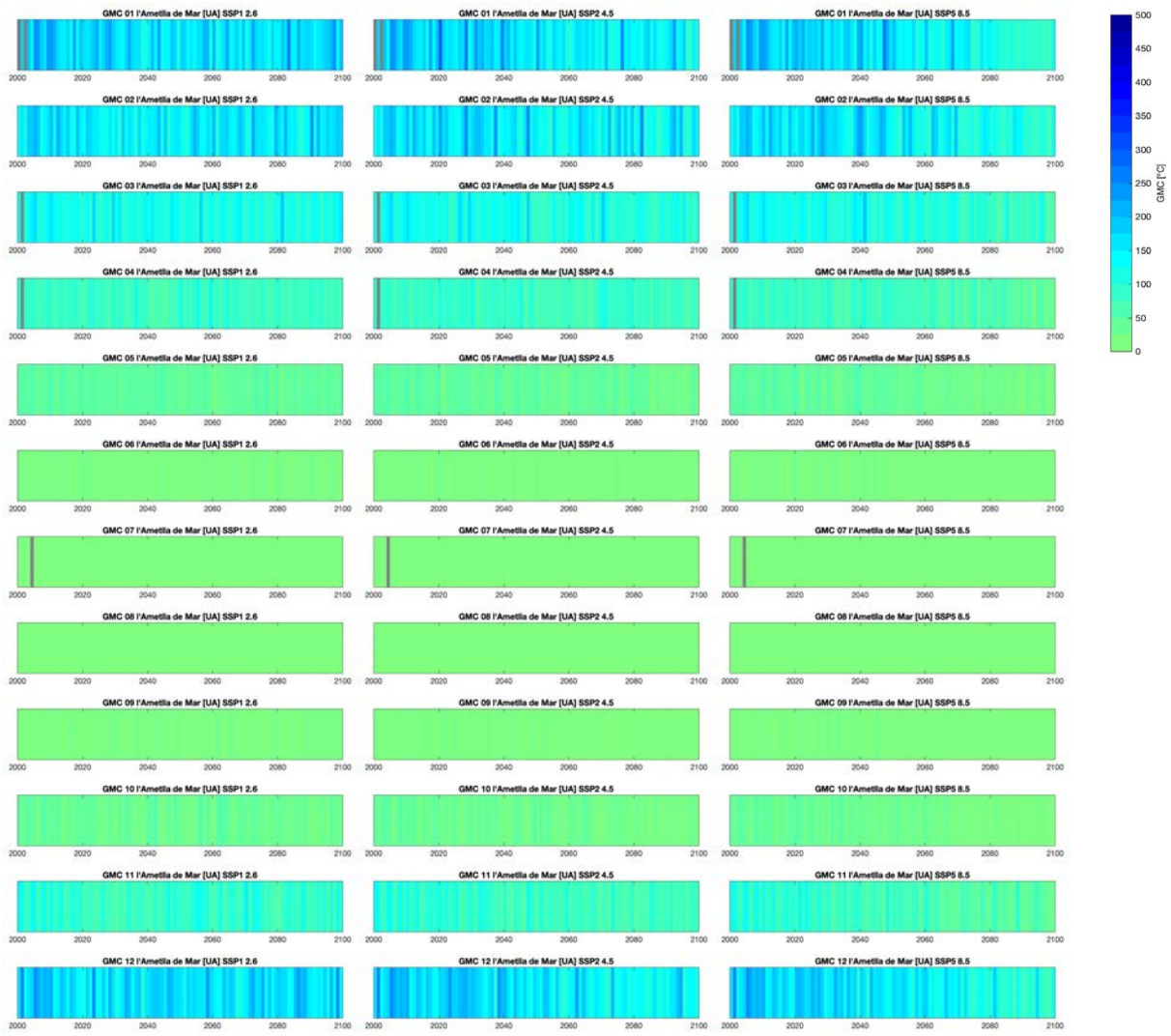

Figura B.165: Evolució dels graus-mes de calefacció (GMC) a l'estació UA- L'Ametlla de Mar, per als diferents escenaris [SSP1 2.6, SSP2 4.5 i SSP5 8.5] per al model climàtic MPI-ESM1.

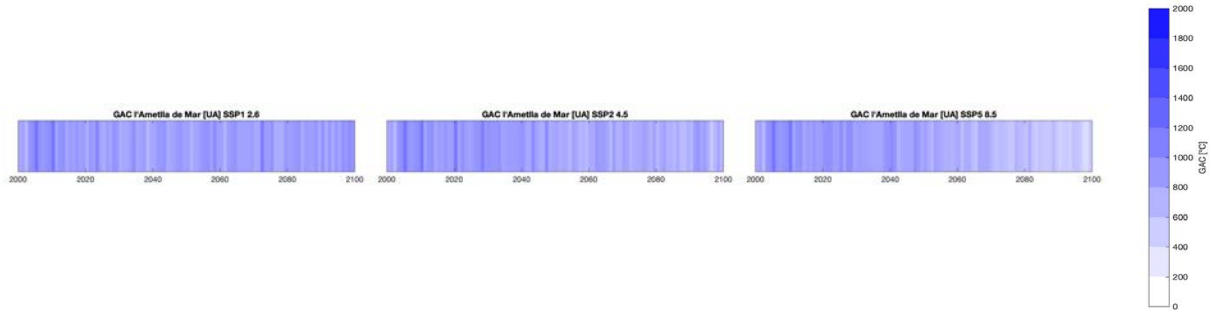

Figura B.166: Evolució dels graus-any de calefacció (GAC) a l'estació UA- L'Ametlla de Mar, per als diferents escenaris [SSP1 2.6, SSP2 4.5 i SSP5 8.5] per al model climàtic MPI-ESM1.

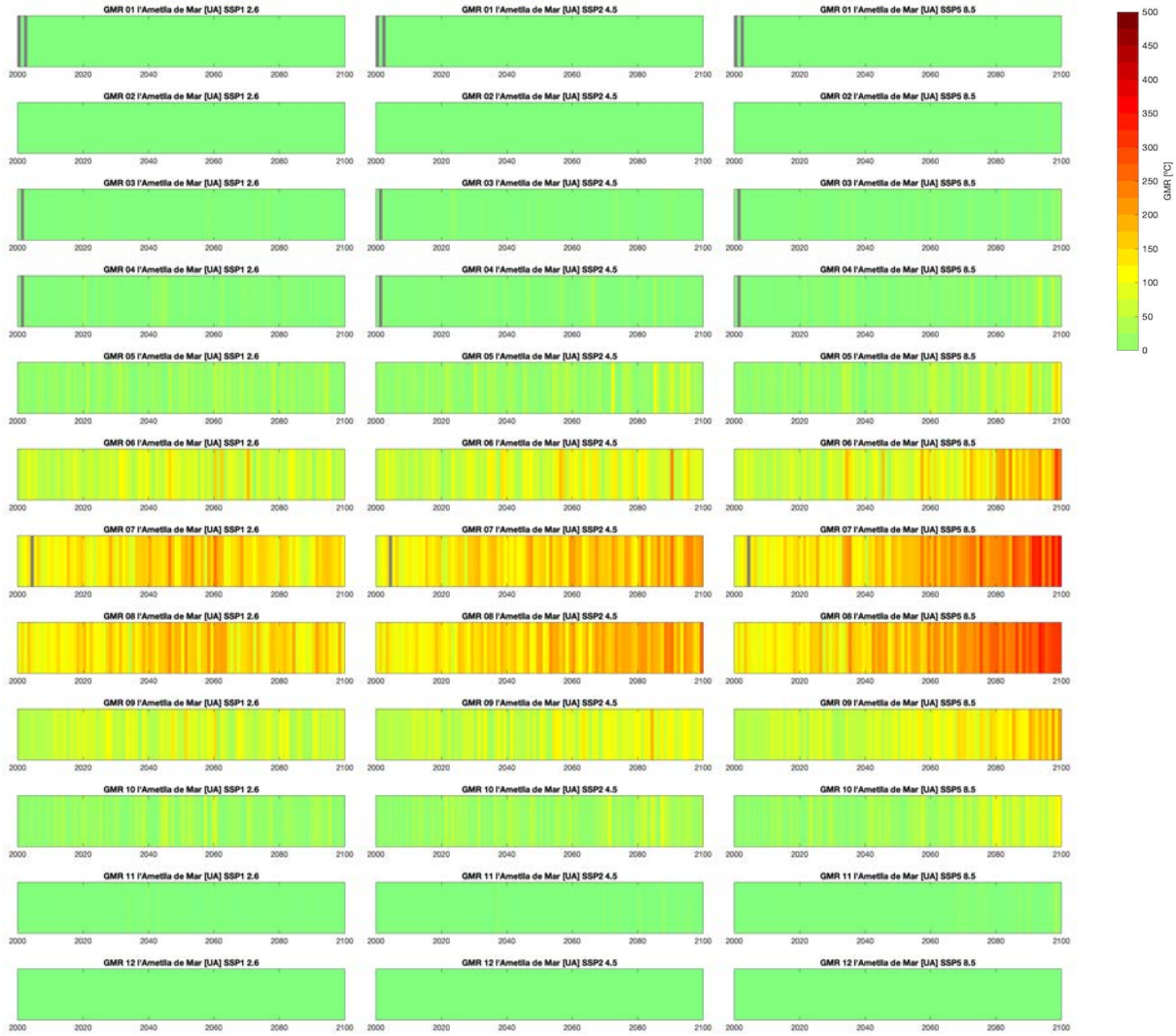

Figura B.167: Evolució dels graus-mes de refrigeració (GMR a l'estació UA- L'Ametlla de Mar, per als diferents escenaris [SSP1 2.6, SSP2 4.5 i SSP5 8.5] per al model climàtic MPI-ESM1.

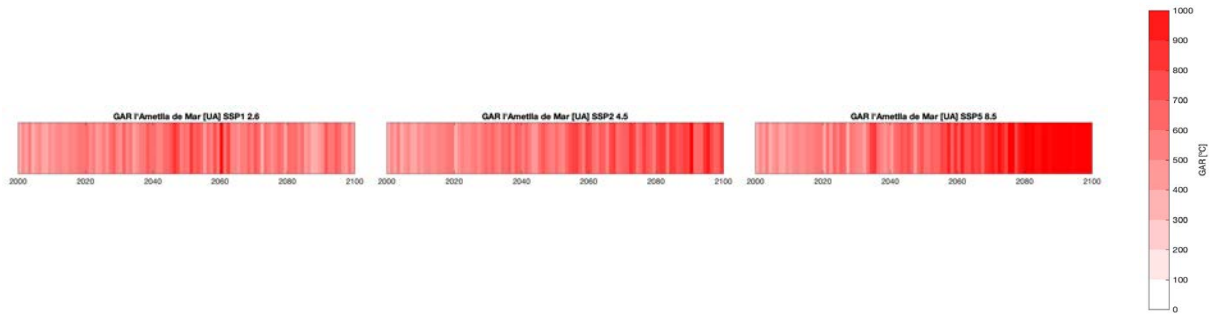

Figura B.168: Evolució dels graus-any de refrigeració (GAR a l'estació UA- L'Ametlla de Mar, per als diferents escenaris [SSP1 2.6, SSP2 4.5 i SSP5 8.5] per al model climàtic MPI-ESM1.

B.1.44 UB - La Tallada d'Empordà

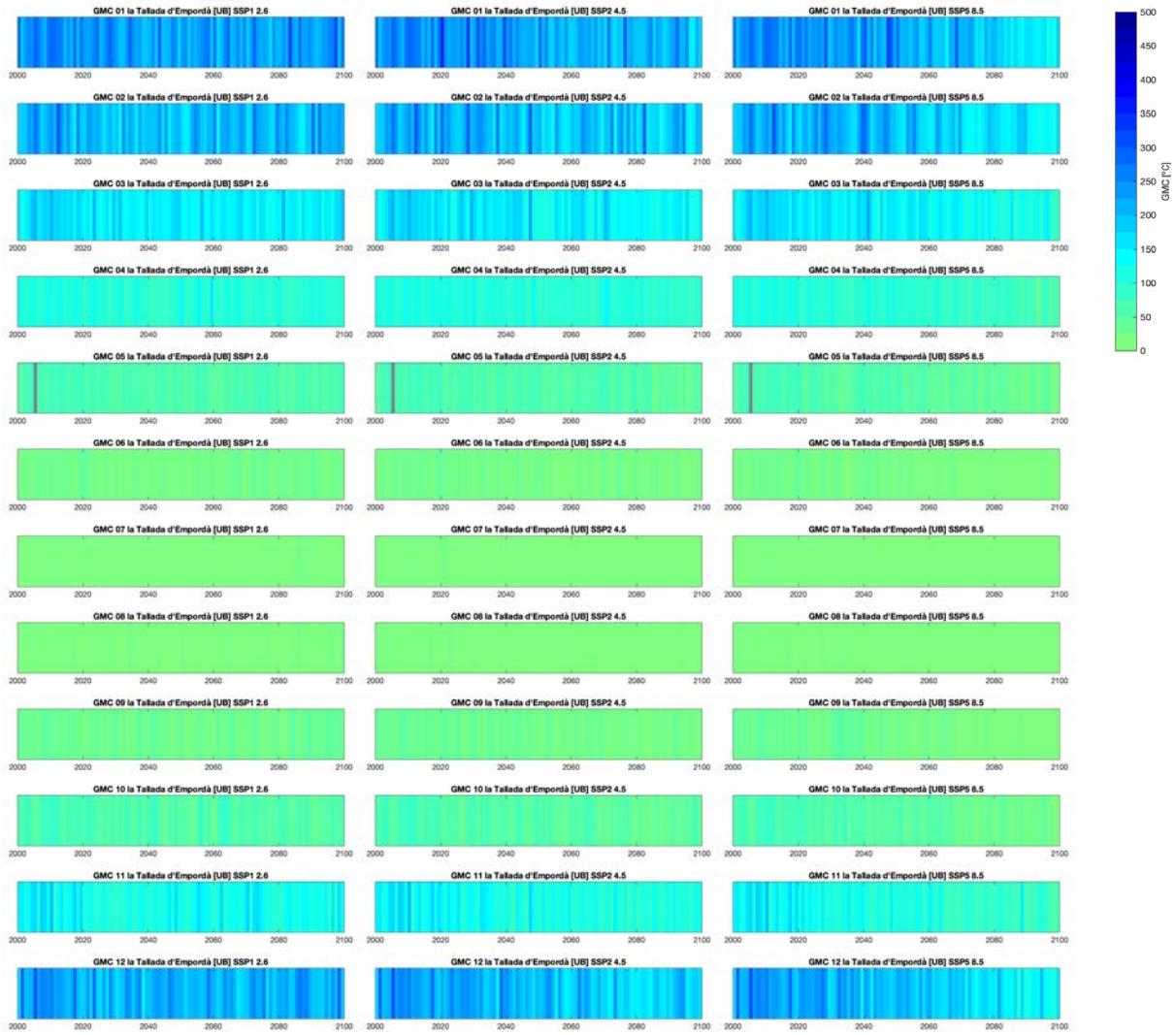

Figura B.169: Evolució dels graus-mes de calefacció (GMC) a l'estació UB- La Tallada d'Empordà, per als diferents escenaris [SSP1 2.6, SSP2 4.5 i SSP5 8.5] per al model climàtic MPI-ESM1.

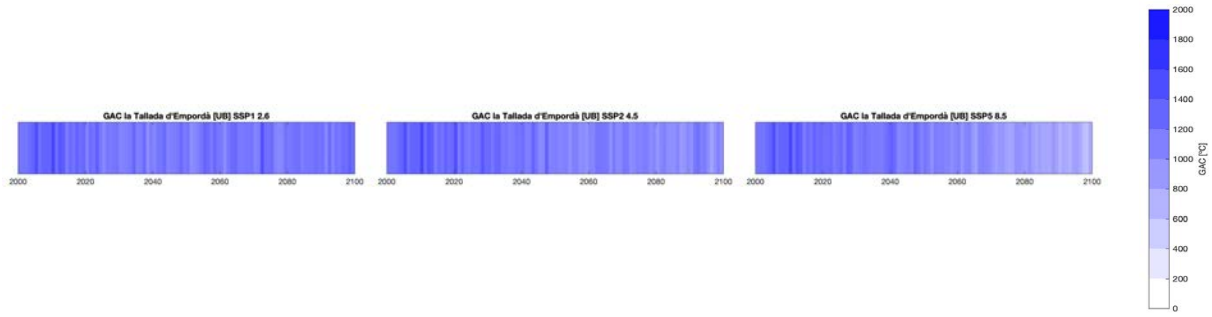

Figura B.170: Evolució dels graus-any de calefacció (GAC) a l'estació UB- La Tallada d'Empordà, per als diferents escenaris [SSP1 2.6, SSP2 4.5 i SSP5 8.5] per al model climàtic MPI-ESM1.

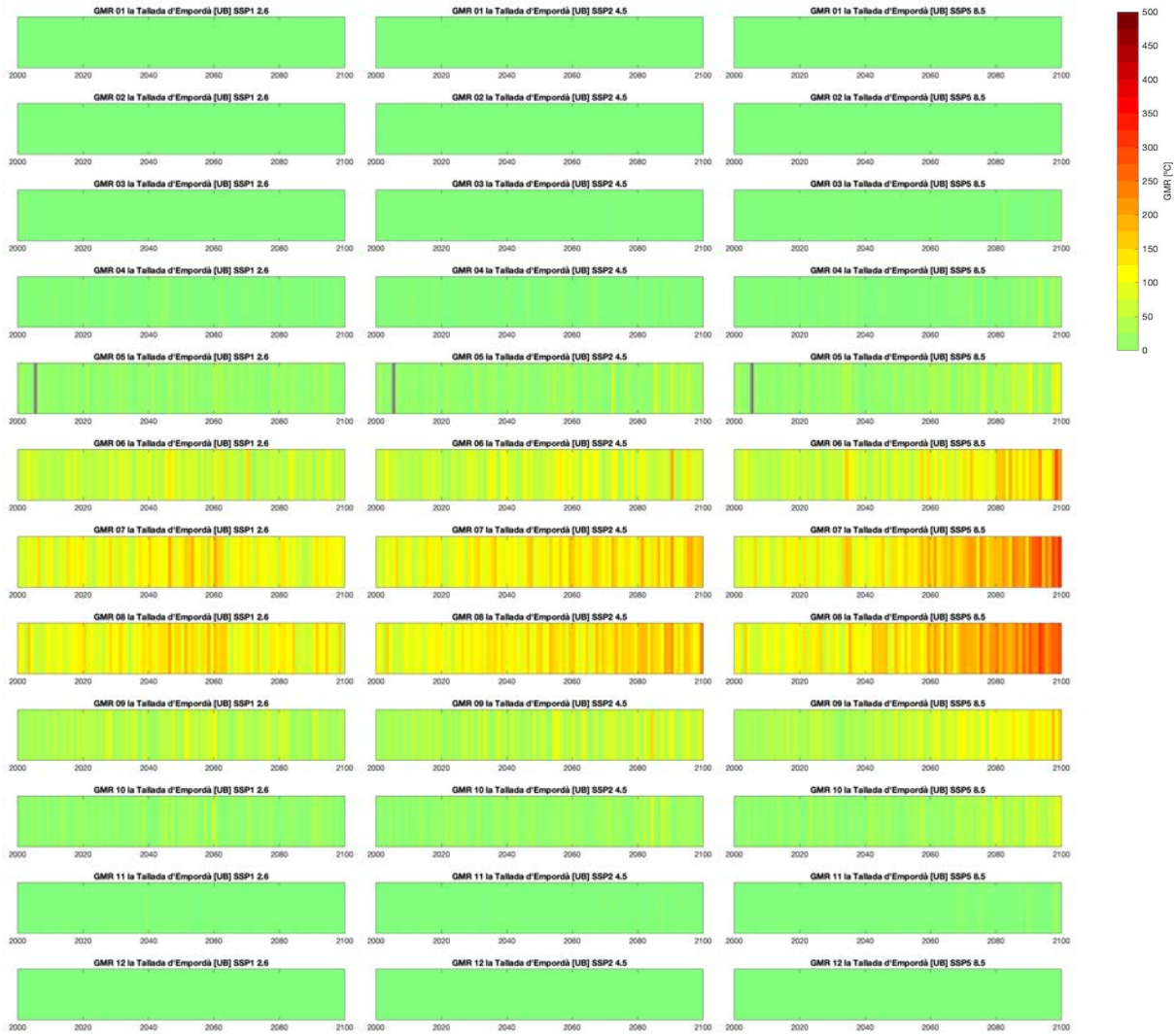

Figura B.171: Evolució dels graus-mes de refrigeració (GMR a l'estació UB- La Tallada d'Empordà, per als diferents escenaris [SSP1 2.6, SSP2 4.5 i SSP5 8.5] per al model climàtic MPI-ESM1.

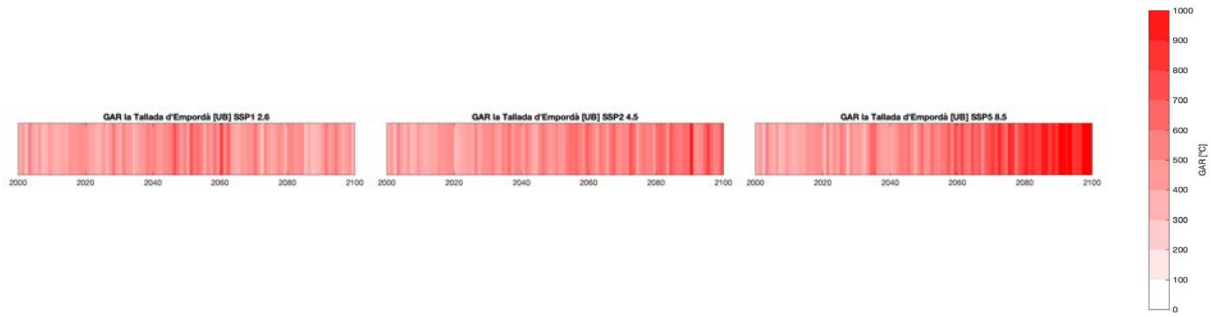

Figura B.172: Evolució dels graus-any de refrigeració (GAR a l'estació UB- La Tallada d'Empordà, per als diferents escenaris [SSP1 2.6, SSP2 4.5 i SSP5 8.5] per al model climàtic MPI-ESM1.

B.1.45 UC - Monells

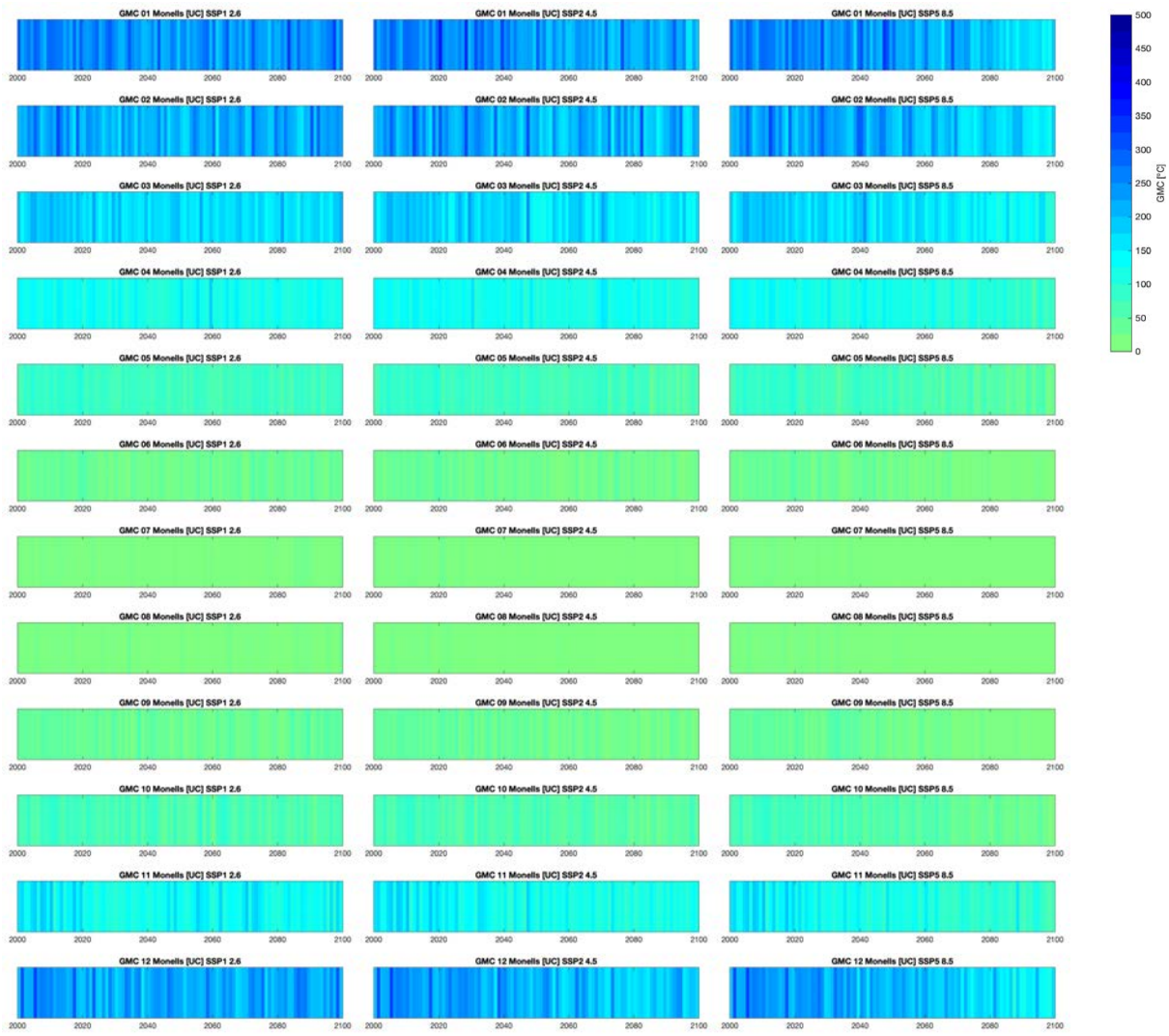

Figura B.173: Evolució dels graus-mes de calefacció (GMC) a l'estació UC- Monells, per als diferents escenaris [SSP1 2.6, SSP2 4.5 i SSP5 8.5] per al model climàtic MPI-ESM1.

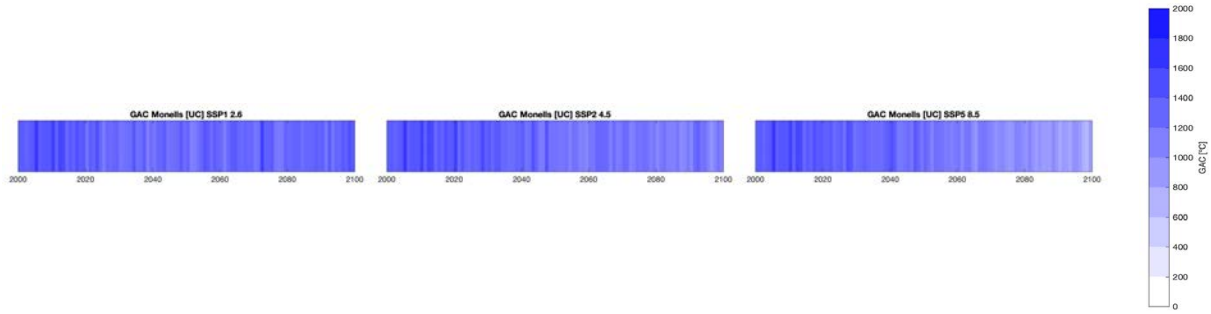

Figura B.174: Evolució dels graus-any de calefacció (GAC) a l'estació UC- Monells, per als diferents escenaris [SSP1 2.6, SSP2 4.5 i SSP5 8.5] per al model climàtic MPI-ESM1.

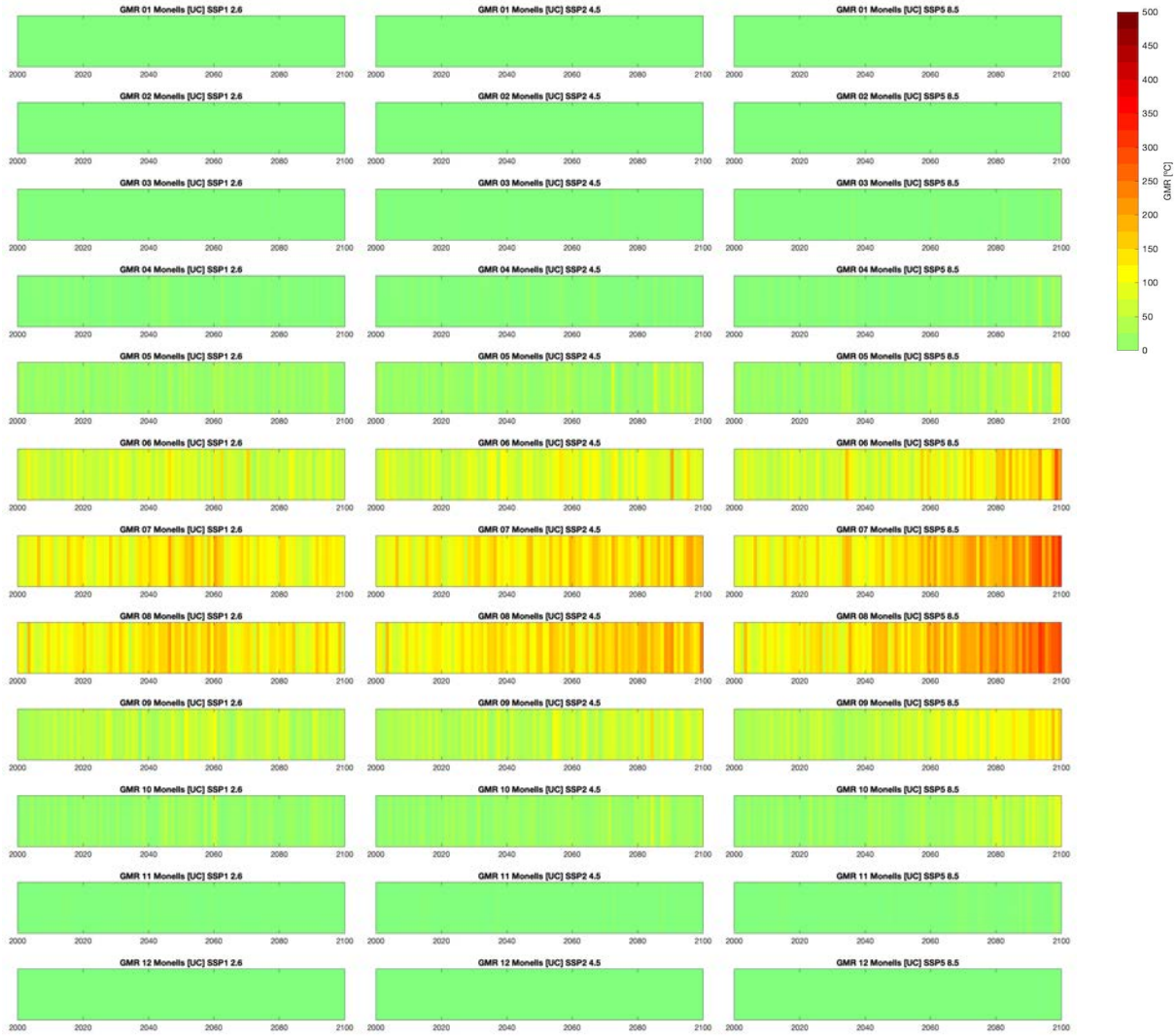

Figura B.175: Evolució dels graus-mes de refrigeració (GMR a l'estació UC- Monells, per als diferents escenaris [SSP1 2.6, SSP2 4.5 i SSP5 8.5] per al model climàtic MPI-ESM1.

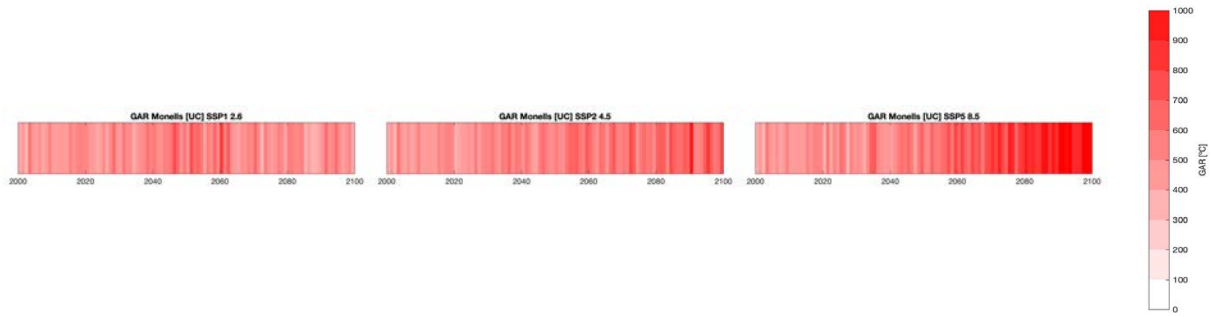

Figura B.176: Evolució dels graus-any de refrigeració (GAR a l'estació UC- Monells, per als diferents escenaris [SSP1 2.6, SSP2 4.5 i SSP5 8.5] per al model climàtic MPI-ESM1.

B.1.46 UE - Torroella de Montgrí

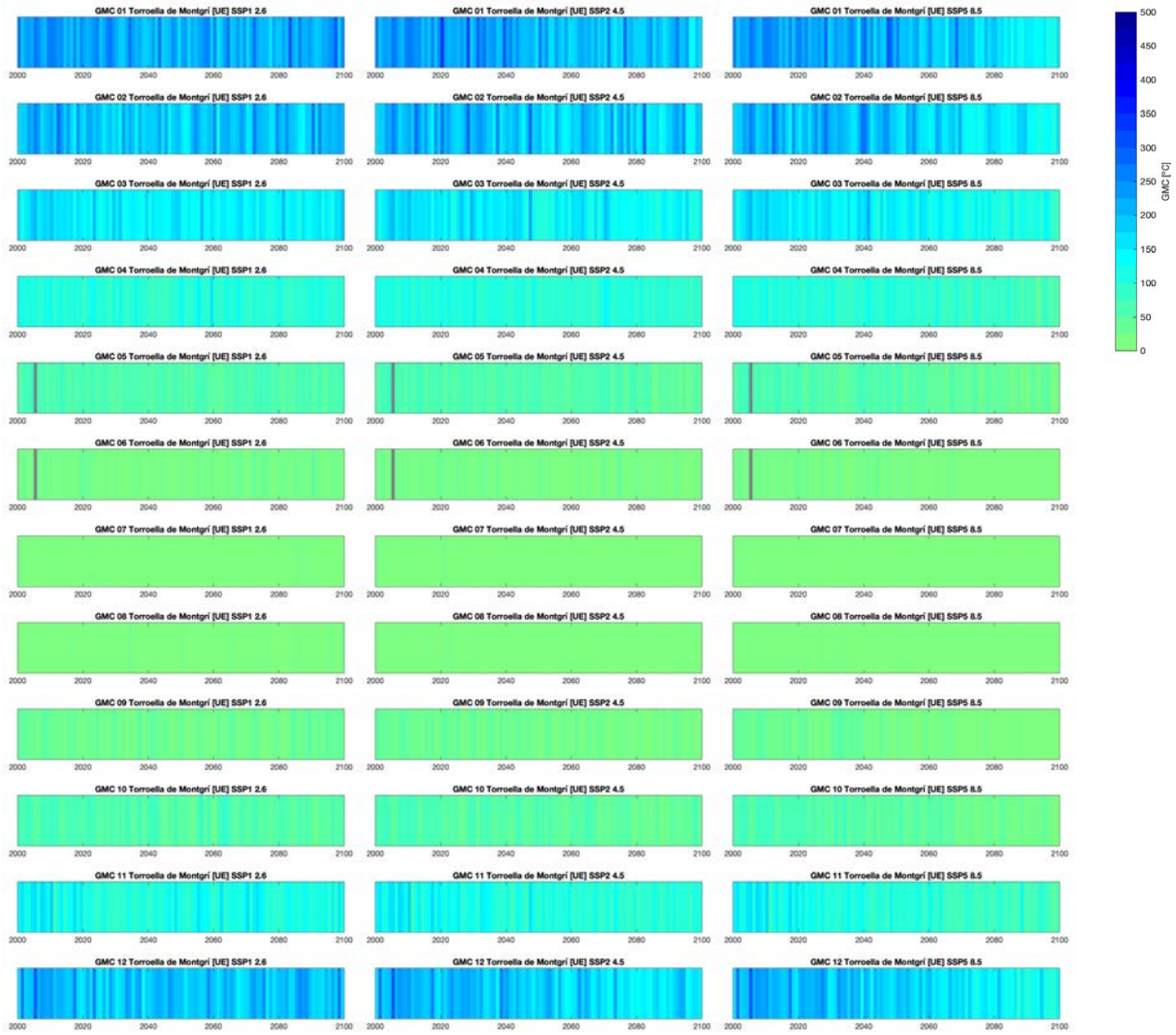

Figura B.177: Evolució dels graus-mes de calefacció (GMC) a l'estació UE- Torroella de Montgrí, per als diferents escenaris [SSP1 2.6, SSP2 4.5 i SSP5 8.5] per al model climàtic MPI-ESM1.

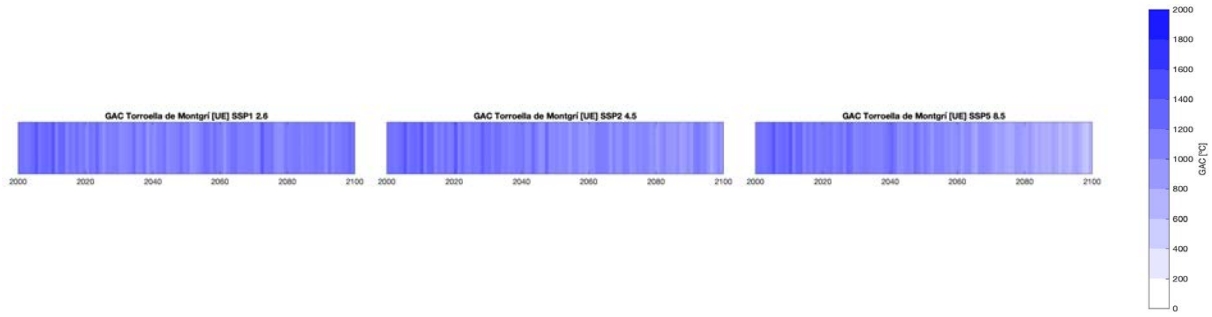

Figura B.178: Evolució dels graus-any de calefacció (GAC) a l'estació UE- Torroella de Montgrí, per als diferents escenaris [SSP1 2.6, SSP2 4.5 i SSP5 8.5] per al model climàtic MPI-ESM1.

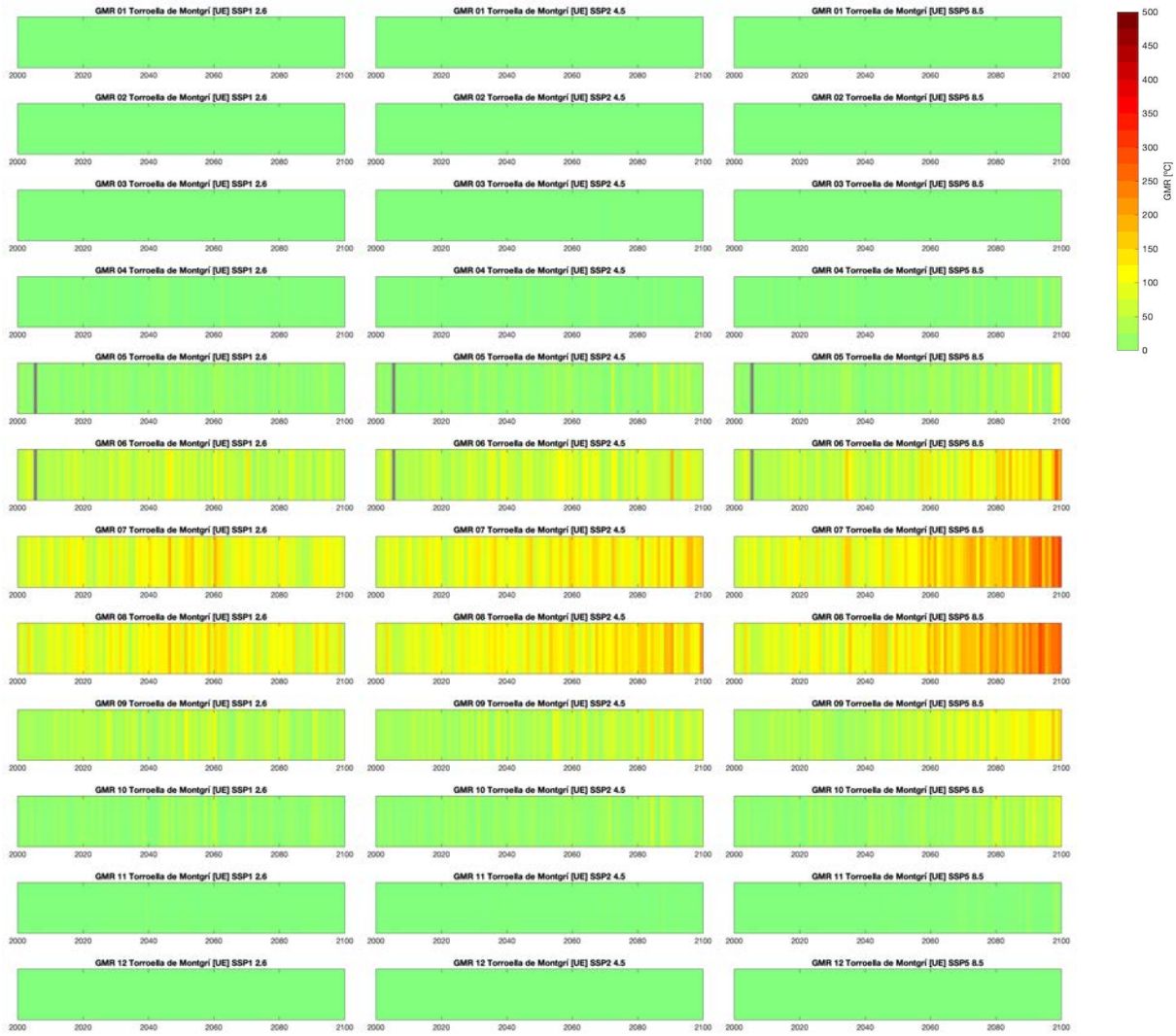

Figura B.179: Evolució dels graus-mes de refrigeració (GMR a l'estació UE- Torroella de Montgrí, per als diferents escenaris [SSP1 2.6, SSP2 4.5 i SSP5 8.5] per al model climàtic MPI-ESM1.

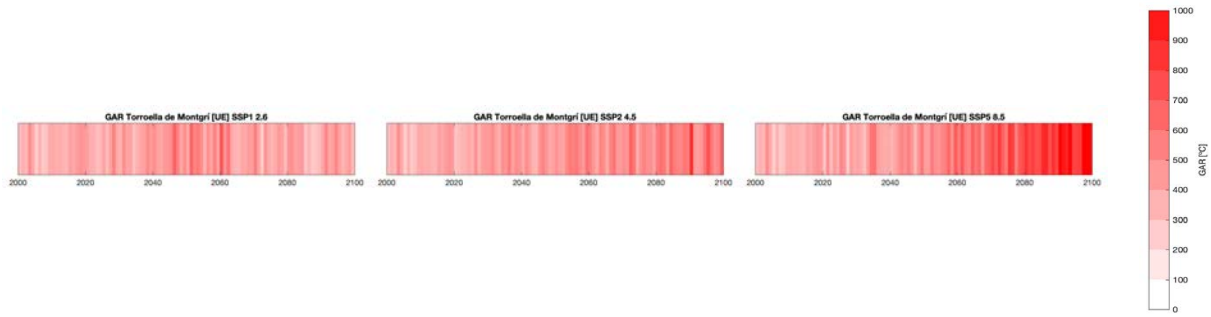

Figura B.180: Evolució dels graus-any de refrigeració (GAR a l'estació UE- Torroella de Montgrí, per als diferents escenaris [SSP1 2.6, SSP2 4.5 i SSP5 8.5] per al model climàtic MPI-ESM1.

B.1.47 UF - PN el Garraf - el Rascler

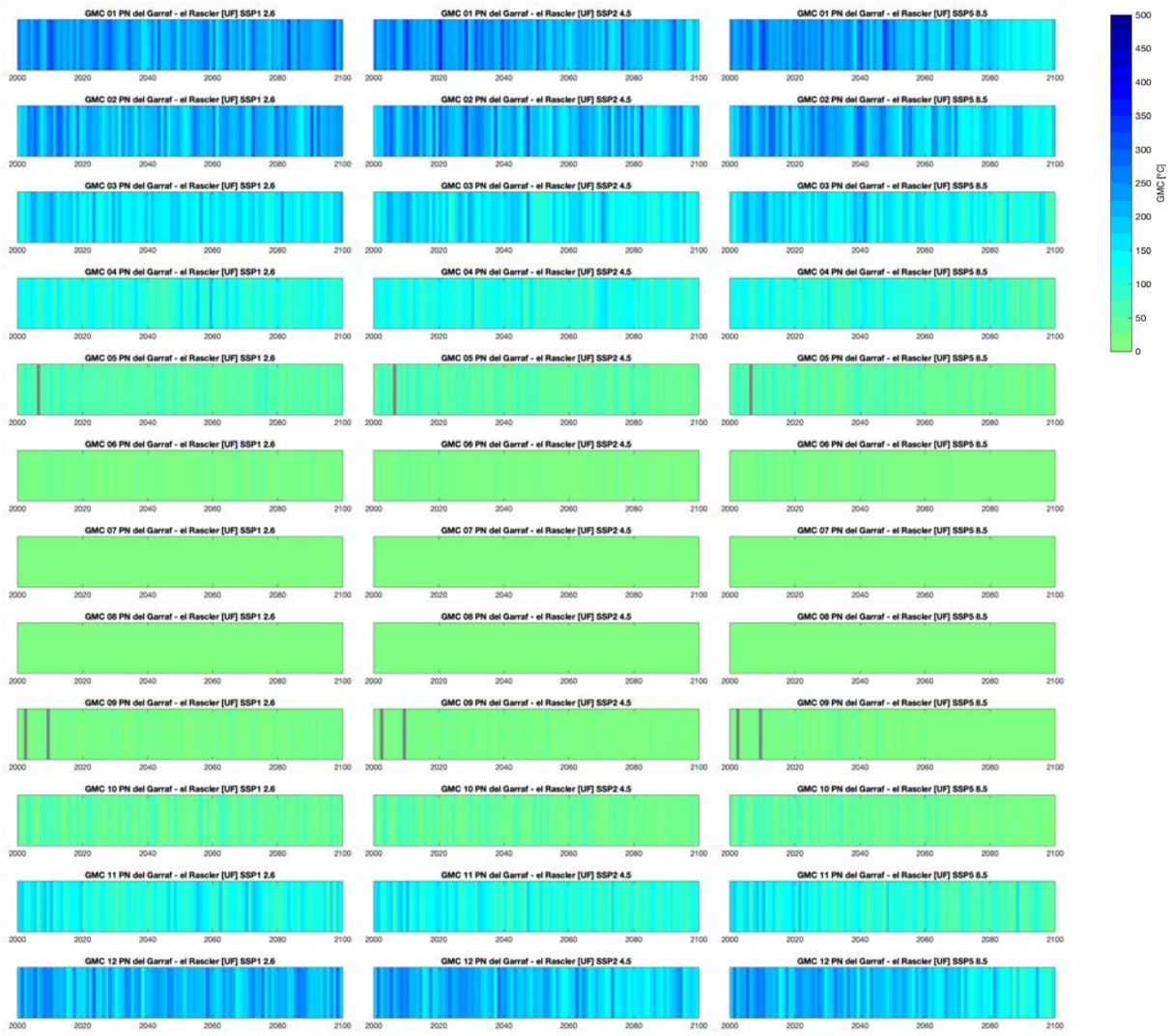

Figura B.181: Evolució dels graus-mes de calefacció (GMC) a l'estació UF- PN el Garraf - el Rascler, per als diferents escenaris [SSP1 2.6, SSP2 4.5 i SSP5 8.5] per al model climàtic MPI-ESM1.

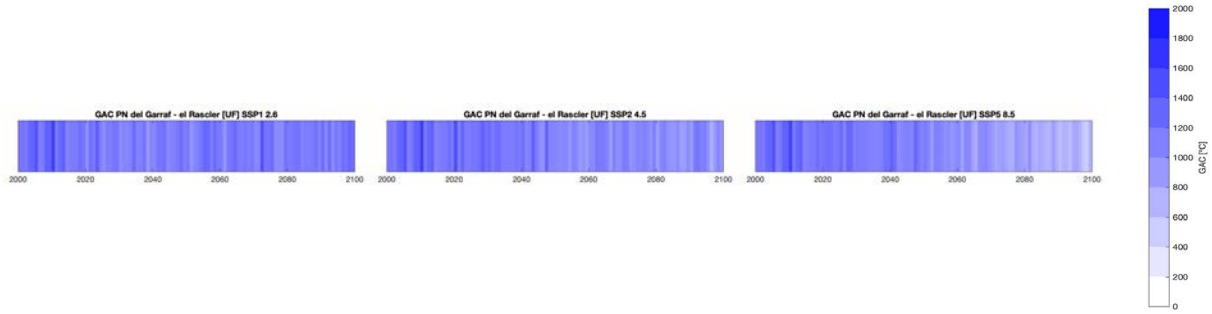

Figura B.182: Evolució dels graus-any de calefacció (GAC) a l'estació UF- PN el Garraf - el Rascler, per als diferents escenaris [SSP1 2.6, SSP2 4.5 i SSP5 8.5] per al model climàtic MPI-ESM1.

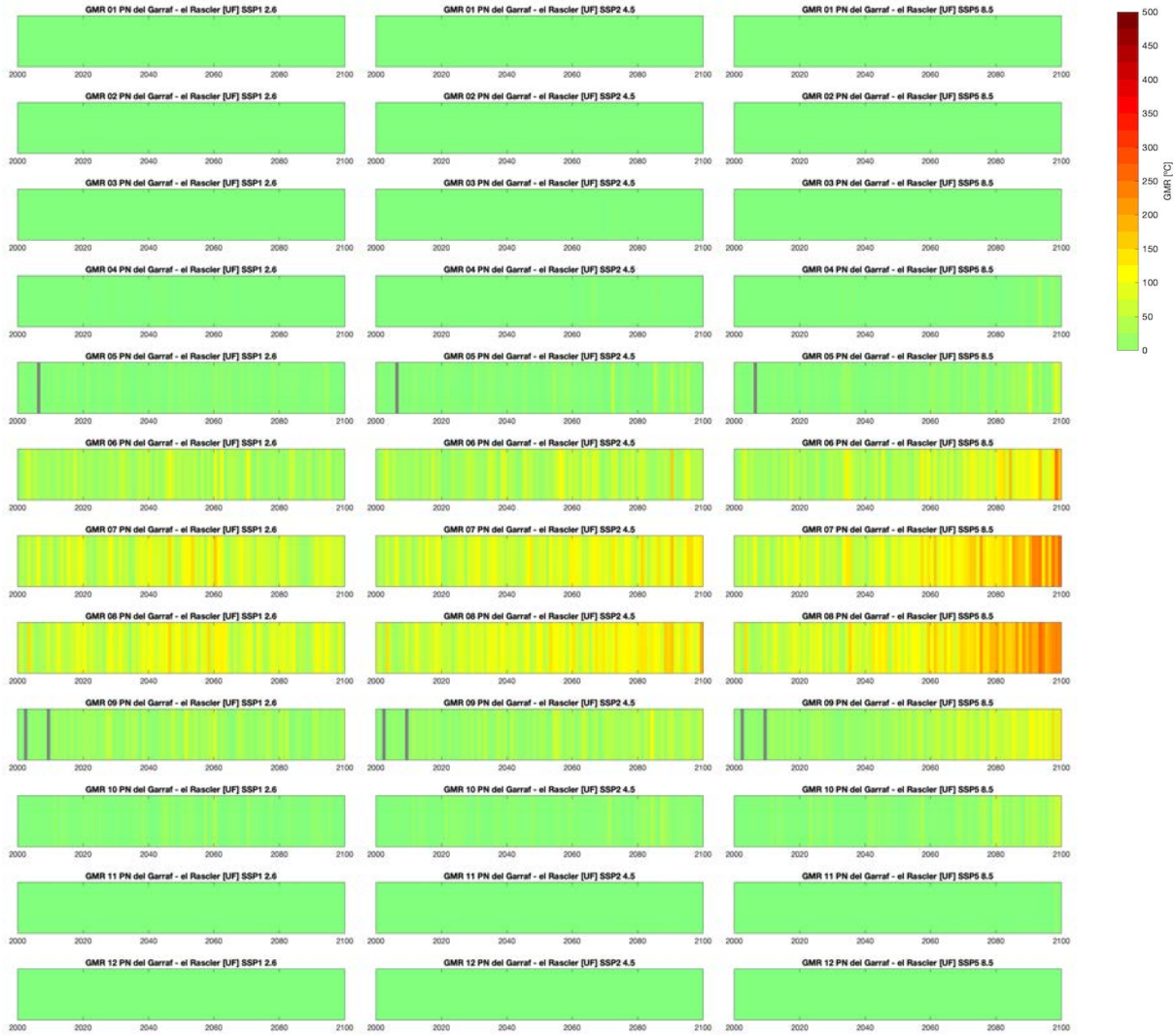

Figura B.183: Evolució dels graus-mes de refrigeració (GMR a l'estació UF- PN el Garraf - el Rascler, per als diferents escenaris [SSP1 2.6, SSP2 4.5 i SSP5 8.5] per al model climàtic MPI-ESM1.

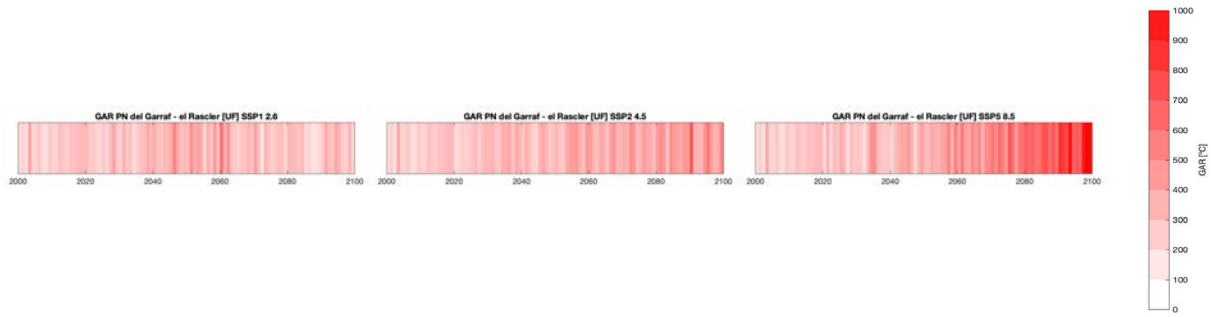

Figura B.184: Evolució dels graus-any de refrigeració (GAR a l'estació UF- PN el Garraf - el Rascler, per als diferents escenaris [SSP1 2.6, SSP2 4.5 i SSP5 8.5] per al model climàtic MPI-ESM1.

B.1.48 UG - Viladecans

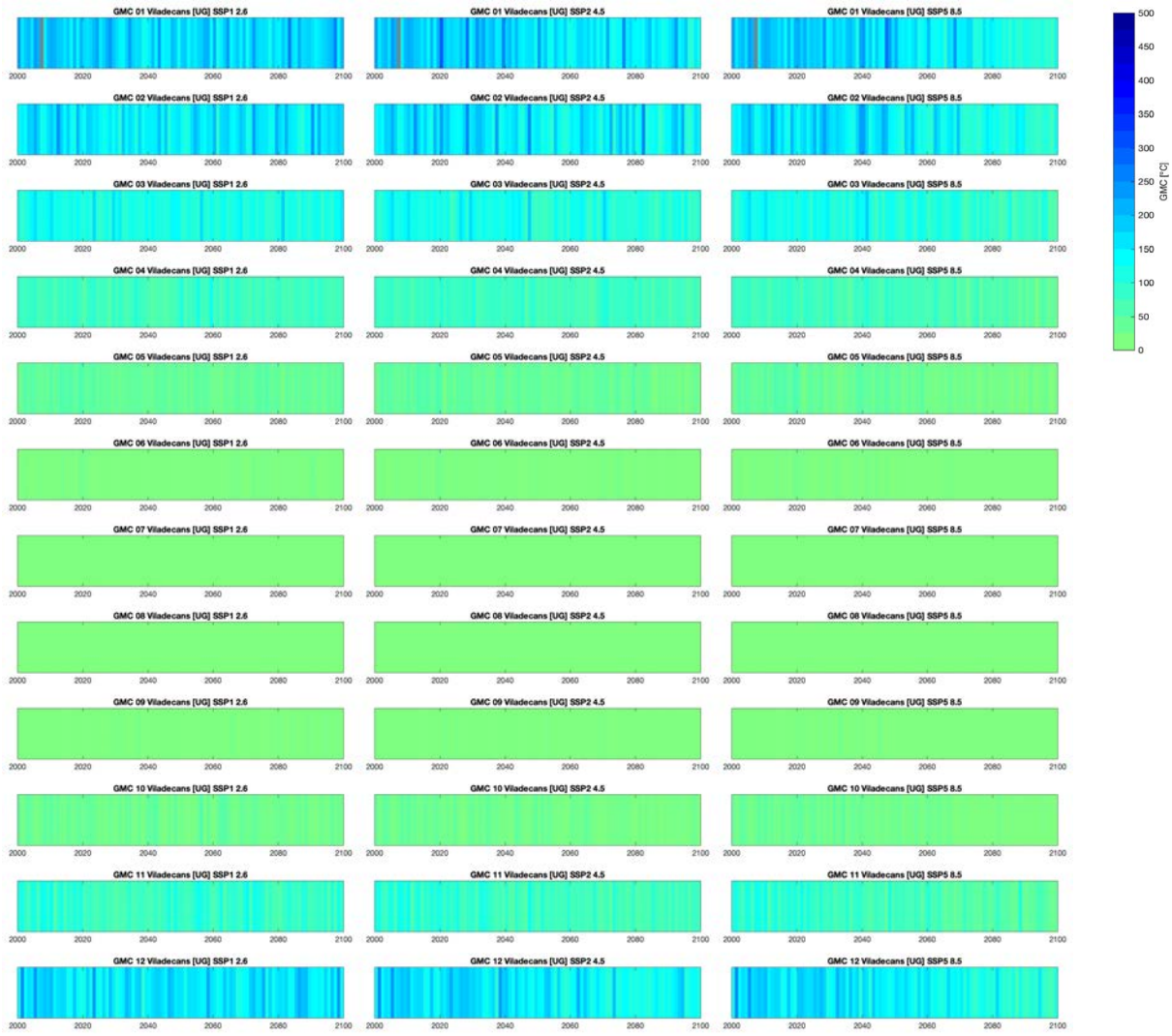

Figura B.185: Evolució dels graus-mes de calefacció (GMC) a l'estació UG- Viladecans, per als diferents escenaris [SSP1 2.6, SSP2 4.5 i SSP5 8.5] per al model climàtic MPI-ESM1.

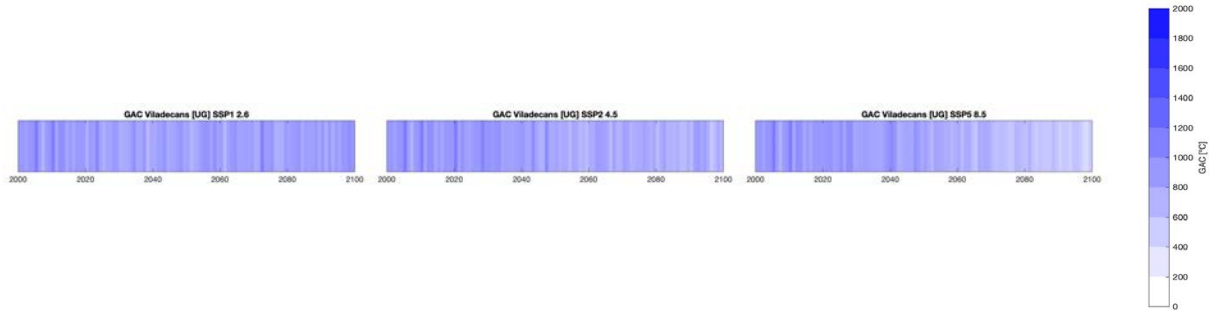

Figura B.186: Evolució dels graus-any de calefacció (GAC) a l'estació UG- Viladecans, per als diferents escenaris [SSP1 2.6, SSP2 4.5 i SSP5 8.5] per al model climàtic MPI-ESM1.

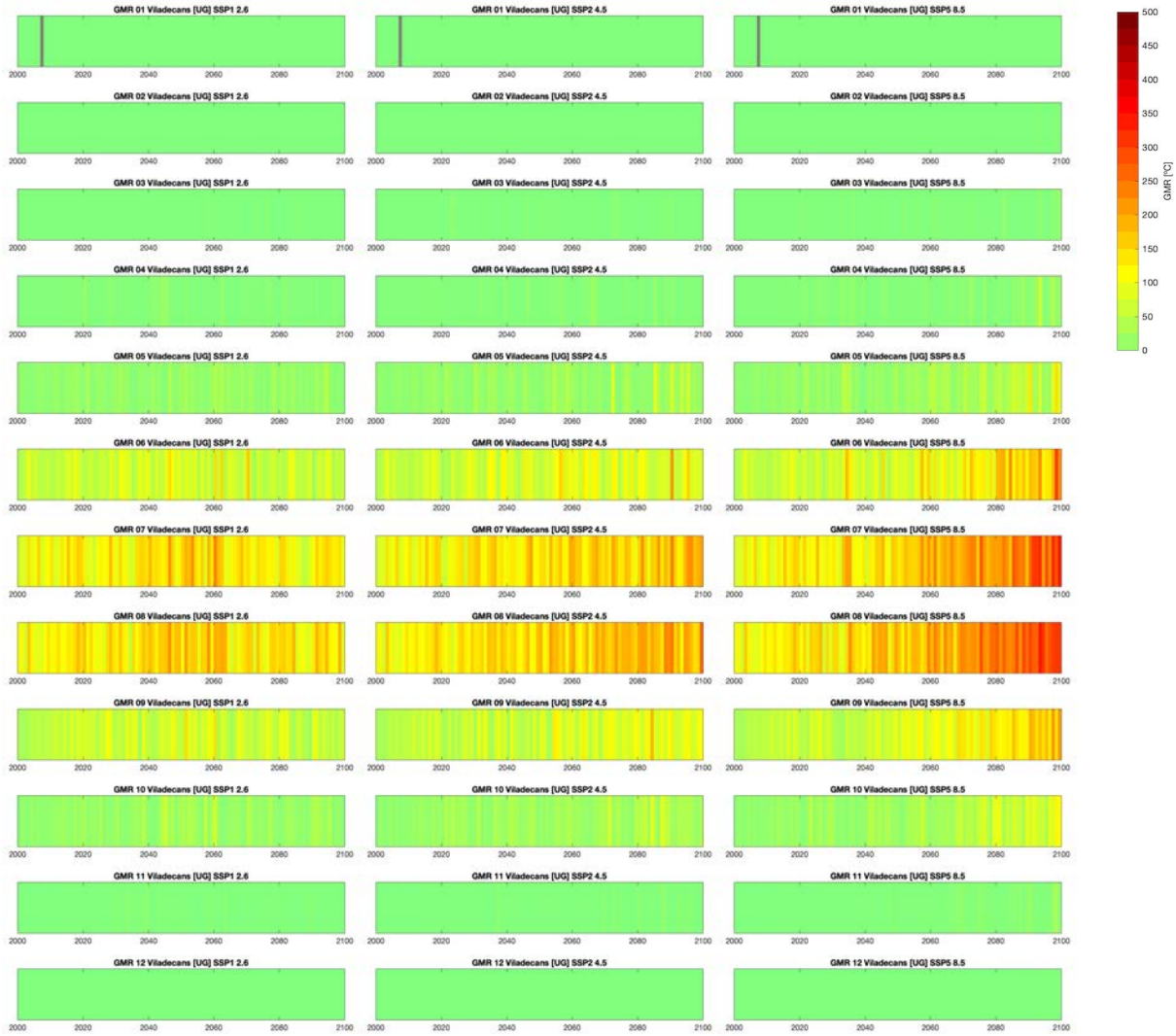

Figura B.187: Evolució dels graus-mes de refrigeració (GMR a l'estació UG- Viladecans, per als diferents escenaris [SSP1 2.6, SSP2 4.5 i SSP5 8.5] per al model climàtic MPI-ESM1.

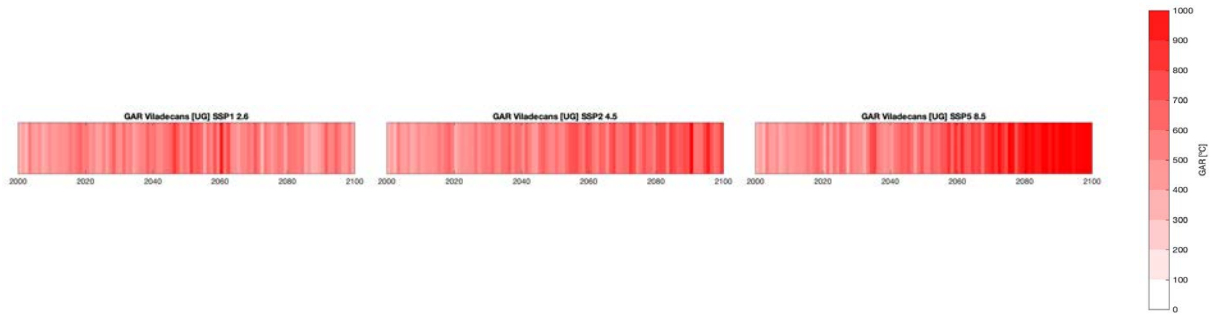

Figura B.188: Evolució dels graus-any de refrigeració (GAR a l'estació UG- Viladecans, per als diferents escenaris [SSP1 2.6, SSP2 4.5 i SSP5 8.5] per al model climàtic MPI-ESM1.

B.1.49 UH - El Montmell

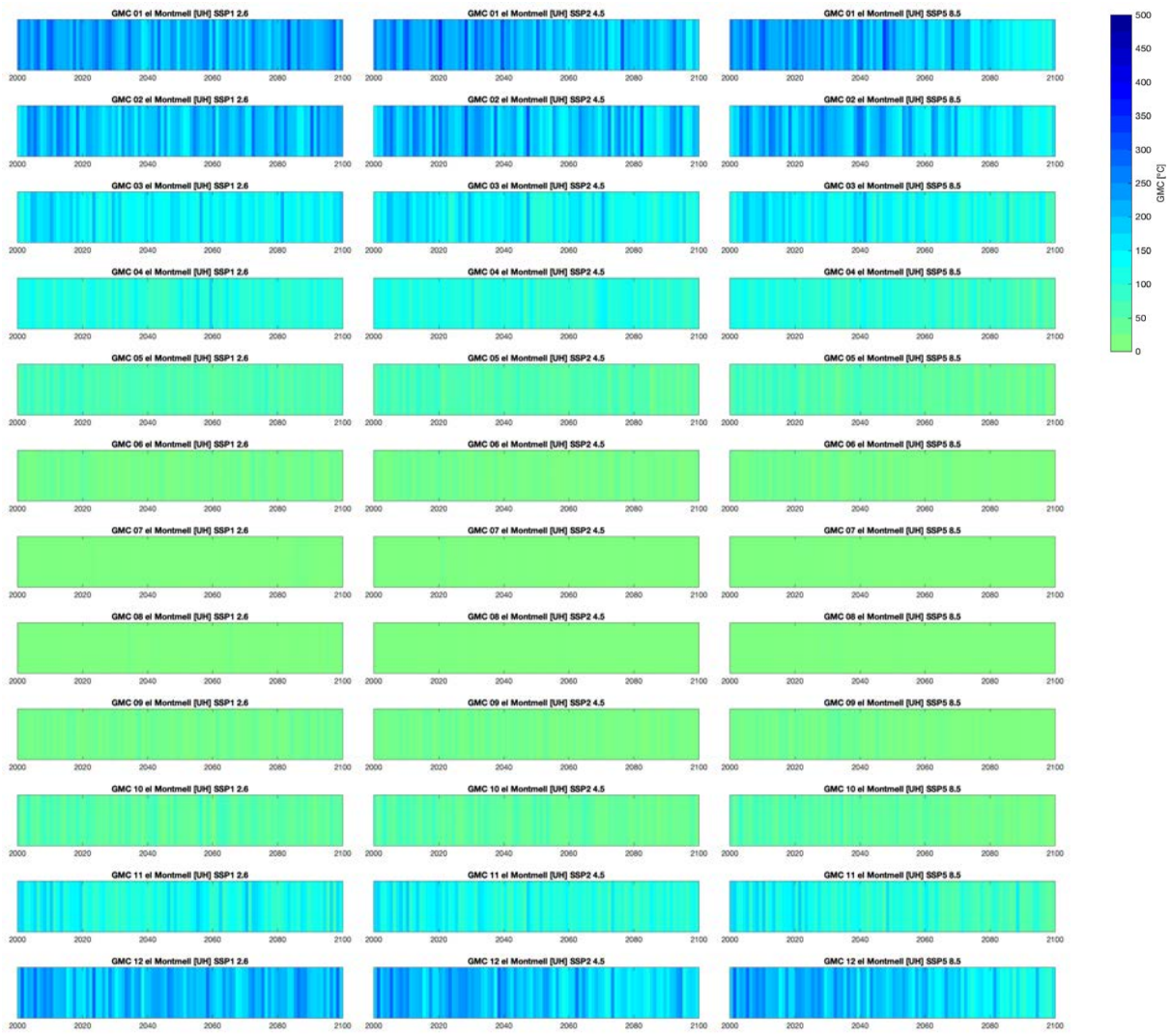

Figura B.189: Evolució dels graus-mes de calefacció (GMC) a l'estació UH- El Montmell, per als diferents escenaris [SSP1 2.6, SSP2 4.5 i SSP5 8.5] per al model climàtic MPI-ESM1.

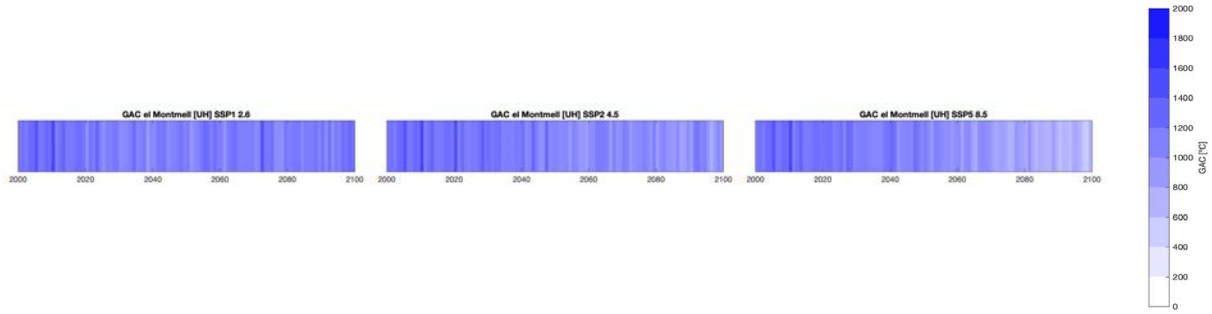

Figura B.190: Evolució dels graus-any de calefacció (GAC) a l'estació UH- El Montmell, per als diferents escenaris [SSP1 2.6, SSP2 4.5 i SSP5 8.5] per al model climàtic MPI-ESM1.

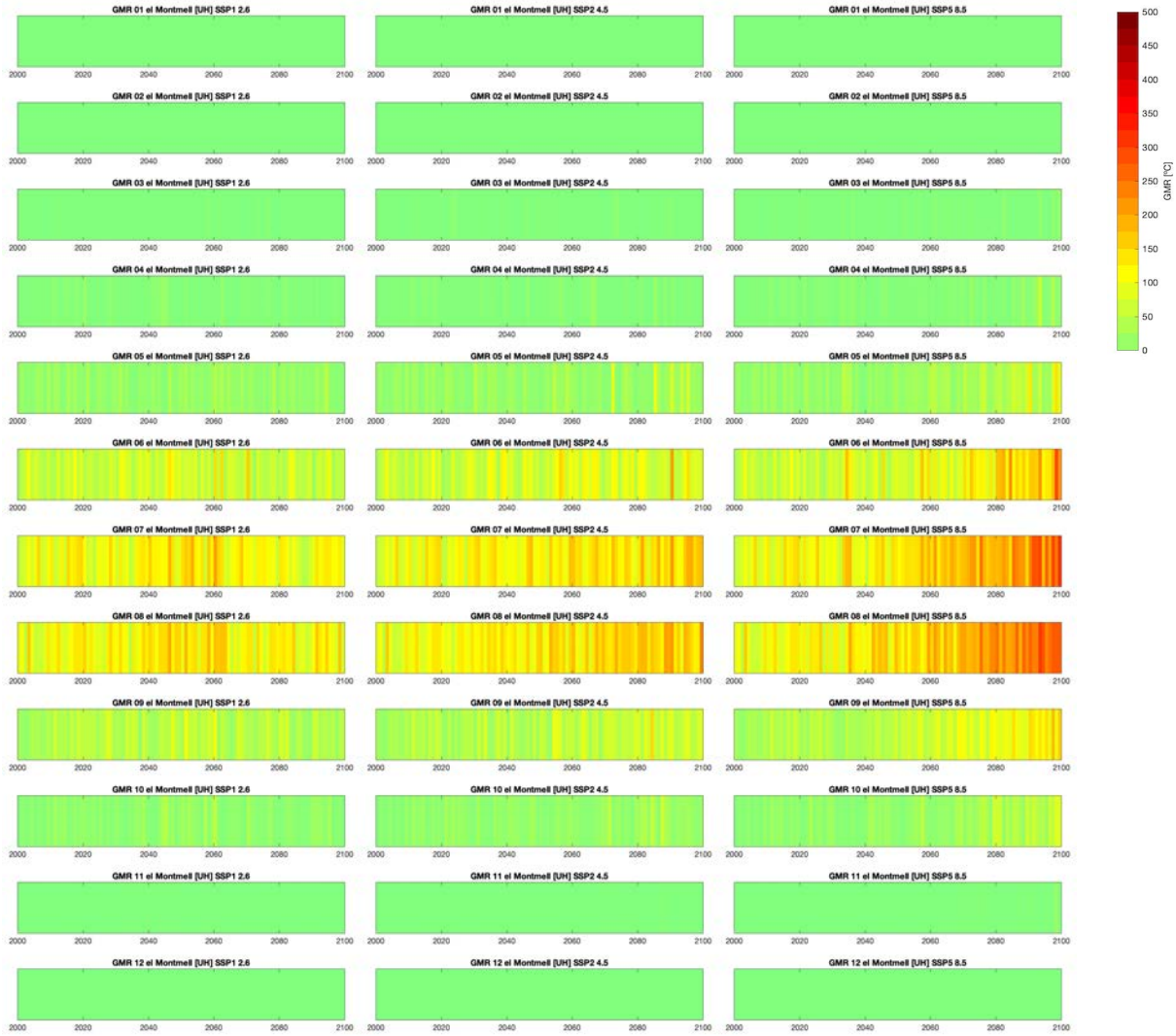

Figura B.191: Evolució dels graus-mes de refrigeració (GMR a l'estació UH- El Montmell, per als diferents escenaris [SSP1 2.6, SSP2 4.5 i SSP5 8.5] per al model climàtic MPI-ESM1.

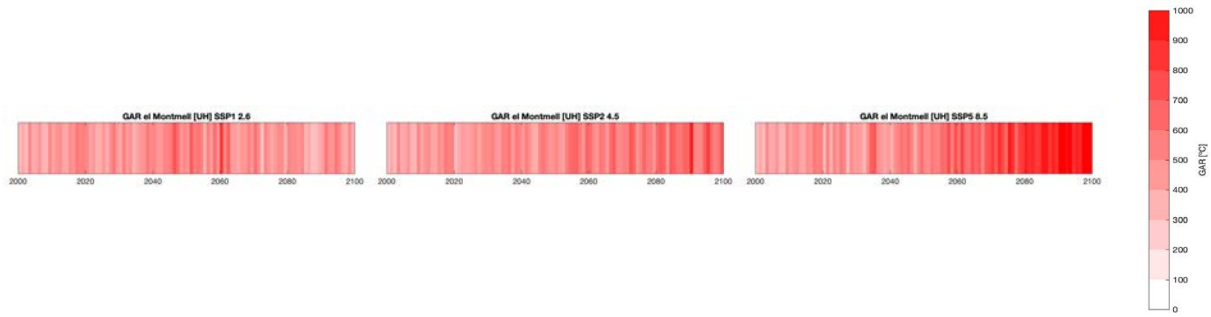

Figura B.192: Evolució dels graus-any de refrigeració (GAR a l'estació UH- El Montmell, per als diferents escenaris [SSP1 2.6, SSP2 4.5 i SSP5 8.5] per al model climàtic MPI-ESM1.

B.1.50 UI - Gisclareny

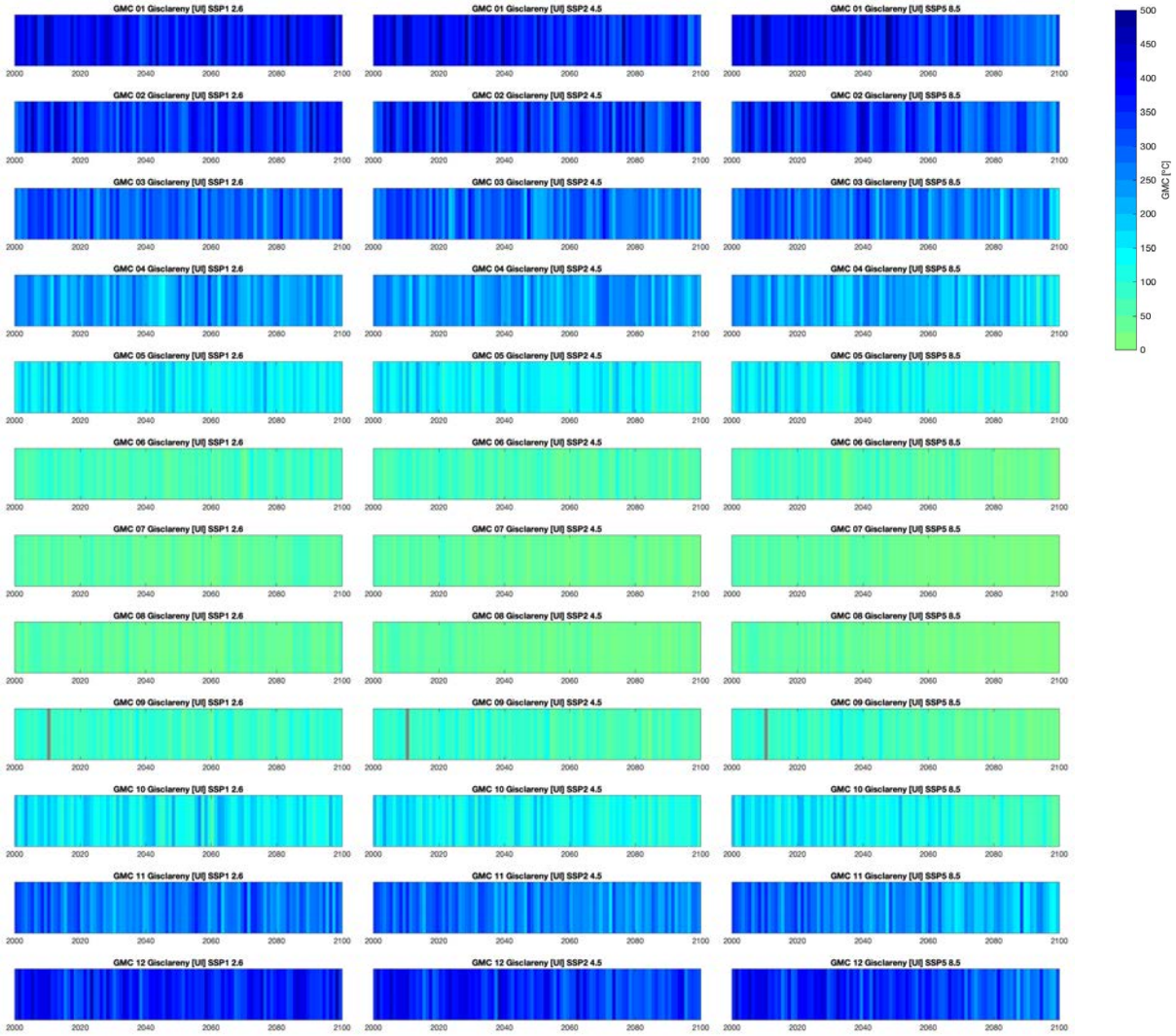

Figura B.193: Evolució dels graus-mes de calefacció (GMC) a l'estació UI- Gisclareny, per als diferents escenaris [SSP1 2.6, SSP2 4.5 i SSP5 8.5] per al model climàtic MPI-ESM1.

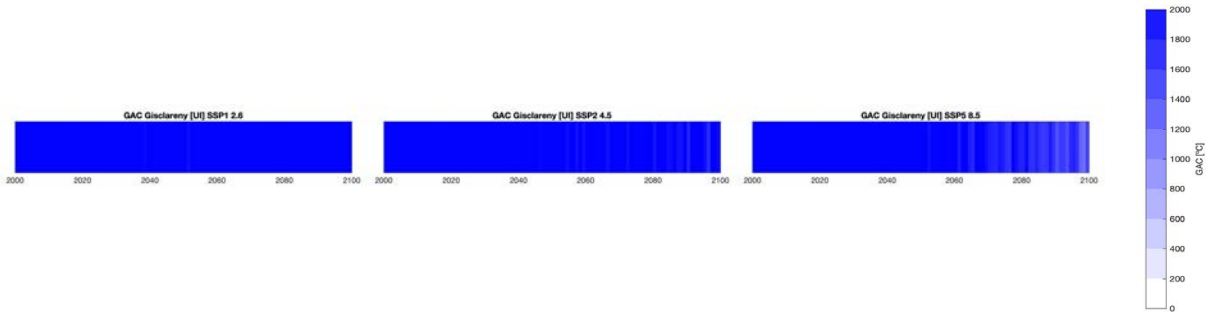

Figura B.194: Evolució dels graus-any de calefacció (GAC) a l'estació UI- Gisclareny, per als diferents escenaris [SSP1 2.6, SSP2 4.5 i SSP5 8.5] per al model climàtic MPI-ESM1.

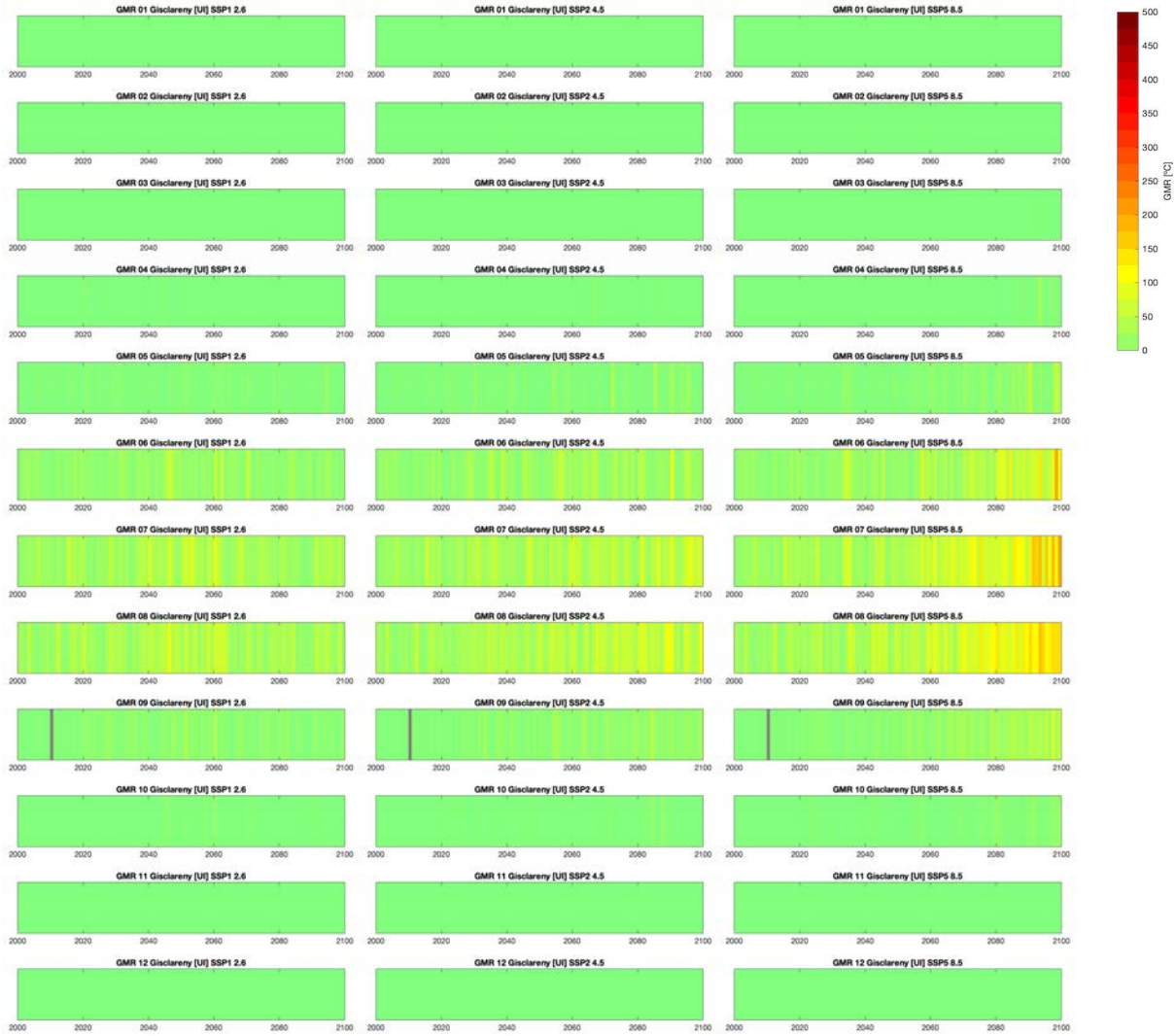

Figura B.195: Evolució dels graus-mes de refrigeració (GMR a l'estació UI- Gisclareny, per als diferents escenaris [SSP1 2.6, SSP2 4.5 i SSP5 8.5] per al model climàtic MPI-ESM1.

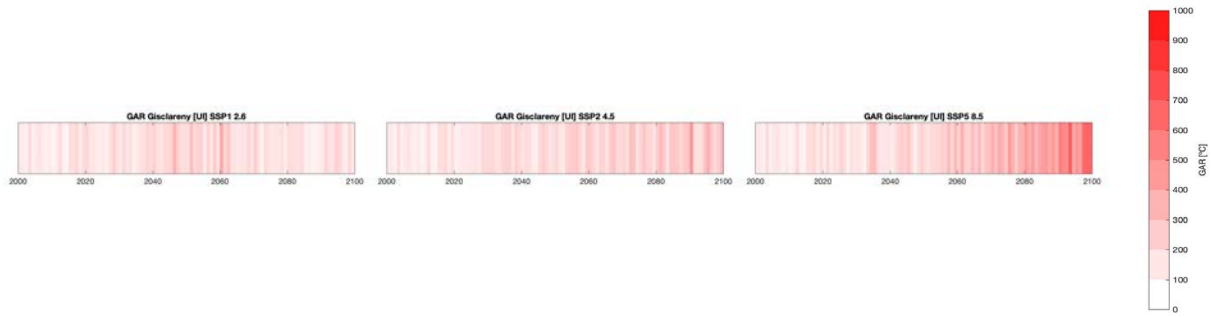

Figura B.196: Evolució dels graus-any de refrigeració (GAR a l'estació UI- Gisclareny, per als diferents escenaris [SSP1 2.6, SSP2 4.5 i SSP5 8.5] per al model climàtic MPI-ESM1.

B.1.51 UJ - Santa Coloma de Queralt

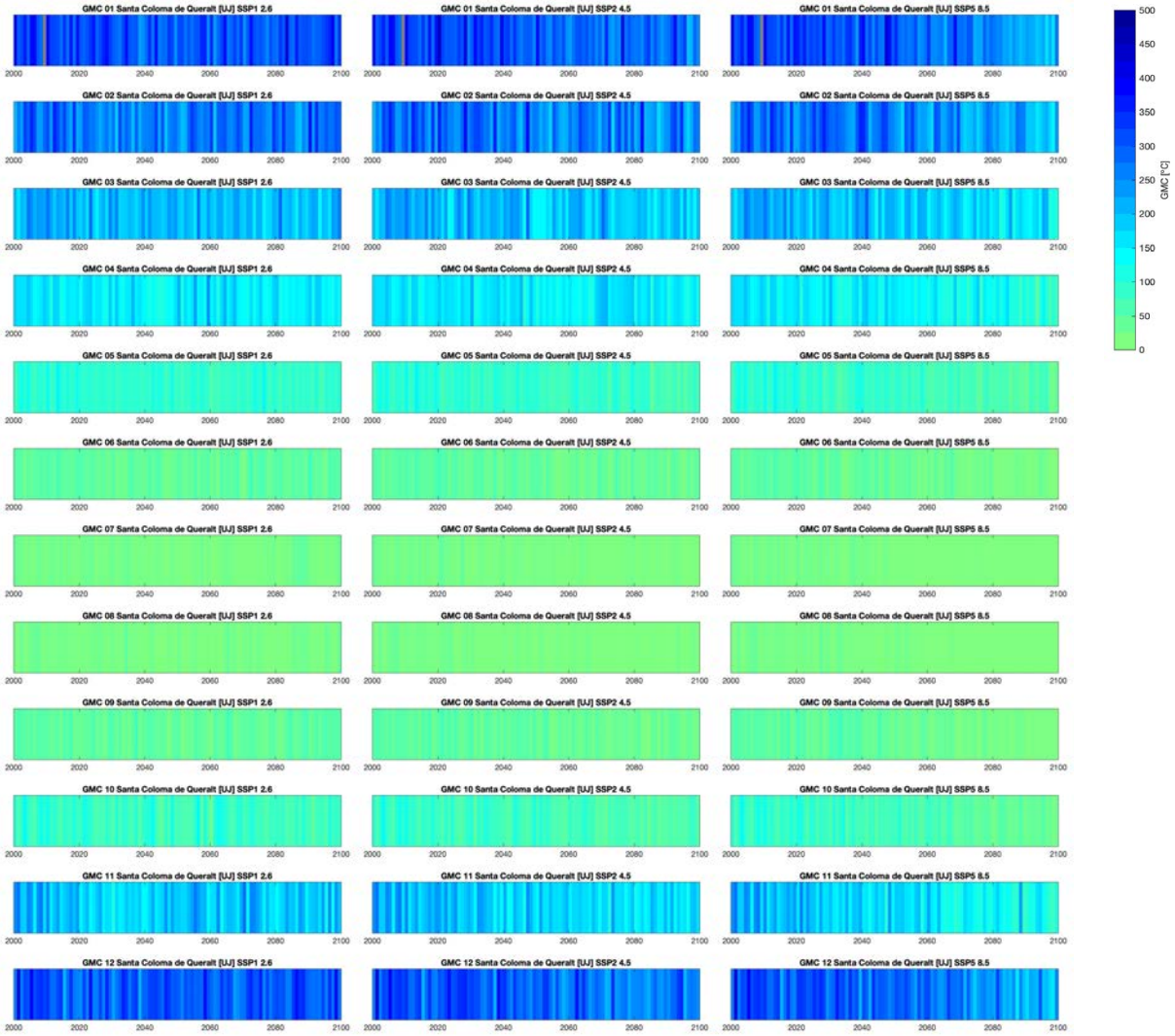

Figura B.197: Evolució dels graus-mes de calefacció (GMC) a l'estació UJ- Santa Coloma de Queralt, per als diferents escenaris [SSP1 2.6, SSP2 4.5 i SSP5 8.5] per al model climàtic MPI-ESM1.

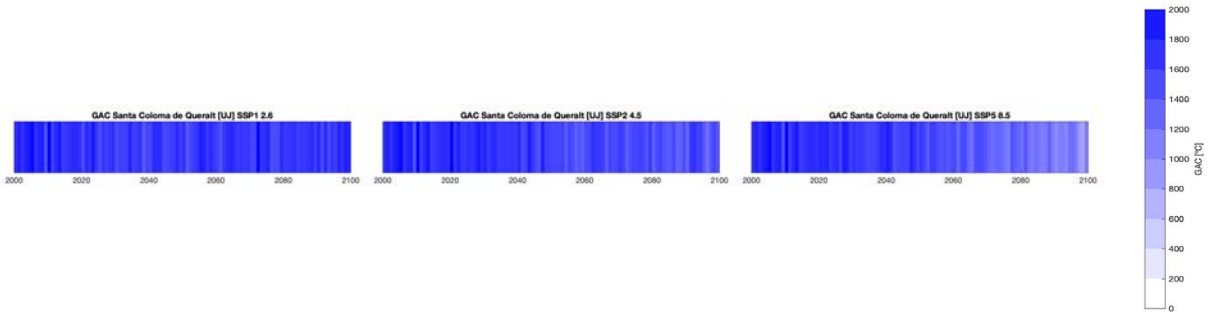

Figura B.198: Evolució dels graus-any de calefacció (GAC) a l'estació UJ- Santa Coloma de Queralt, per als diferents escenaris [SSP1 2.6, SSP2 4.5 i SSP5 8.5] per al model climàtic MPI-ESM1.

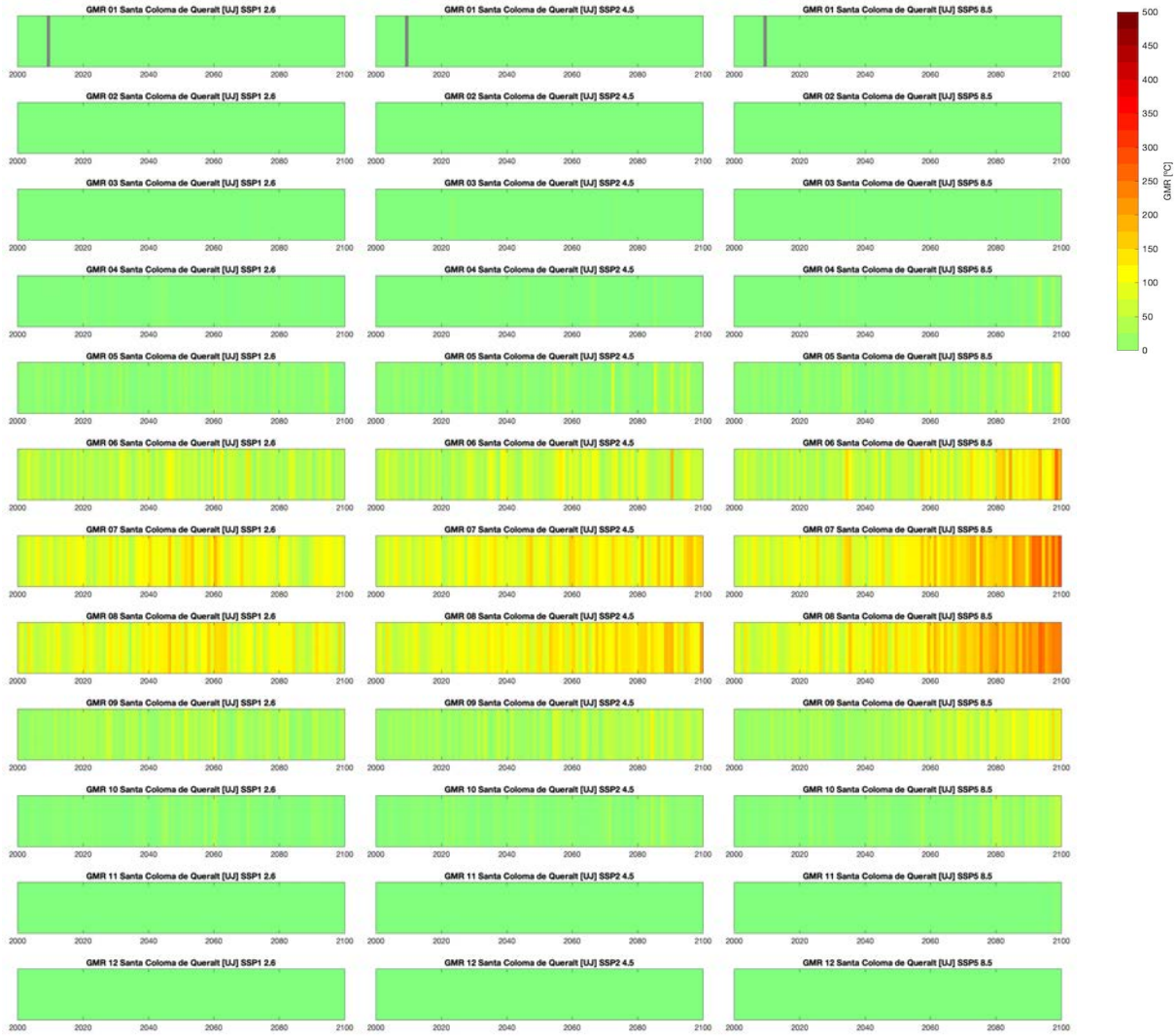

Figura B.199: Evolució dels graus-mes de refrigeració (GMR a l'estació UJ- Santa Coloma de Queralt, per als diferents escenaris [SSP1 2.6, SSP2 4.5 i SSP5 8.5] per al model climàtic MPI-ESM1.

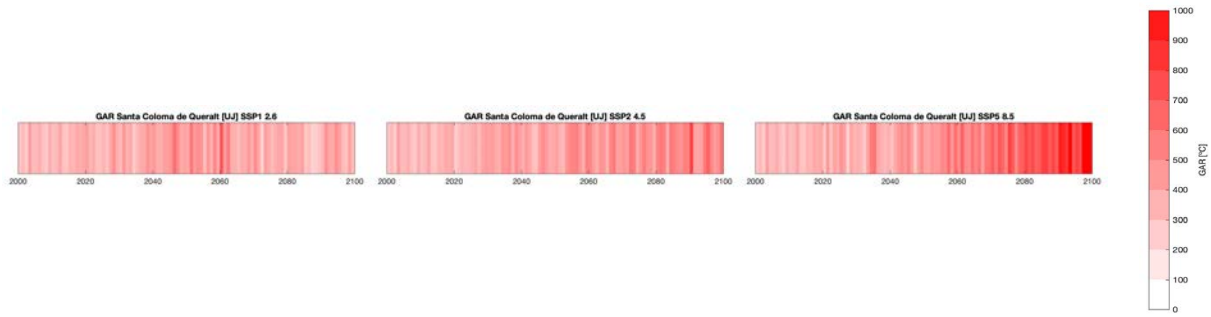

Figura B.200: Evolució dels graus-any de refrigeració (GAR a l'estació UJ- Santa Coloma de Queralt, per als diferents escenaris [SSP1 2.6, SSP2 4.5 i SSP5 8.5] per al model climàtic MPI-ESM1.

B.1.52 UK - Sant Pere de Ribes - PN el Garraf

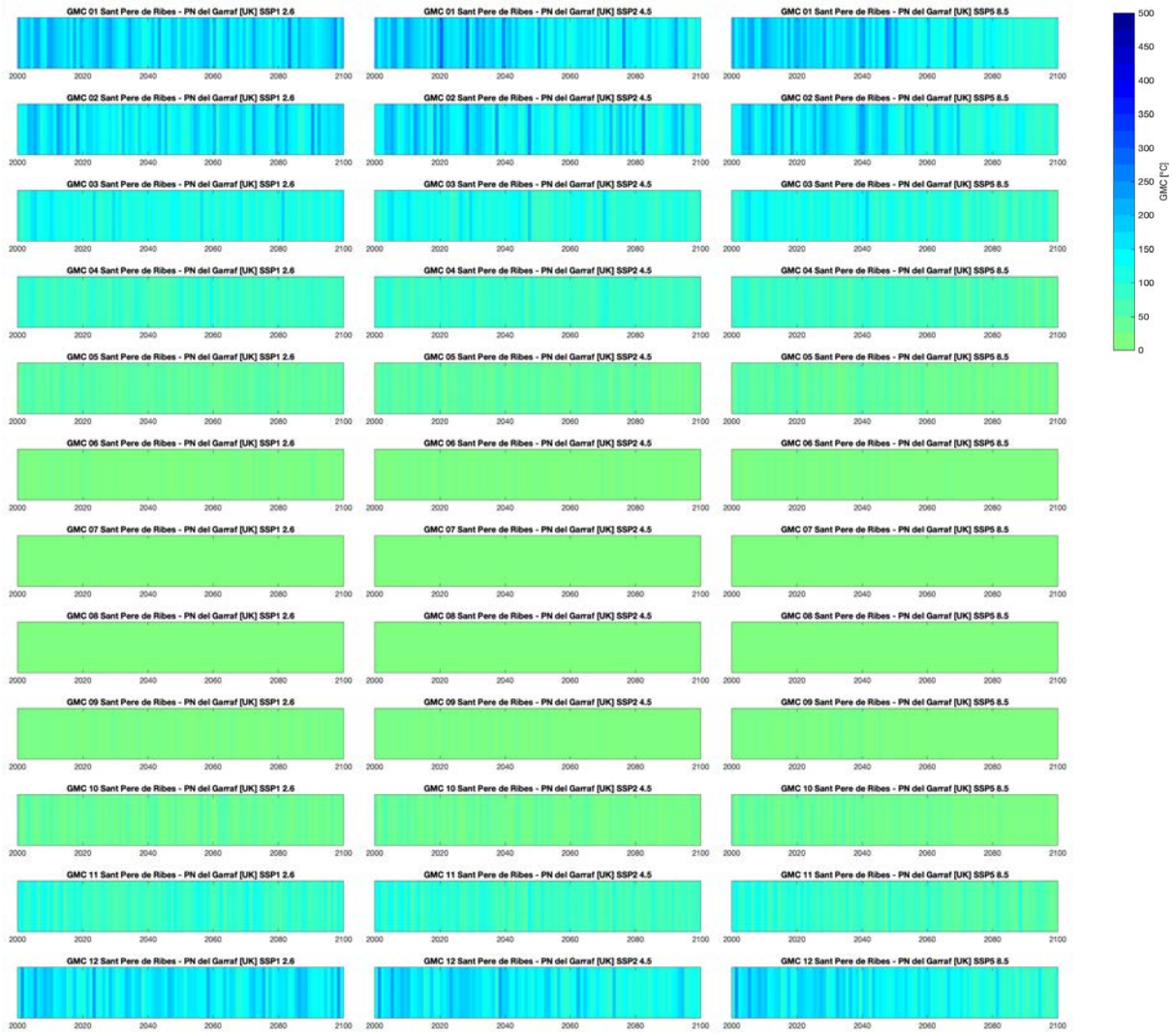

Figura B.201: Evolució dels graus-mes de calefacció (GMC) a l'estació UK- Sant Pere de Ribes - PN el Garraf, per als diferents escenaris [SSP1 2.6, SSP2 4.5 i SSP5 8.5] per al model climàtic MPI-ESM1.

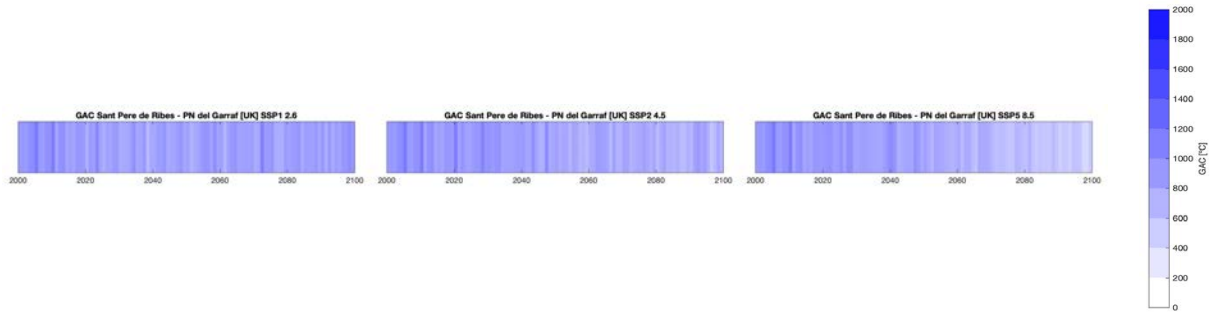

Figura B.202: Evolució dels graus-any de calefacció (GAC) a l'estació UK- Sant Pere de Ribes - PN el Garraf, per als diferents escenaris [SSP1 2.6, SSP2 4.5 i SSP5 8.5] per al model climàtic MPI-ESM1.

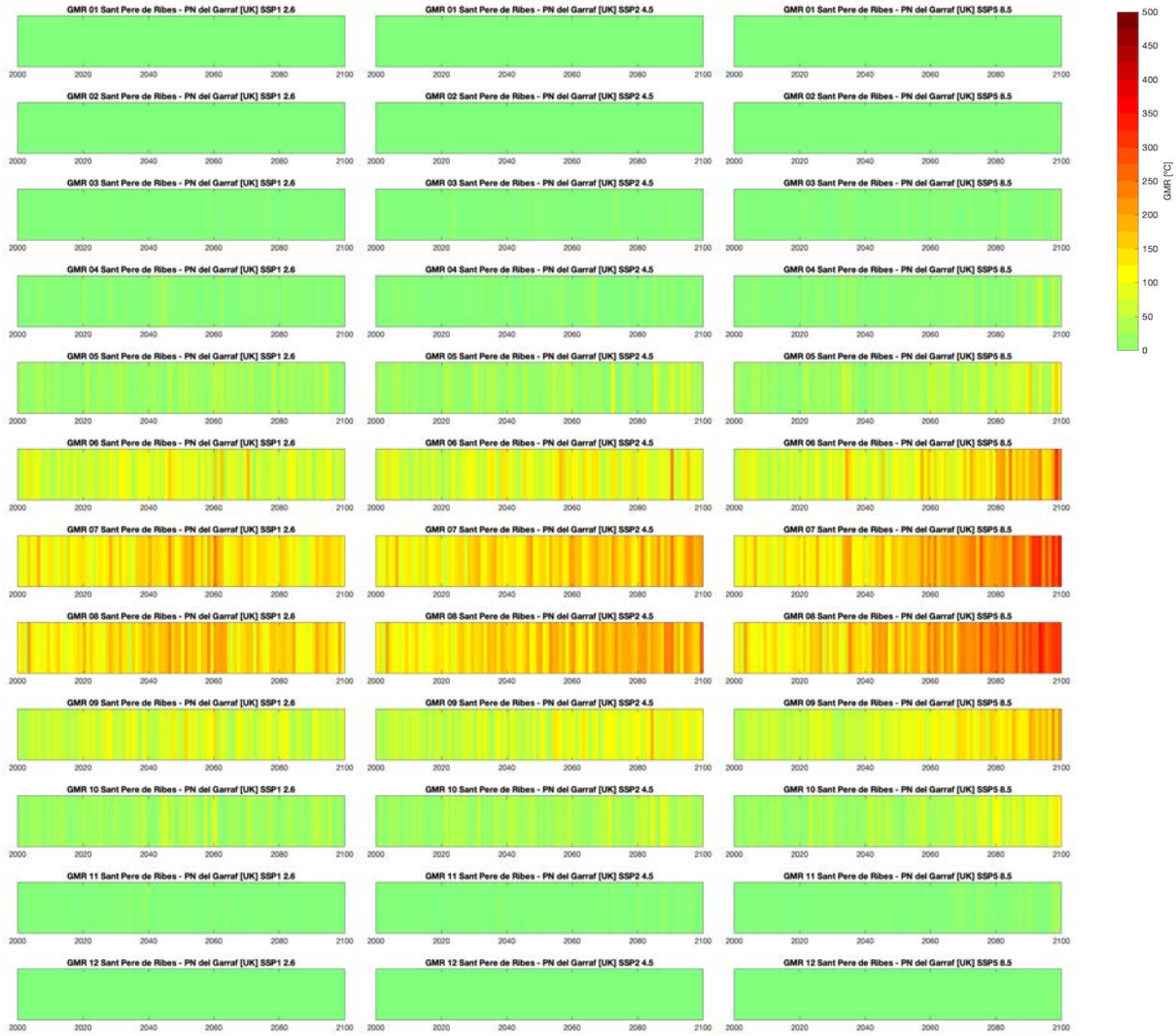

Figura B.203: Evolució dels graus-mes de refrigeració (GMR a l'estació UK- Sant Pere de Ribes - PN el Garraf, per als diferents escenaris [SSP1 2.6, SSP2 4.5 i SSP5 8.5] per al model climàtic MPI-ESM1.

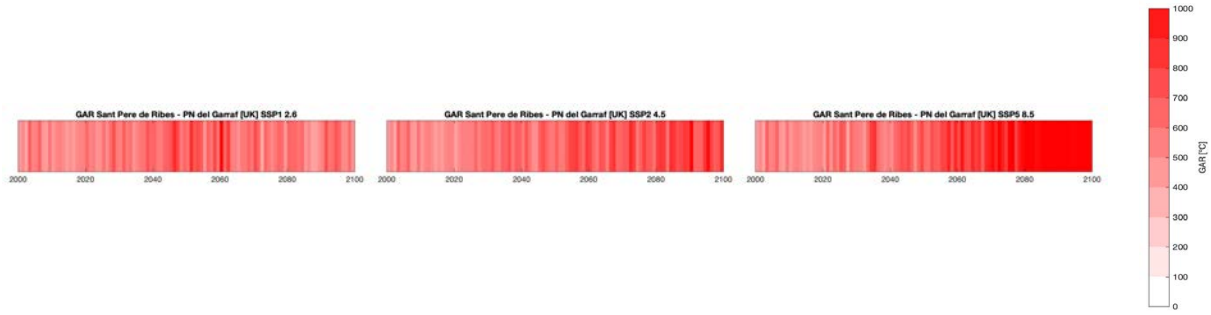

Figura B.204: Evolució dels graus-any de refrigeració (GAR a l'estació UK- Sant Pere de Ribes - PN el Garraf, per als diferents escenaris [SSP1 2.6, SSP2 4.5 i SSP5 8.5] per al model climàtic MPI-ESM1.

B.1.53 UM - La Granadella

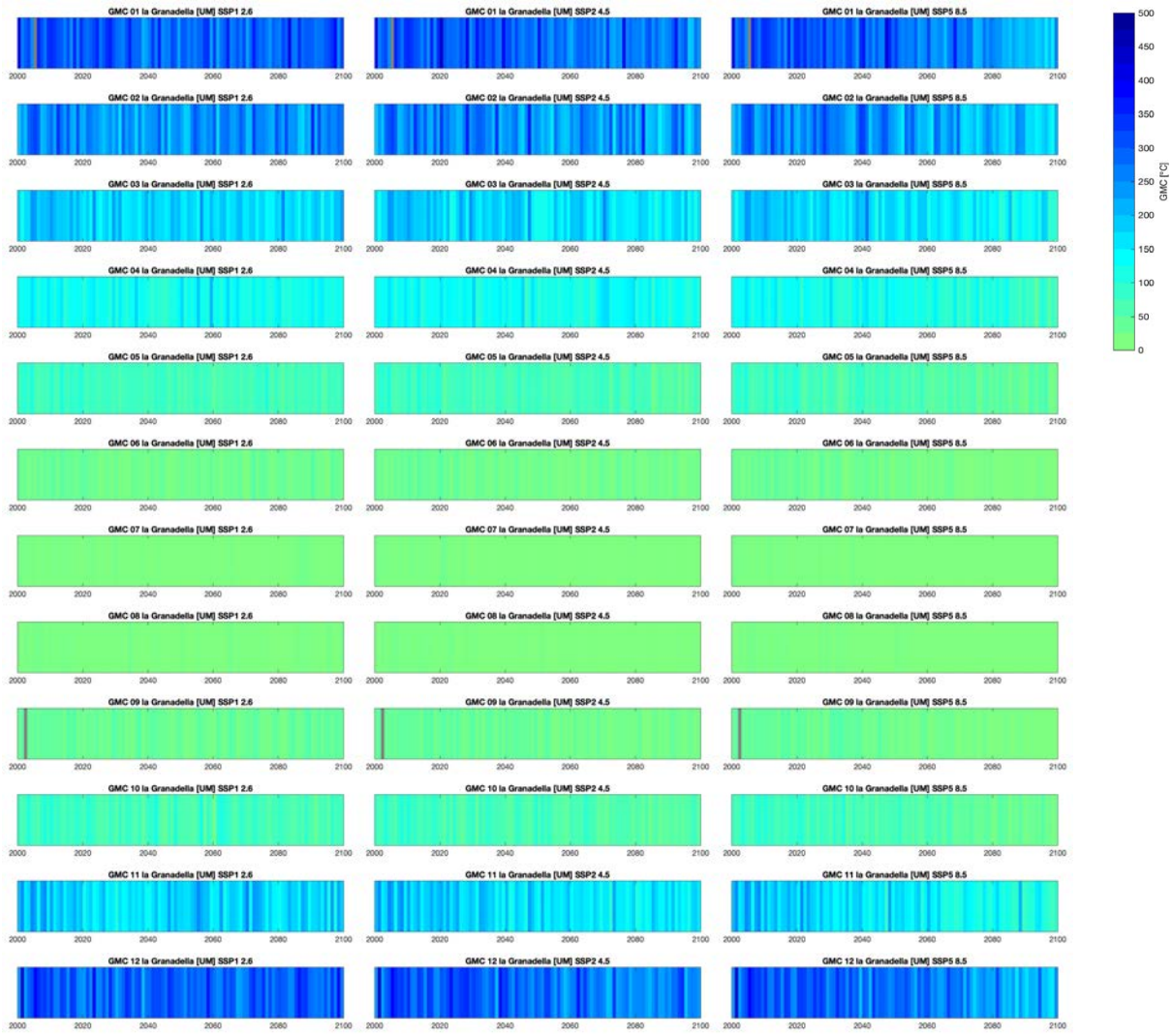

Figura B.205: Evolució dels graus-mes de calefacció (GMC) a l'estació UM- La Granadella, per als diferents escenaris [SSP1 2.6, SSP2 4.5 i SSP5 8.5] per al model climàtic MPI-ESM1.

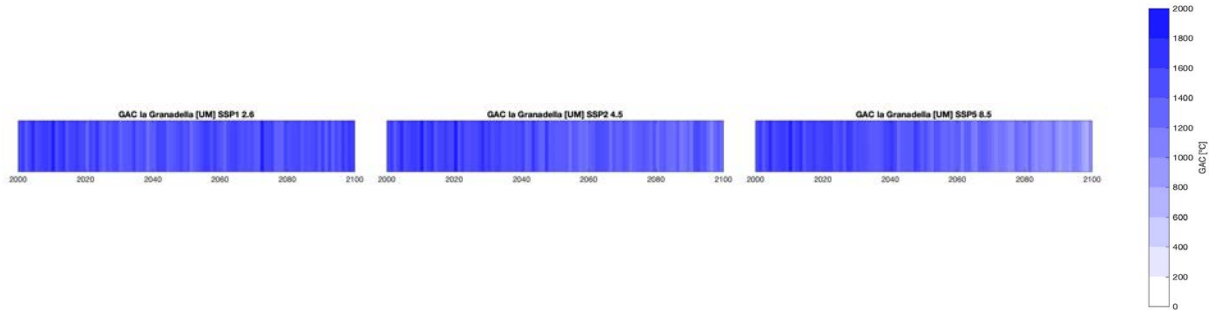

Figura B.206: Evolució dels graus-any de calefacció (GAC) a l'estació UM- La Granadella, per als diferents escenaris [SSP1 2.6, SSP2 4.5 i SSP5 8.5] per al model climàtic MPI-ESM1.

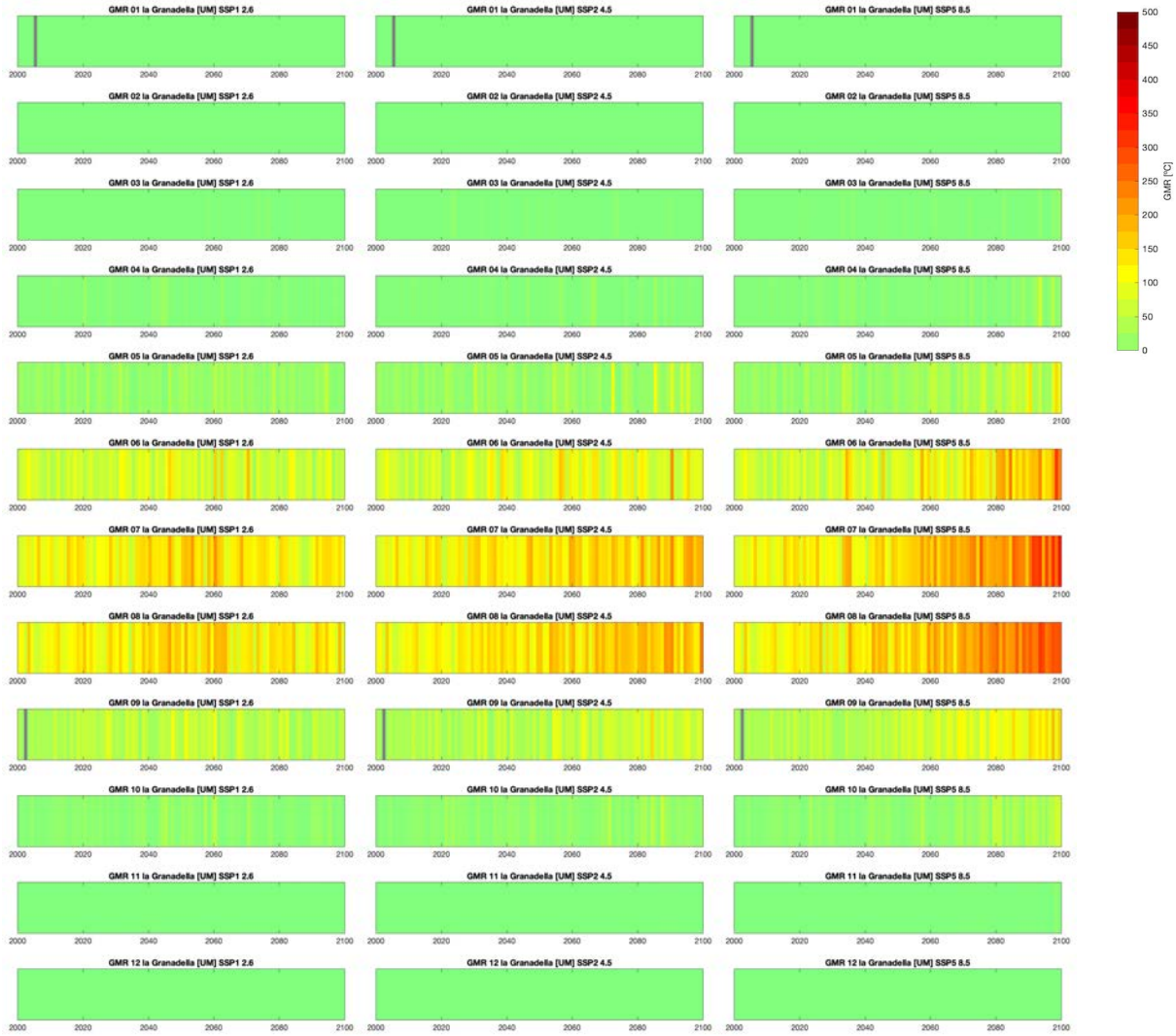

Figura B.207: Evolució dels graus-mes de refrigeració (GMR a l'estació UM- La Granadella, per als diferents escenaris [SSP1 2.6, SSP2 4.5 i SSP5 8.5] per al model climàtic MPI-ESM1.

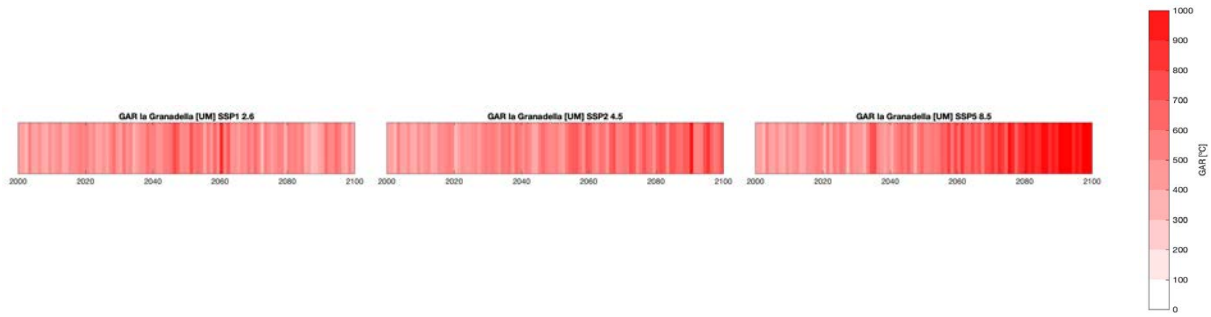

Figura B.208: Evolució dels graus-any de refrigeració (GAR a l'estació UM- La Granadella, per als diferents escenaris [SSP1 2.6, SSP2 4.5 i SSP5 8.5] per al model climàtic MPI-ESM1.

B.1.54 UN - Cassà de la Selva

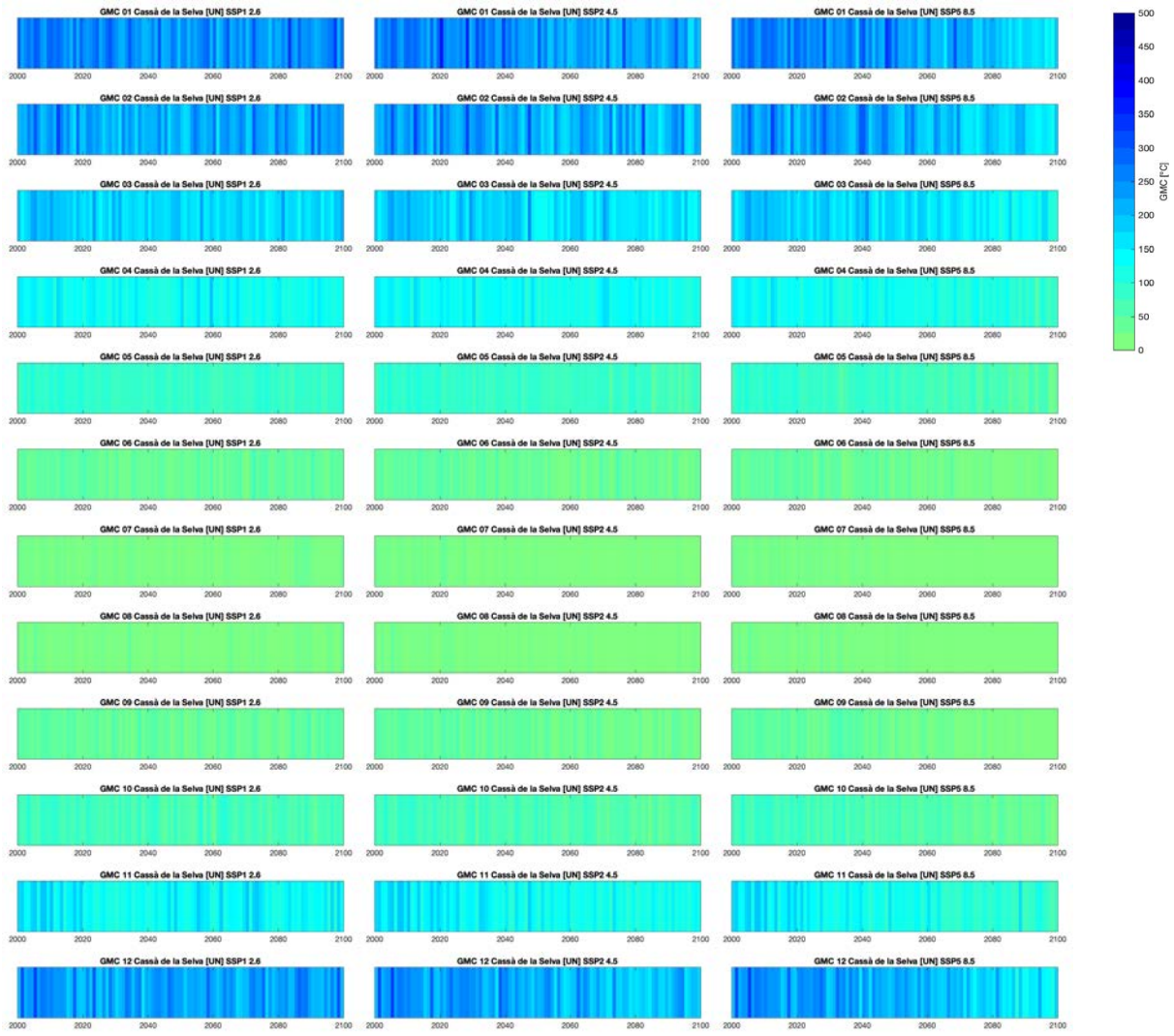

Figura B.209: Evolució dels graus-mes de calefacció (GMC) a l'estació UN- Cassà de la Selva, per als diferents escenaris [SSP1 2.6, SSP2 4.5 i SSP5 8.5] per al model climàtic MPI-ESM1.

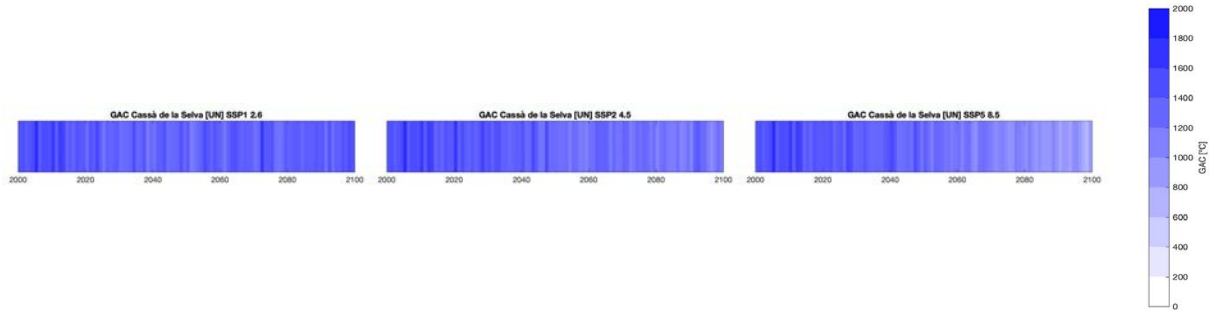

Figura B.210: Evolució dels graus-any de calefacció (GAC) a l'estació UN- Cassà de la Selva, per als diferents escenaris [SSP1 2.6, SSP2 4.5 i SSP5 8.5] per al model climàtic MPI-ESM1.

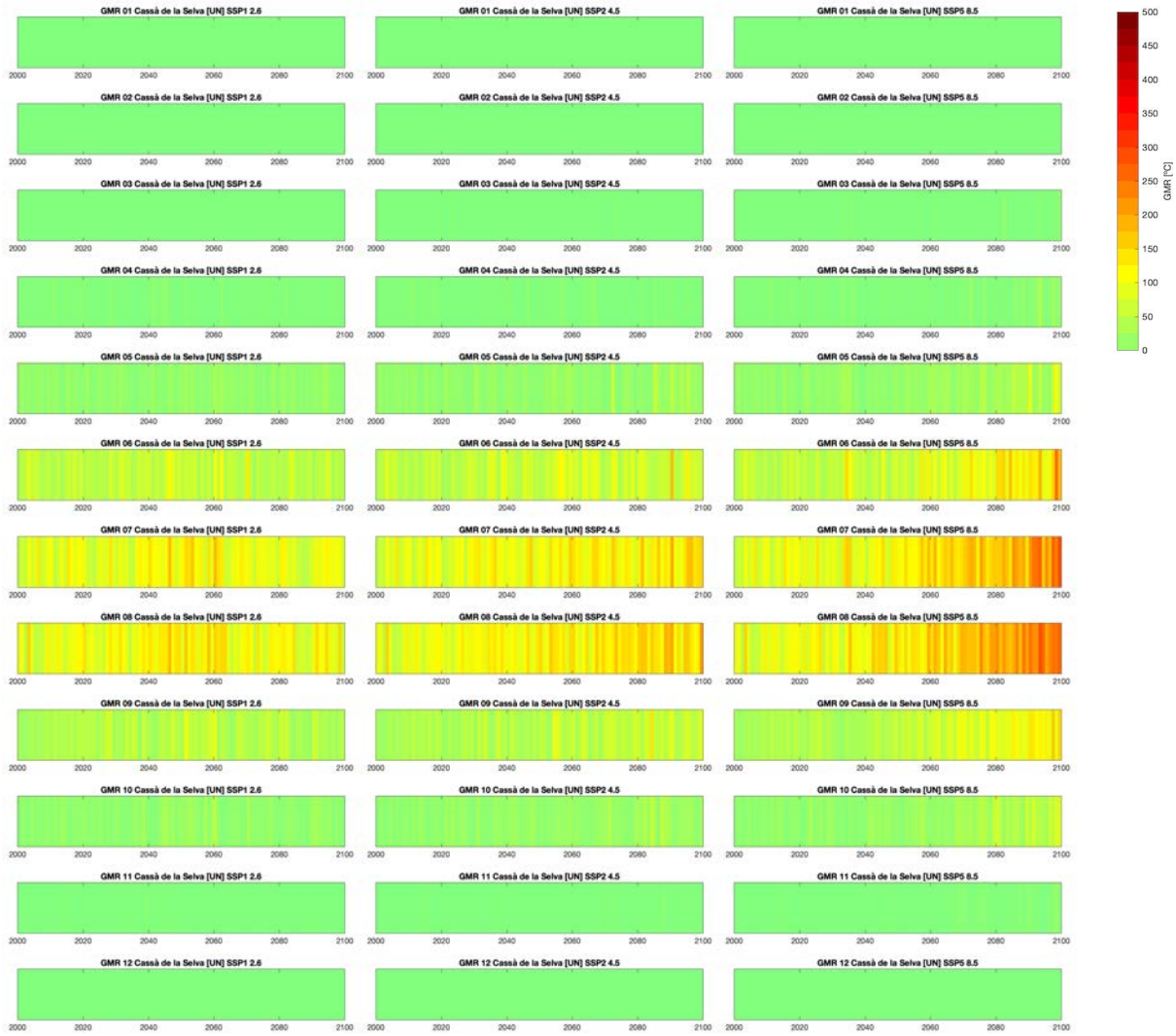

Figura B.211: Evolució dels graus-mes de refrigeració (GMR a l'estació UN- Cassà de la Selva, per als diferents escenaris [SSP1 2.6, SSP2 4.5 i SSP5 8.5] per al model climàtic MPI-ESM1.

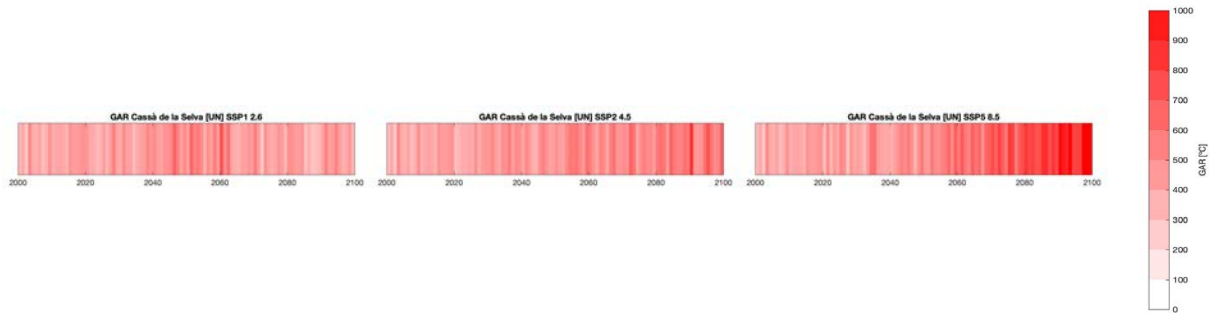

Figura B.212: Evolució dels graus-any de refrigeració (GAR a l'estació UN- Cassà de la Selva, per als diferents escenaris [SSP1 2.6, SSP2 4.5 i SSP5 8.5] per al model climàtic MPI-ESM1.

B.1.55 UO - Fornells de la Selva

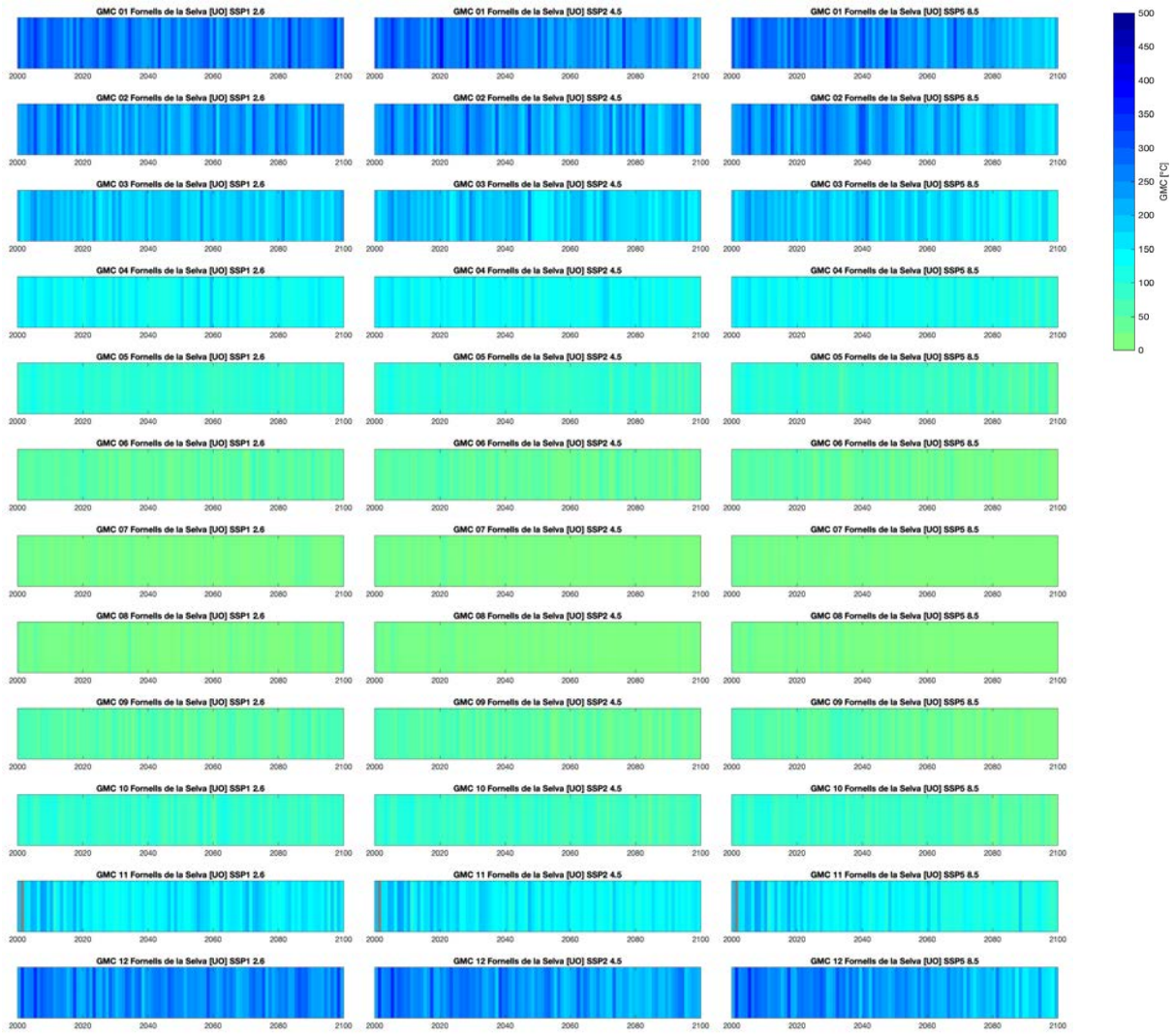

Figura B.213: Evolució dels graus-mes de calefacció (GMC) a l'estació UO- Fornells de la Selva, per als diferents escenaris [SSP1 2.6, SSP2 4.5 i SSP5 8.5] per al model climàtic MPI-ESM1.

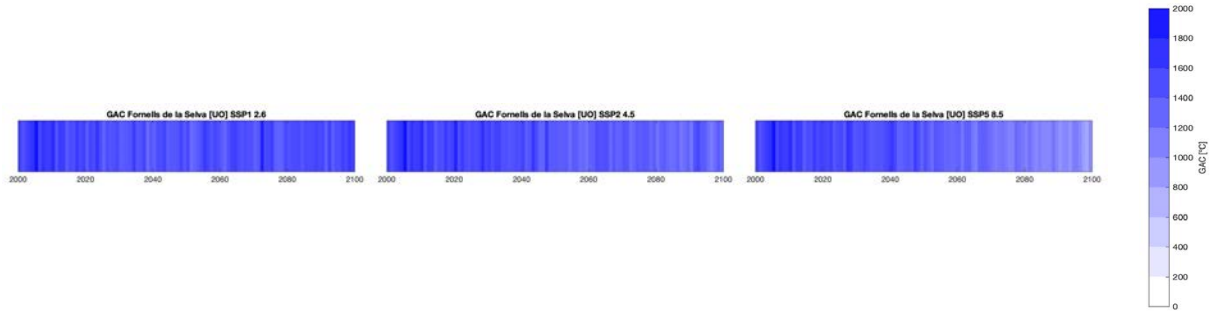

Figura B.214: Evolució dels graus-any de calefacció (GAC) a l'estació UO- Fornells de la Selva, per als diferents escenaris [SSP1 2.6, SSP2 4.5 i SSP5 8.5] per al model climàtic MPI-ESM1.

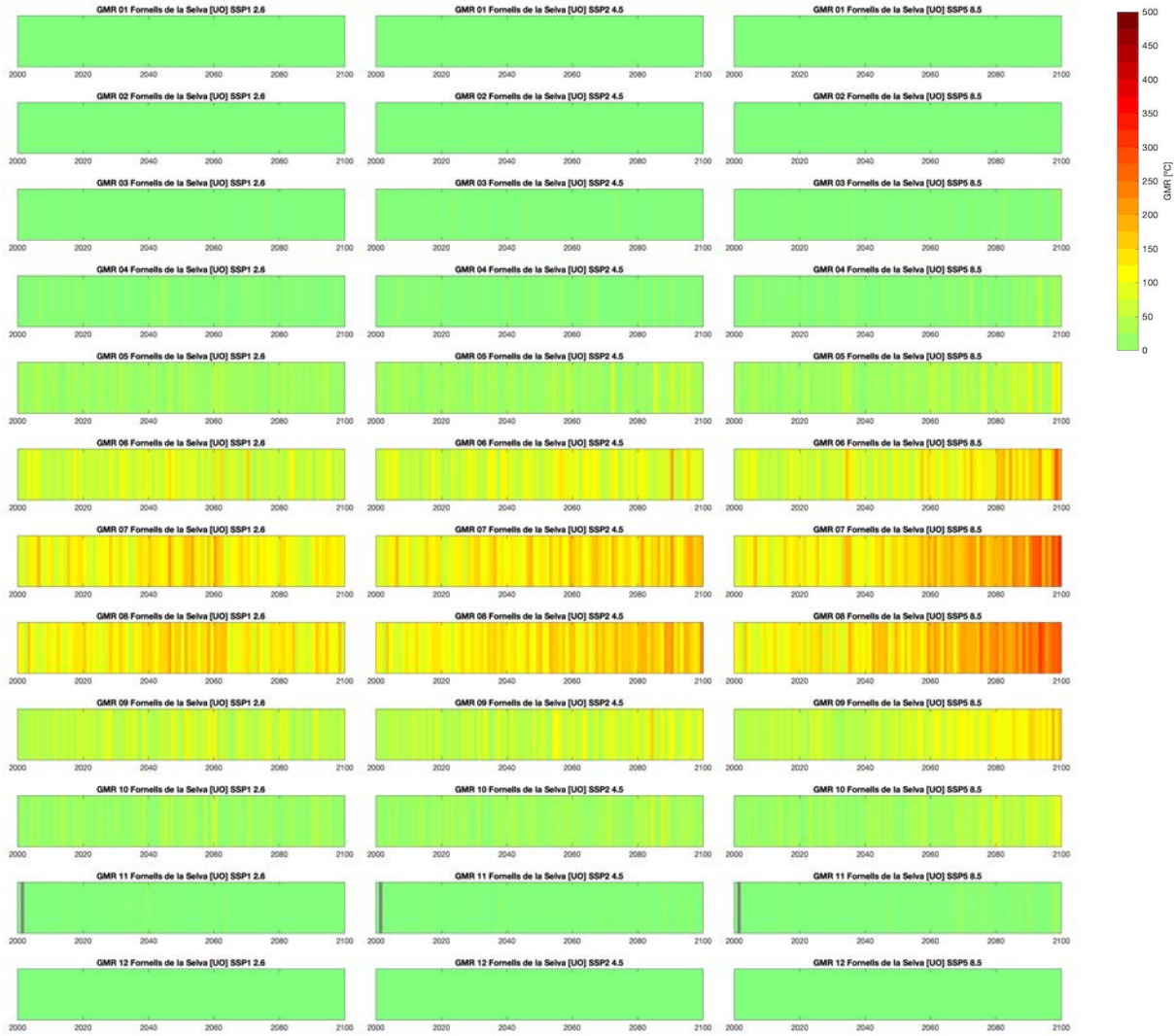

Figura B.215: Evolució dels graus-mes de refrigeració (GMR a l'estació UO- Fornells de la Selva, per als diferents escenaris [SSP1 2.6, SSP2 4.5 i SSP5 8.5] per al model climàtic MPI-ESM1.

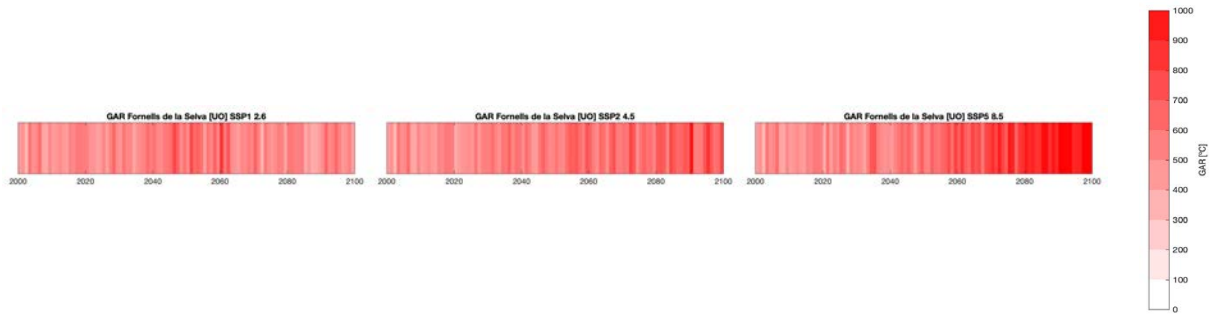

Figura B.216: Evolució dels graus-any de refrigeració (GAR a l'estació UO- Fornells de la Selva, per als diferents escenaris [SSP1 2.6, SSP2 4.5 i SSP5 8.5] per al model climàtic MPI-ESM1.

B.1.56 UP - Cabrils

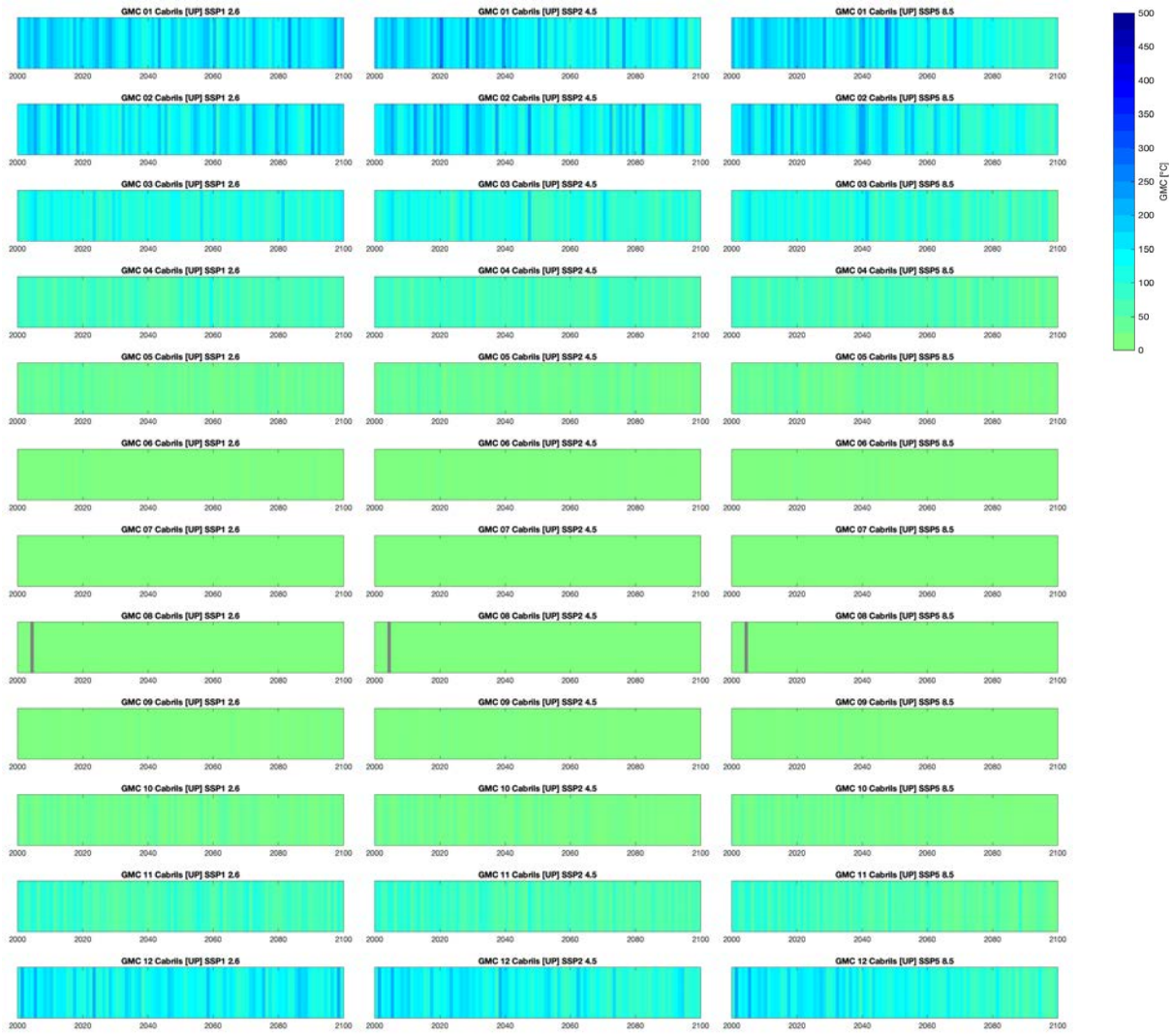

Figura B.217: Evolució dels graus-mes de calefacció (GMC) a l'estació UP- Cabrils, per als diferents escenaris [SSP1 2.6, SSP2 4.5 i SSP5 8.5] per al model climàtic MPI-ESM1.

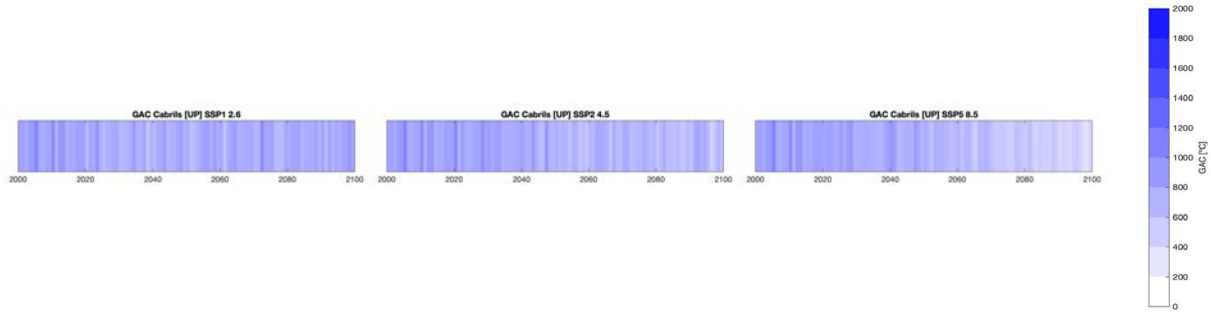

Figura B.218: Evolució dels graus-any de calefacció (GAC) a l'estació UP- Cabrils, per als diferents escenaris [SSP1 2.6, SSP2 4.5 i SSP5 8.5] per al model climàtic MPI-ESM1.

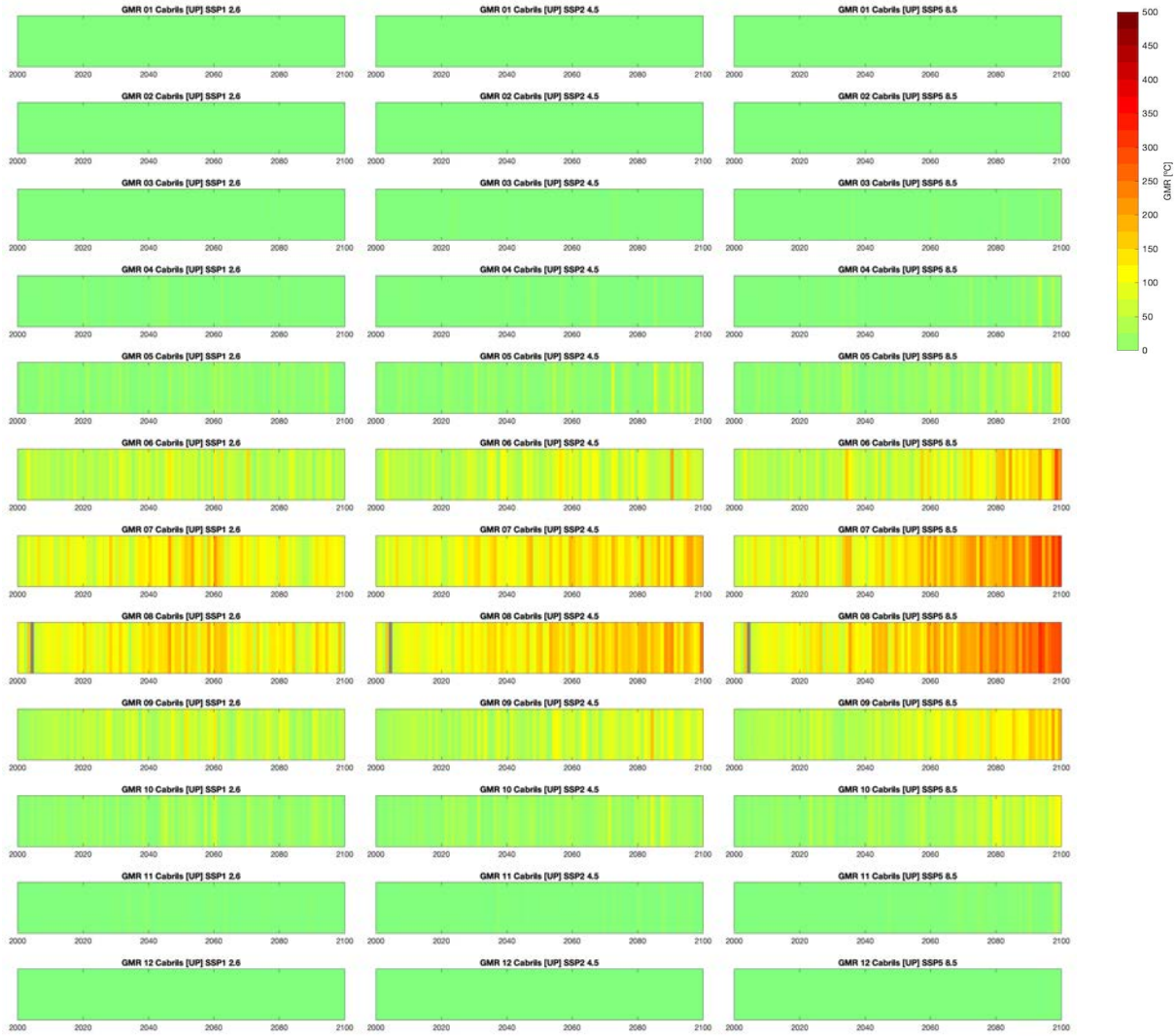

Figura B.219: Evolució dels graus-mes de refrigeració (GMR a l'estació UP- Cabrils, per als diferents escenaris [SSP1 2.6, SSP2 4.5 i SSP5 8.5] per al model climàtic MPI-ESM1.

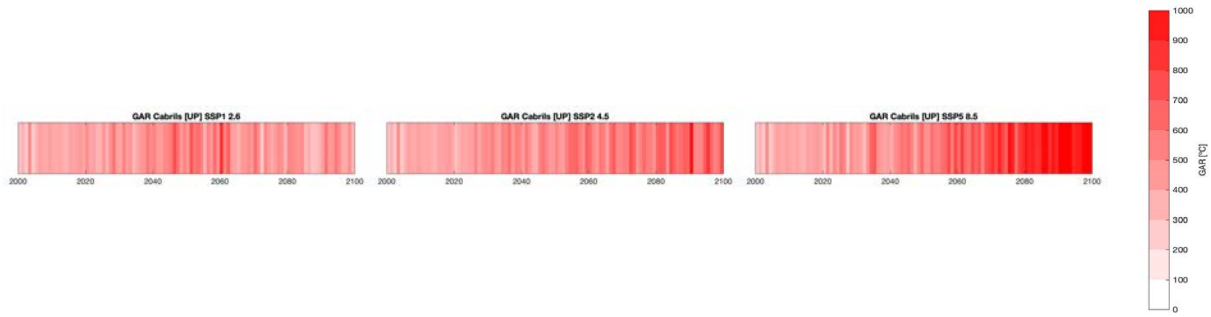

Figura B.220: Evolució dels graus-any de refrigeració (GAR a l'estació UP- Cabrils, per als diferents escenaris [SSP1 2.6, SSP2 4.5 i SSP5 8.5] per al model climàtic MPI-ESM1.

B.1.57 UQ - Dosrius - PN Montnegre i el Corredor

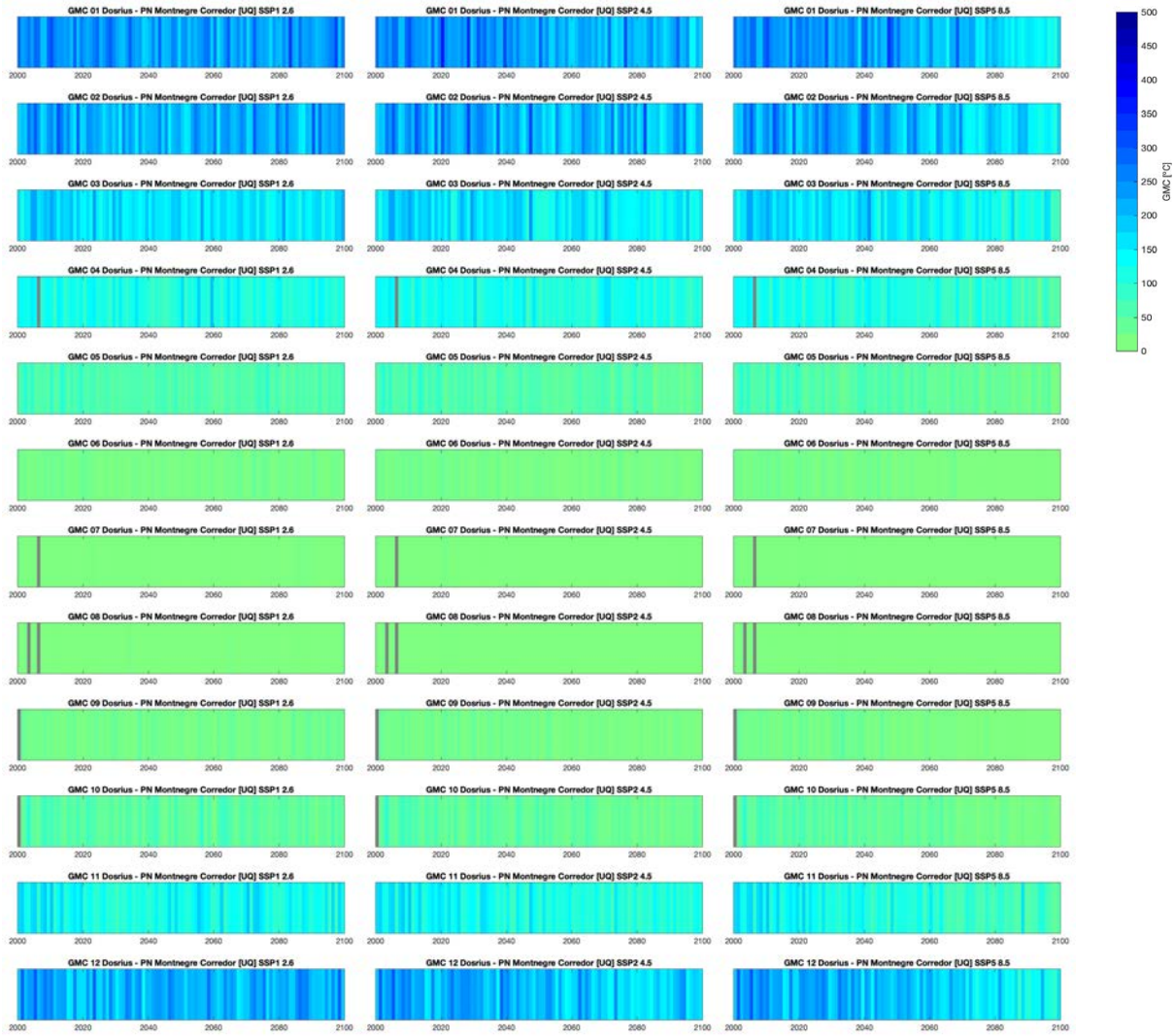

Figura B.221: Evolució dels graus-mes de calefacció (GMC) a l'estació UQ- Dosrius - PN Montnegre i el Corredor, per als diferents escenaris [SSP1 2.6, SSP2 4.5 i SSP5 8.5] per al model climàtic MPI-ESM1.

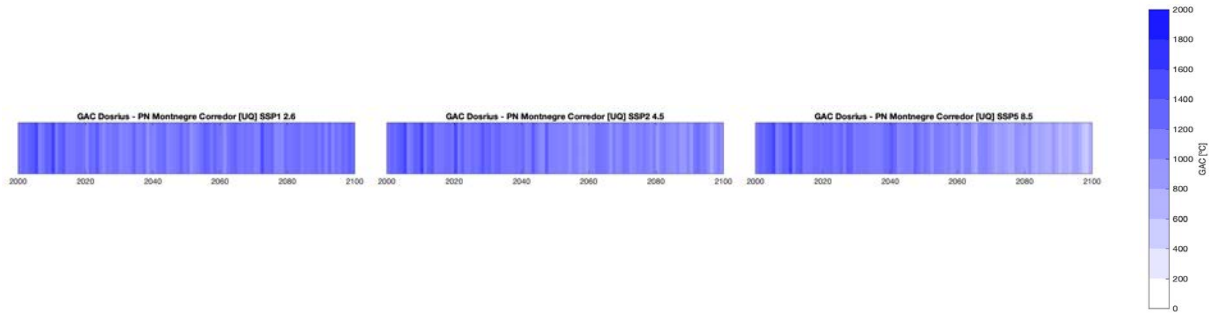

Figura B.222: Evolució dels graus-any de calefacció (GAC) a l'estació UQ- Dosrius - PN Montnegre i el Corredor, per als diferents escenaris [SSP1 2.6, SSP2 4.5 i SSP5 8.5] per al model climàtic MPI-ESM1.

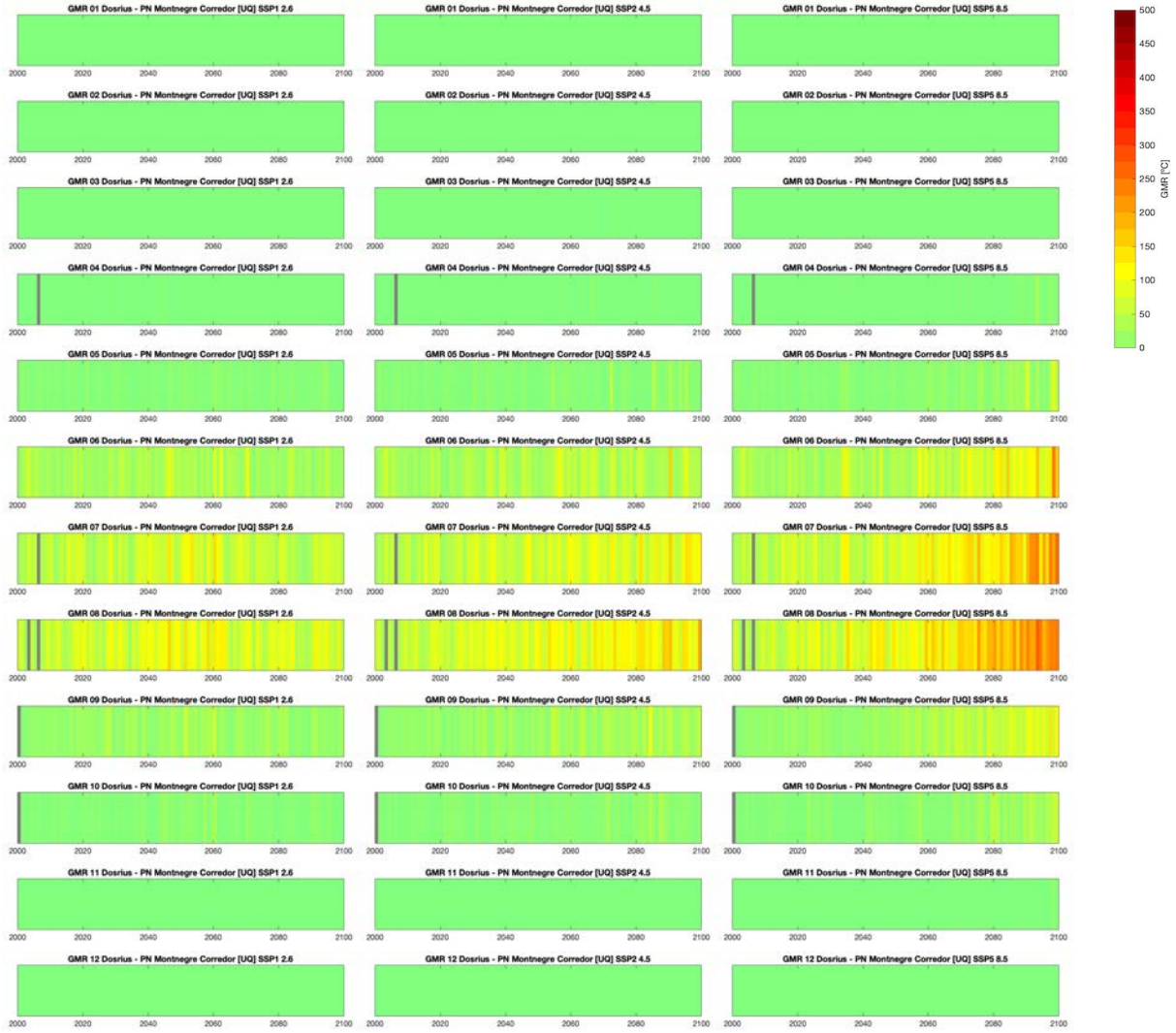

Figura B.223: Evolució dels graus-mes de refrigeració (GMR a l'estació UQ- Dosrius - PN Montnegre i el Corredor, per als diferents escenaris [SSP1 2.6, SSP2 4.5 i SSP5 8.5] per al model climàtic MPI-ESM1.

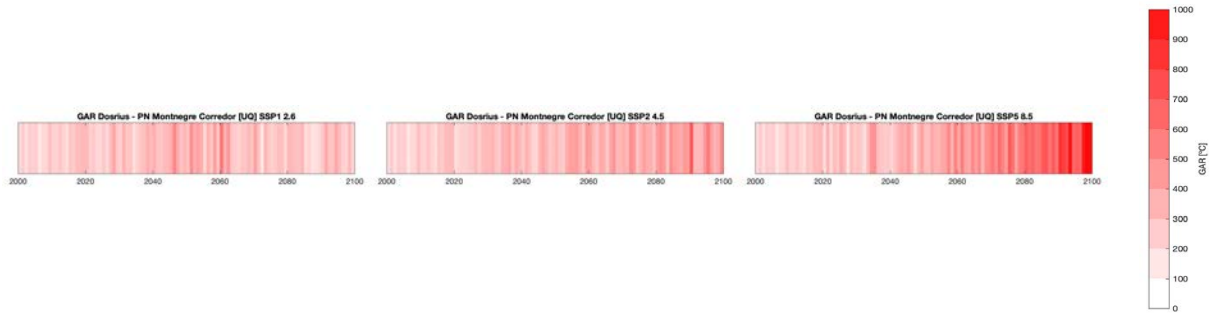

Figura B.224: Evolució dels graus-any de refrigeració (GAR a l'estació UQ- Dosrius - PN Montnegre i el Corredor, per als diferents escenaris [SSP1 2.6, SSP2 4.5 i SSP5 8.5] per al model climàtic MPI-ESM1.

B.1.58 US - Alcanar

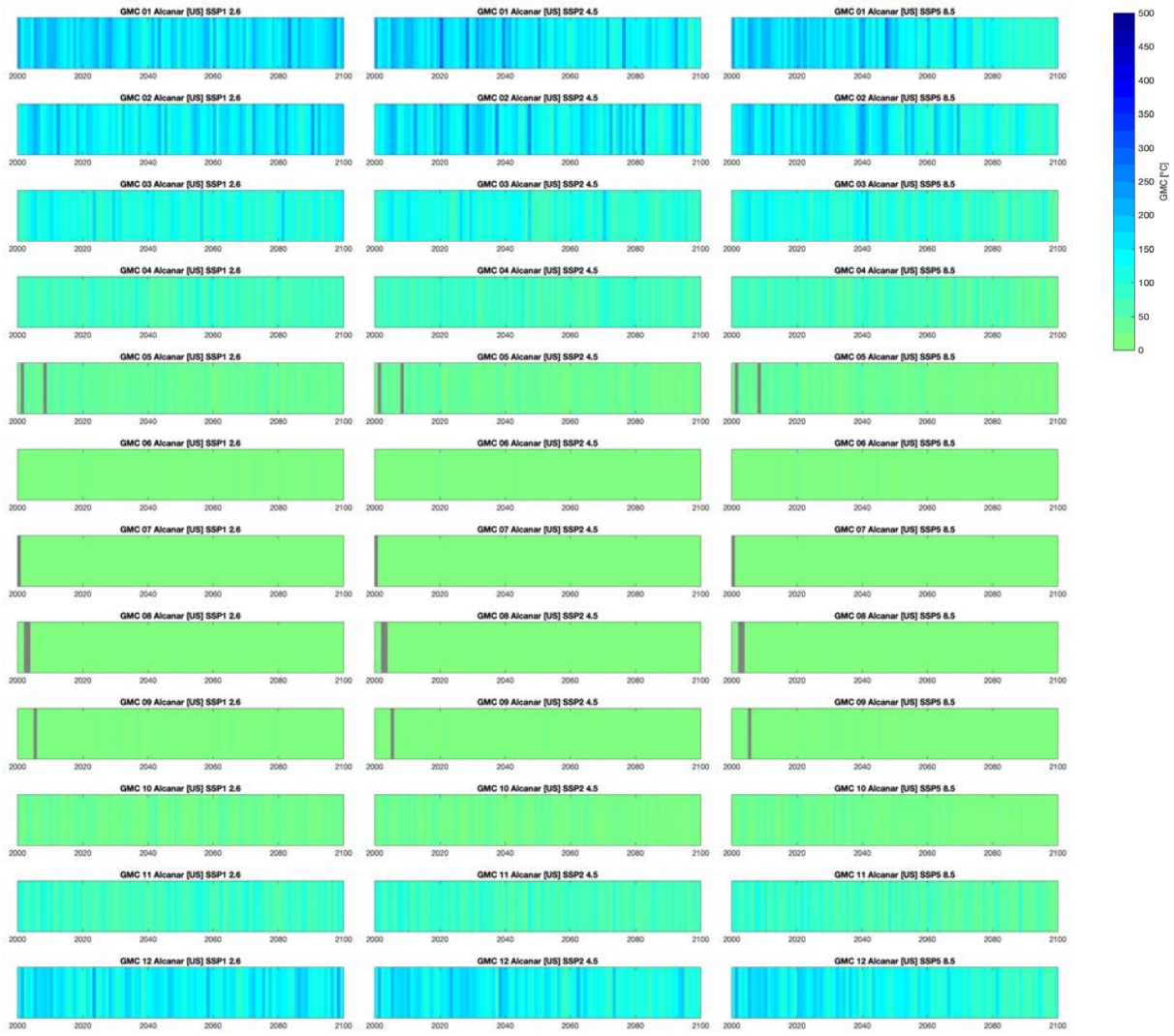

Figura B.225: Evolució dels graus-mes de calefacció (GMC) a l'estació US- Alcanar, per als diferents escenaris [SSP1 2.6, SSP2 4.5 i SSP5 8.5] per al model climàtic MPI-ESM1.

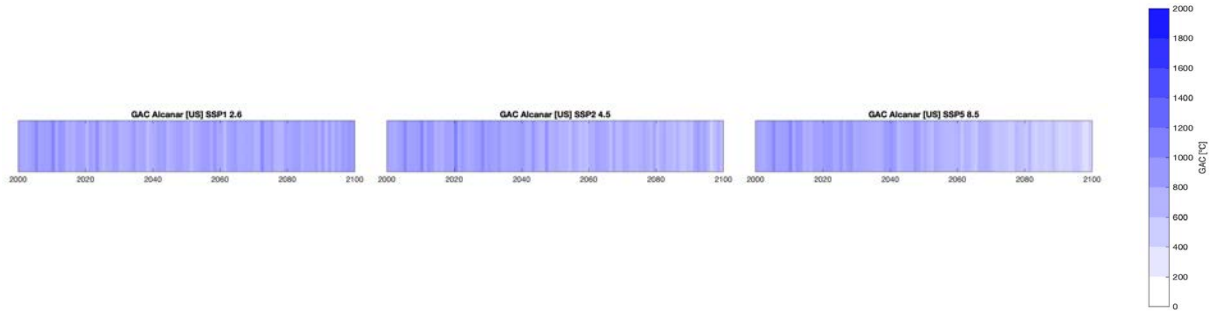

Figura B.226: Evolució dels graus-any de calefacció (GAC) a l'estació US- Alcanar, per als diferents escenaris [SSP1 2.6, SSP2 4.5 i SSP5 8.5] per al model climàtic MPI-ESM1.

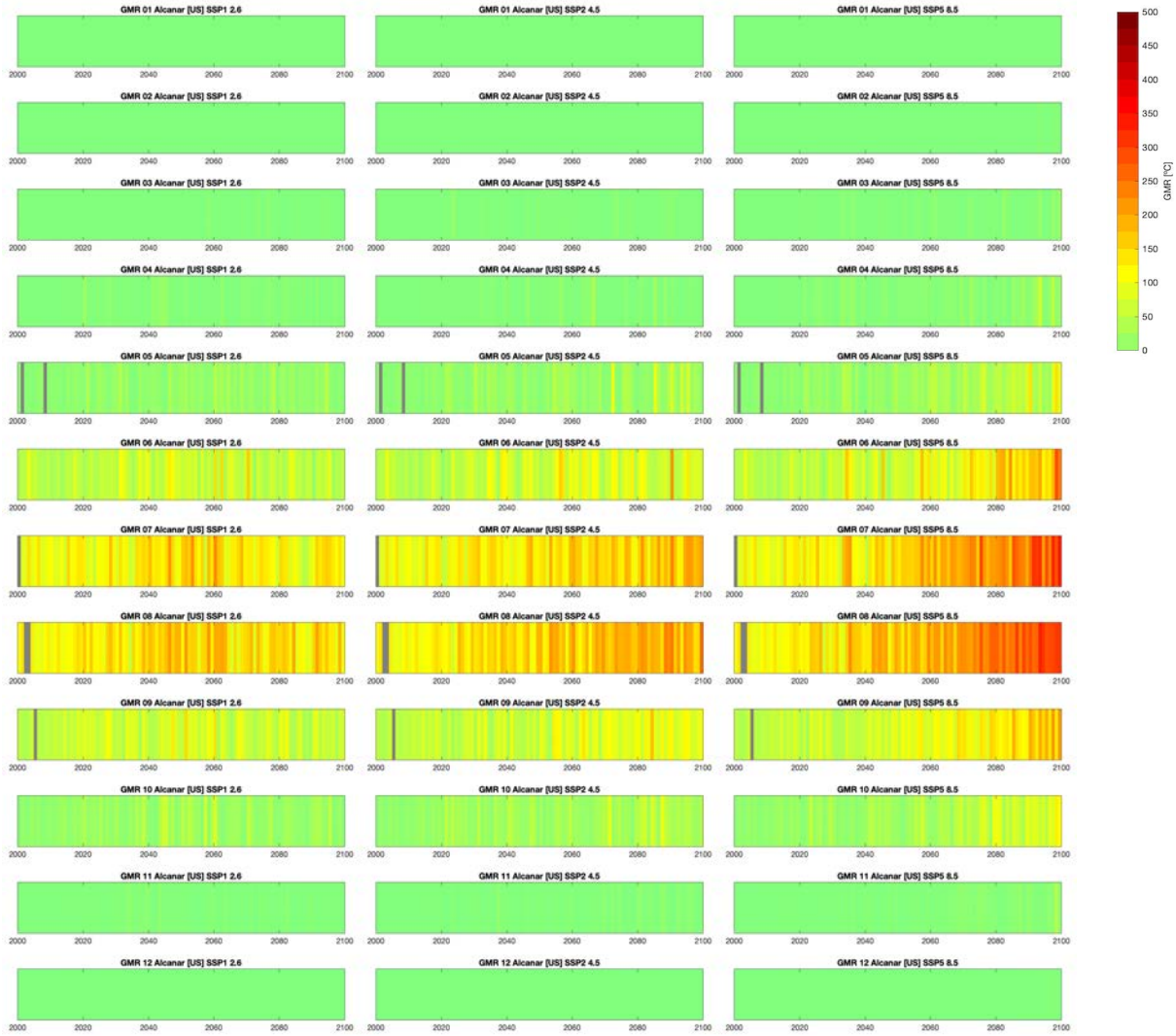

Figura B.227: Evolució dels graus-mes de refrigeració (GMR a l'estació US- Alcanar, per als diferents escenaris [SSP1 2.6, SSP2 4.5 i SSP5 8.5] per al model climàtic MPI-ESM1.

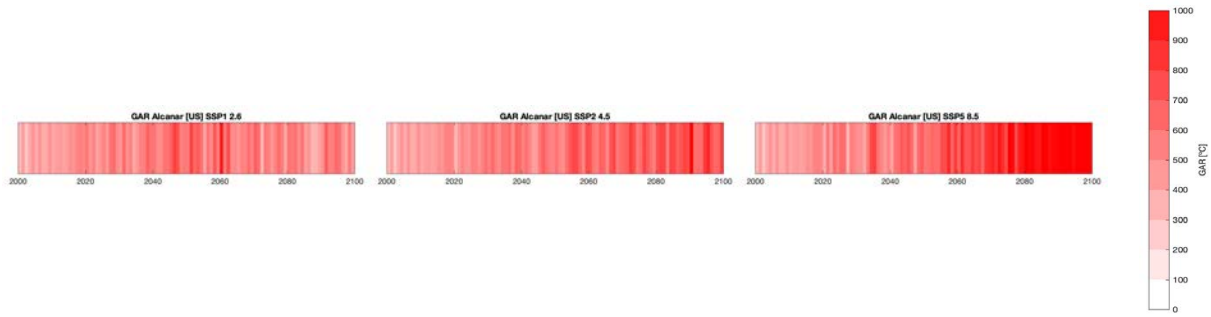

Figura B.228: Evolució dels graus-any de refrigeració (GAR a l'estació US- Alcanar, per als diferents escenaris [SSP1 2.6, SSP2 4.5 i SSP5 8.5] per al model climàtic MPI-ESM1.

B.1.59 UU - Amposta

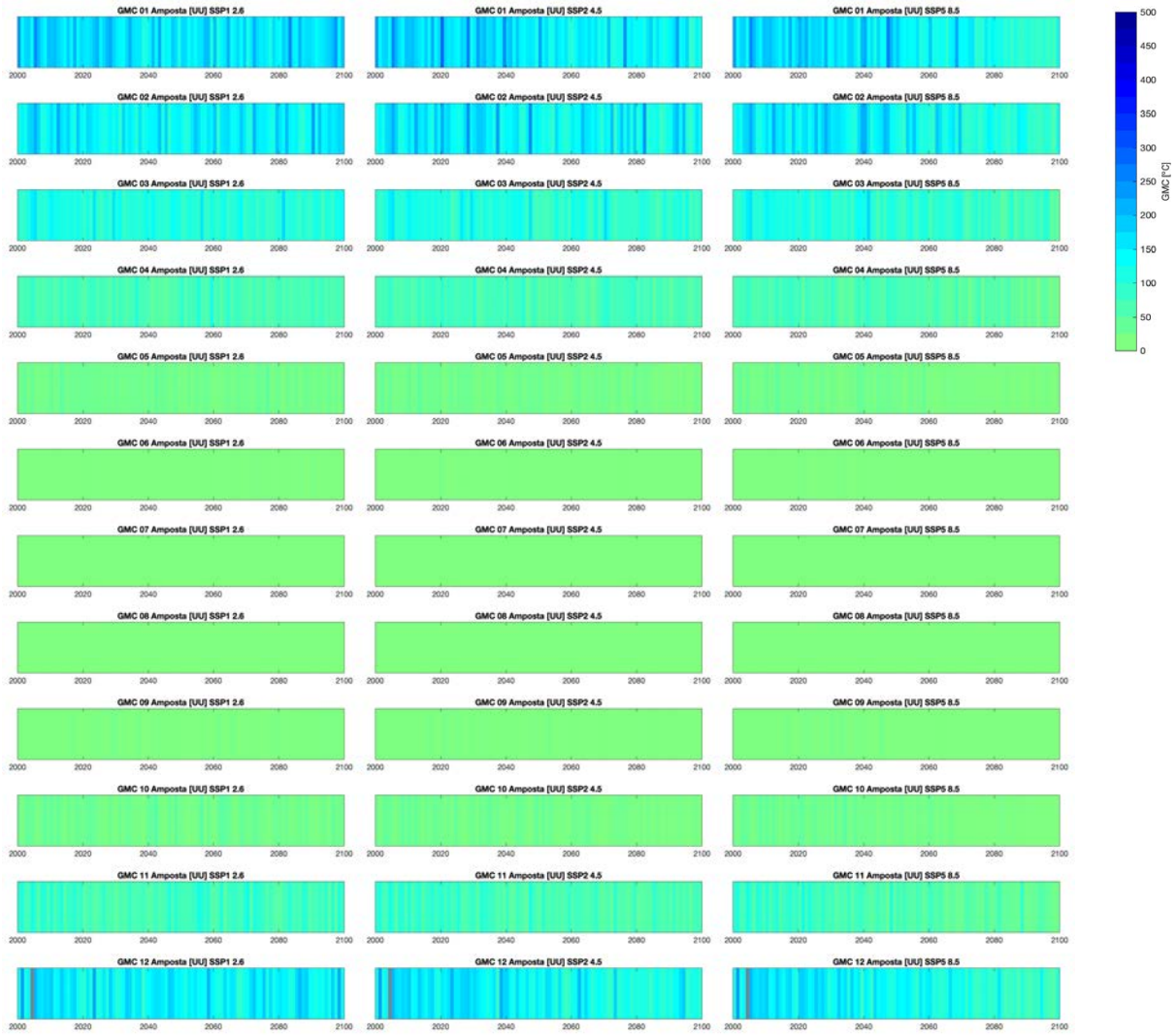

Figura B.229: Evolució dels graus-mes de calefacció (GMC) a l'estació UU- Amposta, per als diferents escenaris [SSP1 2.6, SSP2 4.5 i SSP5 8.5] per al model climàtic MPI-ESM1.

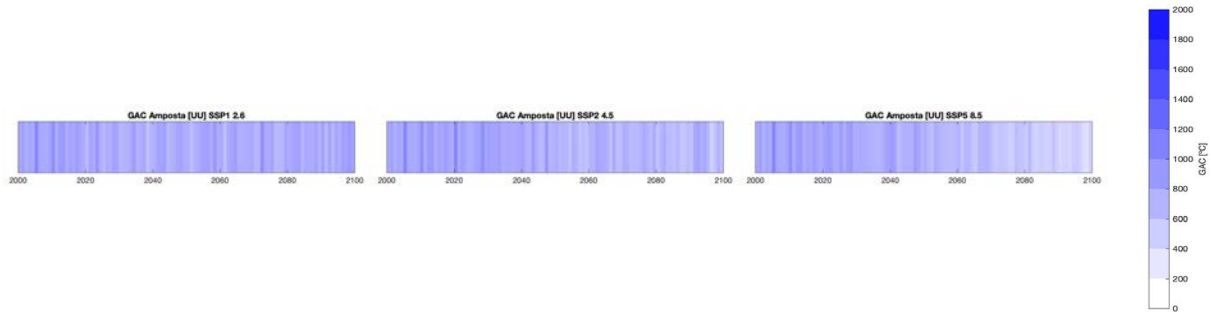

Figura B.230: Evolució dels graus-any de calefacció (GAC) a l'estació UU- Amposta, per als diferents escenaris [SSP1 2.6, SSP2 4.5 i SSP5 8.5] per al model climàtic MPI-ESM1.

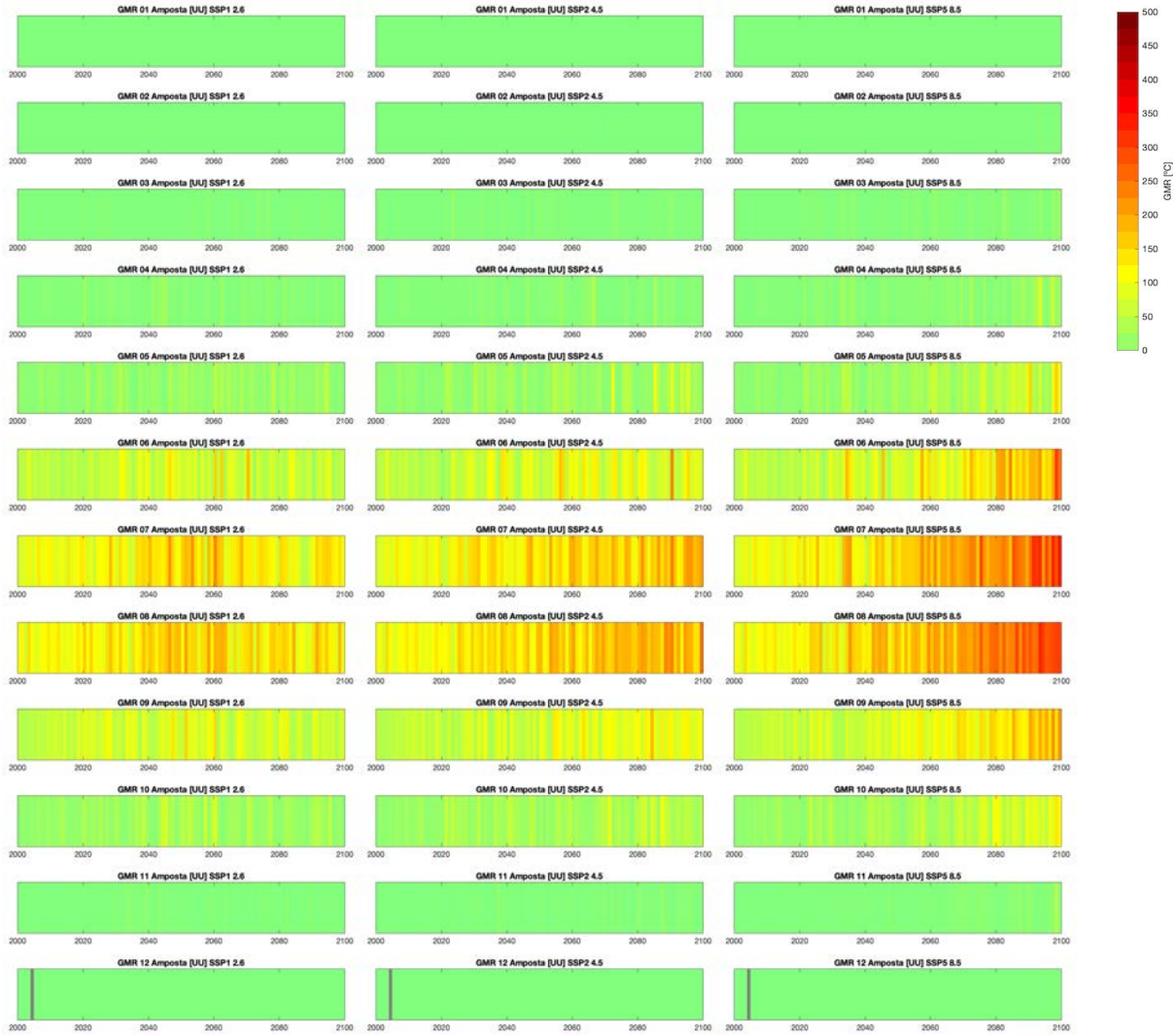

Figura B.231: Evolució dels graus-mes de refrigeració (GMR a l'estació UU- Amposta, per als diferents escenaris [SSP1 2.6, SSP2 4.5 i SSP5 8.5] per al model climàtic MPI-ESM1.

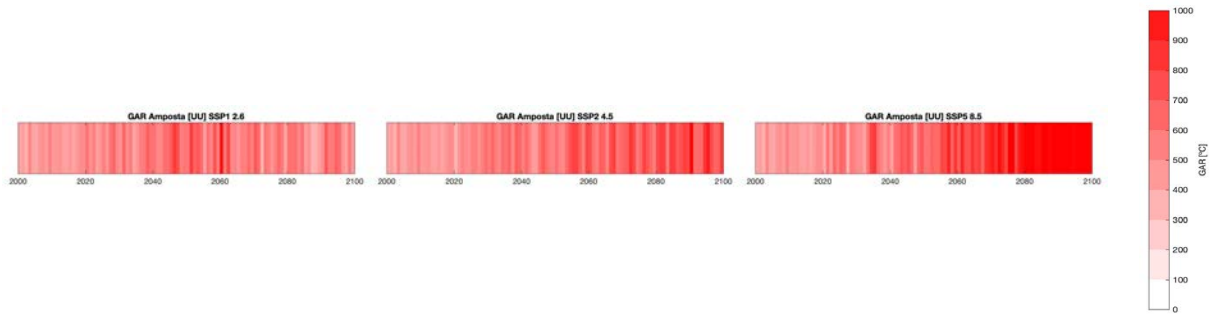

Figura B.232: Evolució dels graus-any de refrigeració (GAR a l'estació UU- Amposta, per als diferents escenaris [SSP1 2.6, SSP2 4.5 i SSP5 8.5] per al model climàtic MPI-ESM1.

B.1.60 UW - Els Afacs

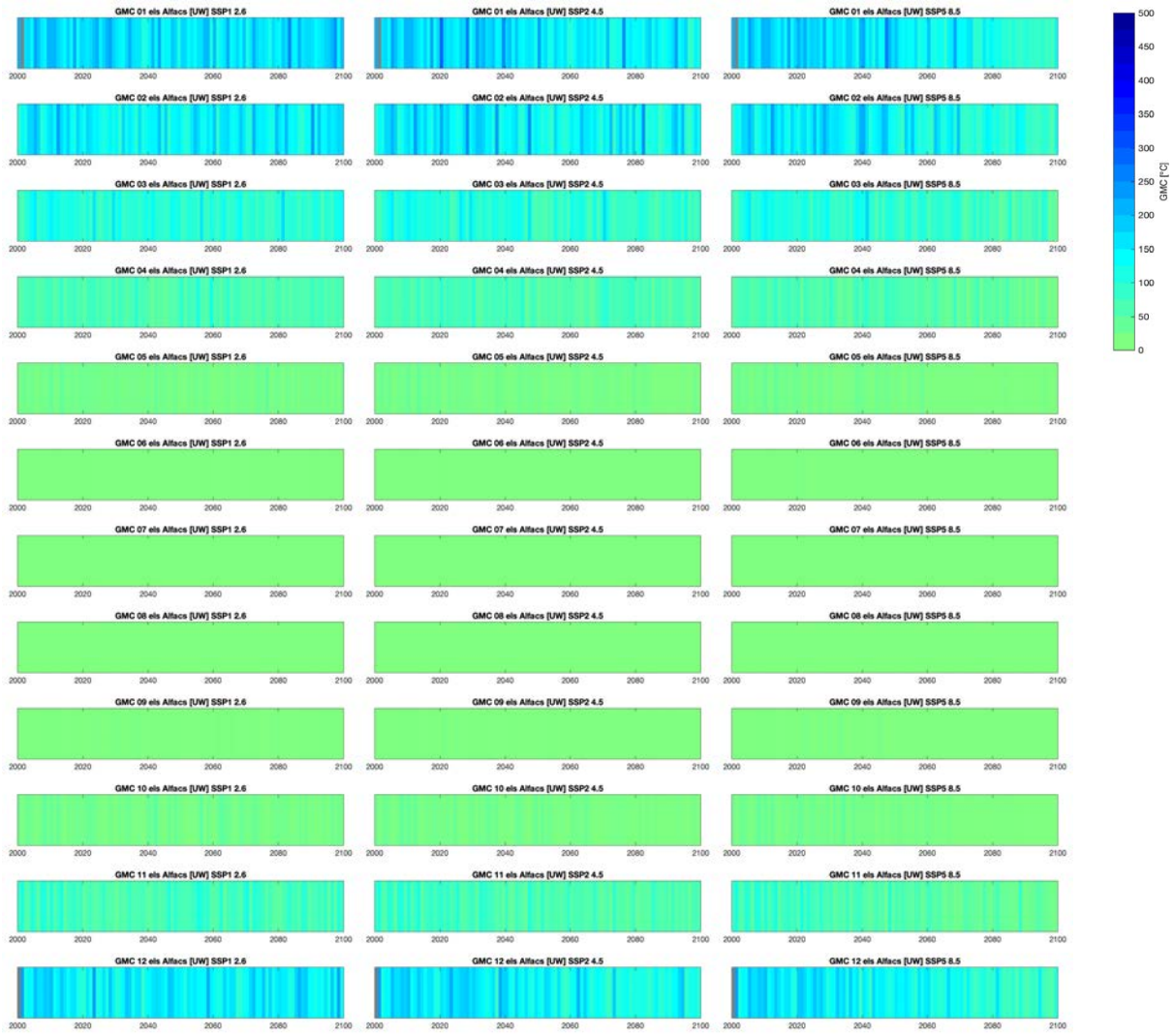

Figura B.233: Evolució dels graus-mes de calefacció (GMC) a l'estació UW- Els Afacs, per als diferents escenaris [SSP1 2.6, SSP2 4.5 i SSP5 8.5] per al model climàtic MPI-ESM1.

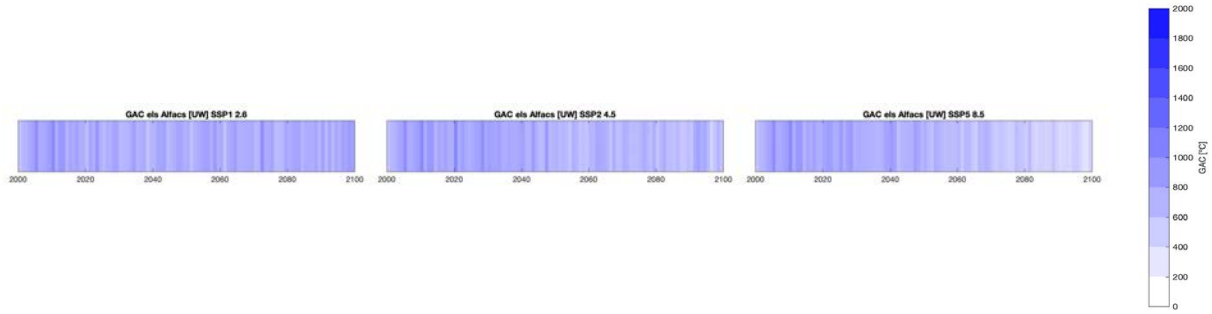

Figura B.234: Evolució dels graus-any de calefacció (GAC) a l'estació UW- Els Afacs, per als diferents escenaris [SSP1 2.6, SSP2 4.5 i SSP5 8.5] per al model climàtic MPI-ESM1.

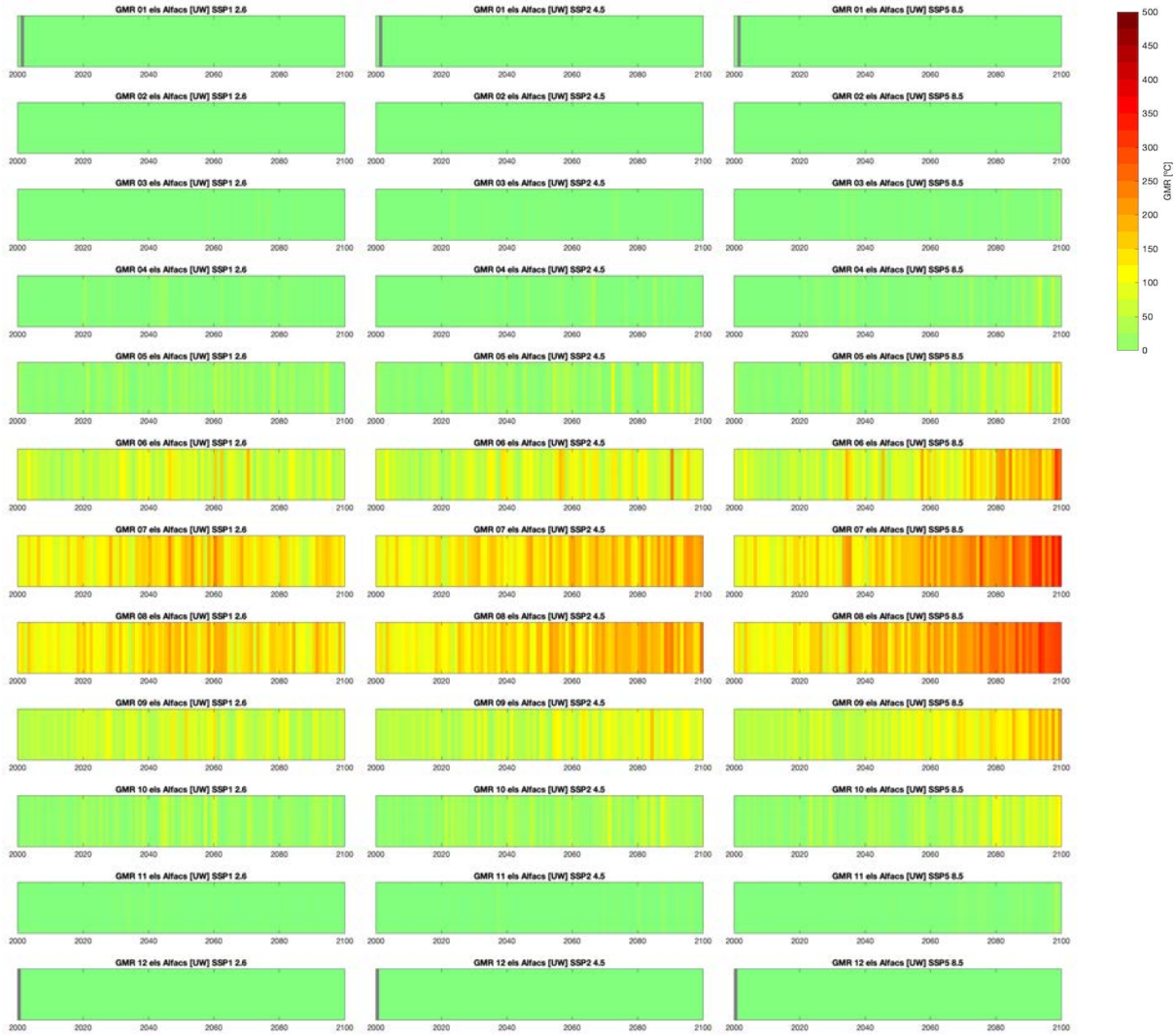

Figura B.235: Evolució dels graus-mes de refrigeració (GMR a l'estació UW- Els Afacs, per als diferents escenaris [SSP1 2.6, SSP2 4.5 i SSP5 8.5] per al model climàtic MPI-ESM1.

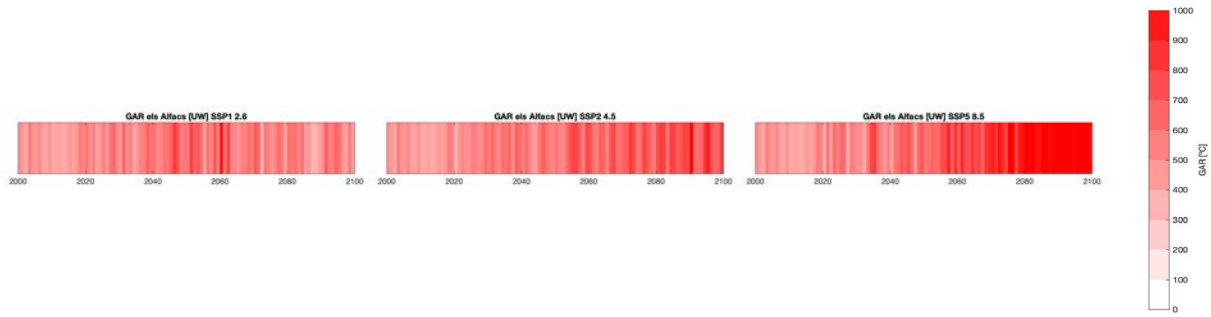

Figura B.236: Evolució dels graus-any de refrigeració (GAR a l'estació UW- Els Afacs, per als diferents escenaris [SSP1 2.6, SSP2 4.5 i SSP5 8.5] per al model climàtic MPI-ESM1.

B.1.61 UX - Ulldecona

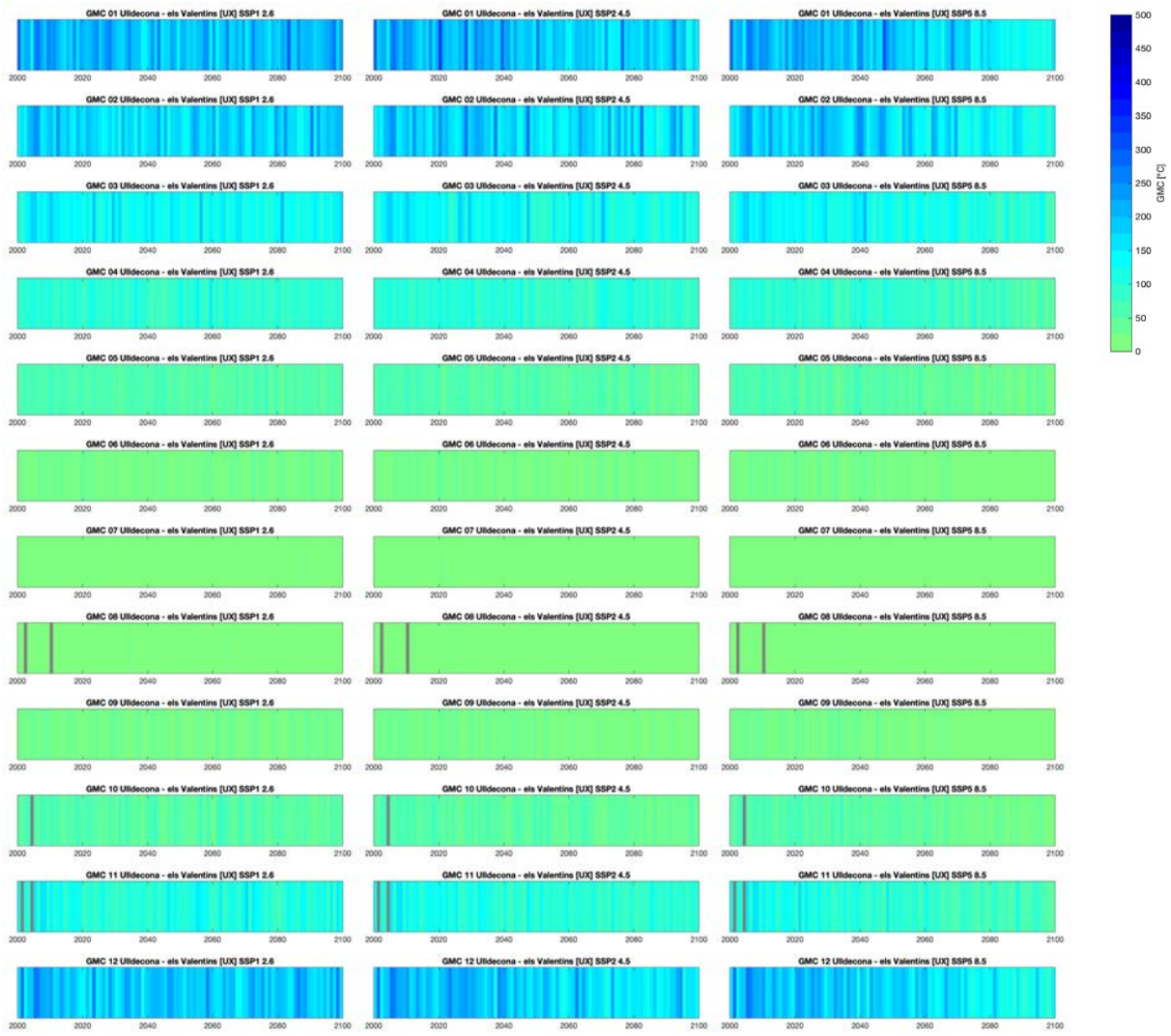

Figura B.237: Evolució dels graus-mes de calefacció (GMC) a l'estació UX- Ulldecona, per als diferents escenaris [SSP1 2.6, SSP2 4.5 i SSP5 8.5] per al model climàtic MPI-ESM1.

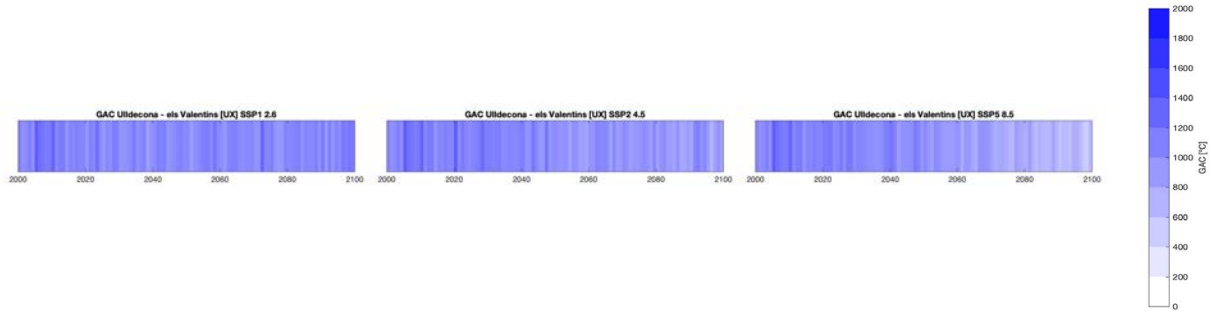

Figura B.238: Evolució dels graus-any de calefacció (GAC) a l'estació UX- Ulldecona, per als diferents escenaris [SSP1 2.6, SSP2 4.5 i SSP5 8.5] per al model climàtic MPI-ESM1.

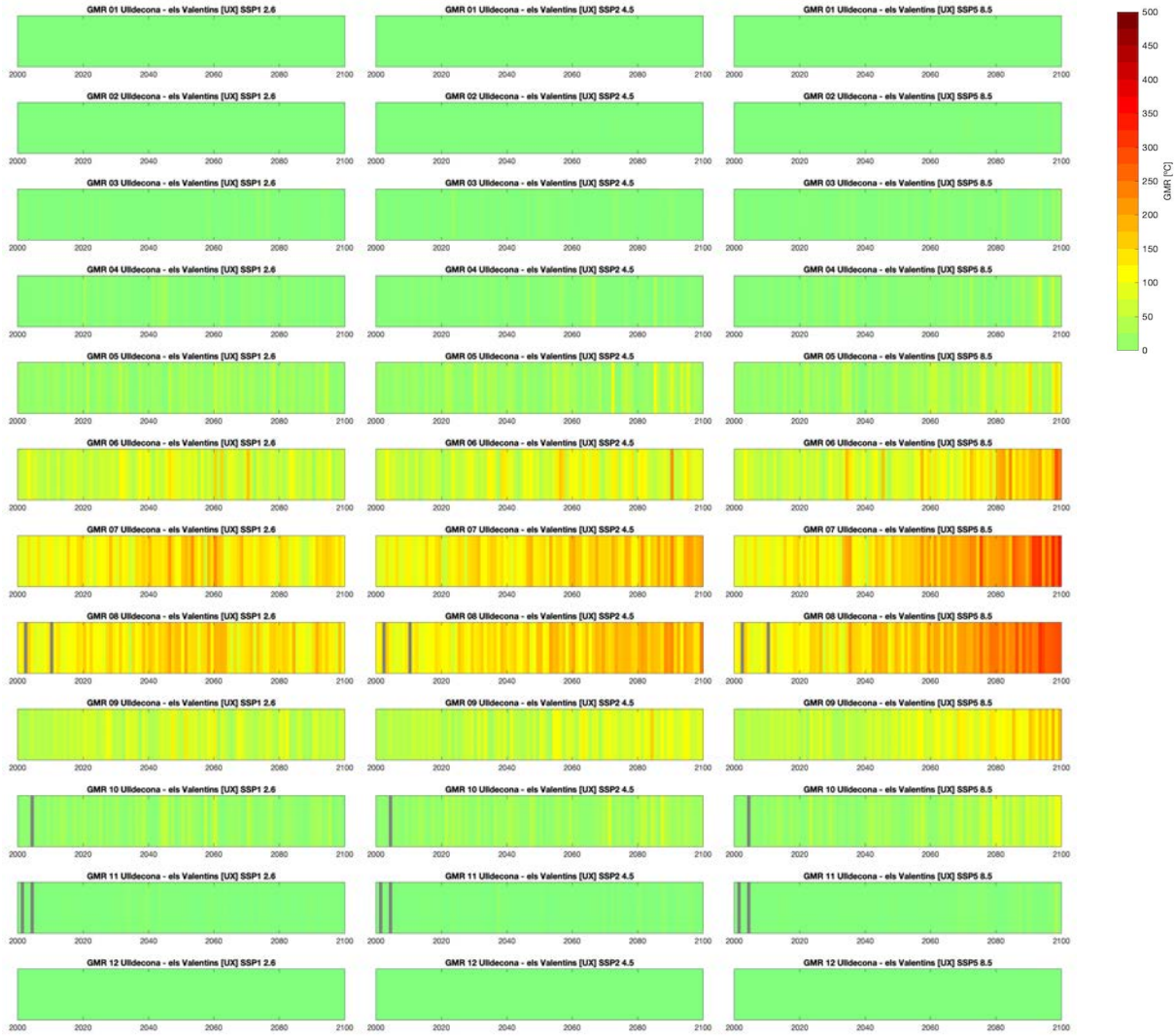

Figura B.239: Evolució dels graus-mes de refrigeració (GMR a l'estació UX- Ulldecona, per als diferents escenaris [SSP1 2.6, SSP2 4.5 i SSP5 8.5] per al model climàtic MPI-ESM1.

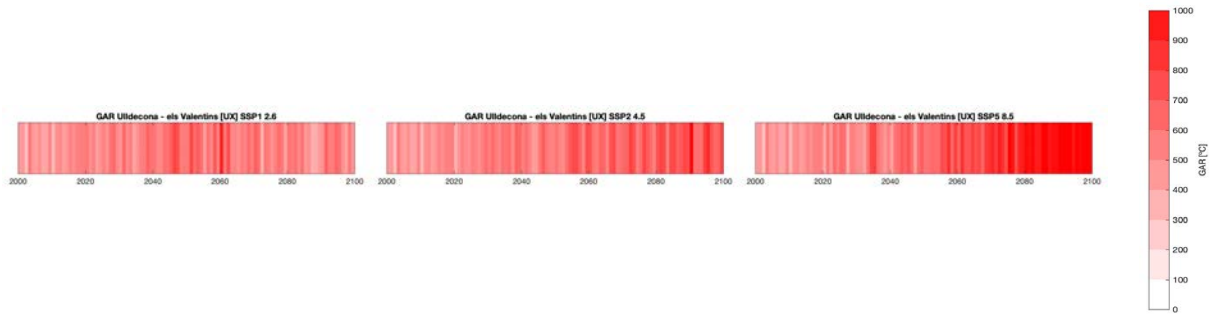

Figura B.240: Evolució dels graus-any de refrigeració (GAR a l'estació UX- Ulldecona, per als diferents escenaris [SSP1 2.6, SSP2 4.5 i SSP5 8.5] per al model climàtic MPI-ESM1.

B.1.62 UY - Os de Balaguer - Monestir de les Avellanes

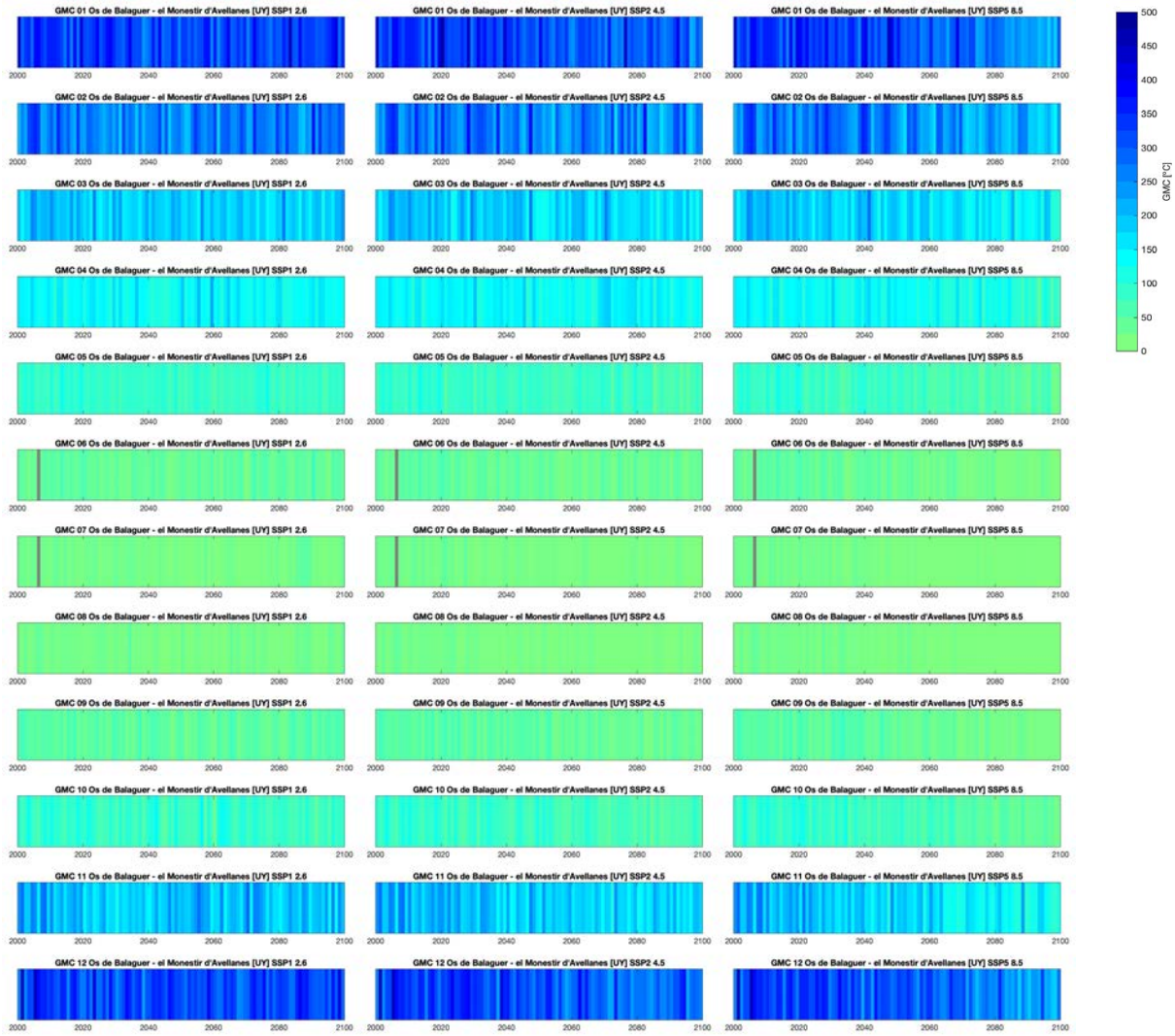

Figura B.241: Evolució dels graus-mes de calefacció (GMC) a l'estació UY- Os de Balaguer - Monestir de les Avellanes, per als diferents escenaris [SSP1 2.6, SSP2 4.5 i SSP5 8.5] per al model climàtic MPI-ESM1.

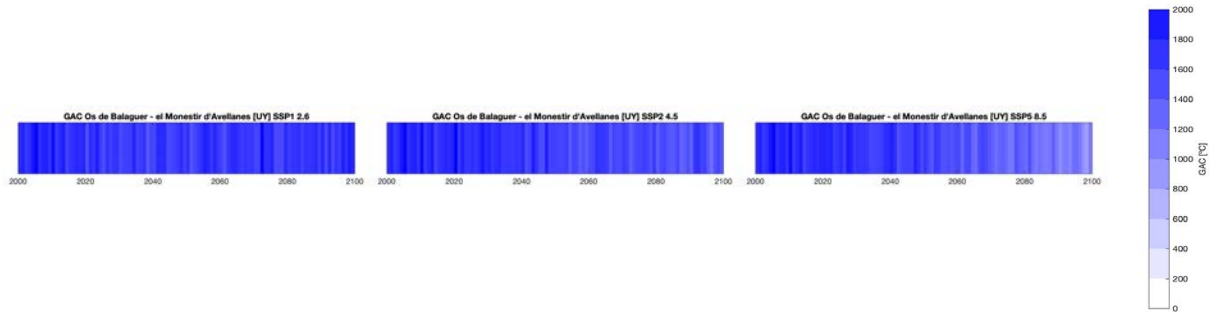

Figura B.242: Evolució dels graus-any de calefacció (GAC) a l'estació UY- Os de Balaguer - Monestir de les Avellanes, per als diferents escenaris [SSP1 2.6, SSP2 4.5 i SSP5 8.5] per al model climàtic MPI-ESM1.

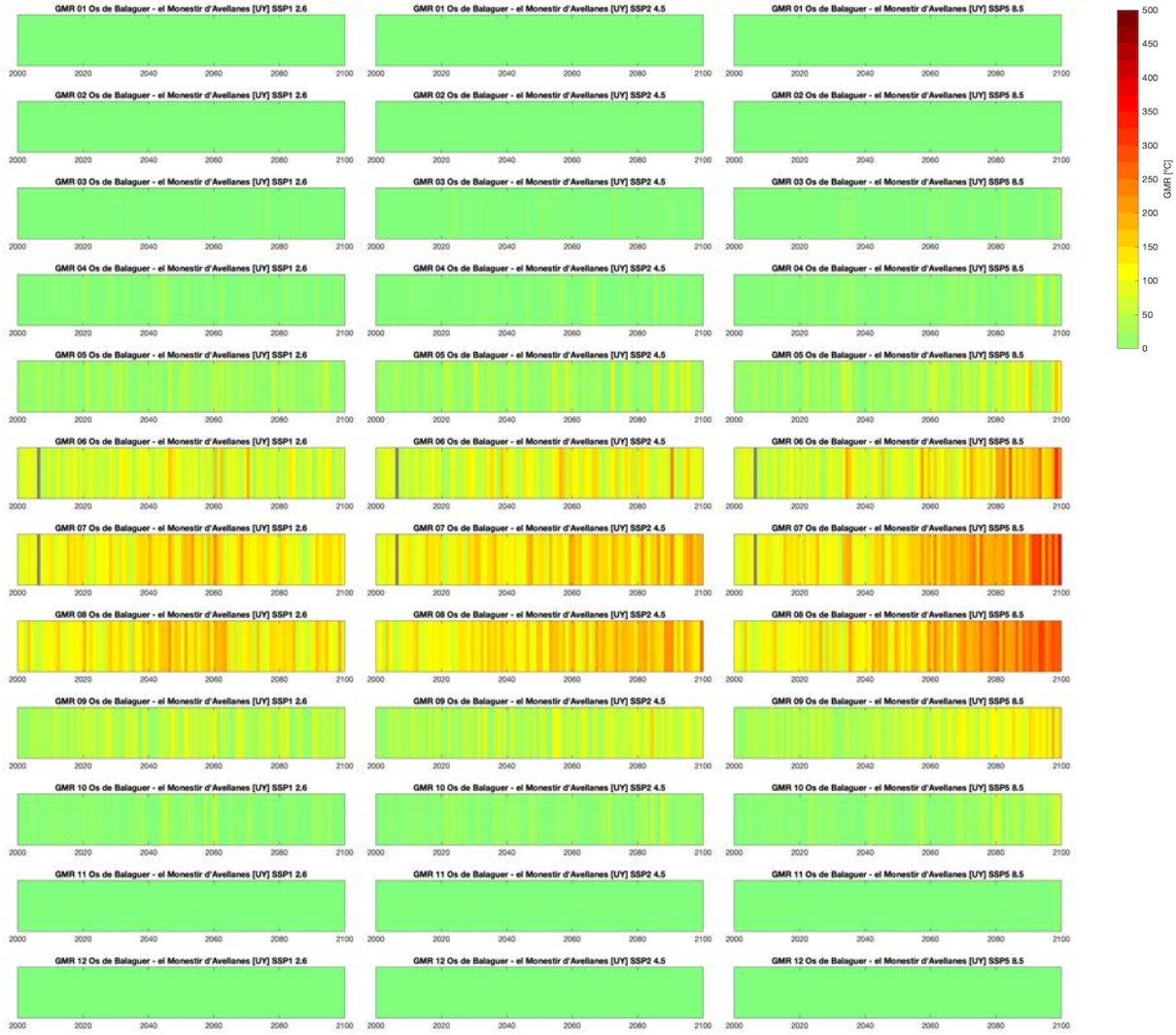

Figura B.243: Evolució dels graus-mes de refrigeració (GMR a l'estació UY- Os de Balaguer - Monestir de les Avellanes, per als diferents escenaris [SSP1 2.6, SSP2 4.5 i SSP5 8.5] per al model climàtic MPI-ESM1.

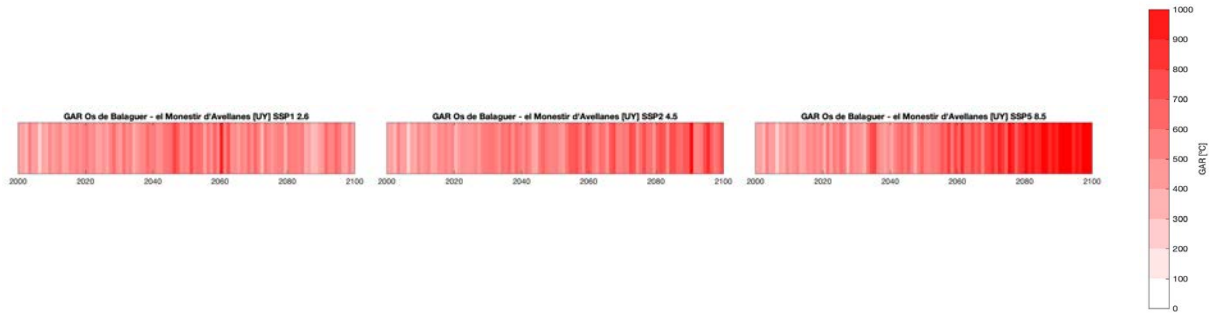

Figura B.244: Evolució dels graus-any de refrigeració (GAR a l'estació UY- Os de Balaguer - Monestir de les Avellanes, per als diferents escenaris [SSP1 2.6, SSP2 4.5 i SSP5 8.5] per al model climàtic MPI-ESM1.

B.1.63 V1 - Vallfogona de Balaguer

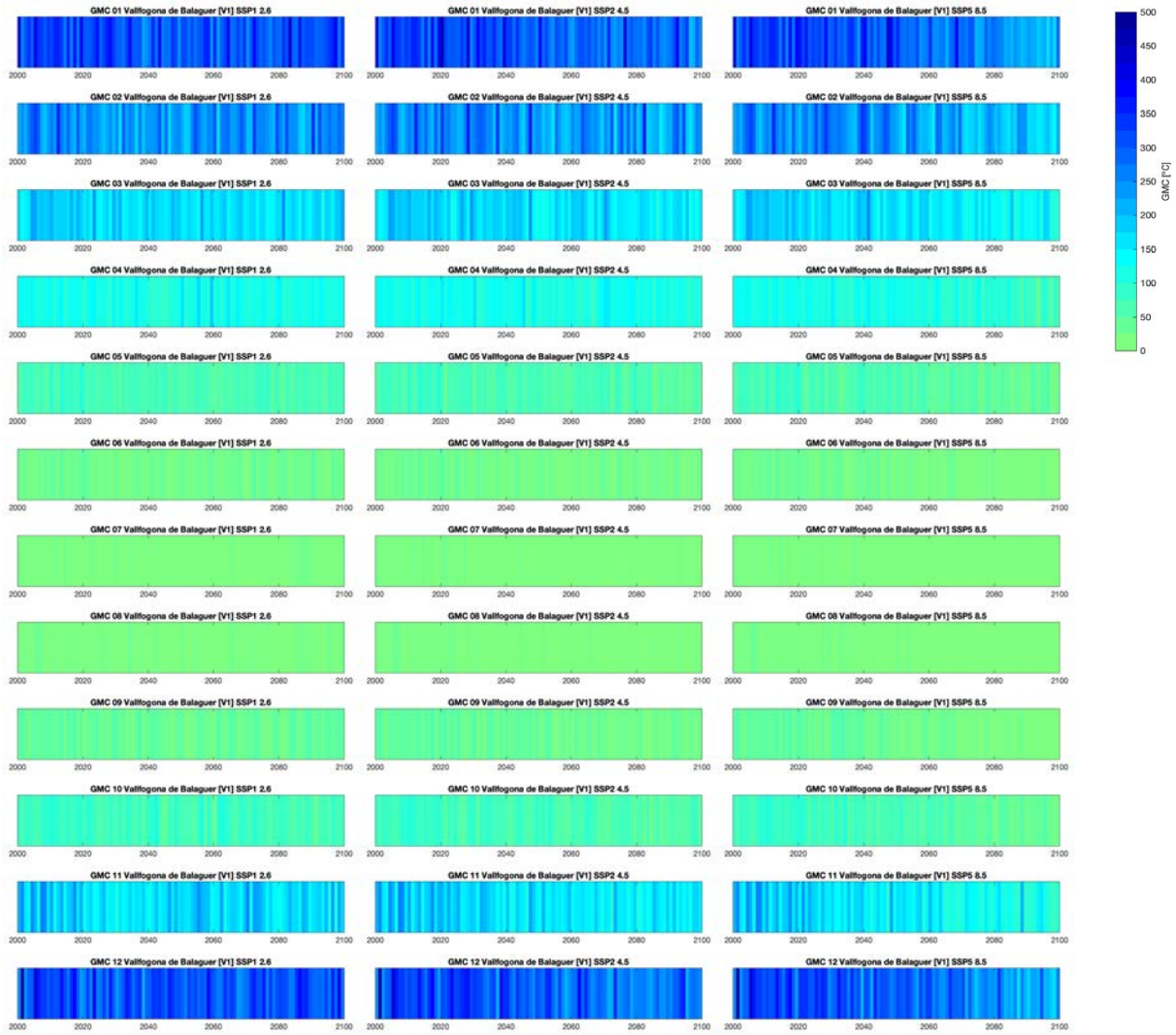

Figura B.245: Evolució dels graus-mes de calefacció (GMC) a l'estació V1- Vallfogona de Balaguer, per als diferents escenaris [SSP1 2.6, SSP2 4.5 i SSP5 8.5] per al model climàtic MPI-ESM1.

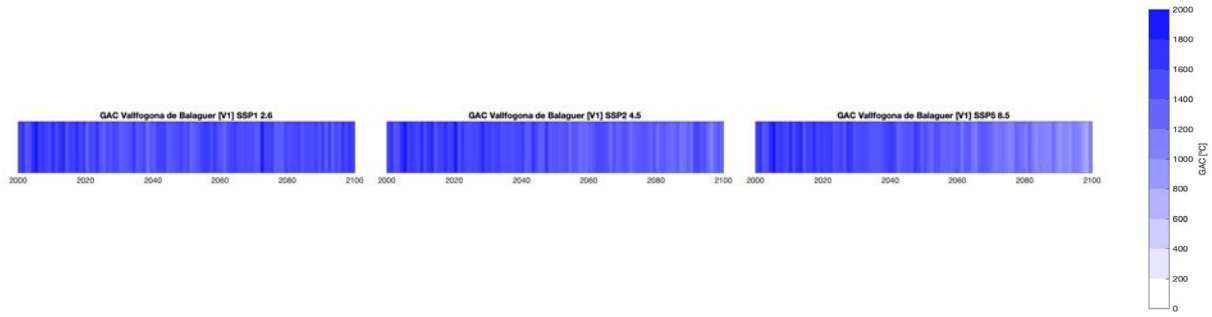

Figura B.246: Evolució dels graus-any de calefacció (GAC) a l'estació V1- Vallfogona de Balaguer, per als diferents escenaris [SSP1 2.6, SSP2 4.5 i SSP5 8.5] per al model climàtic MPI-ESM1.

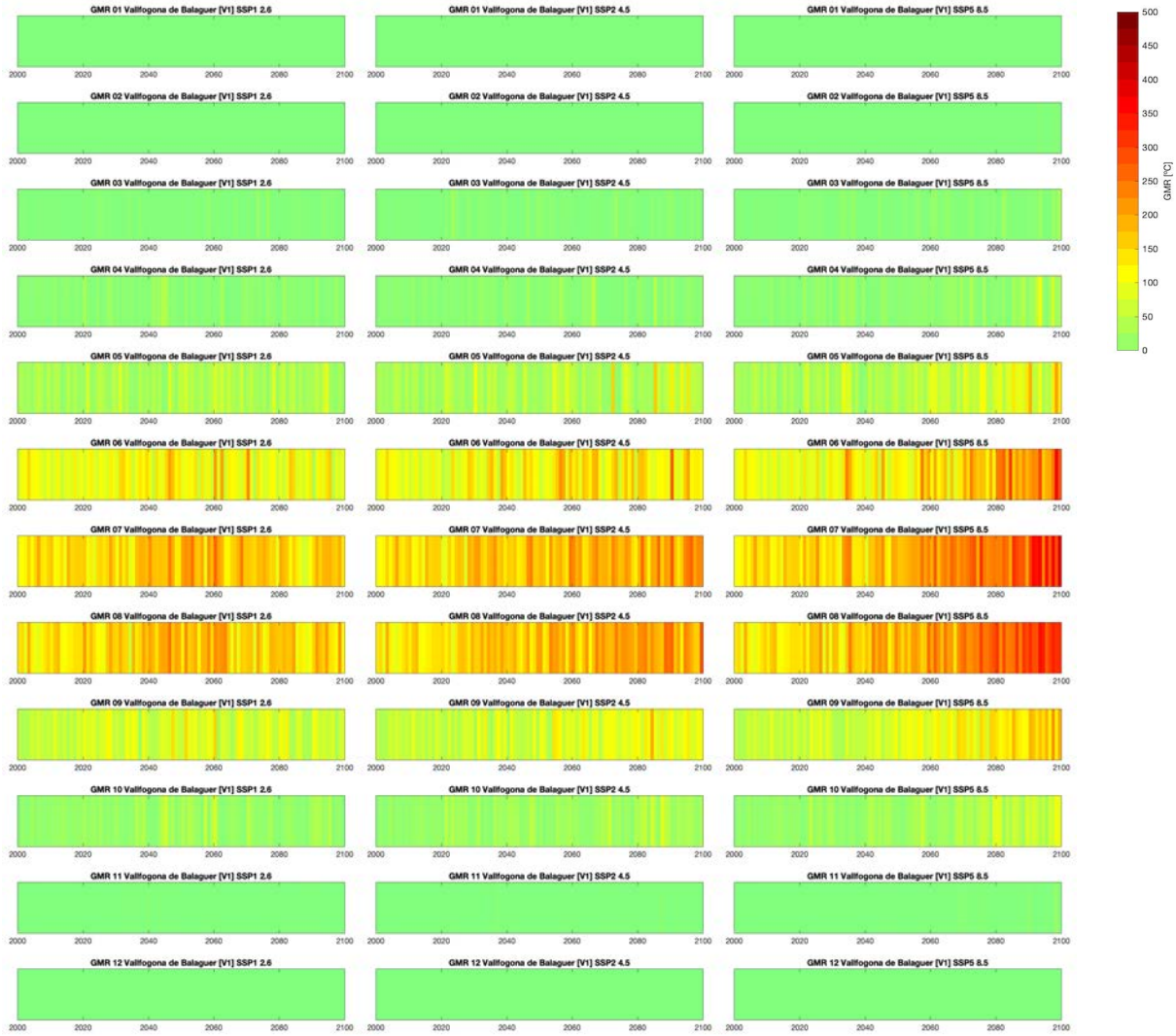

Figura B.247: Evolució dels graus-mes de refrigeració (GMR a l'estació V1- Vallfogona de Balaguer, per als diferents escenaris [SSP1 2.6, SSP2 4.5 i SSP5 8.5] per al model climàtic MPI-ESM1.

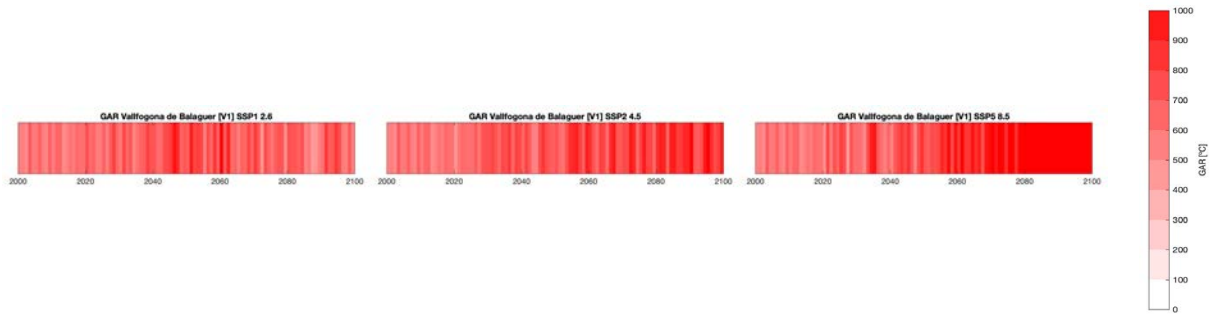

Figura B.248: Evolució dels graus-any de refrigeració (GAR a l'estació V1- Vallfogona de Balaguer, per als diferents escenaris [SSP1 2.6, SSP2 4.5 i SSP5 8.5] per al model climàtic MPI-ESM1.

B.1.64 V3 - Gurb

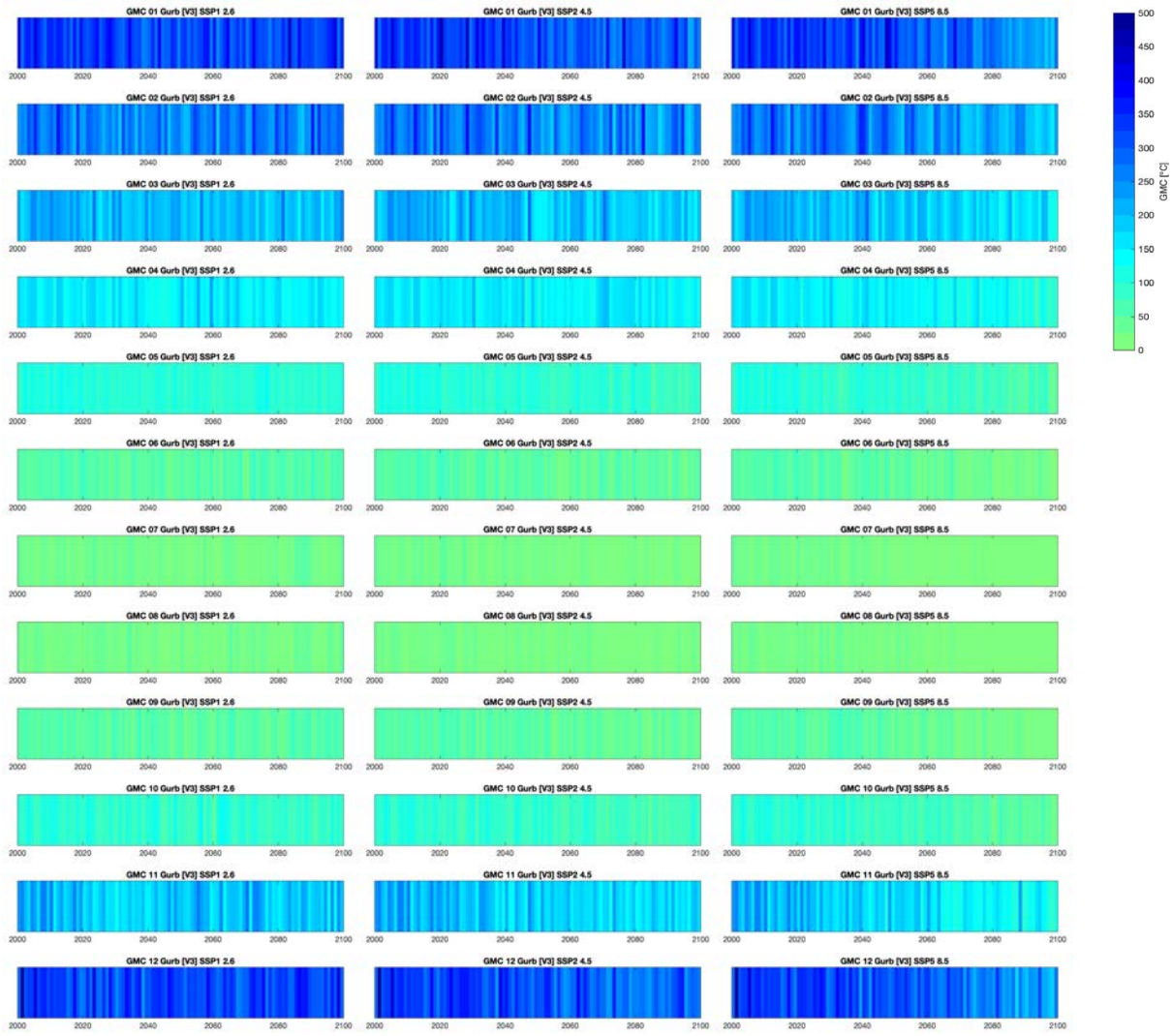

Figura B.249: Evolució dels graus-mes de calefacció (GMC) a l'estació V3- Gurb, per als diferents escenaris [SSP1 2.6, SSP2 4.5 i SSP5 8.5] per al model climàtic MPI-ESM1.

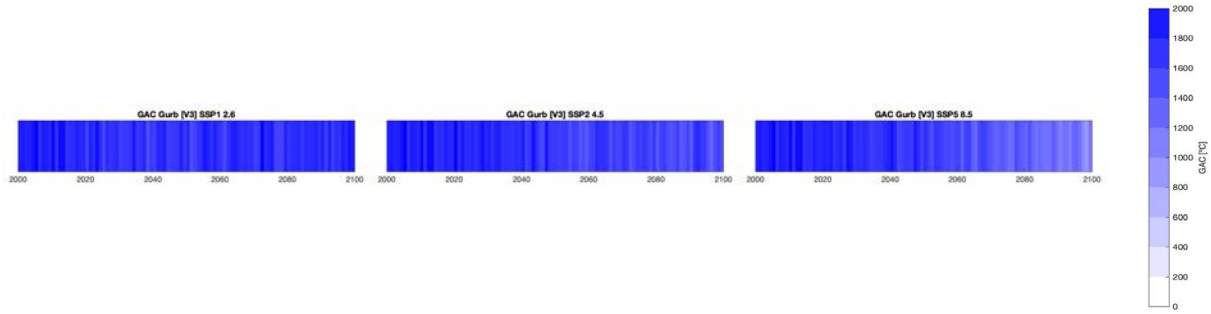

Figura B.250: Evolució dels graus-any de calefacció (GAC) a l'estació V3- Gurb, per als diferents escenaris [SSP1 2.6, SSP2 4.5 i SSP5 8.5] per al model climàtic MPI-ESM1.

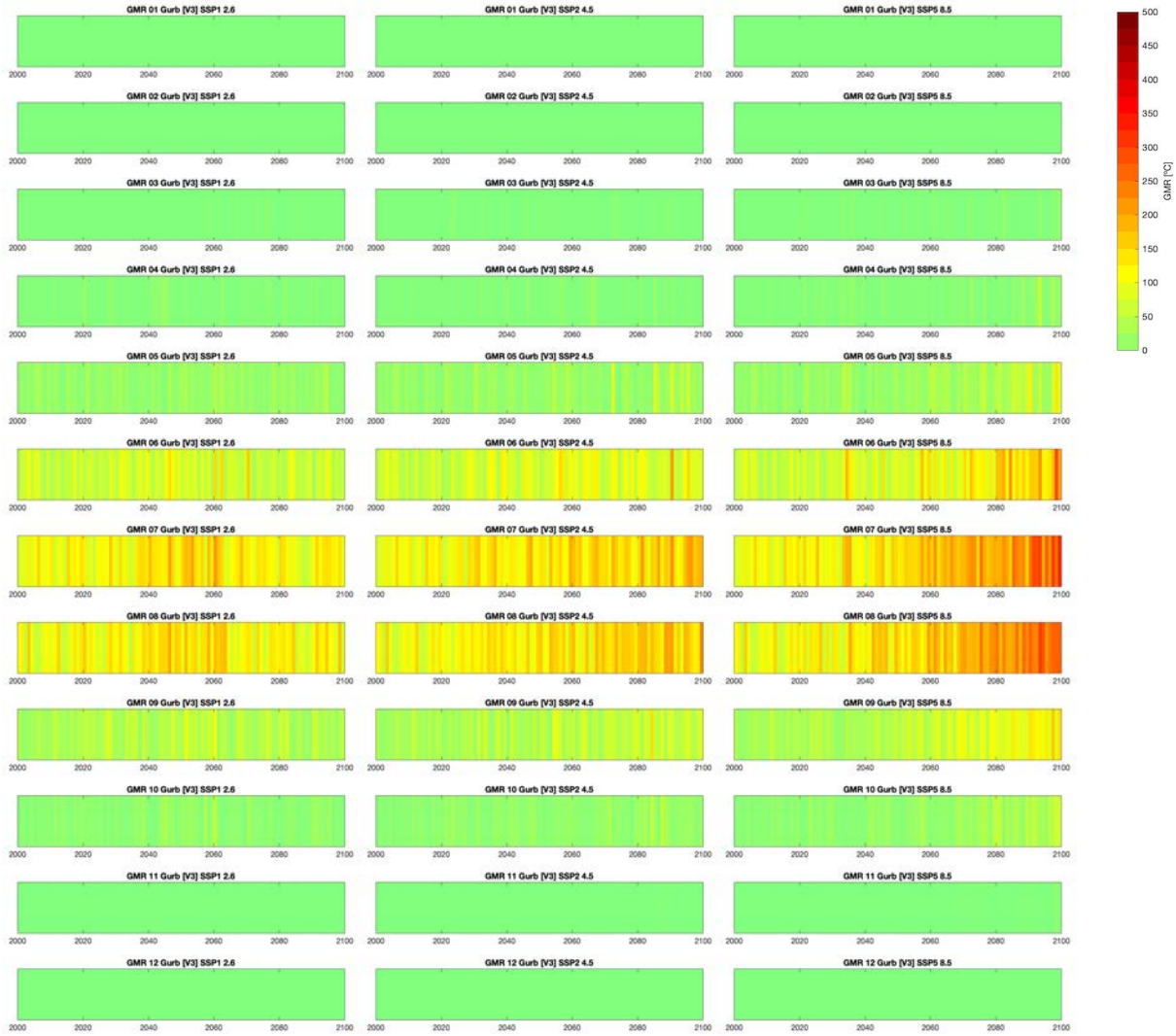

Figura B.251: Evolució dels graus-mes de refrigeració (GMR a l'estació V3- Gurb, per als diferents escenaris [SSP1 2.6, SSP2 4.5 i SSP5 8.5] per al model climàtic MPI-ESM1.

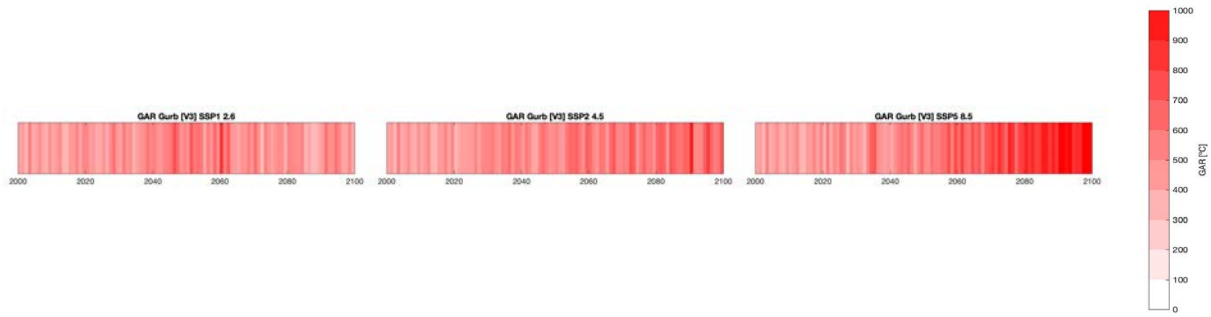

Figura B.252: Evolució dels graus-any de refrigeració (GAR a l'estació V3- Gurb, per als diferents escenaris [SSP1 2.6, SSP2 4.5 i SSP5 8.5] per al model climàtic MPI-ESM1.

B.1.65 V4 - Montesquiu

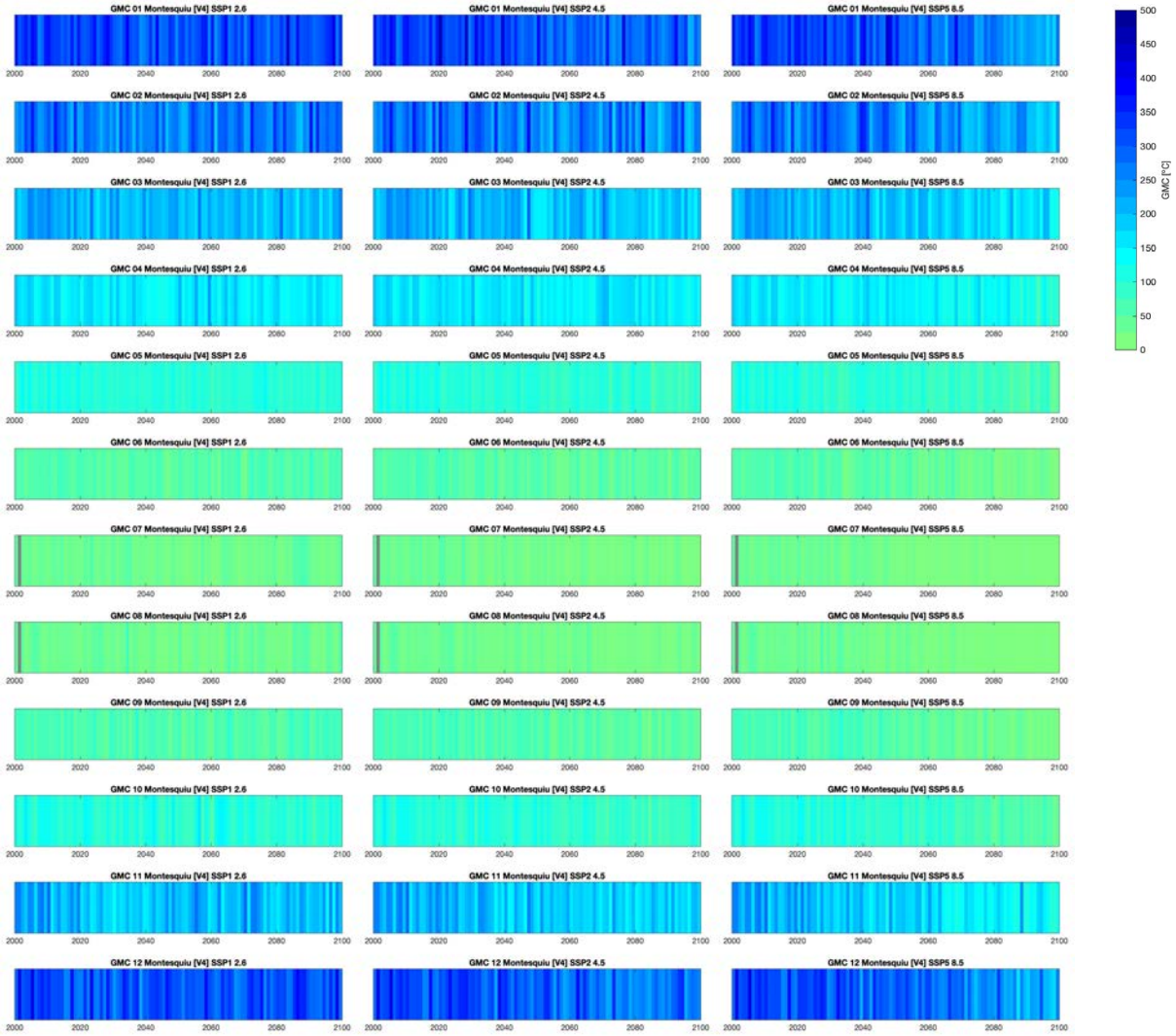

Figura B.253: Evolució dels graus-mes de calefacció (GMC) a l'estació V4- Montesquiu, per als diferents escenaris [SSP1 2.6, SSP2 4.5 i SSP5 8.5] per al model climàtic MPI-ESM1.

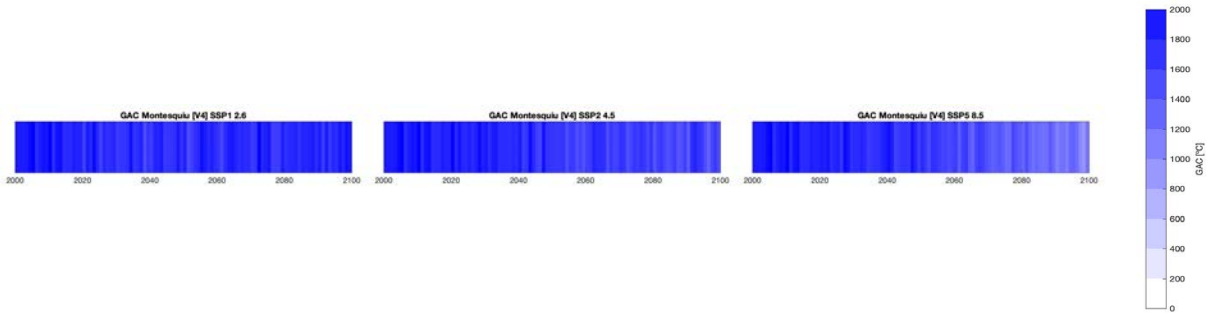

Figura B.254: Evolució dels graus-any de calefacció (GAC) a l'estació V4- Montesquiu, per als diferents escenaris [SSP1 2.6, SSP2 4.5 i SSP5 8.5] per al model climàtic MPI-ESM1.

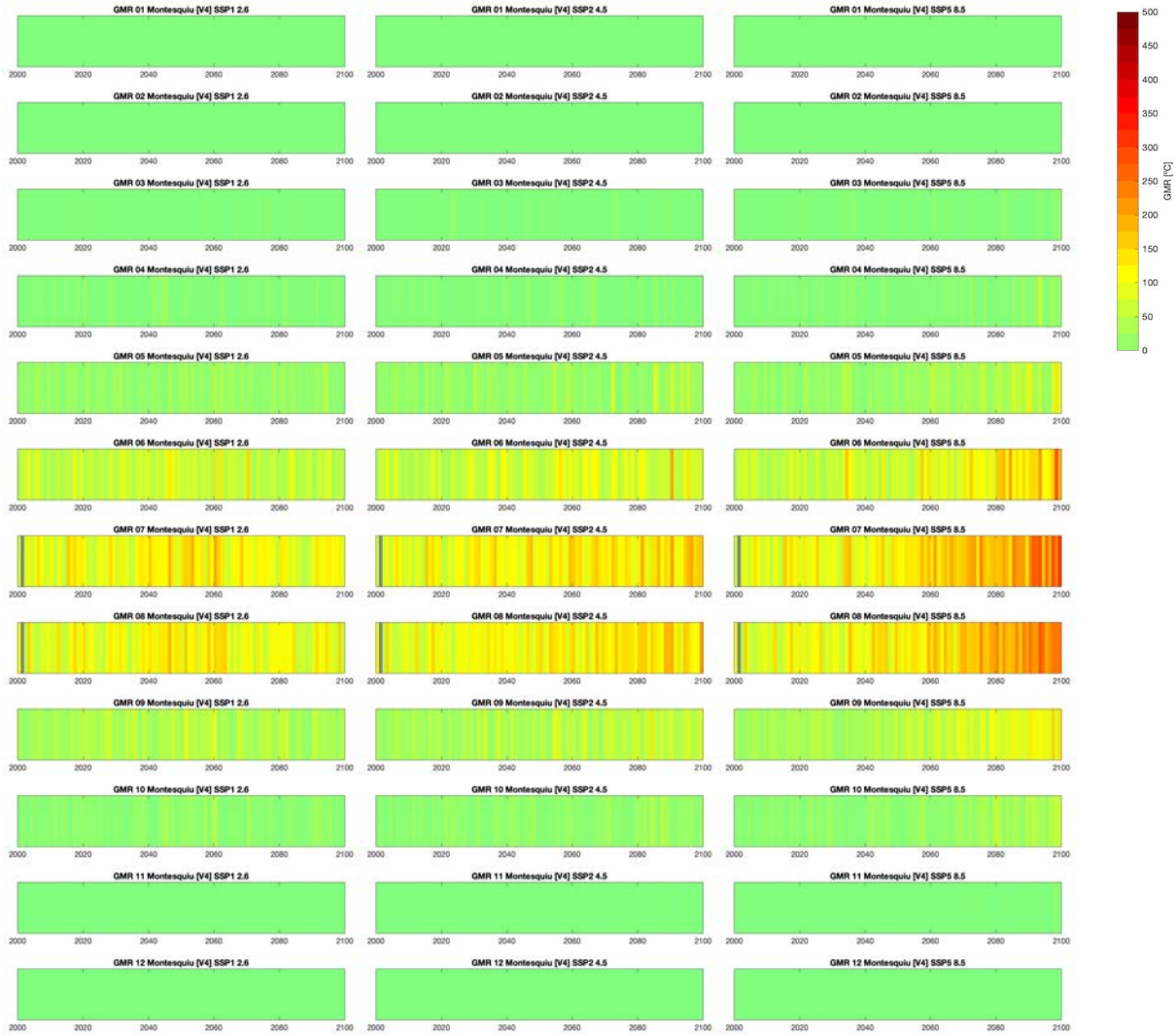

Figura B.255: Evolució dels graus-mes de refrigeració (GMR a l'estació V4- Montesquiu, per als diferents escenaris [SSP1 2.6, SSP2 4.5 i SSP5 8.5] per al model climàtic MPI-ESM1.

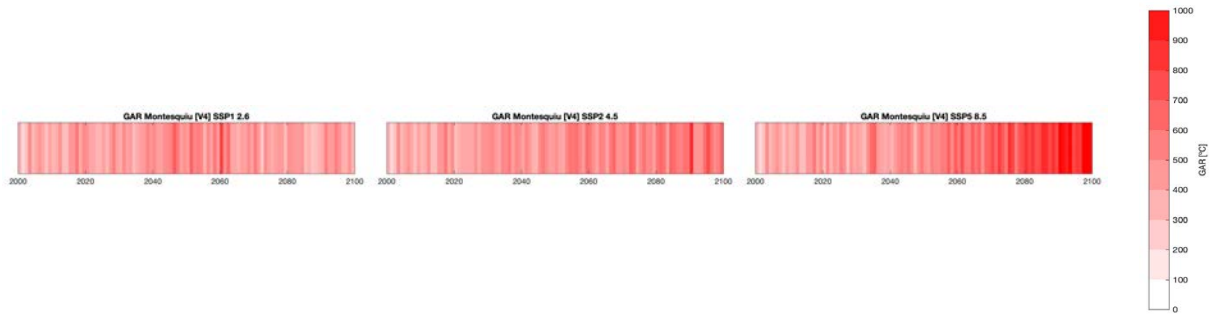

Figura B.256: Evolució dels graus-any de refrigeració (GAR a l'estació V4- Montesquiu, per als diferents escenaris [SSP1 2.6, SSP2 4.5 i SSP5 8.5] per al model climàtic MPI-ESM1.

B.1.66 V5 - Perafita

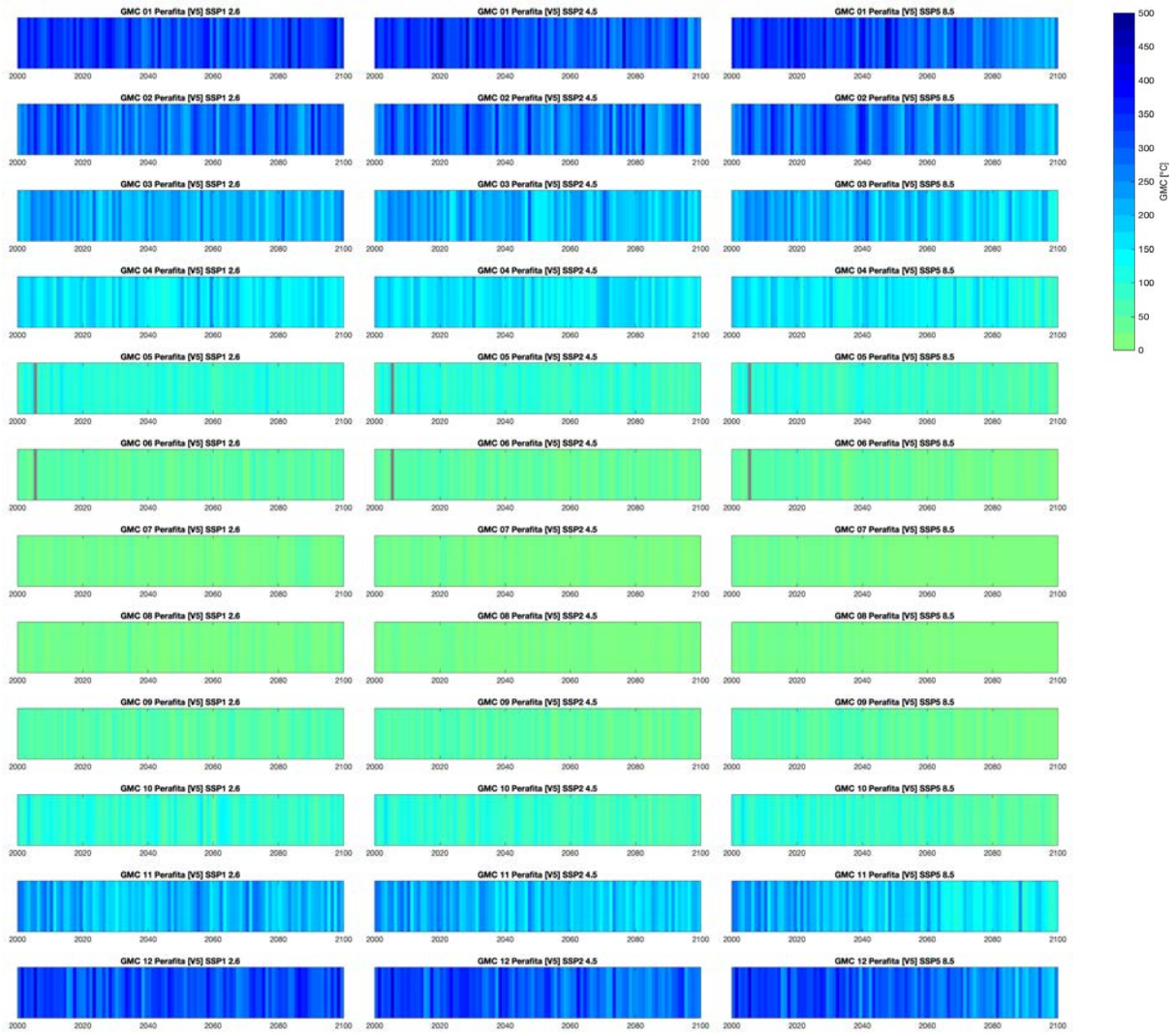

Figura B.257: Evolució dels graus-mes de calefacció (GMC) a l'estació V5- Perafita, per als diferents escenaris [SSP1 2.6, SSP2 4.5 i SSP5 8.5] per al model climàtic MPI-ESM1.

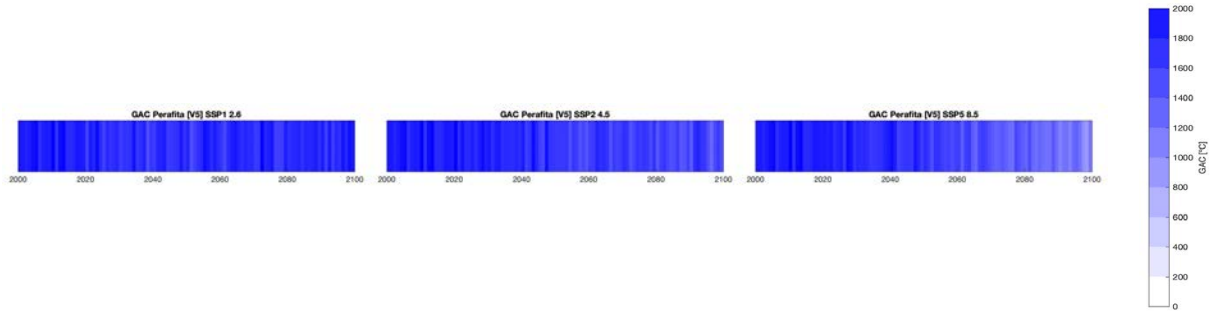

Figura B.258: Evolució dels graus-any de calefacció (GAC) a l'estació V5- Perafita, per als diferents escenaris [SSP1 2.6, SSP2 4.5 i SSP5 8.5] per al model climàtic MPI-ESM1.

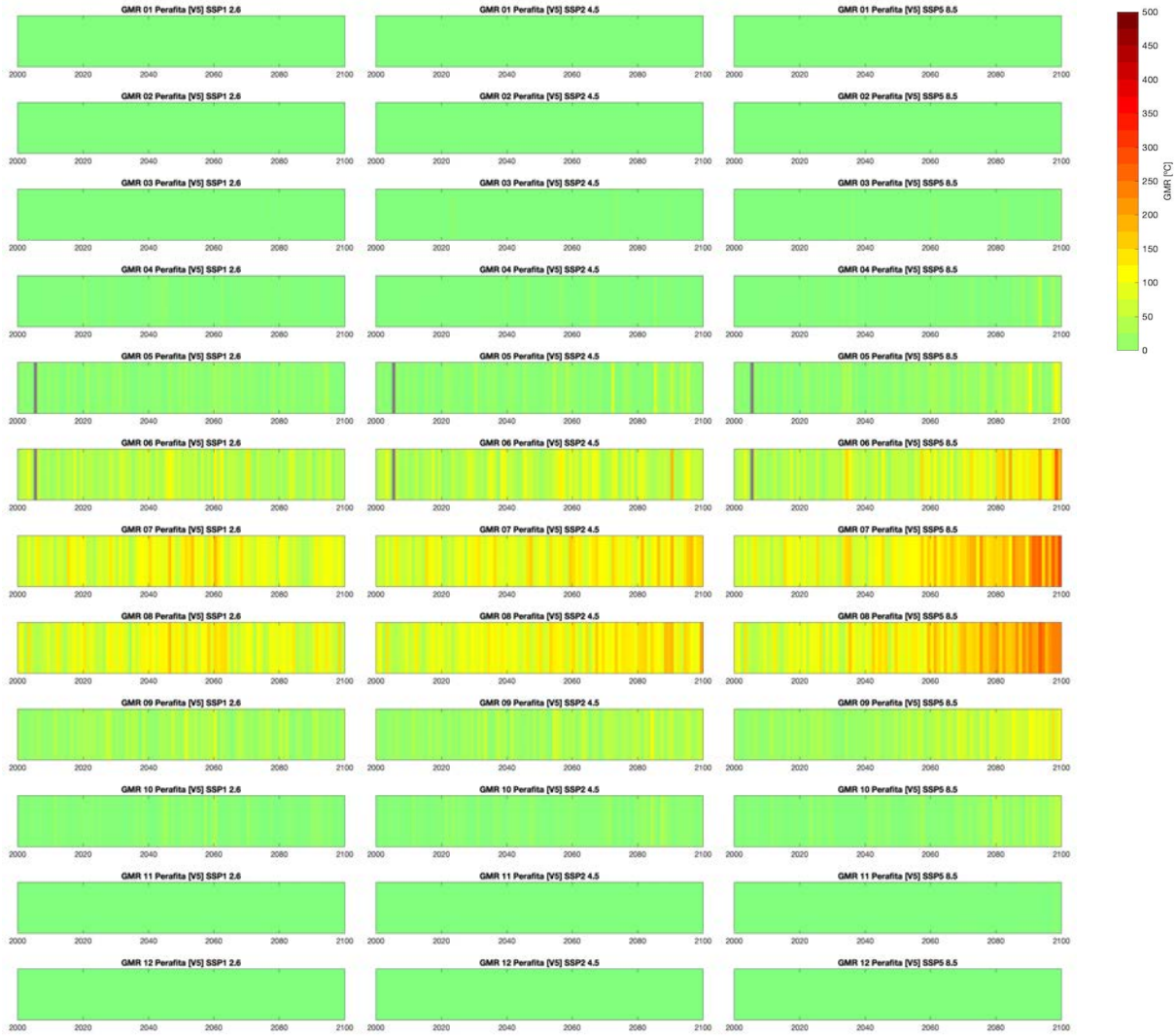

Figura B.259: Evolució dels graus-mes de refrigeració (GMR a l'estació V5- Perafita, per als diferents escenaris [SSP1 2.6, SSP2 4.5 i SSP5 8.5] per al model climàtic MPI-ESM1.

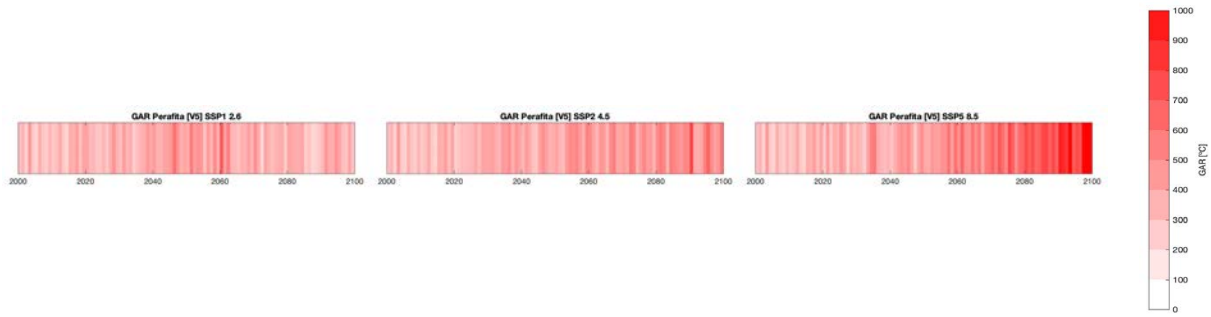

Figura B.260: Evolució dels graus-any de refrigeració (GAR a l'estació V5- Perafita, per als diferents escenaris [SSP1 2.6, SSP2 4.5 i SSP5 8.5] per al model climàtic MPI-ESM1.

B.1.67 V8 - El Poal

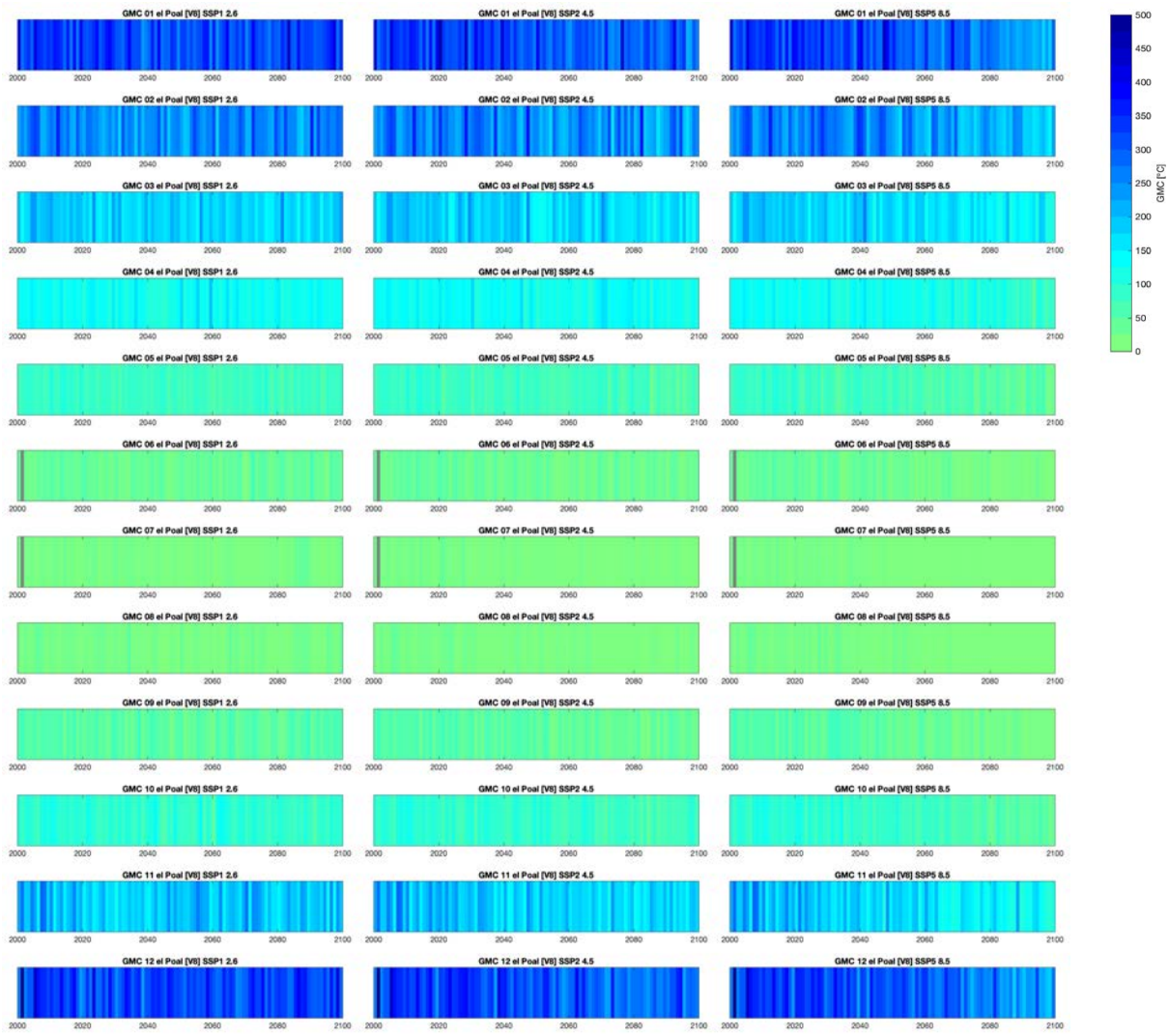

Figura B.261: Evolució dels graus-mes de calefacció (GMC) a l'estació V8- El Poal, per als diferents escenaris [SSP1 2.6, SSP2 4.5 i SSP5 8.5] per al model climàtic MPI-ESM1.

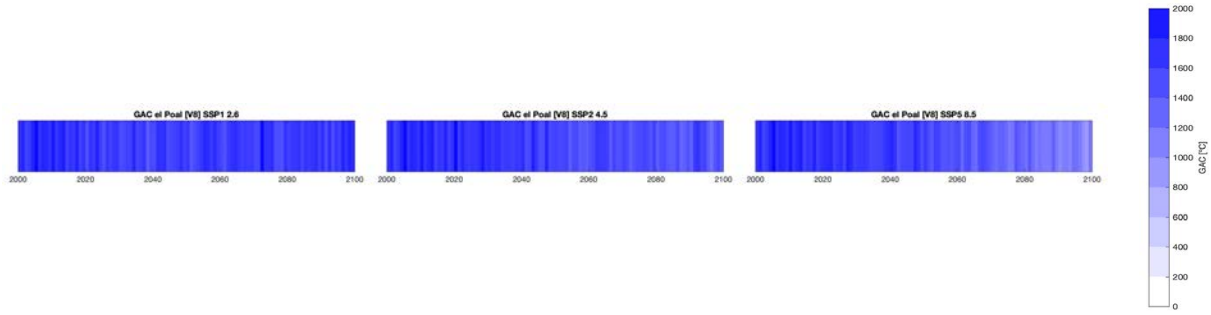

Figura B.262: Evolució dels graus-any de calefacció (GAC) a l'estació V8- El Poal, per als diferents escenaris [SSP1 2.6, SSP2 4.5 i SSP5 8.5] per al model climàtic MPI-ESM1.

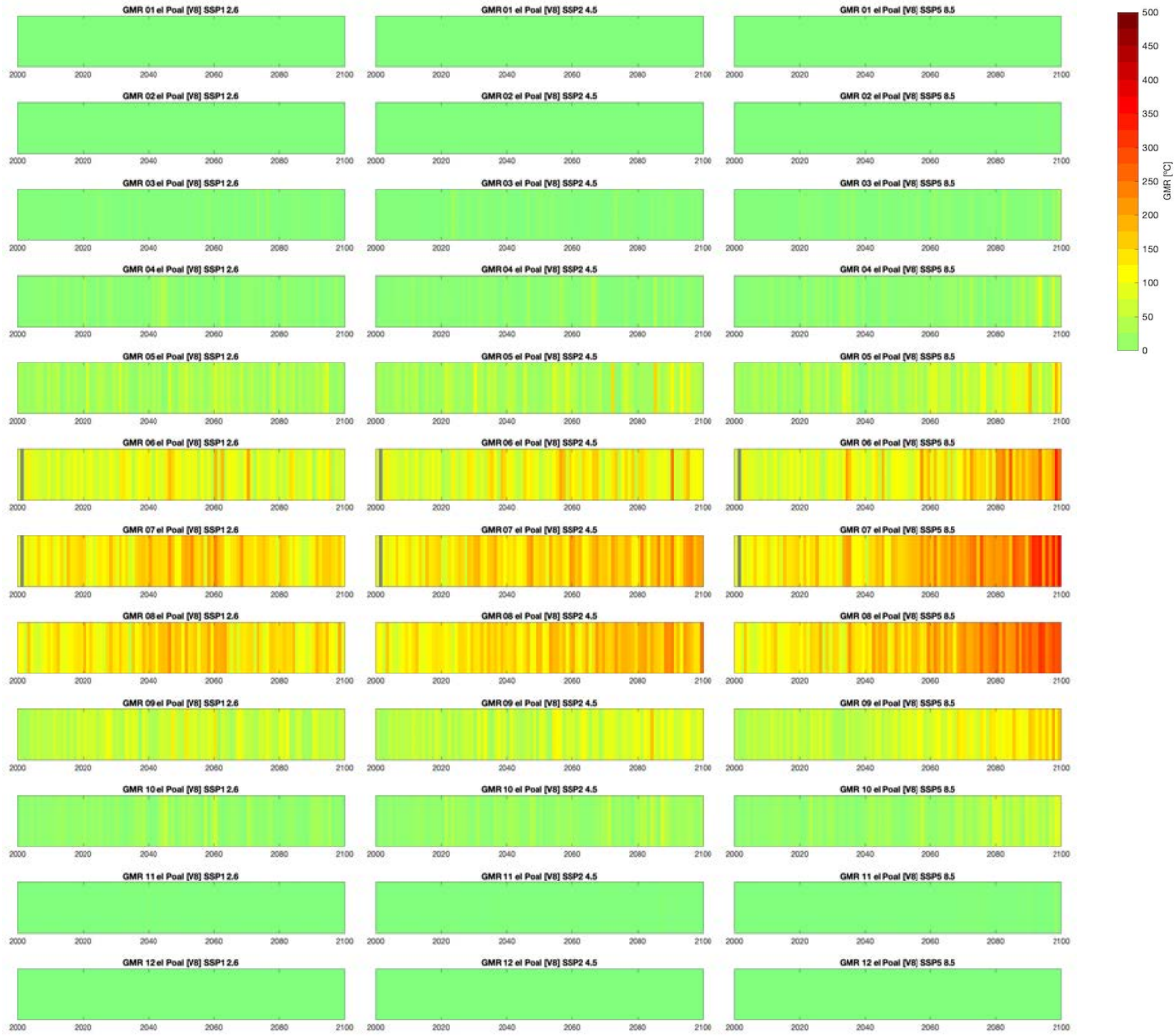

Figura B.263: Evolució dels graus-mes de refrigeració (GMR a l'estació V8- El Poal, per als diferents escenaris [SSP1 2.6, SSP2 4.5 i SSP5 8.5] per al model climàtic MPI-ESM1.

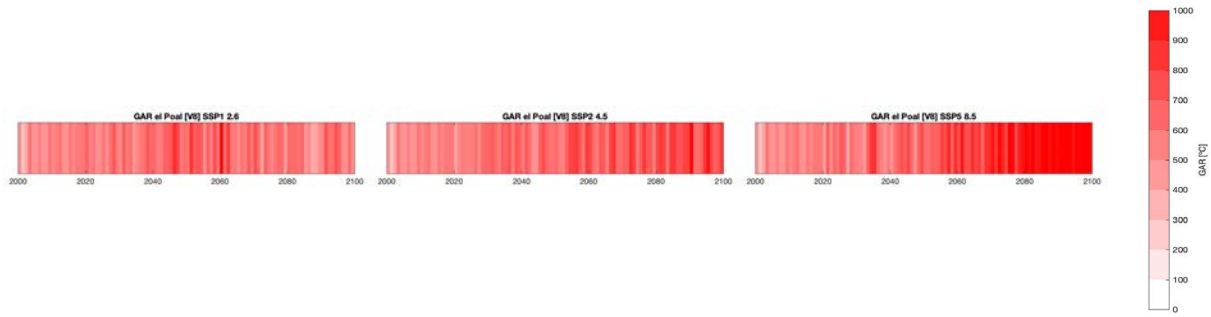

Figura B.264: Evolució dels graus-any de refrigeració (GAR a l'estació V8- El Poal, per als diferents escenaris [SSP1 2.6, SSP2 4.5 i SSP5 8.5] per al model climàtic MPI-ESM1.

B.1.68 VA - Ascó

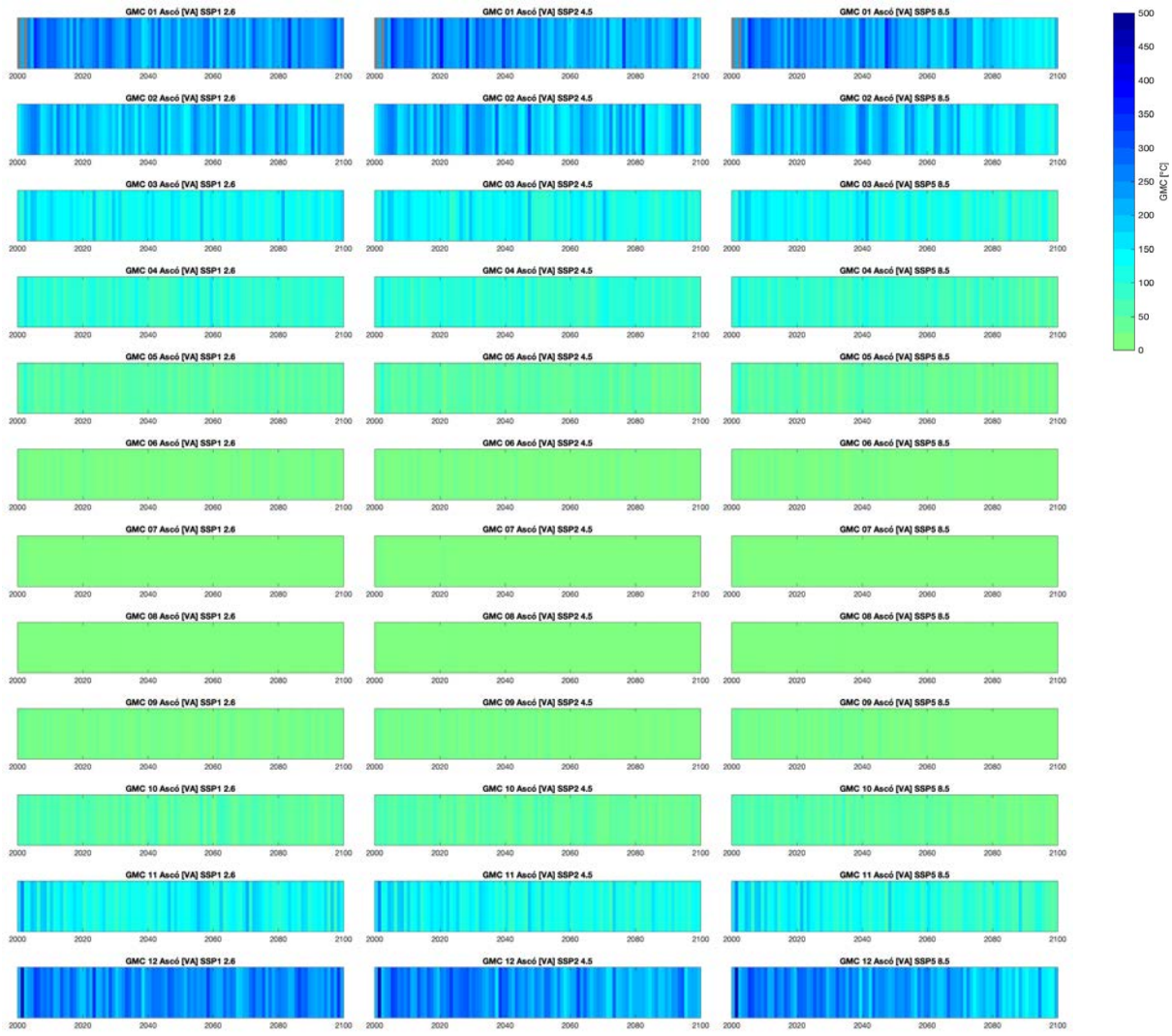

Figura B.265: Evolució dels graus-mes de calefacció (GMC) a l'estació VA- Ascó, per als diferents escenaris [SSP1 2.6, SSP2 4.5 i SSP5 8.5] per al model climàtic MPI-ESM1.

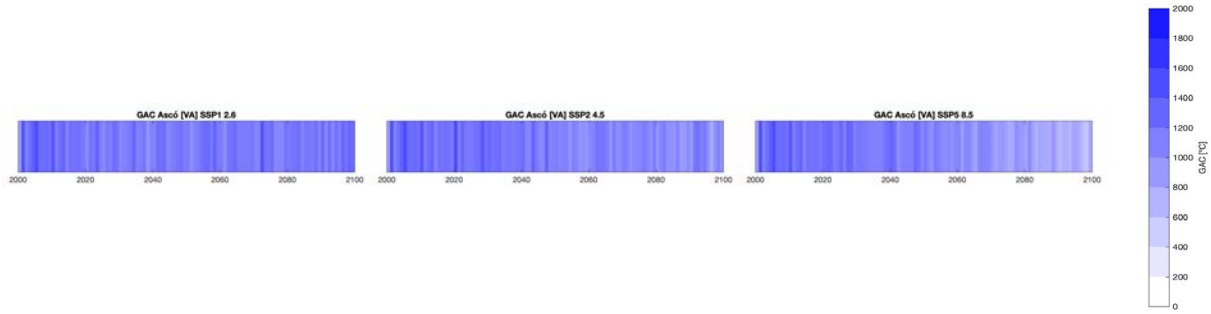

Figura B.266: Evolució dels graus-any de calefacció (GAC) a l'estació VA- Ascó, per als diferents escenaris [SSP1 2.6, SSP2 4.5 i SSP5 8.5] per al model climàtic MPI-ESM1.

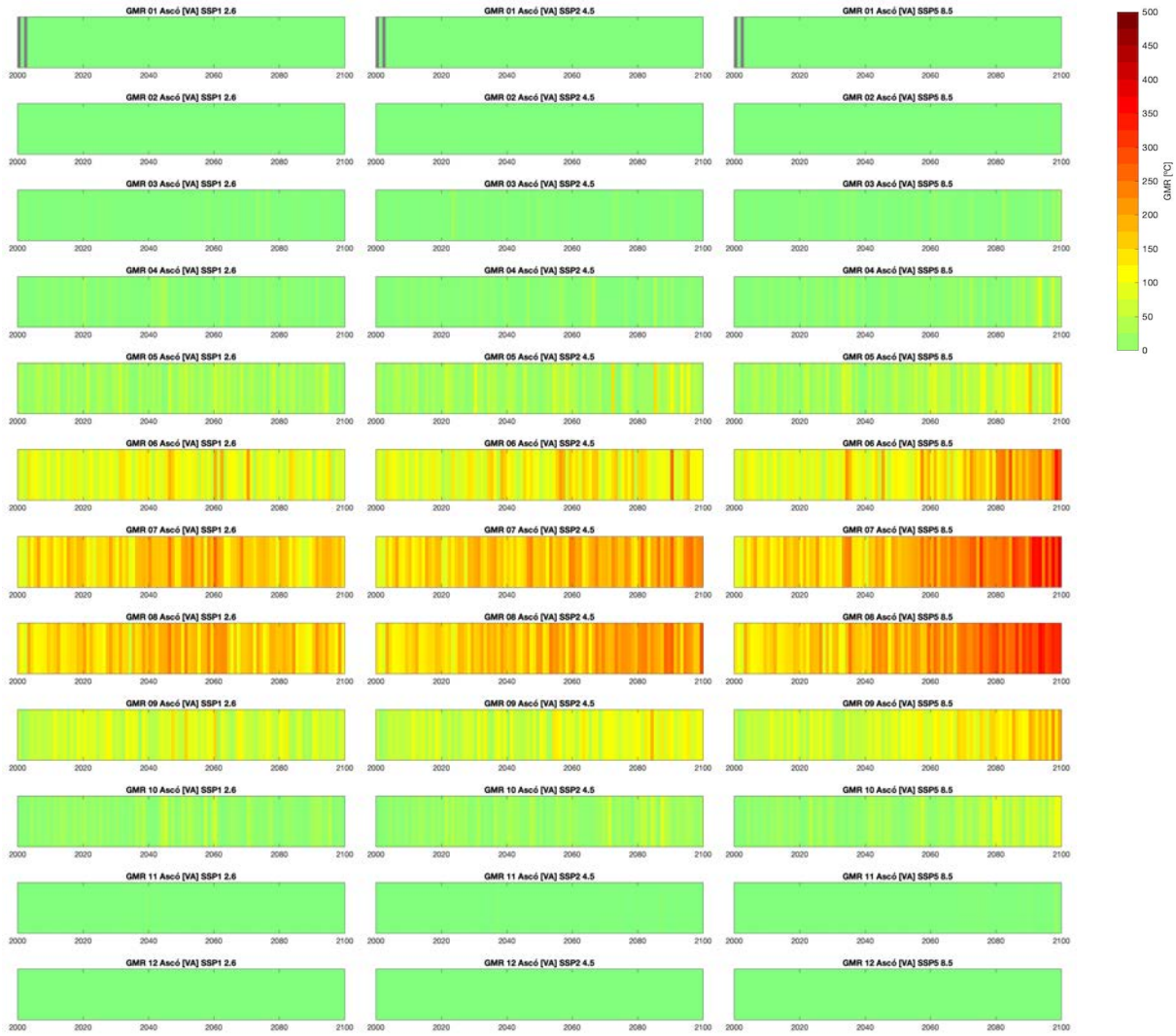

Figura B.267: Evolució dels graus-mes de refrigeració (GMR a l'estació VA- Ascó, per als diferents escenaris [SSP1 2.6, SSP2 4.5 i SSP5 8.5] per al model climàtic MPI-ESM1.

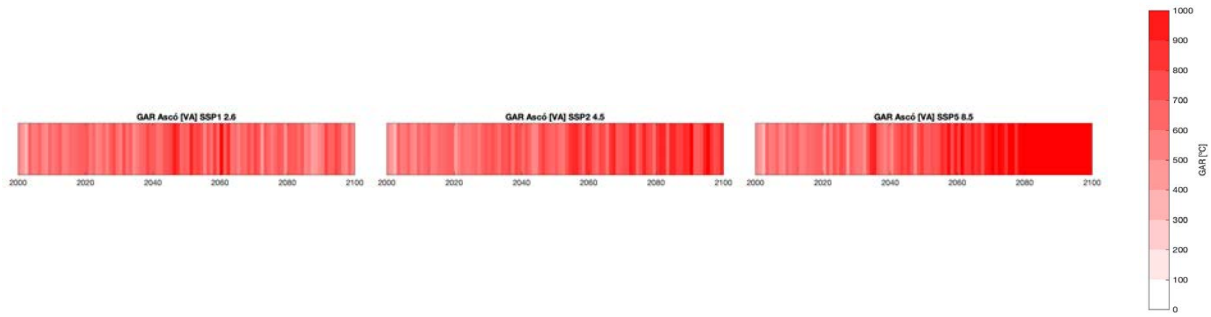

Figura B.268: Evolució dels graus-any de refrigeració (GAR a l'estació VA- Ascó, per als diferents escenaris [SSP1 2.6, SSP2 4.5 i SSP5 8.5] per al model climàtic MPI-ESM1.

B.1.69 VB - Benissanet

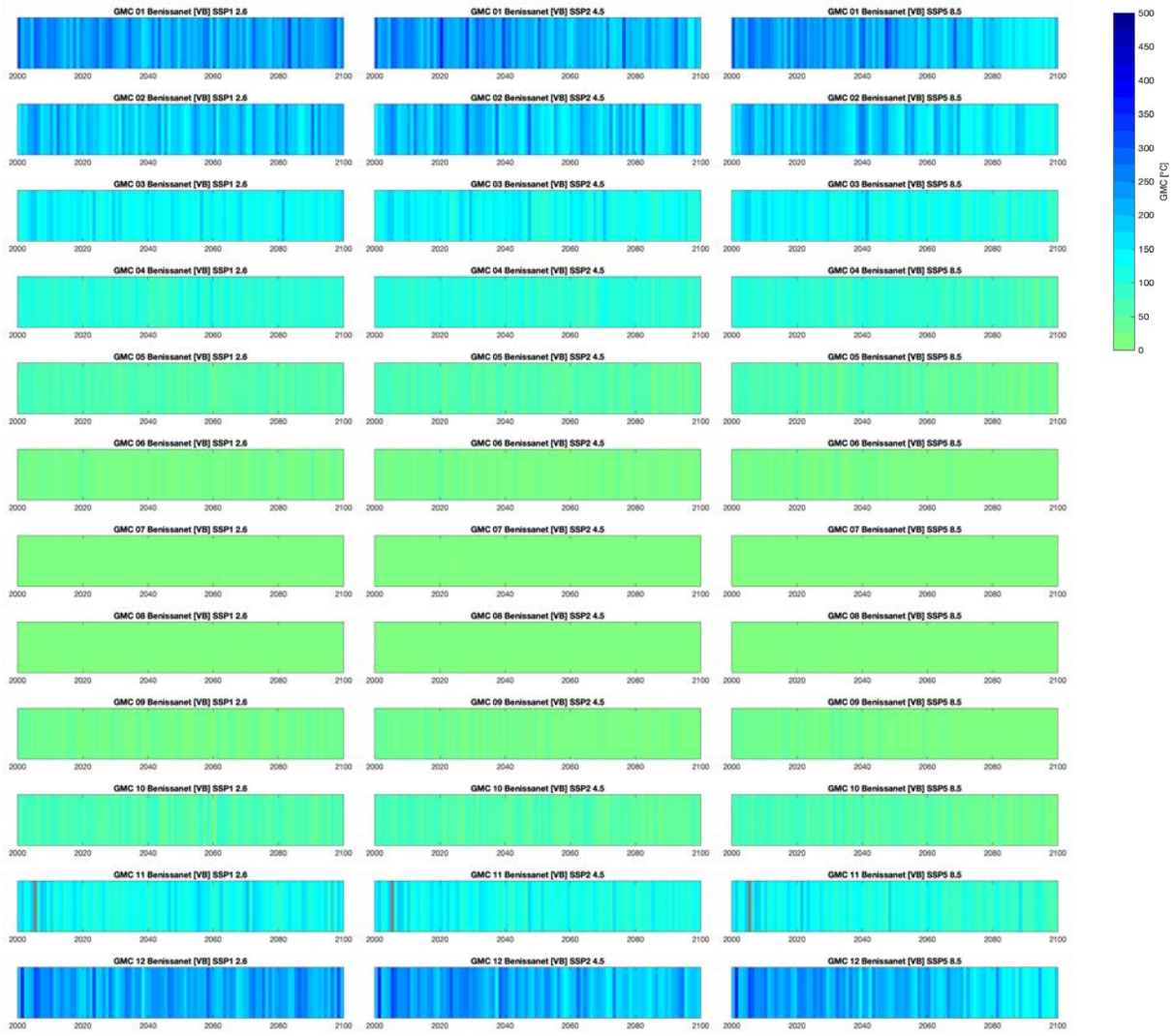

Figura B.269: Evolució dels graus-mes de calefacció (GMC) a l'estació VB- Benissanet, per als diferents escenaris [SSP1 2.6, SSP2 4.5 i SSP5 8.5] per al model climàtic MPI-ESM1.

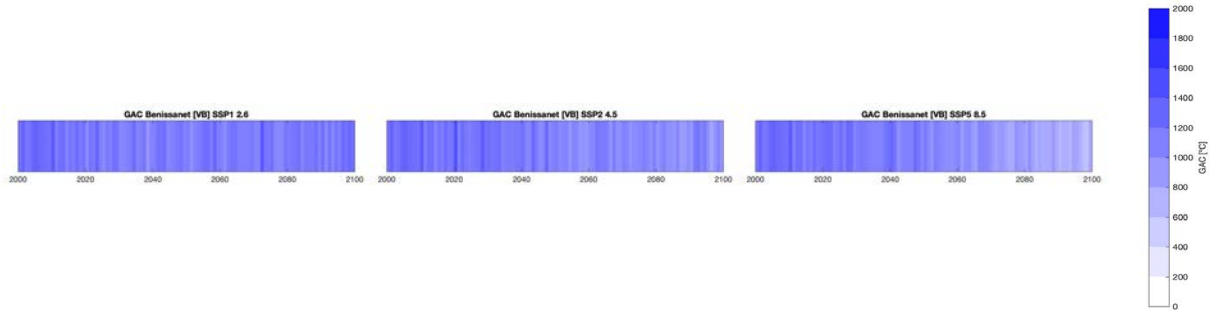

Figura B.270: Evolució dels graus-any de calefacció (GAC) a l'estació VB- Benissanet, per als diferents escenaris [SSP1 2.6, SSP2 4.5 i SSP5 8.5] per al model climàtic MPI-ESM1.

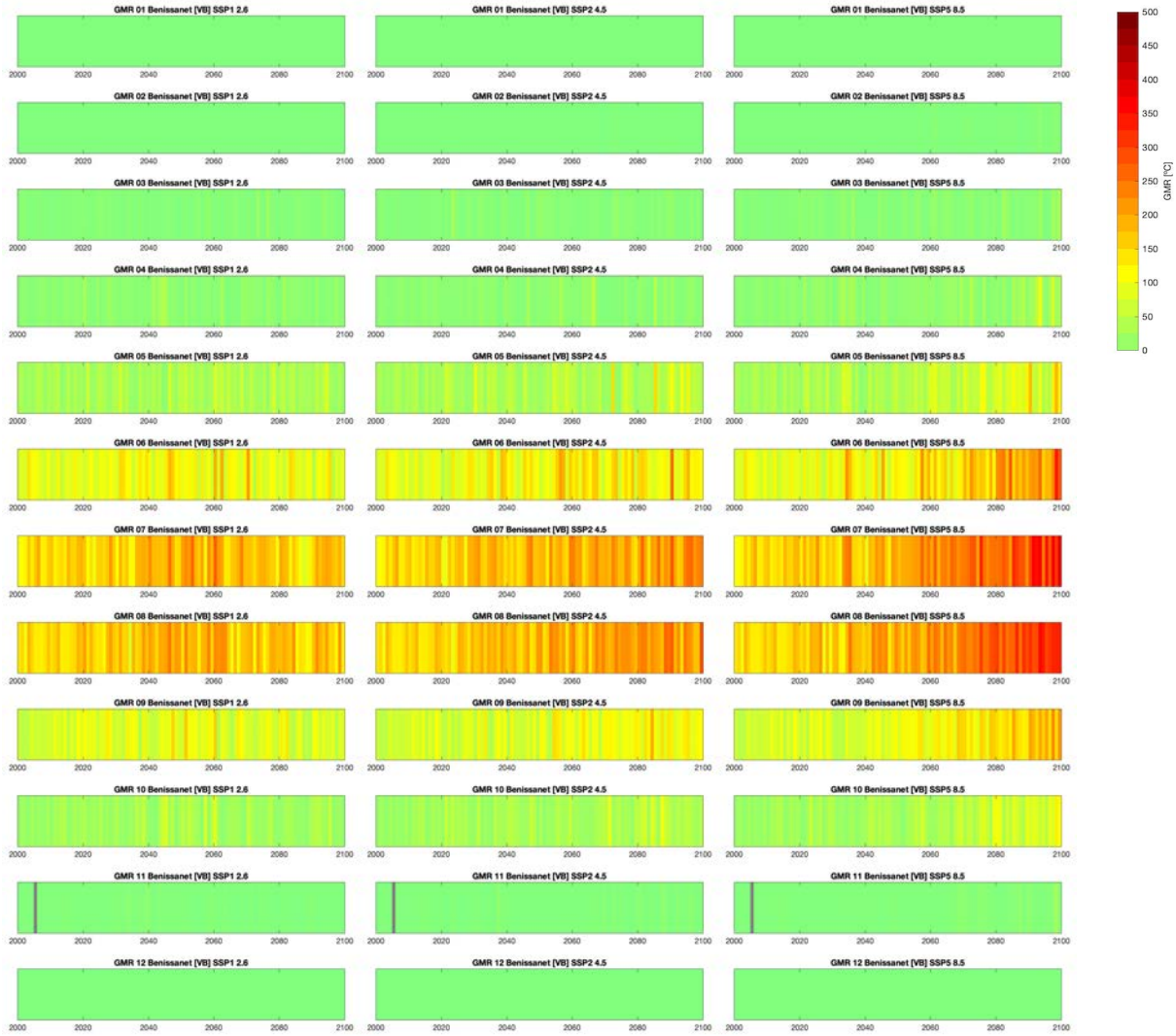

Figura B.271: Evolució dels graus-mes de refrigeració (GMR a l'estació VB- Benissanet, per als diferents escenaris [SSP1 2.6, SSP2 4.5 i SSP5 8.5] per al model climàtic MPI-ESM1.

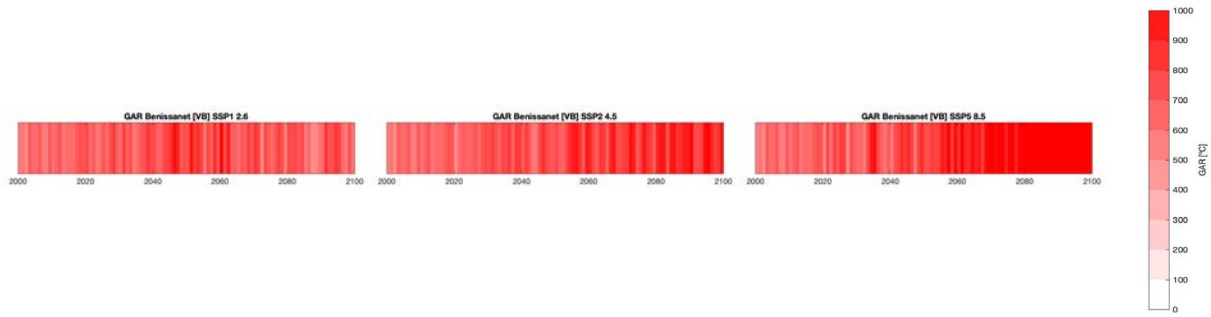

Figura B.272: Evolució dels graus-any de refrigeració (GAR a l'estació VB- Benissanet, per als diferents escenaris [SSP1 2.6, SSP2 4.5 i SSP5 8.5] per al model climàtic MPI-ESM1.

B.1.70 VC - Pantà de Riba-roja

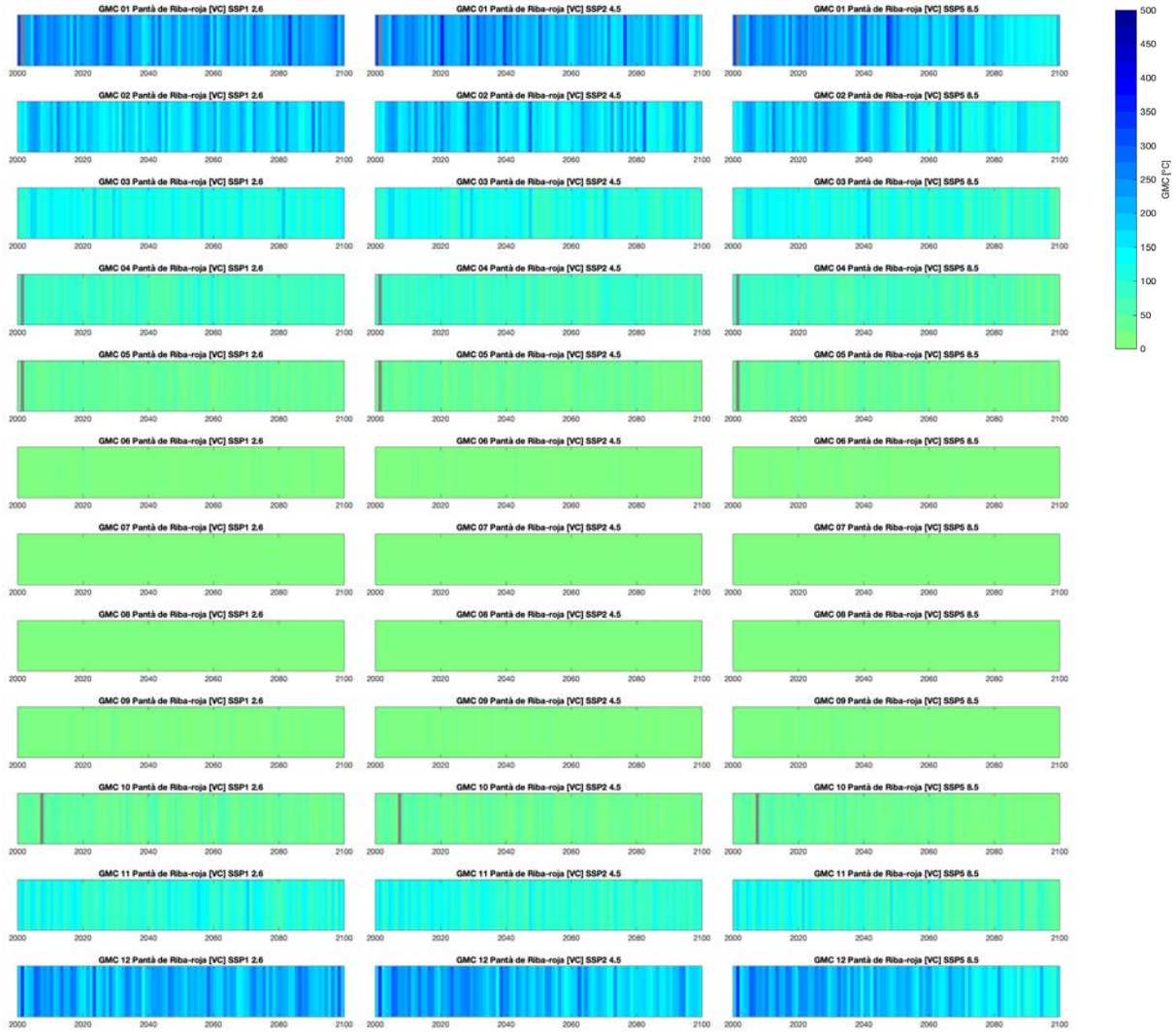

Figura B.273: Evolució dels graus-mes de calefacció (GMC) a l'estació VC- Pantà de Riba-roja, per als diferents escenaris [SSP1 2.6, SSP2 4.5 i SSP5 8.5] per al model climàtic MPI-ESM1.

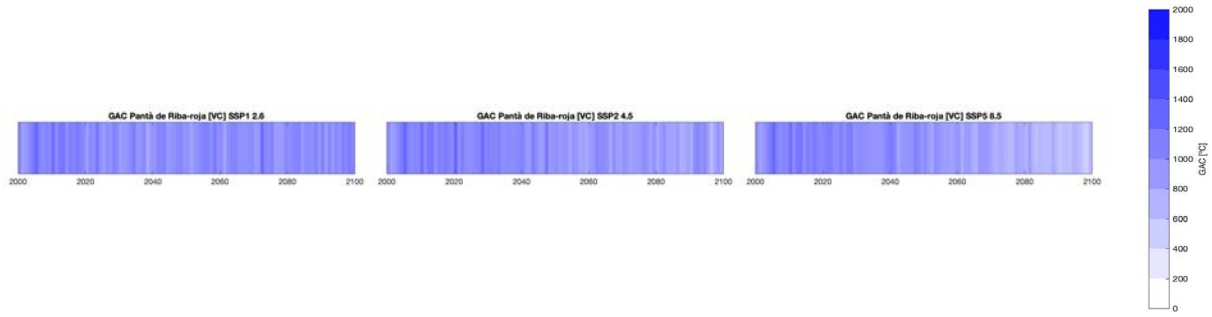

Figura B.274: Evolució dels graus-any de calefacció (GAC) a l'estació VC- Pantà de Riba-roja, per als diferents escenaris [SSP1 2.6, SSP2 4.5 i SSP5 8.5] per al model climàtic MPI-ESM1.

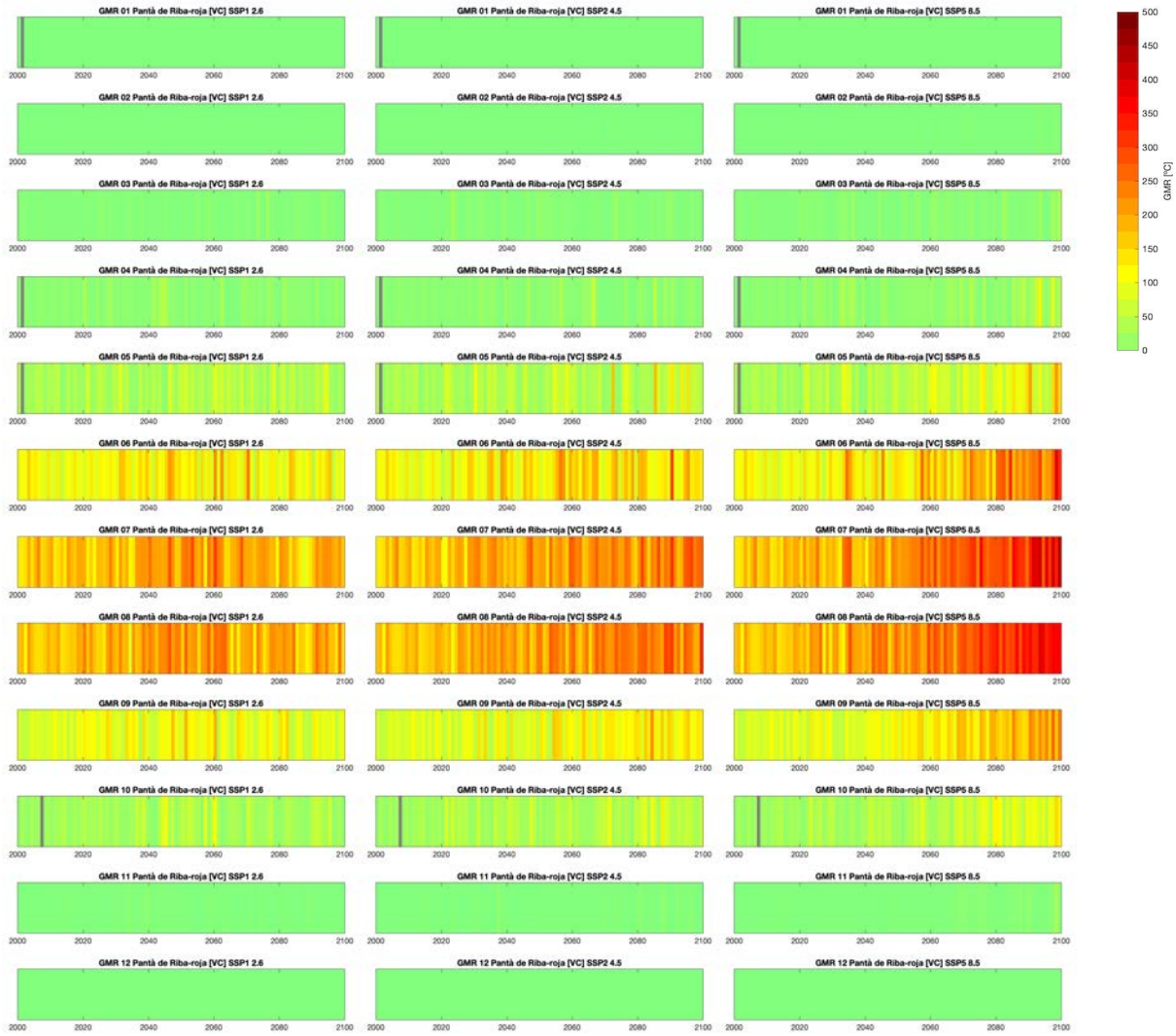

Figura B.275: Evolució dels graus-mes de refrigeració (GMR a l'estació VC- Pantà de Riba-roja, per als diferents escenaris [SSP1 2.6, SSP2 4.5 i SSP5 8.5] per al model climàtic MPI-ESM1.

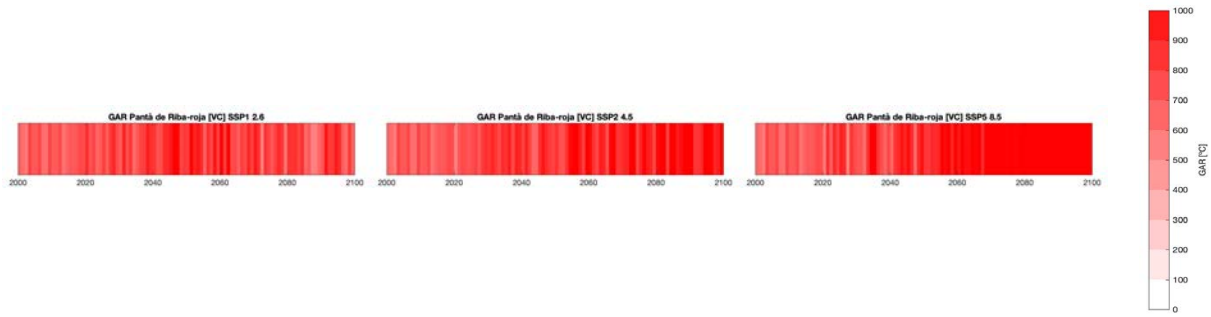

Figura B.276: Evolució dels graus-any de refrigeració (GAR a l'estació VC- Pantà de Riba-roja, per als diferents escenaris [SSP1 2.6, SSP2 4.5 i SSP5 8.5] per al model climàtic MPI-ESM1.

B.1.71 VD - El Canós

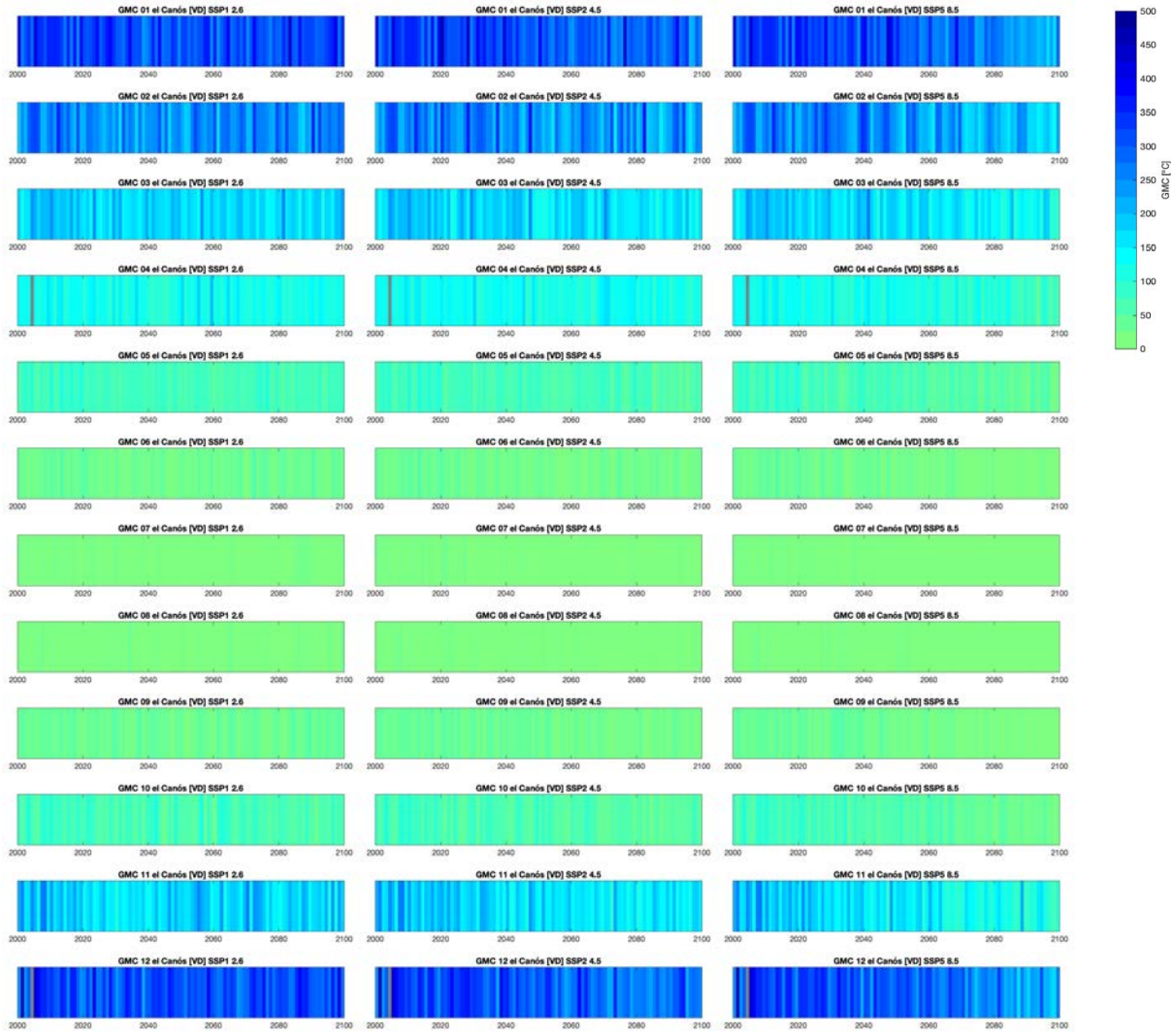

Figura B.277: Evolució dels graus-mes de calefacció (GMC) a l'estació VD- El Canós, per als diferents escenaris [SSP1 2.6, SSP2 4.5 i SSP5 8.5] per al model climàtic MPI-ESM1.

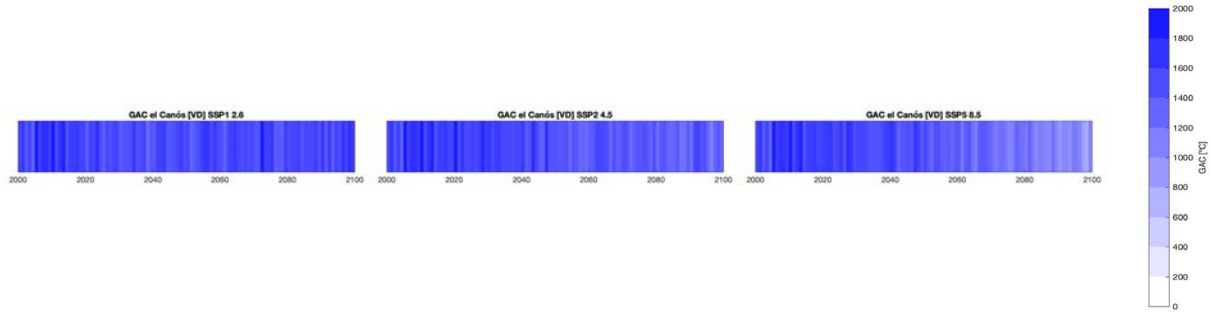

Figura B.278: Evolució dels graus-any de calefacció (GAC) a l'estació VD- El Canós, per als diferents escenaris [SSP1 2.6, SSP2 4.5 i SSP5 8.5] per al model climàtic MPI-ESM1.

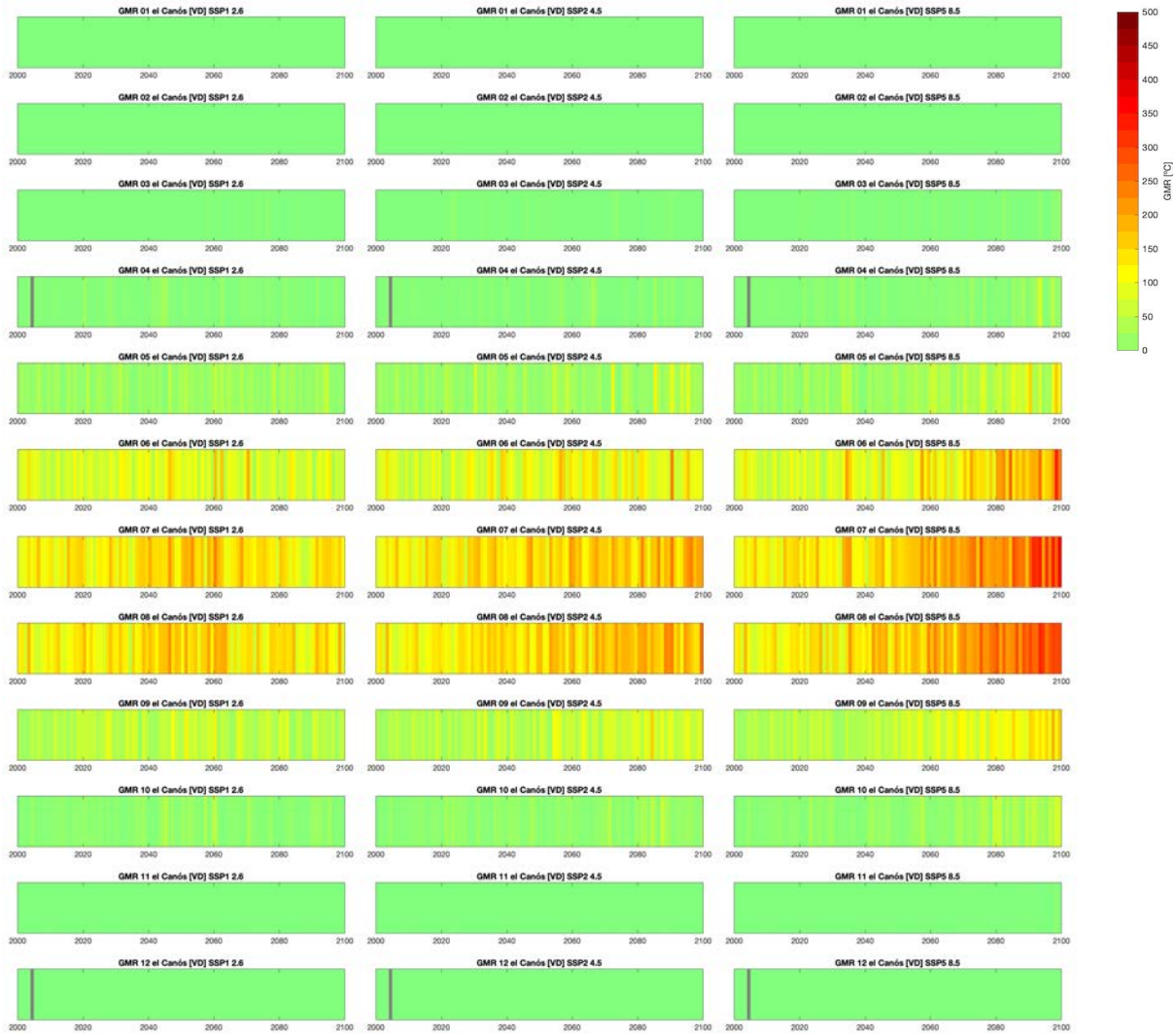

Figura B.279: Evolució dels graus-mes de refrigeració (GMR a l'estació VD- El Canós, per als diferents escenaris [SSP1 2.6, SSP2 4.5 i SSP5 8.5] per al model climàtic MPI-ESM1.

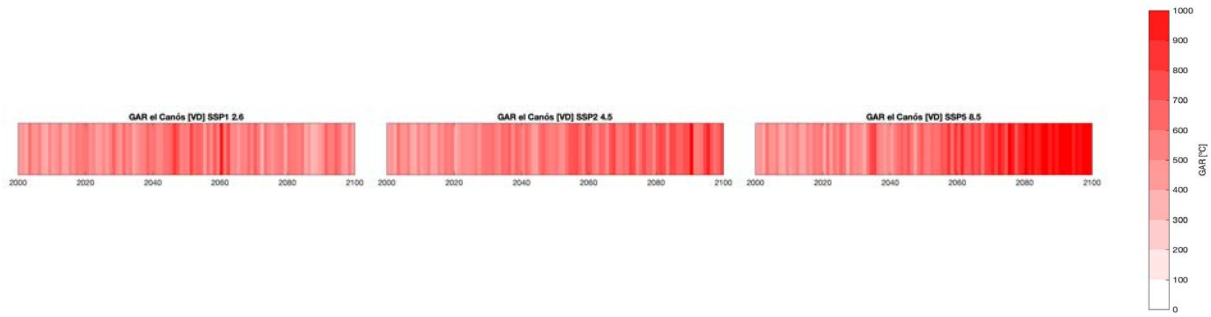

Figura B.280: Evolució dels graus-any de refrigeració (GAR a l'estació VD- El Canós, per als diferents escenaris [SSP1 2.6, SSP2 4.5 i SSP5 8.5] per al model climàtic MPI-ESM1.

B.1.72 VE - Aitona

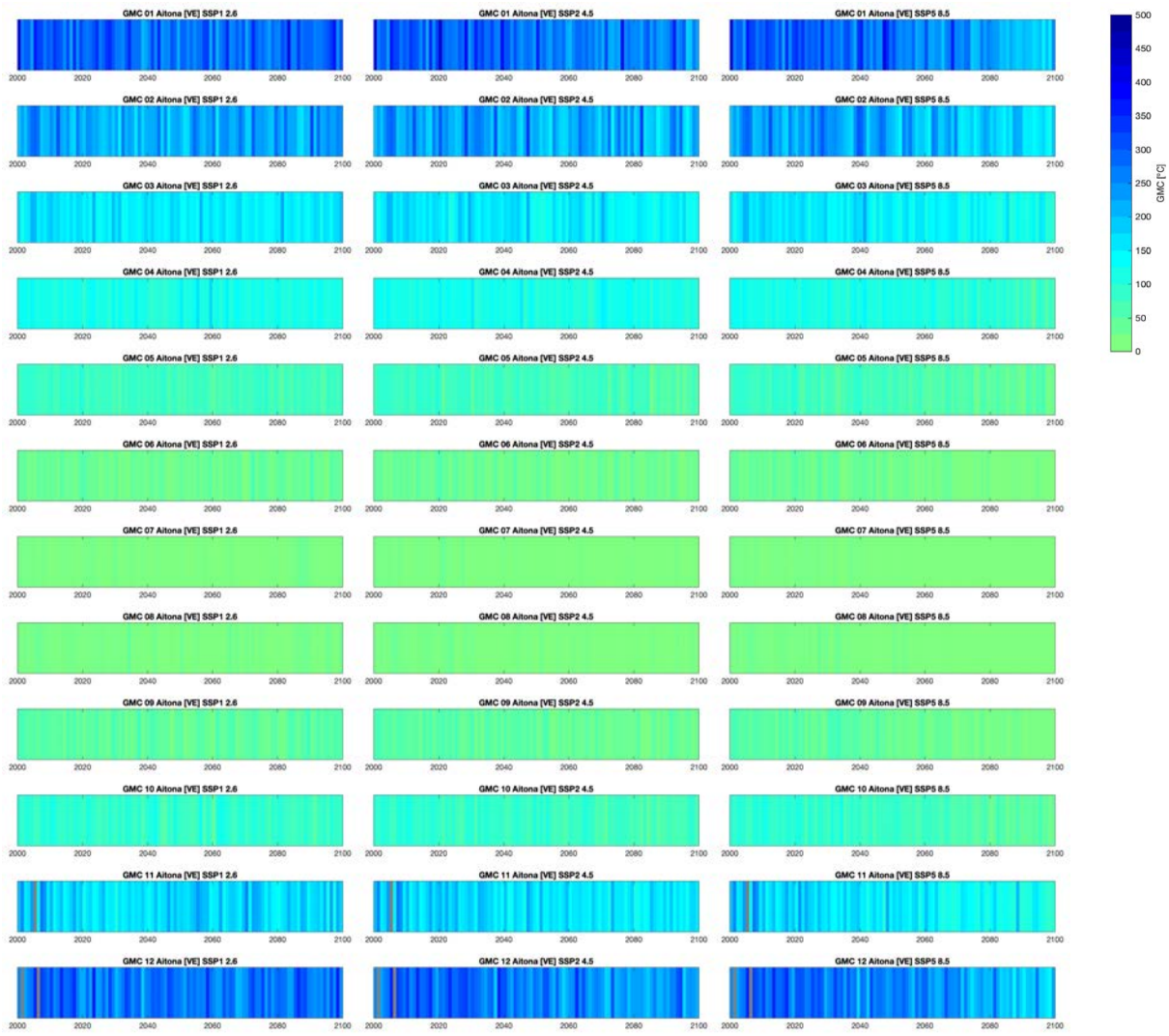

Figura B.281: Evolució dels graus-mes de calefacció (GMC) a l'estació VE- Aitona, per als diferents escenaris [SSP1 2.6, SSP2 4.5 i SSP5 8.5] per al model climàtic MPI-ESM1.

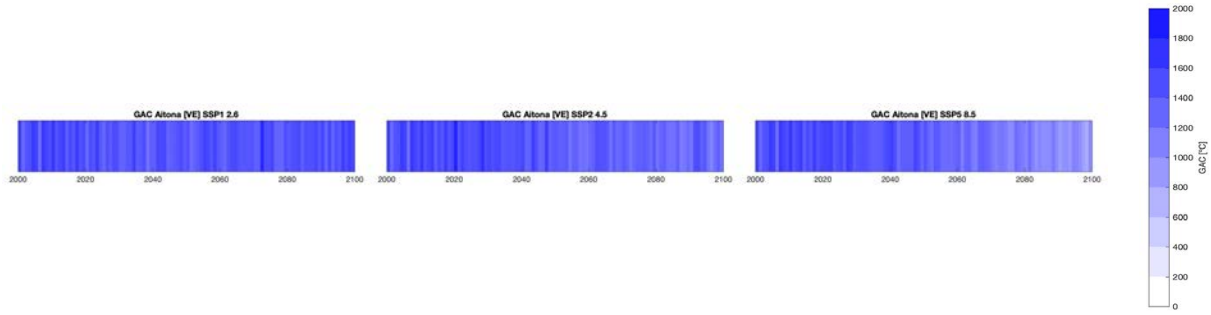

Figura B.282: Evolució dels graus-any de calefacció (GAC) a l'estació VE- Aitona, per als diferents escenaris [SSP1 2.6, SSP2 4.5 i SSP5 8.5] per al model climàtic MPI-ESM1.

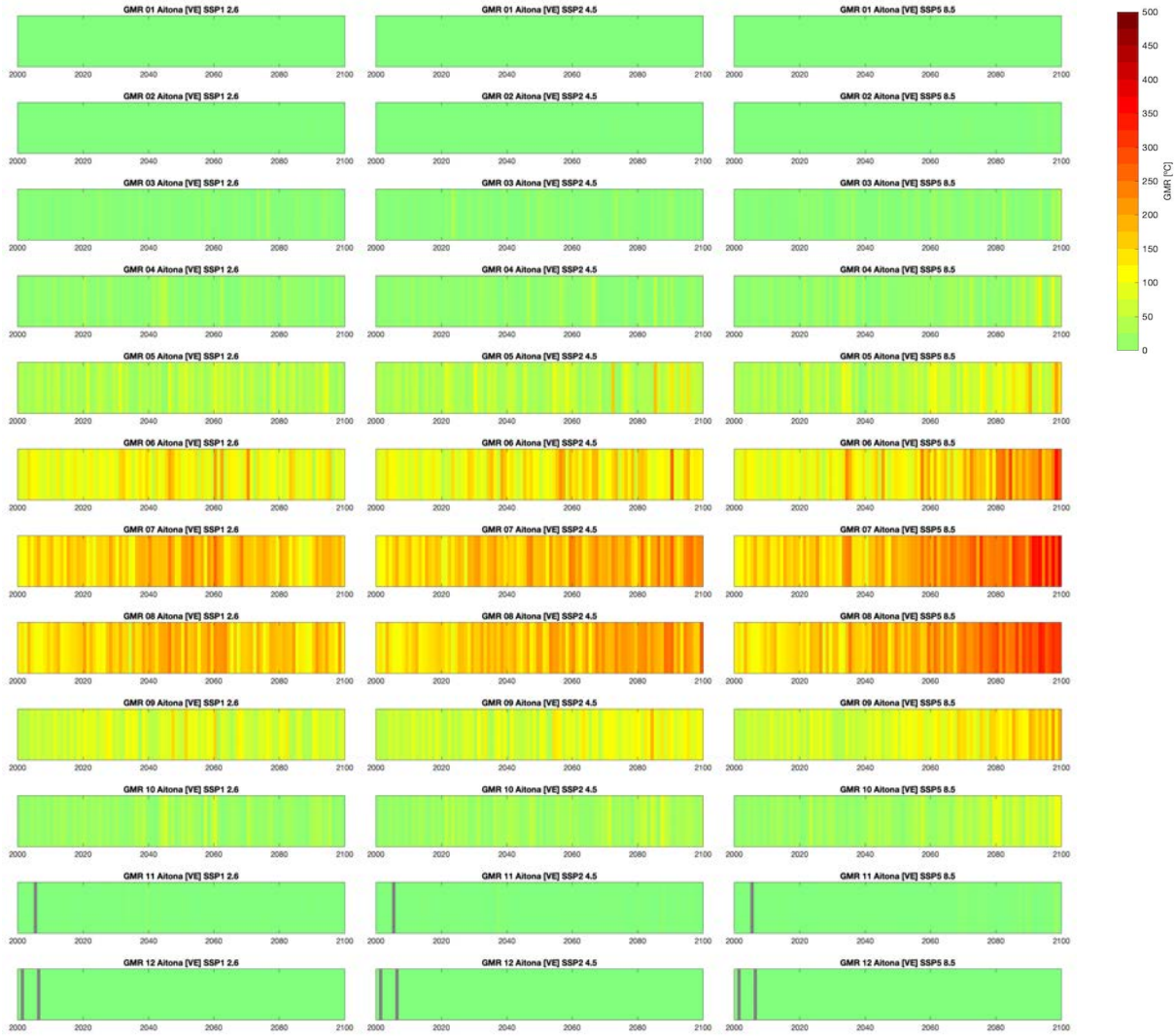

Figura B.283: Evolució dels graus-mes de refrigeració (GMR a l'estació VE- Aitona, per als diferents escenaris [SSP1 2.6, SSP2 4.5 i SSP5 8.5] per al model climàtic MPI-ESM1.

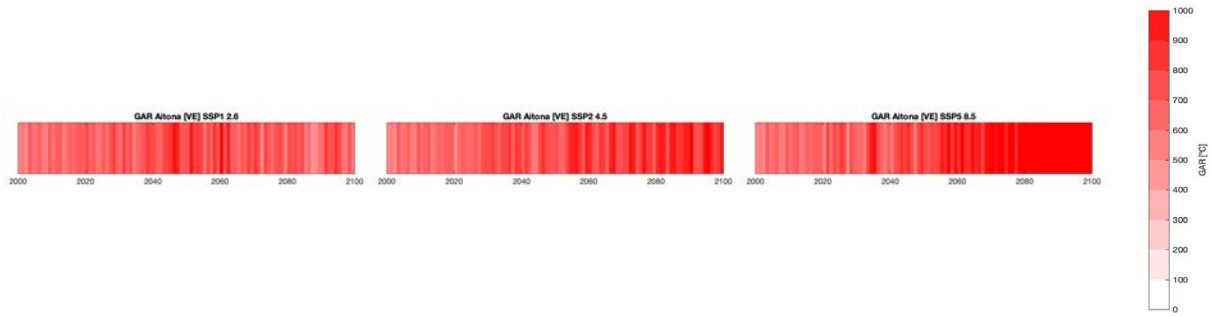

Figura B.284: Evolució dels graus-any de refrigeració (GAR a l'estació VE- Aitona, per als diferents escenaris [SSP1 2.6, SSP2 4.5 i SSP5 8.5] per al model climàtic MPI-ESM1.

B.1.73 VH - Gimenells

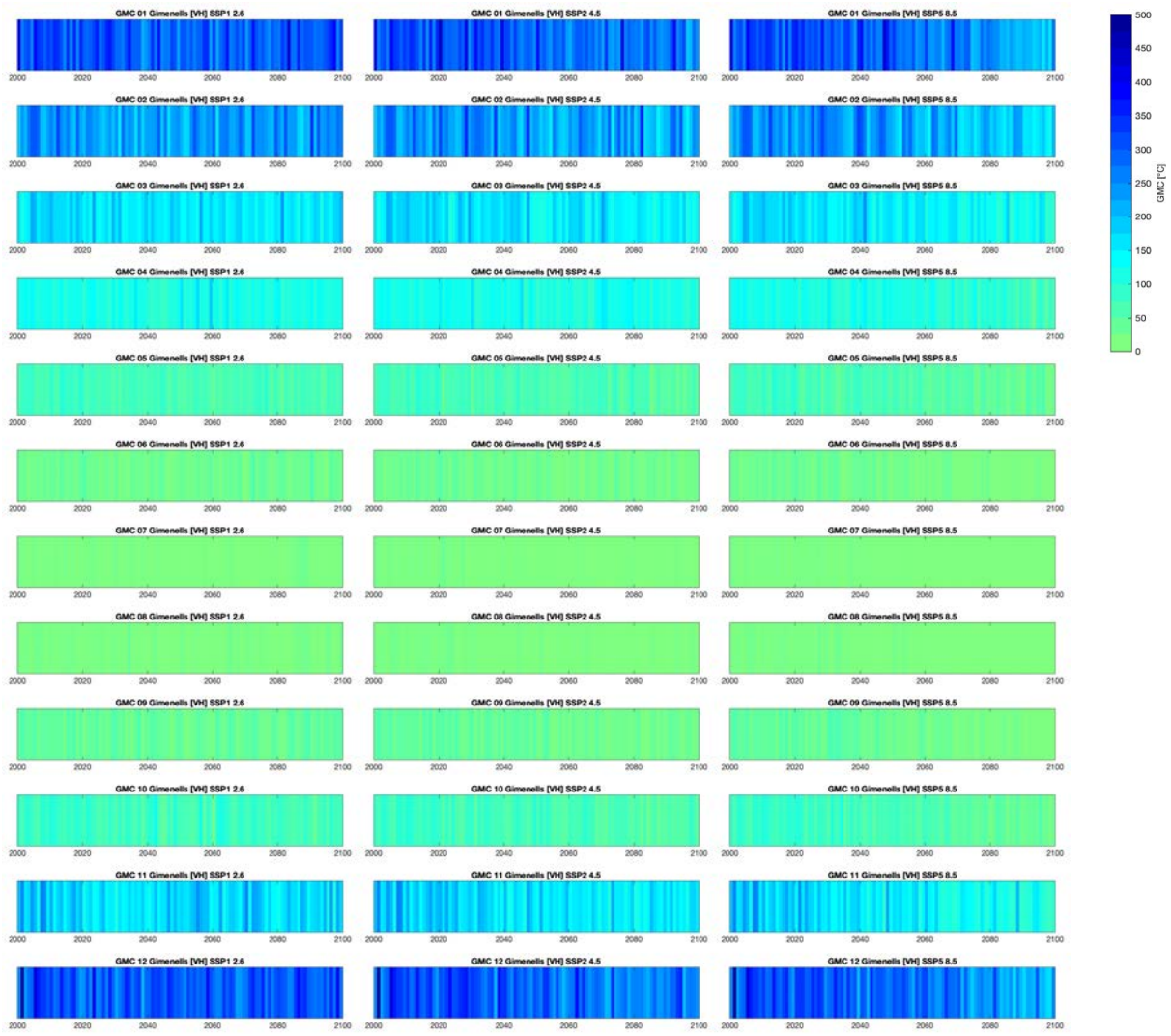

Figura B.285: Evolució dels graus-mes de calefacció (GMC) a l'estació VH- Gimenells, per als diferents escenaris [SSP1 2.6, SSP2 4.5 i SSP5 8.5] per al model climàtic MPI-ESM1.

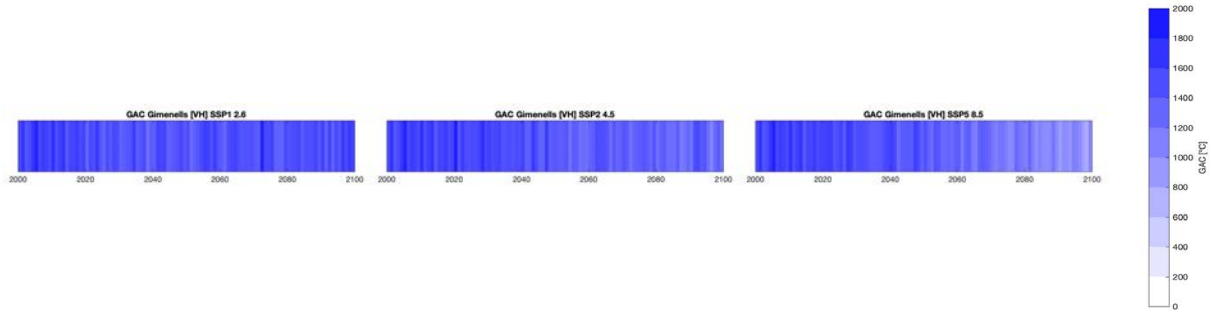

Figura B.286: Evolució dels graus-any de calefacció (GAC) a l'estació VH- Gimenells, per als diferents escenaris [SSP1 2.6, SSP2 4.5 i SSP5 8.5] per al model climàtic MPI-ESM1.

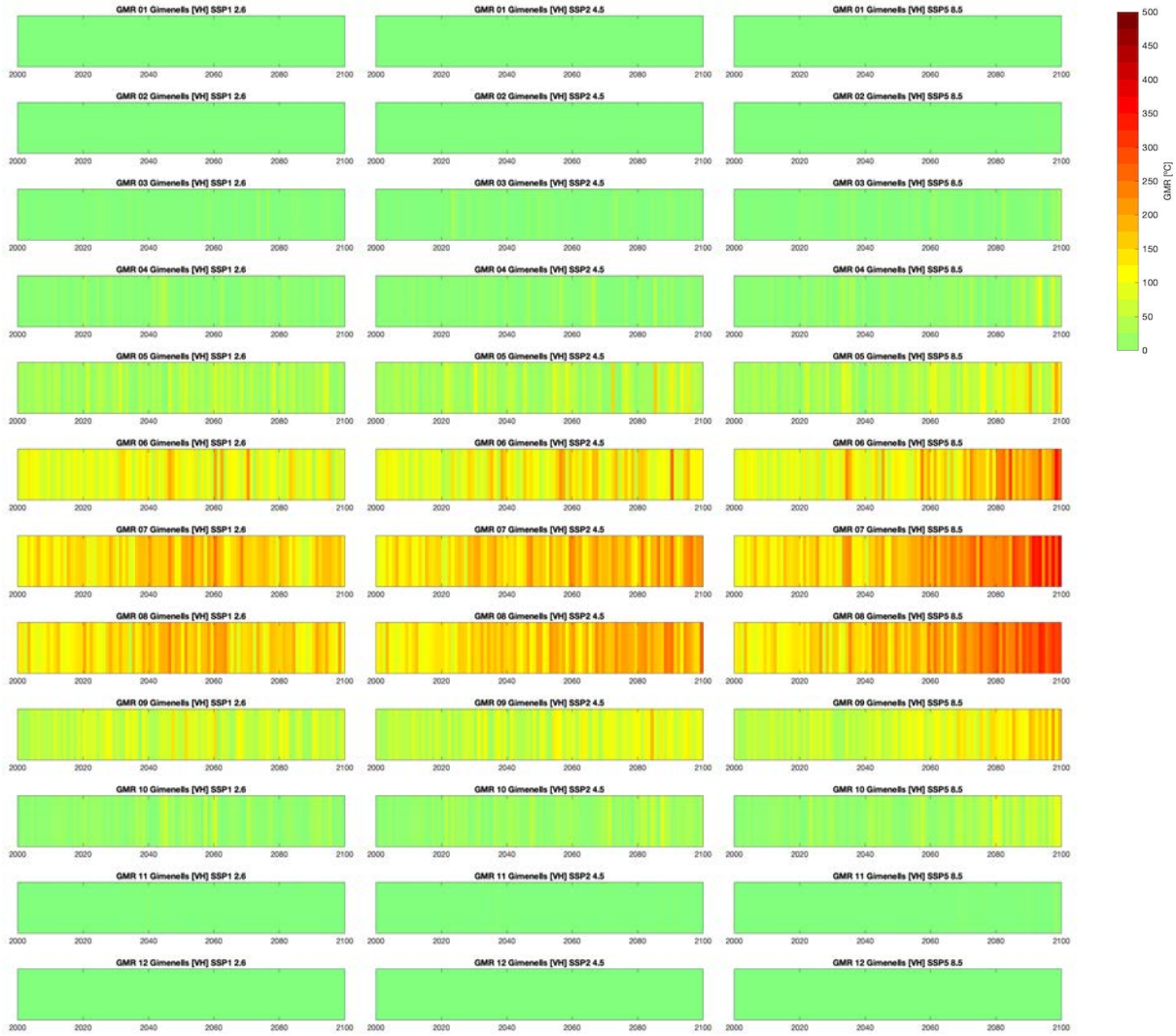

Figura B.287: Evolució dels graus-mes de refrigeració (GMR a l'estació VH- Gimenells, per als diferents escenaris [SSP1 2.6, SSP2 4.5 i SSP5 8.5] per al model climàtic MPI-ESM1.

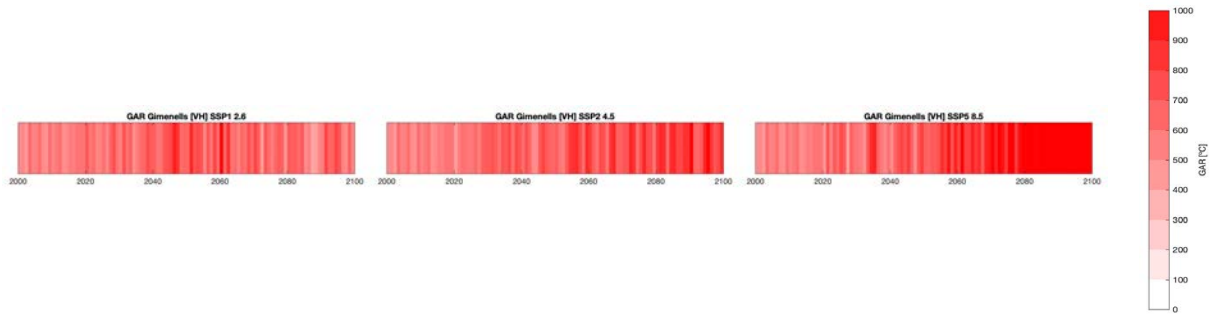

Figura B.288: Evolució dels graus-any de refrigeració (GAR a l'estació VH- Gimenells, per als diferents escenaris [SSP1 2.6, SSP2 4.5 i SSP5 8.5] per al model climàtic MPI-ESM1.

B.1.74 VK - Raimat

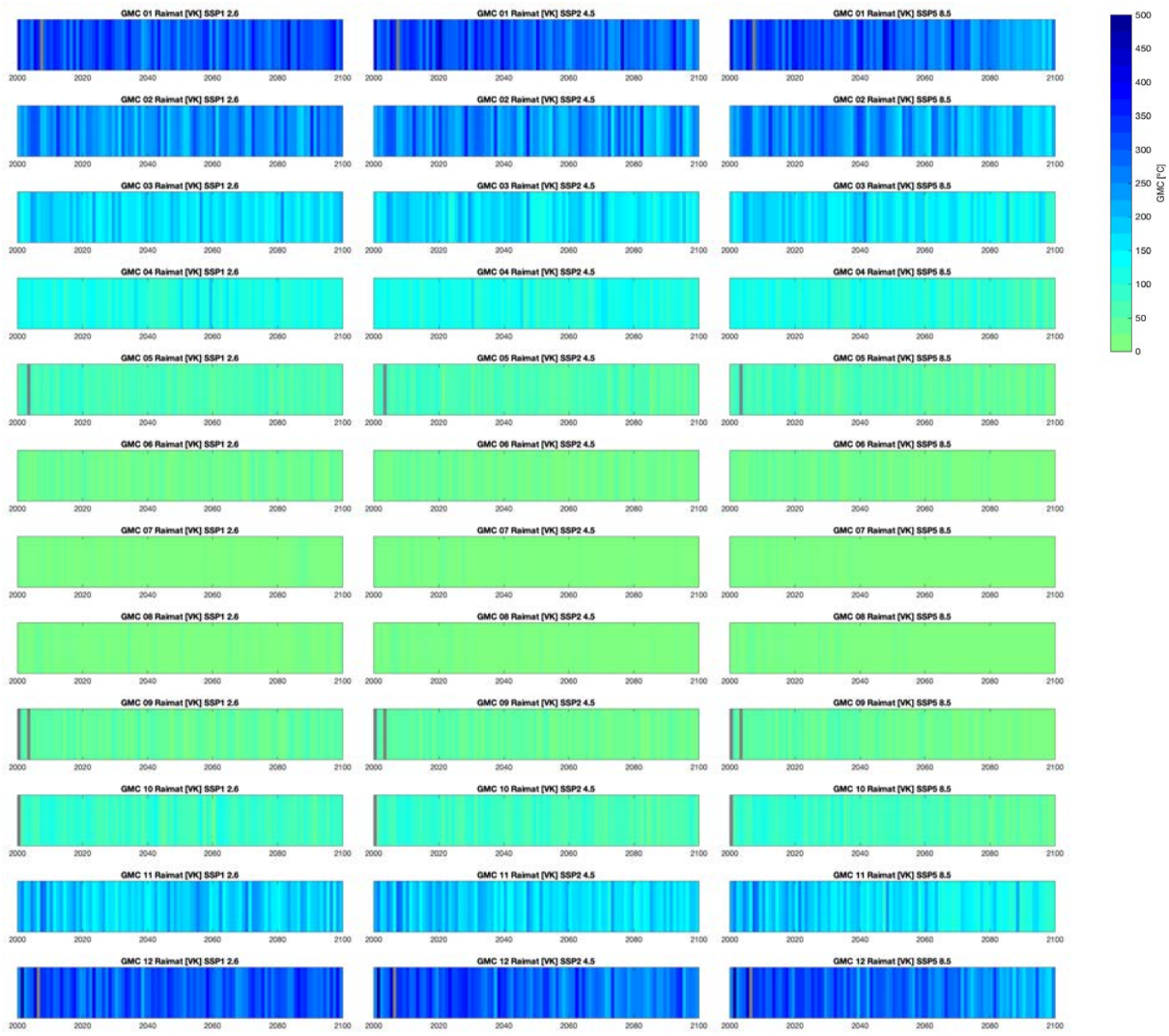

Figura B.289: Evolució dels graus-mes de calefacció (GMC) a l'estació VK- Raimat, per als diferents escenaris [SSP1 2.6, SSP2 4.5 i SSP5 8.5] per al model climàtic MPI-ESM1.

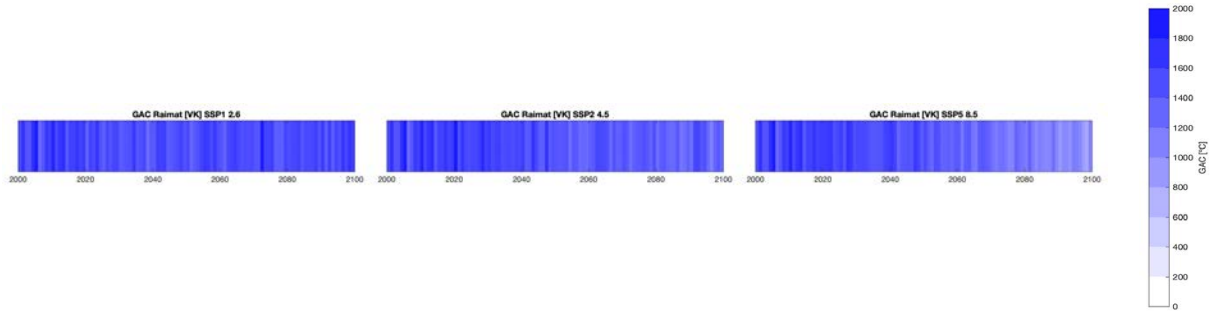

Figura B.290: Evolució dels graus-any de calefacció (GAC) a l'estació VK- Raimat, per als diferents escenaris [SSP1 2.6, SSP2 4.5 i SSP5 8.5] per al model climàtic MPI-ESM1.

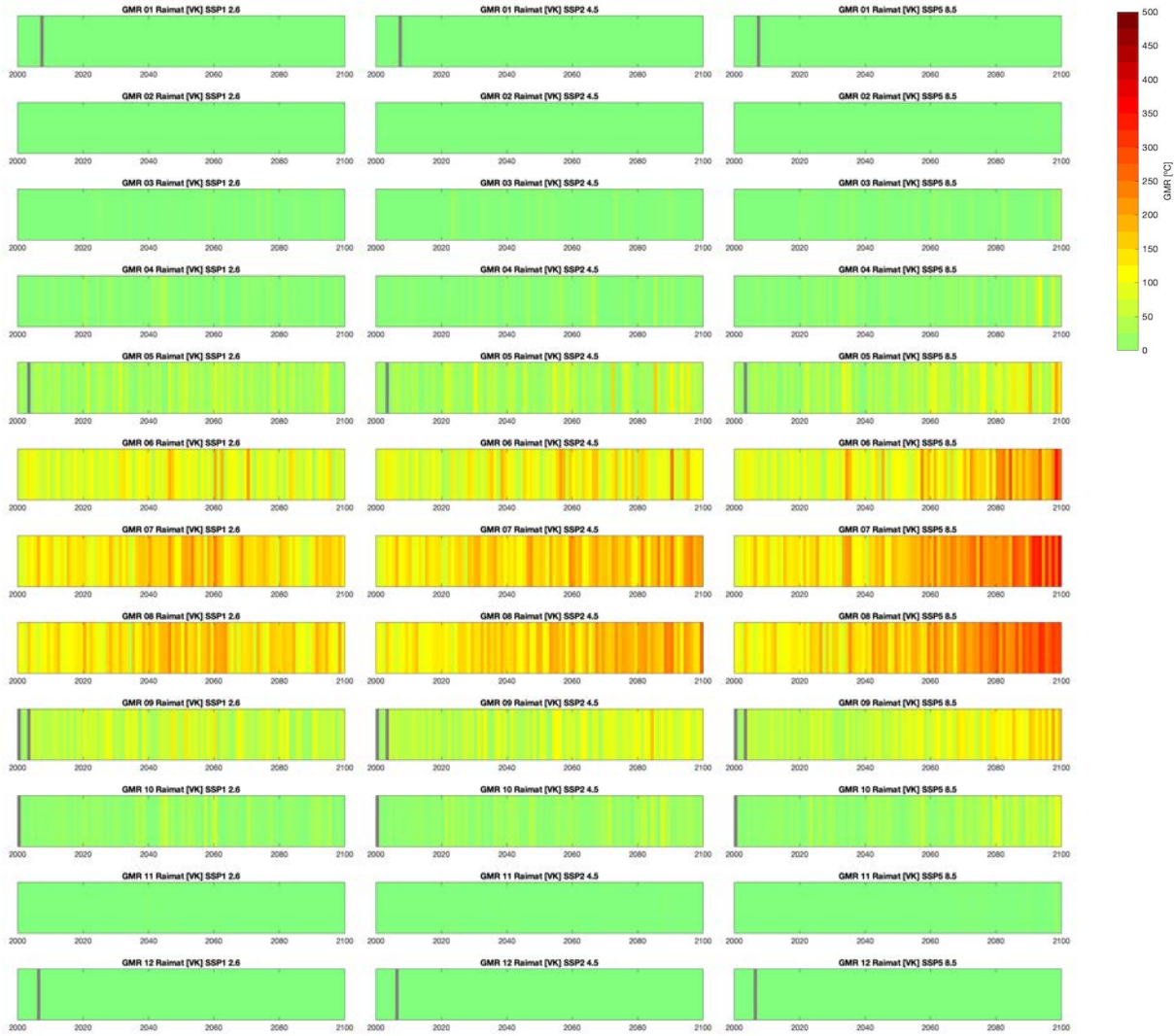

Figura B.291: Evolució dels graus-mes de refrigeració (GMR a l'estació VK- Raimat, per als diferents escenaris [SSP1 2.6, SSP2 4.5 i SSP5 8.5] per al model climàtic MPI-ESM1.

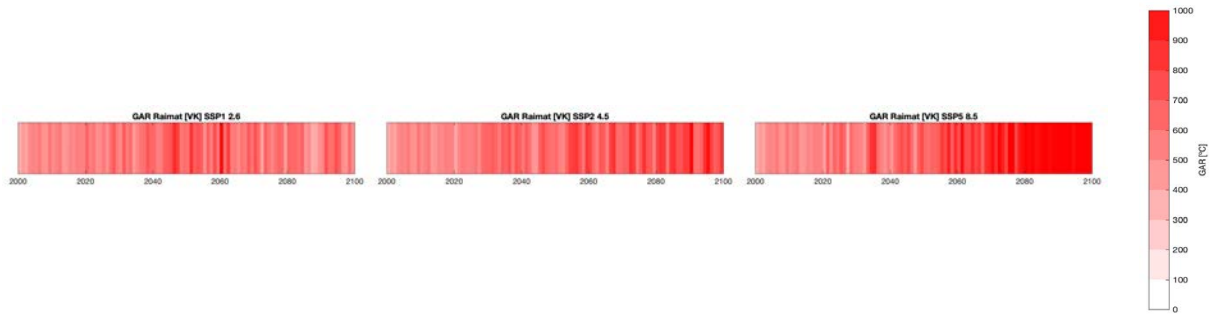

Figura B.292: Evolució dels graus-any de refrigeració (GAR a l'estació VK- Raimat, per als diferents escenaris [SSP1 2.6, SSP2 4.5 i SSP5 8.5] per al model climàtic MPI-ESM1.

B.1.75 VN - Vilobí d'Onyar

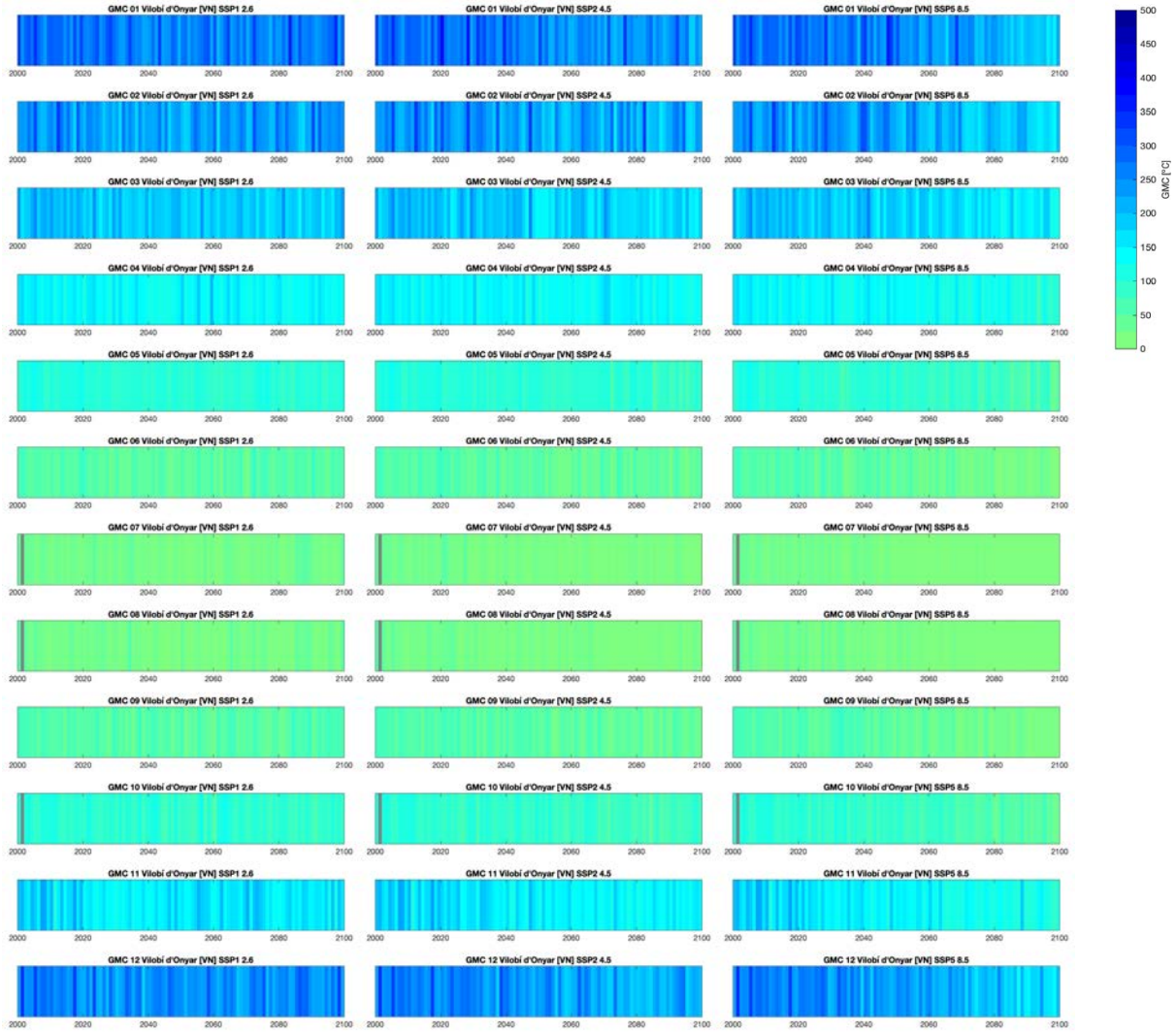

Figura B.293: Evolució dels graus-mes de calefacció (GMC) a l'estació VN- Vilobí d'Onyar, per als diferents escenaris [SSP1 2.6, SSP2 4.5 i SSP5 8.5] per al model climàtic MPI-ESM1.

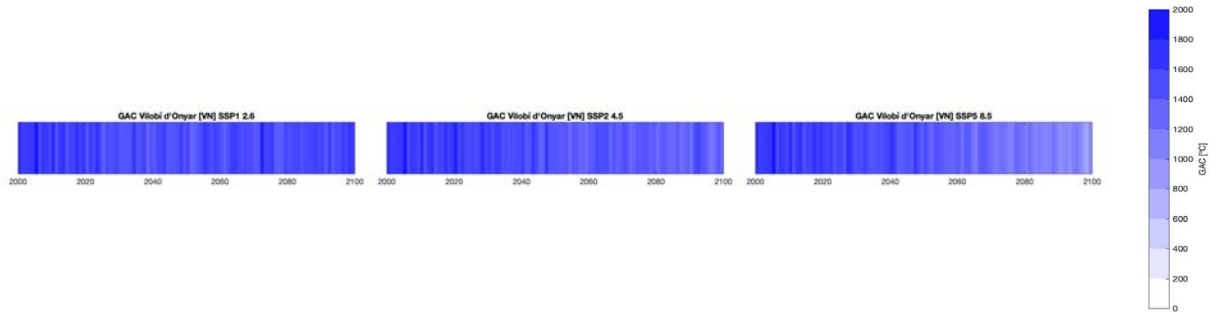

Figura B.294: Evolució dels graus-any de calefacció (GAC) a l'estació VN- Vilobí d'Onyar, per als diferents escenaris [SSP1 2.6, SSP2 4.5 i SSP5 8.5] per al model climàtic MPI-ESM1.

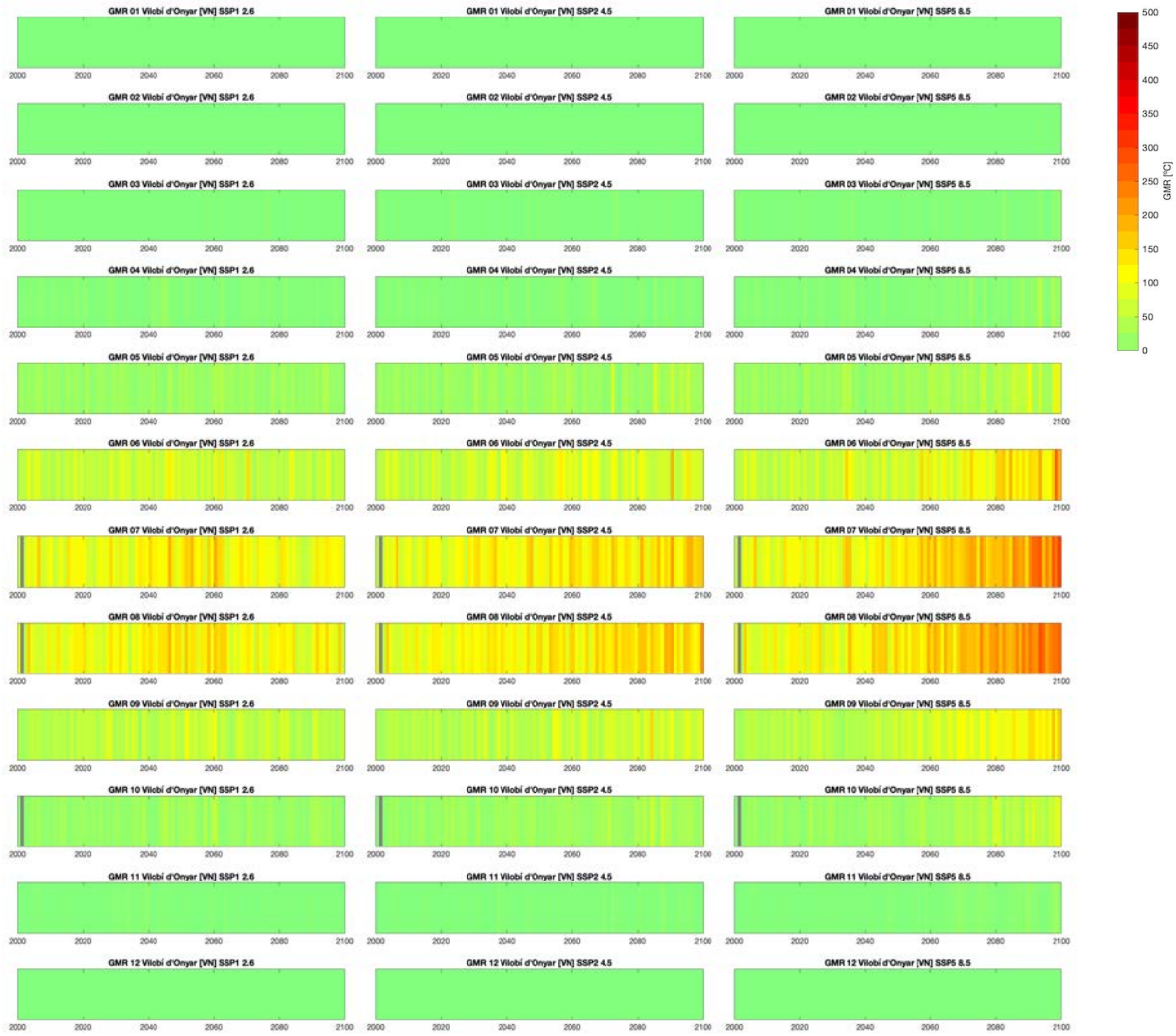

Figura B.295: Evolució dels graus-mes de refrigeració (GMR a l'estació VN- Vilobí d'Onyar, per als diferents escenaris [SSP1 2.6, SSP2 4.5 i SSP5 8.5] per al model climàtic MPI-ESM1.

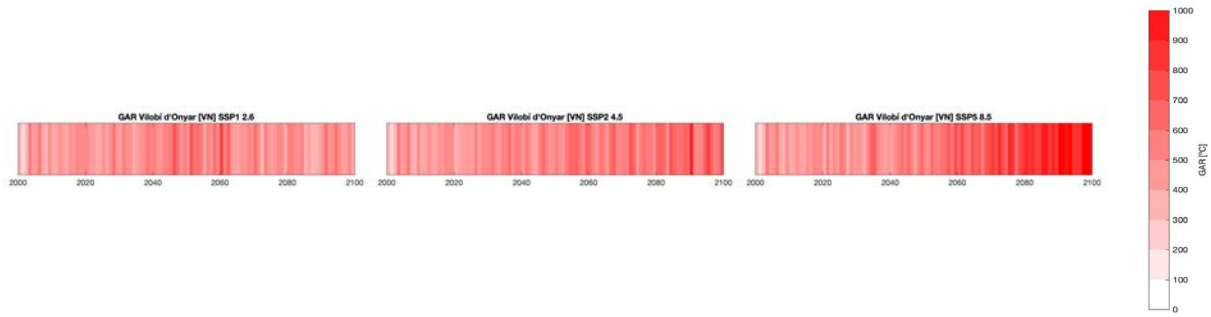

Figura B.296: Evolució dels graus-any de refrigeració (GAR a l'estació VN- Vilobí d'Onyar, per als diferents escenaris [SSP1 2.6, SSP2 4.5 i SSP5 8.5] per al model climàtic MPI-ESM1.

B.1.76 VO - Lladurs

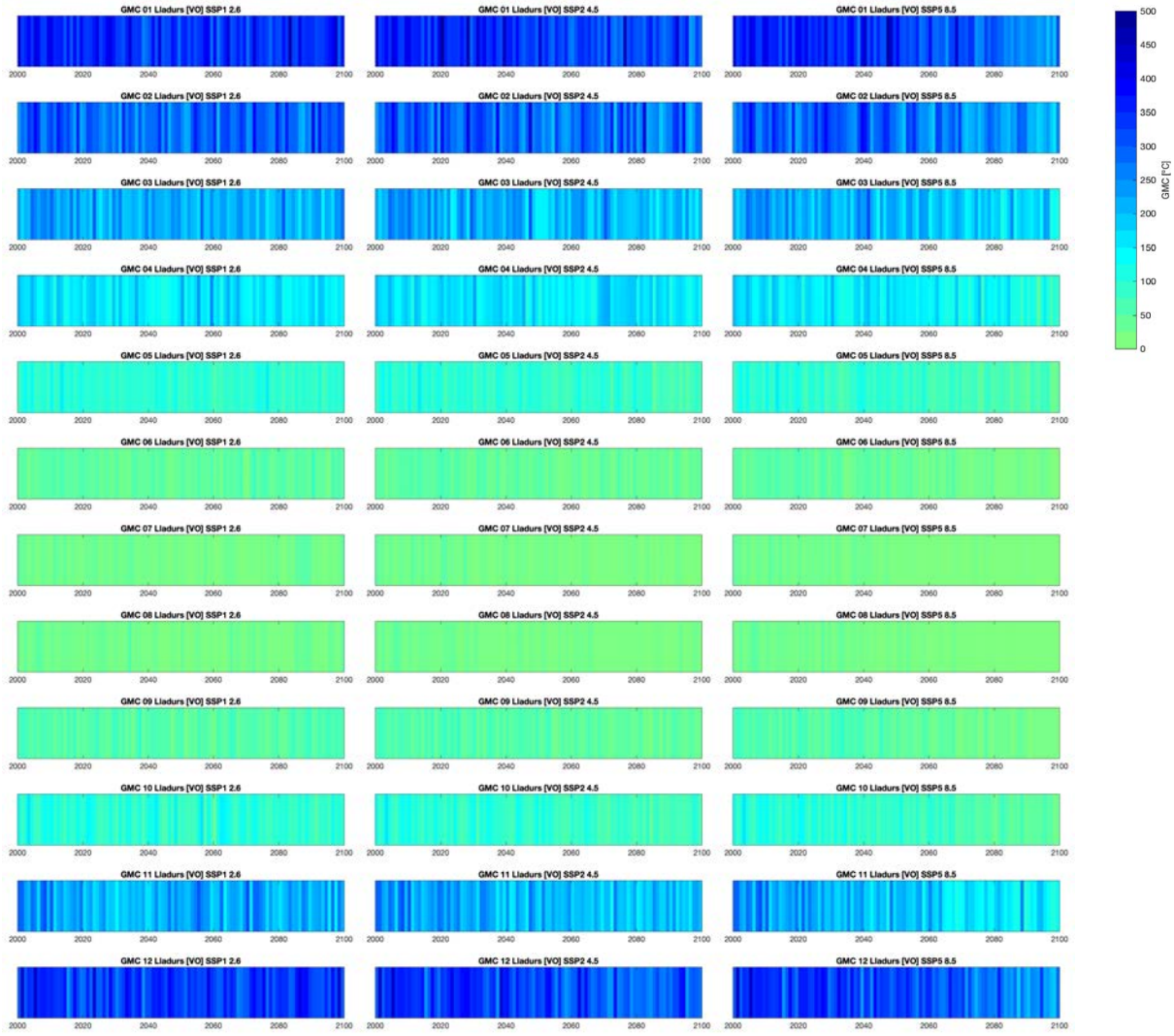

Figura B.297: Evolució dels graus-mes de calefacció (GMC) a l'estació VO- Lladurs, per als diferents escenaris [SSP1 2.6, SSP2 4.5 i SSP5 8.5] per al model climàtic MPI-ESM1.

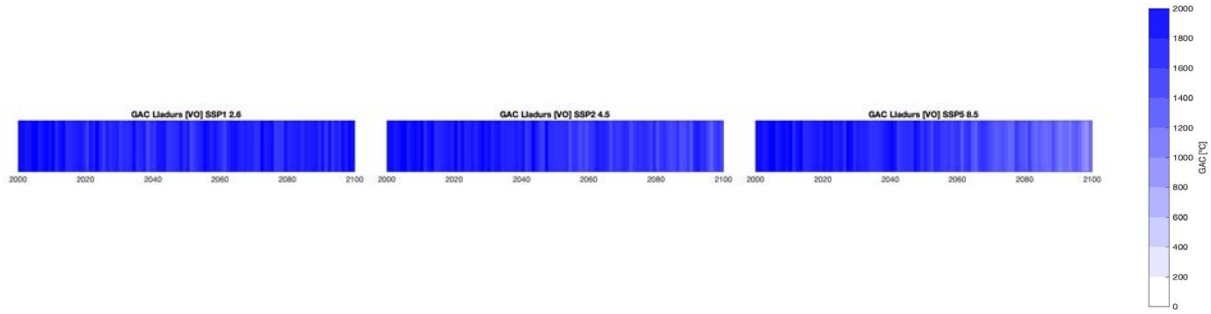

Figura B.298: Evolució dels graus-any de calefacció (GAC) a l'estació VO- Lladurs, per als diferents escenaris [SSP1 2.6, SSP2 4.5 i SSP5 8.5] per al model climàtic MPI-ESM1.

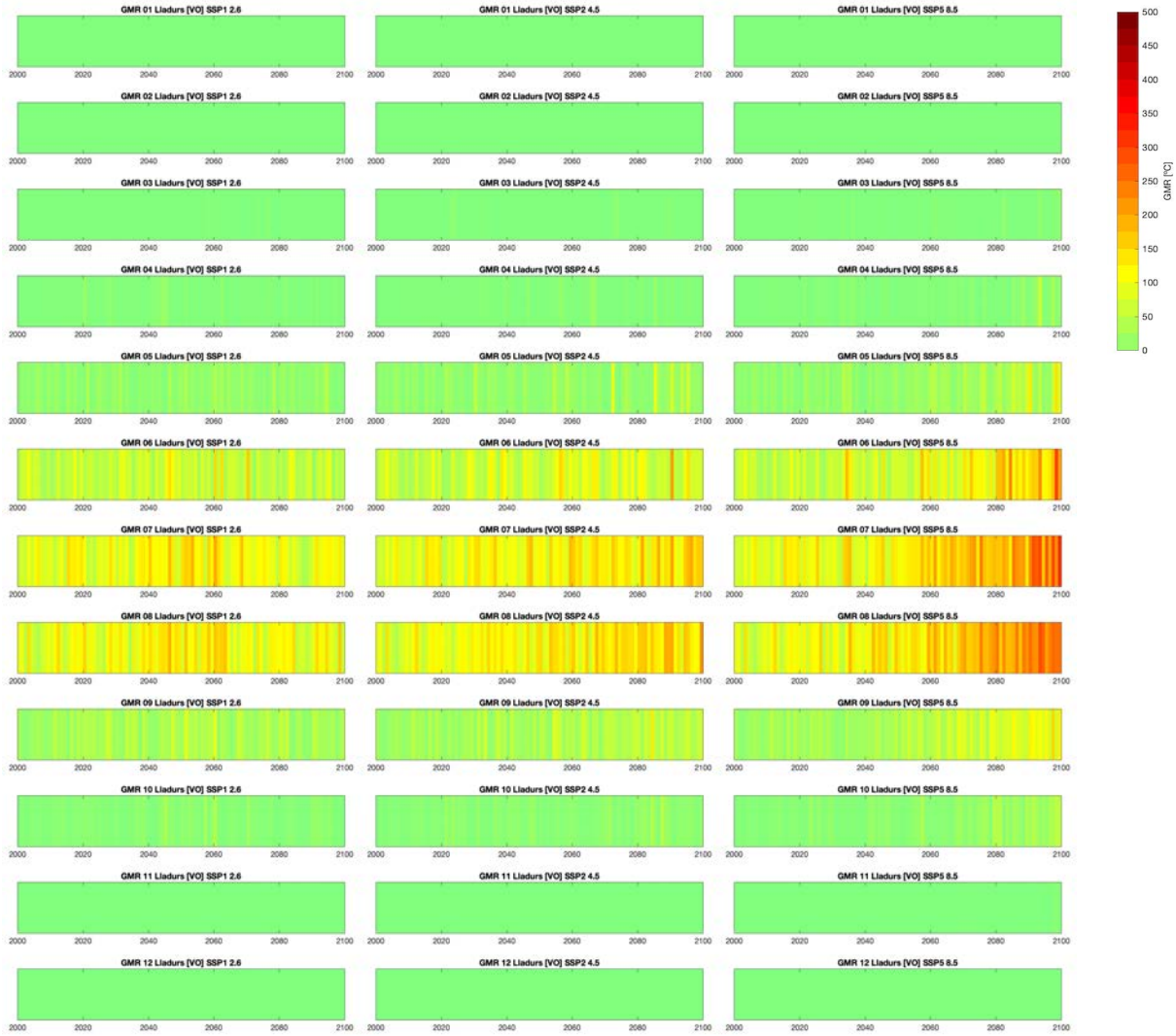

Figura B.299: Evolució dels graus-mes de refrigeració (GMR a l'estació VO- Lladurs, per als diferents escenaris [SSP1 2.6, SSP2 4.5 i SSP5 8.5] per al model climàtic MPI-ESM1.

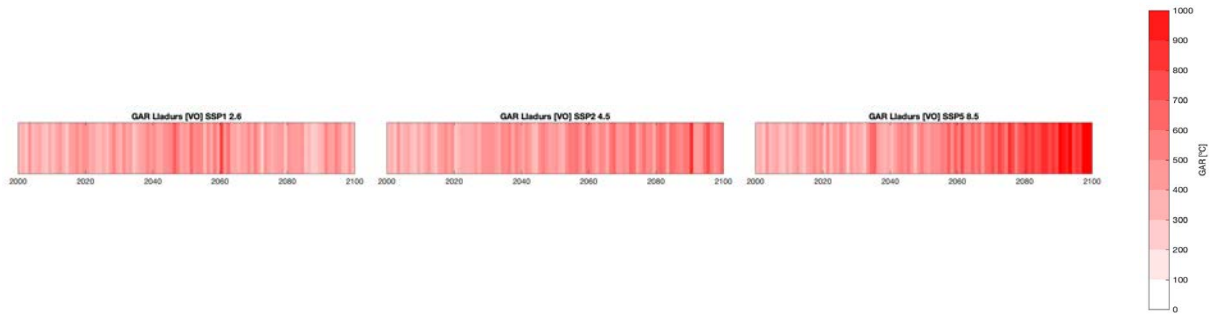

Figura B.300: Evolució dels graus-any de refrigeració (GAR a l'estació VO- Lladurs, per als diferents escenaris [SSP1 2.6, SSP2 4.5 i SSP5 8.5] per al model climàtic MPI-ESM1.

B.1.77 VP - Pinós

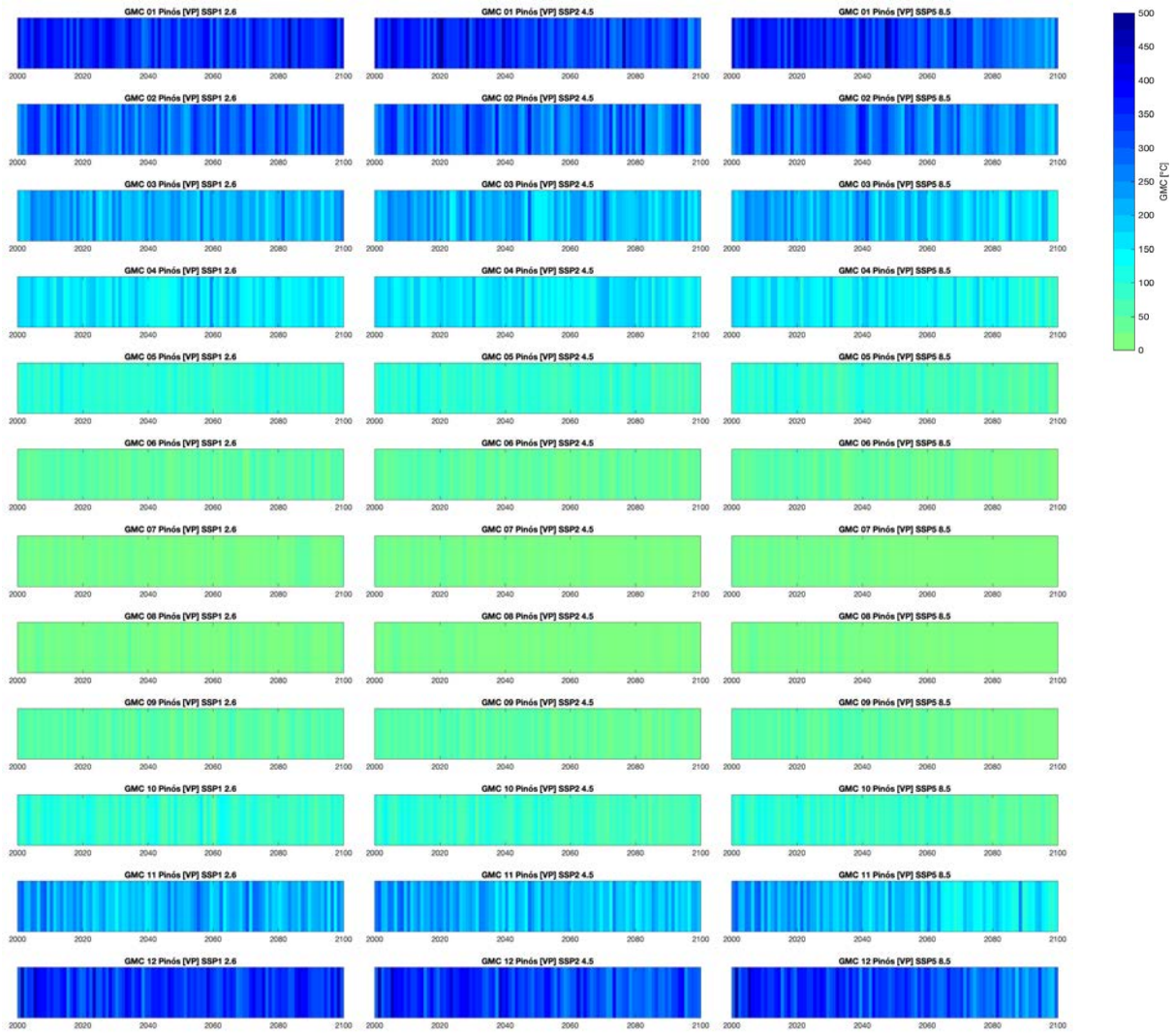

Figura B.301: Evolució dels graus-mes de calefacció (GMC) a l'estació VP- Pinós, per als diferents escenaris [SSP1 2.6, SSP2 4.5 i SSP5 8.5] per al model climàtic MPI-ESM1.

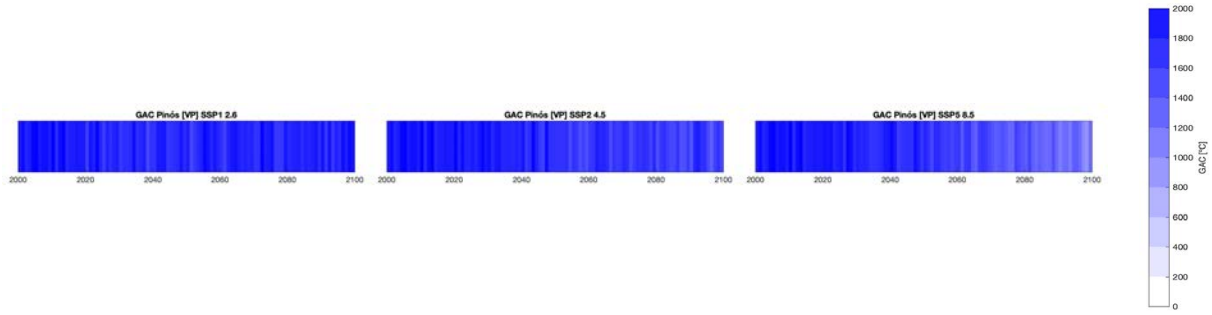

Figura B.302: Evolució dels graus-any de calefacció (GAC) a l'estació VP- Pinós, per als diferents escenaris [SSP1 2.6, SSP2 4.5 i SSP5 8.5] per al model climàtic MPI-ESM1.

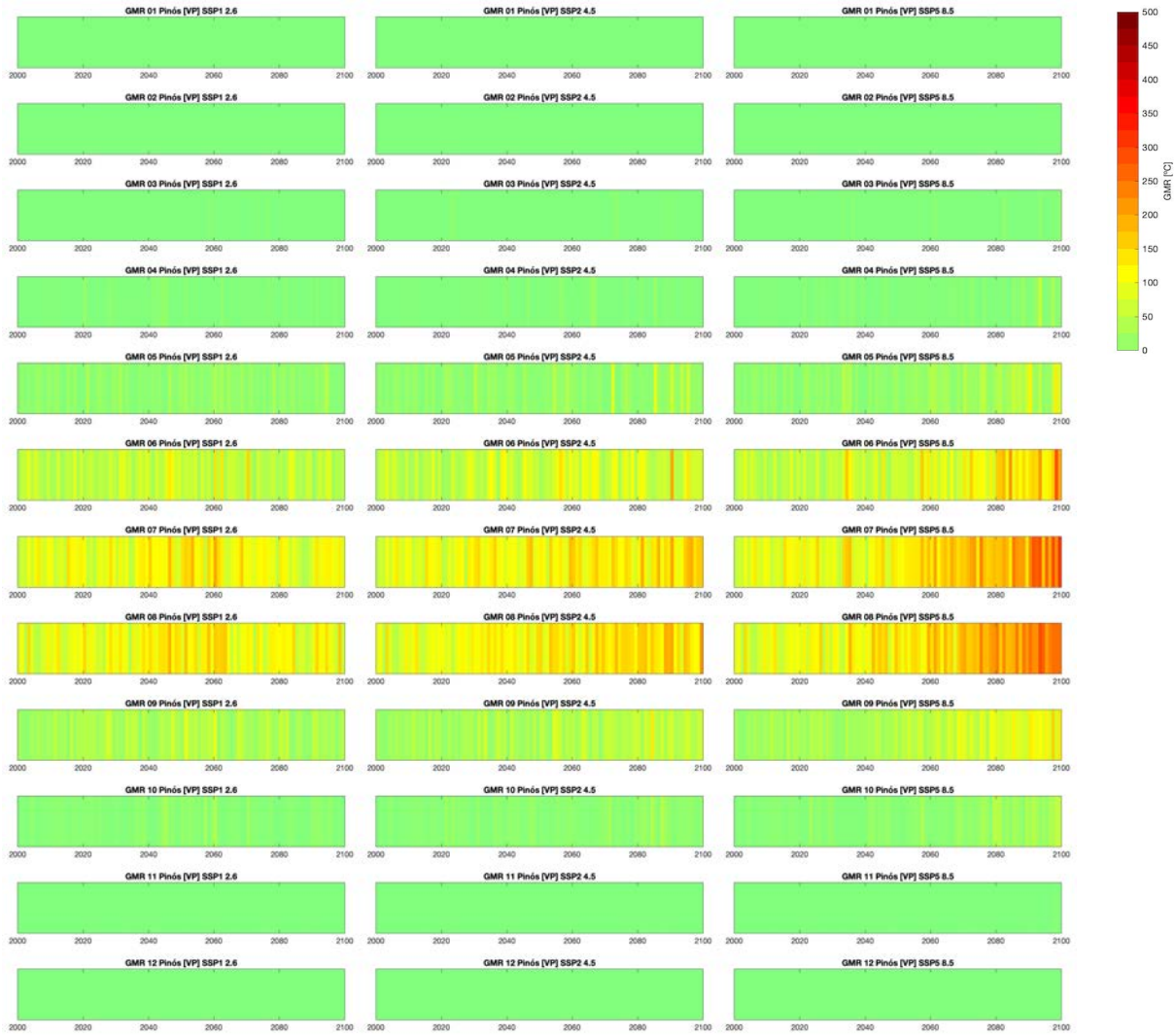

Figura B.303: Evolució dels graus-mes de refrigeració (GMR a l'estació VP- Pinós, per als diferents escenaris [SSP1 2.6, SSP2 4.5 i SSP5 8.5] per al model climàtic MPI-ESM1.

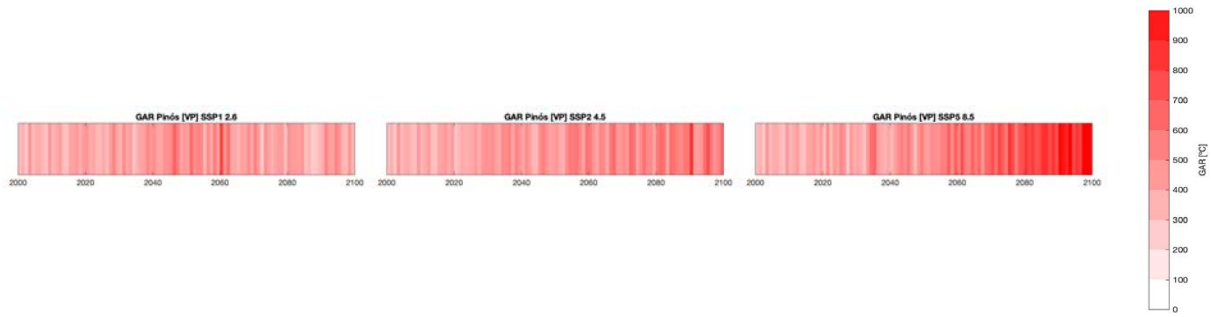

Figura B.304: Evolució dels graus-any de refrigeració (GAR a l'estació VP- Pinós, per als diferents escenaris [SSP1 2.6, SSP2 4.5 i SSP5 8.5] per al model climàtic MPI-ESM1.

B.1.78 VQ - Constantí

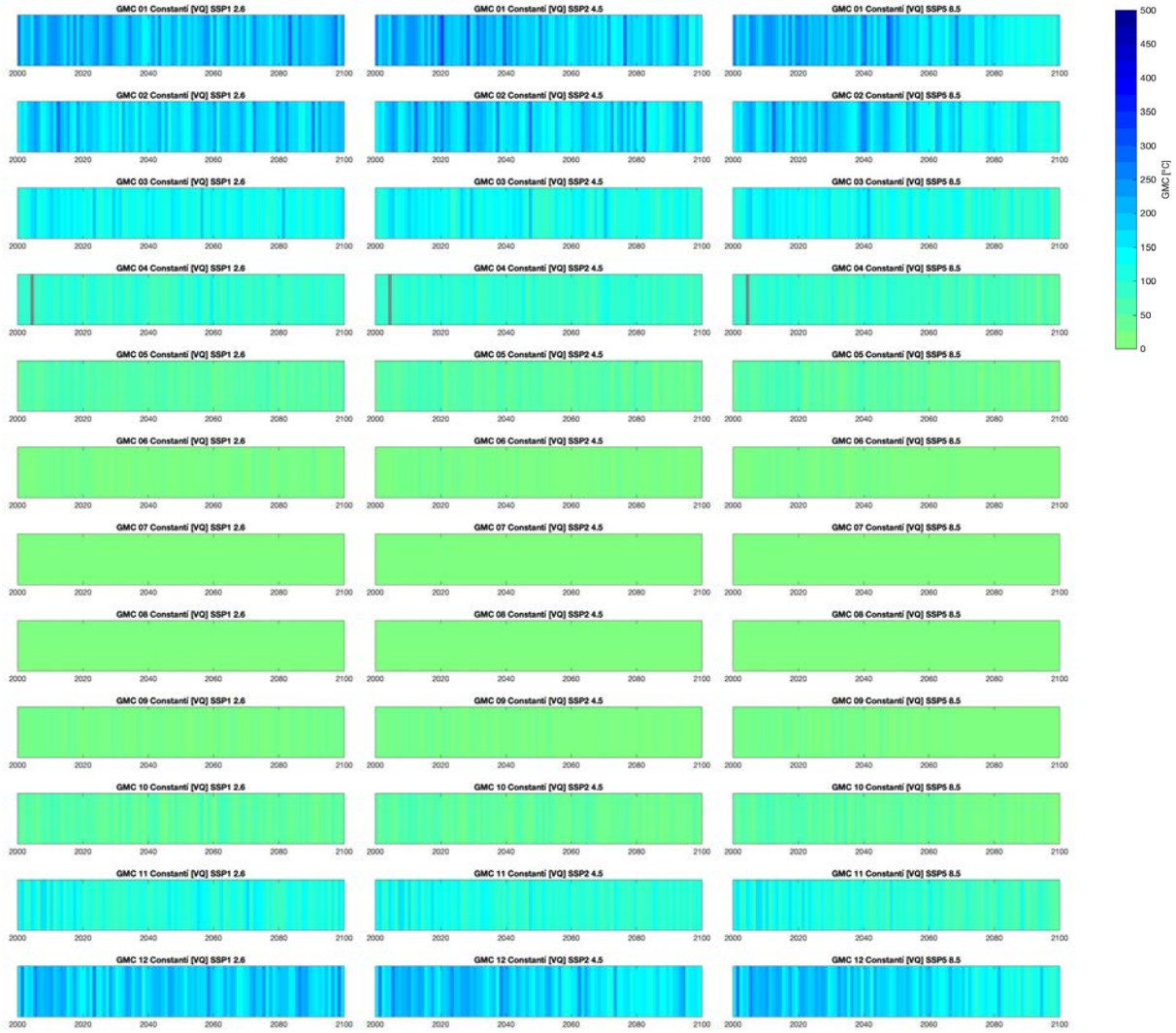

Figura B.305: Evolució dels graus-mes de calefacció (GMC) a l'estació VQ- Constantí, per als diferents escenaris [SSP1 2.6, SSP2 4.5 i SSP5 8.5] per al model climàtic MPI-ESM1.

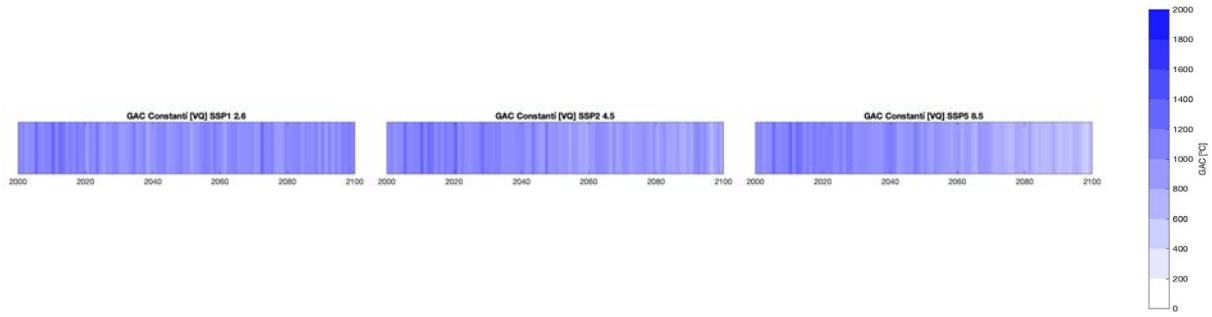

Figura B.306: Evolució dels graus-any de calefacció (GAC) a l'estació VQ- Constantí, per als diferents escenaris [SSP1 2.6, SSP2 4.5 i SSP5 8.5] per al model climàtic MPI-ESM1.

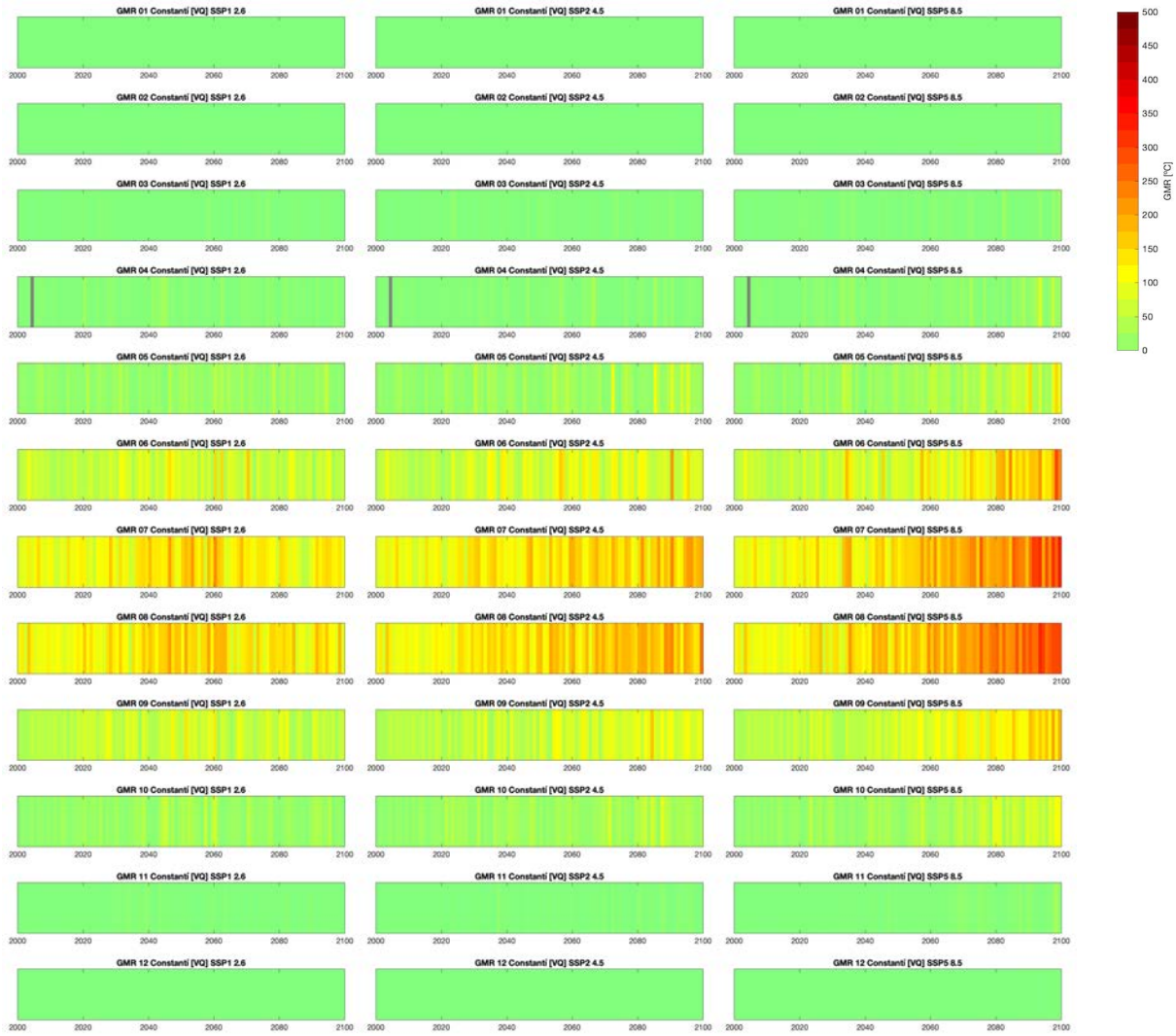

Figura B.307: Evolució dels graus-mes de refrigeració (GMR a l'estació VQ- Constantí, per als diferents escenaris [SSP1 2.6, SSP2 4.5 i SSP5 8.5] per al model climàtic MPI-ESM1.

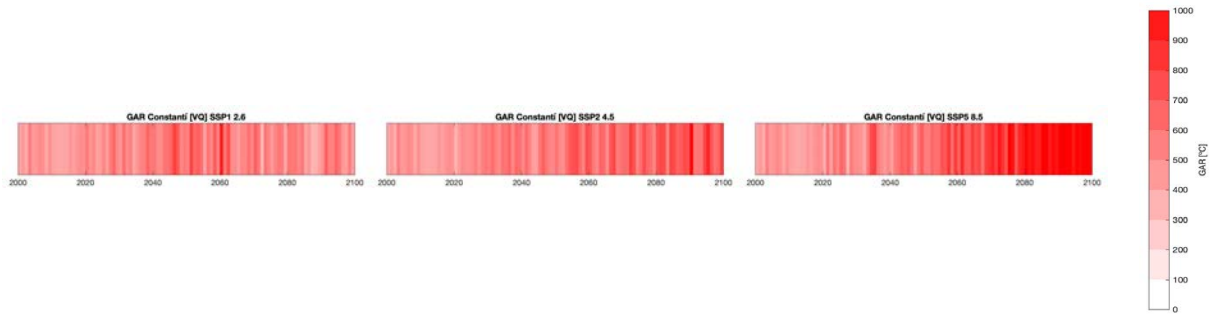

Figura B.308: Evolució dels graus-any de refrigeració (GAR a l'estació VQ- Constantí, per als diferents escenaris [SSP1 2.6, SSP2 4.5 i SSP5 8.5] per al model climàtic MPI-ESM1.

B.1.79 VS - Lac Redon

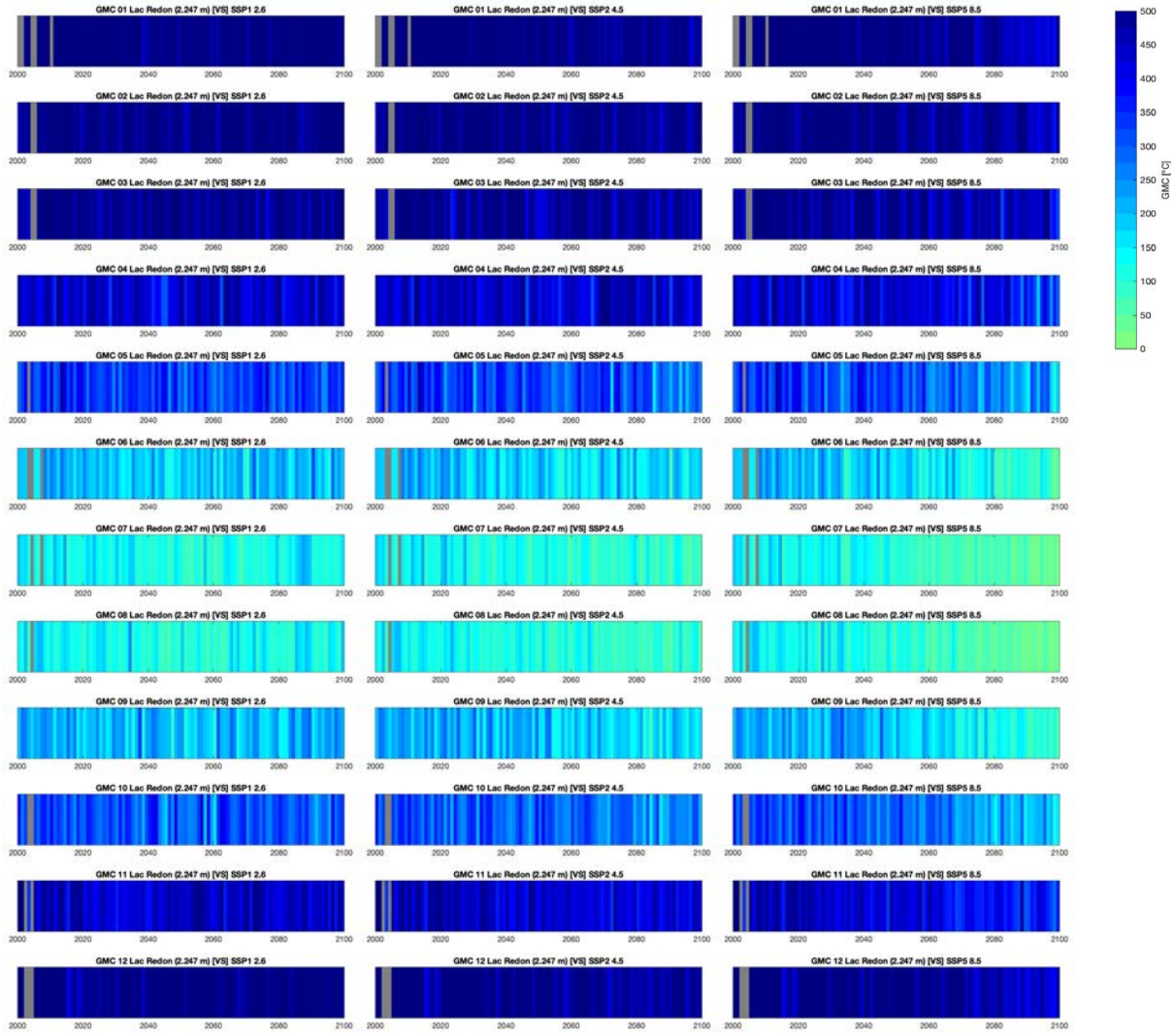

Figura B.309: Evolució dels graus-mes de calefacció (GMC) a l'estació VS- Lac Redon, per als diferents escenaris [SSP1 2.6, SSP2 4.5 i SSP5 8.5] per al model climàtic MPI-ESM1.

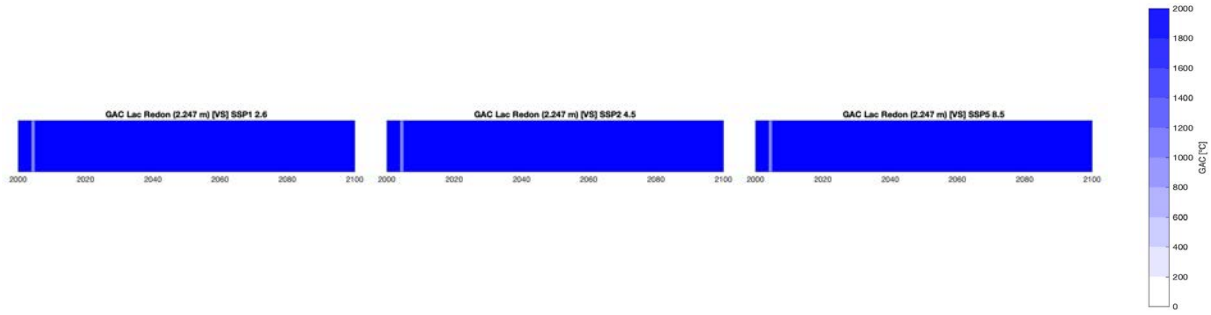

Figura B.310: Evolució dels graus-any de calefacció (GAC) a l'estació VS- Lac Redon, per als diferents escenaris [SSP1 2.6, SSP2 4.5 i SSP5 8.5] per al model climàtic MPI-ESM1.

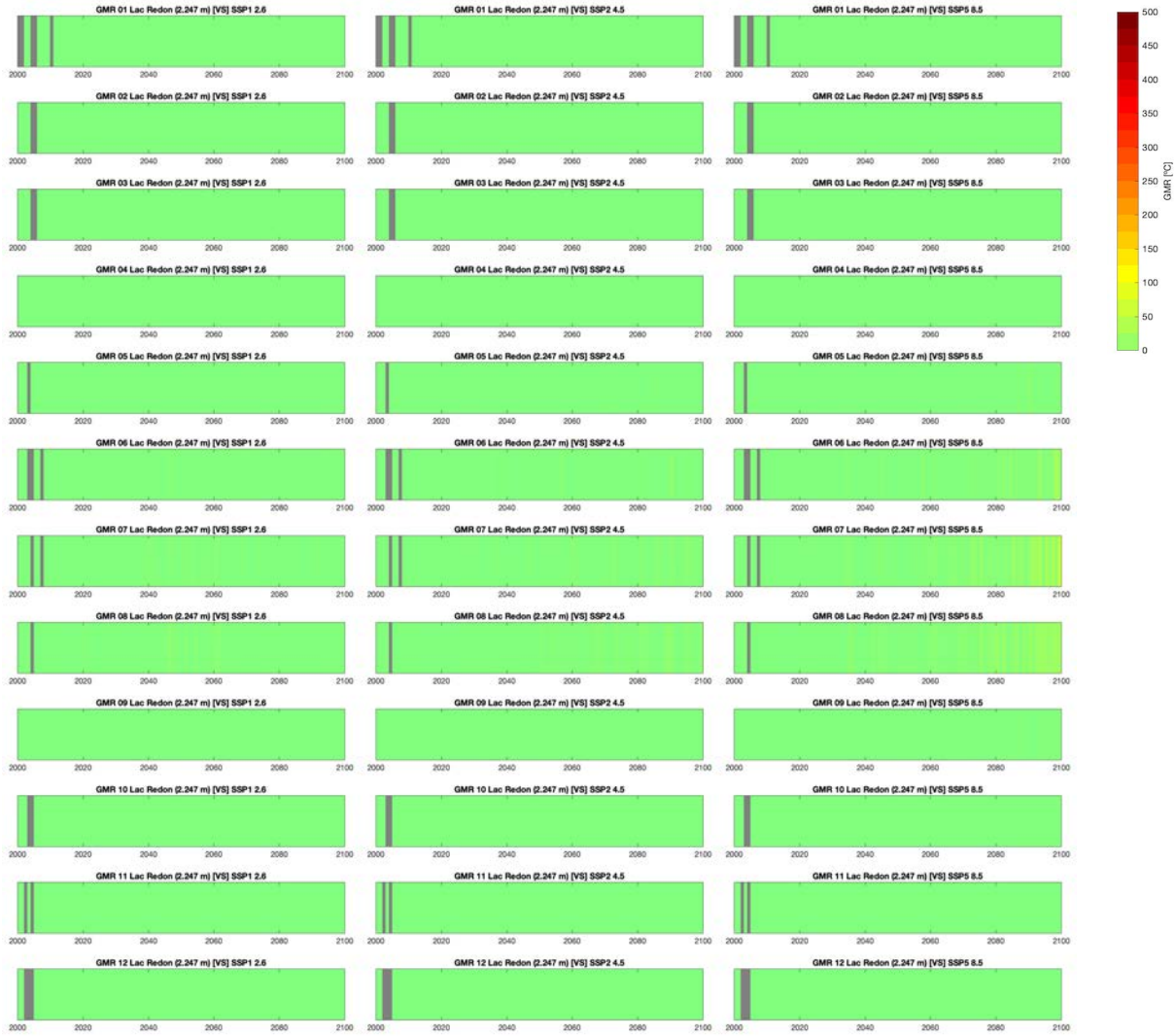

Figura B.311: Evolució dels graus-mes de refrigeració (GMR a l'estació VS- Lac Redon, per als diferents escenaris [SSP1 2.6, SSP2 4.5 i SSP5 8.5] per al model climàtic MPI-ESM1.

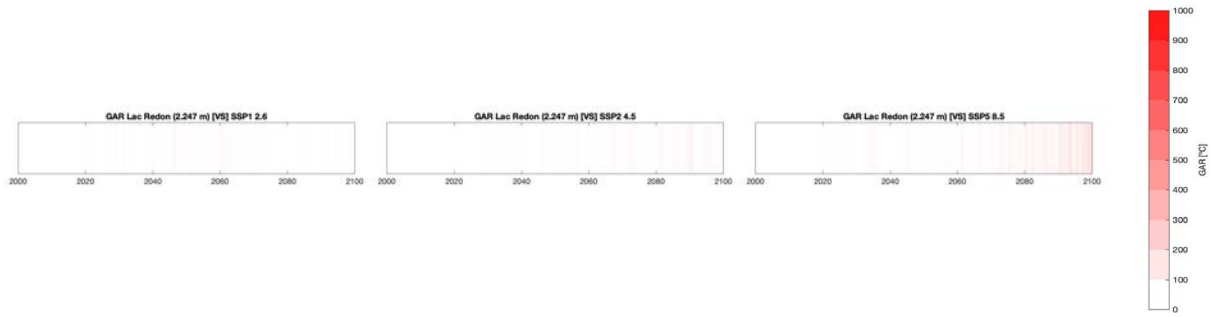

Figura B.312: Evolució dels graus-any de refrigeració (GAR a l'estació VS- Lac Redon, per als diferents escenaris [SSP1 2.6, SSP2 4.5 i SSP5 8.5] per al model climàtic MPI-ESM1.

B.1.80 VU - Rellinars

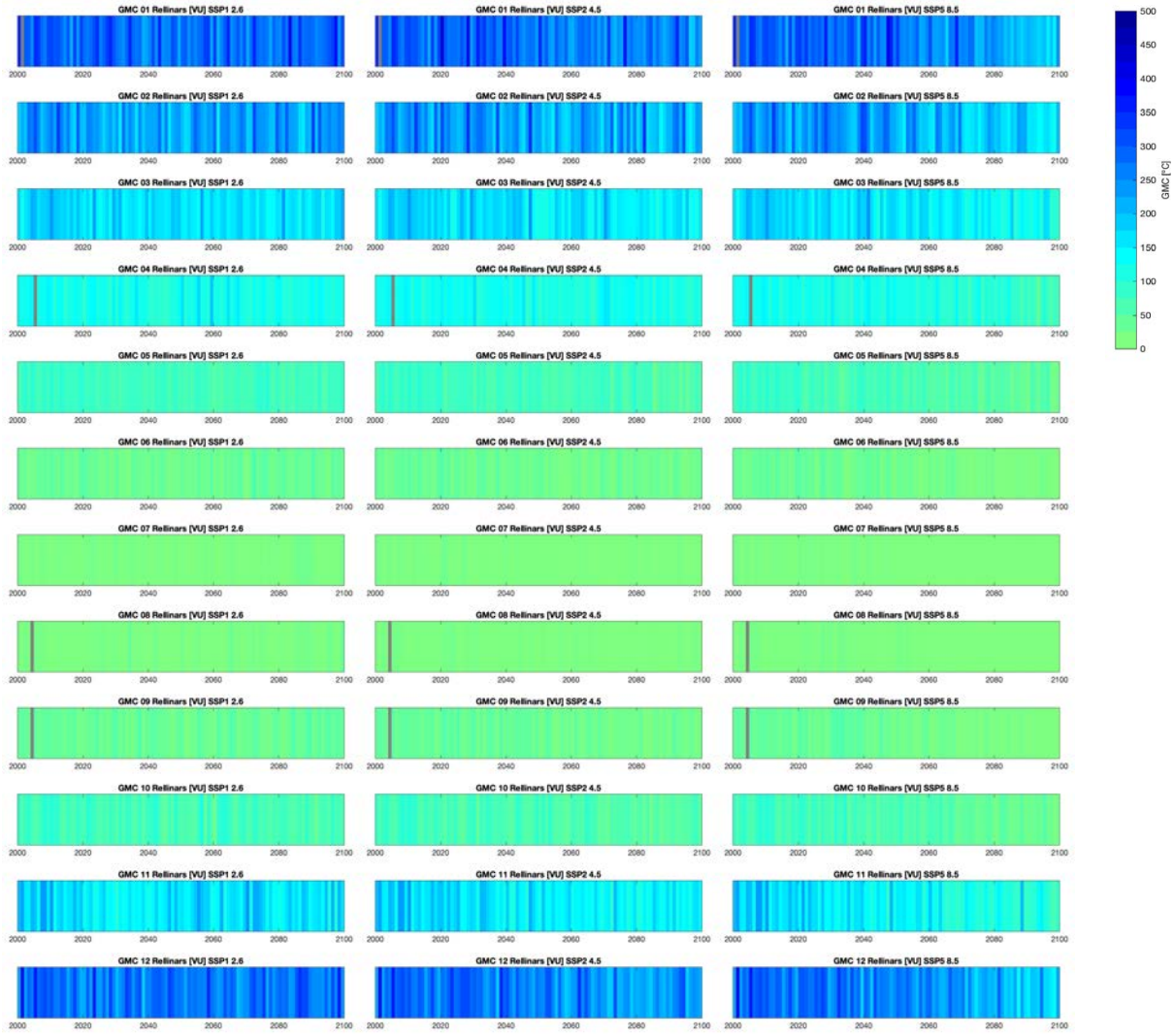

Figura B.313: Evolució dels graus-mes de calefacció (GMC) a l'estació VU- Rellinars, per als diferents escenaris [SSP1 2.6, SSP2 4.5 i SSP5 8.5] per al model climàtic MPI-ESM1.

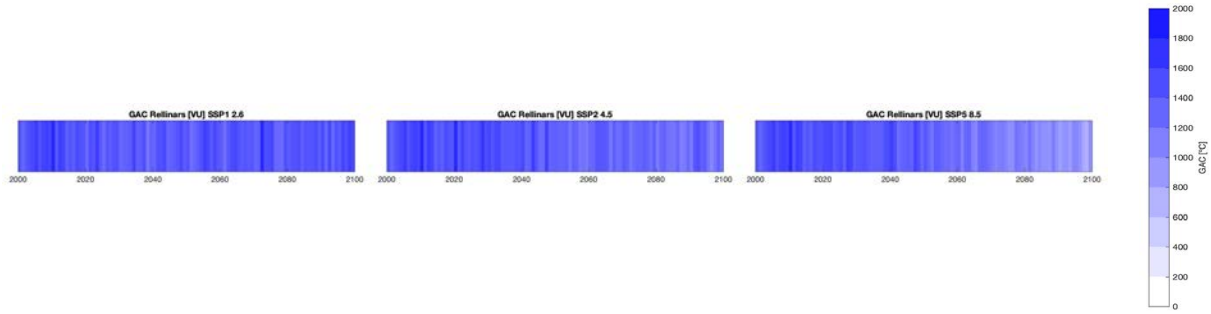

Figura B.314: Evolució dels graus-any de calefacció (GAC) a l'estació VU- Rellinars, per als diferents escenaris [SSP1 2.6, SSP2 4.5 i SSP5 8.5] per al model climàtic MPI-ESM1.

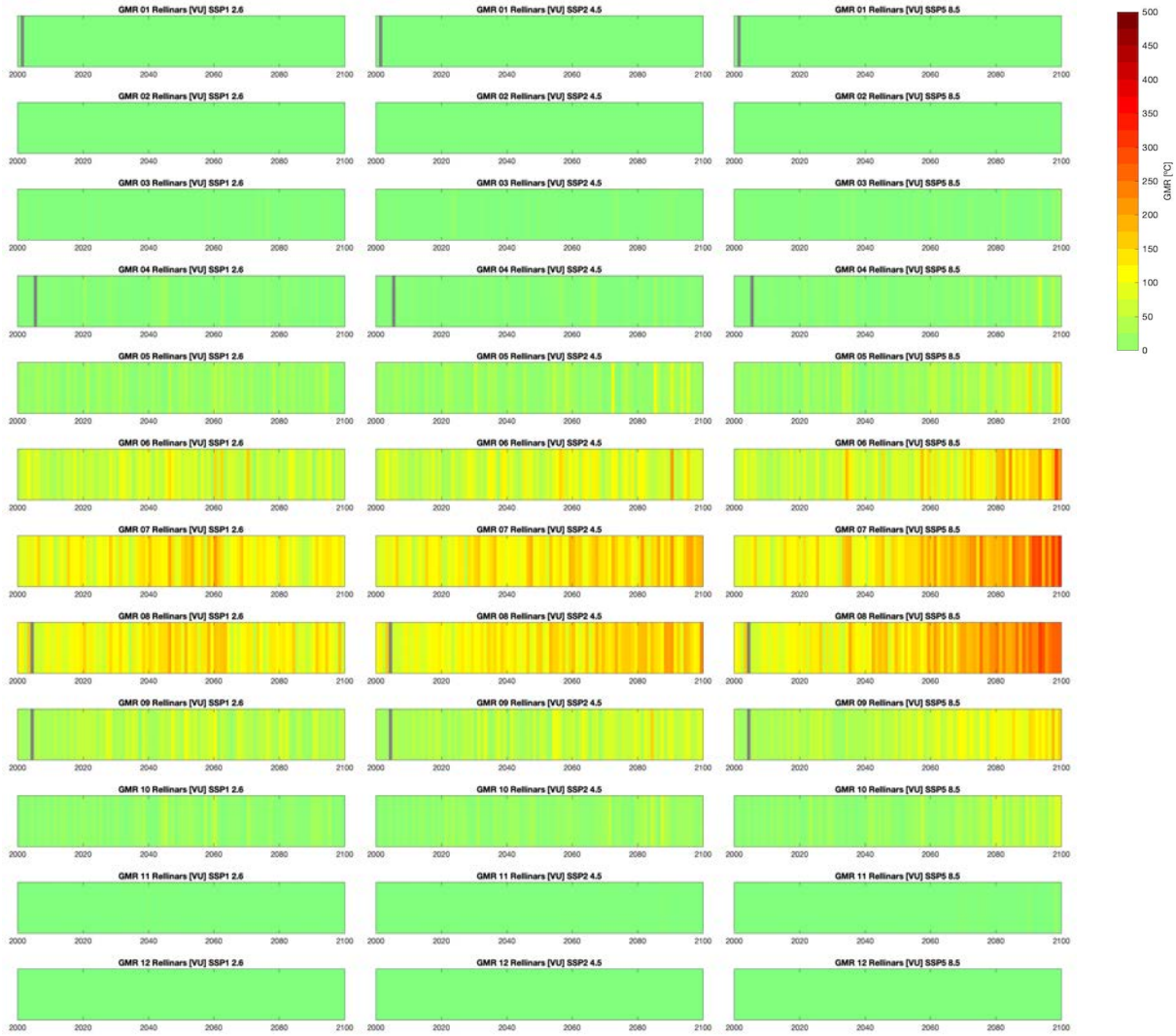

Figura B.315: Evolució dels graus-mes de refrigeració (GMR a l'estació VU- Rellinars, per als diferents escenaris [SSP1 2.6, SSP2 4.5 i SSP5 8.5] per al model climàtic MPI-ESM1.

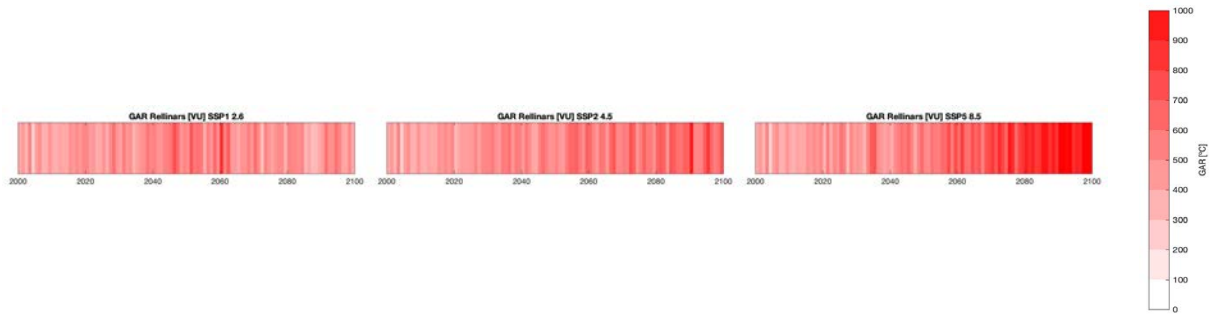

Figura B.316: Evolució dels graus-any de refrigeració (GAR a l'estació VU- Rellinars, per als diferents escenaris [SSP1 2.6, SSP2 4.5 i SSP5 8.5] per al model climàtic MPI-ESM1.

B.1.81 VV - Sant Llorenç Savall

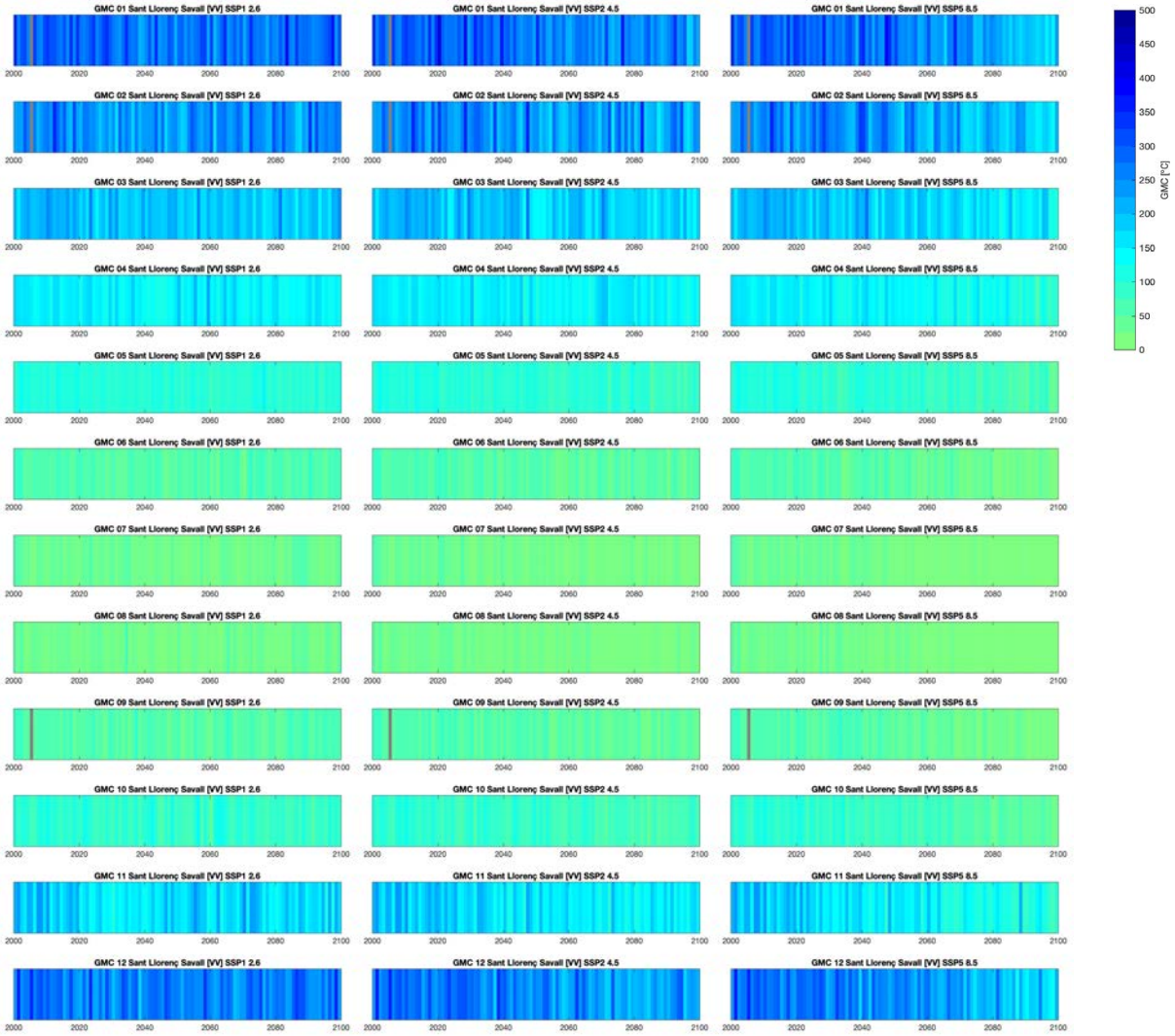

Figura B.317: Evolució dels graus-mes de calefacció (GMC) a l'estació VV- Sant Llorenç Savall, per als diferents escenaris [SSP1 2.6, SSP2 4.5 i SSP5 8.5] per al model climàtic MPI-ESM1.

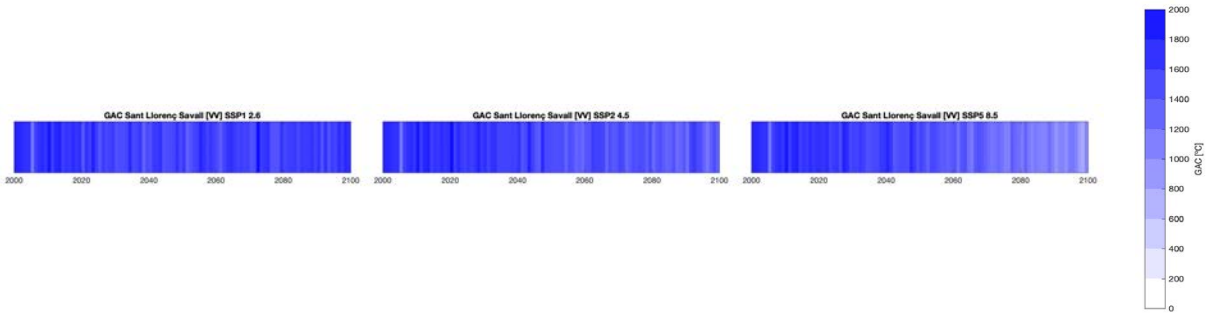

Figura B.318: Evolució dels graus-any de calefacció (GAC) a l'estació VV- Sant Llorenç Savall, per als diferents escenaris [SSP1 2.6, SSP2 4.5 i SSP5 8.5] per al model climàtic MPI-ESM1.

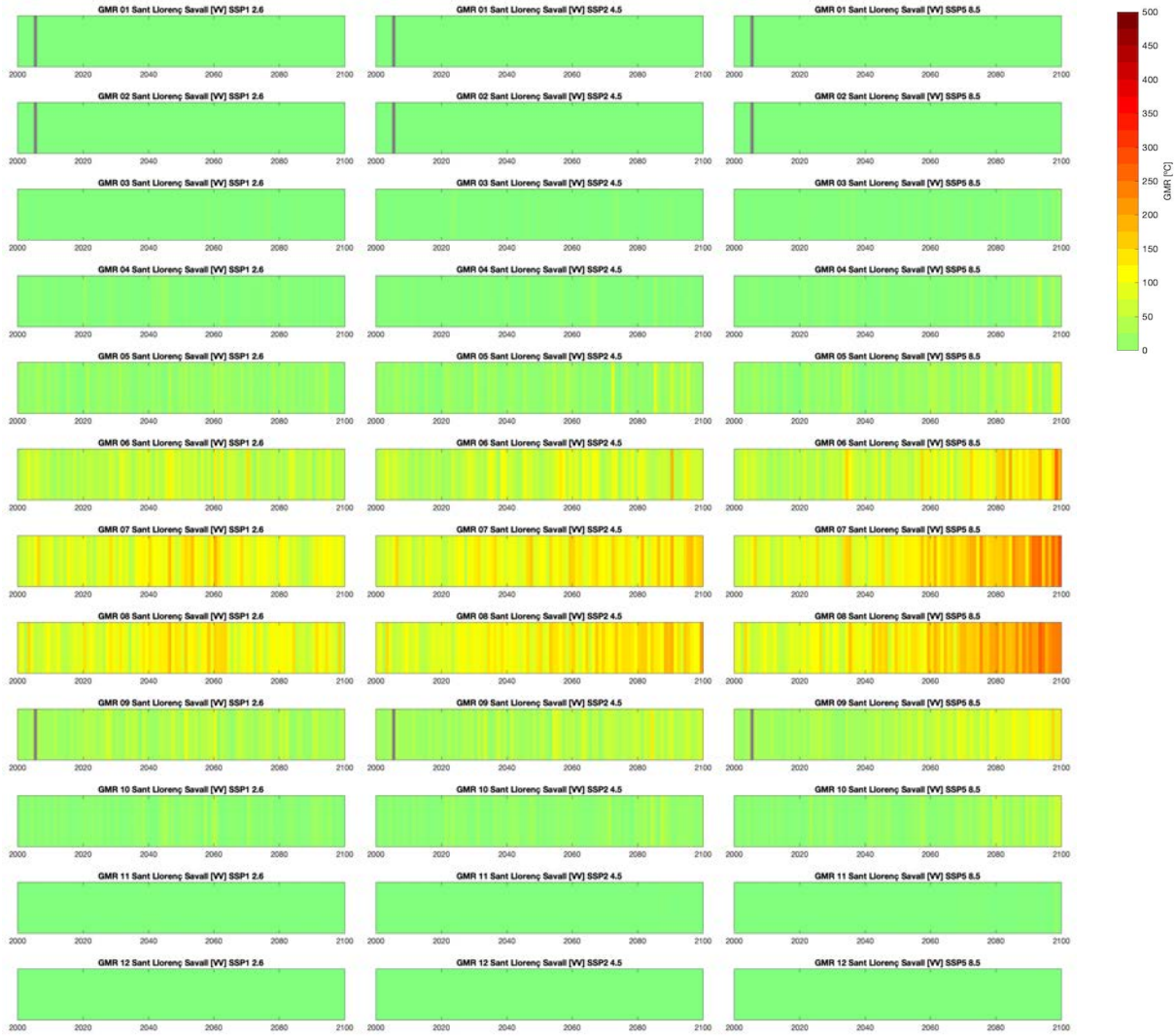

Figura B.319: Evolució dels graus-mes de refrigeració (GMR a l'estació VV- Sant Llorenç Savall, per als diferents escenaris [SSP1 2.6, SSP2 4.5 i SSP5 8.5] per al model climàtic MPI-ESM1.

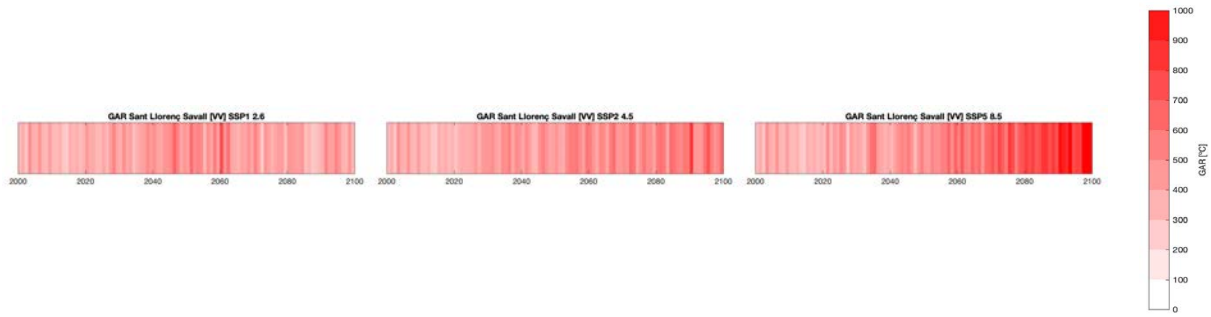

Figura B.320: Evolució dels graus-any de refrigeració (GAR a l'estació VV- Sant Llorenç Savall, per als diferents escenaris [SSP1 2.6, SSP2 4.5 i SSP5 8.5] per al model climàtic MPI-ESM1.

B.1.82 VX - Tagamanent - PN del Montseny

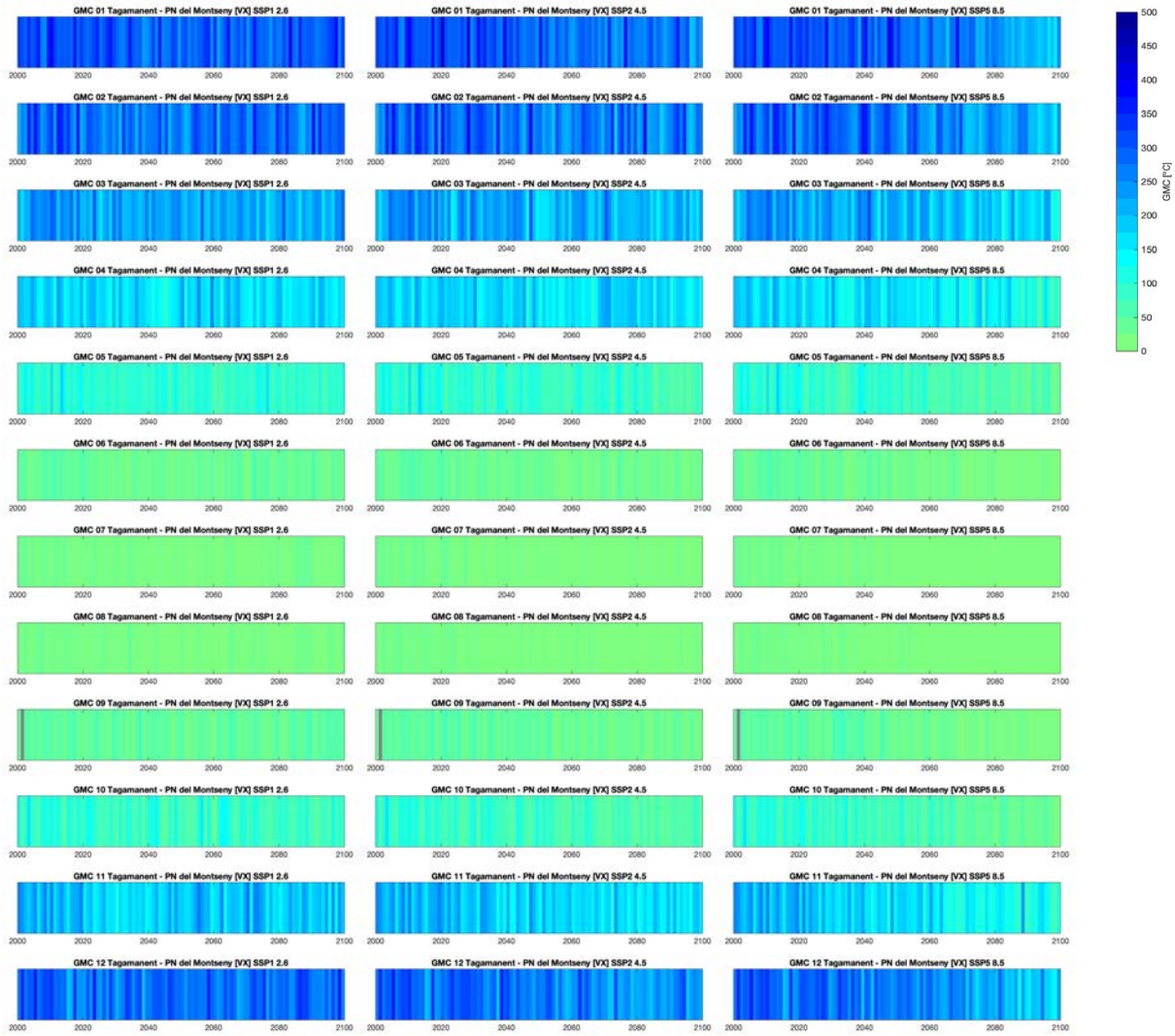

Figura B.321: Evolució dels graus-mes de calefacció (GMC) a l'estació VX- Tagamanent - PN del Montseny, per als diferents escenaris [SSP1 2.6, SSP2 4.5 i SSP5 8.5] per al model climàtic MPI-ESM1.

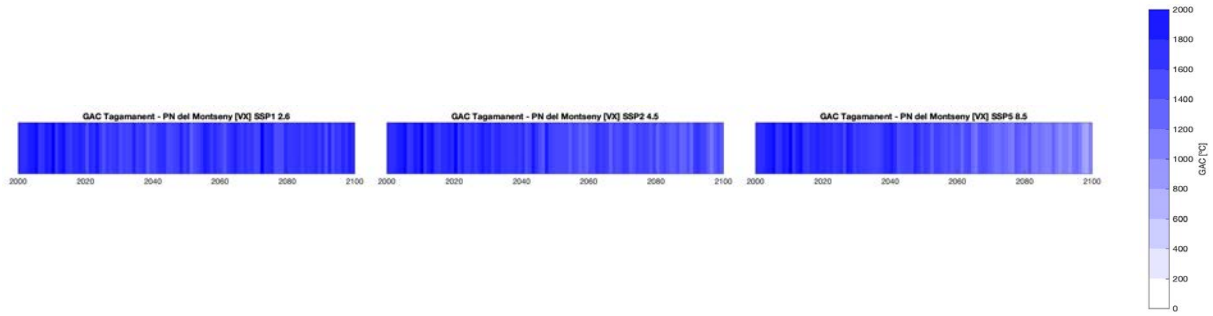

Figura B.322: Evolució dels graus-any de calefacció (GAC) a l'estació VX- Tagamanent - PN del Montseny, per als diferents escenaris [SSP1 2.6, SSP2 4.5 i SSP5 8.5] per al model climàtic MPI-ESM1.

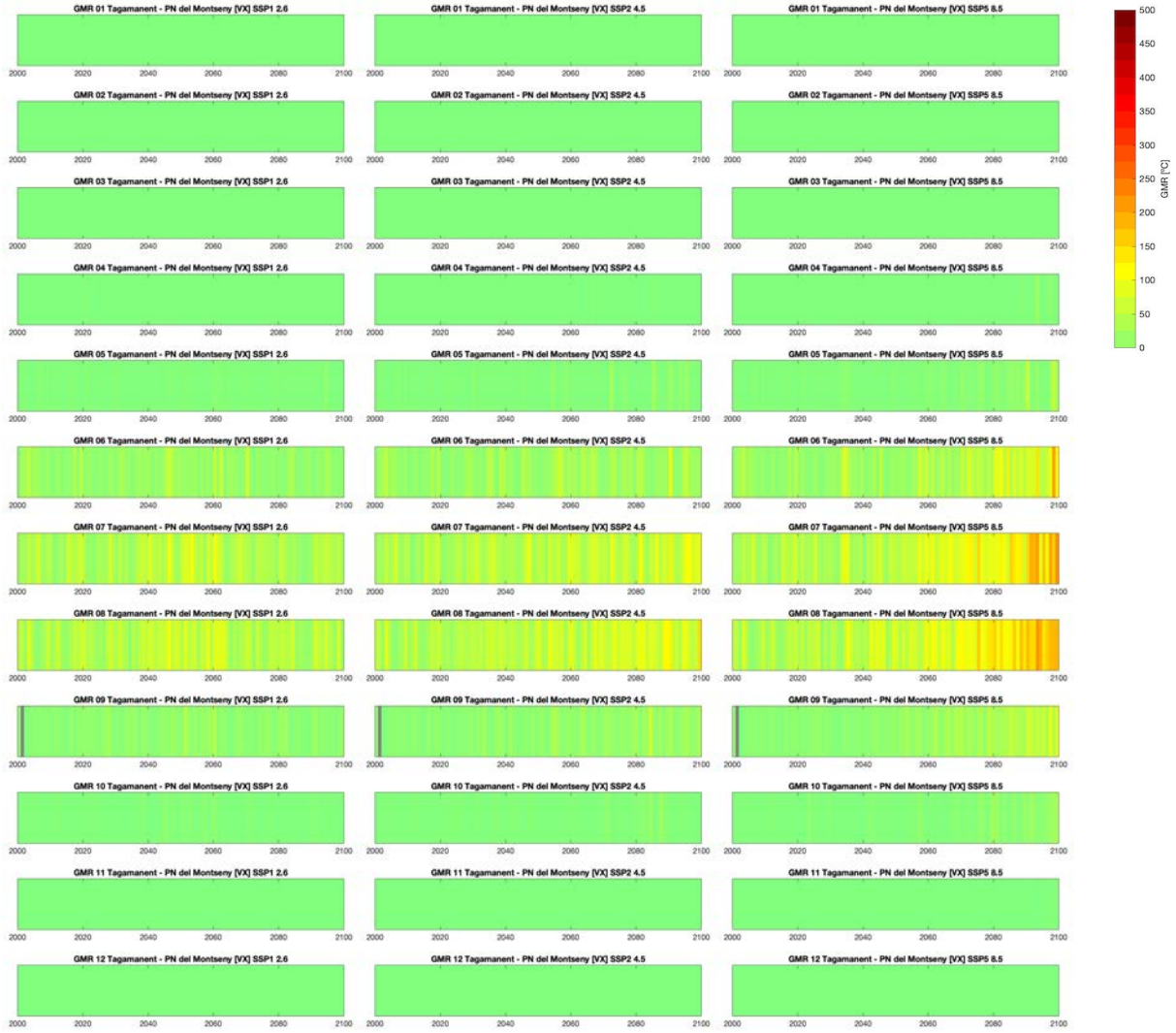

Figura B.323: Evolució dels graus-mes de refrigeració (GMR a l'estació VX- Tagamanent - PN del Montseny, per als diferents escenaris [SSP1 2.6, SSP2 4.5 i SSP5 8.5] per al model climàtic MPI-ESM1.

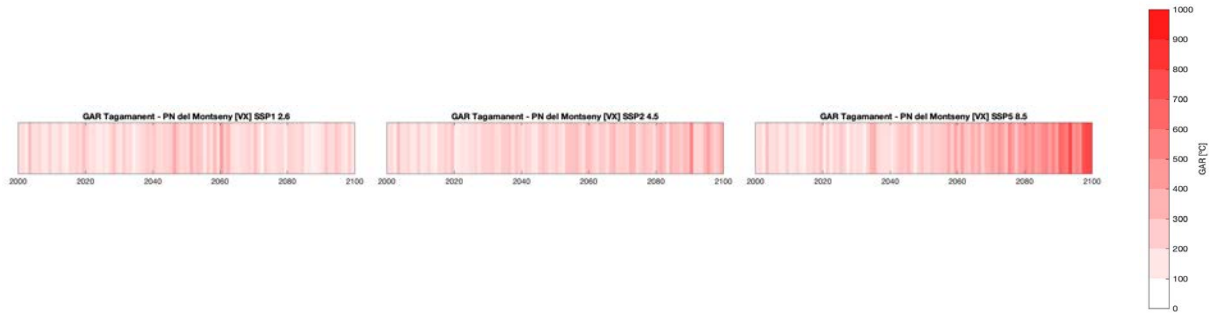

Figura B.324: Evolució dels graus-any de refrigeració (GAR a l'estació VX- Tagamanent - PN del Montseny, per als diferents escenaris [SSP1 2.6, SSP2 4.5 i SSP5 8.5] per al model climàtic MPI-ESM1.

B.1.83 VY - Nulles

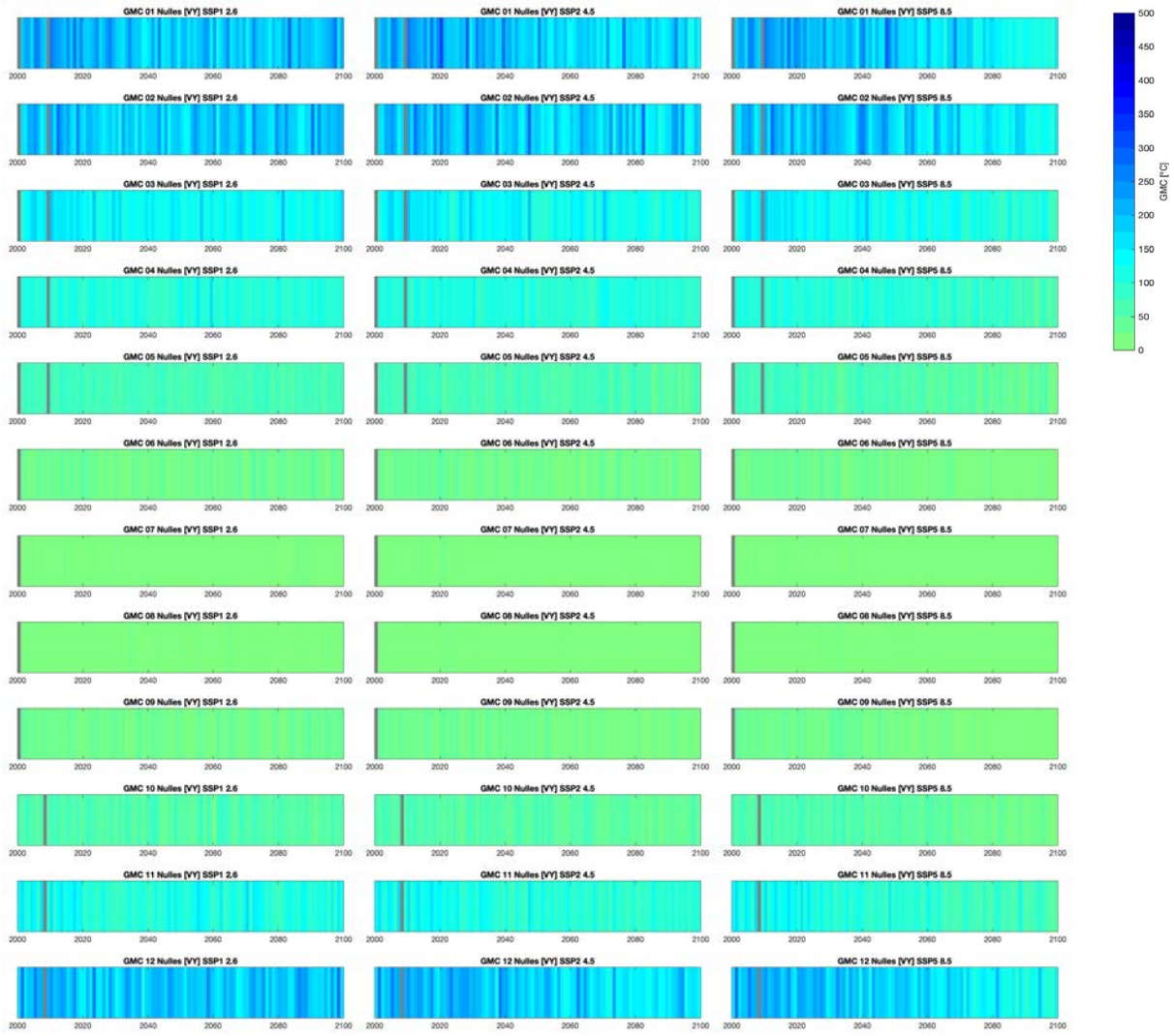

Figura B.325: Evolució dels graus-mes de calefacció (GMC) a l'estació VY- Nulles, per als diferents escenaris [SSP1 2.6, SSP2 4.5 i SSP5 8.5] per al model climàtic MPI-ESM1.

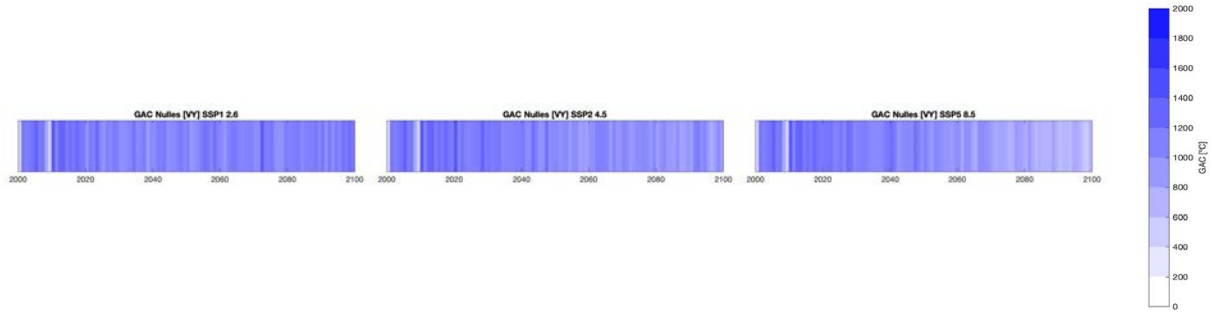

Figura B.326: Evolució dels graus-any de calefacció (GAC) a l'estació VY- Nulles, per als diferents escenaris [SSP1 2.6, SSP2 4.5 i SSP5 8.5] per al model climàtic MPI-ESM1.

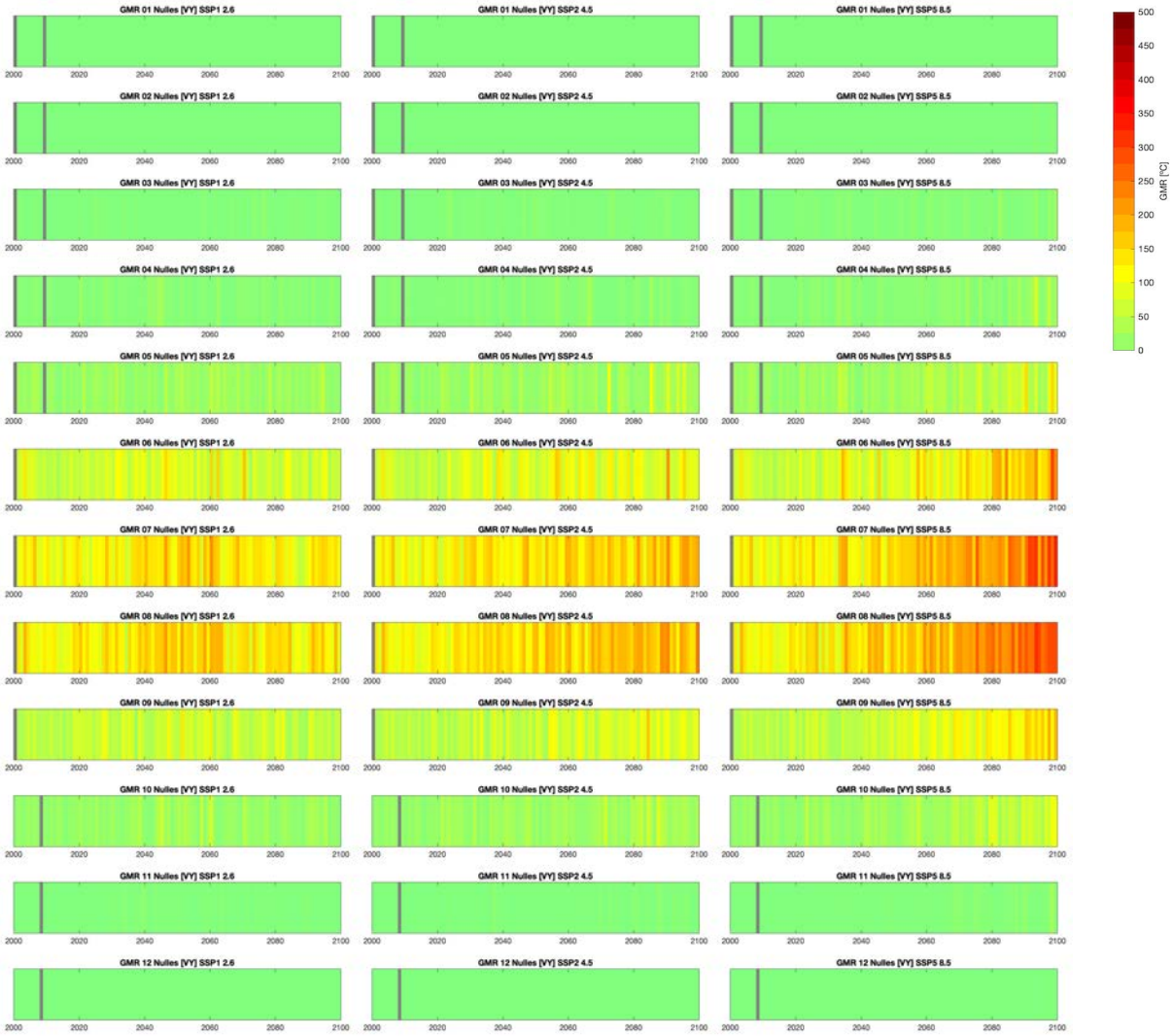

Figura B.327: Evolució dels graus-mes de refrigeració (GMR a l'estació VY- Nulles, per als diferents escenaris [SSP1 2.6, SSP2 4.5 i SSP5 8.5] per al model climàtic MPI-ESM1.

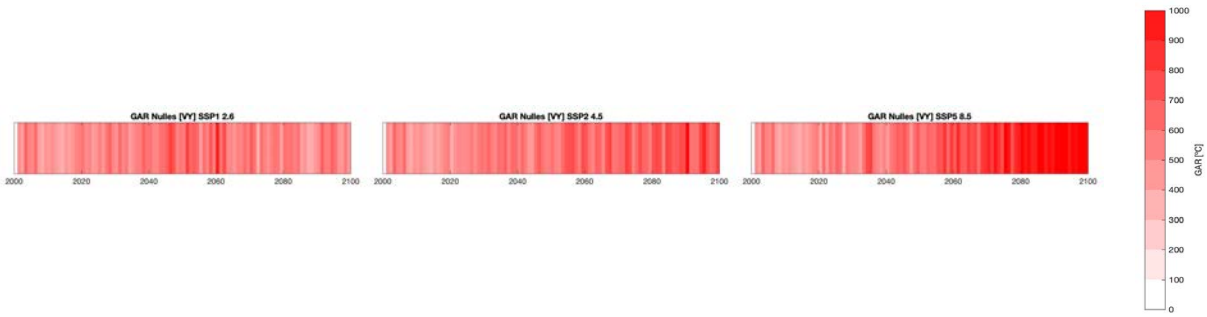

Figura B.328: Evolució dels graus-any de refrigeració (GAR a l'estació VY- Nulles, per als diferents escenaris [SSP1 2.6, SSP2 4.5 i SSP5 8.5] per al model climàtic MPI-ESM1.

B.1.84 VZ - Espolla

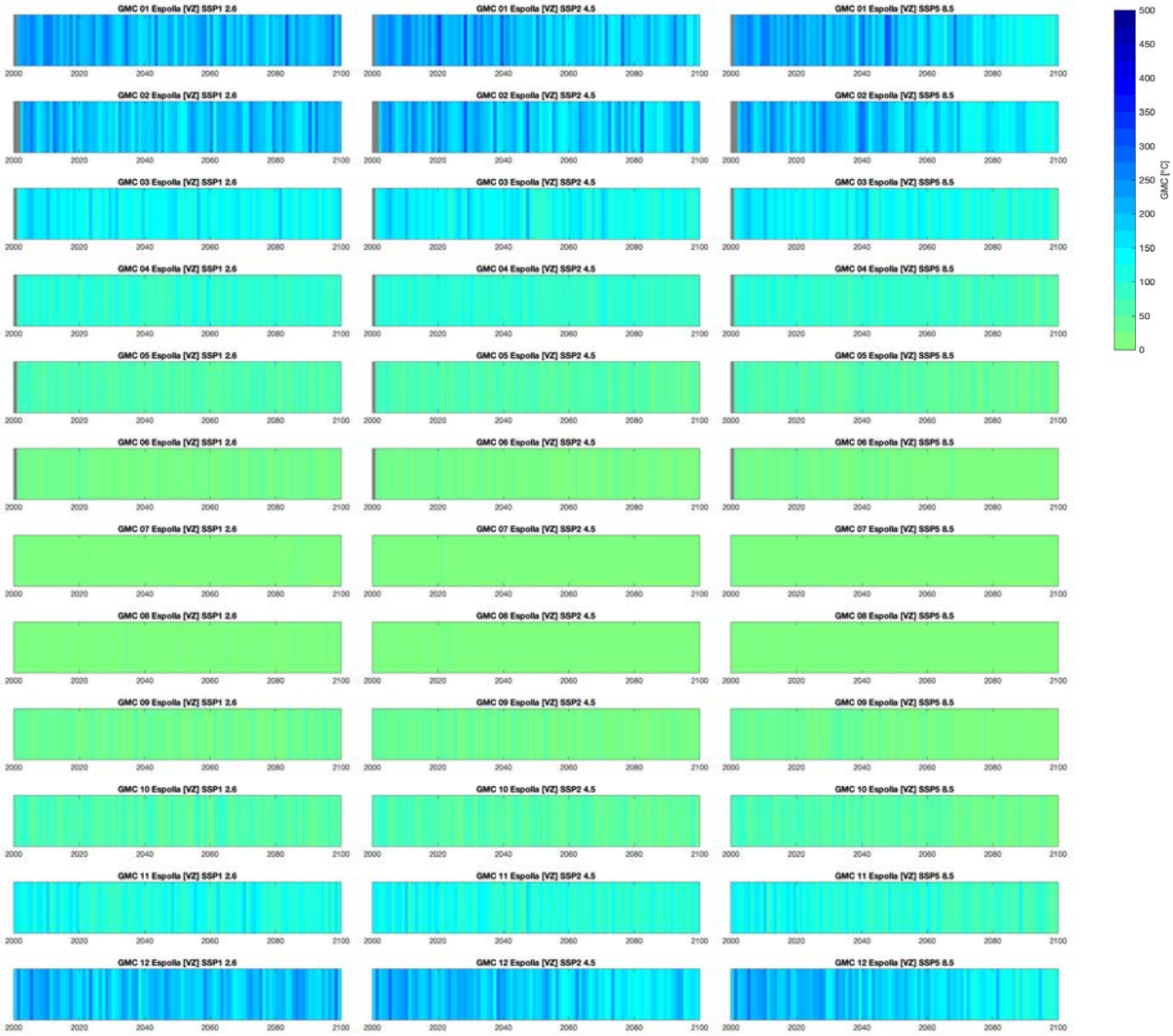

Figura B.329: Evolució dels graus-mes de calefacció (GMC) a l'estació VZ- Espolla, per als diferents escenaris [SSP1 2.6, SSP2 4.5 i SSP5 8.5] per al model climàtic MPI-ESM1.

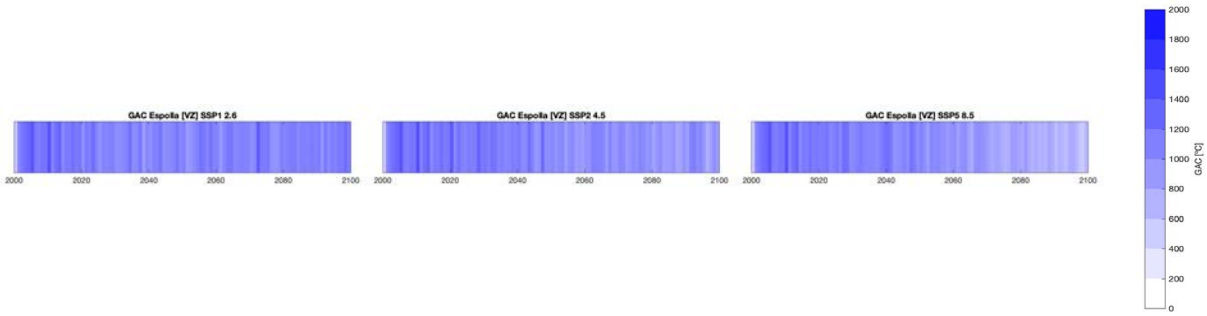

Figura B.330: Evolució dels graus-any de calefacció (GAC) a l'estació VZ- Espolla, per als diferents escenaris [SSP1 2.6, SSP2 4.5 i SSP5 8.5] per al model climàtic MPI-ESM1.

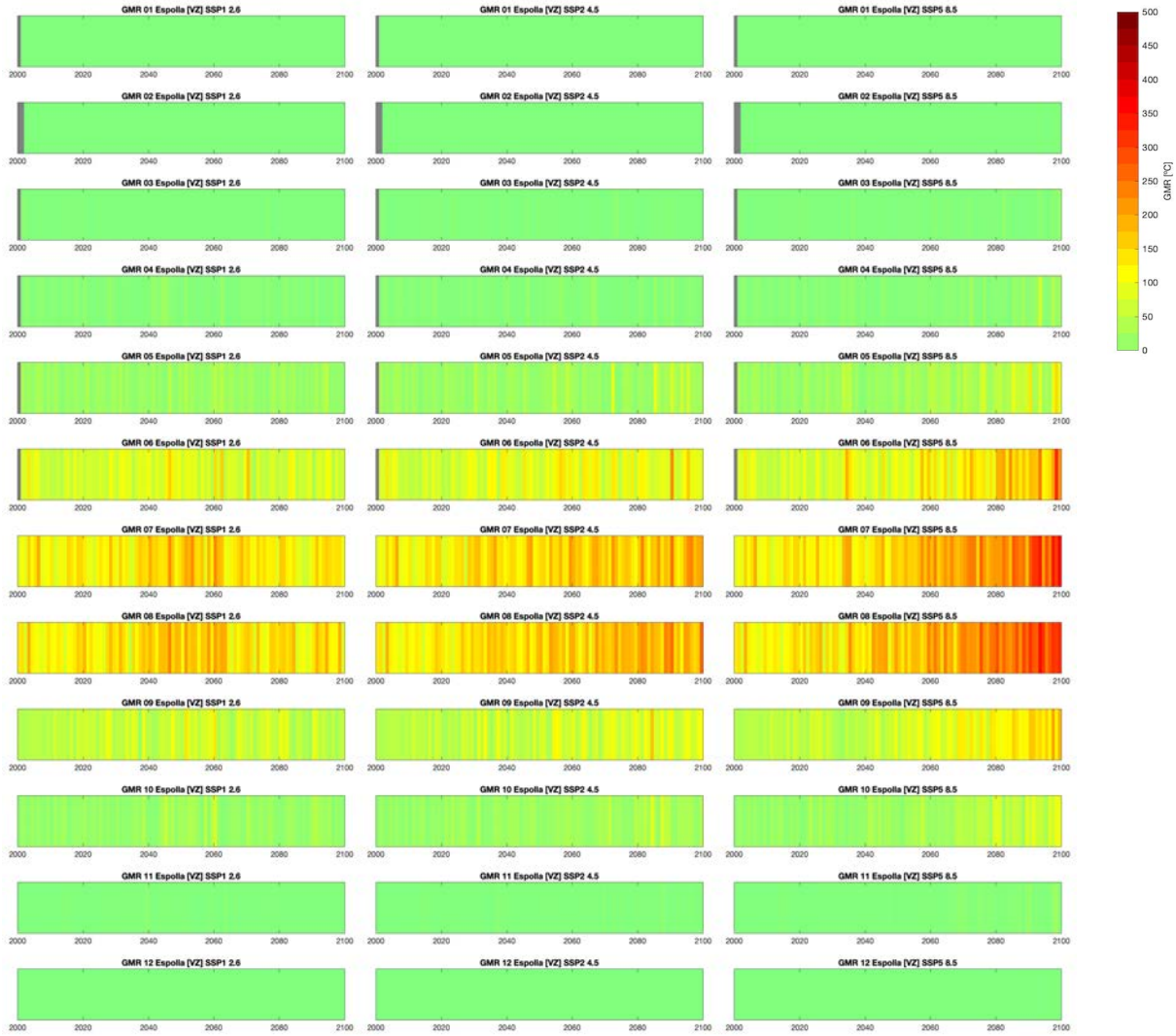

Figura B.331: Evolució dels graus-mes de refrigeració (GMR a l'estació VZ- Espolla, per als diferents escenaris [SSP1 2.6, SSP2 4.5 i SSP5 8.5] per al model climàtic MPI-ESM1.

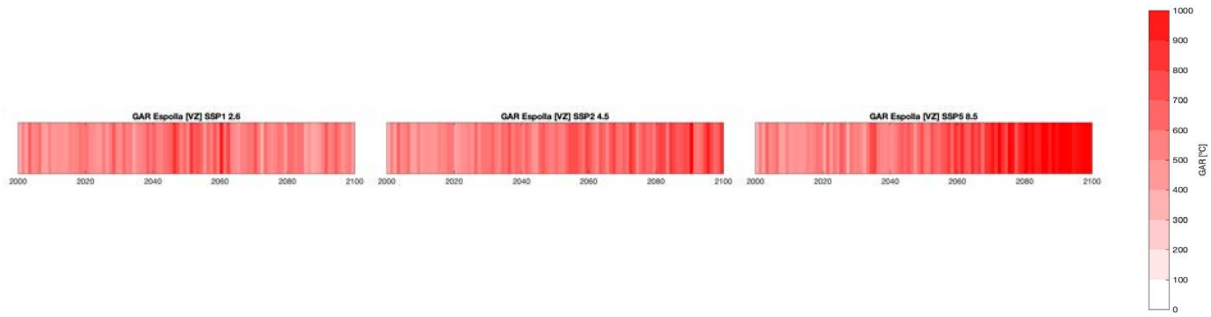

Figura B.332: Evolució dels graus-any de refrigeració (GAR a l'estació VZ- Espolla, per als diferents escenaris [SSP1 2.6, SSP2 4.5 i SSP5 8.5] per al model climàtic MPI-ESM1.

B.1.85 W1 - Castelló d'Empuries

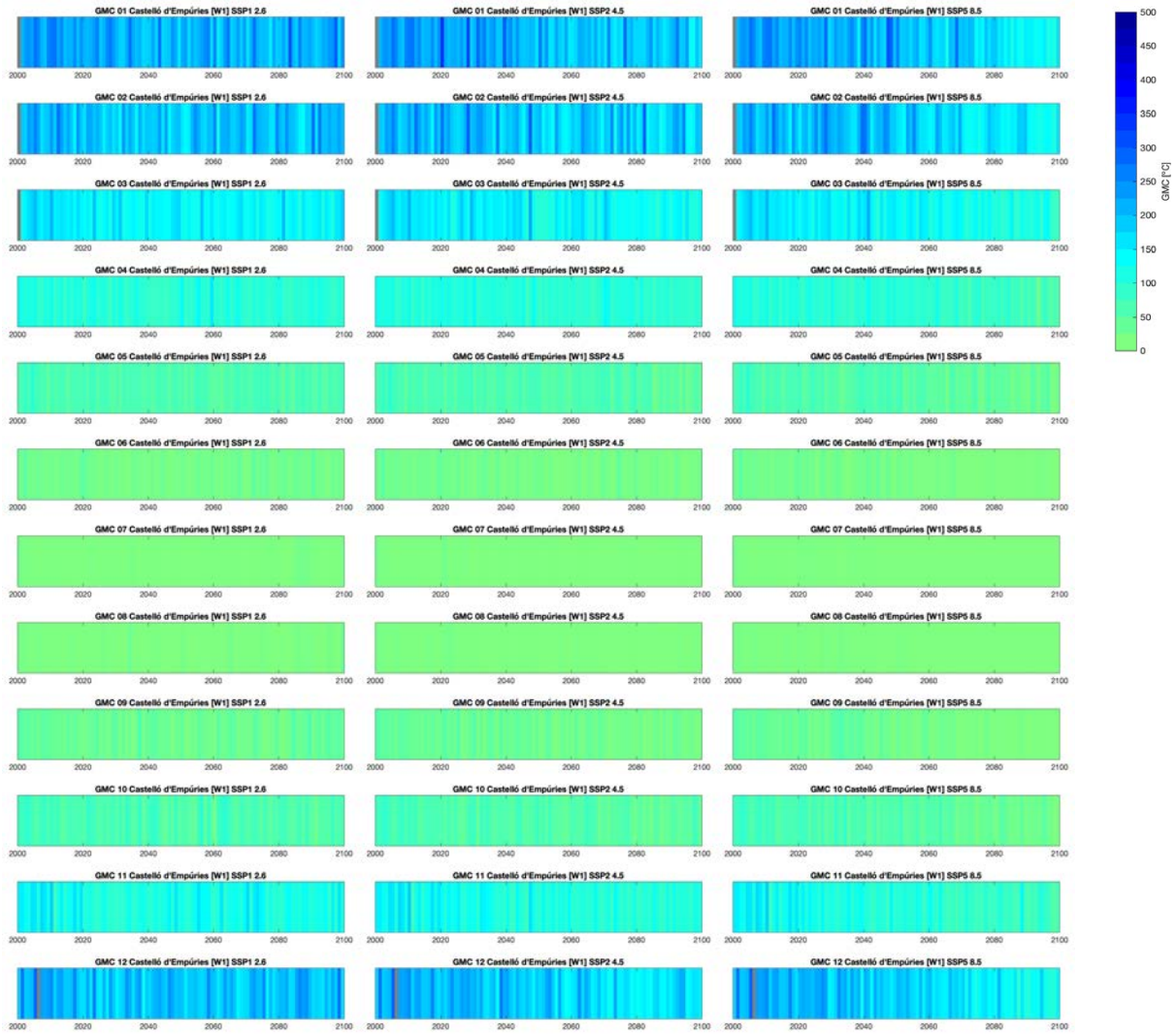

Figura B.333: Evolució dels graus-mes de calefacció (GMC) a l'estació W1- Castelló d'Empuries, per als diferents escenaris [SSP1 2.6, SSP2 4.5 i SSP5 8.5] per al model climàtic MPI-ESM1.

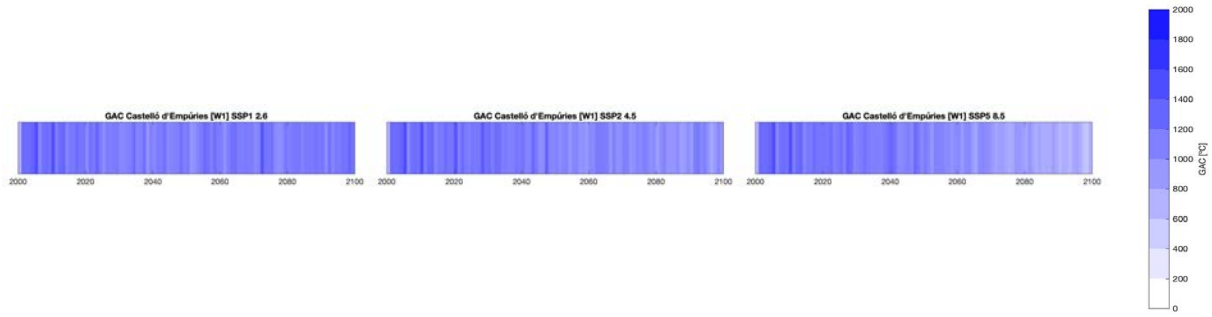

Figura B.334: Evolució dels graus-any de calefacció (GAC) a l'estació W1- Castelló d'Empuries, per als diferents escenaris [SSP1 2.6, SSP2 4.5 i SSP5 8.5] per al model climàtic MPI-ESM1.

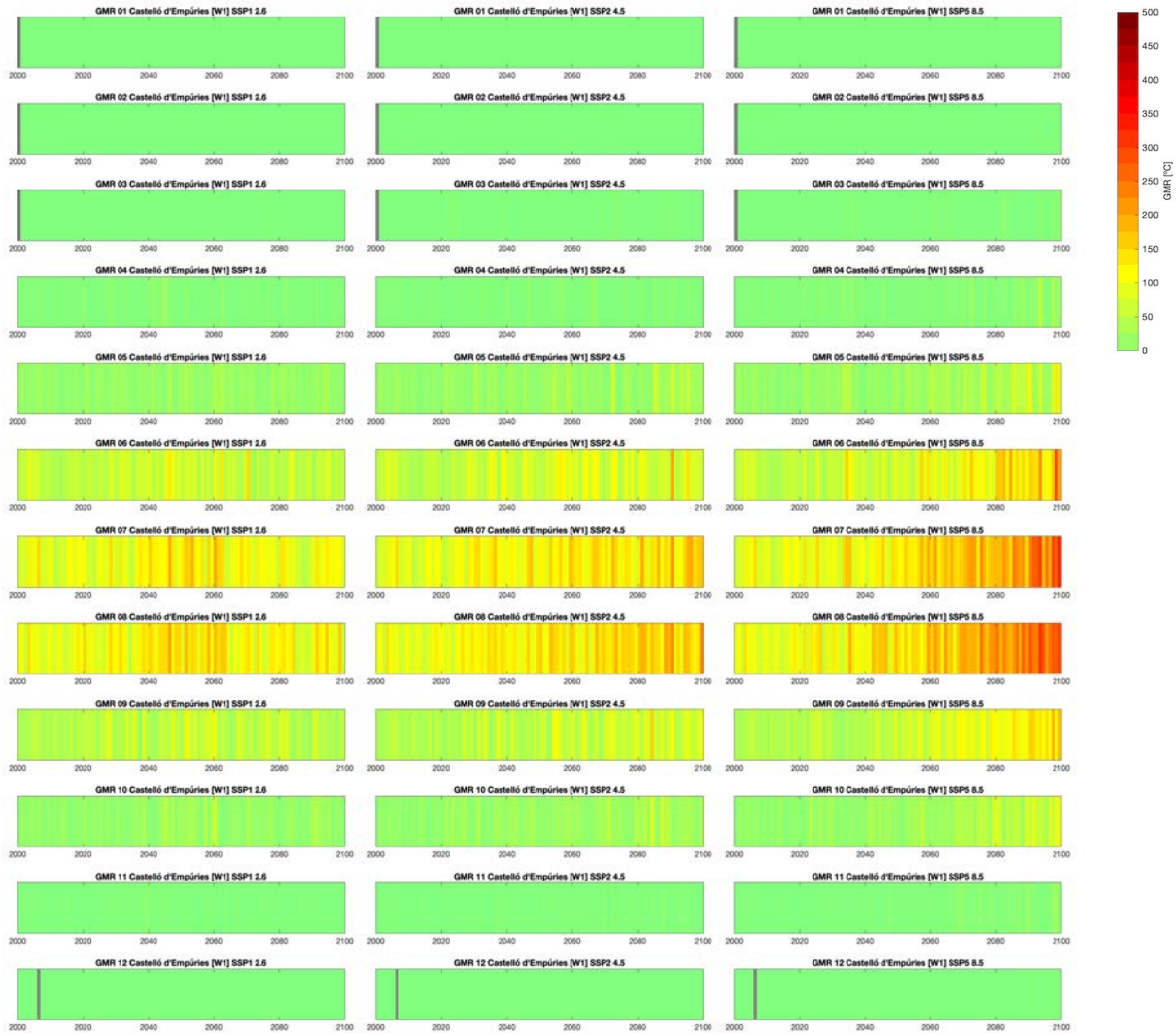

Figura B.335: Evolució dels graus-mes de refrigeració (GMR a l'estació W1- Castelló d'Empuries, per als diferents escenaris [SSP1 2.6, SSP2 4.5 i SSP5 8.5] per al model climàtic MPI-ESM1.

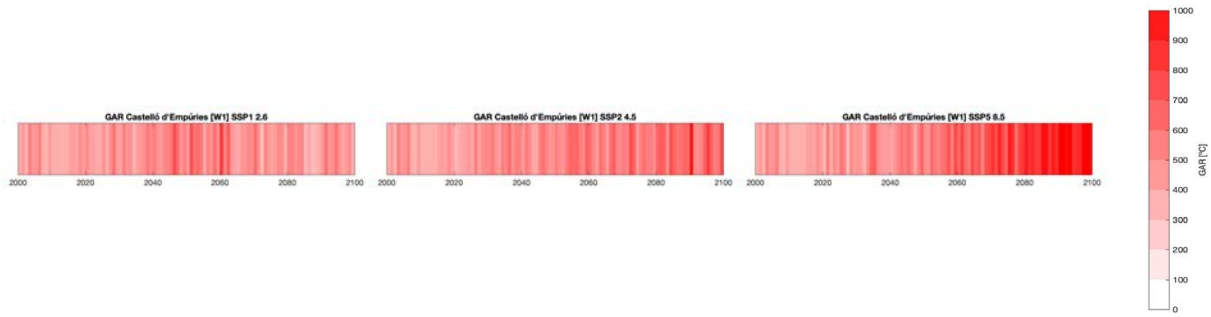

Figura B.336: Evolució dels graus-any de refrigeració (GAR a l'estació W1- Castelló d'Empuries, per als diferents escenaris [SSP1 2.6, SSP2 4.5 i SSP5 8.5] per al model climàtic MPI-ESM1.

B.1.86 W4 - La Granada

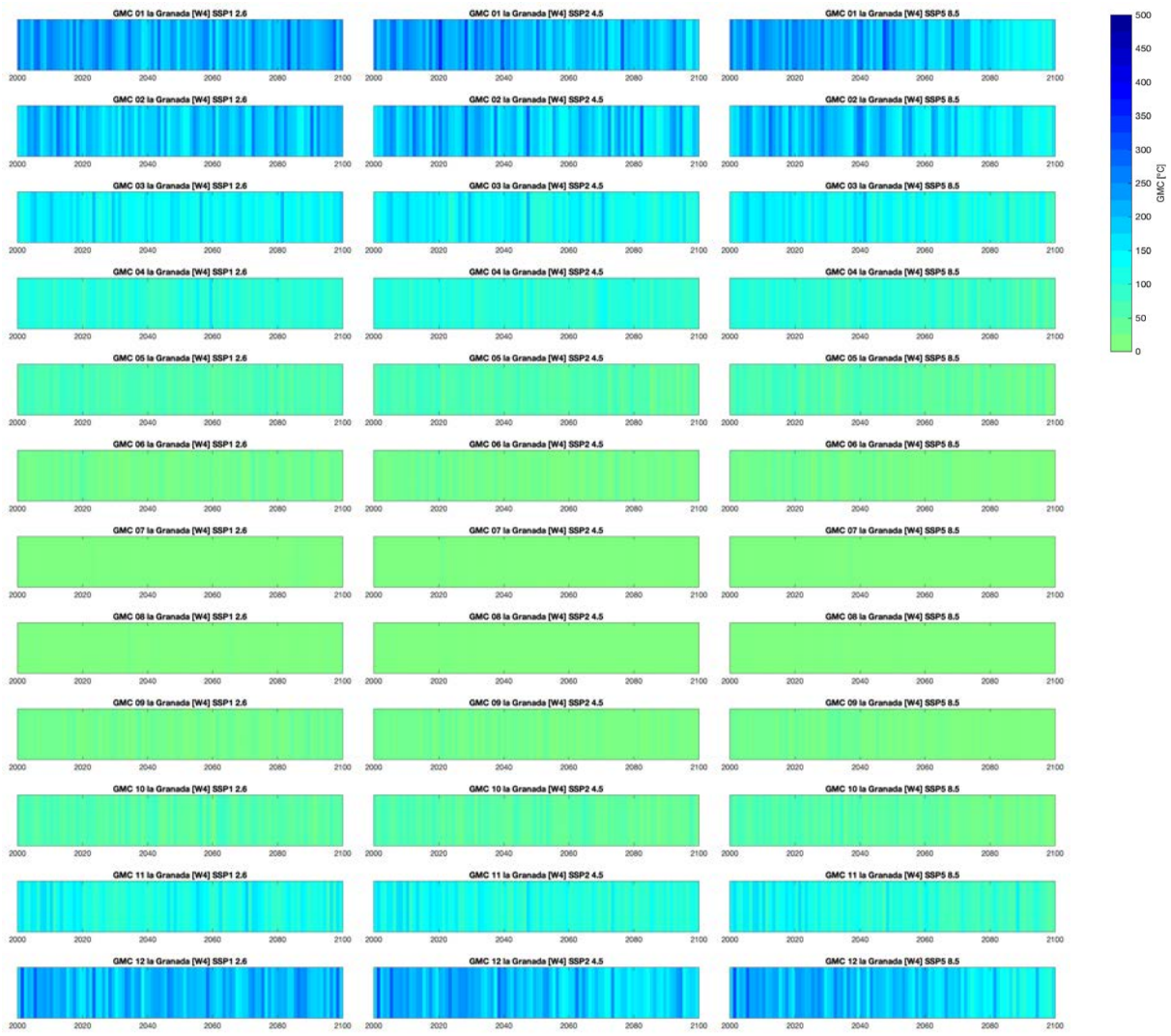

Figura B.337: Evolució dels graus-mes de calefacció (GMC) a l'estació W4- La Granada, per als diferents escenaris [SSP1 2.6, SSP2 4.5 i SSP5 8.5] per al model climàtic MPI-ESM1.

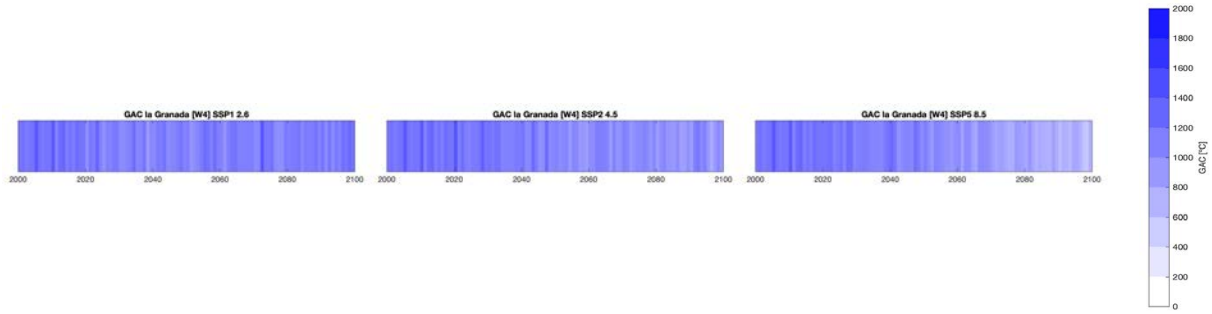

Figura B.338: Evolució dels graus-any de calefacció (GAC) a l'estació W4- La Granada, per als diferents escenaris [SSP1 2.6, SSP2 4.5 i SSP5 8.5] per al model climàtic MPI-ESM1.

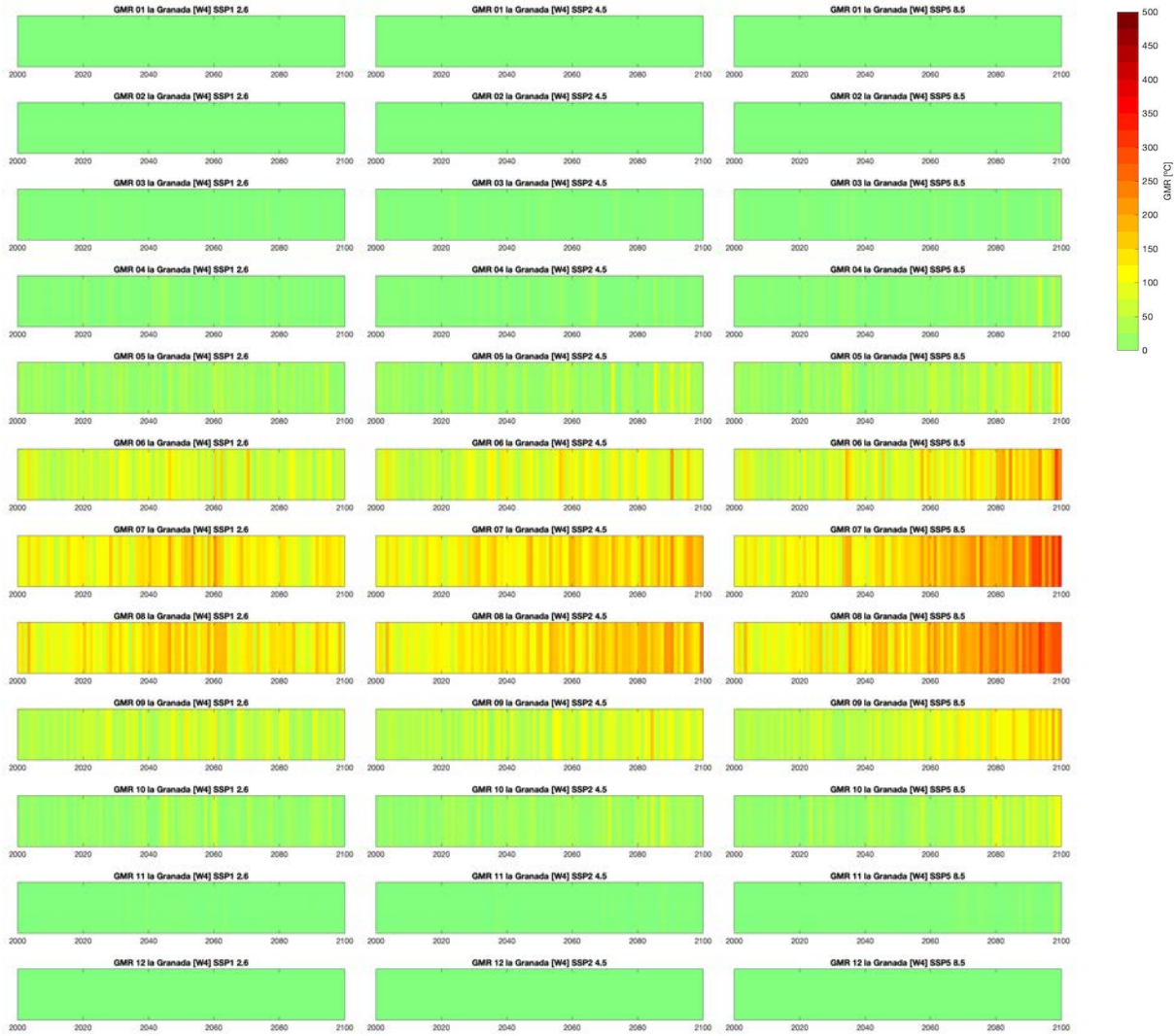

Figura B.339: Evolució dels graus-mes de refrigeració (GMR a l'estació W4- La Granada, per als diferents escenaris [SSP1 2.6, SSP2 4.5 i SSP5 8.5] per al model climàtic MPI-ESM1.

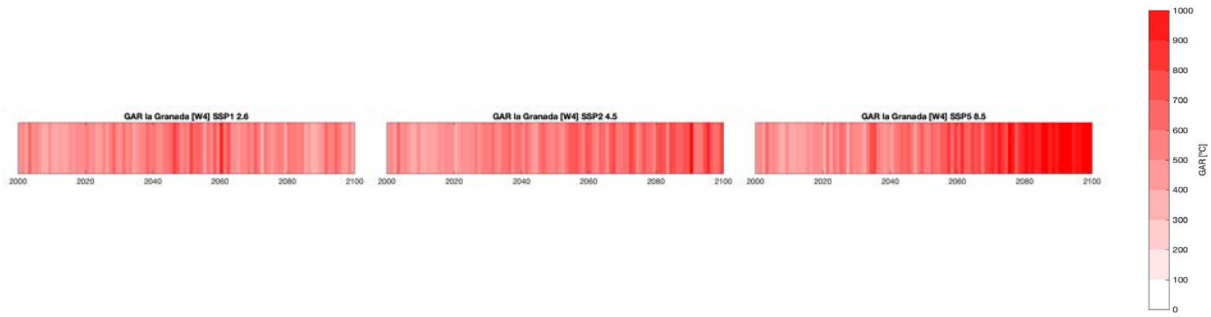

Figura B.340: Evolució dels graus-any de refrigeració (GAR a l'estació W4- La Granada, per als diferents escenaris [SSP1 2.6, SSP2 4.5 i SSP5 8.5] per al model climàtic MPI-ESM1.

B.1.87 W5 - Oliana

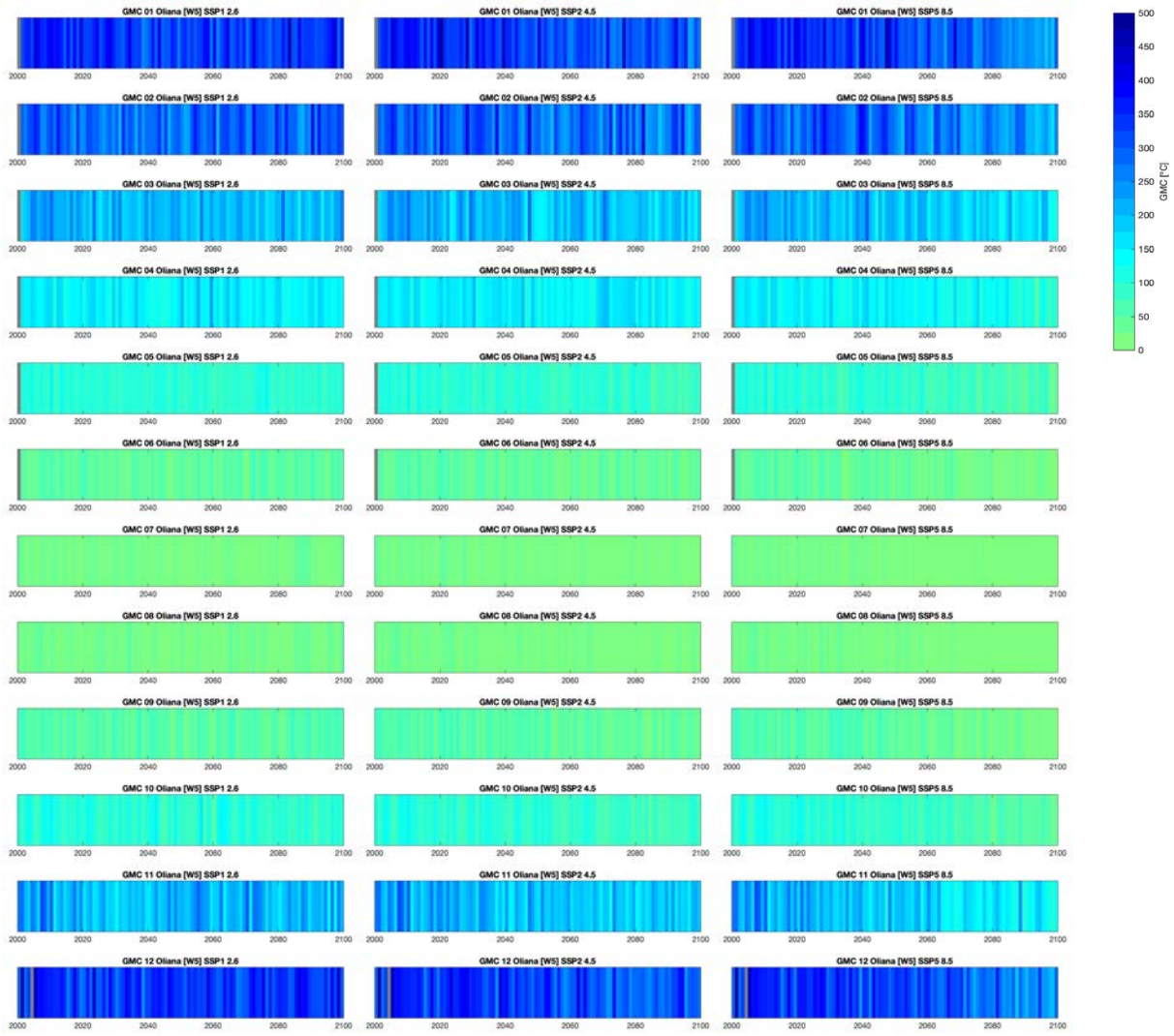

Figura B.341: Evolució dels graus-mes de calefacció (GMC) a l'estació W5- Oliana, per als diferents escenaris [SSP1 2.6, SSP2 4.5 i SSP5 8.5] per al model climàtic MPI-ESM1.

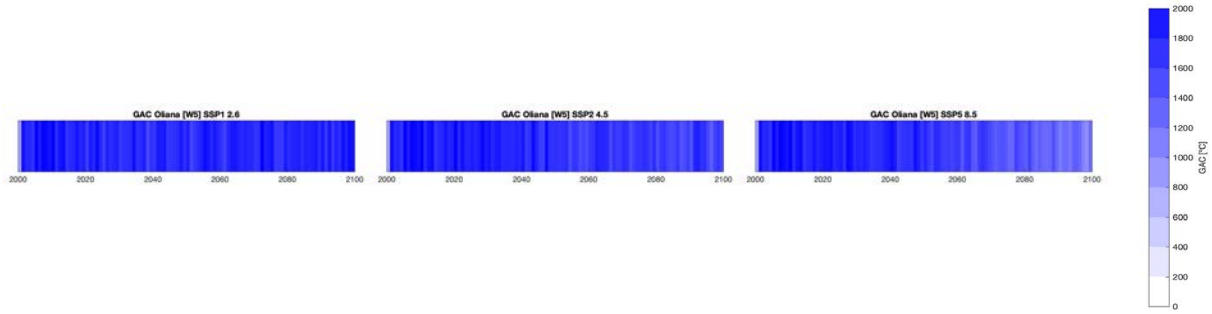

Figura B.342: Evolució dels graus-any de calefacció (GAC) a l'estació W5- Oliana, per als diferents escenaris [SSP1 2.6, SSP2 4.5 i SSP5 8.5] per al model climàtic MPI-ESM1.

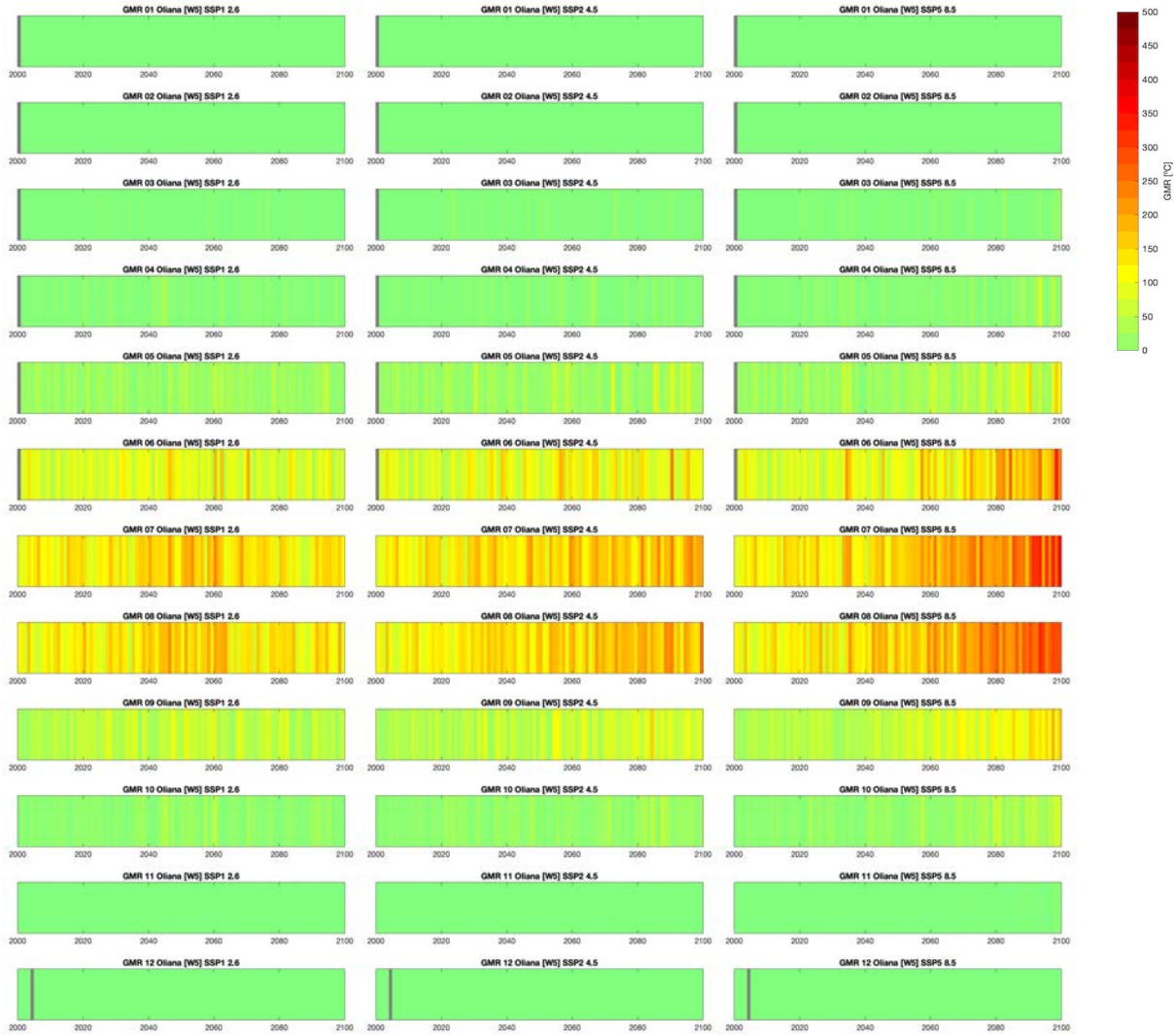

Figura B.343: Evolució dels graus-mes de refrigeració (GMR a l'estació W5- Oliana, per als diferents escenaris [SSP1 2.6, SSP2 4.5 i SSP5 8.5] per al model climàtic MPI-ESM1.

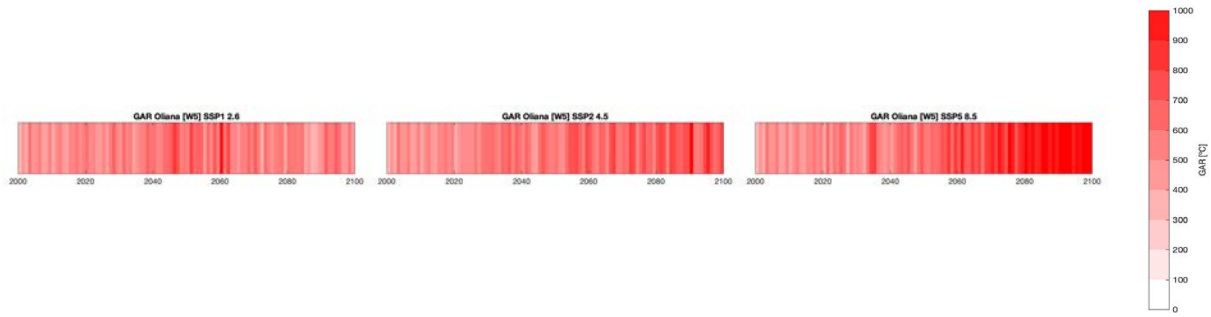

Figura B.344: Evolució dels graus-any de refrigeració (GAR a l'estació W5- Oliana, per als diferents escenaris [SSP1 2.6, SSP2 4.5 i SSP5 8.5] per al model climàtic MPI-ESM1.

B.1.88 W6 - Riudoms

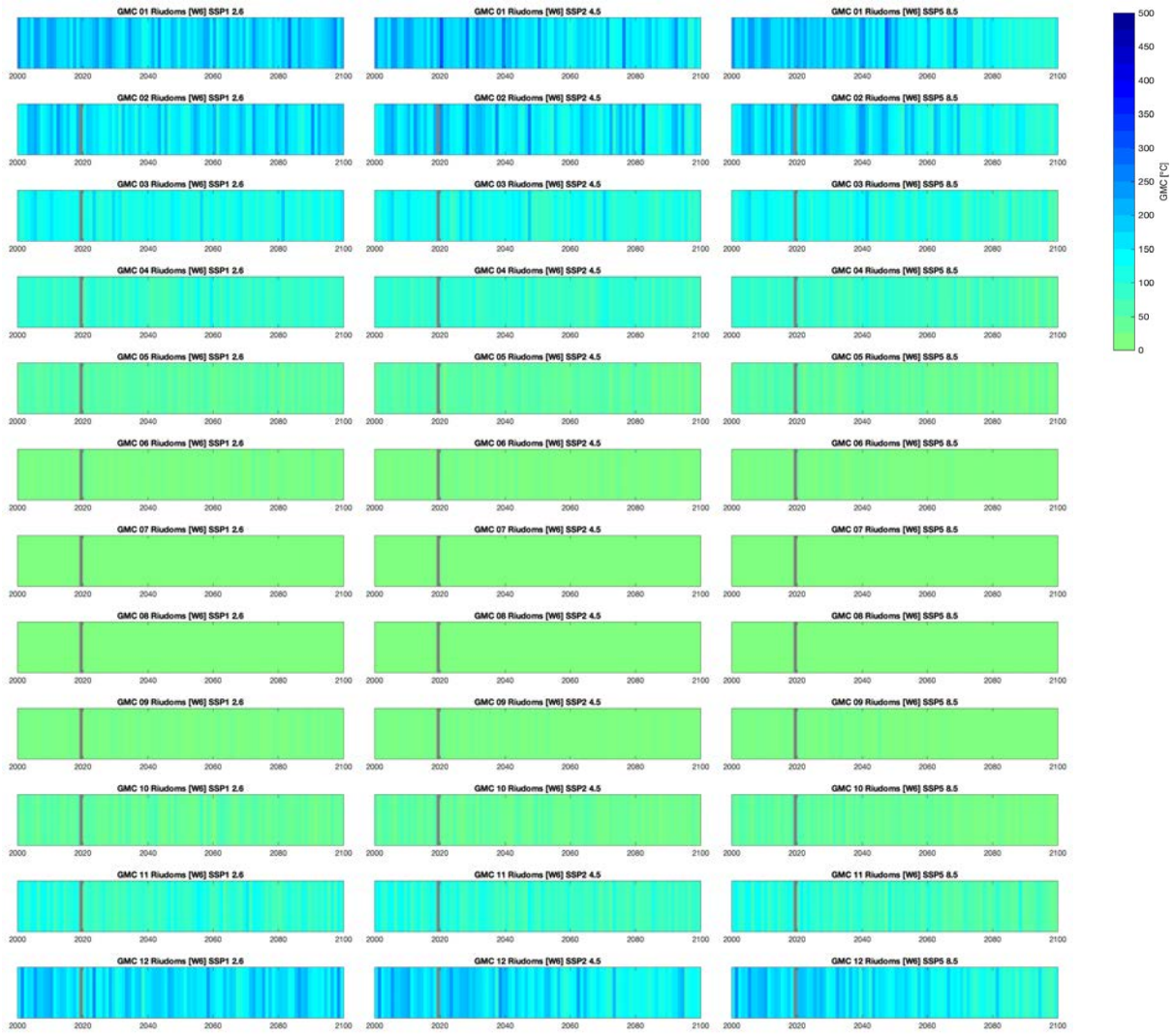

Figura B.345: Evolució dels graus-mes de calefacció (GMC) a l'estació W6- Riudoms, per als diferents escenaris [SSP1 2.6, SSP2 4.5 i SSP5 8.5] per al model climàtic MPI-ESM1.

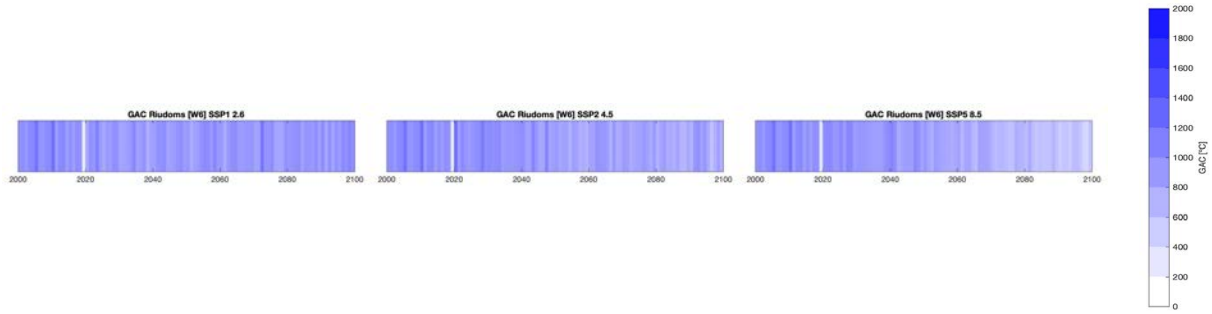

Figura B.346: Evolució dels graus-any de calefacció (GAC) a l'estació W6- Riudoms, per als diferents escenaris [SSP1 2.6, SSP2 4.5 i SSP5 8.5] per al model climàtic MPI-ESM1.

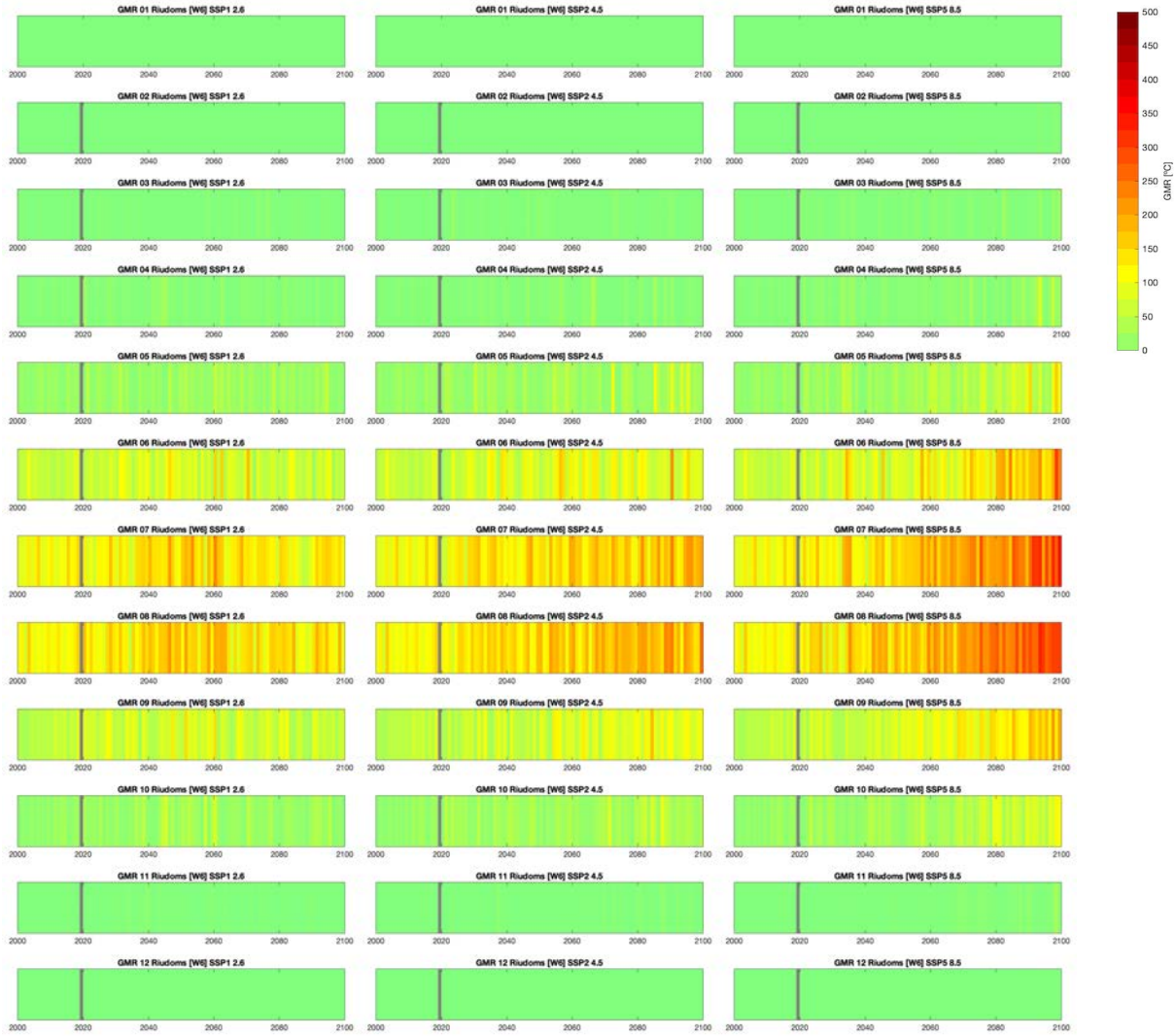

Figura B.347: Evolució dels graus-mes de refrigeració (GMR a l'estació W6- Riudoms, per als diferents escenaris [SSP1 2.6, SSP2 4.5 i SSP5 8.5] per al model climàtic MPI-ESM1.

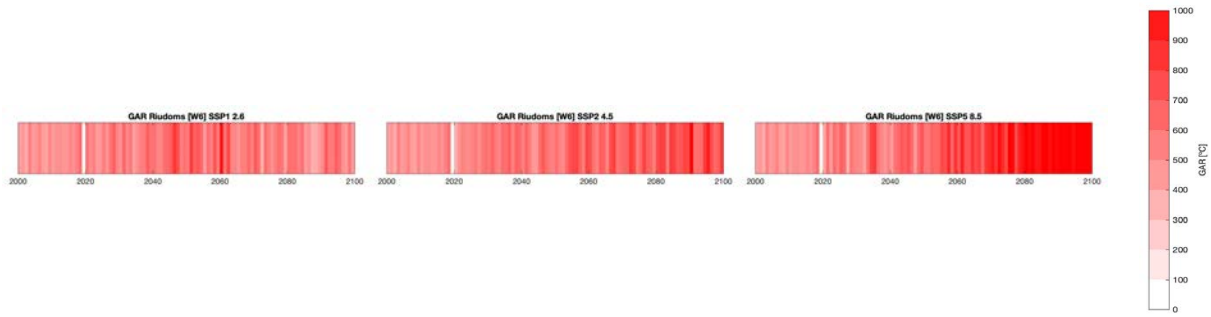

Figura B.348: Evolució dels graus-any de refrigeració (GAR a l'estació W6- Riudoms, per als diferents escenaris [SSP1 2.6, SSP2 4.5 i SSP5 8.5] per al model climàtic MPI-ESM1.

B.1.89 W8 - Blancafort

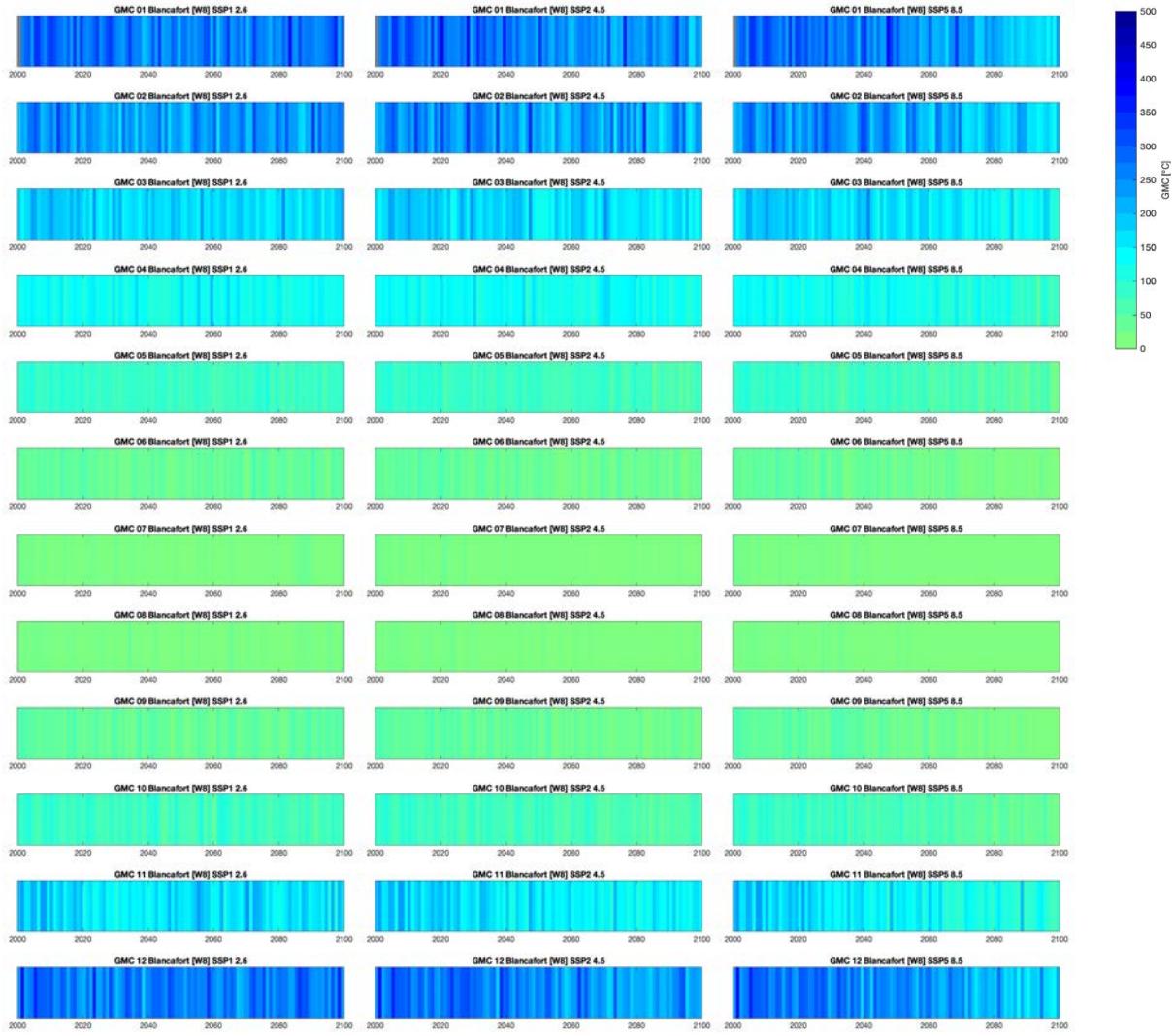

Figura B.349: Evolució dels graus-mes de calefacció (GMC) a l'estació W8- Blancafort, per als diferents escenaris [SSP1 2.6, SSP2 4.5 i SSP5 8.5] per al model climàtic MPI-ESM1.

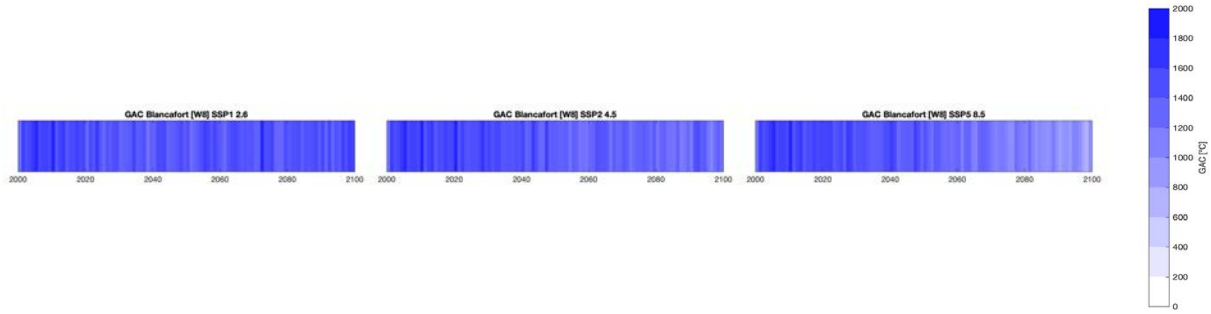

Figura B.350: Evolució dels graus-any de calefacció (GAC) a l'estació W8- Blancafort, per als diferents escenaris [SSP1 2.6, SSP2 4.5 i SSP5 8.5] per al model climàtic MPI-ESM1.

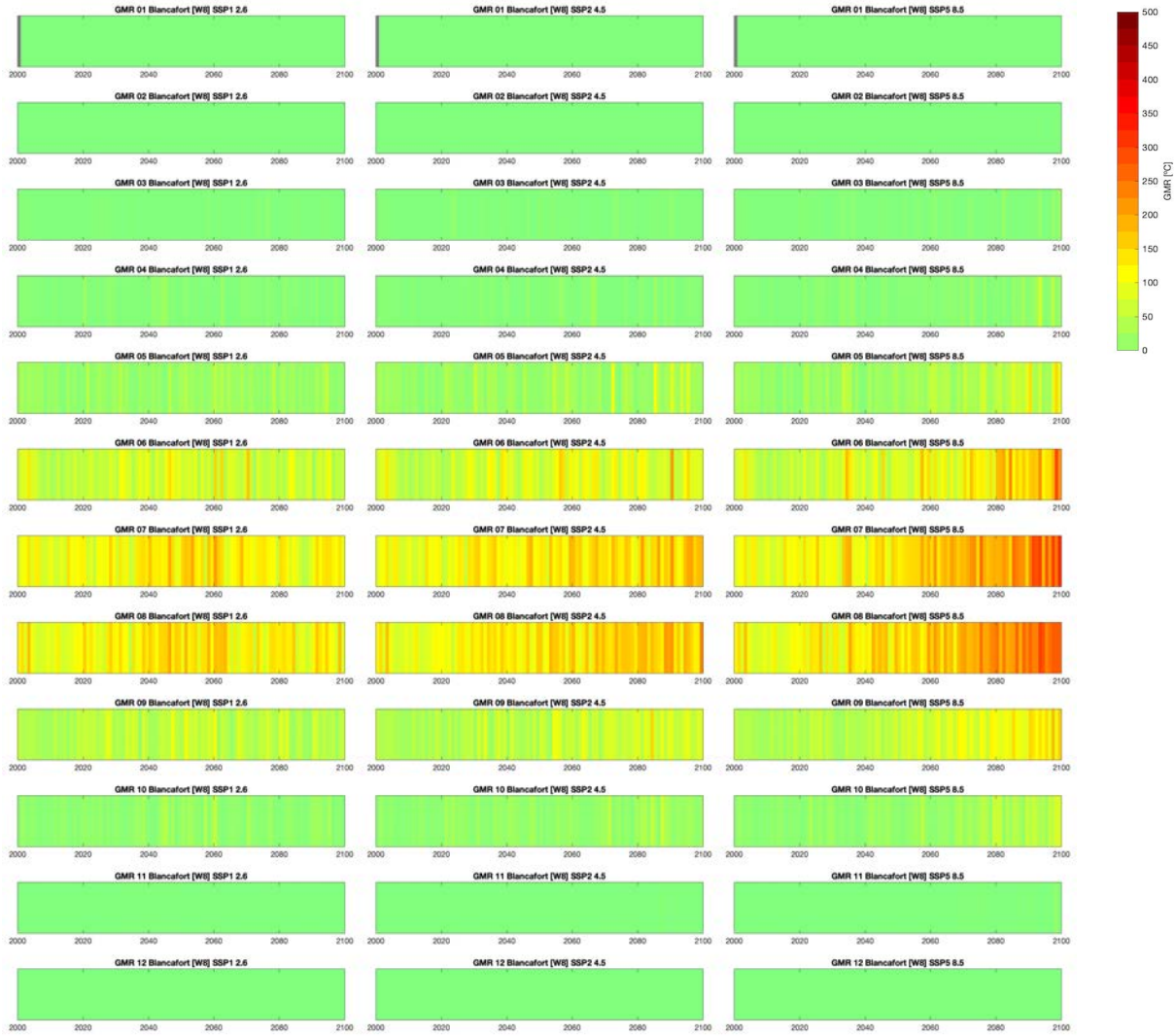

Figura B.351: Evolució dels graus-mes de refrigeració (GMR a l'estació W8- Blancafort, per als diferents escenaris [SSP1 2.6, SSP2 4.5 i SSP5 8.5] per al model climàtic MPI-ESM1.

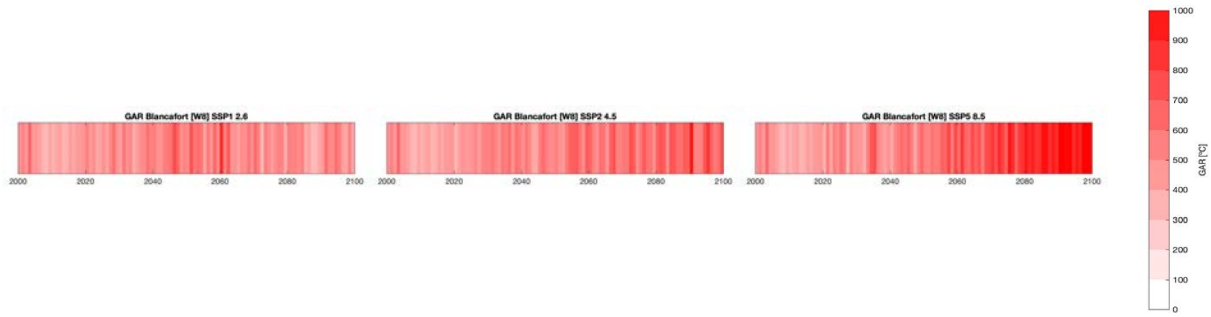

Figura B.352: Evolució dels graus-any de refrigeració (GAR a l'estació W8- Blancafort, per als diferents escenaris [SSP1 2.6, SSP2 4.5 i SSP5 8.5] per al model climàtic MPI-ESM1.

B.1.90 W9 - La Vall d'en Bas

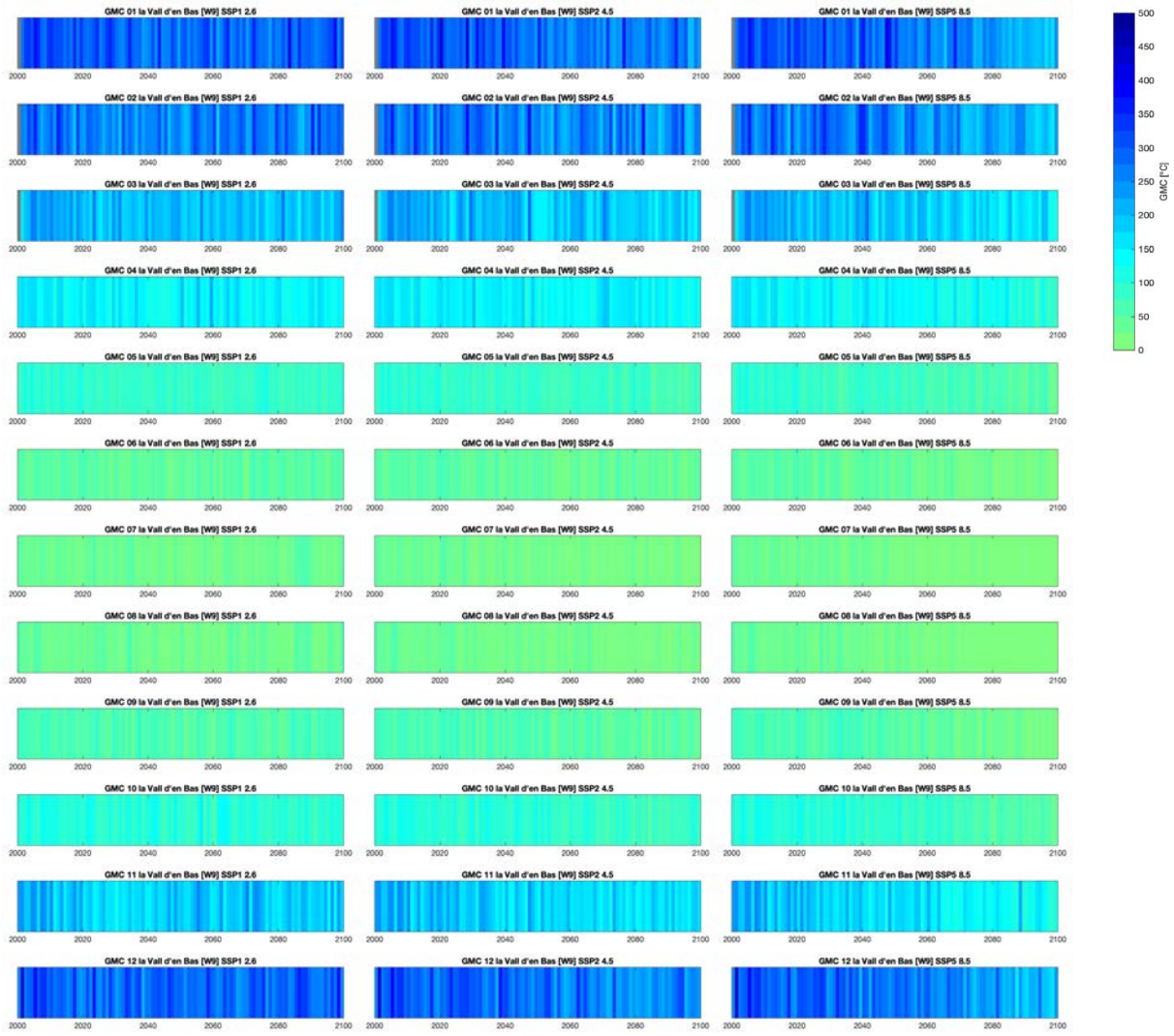

Figura B.353: Evolució dels graus-mes de calefacció (GMC) a l'estació W9- La Vall d'en Bas, per als diferents escenaris [SSP1 2.6, SSP2 4.5 i SSP5 8.5] per al model climàtic MPI-ESM1.

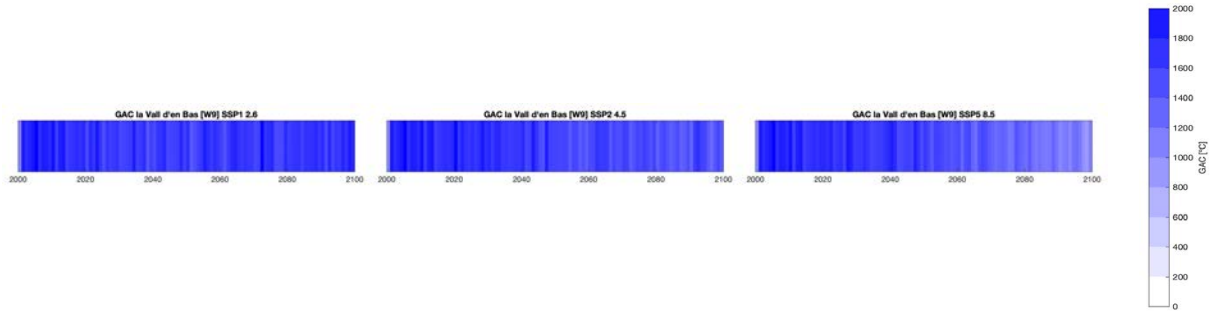

Figura B.354: Evolució dels graus-any de calefacció (GAC) a l'estació W9- La Vall d'en Bas, per als diferents escenaris [SSP1 2.6, SSP2 4.5 i SSP5 8.5] per al model climàtic MPI-ESM1.

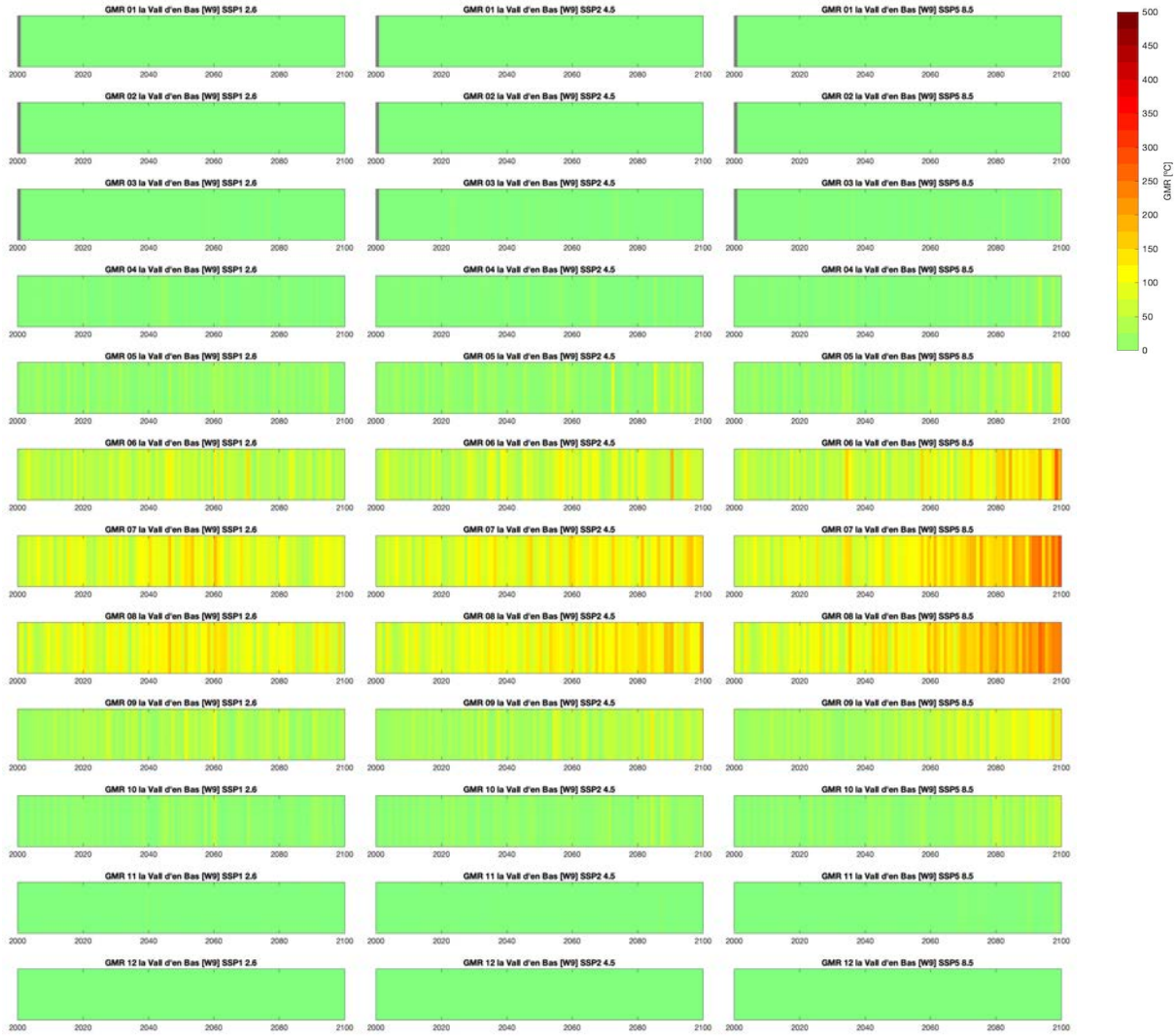

Figura B.355: Evolució dels graus-mes de refrigeració (GMR a l'estació W9- La Vall d'en Bas, per als diferents escenaris [SSP1 2.6, SSP2 4.5 i SSP5 8.5] per al model climàtic MPI-ESM1.

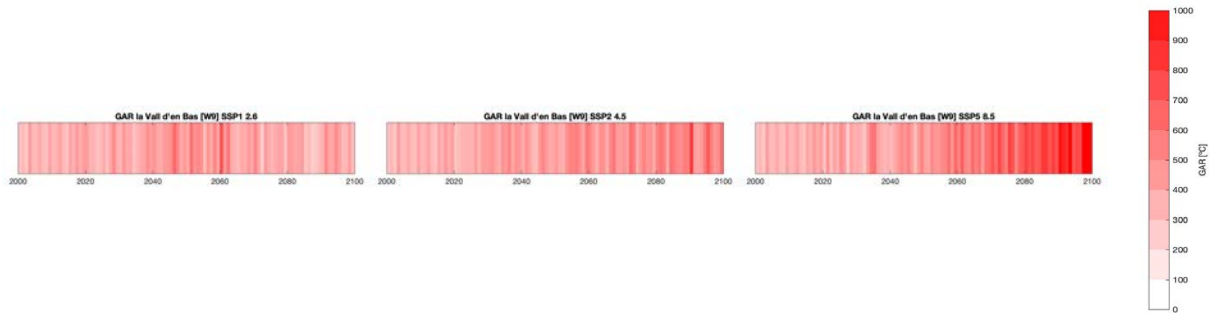

Figura B.356: Evolució dels graus-any de refrigeració (GAR a l'estació W9- La Vall d'en Bas, per als diferents escenaris [SSP1 2.6, SSP2 4.5 i SSP5 8.5] per al model climàtic MPI-ESM1.

B.1.91 WB - Albesa

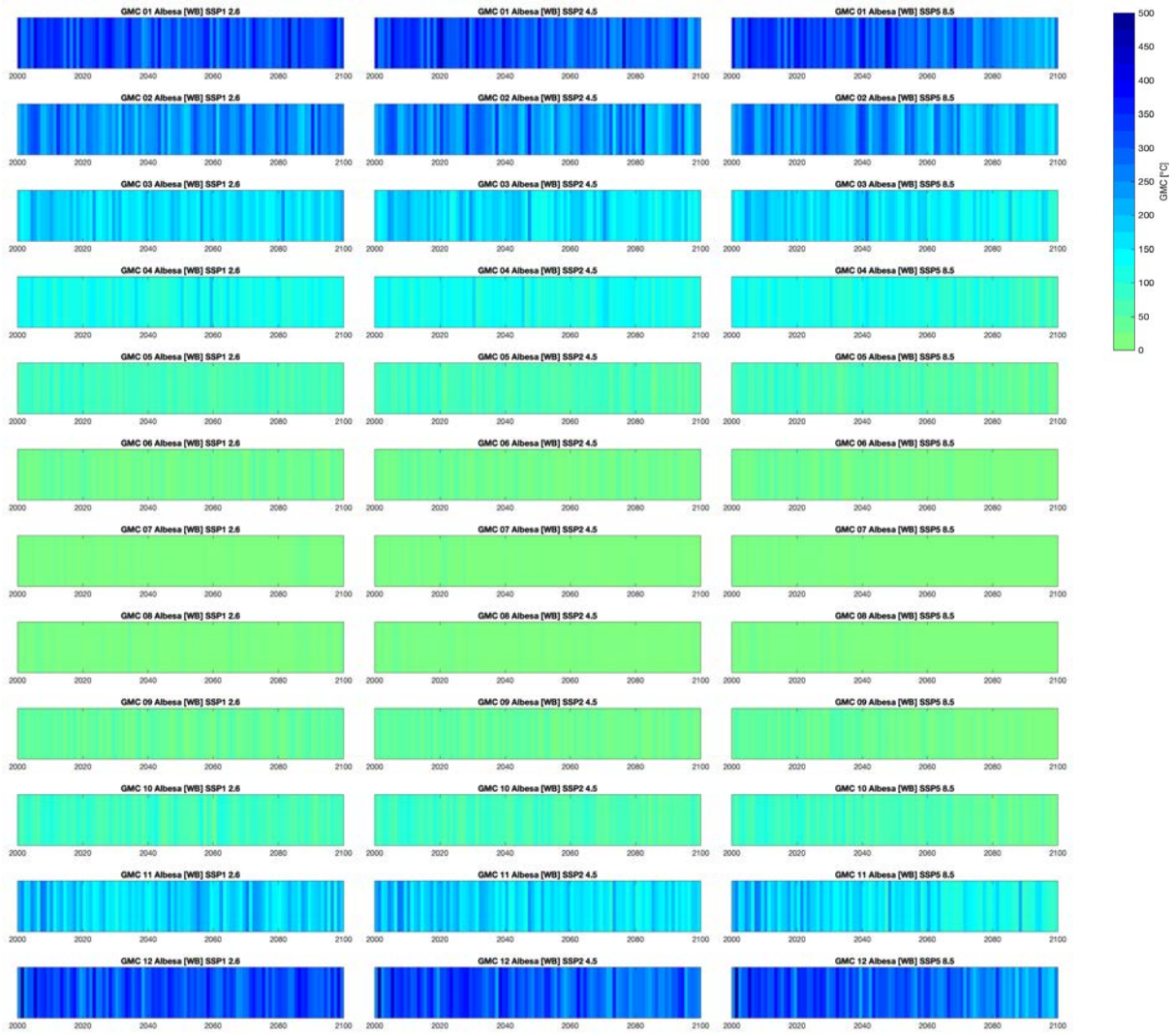

Figura B.357: Evolució dels graus-mes de calefacció (GMC) a l'estació WB- Albesa, per als diferents escenaris [SSP1 2.6, SSP2 4.5 i SSP5 8.5] per al model climàtic MPI-ESM1.

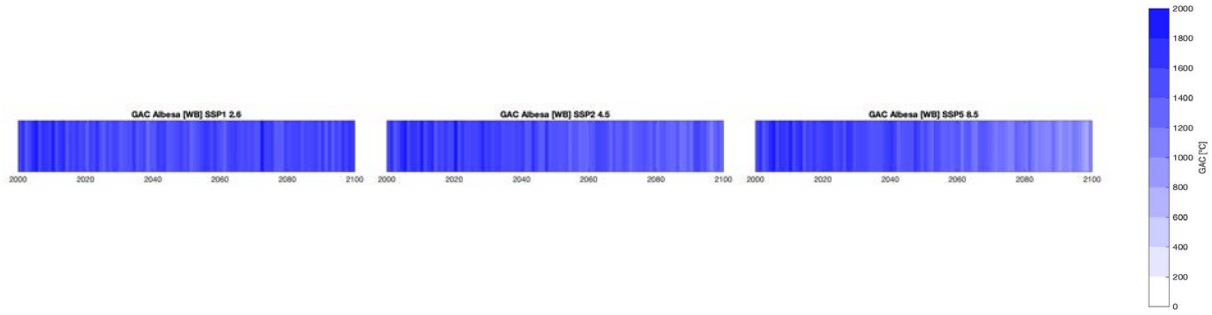

Figura B.358: Evolució dels graus-any de calefacció (GAC) a l'estació WB- Albesa, per als diferents escenaris [SSP1 2.6, SSP2 4.5 i SSP5 8.5] per al model climàtic MPI-ESM1.

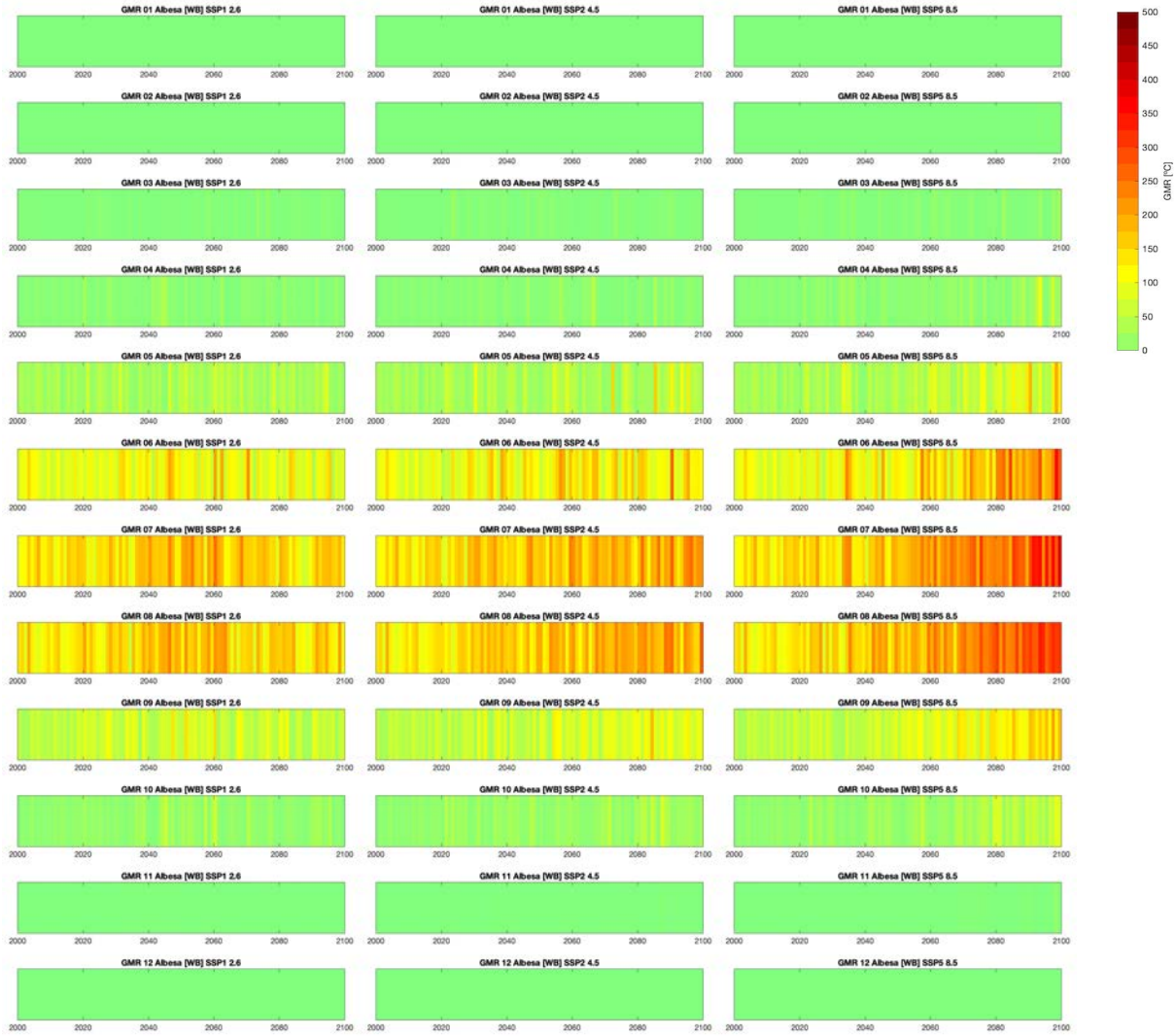

Figura B.359: Evolució dels graus-mes de refrigeració (GMR a l'estació WB- Albesa, per als diferents escenaris [SSP1 2.6, SSP2 4.5 i SSP5 8.5] per al model climàtic MPI-ESM1.

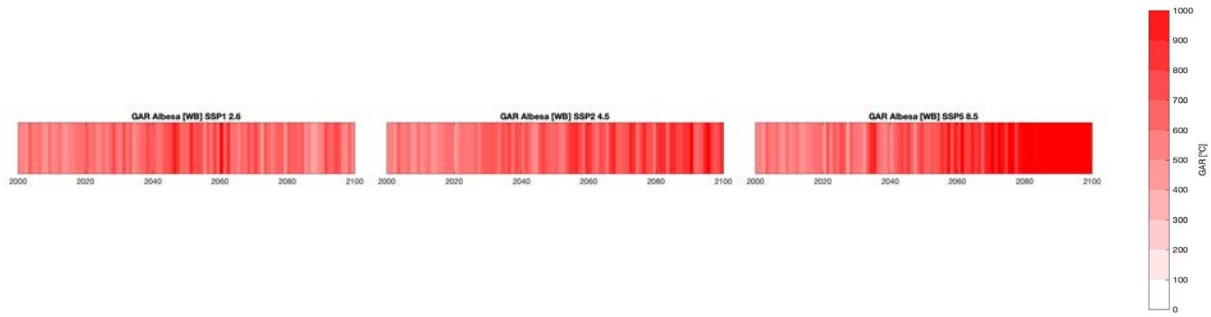

Figura B.360: Evolució dels graus-any de refrigeració (GAR a l'estació WB- Albesa, per als diferents escenaris [SSP1 2.6, SSP2 4.5 i SSP5 8.5] per al model climàtic MPI-ESM1.

B.1.92 WD - Batea

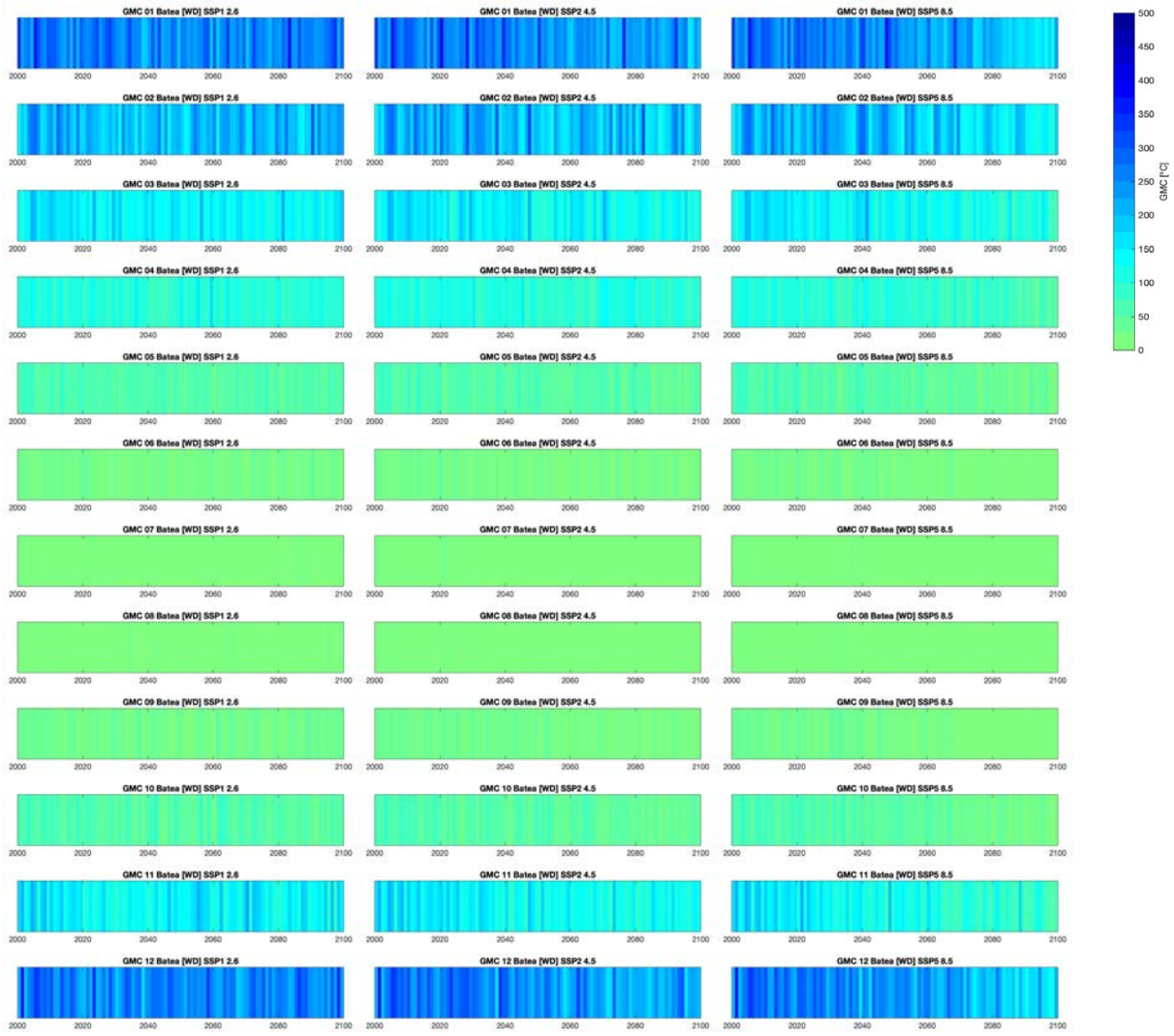

Figura B.361: Evolució dels graus-mes de calefacció (GMC) a l'estació WD- Batea, per als diferents escenaris [SSP1 2.6, SSP2 4.5 i SSP5 8.5] per al model climàtic MPI-ESM1.

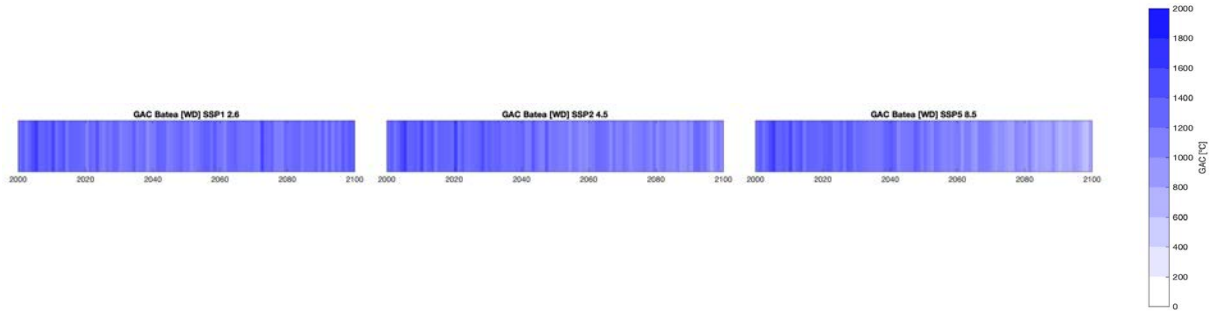

Figura B.362: Evolució dels graus-any de calefacció (GAC) a l'estació WD- Batea, per als diferents escenaris [SSP1 2.6, SSP2 4.5 i SSP5 8.5] per al model climàtic MPI-ESM1.

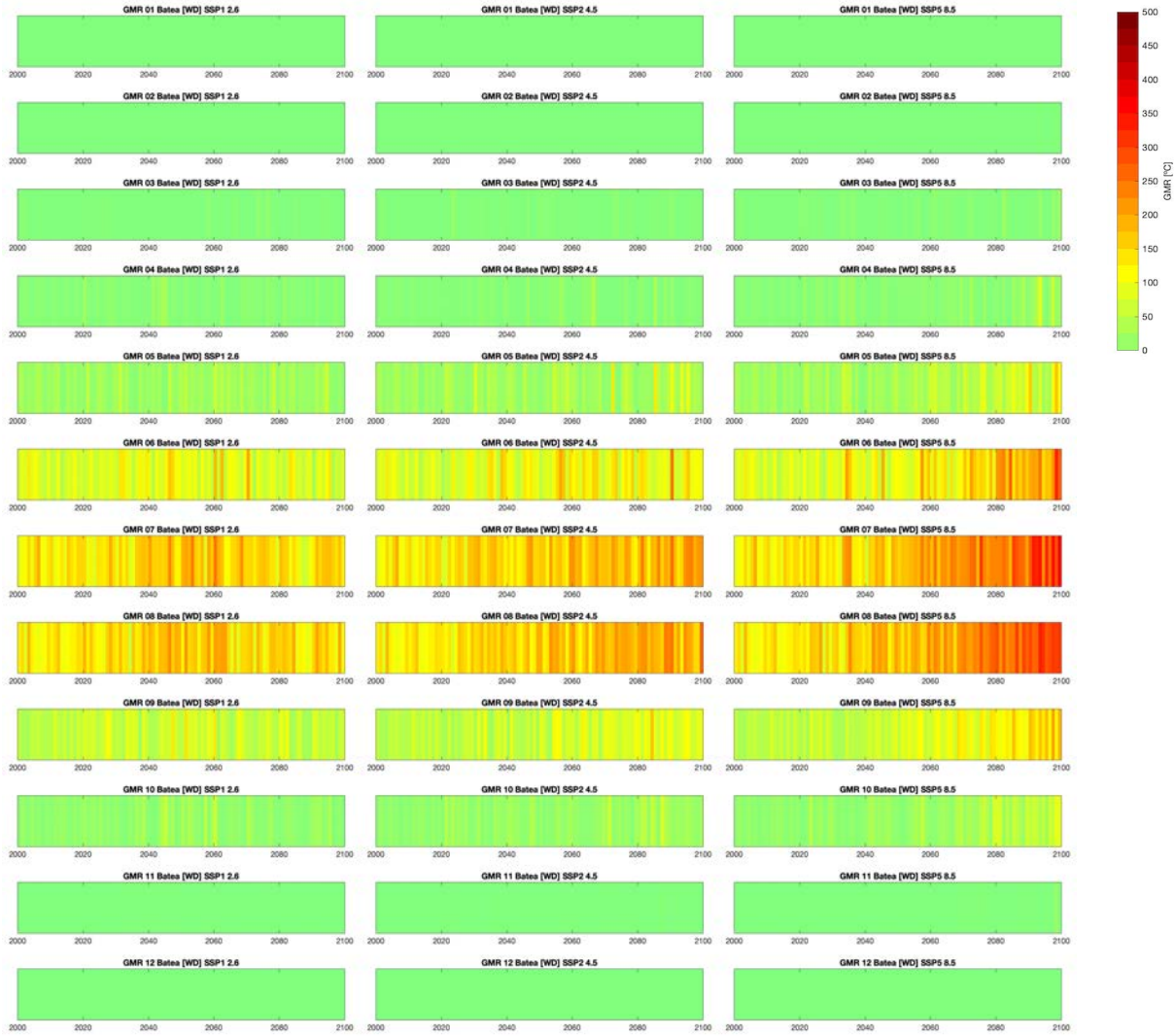

Figura B.363: Evolució dels graus-mes de refrigeració (GMR a l'estació WD- Batea, per als diferents escenaris [SSP1 2.6, SSP2 4.5 i SSP5 8.5] per al model climàtic MPI-ESM1.

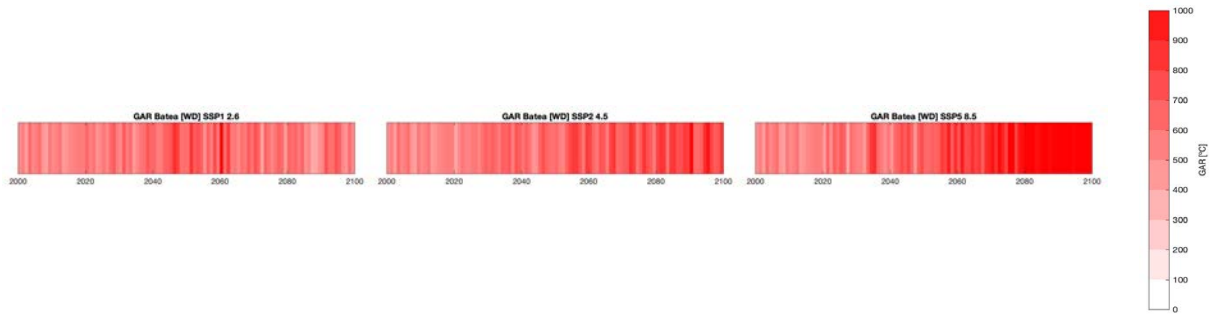

Figura B.364: Evolució dels graus-any de refrigeració (GAR a l'estació WD- Batea, per als diferents escenaris [SSP1 2.6, SSP2 4.5 i SSP5 8.5] per al model climàtic MPI-ESM1.

B.1.93 WE - Vilanova del Vallès

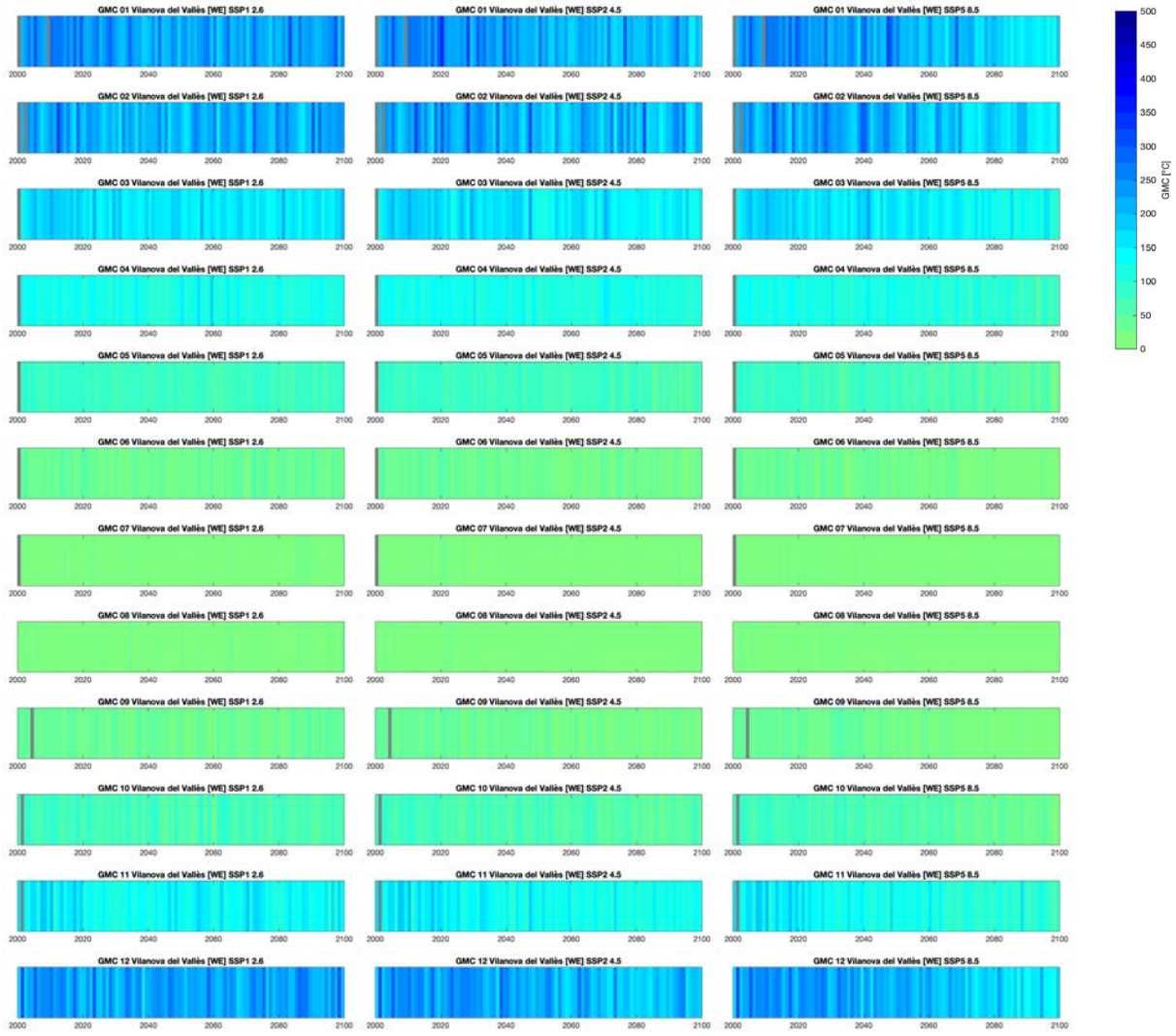

Figura B.365: Evolució dels graus-mes de calefacció (GMC) a l'estació WE- Vilanova del Vallès, per als diferents escenaris [SSP1 2.6, SSP2 4.5 i SSP5 8.5] per al model climàtic MPI-ESM1.

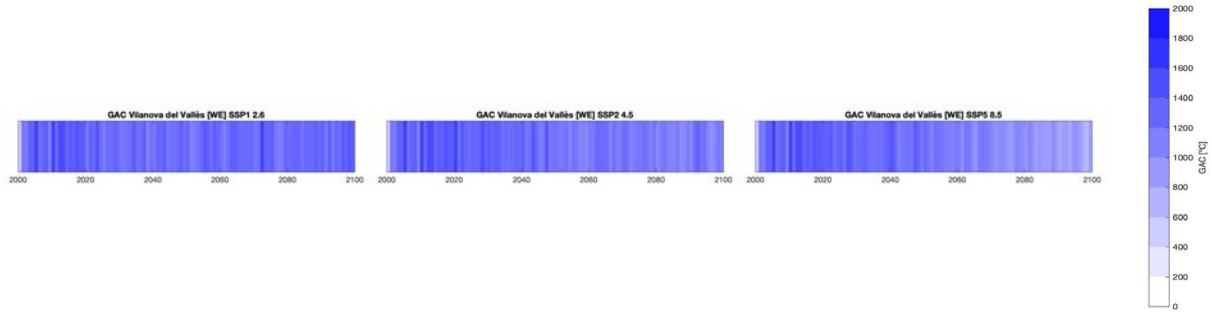

Figura B.366: Evolució dels graus-any de calefacció (GAC) a l'estació WE- Vilanova del Vallès, per als diferents escenaris [SSP1 2.6, SSP2 4.5 i SSP5 8.5] per al model climàtic MPI-ESM1.

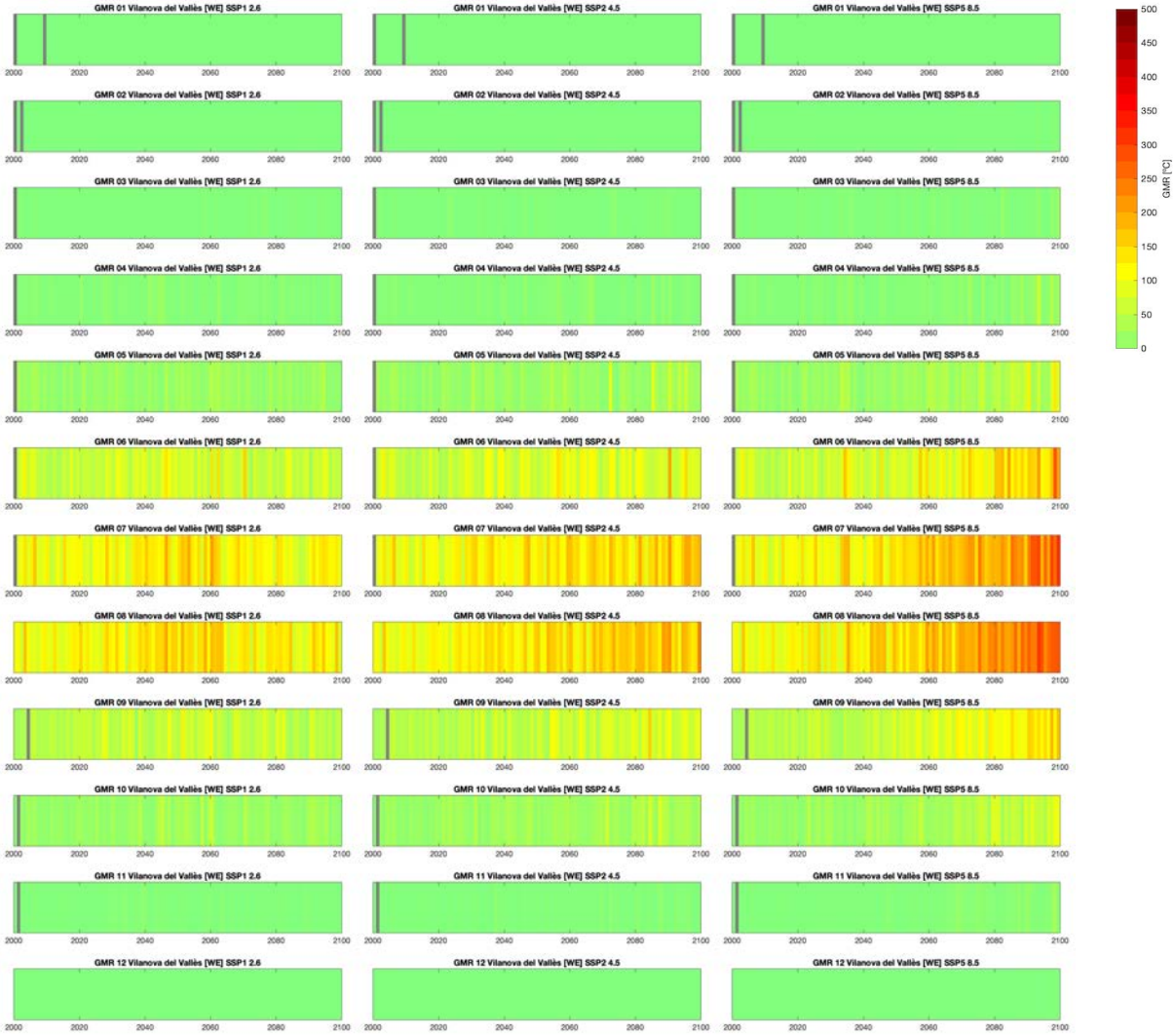

Figura B.367: Evolució dels graus-mes de refrigeració (GMR a l'estació WE- Vilanova del Vallès, per als diferents escenaris [SSP1 2.6, SSP2 4.5 i SSP5 8.5] per al model climàtic MPI-ESM1.

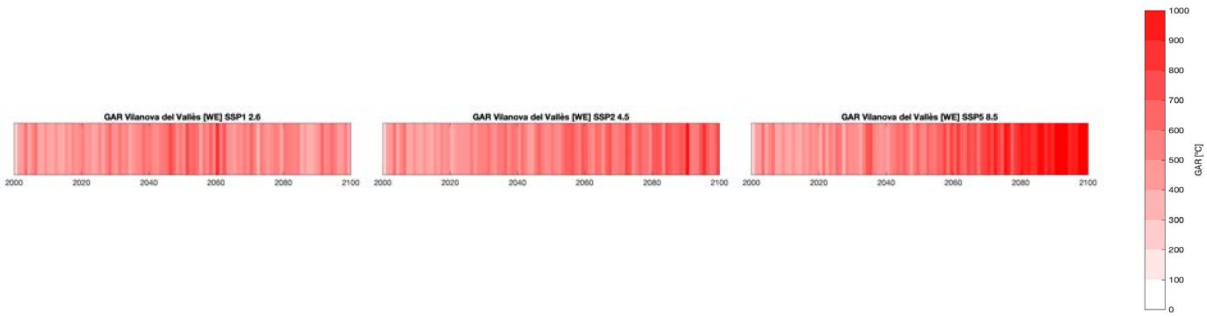

Figura B.368: Evolució dels graus-any de refrigeració (GAR a l'estació WE- Vilanova del Vallès, per als diferents escenaris [SSP1 2.6, SSP2 4.5 i SSP5 8.5] per al model climàtic MPI-ESM1.

B.1.94 WI - Maials

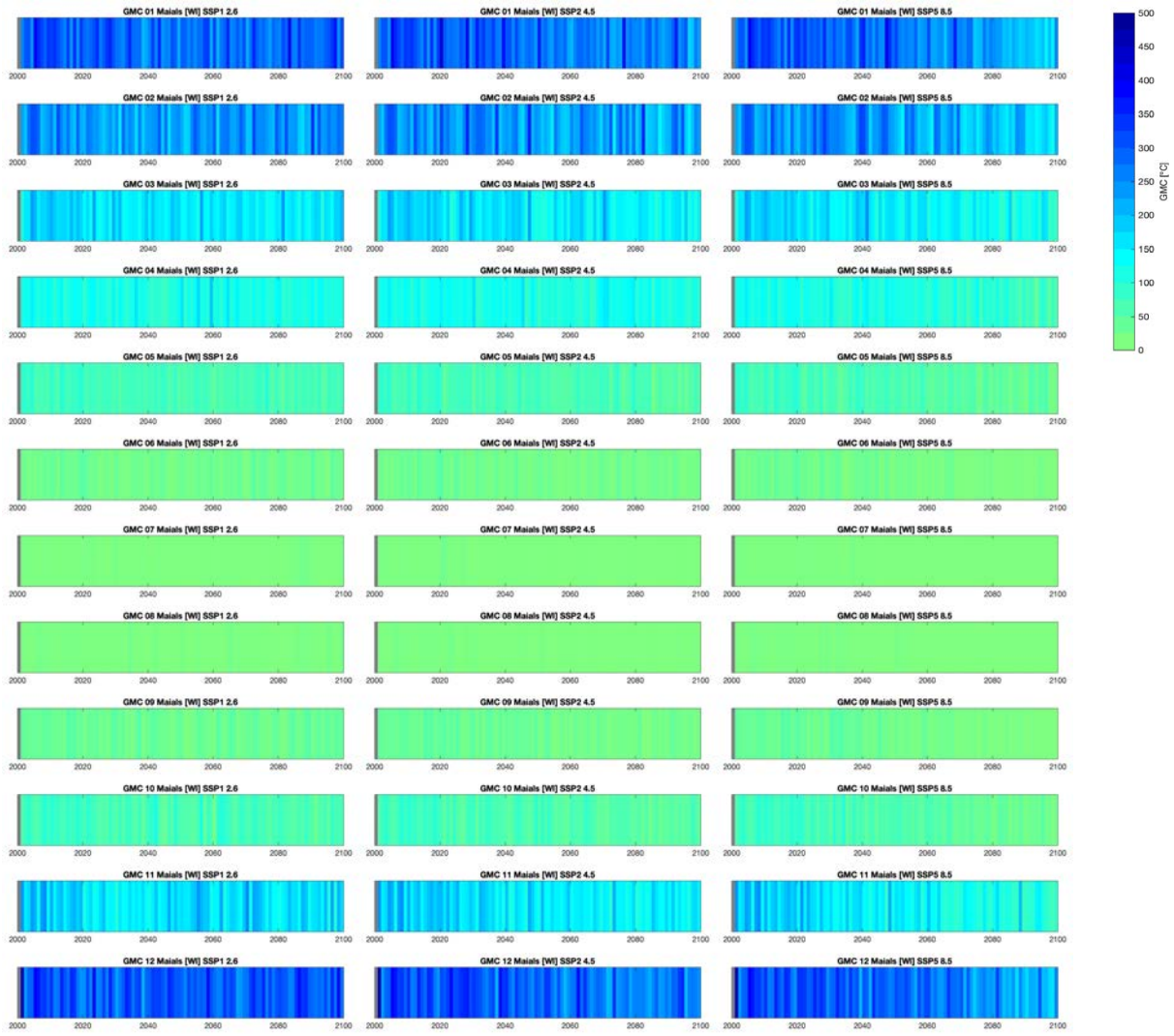

Figura B.369: Evolució dels graus-mes de calefacció (GMC) a l'estació WI- Maials, per als diferents escenaris [SSP1 2.6, SSP2 4.5 i SSP5 8.5] per al model climàtic MPI-ESM1.

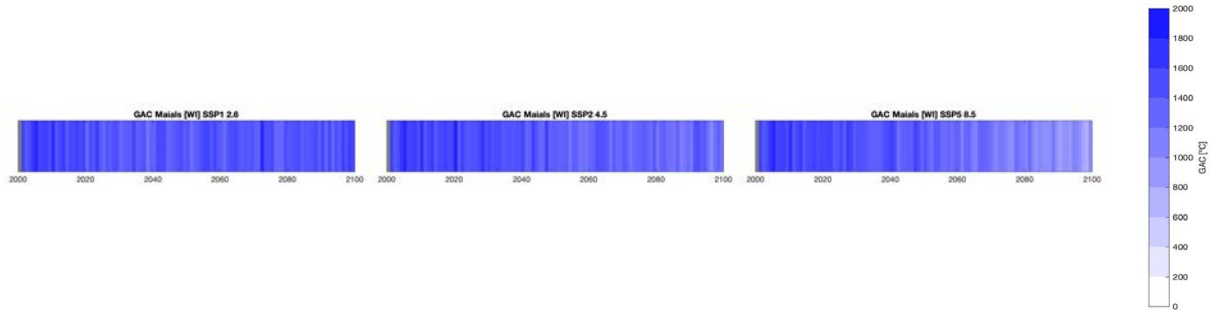

Figura B.370: Evolució dels graus-any de calefacció (GAC) a l'estació WI- Maials, per als diferents escenaris [SSP1 2.6, SSP2 4.5 i SSP5 8.5] per al model climàtic MPI-ESM1.

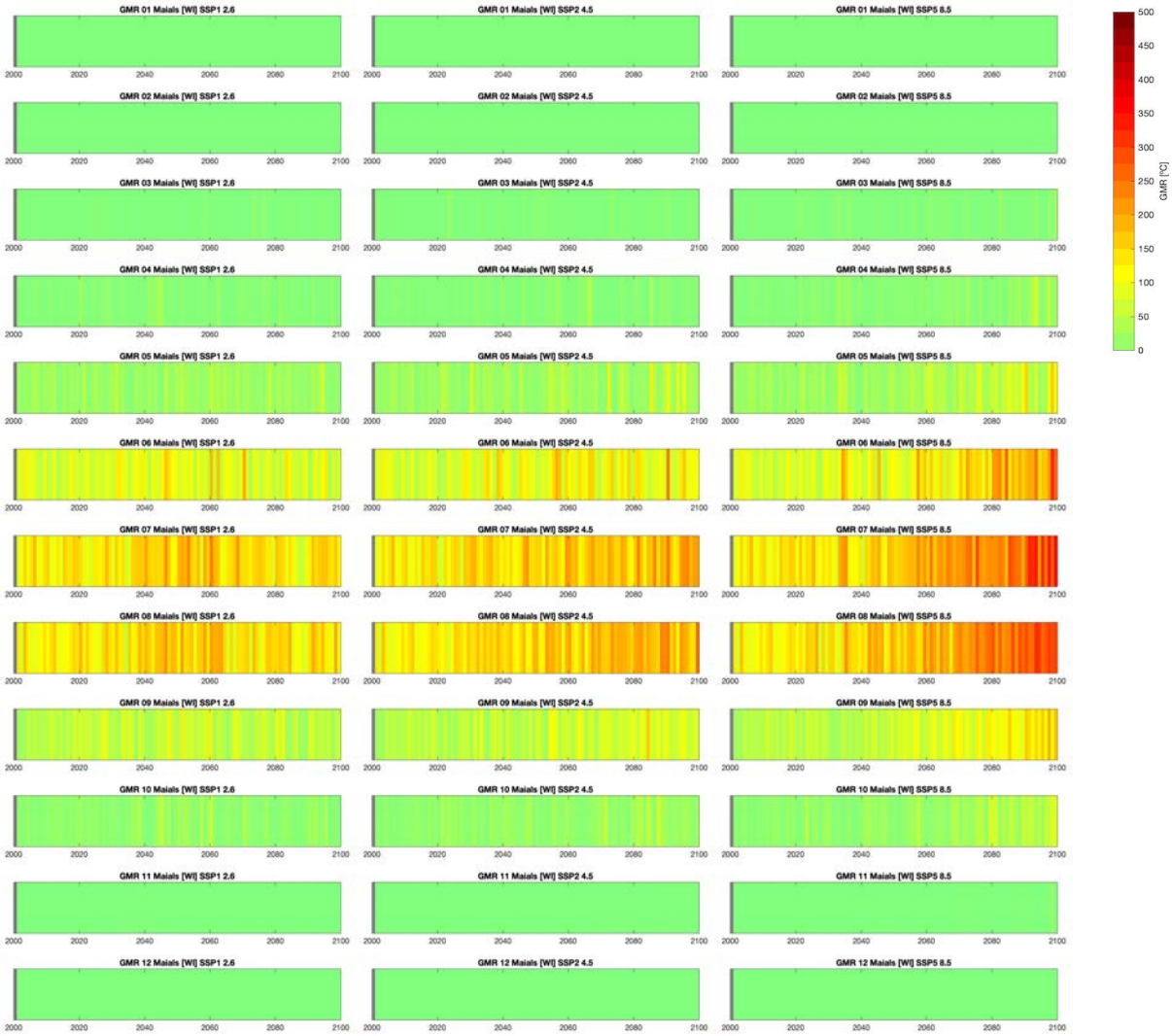

Figura B.371: Evolució dels graus-mes de refrigeració (GMR a l'estació WI- Maials, per als diferents escenaris [SSP1 2.6, SSP2 4.5 i SSP5 8.5] per al model climàtic MPI-ESM1.

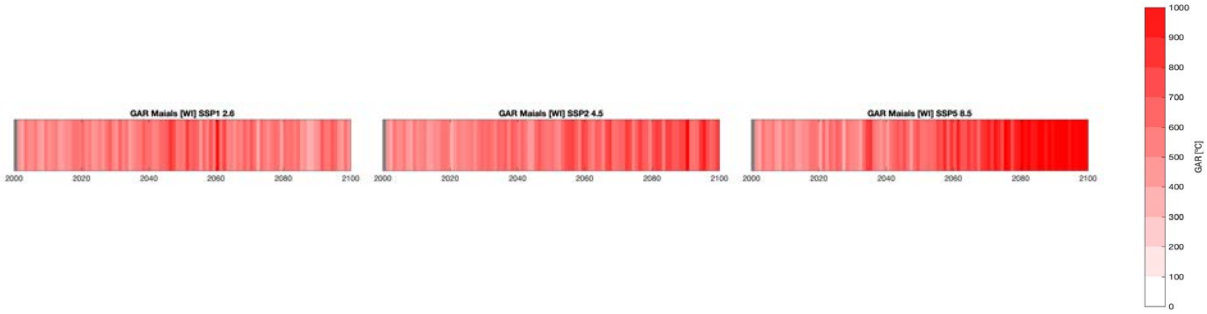

Figura B.372: Evolució dels graus-any de refrigeració (GAR a l'estació WI- Maials, per als diferents escenaris [SSP1 2.6, SSP2 4.5 i SSP5 8.5] per al model climàtic MPI-ESM1.

B.1.95 WJ - El Masroig

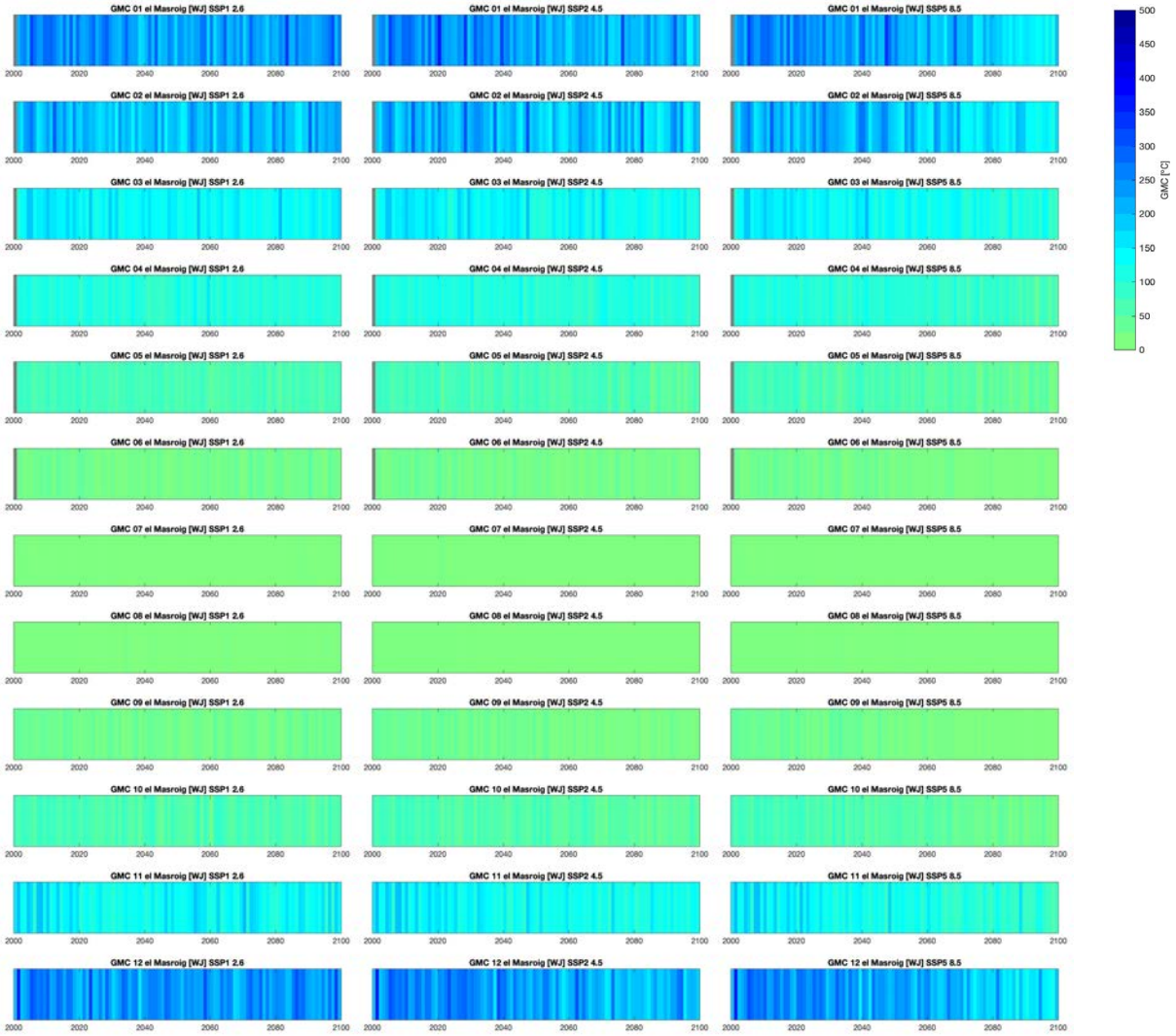

Figura B.373: Evolució dels graus-mes de calefacció (GMC) a l'estació WJ- El Masroig, per als diferents escenaris [SSP1 2.6, SSP2 4.5 i SSP5 8.5] per al model climàtic MPI-ESM1.

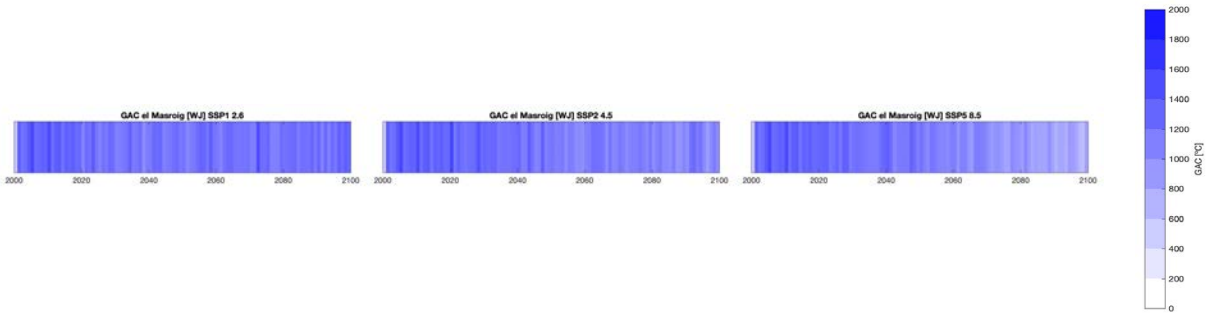

Figura B.374: Evolució dels graus-any de calefacció (GAC) a l'estació WJ- El Masroig, per als diferents escenaris [SSP1 2.6, SSP2 4.5 i SSP5 8.5] per al model climàtic MPI-ESM1.

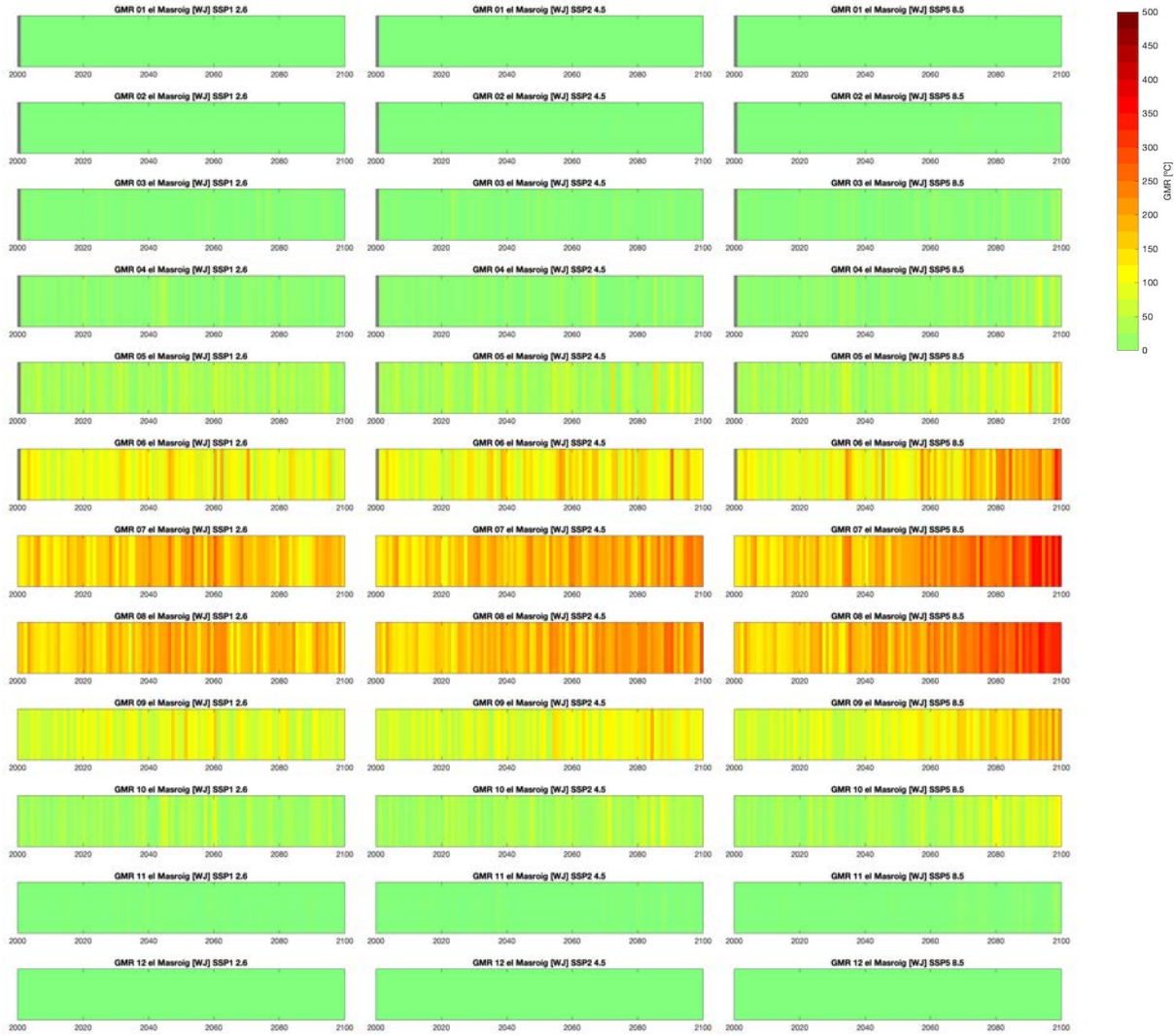

Figura B.375: Evolució dels graus-mes de refrigeració (GMR a l'estació WJ- El Masroig, per als diferents escenaris [SSP1 2.6, SSP2 4.5 i SSP5 8.5] per al model climàtic MPI-ESM1.

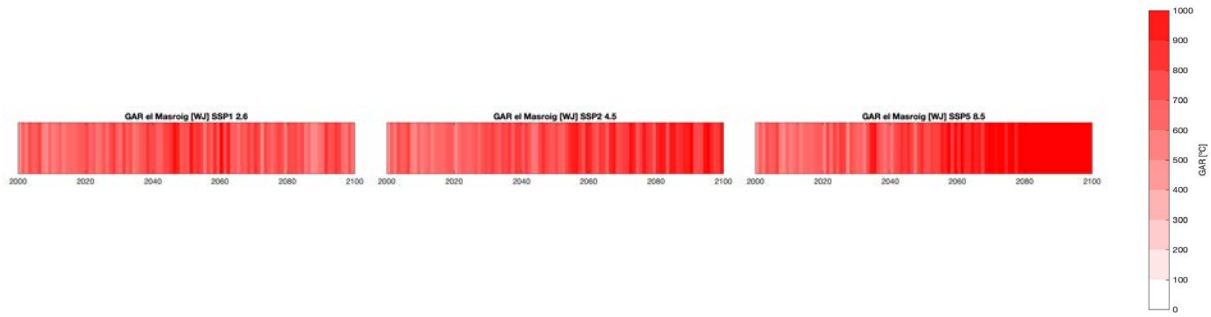

Figura B.376: Evolució dels graus-any de refrigeració (GAR a l'estació WJ- El Masroig, per als diferents escenaris [SSP1 2.6, SSP2 4.5 i SSP5 8.5] per al model climàtic MPI-ESM1.

B.1.96 WK - Alfarràs

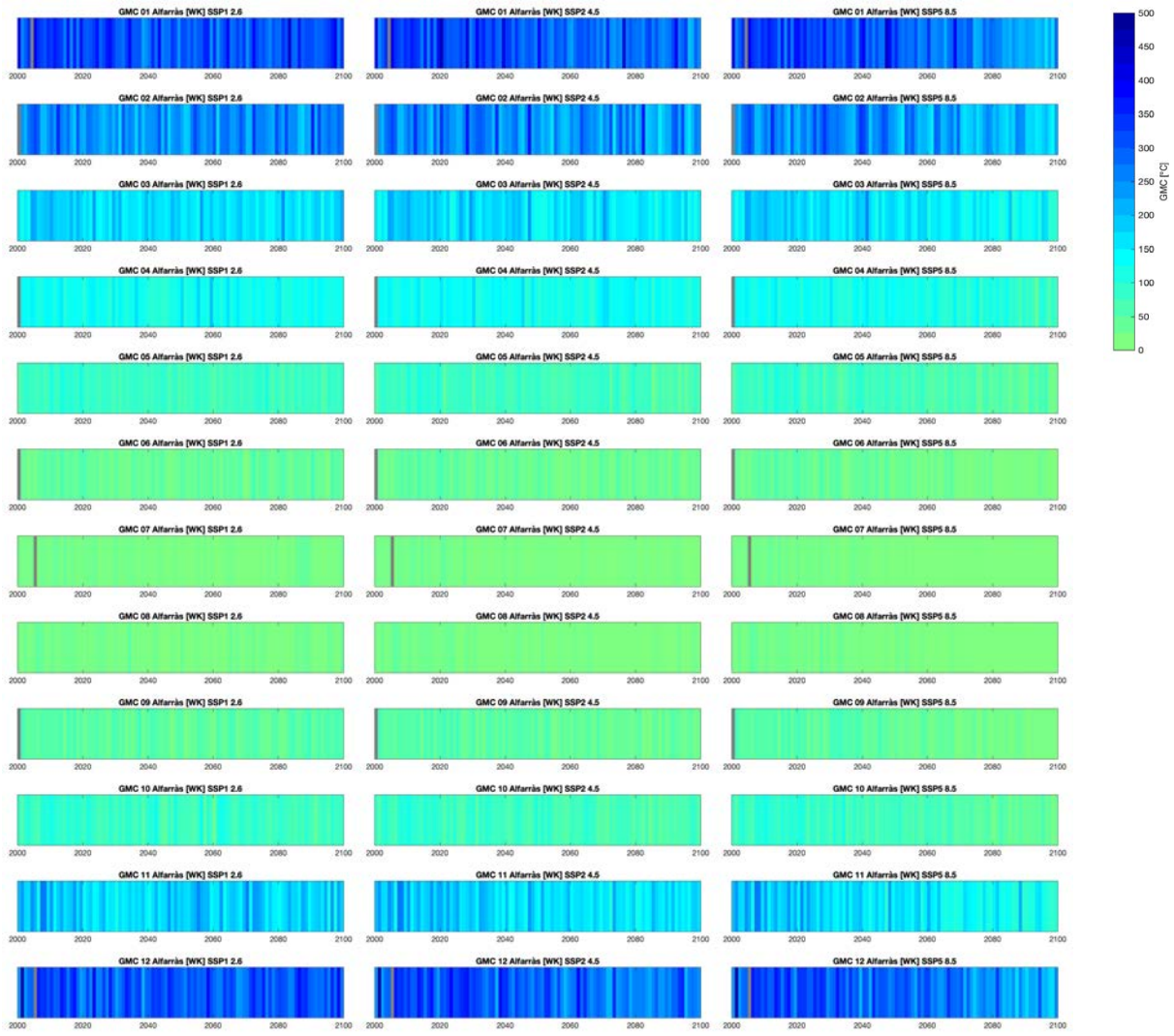

Figura B.377: Evolució dels graus-mes de calefacció (GMC) a l'estació WK- Alfarràs, per als diferents escenaris [SSP1 2.6, SSP2 4.5 i SSP5 8.5] per al model climàtic MPI-ESM1.

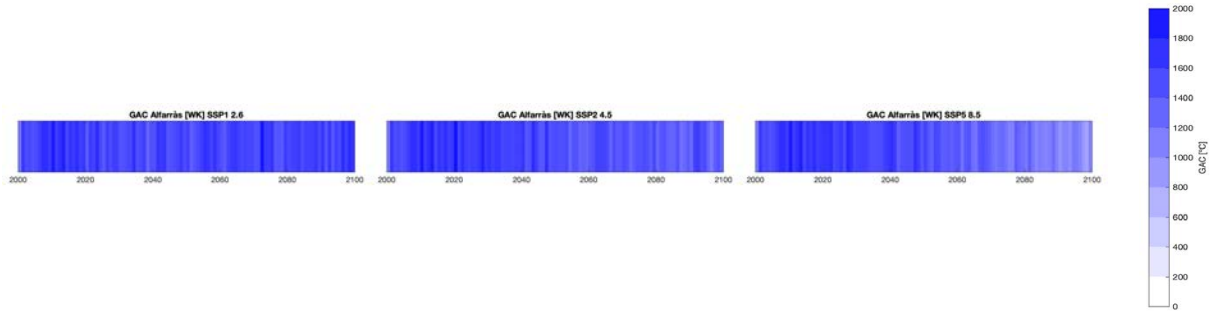

Figura B.378: Evolució dels graus-any de calefacció (GAC) a l'estació WK- Alfarràs, per als diferents escenaris [SSP1 2.6, SSP2 4.5 i SSP5 8.5] per al model climàtic MPI-ESM1.

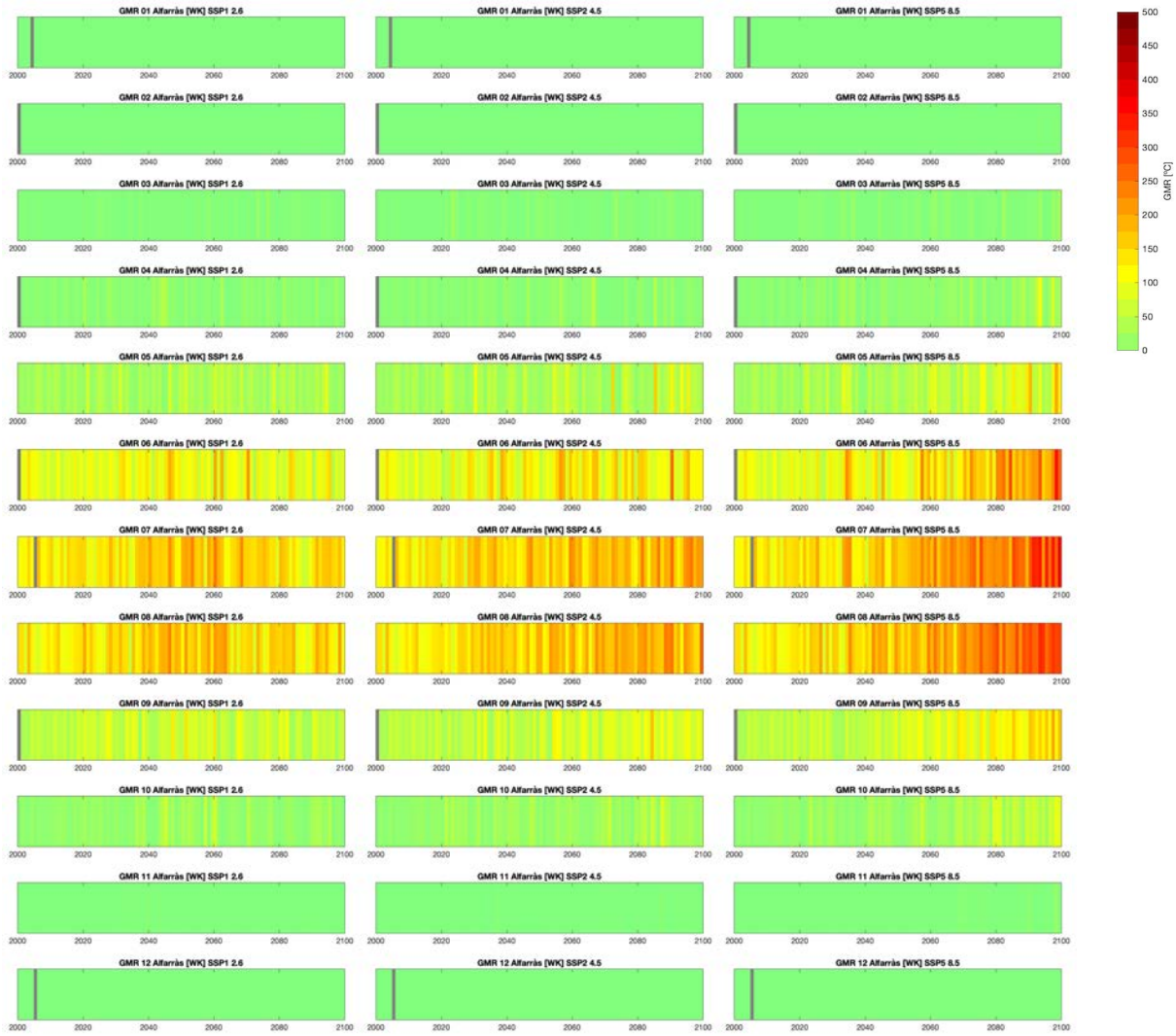

Figura B.379: Evolució dels graus-mes de refrigeració (GMR a l'estació WK- Alfarràs, per als diferents escenaris [SSP1 2.6, SSP2 4.5 i SSP5 8.5] per al model climàtic MPI-ESM1.

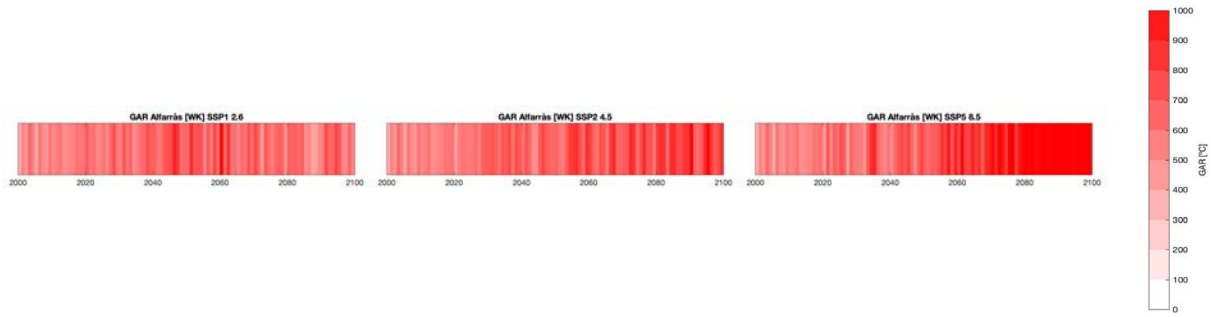

Figura B.380: Evolució dels graus-any de refrigeració (GAR a l'estació WK- Alfarràs, per als diferents escenaris [SSP1 2.6, SSP2 4.5 i SSP5 8.5] per al model climàtic MPI-ESM1.

B.1.97 Z1 - Bonaigua (2.266 m)

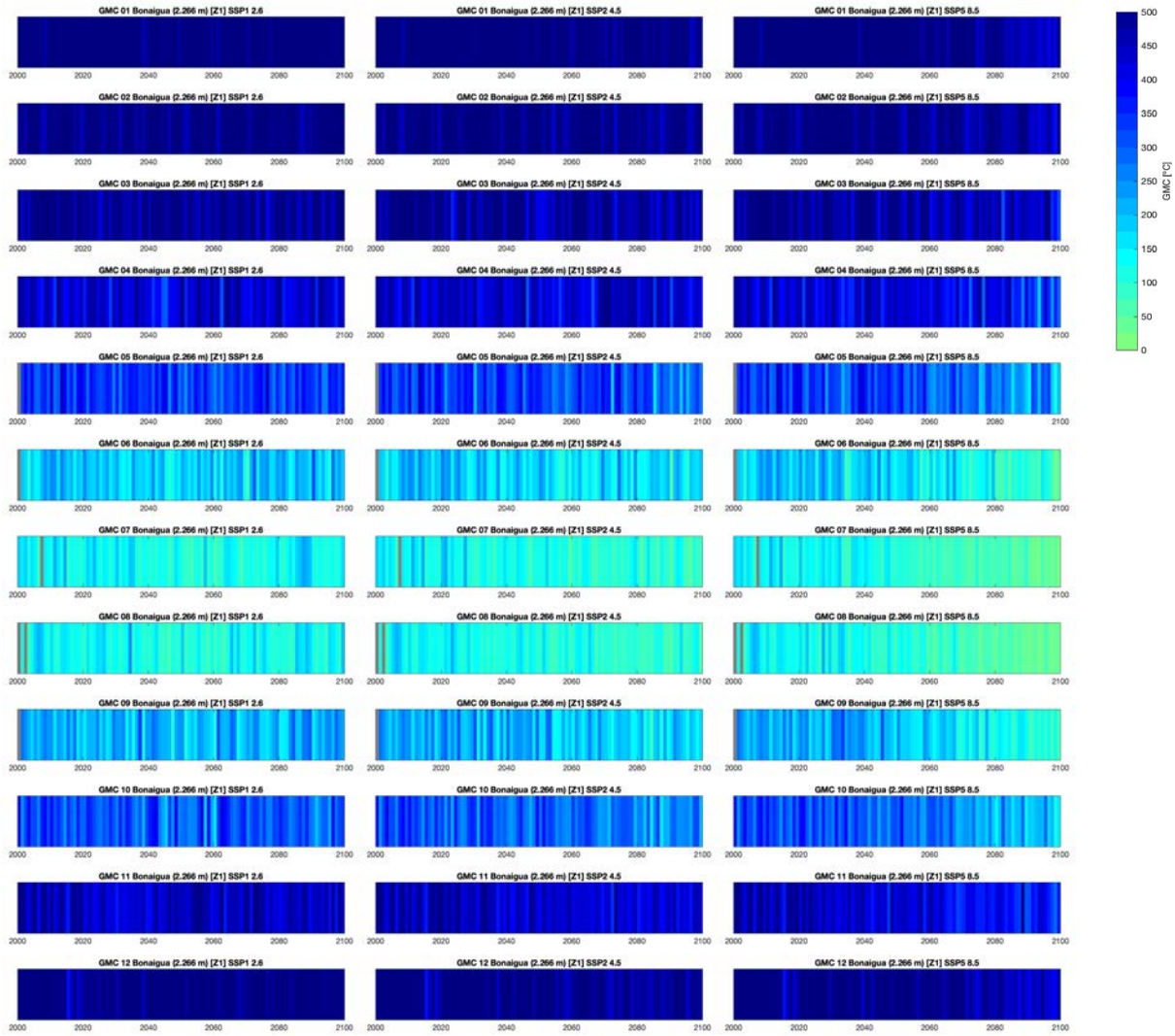

Figura B.381: Evolució dels graus-mes de calefacció (GMC) a l'estació Z1- Bonaigua (2.266 m), per als diferents escenaris [SSP1 2.6, SSP2 4.5 i SSP5 8.5] per al model climàtic MPI-ESM1.

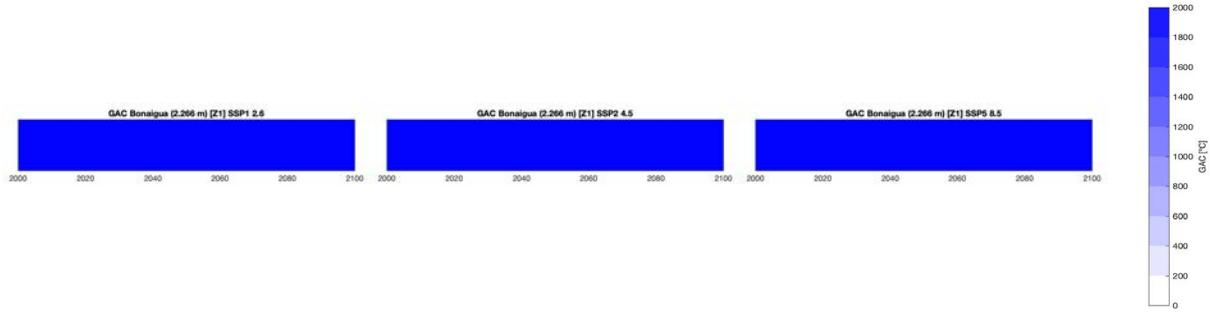

Figura B.382: Evolució dels graus-any de calefacció (GAC) a l'estació Z1- Bonaigua (2.266 m), per als diferents escenaris [SSP1 2.6, SSP2 4.5 i SSP5 8.5] per al model climàtic MPI-ESM1.

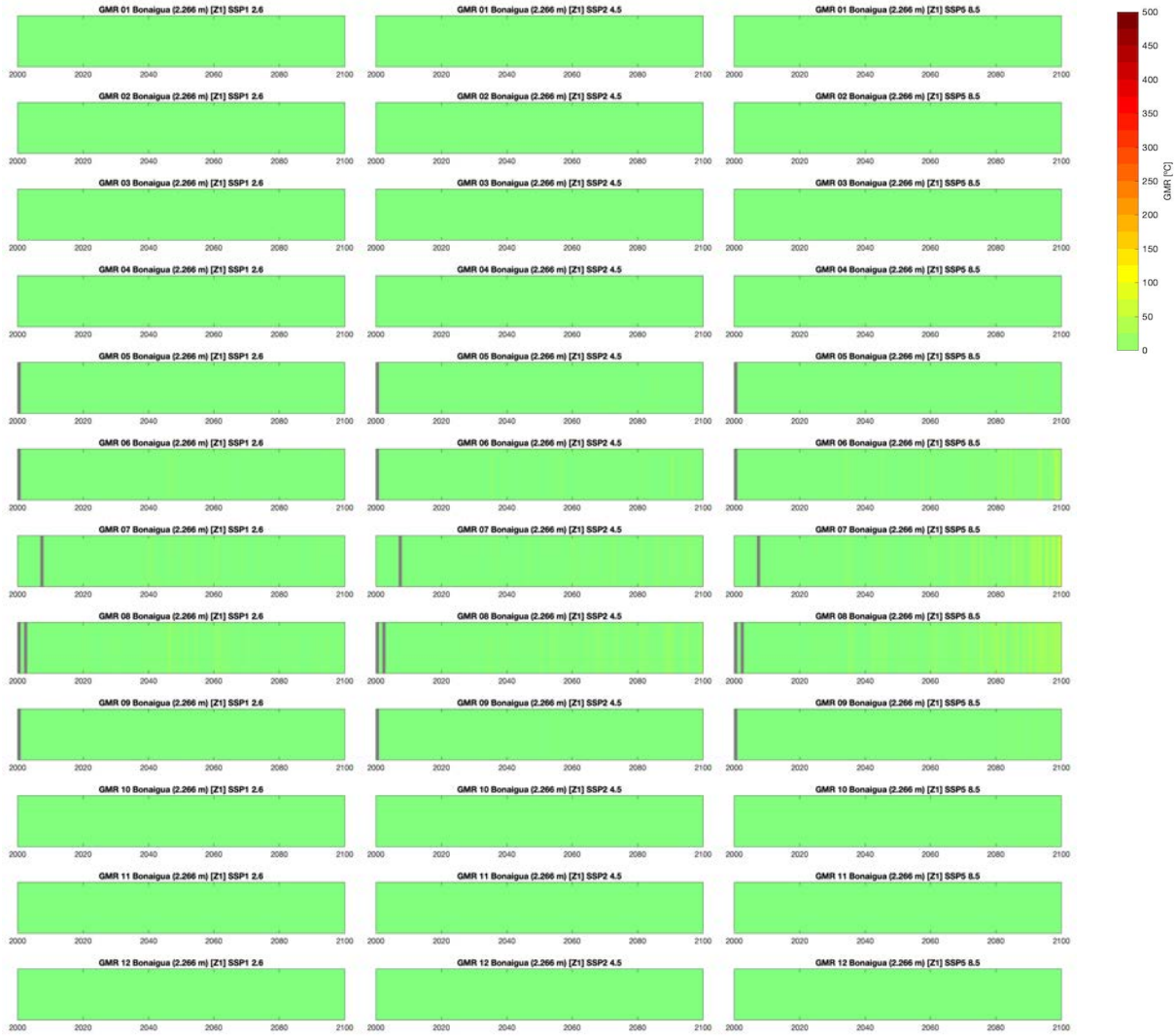

Figura B.383: Evolució dels graus-mes de refrigeració (GMR a l'estació Z1- Bonaigua (2.266 m), per als diferents escenaris [SSP1 2.6, SSP2 4.5 i SSP5 8.5] per al model climàtic MPI-ESM1.

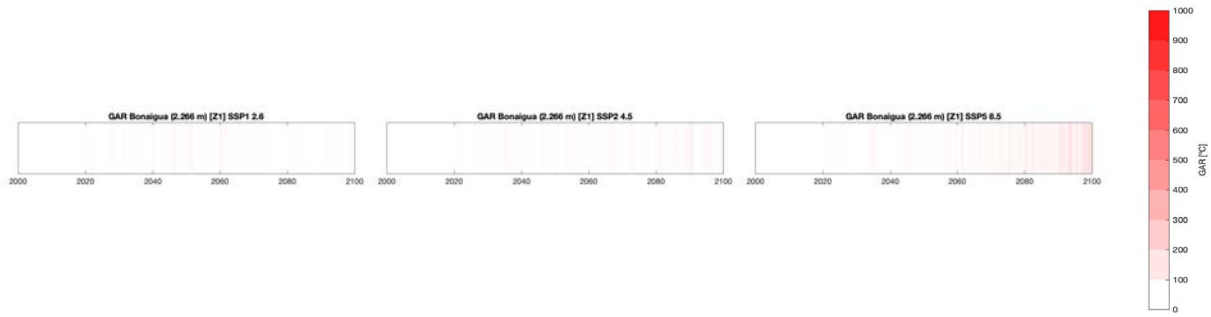

Figura B.384: Evolució dels graus-any de refrigeració (GAR a l'estació Z1- Bonaigua (2.266 m), per als diferents escenaris [SSP1 2.6, SSP2 4.5 i SSP5 8.5] per al model climàtic MPI-ESM1.

B.1.98 Z2 - Boí (2.535 m)

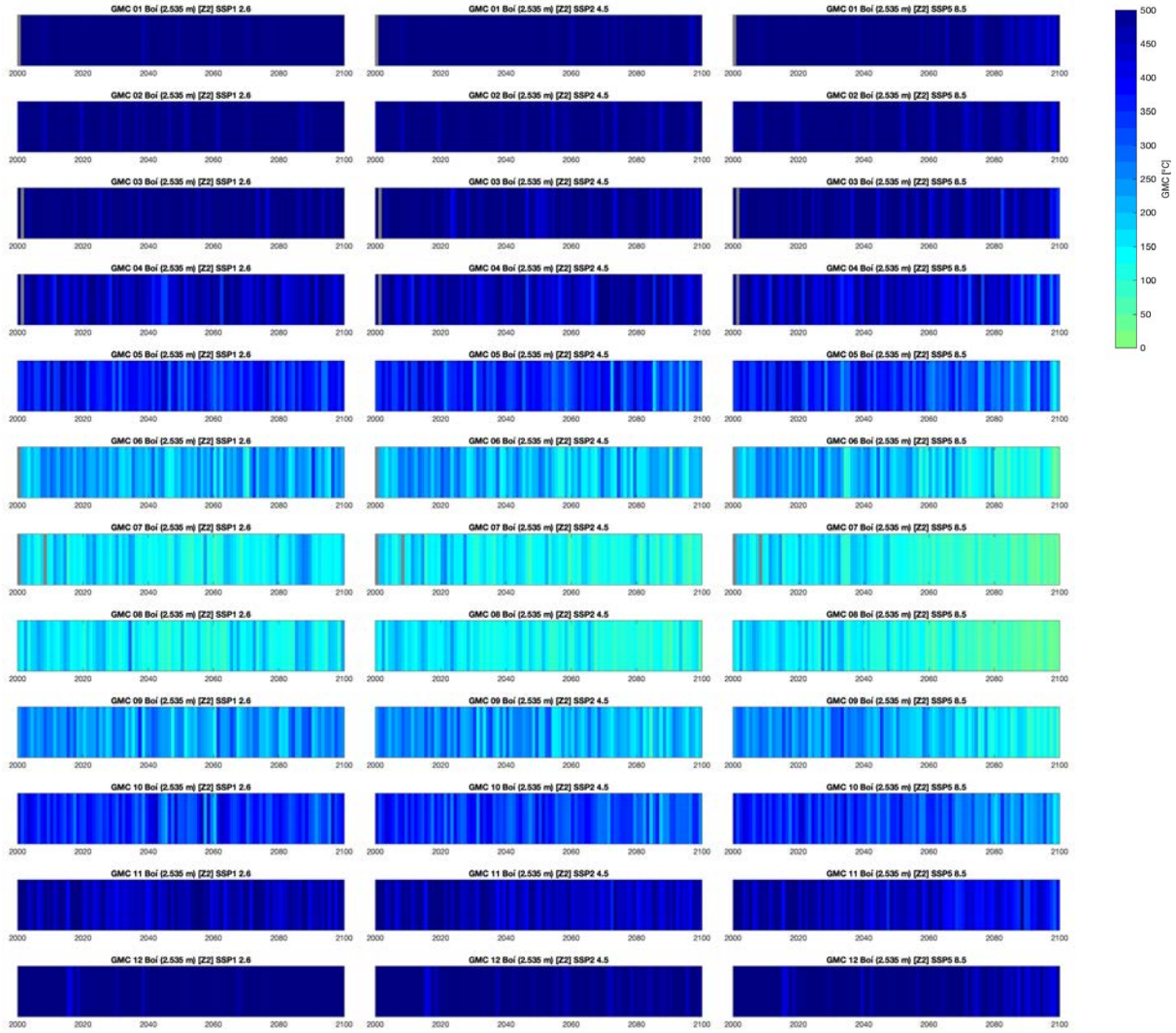

Figura B.385: Evolució dels graus-mes de calefacció (GMC) a l'estació Z2- Boí (2.535 m), per als diferents escenaris [SSP1 2.6, SSP2 4.5 i SSP5 8.5] per al model climàtic MPI-ESM1.

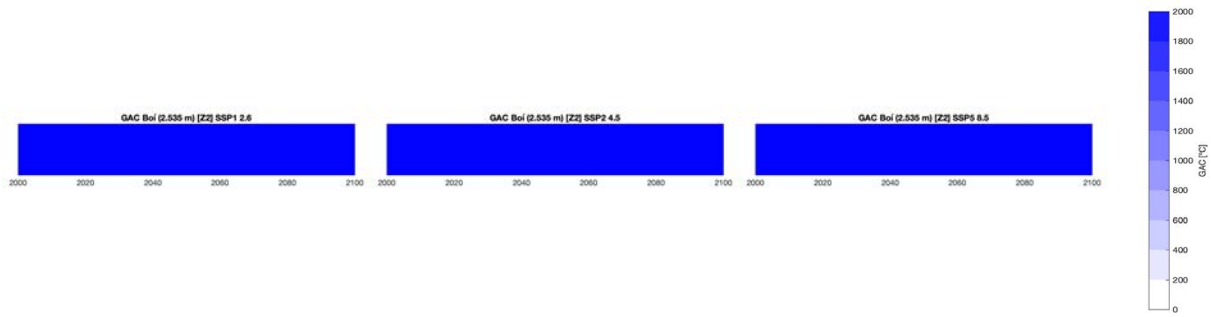

Figura B.386: Evolució dels graus-any de calefacció (GAC) a l'estació Z2- Boí (2.535 m), per als diferents escenaris [SSP1 2.6, SSP2 4.5 i SSP5 8.5] per al model climàtic MPI-ESM1.

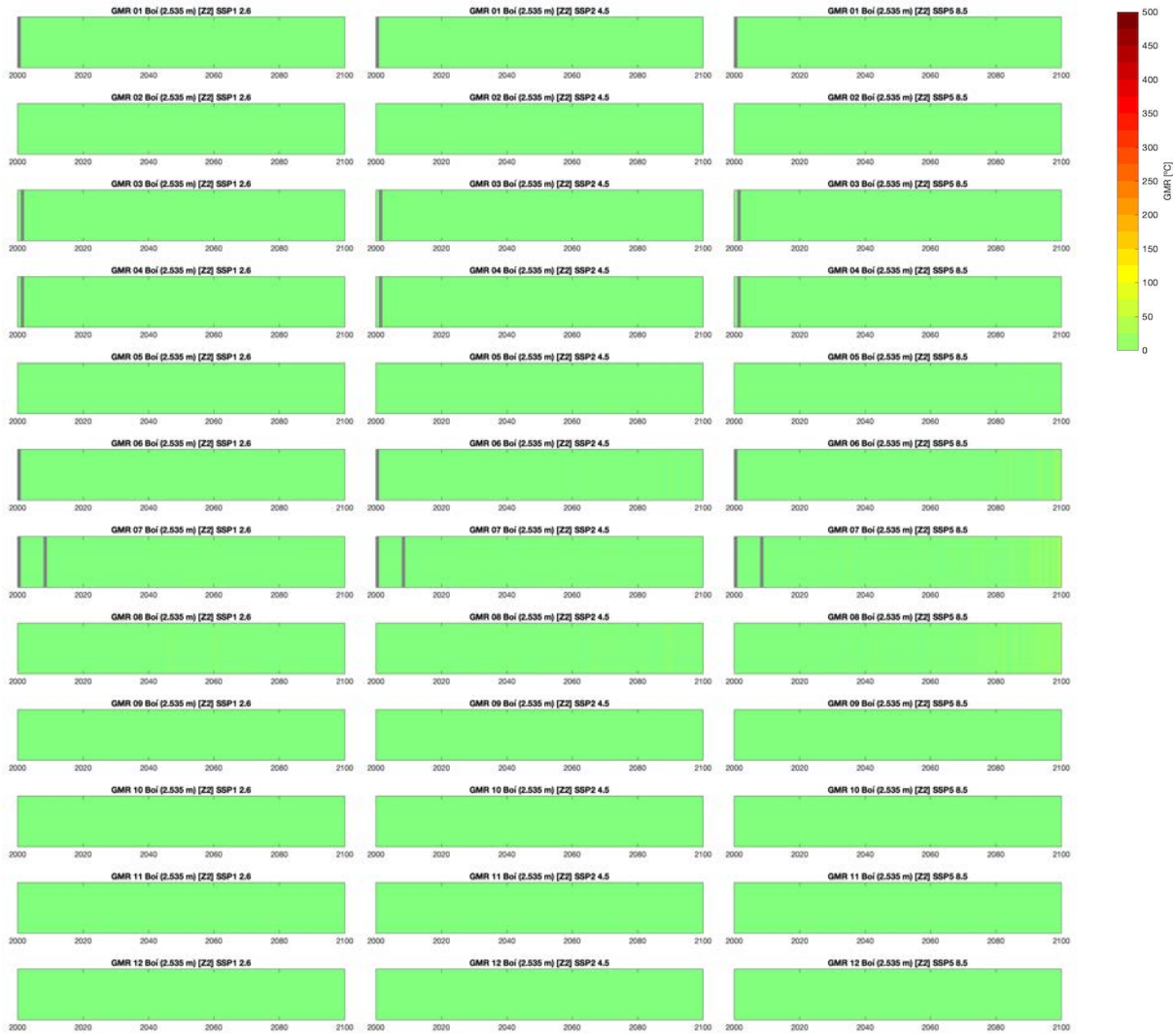

Figura B.387: Evolució dels graus-mes de refrigeració (GMR a l'estació Z2- Boí (2.535 m), per als diferents escenaris [SSP1 2.6, SSP2 4.5 i SSP5 8.5] per al model climàtic MPI-ESM1.

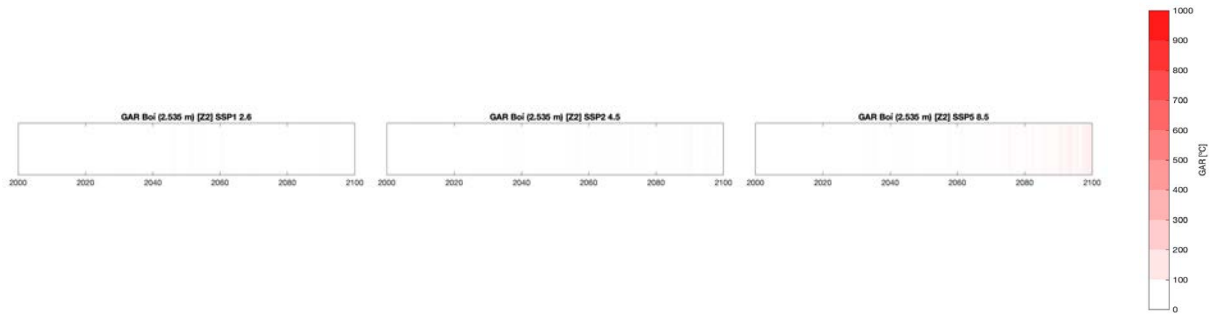

Figura B.388: Evolució dels graus-any de refrigeració (GAR a l'estació Z2- Boí (2.535 m), per als diferents escenaris [SSP1 2.6, SSP2 4.5 i SSP5 8.5] per al model climàtic MPI-ESM1.

B.1.99 Z3 - Malniu (2.230 m)

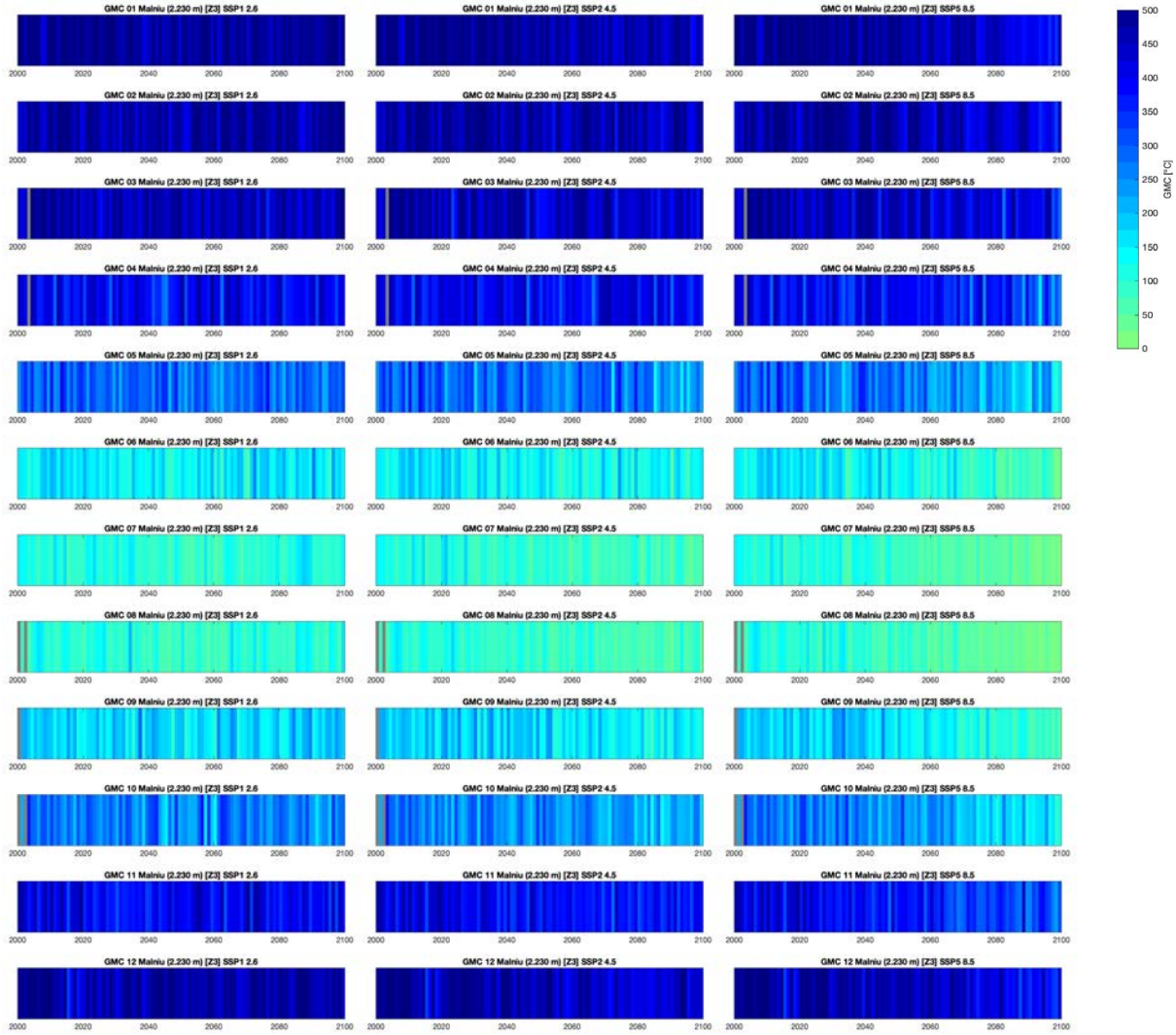

Figura B.389: Evolució dels graus-mes de calefacció (GMC) a l'estació Z3- Malniu (2.230 m), per als diferents escenaris [SSP1 2.6, SSP2 4.5 i SSP5 8.5] per al model climàtic MPI-ESM1.

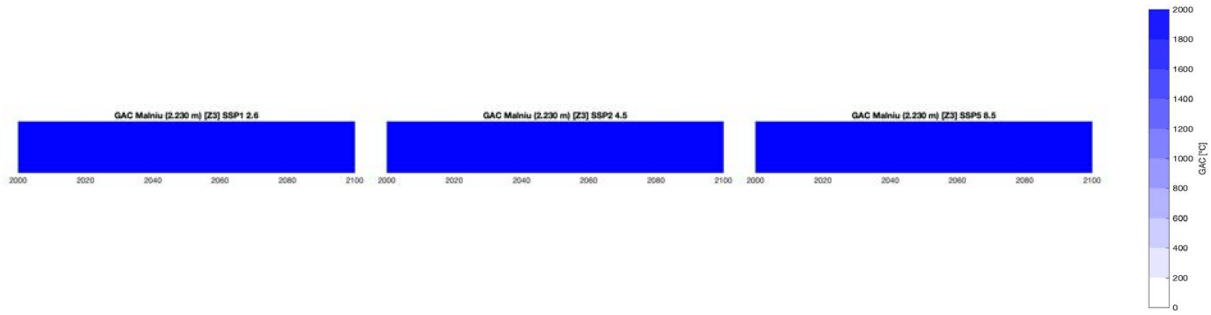

Figura B.390: Evolució dels graus-any de calefacció (GAC) a l'estació Z3- Malniu (2.230 m), per als diferents escenaris [SSP1 2.6, SSP2 4.5 i SSP5 8.5] per al model climàtic MPI-ESM1.

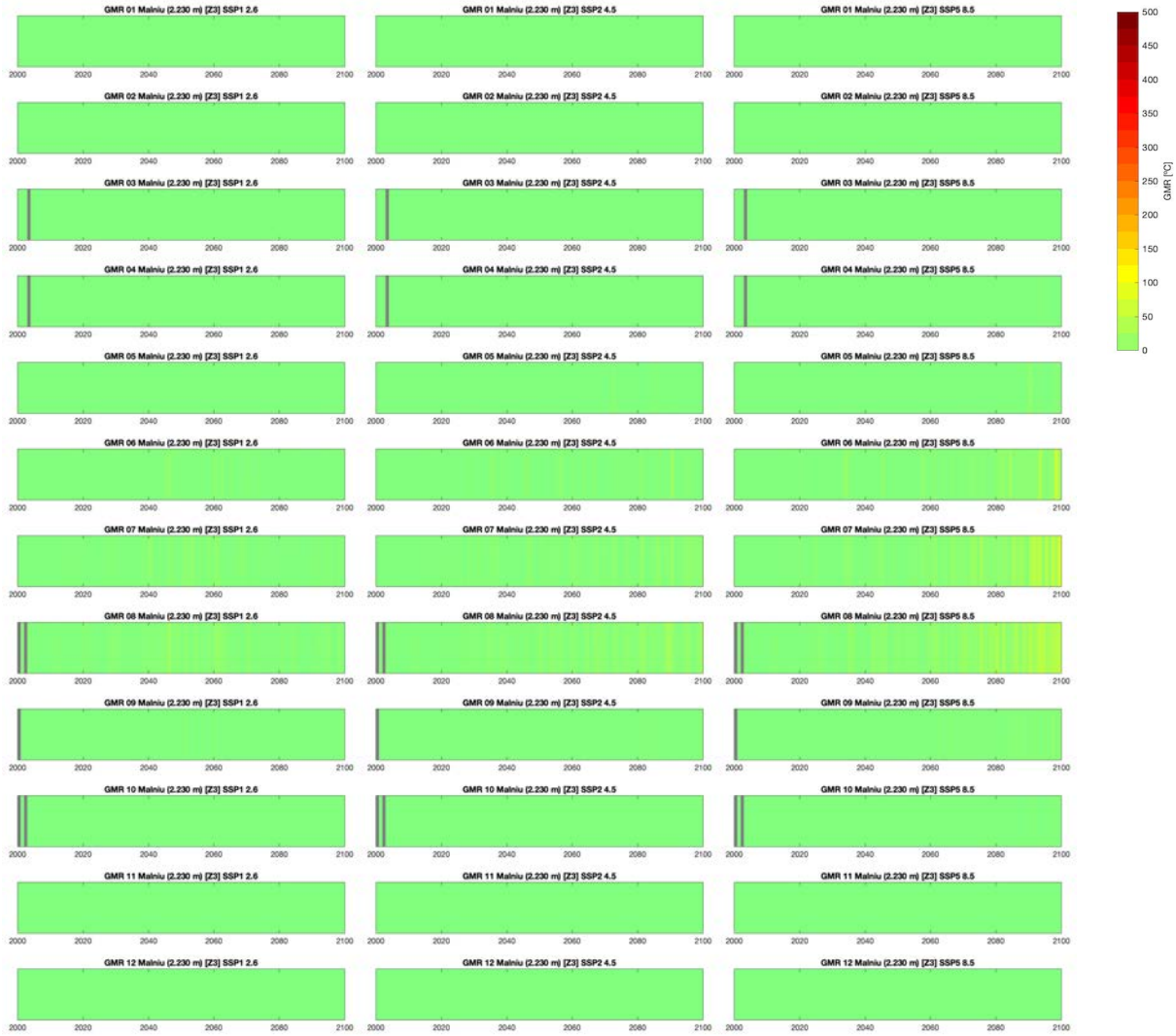

Figura B.391: Evolució dels graus-mes de refrigeració (GMR a l'estació Z3- Malniu (2.230 m), per als diferents escenaris [SSP1 2.6, SSP2 4.5 i SSP5 8.5] per al model climàtic MPI-ESM1.

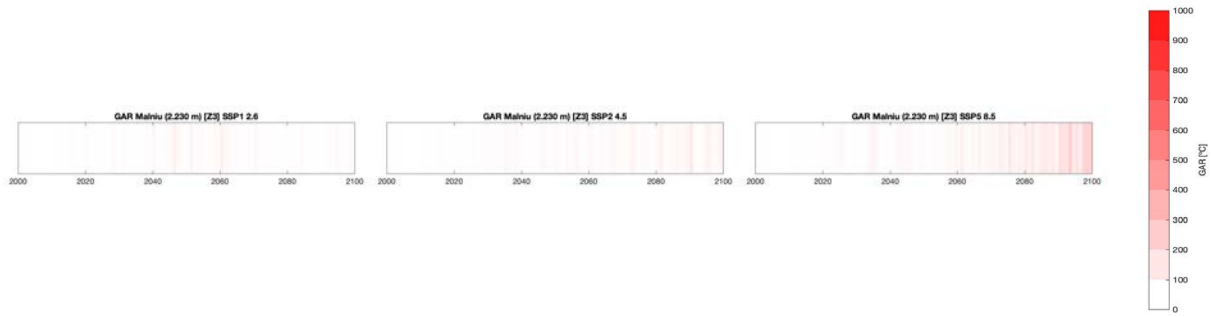

Figura B.392: Evolució dels graus-any de refrigeració (GAR a l'estació Z3- Malniu (2.230 m), per als diferents escenaris [SSP1 2.6, SSP2 4.5 i SSP5 8.5] per al model climàtic MPI-ESM1.

B.1.100 Z5 - Certascan (2.400 m)

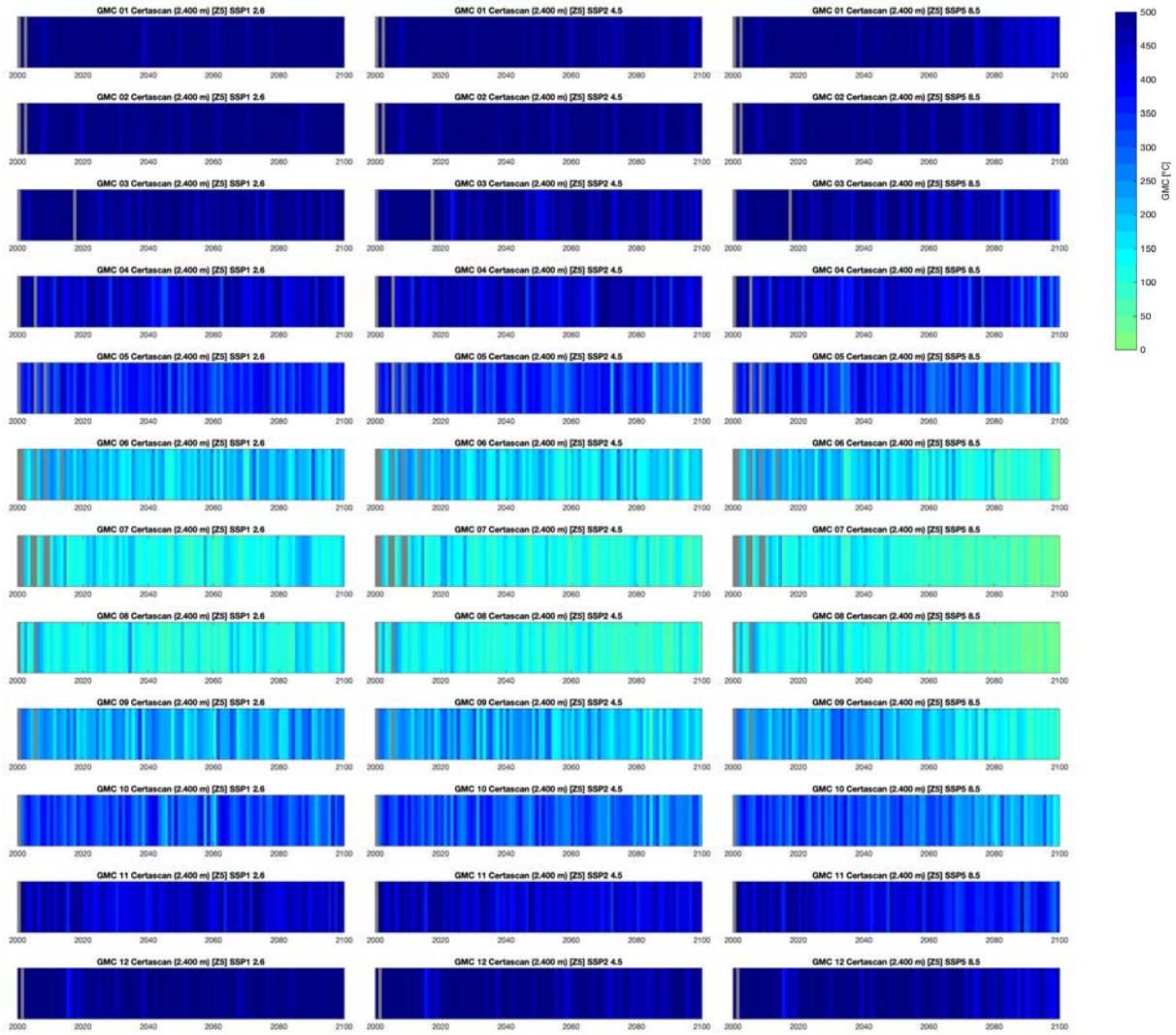

Figura B.393: Evolució dels graus-mes de calefacció (GMC) a l'estació Z5- Certascan (2.400 m), per als diferents escenaris [SSP1 2.6, SSP2 4.5 i SSP5 8.5] per al model climàtic MPI-ESM1.

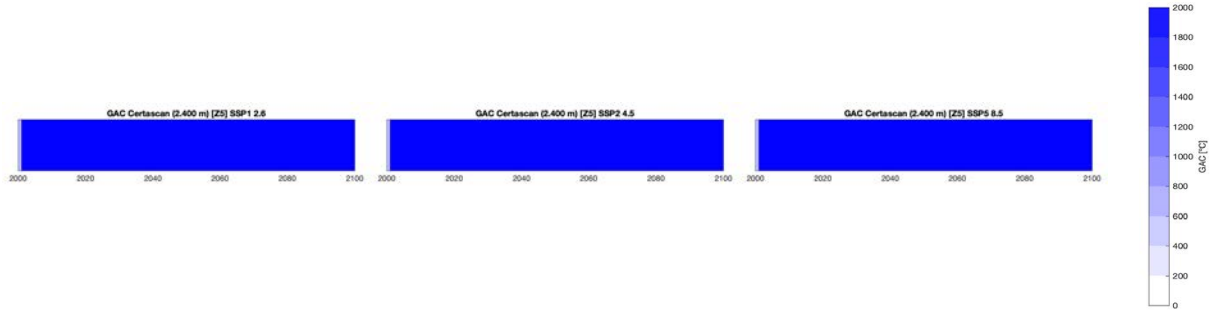

Figura B.394: Evolució dels graus-any de calefacció (GAC) a l'estació Z5- Certascan (2.400 m), per als diferents escenaris [SSP1 2.6, SSP2 4.5 i SSP5 8.5] per al model climàtic MPI-ESM1.

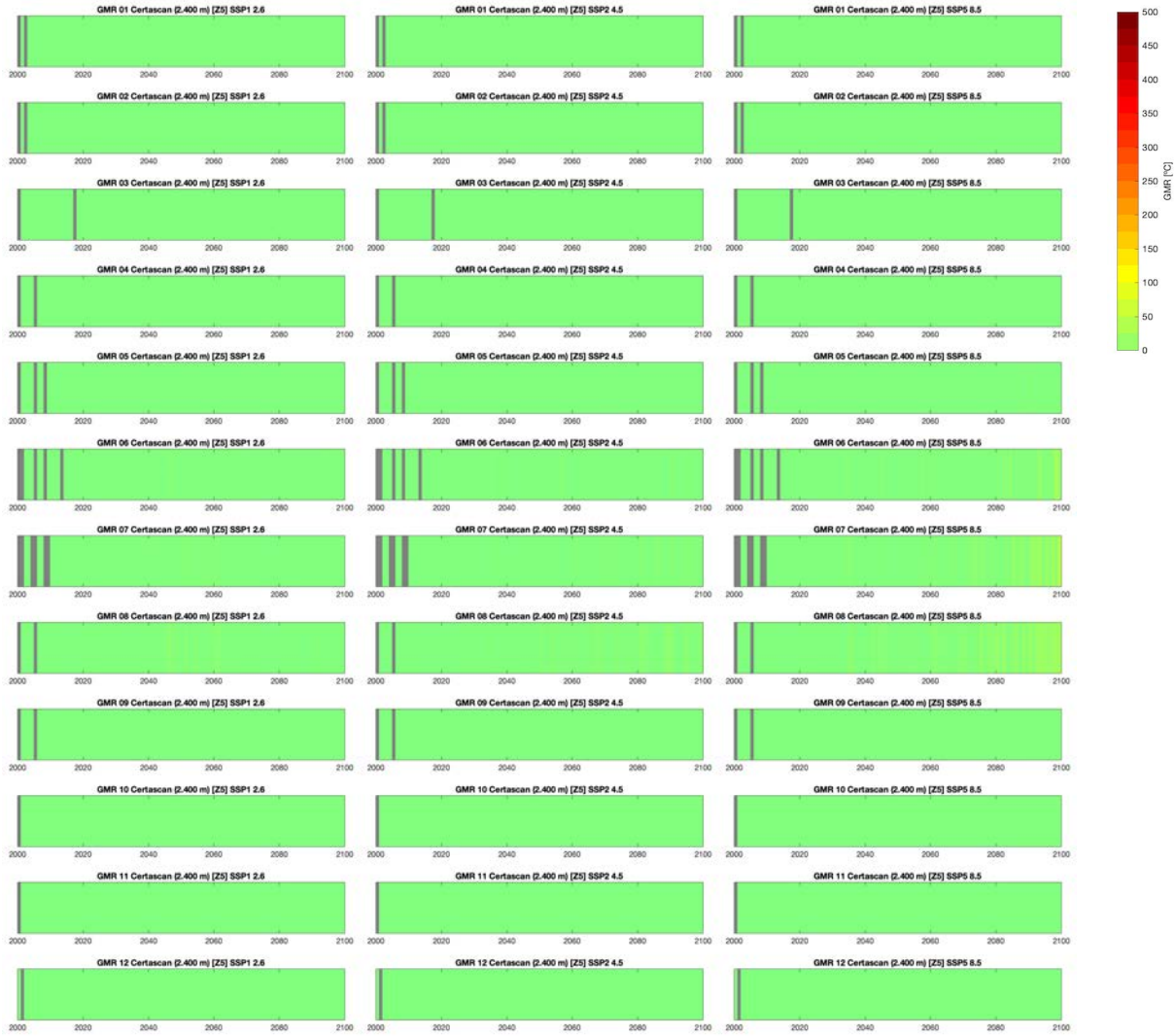

Figura B.395: Evolució dels graus-mes de refrigeració (GMR a l'estació Z5- Certascan (2.400 m), per als diferents escenaris [SSP1 2.6, SSP2 4.5 i SSP5 8.5] per al model climàtic MPI-ESM1.

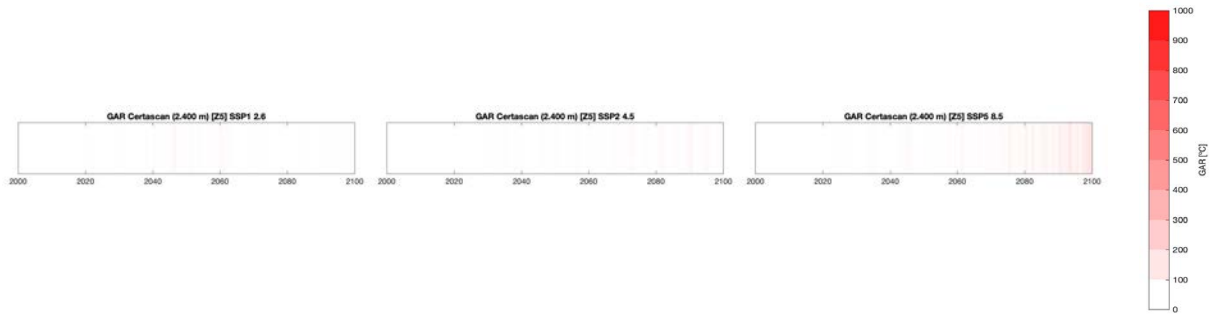

Figura B.396: Evolució dels graus-any de refrigeració (GAR a l'estació Z5- Certascan (2.400 m), per als diferents escenaris [SSP1 2.6, SSP2 4.5 i SSP5 8.5] per al model climàtic MPI-ESM1.

B.2 Regionalització Necessitats de climatització

B.2.1 Gener

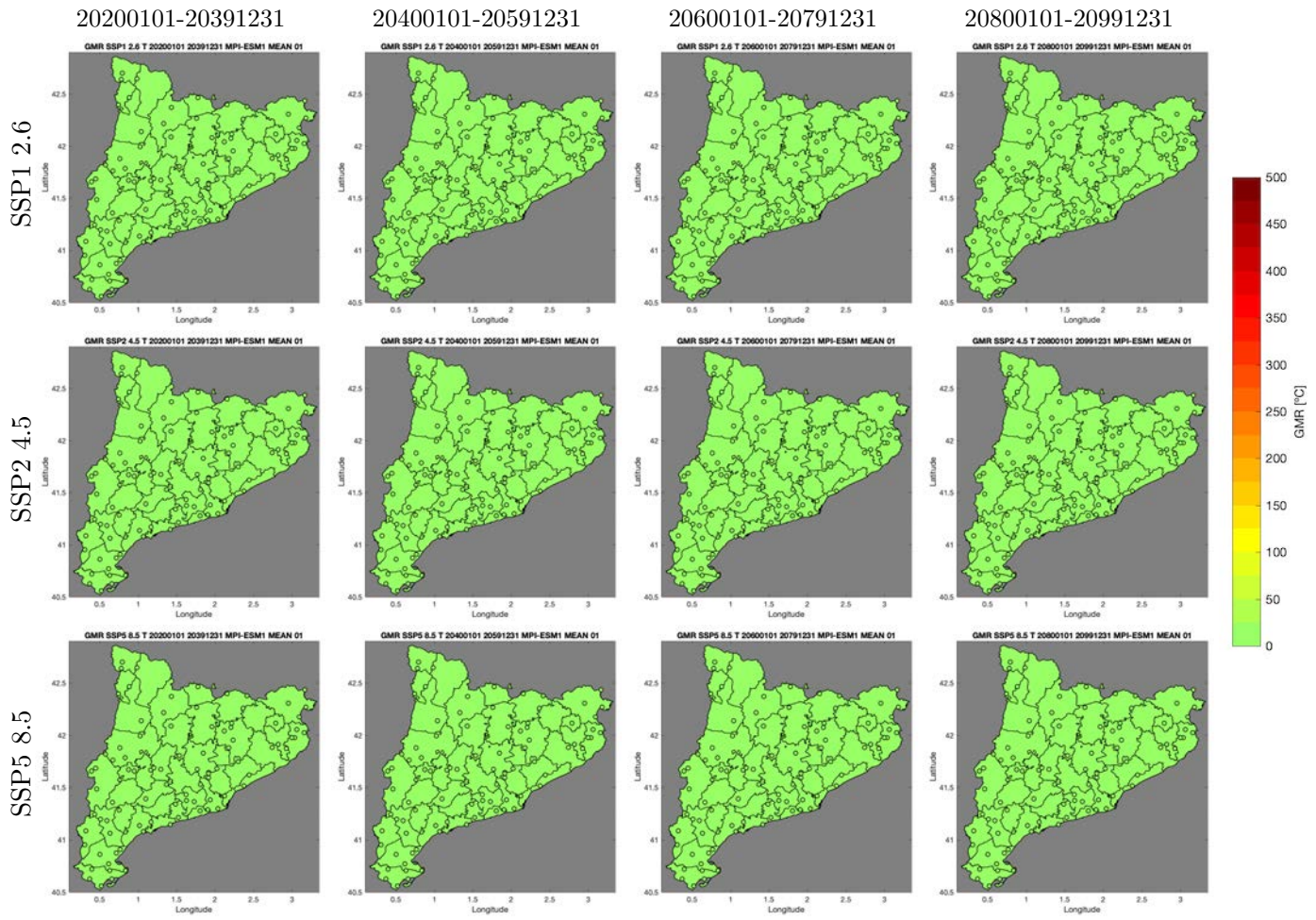

Figura B.397: Regionalització dels graus-mes de refrigeració (GMR) per al mes de gener, per als escenaris SSP1 2.6, SSP2 4.5 i SSP5 8.5, i per als períodes 2020-2039, 2040-2059, 2060-2079 i 2080-2099. Model climàtic MPI-ESM1.

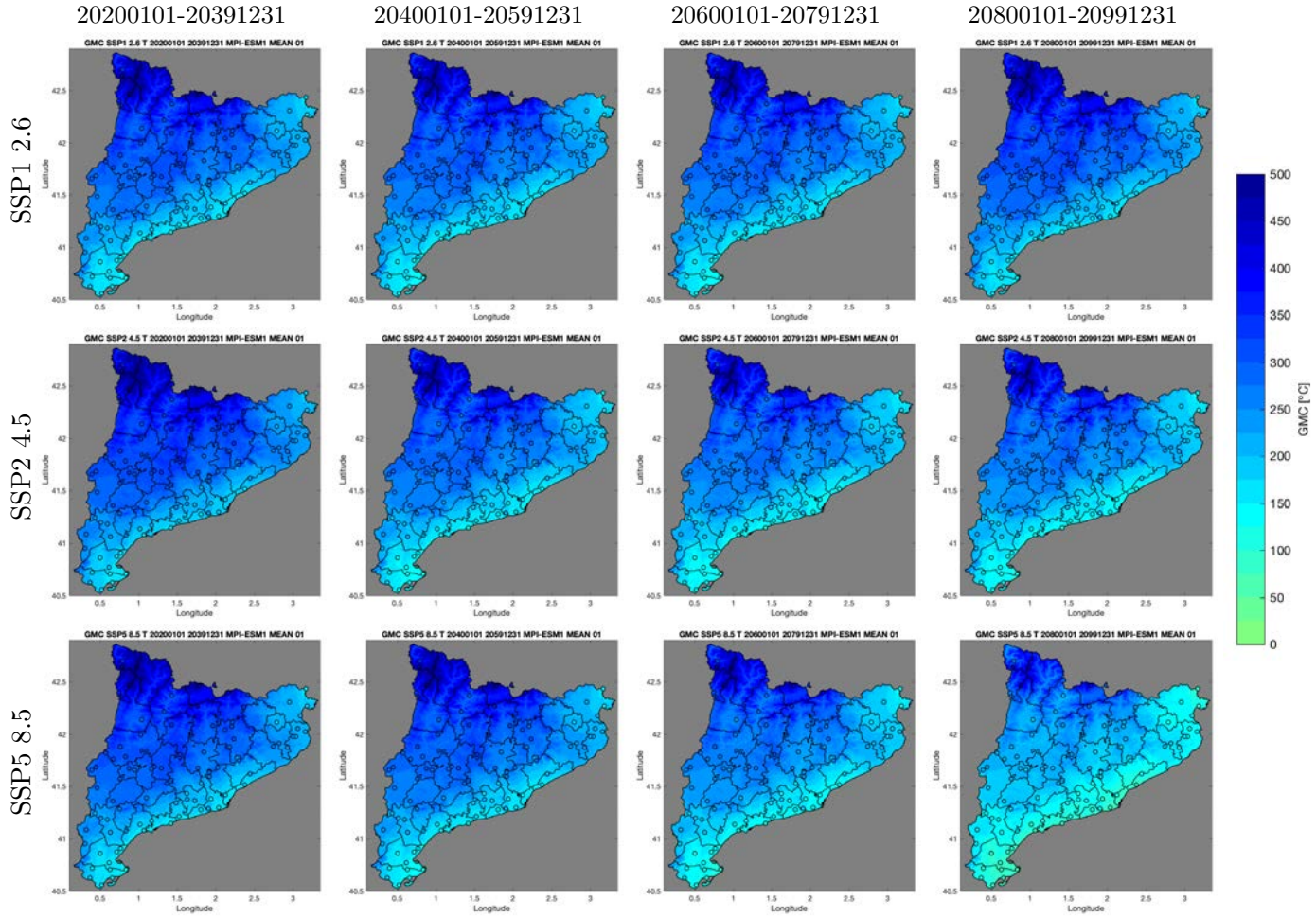

Figura B.398: Regionalització dels graus-mes de calefacció (GMC) per al mes de gener, per als escenaris SSP1 2.6, SSP2 4.5 i SSP5 8.5, i per als períodes 2020-2039, 2040-2059, 2060-2079 i 2080-2099. Model climàtic MPI-ESM1.

B.2.2 Febrer

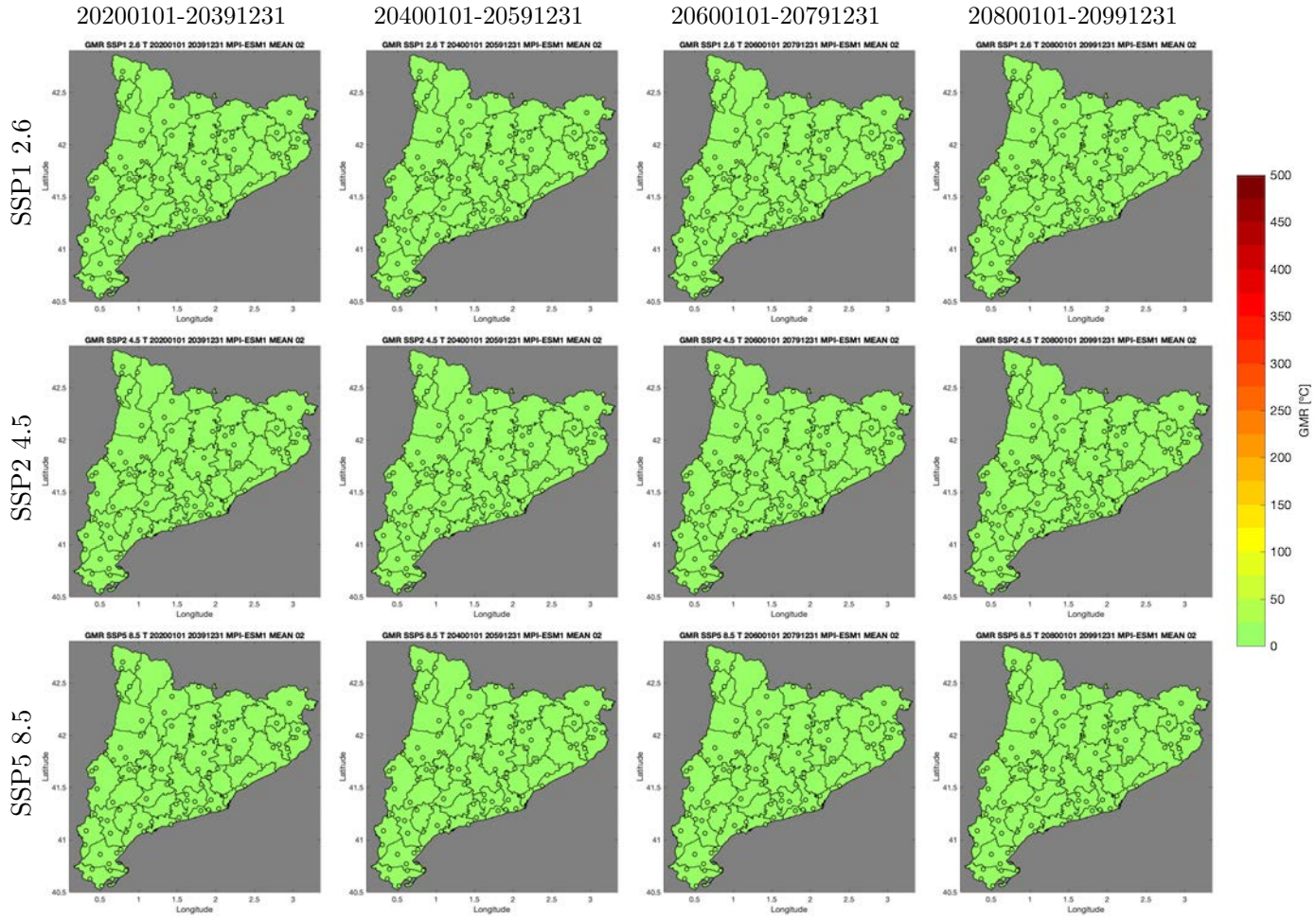

Figura B.399: Regionalització dels graus-mes de refrigeració (GMR) per al mes de febrer, per als escenaris SSP1 2.6, SSP2 4.5 i SSP5 8.5, i per als períodes 2020-2039, 2040-2059, 2060-2079 i 2080-2099. Model climàtic MPI-ESM1.

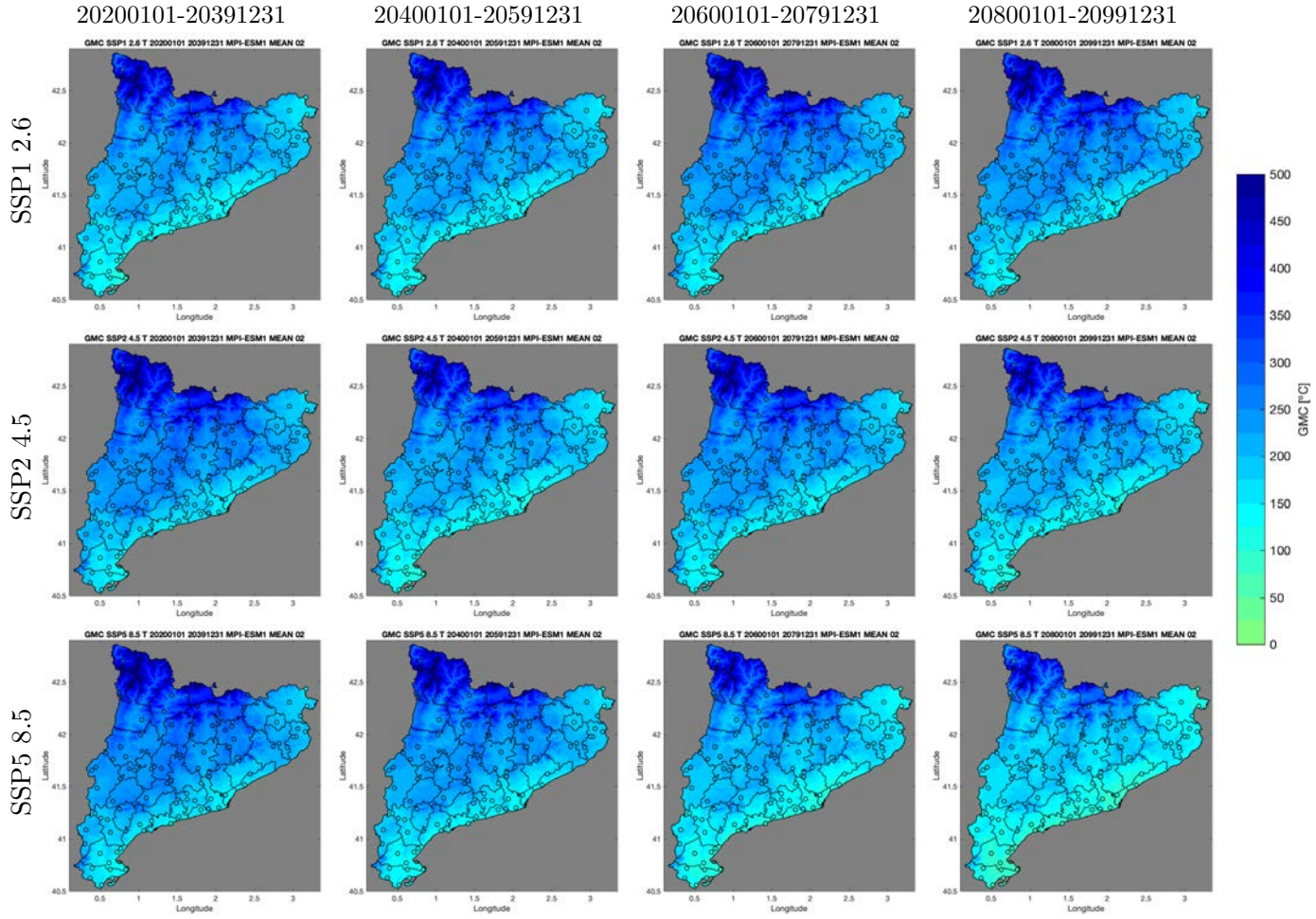

Figura B.400: Regionalització dels graus-mes de calefacció (GMC) per al mes de febrer, per als escenaris SSP1 2.6, SSP2 4.5 i SSP5 8.5, i per als períodes 2020-2039, 2040-2059, 2060-2079 i 2080-2099. Model climàtic MPI-ESM1.

B.2.3 Març

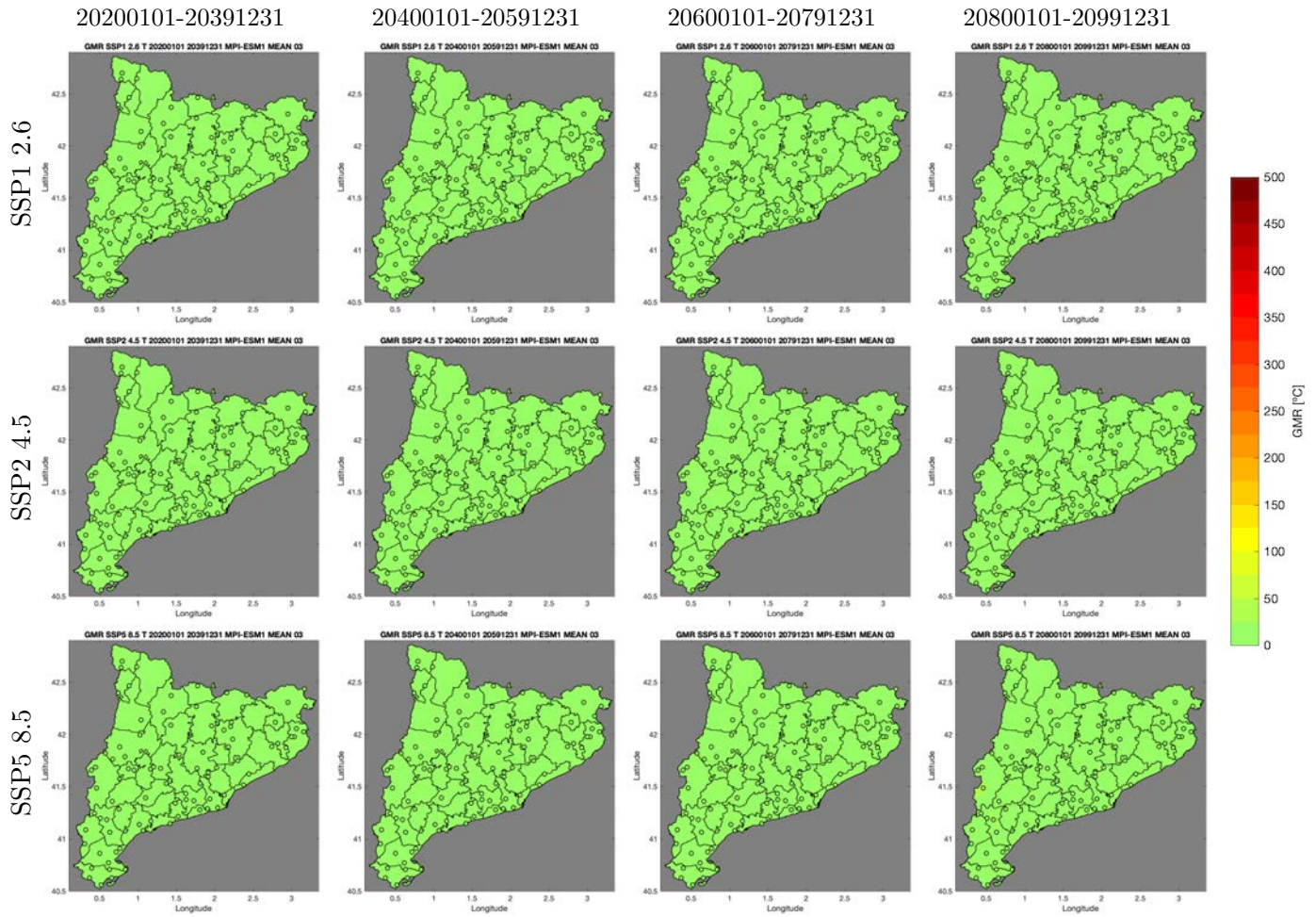

Figura B.401: Regionalització dels graus-mes de refrigeració (GMR) per al mes de març, per als escenaris SSP1 2.6, SSP2 4.5 i SSP5 8.5, i per als períodes 2020-2039, 2040-2059, 2060-2079 i 2080-2099. Model climàtic MPI-ESM1.

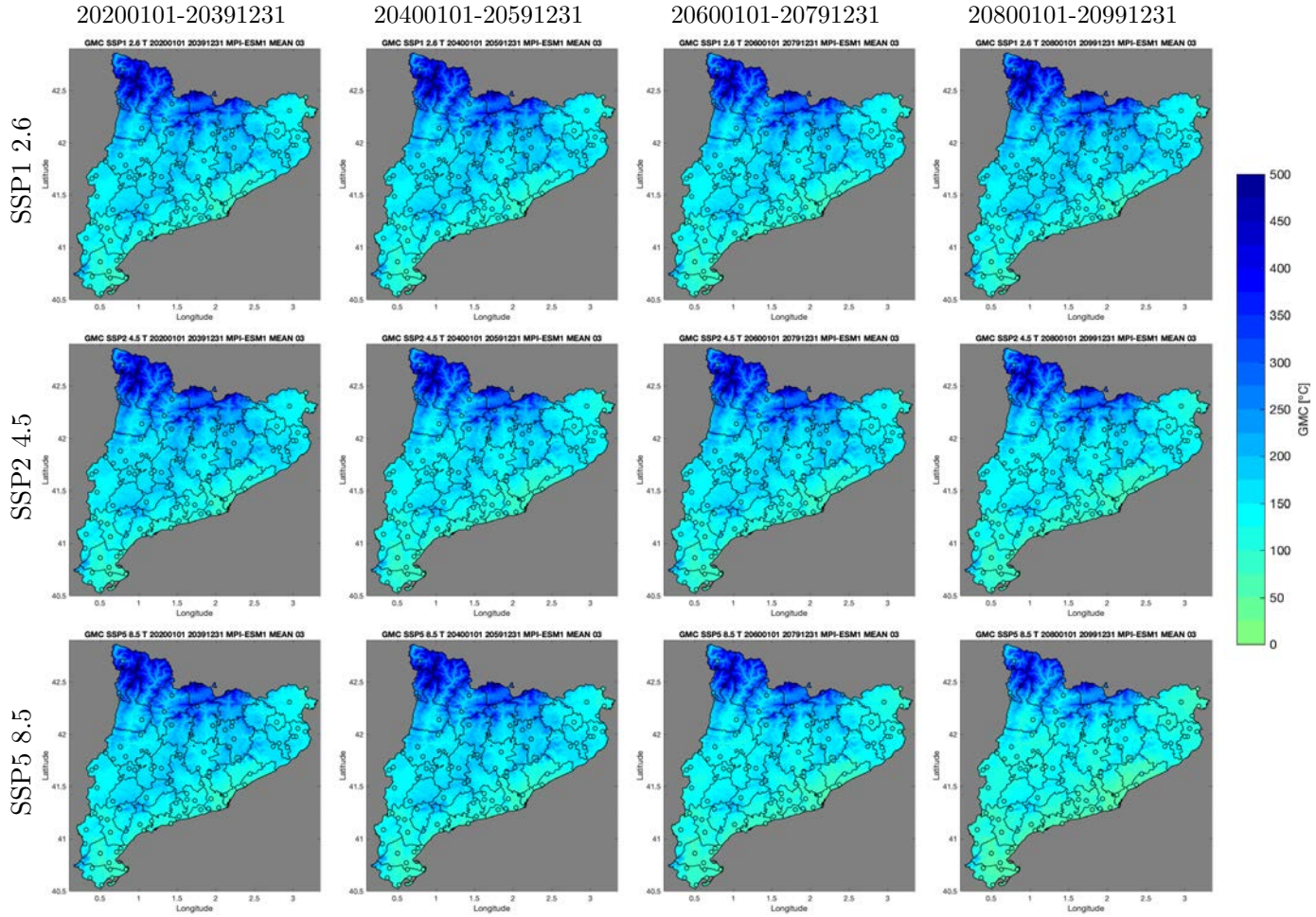

Figura B.402: Regionalització dels graus-mes de calefacció (GMC) per al mes de març, per als escenaris SSP1 2.6, SSP2 4.5 i SSP5 8.5, i per als períodes 2020-2039, 2040-2059, 2060-2079 i 2080-2099. Model climàtic MPI-ESM1.

B.2.4 Abril

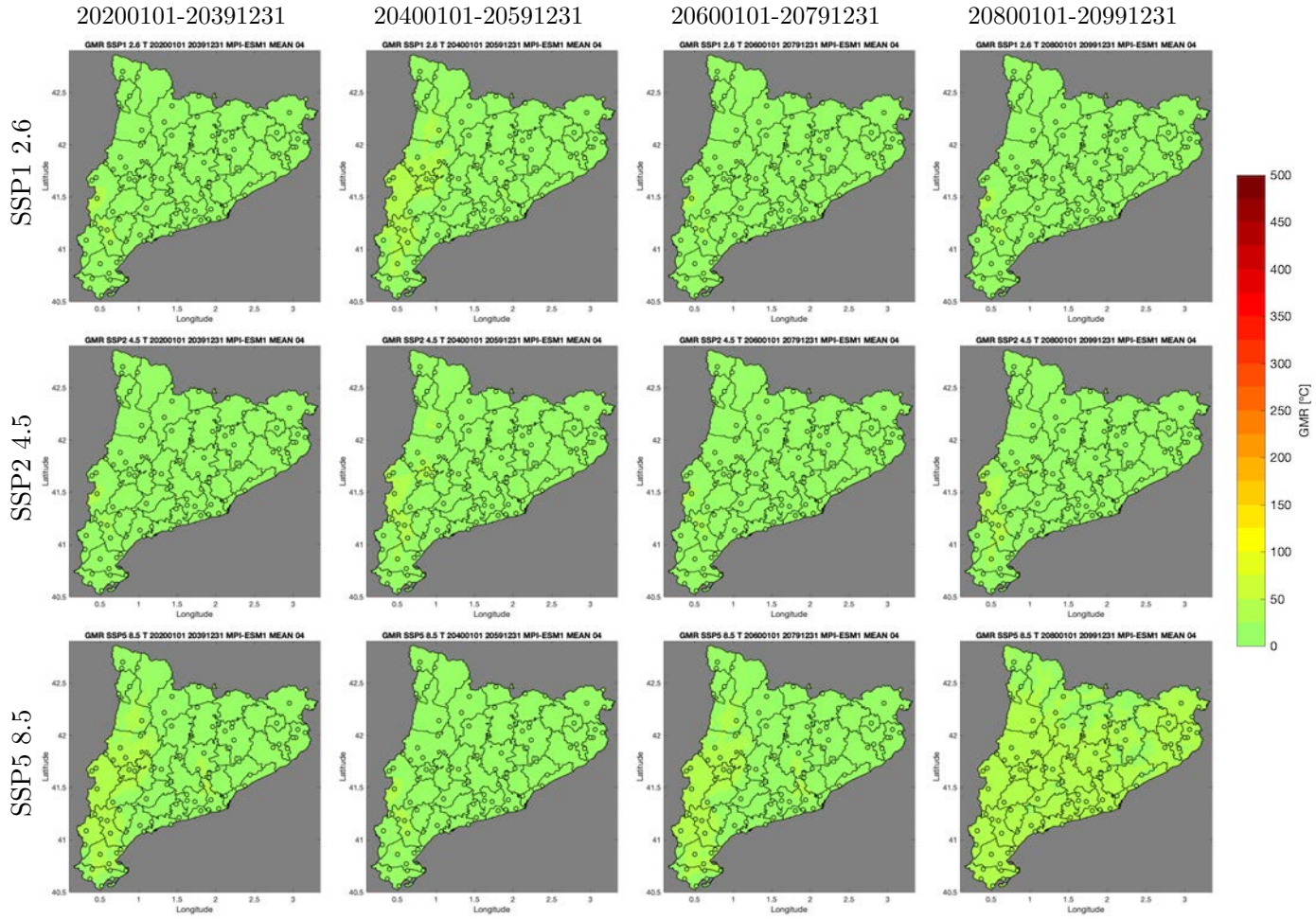

Figura B.403: Regionalització dels graus-mes de refrigeració (GMR) per al mes d'abril, per als escenaris SSP1 2.6, SSP2 4.5 i SSP5 8.5, i per als períodes 2020-2039, 2040-2059, 2060-2079 i 2080-2099. Model climàtic MPI-ESM1.

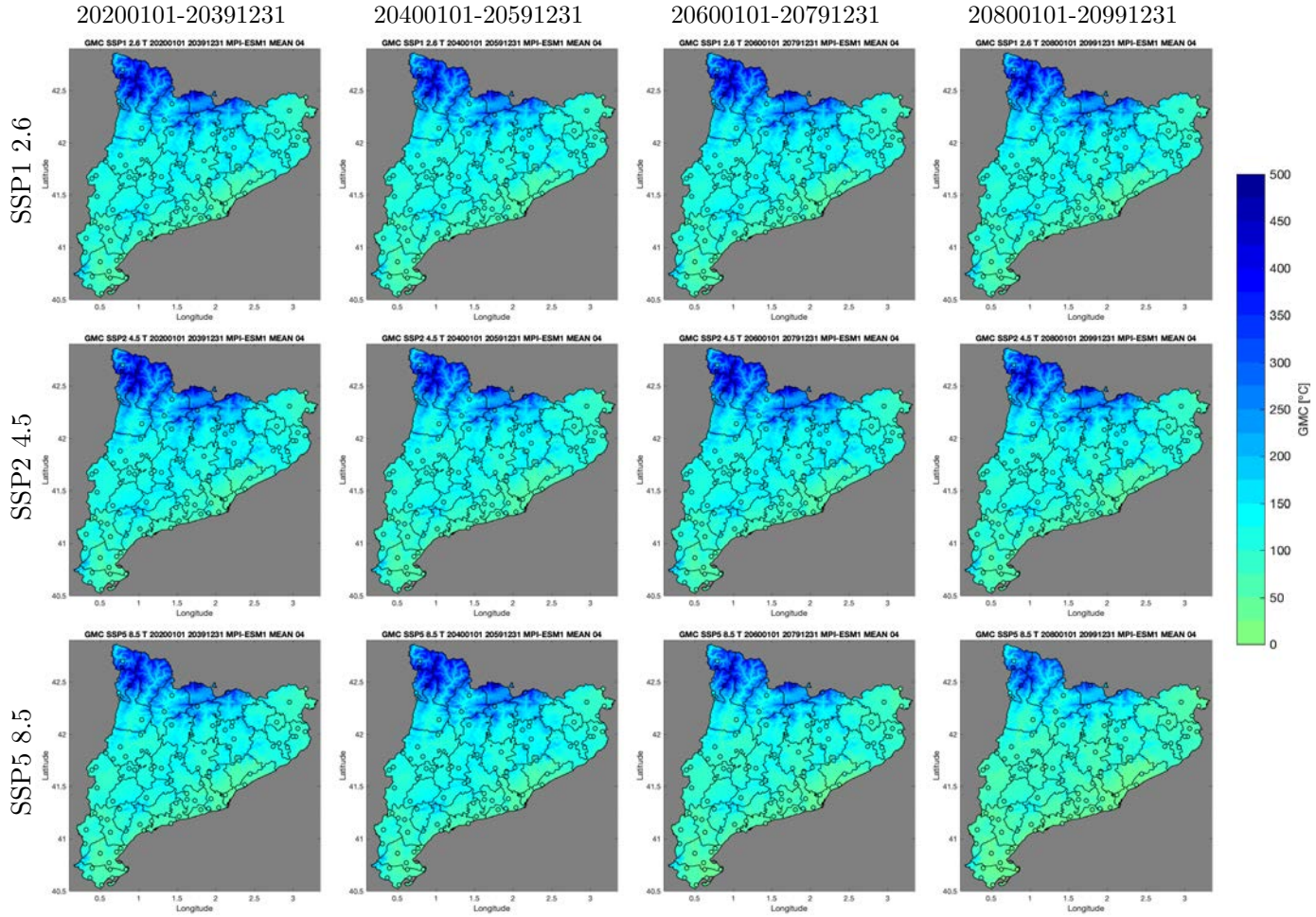

Figura B.404: Regionalització dels graus-mes de calefacció (GMC) per al mes d'abril, per als escenaris SSP1 2.6, SSP2 4.5 i SSP5 8.5, i per als períodes 2020-2039, 2040-2059, 2060-2079 i 2080-2099. Model climàtic MPI-ESM1.

B.2.5 Maig

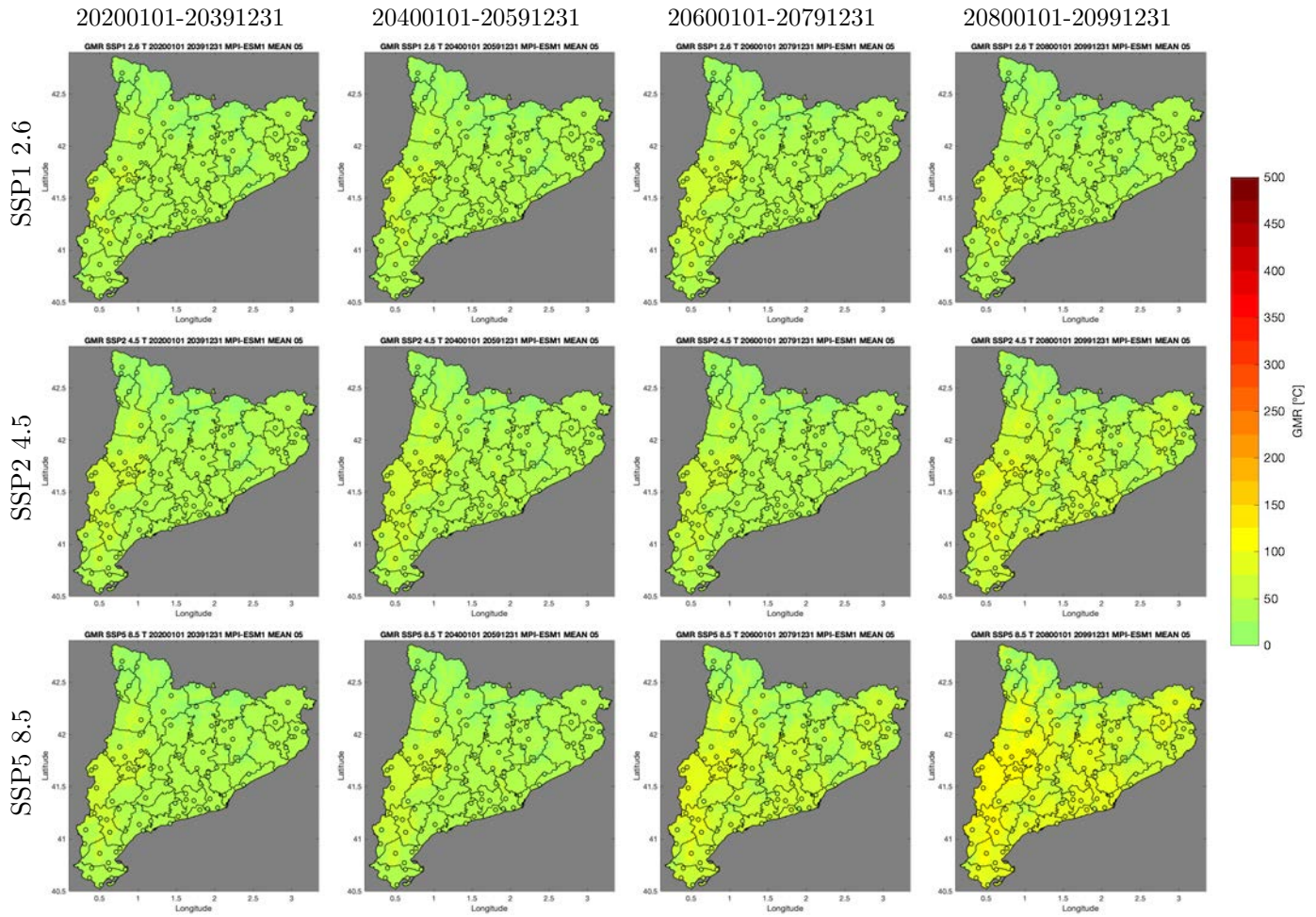

Figura B.405: Regionalització dels graus-mes de refrigeració (GMR) per al mes de maig, per als escenaris SSP1 2.6, SSP2 4.5 i SSP5 8.5, i per als períodes 2020-2039, 2040-2059, 2060-2079 i 2080-2099. Model climàtic MPI-ESM1.

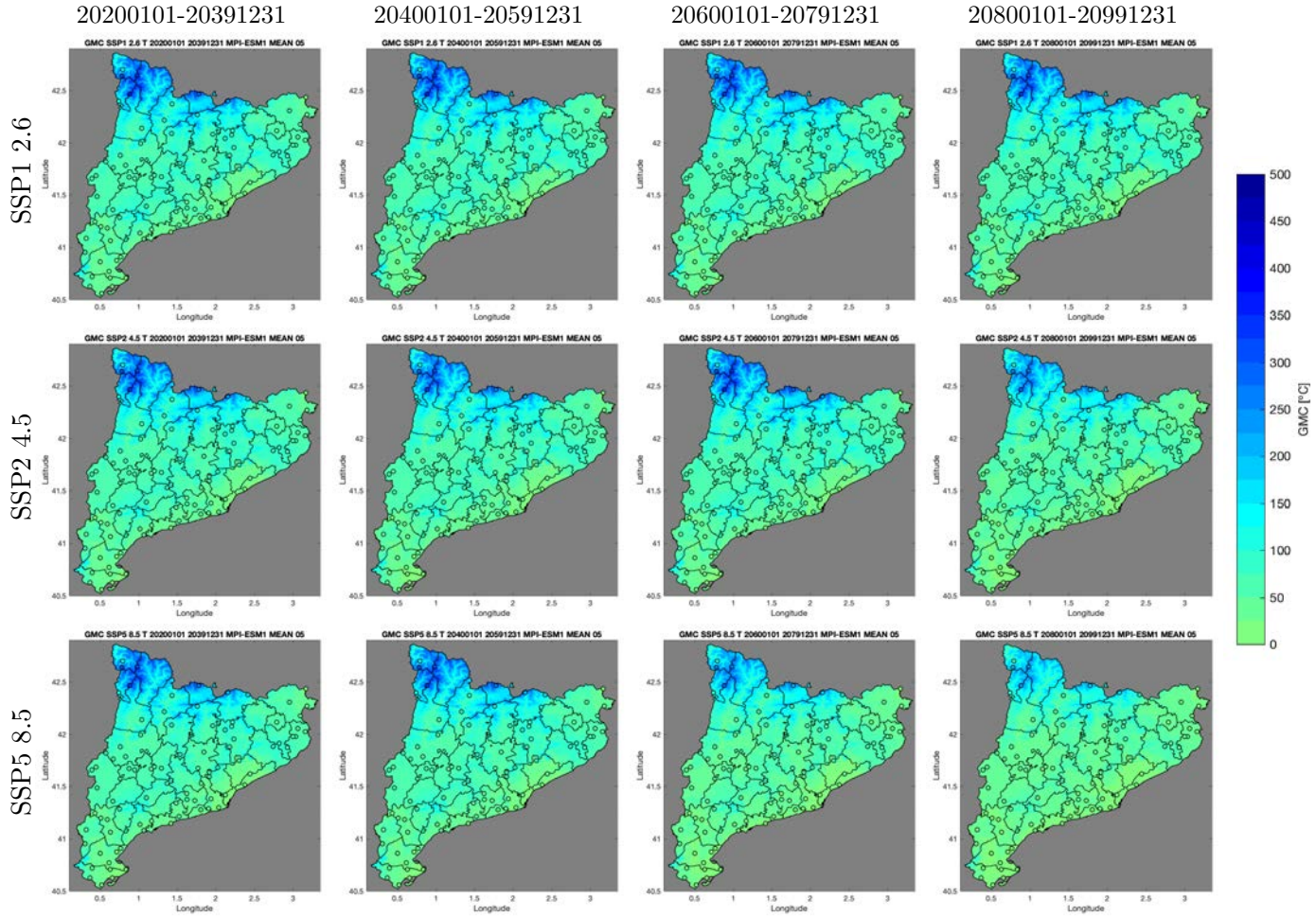

Figura B.406: Regionalització dels graus-mes de calefacció (GMC) per al mes de maig, per als escenaris SSP1 2.6, SSP2 4.5 i SSP5 8.5, i per als períodes 2020-2039, 2040-2059, 2060-2079 i 2080-2099. Model climàtic MPI-ESM1.

B.2.6 Juny

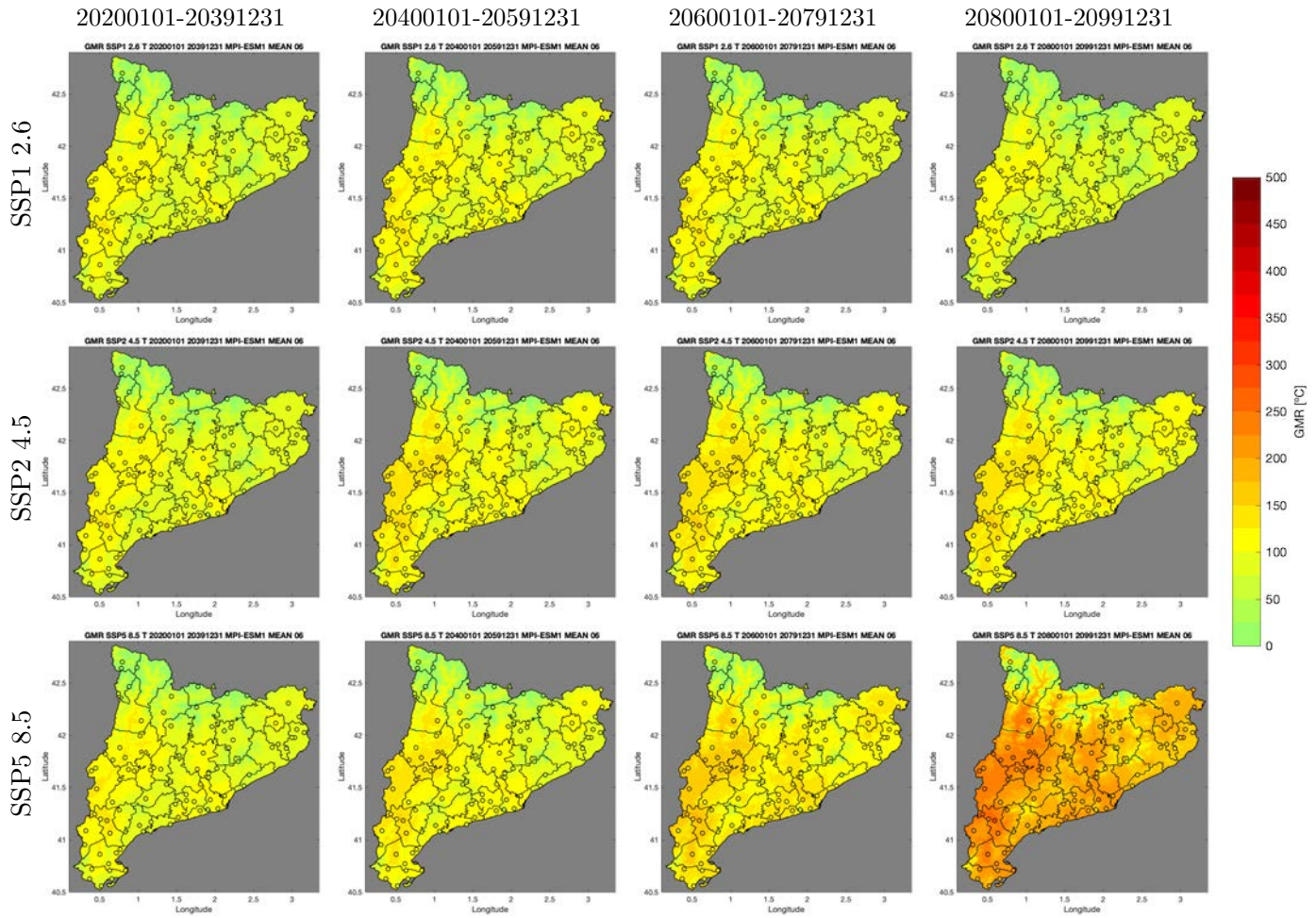

Figura B.407: Regionalització dels graus-mes de refrigeració (GMR) per al mes de juny, per als escenaris SSP1 2.6, SSP2 4.5 i SSP5 8.5, i per als períodes 2020-2039, 2040-2059, 2060-2079 i 2080-2099. Model climàtic MPI-ESM1.

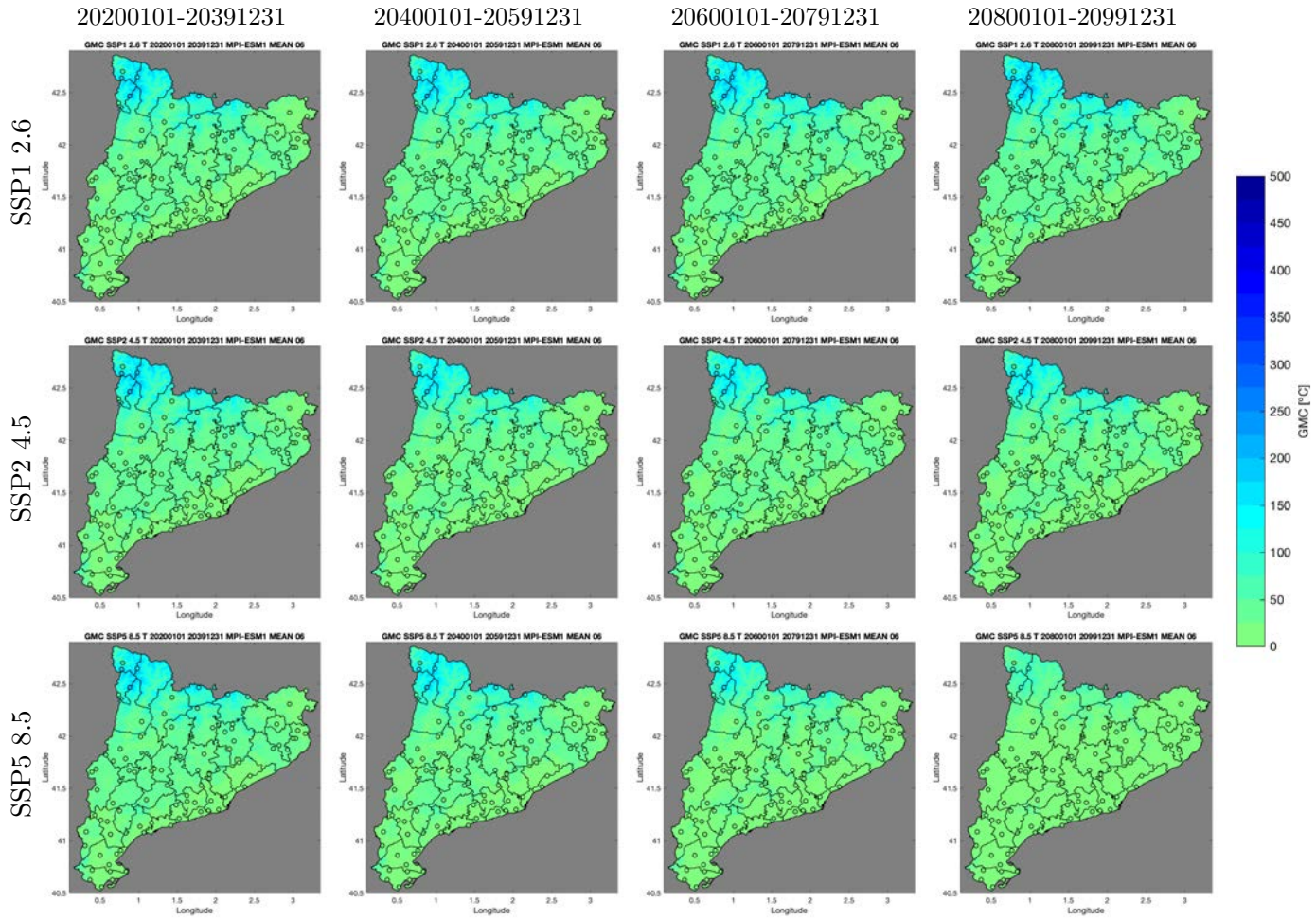

Figura B.408: Regionalització dels graus-mes de calefacció (GMC) per al mes de juny, per als escenaris SSP1 2.6, SSP2 4.5 i SSP5 8.5, i per als períodes 2020-2039, 2040-2059, 2060-2079 i 2080-2099. Model climàtic MPI-ESM1.

B.2.7 Juliol

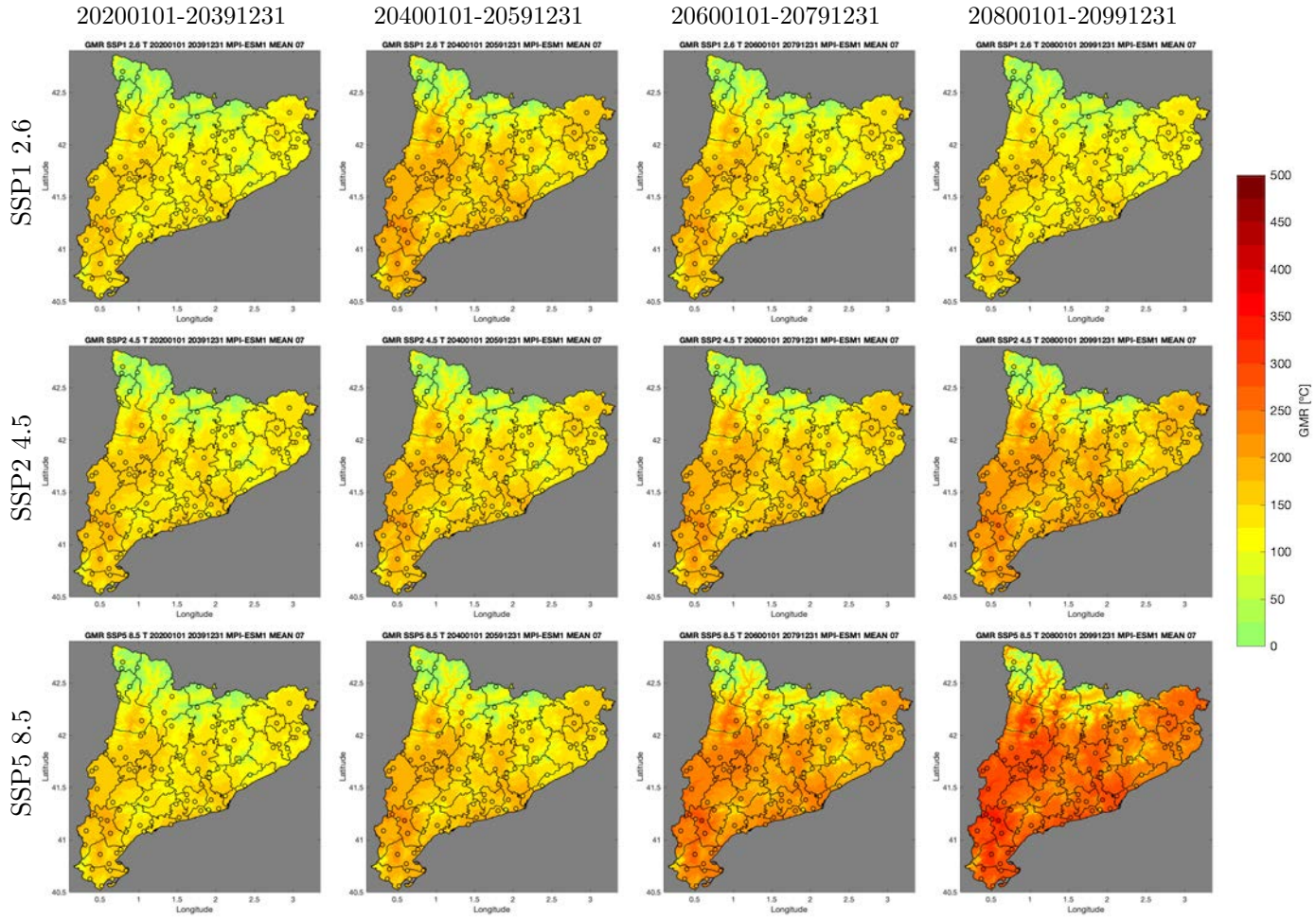

Figura B.409: Regionalització dels graus-mes de refrigeració (GMR) per al mes de juliol, per als escenaris SSP1 2.6, SSP2 4.5 i SSP5 8.5, i per als períodes 2020-2039, 2040-2059, 2060-2079 i 2080-2099. Model climàtic MPI-ESM1.

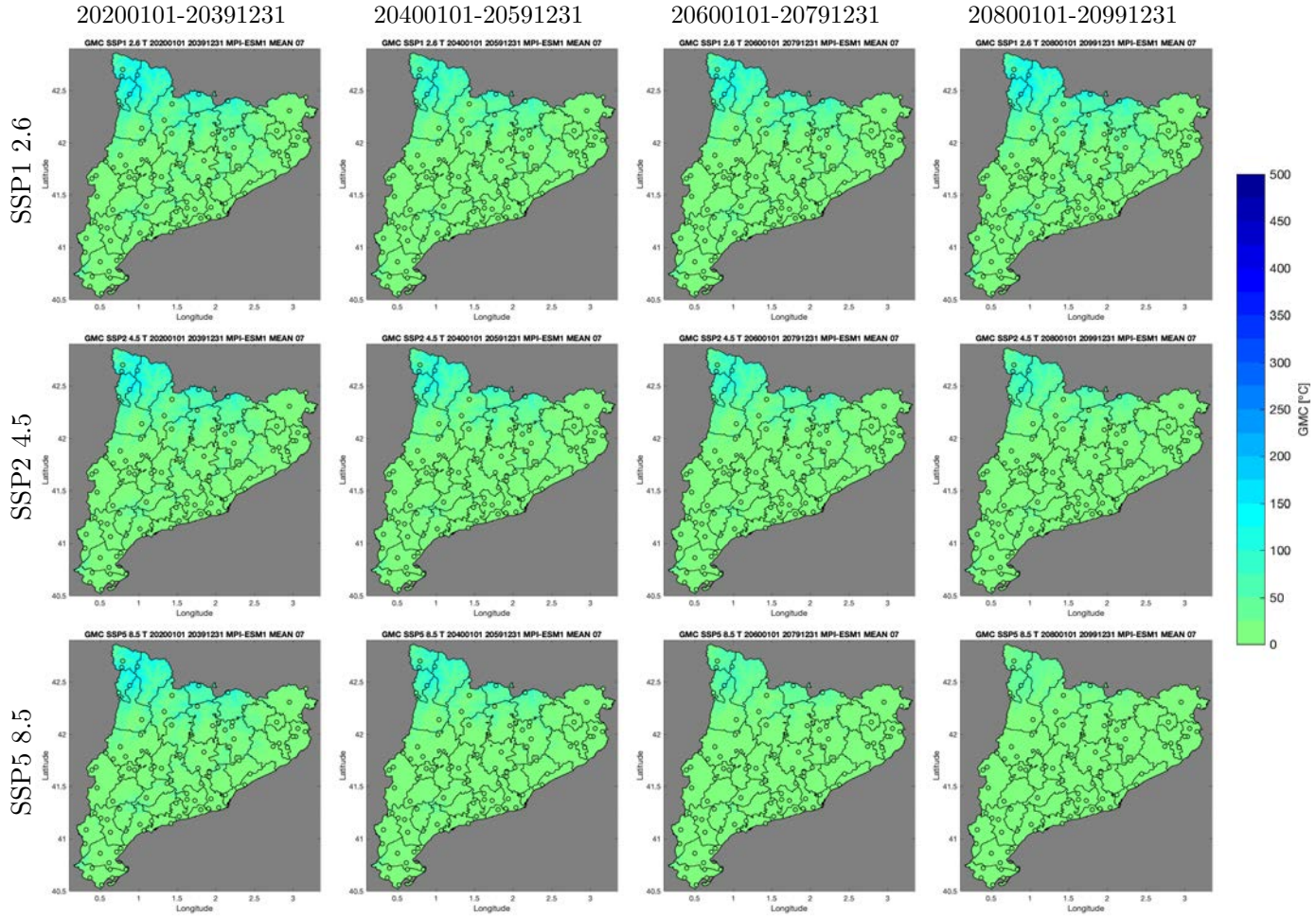

Figura B.410: Regionalització dels graus-mes de calefacció (GMC) per al mes de juliol, per als escenaris SSP1 2.6, SSP2 4.5 i SSP5 8.5, i per als períodes 2020-2039, 2040-2059, 2060-2079 i 2080-2099. Model climàtic MPI-ESM1.

B.2.8 Agost

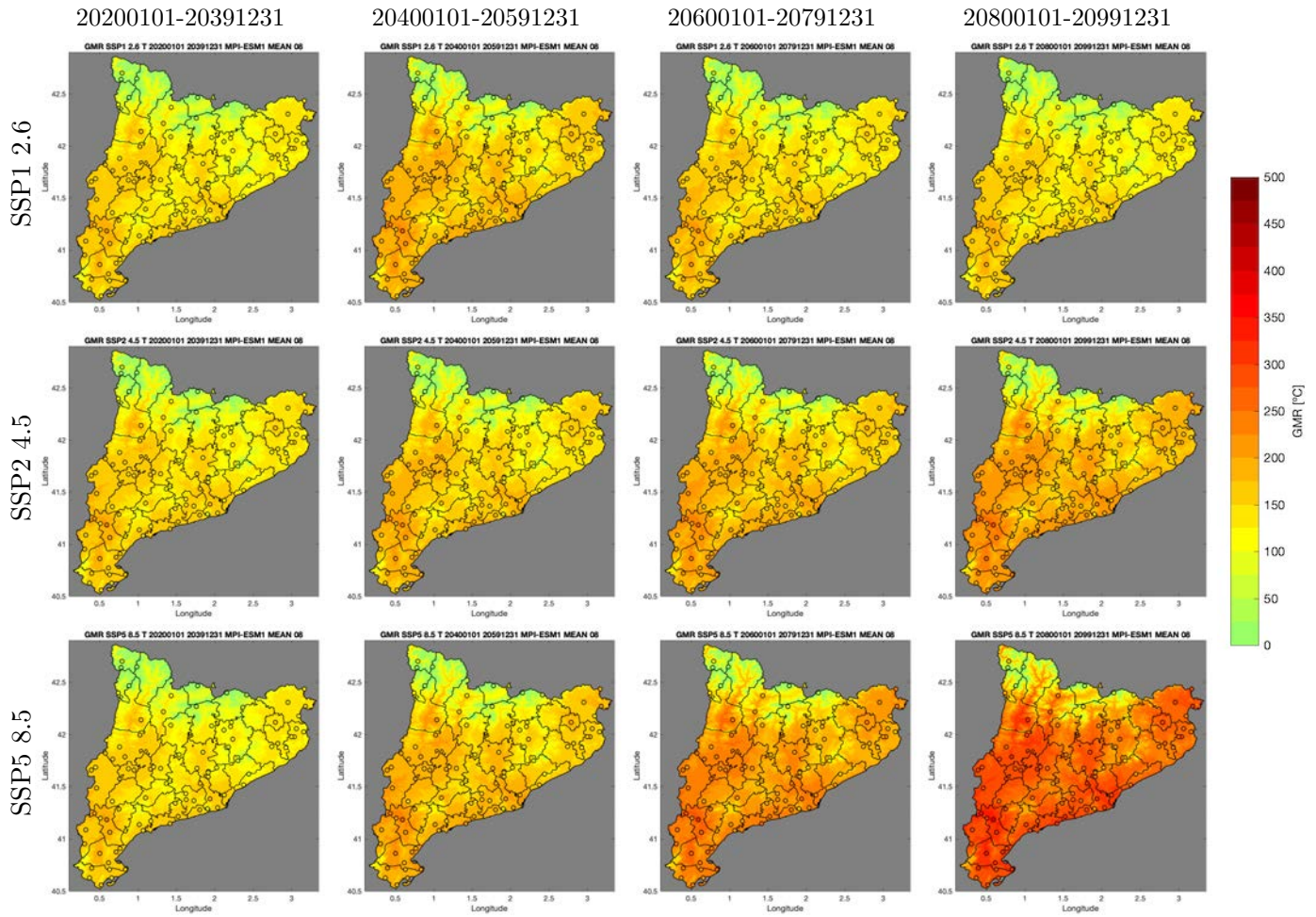

Figura B.411: Regionalització dels graus-mes de refrigeració (GMR) per al mes d'agost, per als escenaris SSP1 2.6, SSP2 4.5 i SSP5 8.5, i per als períodes 2020-2039, 2040-2059, 2060-2079 i 2080-2099. Model climàtic MPI-ESM1.

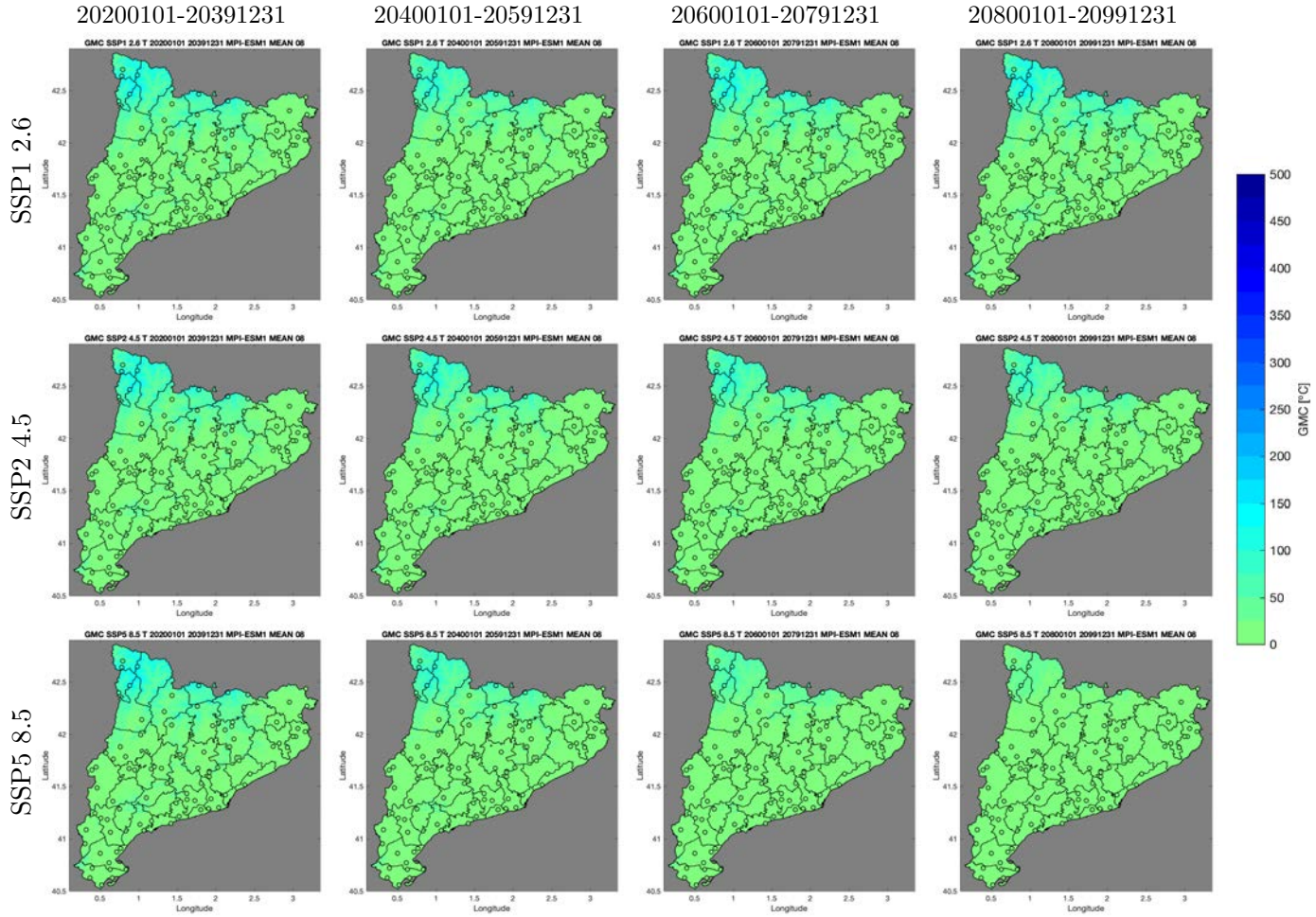

Figura B.412: Regionalització dels graus-mes de calefacció (GMC) per al mes d'agost, per als escenaris SSP1 2.6, SSP2 4.5 i SSP5 8.5, i per als períodes 2020-2039, 2040-2059, 2060-2079 i 2080-2099. Model climàtic MPI-ESM1.

B.2.9 Setembre

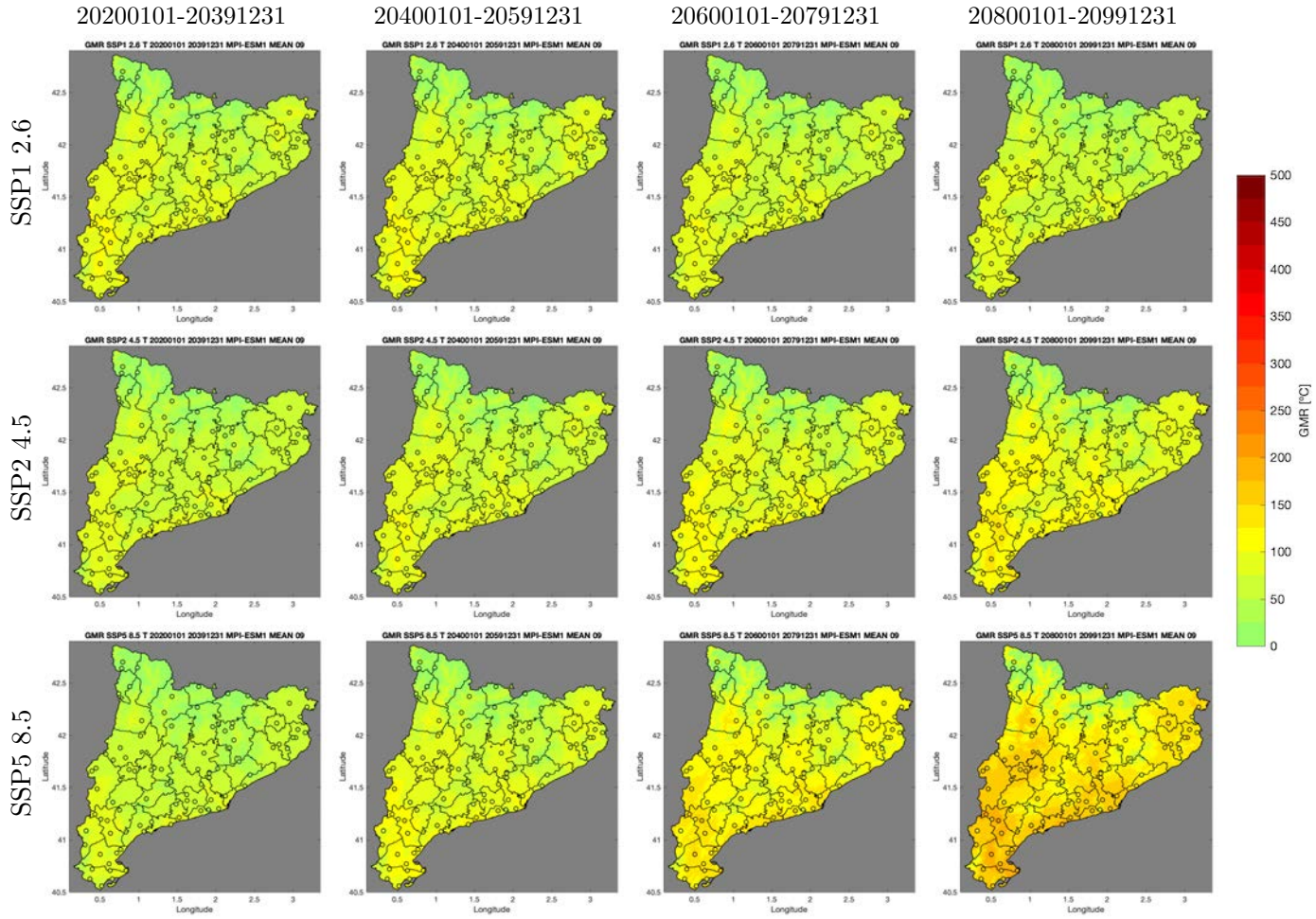

Figura B.413: Regionalització dels graus-mes de refrigeració (GMR) per al mes de setembre, per als escenaris SSP1 2.6, SSP2 4.5 i SSP5 8.5, i per als períodes 2020-2039, 2040-2059, 2060-2079 i 2080-2099. Model climàtic MPI-ESM1.

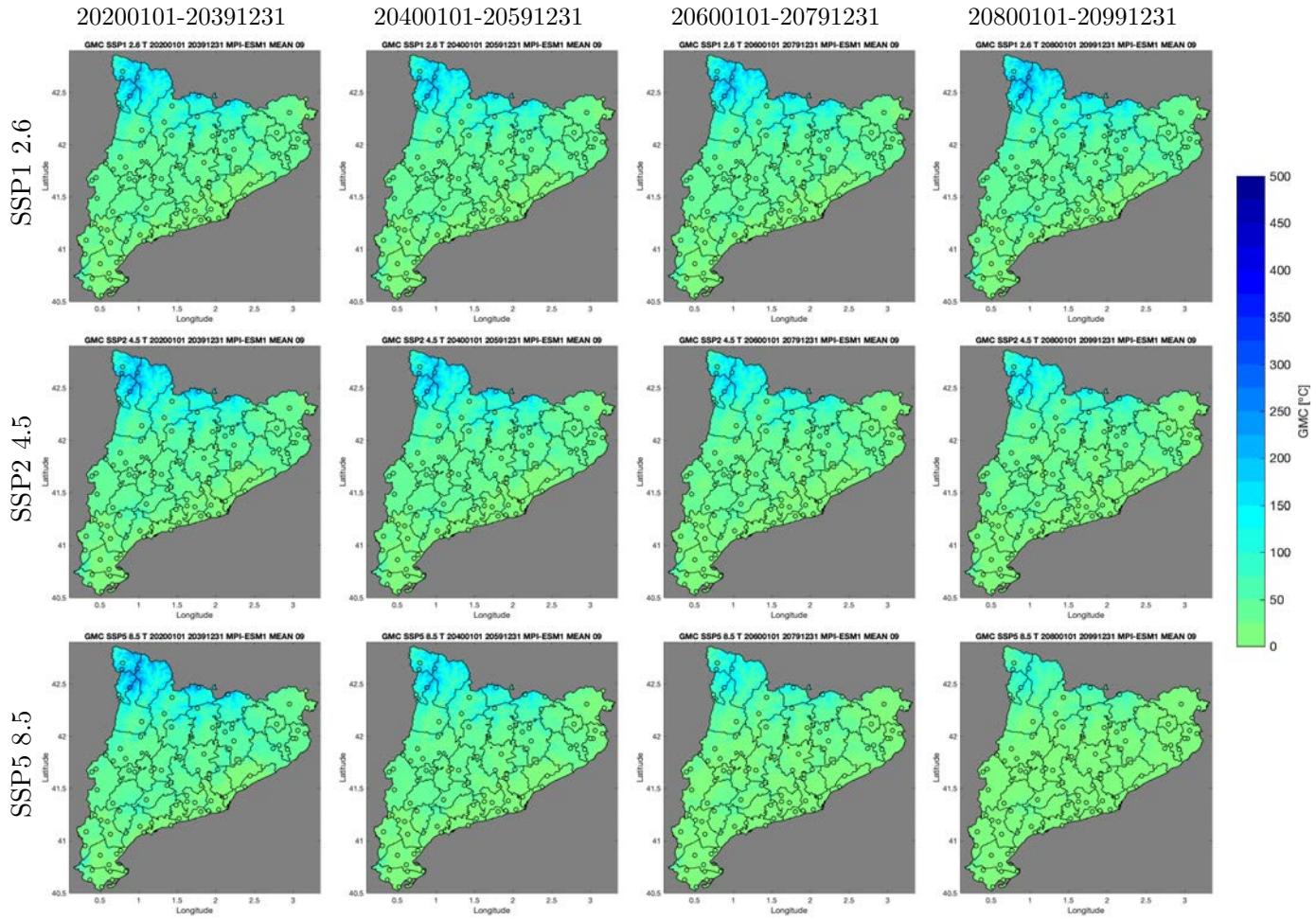

Figura B.414: Regionalització dels graus-mes de calefacció (GMC) per al mes de setembre, per als escenaris SSP1 2.6, SSP2 4.5 i SSP5 8.5, i per als períodes 2020-2039, 2040-2059, 2060-2079 i 2080-2099. Model climàtic MPI-ESM1.

B.2.10 Octubre

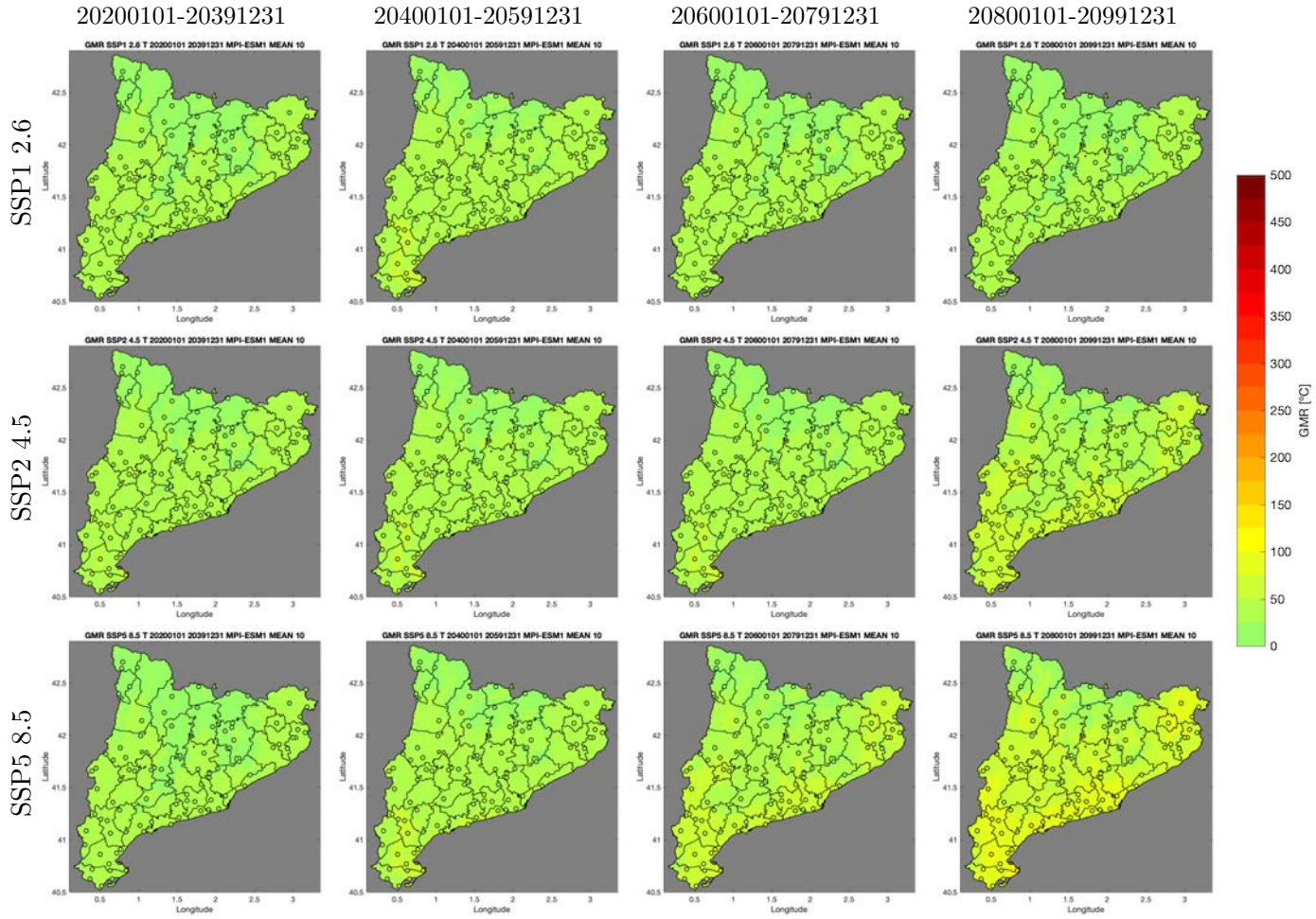

Figura B.415: Regionalització dels graus-mes de refrigeració (GMR) per al mes d'octubre, per als escenaris SSP1 2.6, SSP2 4.5 i SSP5 8.5, i per als períodes 2020-2039, 2040-2059, 2060-2079 i 2080-2099. Model climàtic MPI-ESM1.

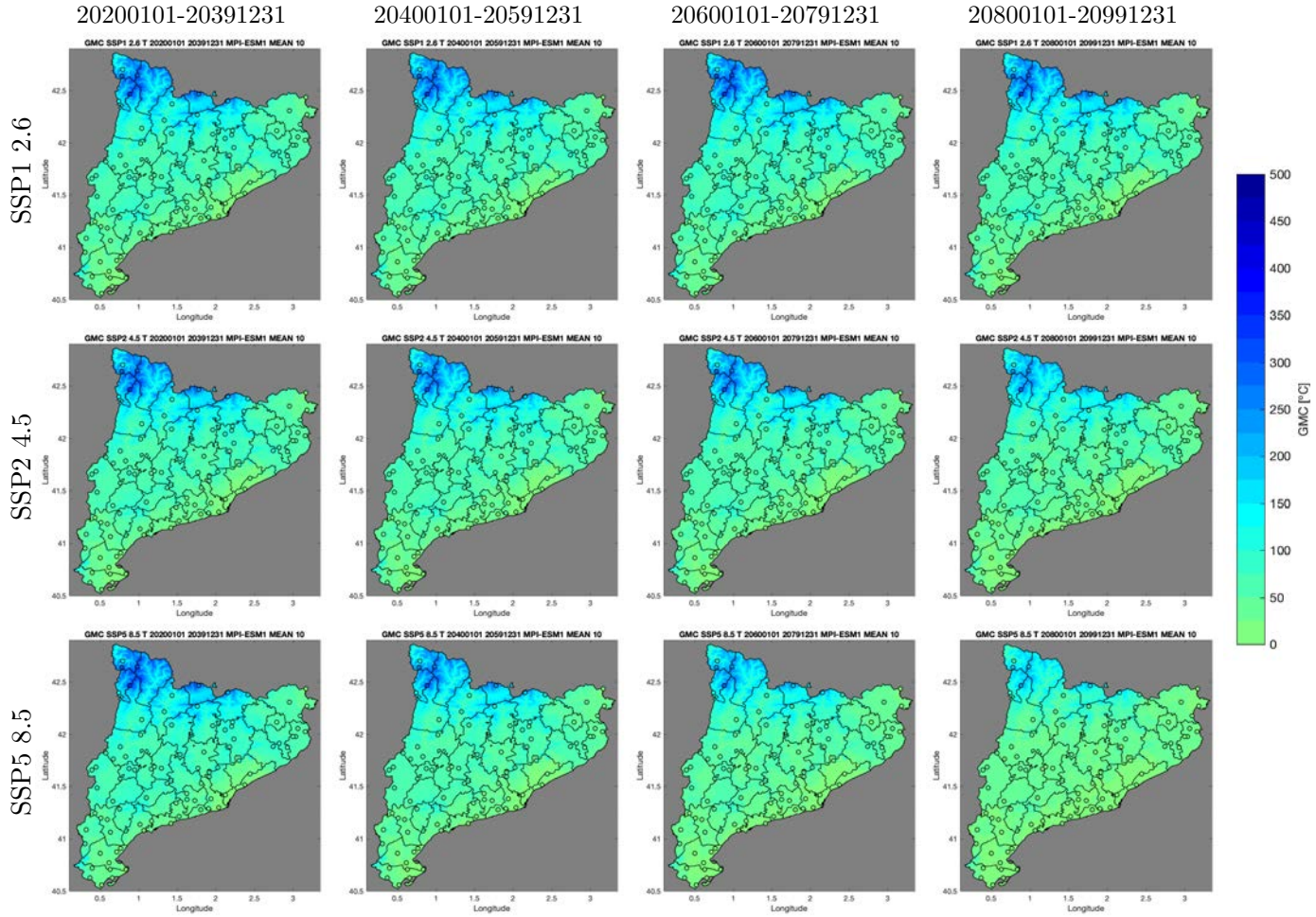

Figura B.416: Regionalització dels graus-mes de calefacció (GMC) per al mes d'octubre, per als escenaris SSP1 2.6, SSP2 4.5 i SSP5 8.5, i per als períodes 2020-2039, 2040-2059, 2060-2079 i 2080-2099. Model climàtic MPI-ESM1.

B.2.11 Novembre

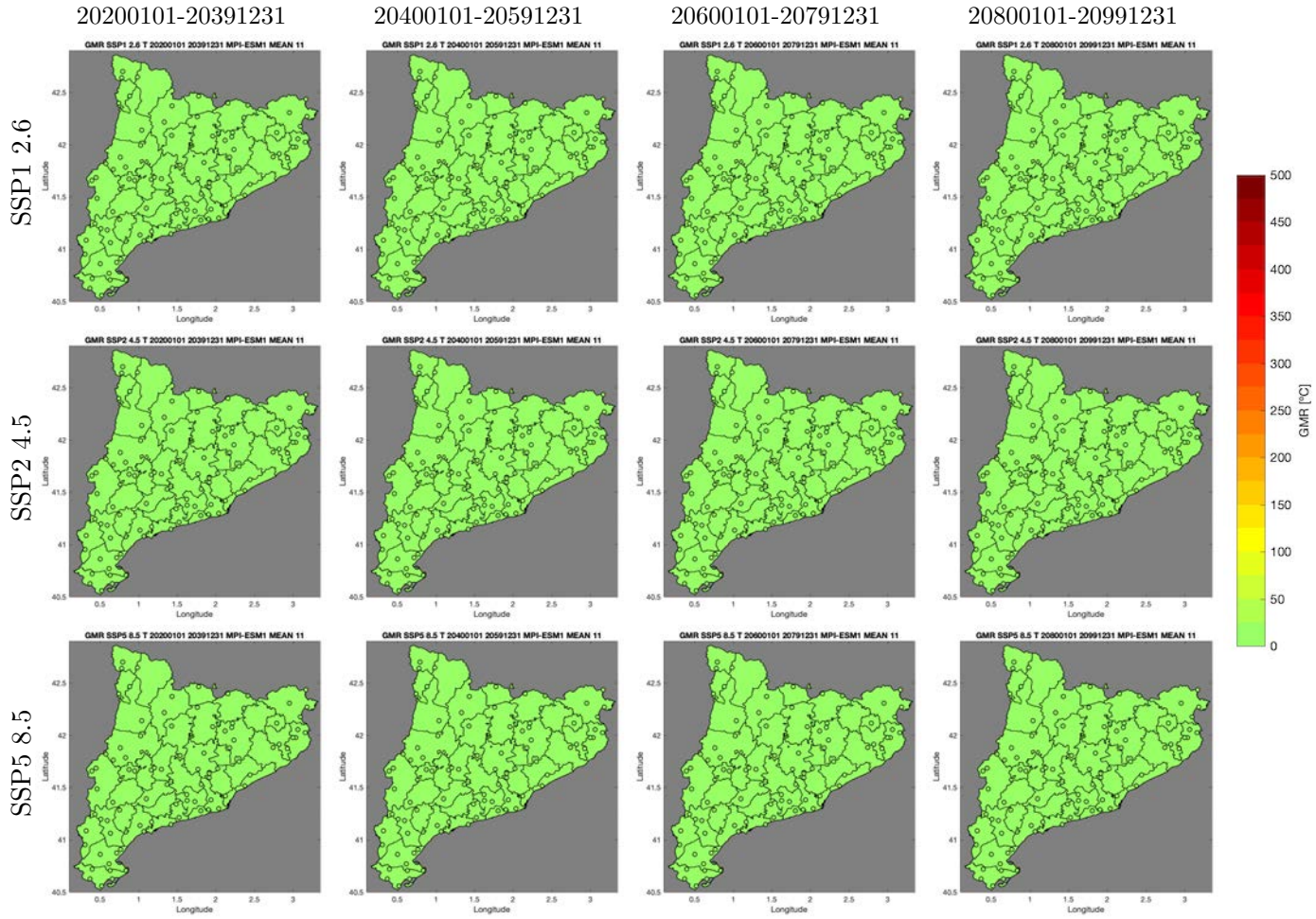

Figura B.417: Regionalització dels graus-mes de refrigeració (GMR) per al mes de novembre, per als escenaris SSP1 2.6, SSP2 4.5 i SSP5 8.5, i per als períodes 2020-2039, 2040-2059, 2060-2079 i 2080-2099. Model climàtic MPI-ESM1.

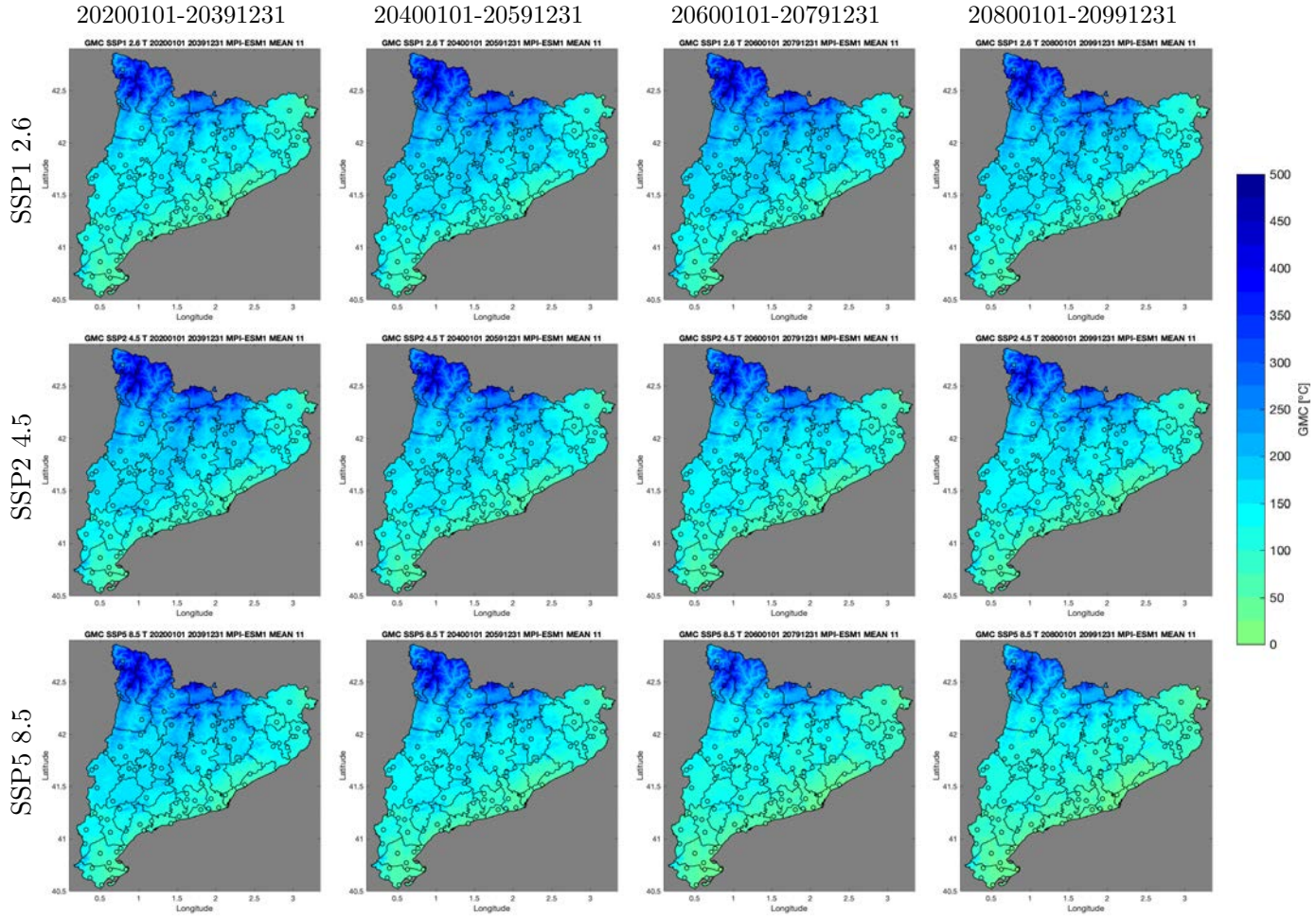

Figura B.418: Regionalització dels graus-mes de calefacció (GMC) per al mes de novembre, per als escenaris SSP1 2.6, SSP2 4.5 i SSP5 8.5, i per als períodes 2020-2039, 2040-2059, 2060-2079 i 2080-2099. Model climàtic MPI-ESM1.

B.2.12 Desembre

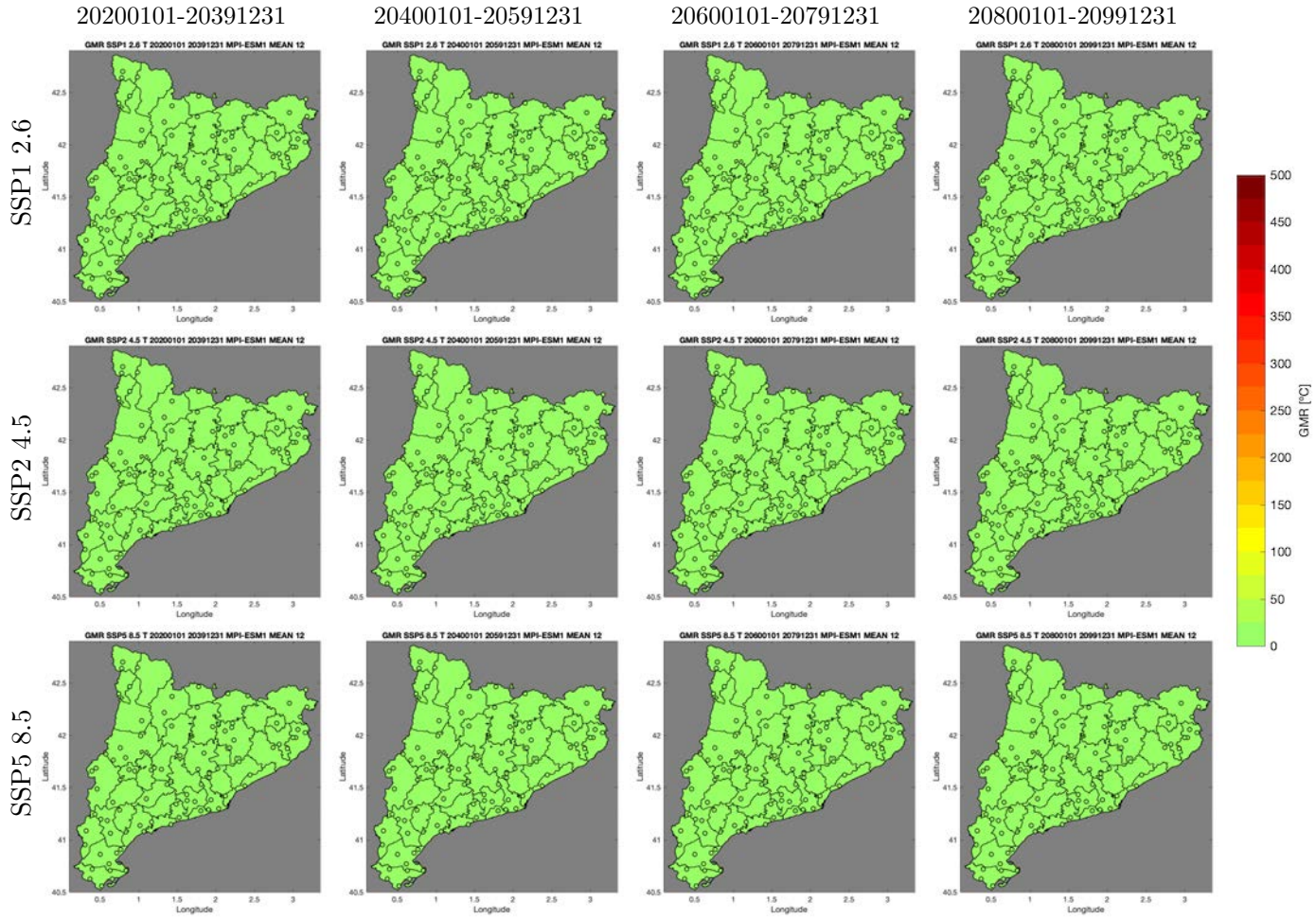

Figura B.419: Regionalització dels graus-mes de refrigeració (GMR) per al mes de desembre, per als escenaris SSP1 2.6, SSP2 4.5 i SSP5 8.5, i per als períodes 2020-2039, 2040-2059, 2060-2079 i 2080-2099. Model climàtic MPI-ESM1.

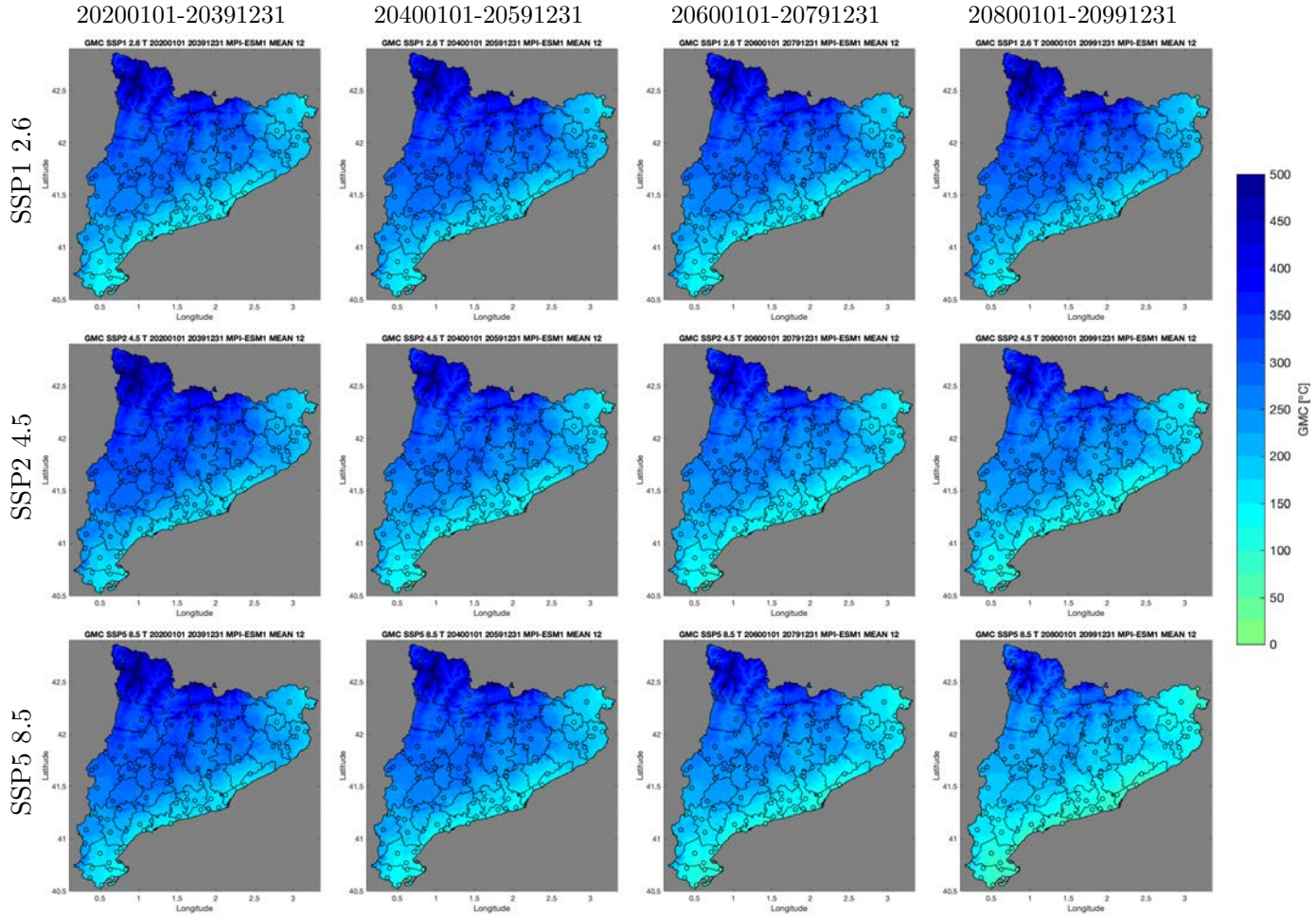

Figura B.420: Regionalització dels graus-mes de calefacció (GMC) per al mes de desembre, per als escenaris SSP1 2.6, SSP2 4.5 i SSP5 8.5, i per als períodes 2020-2039, 2040-2059, 2060-2079 i 2080-2099. Model climàtic MPI-ESM1.

B.2.13 Anual

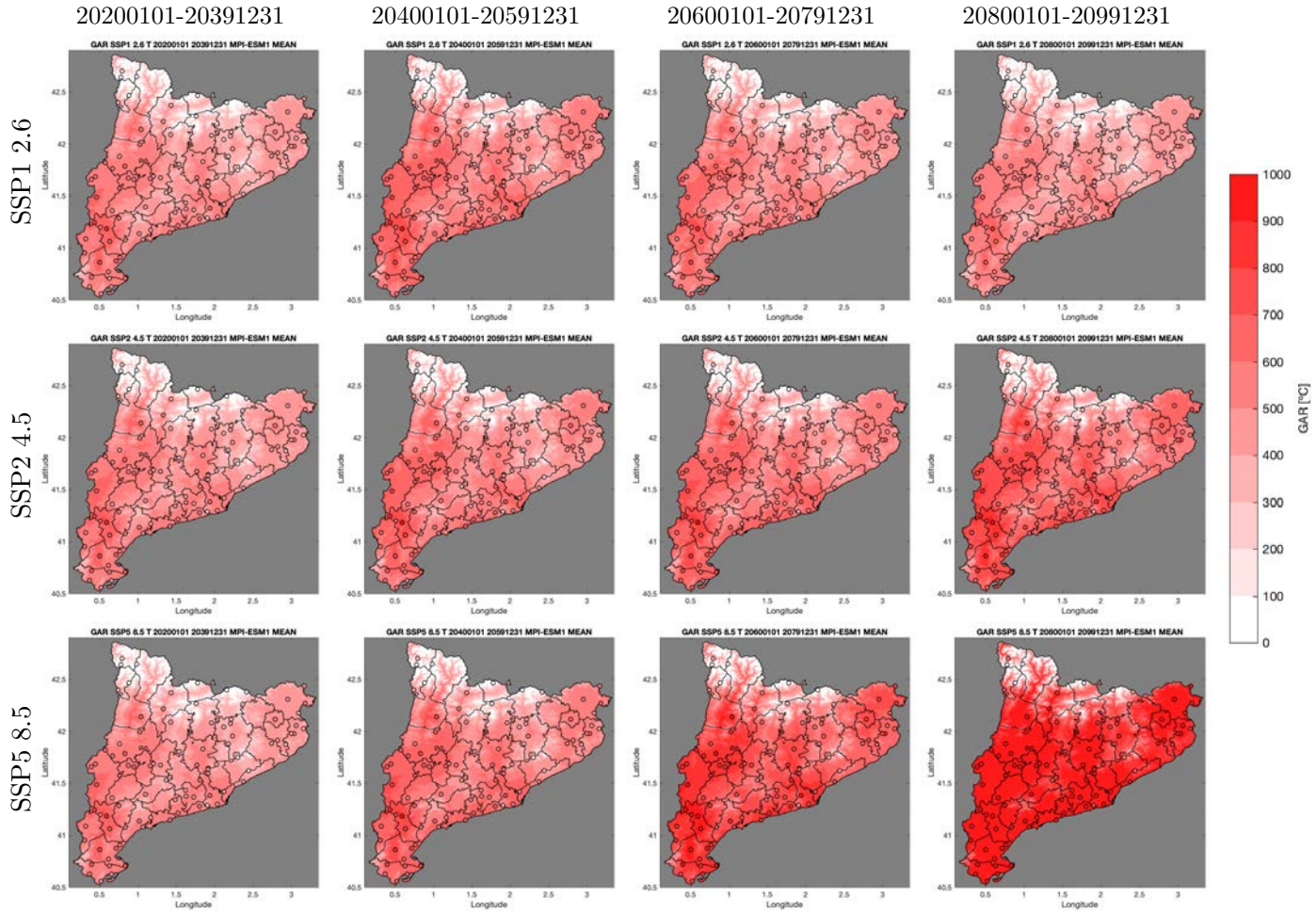

Figura B.421: Regionalització dels graus-any de refrigeració (GAR), per als escenaris SSP1 2.6, SSP2 4.5 i SSP5 8.5, i per als períodes 2020-2039, 2040-2059, 2060-2079 i 2080-2099. Model climàtic MPI-ESM1.

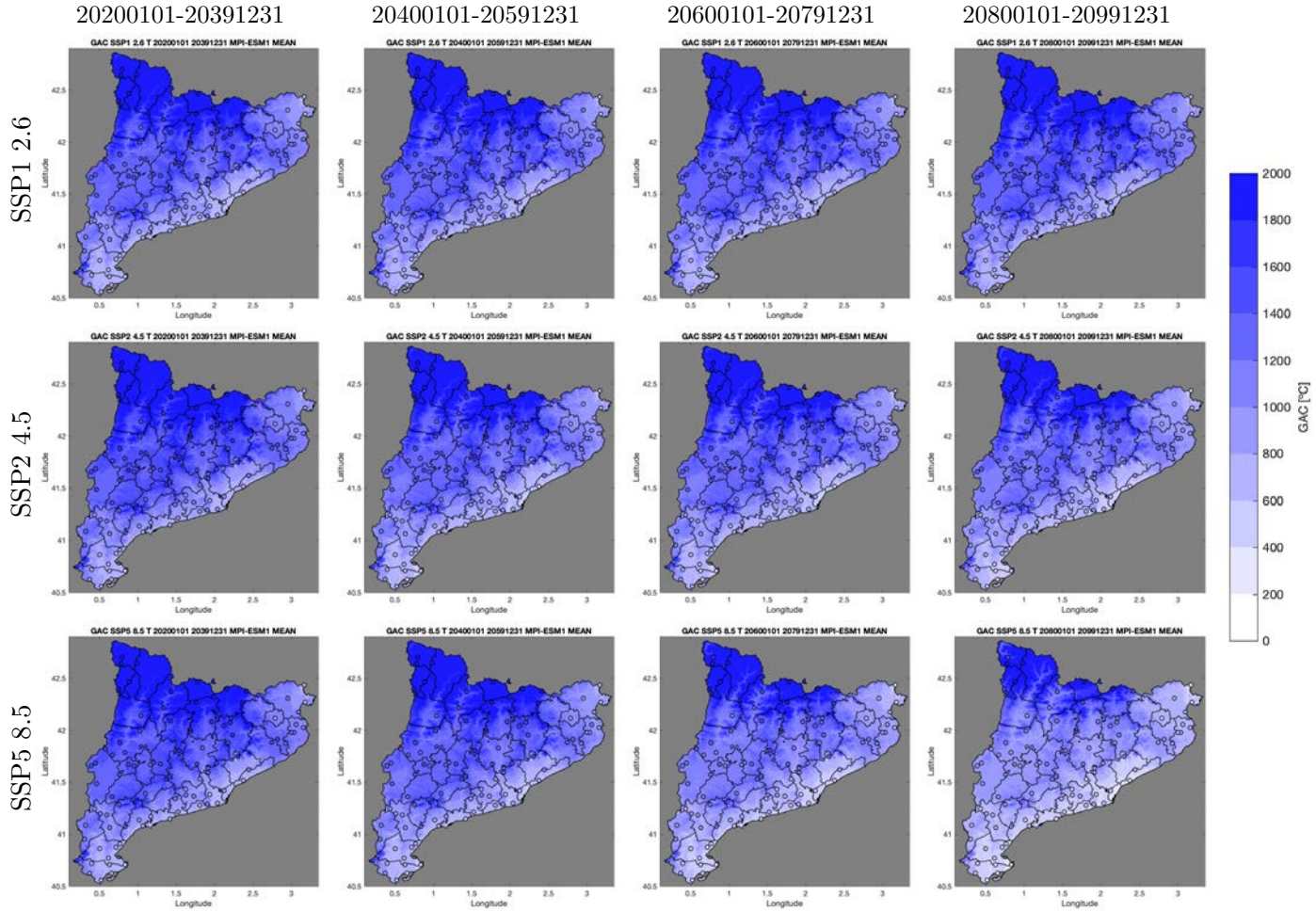

Figura B.422: Regionalització dels graus-any de calefacció (GAC), per als escenaris SSP1 2.6, SSP2 4.5 i SSP5 8.5, i per als períodes 2020-2039, 2040-2059, 2060-2079 i 2080-2099. Model climàtic MPI-ESM1.

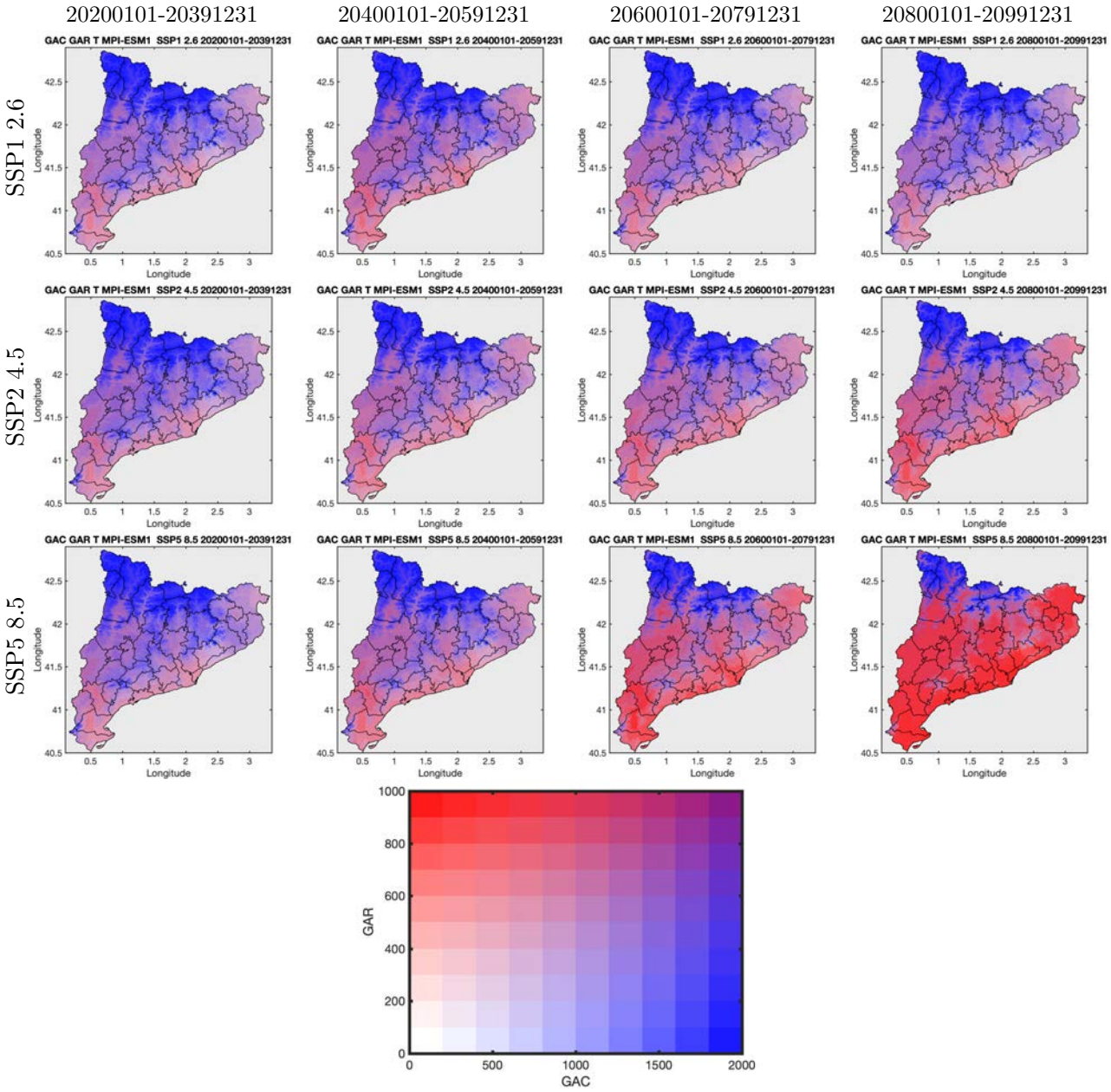

Figura B.423: Regionalització dels graus-any de refrigeració (GAR) i dels graus-any de calefacció (GAC), per als escenarisSSP1 2.6, SSP2 4.5 i SSP5 8.5, i per als períodes 2020-2039, 2040-2059, 2060-2079 i 2080-2099. Model climàtic MPI-ESM1.